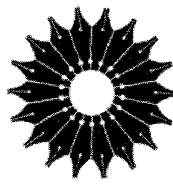


# روشهای ریاضی در فیزیک

جلد دوم

جورج آرفکن

ترجمه اعظم پورقاضی



# روشهای ریاضی در فیزیک

جلد دوم

جورج آرفکن

ترجمه اعظم پورقازی

مرکز نشر دانشگاهی

# بسم الله الرحمن الرحيم

## فهرست

صفحه	عنوان
۱	۸. معادلات دیفرانسیل
۱	۱۰.۸ معادلات دیفرانسیل با مشتقهای جزئی در فیزیک نظری
۴	۲۰.۸ معادلات دیفرانسیل مرتبه اول
۱۴	۳۰.۸ جداسازی (تفکیک) متغیرها - معادلات دیفرانسیل معمولی
۱۹	۴۰.۸ نقاط تکین
۲۳	۵۰.۸ جوابهای به صورت سری - روش فروبنیوس
۴۵	۶۰.۸ جواب دوم
۵۷	۷۰.۸ معادله ناهمگن - تابعهای گرین
۷۲	۸۰.۸ جوابهای عددی
۷۹	مراجع
۸۱	۹. نظریه اشتورم-لیوویل. تابعهای متعامد
۸۱	۱۰.۹ معادلات دیفرانسیل خود - الحاقی
۹۷	۲۰.۹ عملگرهای هرمیتی (خود-الحاقی)
۱۵۶	۳۰.۹ متعامدسازی گرام-اشمیت
۱۱۶	۴۰.۹ تمامیت ویژه تابعها
۱۳۵	مراجع
۱۳۶	۱۰.۱۰ تابع ساما (تابع فاکتوریل)
۱۳۶	۱۰.۱۰ تعریفها، خواص ساده

۱۵۰	۲.۱۰ توابع دی گاما و پلی گاما
۱۵۸	۳.۱۰ سری استرلینگ
۱۶۴	۴.۱۰ تابع بتا
۱۷۲	۵.۱۰ توابع گامای ناکامل و توابع مربوط به آنها
۱۸۰	مراجع
۱۸۲	۱۱. توابع بسل
۱۸۲	۱.۱۱ توابع نوع اول بسل، $J_p(x)$
۲۰۶	۲.۱۱ تعامد
۲۱۳	۳.۱۱ توابع نویمان، توابع نوع دوم بسل، $N_p(x)$
۲۲۳	۴.۱۱ توابع هنکل
۲۳۱	۵.۱۱ توابع تعدیل یافته بسل، $I_p(x)$ و $K_p(x)$
۲۴۰	۶.۱۱ بسطهای مجانبی
۲۴۸	۷.۱۱ توابع کروی بسل
۲۶۶	مراجع
۲۶۷	۱۲. توابع لژاندر
۲۶۷	۱.۱۲ تابع مولد
۲۷۸	۲.۱۲ روابط بازگشتی و خواص ویژه
۲۸۸	۳.۱۲ تعامد
۳۰۳	۴.۱۲ سایر تعریفهای چند جمله ایهای لژاندر
۳۰۸	۵.۱۲ توابع وابسته لژاندر
۳۲۶	۶.۱۲ هماهنگهای کروی
۳۳۲	۷.۱۲ تکانه زاویه ای و عملگرهای نردبانی
۳۴۲	۸.۱۲ قضیه جمع برای هماهنگهای کروی
۳۵۰	۹.۱۲ آنتگرالهای حاصلضرب سه هماهنگ کروی
۳۵۲	۱۰.۱۲ توابع لژاندر نوع دوم، $Q_n(x)$
۳۶۲	۱۱.۱۲ هماهنگهای کروی برداری
۳۶۷	مراجع
۳۶۸	۱۳. توابع خاص
۳۶۸	۱.۱۳ توابع هرمیت

۲۸۱	۲۰۱۳ توابع لاگر
۲۹۴	۳۰۱۳ چند جمله ایهای چیشف
۲۰۷	۴۰۱۳ چند جمله ایهای چیشف - کاربردهای عددی
۲۱۷	۵۰۱۳ توابع فوق هندسی
۲۲۳	۶۰۱۳ توابع فوق هندسی همشار
۲۳۰	مراجع

۲۳۲	۰۱۴ سری فوریه
۲۳۲	۱۰۱۴ خواص کلی
۲۴۰	۲۰۱۴ مزایا و موارد استفاده سری فوریه
۲۲۵	۳۰۱۴ کاربردهای سری فوریه
۲۵۶	۴۰۱۴ خواص سری فوریه
۲۶۴	۵۰۱۴ پدیده گیس
۲۶۹	۶۰۱۴ تعامل گسته - تبدیل فوریه گسته
۲۷۶	مراجع

۲۷۷	۱۵. تبدیلهای انتگرالی
۲۷۷	۱.۱۵ تبدیلهای انتگرالی
۲۸۲	۲.۱۵ گسترش انتگرال فوریه
۲۸۲	۳.۱۵ تبدیلهای فوریه - قضیه وارونی
۲۹۵	۴.۱۵ تبدیل فوریه مشتقها
۲۹۹	۵.۱۵ قضیه پیچش
۵۰۴	۶.۱۵ نمایش تکانه
۵۱۲	۷.۱۵ توابع انتقال
۵۱۶	۸.۱۵ تبدیلهای بنیادی لاپلاس
۵۲۶	۹.۱۵ تبدیل لاپلاس مشتق
۵۳۶	۱۰.۱۵ چند خاصیت دیگر
۵۵۱	۱۱.۱۵ قضیه پیچش یا قضیه فالتونگ
۵۵۶	۱۲.۱۵ تبدیل وارون لاپلاس
۵۶۹	مراجع

۵۷۲	۱۶. معادلات انتگرالی
۵۷۲	۱۰۱۶ مقلمه

۵۸۳	۲۰۱۶ تبدیلهای انتگرالی، توابع مولد
۵۹۱	۳۰۱۶ سری نویمان، کرنلهای جداشدنی (واگن)
۶۰۶	۴۰۱۶ نظریه هیلبرت - اشمیت
۶۱۴	۵۰۱۶ توابع گرین - یک بعد
۶۳۵	۶۰۱۶ تابعهای گرین - دو و سه بعد
۶۴۹	مراجع

۱۷. حساب وردشها

۶۵۱	۱۰۱۷ یک متغیر وابسته و یک متغیر مستقل
۶۵۲	۲۰۱۷ کاربردهای معادله اوپلر
۶۵۸	۳۰۱۷ تعمیمها، چند متغیر وابسته
۶۶۷	۴۰۱۷ چند متغیر مستقل
۶۷۲	۵۰۱۷ بیش از یک متغیر وابسته، بیش از یک متغیر مستقل
۶۷۵	۶۰۱۷ مضربهای لاگرانژی
۶۷۷	۷۰۱۷ وردش تحت تأثیر قید
۶۸۳	۸۰۱۷ شگرد وردشی ریلی-ریتس
۶۹۳	مراجع
۶۹۹	

پیوست ۱. صفرهای حقیقی یک تابع

۷۰۱	مراجع
۷۰۷	پیوست ۲. کوادراتور گاوسی
۷۰۸	مراجع
۷۱۶	مراجع کلی
۷۱۶	فهرست راهنما
۷۱۸	



## معادلات دیفرانسیل

### ۱.۸ معادلات دیفرانسیل با مشتقهای جزئی در فیزیک نظری

تقریباً تمام بخشهای بنیادی فیزیک نظری و بسیاری از بخشهای پیشرفته آن بر حسب معادلات دیفرانسیل (غالباً معادلات دیفرانسیل جزئی) فرمولبندی می‌شوند. از میان معادلات دیفرانسیلی که خیلی به آنها برمی‌خوریم می‌توان موارد زیر را برشمرد:

۱. معادلهٔ لاپلاس،  $\nabla^2\psi = 0$ .

به این معادلهٔ بسیار مهم و بسیار متداول در مباحث زیر برمی‌خوریم  
(الف) پدیده‌های الکترومغناطیسی شامل الکتروستاتیک، دی‌الکتریکها، جریانهای دائم، و مغناطوستاتیک،

(ب) هیدرودینامیک (شارش غیر چرخشی سیال کامل و امواج سطحی)،

(ج) شارش گرما،

(د) گرانش.

۲. معادلهٔ پواسون،  $\nabla^2\psi = -\rho/\epsilon_0$ .

معادلهٔ پواسون، برخلاف معادلهٔ لاپلاس همگن، معادله‌ای ناهمگن است و یک جملهٔ مربوط به چشمه،  $-\rho/\epsilon_0$ ، دارد.

۳. معادلهٔ موج (هلمهولتز) و معادلات پخش مستقل از زمان،  $\nabla^2\psi \pm k^2\psi = 0$ .

این معادلات در پدیده‌های متنوعی به‌قرار زیر ظاهر می‌شوند

(الف) امواج کشسان در جامدات شامل تارها، میله‌ها، وغشاهای مرتعش،

(ب) صوت یا آکوستیک،

(ج) امواج الکترومغناطیسی؛

(د) رآکتورهای هسته‌ای.

۴. معادلهٔ پخش وابسته به زمان:  $\nabla^2 \psi = \frac{1}{a^2} \frac{\partial \psi}{\partial t}$ ، و صورت‌های چهار بعدی متناظر با آن که شامل دالامبری، مشابه چهار بعدی لاپلاسی در فضای مینکوفسکی، هستند.

$$\square^2 = \nabla^2 + \frac{\partial^2}{\partial x_4^2} = \frac{\partial^2}{\partial x^2} + \frac{\partial^2}{\partial y^2} + \frac{\partial^2}{\partial z^2} + \frac{\partial^2}{(ic)^2 \partial t^2}$$

۵. معادلهٔ موج وابسته به زمان،  $\square^2 \psi = 0$ .۶. معادلهٔ پتانسیل نرده‌ای،  $\square^2 \psi = -\rho/\epsilon_0$ .

این معادله نیز، مانند معادلهٔ پواسون ناهمگن است و یک جملهٔ مربوط به چشمه،  $-\rho/\epsilon_0$ ، دارد.

۷. معادلهٔ کلاین-گوردن،  $\square^2 \psi = \mu^2 \psi$ ، و معادله‌های برداری متناظری که در آنها به جای تابع نرده‌ای  $\psi$  یک تابع برداری می‌نشینند.

صورت‌های پیچیده‌تری نیز متداول‌اند.

۸. معادلهٔ موج شرودینگر

$$-\frac{\hbar^2}{2m} \nabla^2 \psi + V\psi = i\hbar \frac{\partial \psi}{\partial t}$$

و در حالت مستقل از زمان این معادله

$$-\frac{\hbar^2}{2m} \nabla^2 \psi + V\psi = E\psi.$$

۹. معادلات مربوط به امواج کشسان و شاردهای چسبنده و معادلهٔ تلگراف.

۱۰. معادلات دیفرانسیل جفت‌شدهٔ ماکسول در زمینهٔ میدانهای الکتریکی و مغناطیسی و معادلات دیفرانسیل جفت‌شدهٔ دیراک در زمینهٔ تابع موجهای نسبیتی الکترون. برای دستیابی به بحثی در باب معادلات ماکسول، مقدمه و نیز بخش ۹.۱ را ببینید (جلد اول).

همهٔ این معادلات رامی‌توان به شکل زیر نوشت

$$H\psi = F$$

که در آن  $H$  یک عملگر دیفرانسیلی است

$$H\left(\frac{\partial}{\partial x}, \frac{\partial}{\partial y}, \frac{\partial}{\partial z}, \frac{\partial}{\partial t}, x, y, z\right)$$

$F$  تابعی معلوم، و  $\psi$  یک تابع نرده‌ای (یا برداری) نامعلوم است.



این دو مشخصه از اهمیت خاصی برخوردارند:

۱. همه این معادلات بر حسب تابع نامعلوم  $\psi$  خطی اند. با حل مسائل آسانتر ریاضی و فیزیک، معادلات دیفرانسیل غیرخطی، مثلاً معادلاتی که پدیده‌های موج شوکی را توصیف می‌کنند، بیشتر مورد توجه قرار می‌گیرد. معادلات بنیادی فیزیک جو غیرخطی اند. تلاطم، شاید مهمترین مسئله حل نشده در حوزه فیزیک کلاسیک، اساساً غیرخطی است. اما، هم خود معادلات دیفرانسیل غیرخطی وهم روشهای عادی که غالباً برای یافتن پاسخ به آنها روی می‌آوریم، هر دو از دامنه بحث این کتاب خارج‌اند.

۲. این معادلات جمله‌گی معادلات دیفرانسیل مرتبه دوم اند [معادلات ماکسول و دیراک مرتبه اول اند ولی شامل دو تابع نامعلوم هستند. حذف یکی از توابع نامعلوم به یک معادله مرتبه دوم بر حسب تابع دیگر می‌انجامد (بابخش ۹.۱ مقایسه کنید)].  
گهگاه، به معادلات مرتبه بالاتری نیز برمی‌خوریم. معادله زیر را، هم در نظریه حرکت آهسته اشاره چسبده وهم در نظریه جسم کثشان خواهیم یافت

$$(\nabla^2)^2 \psi = \left( \frac{\partial^4}{\partial x^4} + 2 \frac{\partial^4}{\partial x^2 \partial y^2} + \frac{\partial^4}{\partial y^4} \right) \psi = 0.$$

خوشبختانه، در بحثهای مقدماتی نظیر این کتاب، این معادلات دیفرانسیل مرتبه‌های بالاتر نسبتاً نادرند.

معادلات دیفرانسیل مرتبه اول نیز در فیزیک نظری ظاهر می‌شوند، هر چند که ظهور آنها نه مانند معادلات دیفرانسیل مرتبه دوم فراوان و نه به آن اهمیت است. جواب برخی انواع مهمتر معادلات مرتبه اول (معمولی) را در بخش ۲.۸ بیشتر مورد بحث قرار خواهیم داد.  
در این فصل چند روش کلی برای حل معادلات دیفرانسیل جزئی مورد بحث قرار می‌گیرد.

۱. جدا سازی متغیرها. معادله دیفرانسیل جزئی بدو معادله دیفرانسیل معمولی تجزیه می‌شود که هر یک را می‌توان با روش فروبنیوس بخش ۵.۸ حل کرد. با روش جدا سازی متغیرها در بخش ۶.۲ (جلداول) آشنا شدیم، در بخش ۳.۸ بیشتر در خصوص آن بحث می‌کنیم. این روش همیشه هم کار ساز نیست، اما وقتی به کار برده شود ساده‌ترین روش به شمار می‌آید.

۲. جوابهای انتگرالی با بهره‌گیری از یک تابع گرین. با تکنیک تابع گرین در بخش ۷.۸ آشنا خواهیم شد. این تکنیک را در فصل ۱۶ به تفصیل بررسی خواهیم کرد.

۳. سایر روشهای تحلیلی مانند استفاده از تبدیلهای انتگرالی. برخی روشهای این رده را تعمیم می‌دهیم، و آنها را در فصل ۱۵ به کار خواهیم گرفت.

۴. محاسبات عددی. پیشرفت ماشینهای محاسبه امروزی، امکانات گسترده‌ای برای حل معادلات دیفرانسیل جزئی بر پایه قوانین حاکم بر حساب تفاضلهای متناهی فراهم ساخته است. از آن جمله روشهای واهلشی است. در بخش ۸.۸ دو روش عددی، روش رونژ-کوتا و روش پیشگو-مصحح، را برای معادلات دیفرانسیل معمولی به کار می‌بندیم.<sup>۱</sup>

### ۳.۸ معادلات دیفرانسیل مرتبه اول

علم فیزیک مستلزم تعدادی معادله دیفرانسیل مرتبه اول است. شاید بهتر باشد که برای کامل بودن مطلب (و مرور احتمالی) آنها را به اختصار بررسی کنیم. در اینجا معادلات دیفرانسیل را به صورت کلی در نظر می‌گیریم

$$\frac{dy}{dx} = f(x, y) = -\frac{P(x, y)}{Q(x, y)} \quad (1.8)$$

روشن است که معادله (۱.۸) یک معادله دیفرانسیل معمولی مرتبه اول است. مرتبه اول، به این علت که فقط شامل مشتقهای مرتبه اول است و نه بالاتر. معمولی، زیرا تنها مشتق موجود در آن یعنی  $dy/dx$  یک مشتق کامل یا معمولی است. معادله (۱.۸) ممکن است خطی باشد یا نباشد، هر چند که حالت خطی، معادله (۱.۵.۸)، را بعداً به وضوح بررسی خواهیم کرد.

متغیرهای تفکیک پذیر

بارها پیش می‌آید که معادله (۱.۸) به شکل خاص زیر درآید

$$\frac{dy}{dx} = f(x, y) = -\frac{P(x)}{Q(y)} \quad (2.8)$$

که می‌توان آن را به این صورت بازنویسی کرد

$$P(x)dx + Q(y)dy = 0$$

با انتگرالگیری از  $(x_0, y_0)$  تا  $(x, y)$  خواهیم داشت

$$\int_{x_0}^x P(x)dx + \int_{y_0}^y Q(y)dy = 0 \quad (3.8)$$

۱. خواننده می‌تواند برای دستیابی به مطالب مشروحتر پیرامون محاسبات عددی مطالعات خود را با کتابی با مشخصات زیر آغاز کند و آنگاه به مراجع تخصصی‌تر بپردازد.

با توجه به اینکه حدود پایینی  $x$  و  $y$  مقادیر ثابتی را می‌دهند، می‌توانیم از آنها چشم‌پوشییم و فقط یک ثابت انتگرالگیری اضافه کنیم. توجه کنیم که در این روش تفکیک متغیرها نیسازي نیست که معادله دیفرانسیل خطی باشد.

مثال ۱۰۳۰۸ قانون بویل

شکل دیفرانسیلی قانون بویل در مورد گازها درباره مقدار معینی گاز به حجم  $V$  و فشار  $P$  (و دمای ثابت) به شکل زیر است

$$\frac{dV}{dP} = -\frac{V}{P}$$

با تفکیک متغیرها خواهیم داشت

$$\frac{dV}{V} = -\frac{dP}{P}$$

یا

$$\ln V = -\ln P + C$$

با وجود دو جمله لگاریتمی، باز نویسی ثابت انتگرالگیری،  $C$ ، به صورت  $\ln k$  کار را خیلی آسانتر می‌کند. پس

$$\ln V + \ln P = \ln PV = \ln k$$

و

$$PV = k.$$

معادلات دیفرانسیل کامل

معادله (۱۰۸) را به صورت زیر باز نویسی می‌کنیم

$$P(x, y)dx + Q(x, y)dy = 0 \quad (۴.۸)$$

این معادله را آنگاه کامل گویند که بتوان آن را بایک دیفرانسیل  $d\varphi$ ، به قرار زیر، جور کرد

$$d\varphi = \frac{\partial \varphi}{\partial x} dx + \frac{\partial \varphi}{\partial y} dy \quad (۵.۸)$$

از آنجا که سمت راست معادله (۴.۸) صفر است، ما تابع مجهول  $\varphi(x, y) = \text{const.}$  و  $d\varphi = 0$  را جستجوی می‌کنیم.

اگر چنین تابعی وجود داشته باشد، داریم

$$P(x,y)dx + Q(x,y)dy = \frac{\partial \varphi}{\partial x} dx + \frac{\partial \varphi}{\partial y} dy \quad (6.8)$$

و

$$\frac{\partial \varphi}{\partial x} = P(x,y), \quad \frac{\partial \varphi}{\partial y} = Q(x,y) \quad (7.8)$$

شرط لازم و کافی برای آنکه معادله دیفرانسیل ما کامل باشد آن است که مشتقهای جزئی آمیخته دوم  $\varphi(x,y)$  (که پیوسته فرض می‌شوند) از ترتیب مشتقگیری مستقل باشند

$$\frac{\partial^2 \varphi}{\partial y \partial x} = \frac{\partial P(x,y)}{\partial y} = \frac{\partial Q(x,y)}{\partial x} = \frac{\partial^2 \varphi}{\partial x \partial y} \quad (8.8)$$

به تشابه با معادلات بخش ۱۳.۱ (جلد اول)، «نظریه پتانسیل» توجه کنید. اگر معادله (۴.۸) بایک تاو (مساوی با صفر) متناظر باشد، آنگاه یک پتانسیل،  $\varphi(x,y)$ ، باید وجود داشته باشد. اگر  $\varphi(x,y)$  وجود داشته باشد، پس جواب معادله ما با استفاده از معادلات (۴.۸) و (۶.۸) عبارت است از

$$\varphi(x,y) = C \quad (9.8)$$

درست همان طور که در بخش ۱۳.۱ (جلد اول) پتانسیل برداری مغناطیسی را به کمک تاو آن تشکیل دادیم، می‌توانیم  $\varphi(x,y)$  را نیز به کمک مشتقهای جزئی آن تشکیل دهیم. ممکن است روشن شود که معادله (۴.۸) کامل نیست، یعنی معادله (۸.۸) برقرار نیست. در هر حال همواره دست کم یک و شاید بینهایت عامل انتگرالگیری،  $\alpha(x,y)$ ، چنان وجود دارد که

$$\alpha(x,y)P(x,y)dx + \alpha(x,y)Q(x,y)dy = 0$$

کامل باشد. متأسفانه، یافتن عامل انتگرالگیری همواره بدیهی و یا آسان نیست. جز در مورد معادله دیفرانسیل مرتبه اول خطی که از این پس آن را بررسی می‌کنیم، هیچ روش سیستماتیکی برای پیدا کردن عامل انتگرالگیری در مورد معادله (۴.۸) وجود ندارد. معادله دیفرانسیلی که متغیرهایش از هم تفکیک شده‌اند به خودی خود کامل است. هر معادله دیفرانسیل کاملی لزوماً تفکیک پذیر نیست.

معادلات دیفرانسیل مرتبه اول خطی

اگر  $f(x,y)$  در معادله (۱.۸) به صورت  $p(x)y + q(x)$  باشد، آنگاه معادله (۱.۸) به شکل زیر درمی‌آید

$$\frac{dy}{dx} + p(x)y = q(x) \quad (10.8)$$

معادله (۱۰.۸) کاملترین معادله دیفرانسیل مرتبه اول خطی است. اگر  $q(x) = 0$ ، آنگاه معادله (۱۰.۸) (بر حسب  $y$ ) همگن است. هر  $q(x)$  غیر صفر می‌تواند نمایانگر چشمه یا جمله راه‌انداز باشد. معادله (۱۰.۸) خطی است؛ یعنی هر جمله آن بر حسب  $y$  یا  $dy/dx$  خطی است. توانهای بالاتری در آن وجود ندارد؛ یعنی، نه  $y^2$  و نه حاصلضربهایی به صورت  $y(dy/dx)$  در آن موجود نیست. توجه کنیم که خطی بودن به  $y$  و  $dy/dx$  مربوط می‌شود؛ ضرورتی ندارد  $p(x)$  و  $q(x)$  بر حسب  $x$  خطی باشند. معادله (۱۰.۸)، مهم‌ترین معادله دیفرانسیل مرتبه اول در فیزیک، را می‌توان دقیقاً حل کرد.

به جستجوی عامل انتگرال‌گیری  $\alpha(x)$  بر آییم، به طوری که رابطه

$$\alpha(x)\frac{dy}{dx} + \alpha(x)p(x)y = \alpha(x)q(x) \quad (11.8)$$

را بتوان به صورت زیر بازنویسی کرد

$$\frac{d}{dx}[\alpha(x)y] = \alpha(x)q(x) \quad (12.8)$$

هدف از این کار آن است که سمت چپ معادله (۱۰.۸) را به صورت یک مشتق در آوریم تا بتوانیم از آن، از طریق بازرسی، انتگرال بگیریم. این کار، تصادفاً، معادله (۱۰.۸) را نیز کامل می‌کند. بایست معادله (۱۲.۸)، داریم

$$\alpha(x)\frac{dy}{dx} + \frac{d\alpha}{dx}y = \alpha(x)q(x)$$

مقایسه با معادله (۱۱.۸) نشان می‌دهد که باید داشته باشیم

$$\frac{d\alpha(x)}{dx} = \alpha(x)p(x) \quad (13.8)$$

این معادله‌ای دیفرانسیل بر حسب  $\alpha(x)$  است که در آن متغیرهای  $\alpha$  و  $x$  تفکیک پذیرند. متغیرها را تفکیک می‌کنیم، انتگرال می‌گیریم، و عامل انتگرال‌گیری را به صورت زیر به دست می‌آوریم

$$\alpha(x) = \exp\left[\int^x p(x)dx\right] \quad (14.8)$$

حال که  $\alpha(x)$  را به دست آوردیم، از معادله (۱۲.۸) انتگرال می‌گیریم. البته،  $\alpha$  را از ابتدا به همین منظور وارد کردیم. داریم

$$\int^x \frac{d}{dx}[\alpha(x)y(x)]dx = \int^x \alpha(x)q(x)dx$$

اینک از طریق بازرسی انتگرال می‌گیریم، داریم

$$\alpha(x)y(x) = \int^x \alpha(x)q(x)dx + C$$

به جای همه ثابتهای حاصل از مقدار ثابت حد پایینی انتگرالگیری، ثابت  $C$  را قرار می‌دهیم. با تقسیم بر  $\alpha(x)$ ، خواهیم داشت

$$y(x) = [\alpha(x)]^{-1} \left\{ \int^x \alpha(x)q(x)dx + C \right\}$$

سرانجام، پس از نشان دادن مقادیر معادل  $\alpha$  از معادله (۱۴.۸)، به دست می‌آوریم

$$y(x) = \exp\left[-\int^x p(t)dt\right] \left\{ \int^x \exp\left[\int^s p(t)dt\right] q(s)ds + C \right\} \quad (15.8)$$

در اینجا برای جلوگیری از ابهام، متغیرهای (ظاهری) انتگرالگیری را تعویض کرده‌ایم. معادله (۱۵.۸) جواب عمومی و کامل معادله دیفرانسیل مرتبه اول خطی (۱۵.۸) است. جزء

$$y_1(x) = C \exp\left[-\int^x p(t)dt\right] \quad (16.8)$$

به حالت  $q(x) = 0$  مربوط است و جواب عمومی معادله دیفرانسیل همگن به شمار می‌آید. جمله دیگر معادله (۱۵.۸)، یعنی

$$y_2(x) = \exp\left[-\int^x p(t)dt\right] \int^x \exp\left[\int^s p(t)dt\right] q(s)ds \quad (17.8)$$

جواب خصوصی متناظر با جمله چشمه خاص  $q(x)$  است.

خواننده باید توجه کرده باشد که معادله دیفرانسیل مرتبه اول خطی همگن ( $q = 0$ )

تفکیک پذیر است. در غیر این صورت، جز در حالت‌های خاصی مانند  $q = \text{const.}$ ،  $p = \text{const.}$ ،

یا  $q(x) = ap(x)$ ، معادله (۱۵.۸) تفکیک پذیر نیست.

### مثال ۱۰۴.۸ مدار RL

قانون کیرشهوف در مورد جریان  $I(t)$ ، در یک مدار مقاومت-القا به معادله زیر می‌انجامد

$$L \frac{dI(t)}{dt} + RI(t) = V(t)$$

که در آن  $L$  القاگر و  $R$  مقاومت است و هر دو ثابت اند.  $V(t)$  ولتاژ برقرار شده وابسته به زمان است.

عامل انتگرالگیری ما،  $\alpha(t)$ ، با استفاده از معادله (۱۴.۸) عبارت است از

$$\begin{aligned}\alpha(t) &= \exp \int^t \frac{R}{L} dt \\ &= e^{Rt/L}\end{aligned}$$

آنگاه از معادله (۱۵.۸) خواهیم داشت

$$I(t) = e^{-Rt/L} \left[ \int^t e^{Rt/L} \frac{V(t)}{L} dt + C \right]$$

که در آن ثابت  $C$  به کمک یک شرط اولیه (شرط مرزی) تعیین می‌شود. در حالت خاص  $V(t) = V_0$ ، یعنی یک مقدار ثابت، داریم

$$\begin{aligned}I(t) &= e^{-Rt/L} \left[ \frac{V_0}{L} \cdot \frac{L}{R} e^{Rt/L} + C \right] \\ &= \frac{V_0}{R} + C e^{-Rt/L}\end{aligned}$$

اگر شرط اولیه به صورت  $I(0) = 0$  باشد، آنگاه  $C = -V_0/R$  و

$$I(t) = \frac{V_0}{R} [1 - e^{-Rt/L}]$$

تبدیل به معادله انتگرالی

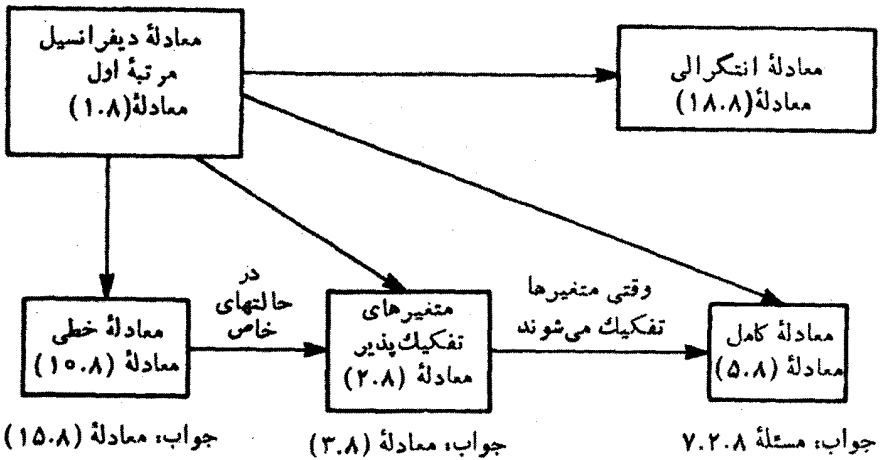
معادله دیفرانسیل مرتبه اول (۱۰.۸) را می‌توان از طریق انتگرالگیری مستقیم، به یک معادله انتگرالی تبدیل کرد

$$y(x) - y(x_0) = \int_{x_0}^x f[x, y(x)] dx \quad (۱۸.۸)$$

در معادله بالا به عنوان یک معادله انتگرالی امکان دارد یک جواب به صورت سری نویمان با تقریب اولیه  $y(x) \approx y(x_0)$  وجود داشته باشد (بخش ۳.۱۶ را ببینید). این روش به زبان معادله دیفرانسیل «روش تقریبهای پایایی پیکارد» نام دارد.

رابطه میان روشهای گوناگونی که در این بخش با آنها آشنا شدیم در شکل ۱۰.۸

نموده شده است.



شکل ۱۰.۸

درفصل ۱۵، درارتباط باتبدیلات لاپلاس ودرفصل ۱۷، درطی معادله اویلر حساب وردشها، باردیگر بامعادلات دیفرانسیل مرتبه اول روبرو خواهیم شد. روشهای عددی حل معادلات دیفرانسیل مرتبه اول را دربخش ۸.۸ بررسی خواهیم کرد.

### مسائل

۱۰.۲۰۸ جریان  $I$  که از یک مدار  $RC$  (مقاومت-خازن) می‌گذرد (شکل ۲.۸) بنا بر قانون کیرشهوف از معادله زیر پیروی می‌کند

$$R \frac{dI}{dt} + \frac{1}{C} I = 0$$

(الف)  $I(t)$  را بیابید. (ب) جریان  $I$  را برای یک خازن  $10000$  میکروفارادی که تا  $100$  ولت باردار شده است و در یک مقاومت یک مگا اهمی تخلیه می‌شود در لحظه  $t = 0$  و در  $t = 100$  س بیابید.

یادآوری. ولتاژ اولیه  $I_0 R$  یا  $Q/C$  است، که در آن  $Q = \int_0^\infty I(t) dt$ .

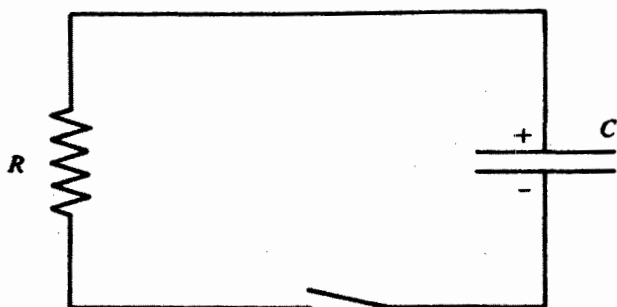
۲.۲.۸ تبدیل لاپلاس معادله بسل ( $n = 0$ ) به معادله زیر می‌انجامد

$$(s^2 + 1)f'(s) + sf(s) = 0$$

این معادله را برحسب  $f(s)$  حل کنید.

۳.۲.۸ کاهش جمعیت از طریق برخورد های فاجعه آمیز دو جسمی به کمک معادله زیر توصیف می‌شود.





شکل ۲.۸ مدار RC.

$$\frac{dN}{dt} = -kN^2$$

این معادله، یک معادله دیفرانسیل مرتبه اول غیرخطی است. تحقیق کنید که جواب این معادله به صورت زیر است

$$N(t) = N_0 \left(1 + \frac{t}{\tau_0}\right)^{-1}$$

که در آن  $\tau_0 = (kN_0)^{-1}$ . این رابطه بر نامتناهی بودن جمعیت در زمان  $t = -\tau_0$  دلالت می کند.

پاسخ. 
$$N(t) = N_0 \left(1 + \frac{t}{\tau_0}\right)^{-1}$$

۴.۲.۸ آهنگ واکنش شیمیایی خاص  $A + B \rightarrow C$  با غلظت واکنش دهنده های  $A$  و  $B$  متناسب است

$$\frac{dC(t)}{dt} = \alpha[A(0) - C(t)][B(0) - C(t)]$$

(الف)  $C(t)$  را به ازای  $A(0) \neq B(0)$  بیابید.

(ب)  $C(t)$  را به ازای  $A(0) = B(0)$  بیابید.

شرط اولیه عبارت است از:  $C(0) = 0$ .

۵.۲.۸ قایقی در حالی که در امتداد آب حرکت می کند در حال کناره گرفتن است. نیروی مقاومی متناسب با  $v^2$  بر آن وارد می آید.  $v$  سرعت لحظه ای قایق است. قانون دوم نیوتون در مورد این قایق به صورت زیر در می آید

$$m \frac{dv}{dt} = -kv^2$$

با شرایط  $v(t=0) = v_0$  و  $x(t=0) = 0$ ، از این معادله انتگرال بگیرید تا  $v$  را به صورت تابعی از زمان و نیز  $v$  را به صورت تابعی از فاصله به دست آورید.

۶.۴.۸ در معادله دیفرانسیل مرتبه اول  $dy/dx = f(x, y)$ ، تابع  $f(x, y)$  تابعی از نسبت  $y/x$  است، یعنی

$$\frac{dy}{dx} = g(y/x)$$

نشان دهید که جانشانی  $u = y/x$  به یک معادله تفکیک پذیر بر حسب  $u$  و  $x$  می انجامد.

۷.۴.۸ معادله دیفرانسیل

$$P(x, y)dx + Q(x, y)dy = 0$$

کامل است. جوابی به صورت زیر برای آن به دست آورید

$$\varphi(x, y) = \int_{x_0}^x P(x, y)dx + \int_{y_0}^y Q(x_0, y)dy = \text{const.}$$

۸.۴.۸ معادله دیفرانسیل

$$P(x, y)dx + Q(x, y)dy = 0$$

کامل است. اگر

$$\varphi(x, y) = \int_{x_0}^x P(x, y)dx + \int_{y_0}^y Q(x_0, y)dy$$

نشان دهید که

$$\frac{\partial \varphi}{\partial x} = P(x, y), \quad \frac{\partial \varphi}{\partial y} = Q(x, y)$$

از این رو،  $\varphi(x, y) = \text{const.}$  یکی از جوابهای معادله دیفرانسیل اصلی است.

۹.۴.۸ به شرط آنکه  $\alpha(x)$  در معادله (۱۳.۸) صدق کند، ثابت کنید مطابق با مفهوم معادله (۸.۸)، معادله (۱۱.۸) کامل است.

۱۰.۴.۸ یک معادله دیفرانسیل معین به صورت زیر است

$$f(x)dx + g(x)h(y)dy = 0$$

که در آن هیچکدام از توابع  $f(x)$ ،  $g(x)$  و  $h(y)$  متحد با صفر نیستند. نشان دهید که شرط لازم و کافی برای آنکه این معادله کامل باشد آن است که:  $g(x) = \text{const.}$

۱۱.۴.۸ با مشتقگیری از عبارت

$$y(x) = \exp\left[-\int^x p(t)dt\right] \left\{ \int^x \exp\left[\int^s p(t)dt\right] q(s)ds + C \right\}$$

و نشان دادن آن در معادله دیفرانسیل

$$\frac{dy}{dx} + p(x)y(x) = q(x)$$

نشان دهید که  $y(x)$  در عبارت بالا جواب این معادله دیفرانسیل است.

۱۲.۴.۸ حرکت جسمی را که در محیطی مقاوم سقوط می‌کند، می‌توان به صورت زیر توصیف کرد

$$m \frac{dv}{dt} = mg - bv$$

که در آن نیروی ترمزی با سرعت  $v$  متناسب است. سرعت را بیابید. با شرط  $v(0) = 0$ ، ثابت انتگرالگیری را پیدا کنید.

۱۳.۴.۸ واپاشی هسته‌های پرتوزا مطابق قانون زیر انجام می‌گیرد

$$\frac{dN}{dt} = -\lambda N$$

که در آن  $N$  غلظت یک نوکلید معین و  $\lambda$  ثابت واپاشی خاص آن است. در یک رشته پرتوزا شامل  $n$  نوکلید مختلف که با  $N_1$  شروع می‌شود، داریم

$$\frac{dN_1}{dt} = -\lambda_1 N_1$$

$$\frac{dN_2}{dt} = \lambda_1 N_1 - \lambda_2 N_2, \dots$$

با شرط  $N_1(0) = N_0$  و  $N_2(0) = 0$ ، کمیت  $N_2(t)$  را پیدا کنید.

۱۴.۴.۸ آهنک تبخیر از یک قطره کروی مایع معین (با چگالی ثابت) با مساحت سطح قطره متناسب است. با فرض آنکه تبخیر تنها منشأ اتلاف جرم باشد، شعاع قطره را به صورت تابعی از زمان پیدا کنید.

۱۵۰۲۰۸ در معادله دیفرانسیل خطی همگن

$$\frac{dv}{dt} = -av$$

متغیرها تفکیک پذیرند. وقتی متغیرها را جدا کنیم این معادله کامل است. این معادله را با شرط  $v(0) = v_0$  و با هر یک از روشهای زیر حل کنید  
(الف) تفکیک متغیرها و انتگرال گیری.

(ب) بررسی معادله با متغیرهای مجزا، به صورت یک معادله کامل.

(ج) بهره گیری از نتیجه مربوط به معادله دیفرانسیل خطی همگن.

$$\text{پاسخ. } v(t) = v_0 e^{-at}$$

۱۶۰۲۰۸ معادله برنولی

$$\frac{dy}{dx} + f(x)y = g(x)y^n$$

به ازای ۱ یا  $n \neq 0$  غیر خطی است. نشان دهید که جانشانی  $u = y^{1-n}$  معادله برنولی را به یک معادله خطی تبدیل می کند.

$$\text{پاسخ. } \frac{du}{dx} + (1-n)f(x)u = (1-n)g(x)$$

۱۷۰۲۰۸ معادله مرتبه اول خطی (۱۵۰۸) را با فرض  $y(x) = u(x)v(x)$  حل کنید، که در آن  $v(x)$  جوابی از معادله همگن متناظر  $[q(x) = 0]$  است. این همان روش دردش پادامترها منسوب به لاگرانژ است. این روش را برای معادلات مرتبه دوم در مسئله ۲۵۰۶۰۸ به کار می گیریم.

### ۳.۸ جداسازی (تفکیک) متغیرها - معادلات دیفرانسیل معمولی

معادلاتی که در فیزیک ریاضی مطرح می شوند و فهرستشان در بخش ۱.۸ آمد، جمله‌گی معادلات دیفرانسیل جزئی اند. نخستین روش، برای حل آنها عبارت است از تجزیه معادله دیفرانسیل جزئی  $n$  متغیره به  $n$  معادله دیفرانسیل معمولی. هر گونه جداسازی یک ثابت جداسازی دلخواه وارد معادله می کند. اگر  $n$  متغیر داشته باشیم باید  $n - 1$  ثابت وارد کنیم؛ شرایط حاکم بر وضعیت مسئله این ثابتها را تعیین می کنند.

روش جداسازی متغیرها در مورد معادله موج در مختصات دکارتی، استوانه‌ای، و قطبی کروی در بخش ۶.۲ (جلداول) مطرح شد. معادله موج در دستگاه مختصات قطبی کروی

$$\nabla^2 \psi + k^2 \psi = 0 \quad (19.8)$$

به این معادله سمتی انجامید

$$\frac{d^2\Phi(\varphi)}{d\varphi^2} + m^2\Phi(\varphi) = 0 \quad (20.8)$$

که در آن  $m^2$  - ثابت جداسازی است. برای آنکه نشان دهیم این ثابت چگونه تعیین می‌شود، خاطر نشان می‌سازیم که  $\varphi$  در مختصات قطبی کروی یک زاویه سمتی است. در نتیجه، در حوزة يك مسئله کلاسیکی، مسلماً باید  $\Phi(\varphi)$ ، جزء سمتی جواب، تک مقدار باشد، یعنی

$$\Phi(\varphi + 2\pi) = \Phi(\varphi) \quad (21.8)$$

این شرط معادل آن است که جواب سمتی، دوره‌ای برابر  $2\pi$  یا مضرب درستی از آن داشته باشد. بنا بر این  $m$  باید عدد درستی باشد. اینکه این عدد درست چقدر باشد به جزئیات مسئله بستگی دارد. درباره این موضوع در فصل ۹ بحث می‌کنیم. هرگاه مختصه‌ای مربوط به یک محور انتقال یا یک زاویه سمتی باشد، معادله تفکیک شده همواره برای  $\varphi$ ، زاویه سمتی، به صورت

$$\frac{d^2\Phi(\varphi)}{d\varphi^2} = -m^2\Phi(\varphi)$$

و برای  $z$ ، محور انتقال در یکی از دستگاههای مختصات استواندای، به این صورت است

$$\frac{d^2Z(z)}{dz^2} = \pm a^2Z(z) \quad (22.8)$$

روشن است که جوابها به‌دزای  $-a^2$  عبارت اند از  $\sin az$  و  $\cos az$ ، و به‌دزای  $+a^2$  عبارت اند از توابع هذلولوی (یا نمایی) متناظر  $\sinh az$  و  $\cosh az$ . معادله لژاندر

$$\frac{1}{\sin\theta} \frac{d}{d\theta} \left( \sin\theta \frac{d\Theta}{d\theta} \right) + l(l+1)\Theta = 0 \quad (23.8)$$

$$(1-x^2) \frac{d^2y}{dx^2} - 2x \frac{dy}{dx} + l(l+1)y = 0$$

۱. این شرط در بسیاری از مسائل کوانتوم مکانیکی نیز اعمال می‌شود، ولی در آنجا مستلزم برهان بسیار پیچیده‌تری است. اگر  $m$  عدد درست نباشد، روابط گروه چرخشی (بخش ۹.۴، جلد اول) و روابط عملگر نردبانی (بخش ۷.۱۲ را ببینید) برقرار نخواهد بود. مقایسه کنید با:

Merzbacher, E "Single Valuedness of Wave Functions," *Am. J. Phys.*, **30**, 237 (1962).

و معادله وابسته لژاندر، به قرار زیر، نیز فراوان ظاهر می شود

$$\frac{1}{\sin \theta} \frac{d}{d\theta} \left( \sin \theta \frac{d\Theta}{d\theta} \right) + l(l+1)\Theta - \frac{m^2}{\sin^2 \theta} \Theta = 0 \quad (24.8)$$

$$(1-x^2) \frac{d^2 y}{dx^2} - 2x \frac{dy}{dx} + l(l+1)y - \frac{m^2}{1-x^2} y = 0^*$$

همان گونه که در بخش ۶.۲ (جلداول) خاطر نشان شد، این معادلات هنگامی پیدا می شوند که  $\nabla^2$  در مختصات قطبی کروی به کار می رود. مختصات کره وار کشیده و پخت نیز به معادلات لژاندر و وابسته لژاندر می انجامند.

سومین معادله ای که بارها به آن برمی خوریم معادله دیفرانسیل بسل است

$$x^2 \frac{d^2 y}{dx^2} + x \frac{dy}{dx} + (x^2 - n^2)y = 0 \quad (25.8)$$

مختصات قطبی کروی و استوانه ای در بخشهای ۴.۲ و ۵.۲ (جلد اول) انواعی از معادله بسل را به دست دادند. جدا سازی متغیرهای معادله لاپلاس در مختصات سهموی نیز به معادله بسل می انجامد. باید بگوییم معادله بسل از آن جهت که می تواند صورتهای گوناگونی به خود بگیرد معادله ای مشهور است. جدول مشروحی از صورتهای مختلف تابع بسل در کتابی تألیف جانک و امده ارائه شده است.<sup>۱</sup>

معادلات دیفرانسیل معمولی دیگری که گهگاه به آنها برمی خوریم عبارت اند از معادلات لاگر و وابسته لاگر که در مسئله فوق العاده مهم اتم هیدروژن در مکانیک کوانتومی ظاهر می شوند

$$x \frac{d^2 y}{dx^2} + (1-x) \frac{dy}{dx} + \alpha y = 0 \quad (26.8)$$

$$x \frac{d^2 y}{dx^2} + (1+k-x) \frac{dy}{dx} + \alpha y = 0 \quad (27.8)$$

در حوزه نظریه کوانتوم مکانیکی نوسانگر خطی، معادله هر میت را داریم

$$\frac{d^2 y}{dx^2} - 2x \frac{dy}{dx} + 2\alpha y = 0 \quad (28.8)$$

\* این صورتهای از لحاظ جبری معادل اند و در آنها،  $x = \cos \theta$ .

1. Fourth revised edition. New York: Dover (1945), p.146.

نیز:

"Tables of Higher Functions", 6th ed. E. Jahnke, F. Emde, and F. Lössch, New York: McGraw-Hill (1960).

سرانجام، گهگاه معادلهٔ دیفرانسیل چیبیشف را پیدا می‌کنیم

$$(1-x^2)\frac{d^2y}{dx^2} - x\frac{dy}{dx} + n^2y = 0 \quad (29.8)$$

برای مراجعهٔ راحت‌تر، صورت جوابهای معادلهٔ لاپلاس، معادلهٔ هلمهولتز، و معادلهٔ پخش درمختصات قطبی کروی در جدول ۱۰.۸ گردآوری شده‌است. جوابهای معادلهٔ لاپلاس درمختصات استوانه‌ای در جدول ۲.۸ درج شده‌اند.

در مورد معادلهٔ هلمهولتز و معادلهٔ پخش ثابت  $k^2$  را به ثابت جداسازی  $\pm\alpha^2$  می‌افزاییم و پارامتر جدید  $\gamma^2$  یا  $-\gamma^2$  را تعریف می‌کنیم. در صورتی که  $(\gamma^2 > 0)$  را انتخاب کنیم  $J_m(\gamma\rho)$  و  $N_m(\gamma\rho)$  را به دست می‌آوریم با انتخاب  $-\gamma^2$  ( $\gamma^2 > 0$ ) مثل قبل به  $I_m(\gamma\rho)$  و  $K_m(\gamma\rho)$  دست می‌یابیم.

این معادلات دیفرانسیل معمولی و دو شکل تعمیم یافتهٔ آنها را در بخش بعد به صورتی سیستماتیک بررسی می‌کنیم. در فصل ۹ به بحث دربارهٔ خواص کلی ناشی از شکل معادلات دیفرانسیل می‌پردازیم. در فصلهای ۱۰ تا ۱۳ جوابهای تک‌تک این معادلات را پیدا و بررسی می‌کنیم.

جدول ۱۰.۸ جوابها درمختصات قطبی کروی \*

$$\psi = \sum_{l,m} a_{lm} \psi_{lm}$$

$$\nabla^2\psi = 0 \quad \psi_{lm} = \begin{Bmatrix} r^l \\ r^{-l-1} \end{Bmatrix} \begin{Bmatrix} P_l^m(\cos\theta) \\ Q_l^m(\cos\theta) \end{Bmatrix} \begin{Bmatrix} \cos m\varphi \\ \sin m\varphi \end{Bmatrix}^{\pm} \quad .1$$

$$\nabla^2\psi + k^2\psi = 0 \quad \psi_{lm} = \begin{Bmatrix} j_l(kr) \\ n_l(kr) \end{Bmatrix} \begin{Bmatrix} P_l^m(\cos\theta) \\ Q_l^m(\cos\theta) \end{Bmatrix} \begin{Bmatrix} \cos m\varphi \\ \sin m\varphi \end{Bmatrix}^{\pm} \quad .2$$

$$\nabla^2\psi - k^2\psi = 0 \quad \psi_{lm} = \begin{Bmatrix} i_l(kr) \\ k_l(kr) \end{Bmatrix} \begin{Bmatrix} P_l^m(\cos\theta) \\ Q_l^m(\cos\theta) \end{Bmatrix} \begin{Bmatrix} \cos m\varphi \\ \sin m\varphi \end{Bmatrix}^{\pm} \quad .3$$

\* مراجع برخی از این توابع عبارت‌اند از  $P_l^m(\cos\theta)$  به ازای  $m=0$ ، بخش ۱۰.۱۲؛ به ازای  $m \neq 0$ ، بخش ۵.۱۲؛  $Q_l^m(\cos\theta)$ ، بخش ۱۰.۱۲؛  $j_l(kr)$ ،  $n_l(kr)$ ،  $i_l(kr)$ ، و  $k_l(kr)$ ، بخش ۷.۱۱.

+ به جای  $\cos m\varphi$  و  $\sin m\varphi$  می‌توان قرارداد:  $e^{\pm im\varphi}$ .

$$\psi = \sum_{m,\alpha} a_{m\alpha} \psi_{m\alpha}, \quad \nabla^2 \psi = 0$$

$$\psi_{m\alpha} = \begin{Bmatrix} J_m(\alpha\rho) \\ N_m(\alpha\rho) \end{Bmatrix} \begin{Bmatrix} \cos m\varphi \\ \sin m\varphi \end{Bmatrix} \begin{Bmatrix} e^{-\alpha z} \\ e^{\alpha z} \end{Bmatrix} \quad (\text{الف})$$

$$\psi_{m\alpha} = \begin{Bmatrix} I_m(\alpha\rho) \\ K_m(\alpha\rho) \end{Bmatrix} \begin{Bmatrix} \cos m\varphi \\ \sin m\varphi \end{Bmatrix} \begin{Bmatrix} \cos \alpha z \\ \sin \alpha z \end{Bmatrix} \quad (\text{ب})$$

$$\psi_m = \begin{Bmatrix} \rho^m \\ \rho^{-m} \end{Bmatrix} \begin{Bmatrix} \cos m\varphi \\ \sin m\varphi \end{Bmatrix} \quad (\text{ج}) \text{ به‌ازای } \alpha = 0 \text{ (مستقل از } z \text{)}$$

\* مراجع توابع شعاعی عبارت‌اند از:  $J_m(\alpha\rho)$ ، بخش (۱.۱۱)،  $N_m(\alpha\rho)$ ، بخش (۳.۱۱)،  $I_m(\alpha\rho)$  و  $K_m(\alpha\rho)$ ، بخش (۵.۱۱).

دست‌اندرکاران فیزیک احتمالاً به معادلات دیفرانسیل مرتبه دوم معمولی دیسگری نیز برمی‌خورند، که برخی از آنها را می‌توان به نمونه‌هایی که در اینجا بررسی می‌کنیم، تبدیل کرد. برخی از این معادلات دیفرانسیل را می‌توان به کمک روشهایی که در بخشهای ۵.۸ و ۶.۸ خواهیم آموخت، حل کرد. در مورد بقیه، برای یافتن جوابهای عددی، باید از ماشین محاسبه یاری جست.

### مسائل

۱۰۳۰۸ عملگر تکانه زاویه‌ای کوانتوم مکانیکی با رابطه  $L = -i(\mathbf{r} \times \nabla)$  بیان می‌شود. نشان دهید که

$$L \cdot L \psi = l(l+1)\psi$$

به معادله وابسته لژاندر می‌انجامد.

۱۰۳۰۹. مسائل ۹.۹.۱ و ۱۶.۵.۲ (جلداول) می‌توانند به حل این مسئله کمک کنند.

۲۰۳۰۸ معادله موج شرودینگر یک بعدی برای ذره‌ای در میدان پتانسیل  $V = (1/2)kx^2$  به



صورت زیر است

$$-\frac{\hbar^2}{2m} \frac{d^2\psi}{dx^2} + \frac{1}{2} kx^2\psi = E\psi(x)$$

(الف) با استفاده از  $\xi = ax$  و ثابت  $\lambda$ ، داریم

$$a = \left(\frac{mk}{\hbar^2}\right)^{1/4}$$

$$\lambda = \frac{2E}{\hbar} \left(\frac{m}{k}\right)^{1/2}$$

نشان دهید که

$$\frac{d^2\psi(\xi)}{d\xi^2} + (\lambda - \xi^2)\psi(\xi) = 0$$

(ب) از طریق جاننشانی

$$\psi(\xi) = y(\xi)e^{-\xi^2/2}$$

نشان دهید که  $y(\xi)$  در معادلهٔ دیفرانسیل هرمیت صدق می‌کند.

۳۰۳۰۸ تحقیق کنید که توابع زیر جوابهای معادلهٔ لاپلاس اند.

$$\psi_1 = 1/r \quad (\text{الف})$$

$$\psi_2 = \frac{1}{2r} \ln \frac{r+z}{r-z} \quad (\text{ب})$$

۴۰۳۰۸ اگر  $\Psi$  جواب معادلهٔ لاپلاس،  $\nabla^2\Psi = 0$ ، باشد، نشان دهید که  $\partial\Psi/\partial z$  نیز یک جواب است.

یادآوردی. مشتقهای  $1/r$  نسبت به  $z$  چند جمله‌ایهای لژاندر،  $P_n(\cos\theta)$ ، را تولید می‌کنند (مسئلهٔ ۷۰۱۰۱۲ را ببینید). مشتقهای  $(1/2r)\ln[(r+z)/(r-z)]$  نسبت به  $z$ ، توابع لژاندر  $Q_n(\cos\theta)$  را تولید می‌کند.

### ۴.۸ نقاط تکین

در این بخش با مفهوم نقطهٔ تکین یا تکینگی (به طوری که در یک معادلهٔ دیفرانسیل به کار می‌رود) آشنا می‌شویم. دلیل توجه به این مفهوم از آنجا سرچشمه می‌گیرد که به کمک آن می‌توان: (۱) معادلات دیفرانسیل را رده‌بندی کرد، و (۲) امکان وجود جوابی به صورت سری را بررسی

کرد. این امکان مبحث قضیه فوش در بخشهای ۵.۸ و ۶.۸ را تشکیل می‌دهد. نخست به تعریف تکینگی می‌پردازیم.

از همه معادلات دیفرانسیل معمولی که فهرست آنها را در بخش ۳.۸ آوردیم می‌توان  $d^2y/dx^2$  را به دست آورد. با استفاده از نماد  $y'' = d^2y/dx^2$  داریم<sup>۱</sup>

$$y'' = f(x, y, y') \quad (30.8)$$

حال اگر در معادله (۳۰.۸)،  $y'$  و  $y$  در نقطه  $x = x_0$ ، بتوانند همه مقادیر متناهی را بگیرند و  $y''$  متناهی بماند، نقطه  $x = x_0$  يك نقطه معمولی است. از سوی دیگر، اگر  $y''$  به ازای هر گزینۀ متناهی  $y$  و  $y'$ ، نامتناهی شود نقطه  $x = x_0$  نقطه‌ای است تکین. روش دیگر بیان این تعریف نقطه تکین آن است که معادله دیفرانسیل همگن را به صورت زیر بنویسیم

$$y'' + P(x)y' + Q(x)y = 0 \quad (31.8)$$

حال اگر  $P(x)$  و  $Q(x)$  در  $x = x_0$  متناهی باقی بمانند، نقطه  $x = x_0$  يك نقطه معمولی است. ولی اگر  $P(x)$  یا  $Q(x)$  (یا هر دو) به ازای  $x \rightarrow x_0$  واگرا شود، نقطه  $x_0$  يك نقطه تکین است.

با استفاده از معادله (۳۱.۸) می‌توانیم دو نوع نقطه تکین تمیز دهیم:

۱. اگر به ازای  $x \rightarrow x_0$ ،  $P(x)$  یا  $Q(x)$  واگرا شود، ولی  $(x - x_0)P(x)$  و  $(x - x_0)^2Q(x)$  در  $x \rightarrow x_0$  متناهی بمانند، آنگاه  $x = x_0$  را يك نقطه تکین غیر اساسی یا منظم می‌نامند.

۲. اگر  $P(x)$  سریعتر از  $1/(x - x_0)$  واگرا شود، به طوری که با  $x \rightarrow x_0$ ، کمیت  $(x - x_0)P(x)$  نامتناهی شود، یا  $Q(x)$  سریعتر از  $1/(x - x_0)^2$  واگرا شود، به طوری که  $(x - x_0)^2Q(x)$  نامتناهی شود، آنگاه نقطه  $x = x_0$  را به يك تکینگی اساسی یا نامنظم نسبت می‌دهیم.

این تعریفها به ازای همه مقادیر متناهی  $x_0$  صادق‌اند. تحلیل نقطه  $x \rightarrow \infty$  به بررسی توابع متغیر مختلط شبیه‌است (بخش ۶.۶، جلد اول). در معادله دیفرانسیل به جای  $x$  کمیت  $1/z$  را می‌نشانیم، آنگاه  $z$  را به سمت صفر میل می‌دهیم. با تغییر متغیر در مشتقات، داریم

$$\frac{dy(x)}{dx} = \frac{dy(z^{-1})}{dz} \frac{dz}{dx} = -\frac{1}{x^2} \frac{dy(z^{-1})}{dz} = -z^2 \frac{dy(z^{-1})}{dz} \quad (32.8)$$

۱. این نمادگذاری پریم،  $y' = dy/dx$ ، را لاگرانژ در اواخر قرن هیجدهم به عنوان مخفی برای نماد سریعتر ولی دست و پاگیرتر لایب‌نیتس،  $dy/dx$ ، به مباحث ریاضی وارد کرد.

$$\frac{d^2 y(x)}{dx^2} = \frac{d}{dz} \left[ \frac{dy(x)}{dx} \right] \frac{dz}{dx} = (-z^2) \left[ -2z \frac{dy(z^{-1})}{dz} - z^2 \frac{d^2 y(z^{-1})}{dz^2} \right] \quad (33.8)$$

$$= 2z^3 \frac{dy(z^{-1})}{dz} + z^4 \frac{d^2 y(z^{-1})}{dz^2}$$

با استفاده از این نتایج، معادله (۳۱.۸) را به معادله زیر تبدیل می‌کنیم

$$z^4 \frac{d^2 y}{dz^2} + [2z^3 - z^2 P(z^{-1})] \frac{dy}{dz} + Q(z^{-1})y = 0 \quad (34.8)$$

پس رفتار  $y''$  در  $(z=0)x=\infty$  به رفتار ضرایب جدید

$$\frac{2z - P(z^{-1})}{z^2} \quad \text{و} \quad \frac{Q(z^{-1})}{z^4}$$

در حالت  $z \rightarrow 0$  بستگی دارد. اگر این دو عبارت متناهی بمانند، نقطه  $x = \infty$  یک نقطه معمولی است. اگر این عبارتها، به ترتیب، سریعتر از  $1/z$  و  $1/z^2$  واگرا نشوند، نقطه  $x = \infty$  یک نقطه تکین منظم، و در غیر این صورت یک نقطه تکین نامنظم (تکینگی اساسی) است.

#### مثال ۱۰۴.۸

معادله بسل عبارت است از

$$x^2 y'' + x y' + (x^2 - n^2) y = 0 \quad (35.8)$$

در مقایسه با معادله (۳۱.۸)، داریم

$$P(x) = \frac{1}{x} \quad \text{و} \quad Q(x) = 1 - \frac{n^2}{x^2}$$

که نشان می‌دهد نقطه  $x = 0$  یک تکینگی منظم است. با دقت نظر می‌بینیم که در گستره متناهی هیچ نقطه تکین دیگری وجود ندارد. به ازای  $x = \infty$ ، با استفاده از معادله (۳۴.۸)، به ضرایب زیر می‌رسیم

$$\frac{2z - z}{z^2} \quad \text{و} \quad \frac{1 - n^2 z^2}{z^4}$$

از آنجا که با  $x \rightarrow \infty$  ( $z \rightarrow 0$ )، عبارت سمت راست بالا به صورت  $z^{-2}$  واگرا می‌شود، نقطه  $x = \infty$  یک تکینگی اساسی یا نامنظم است.

در جدول ۳.۸ نقاط تکین معادلات دیفرانسیل معمولی بخش ۳.۸، به اضافه دو معادله

تکینگی نامنظم $x =$	تکینگی منظم $x =$	معادله
—	$\infty, 1, 0$	۱. فوق هندسی $x(x-1)y'' + [(1+a+b)x-c]y' + aby = 0$
—	$\infty, 1, -1$	۲. لژاندر* $(1-x^2)y'' - 2xy' + l(l+1)y = 0$
—	$\infty, 1, -1$	۳. چیشف $(1-x^2)y'' - xy' + n^2y = 0$
$\infty$	۰	۴. فوق هندسی همشار $xy'' + (c-x)y' - ay = 0$
$\infty$	۰	۵. بسل $x^2y'' + xy' + (x^2 - n^2)y = 0$
$\infty$	۰	۶. لاگر* $xy'' + (1-x)y' + ay = 0$
$\infty$	—	۷. نوسانگر هماهنگ ساده $y'' + \omega^2y = 0$
$\infty$	—	۸. هر میت $y'' - 2xy' + 2\alpha y = 0$

\* معادلات وابسته نیز همین نقاط تکین را دارند.

دیگر، معادلات فوق هندسی و فوق هندسی همشار، درج شده است. سه معادله نخست در جدول فوق، یعنی معادلات فوق هندسی و لژاندر و چیشف، جمله‌گی سه نقطه تکین منظم دارند. معادله فوق هندسی اتکینگیهای منظم در  $0, 1, \infty$  را استاندارد یا صورت بندادی می‌گیریم. آنگاه می‌توان جواب دو معادله دیگر را بر حسب جوابهای این معادله، یعنی توابع فوق هندسی، مشخص کرد. این کار را در فصل ۱۳ انجام می‌دهیم. به همین ترتیب، معادله فوق هندسی همشار را شکل بندادی يك معادله دیفرانسیل مرتبه دوم خطی با يك نقطه تکین منظم و يك نقطه تکین نامنظم می‌گیریم.

مسائل

۱۰۴۰۸ نشان دهید که معادله لزاندر در  $x = -1$ ,  $x = 1$ , و  $x = \infty$  تکینگیهای منظمی دارد.

۲۰۴۰۸ نشان دهید که معادله لاگر نیز مانند معادله بسل در  $x = 0$  يك تکینگی منظم و در  $x = \infty$  يك تکینگی نامنظم دارد.

۳۰۴۰۸ نشان دهید که جانشانی

$$x \rightarrow \frac{1-x}{y}, \quad a = -1, \quad b = 1+1, \quad c = 1$$

معادله فوق هندسی را به معادله لزاندر تبدیل می کند.

۵۰۸ جوابهای به صورت سری - روش فروبنیوس

در این بخش روشی را برای یافتن یکی از جوابهای معادله دیفرانسیل همگن مرتبه دوم خطی مطرح می کنیم. این روش، که بسط سری است، به شرط آنکه نقطه بسط از يك نقطه تکین منظم بدتر نباشد، همواره به کار می آید. این شرط بسیار ساده تقریباً همواره در فیزیک برقرار است.

يك معادله دیفرانسیل همگن مرتبه دوم خطی را می توان به شکل زیر بیان کرد

$$\frac{d^2 y}{dx^2} + P(x) \frac{dy}{dx} + Q(x)y = 0 \quad (36.8)$$

این معادله همگن است زیرا، هر يك از جمله های آن شامل  $y(x)$  یا یکی از مشتقهای آن است؛ خطی است، زیرا  $y$ ,  $dy/dx$ , یا  $d^2 y/dx^2$  تنها با توان يك در آن ظاهر می شوند و هیچ جمله ای نیز که شامل حاصلضرب آنها باشد وجود ندارد. در این بخش (دست کم) یکی از جوابهای معادله (۳۶.۸) را پیدا می کنیم. در بخش ۶۰۸ دومین جواب مستقل را پیدا و ثابت می کنیم که هیچ جواب مستقل سومی وجود ندارد. بنابراین، عموماً بهترین جواب معادله (۳۶.۸) را می توان به صورت زیر نوشت

$$y(x) = c_1 y_1(x) + c_2 y_2(x) \quad (37.8)$$

ممکن است مسئله فیزیکی ما به يك معادله دیفرانسیل مرتبه دوم ناهمگن منجر شود

$$\frac{d^2 y}{dx^2} + P(x) \frac{dy}{dx} + Q(x)y = F(x) \quad (38.8)$$

تابع سمت راست،  $F(x)$ ، يك چشمه (مانند بار الکتروستاتیکی)، یا يك نیروی محرک (مثل

مورد نوسانگر واداشته) را به نمایش می گذارد. در مسئله ۲۵.۶.۸ به اختصار به جواب خصوصی این معادله ناهمگن می پردازیم. در بخشهای ۷.۸، ۵.۱۶، و ۶.۱۶ با استفاده از تکنیکهای تابع گرین، و در بخش ۱۱.۱۵ با استفاده از تکنیک تبدیل لاپلاس به بررسی مشروحتر این جواب خصوصی می پردازیم. این جواب را  $y_p$  می نامیم، و می توانیم به آن، هر یک از جوابهای معادله همگن متناظر [معادله (۳۶.۸)] را بیفزاییم. بنابراین، عمومترین جواب معادله (۳۸.۸) عبارت است از

$$y(x) = c_1 y_1(x) + c_2 y_2(x) + y_p(x) \quad (39.8)$$

ثابتهای  $c_1$  و  $c_2$  را به کمک شرایط مرزی تعیین می کنیم. فعلاً، می گیریم:  $F(x) = 0$ ، یعنی فرض می کنیم معادله دیفرانسیل ما همگن است. سعی خواهیم کرد که با نشان دادن یک سری توانی به جای ضرایب مجهول، یکی از جوابهای معادله دیفرانسیل همگن مرتبه دوم خطی، معادله (۳۶.۸)، را به دست آوریم. در این سری کوچکترین توان با ضریب غیر صفر نیز پارامتری است که باید تعیین شود. برای آنکه این روش را نشان دهیم، آن را در دو معادله دیفرانسیل مهم به کار می گیریم. نخست، معادله نوسانگر خطی

$$\frac{d^2 y}{dx^2} + \omega^2 y = 0 \quad (40.8)$$

که می دانیم جوابهای آن عبارت اند از:  $\sin \omega x$  و  $\cos \omega x$ . سری زیر را امتحان می کنیم

$$y(x) = x^k (a_0 + a_1 x + a_2 x^2 + a_3 x^3 + \dots) \quad (41.8)$$

$$= \sum_{\lambda=0}^{\infty} a_{\lambda} x^{k+\lambda}, \quad a_0 \neq 0$$

که در آن توان  $k$  و همه ضرایب  $a_{\lambda}$  مجهول اند. دقت کنید که لازم نیست  $k$  عددی درست باشد. با دوبار مشتقگیری خواهیم داشت

$$\frac{dy}{dx} = \sum_{\lambda=0}^{\infty} a_{\lambda} (k+\lambda) x^{k+\lambda-1}$$

$$\frac{d^2 y}{dx^2} = \sum_{\lambda=0}^{\infty} a_{\lambda} (k+\lambda)(k+\lambda-1) x^{k+\lambda-2}$$

با نشان دادن در معادله (۴۰.۸)، داریم

$$\sum_{\lambda=0}^{\infty} a_{\lambda} (k+\lambda)(k+\lambda-1) x^{k+\lambda-2} + \omega^2 \sum_{\lambda=0}^{\infty} a_{\lambda} x^{k+\lambda} = 0 \quad (42.8)$$

باتوجه به یکتایی سری توانی (فصل ۵)، ضریب تک تک توانهای  $x$  در سمت چپ معادله (۴۲.۸) باید صفر شود.

کوچکترین توانی از  $x$  که در معادله (۴۲.۸) ظاهر می شود، عبارت است از  $2-k$  که به ازای  $\lambda = 0$  در نخستین مجموعیابی به دست می آید. شرط حذف شدن این ضریب، معادله زیر را به دست می دهد

$$a_0 k(k-1) = 0$$

$a_0$  ضریب جمله غیر صفر سری [معادله (۴۱.۸)] به ازای کمترین مقدار  $\lambda$  است، بنابراین مطابق تعریف،  $a_0 \neq 0$ . بنابراین، داریم

$$k(k-1) = 1 \quad (43.8)$$

این معادله را که از ضریب جمله به ازای کمترین مقدار  $\lambda$  به دست می آید، معادله اندیسی می نامیم. معادله اندیسی و ریشه هایش در بررسی مانقشی اساسی بازی می کنند. روشن است که در این مثال باید  $k$  را  $0$  یا  $1$  بگیریم.

قبل از آنکه این دو امکان مختلف را در نظر بگیریم، به معادله (۴۲.۸) بازمی گردیم، و بقیه ضرایب خالص، مثلاً ضریب  $x^{k+j}$  ( $j \geq 0$ ) را نیز برابر صفر قرار می دهیم.  $\lambda$  را در مجموعیابی اول برابر  $2+j$  و در مجموعیابی دوم برابر  $j$  اختیار می کنیم. (این مجموعیابها از یکدیگر مستقل اند و  $\lambda$  شاخصی ظاهری است.) در نتیجه

$$a_{j+2}(k+j+2)(k+j+1) + \omega^2 a_j = 0$$

یا

$$a_{j+2} = -a_j \frac{\omega^2}{(k+j+2)(k+j+1)} \quad (44.8)$$

این عبارت یک رابطه بازگشتی دو جمله ای است. با داشتن  $a_j$ ، می توانیم  $a_{j+2}$  و سپس  $a_{j+4}$ ،  $a_{j+6}$ ، والی آخر را محاسبه کنیم. توجه کنید که اگر از  $a_0$  شروع کنیم، معادله (۴۴.۸) تمام ضرایب زوج  $a_2$ ،  $a_4$ ، و  $a_6$  الی آخر را به ما می دهد و از  $a_1$  و  $a_3$  و  $a_5$  و مانند آنها چشمپوشی می کند. از آنجا که  $a_1$  کمیتی اختیاری است، آنرا برابر صفر می گیریم (با مسائل ۳.۵.۸ و ۴.۵.۸ مقایسه کنید)، آنگاه از (۴۴.۸) داریم

$$a_3 = a_5 = a_7 = \dots = 0$$

۱. یکتایی سری توانی، بخش ۷.۵ (جلد اول).

۲. رابطه بازگشتی ممکن است حاوی سه جمله باشد، یعنی  $a_{j+2}$  وابسته به  $a_j$  و  $a_{j-2}$ . معادله (۱۲.۱۳) در مورد توابع هرمیت مثالی است برای تعیین نوع این رفتار.

و تمام ضرایب یا شماره فرد صفر می شوند. این جمله‌هایی که از آنها چشم پوشیده‌ایم مشکلی ایجاد نمی کنند؛ هدف ما آن است که یکی از جوابها را به دست آوریم. هنگامی که ریشه دوم معادله اندیسی را به کار می بریم توانهایی که از آنها چشم پوشیده‌ایم، عملاً دوباره پدیدار می شوند.

بد معادله اندیسی، معادله (۴۳.۸)، بازمی گردیم، ابتدا جواب  $k=0$  را امتحان می کنیم. رابطه بازگشتی [معادله (۴۴.۸)] بد صورت زیر درمی آید

$$a_{j+2} = -a_j \frac{\omega^2}{(j+2)(j+1)} \quad (45.8)$$

که منجر می شود به

$$a_2 = -a_0 \frac{\omega^2}{1 \times 2} = -\frac{\omega^2}{2!} a_0$$

$$a_4 = -a_2 \frac{\omega^2}{3 \times 4} = +\frac{\omega^4}{4!} a_0$$

$$a_6 = -a_4 \frac{\omega^2}{5 \times 6} = -\frac{\omega^6}{6!} a_0, \dots$$

با دقت نظر (واستقرای ریاضی)، بی می بریم که

$$a_{2n} = (-1)^n \frac{\omega^{2n}}{(2n)!} a_0 \quad (46.8)$$

و جواب ما بدین قرار است

$$y(x)_{k=0} = a_0 \left[ 1 - \frac{(\omega x)^2}{2!} + \frac{(\omega x)^4}{4!} - \frac{(\omega x)^6}{6!} + \dots \right] \quad (47.8)$$

$$= a_0 \cos \omega x$$

اگر ریشه  $k=1$  معادله اندیسی [معادله (۴۴.۸)] را برگزینیم، رابطه بازگشتی چنین خواهد شد

$$a_{j+2} = -a_j \frac{\omega^2}{(j+3)(j+2)} \quad (48.8)$$

$j$  را به ترتیب برابر صفر و ۲ و ۴ می گیریم، و خواهیم داشت



$$a_2 = -a_0 \frac{\omega^2}{2 \times 3} = -\frac{\omega^2}{3!} a_0$$

$$a_4 = -a_2 \frac{\omega^2}{4 \times 5} = +\frac{\omega^4}{5!} a_0$$

$$a_6 = -a_4 \frac{\omega^2}{6 \times 7} = -\frac{\omega^6}{7!} a_0, \dots$$

در اینجا نیز، بادقت نظر واستقرای ریاضی، به این نتیجه می‌رسیم

$$a_{2n} = (-1)^n \frac{\omega^{2n}}{(2n+1)!} a_0 \quad (49.8)$$

باین انتخاب،  $k=1$ ، خواهیم داشت

$$\begin{aligned} y(x)_{k=1} &= a_0 x \left[ 1 - \frac{(\omega x)^2}{3!} + \frac{(\omega x)^4}{5!} - \frac{(\omega x)^6}{7!} + \dots \right] \\ &= \frac{a_0}{\omega} \left[ (\omega x) - \frac{(\omega x)^3}{3!} + \frac{(\omega x)^5}{5!} - \frac{(\omega x)^7}{7!} + \dots \right] \quad (50.8) \\ &= \frac{a_0}{\omega} \sin \omega x \end{aligned}$$

برای جمع‌بندی این رهیافت، می‌توانیم معادله (۴۲.۸) را به صورت طرحواره نمایش یافته در شکل ۳.۸ بنویسیم. با توجه به یکتایی سری توانی (بخش ۷.۵، جلد اول)، ضریب کل هر یک از توانهای  $x$  باید به تنهایی صفر شود. شرط صفر شدن اولین ضریب (۱) به معادله اندیسی (۴۳.۸) می‌انجامد، دومین ضریب را با فرض  $a_1 = 0$ ، صفر می‌کنیم. صفر شدن ضریب  $x^k$  (و توانهای بالاتر که یکی یکی در نظر گرفته می‌شوند) به رابطه بازگشتی (۴۴.۸) می‌انجامد.

$$\begin{array}{ccccccc} (1) & & (2) & & (3) & & (4) \\ \boxed{a_0 k(k-1)} x^{k-2} & + & \boxed{a_1(k+1)k} x^{k-1} & + & \boxed{a_2(k+2)(k+1)} x^k & + & \boxed{a_3(k+3)(k+2)} x^{k+1} + \dots \\ \underbrace{\hspace{1.5cm}}_{=0} & & \underbrace{\hspace{1.5cm}}_{=0} & & \underbrace{\hspace{1.5cm}}_{=0} & & \underbrace{\hspace{1.5cm}}_{=0} \end{array}$$

شکل ۳.۸

این جانناندن سری که به روش فروبنیوس معروف است، دوجواب سری برای معادله نوسانگر خطی به دست داده است. ولی دو نکته در مورد چنین جوابهای به صورت سری وجود دارد که باید قویاً بر آنها تأکید ورزیم:

۱. جواب سری را همواره، برای نگه داشتن جانب احتیاط در مقابل خطاهای جبری و منطقی، باید در معادله دیفرانسیل قرارداد و بررسی کرد که آیا درست است یا خیر. اگر درست بود، آنگاه آن را یک جواب می دانیم.
۲. قابلیت قبول جواب سری به همگرایی آن (شامل همگرایی مجانبی) بستگی دارد. در روش فروبنیوس کاملاً میسر است که یک جواب سری به دست می آوریم که وقتی آن را در معادله دیفرانسیل اصلی قرار می دهیم، کاملاً در آن صدق کند، ولی در گستره مورد نظر همگرا نباشد. این وضعیت در معادله دیفرانسیل لژاندر به چشم می خورد.

بسط حول  $x_0$

معادله (۴۱.۸) بسط حول مبدأ  $x_0 = 0$  است. به خوبی می توان به جای معادله (۴۱.۸)، معادله زیر را به کار برد

$$y(x) = \sum_{\lambda=0}^{\infty} a_{\lambda} (x - x_0)^{\lambda}, \quad a_0 \neq 0 \neq 0 \quad (51.8)$$

درواقع گزینه  $x_0 = 1$  برای معادله های لژاندر، چیشف، و فوق هندسی مزیت هایی هم دارد. نقطه  $x$  نباید یک تکینگی اساسی باشد، وگرنه روش فروبنیوس احتمالاً کارساز نخواهد بود. سری حاصل (که در آن  $x_0$  یک نقطه معمولی یا یک نقطه تکین منظم است) هر جا که همگرا باشد برقرار است. هرگاه  $|x - x_0| = |z_0 - x_0|$ ، که در آن  $z_0$  نزدیکترین تکینگی به  $x_0$  در صفحه مختلط است، می توان انتظار نوعی واگرایی را داشت.

تقارن جوابها

خواننده هوشیار به این نکته توجه خواهد کرد که یک جواب با تقارن زوج  $y_1(x) = y_1(-x)$ ، و یک جواب با تقارن فرد  $y_2(x) = -y_2(-x)$  به دست آورده ایم. این موضوع اتفاقی نیست بلکه پیامد مستقیم صورت معادله دیفرانسیل است. معادله دیفرانسیل عام را می توان به صورت زیر نوشت

$$\mathcal{L}(x)y(x) = 0 \quad (52.8)$$

که در آن  $\mathcal{L}(x)$  عملگر دیفرانسیلی است. می بینیم که  $\mathcal{L}(x)$  در معادله نوسانگر خطی (۴۰.۸) زوج است؛ یعنی

$$\mathcal{L}(x) = \mathcal{L}(-x) \quad (53.8)$$

این خاصیت را غالباً پاریتته زوج می نامند.

هرگاه عملگر دیفرانسیلی دارای تقارن یا پاریته معینی، خواه زوج یا فرد، باشد، می توانیم  $+x$  و  $-x$  را با هم تعویض کنیم و معادله (۵۲.۸) به صورت زیر درمی آید

$$\pm \mathcal{L}(x)y(-x) = 0 \quad (54.8)$$

علامت  $+$  برای حالت زوج  $\mathcal{L}(x)$ ، و علامت  $-$  برای وقتی که  $\mathcal{L}(x)$  فرد باشد. روشن است که اگر  $y(x)$  جواب معادله دیفرانسیل باشد،  $y(-x)$  نیز جواب آن است. آنگاه هر جواب را می توان به دو بخش زوج و فرد تجزیه کرد

$$y(x) = \frac{1}{2} [y(x) + y(-x)] + \frac{1}{2} [y(x) - y(-x)] \quad (55.8)$$

کروشه اول سمت راست یکی از جوابهای زوج و کروشه دوم یکی از جوابهای فرد معادله است.

اگر بدبخش ۴.۸ بازگردیم می توانیم ببینیم که معادله های (یا عمگرهای دیفرانسیلی) لژاندر، چیشف، بسل، نوسانگر هماهنگ ساده، و هرمیت، جملگی همین پاریته زوج را نمایش می دهند. جوابهای همه آنها را می توان به صورت یک سری از توانهای زوج  $x$  و سری مجزای دیگری از توانهای فرد  $x$  نوشت. معادله دیفرانسیل لاگر نه تقارن زوج دارد و نه فرد، از این رو نمی توان انتظار داشت که جوابهای آن پاریته زوج یا فرد نشان دهند. تأکید ما بر پاریته اساساً به دلیل اهمیت آن در مکانیک کوانتومی است. بی خواهیم برد که تابع موجها معمولاً یا زوج اند یا فرد؛ به این معنی که دارای پاریته معینی هستند. بیشتر برهم کنشها هم یا زوج اند و یا فرد (به استثنای واپاشی بتا)، در نتیجه پاریته پایسته است.

#### محدودیتهای رهیافت سری - معادله بسل

حل معادله نوسانگر خطی شاید کمی بیش از حد آسان بود. با نشان دادن سری توانی (۴۱.۸) در معادله دیفرانسیل (۴۰.۸)، بدون کوچکترین زحمتی دو جواب مستقل به دست آوردیم. برای آنکه ببینیم چه پیش می آید در جهت حل معادله بسل تلاش می کنیم

$$x^2 y'' + x y' + (x^2 - n^2) y = 0 \quad (56.8)$$

که در آن  $y' = dy/dx$  و  $y'' = d^2 y/dx^2$ . در اینجا نیز، فرض می کنیم که جوابی به صورت زیر داریم

$$y(x) = \sum_{\lambda=0}^{\infty} a_{\lambda} x^{k+\lambda}$$

مشتق می گیریم و در معادله (۵۶.۸) قرار می دهیم. در نتیجه خواهیم داشت

$$\sum_{\lambda=0}^{\infty} a_{\lambda}(k+\lambda)(k+\lambda-1)x^{k+\lambda} + \sum_{\lambda=0}^{\infty} a_{\lambda}(k+\lambda)x^{k+\lambda} + \sum_{\lambda=0}^{\infty} a_{\lambda}x^{k+\lambda+2} - \sum_{\lambda=0}^{\infty} a_{\lambda}n^2x^{k+\lambda} = 0 \quad (57.8)$$

با قراردادن  $\lambda = 0$ ، ضریب  $x^k$ ، پایینترین توانی از  $x$  را که درست چپ ظاهر می‌شود، به دست می‌آوریم

$$a_0[k(k-1) + k - n^2] = 0 \quad (58.8)$$

باز مطابق تعریف داریم  $a_0 \neq 0$ . از این رو معادله اندیسی را از معادله (58.8) به دست می‌آوریم

$$k^2 - n^2 = 0 \quad (59.8)$$

که جوابهای آن عبارت‌اند از:  $k = \pm n$ . بررسی ضریب  $x^{k+1}$  نیز جالب است. در این مورد خواهیم داشت

$$a_1[(k+1)k + k + 1 - n^2] = 0$$

یا

$$a_1(k+1-n)(k+1+n) = 0 \quad (60.8)$$

که به ازای  $k = \pm n$  نه  $k+1-n$  صفر است و نه  $k+1+n$ ؛ و باید داشته باشیم  $a_1 = 0$

به کار خود ادامه می‌دهیم و ضریب  $x^{k+j}$  را به ازای  $k = n$  بررسی می‌کنیم.  $\lambda$  رادر جمله‌های اول، دوم، و چهارم معادله (57.8) برابر  $j$  و در جمله سوم برابر  $j-2$  می‌گیریم. با فرض آنکه ضریب حاصل باید صفر باشد، داریم

$$a_j[(n+j)(n+j-1) + (n+j) - n^2] + a_{j-2} = 0$$

به جای  $j$  کمیت  $j+2$  را می‌نشانیم و می‌نویسیم

$$a_{j+2} = -a_j \frac{1}{(j+2)(2n+j+2)} \quad (61.8)$$

که همان رابطه بازگشتی مورد نظر است. با کاربرد متوالی این رابطه بازگشتی روابط زیر را خواهیم داشت

---


$$k = \pm n = -(1/2). 1$$

$$a_2 = -a_0 \frac{1}{2(2n+2)} = -\frac{a_0 n!}{2^2 1!(n+1)!}$$

$$a_4 = -a_2 \frac{1}{4(2n+4)} = +\frac{a_0 n!}{2^4 2!(n+2)!}$$

$$a_6 = -a_4 \frac{1}{6(2n+6)} = -\frac{a_0 n!}{2^6 3!(n+3)!}, \dots$$

و به طور کلی

$$a_{2p} = (-1)^p \frac{a_0 n!}{2^{2p} p!(n+p)!} \quad (۶۲.۸)$$

با نشان دادن این ضرایب در جواب سری مفروض، داریم

$$y(x) = a_0 x^n \left[ 1 - \frac{n! x^2}{2^2 \times 1!(n+1)!} + \frac{n! x^4}{2^4 \times 2!(n+2)!} - \dots \right] \quad (۶۳.۸)$$

به صورت مجموعیایی داریم

$$y(x) = a_0 \sum_{j=0}^{\infty} (-1)^j \frac{n! x^{n+2j}}{2^{2j} j!(n+j)!} \quad (۶۴.۸)$$

$$= a_0 2^n n! \sum_{j=0}^{\infty} (-1)^j \frac{1}{j!(n+j)!} \left(\frac{x}{2}\right)^{n+2j}$$

در فصل ۱۱، این مجموعیایی اخیر را تابع بسل  $J_n(x)$  خواهیم نامید. دقت کنید که جواب

$J_n(x)$ ، همان گونه که از صورت معادله بسل برمی آید، یا تقارن زوج دارد یا فرد.

اگر  $k = -n$  و عدد درستی نباشد، می توانیم جواب متمایز دوم را که با  $J_{-n}(x)$

نشان می دهیم، به دست آوریم. ولی اگر  $-n$  یک عدد درست منفی باشد، مشکلات، از همین

جا شروع می شود. رابطه بازگشتی برای ضرایب  $a_j$  هنوز هم از معادله (۶۱.۸) به دست

می آید، اما به جای  $2n$ ، کمیت  $2n - 2$  می نشیند. آنگاه، وقتی که  $z + 2 = 2n$  یا

$z = 2(n-1)$ ، ضریب  $a_{z+2}$  واگرا می شود و جواب سری نخواهیم داشت. می توان در

معادله (۶۴.۸) از این نتیجه ناساز رهایی یافت، در فصل ۱۱ این کار را انجام داده ایم،

در نتیجه

۱. اگر  $n$  یک عدد درست زوج باشد  $J_n(x)$  تابعی زوج است و اگر  $n$  عدد درست فردی باشد،  $J_n(x)$  یک تابع فرد است. به ازای مقادیر غیر درست  $n$ ، کمیت  $x^n$  چنین تقارن ساده ای نخواهد داشت.

$$J_{-n}(x) = (-1)^n J_n(x) \quad \text{عدد درست } n \quad (۶۵.۸)$$

جواب دوم صرفاً تکرار جواب اول است. هر گاه  $n$  عددی درست باشد نمی‌توانیم با این روش سری یک جواب مستقل دوم برای معادلهٔ بسل پیدا کنیم.

به کمک جانشانی در یک سری نامتناهی، دو جواب برای معادلهٔ نوسانگر خطی و یک جواب (اگر  $n$  عددی درست نباشد، دو جواب) برای معادلهٔ بسل به دست آورده‌ایم. در پاسخ به این پرسش که آیا همواره می‌توان این کار را کرد یا خیر؟ و یا آیا این روش همواره عملی است؟ باید گفت خیر. این روش جواب سری همیشه عملی نیست.

### تکینگیهای منظم و نامنظم

توفیق این جانشانی سری به ریشه‌های معادلهٔ اندیسی و به درجهٔ تکینگی ضرایب معادلهٔ دیفرانسیل بستگی دارد. برای آنکه تأثیر ضرایب معادله برای رهیافت خام جانشانی سری را بهتر بفهمیم، چهار معادلهٔ سادهٔ زیر را در نظر می‌گیریم

$$y'' - \frac{6}{x^2} y = 0 \quad (۶۶.۸ \text{ الف})$$

$$y'' - \frac{6}{x^2} y = 0 \quad (۶۶.۸ \text{ ب})$$

$$y'' + \frac{1}{x} y' - \frac{a^2}{x^2} y = 0 \quad (۶۶.۸ \text{ ج})$$

$$y'' + \frac{1}{x^2} y' - \frac{a^2}{x^2} y = 0 \quad (۶۶.۸ \text{ د})$$

به سادگی می‌توان نشان داد که معادلهٔ اندیسی مربوط به معادلهٔ (۶۶.۸ الف) عبارت است از

$$k^2 - k - 6 = 0$$

در نتیجه  $2$  و  $3$  و  $k$ . چون که معادلهٔ (۶۶.۸ الف) بر حسب  $x$  همگن است ( $d^2/dx^2$ ) را به صورت  $x^{-2}$  به حساب می‌آوریم، رابطهٔ بازگشتی وجود ندارد؛ و به ازای  $i > 0$  داریم:  $a_i = 0$ . اما، دو جواب کاملاً مطلوب،  $x^3$  و  $x^{-2}$ ، برای ما می‌ماند.

اختلاف معادلهٔ (۶۶.۸ ب) با معادلهٔ (۶۶.۸ الف) تنها در یک توان  $x$  است، ولی همین اختلاف، معادلهٔ اندیسی را به صورت زیر درمی‌آورد

$$-6a_0 = 0$$

که هیچ جوابی ندارد، زیرا قرارداد کرده بودیم که  $a_0 \neq 0$ ، جانشانی سری، برای معادلهٔ

(۶۶.۸ الف) که تنها يك تکینگی منظم داشت عملی است، ولی برای معادله (۶۶.۸ ب) که دارای يك نقطه تکین نامنظم در مبدأ است، ناموفق خواهد بود.  
 معادله (۶۶.۸ ج) را در نظر می گیریم، بدین معادله يك جمله  $y'/x$  اضافه شده است. معادله اندیسی به این صورت است

$$k^2 - a^2 = 0$$

ولی در اینجا هم رابطه بازگشتی نداریم. جوابها عبارت اند از  $y = x^a, x^{-a}$  که هر دو سریهای تک جمله ای کاملاً قابل قبول اند.

وقتی توان  $x$  در ضریب  $y'$  را از  $-1$  به  $-2$  تغییر می دهیم، معادله (۶۶.۸ د)، تغییر عمده ای در جواب به وجود می آید. معادله اندیسی (که تنها جمله  $y'$  در آن سهم است) به صورت زیر درمی آید

$$k = 0$$

يك رابطه بازگشتی داریم

$$a_{j+1} = +a_j \frac{j(j-1)}{j+1}$$

که در مورد آن داریم

$$\begin{aligned} \lim_{j \rightarrow \infty} \left| \frac{a_{j+1}}{a_j} \right| &= \lim_{j \rightarrow \infty} \frac{j(j-1)}{j+1} \\ &= \lim_{j \rightarrow \infty} \frac{j^2}{j} = \infty \end{aligned}$$

مگر آنکه پارامتر  $a$  چنان برگزیده شود که به ختم شدن سری بینجامد.

بنابراین جواب سری ما به ازای همه مقادیر  $x \neq 0$ ، واگرا می شود. باز هم روش ما برای معادله (۶۶.۸ ج) با يك تکینگی منظم عملی است، ولی در مورد معادله (۶۶.۸ د) با تکینگی نامنظم، با عدم توفیق قرین است.

### قضیه فوش

پاسخ این پرسش اساسی را که چه وقت می توان انتظار داشت روش جانسانی سری عملی باشد، قضیه فوش، به این صورت می دهد که همواره می توانیم دست کم به يك جواب به صورت سری توانی دست یابیم؛ به شرط آنکه بسط را حول يك نقطه معمولی یا دست کم يك نقطه تکین منظم انجام دهیم. اگر بخواهیم حول يك تکینگی اساسی یا نامنظم بسط دهیم، روش ما، به همان ترتیبی که در مورد معادلات (۶۶.۸ ب) و (۶۶.۸ د) پیش آمد، ناموفق خواهد بود. خوشبختانه معادلات مهمتر فیزیک ریاضی که فهرست آنها را در بخش ۴.۸ آوردیم، در صفحه متناهی

تکینگی نامنظم ندارند. بحث مشروحتری پیرامون قضیه فوش را در بخش ۶.۸ خواهیم آورد.

از جدول ۳.۸ در بخش ۴.۸ مشاهده می‌شود که در همه معادله‌های مورد نظر، نقطه تکین عبارت است از بینهایت. معادله  $y' = 0$  (با يك تکینگی منظم در بینهایت)، بدعنوان نمایش دیگر قضیه فوش، جواب سری همگرایی بر حسب توانهای منفی شناسه دارد (بخش ۱۰.۱۲). برعکس، از معادله  $y' = 0$  (با يك تکینگی نامنظم در بینهایت) يك سری مجانبی بدست می‌آید [بخشهای ۱۰.۵ (جلد اول) و ۶.۱۱ را ببینید]. هر چند که این جوابهای مجانبی خیلی مفیدند، ولی عملاً واگرا هستند.

### جمع‌بندی

در رهیات جانمایی سری، اگر سری را حول يك نقطه معمولی یا دست کم يك تکینگی منظم بسط دهیم، دست کم يك جواب بدست می‌آید (قضیه فوش).

اینکه يك یا دو جواب متمایز بدست آوریم بدریسه‌های معادله اندیسی بستگی دارد.

۱. اگر دوریسه معادله اندیسی با هم برابر باشند، باروش جانمایی سری تنها يك جواب بدست خواهیم آورد.

۲. اگر اختلاف دوریسه با هم برابر يك عدد غیر درست باشد، می‌توان دو جواب مستقل بدست آورد.

۳. اگر دو ریسه با هم اختلافی برابر يك عدد درست داشته باشند، ریسه بزرگتر يك جواب را بدست می‌دهد.

ریسه کوچکتر، بسته بدرفتار ضرایب، ممکن است يك جواب ارائه کند یا نکند. در معادله نوسانگر خطی دو جواب بدست آوردیم؛ در مورد معادله  $y'' + p(x)y' + q(x)y = 0$  فقط يك جواب.

سودمندی جواب سری از لحاظ مقدار (عددی) آن، به تندی همگرایی سری و دسترس پذیر بودن بستگی دارد. بسیاری از معادلات دیفرانسیل، شاید بیشتر آنها، روابط بازگشتی برای ضرایب ندارند. بدطور کلی، سری دسترس پذیر شاید به‌ازای مقدار خیلی کوچک  $|x|$  (یا  $|x - x_0|$ )، مفید است. می‌توان از کامپیوتر استفاده کرد و به کمک زبانی نظیر FORMAC، تعداد بیشتری از ضرایب سری را تعیین کرد. اما، غالباً در کارهای عددی، انتگرالگیری عددی مستقیم را ترجیح می‌دهند (بخش ۸.۸).

### مسائل

۱۰.۵.۸ قضیه یکتایی. تابع  $y(x)$  در يك معادله دیفرانسیل همگن خطی مرتبه دوم صدق می‌کند. در نقطه  $x = x_0$  داریم:  $y(x) = y_0$  و  $dy/dx = y'_0$ . نشان دهید که  $y(x)$  یکتاست، یعنی هیچ جواب دیگری از معادله دیفرانسیل با شیب  $y'_0$  از نقطه  $(x_0, y_0)$  نمی‌گذرد.

دانهمایی. جواب دومی را در نظر بگیرید که همین شرایط برای آن برقرار باشد، و آن را با بسط سری تایلور مقایسه کنید.



۲۰۵۰۸ يك جواب سری را با بسط آن حول نقطه  $x = x_0$  در معادله (۳۶.۸) امتحان می‌کنیم. اگر  $x_0$  يك نقطه معمولی باشد، نشان دهید که ریشه‌های معادله اندیسی عبارت‌اند از صفر و يك.

۳۰۵۰۸ در روند دستیابی به يك جواب سری برای معادله نوسانگر هماهنگ ساده، از دوین ضرب سری، یعنی  $a_1$  چشم پوشیدیم و آن را صفر گرفتیم. با استفاده از ضرب توانی که یکی بعد از پایتترین توان  $x$  قرار دارد،  $x^{k-1}$  يك معادله دیگر از نوع معادله اندیسی تشکیل دهید.

(الف) (معادله نوسانگر هماهنگ ساده با  $k = 0$ )، نشان دهید که به  $a_1$  هر مقدار متناهی (از جمله صفر) می‌توان نسبت داد.

(ب) (معادله نوسانگر هماهنگ ساده با  $k = 1$ )، نشان دهید که  $a_1$  باید مساوی صفر قرار داده شود.

۴۰۵۰۸ جواب سری معادله‌های دیفرانسیل زیر را بررسی کنید و ببینید چه وقت  $a_1$  را می‌توان بدون آنکه چیزی از عمومیت مسئله کاسته شود برابر صفر قرار داد و چه وقت باید آن را صفر گرفت.

(الف) لژاندر، (ب) چیشف، (ج) بسل، (د) هریت.

پاسخ. برای (الف) لژاندر، (ب) چیشف، (د) هریت: به ازای  $k = 0$ ،  $a_1$  را می‌توان برابر صفر قرار داد، به ازای  $k = 1$ ،  $a_1$  را باید برابر صفر گرفت. (ج) بسل:  $a_1$  را باید مساوی صفر گرفت [مگر آنکه  $k = \pm n = (-1/2)$ ].

۵۰۵۰۸ معادله لژاندر

$$(1-x^2)y'' - 2xy' + n(n+1)y = 0$$

را از طریق جانشانی سری مستقیم حل کنید.

(الف) تحقیق کنید که معادله اندیسی به صورت زیر است

$$k(k-1) = 0$$

(ب) با استفاده از  $k = 0$ ، يك سری از توانهای زوج  $x$ ، ( $a_1 = 0$ ) به دست آورید

$$y_{\text{زوج}} = a_0 \left[ 1 - \frac{n(n+1)}{2!} x^2 + \frac{n(n-2)(n+1)(n+3)}{4!} x^4 + \dots \right]$$

که در آن

$$a_{j+2} = \frac{j(j+1) - n(n+1)}{(j+1)(j+2)} a_j$$

(ج) با استفاده از  $k=1$ ، یک سری از توانهای فرد  $x$  ( $a_1=0$ ) تشکیل دهید

$$y_{\text{فرد}} = a_0 \left[ x - \frac{(n-1)(n+2)}{3!} x^3 + \frac{(n-1)(n-3)(n+2)(n+4)}{5!} x^5 + \dots \right]$$

که در آن

$$a_{j+2} = \frac{(j+1)(j+2) - n(n+1)}{(j+2)(j+3)} a_j$$

(د) نشان دهید که، اگر سریها تا بینهایت ادامه یابند، هر دو جواب زوج  $y$  و فرد  $y$ ، به ازای  $x = \pm 1$  واگرا می شوند.

(ه) سرانجام با گزینش مقدار مناسبی برای  $n$ ، نشان دهید که هر بار یکی از این سریها را می توان به یک چند جمله ای بدل کرد، و در نتیجه از فرجام نامیمون واگرایی رهایی یافت. این محدودیت  $n$  به مقادیر درست، در مکاتیک کوانتومی به کوانتسز تکانه زاویه ای مربوط می شود.

۶۰۵۰۸ الف) جوابهای سری معادله دیفرانسیل هر میت زیر را به دست آورید

$$y'' - 2xy' + 2\alpha y = 0$$

پاسخ. معادله اندیسی،  $k(k-1) = 0$

به ازای  $k=0$

$$a_{j+2} = 2a_j \frac{j-\alpha}{(j+1)(j+2)} \quad (j \text{ زوج})$$

$$y_{\text{زوج}} = a_0 \left[ 1 + \frac{2(-\alpha)x^2}{2!} + \frac{2^2(-\alpha)(2-\alpha)x^4}{4!} + \dots \right]$$

به ازای  $k=1$

$$a_{j+2} = 2a_j \frac{j+1-\alpha}{(j+2)(j+3)} \quad (j \text{ زوج})$$

$$y_{\text{فرد}} = a_0 \left[ x + \frac{2(1-\alpha)x^3}{3!} + \frac{2^2(1-\alpha)(3-\alpha)x^5}{5!} + \dots \right]$$

(ب) نشان دهید که هر دو جواب سری به ازای همه  $x$ ها همگرا آیند، نسبت ضریبهای متوالی، به ازای شاخصهای بزرگ، مانند نسبت متناظر در بسط  $\exp(2x^2)$  رفتار می کنند.

(ج) نشان دهید که باگزینش مقدار مناسب  $\alpha$ ، جوابهای سری را می توان قطع و به يك چندجمله ای متناهی تبدیل کرد. (این چندجمله ایها، با بهنجارش مناسب به صورت چندجمله ایهای هرمیت بخش ۱۰.۱۳ درمی آیند.)

۷.۵.۸ معادلهٔ دیفرانسیل لاگر به صورت زیر مفروض است

$$xL_n''(x) + (1-x)L_n'(x) + nL_n(x) = 0$$

يك جواب سری برای آن تشکیل دهید و پارامتر  $n$  را چنان برگزینید که سری حاصل به يك چندجمله ای تبدیل شود.

۸.۵.۸ معادلهٔ چیشف زیر را به کمک جانشانی سری حل کنید

$$(1-x^2)T_n'' - xT_n' + n^2T_n = 0$$

چه محدودیتهایی روی  $n$  اعمال کنیم تا جواب سری حاصل به ازای  $x = \pm 1$  همگرا شود؟ پاسخ، سری نامتناهی به ازای  $x = \pm 1$  همگرا می شود. بنا بر این، هیچ محدودیتی برای  $n$  وجود ندارد (با مسئلهٔ ۱۶.۲.۵ مقایسه کنید).

۹.۵.۸ معادلهٔ زیر را حل کنید

$$(1-x^2)U_n''(x) - 2xU_n'(x) + n(n+2)U_n(x) = 0 = 0$$

ریشه ای از معادلهٔ اندیسی را برگزینید که به يك سری از توانهای فرد  $x$  منجر شود. با توجه به اینکه این سری به ازای  $x = 1$  واگرا می شود،  $n$  را چنان برگزینید که سری را به يك چندجمله ای تبدیل کند

پاسخ.  $k(k-1) = 0$ .

به ازای  $k = 1$

$$a_{j+2} = \frac{(j+1)(j+3) - n(n+2)}{(j+2)(j+3)} a_j$$

۱۰.۵.۸ يك جواب سری برای معادلهٔ فوق هندسی

$$x(x-1)y'' + [(1+a+b)x - c]y' + aby = 0$$

به دست آورید. همگرایی جواب خود را بیازمایید.

۱۱.۵.۸ دو جواب سری برای معادلهٔ فوق هندسی همشار زیر به دست آورید

$$xy'' + (c-x)y' - ay = 0$$

همگرایی جواب خود را بیازمایید.

۱۲۰۵۰۸ تحلیل کوانتوم مکانیکی اثر اشتارک (درمختصات سهموی) به معادله دیفرانسیل زیر می انجامد

$$\frac{d}{d\xi} \left( \xi \frac{d\bar{u}}{d\xi} \right) + \left( \frac{1}{2} E\xi + \alpha - \frac{m^2}{4\xi} - \frac{1}{4} F\xi^2 \right) \bar{u} = 0$$

در اینجا  $\alpha$  ثابت جداسازی،  $E$  انرژی کل، و  $F$  عددی ثابت است،  $Fz$  انرژی پتانسیلی است که بر اثر اعمال میدان الکتریکی، به سیستم افزوده می شود. با استفاده از ریشه بزرگتر معادله اندیسی، یکی از جوابهای سری توانی را درحول  $\xi = 0$  به دست آورید. سه ضریب اول را بر حسب  $a_0$  محاسبه کنید

$$\text{پاسخ. معادله اندیسی} \quad k^2 - \frac{m^2}{4} = 0$$

$$u(\xi) = a_0 \xi^{m/2} \left\{ 1 - \frac{\alpha}{m+1} \xi + \left[ \frac{\alpha^2}{2(m+1)(m+2)} - \frac{E}{2(m+2)} \right] \xi^2 + \dots \right\}$$

توجه کنید که اختلال  $E$  در جملات قبل از  $a_4$  ظاهر نمی شود.

۱۳۰۵۰۸ تحلیل کوانتوم مکانیکی یون مولکولی هیدروژن برای حالت خاص عدم وابستگی به زاویه سمتی به معادله زیر می انجامد

$$\frac{d}{d\eta} \left[ (1-\eta^2) \frac{du}{d\eta} \right] + \alpha u + \beta \eta^2 u = 0$$

یکی از جوابهای سری توانی را برای  $u(\eta)$  به دست آورید. سه ضریب غیر صفر نخست را بر حسب  $a_0$  حساب کنید

$$\text{پاسخ. معادله اندیسی} \quad k(k-1) = 0$$

$$u_{k=1} = a_0 \eta \left\{ 1 + \frac{2-\alpha}{6} \eta^2 + \left[ \frac{(2-\alpha)(12-\alpha)}{120} - \frac{\beta}{20} \right] \eta^4 + \dots \right\}$$

۱۴۰۵۰۸ برهم کنش دونوکلئون را می توان، با تقریب مطلوبی، به کمک پتانسیل مزونی زیر توصیف کرد

$$V = \frac{Ae^{-ax}}{x}$$

که به ازای مقادیر منفی  $A$  ربابشی است. برای معادله موج شرودینگر متناظر با این پتانسیل، يك جواب سری به دست آورید

$$\frac{\hbar^2}{2m} \frac{d^2\psi}{dx^2} + (E - V)\psi = 0$$

این جواب تا سومین ضریب غیر صفر به صورت زیر است

$$\psi_{k-1} = a_0 \left\{ x + \frac{1}{2} A' x^2 + \frac{1}{6} \left[ \frac{1}{2} A'^2 - E' - a A' \right] x^3 + \dots \right\}$$

که در آن پریم نشانگر ضرب در  $\hbar^2/2m$  است.

۱۵۰۵۰۸ انرژی پتانسیل تک الکترونی در نزدیکی هسته يك اتم پیچیده از رابطه زیر به دست می آید

$$V = \frac{Ze^2}{r} (1 + b_1 r + b_2 r^2)$$

که در آن ثابتهای  $b_1$  و  $b_2$  ناشی از اثرات استارند. در حالتی که تکانه زاویه ای صفر باشد، نشان دهید که سه جمله نخست جواب معادله شرودینگر به همان صورت سه جمله اول سری مسئله ۱۴۰۵۰۸ است. اولین سه جمله در بسط سری معادله موج را، با انتقال مناسب ضرایب یا پارامترها بنویسید.

۱۶۰۵۰۸ اگر پارامتر  $a^2$  در معادله (۶۶۰۸) برابر ۲ باشد، این معادله به صورت زیر درمی آید

$$y'' + \frac{1}{x^2} y' - \frac{2}{x^2} y = 0$$

با استفاده از معادله اندیسی و رابطه بازگشتی، جواب  $y = 1 + 2x + 2x^2$  را برای این معادله به دست آورید. بانشاندن این جواب در معادله، درستی آن را تحقیق کنید.

۱۷۰۵۰۸ تابع تعدیل یافته بسل  $I_0(x)$  در معادله دیفرانسیل زیر صدق می کند

$$x^2 \frac{d^2}{dx^2} I_0(x) + x \frac{d}{dx} I_0(x) - x^2 I_0(x) = 0$$

از مسئله ۴۰۴۰۷، جلد اول، می دانیم که جمله پیشرو در بسط مجانبی عبارت است از

$$I_0(x) \sim \frac{e^x}{\sqrt{2\pi x}}$$

يك سری به صورت زیر در نظر بگیرد

$$I_0(x) \sim \frac{e^x}{\sqrt{2\pi x}} \{1 + b_1 x^{-1} + b_2 x^{-2} + \dots\}$$

وضریبهای  $b_1$  و  $b_2$  را پیدا کنید.

$$b_2 = \frac{9}{128}, \quad b_1 = \frac{1}{8} \text{ پاسخ.}$$

۱۸۰۵۰۸ جواب سری توانی زوج معادله لژاندر در مسئله ۵۰۵۰۸ به دست آمد.  $a_0$  را برابر يك و  $n$  را برابر عددی که عدد درست زوج نباشد بگیرد، مثلاً  $n = 505$  مجموعه‌های جزئی سری را تا  $x^{200}$ ،  $x^{400}$ ،  $x^{600}$ ، ...،  $x^{2000}$  به ازای  $x = 0.95$  (۰۰۵۱)  $x = 0.99$  محاسبه کنید. همچنین تک تک جمله‌های متناظر با هر يك از این توانها را بنویسید.

یادآوردی. این محاسبه، همگرایی در  $x = 0.99$  یا واگرایی در  $x = 0.95$  را ثابت نمی‌کند، ولی شاید از آن بتوان اختلاف در نحوه رفتار دنباله مجموعه‌های جزئی به ازای این دو مقدار  $x$  را مشاهده کرد.

۱۹۰۵۰۸ (الف) جواب سری توانی فرد معادله هرमित در مسئله ۶۰۵۰۸ به دست می‌آید.  $a_0$  را برابر يك بگیرد. این سری را به ازای  $\alpha = 0$  و  $x = 1, 2, 3$  برآورد کنید. هر جا که آخرین جمله محاسبه شده، با ضریبی برابر  $10^6$  یا بیشتر، کمتر از جمله پیشینه شود، به محاسبه خود پایان دهید. برای خطای ناشی از چشمپوشی از جمله‌های باقیمانده در سری نامتناهی يك کران بالایی را در نظر بگیرید.

(ب) برای آزمودن محاسبه قسمت (الف)، نشان دهید که سری هرमित ( $\alpha = 0$ ) فردی متناظر است با  $\int_0^x \exp(x^2) dx$ .  
(ج) این انتگرال را به ازای  $x = 1, 2, 3$  محاسبه کنید.

## ۶.۸ جواب دوم

در بخش ۵.۸ یکی از جوابهای معادله دیفرانسیل همگن مرتبه دوم را از طریق جانشانی يك سری توانی به دست آوردیم. با استفاده از قضیه فوش، می‌دانیم که این کار، به شرط آنکه سری توانی در حول يك نقطه معمولی یا يك تکینگی غیر اساسی بسط پیدا کند، همواره میسر است. هیچ تضمینی وجود ندارد که این رهیافت دو جواب مستقلی را که برای يك معادله دیفرانسیل

مرتبه دوم خطی انتظار داریم، به دست دهد. در واقع، با این تکنیک برای معادله بس (که در آن  $n$  عدد درستی است) تنها یک جواب به دست آمد. در این بخش دو روش برای یافتن جواب مستقل دوم ارائه خواهیم داد: یکی روش انتگرالی و دیگری سری توانی شامل یک جمله لگاریتمی. در هر حال، نخست به مسئله استقلال مجموعه‌ای از توابع می‌پردازیم.

### استقلال خطی جوابها

مجموعه‌ای از توابع  $\varphi_\lambda$ ، را در نظر می‌گیریم. معیار وابستگی خطی آن عبارت است از وجود رابطه‌ای به صورت زیر

$$\sum_{\lambda} k_{\lambda} \varphi_{\lambda} = 0 \quad (۶۷.۸)$$

که در آن همه ضریبهای  $k_{\lambda}$  صفر نباشند. از سوی دیگر اگر تنها جواب معادله (۶۷.۸)، به ازای همه  $\lambda$  ها به صورت  $k_{\lambda} = 0$  باشد، مجموعه تابعهای  $\varphi_{\lambda}$  - مستقل خطی می‌نامند. تصور وابستگی خطی بردارها می‌تواند به درک موضوع کمک کند. در فضای سه بعدی،  $\mathbf{A}$ ،  $\mathbf{B}$ ، و  $\mathbf{C}$  را چنان بگیرد که  $\mathbf{A} \cdot \mathbf{B} \times \mathbf{C} \neq 0$ . در این صورت هیچ رابطه‌ای به صورت زیر وجود ندارد

$$a\mathbf{A} + b\mathbf{B} + c\mathbf{C} = 0 \quad (۶۸.۸)$$

$\mathbf{A}$ ،  $\mathbf{B}$ ، و  $\mathbf{C}$  مستقل خطی اند. از سوی دیگر، هر بردار چهارم  $\mathbf{D}$  را می‌توان به صورت ترکیبی خطی از  $\mathbf{A}$ ،  $\mathbf{B}$ ، و  $\mathbf{C}$  نوشت (بخش ۴.۴، جلد اول)

$$\mathbf{D} - a\mathbf{A} - b\mathbf{B} - c\mathbf{C} = 0 \quad (۶۹.۸)$$

و این چهار بردار مستقل خطی نیستند. سه بردار  $\mathbf{A}$ ،  $\mathbf{B}$ ، و  $\mathbf{C}$  غیر واقع در یک صفحه فضای سه بعدی حقیقی ما را می‌پیمایند.

اگر مجموعه‌ای از بردارها یا توابع متقابلاً برهم عمود باشند، آنگاه به خودی خود مستقل خطی اند. تعامد، بر استقلال خطی دلالت می‌کند. این نکته را می‌توان به سادگی و به کمک ضربهای داخلی (ضرب نرده‌ای یا نقطه‌ای برای بردارها، انتگرال تعامد بخش ۲.۹ برای توابع) نمایش داد.

فرض می‌کنیم که توابع  $\varphi_\lambda$ ، در صورت لزوم مشتقپذیر باشند. آنگاه با مشتقگیری مکرر از معادله (۶۷.۸)، مجموعه معادلات زیر را تشکیل می‌دهیم

$$\sum_{\lambda} k_{\lambda} \varphi'_{\lambda} = 0 \quad (۷۰.۸)$$

$$\sum_{\lambda} k_{\lambda} \varphi''_{\lambda} = 0, \dots \quad (۷۱.۸)$$

با این کار به مجموعه‌ای از معادلات خطی همگن برای کمیت‌های مجهول  $k_\lambda$  دست خواهیم یافت. در بخش ۱۰.۴ (جلداول) دیدیم که تنها در صورتی یک جواب به شکل  $k_\lambda \neq 0$  داریم که دترمینان ضریب‌های  $k_\lambda$  برابر صفر شود. یعنی

$$\begin{vmatrix} \varphi_1 & \varphi_2 & \dots & \varphi_n \\ \varphi'_1 & \varphi'_2 & \dots & \varphi'_n \\ \dots & \dots & \dots & \dots \\ \varphi_1^{(n-1)} & \varphi_2^{(n-1)} & \dots & \varphi_n^{(n-1)} \end{vmatrix} = 0 \quad (72.8)$$

این دترمینان را رونسکیبی می‌نامند.

۱. اگر رونسکیبی صفر نباشد، آنگاه معادله (۶۷.۸) هیچ جوابی جز  $k_\lambda = 0$  ندارد. بنا بر این مجموعه تابع‌های  $\varphi_\lambda$  مستقل است.
۲. اگر رونسکیبی به ازای مقادیر مجزایی از شناسه صفر شود، لزوماً وابستگی خطی به اثبات نرسیده است (مگر در موردی که مجموعه تابع‌ها تنها دو تابع داشته باشد). ولی اگر رونسکیبی روی تمامی گستره متغیر صفر باشد، تابع‌های  $\varphi_\lambda$  روی این گستره وابسته خطی اند (برای حالت ساده دو تابع بامسئله ۲.۵.۸ مقایسه کنید).

#### مثال ۱۰.۶.۸ استقلال خطی

جواب‌های معادله نوسانگر خطی (۴۰.۸) عبارت‌اند از  $\varphi_1 = \sin \omega x$  و  $\varphi_2 = \cos \omega x$ . رونسکیبی عبارت خواهد بود از

$$\begin{vmatrix} \sin \omega x & \cos \omega x \\ \omega \cos \omega x & -\omega \sin \omega x \end{vmatrix} = -\omega \neq 0$$

بنابراین دو تابع  $\varphi_1$  و  $\varphi_2$  مستقل خطی‌اند. تنها برای دو تابع، استقلال خطی به منزله آن است که یکی مضربی از دیگری نیست، که به توضیح در این حالت درست است. می‌دانیم که

$$\sin \omega x = \pm (1 - \cos^2 \omega x)^{1/2}$$

۱. برای اثبات این مطلب نگاه کنید به صفحه ۱۸۷ از کتابی با مشخصات زیر؛

*Elements of Pure and Applied Mathematics*. H. Lass, New York: McGraw-Hill, 1957.

فرض می‌شود که توابع دارای مشتق‌های پیوسته‌اند و دست‌کم یکی از کاه‌های سطر آخر معادله (۷۲.۸)، در بسط لاپلاس، در بازه مورد نظر،  $[a, b]$ ، صفر نمی‌شود.



ولی این يك رابطه خطی به صورت (۶۷.۸) نیست.

مثال ۲۰۶.۸ وابستگی خطی

برای آنکه وابستگی خطی را نمایش دهیم، جوابهای معادلهٔ بخش يك بعدی را در نظر می‌گیریم. داریم  $\varphi_1 = e^x$  و  $\varphi_2 = e^{-x}$ ، و تابع  $\varphi_3 = \cosh x$  را که خود نیز یکی از جوابهاست، به آنها اضافه می‌کنیم. رونسکیبی عبارت است از

$$\begin{vmatrix} e^x & e^{-x} & \cosh x \\ e^x & -e^{-x} & \sinh x \\ e^x & e^{-x} & \cosh x \end{vmatrix} = 0$$

این دترمینان به‌ازای همهٔ مقادیر  $x$  صفر است، زیرا سطر اول و سوم آن با هم برابرند. بنابراین  $e^x$ ،  $e^{-x}$  و  $\cosh x$  وابستهٔ خطی‌اند، و در واقع بین آنها رابطه‌ای به‌صورت معادلهٔ (۶۷.۸) وجود دارد

$$e^x + e^{-x} - 2\cosh x = 0 \quad (\text{با } k_\lambda \neq 0)$$

جواب دوم

به‌معادلهٔ دیفرانسیل همگن مرتبهٔ دوم خطی، به‌شکل کلی زیر برمی‌گردیم

$$y'' + P(x)y' + Q(x)y = 0 \quad (۷۳.۸)$$

$y_1$  و  $y_2$  را دو جواب مستقل می‌گیریم. آنگاه مطابق تعریف، رونسکیبی به‌صورت زیر است

$$W = y_1 y_2' - y_1' y_2 \quad (۷۴.۸)$$

بامشتگیری از رونسکیبی خواهیم داشت

$$\begin{aligned} W' &= y_1' y_2' + y_1 y_2'' - y_1'' y_2 - y_1' y_2' \\ &= y_1 [-P(x)y_2' - Q(x)y_2] - y_2 [-P(x)y_1' - Q(x)y_1] \quad (۷۵.۸) \end{aligned}$$

$$= -P(x)(y_1 y_2' - y_1' y_2)$$

عبارت داخل پرانتز همان رونسکیبی،  $W$ ، است و داریم

$$W' = -P(x)W \quad (۷۶.۸)$$

اگر  $P(x) = 0$ ، یعنی

$$y'' + Q(x)y = 0 \quad (۷۷.۸)$$

رونسکیمی به صورت زیر خواهد بود

$$W = y_1 y_2' - y_1' y_2 = \text{const.} \quad (۷۸.۸)$$

از آنجا که معادله دیفرانسیل اصلی ما همگن است، می‌توانیم جوابهای  $y_1$  و  $y_2$  را در هر ثابتی که می‌خواهیم ضرب کنیم و ترتیبی اتخاذ کنیم که رونسکیمی برابر ۱ (یا -۱) شود. حالت  $P(x) = 0$  بیش از آنچه انتظار می‌رود پیش می‌آید. یادآوری می‌کنیم که  $\nabla^2$  در مختصات دکارتی شامل مشتق اول نیست. همچنین جزء وابسته شعاعی  $\nabla^2(r\psi)$  در مختصات قطبی کروی مشتق اول ندارد. سرانجام، هر معادله دیفرانسیل مرتبه دوم خطی را می‌توان به معادله‌ای به صورت (۷۷.۸) تبدیل کرد (با مسئله ۱۱.۶.۸ مقایسه کنید).

فرض کنید که یکی از جوابهای معادله (۷۳.۸) را به کمک جانشانی سری (یا از طریق حدس) به دست آورده باشیم. اکنون کار خود را ادامه می‌دهیم و یک جواب مستقل دیگر به دست می‌آوریم. معادله (۷۶.۸) را به صورت زیر بازنویسی می‌کنیم

$$\frac{dW}{W} = -P dx_1$$

از  $x_1 = a$  تا  $x_1 = x$  انتگرال می‌گیریم. خواهیم داشت

$$\ln \frac{W(x)}{W(a)} = - \int_a^x P(x_1) dx_1$$

یا

$$W(x) = W(a) \exp \left[ - \int_a^x P(x_1) dx_1 \right] \quad (۷۹.۸)$$

اما

$$\begin{aligned} W(x) &= y_1 y_2' - y_1' y_2 \\ &= y_1^2 \frac{d}{dx} \left( \frac{y_2}{y_1} \right) \end{aligned} \quad (۸۰.۸)$$

با ترکیب معادله‌های (۷۹.۸) و (۸۰.۸) داریم

$$\frac{d}{dx} \left( \frac{y_2}{y_1} \right) = W(a) \frac{\exp \left[ - \int_a^x P(x_1) dx_1 \right]}{y_1^2} \quad (۸۱.۸)$$

۱. اگر  $P(x_1)$  در  $a \leq x_1 \leq x$  متناهی باقی‌ماند آنگاه،  $W(x) \neq 0$  مگر آنکه  $W(a) = 0$ .  
یعنی رونسکیمی دوجواب ما یا متحد با صفر است یا هرگز صفر نیست.

سرانجام با انتگرالگیری از معادله (۸۱.۸) از  $x_1 = b$  تا  $x_1 = x$  داریم

$$y_2(x) = y_1(x)W(a) \int_a^x \frac{\exp[-\int_a^{x_1} P(x_1) dx_1]}{[y_1(x_1)]^2} dx_1 \quad (۸۲.۸)$$

در اینجا  $a$  و  $b$  ثابتهای اختیاری اند و از یک جمله  $y_1(x)y_2(b)/y_1(b)$  چشمپوشی شده است، زیرا این جمله به چیز تازه ای نمی انجامد. از آنجا که  $W(a)$ ، یعنی رونسکیبی در  $x = a$  ثابت است، و جواب ما برای معادله دیفرانسیل همگن همواره شامل يك عامل بهنجارش نامعلوم است،  $W(a)$  را يك می گیریم و می نویسیم

$$y_2(x) = y_1(x) \int_a^x \frac{\exp[-\int_a^{x_1} P(x_1) dx_1]}{[y_1(x_1)]^2} dx_1 \quad (۸۳.۸)$$

توجه کنید که حدهای پایینی  $x_1 = a$  و  $x_1 = b$  حذف شده اند. اگر این حدها را نگاه داریم، تنها اثرشان افزودن سهمی برابر يك مقدار ثابت ضرب در جواب معلوم اول، یعنی  $y_1(x)$ ، است و چیز تازه ای اضافه نشده است.

در حالت خاص مهم  $P(x) = 0$ ، معادله (۸۳.۸) به معادله زیر تقلیل می یابد

$$y_2(x) = y_1(x) \int_a^x \frac{dx_1}{[y_1(x_1)]^2} \quad (۸۴.۸)$$

یعنی، با استفاده از معادله (۸۳.۸) یا (۸۴.۸) می توانیم از یک جواب معلوم، از طریق انتگرالگیری، يك جواب مستقل دوم برای معادله (۷۳.۸) به دست آوریم. این تکنیک را در بخش ۱۰.۱۲ برای تولید جواب دوم معادله دیفرانسیل ژاندر به کار می بریم.

مثال ۳.۶.۸ جواب دوم معادله نوسانگر خطی

برای معادله  $d^2y/dx^2 + y = 0$  با  $P(x) = 0$ ، یکی از جوابها را به صورت  $y_1 = \sin x$  در نظر می گیریم. با بهره گیری از معادله (۸۴.۸)، خواهیم داشت

$$\begin{aligned} y_2(x) &= \sin x \int_a^x \frac{dx_1}{\sin^2 x_1} \\ &= \sin x (-\cot x) = -\cos x \end{aligned}$$

که آشکارا مستقل از  $\sin x$  (بدون يك مضرب خطی) است.

شکل سری جواب دوم

به کمک رشته عملیات زیر می توان نسبت به ماهیت جواب دوم معادله دیفرانسیل به درک

عمیقتری دست یافت:

۱.  $P(x)$  و  $Q(x)$  در معادله (۷۳.۸) را به صورت زیر بسط می‌دهیم

$$P(x) = \sum_{i=-1}^{\infty} p_i x^i, \quad Q(x) = \sum_{j=-2}^{\infty} q_j x^j \quad (۸۵.۸)$$

حد پایینی مجموعیاینها را چنان برگزیده‌ایم که قویترین تکینگی منظم ممکن را (در مبدأ) ایجاد کنیم. این شرایط دقیقاً در قضیهٔ فوش صدق می‌کنند و از این رو به کمک آنها قضیهٔ فوش را بهتر می‌فهمیم.

۲. چند جملهٔ اول یک جواب سری توانی را، مانند بخش ۵.۸ به دست می‌آوریم.  
 ۳. با استفاده از این جواب به جای  $y_1$  و با انتگرالگیری جمله به جمله از معادله (۸۳.۸)، یک جواب دوم  $y_2$  از نوع سری به دست می‌آوریم.  
 با انجام مرحلهٔ ۱، داریم

$$y'' + (p_{-1}x^{-1} + p_0 + p_1x + \dots)y' + (q_{-2}x^{-2} + q_{-1}x^{-1} + \dots)y = 0 \quad (۸۶.۸)$$

که در آن نقطهٔ  $x=0$  بدترین شرایط یک نقطهٔ تکین منظم است. اگر  $p_{-1} = q_{-1} = q_{-2} = 0$  این نقطه به یک نقطهٔ معمولی تبدیل می‌شود. با قرارداد

$$y = \sum_{\lambda=0}^{\infty} a_{\lambda} x^{k+\lambda}$$

(مرحلهٔ ۲)، خواهیم داشت

$$\sum_{\lambda=0}^{\infty} (k+\lambda)(k+\lambda-1)a_{\lambda} x^{k+\lambda-2} + \sum_{i=-1}^{\infty} p_i x^i \sum_{\lambda=0}^{\infty} (k+\lambda)a_{\lambda} x^{k+\lambda-1} + \sum_{j=-2}^{\infty} q_j x^j \sum_{\lambda=0}^{\infty} a_{\lambda} x^{k+\lambda} = 0 \quad (۸۷.۸)$$

با فرض اینکه  $p_{-1} \neq 0$  و  $q_{-2} \neq 0$ ، معادلهٔ اندیسی به صورت زیر است

$$k(k-1) + p_{-1}k + q_{-2} = 0$$

که ضریب خالص  $x^{k-2}$  را صفر قرار می‌دهد. این معادله به معادلهٔ زیر تقلیل می‌یابد

$$k^2 + (p_{-1} - 1)k + q_{-2} = 0 \quad (۸۸.۸)$$

دوریشهٔ این معادلهٔ اندیسی را با  $k = \alpha - n$  و  $k = \alpha$  نشان می‌دهیم، که در آن  $n$  یاصفر

است و یا يك عدد درست مثبت. (اگر  $n$  عدد درستی نباشد، با روشهایی که در بخش ۵.۸ آموختیم دو جواب سری مستقل به دست می آوریم و مشکلی نداریم.) در نتیجه

$$(k - \alpha)(k - \alpha + n) = 0 \quad (۸۹.۸)$$

یا

$$k^2 + (n - 2\alpha)k + \alpha(\alpha - n) = 0$$

با معادل قراردادن ضریبهای  $k$  در معادله‌های (۸۸.۸) و (۸۹.۸) داریم

$$p_{-1} - 1 = n - 2\alpha \quad (۹۰.۸)$$

جواب سری معلوم متناظر با ریشه بزرگتر  $k = \alpha$  را می توان به صورت زیر نوشت

$$y_1 = x^\alpha \sum_{\lambda=0}^{\infty} a_\lambda x^\lambda$$

با نشانیدن این جواب سری در معادله (۸۳.۸)، مرحله ۳، با انتگرال زیر سروکار خواهیم داشت

$$y_2(x) = y_1(x) \int^x \frac{\exp\left(-\int_a^{x_1} \sum_{i=-1}^{\infty} p_i x_i^i dx_1\right)}{x_1^{2\alpha} \left(\sum_{\lambda=0}^{\infty} a_\lambda x_1^\lambda\right)^2} dx_1 \quad (۹۱.۸)$$

که در آن جوابهای  $y_1$  و  $y_2$  چنان بهنجار شده اند که رونسکیبی عبارت است از:  $W(a) = 1$ . ابتدا به جمله نمایی می پردازیم؛ داریم

$$\int_a^{x_1} \sum_{i=-1}^{\infty} p_i x_1^i dx_1 = p_{-1} \ln x_1 + \sum_{k=0}^{\infty} \frac{p_k}{k+1} x_1^{k+1} + f(a) \quad (۹۲.۸)$$

بنابراین

$$\begin{aligned} & \exp\left(-\int_a^{x_1} \sum_i p_i x_1^i dx_1\right) \\ &= \exp[-f(a)] x_1^{-p_{-1}} \exp\left(-\sum_{k=0}^{\infty} \frac{p_k}{k+1} x_1^{k+1}\right) \\ &= \exp[-f(a)] x_1^{-p_{-1}} \left[1 - \sum_{k=0}^{\infty} \frac{p_k}{k+1} x_1^{k+1} \right. \\ & \quad \left. + \frac{1}{2!} \left(\sum_{k=0}^{\infty} \frac{p_k}{k+1} x_1^{k+1}\right)^2 + \dots \right] \end{aligned} \quad (۹۳.۸)$$

اگر بسط سری اصلی مربوط به ضریب  $P(x)$  همگرا باشد، آخرین بسط سری فوق برای تابع نمایی نیز مسلماً همگرا خواهد بود.  
 دربارهٔ مخرج کسر در معادلهٔ (۶۹.۸) می‌توان به ترتیب زیر عمل کرد

$$\left[ x_{\tau}^{\tau\alpha} \left( \sum_{\lambda=0}^{\infty} a_{\lambda} x_{\tau}^{\lambda} \right)^{\tau} \right]^{-1} = x_{\tau}^{-\tau\alpha} \left( \sum_{\lambda=0}^{\infty} a_{\lambda} x_{\tau}^{\lambda} \right)^{-\tau} \quad (۹۴.۸)$$

$$= x_{\tau}^{-\tau\alpha} \sum_{\lambda=0}^{\infty} b_{\lambda} x_{\tau}^{\lambda}$$

با چشمپوشی از عاملهای ثابت که در هر حال ثابت  $W(a) = 1$  بر چیده خواهند شد، داریم

$$y_{\tau}(x) = y_1(x) \int^x x_{\tau}^{-p-1-\tau\alpha} \left( \sum_{\lambda=0}^{\infty} c_{\lambda} x_{\tau}^{\lambda} \right) dx_{\tau} \quad (۹۵.۸)$$

با استفاده از معادلهٔ (۹۰.۸) داریم

$$x_{\tau}^{-p-1-\tau\alpha} = x_{\tau}^{-n-1} \quad (۹۶.۸)$$

و بنا بر فرض  $n$  عددی است درست. بانشاندن این نتیجه در معادلهٔ (۹۵.۸)، خواهیم داشت

$$y_{\tau}(x) = y_1(x) \int^x (c_0 x_{\tau}^{-n-1} + c_1 x_{\tau}^{-n} + c_2 x_{\tau}^{-n+1} + \dots + c_n x_{\tau}^{-1} + \dots) dx_{\tau} \quad (۹۷.۸)$$

انتگرالی که در معادلهٔ (۹۷.۸) ظاهر شده است، ضریب  $y_1(x)$  را به صورت دو بخش زیر به دست می‌دهد:

۱. یک سری توانی که با  $x^{-n}$  شروع می‌شود.
۲. یک جملهٔ لگاریتمی حاصل از انتگرالگیری از  $x^{-1}$  (به ازای  $n = 0$ ). هر گاه  $n$  عددی درست باشد، این جمله همواره ظاهر می‌شود، مگر آنکه  $c_n$  به طور اتفاقی صفر شود.

مثال ۴.۶.۸ یکی از جوابهای دیگر معادلهٔ بسل از معادلهٔ بسل، معادلهٔ (۵۶.۸) [با تقسیم بر  $x^2$  برای ایجاد سازگاری با معادلهٔ (۷۳.۸)]، داریم

$$P(x) = x^{-1} \quad Q(x) = 1 \quad n = 0$$

۱. به خاطر ملاحظات پارته‌ای،  $\ln x$  را به صورت  $|\ln x|$ ، یعنی زوج، در نظر می‌گیرند.

از این رو  $p_{-1} = 1$ ،  $q_0 = 1$ ؛ بقیه  $p_i$  ها و  $q_j$  ها صفرند. معادله اندیسی بسل عبارت است از

$$k^2 = 0$$

[معادله (۵۹.۸)، با  $n=0$ ]. از این دو معادله‌های (۸۸.۸) تا (۹۰.۸) را به ازای  $n = \alpha = 0$  بررسی می‌کنیم.

اولین جواب را از معادله (۶۴.۸) به دست می‌آوریم. برای سازگاری با فصل ۱۱ این جواب را مجدداً نمادگذاری می‌کنیم (و  $a_0$  را برابر یک می‌گیریم)، خواهیم داشت<sup>۱</sup>

$$y_1(x) = J_0(x) = 1 - \frac{x^2}{4} + \frac{x^4}{64} - O(x^6) \quad (\text{الف } ۹۸.۸)$$

اکنون، با نشان دادن همه این عبارتها در معادله (۸۳.۸) حالت خاص متناظر با معادله (۹۱.۸) را به دست می‌آوریم

$$y_2(x) = J_0(x) \int^x \frac{\exp[-\int^{x_1} x_1^{-1} dx_1]}{[1 - x_1^2/4 + x_1^4/64 - \dots]^2} dx_1 \quad (\text{ب } ۹۸.۸)$$

از صورت انتگرالده داریم

$$\exp\left[-\int^{x_1} \frac{dx_1}{x_1}\right] = \exp[-\ln x_1] = \frac{1}{x_1}$$

که این عبارت نظیر  $x_1^{-p-1}$  در معادله (۹۳.۸) است. از مخرج انتگرالده، با به کار بستن بسط دو جمله‌ای، داریم

$$\left[1 - \frac{x_1^2}{4} + \frac{x_1^4}{64}\right]^{-2} = 1 + \frac{x_1^2}{2} + \frac{5x_1^4}{32} + \dots$$

نظیر معادله (۹۵.۸)، خواهیم داشت

$$y_2(x) = J_0(x) \int^x \frac{1}{x_1} \left[1 + \frac{x_1^2}{2} + \frac{5x_1^4}{32} + \dots\right] dx_1 \quad (\text{ج } ۹۸.۸)$$

$$= J_0(x) \left\{ \ln x + \frac{x^2}{4} + \frac{5x^4}{128} + \dots \right\}$$

۱. حرف  $O$  (حرف اول کلمه **order** به معنای مرتبه) در اینجا به معنای جملات متناسب با توان ششم یا بالاتر  $x$  است.

این نتیجه را می‌آزماییم. از معادله (۶۳.۱۱)، که شکل استاندارد جواب دوم را می‌دهد، داریم

$$N_0(x) = \frac{\gamma}{\pi} [\ln x - \ln 2 + \gamma] J_0(x) + \frac{\gamma}{\pi} \left\{ \frac{x^2}{4} - \frac{3x^4}{128} + \dots \right\} \quad (۹۸.۸)$$

دو نکته پیش می‌آید: (۱) از آنجا که معادله بسل همگن است. می‌توانیم  $y_2(x)$  را در هر ثابتی ضرب کنیم. برای آنکه  $y_2(x)$  با  $N_0(x)$  جور شود، آن را در  $2/\pi$  ضرب می‌کنیم. (۲) به این جواب دوم، یعنی  $y_2(x)$  ( $2/\pi$ )، می‌توانیم هر مضرب ثابتی از جواب اول را بیفزاییم. باز برای جور شدن با  $N_0(x)$  عبارت زیر را می‌افزاییم

$$\frac{\gamma}{\pi} [-\ln 2 + \gamma] J_0(x)$$

که در آن  $\gamma$  همان ثابت اولر-ماشرونی (بخش ۲.۵، جلد اول) است. جواب دوم جدید تعدیل یافته عبارت است از

$$y_2(x) = \frac{\gamma}{\pi} [\ln x - \ln 2 + \gamma] J_0(x) + \frac{\gamma}{\pi} J_0(x) \left\{ \frac{x^2}{4} + \frac{5x^4}{128} + \dots \right\} \quad (۹۸.۸)$$

اکنون برای مقایسه با  $N_0(x)$  فقط باید  $J_0(x)$  از معادله (۹۸.۸ الف) را در عبارت داخل آکولاد معادله (۹۸.۸ ج) ضرب کرد. این مقایسه-تاجملاتی از مرتبه  $x^2$  و  $x^4$  که ما در نظر گرفته‌ایم- تطابق کامل را نشان می‌دهد. جواب دومی که از معادله‌های (۸۳.۸) و (۹۱.۸) به دست آوردیم با جواب دوم استاندارد یعنی تابع نویمان  $N_0(x)$  سازگار است. از این تحلیلها، نتیجه می‌گیریم که  $y_2(x)$ ، جواب دوم معادله (۷۳.۸) را می‌توان به صورت زیر نوشت

$$y_2(x) = y_1(x) \ln x + \sum_{j=-\infty}^{\infty} d_j x^{j+\alpha} \quad (۹۸.۸)$$

یعنی به صورت اولین جواب ضرب در  $\ln x$  و یک سری توانی دیگر که با  $x^{\alpha-\infty}$  شروع می‌شود. یعنی اینکه هرگاه از معادله اندیسی بخش ۵.۸ تنها یک جواب سری به دست آوریم، باید در پی یک جمله لگاریتمی باشیم. با تشخیص جواب دوم به صورت معادله (۹۸.۸) و) می‌توانیم آن را در معادله دیفرانسیل اصلی بنشانیم و ضریبهای  $d_j$  را درست به طریق بخش ۵.۸ به دست

۱.  $N_0$ ، تابع نویمان، بنا بر تعریف عبارت است از تابعی که خواص هجانایی مناسبی کسب کند (بخش ۶.۱۱ را ببینید).



آوریم. خاطر نشان می‌کنیم که نیازی به بسط سری  $\ln x$  نیست؛ در جانشانی،  $\ln x$  حذف می‌شود، ولی مشتقهایش می‌مانند.

جواب دوم معمولاً به دلیل عامل لگاریتمی و توانهای منفی  $x$  در سری، در مبدأ واگرا می‌شود. از این رو  $y_p(x)$  را معمولاً جواب نامنظم می‌نامند. جواب سری نخست،  $y_1(x)$ ، را که معمولاً در مبدأ همگراست، جواب منظم می‌نامند. رفتار در مبدأ را به طور مشروح در فصلهای ۱۱ و ۱۲ دربارهٔ تابعهای بسط، تعدیل یافتهٔ بسط، و لژاندر بررسی می‌کنیم.

### جمع‌بندی

در دو بخش اخیر (همراه با مسائل)، حل کامل معادلهٔ دیفرانسیل مرتبهٔ دوم همگن خطی، با فرض آنکه نقطهٔ بسط بدتر از یک تکینگی منظم نباشد، ارائه شد. همواره می‌توان دست کم یک جواب را از طریق جانشانی سری (بخش ۵.۸) بدست آورد. جواب دوم مستقل خطی را می‌توان با استفاده از انتگرال دوگانهٔ رونسکیبی، معادلهٔ (۸۳.۸) بدست آورد. همهٔ جوابهای ممکن همین دو تا هستند؛ هیچ جواب مستقل خطی سومی وجود ندارد (با مسئلهٔ ۱۵.۶.۸ مقایسه کنید).

معادلهٔ دیفرانسیل مرتبهٔ دوم خطی ناهمگن یک جواب اضافی خواهد داشت: جواب ویژه. این جواب ویژه را می‌توان با روش وردش متغیرها، مسئلهٔ ۲۵.۶.۸، یا با تکنیکهایی مانند توابع گرین بخش ۷.۸ بدست آورد.

### مسائل

۱۰.۶.۸ می‌دانید که سه بردار  $\mathbf{j}, \mathbf{i}$  و  $\mathbf{k}$  متقابلاً برهم عمودند (متعامدند). نشان دهید که  $\mathbf{j} \cdot \mathbf{i}$  و  $\mathbf{k}$  از یکدیگر مستقل خطی هستند. یعنی، نشان دهید که هیچ رابطه‌ای بدصورت (۶۷.۸) برای  $\mathbf{j}, \mathbf{i}$  و  $\mathbf{k}$  وجود ندارد.

۲۰.۶.۸ معیار استقلال خطی سه بردار  $\mathbf{A}, \mathbf{B}, \mathbf{C}$  عبارت است از اینکه معادله

$$a\mathbf{A} + b\mathbf{B} + c\mathbf{C} = \mathbf{0}$$

[[مانند (۶۷.۸)] هیچ جوابی نداشته باشد مگر جواب بدیهی  $a=b=c=0$ . با استفاده از مؤلفه‌ها یعنی  $\mathbf{A} = (A_1, A_2, A_3)$  والی آخر، معیار دترمینانی برای وجود یا عدم یک جواب غیر بدیهی را برای ضرایب  $a, b, c$  بدست آورید. نشان دهید که این دترمینان معادل ضرب زردهای  $\mathbf{A} \cdot \mathbf{B} \times \mathbf{C}$  است.

۳۰.۶.۸ با استفاده از دترمینان رونسکیبی، نشان دهید که مجموعهٔ توابع

$$\left\{ 1, \frac{x^n}{n!} (n=1, 2, \dots, N) \right\}$$

مستقل خطی اند.

۴.۶.۸ اگر رونسکیبی دو تابع  $y_1$  و  $y_2$  متحد با صفر باشد، توسط انتگرالگیری مستقیم نشان دهید که

$$y_1 = c y_2$$

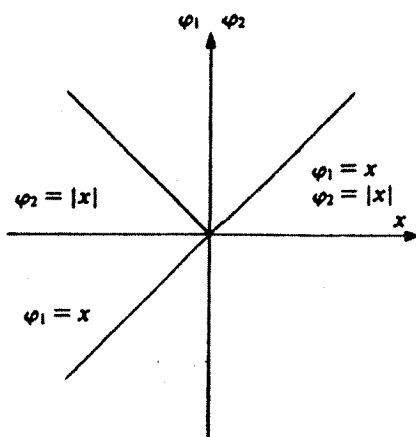
یعنی،  $y_1$  و  $y_2$  به هم وابسته اند. برای اثبات فرض کنید که دو تابع، مشتقهای پیوسته دارند و دست کم یکی از دو تابع در بازه مورد نظر صفر نمی شود.

۵.۶.۸ رونسکیبی دو تابع در  $x = x_0$  صفر شده است. نشان دهید که این رونسکیبی به ازای همه  $x$ ها صفر می شود و توابع وابسته خطی اند.

۶.۶.۸ سه تابع  $\sin x$ ،  $e^x$  و  $e^{-x}$  مستقل خطی اند. هیچیک را نمی توان به صورت ترکیب خطی دو تای دیگر نوشت. نشان دهید که رونسکیبی  $\sin x$ ،  $e^x$  و  $e^{-x}$  تنها در نقاطی متزوی، صفر می شود.

پاسخ.  $W = 4 \sin x$ ؛ که به ازای  $x = \pm n\pi$ ،  $(n = 0, 1, 2, \dots)$ ،  $W = 0$ .

۷.۶.۸ دو تابع  $\varphi_1 = x$  و  $\varphi_2 = |x| = x \operatorname{sgn} x$  را در نظر بگیرید (شکل ۴.۸). تابع  $\operatorname{sgn} x$  فقط همان علامت  $x$  است. از آنجا که  $\varphi_1' = 1$  و  $\varphi_2' = \operatorname{sgn} x$ ، برای هر بازه ای، از جمله  $[-1, +1]$ ، داریم:  $W(\varphi_1, \varphi_2) = 0$ . آیا صفر شدن رونسکیبی در بازه  $[-1, +1]$  وابستگی خطی  $\varphi_1$  و  $\varphi_2$  را اثبات می کند؟ روشن است که  $\varphi_1$  و  $\varphi_2$  مستقل خطی نیستند. اشکال موضوع در کجاست؟



شکل ۴.۸  $|x|$  و  $x$ .

\* منظور از  $\operatorname{sgn}$ ، signum است که  $\operatorname{sgn} 0 = 0$  و به ازای  $x \neq 0$ ،  $\operatorname{sgn} x = x/|x|$ .

۸۰۶۰۸ توضیح دهید که استقلال خطی به منزله عدم هرگونه وابستگی نیست. جواب خود را به کمک  $\cosh x$  و  $e^x$  نمایش دهید.

۹۰۶۰۸ معادله دیفرانسیل لژاندر

$$(1-x^2)y'' - 2xy' + n(n+1)y = 0$$

یک جواب منظم  $P_n(x)$  و یک جواب نامنظم  $Q_n(x)$  دارد. نشان دهید که رونسکیی  $P_n$  و  $Q_n$  از رابطه زیر به دست می آید

$$P_n(x)Q_n'(x) - P_n'(x)Q_n(x) = \frac{A_n}{1-x^2}$$

که در آن  $A_n$  مستقل از  $x$  است.

۱۰۰۶۰۸ به کمک رونسکیی نشان دهید که معادله دیفرانسیل همگن مرتبه دوم خطی

$$y''(x) + P(x)y'(x) + Q(x)y(x) = 0$$

نمی تواند سه جواب مستقل داشته باشد. (فرض کنید که جواب سومی وجود دارد و نشان دهید که رونسکیی به ازای همه  $x$ ها صفر می شود.)

۱۱۰۶۰۸ معادله دیفرانسیل مرتبه دوم خطی

$$y'' + P(x)y' + Q(x)y = 0$$

را با جانشانی زیر تبدیل کنید

$$y = z \exp \left[ -\frac{1}{2} \int^x P(t) dt \right]$$

و نشان دهید که معادله دیفرانسیل حاصل برای تابع  $z$  به صورت زیر است

$$z'' + q(x)z = 0$$

که در آن

$$q(x) = Q(x) - \frac{1}{4}P'(x) - \frac{1}{4}P^2(x)$$

یادآوری. این جانشانی را می توان با تکنیک مطرح شده در مسئله ۲۴۰۶۰۸ استخراج

کرد.

۱۲۰۶۰۸ با بهره گیری از نتیجه مسئله ۱۱۰۶۰۸ نشان دهید که در مختصات قطبی کروی، می توان

انتظار داشت که، قرار گرفتن  $rp(r)$  به جای  $\varphi(r)$ ، مشتق مرتبه اول را در لاپلاسی حذف کند. مسئله ۱۸.۵.۲ (ب) را هم ببینید.

۱۳.۶.۸ با مشتقگیری مستقیم و جانشانی نشان دهید عبارت

$$y_2(x) = y_1(x) \int^x \frac{\exp[-\int^s P(t)dt]}{[y_1(s)]^2} ds$$

در معادله

$$y_2''(x) + P(x)y_2'(x) + Q(x)y_2(x) = 0$$

صدق می کند.

یادآوری. فرمول لایب نیتس برای مشتقگیری از یک انتگرال به صورت زیر است

$$\begin{aligned} \frac{d}{d\alpha} \int_{g(\alpha)}^{h(\alpha)} f(x, \alpha) dx &= \int_{g(\alpha)}^{h(\alpha)} \frac{\partial f(x, \alpha)}{\partial \alpha} dx \\ &+ f[h(\alpha), \alpha] \frac{dh(\alpha)}{d\alpha} - f[g(\alpha), \alpha] \frac{dg(\alpha)}{d\alpha} \end{aligned}$$

۱۴.۶.۸ در معادله

$$y_2(x) = y_1(x) \int^x \frac{\exp[-\int^s P(t)dt]}{[y_1(s)]^2} ds$$

که در آن  $y_1(x)$  در معادله زیر صادق است

$$y_1'' + P(x)y_1' + Q(x)y_1 = 0$$

و تابع  $y_2(x)$  یک جواب دوم مستقل خطی همین معادله است. نشان دهید که افزودن حدود پایین دو انتگرال به هیچ چیز تازه ای منجر نمی شود، یعنی یا یک ضریب کلی و یا مضربی از جواب معلوم  $y_1(x)$  را اضافه می کند.

۱۵.۶.۸ با در اختیار داشتن جواب معادله

$$R'' + \frac{1}{r}R' - \frac{m^2}{r^2}R = 0$$

به صورت  $R_1 = r^m$ ، نشان دهید که می توان به کمک معادله (۸۳.۸) جواب دومی به صورت  $R = r^{-m}$  پیش بینی کرد.

۱۶۰۶۰۸. با استفاده از  $y_1(x) = \sum_{n=0}^{\infty} (-1)^n x^{2n+1} / (2n+1)!$  به عنوان يك جواب معادلهٔ نوسانگر خطی، تحلیلی را دنبال کنید که به معادلهٔ (۹۸.۸) و منتهی شد، و نشان دهید که  $c_1 = 0$ ؛ در نتیجه جواب دوم در این حالت شامل جملهٔ لگاریتمی نمی‌شود.

۱۷۰۶۰۸. نشان دهید که جواب دوم معادلهٔ بسل که از معادلهٔ (۸۳.۸) به دست می‌آید، هرگاه  $n$  عدد درستی نباشد. شامل جملهٔ لگاریتمی نیست.

۱۸۰۶۰۸ (الف) یکی از جوابهای معادلهٔ دیفرانسیل هرمیت

$$y'' - 2xy' + 2\alpha y = 0$$

به ازای  $\alpha = 0$  عبارت است از  $y_1(x) = 1$ . با استفاده از معادلهٔ (۸۳.۸)، جواب دوم یا،  $y_2(x)$ ، را پیدا کنید. نشان دهید که جواب دوم شما معادل فرد  $y$  (مسئلهٔ ۱۶۰۵۰۸) است.

(ب) با استفاده از معادلهٔ (۸۳.۸) جواب دوم را برای حالت  $\alpha = 1$ ، که در آن  $y_1(x) = x$ ، پیدا کنید. نشان دهید که جواب دوم شما معادل زوج  $y$  (مسئلهٔ ۶۰۵۰۸) است.

۱۹۰۶۰۸ یکی از جوابهای معادلهٔ دیفرانسیل لاگر

$$xy'' + (1-x)y' + ny = 0$$

به ازای  $n = 0$  عبارت است از  $y_1(x) = 1$ . با استفاده از معادلهٔ (۸۳.۸) يك جواب مستقل خطی دوم به دست آورید. جملهٔ لگاریتمی را به روشنی نمایش دهید.

۲۰۰۶۰۸ برای معادلهٔ لاگر به ازای  $n = 0$ ، داریم

$$y_2(x) = \int^x \frac{e^s}{s} ds$$

(الف)  $y_2(x)$  را به صورت يك لگاریتم به اضافهٔ يك سری توانی بنویسید.

(ب) بامشتفگیری مستقیم از صورت انتگرالی  $y_2(x)$  که در بالا داده شد، و نشانند

آن در معادلهٔ دیفرانسیل، تحقیق کنید که  $y_2(x)$  یکی از جوابهای معادلهٔ لاگر ( $n = 0$ ) است.

(ج) بامشتفگیری از  $y_2(x)$  به صورت سری بند (الف) و نشانند آن در معادلهٔ لاگر

تحقیق کنید که این هم جواب معادلهٔ لاگر است.

۲۱۰۶۰۸ یکی از جوابهای معادلهٔ چیشف

$$(1-x^2)y'' - xy' + n^2y = 0$$

به ازای  $n = 0$  عبارت است از  $y_1 = 1$ .

(الف) با استفاده از معادله (۸۳.۸) جواب مستقل خطی دیگری را به دست آورید.

(ب) با انتگرال گیری مستقیم از معادله چیشف يك جواب دوم به دست آورید.

(۱) راهنمایی. قرار دهید  $v = y'$ ، آنگاه انتگرال بگیرید. نتیجه را با جواب دوم بخش

۳.۱۳ مقایسه کنید.

پاسخ. (الف)  $y_2 = \sin^{-1} x$ ، (ب) پاسخ دوم،  $V_n(x)$ ، به ازای  $n = 0$  تعریف نشده است.

۲۲.۶.۸ یکی از جوابهای معادله چیشف

$$(1-x^2)y'' - xy' + n^2y = 0$$

به ازای  $n = 1$  عبارت است از  $y_1(x) = x$ . جواب انتگرال دوگانه رونسکیبی این معادله

را بنویسید و جواب دوم  $y_2(x)$  را استخراج کنید.

پاسخ.  $y_2 = -(1-x^2)^{1/2}$ .

۲۲.۶.۸ معادله موج شرودینگر شعاعی به صورت زیر است

$$\left[ -\frac{\hbar^2}{2m} \frac{d^2}{dr^2} + l(l+1) \frac{\hbar^2}{2mr^2} + V(r) \right] y(r) = E y(r)$$

انرژی پتانسیل  $V(r)$  را می توان به صورت زیر، حول مبدأ بسط داد

$$V(r) = \frac{b_{-1}}{r} + b_0 + b_1 r + \dots$$

(الف) نشان دهید که يك جواب (منظم) وجود دارد که با  $r^{l+1}$  شروع می شود.

(ب) بد کمک معادله (۸۴.۸) نشان دهید که جواب نامنظم در مبدأ به صورت  $r^{-l}$

واگر می شود.

۲۴.۶.۸ نشان دهید که اگر جواب  $y_2$ ، را به صورت  $y_2(x) = y_1(x)f(x)$  فرض کنیم،

آنگاه نشان دادن این جواب در معادله اصلی

$$y_2'' + P(x)y_2' + Q(x)y_2 = 0$$

به تابع زیر می انجامد

$$f(x) = \int^x \frac{\exp[-\int^s P(t)dt]}{[y_1(s)]^2} ds$$

که با معادله (۸۳.۸) سازگار است.

۲۵.۶.۸ اگر معادله دیفرانسیل مرتبه دوم خطی ناهمگن، یعنی به صورت معادله (۳۸.۸) باشد، کلیترین جواب آن عبارت است از

$$y(x) = y_1(x) + y_2(x) + y_p(x)$$

( $y_1$  و  $y_2$  جوابهای معادله همگن اند.) نشان دهید که

$$y_p(x) = y_2(x) \int^x \frac{y_1(s)F(s)ds}{W\{y_1(s), y_2(s)\}} - y_1(x) \int^x \frac{y_2(s)F(s)ds}{W\{y_1(s), y_2(s)\}}$$

که در آن  $W\{y_1(s), y_2(s)\}$  رونسکیبی  $y_1(s)$  و  $y_2(s)$  است.

داهنمایی. مانند مسئله ۲۴.۶.۸ قرار دهید  $y_p(x) = y_1(x)v(x)$  و یک معادله دیفرانسیل مرتبه اول برای  $v'(x)$  بدست آورید.

۲۶.۶.۸ (الف) نشان دهید که

$$y'' + \frac{1-\alpha^2}{4x^2}y = 0$$

دارای دو جواب زیر است

$$y_1(x) = a_0 x^{(1+\alpha)/2}$$

$$y_2(x) = a_0 x^{(1-\alpha)/2}$$

(ب) دو جواب مستقل خطی بند (الف)، به ازای  $\alpha = 0$ ، به  $y_{10} = a_0 x^{1/2}$  تقلیل پیدا می کنند. با استفاده از معادله (۸۴.۸) جواب دوم را استخراج کنید

$$y_{20}(x) = a_0 x^{1/2} \ln x$$

تحقیق کنید که  $y_{20}$  نیز یکی از جوابهاست.

(ج) نشان دهید که جواب دوم بند (ب) را می توان به صورت یک حالت حدی از دو جواب بند (الف) بدست آورد

$$y_{20}(x) = \lim_{\alpha \rightarrow 0} \left( \frac{y_1 - y_2}{\alpha} \right)$$

۷.۸ معادله ناهمگن - تابعهای گرین

با جانشانی سری بخش ۵.۸ و انتگرال دوگانه رونسکیبی بخش ۶.۸ کلیترین جواب معادله دیفرانسیل مرتبه دوم خطی همگن بدست آمد. جواب اختصاصی  $y_p$  را، که وابسته خطی

جمله چشمه  $F(x)$  در معادله (۷۸.۸) است می توان باروش وردش پارامترها به دست آورد (مسئله ۲۵.۶.۸). در این بخش به روش حل دیگری، یعنی روش تابعهای گرین می پردازیم. برای آشنایی مختصری باروش تابع گرین، به صورتی که در حل معادله دیفرانسیل جزئی ناهمگن به کار می رود، بهتر است که از شبیه الکتروستاتیکی این روش بهره گیریم. پتانسیل الکتروستاتیکی  $\psi$ ، در حضور بارها، در معادله ناهمگن پواسون صدق می کند (با بخش ۱۴.۱ مقایسه کنید)

$$\nabla^2 \psi = -\frac{\rho}{\epsilon_0} \quad (\text{بر حسب یکاهای mks}) \quad (99.8)$$

و در غیاب بارهای الکتریکی ( $\rho = 0$ )، در معادله همگن لاپلاس

$$\nabla^2 \psi = 0 \quad (100.8)$$

اگر بارها به صورت بارهای نقطه ای  $q_i$  باشند، می دانیم که جواب عبارت است از

$$\psi = \frac{1}{4\pi\epsilon_0} \sum_i \frac{q_i}{r_i} \quad (101.8)$$

که یک برهم نهی است از جوابهای مربوط به یک بار نقطه ای که از قانون کولن برای نیروی بین دو بار نقطه ای  $q_1$  و  $q_2$ ، یعنی

$$\mathbf{F} = \frac{q_1 q_2 \mathbf{r}}{4\pi\epsilon_0 r^2} \quad (102.8)$$

به دست می آید. پس از نشان دادن یک توزیع بار هموار، با چگالی بار  $\rho$ ، به جای بارهای نقطه ای گسسته، معادله (۱۰۱.۸) به صورت زیر درمی آید

$$\psi(r=0) = \frac{1}{4\pi\epsilon_0} \int \frac{\rho(\mathbf{r})}{r} d\tau \quad (103.8)$$

یا، برای پتانسیل در نقطه  $\mathbf{r} = \mathbf{r}_1$  از مبدأ و بار  $\mathbf{r} = \mathbf{r}_2$

$$\psi(\mathbf{r}_1) = \frac{1}{4\pi\epsilon_0} \int \frac{\rho(\mathbf{r}_2)}{|\mathbf{r}_1 - \mathbf{r}_2|} d\tau_2 \quad (104.8)$$

تابع دلتای دیراک

یکی از شیوه های صوری استخراج و تعمیم این نتیجه بهره گیری از  $\delta(x)$ ، تابع دلتای دیراک،



مانند بخش ۱۵۰۱ (جلد اول)، است. تابع دلتای دیراک برای حالت يك بعدی بنا بر تعريف غالباً دارای خواص زیر است

$$\delta(x) = 0, \quad x \neq 0 \quad (105.8)$$

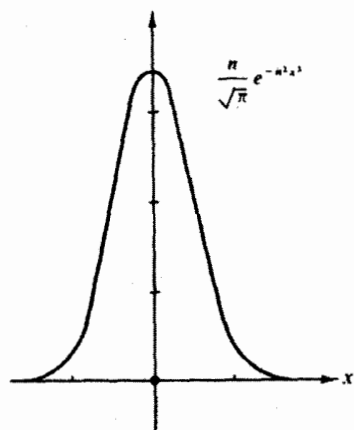
$$\int_{-\infty}^{\infty} \delta(x) dx = 1 \quad (106.8)$$

و

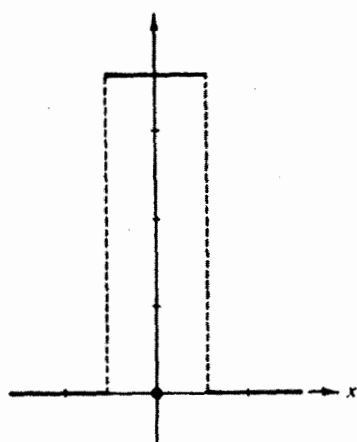
$$\int_{-\infty}^{\infty} f(x) \delta(x) dx = f(0) \quad (107.8)$$

در اینجا فرض می شود که  $f(x)$  در  $x=0$  پیوسته است.

$\delta(x)$ ، مطابق این معادلات باید معرف يك میله بینهایت بلند و بینهایت باریک باشد، مانند توصیف يك نیروی ضربه ای (بخش ۹۰۱۵ را ببینید) یا چگالی بار يك بار نقطه ای. مسئله این است که، به معنای متداول تابع، چنین تابعی وجود ندارد. تابع دلتا را می توان با تقریب به وسیله تابعهای مختلفی، معادله های (۱۰۸۰۸) تا (۱۱۱۰۸) و شکل های ۵۰۸ تا ۸۰۸، نمایش داد

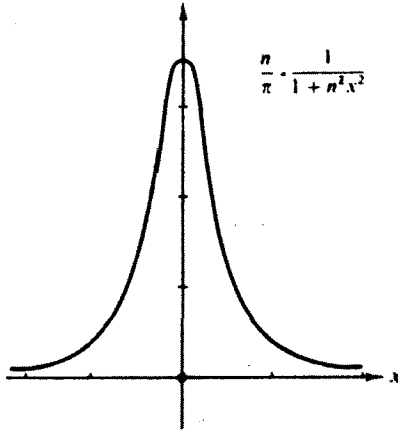


شکل ۶۰۸ تابع دنباله  $\delta$ .

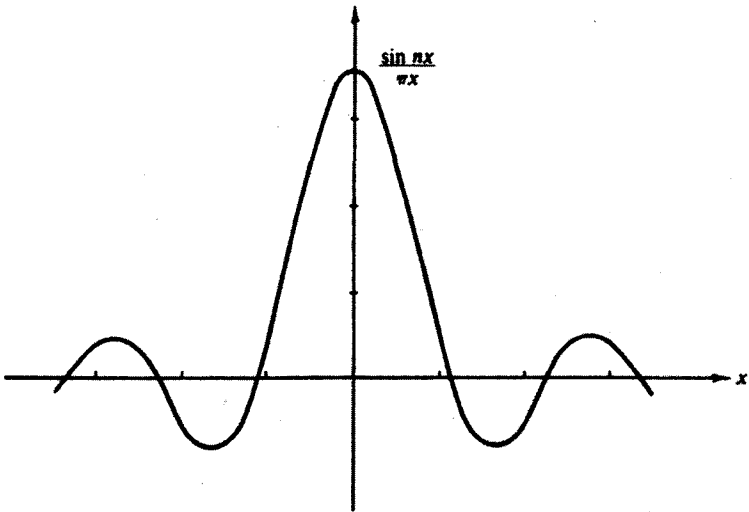


شکل ۵۰۸ تابع دنباله  $\delta$ .

۱. تابع دلتا را بارها برای توصیف نیروهای بسیار کوتاه برد، مانند نیروهای هسته ای، به کار می برند. تابع دلتا در بهنجارش تابع موجهای پیوسته در مکانیک کوانتومی نیز به کار می رود. با معادله (۲۱۰۱۵) برای ویژه تابعهای موج تخت مقایسه کنید.



شكل ٧.٨ تابع دنياله دلنا.



شكل ٨.٨ تابع دنياله  $\delta$ .

$$\delta_n(x) = \begin{cases} 0, & x < -\frac{1}{2n} \\ n, & -\frac{1}{2n} < x < \frac{1}{2n} \\ 0, & x > \frac{1}{2n} \end{cases} \quad (108.8)$$

$$\delta_n(x) = \frac{n}{\sqrt{\pi}} \exp(-n^2 x^2) \quad (109.8)$$

$$\delta_n(x) = \frac{n}{\pi} \cdot \frac{1}{1+n^2 x^2} \quad (110.8)$$

$$\delta_n(x) = \frac{\sin nx}{\pi x} = \frac{1}{2\pi} \int_{-n}^n e^{ixt} dt \quad (111.8)$$

میزان سودمندی این تقریبات فرق می‌کند. معادله (۱۰۸.۸) در استخراج ساده خاصیت انتگرالی، معادله (۱۰۷.۸)، مفید واقع می‌شود. معادله (۱۰۹.۸) برای مشتگیری مناسب است. مشتقات آن، چند جمله‌ایهای هرمیت، معادله (۷.۱۳)، را به دست می‌دهند. معادله (۱۱۱.۸) بدویژه در آنالیز فوریه و کاربردهای مکانیک کوانتومی به کار می‌رود. معادله (۱۱۱.۸) در نظریه سری فوریه، غالباً به صورت (تعدیل یافته) هسته دیریکله ظاهر می‌شود

$$\delta_n(x) = \frac{1}{2\pi} \frac{\sin[(n + \frac{1}{4})x]}{\sin(\frac{1}{4}x)} \quad (112.8)$$

به هنگام استفاده از این تقریبات در معادله (۱۰۷.۸) و معادلات بعدی، فرض می‌کنیم که  $f(x)$  خوش رفتار است، یعنی در مقادیر بزرگ  $x$  مشکلی پیش نمی‌آورد. در اکثر موارد فیزیکی چنین تقریباتی کاملاً کفایت می‌کنند. ولی وضعیت از دیدگاه ریاضی هنوز رضایت بخش نیست. حدهای

$$\lim_{n \rightarrow \infty} \delta_n(x)$$

وجود ندارد.

یکی از راههای گریز از این مشکل توسل به نظریه توزیعهاست. با تشخیص اینکه معادله (۱۰۷.۸) خاصیتی بنیادی به شمار می‌آید، به جای آنکه به  $\delta(x)$  توجه کنیم، نظر خود را به این خاصیت معطوف خواهیم کرد. معادله‌های (۱۰۸.۸) تا (۱۱۱.۸)، به ازای  $n = 1, 2, 3, \dots$  را می‌توان به عنوان دنباله‌ای از توابع بهنجار زیر در نظر گرفت

$$\int_{-\infty}^{\infty} \delta_n(x) dx = 1 \quad (113.8)$$

حد دنباله انتگرالها عبارت است از

$$\lim_{n \rightarrow \infty} \int_{-\infty}^{\infty} \delta_n(x) f(x) dx = f(0) \quad (114.8)$$

کاملاً توجه کنید که معادله (۱۱۴.۸) حد دنباله‌ای از انتگرالها به‌شمار می‌آید. باز هم در  $n \rightarrow \infty$  حد  $\delta_n(x)$  وجود ندارد. [این جداها برای هر چهار صورت  $\delta_n(x)$  در  $x=0$  و اگر می‌شوند.]

$\delta(x)$  را می‌توانیم، چنانچه سازگار باشد، به‌صورت زیر در نظر بگیریم

$$\int_{-\infty}^{\infty} \delta(x) f(x) dx = \lim_{n \rightarrow \infty} \int_{-\infty}^{\infty} \delta_n(x) f(x) dx \quad (115.8)$$

$\delta(x)$  را یک توزیع (نه یک تابع) می‌نامیم که، مطابق معادله (۱۱۵.۸)، بنا بر تعریف عبارت است از دنباله‌های  $\delta_n(x)$ . تأکید می‌کنیم که انتگرال سمت چپ معادله (۱۱۵.۸) نه یک انتگرال ریمان، بلکه یک حد است.

این توزیع  $\delta(x)$  تنها یکی از بینهایت توزیع ممکن است، ولی همان توزیعی است که به‌اعتبار معادله (۱۰۷.۸) مورد نظر ماست.

$\delta(x)$  را بارها به‌کار خواهیم برد و آن را به دلایل تاریخی، تابع دلتای دیراک<sup>۲</sup> می‌نامیم. به‌خاطر داشته باشید که  $\delta(x)$  در حقیقت یک تابع نیست بلکه اساساً یکی از موارد نمادگذاری برای کوتاه نویسی است که تلویحاً، بنا بر معادله (۱۱۵.۸)، به‌عنوان حد انتگرالهای دنباله  $\delta_n(x)$  تعریف می‌شود. باید دانست که تابع دلتای دیراک تنها به‌عنوان بخشی از انتگرالده معتبر است و هرگز یک نتیجه نهایی به‌شمار نمی‌آید. در این قالب، تابع دلتای دیراک بیشتر به‌عنوان یک عملگر، عملگری خطی، در نظر گرفته می‌شود:  $\delta(x - x_0)$  روی  $f(x)$  عمل می‌کند و حاصل آن  $f(x_0)$  است

$$\mathcal{L}(x_0) f(x) \equiv \int_{-\infty}^{+\infty} \delta(x - x_0) f(x) dx = f(x_0) \quad (116.8)$$

این تابع را می‌توان به‌عنوان یک نگاهت خطی، و یا به بیان ساده به‌عنوان یک تابع تعیین‌یافته نیز رده‌بندی کرد. با انتقال تکینگی به نقطه  $x = x_0'$  تابع دلتای دیراک را به صورت

۱. در صورت تمایل می‌توان آن را یک انتگرال استیلسجس گرفت.  $du(x)$  را به‌جای  $\delta(x) dx$  می‌نشانیم، که در آن  $u(x)$  تابع پله‌ای هویساید است (با مسئله ۱۳.۷.۸ مقایسه کنید).

۲. دیراک، تابع دلتا را وارد مکانیک کوانتومی کرد. نشانه‌های تابع دلتا عملاً به‌کیرشهوف، سال ۱۸۸۲، می‌رسد. برای توضیح بیشتر در این خصوص، مراجعه کنید به:

Jammer, M., *The Conceptual Development of Quantum Mechanics*, McGraw-Hill, New York (1966).

$\delta(x-x')$  می‌نویسیم. معادلهٔ (۱۰۷.۸) به این صورت درمی‌آید

$$\int_{-\infty}^{\infty} f(x)\delta(x-x')dx = f(x') \quad (117.8)$$

برای توصیف تکینگی در  $x=x'$ ، تابع دلتای دیراک را می‌توان به صورت  $\delta(x-x')$  یا  $\delta(x'-x)$  نوشت. در سه بعد و با استفاده از مختصات قطبی کروی داریم

$$\int_0^{2\pi} \int_0^{\pi} \int_0^{\infty} \delta(\mathbf{r}) r^2 dr \sin \theta d\theta d\varphi = \int \int \int_{-\infty}^{\infty} \delta(x)\delta(y)\delta(z) dx dy dz = 1 \quad (118.8)$$

این معادلهٔ متناظر است با یک تکینگی (یا چشمه) در مبدأ. در اینجا نیز، اگر چشمه در  $\mathbf{r}=\mathbf{r}_1$  واقع باشد، معادلهٔ (۱۱۸.۸) به صورت زیر درمی‌آید

$$\int \int \int \delta(\mathbf{r}_r - \mathbf{r}_1) r_r^2 dr_r \sin \theta_r d\theta_r d\varphi_r = 1 \quad (119.8)$$

همان‌گونه که قبلاً توضیح دادیم

$$\delta(\mathbf{r}_r - \mathbf{r}_1) = \delta(\mathbf{r}_1 - \mathbf{r}_r) \quad (120.8)$$

**معادلهٔ پواسون - جواب تابع گرین**

به مسئلهٔ الکتروستاتیکی خود بازگردیم، که  $\psi$  پتانسیل متناظر با یک توزیع بار معلوم است و از این رو در معادلهٔ پواسون صدق می‌کند

$$\nabla^2 \psi = -\frac{\rho}{\epsilon_0} \quad (121.8)$$

به یک تابع  $G$ ، که آن را تابع گرین می‌نامیم، نیاز داریم که در معادلهٔ پواسون با یک چشمه نقطه‌ای در نقطهٔ  $\mathbf{r}_1$ ، صدق کند

$$\nabla^2 G = -\delta(\mathbf{r}_1 - \mathbf{r}_r) \quad (122.8)$$

پس، از نظر فیزیکی،  $G$  عبارت است از پتانسیل در نقطهٔ  $\mathbf{r}_1$  متناظر با بار واحد ( $\epsilon_0$ ) در  $\mathbf{r}_r$ . با بهره‌گیری از قضیهٔ گرین (بخش ۱۱.۱، جلد اول) داریم

$$\int (\psi \nabla^2 G - G \nabla^2 \psi) d\tau_r = \int (\psi \nabla G - G \nabla \psi) \cdot d\boldsymbol{\sigma} \quad (123.8)$$

بافرض آنکه انتگرال سه سریمتر از  $r^{-2}$  کوچک می‌شود، می‌توانیم با در نظر گرفتن حجم چندان بزرگی که انتگرال سطحی روی آن صفر شود، مسئله را به صورت زیر ساده کنیم

$$\int \psi \nabla^2 G d\tau_r = \int G \nabla^2 \psi d\tau_r \quad (124.8)$$

و با از طریق جانشانی از معادله‌های (۱۲۱.۸) و (۱۲۲.۸)، داریم

$$-\int \psi(\mathbf{r}_r) \delta(\mathbf{r}_1 - \mathbf{r}_r) d\tau_r = -\int \frac{G(\mathbf{r}_1, \mathbf{r}_r) \rho(\mathbf{r}_r)}{\epsilon_0} d\tau_r \quad (125.8)$$

از طریق انتگرالگیری با استفاده از خاصیت معرف تابع دلتای دیراک [معادله (۱۰۷.۸)] به عبارت زیر می‌رسیم

$$\psi(\mathbf{r}_1) = \frac{1}{\epsilon_0} \int G(\mathbf{r}_1, \mathbf{r}_r) \rho(\mathbf{r}_r) d\tau_r \quad (126.8)$$

توجه کنید که از معادله (۱۲۲.۸) برای حذف  $\nabla^2 G$  استفاده کرده‌ایم ولی خود تابع  $G$  هنوز نامعلوم است. در بخش ۱۴.۱، درباره قانون گاوس، به این نتیجه رسیدیم که

$$\int \nabla^2 \left( \frac{1}{r} \right) d\tau = \begin{cases} 0 \\ -4\pi \end{cases} \quad (127.8)$$

این انتگرال در صورتی صفر است که مبدأ در آن ننگند و در حالتی برابر  $-4\pi$  است که مبدأ در درون حجم واقع باشد. این نتیجه بخش ۱۴.۱ را می‌توان به صورت زیر بازنویسی کرد

$$\nabla^2 \left( \frac{1}{4\pi r_{1r}} \right) = -\delta(\mathbf{r}_1 - \mathbf{r}_r) \quad \text{یا} \quad \nabla^2 \left( \frac{1}{4\pi r} \right) = -\delta(\mathbf{r}) \quad (128.8)$$

که معادله سمت چپ با انتقال بار الکتروستاتیکی از مبدأ بدمکان  $\mathbf{r} = \mathbf{r}_r$  متناظر است. در اینجا  $r_{1r} = |\mathbf{r}_1 - \mathbf{r}_r|$ ، و تابع دلتای دیراک  $\delta(\mathbf{r}_1 - \mathbf{r}_r)$  جز در  $\mathbf{r}_1 = \mathbf{r}_r$  صفر می‌شود. بنابراین با مقایسه معادله‌های (۱۲۲.۸) و (۱۲۸.۸)، تابع  $G$  (تابع گرین) به صورت زیر به دست می‌آید

$$G(\mathbf{r}_1, \mathbf{r}_r) = \frac{1}{4\pi |\mathbf{r}_1 - \mathbf{r}_r|} \quad (129.8)$$

جواب معادله دیفرانسیل، (معادله پواسون) عبارت است از

$$\psi(\mathbf{r}_1) = \frac{1}{4\pi\epsilon_0} \int \frac{\rho(\mathbf{r}_2)}{|\mathbf{r}_1 - \mathbf{r}_2|} d\tau_2 \quad (130.8)$$

که با معادله (۱۵۴.۸) کاملاً سازگار است.  $\psi(\mathbf{r}_1)$ ، معادله (۱۳۰.۸)، در واقع جواب اختصاصی معادله پواسون است. می‌توان جوابهای معادله لاپلاس را به این جواب افزود [با معادله (۳۹.۸) مقایسه کنید]. به اتکای این جوابها می‌توان میدان خارجی را توصیف کرد. این نتایج در بخشهای ۱۶.۱۶ و ۶.۱۶۵ دیفرانسیل خطی مرتبه دوم، ولی ناهمگن، زیر تعمیم داده می‌شوند

$$\mathcal{L}y(\mathbf{r}_1) = -f(\mathbf{r}_1) \quad (131.8)$$

تابع گرین جواب معادله زیر است

$$\mathcal{L}G(\mathbf{r}_1, \mathbf{r}_2) = -\delta(\mathbf{r}_1 - \mathbf{r}_2) \quad (132.8)$$

[شبيه معادله (۱۲۲.۸)]. پس، جواب اختصاصی  $y(\mathbf{r}_1)$  عبارت است از

$$y(\mathbf{r}_1) = \int G(\mathbf{r}_1, \mathbf{r}_2) f(\mathbf{r}_2) d\tau_2 \quad (133.8)$$

(ممکن است بسته به شرایط مشخص شده، يك انتگرال روی سطح مرزی نیز وجود داشته باشد). به طور خلاصه، تابع گرین، که به یاد گرین غالباً به صورت  $G(\mathbf{r}_1, \mathbf{r}_2)$  نوشته می‌شود، جواب معادله (۱۲۲.۸) است. این تابع در يك جواب انتگرالی معادله دیفرانسیل، مانند معادله (۱۵۴.۸)، وارد می‌شود. در حالت ساده ولی با اهمیت الکتروستاتیکی، تابع گرین:  $G(\mathbf{r}_1, \mathbf{r}_2)$ ، را به کمک قانون گاوس و با مقایسه معادله‌های (۱۲۲.۸) و (۱۲۸.۸) به دست آورديم. سرانجام، با استفاده از جواب آخری [معادله (۱۳۰.۸)] می‌توان تابع گرین را از نظر فیزیکی تفسیر کرد. این تابع به صورت يك تابع وزنی یا تابع تأثیر پدیدار می‌شود و اثر عنصر بار  $\rho(\mathbf{r}_2) d\tau_2$  را مطابق فاصله‌اش تا  $\mathbf{r}_1$  نقطه میدان، افزایش یا کاهش می‌دهد.  $G(\mathbf{r}_1, \mathbf{r}_2)$ ، تابع گرین، اثر يك چشمه نقطه‌ای واحد در  $\mathbf{r}_2$  را برای ایجاد پتانسیل در  $\mathbf{r}_1$  به دست می‌دهد. تابع گرین به همین نحو در معادله (۱۲۲.۸) وارد شد؛ و به همین نحو هم در معادله (۱۳۰.۸) ظاهر می‌شود.

### تقارن تابع گرین

یکی از خواص مهم تابع گرین تقارن دو متغیر آن است، یعنی

$$G(\mathbf{r}_1, \mathbf{r}_2) = G(\mathbf{r}_2, \mathbf{r}_1) \quad (134.8)$$

هر چند این تقارن در حالت الکتروستاتیکی که در بالا بررسی کردیم آشکار است، ولی آن را

می توان در شرایط بسیار کلیتری اثبات کرد. به جای معادله (۱۲۲.۸) فرض کنید که  $G(\mathbf{r}, \mathbf{r}_1)$  در معادله زیر صدق کند

$$\nabla \cdot [p(\mathbf{r}) \nabla G(\mathbf{r}, \mathbf{r}_1)] + \lambda q(\mathbf{r}) G(\mathbf{r}, \mathbf{r}_1) = -\delta(\mathbf{r} - \mathbf{r}_1) \quad (135.8)$$

که متناظر است با یک چشمه نقطه‌ای ریاضی در  $\mathbf{r} = \mathbf{r}_1$ . در اینجا توابع  $p(\mathbf{r})$  و  $q(\mathbf{r})$  توابعی خوش رفتار ولی اختیاری از  $\mathbf{r}$  هستند. تابع گرین  $G(\mathbf{r}, \mathbf{r}_1)$  نیز در همین معادله صدق می‌کند، با این تفاوت که به جای شاخص پایین ۱ باید شاخص پایین ۲ را به کار برد

$$\nabla \cdot [p(\mathbf{r}) \nabla G(\mathbf{r}, \mathbf{r}_2)] + \lambda q(\mathbf{r}) G(\mathbf{r}, \mathbf{r}_2) = -\delta(\mathbf{r} - \mathbf{r}_2) \quad (136.8)$$

که در آن  $G(\mathbf{r}, \mathbf{r}_2)$  نوعی پتانسیل است در  $\mathbf{r}$ ، که توسط چشمه نقطه‌ای واحد در  $\mathbf{r}_2$  به وجود آمده است. معادله مربوط به  $G(\mathbf{r}, \mathbf{r}_1)$  را در  $G(\mathbf{r}, \mathbf{r}_2)$ ، و معادله مربوط به  $G(\mathbf{r}, \mathbf{r}_2)$  را در  $G(\mathbf{r}, \mathbf{r}_1)$  ضرب و این دورا از هم کم می‌کنیم

$$\begin{aligned} & G(\mathbf{r}, \mathbf{r}_2) \nabla \cdot [p(\mathbf{r}) \nabla G(\mathbf{r}, \mathbf{r}_1)] - G(\mathbf{r}, \mathbf{r}_1) \nabla \cdot [p(\mathbf{r}) \nabla G(\mathbf{r}, \mathbf{r}_2)] \\ &= -G(\mathbf{r}, \mathbf{r}_2) \delta(\mathbf{r} - \mathbf{r}_1) + G(\mathbf{r}, \mathbf{r}_1) \delta(\mathbf{r} - \mathbf{r}_2) \quad (137.8) \end{aligned}$$

اولین جمله در معادله (۱۳۷.۸)، یعنی

$$G(\mathbf{r}, \mathbf{r}_2) \nabla \cdot [p(\mathbf{r}) \nabla G(\mathbf{r}, \mathbf{r}_1)]$$

را می‌توان با عبارت زیر عوض کرد

$$\nabla \cdot [G(\mathbf{r}, \mathbf{r}_2) p(\mathbf{r}) \nabla G(\mathbf{r}, \mathbf{r}_1)] - \nabla G(\mathbf{r}, \mathbf{r}_2) \cdot p(\mathbf{r}) \nabla G(\mathbf{r}, \mathbf{r}_1)$$

جمله دوم را نیز می‌توان به همین ترتیب تبدیل کرد. سپس با انتگرال‌گیری روی هر نوع حجمی که در مسئله مطرح است، و با استفاده از قضیه گرین، انتگرال سطحی زیر را به دست می‌آوریم

$$\begin{aligned} & \int_S [G(\mathbf{r}, \mathbf{r}_2) p(\mathbf{r}) \nabla G(\mathbf{r}, \mathbf{r}_1) - G(\mathbf{r}, \mathbf{r}_1) p(\mathbf{r}) \nabla G(\mathbf{r}, \mathbf{r}_2)] \cdot d\mathbf{o} \\ &= -G(\mathbf{r}_1, \mathbf{r}_2) + G(\mathbf{r}_2, \mathbf{r}_1) \quad (138.8) \end{aligned}$$

جملات سمت راست با انتگرال‌گیری حجمی از توابع دلتای دیراک به دست آمده‌اند. با این شرط که توابع گرین،  $G(\mathbf{r}, \mathbf{r}_1)$  و  $G(\mathbf{r}, \mathbf{r}_2)$ ، روی سطح  $S$  دارای یک مقدار باشند و مشتقاتی

---

۱. معادله (۱۳۵.۸) یک صورت سه‌بعدی از معادله ویژه مقداری خود-الحاقی، یعنی معادله (۴.۹)، است.



نرمال آنها روی سطح  $S$  دارای مقدار یکسانی باشند، یا این شرط که توابع گرین روی سطح  $S$  صفر شوند (شرایط مرزی دیریکله، بخش ۱۰.۹ را ببینید)۱، انتگرال سطحی صفر می شود، و

$$G(\mathbf{r}_1, \mathbf{r}_2) = G(\mathbf{r}_2, \mathbf{r}_1) \quad (139.8)$$

که نمایانگر مقارن بودن تابع گرین است. اگر ویژه تابعها مختلط باشند، شرایط مرزی متناظر با معادله های (۲۰.۹) تا (۲۲.۹)، شرایط مرزی مناسبی به شمار می آیند. معادله (۱۳۹.۸) به صورت زیر درمی آید

$$G(\mathbf{r}_1, \mathbf{r}_2) = G^*(\mathbf{r}_2, \mathbf{r}_1) \quad (140.8)$$

دقت کنید که این خاصیت تقارنی توابع گرین در همه معادله هایی از نوع معادله (۱۳۵.۸)، وجود دارد. در فصل ۹ این نوع معادله ها را خود-الحاقی می نامیم. تقارن اساس قضیه های تقابل مختلفی است؛ اثر بار در  $\mathbf{r}_2$  روی پتانسیل در  $\mathbf{r}_1$  مانند اثر بار در  $\mathbf{r}_1$  روی پتانسیل در  $\mathbf{r}_2$  است.

این مورد استفاده از توابع گرین، برای حل بسیاری از مسئله های مشکل تر فیزیک ریاضی تکنیکی قوی به شمار می آید. در فصل ۱۶، به هنگام بررسی معادله های انتگرالی بار دیگر از این روش بهره خواهیم گرفت.

مسائل  
۱۰۷۰۸ داریم

$$\delta_n(x) = \begin{cases} 0, & x < -\frac{1}{2n} \\ n, & -\frac{1}{2n} < x < \frac{1}{2n} \\ 0, & \frac{1}{2n} < x \end{cases}$$

با فرض آنکه  $f(x)$  در  $x=0$  پیوسته است، نشان دهید که

۱. هر نوع تلاش برای برقراری این شرط که مشتقهای نرمال در سطح صفر شوند (شرایط نویمان، بخش ۱۰.۹ را ببینید) به مشکلاتی در مورد قانون گاوس می انجامد. این حالت شبیه آن است که وقتی نیک می دانیم پاری الکتریکی در درون سطح وجود دارد، شرط کنیم  $\oint \mathbf{E} \cdot d\sigma = 0$ .

$$\lim_{n \rightarrow \infty} \int_{-\infty}^{\infty} f(x) \delta_n(x) dx = f(0)$$

۲۰۷۰۸ تحقیق کنید دنباله  $\delta_n(x)$ ، که بر اساس تابع زیر تعریف می‌شود، يك دنباله دلتاست [یعنی در معادله (۱۱۴۰۸) صدق می‌کند]

$$\delta_n = \begin{cases} 0, & x < 0 \\ n e^{-nx}, & x > 0 \end{cases}$$

دقت کنید که تکینگی در  $0+$ ، یعنی در طرف مثبت مبدأ، قرار دارد. راهنمایی. حد بالایی ( $\infty$ ) را با  $c/n$  تعویض کنید،  $c$  بزرگ ولی منتهای است. آنگاه از قضیه مقدار متوسط در محاسبات انتگرالها استفاده کنید.

۳۰۷۰۸ بد ازای

$$\delta_n(x) = \frac{n}{\pi} \cdot \frac{1}{1+n^2 x^2}$$

[معادله (۱۱۰۰۸)]، نشان دهید که

$$\int_{-\infty}^{\infty} \delta_n(x) dx = 1$$

۴۰۷۰۸ با نشان دادن اینکه

$$\lim_{n \rightarrow \infty} \int_{-\infty}^{\infty} f(x) \frac{\sin nx}{\pi x} dx = f(0)$$

نشان دهید که  $\delta_n = \sin nx / \pi x$  يك توزیع دلتاست. فرض کنید که  $f(x)$  در  $x=0$  پیوسته است و در  $x \rightarrow \pm\infty$  صفر می‌شود.

راهنمایی.  $x$  را با  $y/n$  تعویض کنید و قبل از آنکه انتگرال بگیرد حد  $n \rightarrow \infty$  را بیابید. انتگرال لازم در بخشهای ۲۰۷ و (جلد اول) و ۷۰۱۵ محاسبه شده است.

۵۰۷۰۸ در روش فوژه برای جمع کردن سریها بد تابع زیر برمی‌خوریم

$$\delta_n(t) = \frac{1}{2\pi n} \left[ \frac{\sin(nt/2)}{\sin(t/2)} \right]^2$$

نشان دهید که  $\delta_n(t)$  يك توزیع دلتاست، بد این معنی که

$$\lim_{n \rightarrow \infty} \frac{1}{2\pi n} \int_{-\infty}^{\infty} f(t) \left[ \frac{\sin(nt/2)}{\sin(t/2)} \right]^2 dt = f(0)$$

۶۰۷۰۸ ثابت کنید که

$$\delta[a(x-x_1)] = \frac{1}{a} \delta(x-x_1)$$

یادآوری. اگر فرض شود که  $\delta[a(x-x_1)]$  نسبت به  $x_1$  زوج است، این رابطه برای مقادیر منفی  $a$  برقرار است و  $1/a$  را باید با  $1/|a|$  تعویض کرد.

۷۰۷۰۸ نشان دهید که

$$\delta[(x-x_1)(x-x_2)] = [\delta(x-x_1) + \delta(x-x_2)] / |x_1 - x_2|$$

دانهمایی. از مسئلهٔ ۶۰۷۰۸ استفاده کنید.

۸۰۷۰۸ با استفاده از دنبالهٔ دلتای ( $\delta_n$ ) مربوط به منحنی خطای گاوس نشان دهید که

$$x \frac{d}{dx} \delta(x) = -\delta(x)$$

با  $\delta(x)$  و مشتقاتش مثل معادلهٔ (۱۱۵.۸) عمل کنید.

۹۰۷۰۸ نشان دهید که

$$\int_{-\infty}^{\infty} \delta'(x) f(x) dx = -f'(0)$$

در اینجا فرض می‌کنیم که  $f'(x)$  در  $x=0$  پیوسته است.

۱۰۰۷۰۸ ثابت کنید که

$$\delta(f(x)) = \left| \frac{df(x)}{dx} \right|^{-1} \delta(x-x_0)$$

که در آن  $x_0$  چنان انتخاب شده است که:  $f(x_0) = 0$ .

دانهمایی. توجه کنید که  $\delta(f)df = \delta(x)dx$ .

۱۱۰۷۰۸ نشان دهید که تابع دلتای ( $\delta(\mathbf{r}_1 - \mathbf{r}_2)$ ) در مختصات قطبی کروی ( $r, \theta, \varphi$ ) به صورت زیر درمی‌آید

$$\frac{1}{r_1^2} \delta(r_1 - r_2) \delta(\cos \theta_1 - \cos \theta_2) \delta(\varphi_1 - \varphi_2)$$

این نتیجه را به مختصات خمیده خط  $(q_1, q_2, q_3)$  بخش ۱۰۲ (جلد اول) با ضرایب مقیاس  $h_1, h_2, h_3$  و  $h_4$  تعمیم دهید.

۱۲.۷.۸ در بسط جامع تبدیلیهای فوریه<sup>۱</sup> به قضیه‌ای مبتنی بر روابط زیر برمی‌خوریم

$$\lim_{a \rightarrow \infty} \frac{1}{\pi} \int_{x_1}^{x_2} f(u+x) \frac{\sin ax}{x} dx$$

$$= \begin{cases} f(u+0) + f(u-0), & x_1 < 0 < x_2 \\ f(u+0), & x_1 = 0 < x_2 \\ f(u-0), & x_1 < 0 = x_2 \\ 0, & x_1 < x_2 < 0 \text{ یا } 0 < x_1 < x_2 \end{cases}$$

با استفاده از تابع دلتای دیراک درستی نتایج فوق را تحقیق کنید.

۱۳.۷.۸ (الف) اگر دنباله‌ای به صورت  $\delta_n(x) = n / (2 \cosh^2 nx)$  تعریف کنیم، نشان دهید

$$\int_{-\infty}^{\infty} \delta_n(x) dx = 1 \quad (\text{مستقل از } n)$$

(ب) با ادامه این تحلیل نشان دهید که<sup>۲</sup>

$$\int_{-\infty}^x \delta_n(x) dx = \frac{1}{2} \left[ 1 + \tanh nx \right] \equiv u_n(x)$$

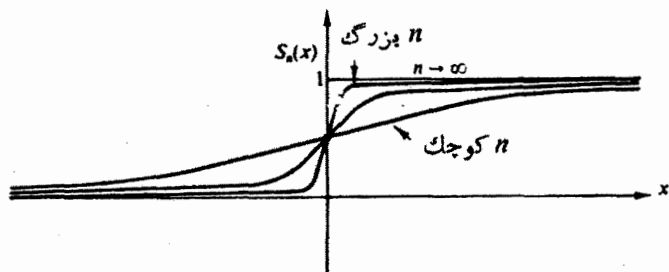
و

$$\lim_{n \rightarrow \infty} u_n(x) = \begin{cases} 0, & x < 0 \\ 1, & x > 0 \end{cases}$$

این تابع پله‌ای واحد هوساید است.

1. Sneddon, I. N., *Fourier Transforms*. New York: McGraw-Hill (1951).

۲. نمادهای بسیار دیگری برای این تابع به کار رفته است. علامت  $u_n$  از AMS-55 اقتباس شده است.  $u$  حرف اول کلمه unit به معنای واحد است.



شکل ۹.۸  $1/2[1 + \tanh nx]$  و تابع پله‌ای واحد هوساید.

۱۴.۷.۸ نشان دهید که تابع پله‌ای واحد  $u(x)$  را می‌توان به صورت زیر نمایش داد

$$u(x) = \frac{1}{2} + \frac{1}{2\pi i} P \int_{-\infty}^{\infty} \frac{e^{ixt}}{t} dt$$

که در آن  $P$  به معنای مقدار اصلی کوشی است (بخش ۲.۷، جلد اول).

۱۵.۷.۸ رابطه زیر را به عنوان صورت دیگری از معادله (۱۱۱.۸) در نظر بگیرید

$$\delta_n(x) = \frac{1}{2\pi} \int_{-\infty}^{\infty} e^{ixt - |t|^n} dt$$

نشان دهید که این رابطه به  $(n/\pi) \times 1/(1+n^2x^2)$ ، معادله (۱۱۰.۸) منس می‌یابد، و نیز

$$\int_{-\infty}^{\infty} \delta_n(x) dx = 1$$

یادآوری. معادله اولیه را می‌توان بر حسب تبدیلهای انتگرالی یا به عنوان تبدیل نمایی فوریه  $e^{-|t|^n}$  و یا تبدیل لاپلاس  $e^{ixt}$  تفسیر کرد.

۱۶.۷.۸ نشان دهید که

$$G(\mathbf{r}_1, \mathbf{r}_2) = \frac{e^{ik|\mathbf{r}_1 - \mathbf{r}_2|}}{4\pi|\mathbf{r}_1 - \mathbf{r}_2|}$$

تابع گرینی است که در معادله دیفرانسیل زیر صدق می‌کند

$$(\nabla^2 + k^2)G(\mathbf{r}_1, \mathbf{r}_2) = -\delta(\mathbf{r}_1 - \mathbf{r}_2)$$

این اثبات شامل دو بخش است:

(الف) نشان دهید که  $G(\mathbf{r}_1, \mathbf{r}_2)$  دور از  $\mathbf{r}_1 = \mathbf{r}_2$  در معادله دیفرانسیل صدق می‌کند.

(ب) نشان دهید که به ازای مقادیر به اندازه کافی کوچک  $|r_1 - r_2|$  داریم

$$\int_V (\nabla^2 + k^2) G(r_1, r_2) d\tau_1 = \begin{cases} 0, & r_2 \notin V \\ -1, & r_2 \in V \end{cases}$$

### ۸.۸ جوابهای عددی

جوابهای تحلیلی و جوابهای تقریبی معادله‌های دیفرانسیل در این فصل و در فصلهای بعد برای حل مسئله مورد نظر، به خصوص اگر تقارنی وجود داشته باشد، کافی خواهند بود. جوابهای سری توانی چگونگی رفتارشان را به ازای مقادیر کوچک  $x$  نشان می‌دهند. جوابهای مجانبی (با بخشهای ۶.۱۱ و ۱۰.۱۲ مقایسه کنید) رفتار جواب را به ازای مقادیر بزرگ  $x$  نشان می‌دهند. این حالت‌های حدی و نیز مشابهت احتمالی میان معادله دیفرانسیل ما و صورت‌های استاندارد با جوابهای معلوم (فصلهای ۱۱ تا ۱۳) به درک رفتار کلی جوابها کمک بسیار با ارزشی می‌کنند.

ولی، معمولاً وضعیت به این صورت است که مایک معادله متفاوت داریم، مثلاً پتانسیل متفاوتی در معادله موج شروودینگر، و یک جواب نسبتاً دقیق می‌خواهیم. از این رو به تکنیکهای عددی رو می‌آوریم.

#### معادله‌های دیفرانسیل مرتبه اول

معادله دیفرانسیل متضمن پیوستاری از نقاط است. متغیر مستقل  $x$  پیوسته است. متغیر وابسته (نامعلوم)،  $y(x)$  نیز پیوسته فرض می‌شود. مفهوم مشتقگیری پیوستگی را ایجاب می‌کند، در فرایندهای عددی، به جای این پیوستارها مجموعه‌های گسسته‌ای می‌نشینند.  $x$  را در نقاط زیر در نظر می‌گیریم

$$x_0, x_0 + h, x_0 + 2h, x_0 + 3h, \dots$$

که در آن  $h$  بازه کوچکی است. علی‌الاصول، هر چه  $h$  کوچکتر باشد، تقریبمان بهتر است. ولی اگر  $h$  را بسیار کوچک در نظر بگیریم، لازم است ماشین وقت زیادی صرف کند و ممکن است به جهت خطاهای ناشی از گرد شدن که روی هم انباشته شده‌اند، دقت کم واقعاً کم شود. مقادیر گسسته متوالی  $x$  را با  $x_n, x_{n+1}, \dots$  و الی آخر، و مقادیر متناظر  $y(x)$  را به صورت  $y(x_n) = y_n$  نشان می‌دهیم. اگر  $x_0$  و  $y_0$  معلوم باشند، مسئله عبارت خواهد بود از یافتن  $y_1, y_2, \dots$  و الی آخر.

#### جواب به صورت سری تایلور

معادله دیفرانسیل مرتبه اول (احتمالاً غیرخطی) معمولی زیر را، با شرط اولیه  $y(x_0) = y_0$  در نظر بگیرید

$$\frac{d}{dx}y(x) = f(x, y) \quad (141.8)$$

اصولاً، می‌توان به کمک بسط تایلور به صورت زیر، (و با فرض اینکه همه مشتقها وجود دارند و سری تایلور همگراست) به یک جواب گام به گام نسبتاً دقیق برای معادله دیفرانسیل مرتبه اول (۱۴۱.۸) دست یافت

$$y(x_0 + h) = y(x_0) + hy'(x_0) + \frac{h^2}{2!}y''(x_0) + \dots + \frac{h^n}{n!}y^{(n)}(x_0) + \dots \quad (142.8)$$

مقدار اولیه  $y(x_0)$  معلوم، و  $y'(x_0)$  به صورت  $f(x_0, y_0)$  داده شده است. علی‌الاصول، مشتقهای بالاتر را می‌توان با مشتقگیری از  $y'(x) = f(x, y)$  به دست آورد. ممکن است این مشتقگیری عملاً خسته کننده باشد. ولی امروزه این مشتقگیری را می‌توان به وسیله کامپیوتر و با استفاده از زبانهایی مانند FORMAC انجام داد. برای معادله‌هایی به آن شکلی که در این فصل با آنها مواجهیم، یک کامپیوتر بزرگ، ده مشتق یا حتی بیشتر را به سهولت تولید و محاسبه می‌کند.

جواب سری تایلور صورتی از تمديد تحلیلی، بخش ۵.۶ (جلد اول)، است. اگر سمت راست معادله (۱۴۲.۸) را پس از دو جمله قطع کنیم، خواهیم داشت

$$y_1 = y_0 + hy'_0 \quad (143.8)$$

$$v + hf(x_0, y_0)$$

که در آن از جمله‌هایی با مرتبه  $h^2$  چشم پوشیده‌ایم. معادله (۱۴۳.۸) را غالباً جواب اولیه می‌گویند. آشکار است که با چشمپوشی از جمله‌هایی با مرتبه  $h^2$ ، در این جواب خطایی جدی راه پیدا می‌کند.

روش رونز-کوتا

روش رونز-کوتا بهبود یافته روش بالاست، با خطایی از مرتبه  $h^5$ . فرمولهای مربوط به این روش عبارت‌اند از

$$y_{n+1} = y_n + [k_0 + 2k_1 + 2k_2 + k_3]/6 \quad (144.8)$$

که در آن

$$k_0 = hf(x_n, y_n)$$

$$k_1 = hf\left(x_n + \frac{1}{4}h, y_n + \frac{1}{4}k_0\right)$$

(۱۴۵.۸)

$$k_2 = hf\left(x_n + \frac{2}{4}h, y_n + \frac{1}{4}k_0 + \frac{1}{4}k_1\right)$$

$$k_3 = hf(x_n + h, y_n + k_3)$$

نحوه استخراج این معادلات در کتاب رالستون و ویلف<sup>۱</sup> (فصل ۹ توسط رومانلی<sup>۲</sup>) آمده است.

معادلات (۱۴۴.۸) و (۱۴۵.۸) روشی را که می‌توان روش مرتبه چهارم کلاسیکی رونژ-کوتا نامید تعریف می‌کنند (بادقتی از مرتبه  $h^4$ ). این روش در برنامه SSP<sup>۳</sup> آی.بی.ام. دنبال می‌شود. روشهای رونژ-کوتای بسیار دیگری نیز وجود دارد. لاپیدوس<sup>۴</sup> و سینفله (مراجع آخر فصل را ببینید) ضمن بررسی و مقایسه امکانات مختلف یک روش مرتبه پنجم مربوط به بوچر<sup>۵</sup> را به عنوان روشی که نسبت به روش کلاسیکی اندکی برتر است، توصیه می‌کنند.

در روش فوق معادلات (۱۴۴.۸) و (۱۴۵.۸) را به همین شکل در نظر می‌گیرند و پارامترها را چنان تنظیم می‌کنند که به یک بسط تیلور تا مرتبه  $h^4$  برازش دهد. از دیدگاه این بسط تیلور، روش رونژ-کوتا نیز مثالی برای تمدید تحلیلی به شمار می‌آید.

در حالت خاصی که در آن  $dy/dx$  تنها تابع  $x$  باشد [یعنی  $f(x, y)$  در معادله (۱۴۱.۸) به صورت  $f(x)$  باشد]، آخرین جمله معادله (۱۴۴.۸)، مطابق قاعده سیمپسون<sup>۷</sup>، به یک انتگرالگیری عددی از  $x_n$  تا  $x_{n+1}$  تقلیل می‌یابد.

روش رونژ-کوتا پایدار است، یعنی خطاهای کوچک در آن بزرگ نمی‌شوند. این روش خود-آغاز است، یعنی فقط  $x_0$  و  $y_0$  را می‌گیریم و عملیات را ادامه می‌دهیم. ولی این روش معایبی هم دارد. در هر مرحله چهار بار محاسبه جداگانه  $f(x, y)$  ضروری است. خطا، هر چند که در هر مرحله از مرتبه  $h^5$  است ولی مقدارش مشخص نیست. معمولاً  $h$  را نصف می‌کنند و محاسبه را تکرار می‌کنند، اگر نتیجه دوم با نتیجه اول سازگار بود، آنگاه پی می‌برند  $h$  به اندازه کافی کوچک بوده است.

روش رونژ-کوتا را می‌توان به مجموعه‌ای از معادله‌های مرتبه اول جفت شده تعمیم داد

1. Ralston, A. & H.S. Wilf, eds., *Mathematical Methods for Digital Computers*, New York: Wiley (1960).

2. Romanelli, M.J.

3. Scientific Subroutine Package

4. Lapidus

5. Seinfeld

6. Butcher.

7. Simpson rule



$$\frac{du}{dx} = f_1(x, u, v)$$

(۱۴۶.۸)

$$\frac{dv}{dx} = f_2(x, u, v), \dots$$

تعداد متغیرهای وابسته می‌تواند هر چند تا باشد. معادله (۱۴۶.۸) نیز می‌تواند غیرخطی باشد، و این نیز یکی از مزایای حل عددی است.

روشهای پیشگو - مصحح

به کمک روش دیگری برای حل معادله (۱۴۱.۸)، می‌توانیم یک مقدار آزمایشی به صورت زیر برای  $y_{n+1}$  بر آورد یا پیشگویی کنیم

$$\bar{y}_{n+1} = y_{n-1} + 2hy'_n$$

(۱۴۷.۸)

$$= y_{n-1} + 2hf(x_n, y_n)$$

این معادله کاملاً شبیه معادله (۱۴۳.۸) نیست. در عوض می‌توان آن را به صورت زیر مانند مشتق تعبیر کرد

$$y'_n \approx \frac{\Delta y}{\Delta x} = \frac{y_{n+1} - y_{n-1}}{2h} \quad (۱۴۸.۸)$$

مانند آنکه به جای خط مماس، یک وتر قرار دهیم. سپس،  $y'_{n+1}$  را محاسبه می‌کنیم

$$y'_{n+1} = f(x_{n+1}, \bar{y}_{n+1}) \quad (۱۴۹.۸)$$

آنگاه برای تصحیح خام بودن معادله (۱۴۷.۸) باز  $y_{n+1}$  را محاسبه می‌کنیم

$$y_{n+1} = y_n + \frac{h}{4}(\bar{y}_{n+1} + y'_n) \quad (۱۵۰.۸)$$

در اینجا نسبت تفاضلهای متناهی  $\Delta y/h$  را، تقریباً، با مقدار متوسط دومشتق برابر گرفته ایم. این تکنیک، یعنی یک پیشگویی و سپس یک تصحیح (وتکرار تا آنجا که سازگاری حاصل شود)، اساس روش پیشگو-مصحح را تشکیل می‌دهد. باید تأکید کنیم که مجموعه معادلات بالا تنها برای نمایش روش پیشگو-مصحح آورده شده‌اند. دقت این مجموعه (که از مرتبه  $h^3$  است) معمولاً کافی نیست.

تکرار [یعنی جانشانی  $y_{n+1}$  از معادله (۱۵۰.۸) در معادله (۱۴۹.۸) و ادامه این

کار تاجایی که  $y_{n+1}$  به یک مقدار حدی نزدیک شود، از نظر ماشین محاسب، عملی و قنطیر است. از این رو معمولاً به جای تکرار، یک مرحله واسطه‌ای (مرحله تعدیل کننده) بین معادله (۱۴۷.۸) و (۱۴۹.۸) در نظر گرفته می‌شود.

این روش تعدیل یافته روش پیشگو-مصحح، نسبت به روش رونژ-کوتا، دارای این مزیت عمده است که در آن، در هر مرحله به جای چهار محاسبه تنها به دو محاسبه  $f(x, y)$  نیاز است. این روش، به صورتی که در ابتدا عنوان شد، متأسفانه ناپایدار بود؛ گرایش خطاهای کوچک (ناشی از گرد شدن اعداد و قطع سریها) در تمام محاسبه به انتشار و تقویت متوجه بود. در روش طراحی شده همینگ از روش پیشگو-مصحح، وی برای این مشکل بسیار جدی ناپایداری فائق آمده است. فرمولهای مربوط (که نسبتاً پیچیده‌اند)، شامل یک مشتق جزئی و دستورالعملهای مشروح برای آغاز حل، توسط رالستون (فصل ۸ کتاب رالستون و ویلف) ارائه شده است. دقت روش همینگ تا مرتبه  $h^4$  است. این روش برای تمام مقادیر معقول  $h$  پایدار است. و بر آوردی از خطا نیز به دست می‌دهد. برعکس روش رونژ-کوتا، این روش خود-آغاز نیست. مثلاً، در معادله (۱۴۷.۸) هم به مقدار  $y_{n-1}$  و هم به مقدار  $y_n$  نیاز پیدا می‌شود. مقادیر اولیه  $(y_0, y_1, y_2, y_3)$ ، در روش پیشگو-مصحح بایک حل سری (سری توانی به ازای مقادیر کوچک  $x$  و سری مجانبی به ازای مقادیر بزرگ  $x$ ) و یا با روش رونژ-کوتا به دست می‌آیند.

روش پیشگو-مصحح همینگ را می‌توان به مجموعه‌ای از معادله‌های دیفرانسیل مرتبه اول جفت شده، مانند معادله (۱۴۶.۸)، تعمیم داد.

### معادله‌های دیفرانسیل مرتبه دوم

هر معادله دیفرانسیل مرتبه دوم

$$y''(x) + P(x)y'(x) + Q(x)y(x) = F(x) \quad (151.8)$$

را می‌توان با معرفی تابع  $z(x)$  به صورت زیر به دو معادله دیفرانسیل مرتبه اول تجزیه کرد

$$y'(x) = z(x) \quad (152.8)$$

و

$$z'(x) + P(x)z(x) + Q(x)y(x) = F(x) \quad (153.8)$$

این معادلات دیفرانسیل مرتبه اول جفت شده را می‌توان به کمک یکی از دو تکنیک رونژ-کوتا یا پیشگو-مصحح همینگ که قبلاً توضیح داده شد، حل کرد. سرانجام، به عنوان حرف آخر باید گفت که به کار بستن بدون ملاحظه و دوزاد دقت این

تکنیکهای عددی توانا در حقیقت ممکن است به مشکلات جدی بینجامد. حل يك معادلهٔ دیفرانسیل متفاوت جدید معمولاً آمیزه‌ای از محاسبات آنالیزی و عددی را تشکیل می‌دهد. در واقع، فایده‌ای ندارد اگر بخواهیم روش روز-کوتا را برای يك نقطهٔ تکین، که در آن جواب واگر است، به کار بریم.

### مسائل

۱۰۸۰۸ روش روز-کوتا، معادلهٔ (۱۴۴.۸) را برای معادلهٔ دیفرانسیل مرتبهٔ اول  $dy/dx = f(x)$  به کار می‌بریم. دقت کنید که  $f(x)$  مستقل از  $y$  است. نشان دهید که در این حالت خاص روش روز-کوتا به قاعدهٔ سیمپسون برای کوادراتور عددی (پیوست ۲ را ببینید) می‌انجامد.

۲۰۸۰۸ (الف) جسمی که در يك محیط مقاوم سقوط می‌کند (بدخاطر وجود نیروی ترمزی که با سرعت متناسب است) با معادلهٔ زیر توصیف می‌شود

$$\frac{dv}{dt} = g - av$$

ثابتها را به صورت زیر بگیرید

$$a = 0.25 \text{ s}^{-1} \quad \text{و} \quad g = 9.80 \text{ m/s}^2$$

شرایط اولیه عبارت‌اند از  $t = 0$  و  $v = 0$ . از این معادله در مراحل ۱ و ۲ ثانیه‌ای تا  $t = 2.00 \text{ s}$  انتگرال بگیرید. مقدار سرعت در رأس هر ثانیه،  $v(1.00)$ ،  $v(2.00)$ ، و الی آخر، را جدول‌بندی کنید. اگر بدیک برنامهٔ کامپیوتری برای ترسیم منحنی دسترسی دارید،  $v(t)$  را بر حسب  $t$  رسم کنید.

(ب) نسبت  $v(2.00)$  به  $v(\infty)$ ، سرعت انتهایی، را محاسبه کنید.

مقدار آزمونی.  $v(1.0) = 42.369 \text{ m/s}$ .

پاسخ. (ب) ۰.۹۸۱۷.

۳۰۸۰۸ معادلهٔ دیفرانسیل مربوط به جمعیت يك دختر عنصر بر توza به صورت زیر است

$$\frac{dN_2(t)}{dt} = \lambda_1 \exp(-\lambda_1 t) - \lambda_2 N_2$$

$\lambda_1 = 0.10 \text{ s}^{-1}$  آهنگ تولید ناشی از واپاشی مادر عنصر است.

$\lambda_2 = 0.08 \text{ s}^{-1}$ . از این معادلهٔ دیفرانسیل از  $t = 0$  تا  $t = 40$  ثانیه و با شرط اولیهٔ

$N_2(0) = 0$  انتگرال بگیرید.  $N_2(t)$  را بر حسب  $t$  جدول‌بندی و ترسیم کنید.

۴.۸.۸ معادلهٔ تخلیه و آگشت زمانی سیارک به صورت زیر است

$$\frac{dN}{dt} = kN^2$$

این معادله را با استفاده از برنامهٔ رونژد کوتا، یا برنامه‌ای معادل آن حل کنید. شرایط اولیه عبارتند از

$$\text{سال } t_0 = 0, \text{ سیارک } N_0 = 100, \text{ (سیارک)}^{-1} \text{ (سال)}^{-1} k = 0.25 \times 10^{-11}$$

روند حل خود را تا آنجا که می‌توانید ادامه دهید. (با نزدیک شدن به  $5 \times 10^9$  سال، مشکل پیدا خواهید کرد.)  $N(t)$  را بر حسب  $t$ ، با  $\Delta t = 5 \times 10^7$  سال، ترسیم کنید. یادآوری. جواب تحلیلی در مسئلهٔ ۳.۲.۸ (که در آن  $-k$  به جای  $k$  نشسته است) محاسبه می‌شود.

۵.۸.۸ از معادلهٔ لواندر، مسئلهٔ ۵.۵.۸، از  $x=0$  تا  $x=1$ ، با شرایط اولیهٔ  $y(0)=0$ ،  $y'(0)=0$  (مربوط به جواب زوج) انتگرال بگیرید.  $y(x)$  و  $dy/dx$  را در بازه‌های ۵۰۰۵ جدول‌بندی کنید.  $n$  را برابر ۲ بگیرید.

۶.۸.۸ معادلهٔ لین-امدن در اختر فیزیک به صورت زیر است

$$\frac{d^2 y}{dx^2} + \frac{2}{x} \frac{dy}{dx} + y^3 = 0$$

$y(0)$  را برابر یک و  $y'(0)$  را صفر بگیرید و رفتار  $y(x)$  را به ازای  $s=0, 1, 2, 3, 4, 5, 6$  بررسی کنید. مخصوصاً اولین صفر  $y(x)$  را بیابید.

دانهمایی. با استفاده از یک جواب به صورت سری توانی داریم:  $y''(0) = -1/3$ . یادآوری.  $y(x)$ ، به ازای  $s=0$  یک سهمی، و به ازای  $s=1$  یک تابع بسل کروی،  $J_0(x)$  است. با نزدیک شدن  $s$  به ۵، اولین صفر به طرف  $\infty$  حرکت می‌کند، و به ازای  $s > 5$ ،  $y(x)$  هرگز محور  $x$  مثبت را قطع نخواهد کرد. پاسخ. به ازای  $y(x_s) = 0$ ،  $x_0 = 2.45(\sqrt{6})$ ،  $x_1 = 3.14(\pi)$ ،  $x_2 = 4.35$ ،  $x_3 = 6.99$ .

۷.۸.۸ برای آزمون مسئلهٔ ۱۸.۶.۸ (الف) از معادلهٔ هرمیت، از  $x=0$  تا  $x=3$ ، انتگرال بگیرید

$$\frac{d^2 y}{dx^2} - 2x \frac{dy}{dx} = 0$$

شرایط اولیه عبارتند از  $y(0)=0$ ،  $y'(0)=1$ ،  $y(1)$  و  $y(2)$  و  $y(3)$  را جدول‌بندی کنید.

پاسخ.  $y(3) = 1445$ ،  $y(2) = 1645$ ،  $y(1) = 1463$ .

Bateman, H. *Partial Differential Equations of Mathematical Physics*. New-York: Dover, 1944; first edition 1932.

در این کتاب کاربردهای بی شماری برای معادلات دیفرانسیل جزئی مختلف در فیزیک کلاسیک ارائه شده است. همچنین نمونه‌های تابناکی از بهره‌گیری از دستگاه‌های مختصات مختلف، مانند مختصات بیضیوار، سهمیوار، چنبره‌ای، و مانند آنها ارائه شده است.

Davis, P.J. and P. Rabinowitz, *Numerical Integration*. Waltham, Mass.: Blaisdell, 1967.

مطالب زیادی در این کتاب آمده است که به آسانی می‌توان آنها را مطالعه کرد. پیوست یک در این کتاب (که توسط «ایراموویتس» درباره محاسبه عملی انتگرالها، نوشته شده است) در مقام یک برداشت کلی، بسیار عالی است.

Hamming, R. W., *Numerical Methods for Scientists and Engineers*, 2nd ed. New York: McGraw-Hill, 1973.

در این کتاب، با شیوه نوشتاری بسیار عالی، درباره انواع بسیاری از روشهای عددی، از صفرهای توابع تا تبدیل فوریه سریع، بحث به میان آمده است. همه مباحث با در نظر داشتن یک کامپیوتر سریع جدید، برگزیده شده و تعمیم یافته‌اند.

Ince, E.L., *Ordinary Differential Equations*. New York: Dover, 1926.

این کتاب در زمینه نظریه معادلات دیفرانسیل معمولی اثری کلاسیک به شمار می‌آید.

Lapidus, L., and J.H. Seinfeld, *Numerical Solutions of Ordinary Differential Equations*. New York: Academic Press, 1971.

بحثی مشروح در باب تکنیکهای عددی با تأکید بیشتر بر روشهای رونژ-کوتا و پیشگرم-مصحح در این کتاب عنوان شده است. این کتاب کار جدیدی است در خصوص بهبود مشخصه‌هایی مانند پایداری که در کمال وضوح ارائه شده‌اند.

Miller, R.K., and A.N. Michel, *Ordinary Differential Equations*. New-York: Academic Press, 1982.

Murphy, G. M., *Ordinary Differential Equations and Their Solutions*. Princeton, N.J.: Van Nostrand, 1960.

این کتاب مشتمل است بر معادلات دیفرانسیل خطی و غیر خطی که به صورت کامل و نسبتاً خواندنی بررسی شده‌اند.

Ralston, A., and H. Wilf, Eds., *Mathematical Methods for Digital Computers*. New York: Wiley, 1960.

Ritger, P.D., and N. J. Rose, *Differential Equations with Applications*.  
New York: McGraw-Hill, 1968.

Stroud, A.H., *Numerical Quadrature and Solution of Ordinary Differential Equations*, Applied Mathematics Series, Vol. 10. New York: Springer-Verlag, 1974.

کتابی است حاوی بحث متعادل وخواندنی بسیار مفیدی در خصوص روشهای انتگرالگیری از معادلات دیفرانسیل. استرود با آثار جدید در این زمینه نیک آشناست. مراجع جدید بیشتری را نیز در این خصوص عرضه کرده است.

## نظریه اشتورم - لیوویل. تابعهای متعامد

در فصل پیش دو جواب مستقل خطی معادله دیفرانسیل خطی مرتبه دوم را به دست آوردیم و اثبات کردیم که جواب مستقل خطی عمومی وجود ندارد. در این فصل به جای حل معادله دیفرانسیل، تأکید بیشتر بر تعمیم و درک خواص عمومی جوابهاست. در بخش ۱.۹ با مفاهیم عملگر خود-الحاقی، ویژه تابع، ویژه مقدار، و عملگر هرمیتی آشنا خواهیم شد. مفهوم عملگر الحاقی که ابتدا بر حسب معادله‌های دیفرانسیل بیان می‌شود، بر حسب کار برد آن در مکانیک کوانتومی دوباره تعریف می‌شود. در بخش ۲.۹ ویژگیهای بسیار مهم حقیقی بودن ویژه مقدارها و تعامد ویژه تابعها را استنتاج می‌کنیم. در بخش ۳.۹ به بحث درباره شگرد گرام-اشمیت برای تشکیل مجموعه توابع متعامد می‌پردازیم. سرانجام، در بخش ۴.۹ خاصیت کلی تمامیت مجموعه ویژه تابعها را روشن خواهیم کرد.

### ۱.۹ معادلات دیفرانسیل خود-الحاقی

در فصل ۸ معادلات دیفرانسیل مرتبه دوم خطی متناظر با عملگرهای دیفرانسیلی مرتبه دوم خطی را به صورت زیر بررسی، رده بندی، و حل کردیم

$$\mathcal{L}u(x) = p_0(x) \frac{d^2}{dx^2} u(x) + p_1(x) \frac{d}{dx} u(x) + p_2(x) u(x) \quad (1.9)$$

تابعهای  $p_0(x)$ ،  $p_1(x)$ ، و  $p_2(x)$  را با ثابتهای  $p_i$  در بخش ۶.۸ عوضی نگیرید. با مراجعه به معادله (۷۳.۸) پی می‌بریم که  $p(x) = p_1(x)/p_0(x)$  و  $Q(x) = p_2(x)/p_0(x)$  ضریبهای  $p_0(x)$ ،  $p_1(x)$ ، و  $p_2(x)$  توابعی حقیقی از  $x$  اند و نخستین مشتقهای

(۲-۱)  $m$  توابع  $p_i(x)$  در ناحیهٔ مورد نظر،  $a \leq x \leq b$ ، پیوسته اند. به علاوه  $p_0(x)$  به ازای  $a < x < b$  صفر نمی‌شود. صفرهای  $p_0(x)$  نقطه‌های تکین اند (بخش ۴.۸)، بنا بر این گزارهٔ قبلی صرفاً به این معنی است که بازهٔ  $[a, b]$  را چنان برمی‌گزینیم که هیچ نقطهٔ تکینی درون آن وجود نداشته باشد. ممکن است نقاط تکین روی مرزها واقع باشند و غالباً نیز همین‌طور است.

در نظریهٔ ریاضی معادله‌های دیفرانسیل بهتر است که عملگر الحاقی  $\bar{\mathcal{L}}$  را به صورت زیر تعریف کنیم

$$\bar{\mathcal{L}}u = \frac{d^2}{dx^2}[p_0 u] - \frac{d}{dx}[p_1 u] + p_2 u \quad (2.9)$$

$$= p_0 \frac{d^2 u}{dx^2} - (2p_0' - p_1) \frac{du}{dx} + (p_0'' - p_1' - p_2)u$$

از مقایسهٔ معادله‌های (۱.۹) و (۲.۹) بی‌می‌بریم که شرط لازم و کافی برای آنکه  $\bar{\mathcal{L}} = \mathcal{L}$ ، آن است که

$$p_0'(x) = \frac{dp_0(x)}{dx} = p_1(x) \quad (3.9)$$

اگر این شرط برقرار باشد، آنگاه

$$\bar{\mathcal{L}}u = \mathcal{L}u = \frac{d}{dx} \left[ p(x) \frac{du(x)}{dx} \right] + q(x)u(x) \quad (4.9)$$

و عملگر  $\mathcal{L}$  را خود-الحاقی گویند. در اینجا، برای اجتناب از شاخصهای غیر ضروری، در حالت خود-الحاقی،  $p(x)$  را به جای  $p_0(x)$  و  $q(x)$  را به جای  $p_2(x)$  قرار داده‌ایم. اهمیت شکل معادلهٔ (۴.۹) در این است که به کمک آن خواهیم توانست دو انتگرالگیری جزء به جزء را در معادلهٔ (۲.۹) و در معادلهٔ بعدی انجام دهیم.<sup>۲</sup>

از بررسی معادله‌های دیفرانسیلی که در بخش ۳.۸ با آنها آشنا شدیم، خواهیم دید که معادلهٔ لواندر و معادلهٔ نوسانگر خطی خود-الحاقی اند، ولی سایر معادلات، مثلاً معادله‌های

۱. بین یک عملگر الحاقی و یک ماتریس الحاقی رابطه‌ای نسبتاً تصنعی وجود دارد. از مقایسهٔ عملگر خود-الحاقی (به اضافهٔ شرایط مرزی مناسب) با ماتریس خود-الحاقی به توجیه بهتری برای این نامگذاری دست می‌یابیم. خواص مهم این عملگرها را در بخش ۲.۹ به دست می‌آوریم. به دلیل وجود همین خواص است که عملگرهای خود-الحاقی چنین مورد توجه اند.
۲. تمامی اهمیت صورت خود-الحاقی (به اضافهٔ شرایط مرزی) در بخش ۲.۹ آشکار می‌شود. علاوه بر آن، صورتهای خود-الحاقی برای دستیابی به معادله‌های انتگرالی و تابعهای گرین در بخش ۵.۱۶ مورد نیاز خواهند بود.



لاگر و هرمیت، خود-الحاقی نیستند. در هر صورت نظریه معادله‌های دیفرانسیل خود-الحاقی مرتبه دوم خطی نظریه‌ای کاملاً کلی است، زیرا همواره می‌توانیم عملگر غیر خود-الحاقی را به صورت خود-الحاقی لازم تبدیل کنیم. معادله (۱.۹) با  $p_0 \neq p_1$  را در نظر بگیریم. اگر  $\mathcal{L}$  را در جمله زیر ضرب کنیم<sup>۱</sup>

$$\frac{1}{p_0(x)} \exp \left[ \int^x \frac{p_1(t)}{p_0(t)} dt \right]$$

خواهیم داشت

$$\begin{aligned} \frac{1}{p_0(x)} \exp \left[ \int^x \frac{p_1(t)}{p_0(t)} dt \right] \mathcal{L} u(x) &= \frac{d}{dx} \left\{ \exp \left[ \int^x \frac{p_1(t)}{p_0(t)} dt \right] \frac{du(x)}{dx} \right\} \\ &+ \frac{p_2(x)}{p_0(x)} \exp \left[ \int^x \frac{p_1(t)}{p_0(t)} dt \right] u \end{aligned} \quad (5.9)$$

که آشکارا خود-الحاقی است. توجه کنید که  $p_0(x)$  در مخرج کسر است. به همین دلیل است که لازم دانستیم به ازای  $a < x < b$ ، داشته باشیم:  $p_0(x) \neq 0$ . در ادامه مطلب فرض خواهیم کرد که  $\mathcal{L}$  را به صورت خود-الحاقی در آورده‌ایم.

### ویژه‌تابعها، ویژه‌مقدارها

از روش جداسازی متغیرها، یا مستقیماً از يك مسئله فیزیکی، معادله دیفرانسیل خطی مرتبه دومی به صورت زیر به دست آورده‌ایم

$$\mathcal{L}u(x) + \lambda w(x)u(x) = 0 \quad (6.9)$$

در اینجا  $\lambda$  يك ثابت و  $w(x)$  يك تابع معلوم از  $x$  به نام تابع چگالی یا وزنی است. معنای این نامگذاریها در بخشهای آتی روشن خواهد شد. شرط می‌کنیم که  $w(x) > 0$ ، مگر احتمالاً در نقاطی منزوی که در آنها  $w(x) = 0$ . به ازای يك مقدار معلوم پارامتر  $\lambda$ ، تابعی مانند  $u_\lambda(x)$  را که در معادله (۶.۹) و شرایط مرزی وضع شده صدق کند، ویژه‌تابع متناظر با

۱. اگر  $\mathcal{L}$  را در  $f(x)/p_0(x)$  ضرب کنیم، آنگاه قرار دهیم

$$f'(x) = \frac{fp_1}{p_0}$$

به طوری که عملگر جدید خود-الحاقی باشد، خواهیم داشت

$$f(x) = \exp \left[ \int^x \frac{p_1(t)}{p_0(t)} dt \right]$$

$\lambda$ ، و ثابت  $\lambda$  را ویژه مقدار می نامند. هیچ تضمینی وجود ندارد که به ازای هرگزینش اختیاری پارامتر  $\lambda$ ، ویژه تابعی مانند  $u_\lambda(x)$  وجود داشته باشد. در واقع، شرط وجود ویژه تابع غالباً مقادیر قابل قبول  $\lambda$  را به مجموعه گسسته ای محدود می کند. مثالهایی در این مورد را برای معادله های لژاندر، هرمیت، وچیشف در مسائل بخش ۵.۸ آورده ایم. در اینجا يك رهیافت ریاضی به فرایند کوانتس در مکانیک کوانتومی در اختیار داریم.

مثال عمده مربوط به معادله (۶.۹) در فیزیک، معادله موج شرودینگر است

$$H\psi(x) = E\psi(x)$$

که در آن عملگر دیفرانسیلی  $H$ ، هامیلتونی است و ویژه مقدار  $(-\lambda)$  انرژی کل دستگاه،  $E$ ، به شمار می آید. ویژه تابع  $\psi(x)$  را معمولاً يك تابع موج می نامند. در بخش ۷.۱۷ این معادله شرودینگر را به روش وردشی به دست خواهیم آورد.

مثال ۱.۱.۹ معادله لژاندر

معادله لژاندر به صورت زیر داده می شود

$$(1-x^2)y'' - 2xy' + n(n+1)y = 0 \quad (7.9)$$

از معادله های (۱.۹) و (۶.۹)

$$\begin{aligned} p_0(x) &= 1 - x^2 = p & w(x) &= 1 \\ p_1(x) &= -2x = p' & \lambda &= n(n+1) \\ p_2(x) &= 0 = q \end{aligned} \quad (8.9)$$

یادآوری می کنیم که جوابهای سری معادله لژاندر (بخش ۵.۸) واگرا شدند، مگر آنکه  $n$  محدود به يك عدد درست می شد. همین امر نمایانگر کوانتس ویژه مقدار  $\lambda$  است. وقتی معادله های فصل ۸ را به صورت خودالحاقی تبدیل می کنیم، مقادیر مندرج در جدول ۱.۹ را برای ضرایب و پارامترها به دست می آوریم.

$p(x)$  ضریب مشتق دوم ویژه تابع است و امید می رود که بدون هیچ گونه دشواری تعیین شود. ویژه مقدار  $\lambda$ ، پارامتر یا تابعی از پارامتر است که [در جمله ای به صورت  $\lambda w(x)y(x)$ ] قابل دستیابی است. هرگونه وابستگی به  $x$ ، جز وابستگی از طریق ویژه-تابع، تابع وزنی  $w(x)$  را تشکیل می دهد. اگر جمله دیگری هم وجود داشته باشد که ویژه-تابع (نه مشتقهای آن) در آن بگنجد، ضریب ویژه تابع در این جمله اضافی را  $q(x)$  می گیریم. اگر چنین جمله ای موجود نباشد،  $q(x)$  صرفاً صفر است.

$w(x)$	$\lambda$	$q(x)$	$p(x)$	معادله
۱	$l(l+1)$	۰	$1-x^2$	لژاندر
۱	$l(l+1)$	۰	$x(1-x)$	لژاندر انتقال یافته
۱	$l(l+1)$	$-m^2/(1-x^2)$	$1-x^2$	لژاندر وابسته
$(1-x^2)^{-1/2}$	$n^2$	۰	$(1-x^2)^{1/2}$	چیشف I
$[x(1-x)]^{-1/2}$	$n^2$	۰	$[x(1-x)]^{1/2}$	چیشف انتقال یافته I
$(1-x^2)^{1/2}$	$n(n+2)$	۰	$(1-x^2)^{3/2}$	چیشف II
$(1-x^2)^{\alpha-1/2}$	$n(n+2\alpha)$	۰	$(1-x^2)^{\alpha+1/2}$	فراکروی (گگن باوئر)
$x$	$a^2$	$-n^2/x$	$x$	بسل*
$e^{-x}$	$\alpha$	۰	$xe^{-x}$	لاگر
$x^k e^{-x}$	$\alpha-k$	۰	$x^{k+1} e^{-x}$	لاگر وابسته
$e^{-x^2}$	$2\alpha$	۰	$e^{-x^2}$	هرمیت
۱	$n^2$	۰	۱	نوسانگر هماهنگ ساده†

\* تعامد توابع بسل تا حدودی خاص است. برای توضیح مشروح در این باب بخش ۲.۱۱ را ببینید. در بخش ۷.۱۱ تعامد نوع دومی بررسی خواهد شد.  
† این مفهوم شالوده فصل چهارده، سری فوریه، را تشکیل می‌دهد.

## مثال ۲.۹.۹ دوترون

به کمک یک مدل بسیار ساده دوترون می‌توان مفهوم ویژه تابع و ویژه مقدار را بهتر درک کرد. برهم کنش هسته‌ای نوترون-پروتون را به کمک یک چاه پتانسیل مربعی نمایش می‌دهیم: به ازای  $0 \leq r < a$ ،  $V = V_0 < 0$ ؛ و به ازای  $r > a$ ،  $V = 0$ . معادله موج شرودینگر به صورت زیر درمی‌آید

$$-\frac{\hbar^2}{2M} \nabla^2 \psi + V\psi = E\psi \quad (9.9)$$

برای  $\psi = \psi(r)$ ، می‌توانیم بنویسیم  $u(r) = r\psi(r)$ ، و با استفاده از مسئله ۱۸.۵.۲ (جلد اول) معادله موج، درگستره داخلی  $0 \leq r < a$ ، به صورت زیر درمی‌آید

$$\frac{d^2 u}{dr^2} + k^2 u = 0 \quad (10.9)$$

که در آن

$$k_1^2 = \frac{2M}{\hbar^2}(E - V_0) > 0 \quad (11.9)$$

در اینجا  $m$  جرم کاهش یافتهٔ سیستم نوترون-پروتون است. به ازای  $a < r < \infty$  داریم

$$\frac{d^2 u}{dr^2} - k_1^2 u = 0 \quad (12.9)$$

که در آن

$$k_1^2 = -\frac{2ME}{\hbar^2} > 0 \quad (13.9)$$

از این شرط مرزی که  $\psi$  باید متناهی بماند، نتیجه می گیریم:  $u(0) = 0$  و

$$u_1(r) = \sin k_1 r, \quad 0 \leq r < a \quad (14.9)$$

در گسترهٔ خارج از چاه پتانسیل، ترکیبی خطی از دو عبارت نمایی داریم

$$u_2(r) = A \exp k_1 r + B \exp(-k_1 r), \quad a < r < \infty \quad (15.9)$$

به علت پیوستگی جریان و چگالی ذره باید داشته باشیم:  $u_1(a) = u_2(a)$  و  $u_1'(a) = u_2'(a)$ . با این شرایط وصل کننده خواهیم داشت

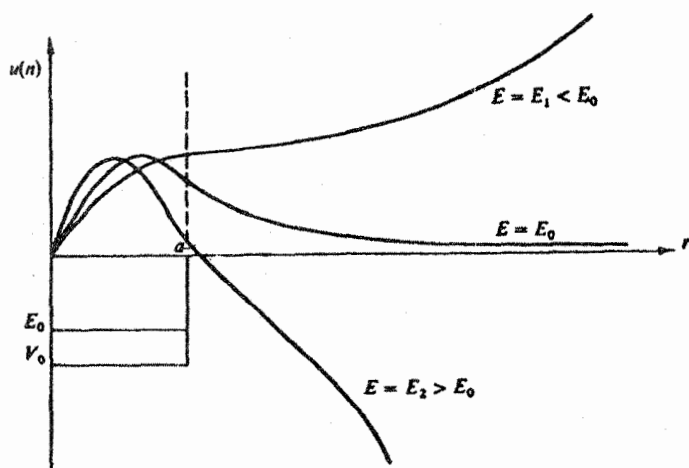
$$\sin k_1 a = A \exp k_1 a + B \exp(-k_1 a) \quad (16.9)$$

$$k_1 \cos k_1 a = k_1 A \exp k_1 a - k_1 B \exp(-k_1 a)$$

این شرط که بر مبناي آن در واقع تنها يك تركيب پروتون-نوترون داریم به صورت  $\int \psi^* \psi d\tau = 1$  بیان می شود. در صورتی این قیاسد بر آورده می شود که شرط مرزی متناهی ماندن  $\psi(r)$  به ازای  $r \rightarrow \infty$  را وضع کنیم. و این به نوبهٔ خود به این معناست که  $A = 0$ . با تقسیم دو رابطهٔ قبل بر یکدیگر (برای حذف  $B$ ) خواهیم داشت

$$\tan k_1 a = -\frac{k_1}{k_2} = -\sqrt{\frac{E - V_0}{-E}} \quad (17.9)$$

این عبارت يك معادلهٔ غیر جبری برای انرژی  $E$  است و فقط جوابهای گسسته دارد. اگر  $E$  طوری باشد که در معادلهٔ (۱۷.۹) صدق کند، جوابهای  $u_1(r)$  و  $u_2(r)$  می توانند شرایط مرزی را ارضا کنند. اگر معادلهٔ (۱۷.۹) ارضا نشود، هیچ جواب قابل قبولی وجود ندارد. مقادیری از  $E$  ویژه مقدارند که به ازای آنها معادلهٔ (۱۷.۹) برقرار است؛ توابع متناظر



شکل ۱۰۹ ویژه تابع دوترون.

$u_1$  و  $u_2$  (یا  $\psi$ ) ویژه تابعها هستند. برای مسئله واقعی دوترون يك (و تنها يك) مقدار منفي  $E$  وجود دارد که به ازای آن معادله (۱۷.۹) صادق است. یعنی، دوترون يك فقط يك حالت مقید دارد.

حال، اگر  $E$  در معادله (۱۷.۹) صدق نکند. یعنی اگر  $E$  يك ویژه مقدار نباشد، چه پیش می آید؟ از لحاظ شکل نموداری، فرض کنید که  $E$  در نتیجه  $k_1$  کمی تغییر کنند. به ازای  $E = E_1 < E_0$ ،  $k_1$  کوچک می شود، و  $\sin k_1 a$  خیلی زیاد به طرف پایین برگشته است. بنا بر شرایط وصل کننده، یعنی معادله (۱۶.۹)،  $A > 0$  و تابع موج به صورت نمایی به  $+\infty$  می گراید. به ازای  $E = E_2 > E_0$ ،  $k_1$  بزرگتر می شود،  $\sin k_1 a$  زودتر بهستیخ خود می رسد و در  $r = a$  سریعتر کاهش می یابد. شرایط وصل کننده ایجاب می کنند که  $A < 0$ ، و تابع موج به صورت نمایی به  $-\infty$  می گراید. تنها به ازای  $E = E_0$ ، یعنی يك ویژه مقدار است که تابع موج رفتار مجانبی نمایی منفي مورد لزوم را دارد.

### شرایط مرزی

در تعریف قبلی خود از ویژه تابع، توجه کردیم که ویژه تابع  $u_\lambda(x)$  می بایست در شرایط مرزی مقرر شده معینی صدق کند. این شرایط مرزی می توانند به سه صورت باشند:

۱. شرایط مرزی کوشی. مقدار يك تابع و مشتق نرمال آن در مرز مشخص می شود. در الکتروستاتیک این تابع به معنای  $\phi$ . یعنی پتانسیل، و  $E_n$  مؤلفه های قائم میدان الکتریکی است.

۲. شرایط مرزی دیپیکله. مقدار يك تابع در مرز مشخص می شود.

۳. شرایط مرزی نویمان. مشتق نرمال (شیب نرمال) هر تابع در مرز مشخص می‌شود. در حالت الکتروستاتیکی این مشتق،  $E_n$  و بنا بر این متناسب با  $\sigma$ ، چگالی بار سطحی است.

رابطه بین این سه نوع شرط مرزی با سه نوع معادله دیفرانسیل جزئی دوبعدی به طور خلاصه در جدول ۲.۹ درج شده است. برای دستیابی بدیجته مشروحي درباره اینتن معادله‌های دیفرانسیل جزئی می‌توانید بدفصل ۲ کتاب زومرفلد یا فصل ۶ کتاب مورس و فشاخ مراجعه کنید (مراجع عمومی را ببینید).

قسمتهایی از جدول ۲.۹ تنها برای حفظ سازگاری متداول آورده شده است. مثلا، شرایط دیریکله برای معادله پواسون با يك سطح بسته، بدجوابی پایدار و یکتا می‌انجامد. شرایط نویمان، جدا از شرایط دیریکله، بدهمان ترتیب جواب پایدار و یکتایی به‌دست می‌دهد که مستقل از جواب مربوط بدشرایط دیریکله است. بنا بر این، شرایط مرزی کوشی (یعنی شرایط نویمان به‌اضافه شرایط دیریکله) ممکن است بدناسازگاری منجر شود.

واژه شرایط مرزی به‌عنوان يك حالت خاص، متضمن مفهوم شرایط اولیه نیز هست. مثلا، مشخص کردن مکان اولیه  $x_0$  و سرعت اولیه  $v_0$  در يك مسئله دینامیکی متناظر است با

جدول ۲.۹

## نوع معادله دیفرانسیل جزئی

شرایط مرزی	بیضوی	هذلولوی	سه‌موی
	لاپلاس، پواسون بر حسب $(x, y)$	معادله موج بر حسب $(x, t)$	معادله پخش بر حسب $(x, t)$
کوشی سطح باز	نتایج غیر فیزیکی (ناپایداری)	جواب پایدار و یکتا	بسیار محدودکننده
سطح بسته دیریکله	بسیار محدودکننده	بسیار محدودکننده	بسیار محدودکننده
سطح باز	غیر کافی	غیر کافی	جواب پایدار و یکتا در يك جهت
سطح بسته نویمان	جواب پایدار و یکتا	جواب غیر یکتا	بسیار محدودکننده
سطح باز	غیر کافی	غیر کافی	جواب پایدار و یکتا در يك جهت
سطح بسته	جواب پایدار و یکتا	جواب غیر یکتا	بسیار محدودکننده

شرایط مرزی کوشی. تنها تفاوت موجود در شرایط مرزی، که ما در اینجا در این مسائل یک بعدی به کار می‌گیریم، آن است که ما شرایط را روی هر دو انتهای گستره مجاز متغیر اعمال می‌کنیم.

معمولاً شکل معادله دیفرانسیل، یا شرایط مرزی مربوط به جوابها، متضمن این نکته است که در هر انتهای بازه مورد نظر (یعنی در مرز) حاصلضربهای زیر صفر شوند

$$p(x)v^*(x)\frac{du(x)}{dx} \Big|_{x=a} = 0 \quad (18.9)$$

$$p(x)v^*(x)\frac{du(x)}{dx} \Big|_{x=b} = 0$$

در اینجا  $u(x)$  و  $v(x)$  جوابهای معادله دیفرانسیل خاصی اند [معادله (۶.۹)] که در حال مطالعه آن هستیم. به هر حال، می‌توانیم با مجموعه شرایط مرزی زیر که محدودیتی تا حدودی کمتر پدید می‌آورد کار کنیم

$$v^*pu' \Big|_{x=a} = v^*pu' \Big|_{x=b} \quad (19.9)$$

که در آن  $u(x)$  و  $v(x)$  جوابهای معادله دیفرانسیل، متناظر با یک ویژه مقدار یا ویژه مقدارهای متفاوت اند. در مورد یک سیستم فیزیکی تناوبی مانند شبکه بلور، معادله (۱۹.۹) به طور مطلوبی برقرار است.

معادله‌های (۱۸.۹) و (۱۹.۹) بر حسب  $v^*$ ، همیوخ مخلط، نوشته می‌شوند. اگر جوابها حقیقی باشند،  $v = v^*$ ، می‌توان از ستاره چشم پوشید. ولی در بسط نمایی فوریه و در مکانیک کوانتومی، توابع مخلط خواهند بود و باید همیوخ مخلط را به کار ببریم.

این خواص [معادله (۱۸.۹) یا (۱۹.۹)] برای مفهوم عملگر هرمیتی (که در دنباله  $(a, b)$  دقیقاً طوری برگزیده می‌شود که مطمئناً معادله (۱۸.۹) یا (۱۹.۹) برقرار باشد. اگر جوابهای معادله ما چند جمله‌ای باشند، ضریب  $p(x)$ ، گستره انتگرالگیری را تعیین می‌کند. توجه کنید که  $p(x)$  نقاط تکین معادله دیفرانسیل را نیز تعیین می‌کند (بخش ۳.۸). برای جوابهای غیر چند جمله‌ای، مثلاً  $\sin nx$  و  $\cos nx$  ( $p = 1$ )، خواص جوابها، مانند مثال ۳.۱.۹، گستره انتگرالگیری را تعیین می‌کنند.

مثال ۳.۱.۹ گزینش بازه انتگرالگیری،  $[a, b]$

یکی از معادله‌های ویژه مقدراری ممکن برای عملگر  $\mathcal{L} = d^2/dx^2$  عبارت است از

$$\frac{d^2}{dx^2}y(x) + n^2y(x) = 0 \quad (20.9)$$

با ویژه‌تابعهای

$$u_n = \cos nx$$

$$v_m = \sin mx$$

معادلهٔ (۱۹.۹) به صورت زیر درمی‌آید

$$-n \sin mx \sin nx \Big|_a^b = 0$$

یا، با تعویض  $u_n$  و  $v_m$ ، خواهیم داشت

$$m \cos mx \cos nx \Big|_a^b = 0$$

از آنجا که  $\cos nx$  و  $\sin mx$  تناوبی‌اند و دورهٔ آنها  $2\pi$  است (به‌ازای مقادیر درست  $m$  و  $n$ ) روشن است که معادلهٔ (۱۹.۹) به‌ازای  $a = x_0$  و  $b = x_0 + 2\pi$  برقرار خواهد بود.

بازه چنان برگزیده می‌شود که شرایط مرزی [معادلهٔ (۱۹.۹) و جز آن] برآورده شود. در مورد فوق (سری فوریه)، از جمله گزینشهای متداول یکی هم  $x_0 = 0$  است که به بازهٔ  $(0, 2\pi)$  می‌انجامد، و دیگری عبارت است از  $x_0 = -\pi$  که به بازهٔ  $(-\pi, \pi)$  منجر می‌شود. در اینجا و در طول چند فصل بعد، بازهٔ انتگرالگیری چنان برگزیده می‌شود که شرایط مرزی [معادلهٔ (۱۹.۹)] برآورده شود. بازهٔ  $[a, b]$  و عامل وزنی  $w(x)$  برای معادله‌های دیفرانسیل مرتبهٔ دوم متداولتر، در جدول ۳.۹ درج شده‌اند.

جدول ۳.۹

معادله	$a$	$b$	$w(x)$
لژاندر	-۱	۱	۱
لژاندر انتقال یافته	۰	۱	۱
لژاندر وابسته	-۱	۱	۱
چبیشف I	-۱	۱	$(1-x^2)^{-1/2}$
چبیشف انتقال یافته I	۰	۱	$[x(1-x)]^{-1/2}$
چبیشف II	-۱	۱	$(1-x^2)^{1/2}$
لاگر	۰	$\infty$	$e^{-x}$
لاگر وابسته	۰	$\infty$	$x^k e^{-x}$
هرمیت	$-\infty$	$\infty$	$e^{-x^2}$
نوسانگر هماهنگ ساده	۰	$2\pi$	۱
	$-\pi$	$\pi$	۱

یادآوری: ۱. بازهٔ تعامد  $[a, b]$  را شرایط مرزی بخش ۱.۹ تعیین می‌کنند.

۲. تابع وزنی با تبدیل معادلهٔ دیفرانسیل به صورت خود-الحاقی مشخص می‌شود.



## عملگرهای هرمیتی

اکنون به اثبات يك خاصیت مهم ترکیب عملگر دیفرانسیلی مرتبه دوم خود-الحاقی [معادله (۶.۹)]، و جوابهای  $u(x)$  و  $v(x)$  می پردازیم که در شرایط مرزی داده شده در معادله (۱۹.۹) صدق می کنند.

با انتگرالگیری از  $v^*$  (همیوگ مختلط) ضرب در عملگر دیفرانسیلی خود-الحاقی مرتبه دوم  $\mathcal{L}$  (که روی  $u$  عمل می کند)، در گستره  $a \leq x \leq b$ ، و با استفاده از معادله (۴.۹) خواهیم داشت

$$\int_a^b v^* \mathcal{L}u \, dx = \int_a^b v^* (pu')' \, dx + \int_a^b v^* qu \, dx \quad (21.9)$$

با استفاده از انتگرالگیری جزء به جزء، داریم

$$\int_a^b v^* (pu')' \, dx = v^* pu' \Big|_a^b - \int_a^b v^{*'} pu' \, dx \quad (22.9)$$

جزء انتگرال گرفته شده، با بهره گیری از شرایط مرزی [معادله (۱۹.۹)]، صفر خواهد شد. با انتگرالگیری جزء به جزء از انتگرال باقیمانده، داریم

$$-\int_a^b v^{*'} pu' \, dx = -v^{*'} pu \Big|_a^b + \int_a^b u (pv^{*'})' \, dx \quad (23.9)$$

در اینجا نیز جزء انتگرال گرفته شده، با به کارگیری معادله (۱۹.۹) صفر می شود. از ترکیب معادله های (۲۱.۹) تا (۲۳.۹) داریم

$$\int_a^b v^* \mathcal{L}u \, dx = \int_a^b u \mathcal{L}v^* \, dx \quad (24.9)$$

این خاصیت که در معادله (۲۴.۹) آمده است. بدین صورت بیان می شود که عملگر  $\mathcal{L}$  نسبت به دو تابع  $u(x)$  و  $v(x)$  که در شرایط مرزی مشخص شده در معادله (۱۹.۹) صدق می کنند، هرمیتی است. دقت کنید که این خاصیت هرمیتی بودن از خود-الحاقی بودن به اضافه شرایط مرزی به دست می آید.

## عملگرهای هرمیتی در مکانیک کوانتومی

تاکنون در این بخش توجهمان به عملگرهای دیفرانسیلی مرتبه دوم کلاسیکی معطوف بوده است. برای تعمیم نظریه عملگر هرمیتی بد صورتی که در مکانیک کوانتومی مورد نیاز است، تعمیم زیر را در نظر می گیریم: ضرورتی ندارد عملگرها حتماً عملگرهای دیفرانسیلی مرتبه دوم باشند، و نیازی هم نیست که حقیقی باشند.  $p_x = -i\hbar(\partial/\partial x)$  يك عملگر هرمیتی خواهد بود. فقط فرض می کنیم (به طوری که در مکانیک کوانتومی مرسوم است) که تابع موجها در شرایط مرزی مناسب صادق اند یا در بینهایت با سرعت کافی به صفر میل می کنند و یا رفتار

دوره‌ای دارند (مانند تابع موج در شبکه بلور، یا شدت واحد برای امواج). عملگر  $\mathcal{L}$  را به شرطی هرمیتی می‌گوییم که

$$\int \psi_1^* \mathcal{L} \psi_2 d\tau = \int (\mathcal{L} \psi_1)^* \psi_2 d\tau \quad (25.9)$$

این تعریف، همانند معادله (۲۴.۹) است، با این تفاوت ساده که کمیت‌های مختلط را هم دربردارد.

$A^\dagger$ ، عملگر الحاقی عملگر  $A$ ، بنا بر تعریف عبارت است از

$$\int \psi_1^* A^\dagger \psi_2 d\tau = \int (A \psi_1)^* \psi_2 d\tau \quad (26.9)$$

این تعریف با تعریف مبتنی بر عملگر کلاسیکی مشتق دوم، معادله (۲.۹)، تفاوت کلی دارد. در اینجا الحاقی بر حسب انتگرالی تعریف می‌شود که  $A^\dagger$  بخشی از انتگرالده آن است. آشکار است که اگر  $A = A^\dagger$  (خود-الحاقی باشد)، آنگاه  $A$  هرمیتی است. عکس این موضوع را نمی‌توان به آسانی اثبات کرد (و همواره هم درست نیست)، ولی در مکانیک کوانتومی معمولاً دو اصطلاح خود-الحاقی و هرمیتی را مترادف می‌گیرند (در آنالیز ماتریسی هم همین‌طور است، بخش ۵.۴، جلد اول).

مقدار انتظاری عملگر  $\mathcal{L}$  بنا بر تعریف عبارت است از

$$\langle \mathcal{L} \rangle = \int \psi^* \mathcal{L} \psi d\tau \quad (27.9 \text{ الف})$$

در چارچوب مکانیک کوانتومی،  $\langle \mathcal{L} \rangle$  با نتیجه اندازه‌گیری یک کمیت فیزیکی متناظر است که با  $\mathcal{L}$  نمایش داده می‌شود، و این هنگامی است که سیستم فیزیکی در حالتی است که با تابع موج  $\psi$  توصیف شده باشد. اگر بخواهیم  $\mathcal{L}$  هرمیتی باشد، به سادگی می‌توان دید که  $\langle \mathcal{L} \rangle$  حقیقی است (این همان چیزی است که در هر نظریه فیزیکی از یک اندازه‌گیری انتظار می‌رود). از معادله (۲۷.۹ الف) همیوگ مختلط می‌گیریم، خواهیم داشت

$$\begin{aligned} \langle \mathcal{L} \rangle^* &= \left[ \int \psi^* \mathcal{L} \psi d\tau \right]^* \\ &= \int \psi \mathcal{L}^* \psi^* d\tau \end{aligned}$$

با بازآرایی عوامل در انتگرالده، داریم

$$\langle \mathcal{L} \rangle^* = \int (\mathcal{L} \psi)^* \psi d\tau$$

اکنون، بابت بهره‌گیری از تعریف عملگر هرمیتی، معادله (۲۵.۹)، خواهیم داشت

$$\langle \mathcal{L} \rangle^* = \int \psi^* \mathcal{L} \psi d\tau = \langle \mathcal{L} \rangle \quad (ب\ ۲۷.۹)$$

یعنی  $\langle \mathcal{L} \rangle$  حقیقی است. قابل توجه است که  $\psi$  لزوماً یک ویژه تابع  $\mathcal{L}$  نیست.

### مسائل

۱۰۱۰۹ نشان دهید که معادله لاگرانژی می‌توان از طریق ضرب کردن در  $e^{-x}$  به صورت خود-الحاقی درآورد و در آن  $w(x) = e^{-x}$  تابع وزنی است.

۲۰۱۰۹ نشان دهید که معادله هرمیت را می‌توان به کمک ضرب کردن در  $e^{-x^2}$  به صورت خود-الحاقی درآورد و در نتیجه تابع چگالی مناسب به صورت  $w(x) = e^{-x^2}$  درمی‌آید.

۳۰۱۰۹ نشان دهید که معادله چیشف (نوع I) را می‌توان از طریق ضرب کردن در  $(1-x^2)^{-1/2}$  به صورت خود-الحاقی درآورد و در نتیجه تابع چگالی مناسب به صورت  $w(x) = (1-x^2)^{-1/2}$  درمی‌آید.

۴۰۱۰۹ در مورد معادله دیفرانسیل مرتبه دوم خطی که به صورت خود-الحاقی بیان شده باشد، نشان دهید که:

(الف) رونسکیبی برابر است بایک کمیت ثابت تقسیم برضرب اولیه  $p$

$$W[y_1, y_2] = \frac{C}{p(x)}$$

(ب) جواب دوم از عبارت زیر بدست می‌آید

$$y_2(x) = C y_1(x) \int \frac{dt}{p[y_1(t)]^2}$$

۵۰۱۰۹  $U_n(x)$ ، چند جمله‌ای چیشف (نوع II) در معادله دیفرانسیل زیر صدق می‌کند

$$(1-x^2)U_n''(x) - 2xU_n'(x) + n(n+2)U_n(x) = 0$$

(الف) نقاط تکین را بیابید که در صفحه متناهی پدیدار می‌شوند، و تعیین کنید که آیا منظم اند یا نامنظم.

(ب) این معادله را به شکل خود-الحاقی درآوردید.

(ج) ویژه مقدار کامل را شناسایی کنید.

(د) تابع وزنی را شناسایی کنید.

۶.۱.۹ در حالت بسیار خاص  $\lambda = 0$  و  $q(x) = 0$  معادله ویژه مقدراری خود-الحاقی به صورت زیر درمی آید

$$\frac{d}{dx} \left[ p(x) \frac{du(x)}{dx} \right] = 0$$

جواب زیر در این معادله صدق می کند

$$\frac{du}{dx} = \frac{1}{p(x)}$$

از این جواب بهره گیرید و یک جواب "دوم" برای هر یک از معادلات زیر پیدا کنید:  
(الف) معادله لژاندر، (ب) معادله لاگر، و (ج) معادله هرمیت.

$$u_2(x) - u_2(x_0) = \int_{x_0}^x e^t \frac{dt}{t} \quad (\text{ب}) \quad u_2(x) = \frac{1}{2} \ln \frac{1+x}{1-x} \quad (\text{الف}) \quad \text{پاسخ.}$$

$$u_2(x) = \int_0^x e^{-t} dt \quad (\text{ج})$$

این جوابهای دوم از خود رفتار و اگرایی نشان می دهند که معمولاً در یک جواب دوم موجود است.

$$u_1(x) = 1 \quad \text{یادآوری. در هر سه حالت:}$$

۷.۱.۹ با فرض اینکه  $\mathcal{L}u = 0$  و  $g \mathcal{L}u$  خود-الحاقی است، برای عملگر الحاقی  $\bar{\mathcal{L}}$  نشان دهید که  $\bar{\mathcal{L}}(gu) = 0$ .

۸.۱.۹ در مورد عملگر دیفرانسیلی مرتبه دوم  $\mathcal{L}$  که خود-الحاقی است، نشان دهید که

$$\int_a^b [y_2 \mathcal{L}y_1 - y_1 \mathcal{L}y_2] dx = p(y_1' y_2 - y_1 y_2') \Big|_a^b$$

۹.۱.۹ نشان دهید که اگر قرار باشد تابع  $\psi$  در ناحیه ای متناهی از فضا در معادله لاپلاس صدق کند و نیز شرایط مرزی دیریکله را روی تمامی سطح مرزی بسته بر آورده کند، آنگاه  $\psi$  یکتاست.

دانهمایی. بهره گیری از یکی از صورتهای مختلف قضیه گرین، بخش ۱۱.۱، به حل مسئله کمک خواهد کرد.

۱۰.۱.۹ فرض کنید که جوابهای معادله های لژاندر، چیسیف، هرمیت، و لاگر چند جمله ای باشند. نشان دهید گستره انتگرالگیری ای که بر آورده شدن شرایط مرزی عملگر هرمیتی را تضمین می کند، در هر حالت عبارت است از: (الف) لژاندر  $[-1, 1]$ ، (ب) چیسیف

[۱, -۱]، (ج) هرमित  $[-\infty, \infty]$ ، و (د) لاگر  $[0, \infty]$ .

۱۱۰۱۰۹ در چارچوب مکانیک کوانتومی [معادله‌های (۲۵.۹) و الی آخر]، نشان دهید که عملگرهای زیر هرمیتی‌اند:

$$\text{(الف) تکانه } \mathbf{p} = -i\hbar\nabla \equiv \frac{i\hbar}{2\pi}\nabla$$

$$\text{(ب) تکانه زاویه‌ای } \mathbf{L} = -i\hbar\mathbf{r} \times \nabla \equiv i\frac{\hbar}{2\pi}\mathbf{r} \times \nabla$$

دانهمایی.  $\mathbf{L}$  در دستگاه دکارتی ترکیب خطی عملگرهای هرمیتی غیر جا به جا شونده است.

۱۲۰۱۰۹ (الف)  $A$  يك عملگر غیر هرمیتی است. به زبان معادله‌های (۲۵.۹) و (۲۶.۹) نشان دهید که

$$A + A^\dagger \quad \text{و} \quad i(A - A^\dagger)$$

عملگرهای هرمیتی‌اند.

(ب) با استفاده از نتیجه بند (الف) نشان دهید که هر عملگر غیر هرمیتی را می‌توان به صورت ترکیبی خطی از دو عملگر هرمیتی نوشت.

۱۳۰۱۰۹  $U$  و  $V$  دو عملگر اختیاری‌اند که ممکن است هرمیتی نباشند. به زبان معادله (۲۶.۹) نشان دهید که

$$(UV)^\dagger = V^\dagger U^\dagger$$

به تشابه با معادله (۱۲۴.۴) برای ماتریسهای الحاقی توجده کنید.

دانهمایی. تعریف عملگر الحاقی، معادله (۲۶.۹)، را به کار بیندید.

۱۴۰۱۰۹ ثابت کنید که حاصلضرب دو عملگر هرمیتی نیز هرمیتی خواهد بود اگر فقط اگر دو عملگر جا به جا شوند [معادله (۲۵.۹)].

۱۵۰۱۰۹  $A$  و  $B$  عملگرهای نا جا به جایی کوانتوم مکانیکی‌اند و داریم

$$AB - BA = iC$$

نشان دهید که  $C$  هرمیتی است. فرض کنید که شرایط مرزی مناسب بر آورده می‌شوند.

۱۶۰۱۰۹ عملگر  $\mathcal{P}$  هرمیتی است. نشان دهید که  $\langle \mathcal{P}^2 \rangle \geq 0$ .

۱۷.۱.۹ مقدار انتظاری کوانتوم مکانیکی بنا بر تعریف عبارت است از

$$\langle A \rangle = \int \psi^*(x) A \psi(x) dx$$

که در آن  $A$  یک عملگر خطی است. نشان دهید که برقرار کردن شرط حقیقی بودن  $\langle A \rangle$  به معنای آن است که  $A$  نسبت به  $\psi(x)$  باید هرمیتی باشد.

۱۸.۱.۹ با استفاده از تعریف الحاقی در معادله (۲۶.۹)، نشان دهید که  $A^{++} = A$ ، یعنی  $\int \psi_1^* A^{++} \psi_2 dt = \int \psi_2^* A \psi_1 dt$ . یعنی الحاقی الحاقی، خود عملگر اصلی خواهد بود. راهنمایی. توابع  $\psi_1$  و  $\psi_2$  مربوط به معادله (۲۶.۹)، رده‌ای از توابع را نشان می‌دهد. شاخص پایین ۲۰۱ را می‌توان تمویض کرد یا به جای آنها شاخص دیگری قرارداد.

۱۹.۱.۹ معادله موج شرودینگر برای دوترون (با پتانسیل وودز-ساکسون) به صورت زیر است

$$-\frac{\hbar^2}{2M} \nabla^2 \psi + \frac{V_0}{1 + \exp[(r-r_0)/a]} \psi = E \psi$$

در اینجا  $a \cdot E = -27224 \text{ MeV}$  یک "پارامتر ضخامت"، به اندازه  $10^{-13} \text{ cm} \times 10^8$  است. با بیان طول بر حسب فرمی ( $10^{-13}$  سانتیمتر)، و انرژی بر حسب میلیون الکترون ولت (MeV)، می‌توانیم معادله موج را به صورت زیر بنویسیم

$$\frac{d^2}{dr^2} (r\psi) + \frac{1}{41747} \left[ E - \frac{V_0}{1 + \exp\left(\frac{r-r_0}{a}\right)} \right] (r\psi) = 0$$

فرض می‌کنیم که  $E$  از طریق آزمایش معلوم است. می‌خواهیم  $V_0$  را به ازای یک مقدار مشخص  $r_0$ ، (مثلاً  $r_0 = 21$ ) به دست آوریم. گیریم  $y(r) = r\psi(r)$ ، آنگاه  $y(0) = 0$ ،  $y'(0)$  را برابر یک می‌گیریم.  $V_0$  را چنان بیابید که  $y(200) = 0$ . [این شرط باید برای  $y(\infty)$  گذاشته شود. ولی  $r = 20$  به اندازه کافی فراتر از گستره نیروهای هسته‌ای است که بتوان آن را بینهایت تقریب زد.]

پاسخ. به ازای  $a = 0.4$  و  $r_0 = 21 \text{ fm}$  داریم  $-V_0 = -34159 \text{ MeV}$ .

۲۰.۱.۹ پارامتر  $V_0$  مربوط به چاه پتانسیل هسته‌ای مسئله ۱۹.۱.۹ را، به ازای  $r = 200 (0.05) 2725$  فرمی، به صورت تابعی از  $r_0$  بیان کنید.

نتیجه را به صورت قانون توانی زیر بنویسید

$$|V_0| r_0^2 = k$$

نمای  $V$  و ثابت  $k$  را تعیین کنید. این فرمولبندی قانون توانی برای درونپایی دقیق سودمند است.

۲۱.۱۰.۹ در مسئله ۱۹.۱۰.۹ فرض شد که ۲۰ فرمی برای بینهایت تقریب خوبی است. این فرض را از طریق محاسبه  $V_0$  به ازای  $r\psi(r) = 0$  در (الف)  $r = 15$ ، (ب)  $r = 20$ ، (ج)  $r = 25$ ، (د)  $r = 30$  بیازمایید. نتایج این محاسبه را ترسیم کنید.  $r_0$  را برابر ۲۱۰ و  $a$  را برابر ۲۴ (فرمی) بگیرید.

۲۲.۱۰.۹ معادله موج شرودینگر، برای ذره‌ای کوانتومی که درچاه پتانسیل

$$V(x) = (1/2)m\omega^2 x^2$$

حرکت می‌کند به صورت زیر است

$$-\frac{\hbar^2}{2m} \frac{d^2\psi(x)}{dx^2} + \frac{1}{2}m\omega^2 x^2 \psi(x) = E\psi(x)$$

یا

$$\frac{d^2\psi(z)}{dz^2} - z^2\psi(z) = -\frac{2E}{\hbar\omega}\psi(z)$$

که در آن  $z = (m\omega/\hbar)^{1/2}x$ . از آنجا که این عملگر زوج است، انتظار داریم جوابهایی با پاریته معین به دست آوریم. به ازای هر یک از شرایط اولیه زیر، مربوط به معادله فوق، از مبدأ انتگرال بگیرید و کمترین مقدار ثابت  $2E/\hbar\omega$  را، که در هر حالت به  $\psi(\infty) = 0$  می‌انجامد، تعیین کنید (می‌توانید  $z = 6$  را تقریبی برای بینهایت بگیرید).

(الف) برای ویژه تابع زوج

$$\psi(0) = 1, \quad \psi'(0) = 0$$

(ب) برای ویژه تابع فرد

$$\psi(0) = 0, \quad \psi'(0) = 1$$

یادآوری. جواب تحلیلی در بخش ۱۰.۱۳ داده شده است.

## ۲.۹ عملگرهای هرمیتی (خود-الحاقی)

عملگرهای هرمیتی، یا خود-الحاقی، سه‌خاصیت دارند که در فیزیک، چه کلاسیکی چه

کوانتومی، از اهمیت زیادی برخوردارند.

۱. ویژه‌مقدارهای هر عملگر هر میتی حقیقی‌اند.
۲. ویژه‌تابعهای هر عملگر هر میتی متعامدند.
۳. ویژه‌تابعهای هر عملگر هر میتی يك مجموعهٔ کامل<sup>۱</sup> تشکیل می‌دهند.

### ویژه‌مقدارهای حقیقی

در ادامهٔ مطلب دوخاصیت اول از این سه خاصیت را ثابت می‌کنیم. فرض کنید

$$\mathcal{L}u_i + \lambda_i w u_i = 0 \quad (28.9)$$

بفرض اینکه يك ویژه‌مقدار و ویژه‌تابع دیگر نیز وجود دارد، می‌نویسیم

$$\mathcal{L}u_j + \lambda_j w u_j = 0 \quad (29.9)$$

آنگاه، باهمیوغ مختلط‌گرفتن داریم

$$\mathcal{L}u_j^* + \lambda_j^* w u_j^* = 0 \quad (30.9)$$

در اینجا  $\mathcal{L}$  يك عملگر حقیقی است ( $p$  و  $q$  توابعی حقیقی از  $x$  هستند) و  $w(x)$  يك تابع حقیقی است. ولی  $\lambda_k$ ، یعنی ویژه‌مقدار و  $u_k$ ، ویژه‌تابع، را مختلط می‌گیریم. معادلهٔ (۲۸.۹) را در  $u_j^*$  و معادلهٔ (۳۰.۹) را در  $u_i$  ضرب و سپس این دو را از هم کم می‌کنیم، داریم

$$u_j^* \mathcal{L}u_i - u_i \mathcal{L}u_j^* = (\lambda_j^* - \lambda_i) w u_i u_j^* \quad (31.9)$$

در گسترهٔ  $a \leq x \leq b$ ، انتگرال می‌گیریم

$$\int_a^b u_j^* \mathcal{L}u_i dx - \int_a^b u_i \mathcal{L}u_j^* dx = (\lambda_j^* - \lambda_i) \int_a^b u_i u_j^* w dx \quad (32.9)$$

سمت چپ، به سبب هر میتی بودن  $\mathcal{L}$  و با استفاده از معادلهٔ (۲۶.۹)، برابر صفر است و

$$(\lambda_j^* - \lambda_i) \int_a^b u_i u_j^* w dx = 0 \quad (33.9)$$

۱. این خاصیت سوم عام نیست، ولی برای عملگرهای دیفرانسیلی مرتبهٔ دوم خطی به شکل اشتورم-لیوویل (خود-الحاقی) برقرار است. تمامیت را در بخش ۴.۹ تعریف و بررسی خواهیم کرد. در بخش ۸.۱۷، اثباتی ارائه خواهیم داد مبنی بر اینکه ویژه‌تابعهای معادلات دیفرانسیل خود-الحاقی مرتبهٔ دوم خطی، مجموعهٔ کاملی را تشکیل می‌دهند.



اگر  $z = i$ ، انتگرال نمی‌تواند صفر شود [زیرا جز در نقاط منزوی،  $w(x) > 0$ ] مگر در حالت بدیهی  $u_i = 0$ . از این رو ضریب  $(\lambda_i^* - \lambda_i)$  باید صفر شود

$$\lambda_i^* = \lambda_i \quad (34.9)$$

که بیان ریاضی حقیقی بودن ویژه‌مقدار است. از آنجا که  $\lambda_i$  می‌تواند هر یک از ویژه‌مقدارها باشد، معادله (۳۴.۹) خاصیت اول را ثابت می‌کند. این خاصیت دقیقاً شبیه ماهیت ویژه‌مقدارهای ماتریسهای حقیقی متقارن (و ماتریسهای هرمیتی) است (با بخش ۶.۴، جلد اول، مقایسه کنید).

حقیقی بودن ویژه‌مقدارهای عملگرهای هرمیتی، در مکانیک کوانتومی، دارای اهمیت اساسی است. ویژه‌مقدارها در مکانیک کوانتومی با کمیت‌هایی که دقیقاً قابل اندازه‌گیری‌اند، مانند انرژی و تکانه زاویه‌ای، متناظرند. حقیقی بودن ویژه‌مقدارها، در نظریه‌ای که بر حسب عملگرهای هرمیتی فرمول‌بندی شده‌است، ضامن این نکته خواهد بود که نظریه برای این کمیت‌های فیزیکی قابل اندازه‌گیری، اعداد حقیقی پیش‌بینی می‌کند. در بخش ۸.۱۷ خواهیم دید که مجموعه ویژه‌مقدارهای حقیقی یک کران پایین دارند.

#### ویژه تابعهای متعامد

حال اگر  $i$  را مخالف  $j$  بگیریم و داشته باشیم:  $\lambda_i \neq \lambda_j$ ، انتگرال حاصلضرب دو ویژه‌تابع مختلف باید صفر شود

$$\int_a^b u_i u_j^* w dx = 0 \quad (35.9)$$

این شرط، که آن را تعامد می‌نامند، شبیه پیوستار صفر شدن حاصلضرب نرده‌ای دو بردار است.<sup>۱</sup> می‌گوییم که ویژه‌تابعهای  $u_i(x)$  و  $u_j(x)$  نسبت به تابع وزنی  $w(x)$  در بازه  $[a, b]$  متعامدند. معادله (۳۵.۹)، خاصیت دوم عملگرهای هرمیتی ما را (جز در یک وضعیت خاص) ثابت می‌کند. باز هم شباهت دقیق با آنالیز ماتریسی را خاطر نشان می‌کنیم. در واقع، بین این نظریه معادلات دیفرانسیل اشتورم-لیوویل و بررسی ماتریسهای هرمیتی یک تناظر یک‌به‌یک وجود دارد. از نظر تاریخی، این تناظر در اثبات این نکته اهمیت داشته‌است که

۱. از تعریف انتگرال ریمان داریم

$$\int_a^b f(x)g(x)dx = \lim_{N \rightarrow \infty} \left( \sum_{i=1}^N f(x_i)g(x_i) \right) \Delta x$$

که در آن  $x_0 = a$ ،  $x_N = b$  و  $x_i - x_{i-1} = \Delta x$ . اگر  $f(x_i)$  و  $g(x_i)$  را مؤلفه‌های  $i$ ام در بردار  $N$  مؤلفه‌ای بگیریم، آنگاه این مجموع (و در نتیجه این انتگرال) با حاصلضرب نرده‌ای دو بردار، معادله (۲۲.۱)، مستقیماً متناظر است. صفر شدن حاصلضرب نرده‌ای شرط تعامد دو بردار-یا دو تابع است.

مکانیک ماتریسی، که هایز نبرگک واضع آن بود، با مکانیک موجی، که شرودینگر ابداع کرد، از نظر ریاضی معادل یکدیگرند. امروزه این دو رهیافت متمایز، در نظریه مکانیک کوانتومی در کنار یکدیگر قرار دارند، و برای هر مسئله آن از فرمولبندی ریاضی بهره می‌گیرند که برای آن مسئله مناسبتر باشد. در واقع روشهای ریاضی ممکن تنها منحصر به همین دو روش نیست. معادلات انتگرالی، فصل ۱۶، رهیافت دیگری را تشکیل می‌دهند که معادل این دو و گاهی مناسبتر یا حتی قدرتمندتر است.

اثبات تعامد به‌طور کامل صورت نگرفت. می‌توانیم به‌ازای  $z \neq i$  بازهم داشته باشیم:  $\lambda_r = \lambda_s$ ، چنین حالتی را واگن می‌نامند. نمونه‌هایی از واگنی را در آخر این بخش ارائه خواهیم داد. اگر  $\lambda_r = \lambda_s$ ، لازم نیست که انتگرال در معادله (۳۳.۹) صفر شود. یعنی، ویژه‌تابعهای مستقل خطی متناظر به یک ویژه‌مقدار، به‌خودی‌خود متعامد نیستند و باید روش دیگری برای به‌دست آوردن یک مجموعه متعامد جستجو کرد. اگرچه ممکن است ویژه‌تابعها برای حالت واگن متعامد نباشند، ولی همواره می‌توان آنها را متعامد کرد. یکی از راههای انجام این کار در بخش بعد توضیح داده خواهد شد.

در فصلهای آتی خواهیم دید که همان قدر که در اختیار داشتن یک دستگاه مختصات متعامد مفید است، دسترسی داشتن به مجموعه‌ای از توابع متعامد نیز به‌همان میزان مفید خواهد بود. با توابع غیر متعامد نیز می‌توانیم کار کنیم ولی آنها هم عملاً همان قدر درهم خواهند بود که دستگاه مختصات مایل.

مثال ۱۰۳.۹ سری فوریه: تعامد

به‌ادامه مثال ۳.۱۰۹ می‌پردازیم؛ معادله ویژه‌مقداری (۲۰.۹)، یعنی

$$\frac{d^2}{dx^2} y(x) + n^2 y(x) = 0$$

می‌تواند یک ذره کوانتومی در یک جعبه، یا یک سیم ویلون مرتعش‌را، با ویژه‌تابعهای (واگن)  $\cos nx$  و  $\sin nx$  توصیف کند.

انتگرالهای تعامد به‌ازای مقادیر حقیقی  $n$  (در اینجا آنها را عدد درست گرفته‌ایم) به صورت زیر درمی‌آید

$$\int_{x_0}^{x_0+2\pi} \sin mx \sin nx \, dx = C_n \delta_{nm} \quad (\text{الف})$$

$$\int_{x_0}^{x_0+2\pi} \cos mx \cos nx \, dx = D_n \delta_{nm} \quad (\text{ب})$$

$$\int_{x_0}^{x_0+2\pi} \sin mx \cos nx \, dx = 0 \quad (\text{ج})$$

بررسی قبلی ما برای بازه  $2\pi$ ، دلنای کرونگر بندهای (الف) و (ب) را می‌دهد، ولی صفر بند (ج) را پیش‌بینی نمی‌کند، زیرا بند (ج) شامل ویژه‌تابندهای واگن است. ولی با دقت می‌توان دید که بند (ج) به‌ازای همهٔ مقادیر اعداد درست  $m$  و  $n$  همواره صفر می‌شود. نظریهٔ اشتورم-لیوویل دربارهٔ مقادیر  $C_n$  و  $D_n$  چیزی نمی‌گوید. مجابسیه عملاً نشان می‌دهد که

$$C_n = \begin{cases} \pi, & n \neq 0 \\ 0, & n = 0 \end{cases}$$

$$D_n = \begin{cases} \pi, & n \neq 0 \\ 2\pi, & n = 0 \end{cases}$$

این انتگرالهای تعامد مبنای سری فوریه را تشکیل می‌دهند که در فصل ۱۴ به آنها خواهیم پرداخت.

مثال ۲۰۴.۹ بسط بر حسب ویژه‌تابندهای تعامد: موج مربعی

معنی خاصیت تمامیت همین است که رده‌های خاصی از توابع (یعنی توابع قطعه‌ای یا پاره‌پاره پیوسته) را می‌توانیم، تا هر درجه از دقت که بخواهیم، به کمک یک سری از ویژه‌تابندهای تعامد نمایش دهیم. موج مربعی زیر را در نظر بگیرید

$$f(x) = \begin{cases} \frac{h}{2}, & 0 < x < \pi \\ -\frac{h}{2}, & -\pi < x < 0 \end{cases} \quad (204.9)$$

این تابع را می‌توان بر حسب ویژه‌تابندهای گوناگونی، لژاندر، هرمیت، چیشف، و مانند اینها، بسط داد. گزینش ویژه‌تابع بر اساس مناسب بودن آن صورت می‌گیرد. برای اینکه تکنیک این بسط را ببینیم، ویژه‌تابندهای مثال ۱۰۲.۹، یعنی  $\sin nx$  و  $\cos nx$ ، را در نظر می‌گیریم.

این سری ویژه‌تابع را به تناسب (و به‌طور قراردادی) چنین می‌نویسیم

$$f(x) = \frac{a_0}{2} + \sum_{n=1}^{\infty} (a_n \cos nx + b_n \sin nx)$$

ضرایب، با استفاده از انتگرالهای تعامد مثال ۱۰۲.۹، به کمک روابط زیر بیان می‌شوند

$$a_n = \frac{1}{\pi} \int_{-\pi}^{\pi} f(t) \cos nt \, dt$$

$$b_n = \frac{1}{\pi} \int_{-\pi}^{\pi} f(t) \sin nt \, dt, \quad n = 0, 1, 2, \dots$$

با نشان دادن مستقیم  $\pm h/2$  به جای  $f(t)$  خواهیم داشت

$$a_n = 0$$

که از یاد تقارن موجود نیز همین انتظار می‌رفت، و

$$b_n = \frac{h}{n\pi} (1 - \cos n\pi) = \begin{cases} 0, & \text{زوج } n \\ \frac{2h}{n\pi}, & \text{فرد } n \end{cases}$$

در نتیجه بسط (فوریه) ویژه تابعی موج مربعی به صورت زیر است

$$f(x) = \frac{2h}{\pi} \sum_{n=0}^{\infty} \frac{\sin(2n+1)x}{(2n+1)} \quad (37.9)$$

مثالهای دیگری، که در آنها از ویژه تابعهای دیگر استفاده می‌شود، در فصلهای ۱۱ و ۱۲ توصیف خواهند شد.

### واکنشی

قبلاً با مفهوم واکنشی آشنا شدیم. اگر  $N$  ویژه تابع مستقل، متناظر با یک ویژه مقدار باشد، آن ویژه مقدار را واکن  $N$  گانه می‌خوانیم. ویژه مقادیرها و ویژه تابعهای معادله نوسانگر خطی، مثال ۱۰.۲.۹، واکنشی را به صورتی ساده نمایش می‌دهند. به ازای هر مقداری از ویژه مقدار  $n$ ، دو جواب ممکن وجود دارد:  $\sin nx$  و  $\cos nx$  (و هرگونه ترکیب خطی از این دو کمیت). می‌توانیم بگوییم که ویژه تابعها واکن اند یا ویژه مقدار واکن است.

سیستم فیزیکی شامل یک الکترون در اتم (در یک بررسی نانسیتی، با چشمپوشی از اسپین) نمایانگر نمونه پیچیده تری از واکنشی است. در معادله شرودینگر، معادله (۵۳.۱۳) برای هیدروژن، انرژی کل الکترون، ویژه مقدار ما به شمار می‌آید. می‌توانیم آنرا با استفاده از اعداد کوانتومی  $n$ ،  $L$ ، و  $M$  به صورت شاخص پایین، یعنی  $E_{nLM}$  نشانه گذاری کنیم. به ازای هر مجموعه متمایز اعداد کوانتومی  $(n, L, M)$  یک ویژه تابع مستقل خطی  $\psi_{nLM}(r, \theta, \varphi)$  وجود دارد. انرژی  $E_{nLM}$  برای هیدروژن از  $L$  و  $M$  مستقل است. با در نظر گرفتن اینکه  $0 \leq L \leq n-1$  و  $-L \leq M \leq L$ ، این ویژه مقدار، واکن  $n$  گانه است (شمول اسپین

الکترون، واگنی را تا  $2n^2$  بالامی برد). در آنهایی که بیش از یک الکترون دارند، پتانسیل الکتروستاتیکی دیگر به صورت پتانسیل ساده  $r^{-1}$  نیست. انرژی علاوه بر  $n$  به  $L$  هم بستگی خواهد داشت ولی تابع  $M$  نخواهد بود.  $E_{nLM}$  باز هم واگن  $(2L+1)$  گانه خواهد بود. می توان با استفاده از میدان مغناطیسی موجود اثر زیمان، این واگنی را از بین برد.

### مسائل

۱۰۲۰۹ توابع  $u_1(x)$  و  $u_2(x)$  عبارت اند از ویژه تابعهای يك عملگر هرمیتی با ویژه مقادیرهای متمایز  $\lambda_1$  و  $\lambda_2$ . ثابت کنید که  $u_1(x)$  و  $u_2(x)$  مستقل خطی اند.

۲۰۲۰۹ (الف) بردارهای  $e_n$  بر یکدیگر عمودند:  $e_n \cdot e_m = 0$  به ازای  $n \neq m$ . نشان دهید که این بردارها مستقل خطی اند.

(ب) توابع  $\psi_n(x)$  درباره  $[a, b]$  نسبت به تابع وزنی  $w(x)$  متعامدند. نشان دهید که  $\psi_n(x)$ ها مستقل خطی اند.

۳۰۲۰۹ عبارتهای:

$$Q_0(x) = \frac{1}{2} \ln\left(\frac{1+x}{1-x}\right) \quad \text{و} \quad P_1(x) = x$$

جوابهای معادله دیفرانسیل لژاندر متناظر با ویژه مقادیرهای متفاوت اند.  
(الف) انتگرال تعامد این دو جواب، یعنی انتگرال زیر را، محاسبه کنید

$$\int_{-1}^1 \frac{x}{2} \ln\left(\frac{1+x}{1-x}\right) dx$$

(ب) توضیح دهید که چرا این دو تابع متعامد نیستند؟ چرا اثبات تعامد در اینجا عملی نیست؟

۴۰۲۰۹ عبارتهای:  $T_0(x) = 1$  و  $V_1(x) = (1-x^2)^{1/2}$  جوابهای معادله دیفرانسیل چیشف متناظر با ویژه مقادیرهای متفاوت اند. بر حسب شرایط مرزی، توضیح دهید که چرا این دو تابع متعامد نیستند.

۵۰۲۰۹ (الف) نشان دهید که مشتقهای اول چند جمله ایهای لژاندر در يك معادله دیفرانسیل خود-الحاقی با ویژه مقدار  $\lambda = n(n+1) - 2$  صدق می کنند.

(ب) نشان دهید که این مشتقهای چند جمله ایهای لژاندر در رابطه تعامد زیر صدق می کنند

$$\int_{-1}^1 P'_m(x)P'_n(x)(1-x^2)dx = 0, \quad m \neq n$$

یادآوردی. دربخش ۵.۱۲ تابع  $(1-x^2)^{1/2}P'_n(x)$  را چندجمله‌ای وابسته‌لزاندر،  $P'_n(x)$ ، خواهیم نامید.

۶.۲.۹ مجموعه توابع  $u_n(x)$  در معادله اشتورم-لیوویل

$$\frac{d}{dx} \left[ p(x) \frac{d}{dx} u_n(x) \right] + \lambda_n w(x) u_n(x) = 0$$

صدق می‌کنند. توابع  $u_n(x)$  و  $u_m(x)$  شرایطی مرزی را بر آورده می‌کنند که به تعامد آنها منجر می‌شود. ویژه‌مقدارهای  $\lambda_n$  و  $\lambda_m$  متناظر متمایزند. ثابت کنید که  $u'_n(x)$  و  $u'_m(x)$  با شرایط مرزی مناسب و با تابع وزنی  $p(x)$ ، متعامدند.

۷.۲.۹ عملگر خطی  $A$ ،  $n$  ویژه‌مقدار متمایز و  $n$  ویژه تابع متناظر با آنها دارد.  $A\psi_i = \lambda_i \psi_i$ . نشان دهید که این  $n$  ویژه تابع مستقل خطی اند. لازم نیست که  $A$  هرمیتی باشد. راهنمایی. فرض کنید که وابستگی خطی وجود دارد، یعنی  $\psi_n = \sum_{i=1}^{n-1} a_i \psi_i$ . این رابطه و معادله ویژه تابعی عملگر را، یک بار با یک ترتیب و بار دیگر به ترتیب عکس به کار برید. نشان دهید که نتیجه به تناقض می‌انجامد.

۸.۲.۹ مجموعه‌ای از توابع متقابل متعامدند. نشان دهید که این مجموعه خودبه‌خود مستقل خطی‌اند، یعنی تعامد خودش بر استقلال خطی دلالت می‌کند.

۹.۲.۹ چندجمله‌ایهای فاکروری  $C_n^{(\alpha)}(x)$  جوابهای معادله دیفرانسیل زیر به‌شمار می‌آیند

$$\left\{ (1-x^2) \frac{d^2}{dx^2} - (2\alpha+1)x \frac{d}{dx} + n(n+2\alpha) \right\} C_n^{(\alpha)}(x) = 0$$

(الف) این معادله دیفرانسیل را به‌صورت خود-الحاقی در آورید.

(ب) نشان دهید که  $C_n^{(\alpha)}(x)$ های مربوط به مقادیر مختلف  $n$  متعامدند. بازه انتگرالگیری و عامل وزنی را مشخص کنید.

یادآوردی. جوابها را چندجمله‌ای فرض کنید.

$$\mathcal{L}u_i + \lambda_i w u_i = 0$$

و

$$\bar{\mathcal{L}}v_j + \lambda_j w v_j = 0$$

(الف) نشان دهید که

$$\int_a^b v_j \mathcal{L}u_i dx = \int_a^b u_i \bar{\mathcal{L}}v_j dx$$

به شرط آنکه

$$u_i p_0 v_j' \Big|_a^b = v_j p_0 u_i' \Big|_a^b$$

و

$$u_i (p_1 - p_0') v_j \Big|_a^b = 0$$

(ب) نشان دهید که انتگرال تعامد برای ویژه تابعهای  $u_i$  و  $v_j$  به صورت زیر درمی آید

$$\int_a^b u_i v_j w dx = 0 \quad (\lambda_i \neq \lambda_j)$$

۱۱۰۴۰۹ در مسئله ۸.۵.۸ دیدیم که جواب سری معادله چیشف به ازای همه مقادیر  $n$  همگراست. از این رو به اعتبار برهانی که برای معادله لژاندر به کار رفت (مسئله ۴.۵.۸)،  $n$  کوانتیده نیست. حاصل جمع سری چیشف  $k=0$  را به ازای  $100, 109, 108, 098, 099, 100$  و به ازای  $x=0.01(0.1)$  محاسبه کنید. یادآوردی. رابطه بازگشتی سری چیشف در مسئله ۱۶.۲.۵ آمده است.

۱۲۰۲۰۹ (الف) سری چیشف متناظر با  $n=v=099$  و  $k=0$  را به ازای  $x=1000, 0999, 0998, 1000$  محاسبه کنید. سرعت همگرا شدن این سری در  $x=1000$  بسیار کند است. ممکن است بخواهید از دقت دوگانه استفاده کنید. کران بالایی خطای محاسبه را می توانید به کمک مقایسه با حالت  $v=100$  که با  $(1-x^2)^{1/2}$  متناظر است، تنظیم کنید. (ب) واضح است که جوابهای سری متناظر با  $v=099$  و  $v=100$ ، علی رغم اینکه در يك معادله ویژه مقدراری با ویژه مقدرارهای متفاوت صدق می کنند، متعامد نیستند. با استفاده از رفتار جوابها در مجاورت  $x=1000$ ، سعی کنید فرضیه ای برای توجیه این امر فرمولبندی کنید که چرا اثبات تعامد عملی نیست.

۱۳۰۲.۹ بسط فوریهٔ موج مربعی (نامتقارن) با معادلهٔ (۳۷.۹) بیان شده است. سری متناظر با  $h=2$  را به ازای  $x = \frac{\pi}{18}$  ( $\pi/18$ )، با در نظر گرفتن (الف) ۱۰ جمله، (ب) ۱۰۰ جملهٔ سری، محاسبه کنید.

یادآوری. نمایش هندسی فوریهٔ حاصل برای ۱۰ جمله، در  $x = \pi/18$  (یا  $10^\circ$ ) یک برآمدگی تیز دارد. این نوع نمایش، همان پدیدهٔ گیبس است که در بخش ۵.۱۴ مطرح خواهد شد. برای ۱۰۰ جمله این برآمدگی به حدود  $1^\circ$  منتقل می‌شود.

۱۴.۲.۹ موج مربعی متقارن

$$f(x) = \begin{cases} 1, & |x| < \frac{\pi}{2} \\ -1, & \frac{\pi}{2} < |x| < \pi \end{cases}$$

دارای بسط فوریه‌ای به قرار زیر است

$$f(x) = \frac{4}{\pi} \sum_{n=0}^{\infty} (-1)^n \frac{\cos(2n+1)x}{2n+1}$$

با استفاده از

(الف) جملهٔ اول،

(ب) جملهٔ اول

سری بالا را به ازای  $x = \frac{\pi}{18}$  ( $\pi/18$ ) محاسبه کنید.

یادآوری. در اینجا هم، مثل مسئلهٔ ۱۳.۲.۹، پدیدهٔ گیبس در ناپیوستگی ظاهر می‌شود؛ یعنی، سری فوریه در مجاورت ناپیوستگی برای محاسبات دقیق عددی مناسب نیست.

### ۳.۹ متعامد سازی گرام-اشمیت

در روش متعامد سازی گرام-اشمیت از یک مجموعهٔ نامتعامد توابع مستقل خطی<sup>۱</sup>، مجموعهٔ متعامدی می‌سازند که نسبت به عامل چگالی یا وزنی اختیاری، روی یک بازهٔ اختیاری واقع است. این فرایند، به زبان جبر خطی، معادل است با یک تبدیل ماتریسی که مجموعه‌ای از

۱. چنین مجموعه‌ای از توابع، می‌تواند در جواب یک معادلهٔ دیفرانسیل (جزئی) ظاهر شود که در آن ویژه مقدار از یک یا چند ثابت جداسازی مستقل باشد. مثلاً، می‌توان از مسئلهٔ اتم هیدروژن (بخشهای ۲.۹ و ۲.۱۳ را ببینید) یاد کرد. ویژه مقدار (انرژی) هم از تکانهٔ زاویه‌ای مداری الکترون هم از تصویر آن روی محور  $z$ ،  $m$  مستقل است. به هر حال باید توجه داشت که دستورالعمل متعامد سازی گرام-اشمیت به منشأ مجموعهٔ توابع کاری ندارد.



بردارهای (توابع) پایهٔ معامد را به يك مجموعهٔ نامتعامد مربوط می‌کند. مثال خاصی از این تبدیل ماتریسی در مسئلهٔ ۱۰۲-۱۰۱ خواهد آمد. توابعی که به کار می‌روند می‌توانند حقیقی یا مختلط باشند. در اینجا برای راحتی آنها را حقیقی می‌گیریم. تعمیم نتایج به حالت مختلط نباید چندان دشوار باشد.

قبل از آنکه به معامدسازی پردازیم، باید بهنجارش توابع را بررسی کنیم. تا اینجا هیچ بهنجارشی مشخص نشده است. یعنی آنکه

$$\int_a^b \varphi_i^2 w dx = N_i^2$$

اما هیچ توجهی هم به مقادیر  $N_i$  مبذول نشده است. از آنجا که معادلهٔ اصلی ما، [معادلهٔ (۶.۹)]، خطی و همگن است، اگر جواب را در هر ثابتی ضرب کنیم باز هم یکی از جوابها خواهد بود. اکنون اگر هر جواب به صورت  $\varphi_i(x)$  را در  $N_i^{-1}$  ضرب کنیم، مقدار جدید  $\varphi_i$  (بهنجار شده) در معادلهٔ زیر صدق می‌کند

$$\int_a^b \varphi_i^2(x) w(x) dx = 1 \quad (38.9)$$

یا

$$\int_a^b \varphi_i(x) \varphi_j(x) w(x) dx = \delta_{ij} \quad (39.9)$$

معادلهٔ (۳۸.۹) به این معناست که بهنجارش به واحد صورت گرفته است. با افزودن خاصیت تعامد، به معادلهٔ (۳۹.۹) خواهیم رسید. توابعی که در این معادله صدق کنند، معامد بهنجار (اورتورمال) خوانده می‌شوند. باید تأکید کرد که بهنجارشهای دیگری نیز میسر است، و در واقع هر يك از توابع خاص فیزیک ریاضی که در فصلهای ۱۲ و ۱۳ بررسی می‌شوند، به پیروی از قراردادهاى تاریخی، به صورت متفاوتی بهنجار می‌شوند.

سه مجموعه از توابع در نظر می‌گیریم: يك مجموعهٔ معین اصلی  $u_n(x)$ ،  $n = 0, 1, 2, \dots$ ؛ يك مجموعهٔ معامد  $\psi_n(x)$  که باید بسازیم؛ و يك مجموعهٔ نهایی از توابع  $\varphi_n(x)$  که عبارت اند از  $\psi_n$  های بهنجار شده.  $u_n$  های اصلی ممکن است ویژه تابعهای همگن باشند، ولی این امر الزامی نیست. خواهیم داشت

$\varphi_n(x)$

$\psi_n(x)$

$u_n(x)$

مستقل خطی  
معامد

مستقل خطی  
معامد

مستقل خطی  
نامتعامد

بهنجار (اورتورمال)

نا بهنجار

نا بهنجار

دستور العمل متعامدسازی گرام-اشمیت به این قرار است که  $n$  امین تابع  $\psi_n(x)$  را برابر  $u_n(x)$  به اضافه یک ترکیب خطی نامعلوم از  $\varphi$  های پیشین بگیریم. حضور  $u_n(x)$  جدید، ضامن حفظ استقلال خطی است. این شرط که  $\psi_n(x)$  به هر یک از  $\varphi$  های پیشین متعامد باشد درست همان تعداد قید ایجاد می کند که برای تعیین ضرایب نامعلوم لازم است. آنگاه  $\psi_n$  کاملاً تعیین شده را به واحد بهنجار می کنیم و  $\varphi_n(x)$  را به دست می آوریم. سپس این مراحل را برای  $\psi_{n+1}(x)$  تکرار می کنیم.

از  $n=0$  شروع می کنیم، داریم

$$\psi_0(x) = u_0(x) \quad (40.9)$$

هیچ  $\varphi$ ی "قبلی" نداریم که نگرانش باشیم. بهنجار می کنیم

$$\varphi_0(x) = \frac{\psi_0(x)}{[\int \psi_0^2 w dx]^{1/2}} \quad (41.9)$$

به ازای  $n=1$ ، داریم

$$\psi_1(x) = u_1(x) + a_{10} \varphi_0(x) \quad (42.9)$$

می خواهیم که  $\psi_1(x)$  بر  $\varphi_0(x)$  متعامد باشد. [در این مرحله بهنجارش  $\psi_1(x)$  اهمیتی ندارد.] این شرط تعامد به رابطه زیر منجر می شود

$$\int \psi_1 \varphi_0 w dx = \int u_1 \varphi_0 w dx + a_{10} \int \varphi_0^2 w dx$$

$$= 0 \quad (43.9)$$

از آنجا که  $\varphi_0$  به واحد بهنجار شده است [معادله (41.9)]، داریم

$$a_{10} = - \int u_1 \varphi_0 w dx \quad (44.9)$$

که مقدار  $a_{10}$  را تعیین می کند. پس از بهنجارش، بنا بر تعریف داریم

$$\varphi_1(x) = \frac{\psi_1(x)}{[\int \psi_1^2 w dx]^{1/2}} \quad (45.9)$$

تعمیم می دهیم، می رسمیم به

$$\varphi_i(x) = \frac{\psi_i(x)}{(\int \psi_i^2(x)w(x)dx)^{1/2}} \quad (۴۶.۹)$$

که در آن

$$\psi_i(x) = u_i + a_{i0}\varphi_0 + a_{i1}\varphi_1 + \dots + a_{i,i-1}\varphi_{i-1} \quad (۴۷.۹)$$

ضرایب  $a_{ij}$  از رابطه زیر به دست می آیند

$$a_{ij} = - \int u_i \varphi_j w dx \quad (۴۸.۹)$$

معادله (۴۸.۹) مربوط به بهنجارش به واحد است. اگر بهنجارش دیگری برگزینیم، آنگاه

$$\int_a^b [\varphi_j(x)]^2 w(x) dx = N_j^2$$

و به جای معادله (۴۶.۹) خواهیم داشت

$$\varphi_i(x) = N_i \frac{\psi_i(x)}{(\int \psi_i^2 w dx)^{1/2}} \quad (\text{الف } ۴۶.۹)$$

و مقادیر  $a_{ij}$  به صورت زیر درمی آیند

$$a_{ij} = - \frac{\int u_i \varphi_j w dx}{N_j^2} \quad (\text{الف } ۴۸.۹)$$

معادله های (۴۷.۹) و (۴۸.۹) را می توان بر حسب عملگرهای تصویری  $P_j$  باز نویسی کرد. اگر در نظر بگیریم که  $\varphi_n(x)$  یک فضای برداری خطی تشکیل می دهد، آنگاه می توانیم انتگرال معادله (۴۸.۹) را به عنوان تصویر  $u_i$  روی "مختصه"  $\varphi_j$  یا مؤلفه  $z$ ام  $u_i$  تعبیر کنیم. با

$$P_j u_i(x) = \left\{ \int u_i(t) \varphi_j(t) w(t) dt \right\} \varphi_j(x)$$

معادله (۴۷.۹) به صورت زیر درمی آید

$$\psi_i(x) = \left\{ 1 - \sum_{j=1}^{i-1} P_j \right\} u_i(x) \quad (\text{الف } ۴۷.۹)$$

کاسته شدن مؤلفه های  $z$ ام، از  $j=1$  تا  $j=i-1$ ،  $\psi_i(x)$  را بر همه  $\varphi_j(x)$ ها متعامد می سازد.

دستور العمل گرام-اشمیت یکی از روشهای ممکن برای ساختن مجموعه متعامد یا متعامد بهنجار است ولی مشاهده می شود که توابع  $\varphi_i(x)$  یکتا نیستند. به ازای يك بازه معین و يك تابع چگالی معلوم، تعدادی نامتناهی از این مجموعه های متعامد بهنجار ممکن وجود دارد. برای نشان دادن آزادی موجود، دو بردار (ناموازی)  $\mathbf{A}$  و  $\mathbf{B}$  در صفحه  $xy$  را در نظر بگیرید. می توانیم  $\mathbf{A}$  را به بزرگی واحد بهنجار کنیم، آنگاه  $\mathbf{B}' = a\mathbf{A} + \mathbf{B}$  را تشکیل دهیم، به طوری که  $\mathbf{B}'$  بر  $\mathbf{A}$  عمود باشد. با بهنجارش  $\mathbf{B}'$ ، متعامدسازی گرام-اشمیت برای دو بردار تکمیل شده است. ولی می توانستیم هر دو بردار یکه عمود بر هم  $\mathbf{i}$  و  $\mathbf{j}$  را به عنوان مجموعه متعامد بهنجار خود برگزینیم. باز با تعدادی نامتناهی چرخش ممکن  $\mathbf{i}$  و  $\mathbf{j}$  حول محور  $z$ ، تعدادی نامتناهی مجموعه متعامد بهنجار خواهیم داشت.

مثال ۱۰۳.۹ چند جمله ایهای لژاندر حاصل از متعامدسازی گرام-اشمیت می خواهیم از مجموعه توابع  $u_n(x) = x^n$ ،  $n = 0, 1, 2, \dots$ ، يك مجموعه متعامد بهنجار بسازیم. بازه در اینجا عبارت است از  $-1 \leq x \leq 1$  و تابع چگالی به صورت  $w(x) = 1$  خواهد بود.

مطابق با فرایند متعامدسازی گرام-اشمیت که قبلا توصیف کردیم، داریم

$$u_0 = 1 \quad \text{و} \quad \varphi_0 = \frac{1}{\sqrt{2}} \quad (49.9)$$

آنگاه

$$\psi_1(x) = x + a_{10} \frac{1}{\sqrt{2}} \quad (50.9)$$

و، به اعتبار تقارن

$$a_{10} = - \int_{-1}^1 \frac{x}{\sqrt{2}} dx = 0 \quad (51.9)$$

با بهنجارش  $\psi_1$ ، داریم

$$\varphi_1(x) = \sqrt{\frac{3}{2}} x \quad (52.9)$$

با ادامه فرایند گرام-اشمیت، بنا بر تعریف،  $\psi_2(x)$  عبارت است از

$$\psi_2(x) = x^2 + a_{20} \frac{1}{\sqrt{2}} + a_{21} \sqrt{\frac{3}{2}} x \quad (53.9)$$

که در آن

$$a_{r_0} = - \int_{-1}^1 \frac{x^2}{\sqrt{2}} dx = -\frac{\sqrt{2}}{3} \quad (54.9)$$

وباز هم به دلیل تقارن

$$a_{r_1} = - \int_{-1}^1 \sqrt{\frac{3}{2}} x^2 dx = 0 \quad (55.9)$$

از این رو

$$\psi_r(x) = x^2 - \frac{1}{3} \quad (56.9)$$

پس از بهنجارش به واحد، داریم

$$\varphi_r(x) = \sqrt{\frac{5}{2}} \times \frac{1}{2} (3x^2 - 1) \quad (57.9)$$

تابع بعدی، یعنی  $\varphi_r(x)$ ، عبارت است از

$$\varphi_r(x) = \sqrt{\frac{7}{2}} \times \frac{1}{2} (5x^2 - 3x) \quad (58.9)$$

مراجعه به فصل ۱۲ نشان خواهد داد که

$$\varphi_n(x) = \sqrt{\frac{2n+1}{2}} P_n(x) \quad (59.9)$$

که در آن  $P_n(x)$  چندجمله‌ای لژاندر مرتبه  $n$ ام است. فرایند گرام-اشمیت یکی از راه‌های ممکن ولی پر زحمت برای تشکیل چندجمله‌ایهای لژاندر ارائه کرده است. معادلات مربوط به متعامدسازی گرام-اشمیت به دلیل کم کردنها، چندان مناسب نیستند. همین‌گ، با استفاده از رابطه بازگشتی چندجمله‌ای، در خصوص تکنیکی برای اجتناب از این دشواری بحث می‌کنند.<sup>۱</sup>

در مثال ۱.۳.۹، بازه تعامد  $[-1, 1]$ ، يك تابع وزنی برابر يك، و مجموعه توابع  $x^n$  را که یکی یکی و به ترتیب افزایش‌یابنده در نظر گرفتیم، مشخص شدند. دستورالعمل گرام-اشمیت با همه این مشخصات معلوم یکتا خواهد بود (با يك عامل بهنجارش اختیاری و يك علامت کلی اختیاری که در دنباله مطلب در خصوص آن بحث می‌کنیم). مجموعه متعامد

1. Hamming, R.W., *Numerical Methods for Scientists and Engineers*, 2nd ed. New York: McGraw-Hill (1973).

حاصل، یعنی چندجمله‌ایهای لژاندر از  $P_0$  تا  $P_n$ ، برای توصیف چندجمله‌ایهای از مرتبهٔ کوچکتر یا مساوی  $n$ ، روی بازهٔ  $[-1, 1]$ ، يك مجموعهٔ کامل را تشکیل می‌دهد. مفهوم تمامیت را به طور مشروح در بخش ۴.۹ بررسی می‌کنیم. بسط توابع به صورت سری چندجمله‌ایهای لژاندر در بخش ۳.۱۲ مورد بحث قرار می‌گیرد.

### چندجمله‌ایهای متعامد

این مثال خاص را صرفاً برای نشان دادن دستورالعمل گرام-اشمیت برگزیدیم. این مثال، هر چند از این مزیت برخوردار بود که چندجمله‌ایهای لژاندر را ارائه کند، ولی توابع اصلی  $x^n = u_n$  ویژه‌تابعهای واگن نبوده و جوابهای معادلهٔ لژاندر نیستند. اینها، صرفاً مجموعه‌ای از توابع اند که ما برای تولید مجموعهٔ متعامد بهنجاری برای يك بازهٔ معین و يك تابع وزنی معلوم، آنها را به شکل جدیدی آرایش داده‌ایم. این واقعیت که ما به چندجمله‌ایهای لژاندر دست یافتیم کار خارق‌العاده‌ای نبوده است، بلکه پیامد مستقیم گزینش بازه و تابع وزنی است. همان طور که در جدول ۴.۹ نشان داده‌ایم، به کارگیری  $x^n = u_n(x)$  همراه با گزینشهای دیگر بازه و تابع وزنی، به مجموعه‌های دیگری از چندجمله‌ایهای متعامد می‌انجامد. این چندجمله‌ایها را، در فصلهای ۱۲ و ۱۳، به صورت جوابهای معادله‌های دیفرانسیل خاصی به طور مشروح بررسی خواهیم کرد.

واریسی این فرایند متعامدسازی دو خصوصیت اختیاری آن را آشکار می‌سازد. نخست اینکه همان طور که پیشتر تأکید کردیم، ضرورتی ندارد که توابع را به واحد بهنجار کنیم. در مثالی که هم‌اکنون آوردیم می‌توانستیم قرارداد کنیم که

$$\int_{-1}^1 \varphi_n(x) \varphi_m(x) dx = \frac{2}{2n+1} \delta_{nm} \quad (60.9)$$

و مجموعهٔ حاصل عملاً خود چندجمله‌ایهای لژاندر را به دست داده است. دوم اینکه، علامت  $\varphi_n$  همواره نامعین است. در مثال فوق علامت را به کمک این شرط که بالاترین توان  $x$  در چندجمله‌ای باید ضریب مثبت داشته باشد تعیین کردیم. در حالی که برای چندجمله‌ایهای لاگر ضریب بالاترین توان را برابر  $(-1)^n/n!$  می‌گیریم.

### مسائل

۱۰۳۰۹ مثال ۱۰۳.۹ را دوباره حل کنید، این بار به جای  $\varphi_n(x)$  چندجمله‌ای قراردادی لژاندر،  $P_n(x)$ ، را به کار برید.

$$\int_{-1}^1 [P_n(x)]^2 dx = \frac{2}{2n+1}$$

جدول ۴.۹ چند جمله‌ایهای متعامدی که از معادلسازی گرام-اشمیت توابع  $u_n(x) = x^n$  به‌ازای  $n = 0, 1, 2, \dots$  به‌دست می‌آیند.

چند جمله‌ای	بازه	تابع وزنی $w(x)$	بهنجارش استاندارد
لژاندر	$-1 \leq x \leq 1$	۱	$\int_{-1}^1 [P_n(x)]^2 dx = \frac{2}{2n+1}$
لژاندر انتقال یافته	$0 \leq x \leq 1$	۱	$\int_0^1 [P_n^*(x)]^2 dx = \frac{1}{2n+1}$
چبیشف I	$-1 \leq x \leq 1$	$(1-x^2)^{-1/2}$	$\int_{-1}^1 [T_n(x)]^2 (1-x^2)^{-1/2} dx = \begin{cases} \pi/2, & n \neq 0 \\ \pi, & n = 0 \end{cases}$
چبیشف انتقال یافته I	$0 \leq x \leq 1$	$[x(1-x)]^{-1/2}$	$\int_0^1 [T_n^*(x)]^2 [x(1-x)]^{-1/2} dx = \begin{cases} \pi/2, & n > 0 \\ \pi, & n = 0 \end{cases}$
چبیشف II	$-1 \leq x \leq 1$	$(1-x^2)^{1/2}$	$\int_{-1}^1 [U_n(x)]^2 (1-x^2)^{1/2} dx = \frac{\pi}{2}$
لاگر	$0 \leq x < \infty$	$e^{-x}$	$\int_0^{\infty} [L_n(x)]^2 e^{-x} dx = 1$
لاگر وابسته	$0 \leq x < \infty$	$x^k e^{-x}$	$\int_0^{\infty} [L_n^k(x)]^2 x^k e^{-x} dx = \frac{(n+k)!}{n!}$
هرمیت	$-\infty < x < \infty$	$e^{-x^2}$	$\int_{-\infty}^{\infty} [H_n(x)]^2 e^{-x^2} dx = 2^n \pi^{1/2} n!$

با استفاده از معادله‌های (۳۷.۹ الف)، (۴۶.۹ الف)، و (۴۸.۹ الف)،  $P_0$ ،  $P_1(x)$ ، و  $P_2(x)$  را به دست آورید.

$$P_2 = (3/2)x^2 - (1/2), P_1 = x, P_0 = 1. \text{ پاسخ.}$$

۲۰.۳.۹ با پیروی از دستورالعمل گرام-اشمیت، از مجموعه  $\{x^n\}$ ، مجموعه‌ای از چندجمله‌ایهای  $P_n^*(x)$  متعامد (با عامل وزنی واحد) روی بازه  $[0, 1]$  تشکیل دهید. طوری بهنجار کنید که  $P_n^*(1) = 1$ .

$$P_2^*(x) = 6x^2 - 6x + 1, P_1^*(x) = 2x - 1, P_0^*(x) = 1. \text{ پاسخ.}$$

$$P_3^*(x) = 20x^3 - 30x^2 + 12x - 1$$

این چندجمله‌ایها چهار چندجمله‌ای لژاندر انتقال یافته هستند.

یادآوری. «\*» به معنای همیوگ مخلوط نیست، بلکه نمادی استاندارد برای "انتقال یافته" به شمار می‌آید:  $[0, 1]$  به جای  $[-1, 1]$ .

۳۰.۳.۹ با بهره‌گیری از دستورالعمل گرام-اشمیت سه چندجمله‌ای اول لاگر را به دست آورید

$$u_n(x) = x^n, \quad n = 0, 1, 2, \dots$$

$$0 \leq x < \infty$$

$$w(x) = e^{-x}$$

بهنجارش متداول به صورت زیر است

$$\int_0^{\infty} L_m(x)L_n(x)e^{-x}dx = \delta_{mn}$$

$$L_2 = (2 - 4x + x^2)/2, L_1 = 1 - x, L_0 = 1. \text{ پاسخ.}$$

۴۰.۳.۹ این کمپتها را در اختیار داریم: (الف) مجموعه‌ای از توابع  $u_n(x) = x^n$ ،  $n = 0, 1, 2, \dots$  (ب) بازه  $(0, \infty)$ ، (ج) تابع وزنی  $w(x) = xe^{-x}$ . از دستورالعمل گرام-اشمیت بهره‌گیرید و اولین سه تابع متعامد بهنجار را از مجموعه  $u_n(x)$  برای این بازه و این تابع وزنی به دست آورید.

$$\varphi_2(x) = (x^2 - 6x + 6)/2\sqrt{3}, \varphi_1(x) = (x - 2)/\sqrt{2}, \varphi_0(x) = 1. \text{ پاسخ.}$$

۵۰.۳.۹ با استفاده از دستورالعمل متعامدسازی گرام-اشمیت، سه چندجمله‌ای اول هرمیت را تشکیل دهید



$$u_n(x) = x^n, \quad n = 0, 1, 2, \dots \quad -\infty < x < \infty, \quad w(x) = e^{-x^2}$$

بهنجارش متداول برای این مجموعه از چند جمله ایها به صورت زیر است

$$\int_{-\infty}^{\infty} H_m(x) H_n(x) w(x) dx = \delta_{mn} 2^m m! \pi^{1/2}$$

پاسخ.  $H_2 = 4x^2 - 2$ ,  $H_1 = 2x$ ,  $H_0 = 1$ .

۶.۳.۹ از طرح متعامد سازی گرام-اشمیت بهره گیرید و سه چند جمله ای اول چیشف (نوع I) را تشکیل دهید

$$u_n(x) = x^n, \quad n = 0, 1, 2, \dots \quad -1 \leq x \leq 1, \quad w(x) = (1-x^2)^{-1/2}$$

بهنجارش را به صورت زیر بگیرید

$$\int_{-1}^1 T_m(x) T_n(x) w(x) dx = \delta_{mn} \begin{cases} \pi, & m = n = 0 \\ \frac{\pi}{2}, & m = n \geq 1 \end{cases}$$

دهنمایی. انتگرالهای مورد نیاز در مسئله ۳.۴.۱۰ داده شده اند.

پاسخ.  $T_2 = 4x^2 - 3x$ ,  $T_1 = 2x^2 - 1$ ,  $T_0 = x$ ,  $T_{-1} = 1$ .

۷.۳.۹ شگرد متعامد سازی گرام-اشمیت را به کار بندید و سه چند جمله ای اول چیشف (نوع II) را تشکیل دهید

$$u_n(x) = x^n, \quad n = 0, 1, 2, \dots \quad -1 \leq x \leq 1, \quad w(x) = (1-x^2)^{+1/2}$$

بهنجارش را به صورت زیر بگیرید

$$\int_{-1}^1 U_m(x) U_n(x) w(x) dx = \delta_{mn} \frac{\pi}{2}$$

دهنمایی.

$$\int_{-1}^1 (1-x^2)^{1/2} x^{2n} dx = \frac{\pi}{2} \times \frac{1 \times 3 \times 5 \dots (2n-1)}{2 \times 4 \times 6 \times 8 \dots (2n+2)}, \quad n = 1, 2, 3, \dots$$

$$= \frac{\pi}{2}, \quad n = 0$$

$$U_0 = 1, U_1 = 2x, U_2 = 4x^2 - 1, U_3 = 8x^3 - 6x, \dots$$

۸.۳.۹. به عنوان پیرایشی در مسئله ۵.۳.۹، از دستورالعمل متعامدسازی گرام-اشمیت برای مجموعه  $u_n(x) = x^n$ ،  $n = 0, 1, 2, \dots$ ، بهره بگیرید.  $w(x)$  را برابر  $\exp[-x^2]$  بگیرید. دو چند جمله‌ای غیرصفر اول را پیدا کنید. چنان بهنجار کنید که ضریب بالاترین توان  $x$  یک شود. بازه  $(-\infty, \infty)$ ، در مسئله ۵.۳.۹ به چند جمله‌ایهای هر میت انجامید. پاسخ این مسئله مسلماً چند جمله‌ایهای هر میت خواهد بود.

$$\varphi_0 = 1, \varphi_1 = x - \pi^{-1/2}$$

۹.۳.۹. با استفاده از  $u_n(x) = e^{-nx}$ ،  $n = 1, 2, 3, \dots$ ، یک مجموعه متعامد روی بازه  $0 \leq x < \infty$  تشکیل دهید. عامل وزنی  $w(x)$  را برابر یک بگیرید. این توابع جوابهای  $u_n'' - n^2 u_n = 0$  خواهند بود. روشن است که این معادله بدصورت اشتورم-لیوویل (خود-الحاقی) است. پس چرا مطابق نظریه اشتورم-لیوویل، این توابع متعامد نیستند.

#### ۴.۹. تمامیت ویژه تابعها

سومین خاصیت مهم عملگر هرمیتی به این قرار است که ویژه تابعهای آن یک مجموعه کامل تشکیل می‌دهند. مفهوم این تمامیت آن است که هر تابع  $F(x)$  خوش رفتار (دست کم پاره پاره پیوسته) را می‌توان با هر دقت دلخواهی، به تقریب با سری زیر نشان داد<sup>۱</sup>

$$F(x) = \sum_{n=0}^{\infty} a_n \varphi_n(x) \quad (۹.۱)$$

به عبارت دقیقتر، مجموعه  $\varphi_n(x)$  را در صورتی کامل<sup>۲</sup> گوئیم که حد خطای مربعی میانگین صفر شود

$$\lim_{m \rightarrow \infty} \int_a^b \left[ F(x) - \sum_{n=0}^m a_n \varphi_n(x) \right]^2 w(x) dx = 0 \quad (۹.۲)$$

این انتگرال، از لحاظ تکنیکی، یک انتگرال لبگ<sup>۳</sup> است. این شرط را از آن بابت وضع نکرده‌ایم که خطا در بازه  $[a, b]$  متحد با صفر شود، بلکه فقط انتگرال مربع خطا باید صفر شود.

۱. اگر یک مجموعه متناهی داشته باشیم، مانند مورد بردارها، مجموعیایی روی تعداد عضوهای مستقل خطی در مجموعه صورت می‌گیرد.
۲. بسیاری از مؤلفان در اینجا از واژه بسته استفاده می‌کنند.

این همگرایی در میانگین در معادله (۶۲.۹) را باید با همگرایی یکنواخت، معادله (۶۷.۵)، بخش ۵.۵، مقایسه کرد. واضح است که همگرایی یکنواخت، همگرایی در میانگین را در بردارد، ولی عکس آن صادق نیست؛ همگرایی در میانگین قید ضعیفتری است. در حالت خاص، توابع پاره پاره پیوسته، یک تعداد متناهی از ناپیوستگیهای متناهی، معادله (۶۲.۹) را از دایره انتفاع خارج نمیکنند. معادله (۶۲.۹) برای مقاصد ما کاملاً کفایت می کند و نسبت به معادله (۶۷.۵) بسیار مناسبتر است. در واقع از آنجا که ما برای توصیف توابع ناپیوسته بارها از ویژه تابعها بهره خواهیم گرفت، همه آنچه که می توانیم انتظار داشته باشیم همگرایی در میانگین است.

به تعبیر جبر خطی، ما یک فضای خطی، یا فضای تابع، داریم. توابع متعامد بهنجار مستقل خطی  $\varphi_n(x)$  پایه این فضای بینهایت بعدی به شمار می آیند. معادله (۶۱.۹) بیانگر این نکته است که توابع  $\varphi_n(x)$  این فضای خطی را می پیمایند. این فضای خطی همراه با ضرب داخلی که به کمک معادله (۶۴.۹) تعریف می شود، یک فضای هیلبرت را تشکیل می دهد.

مسئله تمامیت مجموعه ای از توابع را غالباً از طریق مقایسه بایک سری لوران، بخش ۵.۶، تعیین می کنند. این کار را در بخش ۱۰.۱۴ برای سری فوریه انجام می دهیم و تمامیت این سری را تحقیق می کنیم. برای همه چند جمله ایهای متعامدی که در بخش ۳.۹ برشمردیم، می توان یک بسط چند جمله ای برای هر توان  $z$  به صورت زیر یافت

$$z^n = \sum_{i=0}^n a_i P_i(z) \quad (63.9)$$

که در آن  $P_i(z)$  چند جمله ای  $i$ ام است. مسائل ۶.۴.۱۲، ۸.۱.۱۳، ۵.۲.۱۳، و ۲۲.۳.۱۳ مثالهای خاصی از معادله (۶۳.۹) به شمار می آیند. با استفاده از معادله (۶۳.۹)، می توانیم بسط لوران  $f(z)$  را بر حسب چند جمله ایها بنویسیم و نشان دهیم که بسط چند جمله ای وجود دارد [و وجود آن دال بر یکتایی آن است (مسئله ۱۰.۴.۹)]. محدودیت این روش مبتنی بر سری لوران بدین قرار است که در این روش تابع باید تحلیلی باشد. معادلات (۶۱.۹) و (۶۲.۹) کلیترند. تنها باید پاره پاره پیوسته باشد. در فصل ۱۴، به نمونه های زیادی از نمایش این گونه توابع پاره پاره پیوسته برمی خوریم (سری فوریه). در کتاب کوران و هیلبرت اثباتی برای تمامیت مجموعه ویژه تابعهای اشتورم-لیوویل ارائه شده است.<sup>۱</sup> ضرایب بسط در معادله (۶۱.۹) را می توان از رابطه زیر به دست آورد

$$a_n = \int_a^b F(x) \varphi_n(x) w(x) dx \quad (64.9)$$

۱. بخش ۳ از فصل ۶ کتابی به مشخصات زیر را ببینید

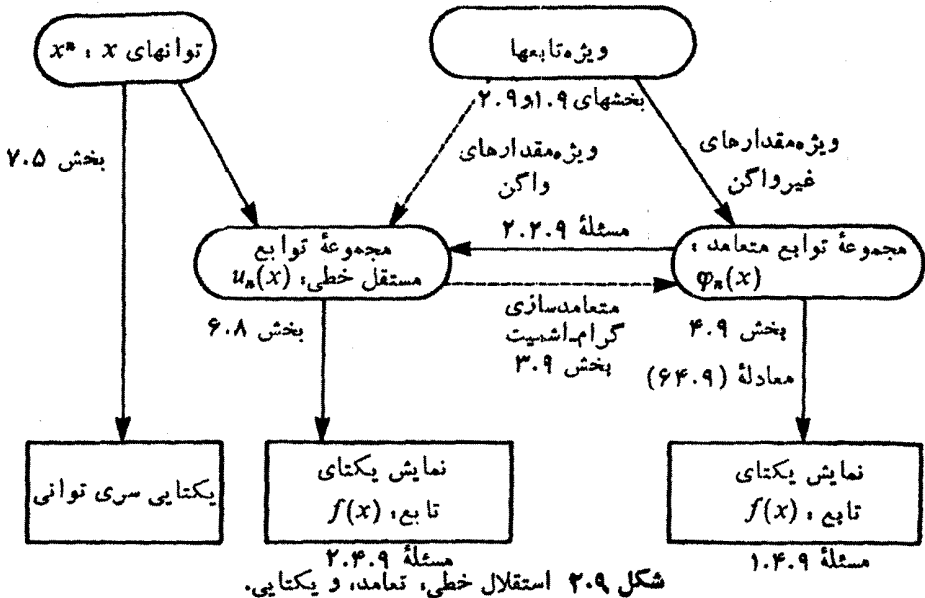
این رابطه از طریق ضرب کردن معادله (۶۱.۹) در  $\varphi_m(x)w(x)$  و انتگرالگیری به دست می آید. با استفاده از تعامد ویژه تابعهای  $\varphi_n(x)$ ، تنها جمله  $m$  باقی می ماند. اهمیت تعامد در همین جا مشخص می شود. معادله (۶۴.۹) را می توان با ضرب نقطه ای یا داخلی دو بردار در بخش ۳.۱ مقایسه کرد و  $a_m$  را به عنوان تصویر  $m$  تابع  $F(x)$  تعبیر کرد. ضریب  $a_m$  را غالباً ضریب فوریه تعمیم یافته می نامند.

$a_m$  برای یک تابع معلوم  $F(x)$ ، از طریق معادله (۶۴.۹) به صورت یک انتگرال معین به دست می آید که حتی اگر به صورت تحلیلی قابل حل نباشد، همواره می توان آن را به کمک کامپیوتر محاسبه کرد.

مثالهایی از بسط بر حسب ویژه تابعهای به خصوص را می توان در بخشهای کتاب حاضر، به شرح زیر، جستجو کرد: سری فوریه در بخش ۲.۹ و فصل ۱۴؛ بسطهای بسط و بسط-فوریه در بخش ۲.۱۱؛ سری لژاندر در بخش ۳.۱۲؛ سری لاپلاس در بخش ۶.۱۲؛ سری هریمیت در بخش ۱.۱۳؛ سری لاگر در بخش ۲.۱۳؛ سری چیشف در بخش ۳.۱۳.

بسط ویژه تابعی، معادله (۶۱.۹)، می تواند بسط یک تابع نامعلوم  $F(x)$  بر حسب یک سری از ویژه تابعهای معلوم  $\varphi_n(x)$  با ضرایب نامعلوم  $a_n$  به شمار آید. مثلاً می توان توصیف تابع موج (نامعلوم) مولکولی را به صورت یک ترکیب خطی از تابع موجهای معلوم اتمی که در حوزه شیمی کوانتومی معمول است، به عنوان نمونه در نظر گرفت. ضرایب نامعلوم  $a_n$  را به کمک یکی از تکنیکهای وردشی به نام تکنیک ریلی-ریتس محاسبه می کنیم (بخش ۸.۱۷ را ببینید).

روابط بین ویژه تابعها، مجموعه های توابع متعامد، مجموعه های توابع مستقل خطی، و یکتایی نمایشها، به صورتی طرحواره در شکل ۲.۹ نشان داده شده اند.



### نامساوی بسل

اگر مجموعه توابع  $\varphi_n(x)$  يك مجموعه کامل را تشکیل ندهد، مثلا به این دلیل صرف که تعداد نامتناهی عضو لازم مربوط به يك مجموعه نامتناهی را در نظر نگرفته‌ایم، به نامساوی بسل می‌رسیم. ابتدا مورد متناهی را از نظر می‌گذرانیم. فرض کنید که  $A$  يك بردار  $n$  مؤلفه‌ای به شرح زیر است

$$A = e_1 a_1 + e_2 a_2 + \dots + e_n a_n \quad (65.9)$$

که در آن  $e_i$  بردار يکه و  $a_i$  مؤلفه (یا تصویر)  $A$ ، متناظر با آن، به شمار می‌آید، یعنی

$$a_i = A \cdot e_i \quad (66.9)$$

در این صورت

$$\left( A - \sum_i e_i a_i \right)^2 \geq 0 \quad (67.9)$$

روشن است که اگر روی هر  $n$  مؤلفه مجموعیایی کنیم، با استفاده از معادله (65.9) مجموع با  $A$  برابر می‌شود و تساوی برقرار است. ولی اگر مجموع شامل همه  $n$  مؤلفه نباشد، يك نامساوی حاصل خواهد شد. معادله (67.9) را بسط می‌دهیم و با توجه به اینکه بردارهای يکه در رابطه تعامد زیر صدق می‌کنند

$$e_i \cdot e_j = \delta_{ij} \quad (68.9)$$

داریم

$$A^2 \geq \sum_i a_i^2 \quad (69.9)$$

این عبارت، نامساوی بسل است.

در مورد توابع، انتگرال زیر را در نظر می‌گیریم

$$\int_a^b \left[ f(x) - \sum_i a_i \varphi_i(x) \right]^2 w(x) dx \geq 0 \quad (70.9)$$

این معادله شبیه پیوستاری معادله (67.9) است، که در آن  $n \rightarrow \infty$  و مجموعیایی را با انتگرال تعویض کرده‌ایم. با توجه به اینکه  $w(x) > 0$ ، انتگرالده نامنفی است. بدکمک معادله (61.9) پی می‌بریم که اگر يك مجموعه کامل داشته باشیم، انتگرال صفر می‌شود. در غیر این صورت مثبت است. با بسط جمله‌ای که به توان دو رسیده، خواهیم داشت

$$\int_a^b [f(x)]^2 w(x) dx - 2 \sum_i a_i \int_a^b f(x) \varphi_i(x) w(x) dx + \sum_i a_i^2 \geq 0 \quad (71.9)$$

با به کارگیری معادله (۶۴.۹)، داریم

$$\int_a^b [f(x)]^2 w(x) dx \geq \sum_i a_i^2 \quad (72.9)$$

بنابراین مجموع مربعات ضرایب بسط،  $a_i$ ، یا از انتگرال وزندار  $[f(x)]^2$  کمتر و یا با آن برابر است؛ اگر فقط اگر بسط دقیق باشد، یعنی مجموعه توابع  $\varphi_n(x)$  مجموعه کاملی باشد، تساوی برقرار است.

در فصلهای بعد، آنجا که ویژه تابعهایی را که يك مجموعه کامل تشکیل می دهند (از قبیل چند جمله ایهای لژاندر) بررسی می کنیم، معادله (۷۲.۹) با علامت مساوی را رابطه پارسوال خواهیم نامید.

موارد استفاده نامساوی بسل گوناگون است، از آن جمله در اثبات همگرایی سری فوریه به کار می آید.

### نامساوی شوارتس

نامساوی شوارتس که بارها از آن بهره می گیریم، شبیه نامساوی بسل است. معادله درجه دوم زیر را در نظر بگیرید

$$\sum_{i=1}^n (a_i x + b_i)^2 = \sum_{i=1}^n a_i^2 (x + b_i/a_i)^2 = 0 \quad (73.9)$$

اگر  $b_i/a_i$  مساوی ثابت  $c$  باشد، آنگاه جواب عبارت است از:  $x = -c$ . اگر  $b_i/a_i$  ثابت نباشد، همه جملات به ازای يك  $x$  حقیقی نمی توانند به طور همزمان صفر شوند. در نتیجه، جواب باید مختلط باشد. با بسط دادن خواهیم داشت

$$x^2 \sum_{i=1}^n a_i^2 + 2x \sum_{i=1}^n a_i b_i + \sum_{i=1}^n b_i^2 = 0 \quad (74.9)$$

و به دلیل آنکه  $x$  مختلط (و یا مساوی  $-b_i/a_i$ ) است، فرمول درجه دوم برای  $x$  به رابطه زیر منجر می شود<sup>۱</sup>

$$\left( \sum_{i=1}^n a_i b_i \right)^2 \leq \left( \sum_{i=1}^n a_i^2 \right) \left( \sum_{i=1}^n b_i^2 \right) \quad (75.9)$$

۱. با معین منفی (یا صفر)  $b^2 - 4ac$ .

تساوی وقتی حاصل می شود که  $b_i/a_i$  بایک ثابت برابر باشد.  
 باز هم، بر حسب بردارها، داریم

$$(\mathbf{a} \cdot \mathbf{b})^2 = a^2 b^2 \cos^2 \theta \leq a^2 b^2 \quad (۷۶.۹)$$

که در آن  $\theta$  زاویه بین دو بردار است.

نامساوی شوارتس در مورد توابع به صورت زیر است

$$\left| \int_a^b f^*(x)g(x)dx \right|^2 \leq \int_a^b f^*(x)f(x)dx \int_a^b g^*(x)g(x)dx \quad (۷۷.۹)$$

اگر فقط اگر  $g(x) = \alpha f(x)$ ، تساوی برقرار خواهد بود، که در آن  $\alpha$  يك مقدار ثابت به شمار می آید. برای اثبات این شکل تابعی نامساوی شوارتس<sup>۱</sup>، تابع مختلط  $\psi(x) = f(x) - \lambda g(x)$  را در نظر بگیرید که در آن  $\lambda$  يك ثابت مختلط به شمار می آید. توابع  $f(x)$  و  $g(x)$  می توانند هر تابعی باشند (که برای آنها انتگرالها وجود داشته باشند). با ضرب کردن در همیوغ مختلط و انتگرالگیری، خواهیم داشت

$$\int_a^b \psi^* \psi dx \equiv \int_a^b f^* f dx + \lambda \int_a^b f^* g dx + \lambda^* \int_a^b g^* f dx + \lambda \lambda^* \int_a^b g^* g dx \geq 0 \quad (۷۸.۹)$$

علت ظاهر شدن علامت  $\geq 0$  آن است که  $\psi^* \psi$  نامنفی است؛ علامت مساوی (=) تنها وقتی برقرار خواهد بود که  $\psi(x)$  با صفر متحد باشد. با توجه به اینکه  $\lambda$  و  $\lambda^*$  مستقل خطی اند، نسبت به یکی از آنها مشتق می گیریم و مشتق را برابر صفر قرار می دهیم تا  $\int_a^b \psi^* \psi dx$  را کمینه کنیم

$$\frac{\partial}{\partial \lambda^*} \int_a^b \psi^* \psi dx = \int_a^b g^* f dx + \lambda \int_a^b g^* g dx = 0$$

و از آن خواهیم داشت

$$\lambda = - \frac{\int_a^b g^* f dx}{\int_a^b g^* g dx} \quad (\text{الف } ۷۹.۹)$$

با همیوغ مختلط گرفتن داریم

$$\lambda^* = - \frac{\int_a^b f^* g dx}{\int_a^b g^* g dx} \quad (\text{ب } ۷۹.۹)$$

۱. یکی از راههای دیگر برای استخراج این نامساوی، استفاده از نامساوی زیر است

$$\iint [f(x)g(y) - f(y)g(x)]^* [f(x)g(y) - f(y)g(x)] dx dy \geq 0$$

با نشان دادن این مقادیر  $\lambda$  و  $\lambda^*$  در معادله (۷۸.۹)، به معادله (۷۷.۹)، یعنی نامساوی شوارتس، دست می‌یابیم.

در مکانیک کوانتومی،  $f(x)$  و  $g(x)$ ، هر یک می‌توانند یک حالت یا پیکر بندی سیستم فیزیکی را نشان دهند. در این صورت نامساوی شوارتس ضامن این نکته است که حاصلضرب داخلی  $\int_a^b f^*(x)g(x)dx$  وجود دارد. در بعضی از کتابها نامساوی شوارتس مرحله کلیدی استخراج اصل عدم قطعیت هایزنبرگ را تشکیل می‌دهد.

نمادگذاری تابع در معادلات (۷۷.۹) و (۷۸.۹) نسبتاً پر زحمت است. در فیزیک-ریاضی پیشرفته و به ویژه در مکانیک کوانتومی متداول است که نمادگذاری متفاوت زیر را به کار ببریم

$$\langle f|g \rangle \equiv \int_a^b f^*(x)g(x)dx$$

در ضمن بهره‌گیری از این نمادگذاری جدید، گستره انتگرالگیری،  $(a, b)$ ، و هر تابع وزنی موجود را می‌دانیم. نامساوی شوارتس در این نمادگذاری به صورت زیر درمی‌آید

$$|\langle f|g \rangle|^2 \leq \langle f|f \rangle \langle g|g \rangle \quad (۷۷.۹ \text{ الف})$$

اگر  $g(x)$  ویژه تابع بهنجار  $\varphi_i(x)$  باشد، به کمک معادله (۷۷.۹) به نتیجه زیر دست می‌یابیم [در اینجا:  $w(x) = 1$ ]

$$a_i^* a_i \leq \int_a^b f^*(x)f(x)dx \quad (۸۰.۹)$$

همین نتیجه را از معادله (۷۲.۹) نیز می‌توانیم به دست بیاوریم.

### تابع دلتای دیراک

فرض کنید که یک مجموعه متعامد بهنجار کامل از توابع حقیقی  $\varphi_n(x)$  داریم و از آنها برای نمایش تابع دلتای دیراک استفاده می‌کنیم. بسطی به صورت زیر در نظر می‌گیریم [معادله (۶۱.۹)]

$$\delta(x-t) = \sum_{n=0}^{\infty} a_n(t)\varphi_n(x) \quad (۸۱.۹)$$

که در آن ضرایب  $a_n$  توابعی از متغیر  $t$  به شمار می‌آیند. با ضرب کردن در  $\varphi_m(x)$  و انتگرالگیری روی بازه تعامد [معادله (۶۴.۹)] داریم

$$a_m(t) = \int_a^b \delta(x-t)\varphi_m(x)dx = \varphi_m(t) \quad (۸۲.۹)$$



$$\delta(x-t) = \sum_{n=0}^{\infty} \varphi_n(x)\varphi_n(t) = \delta(t-x) \quad (۸۳.۹)$$

(به ازای  $w(x) \neq 1$ )، برای راحتی فرض می‌کنیم که تابع  $\varphi_n(x)$  را از نو تعریف کرده‌ایم تا  $w(x)^{1/2}$  نیز در آن بگنجد). بدون تردید این سری در معادله (۸۳.۹) به‌طور یکنواخت همگرا نیست، ولی می‌توان آن را به‌عنوان بخشی از یک انتگرال سه بدکار برد که پس از انتگرالگیری همگرا می‌شود (با بخش ۵.۵، جلد اول، مقایسه کنید). فرض کنید که انتگرال زیر را تشکیل دهیم

$$\int F(t)\delta(t-x)dx$$

و فرض کنید که  $F(t)$  را بتوان به‌صورت یک سری از ویژه‌تابعهای  $\varphi_p(t)$  بسط داد. خواهیم داشت

$$\begin{aligned} \int F(t)\delta(t-x)dt &= \int \sum_{p=0}^{\infty} a_p \varphi_p(t) \sum_{n=0}^{\infty} \varphi_n(x)\varphi_n(t)dt \\ &= \sum_{p=0}^{\infty} a_p \varphi_p(x) = F(x) \end{aligned} \quad (۸۴.۹)$$

به علت تعامد، انتگرال حاصلضرب  $\varphi_p \varphi_n$  ( $n \neq p$ ) صفر می‌شود [معادله (۳۹.۹)]. با مراجعه به تعریف تابع دلتای دیراک (بخشهای ۱۵.۱، جلد اول و ۷.۸)، می‌بینیم که نمایش سری ما، معادله (۸۳.۹)، خاصیت معرف (تعریف‌کننده) تابع دلتای دیراک را بر آورده می‌کند و بنابراین نمایشی از آن به‌شمار می‌آید. این نمایش تابع دلتای دیراک بستار نام دارد. فرض تعامیت مجموعه‌ای از توابع برای بسط  $\delta(x-t)$ ، رابطه بستار را بدست می‌دهد. مبحثی که در مسئله ۱۰.۴۰ مطرح شده، به‌عکس این مفهوم، یعنی بستار به‌معنای تعامیت، ربط پیدامی‌کند.

### تابع گرین

اگر تابع گرین را بر حسب ویژه‌تابعهای معادله همگن نظیر آن بسط دهیم، به یک سری شبیه به سری که  $\delta(x-t)$  را نمایش می‌دهد، دست می‌یابیم. در معادله نامهمولتز داریم

$$\nabla^2 \psi(\mathbf{r}) + k^2 \psi(\mathbf{r}) = -\rho(\mathbf{r}) \quad (۸۵.۹)$$

ویژه‌تابعهای معادله همگن هلمهولتز،  $\varphi_n$ ، در این معادله صدق می‌کنند

$$\nabla^2 \varphi_n(\mathbf{r}) + k_n^2 \varphi_n(\mathbf{r}) = 0 \quad (۸۶.۹)$$

بنابر آنچه در بخش ۷.۸ آمد، تابع گرین  $G(\mathbf{r}_1, \mathbf{r}_2)$  در معادله چشمه نقطه‌ای، به‌شکل زیر، صدق می‌کند

$$\nabla^2 G(\mathbf{r}_1, \mathbf{r}_2) + k^2 G(\mathbf{r}_1, \mathbf{r}_2) = -\delta(\mathbf{r}_1 - \mathbf{r}_2) \quad (۸۷.۹)$$

تابع گرین را در یک سری از ویژه تابعهای معادله همگن (۸۶.۹) بسط می‌دهیم، یعنی

$$G(\mathbf{r}_1, \mathbf{r}_2) = \sum_{n=0}^{\infty} a_n(\mathbf{r}_2) \varphi_n(\mathbf{r}_1) \quad (۸۸.۹)$$

و با نشان دادن این عبارت در معادله (۸۷.۹)، داریم

$$-\sum_{n=0}^{\infty} a_n(\mathbf{r}_2) k_n^2 \varphi_n(\mathbf{r}_1) + k^2 \sum_{n=0}^{\infty} a_n(\mathbf{r}_2) \varphi_n(\mathbf{r}_1) = -\sum_{n=0}^{\infty} \varphi_n(\mathbf{r}_1) \varphi_n(\mathbf{r}_2) \quad (۸۹.۹)$$

در اینجا به جای  $\delta(\mathbf{r}_1 - \mathbf{r}_2)$  بسط ویژه تابعی آن، یعنی معادله (۸۷.۹)، را قرار داده‌ایم. اگر برای جدا کردن  $a_n$ ، از تعامد  $\varphi_n(\mathbf{r}_1)$  استفاده کنیم، و سپس مقدار  $a_n$  را در معادله (۸۸.۹) بنشانیم، تابع گرین به صورت زیر درمی‌آید

$$G(\mathbf{r}_1, \mathbf{r}_2) = \sum_{n=0}^{\infty} \frac{\varphi_n(\mathbf{r}_1) \varphi_n(\mathbf{r}_2)}{k_n^2 - k^2} \quad (۹۰.۹)$$

این عبارت یک بسط دوخطی است که همان‌طور که انتظار می‌رفت نسبت به  $\mathbf{r}_1$  و  $\mathbf{r}_2$  متقارن است. سرانجام،  $\psi(\mathbf{r}_1)$ ، یعنی جواب مطلوب معادله ناهمگن از رابطه زیر به دست می‌آید

$$\psi(\mathbf{r}_1) = \int G(\mathbf{r}_1, \mathbf{r}_2) \rho(\mathbf{r}_2) d\tau_2 \quad (۹۱.۹)$$

اگر معادله دیفرانسیل ناهمگن خود را به صورت زیر تعمیم دهیم

$$\mathcal{L}\psi + \lambda\psi = -\rho \quad (۹۲.۹)$$

که در آن  $\mathcal{L}$  عملگری هرمیتی است، خواهیم داشت

$$G(\mathbf{r}_1, \mathbf{r}_2) = \sum_{n=0}^{\infty} \frac{\varphi_n(\mathbf{r}_1) \varphi_n(\mathbf{r}_2)}{\lambda_n - \lambda} \quad (۹۳.۹)$$

که در آن  $\lambda_n$ ، ویژه مقدار  $n$ ام و  $\varphi_n$  ویژه تابع متعامد بهنجار متناظر با آن، مربوط به معادله دیفرانسیل همگن زیر است

$$\mathcal{L}\varphi + \lambda\varphi = 0 \quad (۹۴.۹)$$

باردیگر در بخش ۵.۱۶ به تابع گرین برمی‌خوریم و در آنجا آن را به‌طور مشروحتر بررسی می‌کنیم و به معادلات انتگرالی ارتباطش می‌دهیم.

جمع‌بندی: فضاهاى برداری خطی - تمامیت

در اینجا برخی خواص فضای برداری خطی را جمع‌بندی می‌کنیم، نخست با بردارهای این

فضا که همان بردارهای حقیقی آشنای فصل ۱ هستند و سپس با بردارهایی که توابع معمولی، یا چندجمله‌ایها، در نظر گرفته می‌شوند. مفهوم تمامیت را برای فضاهای برداری متناهی و بی‌فضاهای برداری نامتناهی تعمیم می‌دهیم.

۱. فضای برداری خطی خود را با یک مجموعه از  $n$  بردار مستقل خطی  $e_1, e_2, \dots, e_n$ ، اگر  $n=3$ ، آنگاه،  $e_1 = i, e_2 = j, e_3 = k$  و  $n \cdot e_p = k$  بردار  $e_p$  فضای برداری خطی را می‌کنند.

۲. فضای برداری خطی (تابع) خود را با مجموعه‌ای از  $n$  تابع مستقل خطی  $\varphi_i(x)$ ،  $i = 0, 1, \dots, n-1$  توصیف می‌کنیم. شاخص پایین  $i$  از صفر شروع می‌شود تا با نشانه‌گذاریهای متداول در چندجمله‌ایهای کلاسیکی سازگار باشد.  $\varphi_i(x)$  را یک چندجمله‌ای از درجه  $i$  می‌گیریم.  $n$  تابع  $\varphi_i(x)$ ، فضای خطی برداری (تابع) را می‌کنند.

۳. بردارهای فضای خطی برداری، در رابطه‌های زیر صدق می‌کنند (بخش ۲.۱؛ مؤلفه‌های بردار عددند):

$u + v = v + u$  الف) جمع برداری جا به جایی است

$[u + v] + w = u + [v + w]$  ب) جمع برداری انجمنی است

$0 + v = v$  ج) یک بردار صفر وجود دارد

د) ضرب در یک اسکالر:

$a[u + v] = au + av$  پخشی است

$(a + b)u = au + bu$  پخشی است

$a[bu] = (ab)u$  انجمنی است

ه) ضرب

$1u = u$  در اسکالر واحد

$0u = 0$  در صفر

$(-1)u = -u$  و) بردار منفی

۴. توابع فضای خطی تابع ما، خواصی را که برای بردارها برشمردیم بر آورده می‌کنند. (به جای کلمه "بردار"، "تابع" بنشانید)

$$f(x) + g(x) = g(x) + f(x)$$

$$[f(x) + g(x)] + h(x) = f(x) + [g(x) + h(x)]$$

$$0 + f(x) = f(x)$$

$$a[f(x) + g(x)] = af(x) + ag(x)$$

۱. منظور حالتی است که به مجموعه بردارهای خطی مربوط می‌شود. م.

۲. منظور حالتی است که به مجموعه توابع خطی ربط پیدا می‌کند. م.

$$(a+b)f(x) = af(x) + bf(x)$$

$$a[bf(x)] = (ab)f(x)$$

$$۱ \cdot f(x) = f(x)$$

$$۰ \cdot f(x) = ۰$$

$$(-۱) \cdot f(x) = -f(x)$$

۳. هر بردار اختیاری  $\mathbf{c}$  در فضای برداری  $n$  بعدی به کمک  $n$  مؤلفه‌اش  $(c_1, c_2, \dots, c_n)$  توصیف می‌شود یا

$$\mathbf{c} = \sum_{i=1}^n c_i \mathbf{e}_i$$

اگر  $n$  بردار  $\mathbf{e}_i$  (۱) مستقل خطی باشند و (۲) فضای برداری  $n$  بعدی را بنند، يك پایه فضا را تشکیل می‌دهند و مجموعه کاملی می‌سازند.

۳. يك چند جمله‌ای از درجه  $m$ ،  $m \leq n-1$ ، در فضای تابع  $n$  بعدی به کمک رابطه زیر توصیف می‌شود

$$f(x) = \sum_{i=0}^{n-1} c_i \varphi_i(x)$$

اگر  $n$  تابع  $\varphi_i(x)$ : (۱) مستقل خطی باشند و (۲) فضای تابع  $n$  بعدی را بنند، يك پایه فضا و يك مجموعه کامل (برای توصیف چند جمله‌ایهایی از درجه  $m$ ،  $m \leq n-1$ ) تشکیل می‌دهند.

۴. ضرب داخلی (ضرب نرده‌ای یا اسکالر، یا نقطه‌ای) بنا بر تعریف عبارت است از

$$\mathbf{c} \cdot \mathbf{d} = \sum_{i=1}^n c_i d_i$$

(اگر  $\mathbf{c}$  و  $\mathbf{d}$  دارای مؤلفه‌های مختلط باشند؛ ضرب داخلی به صورت  $\sum_{i=1}^n c_i^* d_i$  تعریف می‌شود.) خواص ضرب داخلی عبارت‌اند از:

$$\mathbf{c} \cdot (\mathbf{d} + \mathbf{e}) = \mathbf{c} \cdot \mathbf{d} + \mathbf{c} \cdot \mathbf{e}$$

$$\mathbf{c} \cdot \mathbf{a} \mathbf{d} = \mathbf{a} \mathbf{c} \cdot \mathbf{d}$$

$$\mathbf{c} \cdot \mathbf{d} = (\mathbf{d} \cdot \mathbf{c})^*$$

الف) قانون پخشى جمع

ب) ضرب در اسکالر (یا عدد)

ج) همیوخ مختلط

۴. ضرب داخلی بنا بر تعریف عبارت است از

$$\langle f | g \rangle = \int_a^b f^*(x) g(x) w(x) dx$$

تابع وزنی  $w(x)$  و بازه  $(a, b)$  به کمک معادله دیفرانسیلی که  $\varphi_i(x)$  در آن صدق می‌کند و

نیز شرایط مرزی تعیین می‌شوند (بخش ۱۰۹). به زبان ماتریسی، بخش ۲.۴، عبارت  $|g\rangle$  است از یک بردار ستونی، و  $\langle f|$  یک بردار سطری، الحاقی به  $|f\rangle$ .

خواص ضرب داخلی همانهاست که در مورد بردارها برشمرديم

$$\langle f|g+h\rangle = \langle f|g\rangle + \langle f|h\rangle \quad (\text{الف})$$

$$\langle f|ag\rangle = a\langle f|g\rangle \quad (\text{ب})$$

$$\langle f|g\rangle = \langle g|f\rangle^* \quad (\text{ج})$$

۵.ب. تعامد

$$e_i \cdot e_j = 0, \quad i \neq j$$

اگر  $n$  بردار  $e_i$  خود متعامد نباشند، با استفاده از فرایند گرام-اشمیت می‌توان یک مجموعه متعامد ایجاد کرد.

۵.ت. تعامد

$$\langle \varphi_i | \varphi_j \rangle = \int_a^b \varphi_i^*(x) \varphi_j(x) w(x) dx = 0, \quad i \neq j$$

اگر  $n$  تابع  $\varphi_i(x)$  خود متعامد نباشند، با استفاده از فرایند گرام-اشمیت (بخش ۳.۹) می‌توان یک مجموعه متعامد ایجاد کرد.

۶.ب. تعریف نرم

$$|c| = (c \cdot c)^{1/2} = \left( \sum_{i=1}^n c_i^2 \right)^{1/2}$$

بردارهای پایه  $e_i$  را چنان در نظر می‌گیریم که دارای نرم (طول) واحد باشند،  $e_i \cdot e_i = 1$ . مؤلفه‌های  $c$  از رابطه زیر به دست می‌آیند

$$c_i = e_i \cdot c, \quad i = 1, 2, \dots, n$$

۶.ت. تعریف نرم

$$\|f\| = \langle f|f \rangle^{1/2} = \left[ \int_a^b |f(x)|^2 w(x) dx \right]^{1/2}$$

$$= \left[ \sum_{i=1}^{n-1} |c_i|^2 \right]^{1/2}$$

این تساوی آخری، اتحاد پارسوال است.  $\|f\| > 0$ ، مگر آنکه  $f(x)$  با صفر متحد باشد توابع پایه  $\varphi_i(x)$  را می‌توان چنان برگزید که دارای نرم واحد باشند (بهنجارش یکه)

$$\|\varphi_i\| = 1$$

ضرایب بسط چندجمله‌ای  $f(x)$  از رابطه زیر به دست می‌آیند

$$c_i = \langle \varphi_i | f \rangle, \quad i = 0, 1, \dots, n-1$$

۷.ب. نامساوی بسل

$$c \cdot c \geq \sum_i c_i^2$$

اگر به ازای همه  $c$  ها، علامت مساوی برقرار باشد، دال بر آن است که  $e_i$  ها فضای برداری را می‌تند، یعنی کامل‌اند.

۷.ت. نامساوی بسل

$$\langle f | f \rangle = \int_a^b |f(x)|^2 w(x) dx \geq \sum_i |c_i|^2$$

اگر به ازای همه  $f$  های مجاز علامت مساوی برقرار باشد، بر این امر دلالت می‌کند که  $\varphi_i(x)$  ها فضای تابع را می‌تند، یعنی کامل‌اند.

۸.ب. نامساوی شوارتس

$$c \cdot d \leq |c| \cdot |d|$$

علامت مساوی وقتی برقرار است، که  $c$  مضربی از  $d$  باشد. اگر زاویه بین  $c$  و  $d$  را با  $\theta$  نشان دهیم، داریم  $|\cos \theta| \leq 1$ .

۸.ت. نامساوی شوارتس

$$|\langle f | g \rangle| \leq \langle f | f \rangle^{1/2} \langle g | g \rangle^{1/2} = \|f\| \cdot \|g\|$$

علامت مساوی وقتی برقرار است که  $f(x)$  و  $g(x)$  وابسته خطی باشند، یعنی وقتی که  $f(x)$  مضربی از  $g(x)$  باشد.

اکنون فرض کنید که  $n$  با تشکیل فضای برداری خطی بینهایت بعدی،  $l^2$ ، به سمت بینهایت میل کند.

۹.ب. بردار  $c$  در فضای بینهایت بعدی به صورت زیر است

$$c = \sum_{i=1}^{\infty} c_i e_i$$

این شرط را وضع می‌کنیم که

$$\sum_{i=1}^{\infty} c_i^2 < \infty$$

مؤلفه‌های  $e$ ، دقیقاً مانند مورد فضای با بعد متناهی، از رابطه زیر به دست می‌آیند

$$c_i = e_i \cdot c, \quad i = 1, 2, \dots, \infty$$

با  $n \rightarrow \infty$ ، یک فضای خطی برداری (تابع) بینهایت بعدی،  $L^2$ ، تشکیل داده‌ایم. حرف  $L$  نشانگر کلمه لبگ و شاخص بالای ۲ نماینده توان ۲ در  $|f(x)|^2$  است. نیازی نیست که توابع ماچند جمله‌ای باشند، ولی باید دست کم به صورت پاره پاره پیوسته باشند (شرایط دیریکله برای سری فوریه) و نیز  $\int_a^b |f(x)|^2 w(x) dx = \langle f|f \rangle$  وجود داشته باشد. این شرط دوم را غالباً به این صورت بیان می‌کنند که  $f(x)$  باید مربعی انتگرالپذیر باشد.

۹. دنباله کوشی.

فرض کنید

$$f_n(x) = \sum_{i=0}^n c_i \varphi_i(x)$$

اگر، وقتی که  $n \rightarrow \infty$ ، آنگاه داشته باشیم

$$\|f(x) - f_n(x)\| \rightarrow 0$$

یا

$$\lim_{n \rightarrow \infty} \int \left| f(x) - \sum_{i=0}^n c_i \varphi_i(x) \right|^2 w(x) dx = 0$$

در آن صورت همگرایی در میانگین برقرار است. این شرط، مشابه معیار دنباله کوشی مجموع

پاره‌ای بخش ۱.۵ برای همگرایی یک سری نامتناهی مطرح می‌شود.

اگر هر دنباله کوشی از بردارهای مجاز (توابع مربعی انتگرالپذیر و پاره پاره پیوسته)

به یک بردار حدی در فضای خطی ما همگرا شود، فضا را کامل گویند. در این صورت، به مفهوم

همگرایی در میانگین داریم

$$f(x) = \sum_{i=0}^{\infty} c_i \varphi_i(x) \quad (\text{تقریباً در همه جا})$$

همان طور که قبلاً خاطر نشان شده است این شرط نسبت به همگرایی نقطه به نقطه (در مقدار

معین  $x$ ) یا همگرایی یکنواخت، ضعیفتر است.

ضرایب بسط (فوریه)

$$c_i = \langle \varphi_i | f \rangle, \quad i = 0, 1, \dots, \infty$$

درست مانند حالتی که در فضای متناهی بعد پیش می‌آید. آنگاه

$$f(x) = \sum_i \langle \varphi_i | f \rangle \varphi_i(x)$$

يك فضای خطی (با ابعاد متناهی یا نامتناهی) که (۱) در آن يك ضرب داخلی  $\langle f | g \rangle$  تعریف شده باشد و (۲) کامل باشد، فضای هیلبرت است. فضای هیلبرت بینهایت بعدی، يك چارچوب ریاضی طبیعی برای مکانیک کوانتومی نوین فراهم می‌آورد. از مکانیک کوانتومی گذشته، فضای هیلبرت زیبایی و توان ریاضی تجریدی خود را داراست ولی ضرورت کاربرد آن کاهش یافته است.

## مسائل

۱۰۴.۹ تابع  $f(x)$  را در يك سری از ویژه تابعهای متعامد بهنجار بسط داده‌ایم

$$f(x) = \sum_{n=0}^{\infty} a_n \varphi_n(x)$$

نشان دهید که بسط سری برای مجموعه معینی از  $\varphi_n(x)$  یکتاست. در اینجا توابع  $\varphi_n(x)$  را به عنوان بردارهای پایه در يك فضای هیلبرت بینهایت بعدی در نظر گرفته‌ایم.

۲۰۴.۹ تابع  $f(x)$  را به کمک مجموعه‌ای متناهی از توابع پایه  $\varphi_i(x)$  نمایش داده‌ایم

$$f(x) = \sum_{i=1}^N c_i \varphi_i(x)$$

نشان دهید که مؤلفه‌های  $c_i$  یکتا هستند و هیچ مجموعه متفاوت دیگری مانند  $c'_i$  وجود ندارد. یادآوری. توابع پایه مورد نظر خود به خود مستقل خطی اند، ولی لزوماً متعامد نیستند.

۳۰۴.۹ تابع  $f(x)$  را به طور تقریبی با سری توانی  $\sum_{i=0}^{n-1} c_i x^i$  روی بازه  $[0, 1]$  نمایش داده‌ایم. نشان دهید که کمینه کردن خطای مربعی میانگین به مجموعه معادله‌های خطی زیر منجر می‌شود

$$Ac = b$$

که در آن

$$A_{ij} = \int_0^1 x^{i+j} dx = \frac{1}{i+j+1}, \quad i, j = 0, 1, 2, \dots, n-1$$

و

$$b_i = \int_0^1 x^i f(x) dx, \quad i = 0, 1, 2, \dots, n-1$$



یادآوری.  $A_{ij}$ ها عبارت اند از عناصر یک ماتریس هیلبرت مرتبه  $n$ . دترمینان این ماتریس هیلبرت تابعی است از  $n$  که به سرعت نزول می کند. به ازای  $n=5$ ،  $\det \mathbf{A} = 37 \times 10^{-12}$  و مجموعه معادلات  $\mathbf{Ac} = \mathbf{b}$  دارای شرایط نامطلوب و ناپایدار می شود.

۴.۴.۹ به جای آنکه تابع  $F(x)$  را به صورت زیر بسط دهید

$$F(x) = \sum_{n=0}^{\infty} a_n \varphi_n(x)$$

که در آن

$$a_n = \int_a^b F(x) \varphi_n(x) w(x) dx$$

از تقریب سری متناهی زیر بهره گیرید

$$F(x) \approx \sum_{n=0}^m c_n \varphi_n(x)$$

نشان دهید که خطای مربعی میانگین

$$\int_a^b \left[ F(x) - \sum_{n=0}^m c_n \varphi_n(x) \right]^2 w(x) dx$$

با فرض  $c_n = a_n$ ، کمینه می شود.

یادآوری. مقدار ضرایب از تعداد جمله های سری متناهی مستقل است. این استقلال پیامدی است از تعامد، و در مورد برازش کمترین مربها که در آن از توانهای  $x$  استفاده می شود صدق نمی کند.

۵.۴.۹ از مثال ۲.۲.۹

$$f(x) = \begin{cases} h/2, & 0 < x < \pi \\ -h/2, & -\pi < x < 0 \end{cases} = \frac{2h}{\pi} \sum_{n=0}^{\infty} \frac{\sin(2n+1)x}{2n+1}$$

(الف) نشان دهید که

$$\begin{aligned} \int_{-\pi}^{\pi} [f(x)]^2 dx &= \frac{\pi}{2} h^2 \\ &= \frac{2h^2}{\pi} \sum_{n=0}^{\infty} (2n+1)^{-2} \end{aligned}$$

این عبارت به ازای حد بالای متناهی، همان نامساوی بسل خواهد بود، و به ازای حد بالای

∞، همان طور که نوشته شده است، اتحاد پار سوال است.  
(ب) با محاسبه سری، تحقیق کنید که

$$\frac{\pi}{2} h^2 = \frac{4h^2}{\pi} \sum_{n=0}^{\infty} (2n+1)^{-2}$$

دانهمایی. این سری را می توان به صورت تابع زتای ریمان نشان داد.

۶.۴.۹ از معادله (۷۸.۹):

$$\langle \psi | \psi \rangle = \langle f | f \rangle + \lambda \langle f | g \rangle + \lambda^* \langle g | f \rangle + \lambda \lambda^* \langle g | g \rangle$$

نسبت به  $\lambda$  مشتق بگیرید و نشان دهید که نامساوی شوارتس، یعنی معادله (۷۷.۹)، را به دست خواهید آورد.

۷.۴.۹ نامساوی شوارتس را از اتحاد زیر استخراج کنید

$$\left[ \int_a^b f(x)g(x)dx \right]^2 = \int_a^b [f(x)]^2 dx \int_a^b [g(x)]^2 dx - \frac{1}{2} \int_a^b \int_a^b [f(x)g(y) - f(y)g(x)]^2 dx dy$$

۸.۴.۹ اگر توابع  $f(x)$  و  $g(x)$  در نامساوی شوارتس، معادله (۷۷.۹)، را بتوان در یک سری از ویژه تابعهای  $\varphi_i(x)$  بسط داد، نشان دهید که معادله (۷۷.۹) به معادله (۷۵.۹) تبدیل می شود (که در آن  $n$  ممکن است بینهایت شود).  
دقت کنید که  $f(x)$  را به صورت برداری در یک فضای تابعی توصیف کرده ایم، که در آن  $\varphi_i(x)$  نظیر بردار یکه  $e_i$  است.

۹.۴.۹ عملگر  $H$  هرمیتی: قطعاً مثبت است، یعنی

$$\int_a^b f^* H f dx > 0$$

نامساوی تعمیم یافته شوارتس، یعنی

$$\left| \int_a^b f^* H g dx \right| \leq \int_a^b f^* H f dx \int_a^b g^* H g dx$$

را برای این عملگر اثبات کنید.

۱۰.۴.۹ (الف) نمایش تابع دلتای دیراک را، که در معادله (۸۳.۹) بیان شد، یعنی

$$\delta(x-t) = \sum_{n=0}^{\infty} \varphi_n(x) \varphi_n(t)$$

غالباً رابطه بستاری می‌نامند. نشان‌دهنده بستاری برای مجموعه متعامد بهنجاری از توابع،  $\varphi_n$ ، به معنای تمامیت ایسن مجموعه است، یعنی معادله (۶۱.۹) از معادله (۸۳.۹) نتیجه می‌شود.

دانهمایی. می‌توانید از رابطه زیر بهره‌بگیرید

$$F(x) = \int F(t) \delta(x-t) dx$$

(ب) با دنبال کردن راهنمایی بند (الف) به انتگرال  $\int F(t) \varphi_n(t) dt$  برمی‌خورید. از کجا می‌دانید که این انتگرال متناهی است؟

۱۱.۴.۹ تابع دلتای دیراک  $\delta(x-t)$  را، برای بازه متناهی  $(-\pi, \pi)$ ، به صورت یک سری از سینوسها و کسینوسها:  $\cos nx, \sin nx$ ،  $n = 0, 1, 2, \dots$  بسط دهید دقت کنید که هر چند این توابع متعامدند، اما به‌واحد بهنجار نشده‌اند.

۱۲.۴.۹ معادله (۹۰.۹)، یعنی بسط ویژه تابعی تابع گرین را در معادله (۹۱.۹) بنشانید، آنگاه نشان‌دهید که معادله (۹۱.۹) عملاً یکی از جوابهای معادله ناهمگن هلمهولتز (۸۵.۹) است.

۱۳.۴.۹ (الف) از یک معادله دیفرانسیل ناهمگن یک بعدی [معادله (۹۲.۹)] شروع کنید و فرض کنید که  $\psi(x)$  و  $\rho(x)$  را بتوان با بسط ویژه تابعی نمایش داد. بدون استفاده از تابع دلتای دیراک یا نمایشهای آن، نشان دهید که

$$\psi(x) = \sum_{n=0}^{\infty} \frac{\int_a^b \rho(t) \varphi_n(t) dt}{\lambda_n - \lambda} \varphi_n(x)$$

دقت کنید که: (۱) اگر  $\rho = 0$ ، هیچ جوابی نخواهیم داشت مگر آنکه  $\lambda = \lambda_n$ ؛ و (۲) اگر  $\lambda = \lambda_n$ ، هیچ جوابی نخواهیم داشت مگر آنکه  $\rho$  نسبت به  $\varphi_n$  متعامد باشد. همین رفتار در معادله‌های انتگرالی در بخش ۴.۱۶ دوباره ظاهر خواهد شد.

(ب) با تعویض ترتیب مجموعیایی و انتگرال، نشان‌دهید که تابع گرین متناظر با معادله (۹۳.۹) را تشکیل داده‌اید.

۱۴.۴.۹ ویژه‌تابعهای معادله شرودینگر اغلب مختلط‌اند. در این صورت انتگرال متعامد، یعنی معادله (۳۹.۹) با انتگرال زیر تعویض می‌شود

$$\int_a^b \varphi_i^*(x) \varphi_j(x) w(x) dx = \delta_{ij}$$

به جای معادله (۸۳.۹) خواهیم داشت

$$\delta(\mathbf{r}_1 - \mathbf{r}_2) = \sum_{n=0}^{\infty} \varphi_n(\mathbf{r}_1) \varphi_n^*(\mathbf{r}_2)$$

نشان دهید که تابع گرین، معادله (۹۰.۹)، به صورت زیر درمی آید

$$G(\mathbf{r}_1, \mathbf{r}_2) = \sum_{n=0}^{\infty} \frac{\varphi_n(\mathbf{r}_1) \varphi_n^*(\mathbf{r}_2)}{k_n^2 - k^2}$$

$$= G^*(\mathbf{r}_2, \mathbf{r}_1)$$

۱۵.۴.۹  $\psi(x)$  تابع متوجی بهنجار است:  $\psi(x) = \sum_{n=0}^{\infty} a_n \varphi_n(x)$ . ضرایب بسط  $a_n$

را دامنه‌های احتمال می‌نامند. می‌توانیم يك ماتریس چگالی  $\rho$  با عناصر  $\rho_{ij} = a_i a_j^*$  تعریف کنیم. نشان دهید که

$$(\rho^2)_{ij} = \rho_{ij}$$

یا

$$\rho^2 = \rho$$

این نتیجه، بنا بر تعریف،  $\rho$  را به صورت يك عملگر تصویری درمی آورد. (دانهمایی)

$$\int \psi^* \psi dx = 1$$

۱۶.۴.۹ نشان دهید که (الف) عملگر

$$|\varphi_i(x)\rangle \langle \varphi_i(t)|$$

که روی تابع

$$f(t) = \sum_j c_j |\varphi_j(t)\rangle$$

عمل کند، تابع زیر حاصل می‌شود

$$c_i |\varphi_i(x)\rangle$$

(ب)

$$\sum_i |\varphi_i(x)\rangle \langle \varphi_i(x)| = 1$$

این عملگر يك عملگر تصویری است که  $f(x)$  را روی مختصه‌ی  $z$  تصویر می‌کند و مؤلفه‌ی  $z$   $f(x)$ ، یعنی  $\langle c_i | \varphi_i(x) \rangle$ ، را برمی‌گزیند.

(دانهمایی) عملگر از طریق ضرب داخلی، که تعریف شده است، عمل می‌کند.

- Byron, F. W., Jr., and R. W. Fuller, *Mathematics of Classical and Quantum Physics*. Reading, Mass.: Addison-Wesley, 1969.
- Miller, K. S., *Linear Differential Equations in the Real Domain*, New York: Norton, 1963.
- Titchmarsh, E. C., *Eigenfunction Expansions Associated with Second Order Differential Equations*. London: Oxford University Press, Vol. I, 2nd ed., 1962, Vol. II, 1958.

## تابع گاما (تابع فاکتوریل)

تابع گاما (تابع فاکتوریل)

تابع گاما گاهگاه در مسائل فیزیکی نظیر بهنجارش تابع موجهای کولنی و محاسبه احتمالات در مکانیک آماری ظاهر می شود. ولی، این تابع به طور کلی کمتر از مثلا تابع لژاندر یا تابع بسل، فصلهای ۱۱ و ۱۲، تعبیر و کاربرد فیزیکی دارد. در عوض، اهمیت آن از فوایدش در ایجاد سایر توابع که کاربرد مستقیم فیزیکی دارند، سرچشمه می گیرد. از این روست که تابع گاما را در اینجا بررسی می کنیم. بحثی در باره محاسبه عددی تابع گاما در بخش ۳.۱۰ ارائه خواهیم داد.

## ۱.۱۰ تعریفها، خواص ساده

معمولا برای تابع گاما دست کم سه تعریف متفاوت و مناسب به کار می برند. نخستین کار ما بیان این تعریفها، عنوان کردن برخی پیامدهای مستقیم و ساده آنها، و نمایاندن هم ارزیشان است.

حد نامتناهی (اویلر)

نخستین تعریف، منسوب به اویلر، عبارت است از

$$\Gamma(z) \equiv \lim_{n \rightarrow \infty} \frac{1 \times 2 \times 3 \times \dots \times n}{z(z+1)(z+2)\dots(z+n)} n^z, \quad z \neq 0, -1, -2, -3, \dots$$

(۱.۱۰)

این تعریف  $\Gamma(z)$ ، در بسط یکی از صورت‌های  $\Gamma(z)$  به نام حاصلضرب نامتناهی وایر شتر اوس و معادله (۱۶.۱۰)، و در دستیابی به مشتق  $\ln \Gamma(z)$  (بخش ۲۰.۱۰) مفید واقع می‌شود.  $z$  در اینجا و در سایر مباحث فصل می‌تواند حقیقی یا مختلط باشد. با نشان دادن  $z+1$  به جای  $z$ ، خواهیم داشت

$$\begin{aligned} \Gamma'(z+1) &= \lim_{n \rightarrow \infty} \frac{1 \times 2 \times 3 \times \dots \times n}{(z+1)(z+2)(z+3)\dots(z+n+1)} n^{z+1} \\ &= \lim_{n \rightarrow \infty} \frac{nz}{z+n+1} \times \frac{1 \times 2 \times 3 \times \dots \times n}{z(z+1)(z+2)\dots(z+n)} n^{z+1} \quad (۲.۱۰) \\ &= z \Gamma(z) \end{aligned}$$

این عبارت رابطه‌ی تابعی اساسی تابع گاما به شمار می‌آید. باید توجه داشت که این یک معادله قفاضل است. نشان داده شده است که تابع گاما یکی از رده‌های کلی توابعی است که هیچ معادله‌ی دیفرانسیلی با ضرایب گویا در آن صدق نمی‌کند. به‌ویژه، تابع گاما یکی از چند تابعی در فیزیک ریاضی است که در هیچیک از دو معادله‌ی دیفرانسیل فوق‌هندسی (بخش ۵.۱۳) یا فوق‌هندسی همشار (بخش ۶.۱۳) صدق نمی‌کند. همچنین، با توجه به این تعریف

$$\begin{aligned} \Gamma(1) &= \lim_{n \rightarrow \infty} \frac{1 \times 2 \times 3 \times \dots \times n}{1 \times 2 \times 3 \times \dots \times n(n+1)} n \\ &= 1 \end{aligned} \quad (۳.۱۰)$$

اکنون، با بهره‌گیری از معادله (۲.۱۰) داریم

$$\begin{aligned} \Gamma(2) &= 1 \\ \Gamma(3) &= 2\Gamma(2) = 2 \\ \Gamma(n) &= 1 \times 2 \times 3 \times \dots \times (n-1) = (n-1)! \end{aligned} \quad (۴.۱۰)$$

انتگرال معین (اویلر)

تعریف دیگری، که بازم آن را در موارد فراوانی به نام اویلر هم می‌خوانند، عبارت است از

$$\Gamma(z) \equiv \int_0^{\infty} e^{-t} t^{z-1} dt, \quad \Re(z) > 0 \quad (۵.۱۰)$$

تحدید روی  $z$  برای اجتناب از واگرایی انتگرال ضروری است. وقتی تابع گاما در مسائل فیزیکی می آید، غالباً به یکی از صورتهای زیر یا شکل تغییر یافته آنهاست

$$\Gamma(z) = \int_0^{\infty} e^{-t} t^{z-1} dt, \quad \Re(z) > 0 \quad (6.10)$$

$$\Gamma(z) = \int_0^1 \left[ \ln\left(\frac{1}{t}\right) \right]^{z-1} dt, \quad \Re(z) > 0 \quad (7.10)$$

معادله (۶.۱۰)، به ازای  $z = 1/2$  همان تابع خطای گاوس است. می توان به نتیجه جالب زیر رسید

$$\Gamma\left(\frac{1}{2}\right) = \sqrt{\pi} \quad (8.10)$$

تعمیمهای معادله (۶.۱۰)، انتگرالهای گاوسی، رادرمسئله ۱۱.۱.۱۰ بررسی خواهیم کرد. در بخش ۴.۱۰، تابع بتا با استفاده از همین صورت انتگرال معین  $\Gamma(z)$ ، معادله (۵.۱۰)، به دست می آید.

برای نشان دادن هم ارزی این دو تعریف، یعنی معادله های (۱.۱۰) و (۵.۱۰)، تابع دو متغیره زیر را در نظر بگیرید

$$F(z, n) = \int_0^n \left(1 - \frac{t}{n}\right)^n t^{z-1} dt, \quad \Re(z) > 0 \quad (9.10)$$

که در آن  $n$  یک عدد درست است. با استفاده از تعریف تابع نمایی

$$\lim_{n \rightarrow \infty} \left(1 - \frac{t}{n}\right)^n \equiv e^{-t} \quad (10.10)$$

از این رو با توجه به معادله (۵.۱۰)، داریم

$$\begin{aligned} \lim_{n \rightarrow \infty} F(z, n) &= F(z, \infty) = \int_0^{\infty} e^{-t} t^{z-1} dt \\ &\equiv \Gamma(z) \end{aligned} \quad (11.10)$$

به  $F(z, n)$  باز می گردیم، و آن را از طریق انتگرالهای متوالی جزء به جزء محاسبه می کنیم. برای راحتی قرار می دهیم  $u = t/n$ . آنگاه

۱. این صورت  $F(z, n)$  به کمک تابع بتا بیان شده است [با معادله (۶۰.۱۰) مقایسه کنید].



$$F(z, n) = n^z \int_0^1 (1-u)^n u^{z-1} du \quad (12.10)$$

با انتگرالگیری جزء به جزء، داریم

$$\frac{F(z, n)}{n^z} = (1-u)^n \frac{u^z}{z} \Big|_0^1 + \frac{n}{z} \int_0^1 (1-u)^{n-1} u^z du \quad (13.10)$$

جزء انتگرالگیری شده در هر دو نقطه پایانی در بار صفر می‌شود. با تکرار این کار، سرانجام خواهیم داشت

$$\begin{aligned} F(z, n) &= n^z \frac{n(n-1) \dots 1}{z(z+1) \dots (z+n-1)} \int_0^1 u^{z+n-1} du \\ &= \frac{1 \times 2 \times 3 \times \dots \times n}{z(z+1)(z+2) \dots (z+n)} n^z \end{aligned} \quad (14.10)$$

این عبارت به عبارت سمت راست معادله (۱۰۱۰) شبیه است. از این رو، به کمک معادله (۱۰۱۰)، داریم

$$\lim_{n \rightarrow \infty} F(z, n) = F(z, \infty) \equiv \Gamma(z) \quad (15.10)$$

که اثبات را کامل می‌کند.

حاصلضرب نامتناهی (وایرشر اوس)

تعریف سوم (شکل منسوب به وایرشر اوس) عبارت است از

$$\frac{1}{\Gamma(z)} \equiv ze^{\gamma z} \prod_{n=1}^{\infty} \left(1 + \frac{z}{n}\right) e^{-z/n} \quad (16.10)$$

که در آن  $\gamma$  ثابت متداول اوپلر-ماشرونی است

$$\gamma = 0.577216 \dots \quad (17.10)$$

این صورت حاصلضرب نامتناهی برای بسط اتحاد بازتاب، معادله (۲۳.۱۰)، مورد استفاده قرار می‌گیرد، و در مسائلی نظیر مسئله ۱۹.۱۰.۱۰ به کار می‌رود. این تعریف را می‌توان، از طریق بازنویسی تعریف اصلی [معادله (۱۰۱۰)] به صورت زیر، استخراج کرد

$$\Gamma(z) = \lim_{n \rightarrow \infty} \frac{1 \times 2 \times 3 \times \dots \times n}{z(z+1) \dots (z+n)} n^z \quad (18.10)$$

$$= \lim_{n \rightarrow \infty} \frac{1}{z} \prod_{m=1}^n \left(1 + \frac{z}{m}\right)^{-1} n^z$$

با وارون کردن و بهره‌گیری از تساوی

$$n^{-z} = e^{(-\ln n)z} \quad (19.10)$$

داریم

$$\frac{1}{\Gamma(z)} = z \lim_{n \rightarrow \infty} e^{(-\ln n)z} \prod_{m=1}^n \left(1 + \frac{z}{m}\right) \quad (20.10)$$

طرفین را در عبارت

$$\exp \left[ \left(1 + \frac{1}{2} + \frac{1}{3} + \dots + \frac{1}{n}\right) z \right] = \prod_{m=1}^n e^{z/m} \quad (21.10)$$

ضرب و به آن تقسیم می‌کنیم: در نتیجه

$$\begin{aligned} \frac{1}{\Gamma(z)} &= z \left\{ \lim_{n \rightarrow \infty} \exp \left[ \left(1 + \frac{1}{2} + \frac{1}{3} + \dots + \frac{1}{n} - \ln n\right) z \right] \right\} \\ &\quad \times \left[ \lim_{n \rightarrow \infty} \prod_{m=1}^n \left(1 + \frac{z}{m}\right) e^{-z/m} \right] \quad (22.10) \end{aligned}$$

همان‌طور که در بخش ۲.۵ (جلد اول) نشان داده شده‌است، سری نامتناهی در نما همگراست و ثابت اولر-ماشرونی،  $\gamma$ ، را تعریف می‌کند. بدین ترتیب معادله (۱۶.۱۰) به دست می‌آید.

در بخش ۱۱.۵ نشان داده شد که تعریف حاصلضرب نامتناهی وایرشر اوس  $\Gamma(z)$ ، مستقیماً به اتحاد مهم زیر می‌انجامد

$$\Gamma(z)\Gamma(1-z) = \frac{\pi}{\sin n\pi} \quad (23.10)$$

این اتحاد را می‌توان از طریق انتگرال‌گیری پربندی (مثال ۵.۲.۷ و مسائل ۱۸.۲.۷ و ۱۹.۲.۷، جلد اول) و تابع بتا، بخش ۴.۱۰، نیز به دست آورد. با قراردادن  $z = 1/2$  در معادله (۲۳.۱۰)، خواهیم داشت

$$\Gamma\left(\frac{1}{2}\right) = \sqrt{\pi} \quad (24.10)$$

ریشه دوم مثبت را می‌گیریم) که با معادله (۸.۱۰) سازگار است.

تعریف و ایرشتر اوس به وضوح نشان می‌دهد که تابع  $\Gamma(z)$  به ازای قطبی ندارد، یعنی  $\Gamma(z)$  صفر ندارد. این رفتار را می‌توان در معادله (۲۳.۱۰) نیز مشاهده کرد. پی می‌بریم که در این معادله  $\pi/(\sin \pi z)$  هرگز صفر نمی‌شود.

تعریف حاصلضرب نامتناهی  $\Gamma(z)$  را در واقع می‌توان از قضیه تجزیه به عوامل و ایرشتر اوس، یا تصریح این نکته که  $[\Gamma(z)]^{-1}$  در  $z=0, -1, -2, -3, \dots$  دارای صفرهای ساده است، استخراج کرد. ثابت اویلر-ماشرونی به کمک شرط  $\Gamma(1)=1$  تعیین می‌شود.

توزیع (چگالی احتمال) گاما در نظریه احتمال از رابطه زیر به دست می‌آید

$$f(x) = \begin{cases} \frac{1}{\beta^\alpha \Gamma(\alpha)} x^{\alpha-1} e^{-x/\beta}, & x > 0 \\ 0, & x \leq 0 \end{cases} \quad (\text{الف } 24.10)$$

ثابت  $[\beta^\alpha \Gamma(\alpha)]^{-1}$  را طوری می‌گیرند که احتمال کل (انتگرالگیری شده) برابر یک شود. معادله (۲۴.۱۰ الف)، به ازای  $x \rightarrow E$  (انرژی جنبشی) و  $\alpha \rightarrow 3/2$  و  $\beta \rightarrow kT$ ، آمار کلاسیکی ماکسول-بولتزمن را می‌دهد.

### نمادگذاری فاکتوریل

تا اینجا، بحث خود را به کمک نمادهای کلاسیکی عرضه کرده‌ایم. همان طور که جفریز و سایرین خاطر نشان کرده‌اند، کمیت  $-1$  که در نمای  $z-1$  در تعریف دوم [معادله (۵.۱۰)] ظاهر می‌شود کاملاً غیر ضروری است. بنا بر این معادله (۵.۱۰) را به صورت زیر بازنویسی می‌کنیم

$$\int_0^\infty e^{-t} t^z dt \equiv z!, \quad \Re(z) > -1 \quad (25.10)$$

تا تابع فاکتوریل،  $z!$ ، را تعریف کنیم، باز هم ممکن است گاهی به نمادگذاری گاوس برای تابع فاکتوریل،  $\Pi(z)$ ، برخورد کنیم

$$\Pi(z) = z! \quad (26.10)$$

نماد  $\Gamma$  منسوب به لواندر است. ناگفته پیداست که تابع فاکتوریل معادله (۲۵.۱۰) به صورت زیر به تابع گاما مربوط می‌شود

$$\Gamma(z) = (z-1)!$$

یا

$$\Gamma(z+1) = z! \quad (27.10)$$

اگر  $z$  با عدد درست مثبت  $n$  برابر باشد، بنا بر معادله (۴.۱۰)

$$z! = n! = 1 \times 2 \times 3 \times \dots \times n \quad (28.10)$$

که همان فاکتوریلی است که با آن آشنا ایم. ولی باید به دقت توجه کنیم که چون  $z!$  اکنون از طریق معادله (۲۵.۱۰) [یا به طور معادل از طریق معادله (۲۷.۱۰)] تعریف می‌شود، تابع فاکتوریل دیگر محدود به مقادیر عدد درست برای شناسه‌اش نیست (شکل ۱۰.۱۰). رابطه تفاضلی [معادله (۲۰.۱۰)] به صورت زیر درمی‌آید

$$(z-1)! = \frac{z!}{z} \quad (29.10)$$

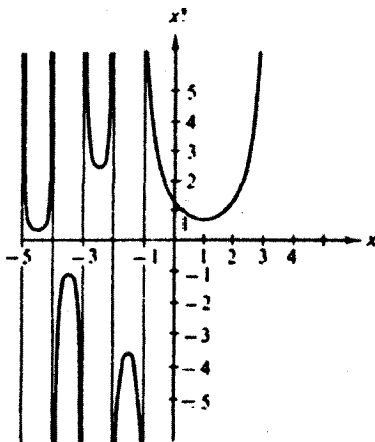
این رابطه فوراً نشان می‌دهد که

$$0! = 1 \quad (30.10)$$

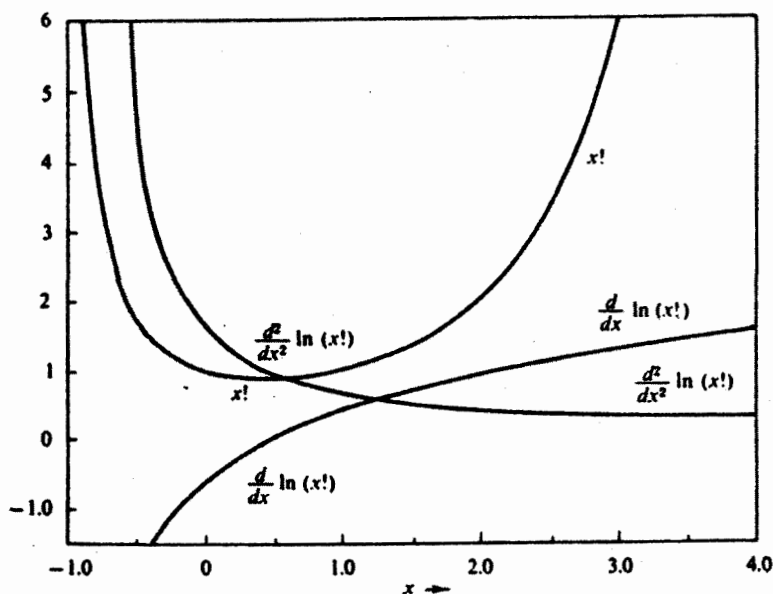
و

$$n! = \pm \infty \quad \text{به ازای مقادیر درست منفی } n \quad (31.10)$$

معادله (۲۳.۱۰) بر حسب تابع فاکتوریل به صورت زیر درمی‌آید



شکل ۱۰.۱۰ تابع فاکتوریل—تعمیم به شناسه‌های منفی.



شکل ۲۰۱۰ تابع فاکتوریل و دو مشتق اول  $\ln(x!)$ .

$$z!(-z)! = \frac{\pi z}{\sin \pi z} \quad (۲۲۰۱۰)$$

اگر شناسه را به مقادیر حقیقی بزرگتر از ۱ - محدود کنیم، خواهیم دید که  $x!$  منحنی شکل ۲۰۱۰ را تعریف می‌کند. کمینه این منحنی عبارت است از

$$x! = (۰٫۴۶۱۶۳ \dots)! = ۰٫۸۸۵۶۰ \dots \quad (\text{الف } ۳۳۰۱۰)$$

### نمادگذاری فاکتوریل دوگانه

در بسیاری از مسائل فیزیک ریاضی، به ویژه در ارتباط با چند جمله‌ایهای ژاندر (فصل ۱۲) به حاصلضربهایی از اعداد درست فرد یا اعداد درست زوج برمی‌خوریم. برای راحتی کار، در مورد این حاصلضربها نمادگذاری ویژه فاکتوریل دوگانه معرفی می‌شود

$$1 \times 3 \times 5 \times \dots \times (2n+1) = (2n+1)!!$$

(ب ۳۳۰۱۰)

$$2 \times 4 \times 6 \times \dots \times (2n) = (2n)!!$$

روشن است که این حاصلضربها به صورت زیر با تابعهای فاکتوریل معمولی ارتباط پیدا می‌کنند

$$(2n)!! = 2^n n! \quad \text{و} \quad (2n+1)!! = \frac{(2n+1)!}{2^n n!} \quad (\text{ج } ۳۳۰۱۰)$$

نمایش انتگرالی

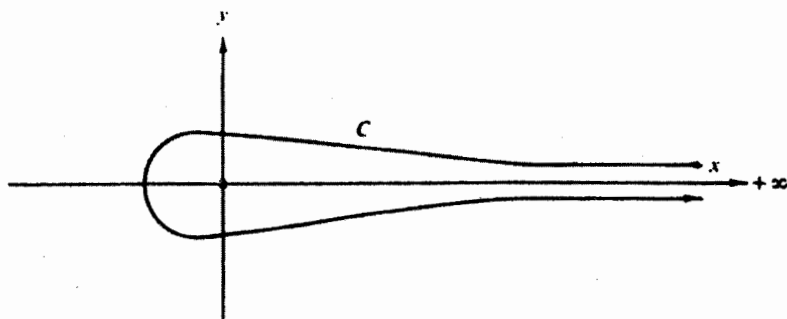
یکی از نمایشهای انتگرالی که در تشکیل سریهای مجانبی برای توابع بسط سودمند می افتد عبارت است از

$$\int_C e^{-z} z^{\nu} dz = (e^{2\pi i \nu} - 1) \nu! \quad (34.10)$$

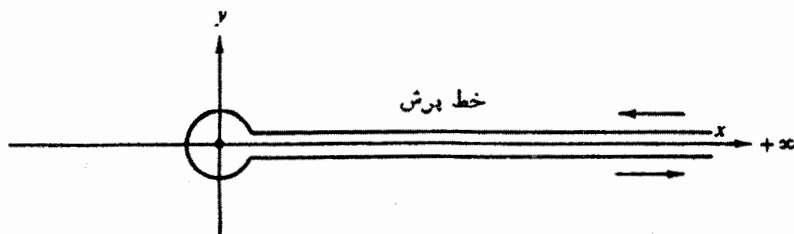
که در آن  $C$  پربند (مسیر)ی است که در شکل ۳۰۱۰ نشان داده شده است. این نمایش انتگرال پربندی خصوصاً وقتی سودمند است که  $\nu$  عدد درستی نباشد، که در نتیجه  $z=0$  يك نقطه انشعاب می شود. می توان به ازای  $\nu > -1$  و با تغییر شکل پربند، مطابق شکل ۴۰۱۰، درستی معادله (۳۴.۱۰) را به آسانی تحقیق کرد. انتگرال از  $\infty$  تا مبدأ، با صفر قراردادن فاز  $z$ ، برابر  $(\nu!)$  می شود. حاصل انتگرال از مبدأ تا  $\infty$  (در ربع چهارم) عبارت  $\nu! e^{2\pi i \nu}$  خواهد بود، فاز  $z$  در این ربع به  $2\pi$  افزایش یافته است. از آنجا که به ازای  $\nu > -1$ ، سهم مربوط به دایره پیرامون مبدأ در انتگرال صفر است، معادله (۳۴.۱۰) به دست می آید.

غالباً مناسبتر آن است که این نتیجه را به صورت متقارنتر زیر نشان دهیم

$$\int_C e^{-z} (-z)^{\nu} dz = 2i \sin \nu\pi \nu! \quad (35.10)$$



شکل ۳۰۱۰ پربند تابع فاکتوریل.



شکل ۴۰۱۰ پربند تغییر شکل یافته پربند شکل ۳۰۱۰.

این رابطه متناظر است با برگزیدن فاز  $z$  به صورتی که، در معادله (۳۴.۱۰) گستره‌ای از  $\pi$  تا  $\pi$  داشته باشد.

این تحلیل درستی معادله‌های (۳۴.۱۰) و (۳۵.۱۰) را به‌ازای  $\nu > -1$  نشان می‌دهد. تعمیم این گستره به طوری که همه مقادیر غیر عدد درست  $\nu$  را نیز شامل شود نسبتاً ساده است. اولاً به این نکته توجه می‌کنیم که تا آنجا که از مبدأ دور بمانیم، این انتگرال به‌ازای  $\nu < -1$  وجود دارد. دوم اینکه با انتگرالگیری جزء به جزء درمی‌یابیم که معادله (۳۵.۱۰) رابطه آشنای تفاضلی [معادله (۲۹.۱۰)] را به دست می‌دهد. اگر رابطه تفاضلی را نمایانگر تابع فاکتوریل مربوطه  $\nu < -1$  بگیریم، درستی معادله‌های (۳۴.۱۰) و (۳۵.۱۰) را به‌ازای همه مقادیر  $\nu$  (جز اعداد درست منفی) تحقیق کرده‌ایم.

## مسائل

۱۰۹۰۹۰ با استفاده از شکل انتگرالی اوایلر [معادله (۵.۱۰)] برای تابع  $\Gamma(z)$

$$\Gamma(z) = \int_0^{\infty} e^{-t} t^{z-1} dt$$

رابطه بازگشتی زیر را به دست آورید

$$\Gamma(z+1) = z\Gamma(z)$$

۲۰۹۰۹۰ در یکی از جوابهای توابع نوع دوم لژاندر، به صورت سری توانی، برمی‌خوریم به

$$\frac{(n+1)(n+2)(n+3)\dots(n+2s-1)(n+2s)}{2 \times 4 \times 6 \times 8 \dots (2s-2)(2s)(2n+3)(2n+5)(2n+7)\dots(2n+2s+1)}$$

که در آن  $s$  عدد درست مثبتی است. این عبارت را بر حسب فاکتوریلها بازنویسی کنید.

۳۰۹۰۹۰ نشان دهید که

$$\frac{(s-n)!}{(2s-2n)!} = \frac{(-1)^{s-n} (2n-2s)!}{(n-s)!}$$

در اینجا  $s$  و  $n$  اعداد درست اند و  $s < n$ . از این نتیجه می‌توان برای اجتناب از فاکتوریلهای منفی در مواردی نظیر نمایشهای سری توابع کروی نویمان و توابع نوع دوم لژاندر استفاده کرد.

۴۰۹۰۹۰ نشان دهید که  $\Gamma(z)$  را می‌توان به صورت زیر نوشت

$$\Gamma(z) = \int_0^{\infty} e^{-t} t^{z-1} dt, \quad \Re(z) > 0$$

$$\Gamma(z) = \int_0^1 \left[ \ln\left(\frac{1}{t}\right) \right]^{z-1} dt, \quad \Re(z) > 0$$

۵۰۱۰۱۰ در توزیع ماکسولی، کسری از ذرات که سرعتشان بین  $v$  و  $v+dv$  واقع است عبارت خواهد بود از

$$\frac{dN}{N} = \sqrt{\pi} \left( \frac{m}{2\pi kT} \right)^{3/2} \exp(-mv^2/2kT) v^2 dv$$

که در آن  $N$  تعداد کل ذرات است. مقدار متوسط یا انتظاری  $v^*$  بنا بر تعریف عبارت است از  $\langle v^n \rangle = N^{-1} \int v^n dN$ . نشان دهید که

$$\langle v^n \rangle = \left( \frac{2kT}{m} \right)^{n/2} \left( \frac{n+1}{2} \right)! / \frac{1}{2}!$$

۶۰۱۰۱۰ با تبدیل انتگرال زیر به یک تابع گاما، نشان دهید که

$$-\int_0^1 x^k \ln x dx = \frac{1}{(k+1)^2} \quad k > -1$$

۷۰۱۰۱۰ نشان دهید که

$$\int_0^{\infty} e^{-x^2} dx = \left( \frac{1}{2} \right)!$$

۸۰۱۰۱۰ نشان دهید که

$$\lim_{x \rightarrow \infty} \frac{(ax-1)!}{(x-1)!} = \frac{1}{a}$$

۹۰۱۰۱۰ موضع قطبهای  $\Gamma(z)$  را پیدا کنید. نشان دهید که این قطبها ساده‌اند و مانده‌ها را تعیین کنید.

۱۰۰۱۰۱۰ نشان دهید که تعداد ریشه‌های حقیقی معادله  $x! = k$ ،  $k \neq 0$ ، نامتناهی است.

۱۱۰۱۰۱۰ نشان دهید که

$$\int_0^{\infty} x^{2s+1} \exp(-ax^2) dx = \frac{s!}{2a^{s+1/2}} \quad (\text{الف})$$

$$\int_0^{\infty} x^{2s} \exp(-ax^2) dx = \frac{(s-1/2)!}{2a^{s+1/2}} \quad (\text{ب})$$

$$= \frac{(2s-1)!!}{2^{s+1} a^s} \sqrt{\frac{\pi}{a}}$$

این انتگرالهای گاوسی در مکانیک آماری اهمیت اساسی دارند.

۱۲۰۱۰۱۰ (الف) روابط بازگشتی را برای  $(2n)!!$  و  $(2n+1)!!$  بسط دهید.



(ب) با استفاده از این روابط بازگشتی،  $0!!$  و  $(-1)!!$  را محاسبه (یا تعریف) کنید.  
پاسخ.  $0!! = 1$ ،  $(-1)!! = 1$ .

۱۳۰۱۰۱۰ به ازای یک عدد درست نامنفی  $s$ ، نشان دهید که

$$(-2s-1)!! = \frac{(-1)^s}{(2s-1)!!} = \frac{(-1)^s 2^s s!}{(2s)!}$$

۱۴۰۱۰۱۰ ضریب  $n$  امین جمله از بسط  $(1+x)^{1/2}$  را،

(الف) بر حسب فاکتوریل‌های اعداد درست،

(ب) بر حسب توابع فاکتوریل دوگانه ( $!!$ )، بیان کنید.

پاسخ.  $a_n = (-1)^{n+1} \frac{(2n-3)!}{2^{2n-2} n! (n-2)!} = (-1)^{n+1} \frac{(2n-3)!!}{(2n)!!}$ ،  
 $n = 2, 3, 4, \dots$

۱۵۰۱۰۱۰ ضریب  $n$  امین جمله از بسط  $(1+x)^{-1/2}$  را،

(الف) بر حسب فاکتوریل‌های اعداد درست،

(ب) بر حسب توابع فاکتوریل دوگانه بنویسید.

پاسخ.  $a_n = (-1)^n \frac{(2n)!}{2^{2n} (n!)^2} = (-1)^n \frac{(2n-1)!!}{(2n)!!}$ ،  $n = 1, 2, 3, \dots$

۱۶۰۱۰۱۰ چند جمله‌ایهای لواندر را می‌توان به صورت زیر نوشت

$$P_n(\cos \theta) = 2 \frac{(2n-1)!!}{(2n)!!} \left\{ \cos n\theta + \frac{1}{1} \times \frac{n}{2n-1} \cos(n-2)\theta \right. \\ \left. + \frac{1 \times 3}{1 \times 2} \times \frac{n(n-1)}{(2n-1)(2n-3)} \cos(n-4)\theta \right. \\ \left. + \frac{1 \times 3 \times 5}{1 \times 2 \times 3} \times \frac{n(n-1)(n-2)}{(2n-1)(2n-3)(2n-5)} \cos(n-6)\theta + \dots \right\}$$

به جای  $n$ ، قرار می‌دهیم  $n = 2s + 1$ . آنگاه  $a_m$  بسط زیر را بر حسب فاکتوریل‌ها و فاکتوریل‌های دوگانه تعیین کنید

$$P_n(\cos \theta) = P_{2s+1}(\cos \theta) = \sum_{m=0}^s a_m \cos(2m+1)\theta$$

۱۷۰۱۰۱۰ (الف) نشان دهید که

$$\Gamma\left(\frac{1}{2} - n\right) \Gamma\left(\frac{1}{2} + n\right) = (-1)^n \pi$$

که در آن  $n$  يك عدد درست است.

(ب)  $\Gamma(1/2+n)$  و  $\Gamma(1/2-n)$  را به طور جداگانه بر حسب  $\pi^{1/2}$  و يك تابع !! بیان کنید.

$$\Gamma\left(\frac{1}{2}+n\right) = \frac{(2n-1)!!}{2^n} \pi^{1/2} \quad \text{پاسخ}$$

۱۸۰۱۰۱۰ با استفاده از یکی از تعریفهای تابع گاما یا فاکتوریل، نشان دهید

$$|(ix)!|^2 = \frac{\pi x}{\sinh \pi x}$$

۱۹۰۱۰۱۰ ثابت کنید

$$|\Gamma(\alpha+i\beta)| = \frac{\Gamma(1+\alpha)}{\alpha} \prod_{n=0}^{\infty} \left[ 1 + \frac{\beta^2}{(\alpha+n)^2} \right]^{-1/2}$$

این معادله در محاسبات نظریهٔ واپاشی بنا سو دمند افتاده است.

۲۰۰۱۰۱۰ نشان دهید که به ازای مقادیر درست مثبت  $n$

$$|(n+ib)!| = \left( \frac{\pi b}{\sinh \pi b} \right)^{1/2} \prod_{s=1}^n (s^2 + b^2)^{1/2}$$

۲۱۰۱۰۱۰ نشان دهید که به ازای همهٔ مقادیر  $x$

$$|x!| \geq |(x+iy)!|$$

متغیرهای  $x$  و  $y$  حقیقی اند.

۲۲۰۱۰۱۰ نشان دهید

$$\left| \left( -\frac{1}{2} + iy \right)! \right|^2 = \frac{\pi}{\cosh \pi y}$$

۲۳۰۱۰۱۰ چگالی احتمال وابسته به توزیع بهنجار در آمار از رابطهٔ زیر به دست می آید

$$f(x) = \frac{1}{\sigma(\sqrt{2\pi})^{1/2}} \exp[-(x-\mu)^2/2\sigma^2]$$

که در آن گسترهٔ  $x$  عبارت است از  $(-\infty, \infty)$ ؛ نشان دهید:

(الف) مقدار میانگین  $x$ ، یعنی  $\langle x \rangle$ ، برابر است با  $\mu$ .

(ب) انحراف معیار  $(\langle x^2 \rangle - \langle x \rangle^2)^{1/2}$  برابر است با  $\sigma$ .

۲۴۰۱۰۱۰ با استفاده از توزیع گاما در معادلهٔ (الف ۳۳۰۱۰) (الف)

$$f(x) = \begin{cases} \frac{1}{\beta^\alpha \Gamma(\alpha)} x^{\alpha-1} e^{-x/\beta}, & x > 0 \\ 0, & x \leq 0 \end{cases}$$

نشان دهید (الف)  $\langle x \rangle = \alpha\beta$  (میانگین)، (ب)  $\langle x^2 \rangle - \langle x \rangle^2 = \alpha\beta^2$  (واریانس).

۲۵.۱۰۱۰ تابع موج ذره‌ای که توسط یک پتانسیل صرفاً کولنی برانگنده می‌شود عبارت است از  $\psi(r, \theta)$ . تابع موج در مبدأ به صورت زیر درمی‌آید

$$\psi(0) = e^{-\pi\gamma/2} \Gamma(1+i\gamma)$$

که در آن  $\gamma = Z_1 Z_2 e^2 / \hbar v$  نشان دهید

$$\psi^*(0)\psi(0) = \frac{2\pi\gamma}{e^{2\pi\gamma} - 1}$$

۲۶.۱۰۱۰ نمایش انتگرال پربندی زیر را استخراج کنید

$$2i \sin \nu\pi \nu! = \int_c e^{-z} (-z)^\nu dz$$

۲۷.۱۰۱۰ یک زیر-برنامه تابع  $FACT(N)$  (با متغیر مستقل در نقاط ثابت) برای محاسبه  $N!$  بنویسید. در این زیر-برنامه قید رد کردن و دادن پیام خطا برای  $N$ های منفی را نیز بگنجانید.

یادآوردی. به ازای  $N$ های کوچک ضرب مستقیم ساده‌ترین کار است. به ازای  $N$ های بزرگ، معادله (۵۵.۱۰)، یعنی سری استرلینگ مناسب خواهد بود.

۲۸.۱۰۱۰ (الف) یک زیر-برنامه تابع برای محاسبه نسبت فاکتوریل دو گانه  $(2N-1)!! / (2N)!!$  بنویسید. قید محاسبه به ازای  $N=0$ ، و نیز برای رد کردن و دادن پیام خطا برای  $N$ های منفی بگنجانید. این نسبت را به ازای  $N=100$  محاسبه و جدولندی کنید.

(ب) محاسبه زیر-برنامه تابع خود را برای  $199!! / 200!!$  بامقدار حاصل از سری استرلینگ (بخش ۳.۱۰) بیازمایید.

$$\frac{199!!}{200!!} = 0.056348 \quad \text{پاسخ.}$$

۲۹.۱۰۱۰ یا با استفاده از برنامه GAMMA ای که به زبان فورترن باشد و یا با بهره‌گیری

از زیر-برنامه موجود دیگری برای  $x$  یا  $\Gamma(x)$ ، مقداری از  $x$  را که به ازای آن  $\Gamma(x)$  کمینه است ( $1 \leq x \leq 2$ ) بیابید و این مقدار کمینه  $\Gamma(x)$  را تعیین کنید. توجه کنید که هر چند می‌توان مقدار کمینه  $\Gamma(x)$  را با دقتی حدود شش رقم معنی‌دار (دقت یگانه) به دست آورد، دقت مقدارمتناظر  $x$  بسیار کمتر است. دلیل وجود این دقت نسبتاً کم چیست؟

۳۰۱۰۱۰ تابع گامایی را که به صورت انتگرالی مشخص شده است می‌توان به کمک کوادراتور گاوس-لاگر محاسبه کرد. در پیوست ۲، مقداری از  $x$  به دست می‌آید که به ازای مقادیر درست  $x$  از صفر تا ۱۹، بایک فرمول تسا در رقم اعشار، با مقدار دقیق نظری برابر است. اگر  $x$  عدد درستی نباشد، چه پیش می‌آید؟ کوادراتور گاوس-لاگر را برای محاسبه  $x!$ ، به ازای  $200(0.1) = 200$   $x = 0$  به کار برید. خطای مطلق را به صورت تابعی از  $x$  جدول‌بندی کنید.

مقدار آزمون. به ازای  $x = 13$ :  $x = 0.00034 =$  کوادراتور  $x!$  - دقیق  $x!$ .

## ۲.۱۰ توابع دی گاما و پلی گاما

### توابع دی گاما

ارسه تعریفی که در بخش ۱.۱۰ ارائه شد می‌توان پی برد که کار کردن مستقیم با مشتقهای تابع گاما یا فاکتوریل نامناسب است. در عوض متداول است که ابتدا با گرفتن لگاریتم طبیعی از تابع فاکتوریل [معادله (۱.۱۰)]، حاصلضرب به مجموع تبدیل، آنگاه مشتق گرفته شود. یعنی

$$z! = z\Gamma(z) = \lim_{n \rightarrow \infty} \frac{n!}{(z+1)(z+2)\dots(z+n)} n^z \quad (36.10)$$

و

$$\ln(z!) = \lim_{n \rightarrow \infty} [\ln(n!) + z \ln n - \ln(z+1) - \ln(z+2) - \dots - \ln(z+n)] \quad (37.10)$$

که در آن لگاریتم حد باحد لگاریتم برابر است. با مشتگیری نسبت به  $z$  داریم

$$\frac{d}{dz} \ln(z!) \equiv F(z) = \lim_{n \rightarrow \infty} \left( \ln n - \frac{1}{z+1} - \frac{1}{z+2} - \dots - \frac{1}{z+n} \right) \quad (38.10)$$

که  $F(z)$ ، یعنی تابع دی گاما، را تعریف می‌کند. معادله (۳۸.۱۰) را می‌توان با استفاده از

تعریف ثابت اولر- ماشرونی<sup>۱</sup>، به صورت زیر باز نویسی کرد

$$F(z) = -\gamma - \sum_{n=1}^{\infty} \left( \frac{1}{z+n} - \frac{1}{n} \right) \quad (39.10)$$

$$= -\gamma + \sum_{n=1}^{\infty} \frac{z}{n(n+z)}$$

یکی از کاربردهای معادله (۳۹.۱۰)، استخراج شکل سری تابع نویمان (بخش ۳.۱۱ را ببینید) است. روشن است که

$$F(0) = -\gamma = -0.577215664901 \dots \quad (40.10)$$

عبارتی، شاید سودمندتر، برای  $F(z)$  در بخش ۳.۱۰ به دست خواهیم آورد.

### تابع پلی گاما

با مشتقگیری پیاپی از تابع دی گاما می توان تابع پلی گاما را به دست آورد

$$F^{(m)}(z) \equiv \frac{d^{m+1}}{dz^{m+1}} \ln(z!) \quad (41.10)$$

$$= (-1)^{m+1} m! \sum_{n=1}^{\infty} \frac{1}{(z+n)^{m+1}}, \quad m=1, 2, 3, \dots$$

منحنی  $F(x)$  و  $F'(x)$  در شکل ۱.۱۰ گنجانده شده است. از آنجا که سری معادله (۴۱.۱۰) تابع زتای ریمان<sup>۲</sup> (با  $z=0$ ) را تعریف می کند

$$\zeta(m) \equiv \sum_{n=1}^{\infty} \frac{1}{n^m} \quad (42.10)$$

داریم

۱. با پنجهای ۲.۵ و ۶.۵ (جلد اول) مقایسه کنید.  $\sum_{n=1}^{\infty} n^{-s}$  را اضافه و کم کنید.

۲.  $\gamma$  تا ۱۲۷۱ رقم اعشارانات [Knuth, D.E., *Math. Comp.* **16**, 275, (1962)] و تا ۳۵۶۶ رقم اعشار اسوینی [Sweeney, D.W., *Math. Comp.* **17**, 170, (1963)] محاسبه کرده اند. نکته جالب اینکه نسبت ۲۲۸/۳۹۵ با دقت شش رقم اعشار برابر  $\gamma$  است.

۳. بخش ۹.۵ (جلد اول). از این سری به ازای  $z=0$  می توان برای تعریف تابع زتای تعمیم یافته استفاده کرد.

$$\mathbf{F}^{(m)}(0) = (-1)^{m+1} m! \zeta(m+1), \quad m = 1, 2, 3, \dots \quad (۲۳.۱۰)$$

مقادیر توابع پلی گاما به ازای شناسه‌های عدد درست مثبت،  $\mathbf{F}^{(m)}(n)$ ، را می‌توان با استفاده از مسئله ۶.۲.۱۰ محاسبه کرد.  
بر حسب نماد شاید متداولتر  $\Gamma$  داریم

$$\frac{d^{n+1}}{dz^{n+1}} \ln \Gamma(z) = \frac{d^n}{dz^n} \psi(z) = \psi^{(n)}(z) \quad (\text{الف } ۲۲.۱۰)$$

از معادله (۲۷.۱۰) داریم

$$\psi^{(n)}(z) = \mathbf{F}^{(n)}(z-1) \quad (\text{ب } ۲۲.۱۰)$$

بسط مک لورن، محاسبه

اکنون می‌توان یکی از بسطهای مک لورن را برای  $\ln(z!)$  نوشت

$$\ln(z!) = \sum_{n=1}^{\infty} \frac{z^n}{n!} \mathbf{F}^{(n-1)}(0) \quad (\text{ج } ۲۲.۱۰)$$

$$= -\gamma z + \sum_{n=2}^{\infty} (-1)^n \frac{z^n}{n} \zeta(n)$$

این سری به ازای  $|z| < 1$  همگراست، به ازای  $x = z$ ، گستره همگرایی عبارت است از  $1 < x \leq -1$ . صورتهای دیگر این سری در مسئله ۱۴.۹.۵ آمده‌است. معادله (۲۲.۱۰ ج) ابزار مناسبی برای محاسبه  $z!$  به ازای مقادیر حقیقی یا مختلط  $z$  به شمار می‌آید، ولی سری استرلینگ (بخش ۳۰.۱۰) معمولاً بهتر است، علاوه بر این اکنون جدولی بسیار عالی از مقادیر تابع گاما به ازای شناسه‌های مختلط، بر اساس استفاده از سری استرلینگ و رابطه بازگشتی [معادله (۲۹.۱۰)] در اختیار داریم.<sup>۱</sup>

مجموعیابی سریها

از توابع دی گاما و پلی گاما می‌توان برای مجموعیابی سریها نیز استفاده کرد. اگر جمله عمومی سری به صورت یک کسر گویا باشد (که در آن بزرگترین توان شاخص صورت، دست کم دو واحد کمتر از بزرگترین توان شاخص درمخرج باشد)، می‌توان آن را به کمک روش کسرهای جزئی تبدیل کرد (با بخش ۸.۱۵ مقایسه کنید). آنگاه سری نامتناهی را می‌توان به صورت مجموعی‌متناهی از توابع دی گاما و پلی گاما مشخص کرد. این روش در صورتی

1. Table of the Gamma Function for Complex Arguments, National Bureau of Standards, Applied Mathematics Series No. 34.

سودمند می افتد که جدولهای توابع دی گاما و پلی گاما را در اختیار داشته باشیم. این گونه جدولها و نمونههایی از مجموعیایی سریها در فصل ۶ کتاب AMS-55 داده شده است.

مثال ۱۰۴.۱۰ ثابت کاتالان

ثابت کاتالان، در مسئله ۲۲.۲۰۵، یا  $\beta(2)$  بخش ۹.۵ (جلد اول) از رابطه زیر به دست می آید

$$K = \beta(2) = \sum_{k=0}^{\infty} \frac{(-1)^k}{(2k+1)^2} \quad (۲۴.۱۰)$$

با گروهبندی جملات مثبت و منفی به طور مجزا و با شروع کردن از شاخص يك [برای آنکه با صورت  $F^{(1)}$  در معادله (۴۱.۱۰) جور باشد]، داریم

$$K = 1 + \sum_{n=1}^{\infty} \frac{1}{(2n+1)^2} - \frac{1}{9} - \sum_{n=1}^{\infty} \frac{1}{(2n+3)^2}$$

اکنون با مساوی قرار دادن معادله های (۴۱.۱۰) و (۲۴.۱۰ ب)، خواهیم داشت

$$K = \frac{1}{9} + \frac{1}{16} F^{(1)}\left(\frac{1}{4}\right) - \frac{1}{16} F^{(1)}\left(\frac{3}{4}\right) \quad (۵۴۴.۱۰)$$

$$= \frac{1}{9} + \frac{1}{16} \psi^{(1)}\left(1 + \frac{1}{4}\right) - \frac{1}{16} \psi^{(1)}\left(1 + \frac{3}{4}\right)$$

با استفاده از مقادیر  $\psi^{(1)}$  مندرج در جدول ۱۰۶ کتاب AMS-55، خواهیم داشت

$$K = 0.791596559 \dots$$

این محاسبه ثابت کاتالان را با محاسبه های فصل ۵، مجموعیایی مستقیم توسط ماشین و یا اصلاحاتی با استفاده از توابع زتای ریمان و سپس محاسبه ای (کوته تر) توسط ماشین، مقایسه کنید.

## مسائل

۱۰۴.۱۰ تحقیق کنید که دو صورت زیر برای تابع دی گاما

$$F(x) = \sum_{r=1}^x \frac{1}{r} - \gamma$$

$$F(x) = \sum_{r=1}^{\infty} \frac{x}{r(r+x)} - \gamma$$

(به ازای مقادیر درست مثبت  $x$ ) با هم برابرند.

۲۰۲۰۱۰ نشان دهید که بسط سری  $F(z)$  به صورت زیر است

$$F(z) = -\gamma + \sum_{n=1}^{\infty} (-1)^n \zeta(n) z^{n-1}$$

۲۰۲۰۱۰ AMS-55 برای بسط سری  $\ln(z!)$  عبارتی به صورت زیر می دهد

$$\ln(z!) = -\ln(1+z) + z(1-\gamma) + \sum_{n=2}^{\infty} (-1)^n [\zeta(n) - 1] z^n / n$$

(الف) نشان دهید که این رابطه به ازای  $|z| < 1$  با معادله (۴۴۰۱۰ ج) سازگار است.

(ب) گستره همگرایی این عبارت جدید چیست؟

۴۰۲۰۱۰ نشان دهید که

$$\frac{1}{2} \ln \left( \frac{\pi z}{\sin \pi z} \right) = \sum_{n=1}^{\infty} \frac{\zeta(2n)}{2n} z^{2n}, \quad |z| < 1$$

(اکنون می توانید معادله (۳۲۰۱۰) را به کار ببرید.)

۵۰۲۰۱۰ تعریف حاصلضرب نامتناهی و ایرشتر اوس را برای  $\ln(z!)$  بنویسید. بدون آنکه مشتق بگیرید، نشان دهید که این تعریف مستقیماً به بسط مک لورن  $\ln(z!)$ ، معادله (۴۴۰۱۰ ج)، می انجامد.

۶۰۲۰۱۰ رابطه تفاضلی زیر را برای تابع پل گاما به دست آورید

$$F^{(m)}(z+1) = F^{(m)}(z) + (-1)^m \frac{m!}{(z+1)^{m+1}}, \quad m = 0, 1, 2, \dots$$

۷۰۲۰۱۰ نشان دهید که اگر

$$\Gamma(x+iy) = u+iv$$

آنگاه

$$\Gamma(x-iy) = u-iv$$

این عبارت حالت خاصی از اصل انعکاس شوارتس، بخش ۵.۶ (جلد اول)، است.



۸۰۲۰۱۵ نماد پوکهامر،  $(a)_n$ ، بنا بر تعریف (به ازای مقادیر درست  $n$ ) عبارت است از

$$(a)_n = a(a+1) \dots (a+n-1)$$

$$(a)_0 = 1$$

(الف)  $(a)_n$  را بر حسب فاکتوریلها بیان کنید.

(ب)  $(d/da)(a)_n$  را بر حسب  $(a)_n$  و توابع دی گاما تعیین کنید.

$$\frac{d}{da}(a)_n = (a)_n [F(a+n-1) - F(a-1)] \quad \text{پاسخ}$$

(ج) نشان دهید که

$$(a)_{n+k} = (a+n)_k \cdot (a)_n$$

۹۰۲۰۱۵ درستی مقادیر خاص زیر را برای شکل  $\psi$  مربوط به توابع دی- و پلی گاما تحقیق کنید.

$$\psi(1) = -\gamma$$

$$\psi^{(1)}(1) = \xi(2)$$

$$\psi^{(2)}(1) = -2\xi(3)$$

۱۰۰۲۰۱۵ رابطه بازگشتی زیر را برای تابع پلی گاما استخراج کنید

$$\psi^{(m)}(1+z) = \psi^{(m)}(z) + (-1)^m m! / z^{m+1}, \quad m = 0, 1, 2, \dots$$

۱۱۰۲۰۱۵ تحقیق کنید که

$$\int_0^\infty e^{-r} \ln r \, dr = -\gamma \quad \text{(الف)}$$

$$\int_0^\infty r e^{-r} \ln r \, dr = 1 - \gamma \quad \text{(ب)}$$

$$\int_0^\infty r^n e^{-r} \ln r \, dr = (n-1)! + n \int_0^\infty r^{n-1} e^{-r} \ln r \, dr, \quad n = 1, 2, 3, \dots \quad \text{(ج)}$$

دانهمایی. درستی این روابط را می توان از طریق انتگرالگیری جزء به جزء، سه جزئی، یا مشتقگیری از صورت انتگرالی  $n!$  نسبت به  $n$  تحقیق کرد.

۱۲۰۲۰۱۵ تابع موجهای نسبی دیراک شامل ضرایبی نظیر  $[\gamma(1-\alpha^2 Z^2)^{1/2}]$  برای هیدروژن است، که در آن  $\alpha$ ، ثابت ساختار ریز، برابر  $1/137$  و  $Z$  عدد اتمی است.  $[\gamma(1-\alpha^2 Z^2)^{1/2}]$  را در یک سری از توانهای  $\alpha^2 Z^2$  بسط دهید.

۱۳۰۲۰۱۰ توصیف کوانتوم مکانیکی ذره‌ای در یک میدان کولنی مستلزم دانستن فاز تابع فاکتوریل مختلط است. فاز  $(1+ib)$  را به ازای مقادیر کوچک  $b$  تعیین کنید.

۱۴۰۲۰۱۰ انرژی کلی که از یک جسم سیاه تابش می‌شود، از رابطه زیر به دست می‌آید

$$u = \frac{8\pi k^4 T^4}{c^3 h^3} \int_0^{\infty} \frac{x^3}{e^x - 1} dx$$

نشان دهید انتگرال موجود در این عبارت با  $\zeta(4)$ ،  $\zeta(4) = \pi^4/90 = 1.0823\dots$  برابر است. نتیجه نهایی، قانون استفان-بولتزمن است.

۱۵۰۲۰۱۰ به عنوان تعمیم نتیجه مسئله ۱۴۰۲۰۱۰، نشان دهید که

$$\int_0^{\infty} \frac{x^s dx}{e^x - 1} = s! \zeta(s+1), \quad \Re(s) > 0$$

۱۶۰۲۰۱۰ چگالی انرژی نوترینو (توزیع فرمی) در آغاز پیدایش عالم از رابطه زیر به دست می‌آید

$$\rho_\nu = \frac{7\pi}{h^3} \int_0^{\infty} \frac{x^3}{\exp(x/kT) + 1} dx$$

نشان دهید که

$$\rho_\nu = \frac{7\pi^4}{30h^3} (kT)^3$$

۱۷۰۲۰۱۰ ثابت کنید که

$$\int_0^{\infty} \frac{x^s dx}{e^x + 1} = s!(1 - 2^{-s}) \zeta(s+1), \quad \Re(s) > 0$$

مسائل ۱۵۰۲۰۱۰ و ۱۷۰۲۰۱۰ در واقع تبدیل انتگرالی ملین را تشکیل می‌دهند (با بخش ۱۰۱۵ مقایسه کنید).

۱۸۰۲۰۱۰ ثابت کنید که

$$\psi^{(n)}(z) = (-1)^{n+1} \int_0^{\infty} \frac{t^n e^{-zt}}{1 - e^{-t}} dt, \quad \Re(z) > 0$$

۱۹۰۲۰۱۰ با استفاده از توابع دی-وِپلی گاما، جمع سریهای زیر را به دست آورید

$$\sum_{n=-\infty}^{\infty} \frac{1}{n^2-1} \quad (\text{ب}), \quad \sum_{n=-\infty}^{\infty} \frac{1}{n(n+1)} \quad (\text{الف})$$

یادآوردی. برای محاسبه توابع دی گامای موردنیاز می توانید از مسئله ۶.۲.۱۵ بهره بگیرید.

۲۰.۲.۱۵ نشان دهید که

$$\begin{aligned} \sum_{n=-\infty}^{\infty} \frac{1}{(n+a)(n+b)} &= \frac{1}{(b-a)} \{F(b) - F(a)\} \\ &= \frac{1}{(b-a)} \{\psi(1+b) - \psi(1+a)\} \end{aligned}$$

$a \neq b$  و  $b$  و  $a$  هیچیک عدد درست منفی نیستند. مقایسه این مجموعیایی با انتگرال متناظر زیر جالب خواهد بود

$$\int_1^{\infty} \frac{dx}{(x+a)(x+b)} = \frac{1}{b-a} \{\ln(1+b) - \ln(1+a)\}$$

رابطه بین  $\psi(x)$  یا  $[F(x)]$  و  $\ln x$ ، از معادله (۵۱.۱۰) بخش بعد به طور صریح مشخص می شود.

۲۱.۲.۱۵ درستی نمایش انتگرال پربندی زیر را برای  $\zeta(s)$  تحقیق کنید

$$\zeta(s) = -\frac{(-s)!}{2\pi i} \int_c \frac{(-z)^{s-1}}{e^z - 1} dz$$

پربندی  $C$  مانند پربندی مربوط به معادله (۳۵.۱۰) است. نقاط  $z = \pm 2n\pi i$ ،  $n = 1, 2, 3, \dots$  جملگی حذف شده اند.

۲۲.۲.۱۵ نشان دهید که  $\zeta(s)$  در کل صفحه مختلط متناهی تحلیلی است، مگر در  $s=1$  که در آن دارای یک قطب ساده با مانده  $+1$  است. راهنمایی. از نمایش انتگرال پربندی بهره بگیرید.

۲۳.۲.۱۵ از امکانات برنامه FORTRAN IV در مورد متغیرهای مختلط بهره بگیرید و  $b = 0.05(0.01)$  را به ازای  $(1+ib)!$  و  $|(1+ib)!|$ ،  $\Re(1+ib)!$ ،  $\Im(1+ib)!$  محاسبه کنید. فاز  $(1+ib)!$  را بر حسب  $b$  ترسیم کنید.

راهنمایی. می توانید از مسئله ۳۰.۲.۱۵ رهیافت مناسبی بگیرید. لازم است که  $\zeta(n)$  را محاسبه کنید.

## ۳.۱۰ سری استرلینگ

محاسبه  $\ln(z!)$  به ازای مقادیر بزرگ  $z$  (در مکانیک آماری) و محاسبه های عددی به ازای مقادیر غیر عدد درست  $z$ ، مستلزم یک بسط سری برای  $\ln(z!)$  بر حسب توانهای منفی  $z$  است. شاید روش تندرین کاهش (بخش ۴.۷، جلد اول) بهترین شیوه استخراج چنین بسطی باشد. در روش زیر که کاملاً مستقیم است، و با یک فرمول انتگرالگیری عددی شروع می شود، به اطلاعاتی در مورد انتگرالگیری پربندی نیازی نیست.

استخراج به کمک فرمول انتگرالگیری اویلر - مک لورن  
فرمول اویلر - مک لورن برای محاسبه انتگرال معین عبارت است از

$$\int_0^n f(x) dx = \frac{1}{2}f(0) + f(1) + f(2) + \dots + \frac{1}{2}f(n) \quad (45.10)$$

$$-b_2[f'(n) - f'(0)] - b_4[f'''(n) - f'''(0)] - \dots$$

که در آن  $b_{2n}$  با رابطه زیر به اعداد برنولی  $B_{2n}$  مربوط می شود (با بخش ۹.۵ مقایسه کنید)

$$(2n)! b_{2n} = B_{2n} \quad (46.10)$$

$$B_0 = 1, \quad B_2 = \frac{1}{6}$$

$$B_4 = -\frac{1}{30}, \quad B_6 = \frac{1}{42} \quad (47.10)$$

$$B_8 = -\frac{1}{30}, \quad B_{10} = \frac{5}{66}, \dots$$

با بهره گیری از معادله (۴۵.۱۰) در مورد انتگرال معین زیر

$$\int_0^\infty \frac{dx}{(z+x)^2} = \frac{1}{z} \quad (48.10)$$

(به ازای مقداری از  $z$  که روی محور حقیقی منفی واقع نباشد)، خواهیم داشت

$$\frac{1}{z} = \frac{1}{2z^2} + F^{(1)}(z) - \frac{2!b_2}{z^3} - \frac{4!b_4}{z^5} - \dots \quad (49.10)$$

علت به کارگیری معادله (۴۸.۱۰) نیز همین امر است. از محاسبه اولر-مک لورن، کمیت  $F^{(1)}(z)$  که برابر  $d^2 \ln(z!)/dz^2$  است، به دست می آید. با استفاده از (۴۶.۱۰) وحل آن بر حسب  $F^{(1)}(z)$  داریم

$$F^{(1)}(z) = \frac{d}{dz} F(z) = \frac{1}{z} - \frac{1}{2z^2} + \frac{B_2}{z^3} + \frac{B_4}{z^5} + \dots \quad (50.10)$$

$$= \frac{1}{z} - \frac{1}{2z^2} + \sum_{n=1}^{\infty} \frac{B_{2n}}{z^{2n+1}}$$

از آنجا که اعداد برنولی شدیداً واگرا می شوند، این سری همگرا نمی شود! این سری نیم همگرا یا مجانبی است که علی رغم واگراییش برای محاسبه سودمند است (با بخش ۱۰.۵ مقایسه کنید).

با یک بار انتگرالگیری، تابع دی گاما را به دست می آوریم

$$F(z) = C_1 + \ln z + \frac{1}{2z} - \frac{B_2}{2z^2} - \frac{B_4}{2z^4} - \dots \quad (51.10)$$

$$= C_1 + \ln z + \frac{1}{2z} - \sum_{n=1}^{\infty} \frac{B_{2n}}{2nz^{2n}}$$

با انتگرالگیری از معادله (۵۱.۱۰) نسبت به  $z$ ، از  $z-1$  تا  $z$ ، سپس میل دادن  $z$  به بینهایت، می توان نشان داد که  $C_1$ ، ثابت انتگرالگیری، صفر می شود. به این ترتیب، عبارت دیگری برای تابع دی گاما یافته ایم که نسبت به معادله (۴۸.۱۰) معمولاً سودمندتر است.

### سری استرلینگ

انتگرال نامعین تابع دی گاما [معادله (۵۱.۱۰)] عبارت است از

$$\ln(z!) = C_2 + \left(z + \frac{1}{4}\right) \ln z - z + \frac{B_2}{2z} + \dots + \frac{B_{2n}}{2n(2n-1)z^{2n-1}} + \dots \quad (52.10)$$

که در آن  $C_2$  یک ثابت انتگرالگیری دیگر است. برای یافتن  $C_2$ ، بهتر است از دستورهای دوبرابر لژاندر، که در بخش ۴.۱۰ به دست خواهیم آورد، استفاده کنیم

$$z! \left(z - \frac{1}{4}\right)! = 2^{-2z} \pi^{1/2} (2z)! \quad (53.10)$$

به ازای مقادیر درست مثبت  $z$ ، این رابطه را می توان اثبات کرد. این کار مستقیماً با نوشتن  $(2z)!$  به صورت حاصلضرب جمله های زوج ضرب در حاصلضرب جمله های فرد و استخراج یک ضرب

۲ از هر جمله (مسئله ۵۰۳.۱۰) انجام می‌گیرد. با نشان دادن معادله (۵۲.۱۰) در لگاریتم دستور  
دو برابر، درمی‌یابیم که  $C_7$  برابر است با

$$C_7 = \frac{1}{7} \ln 2\pi \quad (54.10)$$

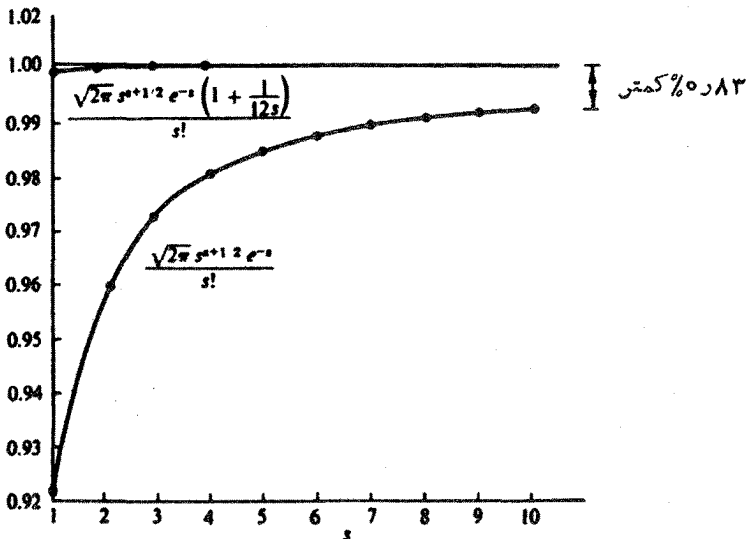
در نتیجه

$$\ln(z!) = \frac{1}{2} \ln 2\pi + \left(z + \frac{1}{2}\right) \ln z - z + \frac{1}{12z} - \frac{1}{360z^3} + \frac{1}{1260z^5} - \dots \quad (55.10)$$

بسط مجانبی سری استرلینگ همین است. مقدار مطلق خطا کمتر از مقدار مطلق اولین جمله‌ای  
است که از آن چشمپوشی کرده‌ایم.

ثابت‌های انتگرال‌گیری  $C_1$  و  $C_7$  را می‌توان از طریق مقایسه با اولین جمله بسط سری  
حاصل از روش "تندترین کاهش" نیز به دست آورد. این کار در بخش ۴.۷ (جلد اول) انجام  
شده است.

برای آنکه میزان دقت چشمگیر سری استرلینگ برای  $s$  بهتر نمایان شود، نسبت  
اولین جمله تقریب استرلینگ به  $s!$  را در شکل ۵۰۱۰ ترسیم کرده‌ایم. نسبت اولین جمله  
بسط به  $s!$  و نیز نسبت دو جمله اول بسط به  $s!$  جدول بندی شده است (جدول ۱۰.۱۰). استخراج  
این روابط موضوع مسئله ۱۰۳.۱۰ است.



شکل ۵۰۱۰ دقت فرمول استرلینگ.

$\frac{\sqrt{2\pi s}^{s+1/2} e^{-s} [1 + 1/12s]}{s!}$	$\frac{\sqrt{2\pi s}^{s+1/2} e^{-s}}{s!}$	s
۰٫۹۹۹۸۹۸	۰٫۹۹۲۲۱۳	۱
۰٫۹۹۹۹۴۹	۰٫۹۹۵۹۵۰	۲
۰٫۹۹۹۹۷۲	۰٫۹۹۷۲۷۰	۳
۰٫۹۹۹۹۸۳	۰٫۹۹۷۹۴۲	۴
۰٫۹۹۹۹۸۸	۰٫۹۹۸۳۴۹	۵
۰٫۹۹۹۹۹۲	۰٫۹۹۸۶۲۱	۶
۰٫۹۹۹۹۹۴	۰٫۹۹۸۸۱۷	۷
۰٫۹۹۹۹۹۵	۰٫۹۹۸۹۶۴	۸
۰٫۹۹۹۹۹۶	۰٫۹۹۹۰۷۸	۹
۰٫۹۹۹۹۹۸	۰٫۹۹۹۱۷۰	۱۰

محاسبه عددی

امکان استفاده از بسط مک لورن، معادله (۴۴.۱۰ ج)، را برای محاسبه عددی تابع فاکتوریل در بخش ۲.۱۰ بیان کردیم. ولی در سری استرلینگ، معادله (۵۵.۱۰)، به ازای  $x$  های بزرگ همگرایی بسیار سریعتری شود. «جدول تابع گاما برای شناسه های مختلط»<sup>۱</sup> بر اساس استفاده از سری استرلینگ به ازای  $(z = x + iy)$ ،  $10 \leq x \leq 9$ ، تشکیل شده است. مقادیر کوچکتر  $x$  را می توان با رابطه بازگشتی معادله (۲۹.۱۰)، منظور کرد. اکنون فرض کنید که در برنامه ای، در یک بزرگ کامپیوتر رقمی بسیار سریع، به مقدار عددی  $x$  به ازای مقدار خاصی از  $x$  نیاز باشد. چگونه به کامپیوتر برنامه دهیم تا  $x$  را محاسبه کند؟ سری استرلینگ و پس از آن رابطه بازگشتی یک راه حل مناسب است. یکی از راه حل های بهتر هم این است که  $x$  را به ازای  $1 \leq x \leq 10$  با استفاده از یک سری توانی کوتاه (چند جمله ای) بر ارزش دهیم و سپس  $x$  را مستقیماً از این بر ارزش تجربی محاسبه کنیم. فرض کنیم که به ماشین محاسب مقدار ضرایب چند جمله ای داده شده باشد. چنین بر ارزشهای چند جمله ای را، با دقت های متفاوت، هسینگز<sup>۲</sup> انجام داده است. مثلاً

1. Table of the Gamma Function for Complex Arguments. National Bureau of Standards, Applied Mathematics Series No. 34.  
 2. Hastings, C., Jr., Approximations for Digital Computers. Princeton, NJ: Princeton University Press (1955).

$$x! = 1 + \sum_{n=1}^{\infty} b_n x^n + \varepsilon(x) \quad (\text{الف } ۵۶.۱۰)$$

با

$$b_1 = -۰.۰۵۷۷۱۹۱۶۵۲ \quad b_0 = -۰.۰۷۵۶۷۰۴۰۷۸$$

$$b_2 = ۰.۰۹۸۸۲۰۵۸۹۱ \quad b_3 = ۰.۰۴۸۲۱۹۹۳۹۴ \quad (\text{ب } ۵۶.۱۰)$$

$$b_4 = -۰.۰۷۸۹۷۰۵۶۹۳۷ \quad b_5 = -۰.۰۱۹۳۵۲۷۸۱۸$$

$$b_6 = ۰.۰۹۱۸۲۰۶۸۵۷ \quad b_7 = ۰.۰۰۳۵۸۶۸۳۴۳$$

با خطایی به مرتبه بزرگی،  $|\varepsilon(x)| < 3 \times 10^{-7}$ ،  $0 \leq x \leq 1$ .  
این برازش يك برازش کمترین توانهای دوم نیست. هسینگز تکنیکی مبتنی بر چند جمله‌ای چبیشف را، مشابه آنچه در بخش ۴.۱۳ برای کمینه کردن مقدار بیشینه  $|\varepsilon(x)|$  توصیف می‌شود، به کار می‌برد.

## مسائل

۱۰۳.۱۰ سری استرلینگ را چنان بازنویسی کنید که به جای  $\ln(z!)$ ، کمیت  $z!$  را بدهد.

$$z! = \sqrt{2\pi z^{z+1/2}} e^{-z} \left( 1 + \frac{1}{12z} + \frac{1}{288z^2} - \frac{139}{51840z^3} + \dots \right) \quad \text{پاسخ.}$$

۲۰۳.۱۰ از فرمول استرلینگ برای محاسبه  $52!$ ، که برابر تعداد ترتیبهای ممکن اعداد از يك تا ۵۲ است، استفاده کنید.

۳۰۳.۱۰ با انتگرالگیری از معادله (۵۱.۱۰) از  $z-1$  تا  $z$  و آنگاه قرارداد  $z \rightarrow \infty$ ، ثابت  $C_1$  در سری مجانبی تابع دی گامای  $F(z)$  را به دست آورید.

۴۰۳.۱۰ با گرفتن لگاریتم از دستور دو برابر، نشان دهید که ثابت  $C_4$  در فرمول استرلینگ عبارت است از  $\frac{1}{4} \ln 2\pi$ .

۵۰۳.۱۰ از طریق بسط مستقیم، دستور دو برابر را به ازای  $z = n + (1/2)$  تحقیق کنید.  $n$  عددی است درست.

۶۰۳.۱۰ بدون استفاده از سری استرلینگ نشان دهید که



$$\ln(n!) < \int_1^{n+1} \ln x \, dx \quad (\text{الف})$$

$$\ln(n!) > \int_1^n \ln x \, dx, \quad n \geq 2 \quad (\text{ب})$$

توجه کنید که میانگین عددی این دو انتگرال تقریب خوبی است برای سری استرلینگ.

۷۰۳۰۱۰ همگرایی سری زیر را بیازماید

$$\sum_{p=0}^{\infty} \left[ \frac{(p - (1/2))!}{p!} \right]^2 \times \frac{2p+1}{2p+2} = \pi \sum_{p=0}^{\infty} \frac{(2p-1)!!(2p+1)!!}{(2p)!!(2p+2)!!}$$

وقتی می‌خواهیم میدان مغناطیسی ناشی از یک حلقه جریان و محصور در آن را توصیف کنیم، این سری پدید می‌آید.

۸۰۳۰۱۰ نشان دهید که

$$\lim_{x \rightarrow \infty} x^{b-a} \frac{(x+a)!}{(x+b)!} = 1$$

۹۰۳۰۱۰ نشان دهید که

$$\lim_{n \rightarrow \infty} \frac{(2n-1)!!}{(2n)!!} n^{1/2} = \pi^{-1/2}$$

۱۰۰۳۰۱۰ ضرایب دوجمله‌ای  $\binom{2n}{n}$  را به‌ازای  $n = 10, 20, 30$  تا شش رقم بامعنی محاسبه کنید. مقادیر حاصل را (الف) با یک تقریب سری استرلینگ تا جمله‌های بر حسب  $n^{-1}$ ، (ب) با یک محاسبه دقت مضاعف بیازماید.

$$\binom{20}{10} = 184756 \times 10^5 \quad \text{پاسخ.}$$

$$\binom{40}{20} = 1327846 \times 10^{11}$$

$$\binom{60}{30} = 118264 \times 10^{17}$$

۱۱۰۳۰۱۰ برنامه (یا زیر-برنامه) ای بنویسید که  $\log_{10}(x!)$  را مستقیماً توسط سری

استرلینگ محاسبه کند. فرض کنید  $x \geq 10$ . (مقادیر کوچکتر را می توان از طریق رابطه بازگشتی فاکتوریل محاسبه کرد.) کمیت  $\log_{10}(x!)$  را بر حسب  $x$  به ازای  $x = 10, 100, 1000$  و یا به کمک جدولندی کنید. نتیجه ای را که به دست آورده اید در مقایسه با کتاب AMS-55 و یا به کمک ضرب مستقیم (به ازای  $n = 10, 20, 30$ ) بیازمایید.

مقدار آزمونی.  $\log_{10}(100!) = 157.97$ .

۱۲.۳.۱۵ با استفاده از امکانات محاسبه مختلط FORTRAN IV، زیر-برنامه ای برای محاسبه  $\ln(z!)$  بر اساس سری استرلینگ به ازای مقادیر مختلط  $z$  بنویسید. یک آزمون و یک پیام خطای مناسب برای حالتی که  $z$  به یک عدد درست حقیقی منفی خیلی نزدیک شود، در برنامه منظور کنید. زیر-برنامه ای را که نوشته اید از طریق مقایسه با محاسبه های دیگر به ازای  $z$  حقیقی،  $z$  موهومی محض و  $z = 1 + ib$  (مسئله ۲۳.۲.۱۵) بیازمایید.

$$|(i0.5)!| = 0.82618 \quad \text{مقادیر آزمونی.}$$

$$\text{فاز } (i0.5)! = -0.24406$$

#### ۴.۱۵ تابع بتا

با استفاده از تعریف انتگرالی [معادله (۲۵.۱۰)]، حاصلضرب دو فاکتوریل را به صورت حاصلضرب دو انتگرال می نویسیم. برای آنکه امکان تغییر متغیر فراهم شود انتگرالها را روی گستره ای منتهای می گیریم

$$m!n! = \lim_{a \rightarrow \infty} \int_0^a e^{-u} u^m du \int_0^a e^{-v} v^n dv, \quad \begin{matrix} \Re(m) > -1 \\ \Re(n) > -1 \end{matrix} \quad (الف ۵۷.۱۰)$$

به جای  $u$  کمیت  $x$  و به جای  $v$  کمیت  $y$  را می نشانیم، خواهیم داشت

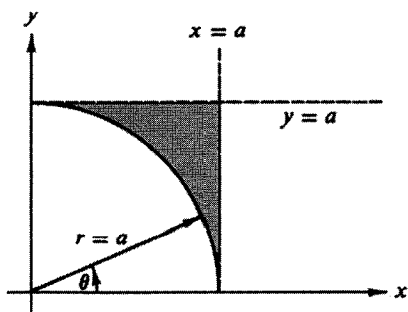
$$m!n! = \lim_{a \rightarrow \infty} \int_0^a e^{-x} x^{m+1} dx \int_0^a e^{-y} y^{n+1} dy \quad (ب ۵۷.۱۰)$$

با تبدیل به مختصات قطبی خواهیم داشت

$$m!n! = \lim_{a \rightarrow \infty} \int_0^a e^{-r} r^{m+n+2} dr \int_0^{\pi/2} \cos^{m+1} \theta \sin^{n+1} \theta d\theta \quad (د ۵۸.۱۰)$$

$$= (m+n+1)! \int_0^{\pi/2} \cos^{m+1} \theta \sin^{n+1} \theta d\theta$$

در اینجا عنصر مساحت  $r dr d\theta$  به جای عنصر مساحت دکارتی  $dx dy$  نشسته است (شکل ۶.۱۰). تساوی آخر در معادله (۵۸.۱۰) از مسئله ۱۱.۱۰.۱۰ حاصل می شود.



شکل ۶.۱۰ تبدیل از مختصات دکارتی به قطبی.

این انتگرال معین باضریب ۲ را تابع بتا می نامند

$$B(m+1, n+1) \equiv \int_0^{\pi/2} \cos^{2m+1} \theta \sin^{2n+1} \theta d\theta \quad (\text{الف } ۵۹.۱۰)$$

$$= \frac{m!n!}{(m+n+1)!} = B(n+1, m+1)$$

و هم ارز آن، بر حسب تابع گاما داریم

$$B(p, q) = \frac{\Gamma(p)\Gamma(q)}{\Gamma(p+q)} \quad (\text{ب } ۵۹.۱۰)$$

تنها علت برگزیدن  $m+1$  و  $n+1$  به جای  $m$  و  $n$  به عنوان شناسه‌های تابع  $B$ ، حفظ سازگاری با تعریف قراردادی اولیه برای تابع بتاست.

تبدیل از مختصات دکارتی به مختصات قطبی که در این عملیات انجام شد نیاز به توجیه دارد. همان‌گونه که از شکل ۶.۱۰ پیداست، از بخش سایه زده شده چشمپوشی شده است. ولی، مقدار بیشینه انتگرالده در این ناحیه عبارت است از  $e^{-a^2} a^{2m+2n+2}$ ، که با نزدیک شدن  $a$  به بینهایت، با چنان شدتی صفر می‌شود که انتگرال روی ناحیه چشمپوشی شده را صفر می‌کند.

صورت‌های دیگر انتگرالهای معین

تابع بتا در محاسبه اشکال متنوعی از انتگرالهای معین سودمند است. با جانشانی  $t = \cos^2 \theta$  معادله (الف ۵۹.۱۰) به صورت زیر درمی آید

۱. قضیهٔ پیچش (همگردش) تبدیل لاپلاس روش دیگری برای استخراج معادله (ب ۶۰.۱۰) ارائه می‌کند. با مسئله ۲.۱۱.۱۵ مقایسه کنید.

$$B(m+1, n+1) = \frac{m!n!}{(m+n+1)!} = \int_0^1 t^m(1-t)^n dt \quad (الف ۶۰.۱۰)$$

با نشان دادن  $x^2$  به جای  $t$ ، داریم

$$\frac{m!n!}{2(m+n+1)!} = \int_0^1 x^{2m+1}(1-x^2)^n dx \quad (ب ۶۰.۱۰)$$

با جانشانی  $t = u/(1+u)$  در معادله (الف ۶۰.۱۰) به شکل مفید دیگری می‌رسیم

$$\frac{m!n!}{(m+n+1)!} = \int_0^\infty \frac{u^m}{(1+u)^{m+n+2}} du \quad (۶۱.۱۰)$$

تابع بتا به صورت يك انتگرال معین در دستیابی به نمایشهای انتگرالی تابع بسل (مسئله ۱۸.۱۰۱۱) و تابع فوق هندسی (مسئله ۷.۵.۱۳) به کار می‌آید.

تحقیق در رابطه  $\pi/\sin \pi a$

اگر بگیریم  $m=a$  و  $n=-a$ ،  $-1 < a < 1$ ، آنگاه

$$\int_0^\infty \frac{u^a}{(1+u)^2} du = a!(-a)! \quad (۶۲.۱۰)$$

می‌توان به کمک انتگرال پرنندی نشان داد که انتگرال بالا با عبارت  $\pi/\sin \pi a$  برابر است (مسئله ۱۸.۲.۷، جلد اول)، و به این ترتیب به روش دیگری برای دستیابی به معادله (۳۲.۱۰) دست یافته‌ایم.

استخراج دستور دو برابر لژاندر

بنا بر صورتبندی معادله (۵۹.۱۰) تابع بتا می‌تواند در استخراج دستور دو برابر، که در بخش قبل مورد استفاده قرار گرفت، مفید واقع شود. با قرار دادن  $m=n=z$  داریم  $\Re(z) > -1$

$$\frac{z!z!}{(2z+1)!} = \int_0^1 t^z(1-t)^z dt \quad (۶۳.۱۰)$$

پس از جانشانی  $t = (1+s)/2$  داریم

$$\begin{aligned} \frac{z!z!}{(2z+1)!} &= 2^{-2z-1} \int_{-1}^1 (1-s^2)^z ds \\ &= 2^{-2z} \int_0^1 (1-s^2)^z ds \end{aligned} \quad (۶۴.۱۰)$$

علت درستی تساوی اخیر زوج بودن انتگرالده آن است. با محاسبه این انتگرال به صورت يك تابع بتا (معادله ۶۰.۱۰ ب)

$$\frac{z!z!}{(2z+1)!} = 2^{-2z-1} \frac{z!(-\frac{1}{2})!}{(z+\frac{1}{2})!} \quad (۶۵.۱۰)$$

پس از بازآرایی جمله‌ها و یادآوری این نکته که  $(-\frac{1}{2})! = \pi^{1/2}$  این معادله‌ها را سریعاً به یکی از صورت‌های دستور دوبرابر تبدیل می‌کنیم

$$z!(z+\frac{1}{2})! = 2^{-2z-1} \pi^{1/2} (2z+1)! \quad (الف ۶۶.۱۰)$$

با تقسیم بر  $(1/2)z$ ، به صورت دیگری از دستور دوبرابر دست پیدا می‌کنیم

$$z!(z-\frac{1}{2})! = 2^{-2z} \pi^{1/2} (2z)! \quad (ب ۶۶.۱۰)$$

هرچند در این روش از انتگرال‌هایی استفاده کردیم که فقط به ازای  $z > -1$  تعریف شده‌اند، اما نتایج حاصل [معادله‌ها] (۶۶.۱۰ الف) و (۶۶.۱۰ ب) از طریق تمدید تحلیلی به ازای همه  $z$ ها برقرار است.

با استفاده از نماد فاکتوریل دوگانه (بخش ۱.۱۰) معادله (الف ۶۶.۱۰) را به صورت زیر بازنویسی می‌کنیم (با  $z = n$ ، که  $n$  عددی درست است)

$$(n+\frac{1}{2})! = \pi^{1/2} (2n+1)! / 2^{n+1} \quad (ج ۶۶.۱۰)$$

غالباً برای حذف فاکتوریل‌های کسر‌ها از این رابطه بهره می‌گیرند.

### تابع بتای ناکامل

درست به همان ترتیب که تابع گامای ناکامل وجود دارد (بخش ۵.۱۰)، تابع بتای ناکامل نیز هست

$$B_x(p, q) = \int_0^x t^{p-1} (1-t)^{q-1} dt, \quad 0 \leq x \leq 1$$

$$p > 0 \quad (۶۷.۱۰)$$

$$q > 0 \quad (x=1 \text{ اگر})$$

ناگفته پیداست که  $B_{x=1}(p, q)$  همان تابع بتای (کامل) منظم، معادله (۶۰.۱۰) است. بسط سری توانی  $B_x(p, q)$  موضوع مسائل ۱۸.۲۰۵ و ۸.۷.۵ (جلد اول) است. درخصوص رابطه این تابع با توابع فوق هندسی، در بخش ۵.۱۳ بحث خواهیم کرد.

تابع بتای نامکمل در نظریهٔ احتمال، در هنگام محاسبهٔ احتمال آنکه در  $n$  آزمایش مستقل حداکثر  $k$  مورد با توفیق قرین باشد<sup>۱</sup>، نیز ظاهر می‌شود.

## مسائل

۱۰۴۰۱۰ دستور دوبرابر مربوط به تابع فاکتوریل را از طریق انتگرالگیری از  $(\sin 2\theta)^{2n+1} = (2 \sin \theta \cos \theta)^{2n+1}$  (واستفاده از تابع بتا) استخراج کنید.

۲۰۴۰۱۰ درستی اتحادهای زیر را دربارهٔ تابع بتا تحقیق کنید

$$B(a, b) = B(a+1, b) + B(a, b+1) \quad (\text{الف})$$

$$B(a, b) = \frac{a+b}{b} B(a, b+1) \quad (\text{ب})$$

$$B(a, b) = \frac{b-1}{a} B(a+1, b-1) \quad (\text{ج})$$

$$B(a, b)B(a+b, c) = B(b, c)B(a, b+c) \quad (\text{د})$$

۳۰۴۰۱۰ (الف) نشان دهید

$$\int_{-1}^1 (1-x^2)^{1/2} x^{2n} dx = \begin{cases} \pi/2 & n=0 \\ \pi \frac{(2n-1)!!}{(2n+2)!!} & n=1, 2, 3, \dots \end{cases}$$

(ب) نشان دهید

$$\int_{-1}^1 (1-x^2)^{-1/2} x^{2n} dx = \begin{cases} \pi & n=0 \\ \pi \frac{(2n-1)!!}{(2n)!!} & n=1, 2, 3, \dots \end{cases}$$

۴۰۴۰۱۰ نشان دهید

$$\int_{-1}^1 (1-x^2)^n dx = \begin{cases} 2^{2n+1} \frac{n!n!}{(2n+1)!}, & n > -1 \\ 2 \frac{(2n)!!}{(2n+1)!!}, & n=0, 1, 2, \dots \end{cases}$$

1. Feller, W., *An Introduction to Probability Theory and Its Applications*, 3rd ed., Section VI. 10. New York: Wiley (1968).

۵۰۴۰۱۰ انتگرال  $\int_{-1}^1 (1+x)^a (1-x)^b dx$  را بر حسب تابع بتا محاسبه کنید.  
 پاسخ.  $2^{a+b+1} B(a+1, b+1)$

۶۰۴۰۱۰ به کمک تابع بتا نشان دهید

$$\int_0^1 \frac{dx}{(z-x)^{1-\alpha} (x-t)^\alpha} = \frac{\pi}{\sin \pi \alpha}, \quad 0 < \alpha < 1$$

از این نتیجه در بخش ۲۰۱۶ برای حل معادله انتگرالی تعمیم یافته آبل بهره می گیرند.

۷۰۴۰۱۰ در مورد انتگرال دیریکله نشان دهید

$$\iint x^p y^q dA = \frac{p!q!}{(p+q+2)!} = \frac{B(p+1, q+1)}{p+q+2}$$

که در آن گستره انتگرالی گیری به محورهای  $x$  و  $y$  مثبت و خط  $x+y=1$  محدود می شود.

۸۰۴۰۱۰ نشان دهید

$$\int_0^\infty \int_0^\infty e^{-(x^2+y^2+2xy\cos\theta)} dx dy = \frac{\theta}{2\sin\theta}$$

حدود  $\theta$  کدامند؟

دانهمایی. مختصات  $x$  و  $y$  را در نظر بگیرید.

پاسخ.  $-\pi < \theta < \pi$ .

۹۰۴۰۱۰ روابط زیر را (با استفاده از تابع بتا) به دست آورید

$$\int_0^{\pi/2} \cos^{1/2} \theta d\theta = \frac{(2\pi)^{3/2}}{16[(1/4)!]^2} \quad (\text{الف})$$

$$\int_0^{\pi/2} \cos^n \theta d\theta = \int_0^{\pi/2} \sin^n \theta d\theta = \frac{\sqrt{\pi}[(n-1)/2]!}{2(n/2)!} \quad (\text{ب})$$

$$= \begin{cases} \frac{(n-1)!!}{n!!} & \text{به ازای } n \text{ فرد} \\ \frac{\pi}{2} \cdot \frac{(n-1)!!}{n!!} & \text{به ازای } n \text{ زوج} \end{cases}$$

۱۰۰۴۰۱۰ انتگرال  $\int_0^1 (1-x^4)^{-1/2} dx$  را به عنوان يك تابع بتا محاسبه کنید.

پاسخ.  $\frac{[(1/4)!]^2 \times 2}{(2\pi)^{1/2}} = 1.311028777$

۱۱۰۴۰۱۰ فرض کنید

$$J_\nu(z) = \frac{z^\nu}{\pi^{1/2}(\nu - \frac{1}{2})!} \int_0^{\pi/2} \sin^{2\nu} \theta \cos(z \cos \theta) d\theta, \quad \Re(\nu) > -\frac{1}{2}$$

به کمک توابع بتا، نشان دهید که این تساوی به سری بسز زیر تقلیل پیدا می کند

$$J_\nu(z) = \sum_{s=0}^{\infty} (-1)^s \frac{1}{s!(s+\nu)!} \left(\frac{z}{2}\right)^{2s+\nu}$$

که در نتیجه  $J_\nu$  اولیه را می توان نمایشی انتگرالی برای تابع بسز  $J_\nu$  دانست (بخش ۱.۱۱ را ببینید).

۱۲۰۴۰۱۰ با در نظر گرفتن چند جمله ای وابسته لواندر  $(1-x^2)^{m/2}$   $P_m^m(x) = (2m-1)!!(1-x^2)^{m/2}$  بخش ۵.۱۲، نشان دهید

$$\int_{-1}^1 [P_m^m(x)]^2 dx = \frac{2}{(2m+1)!} (2m)!, \quad m=0, 1, 2, \dots \quad (\text{الف})$$

$$\int_{-1}^1 [P_m^m(x)]^2 \frac{dx}{1-x^2} = 2 \times (2m-1)!, \quad m=1, 2, 3, \dots \quad (\text{ب})$$

۱۳۰۴۰۱۰ نشان دهید

$$\int_0^1 (x^2)^{s+1/2} (1-x^2)^{-1/2} dx = \frac{(2s)!!}{(2s+1)!!} \quad (\text{الف})$$

$$\int_0^1 (x^2)^p (1-x^2)^q dx = \frac{1}{2} \frac{(p-\frac{1}{2})! q!}{(p+q+\frac{1}{2})!} \quad (\text{ب})$$

۱۴۰۴۰۱۰ ذره ای به جرم  $m$  در یک پتانسیل متقارن که تساوی  $V(x) = A|x|^n$  آن را کاملاً توصیف می کند در حال حرکت است. انرژی کل ذره عبارت است از

$$\frac{1}{2} m (dx/dt)^2 + V(x) = E$$

با حل این معادله بر حسب  $dx/dt$  و انتگرال گیری از آن، دوره تناوب حرکت را به صورت زیر به دست خواهیم آورد

$$\tau = 2\sqrt{2m} \int_0^{x_{\max}} \frac{dx}{(E - Ax^n)^{1/2}}$$



که در آن  $x_{\max}$  يك نقطه عطف کلاسیکی است که از رابطه  $Ax_{\max}^n = E$  به دست می آید. نشان دهید

$$\tau = \frac{\gamma}{n} \sqrt{\frac{\gamma \pi m}{E}} \left(\frac{E}{A}\right)^{1/n} \frac{\Gamma(1/n)}{\Gamma(1/n + \frac{1}{\gamma})}$$

۱۵.۴.۱۰ با مراجعه به مسئله ۱۴.۴.۱۰

(الف) حد عبارت زیر را به ازای  $n \rightarrow \infty$  تعیین کنید

$$\frac{\gamma}{n} \sqrt{\frac{\gamma \pi m}{E}} \left(\frac{E}{A}\right)^{1/n} \frac{\Gamma(1/n)}{\Gamma(1/n + \frac{1}{\gamma})}$$

(ب)  $\lim_{n \rightarrow \infty} \tau$  را از رفتار انتگرالده،  $(E - Ax^n)^{-1/2}$  به دست آورید.

(ج) رفتار این سیستم فیزیکی (چاه پتانسیل) را در  $n \rightarrow \infty$  بررسی کنید. با بررسی

این سیستم فیزیکی حدی، دوره تناوب را تعیین کنید.

۱۶.۴.۱۰ نشان دهید که

$$\int_0^{\infty} \frac{\sinh^{\alpha} x}{\cosh^{\beta} x} dx = \frac{1}{\gamma} B\left(\frac{\alpha+1}{\gamma}, \frac{\beta-\alpha}{\gamma}\right), \quad -1 < \alpha < \beta$$

داهنمایی. قرار دهید  $\sinh^2 x = u$ .

۱۷.۴.۱۰ چگالی احتمال توزیع بتا در نظریه احتمال به این قرار است

$$f(x) = \frac{\Gamma(\alpha+\beta)}{\Gamma(\alpha)\Gamma(\beta)} x^{\alpha-1} (1-x)^{\beta-1}$$

که در آن  $x$  به بازه  $(0, 1)$  محدود می شود. نشان دهید که

$$\langle x \rangle = \frac{\alpha}{\alpha+\beta} \quad (\text{الف})$$

$$\sigma^2 \equiv \langle x^2 \rangle - \langle x \rangle^2 = \frac{\alpha\beta}{(\alpha+\beta)^2(\alpha+\beta-1)} \quad (\text{ب})$$

۱۸.۴.۱۰ از عبارت

$$\lim_{n \rightarrow \infty} \frac{\int_0^{\pi/2} \sin^{2n} \theta d\theta}{\int_0^{\pi/2} \sin^{2n+1} \theta d\theta} = 1$$

فرمول والیس را برای  $\pi$  به دست آورید

$$\frac{\pi}{2} = \frac{2 \times 2}{1 \times 3} \times \frac{4 \times 4}{3 \times 5} \times \frac{6 \times 6}{5 \times 7} \times \dots$$

۱۹۰۴۰۱۰ تابع بتا  $B(p, q)$  را به ازای  $20(0.1)$   $p, q = 10$  و  $q$  مستقل از یکدیگر) جدول بندی کنید.

$$B(10, 10) = 0.40774. \text{ مقدار آزمونی.}$$

۲۰۰۴۰۱۰ (الف) زیر-برنامه ای بنویسید که تابع نامکمل  $B_x(p, q)$  را محاسبه کند. به ازای  $0 < x < 1$  استفاده از رابطه زیر مناسبتر است

$$B_x(p, q) = B(p, q) - B_{1-x}(q, p)$$

(ب)  $B_x(3/2, 3/2)$  را جدول بندی کنید. نتایج حاصل را در چندین نقطه با استفاده از کوارتور گاوس-لژاندر بیازمایید.

### ۵.۱۰ توابع گامای نامکمل و توابع مربوط به آنها

با تعمیم تعریف اویلر برای تابع گاما [معادله (۵.۱۰)]، توابع گامای نامکمل را از طریق انتگرالهای با حد متغیر تعریف می کنیم

$$\gamma(a, x) = \int_0^x e^{-t} t^{a-1} dt, \quad \Re(a) > 0 \quad (68.10)$$

$$\Gamma(a, x) = \int_x^\infty e^{-t} t^{a-1} dt$$

روشن است که این دو تابع به هم مربوط اند، زیرا

$$\gamma(a, x) + \Gamma(a, x) = \Gamma(a) \quad (69.10)$$

انتخاب  $\gamma(a, x)$  یا  $\Gamma(a, x)$  صرفاً به مناسبت مطلب بستگی دارد. اگر پارامتر  $a$  عدد درست مثبتی باشد، می توان از معادله های (۶۸.۱۰) به طور کامل انتگرال گرفت. در نتیجه

$$\gamma(n, x) = (n-1)! \left( 1 - e^{-x} \sum_{s=0}^{n-1} \frac{x^s}{s!} \right) \quad (70.10)$$

$$\Gamma(n, x) = (n-1)! e^{-x} \sum_{s=0}^{n-1} \frac{x^s}{s!}, \quad n = 1, 2, \dots$$

برای مقادیر غیر درست  $a$ ، یک بسط سری توانی از  $\gamma(a, x)$  به ازای مقادیر کوچک  $x$  و یک بسط مجانبی از  $\Gamma(a, x)$  را در بخشهای ۷.۵ و ۱۰.۵، جلد اول، انجام داده ایم.

$$\gamma(a, x) = x^a \sum_{n=0}^{\infty} (-1)^n \frac{x^n}{n!(a+n)}$$

$$\Gamma(a, x) = x^{a-1} e^{-x} \sum_{n=0}^{\infty} \frac{(a-1)!}{(a-1-n)!} \times \frac{1}{x^n} \quad (۷۱.۱۰)$$

$$= x^{a-1} e^{-x} \sum_{n=0}^{\infty} (-1)^n \frac{(n-a)!}{(-a)!} \times \frac{1}{x^n}$$

این توابع گامای نامکمل را می توان بر حسب توابع فوق هندسی همشار نیز باظرافت تمام بیان کرد (با بخش ۶.۱۳ مقایسه کنید).

### انتگرالهای نمایی

هر چند در مسائل فیزیکی به ندرت به تابع گامای نامکمل  $\Gamma(a, x)$  به صورت کلی آن [معادله (۶۸.۱۰)] برمی خوریم، ولی یکی از صورت های خاص آن کاملاً متداول و بسیار سودمند است. انتگرال نمایی بنا بر تعریف عبارت است از<sup>۱</sup>

$$-Ei(-x) \equiv \int_x^{\infty} \frac{e^{-t}}{t} dt = E_1(x) \quad (۷۲.۱۰)$$

(شکل ۷.۱۰ را ببینید). برای یافتن بسط سری به ازای مقادیر کوچک  $x$  به ترتیب زیر عمل می کنیم. داریم

$$E_1(x) = \Gamma(0, x) \quad (۷۳.۱۰)$$

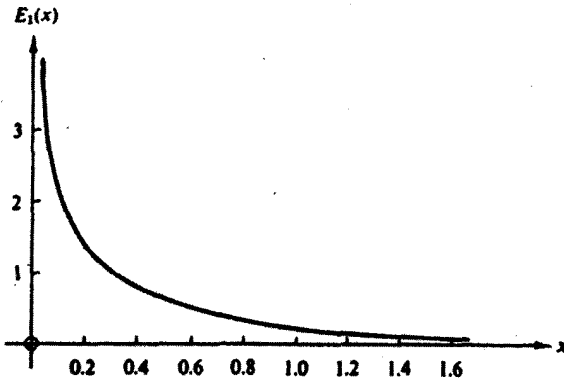
$$= \lim_{a \rightarrow 0} [\Gamma(a) - \gamma(a, x)]$$

در اینجا باید دقت زیادی مبذول داریم، زیرا انتگرال معادله (۷۲.۱۰) به ازای  $x \rightarrow 0$  به صورت لگاریتمی واگرا می شود. جمله واگرا را می توانیم، به کمک یک بسط سری برای  $\gamma(a, x)$ ، تجزیه کنیم

$$E_1(x) = \lim_{a \rightarrow 0} \left[ \frac{a\Gamma(a) - x^a}{a} \right] - \sum_{n=1}^{\infty} \frac{(-1)^n x^n}{n \times n!} \quad (۷۴.۱۰)$$

با استفاده از قاعده هوییتال (مسئله ۹.۶.۵، جلد اول) و عبارت

۱. ظهور دو علامت منفی در  $-Ei(-x)$  یک کج سلیقگی تاریخی است. کتاب AMS-55 این انتگرال را با  $E_1(x)$  نشان می دهد.

شکل ۷.۱۰ انتگرال نمایی  $E_1(x) = -Ei(-x)$ 

$$\frac{d}{da} \{a\Gamma(a)\} = \frac{d}{da} a! = \frac{d}{da} e^{\ln(a!)} = a! F(a) \quad (74.10 \text{ الف})$$

و آنگاه با بهره‌گیری از معادله (۴۰.۱۰)، خواهیم داشت

$$E_1(x) = -\gamma - \ln x - \sum_{n=1}^{\infty} \frac{(-1)^n x^n}{n \times n!} \quad (75.10)$$

که به ازای مقادیر کوچک  $x$  مفید است. در بخش ۱۰.۵ یک بسط مجانبی داده شده است. صورت‌های خاص دیگری که به انتگرال نمایی مربوط می‌شوند عبارت‌اند از انتگرال سینوسی و انتگرال کسینوسی (شکل ۸.۱۰) و انتگرال لگاریتمی، که بنا بر تعریف به صورت زیرند<sup>۲</sup>

$$si(x) = - \int_x^{\infty} \frac{\sin t}{t} dt$$

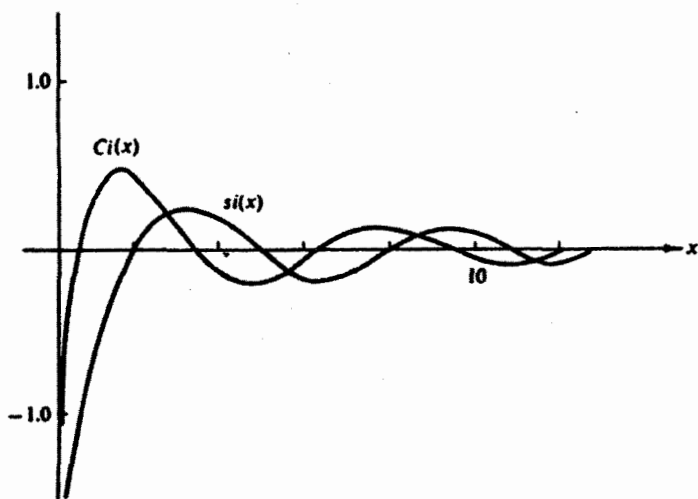
$$Ci(x) = - \int_x^{\infty} \frac{\cos t}{t} dt \quad (76.10)$$

$$li(x) = \int_0^x \frac{du}{\ln u} = Ei(\ln x)$$

با تبدیل از شناسه‌های حقیقی به شناسه‌های موهومی، می‌توانیم نشان دهیم که

$$1. \quad dx^a/da = x^a \ln x$$

۲. یک انتگرال سینوسی دیگر با رابطه  $Si(x) = si(x) + \pi/2$  تعریف می‌شود.



شکل ۸.۱۰ انتگرالهای سینوسی و کسینوسی.

$$si(x) = \frac{1}{\gamma i} [Ei(ix) - Ei(-ix)] = \frac{1}{\gamma i} [E_{\gamma}(ix) - E_{\gamma}(-ix)] \quad (77.10)$$

و

$$Ci(x) = \frac{1}{\gamma} [Ei(ix) + Ei(-ix)] = -\frac{1}{\gamma} [E_{\gamma}(ix) + E_{\gamma}(-ix)], \quad |\arg x| < \frac{\pi}{\gamma} \quad (78.10)$$

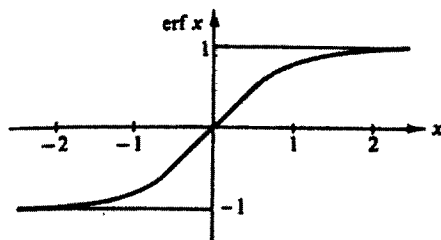
برای آنکه نشان دهیم رابطه بین این انتگرالها دقیقاً مشابه رابطه‌ای است که بین  $e^{ix}$ ،  $\cos x$  و  $\sin x$  وجود دارد دورابطه بالا را باهم جمع می‌کنیم، خواهیم داشت

$$Ei(ix) = Ci(x) + i si(x) \quad (79.10)$$

بر حسب  $E_{\gamma}$  داریم

$$E_{\gamma}(ix) = -Ci(x) + i si(x)$$

بسطهای مجانبی  $si(x)$  و  $Ci(x)$  در بخش ۱۰.۵، جلد اول، انجام شده‌اند. بسطهای سری توانی حول مبدأ برای  $si(x)$ ،  $Ci(x)$  و  $li(x)$  را می‌توان به کمک بسط انتگرال نمایی  $E_{\gamma}(x)$ ، یا از طریق انتگرالگیری مستقیم مسئله ۱۰.۵.۱۰ به دست آورد. انتگرالهای نمایی، سینوسی، و کسینوسی در فصل ۵ کتاب AMS-55 جدولبندی شده‌اند.

شکل ۹.۱۰ تابع خطا،  $\text{erf } x$ .

## انتگرالهای خطا

انتگرالهای خطای زیر، بخش ۱۰.۵ (شکل ۹.۱۰)

$$\text{erf } z = \frac{2}{\sqrt{\pi}} \int_0^z e^{-t^2} dt$$

(الف ۸۰.۱۰)

$$\text{erfc } z = 1 - \text{erf } z = \frac{2}{\sqrt{\pi}} \int_z^{\infty} e^{-t^2} dt$$

طوری بهنجار شده اند که  $\text{erf } \infty = 1$ . صورت مجانبی این انتگرالها را در آن بخش مطرح کردیم. از صورت کلی انتگرالدهما و معادله (۶.۱۰)، انتظار داریم که  $\text{erfc } z$  و  $\text{erf } z$  بتوان به صورت توابع گامای نا کامل با  $a = 1/2$  نوشت. این رابطهها عبارت اند از

$$\text{erf } z = \pi^{-1/2} \gamma\left(\frac{1}{2}, z^2\right)$$

(ب ۸۰.۱۰)

$$\text{erfc } z = \pi^{-1/2} \Gamma\left(\frac{1}{2}, z^2\right)$$

بسط سری توانی  $\text{erf } z$  مستقیماً از معادله (۷۱.۱۰) به دست می آید.

## مسائل

۱۰.۵.۱۰ (الف) از طریق انتگرالگیری جزء به جزء پیاپی، (ب) از طریق تبدیل به معادله (۷۱.۱۰)، نشان دهید

$$\gamma(a, x) = e^{-x} \sum_{n=0}^{\infty} \frac{(a-1)!}{(a+n)!} x^{a+n}$$

نشان دهید ۲۰.۵.۱۰

$$\frac{d^m}{dx^m} [x^{-a} \gamma(a, x)] = (-1)^m x^{-a-m} \gamma(a+m, x) \quad (\text{الف})$$

$$\frac{d^m}{dx^m} [e^x \gamma(a, x)] = e^x \frac{\Gamma(a)}{\Gamma(a-m)} \gamma(a-m, x) \quad (\text{ب})$$

۳۰۵۰۱۰ نشان دهید که  $\gamma(a, x)$  و  $\Gamma(a, x)$  در روابط بازگشتی زیر صدق می کنند

$$\gamma(a+1, x) = a\gamma(a, x) - x^a e^{-x} \quad (\text{الف})$$

$$\Gamma(a+1, x) = a\Gamma(a, x) + x^a e^{-x} \quad (\text{ب})$$

۴۰۵۰۱۰ پتانسیل ناشی از یک الکترون  $1s$  هیدروژن (مسئله ۶۰۸.۱۲ را ببینید) از رابطه زیر به دست می آید

$$V(r) = \frac{q}{4\pi\epsilon_0 a_0} \left\{ \frac{1}{2r} \gamma(3, 2r) + \Gamma(2, 2r) \right\}$$

(الف) به ازای  $r \ll 1$  نشان دهید

$$V(r) = \frac{q}{4\pi\epsilon_0 a_0} \left\{ 1 - \frac{2}{3} r^2 + \dots \right\}$$

(ب) به ازای  $r \gg 1$  نشان دهید

$$V(r) = \frac{q}{4\pi\epsilon_0 a_0} \times \frac{1}{r}$$

در اینجا  $r$  عبارت از یک عدم مطلق، یعنی تعداد شعاعهای بور،  $a_0$  خواهد بود. یادآوردی. برای محاسبه به ازای مقادیر متوسط  $r$ ، معادله‌های (۷۰.۱۰) مناسب اند.

۵۰۵۰۱۰ پتانسیل یک الکترون  $2p$  هیدروژن از رابطه زیر به دست می آید (مسئله ۷۰۸.۱۲ را ببینید)

$$V(r) = \frac{1}{4\pi\epsilon_0} \times \frac{q}{24a_0} \left\{ \frac{1}{r} \gamma(5, r) + \Gamma(4, r) \right\}$$

$$- \frac{1}{4\pi\epsilon_0} \times \frac{q}{120a_0} \left\{ \frac{1}{r^2} \gamma(7, r) + r^2 \Gamma(2, r) \right\} P_2(\cos \theta)$$

در اینجا  $r$  بر حسب واحد  $a_0$  شعاع بور، بیان می شود.  $P_2(\cos \theta)$  یک چند جمله‌ای لژاندر است (بخش ۱.۱۲ را ببینید).

(الف) به ازای  $r \ll 1$ ، نشان دهید

$$V(\mathbf{r}) = \frac{1}{4\pi\epsilon_0} \times \frac{q}{a_0} \left\{ \frac{1}{r} - \frac{1}{120} r^2 P_2(\cos\theta) + \dots \right\}$$

(ب) بد ازای  $r \gg 1$ ، نشان دهید

$$V(\mathbf{r}) = \frac{1}{4\pi\epsilon_0} \times \frac{q}{a_0 r} \left\{ 1 - \frac{r^2}{120} P_2(\cos\theta) + \dots \right\}$$

۶.۵.۱۰ ثابت کنید که انتگرال نمایی عبارت است از

$$\int_x^\infty \frac{e^{-t}}{t} dt = -\gamma - \ln x - \sum_{n=1}^{\infty} \frac{(-1)^n x^n}{n \times n!}$$

$\gamma$  ثابت اولر-ماشرونی است.

۷.۵.۱۰ نشان دهید که  $E_1(z)$  را می توان به صورت زیر نوشت

$$E_1(z) = e^{-z} \int_0^\infty \frac{e^{-zt}}{1+t} dt$$

همچنین نشان دهید که باید شرط  $|\arg z| \leq \pi/2$  را وضع کنیم.

۸.۵.۱۰ تابع زیر بایک تغییر متغیر ساده بد انتگرال نمایی [معادله (۷۲.۱۰)] مربوط می شود

$$E_n(x) = \int_1^\infty \frac{e^{-xt}}{t^n} dt$$

نشان دهید که  $E_n(x)$  در رابطه بازگشتی زیر صدق می کند

$$E_{n+1}(x) = \frac{1}{n} e^{-x} - \frac{x}{n} E_n(x), \quad n = 1, 2, 3, \dots$$

۹.۵.۱۰ برای  $E_n(x)$  که در مسئله ۸.۵.۱۰ تعریف شد، نشان دهید که  $E_n(0) = 1/(n-1)$ ،  $n > 1$

۱۰.۵.۱۰ سریهای توانی زیر را بسط دهید

$$si(x) = -\frac{\pi}{2} + \sum_{n=0}^{\infty} \frac{(-1)^n x^{2n+1}}{(2n+1)(2n+1)!} \quad (\text{الف})$$

$$Ci(x) = \gamma + \ln x + \sum_{n=1}^{\infty} \frac{(-1)^n x^{2n}}{2n(2n)!} \quad (\text{ب})$$



۱۱۰۵.۱۰ تحلیل رفتار يك آنتن خطی با تغذیه مرکزی به عبارت زیر می انجامد

$$\int_0^x \frac{1 - \cos t}{t} dt$$

نشان دهید که این عبارت برابر است با  $\gamma + \ln x - Ci(x)$

۱۲۰۵.۱۰ با استفاده از رابطه

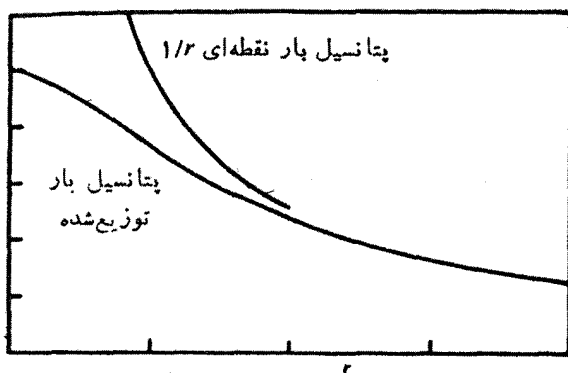
$$\Gamma(a) = \gamma(a, x) + \Gamma(a, x)$$

نشان دهید که اگر  $\gamma(a, x)$  در روابط مسئله ۲۰۵.۱۰ صدق کند، آنگاه  $\Gamma(a, x)$  نیز باید در همان روابط صدق کند.

۱۳۰۵.۱۰ (الف) زیر-برنامه‌ای بنویسید که توابع گامای ناکامل  $\gamma(n, x)$  و  $\Gamma(n, x)$  را به ازای  $n$ ، عدد درست مثبت محاسبه کند.  $\Gamma(n, x)$  را در چند نقطه به کمک کوادراتور گاوس-لاگر، پیوست ۲، بیازمایید.

(ب)  $F(n, x)$  و  $\gamma(n, x)$  را به ازای  $x = 0.01, 0.1, 1, 10, 100$  و  $n = 1, 2, 3$  جدول بندی کنید.

۱۴۰۵.۱۰ پتانسیل ناشی از الکترون ۱S اتم هیدروژن را محاسبه کنید (مسئله ۴۰۵.۱۰؛ شکل ۱۰۰.۱۰).  $V(r)/(q/4\pi\epsilon_0 a_0)$  را به ازای  $r = 0.01, 0.1, 1, 10, 100$  جدول بندی کنید. محاسبات خود را به ازای  $r \ll 1$  و به ازای  $r \gg 1$  از طریق محاسبه صورت‌های حدی مسئله ۴۰۵.۱۰ بیازمایید.



شکل ۱۰۰.۱۰ پتانسیل بار توزیع شده ناشی از يك الکترون 1S اتم هیدروژن؛ مسئله ۱۴۰۵.۱۰.

۱۵۰۵.۱۰ با استفاده از معادله‌های (۲۰۴.۵) و (۷۵.۱۰)، انتگرال‌نمایی  $E_1(x)$  را به‌ازای (الف)  $10(0.2)(0.2) = x$ ، (ب)  $10(0.2)(0.2) = x$  محاسبه کنید. برنامه محاسباتی مربوط را خودتان بنویسید، ولی هر مقدار را با استفاده از یک زیر-برنامه موجود در حافظه ماشین (در صورت موجود بودن) بیازمایید. همچنین محاسبات خود را در هر نقطه بایک کوادراتور گاوس-لاگر بیازمایید.

پی می‌برید که سری توانی سریعاً همگرا می‌شود و به‌ازای مقادیر کوچک  $x$  با دقت زیادی همراه است. سری مجانبی، حتی به‌ازای  $x = 10$ ، از دقت نسبتاً کمی برخوردار است.

مقادیر آزمونی.  $E_1(10) = 0.219384$ ،  $E_1(100) = 4.15697 \times 10^{-6}$ .

۱۶۰۵.۱۰ دو عبارت مربوط به  $E_1(x)$ ، یکی معادله (۲۰۴.۵)، یعنی یک سری مجانبی، و دیگری معادله (۷۵.۱۰)، یعنی یک سری توانی همگرا، وسیله‌ای برای محاسبه با دقت زیاد  $\gamma$ ، ثابت اولر-ماشرونی، فراهم می‌کند. بایره‌گیری از دقت مضاعف،  $E_1(x)$  را از معادله (۲۰۴.۵) به دست آورید، سپس  $\gamma$  را با این مقدار  $E_1(x)$  از معادله (۷۵.۱۰) محاسبه کنید. راهنمایی. به‌عنوان یک گزینه مناسب،  $x$  را در گستره ۱۰ تا ۲۰ برگزینید. (گزینه  $x$ ، حدی بر روی دقت نتایج پدید خواهد آورد.) برای آنکه خطاها را کمینه کنید، در سری متناوب معادله (۷۵.۱۰)، جمله‌های مثبت و منفی را مجزا از هم جمع کنید.

پاسخ. به‌ازای  $x = 10$  و "دقت مضاعف"،  $\gamma = 0.57721566$ .

## مراجع

AMS-55, *Handbook of Mathematical Functions with Formulas, Graphs, and Mathematical Tables*, U.S. Department of Commerce, National Bureau of Standards, Applied Mathematics Series-55, M. Abramowitz and I.A. Stegun, Eds.

فصلهای ۴ تا ۶ این کتاب حاوی داده‌های زیادی درباره توابع گاما، توابع گامای نامکمل، انتگرال‌های نامی، توابع خطا، و توابع مربوطه است.

Artin, Emil, *The Gamma Function*. Translated by Michael Butler. New York: Holt, Rinehart and Winston, 1964.

در این کتاب نمایش داده شده است که اگر تابع  $f(x)$  هموار (لگا-کوژ) باشد و به‌ازای  $x = n$  برابر  $(n-1)!$  شود، این تابع، تابع گاما است.

Davis, H.T., *Tables of the Higher Mathematical Functions*. Bloomington, Ind.: Principia Press, 1933.

جلد ۱ این کتاب حاوی داده‌های گسترده‌ای درباره توابع گاما و توابع پلی‌گاما است.

Luke, Y.L., *The Special Functions and Their Approximations*, Vol. I. New York and London: Academic Press, 1969.

Luke, Y.L., *Mathematical Functions and Their Approximations*, New York: Academic Press, 1975.

این کتاب متممی است روزآمد شده بر کتاب

*Handbook of Mathematical Functions with Formulas, Graphs, and Mathematical Tables* (AMS\_55).

در فصل ۱ تابع گاما مورد بحث قرار می‌گیرد. در فصل ۴ تابع گامای ناکامل و بسیاری از توابع مربوط بدانها را مورد بررسی قرار می‌دهد.

## توابع بسل

۱۰۱۱ توابع نوع اول بسل،  $J_n(x)$ 

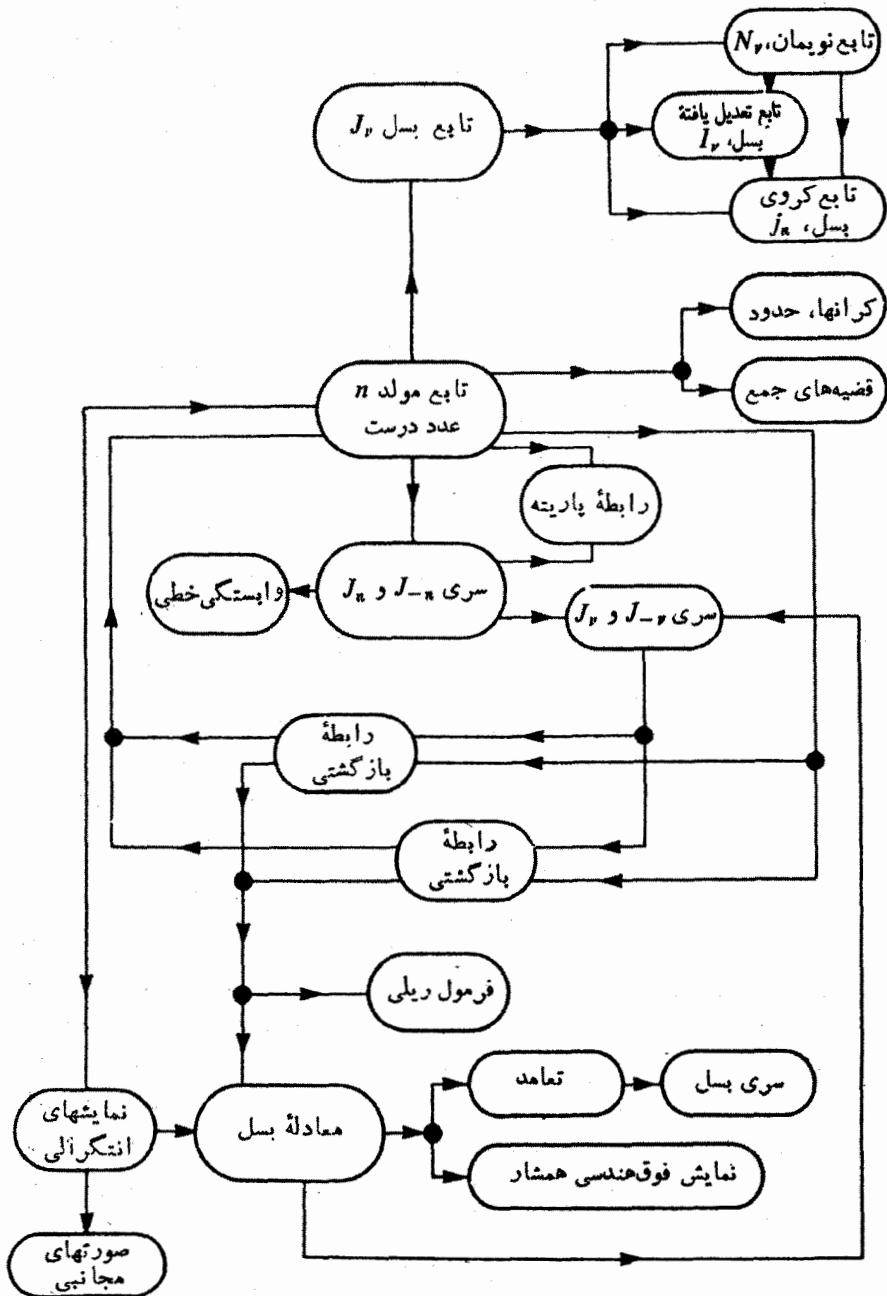
توابع بسل در مسائل فیزیکی بسیار گوناگونی ظاهر می‌شوند. در بخش ۶.۲، جدا سازی معادلهٔ هلمهولتز یا معادلهٔ موج در مختصات استوانه‌ای به معادلهٔ بسل انجامید. در بخش ۷.۱۱ خواهیم دید که معادلهٔ هلمهولتز در مختصات قطبی کروی نیز به صورتی از معادلهٔ بسل می‌انجامد. توابع بسل ممکن است به صورت انتگرالی، نمایشهای انتگرالی، نیز پدیدار شوند. این صورتها ممکن است حاصل تبدیلهای انتگرالی (فصل ۱۵) و یا این روش ظریف ریاضی باشند، که بررسی توابع بسل را با توابع هنکل، بخش ۴.۱۱، شروع می‌کنند.

توابع بسل و توابعی که با آنها ارتباط تنگاتنگی دارند، حوزه‌ای غنی در آنالیز ریاضی تشکیل می‌دهند، که با بسیاری نمایشها، خاصیتهای سودمند و جالب، و روابط متقابل فراوان قرین‌اند. بعضی از این روابط متقابل که در بخش ۱۰.۱۱ و در بخشهای بعد به آنها می‌پردازیم، در شکل ۱۰.۱۱ جمع‌بندی شده‌اند. توجه کنید که توابع بسل منحصر به فصل ۱۱ نیستند. به صورتهای مجانبی آنها در بخش ۴.۷ و نیز در بخش ۶.۱۱ پرداخته‌ایم. نمایشهای فوق هندسی همشار در بخش ۶.۱۳ خواهند آمد.

تابع مولد، مرتبهٔ درست،  $J_n(x)$ 

هر چند توابع بسل عمدتاً به عنوان جواب معادله‌های دیفرانسیل اهمیت دارند، ولی پرداختن به آنها از رهیافتی کاملاً متفاوت، یعنی باریافت تابع مولد<sup>۱</sup>، بهتر و آموزنده تر خواهد بود.

۱. تابع مولد قبلاً در فصل ۵ به کار رفته‌اند. تابع مولد  $(1+x)^n$ ، در بخش ۶.۵، ضرایب دو جمله‌ای را تولید کرد. در بخش ۹.۵، تابع مولد  $(e^x - 1)^{-1}$ ، اعداد برنولی را تولید کرد.



شکل ۱۰۱۱ روابط متقابل تابع بسل.

مزیت این رهیافت، به این ترتیب است که در آن بیشتر توجه به خود توابع معطوف است تا معادلات دیفرانسیلی که در آنها صدق می‌کنند. خطوط کلی پدید آمدن تابع بسل و توابع مربوط به آن از تابع مولد در شکل ۱.۱۱ نشان داده شده است. تابع دومتغیره زیر را معرفی می‌کنیم

$$g(x, t) = e^{(x/2)(t-1/t)} \quad (1.11)$$

با بسط این تابع در یک سری لوران (بخش ۵.۶)، داریم

$$e^{(x/2)(t-1/t)} = \sum_{n=-\infty}^{\infty} J_n(x) t^n \quad (2.11)$$

ضریب  $t^n$ ، یعنی  $J_n(x)$ ، بنا به تعریف تابع نوع اول بسل از مرتبه  $n$  درست است. با بسط نمایها، به ترتیب بر حسب  $x/2$  و  $-x/2$ ، حاصلضرب دو سری مک‌لورن عبارت است از

$$e^{x/2} \times e^{-x/2} = \sum_{r=0}^{\infty} \left(\frac{x}{2}\right)^r \frac{t^r}{r!} \sum_{s=0}^{\infty} (-1)^s \left(\frac{x}{2}\right)^s \frac{t^{-s}}{s!} \quad (3.11)$$

به ازای یک مقدار معین  $s$ ،  $t^n$  را از جمله مربوط به  $r = n + s$  به دست می‌آوریم

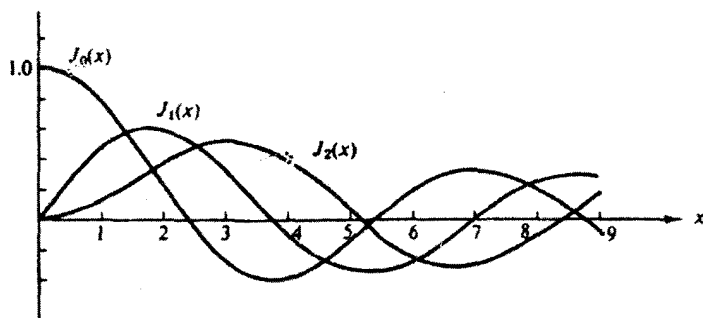
$$\left(\frac{x}{2}\right)^{n+s} \frac{t^{n+s}}{(n+s)!} (-1)^s \left(\frac{x}{2}\right)^s \frac{t^{-s}}{s!} \quad (4.11)$$

بنابراین ضریب  $t^n$  عبارت است از

$$J_n(x) = \sum_{s=0}^{\infty} \frac{(-1)^s}{s!(n+s)!} \left(\frac{x}{2}\right)^{n+2s} = \frac{x^n}{2^n n!} - \frac{x^{n+2}}{2^{n+2}(n+1)!} + \dots \quad (5.11)$$

این صورت سری نمایانگر، رفتار تابع بسل،  $J_n(x)$ ، به ازای مقادیر کوچک  $x$  است، و محاسبه عددی  $J_n(x)$  را میسر می‌سازد. نتایج مربوط به  $J_0$ ،  $J_1$ ، و  $J_2$  در شکل ۲.۱۱ نشان داده شده است. خطای حاصل از به کارگیری تعداد زیادی جمله در محاسبه عددی، با استفاده از بخش ۳.۵، نسبت به اولین جمله چشمپوشی شده کوچکتر است. مثلاً، اگر  $J_n(x)$  را با دقت  $\pm 1\%$  بخواهیم، به شرط آنکه نسبت دومین جمله به جمله اول (از نظر بزرگی) کوچکتر از  $1\%$  باشد، یا  $x < 0.2(n+1)^{1/2}$ ، جمله اول در معادله (۵.۱۱) به تنهایی کفایت خواهد کرد. توابع بسل نوسان می‌کنند ولی دوره‌ای نیستند - مگر در حد  $x \rightarrow \infty$  (بخش ۶.۱۱). دامنه  $J_n(x)$  ثابت نیست و به صورت مجانبی مانند  $x^{-1/2}$  کوچک می‌شود.

۱. از مرحله‌ای که به این سری انجامید و از مشخصات همگرایی آن باید روشن باشد که این سری را می‌توان به جای  $x$  برای  $z$  نیز به کار برد،  $z$  عبارت از هر نقطه از صفحه مختلط متناهی است.



شکل ۲.۱۱ توابع بسل:  $J_0(x)$ ،  $J_1(x)$  و  $J_2(x)$ .

معادله (۵.۱۱) عملاً به ازای  $n < 0$  نیز برقرار است، یعنی

$$J_{-n}(x) = \sum_{s=0}^{\infty} \frac{(-1)^s}{s!(s-n)!} \left(\frac{x}{2}\right)^{2s-n} \quad (۶.۱۱)$$

که از طریق تعویض  $n$  با  $-n$  در معادله (۵.۱۱) به دست می‌آید. از آنجا که  $n$  (در اینجا) یک عدد درست است، به ازای  $(n-1), \dots, s=0$  داریم:  $(s-n)! \rightarrow \infty$ . از این رو می‌توان سری را از  $s=n$  آغاز کرد. از طریق تعویض  $s$  با  $s+n$  داریم

$$J_{-n}(x) = \sum_{s=0}^{\infty} \frac{(-1)^{s+n}}{s!(n+s)!} \left(\frac{x}{2}\right)^{n+2s} \quad (۷.۱۱)$$

بلافاصله از این رابطه پی می‌بریم که  $J_n(x)$  و  $J_{-n}(x)$  نسبت به هم مستقل نیستند و ربط آنها به صورت زیر است

$$J_{-n}(x) = (-1)^n J_n(x) \quad (n \text{ عدد درست}) \quad (۸.۱۱)$$

اگر در این عبارتهای سری [معادله‌های (۵.۱۱) و (۶.۱۱)]،  $n$  را با  $\nu$  تعویض کنیم، می‌توانیم از آنها برای تعریف  $J_\nu(x)$  و  $J_{-\nu}(x)$  به ازای مقادیر غیر درست  $\nu$  استفاده کنیم (با مسئله ۷.۱.۱۱ مقایسه کنید).

### روابط بازگشتی

همه روابط بازگشتی  $J_n(x)$  و مشتقهای آن را می‌توان از طریق عمل کردن روی سری معادله (۵.۱۱) به دست آورد، که این البته به اندکی تیزبینی (و با مقدار زیادی آزمون و خطا) نیاز دارد. تحقیق درستی روابط بازگشتی معلوم، سراسر است (مسئله ۷.۱.۱۱). در اینجا، بهتر است که آنها را از تابع مولد  $g(x, t)$  به دست آوریم. بامشتفگی جزئی از معادله (۱.۱۱) نسبت به  $t$ ، خواهیم داشت

$$\frac{\partial}{\partial t} g(x, t) = \frac{1}{2} x \left( 1 + \frac{1}{t^2} \right) e^{(x/2)(t-1/t)} \quad (9.11)$$

$$= \sum_{n=-\infty}^{\infty} n J_n(x) t^{n-1}$$

و با نشانیدن از معادله (۲.۱۱) به جای عبارت نمایی، مساوی قرار دادن ضرایب توانهای مساوی  $t$ ، خواهیم داشت

$$J_{n-1}(x) + J_{n+1}(x) = \frac{2n}{x} J_n(x) \quad (10.11)$$

این عبارت يك رابطه بازگشتی سه جمله ای است. مثلاً، با داشتن  $J_0$  و  $J_1$ ، می توان  $J_2$  و هر  $J_n$  از مرتبه درست) را محاسبه کرد.

با امکاناتی که کامپیوترهای رقمی نوین فراهم می کنند (و شرایطی که پیش می آورند)، معادله (۱۰.۱۱) کاربرد جدید و جالبی یافته است. برای محاسبه مقدار عددی  $J_n(x_0)$  به ازای يك مقدار معین  $x_0$ ، می توان برای مقادیر کوچک  $x$  از معادله (۵.۱۱)، و برای مقادیر بزرگ  $x$  از صورت مجانبی معادله (۱۴۴.۱۱) بخش ۶.۱۱ استفاده کرد. ولی راه بهتر، هم از نظر دقت و هم از نظر بهره برداری از ماشین، آن است که از رابطه بازگشتی معادله (۱۰.۱۱) استفاده و به سوی شاخصهای کمتر حرکت کنیم. با  $n \gg x_0$  و  $n \gg N$  فرض کنید که

$$J_{n+1}(x_0) = 0 \quad \text{و} \quad J_n(x_0) = \alpha$$

که در آن  $\alpha$  عدد کوچکی است. آنگاه از معادله (۱۰.۱۱)،  $J_{n-1}(x_0)$ ،  $J_{n-2}(x_0)$ ، الی آخر، و سرانجام  $J_0(x_0)$  بدست خواهند آمد. از آنجا که  $\alpha$  اختیاری است، مقادیر  $J_n$  همگی با يك ضریب مشترك از مقدار اصلی خود انحراف پیدا می کنند. این ضریب را به کمک شرط زیر تعیین می کنیم

$$J_0(x_0) + 2 \sum_{m=1}^{\infty} J_{2m}(x_0) = 1 \quad (10.11 \text{ الف})$$

(در معادله ۲.۱۱، قرار دهید  $t = 1$ ). دقت این محاسبه، از طریق تکرار آن با  $n' = n + 3$

۱. این نکته بر پایه یکتا بودن نمایش سری توانی استوار است (بخشهای ۷.۵ و ۵.۶).

2. Stegun, I. A., M. Abramowitz, "Generation of Bessel functions on high speed computers," *Mathematical Tables and Other Aids for Computation*, **11**, 255-257 (1957.)



آزموده می‌شود. این تکنیک،  $J_N(x_0)$  مورد نظر و همه مقادیر  $J$  با شاخص عدد درست کوچکتر از  $N$ ، تا  $J_0$  را به دست می‌دهد. این همان تکنیکی است که در زیر-برنامه BESJ برای فورترن SSP به کار می‌رود.

محاسبه‌های عددی خیلی دقیق و خیلی سریع کمابیش يك هنر است. سال به سال برای این تکنیک و سایر تکنیکهای عددی، اصلاحات و ریزه کاریهای جدیدی پیشنهاد می‌شود. دانشجوی برای آنکه از وضعیت جاری این هنر آگاهی یابد، باید به نوشته‌ها و در درجه اول به مجله ریاضیات محاسبه مراجعه کند.

به کمک مشتقگیری جزء به جزء از معادله (۱۰۱۱) نسبت به  $x$  داریم

$$\frac{\partial}{\partial x} g(x, t) = \frac{1}{t} \left(1 - \frac{1}{t}\right) e^{(x/2)(t-1/t)} \quad (11.11)$$

$$= \sum_{n=-\infty}^{\infty} J'_n(x) t^n$$

باز با نشانیدن معادله (۲۰۱۱) به جای عبارت نما و با مساوی قرار دادن ضرایب توانهای مساوی  $t$ ، خواهیم داشت

$$J_{n-1}(x) - J_{n+1}(x) = 2J'_n(x) \quad (12.11)$$

به عنوان يك مورد خاص از این رابطه بازگشتی کلی داریم

$$J'_0(x) = -J_1(x) \quad (13.11)$$

معادله‌های (۱۰۱۱) و (۱۲۰۱۱) را با یکدیگر جمع و سپس بر ۲ تقسیم می‌کنیم، داریم

$$J_{n-1}(x) = \frac{n}{x} J_n(x) + J'_n(x) \quad (14.11)$$

در  $x^n$  ضرب می‌کنیم، پس از بازآرایی جمله‌ها خواهیم داشت

$$\frac{d}{dx} [x^n J_n(x)] = x^n J_{n-1}(x) \quad (15.11)$$

با کم کردن معادله (۱۲۰۱۱) از (۱۵۰۱۱) و تقسیم کردن بر ۲، داریم

$$J_{n+1}(x) = \frac{n}{x} J_n(x) - J'_n(x) \quad (16.11)$$

از طریق ضرب کردن در  $x^{-n}$  و باز آرای جملها، خواهیم داشت

$$\frac{d}{dx}[x^{-n}J_n(x)] = -x^{-n}J_{n+1}(x) \quad (17.11)$$

### معادله دیفرانسیل بسل

مجموعه‌ای از توابع  $Z_\nu(x)$  را در نظر بگیریم که روابط بازگشتی اساسی [معادله‌های (۱۵.۱۱) و (۱۲.۱۱)] در آنها صدق کنند، ولی  $\nu$  لزوماً یک عدد درست نباشد و  $Z_\nu$  نیز ضرورتاً از سری معادله (۵.۱۱) به دست نیاید. می‌توان معادله (۱۴.۱۱) را به صورت زیر بازنویسی کرد ( $n \rightarrow \nu$ )

$$xZ'_\nu(x) = xZ_{\nu-1}(x) - \nu Z_\nu(x) \quad (18.11)$$

نسبت به  $x$  مشتق می‌گیریم

$$xZ''_\nu(x) + (\nu+1)Z'_\nu - xZ'_{\nu-1} - Z_{\nu-1} = 0 \quad (19.11)$$

در  $x$  ضرب و آن را از حاصلضرب  $\nu$  در معادله (۱۸.۱۱) کم می‌کنیم، در نتیجه

$$x^2Z''_\nu + xZ'_\nu - \nu^2Z_\nu + (\nu-1)xZ_{\nu-1} - x^2Z'_{\nu-1} = 0 \quad (20.11)$$

اینک معادله (۱۶.۱۱) را بازنویسی می‌کنیم و در آن به جای  $n$ ، مقدار  $\nu-1$  را قرار می‌دهیم

$$xZ'_{\nu-1} = (\nu-1)Z_{\nu-1} - xZ_\nu \quad (21.11)$$

از این معادله برای حذف  $Z_{\nu-1}$  و  $Z'_{\nu-1}$  از معادله (۲۰.۱۱) بهره می‌گیریم و خواهیم داشت

$$x^2Z''_\nu + xZ'_\nu + (x^2 - \nu^2)Z_\nu = 0 \quad (22.11)$$

این، همان معادله بسل است. از این رو هر تابع  $Z_\nu(x)$  که روابط بازگشتی [معادله‌های (۱۵.۱۱)، (۱۲.۱۱)، (۱۴.۱۱)، و (۱۶.۱۱)]، یا (۱۵.۱۱) و (۱۷.۱۱)] در آن صدق کنند، معادله بسل را ارضا می‌کنند؛ یعنی مقادیر نامعلوم  $Z_\nu$ ، توابع بسل به شمار می‌آیند. به خصوص نشان داده‌ایم که توابع  $J_n(x)$  که آنها را به کمک تابع مولد تعریف کردیم، در معادله بسل صدق می‌کنند. اگر شناسه به جای  $x$ ، کمیت  $k\rho$  باشد، معادله (۲۲.۱۱) به صورت زیر درمی‌آید

$$\rho^2 \frac{d^2}{d\rho^2} Z_\nu(k\rho) + \rho \frac{d}{d\rho} Z_\nu(k\rho) + (k^2\rho^2 - \nu^2)Z_\nu(k\rho) = 0 \quad (\text{الف } 22.11)$$

### نمایشهای انتگرالی

به کار گرفتن نمایشهای انتگرالی در بررسی توابع بسل روشی سودمند و کارآمد است. اگر

به تابع مولد [معادله (۲۰۱۱)] بازگردیم و قرار دهیم  $t = e^{i\theta}$ ، آنگاه

$$e^{ix \sin \theta} = J_0(x) + 2(J_2(x) \cos 2\theta + J_4(x) \cos 4\theta + \dots) \\ + 2i(J_1(x) \sin \theta + J_3(x) \sin 3\theta + \dots) \quad (23.11)$$

که در آن از روابط زیر بهره گرفته ایم

$$J_1(x)e^{i\theta} + J_{-1}(x)e^{-i\theta} = J_1(x)(e^{i\theta} - e^{-i\theta}) \\ = 2iJ_1(x)\sin \theta, \quad (24.11)$$

$$J_2(x)e^{2i\theta} + J_{-2}(x)e^{-2i\theta} = 2J_2(x)\cos 2\theta, \dots$$

با نمادگذاری مجموعیایی و مساوی قرار دادن اجزای حقیقی و موهومی، داریم

$$\cos(x \sin \theta) = J_0(x) + 2 \sum_{n=1}^{\infty} J_{2n}(x) \cos(2n\theta) \quad (25.11)$$

$$\sin(x \sin \theta) = 2 \sum_{n=1}^{\infty} J_{2n-1}(x) \sin[(2n-1)\theta]$$

خاطر نشان می‌شود زاویه  $\theta$  (بر حسب رادیان) بدون بعد است. به همین ترتیب  $\sin \theta$  هم بعدی ندارد و درستی تابع  $\cos(x \sin \theta)$  از نقطه نظر ابعادی کاملاً محقق است. با بهره‌گیری از خواص تعامد کسینوس و سینوس<sup>۱</sup>

$$\int_0^{\pi} \cos n\theta \cos m\theta d\theta = \frac{\pi}{2} \delta_{nm} \quad (\text{الف } 26.11)$$

$$\int_0^{\pi} \sin n\theta \sin m\theta d\theta = \frac{\pi}{2} \delta_{nm} \quad (\text{ب } 26.11)$$

که در آن  $m$  و  $n$  اعداد درست مثبت اند (صفرمستثنی شده است)، داریم

$$\frac{1}{\pi} \int_0^{\pi} \cos(x \sin \theta) \cos n\theta d\theta = \begin{cases} J_n(x), & \text{زوج } n \\ 0, & \text{فرد } n \end{cases} \quad (27.11)$$

۱. این دو، ویژه تابعهای یک معادله خود-الحاقی اند (معادله نوسانگر خطی)، و شرایط مرزی مناسب در آنها صدق می‌کنند (با بخش ۲.۹ و ۱.۱۴ مقایسه کنید).

۲. معادله‌های (۲۶.۱۱ الف و ب) به‌ازای هر  $m$  یا  $n$  برابر صفر، برقرارند. اگر هر دو مقدار  $m$  و  $n$  صفر شوند، ثابت معادله (۲۶.۱۱ الف)، برابر  $\pi$  و ثابت معادله (۲۶.۱۱ ب)، برابر صفر می‌شود.

$$\frac{1}{\pi} \int_0^{\pi} \sin(x \sin \theta) \sin n\theta d\theta = \begin{cases} 0, & \text{زوج } n \\ J_n(x), & \text{فرد } n \end{cases} \quad (28.11)$$

اگر این دو معادله را با هم جمع کنیم، داریم

$$J_n(x) = \frac{1}{\pi} \int_0^{\pi} [\cos(x \sin \theta) \cos n\theta + \sin(x \sin \theta) \sin n\theta] d\theta \quad (29.11)$$

$$= \frac{1}{\pi} \int_0^{\pi} \cos(n\theta - x \sin \theta) d\theta, \quad n = 0, 1, 2, 3, \dots$$

به عنوان يك حالت خاص

$$J_0(x) = \frac{1}{\pi} \int_0^{\pi} \cos(x \sin \theta) d\theta \quad (30.11)$$

باتوجه به اینکه  $\cos(x \sin \theta)$  در هر چهار ربع  $(\theta_1 = \theta, \theta_2 = \pi - \theta, \theta_3 = \pi + \theta, \theta_4 = -\theta)$  خود را تکرار می کند، می توانیم معادله (30.11) را به صورت زیر بنویسیم

$$J_0(x) = \frac{1}{2\pi} \int_0^{2\pi} \cos(x \sin \theta) d\theta \quad (\text{الف } 30.11)$$

از سوی دیگر،  $\sin(x \sin \theta)$  در ربعهای سوم و چهارم علامت خود را عوض می کند، به طوری که

$$\frac{1}{2\pi} \int_0^{2\pi} \sin(x \sin \theta) d\theta = 0 \quad (\text{ب } 30.11)$$

معادله (الف 30.11) را با حاصلضرب  $i$  در معادله (ب 30.11) جمع می کنیم، نمایش نمایی مختلط زیر را به دست می آوریم

$$J_0(x) = \frac{1}{2\pi} \int_0^{2\pi} e^{i x \sin \theta} d\theta \quad (\text{ج } 30.11)$$

$$= \frac{1}{2\pi} \int_0^{2\pi} e^{i x \cos \theta} d\theta$$

این نمایش انتگرالی [معادله (29.11)] را می توان با استفاده از انتگرال پربندی به روشی

مستقیمتر به دست آورد (با مسئله ۱۶.۱.۱۱ مقایسه کنید). تعداد زیادی نمایش انتگرالی دیگر نیز وجود دارد (با مسئله ۱۸.۱.۱۱ مقایسه کنید).

مثال ۱۰.۱.۱۱ پراش فرانهورفر، دهانه دایره‌ای

در نظریه پراش از میان يك دهانه دایره‌ای، برای  $\Phi$ ، دامنه موج پراشیده، به انتگرال زیر برمی‌خوریم<sup>۲</sup>

$$\Phi \sim \int_0^a \int_0^{2\pi} e^{ibr \cos \theta} d\theta r dr \quad (31.11)$$

در اینجا  $\theta$  زاویه سمتی در صفحه دهانه دایره‌ای به شعاع  $a$ ، و  $\alpha$  زاویه‌ای است بین خط واصل میان مرکز دهانه به نقطه‌ای روی پرده زیر دهانه و خط عمودی که از مرکز دهانه می‌گذرد. پارامتر  $b$  از رابطه زیر به دست می‌آید

$$b = \frac{2\pi}{\lambda} \sin \alpha \quad (32.11)$$

که در آن  $\lambda$  طول موج فرودی است. سایر نمادها در شکل ۳.۱۱ تعریف شده‌اند. از معادله (۳۵.۱۱)، خواهیم داشت<sup>۳</sup>

$$\Phi \sim 2\pi \int_0^a J_0(br) r dr \quad (33.11)$$

با استفاده از معادله (۱۵.۱۱)، فوراً می‌توان از معادله (۳۳.۱۱) انتگرال گرفت و رابطه زیر را به دست آورد

$$\Phi \sim \frac{2\pi ab}{b^2} J_1(ab) \sim \frac{\lambda a}{\sin \alpha} J_1\left(\frac{2\pi a}{\lambda} \sin \alpha\right) \quad (34.11)$$

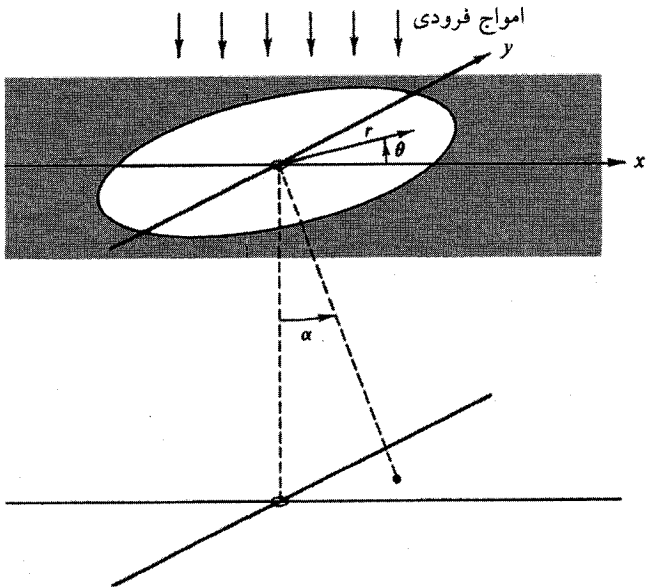
شدت نور در نقش پراش با  $\Phi^2$  متناسب است و

$$\Phi^2 \sim \left\{ \frac{J_1\left[\left(\frac{2\pi a}{\lambda}\right) \sin \alpha\right]}{\sin \alpha} \right\}^2 \quad (35.11)$$

۱. به ازای  $n=0$ ، يك انتگرال کبیری ساده روی  $\theta$  از ۰ تا  $2\pi$  معادله (۲۳.۱۱) را به معادله (۳۵.۱۱) تبدیل می‌کند.

۲. نمای  $ibr \cos \theta$  فازموج را روی پرده‌ای دور از دهانه، در زاویه  $\alpha$ ، نسبت به فازموج فرودی بردهانه در نقطه  $(\theta, r)$  به دست می‌دهد. صورت موهومی عبارت نما در انتگرال ده به این معناست که انتگرال از نظر تکنیکی يك تبدیل فوریه است (فصل ۱۵). نقش پراش فرانهورفر، معمولاً به کمک تبدیل فوریه دهانه به دست می‌آید.

۳. می‌توانستیم به مسئله ۱۶.۱.۱۱ (ب) نیز ارجاع دهیم.



شکل ۳-۱۱ پراش فرانهِو فرودانه دایره‌ای.

جدول ۱-۱۱ صفرهای توابع بسل و مشتقات مرتبه اول آنها.

$J_0(x)$	$J_1(x)$	$J_2(x)$	$J_3(x)$	$J_4(x)$	$J_5(x)$	شماره صفر
۲۲۴۰۴۸	۳۲۸۳۱۷	۵۲۱۳۵۶	۶۲۳۸۰۲	۷۲۵۸۸۳	۸۲۷۷۱۵	۱
۵۲۵۲۰۱	۷۲۰۱۵۶	۸۲۴۱۷۲	۹۲۷۶۱۰	۱۱۲۰۶۴۷	۱۲۲۳۳۸۶	۲
۸۲۶۵۳۷	۱۰۲۱۷۳۵	۱۱۲۶۱۹۸	۱۲۲۰۱۵۲	۱۴۲۳۷۲۵	۱۵۲۷۰۰۲	۳
۱۱۲۷۹۱۵	۱۳۲۳۲۳۷	۱۴۲۷۹۶۰	۱۶۲۲۲۳۵	۱۷۲۶۱۶۰	۱۸۲۹۸۰۱	۴
۱۴۲۹۳۰۹	۱۶۲۴۷۰۶	۱۷۲۹۵۹۸	۱۹۲۴۰۹۴	۲۰۲۸۲۶۹	۲۲۲۲۱۷۸	۵
$J'_0(x)$	$J'_1(x)$	$J'_2(x)$	$J'_3(x)$	$J'_4(x)$	$J'_5(x)$	
۳۲۸۳۱۷	۱۲۸۴۱۲	۳۲۰۵۴۲	۴۲۲۰۱۲	۵۲۰۱۵۲	۶۲۷۰۶۱	۱
۷۲۰۱۵۶	۵۲۳۳۱۴	۶۲۷۰۶۱	۹۲۹۶۹۵	۱۱۲۳۴۵۹	۱۳۲۳۴۵۹	۲
۱۰۲۱۷۳۵	۸۲۵۳۶۳	۹۲۹۶۹۵	۱۱۲۳۴۵۹			۳

یادآوری.  $J'_0(x) = -J_1(x)$ .

از جدول ۱۰۱۱ که صفرهای توابع بسل و مشتقهای مرتبه اول آنها در آن درج شده است، بی می بریم که عبارت (۳۵۰۱۱) در نقطه زیر دارای يك صفر است

$$\frac{2\pi a}{\lambda} \sin \alpha = 378317 \dots \quad (36.11)$$

یا

$$\sin \alpha = \frac{378317\lambda}{2\pi a} \quad (37.11)$$

برای نور سبز  $\lambda = 505 \times 10^{-5} \text{ cm}$ . از این رو اگر  $a = 0.5 \text{ cm}$ ، آنگاه

$$\alpha \approx \sin \alpha = 67 \times 10^{-5} \text{ (رادیان)} \quad (38.11)$$

ثانیه کمان ۱۴

که بیانگر آن است که خمش یا پاشیدگی پرتو نور خیلی ناچیز است. اگر این تحلیل در قرن هفدهم شناخته شده بود، برهانهای مخالف نظریه موجی نور جملگی باطل می شدند. در اواسط قرن بیستم درست همین نقش پر اش در پراکندگی ذرات هسته ای از طریق هسته های اتمی پدیدار می شود که نمایش چشمگیر خواص موجی ذرات هسته ای به شمار می آید.

کاواک مشدد الکترومغناطیسی در مثال ۲۰۱۰۱۱ و در مثال و مسائل بخش ۲۰۱۱، نمونه دیگری از کاربرد توابع بسل و ریشه های آنها را در اختیار ما می گذارد.

مثال ۲۰۱۰۱۱ کاواک مشدد استوانه ای

امواج الکترومغناطیسی، درون کاواک مشدد بنا وابستگی زمانی  $e^{-i\omega t}$ ، نوسان می کنند. از معادله های ماکسول، برای بخش فضایی میدان الکتریکی، به معادله زیر می رسمیم

$$\nabla \times \nabla \times \mathbf{E} = \alpha^2 \mathbf{E}$$

که در آن  $\alpha^2 = \omega^2 \epsilon_0 \mu_0$  (مثال ۲۰۹۰۱). با  $\nabla \cdot \mathbf{E} = 0$  (خلاء، بدون بار) داریم

$$\nabla^2 \mathbf{E} + \alpha^2 \mathbf{E} = 0$$

۱. سایر ریشه های توابع بسل و مشتقهای مرتبه اول آنها را می توان در کتابی بامشخصات زیر و در تکنیکاری بل به شماره ۳۰۵۵ یافت

Beattie, C. L., "Table of First 700 Zeros of Bessel Functions," *Bell Tech. J.*, **37**, 689, 1958.

با جداسازی متغیرها درمختصات استوانه‌ای (بخش ۴.۲، جلد اول)، بی‌می‌بریم که مؤلفه  $z$  ( $E_z$ ) تنها بخش فضایی آن در معادله نرده‌ای هلمهولتز صدق می‌کند

$$\nabla^2 E_z + \alpha^2 E_z = 0 \quad (۳۹.۱۱)$$

که در آن  $\alpha^2 = \omega^2 \epsilon_0 \mu_0 = \omega^2 / c^2$  به علاوه

$$(E_z)_{mnk} = \sum_{m,n} J_m(\gamma_{mn} \rho) e^{\pm im\varphi} [a_{mn} \sin kz + b_{mn} \cos kz] \quad (۴۰.۱۱)$$

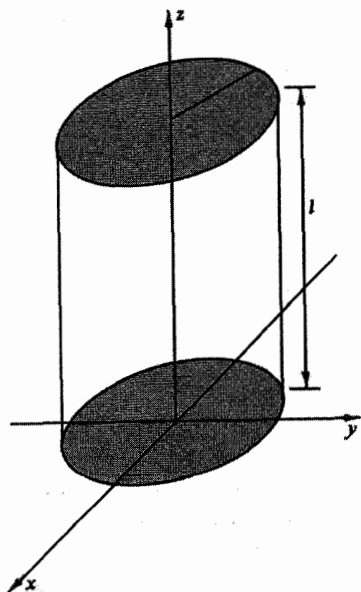
پارامتر  $k$  یک ثابت جداسازی است که در هنگام جدا کردن وابستگی به  $z$  در  $E_z(\rho, \varphi, z)$  وارد می‌شود.  $m$  هم در جدا کردن وابستگی به  $\varphi$  وارد می‌شود.  $\gamma$  به صورت  $\alpha^2 - k^2$  وارد می‌شود، و با این شرط که  $\gamma a$  ریشه‌ای از تابع بسل  $J_m$  [معادله (۴۳.۱۱)] که بعداً می‌آید باشد، کوانتیده می‌شود. از این رو  $n$  در  $\gamma_{mn}$ ،  $n$  امین ریشه  $J_m$  را مشخص می‌کند.

برای سطوح کناری در  $z=0$  و در  $z=l$  (مانند شکل ۴.۱۱). قرار می‌دهسیم

$$a_{mn} = 0$$

$$k = \frac{p\pi}{l}, \quad p = 0, 1, 2, \dots \quad (۴۱.۱۱)$$

در این صورت معادله‌های ماکسول ضامن این معنی هستند که میدانهای الکتریکی مماسی  $E_p$



شکل ۴.۱۱ کواک مشدد استوانه‌ای.



و  $E_p$  در  $z=0$  و  $z=l$  صفر می‌شوند. این مفهوم، مد مغناطیسی عرضی، یا مد TM، نوسان است. داریم

$$\gamma^2 = \frac{\omega^2}{c^2} - k^2 \quad (۲۲.۱۱)$$

$$= \frac{\omega^2}{c^2} - \frac{p^2 \pi^2}{l^2}$$

ولی این شرط مرزی معمولی را نیز داریم که  $E_z(\rho=a) = 0$ . از این رو باید قراردادیم

$$\gamma_{mn} = \frac{\alpha_{mn}}{a} \quad (۲۳.۱۱)$$

که در آن  $\alpha_{mn}$ ،  $n$  امین صفر  $J_m$  به‌شمار می‌آید. نتیجهٔ دو شرط مرزی و ثابت جداسازی  $m^2$  آن است که بسامد زاویه‌ای نوسان به سه پارامتر گسسته بستگی خواهد داشت

$$\omega_{mnp} = c \sqrt{\frac{\alpha_{mn}^2}{a^2} + \frac{p^2 \pi^2}{l^2}}, \quad \begin{cases} m = 0, 1, 2, \dots \\ n = 1, 2, 3, \dots \\ p = 0, 1, 2, \dots \end{cases} \quad (۲۴.۱۱)$$

اینها بسامدهای تشدید مجاز مد TM اند. مد TE مربوط به ارتعاش، موضوع مسئلهٔ ۲۶.۱۰۱۱ را تشکیل می‌دهد.

### رهیافتهای دیگر

در اینجا به کمک تابع مولد، معادلهٔ (۲.۱۱)، با توابع بسل آشنا شدیم. با فهرستبندی امکانهای مختلف دستیابی به رهیافتهای دیگری نیز میسر است.

۱. تابع مولد (جادوگری) معادلهٔ (۲.۱۱).

۲. جواب معادلهٔ دیفرانسیل بسل به صورت سری (بخش ۵.۸).

۳. انتگرالهای پربندی: برخی مؤلفان ترجیح می‌دهند بررسی در این زمینه را با تعریف انتگرال پربندی تابعهای هنکل، بخشهای ۲.۷ و ۲.۱۱ شروع کنند و تابع بسل  $J_p(x)$  را به کمک توابع هنکل پدید آورند.

۴. حل مستقیم مسائل فیزیکی: مثال ۱.۱۰۱۱، پراش فرانوفر از یک دهانهٔ دایره‌ای نمایشگر این رهیافت است. تصادفاً، در صورت تمایل می‌توانیم معادلهٔ

(۳۱.۱۱) را، از طریق بسط سری نیز بررسی کنیم. فاینمن<sup>۱</sup> توابع بسل را از طریق بررسی مشددهای کلاوکی تشکیل می‌دهد.

در صورتی که تابع مولد بیش از حد اختیاری به نظر رسد، می‌توان آن را از طریق يك انتگرال پربندی، مسئله ۱۶.۱۰۱۱، یا به کمک روابط بازگشتی تابع بسل مسئله ۶.۱۰۱۱ به دست آورد.

### توابع بسل از مرتبه غیر عدد درست

این رهیافتهای مختلف دقیقاً با یکدیگر هم‌ارز نیستند. رهیافت تابع مولد برای استخراج دو رابطه بازگشتی، معادله دیفرانسیل بسل، نمایشهای انتگرالی، قضایای جمع (مسئله ۲۰.۱۰۱۱)، و کرانه‌های بالا و پایین (مسئله ۱۰.۱۰۱۱) بسیار مناسب است. ولی شاید خواننده خود پی برده باشد که تابع مولد، فقط توابع بسل با مرتبه عدد درست،  $J_0$ ،  $J_1$ ،  $J_2$ ، و جزاینها را تعریف کرده است. برای رهیافت تابع مولد این محدودیت بزرگی به شمار می‌آید. ولی با بهره‌گیری از سری معادله (۵.۱۱) به عنوان يك تعریف جدید می‌توان تابع نوع اول بسل  $J_\nu(x)$  را به ازای  $\nu$  غیر عدد درست نیز به آسانی تعریف کرد.

درستی روابط بازگشتی را می‌توان با نشان دادن در صورت سری  $J_\nu(x)$  تحقیق کرد (مسئله ۷.۱۰۱۱). از این روابط، معادله بسل به دست می‌آید. در واقع اگر  $\nu$  عدد درستی نباشد، عملاً ساده‌سازی مهمی در اختیار داریم. دیده می‌شود که  $J_\nu(x)$  و  $J_{-\nu}(x)$  مستقل‌اند، زیرا، رابطه‌ای به صورت معادله (۸.۱۱) وجود ندارد. از سوی دیگر به ازای  $\nu = n$ ، که عدد درستی است، به يك جواب دیگر نیاز داریم. بسط این جواب دوم و بررسی خواص آن بحث بخش ۳.۱۱ را تشکیل می‌دهد.

### مسائل

۱۰.۱۰۱۱ به کمک حاصلضرب توابع مولد  $g(x, t) \cdot g(x, -t)$  نشان دهید

$$1 = [J_0(x)]^2 + 2[J_1(x)]^2 + 2[J_2(x)]^2 + \dots$$

و بنابراین نشان دهید که به ازای  $n = 1, 2, 3, \dots$  داریم:

$$|J_n(x)| \leq 1/\sqrt{2} \quad \text{و} \quad |J_0(x)| \leq 1$$

دهنمایی. از یکتایی سری توانی، بخش ۷.۵ (جلد اول)، بهره‌گیرید.

۲۰.۱۰۱۱ با استفاده از يك تابع مولد  $g(x, t) = g(u+v, t) = g(u, t) \cdot g(v, t)$  نشان دهید

$$J_n(u+v) = \sum_{s=-\infty}^{\infty} J_s(u) \times J_{n-s}(v) \quad (\text{الف})$$

$$J_0(u+v) = J_0(u)J_0(v) + 2 \sum_{s=1}^{\infty} J_s(u)J_{-s}(v) \quad (\text{ب})$$

این دو عبارت، فضایی جمع برای توابع بسل به شمار می آیند.

۳۰۹۰۱۱ تنها با استفاده از تابع مولد

$$e^{(x/2)(t-1/t)} = \sum_{n=-\infty}^{\infty} J_n(x)t^n$$

و بدون استفاده از صورت صریح سری  $J_n(x)$ ، نشان دهید که  $J_n(x)$  بر حسب اینکه  $n$  زوج یا فرد باشد، دارای پاریته زوج یا فرد است، یعنی<sup>۱</sup>

$$J_n(x) = (-1)^n J_n(-x)$$

۳۰۹۰۱۱ بسط ژاکوبی-آنزله را استخراج کنید

$$e^{iz \cos \theta} = \sum_{m=-\infty}^{\infty} i^m J_m(z) e^{im\theta}$$

این عبارت بسط یک موج تخت به صورت یک سری از امواج استوانه ای است.

۵۰۹۰۱۱ نشان دهید که

$$\cos x = J_0(x) + 2 \sum_{n=1}^{\infty} (-1)^n J_{2n}(x) \quad (\text{الف})$$

$$\sin x = 2 \sum_{n=1}^{\infty} (-1)^{n+1} J_{2n+1}(x) \quad (\text{ب})$$

۶۰۹۰۱۱ برای آنکه تابع مولد از قلمرو جادوگری بیرون آید، نشان دهید که می توان آن را از رابطه بازگشتی، معادله (۱۰.۱۱)، استخراج کرد. راهنمایی. ۱. تابع مولدی به صورت زیر فرض کنید

$$g(x, t) = \sum_{n=-\infty}^{\infty} J_n(x)t^n$$

۱. این خاصیت را می توان با بهره گیری از صورت سری [معادله (۵.۱۱)] به آسانی نشان داد.

۲. معادله (۱۰.۱۱) را در  $t^n$  ضرب کنید و روی  $n$  جمع بزنید.  
 ۳. نتیجه را به صورت زیر بنویسید

$$\left(t + \frac{1}{t}\right) g(x, t) = \frac{2t}{x} \frac{\partial g(x, t)}{\partial t}$$

۴. انتگرال بگیرد و تابع انتگرالگیری (تابعی از  $x$ ) را چنان تنظیم کنید که ضریب  $t^0$  برابر مقداری چون  $J_0(x)$  باشد که از معادله (۵.۱۱) به دست می آید.

۷.۱.۱۱ با مشتقگیری مستقیم نشان دهید که دورابطه بازگشتی

$$J_{\nu-1}(x) + J_{\nu+1}(x) = \frac{2\nu}{x} J_{\nu}(x)$$

$$J_{\nu-1}(x) - J_{\nu+1}(x) = 2J'_{\nu}(x)$$

و معادله دیفرانسیل بسل

$$x^2 J''_{\nu}(x) + x J'_{\nu}(x) + (x^2 - \nu^2) J_{\nu}(x) = 0$$

در عبارت  $J_{\nu}(x) = \sum_{s=0}^{\infty} \frac{(-1)^s}{s!(s+\nu)!} \left(\frac{x}{2}\right)^{\nu+2s}$  صلق می کنند.

۸.۱.۱۱ ثابت کنید

$$\frac{\sin x}{x} = \int_0^{\pi/2} J_0(x \cos \theta) \cos \theta d\theta \quad (\text{الف})$$

$$\frac{1 - \cos x}{x} = \int_0^{\pi/2} J_1(x \cos \theta) d\theta \quad (\text{ب})$$

دائمیابی. انتگرال معین زیر سودمند واقع خواهد شد

$$\int_0^{\pi/2} \cos^{2s+1} \theta d\theta = \frac{2 \times 4 \times 6 \dots (2s)}{1 \times 3 \times 5 \dots (2s+1)}$$

۹.۱.۱۱ نشان دهید

$$J_0(x) = \frac{2}{\pi} \int_0^1 \frac{\cos xt}{\sqrt{1-t^2}} dt$$

این انتگرال تبدیلی به صورت کسینوس فوریه است (با بخش ۳.۱۵ مقایسه کنید). تبدیل سینوس فوریه متناظر، یعنی

$$J_0(x) = \frac{2}{\pi} \int_0^{\infty} \frac{\sin xt}{\sqrt{t^2 - 1}} dt$$

در بخش ۴.۱۱، با استفاده از نمایش انتگرالی تابع هنکل به دست می آید.

۱۵۰.۱۱۱ رابطه زیر را استخراج کنید

$$J_n(x) = (-1)^n x^n \left( \frac{d}{x dx} \right)^n J_0(x)$$

دانهایی. از استقرای ریاضی بهره گیرید.

۱۱۰.۱۱۱ نشان دهید که بین هر دو صفر متوالی تابع  $J_n(x)$ ، فقط فقط یک صفر برای  $J_{n+1}(x)$  وجود دارد.

دانهایی. معادله‌های (۱۵.۱۱) و (۱۷.۱۱) سودمند خواهند بود.

۱۴۰.۱۱۱ تحلیل نقشهای تابشی آنتن که به سیستمی با دهانه دایره‌ای مربوط باشند، شامل معادله زیر است

$$g(u) = \int_0^1 f(r) J_0(ur) r dr$$

اگر  $f(r) = 1 - r^2$ ، نشان دهید که

$$g(u) = \frac{2}{u^2} J_2(u)$$

۱۳۰.۱۰۱۱ سطح مقطع دیفرانسیلی در یک آزمایش پراکندگی هسته‌ای از رابطه  $d\sigma/d\Omega = |f(\theta)|^2$  به دست می آید. یک بررسی تقریبی به رابطه زیر می انجامد

$$f(\theta) = \frac{-ik}{2\pi} \int_0^{2\pi} \int_0^R \exp[ik\rho \sin\theta \sin\varphi] \rho d\rho d\varphi$$

در اینجا  $\theta$  زاویه‌ای است که ذره پراکنده، تحت آن پراکنده می شود.  $R$  شعاع هسته است. نشان دهید که

$$\frac{d\sigma}{d\Omega} = (\pi R^2)^2 \frac{1}{\pi} \left[ \frac{J_1(kR \sin\theta)}{\sin\theta} \right]^2$$

۱۴.۱۰.۱۱ مجموعه‌ای از توابع،  $C_n(x)$ ، در روابط بازگشتی زیر صدق می‌کنند

$$C_{n-1}(x) - C_{n+1}(x) = \frac{2n}{x} C_n(x)$$

$$C_{n-1}(x) + C_{n+1}(x) = 2C_n'(x)$$

(الف)  $C_n(x)$ ها در کدام معادله دیفرانسیل خطی مرتبه دوم صدق می‌کنند؟

(ب) این معادله دیفرانسیل را با یک تغییر متغیر به معادله بسل تبدیل کنید. این کار نشان می‌دهد که  $C_n(x)$  را می‌توان بر حسب توابع بسل با شناسه تبدیل یافته مشخص کرد.

۱۵.۱۰.۱۱ ذره‌ای (به جرم  $m$ ) در یک جعبه استوانه‌ای توخالی قائم به شعاع  $R$  و ارتفاع  $H$  قرار دارد. ذره با تابع موجی توصیف می‌شود که در معادله موج شرودینگر

$$-\frac{\hbar^2}{2m} \nabla^2 \psi(\rho, \varphi, z) = E \psi(\rho, \varphi, z)$$

صدق کند و این شرط را بر آورد که تابع موج روی سطح جعبه صفر شود. کمترین انرژی مجاز (انرژی نقطه صفر) را محاسبه کنید.

$$\text{پاسخ. } E = \frac{\hbar^2}{2m} \left[ \left( \frac{z_{pq}}{R} \right)^2 + \left( \frac{n\pi}{H} \right)^2 \right]$$

که در آن  $z_{pq}$ ،  $q$ امین صفر  $J_p$  است، شاخص پایین  $p$  را وابستگی سمتی تعیین می‌کند

$$E_{\min} = \frac{\hbar^2}{2m} \left[ \left( \frac{2.405}{R} \right)^2 + \left( \frac{\pi}{H} \right)^2 \right]$$

۱۶.۱۰.۱۱ (الف) از طریق مشتقگیری مستقیم و جانمایی، نشان دهید که معادله

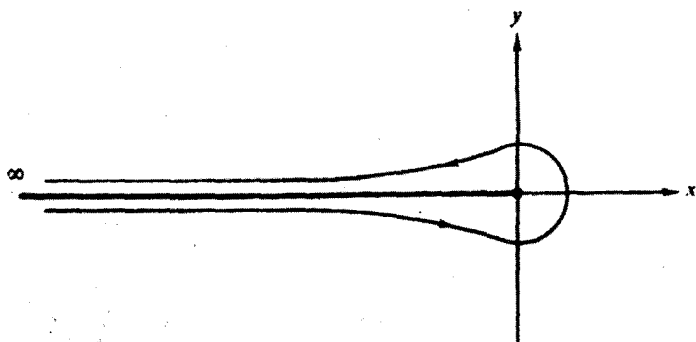
$$J_\nu(x) = \frac{1}{\sqrt{\pi i}} \int_c e^{(x/2)(t-1/t)} t^{-\nu-1} dt$$

یا معادله هم‌ارز آن، یعنی

$$J_\nu(x) = \frac{1}{\sqrt{\pi i}} \left( \frac{x}{2} \right)^\nu \int e^{-s^2/x^2} s^{-\nu-1} ds$$

در معادله بسل صدق می‌کند.  $C$  پربندی است که در شکل ۵.۱۱ نشان داده شده است. محور حقیقی منفی خط برش است.

(دهنمایی). (پس از نشان دادن در معادله دیفرانسیل بسل) نشان دهید که تمامی انتگرالده را می‌توان به صورت مشتق کامل زیر نوشت



شکل ۵۰۱۱ پربند تابع بسل.

$$\frac{d}{dt} \left\{ \exp \left[ \frac{x}{\nu} \left( t - \frac{1}{t} \right) \right] t^{-\nu} \left[ \nu + \frac{x}{\nu} \left( t + \frac{1}{t} \right) \right] \right\}$$

(ب) نشان دهید که اولین انتگرال (به ازای عدد درستی مانند  $n$ ) را می‌توان به صورت زیر تبدیل کرد

$$\begin{aligned} J_n(x) &= \frac{1}{2\pi} \int_0^{2\pi} e^{i(x \sin \theta - n\theta)} d\theta \\ &= \frac{i^{-n}}{2\pi} \int_0^{2\pi} e^{i(x \cos \theta + n\theta)} d\theta \end{aligned}$$

۱۷۰۱۰۱۱ پربند  $C$  در مسئله ۱۶۰۱۰۱۱ به مسیر  $-\infty$  تا  $-1$ ، دایره به شعاع واحد از  $e^{-i\pi}$  تا  $e^{i\pi}$ ، و سرانجام از  $-1$  تا  $-\infty$ ، تغییر داده می‌شود. نشان دهید که

$$J_\nu(x) = \frac{1}{\pi} \int_0^\pi \cos(\nu\theta - x \sin \theta) d\theta - \frac{\sin \nu\pi}{\pi} \int_0^\infty e^{(-\nu\theta - x \sinh \theta)} d\theta$$

این عبارت، انتگرال بسل است. (اذهنمایی. مقادیر منفی متغیر انتگرال‌گیری،  $u$ ، را می‌توان با تغییر متغیر زیر بررسی کرد

$$u = te^{\pm i\pi}$$

۱۸۰۱۰۱۱ (الف) نشان دهید که

$$J_\nu(x) = \frac{\nu}{\pi^{1/2} \left(\nu - \frac{1}{2}\right)!} \left(\frac{x}{\nu}\right)^\nu \int_0^{\pi/2} \cos(x \sin \theta) \cos^{\nu-1} \theta d\theta$$

که در آن  $v > -1/2$ .

۱) راهنمایی. در اینجا می‌توان از بسط سری و انتگرالگیری جمله به جمله استفاده کرد.  
 فرمولهای بخش ۴۰۱۰ در این مورد مفید واقع می‌شوند.  
 (ب) انتگرال بند (الف) را به صورت زیر تبدیل کنید

$$\begin{aligned} J_\nu(x) &= \frac{1}{\pi^{1/2} \left(\nu - \frac{1}{2}\right)!} \left(\frac{x}{2}\right)^\nu \int_0^\pi \cos(x \cos \theta) \sin^{2\nu} \theta \, d\theta \\ &= \frac{1}{\pi^{1/2} \left(\nu - \frac{1}{2}\right)!} \left(\frac{x}{2}\right)^\nu \int_0^\pi e^{\pm ix \cos \theta} \sin^{2\nu} \theta \, d\theta \\ &= \frac{1}{\pi^{1/2} \left(\nu - \frac{1}{2}\right)!} \left(\frac{x}{2}\right)^\nu \int_{-1}^1 e^{\pm ipx} (1-p^2)^{\nu-1/2} dp \end{aligned}$$

این عبارتها نمایشهای انتگرالی مختلف برای  $J_\nu(x)$  به شمار می‌آیند.

۱۹۰۱۰۱۱ (الف) از

$$J_\nu(x) = \frac{1}{\sqrt{\pi} i} \left(\frac{x}{2}\right)^\nu \int t^{-\nu-1} e^{i(x/2)(t-1/t)} dt$$

رابطه بازگشتی زیر را استخراج کنید

$$J'_\nu(x) = \frac{\nu}{x} J_\nu(x) - J_{\nu+1}(x)$$

(ب) از

$$J_\nu(x) = \frac{1}{\sqrt{\pi} i} \int t^{-\nu-1} e^{(x/2)(t-1/t)} dt$$

رابطه بازگشتی زیر را استخراج کنید

$$J'_\nu(x) = \frac{1}{\sqrt{\pi}} J_{\nu-1}(x) - \frac{1}{\sqrt{\pi}} J_{\nu+1}(x)$$

۲۰۰۱۰۱۱ نشان دهید که رابطه بازگشتی

$$J'_n(x) = \frac{1}{\sqrt{\pi}} [J_{n-1}(x) - J_{n+1}(x)]$$



مستقیماً با مشتقگیری از رابطه زیر به دست می آید

$$J_n(x) = \frac{1}{\pi} \int_0^\pi \cos(n\theta - x \sin \theta) d\theta$$

۲۱.۱۰.۱۱ انتگرال زیر را حساب کنید

$$\int_0^\infty e^{-ax} J_0(bx) dx, \quad a, b > 0$$

نتیجه در واقع به ازای  $a \geq 0$  و  $-\infty < b < \infty$  برقرار است. این، تبدیل لاپلاس  $J_0$  است.

داهنمایی. از یک نمایش انتگرالی  $J_0$  یا یک بسط سری بهره گیرید.

۲۲.۱۰.۱۱ با استفاده از صورتهای مثلثاتی، تحقیق کنید که

$$J_0(br) = \frac{1}{\pi} \int_0^{2\pi} e^{ibr \sin \theta} d\theta$$

۲۳.۱۰.۱۱ (الف) شدت  $[P^2]$  در معادله (۳۵.۱۱) را به صورت تابعی از  $(\sin \alpha / \lambda)$  در امتداد یک قطر نقش پراش دایره‌ای، ترسیم کنید. مکان دو کمینه اول را تعیین کنید.

(ب) چه کسری از کل شدت نور در بیشینه مرکزی فرود می آید؟

داهنمایی. کمیت  $[J_1(x)]^2/x$  را می شود به صورت یک مشتق نوشت و انتگرال سطحی شدت را محاسبه کرد.

۲۴.۱۰.۱۱ کسری از نور فرودی بر یک دهانه دایره‌ای (فرود قائم) که گسیل می یابد از رابطه زیر به دست می آید

$$T = 2 \int_0^{2ka} J_1(x) \frac{dx}{x} - \frac{1}{2ka} \int_0^{2ka} J_2(x) dx$$

در اینجا  $a$  شعاع دهانه و  $k$  عدد موج، یعنی  $2\pi/\lambda$ ، است. نشان دهید که

$$T = 1 - \frac{1}{ka} \sum_{n=0}^{\infty} J_{2n+1}(2ka) \quad (\text{الف})$$

$$T = 1 - \frac{1}{2ka} \int_0^{2ka} J_0(x) dx \quad (\text{ب})$$

۲۵.۱۰۱۱ دامنه،  $U(\rho, \varphi, t)$ ، يك غشای دایره‌ای مرتعش به شعاع  $a$ ، در معادله موج زیر صدق می‌کند

$$\nabla^2 U - \frac{1}{v^2} \frac{\partial^2 U}{\partial t^2} = 0$$

در اینجا  $V$  سرعت فاز موج است که با استفاده از ثابتهای کشسانی و عامل میران موجود تعیین می‌شود.

(الف) نشان دهید یکی از جوابها عبارت است از

$$U(\rho, \varphi, t) = J_m(k\rho)(a_1 e^{im\varphi} + a_2 e^{-im\varphi})(b_1 e^{i\omega t} + b_2 e^{-i\omega t})$$

(ب) با استفاده از شرط مرزی دیریکله،  $J_m(ka) = 0$ ، مقادیر مجاز طول موج  $\lambda$  را به دست آورید ( $k = 2\pi/\lambda$ ).

یادآوری. علاوه بر  $J_m$ ، توابع بسل دیگری نیز وجود دارد ولی همه آنها در  $\rho = 0$  واگرا می‌شوند. این نکته را صریحاً در بخش ۳.۱۱ نشان می‌دهیم. در واقع این رفتار واگرا به صورت ضمنی در معادله (۶.۱۱) پیداست.

۲۶.۱۰۱۱ مدهای TM به عنوان نوسان کاواکی الکترومغناطیسی در مثال ۲.۱۰۱۱ توصیف شدند. مدهای عرضی الکتریکی (TE) این تفاوت را دارند که در مورد آنها با مؤلفه  $z$  القای مغناطیسی  $\mathbf{B}$  کار می‌کنیم

$$\nabla^2 B_z + \alpha^2 B_z = 0$$

با این شرایط مرزی که

$$B_z(0) = B_z(l) = 0 \quad \text{و} \quad \left. \frac{\partial B_z}{\partial \rho} \right|_{\rho=a} = 0$$

نشان دهید که بسامدهای مشدد TE از رابطه زیر به دست می‌آیند

$$\omega_{mnp} = c \sqrt{\frac{\beta_{mn}^2}{a^2} + \frac{p^2 \pi^2}{l^2}}, \quad p = 1, 2, 3, \dots$$

۲۷.۱۰۱۱ سه بسامد از پایتترین بسامدهای تشدید زاویه‌ای TM و سه بسامد از پایتترین بسامدهای تشدید زاویه‌ای TE،  $\omega_{mnp}$ ، را به صورت تابعی از نسبت شعاع تقسیم بر طول ( $a/l$ ) به ازای  $0 \leq a/l \leq 1$  ترسیم کنید.

داهنمایی.  $\omega^2$  (بر حسب واحد  $c^2/a^2$ ) را بر حسب  $(a/l)^2$  ترسیم کنید. آیا دلیل این انتخاب را می دانید؟

۲۸.۱۰۱۱ يك قرص رسانای نازك به شعاع  $a$  حامل بار  $q$  است. نشان دهید پتانسیل با رابطه زیر توصیف می شود

$$\varphi(r, z) = \frac{q}{4\pi\epsilon_0 a} \int_0^\infty e^{-k|z|} J_0(kr) \frac{\sin ka}{k} dk$$

که در آن  $J_0$  تابع بسل معمولی است و  $r$  و  $z$  همان مختصات استوانه ای اند که با آنها آشنایم.

یادآوری. این مسئله دشوار است. یکی از رهیافتهای ممکن، بهره گیری از تبدیلهای فوریه، به شکل مسئله ۱۱.۳.۱۵، است. بحث درباره این مسئله فیزیکی را می توانید در کتاب جکسون (*Classical Electrodynamics*) بیابید.

۲۹.۱۰۱۱ نشان دهید

$$\int_0^a x^m J_n(x) dx, \quad m \geq n \geq 0$$

(الف) به ازای  $m+n$  فرد، بر حسب توابع بسل و توانهای  $x$  انتگرال پذیر است [مانند  $[a^p J_p(a)]$ .

(ب) به ازای  $m+n$  زوج، می توان آن را به جملات انتگرال گیری شده به اضافه  $\int_0^a J_0(x) dx$  تقلیل داد.

۳۰.۱۰۱۱ نشان دهید که

$$\int_0^{\alpha_{0n}} \left(1 - \frac{y}{\alpha_{0n}}\right) J_0(y) y dy = \frac{1}{\alpha_{0n}} \int_0^{\alpha_{0n}} J_0(y) dy$$

در اینجا  $\alpha_{0n}$  عبارت است از  $n$ مین ریشه  $J_0(y)$ . این رابطه در محاسبه با ماشین به کار می آید (مسئله ۱۱.۲.۱۱). عبارت سمت راست را آسانتر و سریعتر و بسیار دقیقتر - می شود محاسبه کرد. با در نظر گرفتن تفاضل دو جمله عبارت سمت چپ خطای نسبی زیادی ایجاد می شود.

۳۱.۱۰۱۱ برنامه ای بنویسید که ریشه های متوالی تابع بسل  $J_n(x)$ ، یعنی  $\alpha_{nr}$  مربوط به  $J_n(\alpha_{nr}) = 0$ ، را محاسبه کند. پنج ریشه اول  $J_0$ ،  $J_1$ ،  $J_2$ ،  $J_3$  و  $J_4$  را جدول بندی کنید.

داهنمایی. برای تکنیکهای ریشه یابی و توصیه هایی در این باره پیوست ۱ را ببینید.

مقدار آزمونی.  $\alpha_{12} = 7701559$ .

- ۳۲.۱.۱۱ دامنه پراش دهانه دایره‌ای،  $\mathbb{Q}$ ، در معادله (۳۵.۱۱)، متناسب است با  $f(z) = J_1(z)/z$ . دامنه پراش تک‌شکافی متناظر متناسب است با  $g(z) = \sin z/z$ .
- (الف)  $f(z)$  و  $g(z)$  را به‌ازای  $z = 0.0(0.2)1.2$  محاسبه و ترسیم کنید.
- (ب) دومقدار از کمترین مقادیر  $z (z > 0)$  را که به‌ازای آنها  $f(z)$  يك مقدار فرین می‌یابد، پیدا کنید. مقادیر متناظر  $f(z)$  را محاسبه کنید.
- (ج) دومقدار از کمترین مقادیر  $z (z > 0)$  را که به‌ازای آنها  $g(z)$  يك مقدار فرین می‌یابد پیدا کنید. مقادیر متناظر  $g(z)$  را محاسبه کنید.

۳۳.۱.۱۱ پتانسیل الکتروستاتیکی يك قرص باردار،  $q(r, z)/(q/4\pi\epsilon_0 a)$ ، را به‌کمک صورت انتگرالی مسئله ۲۸.۱.۱۱ محاسبه کنید. پتانسیل را به‌ازای  $r/a = 0.0(0.5)2.0$  و  $z/a = 0.25(0.75)1.25$  محاسبه کنید. چرا  $z/a = 0$  حذف شده است؟ مسئله ۱۷.۳.۱۲، همین مسئله است به‌روایت هماهنگهای کروی.

دانهمایی. يك کوادراتور گاوس-لاگر، پیوست ۲، را به‌کار بگیرید.

### ۲.۱۱ تعامد

اگر معادله بسل، معادله (۲۲.۱۱ الف)، را بر  $x$  تقسیم کنیم، خود-الحاقی می‌شود. از این رو، بنا بر نظریه اشتورم-لیوویل، بخش ۲.۹، انتظار می‌رود اگر بتوانیم ترتیبی اتخاذ کنیم که شرایط مرزی مناسب در مسئله صدق کنند، جوابها متعامد باشند. برای برقراری شرایط مرزی در بازه متناهی  $[0, a]$ ، پارامترهای  $a$  و  $\alpha_{\nu m}$  را در شناسه  $J_\nu$  وارد می‌کنیم تا  $J_\nu(\alpha_{\nu m} \rho/a)$  را به‌دست آوریم.  $a$  در اینجا حد بالای مختصه شعاعی استوانه‌ای،  $\rho$ ، است. از معادله (۲۲.۱۱ الف) داریم

$$\rho \frac{d^2}{d\rho^2} J_\nu\left(\alpha_{\nu m} \frac{\rho}{a}\right) + \frac{d}{d\rho} J_\nu\left(\alpha_{\nu m} \frac{\rho}{a}\right) + \left(\frac{\alpha_{\nu m}^2 \rho}{a^2} - \frac{\nu^2}{\rho}\right) J_\nu\left(\alpha_{\nu m} \frac{\rho}{a}\right) = 0 \quad (45.11)$$

پس از نشان دادن پارامتر  $\alpha_{\nu m}$  به‌جای  $\alpha_{\nu n}$ ، می‌بینیم که  $J_\nu(\alpha_{\nu n} \rho/a)$  در رابطه زیر صدق می‌کند

$$\rho \frac{d^2}{d\rho^2} J_\nu\left(\alpha_{\nu n} \frac{\rho}{a}\right) + \frac{d}{d\rho} J_\nu\left(\alpha_{\nu n} \frac{\rho}{a}\right) + \left(\frac{\alpha_{\nu n}^2 \rho}{a^2} - \frac{\nu^2}{\rho}\right) J_\nu\left(\alpha_{\nu n} \frac{\rho}{a}\right) = 0 \quad (\text{الف } 45.11)$$

در ادامه کار، مانند بخش ۲.۹، معادله (۴۵.۱۱) را در  $J_\nu(\alpha_{\nu n} \rho/a)$  و معادله (۴۵.۱۱) الف) را در  $J_\nu(\alpha_{\nu m} \rho/a)$  ضرب و از هم کم می‌کنیم، در نتیجه

$$J_\nu\left(\alpha_{\nu n} \frac{\rho}{a}\right) \frac{d}{d\rho} \left[ \rho \frac{d}{d\rho} J_\nu\left(\alpha_{\nu m} \frac{\rho}{a}\right) \right] - J_\nu\left(\alpha_{\nu m} \frac{\rho}{a}\right) \frac{d}{d\rho} \left[ \rho \frac{d}{d\rho} J_\nu\left(\alpha_{\nu n} \frac{\rho}{a}\right) \right]$$

$$= \frac{\alpha_{\nu n}^\gamma - \alpha_{\nu m}^\gamma}{a^\gamma} \rho J_\nu\left(\alpha_{\nu m} \frac{\rho}{a}\right) J_\nu\left(\alpha_{\nu n} \frac{\rho}{a}\right) \quad (۴۶.۱۱)$$

از  $\rho = 0$  تا  $\rho = a$  انتگرال می‌گیریم، داریم

$$\int_0^a J_\nu\left(\alpha_{\nu n} \frac{\rho}{a}\right) \frac{d}{d\rho} \left[ \rho \frac{d}{d\rho} J_\nu\left(\alpha_{\nu m} \frac{\rho}{a}\right) \right] d\rho$$

$$- \int_0^a J_\nu\left(\alpha_{\nu m} \frac{\rho}{a}\right) \frac{d}{d\rho} \left[ \rho \frac{d}{d\rho} J_\nu\left(\alpha_{\nu n} \frac{\rho}{a}\right) \right] d\rho$$

$$= \frac{\alpha_{\nu n}^\gamma - \alpha_{\nu m}^\gamma}{a^\gamma} \int_0^a J_\nu\left(\alpha_{\nu m} \frac{\rho}{a}\right) J_\nu\left(\alpha_{\nu n} \frac{\rho}{a}\right) \rho d\rho \quad (۴۷.۱۱)$$

با انتگرالگیری جزء به جزء می‌بینیم که سمت چپ معادله (۴۷.۱۱) عبارت خواهد بود از

$$\left| \rho J_\nu\left(\alpha_{\nu n} \frac{\rho}{a}\right) \frac{d}{d\rho} J_\nu\left(\alpha_{\nu m} \frac{\rho}{a}\right) \right|_0^a - \left| \rho J_\nu\left(\alpha_{\nu m} \frac{\rho}{a}\right) \frac{d}{d\rho} J_\nu\left(\alpha_{\nu n} \frac{\rho}{a}\right) \right|_0^a$$

$$(۴۸.۱۱)$$

به‌ازای  $\nu \geq 0$ ، عامل  $\rho$  وجود صفری را در حد پایین،  $\rho = 0$ ، تضمین می‌کند. در واقع حد پایین  $\nu$  را می‌توان تا  $-1 < \nu$  پایین آورد (مسئله ۴.۲.۱۱). در  $\rho = a$ ، اگر هریک از پارامترهای  $\alpha_{\nu m}$  و  $\alpha_{\nu n}$  را چنان برگزینیم که صفرها یا ریشه‌های  $J_\nu$  باشند، یعنی  $J_\nu(\alpha_{\nu m}) = 0$ ، آنگاه هریک از عبارتها صفر خواهند شد. با این تعریف مفهوم شاخصهای پایین روشن می‌شود:  $\alpha_{\nu m}$  عبارت است از  $m$  امین صفر  $J_\nu$ .

سمت چپ، با این‌گونه پارامترها صفر می‌شود (شرایط مرزی اشتورم-لیوویل بر آورده می‌شوند) و به‌ازای  $m \neq n$

$$\int_0^a J_\nu\left(\alpha_{\nu m} \frac{\rho}{a}\right) J_\nu\left(\alpha_{\nu n} \frac{\rho}{a}\right) \rho d\rho = 0 \quad (۴۹.۱۱)$$

این عبارت، تعامد روی بازه  $[0, a]$  را نشان می‌دهد.

بهنجارش

انتگرال بهنجارش را می‌توان با قرارداد  $\alpha_{\nu n} = \alpha_{\nu m} + \varepsilon$  در معادله (۴۸.۱۱) و گرفتن حد  $\varepsilon \rightarrow 0$  تشکیل داد (با مسئله ۲.۲.۱۱ مقایسه کنید). با کمک رابطه بازگشتی، می‌توان معادله (۱۶.۱۱) حاصل را به صورت زیر نوشت

$$\int_0^a \left[ J_\nu \left( \alpha_{\nu m} \frac{\rho}{a} \right) \right]^2 \rho d\rho = \frac{a^2}{\nu} [J_{\nu+1}(\alpha_{\nu m})]^2 \quad (50.11)$$

سری بسل

اگر مجموعه توابع بسل  $J_\nu(\alpha_{\nu m} \rho/a)$  ( $\nu$  معین،  $m=1, 2, 3, \dots$ ) را کامل فرض کنیم، آنگاه هر تابع خوش رفتار، و از هر نظر دیگری اختیاری،  $f(\rho)$  را می‌شود به صورت یک سری بسل (بسل-فوریه یا فوریه-بسل) بسط داد

$$f(\rho) = \sum_{m=1}^{\infty} c_{\nu m} J_\nu \left( \alpha_{\nu m} \frac{\rho}{a} \right), \quad 0 \leq \rho \leq a, \quad \nu > -1 \quad (51.11)$$

ضرایب  $c_{\nu m}$ ، با استفاده از معادله (۵۰.۱۱) تعیین می‌شوند

$$c_{\nu m} = \frac{2}{a^2 [J_{\nu+1}(\alpha_{\nu m})]^2} \int_0^a f(\rho) J_\nu \left( \alpha_{\nu m} \frac{\rho}{a} \right) \rho d\rho \quad (52.11)$$

مسائل ۳.۲.۱۱ و ۶.۲.۱۱ (ب) شامل بسط سری مشابهی اند بر حسب:  $J_\nu(\beta_{\nu m} \rho/a)$  با  $(d/d\rho) J_\nu(\beta_{\nu m} \rho/a)|_{\rho=a} = 0$

مثال ۱۰.۳.۱۱ پتانسیل الکتروستاتیکی در استوانه توخالی

جواب معادله لاپلاس در مختصات استوانه‌ای، با استفاده از جدول ۲.۸ در بخش ۳.۸ (و نشاندن  $k$  به جای  $\alpha$ )، ترکیبی خطی است از توابع زیر

$$\psi_{km}(\rho, \varphi, z) = P_{km}(\rho) \Phi_m(\varphi) Z_k(z) \quad (53.11)$$

$$= J_m(k\rho) \cdot [a_m \sin m\varphi + b_m \cos m\varphi] \cdot [c_k e^{kz} + c_k e^{-kz}]$$

ترکیب خطی مورد نظر به کمک شرایط مرزی که باید بر آورده شوند، معین می‌شود. شعاع استوانه  $a$  و ارتفاع آن  $l$  است. توزیع پتانسیل بخش انتهایی بالایی آن به صورت  $\psi(\rho, \varphi)$  است. پتانسیل در هر جای دیگری روی سطح صفر است. اینک، مسئله عبارت است از یافتن پتانسیل الکتروستاتیکی، در هر جای درون استوانه، به صورت

۱. اگر به ازای  $l, z=0$ ، داشته باشیم  $\psi=0$ ، ولی به ازای  $\rho=a$  داشته باشیم  $\psi \neq 0$ ، توابع تعدیل یافته بسل، بخش ۵.۱۱، را خواهیم داشت.

$$\psi(\rho, \varphi, z) = \sum_{k, m} \psi_{km}(\rho, \varphi, z) \quad (۵۴.۱۱)$$

برای راحتی، مختصات استوانه‌ای را به صورتی که در شکل ۴.۱۱ نشان داده شد در نظر می‌گیریم. از آنجا که  $\psi(\rho, \varphi, 0) = 0$  می‌گیریم  $c_1 = -c_2 = 1/2$ . وابستگی به  $z$  به صورت  $\sinh kz$  درمی‌آید که در  $z=0$  صفر می‌شود. شرط  $\psi=0$  روی سطح جانبی استوانه، با در نظر گرفتن ثابت جداسازی  $k$  به صورت زیر، صدق می‌کند

$$k = k_{mn} = \alpha_{mn}/a \quad (۵۵.۱۱)$$

که در آن اولین شاخص پایین، شاخص تابع بسل را به دست می‌دهد، و دومین شاخص پایین، صفر به خصوصی از  $J_m$  را مشخص می‌کند. پتانسیل الکتروستاتیکی به صورت زیر درمی‌آید

$$\psi(\rho, \varphi, z) = \sum_{m=0}^{\infty} \sum_{n=1}^{\infty} J_m(\alpha_{mn} \frac{\rho}{a}) \cdot [a_{mn} \sin m\varphi + b_{mn} \cos m\varphi] \cdot \sinh(\alpha_{mn} \frac{z}{a}) \quad (۵۶.۱۱)$$

معادله (۵۶.۱۱) یک سری دوگانه است: یک سری بسل بر حسب  $\rho$  و یک سری فوریه بر حسب  $\varphi$ .

به ازای  $z=l$ ، داریم  $\psi = \psi(\rho, \varphi)$ ، یعنی تابع معلومی از  $\rho$  و  $\varphi$ . از این رو

$$\psi(\rho, \varphi) = \sum_{m=0}^{\infty} \sum_{n=1}^{\infty} J_m(\alpha_{mn} \frac{\rho}{a}) \cdot [a_{mn} \sin m\varphi + b_{mn} \cos m\varphi] \cdot \sinh(\alpha_{mn} \frac{l}{a}) \quad (۵۷.۱۱)$$

ثابت‌های  $a_{mn}$  و  $b_{mn}$  با استفاده از معادله‌های (۴۹.۱۱) و (۵۰.۱۱) و معادله‌های متناظر برای  $\sin \varphi$  و  $\cos \varphi$  [مثال ۱۰.۲.۹ و معادله‌های (۷.۱۴) تا (۹.۱۴)]، محاسبه می‌شوند. خواهیم یافت<sup>۱</sup>

$$\left. \begin{matrix} a_{mn} \\ b_{mn} \end{matrix} \right\} = \frac{1}{2} \left[ \pi a^2 \sinh(\alpha_{mn} \frac{l}{a}) J_{m+1}(\alpha_{mn}) \right]^{-1} \cdot \int_0^{2\pi} \int_0^a \psi(\rho, \varphi) J_m(\alpha_{mn} \frac{\rho}{a}) \begin{cases} \sin m\varphi \\ \cos m\varphi \end{cases} \rho d\rho d\varphi \quad (۵۸.۱۱)$$

اینها، انتگرالهایی معین هستند، یعنی عددند. با نشان دادن در معادله (۵۶.۱۱)، سری مشخص و پتانسیل  $\psi(\rho, \varphi, z)$  تعیین می‌شود. بدینسان مسئله حل شده است.

۱. اگر  $m=0$ ، آنگاه ضریب ۲ حذف می‌شود [با معادله (۸.۱۴) مقایسه کنید].

## صورت پیوستاری

سری بسل، معادله (۵۱.۱۱) و مسئله ۶.۲.۱۱، برای بسط روی يك بازه متناهی  $[0, a]$  به کار می رود. اگر  $a \rightarrow \infty$ ، آنگاه می توان انتظار داشت که صورتهای سری به انتگرال بدل شوند. ریشه های گسسته  $\alpha_{pm}$  به متغیر پیوسته  $\alpha$  تبدیل می شوند. همین وضعیت در مورد سری فوریه بخش ۲.۱۴ نیز پیش می آید. بسط انتگرال بسل از سری بسل به عنوان مسئله ۸.۲.۱۱ مطرح شده است.

معادله بستاری تابع بسل به این قرار

$$\int_0^{\infty} J_\nu(\alpha\rho)J_\nu(\alpha'\rho)\rho d\rho = \frac{1}{\alpha} \delta(\alpha - \alpha'), \quad \nu > -\frac{1}{2} \quad (59.11)$$

برای عملیاتی که به پیوستاری از توابع بسل،  $J_\nu(\alpha\rho)$ ، مربوط می شود، رابطه ای کلیدی است. درستی این رابطه را می توان با استفاده از تبدیلهای هنکل، بخش ۱.۱۵، اثبات کرد. رهیافت مورس و فشاخ چیزی دیگر است که آغاز آن رابطه ای شبیه به معادله (۸۲.۹)، بخش ۴.۹، است.

تعامد نوع دومی را (با شاخصهای متغیر) برای توابع کروی بسل در بخش ۷.۱۱ مطرح خواهیم کرد.

## مسائل

۱۰۲.۹۱ (الف) نشان دهید

$$(a^2 - b^2) \int_0^P J_\nu(ax)J_\nu(bx)x dx = P[bJ_\nu(aP)J'_\nu(bP) - aJ'_\nu(aP)J_\nu(bP)]$$

که در آن

$$J'_\nu(aP) = \frac{d}{d(ax)} J_\nu(ax) \Big|_{x=P}$$

(ب)

$$\int_0^P [J_\nu(ax)]^2 x dx = \frac{P^2}{2} \left\{ [J'_\nu(aP)]^2 + \left(1 - \frac{\nu^2}{a^2 P^2}\right) [J_\nu(aP)]^2 \right\}, \quad \nu > -1$$

این دو عبارت را معمولاً انتگرالهای اول و دوم لومل می نامند. (۱)هنمایی. بسط تعامد توابع بسل را، به عنوان يك شبیه، در اختیار داریم.



$$\int_0^a [J_\nu(\alpha_{\nu m} \frac{\rho}{a})]^\nu \rho d\rho = \frac{a^\nu}{\nu} [J_{\nu+1}(\alpha_{\nu m})]^\nu, \quad \nu > -1$$

در اینجا  $\alpha_{\nu m}$  عبارت است از  $m$ امین صفر  $J_\nu$ .  
 راهنمایی. با وارد کردن  $\alpha_{\nu n} = \alpha_{\nu m} + \varepsilon$ ، تابع  $J_\nu[(\alpha_{\nu m} + \varepsilon)\rho/a]$  را از طریق بسط تیلور حول  $\alpha_{\nu m}\rho/a$  بسط دهید.

۴۰۲.۱۱ (الف) اگر  $\beta_{\nu m}$  صفر شماره  $m$ ام  $(d/d\rho)J_\nu(\beta_{\nu m}\rho/a)$  باشد؛ نشان دهید که توابع بسل روی بازه  $[0, a]$ ، نسبت به انتگرال تعامد زیر، متعامدند

$$\int_0^a J_\nu(\beta_{\nu m} \frac{\rho}{a}) J_\nu(\beta_{\nu n} \frac{\rho}{a}) \rho d\rho = 0, \quad m \neq n, \quad \nu > -1$$

(ب) انتگرال بهنجارش متناظر را استخراج کنید ( $m=n$ ).

$$\frac{a^\nu}{\nu} \left(1 - \frac{\nu^2}{\beta_{\nu m}^2}\right) [J_\nu(\beta_{\nu m})]^\nu, \quad \nu > -1 \quad \text{پاسخ.}$$

۴۰۲.۱۱ تحقیق کنید که معادله تعامد، معادله (۴۹.۱۱)، و معادله بهنجارش، معادله (۵۰.۱۱)، به ازای  $\nu > -1$  معتبر است.  
 راهنمایی. با استفاده از بسط سری توانی رفتار معادله (۴۸.۱۱) را در  $\rho \rightarrow 0$  بیازمایید.

۵۰۲.۱۱ به کمک معادله (۴۹.۱۱) این نکته را اثبات کنید که  $J_\nu(z)$ ، به ازای  $\nu > -1$  دارای ریشه مختلط نیست.  
 راهنمایی. (الف) از شکل سری  $J_\nu(z)$  بهره‌گیری تاریخه‌های موهومی محض حذف شوند.

(ب)  $\alpha_{\nu n} = \alpha_{\nu m}^*$  را مختلط بگیریید و فرض کنید

۶۰۲.۱۱ (الف) در بسط سری

$$f(\rho) = \sum_{m=1}^{\infty} c_{\nu m} J_\nu(\alpha_{\nu m} \frac{\rho}{a}), \quad 0 \leq \rho \leq a, \quad \nu > -1$$

با  $J_\nu(\alpha_{\nu m}) = 0$  نشان دهید که باتکیه بر رابطه زیر ضرایب به دست می‌آیند

$$c_{\nu m} = \frac{\nu}{a^\nu [J_{\nu+1}(\alpha_{\nu m})]^\nu} \int_0^a f(\rho) J_\nu(\alpha_{\nu m} \frac{\rho}{a}) \rho d\rho$$

(ب) در بسط سری

$$f(\rho) = \sum_{m=1}^{\infty} d_{vm} J_v(\beta_{vm} \frac{\rho}{a}), \quad 0 \leq \rho \leq a, \quad v > -1$$

در آن  $(d/d\rho) J_v(\beta_{vm} \rho/a)|_{\rho=a} = 0$  نشان دهید که ضرایب از رابطه زیر به دست می آیند.

$$d_{vm} = \frac{2}{a^2(1 - \nu^2/\beta_{vm}^2)[J_\nu(\beta_{vm})]^2} \int_0^a f(\rho) J_\nu(\beta_{vm} \frac{\rho}{a}) \rho d\rho$$

۷.۲.۱۱ پتانسیل الکتروستاتیکی هر یک از دوسر يك استوانه قائم دوار عبارت است از  $\psi(\rho, \varphi)$ . پتانسیل روی سطح خمیده استوانه ای صفر است. پتانسیل را در تمام نقاط داخل آن بیابید.

داهنمایی. دستگاه مختصات را انتخاب و وابستگی به  $z$  را طوری تنظیم کنید که از تقارن موجود در پتانسیل بهره کامل بگیرید.

۸.۲.۱۱ نشان دهید که معادله های (۵۱.۱۱) و (۵۲.۱۱) در مورد پیوستار با معادلات زیر تعویض می شوند

$$f(\alpha) = \int_0^{\infty} a(\rho) J_\nu(\alpha \rho) d\rho$$

$$a(\alpha) = \alpha \int_0^{\infty} f(\rho) J_\nu(\alpha \rho) \rho d\rho$$

داهنمایی. مورد متناظر برای سینوسها و کسینوسها در بخش ۲.۱۵ حل شده است. این توابع، تبدیلهای هنکل اند. یکی از روشهای استخراج برای حالت خاص  $\nu=0$ ، موضوع مسئله ۱۰.۱۵ است.

۹.۲.۱۱ تابع  $f(x)$  به صورت یک سری بسل مشخص شده است

$$f(x) = \sum_{n=1}^{\infty} a_n J_m(\alpha_{mn} x)$$

که در آن  $\alpha_{mn}$  ریشه  $m$ ام  $J_m$  است. رابطه پارسوال

$$\int_0^1 [f(x)]^2 x dx = \frac{1}{2} \sum_{n=1}^{\infty} a_n^2 [J_m(\alpha_{mn})]^2$$

را اثبات کنید.

۱۰.۲.۱۱ ثابت کنید که

$$\sum_{n=1}^{\infty} (\alpha_{mn})^{-2} = \frac{1}{2(m+1)}$$

داهنمایی.  $x^m$  را به صورت سری بسل بسط دهید و از رابطه پارسوال بهره گیرید.

۱۱۰۴۰۱۱ پتانسیل استوانه قائم دواری به طول  $l$  عبارت است از

$$\psi(z = \pm l/2) = 100(1 - \rho/a)$$

که در آن  $a$  شعاع است. پتانسیل روی سطح خمیده (جانبی) صفر است. با استفاده از سری بسل مسئله ۷۰۲۰۱۱، پتانسیل الکتروستاتیکی را به ازای  $\rho/a = 0.05$  و  $z/l = 0.05$  محاسبه کنید.  $a/l$  را برابر  $0.05$  بگیرد. داهنمایی. از مسئله ۳۰۰۱۰۱۱، داریم

$$\int_0^{\alpha_{0n}} \left(1 - \frac{y}{\alpha_{0n}}\right) J_0(y) y dy$$

نشان دهید که این عبارت برابر است با

$$\frac{1}{\alpha_{0n}} \int_0^{\alpha_{0n}} J_0(y) dy$$

محاسبه عددی این عبارت جدید نسبت به عبارت قبلی هم سریعتر، و هم دقیقتر است. یادآوری. همگرایی به ازای  $\rho/a = 0.05$  و  $z/l = 0.05$  کند است، با به حساب آوردن ۲۰ جمله، به جای ۱۰۰ صرفاً کمیت ۹۸۴ را به دست می آوریم. مقدار آزمونی. به ازای  $\rho/a = 0.04$  و  $z/l = 0.03$ ،  $\psi = 247558$ .

### ۳۰۱۱ توابع نویمان، توابع نوع دوم بسل، $N_\nu(x)$

به اتکای نظریه معادلات دیفرانسیل می دانیم که معادله بسل دو جواب مستقل دارد. در واقع قبلاً برای مرتبه های غیر عدد درست  $\nu$ ، با استفاده از سری نامتناهی [معادله (۵۰۱۱)]، این دو جواب را یافته و آنها را با  $J_\nu(x)$  و  $J_{-\nu}(x)$  مشخص کرده ایم. مشکل اینجاست که وقتی  $\nu$  عدد درست است، معادله (۸۰۱۱) برقرار است و فقط یک جواب داریم. جواب دوم را می توان به کمک روشهای بخش ۶.۸ به دست آورد. به کمک این روش یک جواب مطلوب دیگر را برای معادله بسل به دست می آوریم، ولی جوابی نیست که به شکل استاندارد معمولی باشد.

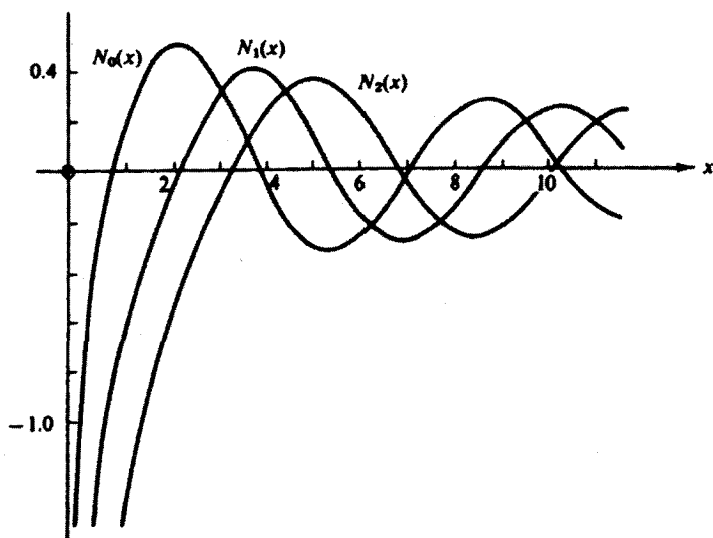
تعریف

به عنوان رهیافتی دیگر برای یافتن جواب دوم، ترکیبی خطی از  $J_\nu(x)$  و  $J_{-\nu}(x)$  در نظر می گیریم

$$N_\nu(x) = \frac{\cos \nu\pi J_\nu(x) - J_{-\nu}(x)}{\sin \nu\pi} \quad (۶۰.۱۱)$$

این تابع نویمان (شکل ۶.۱۱) است. روشن است که  $N_\nu(x)$  به ازای  $\nu$  های غیر عدد درست در معادله بسل صدق می‌کند، زیرا عبارات است از ترکیب خطی دو جواب معلوم یعنی  $J_\nu(x)$  و  $J_{-\nu}(x)$  ولی به ازای  $\nu$  عدد درست،  $\nu = n$ ، معادله (۸.۱۱) برقرار است و معادله (۶۰.۱۱) مبهم می‌شود. تعریف  $N_\nu(x)$ ، عملاً به دلیل همین خاصیت مبهم بودن اختیار می‌شود.  $N_n(x)$  را به کمک دستور هوپیتال برای صورت‌های مبهم محاسبه می‌کنیم، در نتیجه

$$\begin{aligned} N_n(x) &= \frac{(d/d\nu)[\cos \nu\pi J_\nu(x) - J_{-\nu}(x)]}{(d/d\nu)\sin \nu\pi} \Big|_{\nu=n} \\ &= \frac{-\pi \sin n\pi J_n(x) + [\cos n\pi \partial J_\nu / \partial \nu - \partial J_{-\nu} / \partial \nu]}{\pi \cos n\pi} \Big|_{\nu=n} \quad (۶۱.۱۱) \\ &= \frac{1}{\pi} \left[ \frac{\partial J_\nu(x)}{\partial \nu} - (-1)^n \frac{\partial J_{-\nu}(x)}{\partial \nu} \right] \Big|_{\nu=n} \end{aligned}$$



شکل ۶.۱۱ توابع نویمان،  $N_0(x)$ ،  $N_1(x)$  و  $N_2(x)$ .

از بسط سری<sup>۱</sup> به نتیجه نامتناسب زیر می‌رسیم

$$N_n(x) = \frac{\nu}{\pi} J_n(x) \ln\left(\frac{x}{\nu}\right) - \frac{1}{\pi} \sum_{r=0}^{\infty} (-1)^r \frac{1}{r!(n+r)!} \left(\frac{x}{\nu}\right)^{n+\nu r} [F(r) + F(n+r)] - \frac{1}{\pi} \sum_{r=0}^{n-1} \frac{(n-r-1)!}{r!} \left(\frac{x}{\nu}\right)^{-n+\nu r} \quad (62.11)$$

که نمایانگر همان وابستگی لگاریتمی است که انتظارش را داشتیم. البته، این رابطه استقلال  $J_\nu$  و  $N_\nu$  را ثابت می‌کند.  $F(r)$  تابع دی‌گامایی است که از مشتقگیری فاکتوریلها در مخرج  $J_\nu(x)$  به دست می‌آید [با بخش ۲.۱۵ و خصوصاً معادله (۳۹.۱۵) مقایسه کنید]. با استفاده از خواص تابع دی‌گاما، معادله (۶۲.۱۱) را به صورت زیر، که عدم تناسب آن اندکی کمتر است، می‌نویسیم

$$N_n(x) = \frac{\nu}{\pi} \left[ \ln\left(\frac{x}{\nu}\right) + \gamma - \frac{1}{\nu} \sum_{p=1}^n p^{-1} \right] J_n(x) - \frac{1}{\pi} \sum_{r=0}^{\infty} (-1)^r \frac{(x/\nu)^{n+\nu r}}{r!(n+r)!} \sum_{p=1}^r \left[ \frac{1}{p} + \frac{1}{p+n} \right] - \frac{1}{\pi} \sum_{r=0}^{n-1} \frac{(n-r-1)!}{r!} \left(\frac{x}{\nu}\right)^{-n+\nu r} \quad (63.11)$$

به ازای  $n=0$ ، به مقدار حدی زیر می‌رسیم

$$N_0(x) = \frac{\nu}{\pi} (\ln x + \gamma - \ln \nu) + O(x^\nu) \quad (64.11)$$

و به ازای  $\nu > 0$

$$N_\nu(x) = -\frac{(\nu-1)!}{\pi} \left(\frac{\nu}{x}\right)^\nu + \dots, \quad (65.11)$$

۱. با استفاده از  $(d/d\nu)x^\nu = x^\nu \ln x$ .

\* توجه کنید که این صورت حدی هم به ازای مقادیر عدد درست و هم به ازای مقادیر غیر عدد درست شاخص  $\nu$  به کار می‌رود.

$N_\nu(x)$  هم مانند سایر توابع بسل دارای نمایشهای انتگرالی است. به ازای  $N_0(x)$

$$N_0(x) = -\frac{2}{\pi} \int_0^\infty \cos(x \cosh t) dt$$

$$= -\frac{2}{\pi} \int_1^\infty \frac{\cos(xt)}{(t^2-1)^{3/2}} dt, \quad x > 0$$

(الف ۵.۱۱)

این صورتها را می توان به عنوان جزء موهومی نمایشهای هنکل، مسئله ۵.۴.۱۱، استخراج کرد. صورت دوم يك تبدیل کسینوس فوریه است.

برای تحقیق اینکه  $N_\nu(x)$ ، تابع نویمان (شکل ۶.۱۱) یا تابع نوع دوم بسل، عملاً به ازای مقادیر درست  $n$  در معادله بسل صدق می کند یا خیر، می توانیم به ترتیب زیر اقدام کنیم. با مشتقگیری از معادله بسل مربوط به  $J_{\pm\nu}(x)$  نسبت به  $\nu$ ، خواهیم داشت

$$x^2 \frac{d^2}{dx^2} \left( \frac{\partial J_{\pm\nu}}{\partial \nu} \right) + x \frac{d}{dx} \left( \frac{\partial J_{\pm\nu}}{\partial \nu} \right) + (x^2 - \nu^2) \frac{\partial J_{\pm\nu}}{\partial \nu} = 2\nu J_{\pm\nu} \quad (۶۶.۱۱)$$

[همان گونه که در معادله (۶۱.۱۱) داریم] معادله مربوط به  $J_{-\nu}$  را در  $(-1)^\nu$  ضرب و از معادله مربوط به  $J_\nu$  کم، آنگاه حد  $n \rightarrow \nu$  را محاسبه می کنیم، خواهیم داشت

$$x^2 \frac{d^2}{dx^2} N_n + x \frac{d}{dx} N_n + (x^2 - n^2) N_n = \frac{2n}{\pi} [J_n - (-1)^n J_{-n}] \quad (۶۷.۱۱)$$

سمت راست، به ازای  $\nu = n$ ، عدد درست، و با استفاده از معادله (۸.۱۱) صفر می شود، و مشاهده می شود که  $N_n(x)$  یکی از جوابهای معادله بسل است. بنابراین کلیترین جواب به ازای هر  $\nu$  را می توان به صورت زیر نوشت

$$y(x) = AJ_\nu(x) + BN_\nu(x) \quad (۶۸.۱۱)$$

از معادله (۶۲.۱۱) برمی آید که  $N_n$  دست کم به صورت لگاریتمی واگرا می شود. از این رو هر شرط مرزی که متناهی بودن جواب را در مبدأ ایجاب کند [مثل غشای دایره ای مرتعش (بخش ۱.۱۱)] به طور خودبه خود  $N_n(x)$  را کنار می گذارد. برعکس، در غیاب چنین شرطی،  $N_n(x)$  را باید منظور کرد.

تعریف تابع نویمان  $N_n(x)$  تا حدودی اختیاری است. معادله (۶۳.۱۱) حاوی جملاتی به صورت  $a_n J_n(x)$  است. آشکار است که هر مقدار متناهی ثابت  $a_n$ ، يك جواب دیگر معادله بسل را ارائه می کند. پس چرا  $a_n$  باید مقدار خاصی را که در معادله (۶۳.۱۱) نشان داده شده است، داشته باشد؟ پاسخ این پرسش به وابستگی مجانبی ارتباط پیدا می کند

که در بخش ۶.۱۱ مطرح خواهد شد. اگر  $J_n$  بایک موج کسینوسی متناظر باشد، آنگاه  $N_n$  نظیر یک موج سینوسی خواهد بود. این رابطه فاز مجانبی ساده و مناسب، پیامد همین نحوه خاص در آمیختن  $J_n$  در  $N_n$  است.

### روابط بازگشتی

با نشان دادن معادله (۶.۱۱) به ازای  $N_p(x)$  ( $v$  غیر عدد درست) یا معادله (۶.۱۱) ( $v$  عدد درست) در روابط بازگشتی [معادلات (۱۰.۱۱) و (۱۲.۱۱)] به ازای  $J_n(x)$ ، بی درنگ پی می‌بریم که  $N_p(x)$  در همین روابط بازگشتی صدق می‌کند. این نکته، عملاً خود دلیل دیگری است بر اینکه  $N_p$  یکی از جوابهاست. بدخوبی دقت کنید که عکس این نکته لزوماً واقعیت ندارد. ضرورتی ندارد که همه جوابها در روابط بازگشتی یکسانی صدق کنند. نمونه‌ای از این نوع مشکل در بخش ۵.۱۱ مطرح خواهد شد.

### فرمولهای رونسکیبی

با توجه به بخش ۶.۸ و مسئله ۴.۱.۹، فرمول رونسکیبی<sup>۱</sup> برای جوابهای معادله بسل را به صورت زیر به دست می‌آوریم

$$u_v(x)v'_v(x) - u'_v(x)v_v(x) = \frac{A_v}{x} \quad (6.9.11)$$

که در آن  $A_v$  پارامتری است که به توابع بسل خاص  $u_v(x)$  و  $v_v(x)$  که تحت بررسی‌اند، بستگی دارد.  $A_v$  ثابت، یعنی مستقل از  $x$  است. حالت خاص زیر را در نظر بگیرید

$$u_v(x) = J_v(x), \quad v_v(x) = J_{-v}(x) \quad (7.0.11)$$

$$J_v J'_{-v} - J'_v J_{-v} = \frac{A_v}{x} \quad (7.1.11)$$

از آنجا که  $A_v$  مقداری است ثابت، می‌توان آن را در هر نقطه مناسب نظیر  $x=0$  محاسبه کرد. با استفاده از نخستین جمله‌ها در بسطهای سری [معادله‌های (۵.۱۱) و (۶.۱۱)] خواهیم داشت

$$\begin{aligned} J_v &\rightarrow \frac{x^v}{\Gamma(v+1)}, & J_{-v} &\rightarrow \frac{\Gamma(v)x^{-v}}{(-v)!} \\ J'_v &\rightarrow \frac{vx^{v-1}}{\Gamma(v+1)}, & J'_{-v} &\rightarrow \frac{-v\Gamma(v)x^{-v-1}}{(-v)!} \end{aligned} \quad (72.11)$$

۱. این نتیجه پیامد مساوی بودن  $P(x)$  در بخش ۵.۸ با  $P'(x)/P(x)$ ، ضرب متناظر در معادله خود-الحاقی بخش ۱.۹، است.

با نشانیدن در معادله (۶۹.۱۱) داریم

$$J_\nu(x)J'_{-\nu}(x) - J'_\nu(x)J_{-\nu}(x) = \frac{-2\nu}{x\nu!(-\nu)!} \quad (۷۳.۱۱)$$

$$= -\frac{2 \sin \nu\pi}{\pi x}$$

با استفاده از معادله (۳۲.۱۵) داریم

$$\nu!(-\nu)! = \frac{\pi\nu}{\sin \pi\nu}$$

دقت کنید که  $A_\nu$  به ازای هر کمیت درستی چون  $\nu$  صفر می شود که همین طور هم باید باشد زیرا صفر نشدن رونسکیبی آزمونی برای استقلال دو جواب به شمار می آید. از معادله (۷۳.۱۱)، روشن می شود که  $J_\nu$  و  $J_{-\nu}$  وابسته خطی اند.

با استفاده از روابط بازگشتی قبلی می توانیم به آسانی تعداد زیادی از صورت های دیگر این روابط را ایجاد کنیم، از آن جمله

$$J_\nu J_{-\nu+1} + J_{-\nu} J_{\nu-1} = \frac{2 \sin \nu\pi}{\pi x} \quad (۷۴.۱۱)$$

$$J_\nu J_{-\nu-1} + J_{-\nu} J_{\nu+1} = -\frac{2 \sin \nu\pi}{\pi x} \quad (۷۵.۱۱)$$

$$J_\nu N'_\nu - J'_\nu N_\nu = \frac{2}{\pi x} \quad (۷۶.۱۱)$$

$$J_\nu N_{\nu+1} - J_{\nu+1} N_\nu = -\frac{2}{\pi x} \quad (۷۷.۱۱)$$

وچندین رابطه بازگشتی دیگر را نیز می توان در مراجعی یافت که آنها را معرفی کرده ایم. یادآوری می کنیم که رونسکیبی در فصل ۸ از دو بابت با ارزش است: (۱) در تعیین استقلال خطی یا وابستگی خطی جواب های معادلات دیفرانسیل، و (۲) در پدید آوردن يك صورت انتگرالی برای جواب دوم. در اینجا، صورت های خاص رونسکیبی و ترکیب توابع بسل مستخرج از رونسکیبی، برای نمایش رفتار عام توابع بسل مختلف از اهمیت اساسی برخوردارند. رونسکیبها برای آزمون جدول های توابع بسل بسیار مفیدند. در فصل ۱۶، رونسکیبها باز در ارتباط با توابع گرین ظاهر می شوند.



مثال ۱۰۳۰۱۱ موجبرهای هم محور

امواج الکترومغناطیسی مجبوس بین سطوح استوانه‌ای رسانای هم مرکز،  $\rho = a$  و  $\rho = b$ ، در نظر بگیرید. قسمت اعظم روابط ریاضی مربوط به این مبحث در بخش ۶.۲ و در مثال ۲۰۱۰۱۱ بررسی شده است. برای آنکه موج ایستاده در مثالیهای بالا را به موج پیشرونده این مثال تبدیل کنیم، در معادله (۴۰۱۱) قرار می‌دهیم:  $a_{mn} = ib_{mn}$ ، آنگاه داریم

$$E_z = \sum_{m,n} b_{mn} J_m(\gamma\rho) e^{\pm im\varphi} e^{i(kz - \omega t)} \quad (78.11)$$

سایر خواص مؤلفه‌های موج الکترومغناطیسی در موجبر استوانه‌ای ساده در مسائل ۹.۳۰۱۱ و ۱۰.۳۰۱۱ آمده‌اند. در مورد موجبر هم محور به یک تعمیم نیاز داریم. در این حالت مبدأ  $\rho = 0$  حذف شده است ( $0 < a \leq \rho \leq b$ ). از این رو تابع نویمان  $N_m(\gamma\rho)$  را نمی‌توان حذف کرد.  $E_z(\rho, \varphi, z, t)$  به صورت زیر درمی‌آید

$$E_z = \sum_{m,n} [b_{mn} J_m(\gamma\rho) + c_{mn} N_m(\gamma\rho)] e^{\pm im\varphi} e^{i(kz - \omega t)} \quad (79.11)$$

با این شرط که

$$H_z = 0 \quad (80.11)$$

معادله اصلی مربوط به یک موج TM (مغناطیسی عرضی) را به دست می‌آوریم. میدان الکتریکی (ماسی) باید روی سطوح رسانا صفر شود (شرط مرزی دیریکله)، یا

$$b_{mn} J_m(\gamma a) + c_{mn} N_m(\gamma a) = 0 \quad (81.11)$$

$$b_{mn} J_m(\gamma b) + c_{mn} N_m(\gamma b) = 0 \quad (82.11)$$

این معادلات غیر جبری را می‌توان حل کرد و  $\gamma(\gamma_{mn})$  و نسبت  $c_{mn}/b_{mn}$  را به دست آورد. از مثال ۲۰۱۰۱۱ داریم

$$k^2 = \omega^2 \mu_0 \epsilon_0 - \gamma^2 = \frac{\omega^2}{c^2} - \gamma^2 \quad (83.11)$$

از آنجا که  $k^2$  باید برای یک موج حقیقی مثبت باشد، بسامد کمینه‌ای که (در این مد TM) منتشر می‌شود عبارت است از

$$\omega = \gamma c \quad (84.11)$$

که در آن  $\gamma$  از طریق شرایط مرزی، معادله‌های (۸۱.۱۱) و (۸۲.۱۱)، تعیین می‌شود. این کمیت عبارت است از بسامد قطع موجبر.

یک مد TE (الکتریکی عرضی) نیز وجود دارد که در آن  $E_z = 0$  و  $H_z$  به کمک

معادله (۷۹.۱۱) به دست می آید. در این صورت، به جای معادله های (۸۱.۱۱) و (۸۲.۱۱)، شرایط مرزی نویمان را در اختیار داریم. سرانجام، برای موجبر هم محور (نه برای موجبر استوانه ای ساده،  $a=0$ ) یک مد TEM (الکترومغناطیسی عرضی)  $E_z = H_z = 0$  نیز امکان پذیر است. این مد بایک موج تخت، مانند وضعیت درخلاء، متناظر است.

حالاتی ساده تر (بدون توابع نویمان، شرایط مرزی ساده تر) موجبر مدور در مسائل ۱۰.۳.۱۱ و ۹.۳.۱۱ مطرح شده اند.

درخاتمه این بحث پیرامون توابع نویمان، دلایل زیر را برای معرفی تابع نویمان،  $N_\nu(x)$  برمی شماریم:

۱. این تابع جواب مستقل دوم معادله بسل است که جواب کلی را کامل می کند.
۲. این تابع در مسائل فیزیکی خاصی مانند امواج الکترومغناطیسی در موجبرهای هم محور مورد نیاز است.
۳. تابع گرین معادله بسل (بخشهای ۵.۱۶ و ۶.۱۶) از این تابع به دست می آید.
۴. این تابع مستقیماً به دو تابع هنکل (بخش ۴.۱۱) منجر می شود.

## مسائل

۱۰.۳.۱۱ درستی بسطهای زیر را (فقط تا جمله پیشرو) تحقیق کنید

$$N_0(x) \rightarrow \frac{2}{\pi} (\ln x + \gamma - \ln 2)$$

$$N_\nu(x) \rightarrow -\frac{(\nu-1)!}{\pi} \left(\frac{2}{x}\right)^\nu, \quad \begin{matrix} \nu > 0 \\ x \ll 1 \end{matrix}$$

به ازای  $N_0(x)$  از تعریفی که در معادله (۶.۱۱) برای تابع نویمان بیان شده است، مشتق بگیرد.

۲.۳.۱۱ ثابت کنید که توابع نویمان  $N_n$  ( $n$  عدد درست) در روابط بازگشتی زیر صدق می کنند

$$N_{n-1}(x) + N_{n+1}(x) = \frac{2n}{x} N_n(x)$$

$$N_{n-1}(x) - N_{n+1}(x) = 2N'_n(x)$$

داهنمایی. این روابط را می توان از طریق مشتگیری از روابط بازگشتی  $J_\nu$ ، یا با استفاده از صورت حدی  $N_\nu$  ولی نه تقسیم کردن بر صفر، به دست آورد.

$$N_{-n}(x) = (-1)^n N_n(x)$$

$$N_0'(x) = -N_1(x)$$

$$Y_\nu(x)Z_\nu'(x) - Y_\nu'(x)Z_\nu(x) = \frac{A_\nu}{x}$$

که در آن  $A_\nu$  می تواند وابسته به  $\nu$  ولی مستقل از  $x$  باشد. این مطلب در واقع حالت خاصی از مسئله ۴۰۱۰۹ به شمار می آید.

$$J_\nu(x)J_{-\nu+1}(x) + J_{-\nu}(x)J_{\nu-1}(x) = \frac{2 \sin \nu\pi}{\pi x}$$

$$J_\nu(x)N_\nu'(x) - J_\nu'(x)N_\nu(x) = \frac{2}{\pi x}$$

۷۰۳۰۱۱ در محاسبه ثابت رونسکیبی به جای آنکه  $x$  را به سوی صفر میل دهیم، می توانیم از یکتایی سری توانی (بخش ۷۰۵) استفاده کنیم. در نتیجه ضریب  $x^{-1}$  در بسط سری  $u_\nu(x)v_\nu'(x) - u_\nu'(x)v_\nu(x)$  عبارت است از  $A_\nu$ . به کمک بسط سری نشان دهید که هر یک از ضرایب  $x^0$  و  $x^1$  در بسط  $J_\nu(x)J_{-\nu}(x) - J_\nu'(x)J_{-\nu}'(x)$  برابر صفر است.

$$\int_0^\infty \cos(x \cosh t) dt$$

یکی از جوابهاست.

دوهمایی. انتگرال آخری را می توانید به صورت زیر باز آرای کنید

$$\int_0^\infty \frac{d}{dt} \{x \sin(x \cosh t) \sinh t\} dt$$

(ب) نشان دهید عبارت زیر نسبت به  $J_0(x)$  مستقل خطی است

$$N_0(x) = -\frac{2}{\pi} \int_0^{\infty} \cos(x \cosh t) dt$$

۹۰۳۰۱۱ شعاع يك موجبر استوانه‌ای  $r_0$  است. مؤلفه‌های غیر صفر میدانهای الکتريکی و مغناطیسی را برای (الف)  $TM_{0n}$ ، موج مغناطیسی عرضی ( $H_z = H_\rho = E_\phi = 0$ )، (ب)  $TE_{0n}$ ، موج الکتريکی عرضی ( $E_z = E_\rho = H_\phi = 0$ )، بیابید. شاخص پایین ۰۱ نشانگر آن است که مؤلفه طولی ( $H_z$  یا  $E_z$ ) متضمن  $J_0$  است و اولین صفر  $J_0$  یا  $J'_0$  در شرط مرزی صدق می‌کند.

دانهمایی. تمام مؤلفه‌های موج دارای عامل یکسان  $\exp i(kz - \omega t)$  هستند.

۱۰۰۳۰۱۱ بسامد کمینه‌ای که از يك موجبر استوانه‌ای مدور (به شعاع  $r_0$ ) می‌گذرد، برای يك مد نوسان معلوم عبارت است از

$$\nu_{\min} = \frac{c}{\lambda_c}$$

که  $\lambda_c$  را شرط مرزی زیر تعیین می‌کند

$$J_n\left(\frac{\gamma \pi r_0}{\lambda_c}\right) = 0 \quad \text{برای مد } TM_{nm}$$

$$J'_n\left(\frac{\gamma \pi r_0}{\lambda_c}\right) = 0 \quad \text{برای مد } TE_{nm}$$

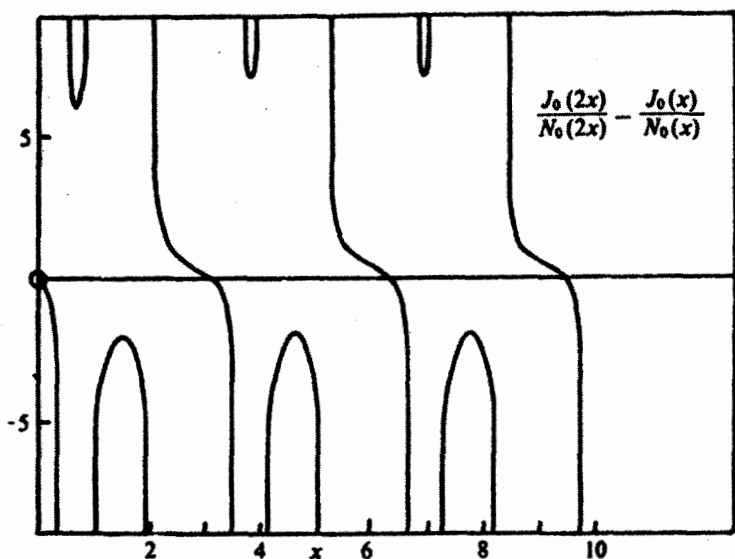
شاخص پایین  $n$ ، مرتبه تابع بسل، و  $m$  صفر به کار رفته را نشان می‌دهد. این طول موج قطع،  $\lambda_c$  را برای سهم  $TM$  و سهم  $TE$ ، که بلندترین طول موجهای قطع را دارند، پیدا کنید. نتیجه حاصل را بر حسب نمودار  $J_0$ ،  $J_1$ ، و  $J_2$  (شکل ۲۰۱۱) توضیح دهید.

۱۱۰۳۰۱۱ برنامه‌ای بنویسید که ریشه‌های متوالی تابع نویمان  $N_n(x)$ ، یعنی  $\alpha_{n,m}$  در  $N_n(\alpha_{n,m}) = 0$  را محاسبه کند. پنج ریشه اول  $N_0$ ،  $N_1$ ، و  $N_2$  را جدول بندی کنید. مقادیری را که برای ریشه‌ها یافته‌اید با مقادیری که در AMS-55 (فصل ۹) فهرست بندی شده، بیازمایید.

دانهمایی. برای شگردهای ریشه‌یابی و توصیه‌هایی در این مورد، به پیوست ۱ رجوع کنید.

$$\alpha_{1,2} = 5.42948 \text{ مقدار آزمونی.}$$

۱۲۰۳۰۱۱ شرایط مرزی موجبر هم محور برای حالت  $m=0$ ،  $a=1$ ،  $b=2$  به رابطه زیر منجر می‌شود (شکل ۷۰۱۱)



شکل ۲.۱۱

$$f(x) = \frac{J_0(2x)}{N_0(2x)} - \frac{J_0(x)}{N_0(x)}$$

الف)  $f(x)$  را به ازای  $x = 0.5, 1.5, 2.5, 3.5, 4.5, 5.5, 6.5, 7.5, 8.5, 9.5$  محاسبه و آن را بر حسب  $x$  رسم کنید تا محل تقریبی ریشه‌ها را بیابید.

ب) از یک زیر-برنامه ریشه‌یاب برای تعیین دقیقتر سه ریشه اول استفاده کنید.  
پاسخ: ۹۰۴۱۸۲، ۶۰۲۷۳۴، ۳۰۱۲۳۰.

یادآوردی. می‌توان انتظار داشت که ریشه‌های بالاتر پس از بازه‌هایی ظهور کنند که طول آن بازه‌ها به  $\pi$  نزدیک شود. چرا اینطور است؟ در بخش ۵.۹ از AMS-55، یک فرمول تقریبی برای این ریشه‌ها داده می‌شود. تابع  $g(x) = J_0(x)N_0(2x) - J_0(2x)N_0(x)$  بسیار خوش رفتارتر از تابع  $f(x)$  است که قبلاً مورد بحث قرار گرفت.

### ۳.۱۱ توابع هنکل

بسیاری از مؤلفان ترجیح می‌دهند که توابع هنکل را به کمک نمایشهای انتگرالی تعریف کنند، آنگاه از آنها برای تعریف تابع نویمان  $N_\nu(z)$  بهره‌گیرند. طرحی کلی از این رهیافت در انتهای این بخش مطرح می‌شود.

تعریفها

از آنجا که ماقبلا تابع نویمان را از طریق شگردهای مقلما تیر (و ضعیفتر) به دست آورده ایم، می توانیم از آن برای تعریف توابع هنکل  $H_v^{(1)}(x)$  و  $H_v^{(2)}(x)$  استفاده کنیم

$$H_v^{(1)}(x) = J_v(x) + iN_v(x) \quad (۸۵.۱۱)$$

و

$$H_v^{(2)}(x) = J_v(x) - iN_v(x) \quad (۸۶.۱۱)$$

این عبارت دقیقاً شبیه آن است که بگیریم

$$e^{\pm i\theta} = \cos \theta \pm i \sin \theta \quad (۸۷.۱۱)$$

به ازای شناسه های حقیقی، همیوخ مختلط یکدیگرند. میزان این شباهت را با در نظر گرفتن شکل های مجانبی (بخش ۶.۱۱) بهتر می توان مشاهده کرد. در واقع توابع هنکل به دلیل رفتار مجانبی شان مفید واقع می شوند.

بسط سری  $H_v^{(1)}(x)$  و  $H_v^{(2)}(x)$  را می توان با ترکیب کردن معادله های (۵.۱۱) و (۶۳.۱۱) به دست آورد. اغلب اوقات تنها جمله اول مورد نظر است؛ این جمله عبارت است از

$$H_0^{(1)}(x) \approx i \frac{\gamma}{\pi} \ln x + 1 + i \frac{\gamma}{\pi} (\gamma - \ln 2) + \dots \quad (۸۸.۱۱)$$

$$H_v^{(1)}(x) \approx -i \frac{(v-1)!}{\pi} \left(\frac{\gamma}{x}\right)^v + \dots, \quad v > 0 \quad (۸۹.۱۱)$$

$$H_0^{(2)}(x) \approx -i \frac{\gamma}{\pi} \ln x + 1 - i \frac{\gamma}{\pi} (\gamma - \ln 2) + \dots \quad (۹۰.۱۱)$$

$$H_v^{(2)}(x) \approx i \frac{(v-1)!}{\pi} \left(\frac{\gamma}{x}\right)^v + \dots, \quad v > 0 \quad (۹۱.۱۱)$$

از آنجا که توابع هنکل عبارت اند از ترکیب خطی (با ضرایب ثابت)  $J_v$  و  $N_v$ ، در روابط بازگشتی یکسانی [معادله (۱۰.۱۱) و (۱۲.۱۱)] صدق می کنند

$$H_{v-1}(x) + H_{v+1}(x) = \frac{\gamma v}{x} H_v(x) \quad (۹۲.۱۱)$$

$$H_{v-1}(x) - H_{v+1}(x) = 2H_v'(x) \quad (۹۳.۱۱)$$

برای هر دو تابع  $H_v^{(1)}(x)$  و  $H_v^{(2)}(x)$ .

می‌توان انواع گوناگونی از فرمولهای رونسکیبی را به دست آورد

$$H_v^{(\nu)} H_{v+1}^{(\nu)} - H_v^{(\nu)} H_{v+1}^{(\nu)} = \frac{\nu}{i\pi x} \quad (94.11)$$

$$J_{v-1} H_v^{(\nu)} - J_v H_{v-1}^{(\nu)} = \frac{\nu}{i\pi x} \quad (95.11)$$

$$J_v H_{v-1}^{(\nu)} - J_{v-1} H_v^{(\nu)} = \frac{\nu}{i\pi x} \quad (96.11)$$

مثال ۱۰۴-۱۱ امواج پیشرونده استوانه‌ای

به عنوان نمونه‌ای از کار بردهای توابع هنکل، مسئله موج دو بعدی مشابه با غشای مدور مرتعش مسئله ۲۵-۱۰۱۱ را در نظر بگیرید. حال فرض کنید که امواج در  $r = 0$  تولید می‌شوند و تا بینهایت به بیرون می‌روند. به جای امواج ایستاده امواج پیشرونده را می‌نشانیم. معادله دیفرانسیل به همان صورت قبل باقی می‌ماند ولی شرایط مرزی تغییر می‌کنند. حال برای آنکه جواب، یک موج بر و نرونده را توصیف کند، قرارداد می‌کنیم که به ازای مقادیر بزرگ  $r$ ، جواب مانند

$$U \rightarrow e^{i(kr - \omega t)} \quad (97.11)$$

رفتار کند.  $k$  مانند قبل عدد موج است. برای سادگی فرض می‌شود که هیچ وابستگی سمتی وجود ندارد، یعنی یا تکانه زاویه‌ای صفر است یا  $m = 0$ . در بخشهای ۴-۷ و ۶-۱۱ نشان داده‌ایم و نشان خواهیم داد که رفتار مجانبی  $H_0^{(\nu)}(kr)$  به صورت زیر است

$$H_0^{(\nu)}(kr) \rightarrow e^{ikr} \quad (98.11)$$

در نتیجه شرط مرزی در بینهایت، جواب موجی ما را به صورت زیر تعیین می‌کند

$$U(r, t) = H_0^{(\nu)}(kr) e^{-i\omega t} \quad (99.11)$$

این جواب در  $r \rightarrow 0$  واگرا می‌شود، که درست همان رفتاری است که به دلیل وجود چشمه در مبدأ انتظارش را داشتیم.

انتخاب یک مسئله موج دو بعدی برای نمایش تابع هنکل  $H_0^{(\nu)}(z)$  امری اتفاقی نبوده است. توابع بسل به طرق گوناگون، مثلا در جداسازی مختصات مخروطی، ظاهر می‌شوند. ولی از همه متداولتر، یافتن این توابع به کمک معادله‌های شعاعی حاصل از جداسازی متغیرهای معادله هلمهولتز در مختصات استوانه‌ای و قطبی کروی است. ما در نمایش فوق صورت واگنی از مختصات استوانه‌ای را در نظر گرفته‌ایم. اگر مختصات قطبی کروی را به کار برده بودیم (امواج کروی)، می‌باید با شاخص پایین  $\nu = n + (1/2)$ ، که  $n$  عددی

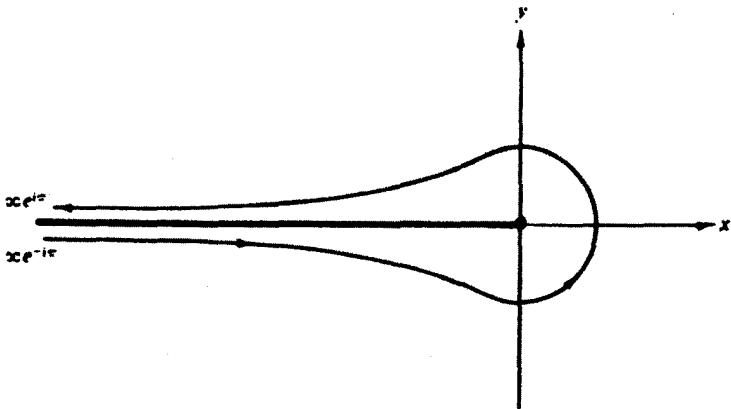
درست است، روبه‌رو می‌شدیم. این مقادیر خاص، توابع کروی بسل را که در بخش ۷.۱۱ مطرح می‌شوند، ارائه می‌کنند.

نمایش انتگرالی پربندی توابع هنکل  
نمایش انتگرالی (انتگرال اشلافلی)

$$J_\nu(x) = \frac{1}{\sqrt{\pi i}} \int_0^{\infty} e^{(x/2)(t-1/t)} \frac{dt}{t^{\nu+1}} \quad (100.11)$$

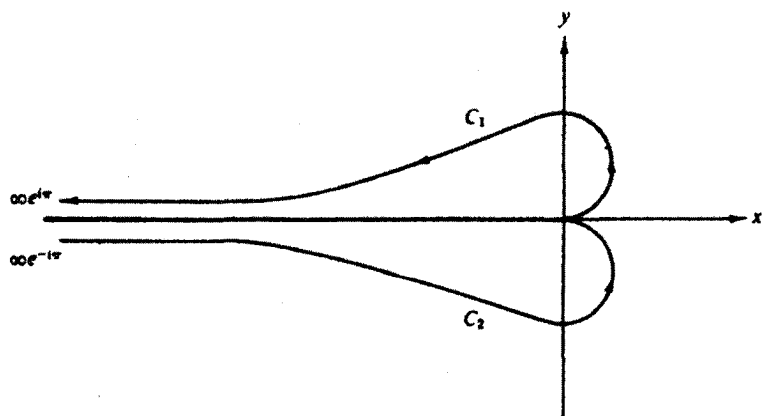
را می‌توان به آسانی به ازای  $\nu = n$ ،  $n$  عدد درست، اثبات کرد (با توجه به این نکته که صورت کسر، همان تابع مولد [معادله (۱.۱۱)] است و انتگرال پیرامون مبدأ گرفته می‌شود). اگر  $\nu$  عدد درست نباشد، انتگرالده تک‌مقدار نیست و به یک خط برش در صفحه مختلط نیاز است. با برگزیدن محور حقیقی منفی به عنوان خط برش و با استفاده از پربندی که در شکل ۸.۱۱ نشان داده شده است، می‌توانیم معادله (۱۰۰.۱۱) را به  $\nu$  های غیر عدد درست نیز بمط دهیم. با نشان دادن معادله (۱۰۰.۱۱) در معادله دیفرانسیل بسل، می‌توانیم انتگرالده مرکب را به کمک یک دیفرانسیل کامل که در  $e^{\pm i\pi} \rightarrow \infty$  صفر می‌شود نمایش دهیم (با مسئله ۱۶.۱.۱۱ مقایسه کنید).

حال پربند را، همان‌گونه که در شکل ۹.۱۱ نشان داده شده است، چنان تغییر شکل می‌دهیم که در امتداد محور حقیقی مثبت به مبدأ نزدیک شود. این رهیافت خاص تضمین می‌کند که دیفرانسیل کاملی که ذکر شد به دلیل وجود عامل  $e^{-x/2}$  در  $e \rightarrow 0$  صفر شود. در نتیجه هر یک از اجزای مجزای از  $\infty e^{-i\pi}$  تا  $0$  و از  $0$  تا  $\infty e^{i\pi}$  یکی از جوابهای معادله بسل به شمار می‌آید. توابع زیر را تعریف می‌کنیم



شکل ۸.۱۱ پربند تابع بسل.





شکل ۹۰۱۱. یربندهای تابع هنكل.

$$H_{\nu}^{(1)}(x) = \frac{1}{\pi i} \int_0^{\infty e^{i\pi}} e^{(x/2)(t-1/t)} \frac{dt}{t^{\nu+1}} \quad (101.11)$$

$$H_{\nu}^{(2)}(x) = \frac{1}{\pi i} \int_{\infty e^{-i\pi}}^0 e^{(x/2)(t-1/t)} \frac{dt}{t^{\nu+1}} \quad (102.11)$$

این عبارتها به طور خاصی مناسب اند، زیرا آنها را می توان از طریق روش تندترین کاهش (بخش ۴.۷، جلد اول) بررسی کرد.  $H_{\nu}^{(1)}(x)$  در يك نقطه زینی دارد، در حالی که  $H_{\nu}^{(2)}(x)$  در  $t = -i$  دارای يك نقطه زینی است.

این مسئله باقی ماند که معادله های (۱۰۱.۱۱) و (۱۰۲.۱۱) را به تعریف قبلی تابع هنكل [معادله های (۸۵.۱۱) و (۸۶.۱۱)] مربوط کنیم. از آنجا که با بازیابی ترکیب معادله های (۱۰۵.۱۱) تا (۱۰۲.۱۱)، خواهیم داشت

$$J_{\nu}(x) = \frac{1}{\nu} [H_{\nu}^{(1)}(x) + H_{\nu}^{(2)}(x)] \quad (103.11)$$

فقط باید نشان دهیم که

$$N_{\nu}(x) = \frac{1}{\nu i} [H_{\nu}^{(1)}(x) - H_{\nu}^{(2)}(x)] \quad (104.11)$$

این کار را می توان در مراحل زیر انجام داد:

۱. با تغییر متغیرهای  $t = e^{i\pi}/s$  برای  $H_{\nu}^{(1)}$  و  $t = e^{-i\pi}/s$  برای  $H_{\nu}^{(2)}$ ، داریم

$$H_{\nu}^{(1)}(x) = e^{-i\nu\pi} H_{-\nu}^{(1)}(x) \quad (105.11)$$

$$H_{\nu}^{(2)}(x) = e^{i\nu\pi} H_{-\nu}^{(2)}(x) \quad (106.11)$$

۲. از معادله‌های (۱۰۳.۱۱)  $(v \rightarrow -v)$ ، (۱۰۵.۱۱)، و (۱۰۶.۱۱) داریم

$$J_{-v}(x) = \frac{1}{\sqrt{x}} [e^{i\nu\pi} H_\nu^{(1)}(x) + e^{-i\nu\pi} H_\nu^{(2)}(x)] \quad (107.11)$$

۳. سرانجام  $J_\nu$  [معادله (۱۰۳.۱۱)] و  $J_{-\nu}$  [معادله (۱۰۷.۱۱)] را در معادله معرف  $N_\nu$ ، معادله (۶۰.۱۱) می‌نشانیم. در نتیجه معادله (۱۰۴.۱۱) به دست می‌آید و انتگرالهای پربندی معادله (۱۰۱.۱۱) و (۱۰۲.۱۱) به‌عنوان توابع هنکل تثبیت می‌شوند.

قبلاً هم بانمایشهای انتگرالی بر‌خورد داشته‌ایم: معادله (۳۵.۱۰) برای  $\Gamma(z)$  و نمایشهای مختلف  $J_\nu(z)$  در بخش ۱۰.۱۱. اینک پس از اینکه نمایش انتگرالی توابع هنکل را به دست آورده‌ایم، شاید به‌جا باشد بپرسیم چرا این نمایشهای انتگرالی را جستجوی کنیم؟ دست کم چهار دلیل برای این کار وجود دارد. دلیل اول، صرفاً، جذابیت توأم با ظرافت این نمایشهاست، برای گروهی از دست‌اندرکاران، این نمایشها بسیار جالب‌اند. دوم اینکه، نمایشهای انتگرالی به ما کمک می‌کنند تا دوجواب مستقل خطی را از یکدیگر تمیز دهیم. در شکل ۷.۱۱، پربندهای  $C_1$  و  $C_2$  از نقاط زینی متفاوتی می‌گذرند (بخش ۴.۷). در مورد توابع لژاندر، پربند مربوط به  $P_n(z)$  (شکل ۹.۱۲) و پربند مربوط به  $Q_n(z)$  نقاط تکین متفاوتی را دور می‌زنند.

سوم اینکه، نمایشهای انتگرالی، کار کردن با توابع خاص مختلف، تجزیه و تحلیل آنها، و ایجاد روابطی میان آنها را میسر می‌سازد. دلیل چهارم و شاید مهمترین دلیل آن است که نمایشهای انتگرالی در گسترش بسطهای مجانبی بسیار مفید واقع می‌شوند. یکی از رهیافتهای یعنی روش تندترین کاهش در بخش ۴.۷ آمده است. رهیافتی دیگر، یعنی بسط مستقیم یک نمایش انتگرالی در بخش ۶.۱۱ برای تابع تعدیل‌یافته بسل  $K_\nu(z)$  ارائه شده است. همین روش را می‌توان برای دستیابی به بسطهای مجانبی توابع فوق‌هندسی همشار  $M$  و  $U$  به‌کار برد (مسئله ۱۳.۶.۱۳).

در نتیجه، معرفی توابع هنکل به دلایل زیر صورت پذیرفته است:

۱. این توابع مشابه با  $e^{\pm ix}$ ، برای توصیف امواج پیشرونده مفید واقع می‌شوند.
۲. تعریفی دیگر (انتگرال پربندی) و ظریف برای توابع بسل ارائه می‌کنند.
۳. برای تعریف تابع تعدیل‌یافته بسل  $K_\nu$  در بخش ۵.۱۱ به‌کار می‌رود.

## مسائل

۱۰۴.۱۱ درستی فرمولهای رونسکیبی زیر را تحقیق کنید

$$J_\nu(x) H_\nu^{(1)'}(x) - J_\nu'(x) H_\nu^{(1)}(x) = \frac{2i}{\pi x} \quad (\text{الف})$$

$$J_{\nu}(x)H_{\nu}^{(\nu)'}(x) - J'_{\nu}(x)H_{\nu}^{(\nu)}(x) = \frac{-i \times \gamma}{\pi x} \quad (\text{ب})$$

$$N_{\nu}(x)H_{\nu}^{(\nu)'}(x) - N'_{\nu}(x)H_{\nu}^{(\nu)}(x) = \frac{-\gamma}{\pi x} \quad (\text{ج})$$

$$N_{\nu}(x)H_{\nu}^{(\nu)'}(x) - \frac{1}{\gamma}N'_{\nu}(x)H_{\nu}^{(\nu)}(x) = \frac{-\gamma}{\pi x} \quad (\text{د})$$

$$H_{\nu}^{(\nu)}(x)H_{\nu}^{(\nu)'}(x) - \dot{H}_{\nu}^{(\nu)'}(x)H_{\nu}^{(\nu)}(x) = \frac{-i \times \gamma}{\pi x} \quad (\text{ه})$$

$$H_{\nu}^{(\nu)}(x)H_{\nu+\frac{1}{2}}^{(\nu)}(x) - H_{\nu}^{(\nu)}(x)H_{\nu+\frac{1}{2}}^{(\nu)}(x) = \frac{\gamma}{i\pi x} \quad (\text{و})$$

$$J_{\nu-\frac{1}{2}}(x)H_{\nu}^{(\nu)}(x) - J_{\nu}(x)H_{\nu-\frac{1}{2}}^{(\nu)}(x) = \frac{\gamma}{i\pi x} \quad (\text{ز})$$

۲۰۴.۱۱ نشان دهید که صورتهای انتگرالی

$$\frac{1}{i\pi} \int_{0}^{\infty} e^{i\pi} e^{(x/\gamma)(t-\gamma/t)} \frac{dt}{t^{\nu+1}} = H_{\nu}^{(\nu)}(x) \quad (\text{الف})$$

$$\frac{1}{i\pi} \int_{\infty}^0 e^{-i\pi} e^{(x/\gamma)(t-\gamma/t)} \frac{dt}{t^{\nu+1}} = H_{\nu}^{(\nu)}(x) \quad (\text{ب})$$

در معادله دیفرانسیل بسل صدق می کنند. پربندهای  $C_{\nu}$  و  $C_{\frac{1}{2}}$  در شکل ۹.۱۱ نشان داده شده اند.

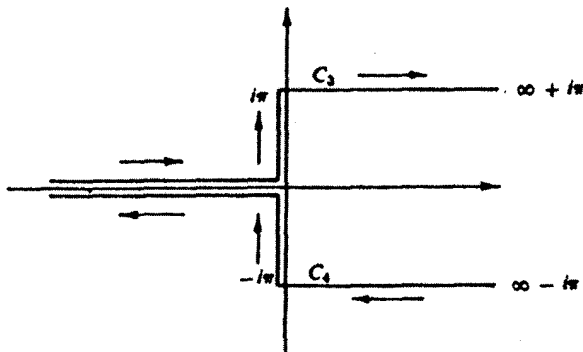
۳۰۴.۱۱ با استفاده از انتگرالها و پربندهای مسئله ۲۰۴.۱۱، نشان دهید

$$\frac{1}{\gamma i} \left[ H_{\nu}^{(\nu)}(x) - H_{\nu}^{(\nu)}(x) \right] = N_{\nu}(x)$$

۴۰۴.۱۱ نشان دهید که با تبدیل انتگرالهای مسئله ۲۰۴.۱۱ می توان به عبارتهای زیر رسید (شکل ۱۰.۱۱ را ببینید).

$$H_{\nu}^{(\nu)}(x) = \frac{1}{\pi i} \int_{C_{\gamma}} e^{x \sinh \gamma - \nu \gamma} d\gamma \quad (\text{الف})$$

$$H_{\nu}^{(\nu)}(x) = \frac{1}{\pi i} \int_{C_{\gamma}} e^{x \sinh \gamma - \nu \gamma} d\gamma \quad (\text{ب})$$



شکل ۱۰۰۱۱ پر بندهای تابع هنکل.

۵۰۴۰۱۱ (الف)  $H_0^{(1)}(x)$  در معادله (۱۰۰۱۱) را به صورت زیر تبدیل کنید

$$H_0^{(1)}(x) = \frac{1}{i\pi} \int_c e^{ix \cosh s} ds$$

که در آن پر بند  $C$  از  $-\infty - i\pi/2$  تا  $\infty + i\pi/2$  ادامه دارد و از مبدأ صفحه  $s$  می‌گذرد.

(ب) درستی باز نویسی  $H_0^{(1)}(x)$  به صورت زیر را تحقیق کنید

$$H_0^{(1)}(x) = \frac{2}{i\pi} \int_0^{\infty + i\pi/2} e^{ix \cosh s} ds$$

(ج) تحقیق کنید که این نمایش انتگرالی عملاً در معادله دیفرانسیل بسل صدق می‌کند. (وجود  $i\pi/2$  در حد بالا امری اساسی نیست، به عنوان یک ضریب همگرایی از آن استفاده می‌شود. می‌توانیم به جای آن  $i\pi/2$  را بنشانیم و حد بگیریم.)

۶۰۴۰۱۱ با استفاده از عبارت

$$H_0^{(1)}(x) = \frac{2}{i\pi} \int_0^{\infty} e^{ix \cosh s} ds$$

نشان دهید

$$J_0(x) = \frac{2}{\pi} \int_0^{\infty} \sin(x \cosh s) ds \quad (\text{الف})$$

$$J_0(x) = \frac{2}{\pi} \int_1^{\infty} \frac{\sin(xt)}{\sqrt{t^2 - 1}} dt \quad (\text{ب})$$

نتیجه اخیر یکی از تبدیلهای سینوسی فوریه است.

۷۰۴.۱۱ با استفاده از

$$H_0^{(1)}(x) = \frac{2}{i\pi} \int_0^\infty e^{ix \cosh s} ds$$

نشان دهید

$$N_0(x) = -\frac{2}{\pi} \int_0^\infty \cos(x \cosh s) ds \quad (\text{الف})$$

$$N_0(x) = -\frac{2}{\pi} \int_1^\infty \frac{\cos(xt)}{\sqrt{t^2-1}} dt \quad (\text{ب})$$

اینها همان معادلات (۶۵.۱۱ الف) هستند.  
نتیجه اخیر یک تبدیل کسینوسی فوریه است.

### ۵.۱۱ توابع تعدیل یافته بسل، $I_p(x)$ و $K_p(x)$

با تفکیک معادله هلمهولتز

$$\nabla^2 \psi + k^2 \psi = 0$$

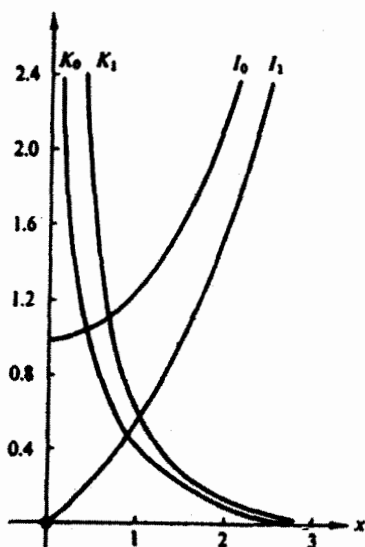
در مختصات استوانه‌ای، معادله (۲۲.۱۱ الف)، یا معادله بسل، را به دست می‌آوریم. توابع بسل  $J_p(k\rho)$ ، و نویمان  $N_p(k\rho)$  و هر ترکیب خطی آنها نظیر توابع هنکل  $H_p^{(1)}(k\rho)$  و  $H_p^{(2)}(k\rho)$  در معادله (۲۲.۱۱ الف) صدق می‌کنند. در اینجا معادله هلمهولتز بخش فضایی پدیده موجی را توصیف می‌کند. اگر به جای این، یک مسئله پخش داشتیم، آنگاه به جای معادله هلمهولتز معادله زیر می‌نشست

$$\nabla^2 \psi - k^2 \psi = 0 \quad (۱۰۸.۱۱)$$

و شبیه معادله (۲۲.۱۱ الف)، به صورت زیر درمی‌آمد

$$\rho^2 \frac{d^2}{d\rho^2} Y_p(k\rho) + \rho \frac{d}{d\rho} Y_p(k\rho) - (k^2 \rho^2 + \nu^2) Y_p(k\rho) = 0 \quad (۱۰۹.۱۱)$$

معادله هلمهولتز را می‌توان از طریق تبدیل  $k \rightarrow ik$  به معادله پخش تبدیل کرد. به همین ترتیب، تبدیل  $k \rightarrow ik$ ، معادله (۲۲.۱۱ الف) را به معادله (۱۰۹.۱۱) تبدیل می‌کند و نشان می‌دهد که



شکل ۱۱-۱۱ توابع تعدیل یافته بسل.

$$Y_\nu(k\rho) = Z_\nu(ik\rho)$$

جوابهای معادله (۱۰۹.۱۱)، عبارت‌اند از توابع بسل با شناسهٔ موهومی. برای دستیابی به جوابی که در مبدأ منظم باشد،  $Z_\nu$  را بر اثر تابع منظم بسل  $J_\nu$  می‌گیریم. متداول (و مناسب) است که بهنجارش را چنان برگزینیم که

$$Y_\nu(k\rho) = I_\nu(x) \equiv i^{-\nu} J_\nu(ix) \quad (۱۱۰.۱۱)$$

(در اینجا برای سادگی، متغیر  $k\rho$  را با  $x$  تعویض کرده‌ایم.) این تابع را غالباً به صورت زیر می‌نویسند

$$I_\nu(x) = e^{-\nu\pi i/2} J_\nu(xe^{i\pi/2}) \quad (۱۱۱.۱۱)$$

$I_0$  و  $I_1$  در شکل ۱۱-۱۱ نشان داده شده‌اند.

صورت سری

این تابع، بر حسب بسط سری، معادل آن است که علامت  $(-1)^\nu$  را در معادله (۵.۱۱) برداریم و بنویسیم

$$I_\nu(x) = \sum_{s=0}^{\infty} \frac{1}{s!(s+\nu)!} \left(\frac{x}{2}\right)^{2s+\nu} \quad (112.11)$$

$$I_{-\nu}(x) = \sum_{s=0}^{\infty} \frac{1}{s!(s-\nu)!} \left(\frac{x}{2}\right)^{2s-\nu}$$

افزودن ضریب بهنجارش  $i^{-\nu}$ ، در هر جمله  $i^\nu$  را حذف و  $I_\nu(x)$  را حقیقی می‌کند. در نتیجه به ازای عدد درست  $\nu$

$$I_n(x) = I_{-n}(x) \quad (113.11)$$

### روابط بازگشتی

روابط بازگشتی را که  $I_\nu(x)$  در آنها صدق می‌کند، می‌توان از بسطهای سری به دست آورد، ولی شاید ساده‌تر باشد که با روابط بازگشتی موجود برای  $J_\nu(x)$  کار کنیم. اگر به جای  $x$  کمیت  $-ix$  را بنشانیم و معادله (۱۱۰.۱۱) را به صورت زیر بازنویسی کنیم

$$J_\nu(x) = i^\nu I_\nu(-ix) \quad (114.11)$$

آنگاه، معادله (۱۰.۱۱) به صورت زیر در می‌آید

$$i^{\nu-1} I_{\nu-1}(-ix) + i^{\nu+1} I_{\nu+1}(-ix) = \frac{2\nu}{x} i^\nu I_\nu(-ix)$$

به کمک تمویض  $x$  با  $ix$ ، رابطه بازگشتی زیر را برای  $I_\nu(x)$  داریم

$$I_{\nu-1}(x) - I_{\nu+1}(x) = \frac{2\nu}{x} I_\nu(x) \quad (115.11)$$

معادله (۱۲.۱۱) به معادله زیر تبدیل می‌شود

$$I_{\nu-1}(x) + I_{\nu+1}(x) = 2I'_\nu(x) \quad (116.11)$$

اینها روابطی بازگشتی اند که در مسئله ۱۴.۱.۱۱ مورد استفاده قرار گرفتند.

لازم به تذکر است که هر چند دو رابطه بازگشتی، معادلات (۱۱۵.۱۱) و (۱۱۶.۱۱)، یا مسئله ۷.۵.۱۱، يك معادله دیفرانسیل مرتبه دوم را مشخص می‌کنند، عکس این موضوع صادق نیست. یعنی معادله دیفرانسیل، روابط بازگشتی را به طور یکتا تعیین نمی‌کند معادلات (۱۱۵.۱۱) و (۱۱۶.۱۱) و مسئله ۷.۵.۱۱ این مطلب را نشان می‌دهند.

از معادله (۱۱۳.۱۱) مشاهده می‌شود که هرگاه  $\nu$  عددی درست باشد، تنها يك جواب مستقل داریم، درست مانند توابع بسل  $J_\nu$ . انتخاب يك جواب مستقل دیگر برای معادله (۱۰۸.۱۱) بر اساس تناسب با مبحث تحت بررسی صورت می‌گیرد. جواب دیگری که در اینجا می‌آوریم، بر اساس رفتار مجانبی، به صورتی که در بخش بعد نشان می‌دهیم، برگزیده

شده است. درهم برهمی گزینه‌ها و نمادهای مربوط به این جواب شاید نسبت به هر مورد دیگر در این زمینه بیشتر باشد. بسیاری از مؤلفان<sup>۱</sup> ترجیح می‌دهند که جواب دوم را بر حسب تابع هنکل  $H_\nu^{(1)}(x)$  به صورت زیر تعریف کنند

$$K_\nu(x) \equiv \frac{\pi}{2} i^{\nu+1} H_\nu^{(1)}(ix) \quad (117.11)$$

$$= \frac{\pi}{2} i^{\nu+1} [J_\nu(ix) + iN_\nu(ix)]$$

ضریب  $i^{\nu+1}$ ، کمیت  $K_\nu(x)$  را به ازای مقادیر حقیقی  $x$ ، حقیقی می‌سازد. با استفاده از معادله‌های (۶۰.۱۱) و (۱۱۰.۱۱) می‌توانیم معادله (۱۱۷.۱۱) را به صورت زیر تبدیل کنیم<sup>۲</sup>

$$K_\nu(x) = \frac{\pi}{2} \frac{I_{-\nu}(x) - I_\nu(x)}{\sin \nu\pi} \quad (118.11)$$

که شبیه معادله (۶۰.۱۱) برای  $N_\nu(x)$  است. انتخاب معادله (۱۱۷.۱۱) به عنوان یک تعریف تاحدودی نامتناسب است، زیرا تابع  $K_\nu(x)$  به این ترتیب در همان روابط بازگشتی  $I_\nu(x)$  صدق نمی‌کند (با مسائل ۷.۵.۱۱ و ۸.۵.۱۱ مقایسه کنید). مؤلفان<sup>۳</sup> دیگر برای اجتناب از این دردسر، یک ضریب اضافی کسینوس  $n\pi$  وارد کرده‌اند. این اقدام باعث می‌شود که  $K_\nu$  در همان روابط بازگشتی  $I_\nu$  صدق کند، ولی این اشکال را هم دارد که  $K_\nu$  به ازای  $\nu = 1/2, 3/2, 5/2, \dots$  صفر می‌کند.

بسط سری  $K_\nu(x)$  مستقیماً از صورت سری  $H_\nu^{(1)}(ix)$  به دست می‌آید. جملات با کمترین توان عبارت‌اند از

$$K_0(x) = -\ln x - \gamma + \ln 2 + \dots \quad (119.11)$$

$$K_\nu(x) = 2^{\nu-1} (\nu-1)! x^{-\nu} + \dots$$

از آنجا که رابطه بین تابع تعدیل یافته بسل،  $I_\nu$ ، با تابع بسل  $J_\nu$ ، بسیار به رابطه بین  $\sinh$  و سینوس شبیه است، گاهی  $I_\nu$  و جواب دوم  $K_\nu$  را توابع هذلولوی (هیپر بولیک) می‌خوانند.

نمایشهای انتگرالی  $I_0(x)$  و  $K_0(x)$  عبارت‌اند از

$$I_0(x) = \frac{1}{\pi} \int_0^\pi \cosh(x \cos \theta) d\theta \quad (120.11)$$

۱. در این باره بحث و مقایسه‌ای از نمادها در "MTAC 1,207-308(1944)" آمده است.
2. Watson, Morse and Feshbach, Jeffreys and Jeffreys (without the  $\pi/2$ ).
۳. برای شاخص پایین عدد درست  $n$ ، حد  $\nu \rightarrow n$  را حساب می‌کنیم.
4. Whittaker and Watson



$$K_0(x) = \int_0^\infty \cos(x \sinh t) dt = \int_0^\infty \frac{\cos(xt) dt}{(t^2+1)^{1/2}}, \quad x > 0 \quad (۱۲۱.۱۱)$$

معادله (۱۲۰.۱۱) را می‌شود از معادله (۳۰.۱۱) به‌ازای  $J_0(x)$  استخراج کرد و یا در مسئله ۴.۵.۱۱ آن را حالت خاص  $\nu = 0$  دانست. نمایش انتگرالی  $K_0$ ، معادله (۱۲۱.۱۱)، یک تبدیل فوریه است، و می‌توان آن را، با استفاده از تبدیلهای فوریه فصل ۱۵، و یا توابع گرین بخش ۶.۱۶ به‌بهترین وجهی استخراج کرد. سایر صورتهای گوناگون نمایشهای انتگرالی (شامل  $\nu \neq 0$ ) در مسائل ظاهر می‌شوند. این نمایشهای انتگرالی در ایجاد صورتهای معجانبی (بخش ۶.۱۱) و در ارتباط با تبدیلهای فوریه فصل ۱۵ سودمند واقع می‌شوند. برای آنکه در زمینه توابع تعدیل یافته بسل  $I_\nu(x)$  و  $K_\nu(x)$  به‌چشم‌انداز درستی رسیده باشیم، آنها را به‌دلایل زیر در اینجا آورده‌ایم:

۱. این توابع جوابهای معادله بسیار متداول تعدیل یافته بسل هستند.
۲. در مسائل فیزیکی خاصی چون مسائل پخش، به این توابع نیاز داریم.
۳. از  $K_\nu(x)$  یک تابع گرین حاصل می‌شود (بخش ۶.۱۶ را ببینید).
۴.  $K_\nu(x)$  تعیین رفتار معجانبی را به‌طور مناسبی می‌سازد (بخش ۶.۱۱).

### مسائل

۱۰۵.۱۱ نشان دهید

$$e^{(x/2)(t+1/t)} = \sum_{n=-\infty}^{\infty} I_n(x) t^n$$

یعنی تابع مولد توابع تعدیل یافته بسل  $I_n(x)$  را یافته‌ایم.

۲.۵.۱۱ درستی اتحادهای زیر را تحقیق کنید

$$1 = I_0(x) + 2 \sum_{n=1}^{\infty} (-1)^n I_{2n}(x) \quad (\text{الف})$$

$$e^x = I_0(x) + 2 \sum_{n=1}^{\infty} I_n(x) \quad (\text{ب})$$

$$e^{-x} = I_0(x) + 2 \sum_{n=1}^{\infty} (-1)^n I_n(x) \quad (\text{ج})$$

$$\cosh x = I_0(x) + 2 \sum_{n=1}^{\infty} I_{2n}(x) \quad (\text{د})$$

$$\sinh x = 2 \sum_{n=1}^{\infty} I_{2n-1}(x) \quad (۵)$$

۳۰۵.۱۱ (الف) با استفاده از تابع مولد مسئله ۱۰۵.۱۱، نشان دهید

$$I_n(x) = \frac{1}{2\pi i} \oint \exp[(x/2)(t + 1/t)] \frac{dt}{t^{n+1}}$$

(ب) نشان دهید نمایش انتگرالی بالا را، به ازای  $n = \nu$ ، که  $\nu$  عددی غیر درست است، می‌شود به صورت زیر تعمیم داد

$$I_\nu(x) = \frac{1}{2\pi i} \int_C \exp[(x/2)(t + 1/t)] \frac{dt}{t^{\nu+1}}$$

پربند  $C$ ، همان پربند مربوط به  $J_\nu(x)$  در شکل ۸.۱۱ است.

۴۰۵.۱۱ نشان دهید که  $I_\nu(z)$  به ازای  $\nu > -1/2$  را می‌توان به صورت زیر نمایش داد

$$\begin{aligned} I_\nu(z) &= \frac{1}{\pi^{1/2}(\nu - \frac{1}{2})!} \left(\frac{z}{2}\right)^\nu \int_0^\pi e^{\pm z \cos \theta} \sin^{2\nu} \theta \, d\theta \\ &= \frac{1}{\pi^{1/2}(\nu - \frac{1}{2})!} \left(\frac{z}{2}\right)^\nu \int_{-1}^1 e^{\pm zp} (1-p^2)^{\nu-1/2} dp \\ &= \frac{2}{\pi^{1/2}(\nu - \frac{1}{2})!} \left(\frac{z}{2}\right)^\nu \int_0^{\pi/2} \cosh(z \cos \theta) \sin^{2\nu} \theta \, d\theta \end{aligned}$$

۵۰۵.۱۱ شعاع يك كاوك استوانه‌ای  $a$  و ارتفاع آن  $l$  است (شکل ۴.۱۱). دو انتهای  $z = l$  و  $z = 0$  آن در پتانسیل صفر قرار دارد. پتانسیل دیواره‌های استوانه،  $\rho = a$ ، عبارت است از  $V = V(\varphi, z)$

(الف) نشان دهید که پتانسیل الکتروستاتیکی  $\Phi(\rho, \varphi, z)$  به صورت تابعی زیر

است

$$\Phi(\rho, \varphi, z) = \sum_{m=0}^{\infty} \sum_{n=1}^{\infty} I_m(k_n \rho) \sin k_n z \cdot (a_{mn} \sin m\varphi + b_{mn} \cos m\varphi)$$

که در آن  $k_n = n\pi/l$

(ب) نشان دهید که ضرایب  $a_{mn}$  و  $b_{mn}$  از روابط زیر به دست می آیند<sup>۱</sup>

$$\left. \begin{matrix} a_{mn} \\ b_{mn} \end{matrix} \right\} = \frac{2}{\pi I_m(k_n a)} \int_0^{2\pi} \int_0^1 V(\varphi, z) \sin k_n z \cdot \begin{cases} \sin m\varphi \\ \cos m\varphi \end{cases} dz d\varphi$$

دانهمایی.  $V(\varphi, z)$  را به صورت یک سری دوگانه بسط دهید و از تعامد توابع مثلثاتی استفاده کنید.

۶۰۵۰۱۱ تحقیق کنید که  $K_\nu(x)$  از رابطه زیر به دست می آید

$$K_\nu(x) = \frac{\pi}{2} \frac{I_{-\nu}(x) - I_\nu(x)}{\sin \nu\pi}$$

و با استفاده از آن نشان دهید

$$K_\nu(x) = K_{-\nu}(x)$$

۷۰۵۰۱۱ نشان دهید  $K_\nu(x)$  در روابط بازگشتی زیر صدق می کند

$$K_{\nu-1}(x) - K_{\nu+1}(x) = -\frac{2\nu}{x} K_\nu(x)$$

$$K_{\nu-1}(x) + K_{\nu+1}(x) = -2K'_\nu(x)$$

۸۰۵۰۱۱ اگر  $\mathcal{K}_\nu = e^{\nu\pi i} K_\nu$ ، نشان دهید در همان روابط بازگشتی  $I_\nu$  صدق می کند.

۹۰۵۰۱۱ نشان دهید  $K_\nu(z)$  را، به ازای  $\nu > -1/2$ ، می شود به صورت زیر نمایش داد

$$K_\nu(z) = \frac{\pi^{1/2}}{\left(\nu - \frac{1}{2}\right)!} \left(\frac{z}{2}\right)^\nu \int_0^\infty e^{-z \cosh t} \sinh^{\nu-1} t dt, \quad -\frac{\pi}{2} < \arg z < \frac{\pi}{2}$$

$$= \frac{\pi^{1/2}}{\left(\nu - \frac{1}{2}\right)!} \left(\frac{z}{2}\right)^\nu \int_1^\infty e^{-zp} (p^2 - 1)^{\nu-1/2} dp$$

۱۰۵۰۱۱ نشان دهید  $I_\nu(x)$  و  $K_\nu(x)$  در رابطه دونسکیی زیر صدق می کنند

۱. اگر  $m=0$ ، آنگاه ۲ در صورت کسر به جای ۱ می نشیند.

$$I_\nu(x)K'_\nu(x) - I'_\nu(x)K_\nu(x) = -\frac{1}{x}$$

از این رابطه در بخش ۶.۱۶ در تشکیل تابع گرین استفاده شده است.

۱۱.۵.۱۱ اگر  $r = (x^2 + y^2)^{1/2}$ ، ثابت کنید

$$\frac{1}{r} = \frac{2}{\pi} \int_0^\infty \cos(xt) K_0(yt) dt$$

این تبدیل کسینوس فوریه  $K_0$  است.

۱۲.۵.۱۱ (الف) تحقیق کنید

$$I_0(x) = \frac{1}{\pi} \int_0^\pi \cosh(x \cos \theta) d\theta$$

در معادله تعدیل یافته بسل، به ازای  $\nu = 0$ ، صدق می کند.

(ب) نشان دهید که این انتگرال حاوی هیچ آمیزه‌ای از  $K_0(x)$ ، یعنی جواب دوم نامنظم، نیست.

(ج) ضریب بهنجارش،  $1/\pi$ ، را به دست آورید.

۱۳.۵.۱۱ از طریق جانشانی مستقیم در معادله، تحقیق کنید که نمایشهای انتگرالی

$$I_n(z) = \frac{1}{\pi} \int_0^\pi e^{z \cos t} \cos(nt) dt$$

$$K_\nu(z) = \int_0^\infty e^{-z \cosh t} \cosh(\nu t) dt, \quad \Re(z) > 0$$

در معادله تعدیل یافته بسل صدق می کنند. چگونه می توانید نشان دهید که صورت اول حاوی هیچ آمیزه‌ای از  $K_n$  و نیز صورت دوم حاوی هیچ آمیزه‌ای از  $I_\nu$  نیست؟ چگونه می توانید بهنجارش را بیازمایید؟

۱۴.۵.۱۱ نمایش انتگرالی زیر را استخراج کنید

$$I_n(x) = \frac{1}{\pi} \int_0^\pi e^{x \cos \theta} \cos(n\theta) d\theta$$

اذهمایی. کار خود را با نمایش انتگرالی متناظر برای  $J_n(x)$  شروع کنید. معادله (۱۲.۵.۱۱) حالت خاصی از این نمایش است.

$$K_0(z) = \int_0^{\infty} e^{-z \cosh t} dt$$

در معادله تعدیل یافته بسل صدق می کند. چگونه می توانید ثابت کنید که این صورت، نسبت به  $I_0(z)$  مستقل خطی است؟

$$e^{ax} = I_0(a)T_0(x) + 2 \sum_{n=1}^{\infty} I_n(a)T_n(x), \quad -1 \leq x \leq 1$$

$T_n(x)$  چند جمله ای مرتبه  $n$ ام چیشف (بخشهای ۳.۱۳ و ۴.۱۳ را ببینید) است. راهنمایی. یک بسط سری چیشف را در نظر بگیرید. با استفاده از تعامد و بهنجارش  $T_n(x)$ ها، ضرایب سری چیشف را به دست آورید.

۱۷۰۵۰۱۱ (الف) زیر-برنامه ای بادقت مضاعف، برای محاسبه  $I_n(x)$  تا ۱۲ رقم اعشار، به ازای  $0 \leq x \leq 1$  و  $n = 0, 1, 2, 3, \dots$  بنویسید. مقادیری را که به دست آورده اید با ارقامی که تاده رقم اعشار در جدول ۱۱.۹، در AMS-55، آمده مقایسه کنید.

(ب) با مراجعه به مسئله ۱۶.۵۰۱۱، ضرایب بسطهای چیشف  $\cosh x$  و  $\sinh x$  را محاسبه کنید.

یادآوری. محاسبه این ضرایب با روشی متفاوت، یکی از مباحث بخش ۴.۱۳ را تشکیل می دهد.

۱۸۰۵۰۱۱ پتانسیل موجود در دیواره استوانه ای کاواک استوانه ای مسئله ۵.۵۰۱۱ به صورت زیر است

$$V(z) = \begin{cases} 100z/l, & 0 \leq z/l \leq 1/2 \\ 100(1-z/l), & 1/2 \leq z/l \leq 1 \end{cases}$$

برای نسبت شعاع به ارتفاع به مقدار  $a/l = 0.5$ ، پتانسیل را به ازای  $0.5$  (۰۱) و  $0.1$  (۰۲) محاسبه کنید.

مقدار آزمونی. به ازای  $z/l = 0.3$  و  $\rho/a = 0.8$  و  $V = 26396$ .

## ۶.۱۱ بسطهای مجانبی

در مسائل فیزیکی بارها لازم می آید که از رفتار تابع تعدیل یافته بسل به ازای مقادیر بزرگ شناسه، یعنی رفتار مجانبی این تابع، آگاهی یابیم. این یکی از مواردی است که از کامپیوتر کمک چندانی بر نمی آید. یکی از رهیافتهای ممکن آن است که مانند بخش ۵.۸، یک جواب سری، ولی این بار با توانهای منفی، برای معادله دیفرانسیل به دست آوریم. این شگرد روش استوکس (مسئله ۵.۶.۱۱) است. محدودیت این روش آنجاست که، با شروع از یک مقدار مثبت شناسه (به خاطر همگرایی سری)، نمی دانیم چه آمیزه ای از جوابها و یا چه مضربی از یک جواب معلوم را داریم. مسئله عبارت از آن است که سری مجانبی را (که به ازای مقادیر بزرگ متغیر مفید است) به سری توانی یا تعریف مربوط به آن (که به ازای مقادیر کوچک متغیر سودمند است) مربوط سازیم. این ارتباط را می توان، از طریق وارد کردن یک نمایش انتگرالی مناسب، و سپس، با استفاده از روش تندترین کاهش یادشده در بخش ۴.۷ (جلداول)، و یا بسط مستقیم به صورتی که در این بخش مطرح خواهد شد، برقرار کرد.

بسط یک نمایش انتگرالی،  $K_\nu(z)$

به عنوان یک رهیافت مستقیم، نمایش انتگرالی زیر را در نظر بگیرید (مسئله ۹.۵.۱۱)

$$K_\nu(z) = \frac{\pi^{1/2}}{\left(\nu - \frac{1}{2}\right)!} \left(\frac{z}{2}\right)^\nu \int_1^\infty e^{-zx} (x^2 - 1)^{\nu - 1/2} dx, \quad \nu > -\frac{1}{2} \quad (122.11)$$

هر چند می توان معادله (۱۳۶.۱۱) را برای مقادیر حقیقی  $z$  به ازای

$$(\Re(z) > 0) - \pi/2 < \arg z < \pi/2$$

نیز اثبات کرد، ولی فعلا  $z$  را حقیقی بگیرد. سه مسئله در پیش رو داریم: (۱) نشان بدهیم که  $K_\nu$  به صورتی که در معادله (۱۲۲.۱۱) داده شده است در معادله تعدیل یافته بسل (۱۰۸.۱۱) صدق می کند؛ (۲) نشان بدهیم که جواب منظم  $I_\nu$  غایب است؛ و (۳) نشان بدهیم که معادله (۱۲۲.۱۱) دارای بهنجارش درستی است.

۱. این واقعیت را می توان از طریق جانشانی مستقیم اثبات کرد که معادله (۱۲۲.۱۱)

یکی از جوابهای معادله تعدیل یافته بسل است. خواهیم داشت

$$z^{\nu+1} \int_1^\infty \frac{d}{dx} [e^{-zx} (x^2 - 1)^{\nu+1/2}] dx = 0$$

که انتگرالده مرکب را به مشتق یک تابع که در هر دو نقطه انتهایی صفر می شود، تبدیل می کند. در نتیجه ثابت می شود که انتگرال بالا ترکیبی است خطی از  $I_\nu$  و  $K_\nu$ .

۲. نفی این امکان که این جواب حاوی  $I_\nu$  باشد، موضوع مسئله ۱۰.۶.۱۱ است.

۳. بهنجارش را می توان از طریق تغییر متغیر  $x = 1 + t/z$  به صورت زیر تحقیق کرد

$$\begin{aligned} & \frac{\pi^{1/2}}{\left(\nu - \frac{1}{2}\right)!} \left(\frac{z}{2}\right)^\nu \int_1^\infty e^{-zx} (x^2 - 1)^{\nu-1/2} dx \\ &= \frac{\pi^{1/2}}{\left(\nu - \frac{1}{2}\right)!} \left(\frac{z}{2}\right)^\nu e^{-z} \int_0^\infty e^{-t} \left(\frac{t^2}{z^2} + \frac{2t}{z}\right)^{\nu-1/2} \frac{dt}{z} \\ & \qquad \qquad \qquad (الف ۱۲۳.۱۱) \\ &= \frac{\pi^{1/2}}{\left(\nu - \frac{1}{2}\right)!} \frac{e^{-z}}{2^\nu z^\nu} \int_0^\infty e^{-t} t^{\nu-1} \left(1 + \frac{2t}{t}\right)^{\nu-1/2} dt \\ & \qquad \qquad \qquad (ب ۱۲۳.۱۱) \end{aligned}$$

که در انتگرالده آخری از يك عامل  $t^2/z^2$  فاکتور گرفته‌ایم. ایسن تغییر منفیر، حدود انتگرالگیری را به گستره مناسبتری تبدیل و وابستگی نمایی منفی  $e^{-z}$  را مجزا کرده است. انتگرال معادله (۱۲۳.۱۱) را می‌شود به ازای  $z=0$  محاسبه کرد که کمیت  $(\nu-1)!$  به دست می‌آید. آنگاه با استفاده از دستورهای دو برابر (بخش ۳.۱۰)، داریم

$$\lim_{z \rightarrow 0} K_\nu(z) = \frac{(\nu-1)! 2^{\nu-1}}{z^\nu}, \quad \nu > 0 \quad (۱۲۴.۱۱)$$

که با معادله (۱۱۹.۱۱) سازگار است، در نتیجه بهنجارش را امتحان کرده‌ایم.

اکنون در راستای تشکیل يك سری مجانبی برای  $K_\nu(z)$ ، می‌توان (الف ۱۲۳.۱۱) را به صورت زیر بازنویسی کرد

$$K_\nu(z) = \sqrt{\frac{\pi}{2z}} \frac{e^{-z}}{\left(\nu - \frac{1}{2}\right)!} \int_0^\infty e^{-t} t^{\nu-1/2} \left(1 + \frac{t}{2z}\right)^{\nu-1/2} dt \quad (۱۲۵.۱۱)$$

(که در آن از عامل  $2t/z$  فاکتور گرفته‌ایم).

را به کمک قضیه دو جمله‌ای بسط می‌دهیم، در نتیجه

$$K_\nu(z) = \sqrt{\frac{\pi}{2z}} \frac{e^{-z}}{\left(\nu - \frac{1}{2}\right)!} \sum_{r=0}^{\infty} \frac{\left(\nu - \frac{1}{2}\right)!}{r! \left(\nu - r - \frac{1}{2}\right)!} (2z)^{-r} \int_0^\infty e^{-t} t^{\nu+r-1/2} dt \quad (۱۲۶.۱۱)$$

۱. این انتگرال به ازای  $\nu=0$  به صورت لکاربتمی واگرا می‌شود که با واگرایی لکاربتمی  $K_0(z)$  (بخش ۵.۱۱) سازگار است.

انتگرالگیری جمله به جمله (که در مورد سریهای مجانبی صادق است)، بسط مجانبی مطلوب برای  $K_\nu(z)$  را به دست می دهد

$$K_\nu(z) \sim \sqrt{\frac{\pi}{2z}} e^{-z} \left[ 1 + \frac{(4\nu^2 - 1^2)}{1! 8z} + \frac{(4\nu^2 - 1^2)(4\nu^2 - 3^2)}{2! (8z)^2} + \dots \right] \quad (127.11)$$

هر چند انتگرالگیری روی محور حقیقی در معادله (۱۲۲.۱۱) تنها به ازای  $-\pi/2 < \arg z < \pi/2$  همگرا بود، معادله (۱۲۷.۱۱) را می توان تا  $-\pi/2 < \arg z < 3\pi/2$  بسط داد. معادله (۱۲۷.۱۱) به عنوان یک سری نامتناهی عملا واگراست. ولی این سری مجانبی است؛ بدین معنا که بدازای مقادیر بزرگ  $z$ ، مقدار  $K_\nu(z)$  را با هر دقت معینی می توان به طور تقریبی محاسبه کرد. (با تعریف سری مجانبی و بحث درباره آن در بخش ۱۰.۵ مقایسه کنید).

خوب است که معادله (۱۲۷.۱۱) را به صورت زیر بازنویسی کنیم

$$K_\nu(z) = \sqrt{\frac{\pi}{2z}} e^{-z} [P_\nu(iz) + iQ_\nu(iz)] \quad (128.11)$$

که در آن

$$P_\nu(z) \sim 1 - \frac{(\mu-1)(\mu-9)}{2!(8z)^2} + \frac{(\mu-1)(\mu-9)(\mu-25)(\mu-49)}{4!(8z)^4} - \dots \quad (129.11 \text{ الف})$$

$$Q_\nu(z) \sim \frac{\mu-1}{1!(8z)} - \frac{(\mu-1)(\mu-9)(\mu-25)}{3!(8z)^3} + \dots \quad (129.11 \text{ ب})$$

و

$$\mu = 4\nu^2$$

باید خاطر نشان ساخت که هر چند علامتهای  $P_\nu(z)$  در معادله (۱۲۹.۱۱ الف) و  $Q_\nu(z)$  در معادله (۱۲۹.۱۱ ب) یک در میان مثبت و منفی اند، ولی علامت جملات سریهای مربوط به  $P_\nu(iz)$  و  $Q_\nu(iz)$  در معادله (۱۲۸.۱۱) جملگی مثبت است. سرانجام، بدازای مقادیر بزرگ  $z$ ،  $P_\nu$  غالب است.

۱. بسط دو جمله ای فقط به ازای  $z > 2$  صادق است، و ما تا  $z$  به سوی بینهایت انتگرال گرفته ایم. کاهش نمایی انتگرالده از وقوع یک پیشامد ناگوار جلوگیری می کند، ولی سری حاصل هنوز فقط یک سری مجانبی است و همگرا نیست. با توجه به جدول ۳.۸ می بینیم که  $z = \infty$  یکی از تکنیکهای اساسی معادله بسل (و تعدیل یافته بسل) است. قضیه فوش داشتن یک جواب سری همگرا را تضمین نمی کند و ما نیز یک سری همگرا به دست نمی آوریم.



اکنون با در دست داشتن این صورت مجانبی برای  $K_\nu(z)$ ، معادله (۱۲۸.۱۱)، می‌توانیم با استفاده از روابط معروف زیر، بسطهایی برای سایر توابع بسط و هذلولوی بسط به دست آوریم:

۱. از عبارت

$$\frac{\pi}{\gamma} i^{\nu+1} H_\nu^{(1)}(iz) = K_\nu(z) \quad (130.11)$$

داریم

$$H_\nu^{(1)}(z) = \sqrt{\frac{\gamma}{\pi z}} \exp i \left[ z - \left( \nu + \frac{1}{2} \right) \frac{\pi}{2} \right] \\ \cdot [P_\nu(z) + iQ_\nu(z)], \quad -\pi < \arg z < 2\pi \quad (131.11)$$

۲. تابع دوم هنکل (برای شناسه‌های حقیقی) همیوغ مختلط تابع اول است

$$H_\nu^{(2)}(z) = \sqrt{\frac{\gamma}{\pi z}} \exp -i \left[ z - \left( \nu + \frac{1}{2} \right) \frac{\pi}{2} \right] \\ \cdot [P_\nu(z) - iQ_\nu(z)], \quad -2\pi < \arg z < \pi \quad (132.11)$$

روش دیگری برای استخراج رفتار مجانبی توابع هنکل تحت عنوان کاربرد روش تندترین کاهش، در بخش ۴.۷ (جلد اول) مطرح شده است.

۳.  $J_\nu(z)$  جزء حقیقی  $H_\nu^{(1)}(z)$  است، پس

$$J_\nu(z) = \sqrt{\frac{\gamma}{\pi z}} \left\{ P_\nu(z) \cos \left[ z - \left( \nu + \frac{1}{2} \right) \frac{\pi}{2} \right] \right. \\ \left. - Q_\nu(z) \sin \left[ z - \left( \nu + \frac{1}{2} \right) \frac{\pi}{2} \right] \right\}, \quad -\pi < \arg z < \pi \quad (133.11)$$

۴. تابع نویمان جزء موهومی  $H_\nu^{(1)}(z)$  است، در نتیجه

$$N_\nu(z) = \sqrt{\frac{\gamma}{\pi z}} \left\{ P_\nu(z) \sin \left[ z - \left( \nu + \frac{1}{2} \right) \frac{\pi}{2} \right] \right. \\ \left. + Q_\nu(z) \cos \left[ z - \left( \nu + \frac{1}{2} \right) \frac{\pi}{2} \right] \right\}, \quad -\pi < \arg z < \pi \quad (134.11)$$

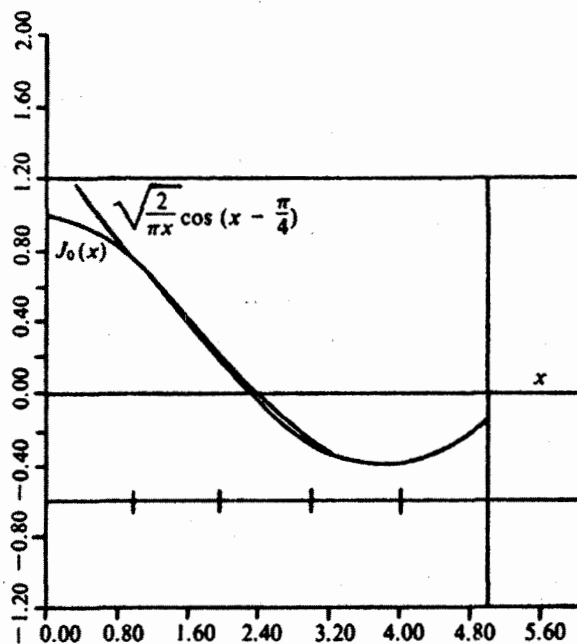
۵. سرانجام، تابع تعدیل یافته یا هذلولوی منظم بسط،  $I_\nu(z)$ ، از رابطه زیر به دست می‌آید

$$I_\nu(z) = i^{-\nu} J_\nu(iz) \quad (135.11)$$

یا

$$I_\nu(z) = \frac{e^z}{\sqrt{2\pi z}} [P_\nu(iz) - iQ_\nu(iz)], \quad -\frac{\pi}{4} < \arg z < \frac{\pi}{4} \quad (136.11)$$

به این ترتیب، تعیین بسطهای مجانبی کامل می‌شود. در هر حال شاید برخی مشخصه‌های اساسی این بسطها شایان ذکر باشند.  $J_\nu$  و  $N_\nu$ ، جدا از عامل همه‌جا حاضر  $z^{-1/2}$ ، به ترتیب مثل کسینوس و سینوس رفتار می‌کنند. صفرهای آنها تقریباً به‌طور موزونی به فاصله  $\pi$  از یکدیگر قرار دارند؛ این فاصله در حد  $z \rightarrow \infty$  درست برابر  $\pi$  می‌شود. توابع هنکل بنا بر تعریف عبارت‌اند از توابعی که مثل نماییهای موهومی رفتار می‌کنند و توابع تعدیل یافته بسل،  $I_\nu$  و  $K_\nu$ ، به نماییهای مثبت و منفی تبدیل می‌شوند. همین رفتار مجانبی ممکن است برای حذف فوری یکی از این توابع به‌عنوان جواب یک مسئله فیزیکی کفایت کند. همچنین باید گفت که سریهای مجانبی  $P_\nu(z)$  و  $Q_\nu(z)$ ، معادله‌های (۱۲۹.۱۱ الف و ب) به ازای  $\nu = \pm 1/2, \pm 3/2, \dots$  متناهی‌اند و به چند جمله‌ای (با توانهای منفی  $z$ ) تبدیل می‌شوند. تقریبهای مجانبی به ازای این مقادیر خاص  $\nu$  به جوابهای دقیق مبدل می‌شوند. دقت موجود در صورت‌های مجانبی جالب توجه است، مثلاً اگر فقط جمله اول را در نظر بگیریم (شکل ۱۲.۱۱) داریم

شکل ۱۲.۱۱ تقریب مجانبی  $J_0(x)$ .

$$J_n(x) \approx \sqrt{\frac{2}{\pi x}} \cos \left[ x - \left( n + \frac{1}{4} \right) \left( \frac{\pi}{2} \right) \right] \quad (137.11)$$

آشکار است که شرط برقراری معادله (۱۳۷.۱۱) آن است که جمله سینوسی چشم پوشیدنی باشد؛ یعنی

$$\Delta x \gg 4n^2 - 1 \quad (138.11)$$

ناحیه مجانبی ممکن است به ازای  $1 > (n \text{ یا } \nu)$  بسیار دور باشد.

به همان ترتیبی که در بخش ۳.۱۱ گفتیم، از صورت‌های مجانبی می‌توان برای محاسبه فرمولهای رونسکیبی مختلف استفاده کرد (با مسئله ۳.۶.۱۱ مقایسه کنید).

### محاسبه عددی

هنگامی که در یک ماشین محاسب بزرگ بسیار سریع، برنامه‌ای به یکی از توابع بسل یا توابع تعدیل یافته بسل نیاز پیدا کند، برنامه نویس دوره درپیش دارد: یکی اینکه همه توابع بسل را در حافظه ماشین ذخیره کند و به کامپیوتر بگوید که چگونه محل مقدار مورد نیاز را بیابد؛ و دیگر اینکه مقدار مورد نیاز را محاسبه کند. در انتخاب اول سرعت کار نسبتاً کند است و به جای زیادی برای حافظه نیاز دارد. از این رو برنامه نویس "شق دوم" یعنی محاسبه مقدار لازم، را برمی‌گزیند.

محاسبه  $J_n(x)$  را با استفاده از رابطه بازگشتی، معادله (۱۵.۱۱)، در بخش ۱.۱۱ مطرح کردیم. برای  $N_n, I_n, K_n$ ، به ازای مقادیر کوچک  $x$  استفاده از سریها، و به ازای مقادیر بزرگ  $x$ ، بهره‌گیری از صورت‌های مجانبی (با تعداد زیادی جمله در سری توانهای منفی) روشهای برتر به شمار می‌آیند. ضابطه بزرگ و کوچک بودن ممکن است، مطابق جدول ۲.۱۱، مورد به مورد فرق کند.

جدول ۲.۱۱ معادلات مربوط به محاسبه کامپیوتری توابع نویمان و تعدیل یافته بسل.

سری مجانبی

سری توانی

$x > 4$	معادله (۱۳۴.۱۱)	$x \leq 4$	معادله (۶۳.۱۱)	$N_n(x)$
$x > 12$ و $n > 12$	معادله (۱۳۶.۱۱)	$x \leq 12$ یا $n \leq 12$	معادله (۱۱۲.۱۱)	$I_n(x)$
$x > 1$	معادله (۱۲۷.۱۱)	$x \leq 1$	معادله (۱۱۹.۱۱)	$K_n(x)$

در عمل پی‌می‌بریم که اگر محاسبه کامپیوتری سری توانی یا مجانبی مربوط به  $N_n(x)$  و  $K_n(x)$  را به  $n = 0, 1$  محدود کنیم، بهتر است. آنگاه  $N_n(x)$  را به ازای  $n \geq 2$ ، را با استفاده از رابطه بازگشتی، معادله (۱۵.۱۱)، محاسبه کنیم.  $K_n(x)$  به ازای  $n \geq 2$  با استفاده از روابط بازگشتی مسئله ۷.۵.۱۱ محاسبه می‌شود. هرگاه بخواهیم می‌توانیم  $I_n(x)$  را به همین روش محاسبه کنیم، ولی کاربرد مستقیم سری توانی یا مجانبی نیز به ازای همه مقادیر  $n$  و  $x$  هیسراست.

## مسائل

۱۰۶۰۱۱ برای آزمون بهنجارش نمایش انتگرالی  $K_\nu(z)$  [معادله (۱۲۲.۱۱)] فرض کردیم که  $I_\nu(z)$  حضور نداشته باشد. از کجا بدانیم که نمایش انتگرالی [معادله (۱۲۲.۱۱)] عبارت  $K_\nu(z) + \varepsilon I_\nu(z)$  را با  $\varepsilon \neq 0$  به دست نمی دهد؟

۲۰۶۰۱۱ (الف) نشان دهید که عبارت

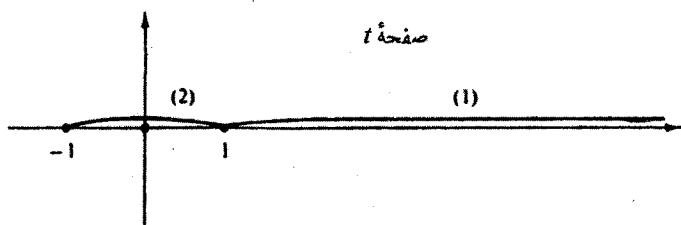
$$y(z) = z^\nu \int e^{-zt}(t^2 - 1)^{\nu-1/2} dt$$

در معادله تعدیل یافته بسل صدق می کند، مشروط بر آنکه پر بند را چنان اختیار کنیم که

$$e^{-zt}(t^2 - 1)^{\nu+1/2}$$

در نقاط ابتدایی و انتهایی پر بند مقدار یکسانی داشته باشد.

(ب) تحقیق کنید که پر بندهای نمایش یافته در شکل ۱۳.۱۱، برای این مسئله مناسب اند.



شکل ۱۳.۱۱ پر بندهای تابع تعدیل یافته بسل.

۳۰۶۰۱۱ با استفاده از بسطهای مجانبی، درستی فرمولهای رونسکیبی زیر را تحقیق کنید

$$J_\nu(x)J_{-\nu-1}(x) + J_{-\nu}(x)J_{\nu+1}(x) = -\frac{\nu \sin \nu\pi}{\pi x} \quad (\text{الف})$$

$$J_\nu(x)N_{\nu+1}(x) - J_{\nu+1}(x)N_\nu(x) = -\frac{\nu}{\pi x} \quad (\text{ب})$$

$$J_\nu(x)H_{\nu-1}^{(\nu)}(x) - J_{\nu-1}(x)H_\nu^{(\nu)}(x) = \frac{\nu}{i\pi x} \quad (\text{ج})$$

$$I_\nu(x)K'_\nu(x) - I'_\nu(x)K_\nu(x) = -\frac{1}{x} \quad (\text{د})$$

$$I_\nu(x)K_{\nu+1}(x) + I_{\nu+1}(x)K_\nu(x) = \frac{1}{x} \quad (\text{ه})$$

۴۰۶۰۱۱ صورت مجانبی  $(z)H_p^{(1)}$ ، معادله (۱۳۱.۱۱)، را به کمک صورت مجانبی  $K_p(z)$ ، معادله (۱۲۷.۱۱)، استخراج کنید. مخصوصاً فاز  $\pi/2 + 1/2$  را مورد توجه قرار دهید.

۵۰۶۰۱۱ روش استوکس.

(الف) در معادله بسل، به جای تابع بسل عبارت  $y(x)x^{-1/2}$  را بنشانید و نشان دهید که  $y(x)$  در معادله زیر صدق می کند

$$y''(x) + \left(1 - \frac{\nu^2 - \frac{1}{4}}{x^2}\right)y(x) = 0$$

(ب) یکی از جوابهای سری توانی با توانهای منفی  $x$  را، به صورت فرضی زیر تشکیل دهید

$$y(x) = e^{ix} \sum_{n=0}^{\infty} a_n x^{-n}$$

رابطه بازگشتی را تعیین کنید که  $a_{n+1}$  را بر حسب  $a_n$  مشخص می کند. نتیجه ای را که به دست آورده اید با سری مجانبی معادله (۱۳۱.۱۱) مقایسه کنید.

(ج) ضریب اولیه  $a_0$  را با استفاده از نتایج بخش ۴.۷ تعیین کنید.

۶۰۶۰۱۱ پانزده مجموع جزئی اول  $P_0(x)$  و  $Q_0(x)$  در معادلات (۱۲۹.۱۱) و (۱۲۹.۱۱) را محاسبه کنید.  $x$  را با پله های واحد از ۴ تا ۱۵ تغییر دهید. تعداد جملاتی را بیابید که باید برای دست یافتن به بیشترین دقت منظور کرد؛ همچنین دقت حاصل را به صورت تابعی از  $x$ ، تعیین کنید. خصوصاً تعیین کنید که  $x$  را تا چه مقدار می توان کوچک گرفت بدون آنکه خطا از  $3 \times 10^{-6}$  بیشتر شود؟ پاسخ.  $x = 6$  کمینه.

۷۰۶۰۱۱ (الف) با استفاده از (مجموعهای جزئی) سری مجانبی  $P_0(x)$  و  $Q_0(x)$  که در مسئله ۶۰۶۰۱۱ تعیین شده اند، زیر-برنامه تابع  $FCT(X)$  را برای محاسبه  $J_0(x)$ ، به ازای مقادیر حقیقی  $x$  و کمینه  $x \geq x$  بنویسید.

(ب) تابع حاصل را با  $J_0(x)$  (از جدولها یا از مجموعه زیر-برنامه های کامپیوتری) به ازای  $10 + \text{کمینه}(x)$  و  $x = \text{کمینه}(x)$  بیازمایید.

یادآوری. یک صورت مجانبی دقیقتر و شاید ساده تر  $J_0(x)$  در معادله ۳.۴.۹ در AMS-55 ارائه شده است.

## ۷.۱۱ توابع کروی بسل

وقتی معادله هلمهولتز را در مختصات کروی تفکیک می‌کنیم، معادله شعاعی به صورت زیر به دست می‌آید

$$r^2 \frac{d^2 R}{dr^2} + 2r \frac{dR}{dr} + [k^2 r^2 - n(n+1)]R = 0 \quad (139.11)$$

این عبارت، معادله (۹۱.۲) از بخش ۶.۲، جلد اول است. پارامتر  $k$  از معادله اصلی هلمهولتز آمده و  $n(n+1)$  یک ثابت جداسازی است. از رفتار تابع زاویه قطبی (معادله لواندر، بخشهای ۵.۸ و ۷.۱۲ را ببینید) چنین برمی‌آید که ثابت جداسازی باید چنان باشد که در آن  $n$  یک عدد درست نامنفی باشد. معادله (۱۳۹.۱۱) خود-الحاقی است، ولی ناگفته پیداست که معادله بسل نیست. به هر حال، اگر قرار دهیم

$$R(kr) = \frac{Z(kr)}{(kr)^{1/2}}$$

معادله (۱۳۹.۱۱) به معادله زیر که همان معادله بسل است، تبدیل می‌شود

$$r^2 \frac{d^2 Z}{dr^2} + r \frac{dZ}{dr} + [k^2 r^2 - (n + \frac{1}{2})^2]Z = 0 \quad (140.11)$$

$Z$  تابع بسل مرتبه  $n + (1/2)$  ( $n$  عدد درست) است. موارد پیش آمدن این ترکیب

$$\frac{Z_{n+1/2}(kr)}{(kr)^{1/2}}$$

به دلیل اهمیتی که مختصات کروی دارند، خیلی زیاد است.

## تعریفها

خوب است که این توابع را با نام توابع کروی بسل مشخص کنیم و برای تعریف آنها از معادلات زیر بهره‌گیریم

$$j_n(x) = \sqrt{\frac{\pi}{2x}} J_{n+1/2}(x)$$

$$n_n(x) = \sqrt{\frac{\pi}{2x}} N_{n+1/2}(x) = (-1)^{n+1} \sqrt{\frac{\pi}{2x}} J_{-n-1/2}(x)^*$$

(۱۴۱.۱۱)

\* علت امکان پذیر بودن آن این است که  $\cos(n + \frac{1}{2})\pi = 0$ .

$$h_n^{(1)}(x) = \sqrt{\frac{\pi}{2x}} H_{n+1/2}^{(1)}(x) = j_n(x) + in_n(x)$$

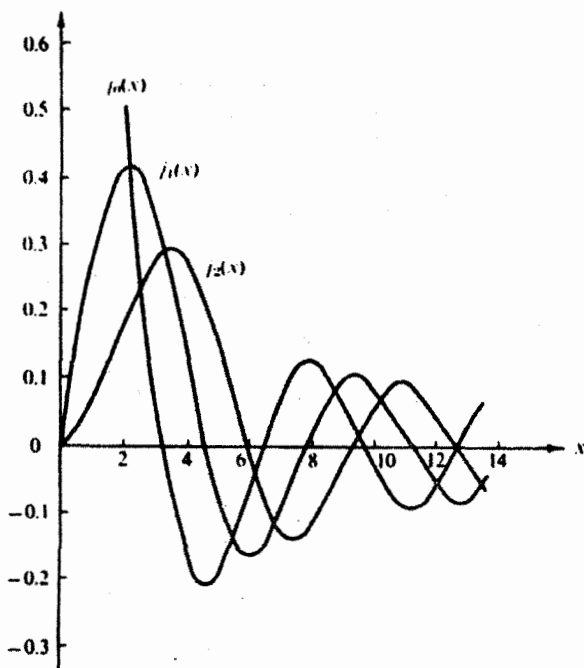
$$h_n^{(2)}(x) = \sqrt{\frac{\pi}{2x}} H_{n+1/2}^{(2)}(x) = j_n(x) - in_n(x)$$

این توابع کروی بسل (شکلهای ۱۴.۱۱ و ۱۵.۱۱) را می توان با استفاده از سری مربوط به  $J_n$  [معادله ۵.۱۱]، و با تعویض  $n$  با  $n + (1/2)$ ، به صورت سری مشخص کرد

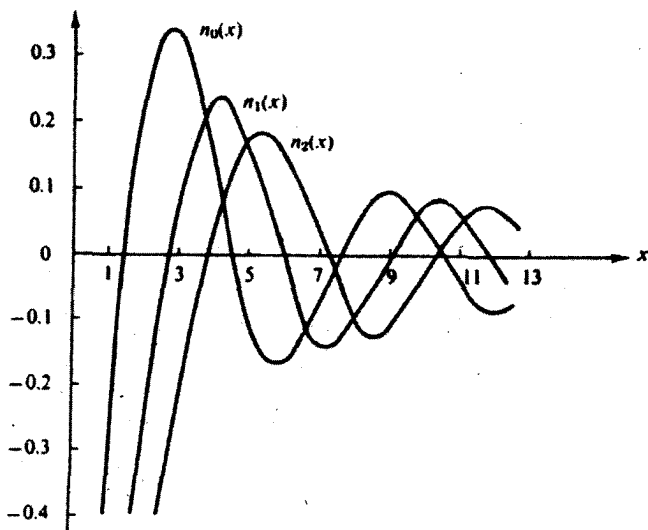
$$J_{n+1/2}(x) = \sum_{s=0}^{\infty} \frac{(-1)^s}{s!(s+n+\frac{1}{2})!} \left(\frac{x}{2}\right)^{2s+n+1/2} \quad (142.11)$$

با استفاده از دستور دو برابر لژاندر به صورت زیر

$$z!(z+\frac{1}{2})! = 2^{-2z-1} \pi^{1/2} (2z+1)! \quad (143.11)$$



شکل ۱۴.۱۱ توابع کروی بسل.



شکل ۱۵.۱۱ توابع کروی نویمان.

داریم

$$j_n(x) = \sqrt{\frac{\pi}{\gamma x}} \sum_{s=0}^{\infty} \frac{(-1)^s \gamma^{\gamma s + \gamma n + 1} (s+n)!}{\pi^{1/\gamma} (\gamma s + \gamma n + 1)! s!} \left(\frac{x}{\gamma}\right)^{\gamma s + n + 1/\gamma}$$

(۱۴۴.۱۱)

$$= \gamma^n x^n \sum_{s=0}^{\infty} \frac{(-1)^s (s+n)!}{s! (\gamma s + \gamma n + 1)!} x^{\gamma s}$$

اینک داریم:  $N_{n+1/\gamma}(x) = (-1)^{n+1} J_{-n-1/\gamma}(x)$ ، و با استفاده از معادله (۵.۱۱) می‌بریم که

$$J_{-n-1/\gamma}(x) = \sum_{s=0}^{\infty} \frac{(-1)^s}{s! (s-n-\frac{1}{\gamma})!} \left(\frac{x}{\gamma}\right)^{\gamma s - n - 1/\gamma}$$

(۱۴۵.۱۱)

در نتیجه

$$n_n(x) = (-1)^{n+1} \frac{\gamma^n \pi^{1/\gamma}}{x^{n+1}} \sum_{s=0}^{\infty} \frac{(-1)^s}{s! (s-n-\frac{1}{\gamma})!} \left(\frac{x}{\gamma}\right)^{\gamma s}$$

(۱۴۶.۱۱)

و باز با استفاده از دستور دوبرابر لژاندر



$$n_n(x) = \frac{(-1)^{n+1}}{2^n x^{n+1}} \sum_{s=0}^{\infty} \frac{(-1)^s (s-n)!}{s! (2s-2n)!} x^{2s} \quad (147.11)$$

این صورتهای سری، معادلات (۱۴۴.۱۱) و (۱۴۷.۱۱)، درسه مورد به کار می آیند: (۱) در تعیین مقادیر حدی در  $x \rightarrow 0$ ، (۲) در هنگام به دست آوردن نمایشهای به صورت بسته به ازای  $n=0$ ، و به عنوان تعمیم آن، (۳) در ارائه دلیلی مبنی بر اینکه توابع کروی بسل با سینوس و کسینوس رابطه نزدیکی دارند.

برای حالت خاص  $n=0$ ، از معادله (۱۴۴.۱۱) می یابیم که

$$j_0(x) = \sum_{s=0}^{\infty} \frac{(-1)^s}{(2s+1)!} x^{2s} \quad (148.11)$$

$$= \frac{\sin x}{x}$$

درحالی که به ازای  $n_0$ ، از معادله (۱۴۷.۱۱)، داریم

$$n_0(x) = -\frac{\cos x}{x} \quad (149.11)$$

بنابر تعریف، توابع کروی هنکل [معادله (۱۴۱.۱۱)]، داریم

$$h_0^{(1)}(x) = \frac{1}{x} (\sin x - i \cos x) = -\frac{i}{x} e^{ix} \quad (150.11)$$

$$h_0^{(2)}(x) = \frac{1}{x} (\sin x + i \cos x) = \frac{i}{x} e^{-ix}$$

از معادله های (۱۴۸.۱۱) و (۱۴۹.۱۱) این طور برمی آید که توابع کروی بسل را می توان به صورت ترکیبهای از سینوس و کسینوس بیان کرد. ترکیب مناسب را می توان با استفاده از جواب سری توانی، معادله های (۱۴۴.۱۱) و (۱۴۷.۱۱)، به دست آورد؛ ولی این روش پردردسراست. این شکل های مثلثاتی در واقع به صورت بسط مجانبی در بخش ۶.۱۱ آمده اند. از معادله های (۱۳۱.۱۱) و (۱۲۹.۱۱) الف) داریم

$$h_n^{(1)}(z) = \sqrt{\frac{\pi}{2z}} H_{n+\frac{1}{2}}^{(1)}(z) \quad (151.11)$$

$$= (-i)^{n+1} \frac{e^{iz}}{z} \{P_{n+\frac{1}{2}}(z) + iQ_{n+\frac{1}{2}}(z)\}$$

حال  $Q_{n+1/2}$  و  $P_{n+1/2}$  چند جمله‌ای اند. یعنی، معادله (۱۵۱.۱۱) فقط یک تقریب مجانبی نیست و از نظر ریاضی دقیق است. خواهیم داشت

$$h_n^{(1)}(z) = (-i)^{n+1} \frac{e^{iz}}{z} \sum_{s=0}^n \frac{i^s}{s!(\lambda z)^s} \frac{(2n+2s)!!}{(2n-2s)!!} \quad (152.11)$$

$$= (-i)^{n+1} \frac{e^{iz}}{z} \sum_{s=0}^n \frac{i^s}{s!(2z)^s} \frac{(n+s)!}{(n-s)!}$$

غالباً از ترکیب یک عامل  $(-i)^n = (e^{-i\pi/2})^n$  با  $e^{iz}$  عبارت  $e^{i(z-n\pi/2)}$  به دست می‌آید.  $h_n^{(2)}(z)$  به ازای مقادیر حقیقی  $z$  با جزء حقیقی این عبارت و  $n_n(z)$  با جزء موهومی، و  $h_n^{(2)}(z)$  با همیوگ مختلط آن، برابر است. به خصوص داریم

$$h_1^{(1)}(x) = e^{ix} \left( -\frac{1}{x} - \frac{i}{x^2} \right) \quad (الف ۱۵۳.۱۱)$$

$$h_2^{(1)}(x) = e^{ix} \left( \frac{i}{x} - \frac{3}{x^2} - \frac{3i}{x^3} \right) \quad (ب ۱۵۳.۱۱)$$

$$j_1(x) = \frac{\sin x}{x^2} - \frac{\cos x}{x} \quad (154.11)$$

$$j_2(x) = \left( \frac{3}{x^3} - \frac{1}{x} \right) \sin x - \frac{3}{x^2} \cos x$$

$$n_1(x) = -\frac{\cos x}{x^2} - \frac{\sin x}{x} \quad (155.11)$$

$$n_2(x) = -\left( \frac{3}{x^3} - \frac{1}{x} \right) \cos x - \frac{3}{x^2} \sin x, \dots$$

### مقادیر حدی

از معادله‌های (۱۴۴.۱۱) و (۱۴۷.۱۱)، به ازای  $x \ll 1$  داریم<sup>۱</sup>

۱. در واقع شرط آنکه برای  $j_n(x)$  جمله دوم سری در مقایسه با جمله اول چشم‌پوشیدنی باشد، عبارت است از  $x \ll 2[(2n+2)(2n+3)/(n+1)]^{1/2}$ .

$$j_n(x) \approx \frac{\gamma^n n!}{(\gamma n + 1)!} x^n = \frac{x^n}{(\gamma n + 1)!!} \quad (156.11)$$

$$n_n(x) \approx \frac{(-1)^{n+1}}{\gamma^n} \times \frac{(-n)!}{(-\gamma n)!} x^{-n-1}$$

$$= -\frac{(\gamma n)!}{\gamma^n n!} x^{-n-1} = -(\gamma n - 1)!! x^{-n-1} \quad (157.11)$$

برای تبدیل فاکتوریل‌های عبارت مربوط به  $n_n(x)$ ، از مسئله ۳.۱.۱۰ استفاده می‌کنیم. مقادیر حدی توابع کروی هنکل مانند  $\pm i n_n(x)$  خواهند بود. مقادیر مجانبی  $j_n$ ،  $n_n$ ،  $h_n^{(1)}$  و  $h_n^{(2)}$  را می‌توان با استفاده از صورتهای مجانبی بسل در بخش ۶.۱۱ به دست آورد. داریم

$$j_n(x) \sim \frac{1}{x} \sin\left(x - \frac{n\pi}{2}\right) \quad (158.11)$$

$$n_n(x) \sim -\frac{1}{x} \cos\left(x - \frac{n\pi}{2}\right) \quad (159.11)$$

$$h_n^{(1)}(x) \sim (-i)^{n+1} \frac{e^{ix}}{x} = (-i) \frac{e^{i(x - n\pi/2)}}{x} \quad (\text{الف } 160.11)$$

$$h_n^{(2)}(x) \sim i^{n+1} \frac{e^{-ix}}{x} = (i) \frac{e^{-i(x - n\pi/2)}}{x} \quad (\text{ب } 160.11)$$

شرط برقراری این صورتهای کروی بسل آن است که داشته باشیم:  $x \gg n(n+1)/2$ . با استفاده از این مقادیر مجانبی پی می‌بریم که  $j_n(x)$  و  $n_n(x)$  برای توصیف امواج کروی ایستاده مناسب‌اند، و  $h_n^{(1)}(x)$  و  $h_n^{(2)}(x)$  به امواج کروی پیشرونده مربوط می‌شوند. اگر وابستگی زمانی در امواج پیشرونده را  $e^{-i\omega t}$  بگیریم، آنگاه  $h_n^{(1)}(x)$  یک موج کروی پیشرونده بر و نرونده، و  $h_n^{(2)}(x)$  یک موج فرودی را به دست می‌دهد. این توابع در نظریه تابش در الکترومغناطیس و در نظریه پراکندگی در مکانیک کوانتومی کاربردهای فراوان دارند.

### روابط بازگشتی

اکنون به روابط بازگشتی بازمی‌گردیم تا راه مناسبی برای تشکیل توابع کروی بسل مرتبه‌های بالا فراهم آوریم. این روابط بازگشتی را می‌توان از سریها استخراج کرد، ولی در اینجا مثل توابع تعدیل یافته بسل، کار آسانتر آن است که آنها را با جانشانی در روابط بازگشتی

معلوم [معادله‌های (۱۰.۱۱) و (۱۲.۱۱)] به دست آوریم. در نتیجه

$$f_{n-1}(x) + f_{n+1}(x) = \frac{2n+1}{x} f_n(x) \quad (161.11)$$

$$n f_{n-1}(x) - (n+1) f_{n+1}(x) = (2n+1) f'_n(x) \quad (162.11)$$

پس از بازآرایی این روابط [یا نشانیدن در معادله‌های (۱۵.۱۱) و (۱۷.۱۱)] خواهیم داشت

$$\frac{d}{dx} [x^{n+1} f_n(x)] = x^{n+1} f'_{n-1}(x) \quad (163.11)$$

$$\frac{d}{dx} [x^{-n} f_n(x)] = -x^{-n} f'_{n+1}(x) \quad (164.11)$$

در اینجا  $f_n$  می‌تواند نمایانگر  $j_n$ ،  $n_n$ ،  $h_n^{(1)}$  یا  $h_n^{(2)}$  باشد. صورت‌های خاص معادله‌های (۱۵۴.۱۱) و (۱۵۵.۱۱) را نیز می‌شود به آسانی از معادله (۱۶۴.۱۱) به دست آورد. فرمول‌های ریلی

$$j_n(x) = (-1)^n x^n \left( \frac{d}{x dx} \right)^n \left( \frac{\sin x}{x} \right) \quad (165.11)$$

$$n_n(x) = -(-1)^n x^n \left( \frac{d}{x dx} \right)^n \left( \frac{\cos x}{x} \right) \quad (166.11)$$

$$h_n^{(1)}(x) = -i(-1)^n x^n \left( \frac{d}{x dx} \right)^n \left( \frac{e^{ix}}{x} \right) \quad (167.11)$$

$$h_n^{(2)}(x) = i(-1)^n x^n \left( \frac{d}{x dx} \right)^n \left( \frac{e^{-ix}}{x} \right)$$

را می‌توان از طریق استقرای ریاضی اثبات کرد.

### محاسبه عددی

توابع کروی بسل و تعدیل یافته بسل را می‌توان با استفاده از همان تکنیک‌هایی محاسبه کرد که در بخش‌های ۱.۱۱ و ۶.۱۱ برای محاسبه توابع بسل توصیف شده است. برای  $j_n(x)$  و  $i_n(x)$  بهتر است که از معادله (۱۶۱.۱۱) و مسئله ۱۸.۷.۱۱ بهره‌گیریم و مانند روند محاسبه

$J_n(x)$ ، دو به پایین عمل کنیم. بهنجارش از طریق مقایسه با صورتهای معلوم  $j_0(x)$  و  $i_0(x)$ ، معادله (۱۵۰۱۱) و مسئله ۱۵۰۷۰۱۱، تعیین می شود. برای  $n_n(x)$  و  $k_n(x)$  هم باز از معادله (۱۶۱۰۱۱) و مسئله ۱۹۰۷۰۱۱ استفاده می کنیم، ولی این بار از صورتهای معلوم  $n_0(x)$ ،  $k_0(x)$ ،  $n_1(x)$  و  $k_1(x)$  در معادله (۱۵۵۰۱۱) و مسئله ۱۷۰۷۰۱۱ شروع و دو به بالا عمل می کنیم.

تعامد

می توانیم از انتگرال تعامد برای توابع معمولی بسل [معادله (۵۰۰۱۱)]، به قرار زیر

$$\int_0^a J_\nu(\alpha_{\nu p} \frac{\rho}{a}) J_\nu(\alpha_{\nu q} \frac{\rho}{a}) \rho d\rho = \frac{a^\nu}{\nu} [J_{\nu+1}(\alpha_{\nu p})]^2 \delta_{pq} \quad (168.11)$$

بهره گیریم و عبارت مربوط به  $j_n$  را در آن نشانیم و برسیم به

$$\int_0^a j_n(\alpha_{np} \frac{\rho}{a}) j_n(\alpha_{nq} \frac{\rho}{a}) \rho^\nu d\rho = \frac{a^\nu}{\nu} [j_{n+1}(\alpha_{np})]^2 \delta_{pq} \quad (169.11)$$

در اینجا  $\alpha_{np}$  و  $\alpha_{nq}$  ریشه های  $j_n$  اند.

این امر نمایانگر تعامد نسبت به ریشه های توابع بسل است. نمایشی از این نوع تعامد در همین بخش و به کمک مسئله ذره در کره خواهد آمد. معادله (۱۶۹۰۱۱) تعامد تابع موجهای  $j_n(r)$  را به ازای مقادیر ثابت  $n$  تضمین می کند. (اگر  $n$  تغییر کند، هماهنگی کروی تعامد را تأمین می کند.)

مثال ۱۰۷۰۱۱ ذره در یک کره

مسئله یک ذره کوانتوم مکانیکی در کره ای به شعاع  $a$ ، یکی از موارد استفاده توابع کروی بسل را نشان می دهد. نظریه کوانتومی ایجاب می کند که تابع موجی مانند  $\psi$  که ذره فوق را توصیف می کند در معادله زیر صدق کند

$$-\frac{\hbar^2}{2m} \nabla^2 \psi = E \psi \quad (170.11)$$

و در این شرایط مرزی نیز صادق باشد که اولاً  $\psi(r \leq a)$  متناهی بماند و ثانیاً  $\psi(a) = 0$ . این تابع متناظر است با پتانسیل  $V = 0$  به ازای  $r \leq a$ ، و  $V = \infty$  به ازای  $r > a$ . در اینجا  $\hbar$  ثابت پلانک (تقسیم بر  $2\pi$ )،  $m$  جرم ذره، و  $E$  انرژی آن است. حال مقدار کمینه انرژی را تعیین می کنیم که به ازای آن معادله موج دارای یک جواب قابل قبول است. معادله

(۱۷۰.۱۱)، همان معادله هلمهولتز با بخش شعاعی زیر است [با بخش ۶.۲ (جلداول) درباره جداسازی متغیرها مقایسه کنید]

$$\frac{d^2 R}{dr^2} + \frac{2}{r} \frac{dR}{dr} + \left[ k^2 - \frac{n(n+1)}{r^2} \right] R = 0 \quad (171.11)$$

که در آن  $k^2 = 2mE/\hbar^2$ . از این رو، با استفاده از معادله (۱۳۹.۱۱)، به ازای  $n=0$  داریم

$$R = A j_0(kr) + B n_0(kr)$$

شخص پایین  $n$  را صفر می‌گیریم، زیرا هر وابستگی زاویه‌ای، انرژی را افزایش خواهد داد. تابع کروی نویمان، به دلیل رفتار واگرای آن در مبدأ، حذف می‌شود. از لحاظ تکنیکی، تابع کروی نویمان،  $n_0$ ، عبارت است از تابع گرینی که در معادله گرین صدق می‌کند اما در معادله شرودینگر در مبدأ صدق نمی‌کند. برای بر آورده ساختن شرط مرزی دوم (به ازای همه زاویه‌ها) باید داشته باشیم

$$ka = \frac{\sqrt{2mE}}{\hbar} a = \alpha \quad (172.11)$$

که در آن  $\alpha$  یکی از ریشه‌های  $J_0(\alpha) = 0$  است، یعنی  $J_0(\alpha) = 0$ . اثر این شرط آن است که انرژیهای مجاز را به يك مجموعه منقطع خاص محدود می‌کند؛ به عبارت دیگر اعمال کردن شرط مرزی دوم، انرژی  $E$  را کوانتیده می‌کند. کوچکترین  $\alpha$  عبارت است از اولین صفر  $J_0$ ، یعنی

$$\alpha = \pi$$

و

$$E_{\min} = \frac{\pi^2 \hbar^2}{2ma^2} = \frac{\hbar^2}{\lambda ma^2} \quad (173.11)$$

یعنی برای هر کره متناهی، ذره دارای انرژی کمینه مثبت یا نقطه صفری است. این نمایش از اصل عدم قطعیت هایزبرگ به شمار می‌آید.

در حوزه فیزیک حالت جامد، اختر فیزیک، و سایر زمینه‌های فیزیک این سؤال مطرح می‌شود که چند جواب مختلف (حالت انرژی) با انرژیهای کمتر از، یا مساوی با، انرژی معین  $E_0$  متناظرند. این مسئله برای يك حجم مکعبی (مسئله ۵.۶.۲، جلد اول) نسبتاً ساده است. حالت نسبتاً دشوارتر کروی توسط لمبرت<sup>۱</sup> حل شده است.

یکی دیگر از صورتهای تعامد، یعنی تعامد نسبت به شاخصهای پایین را می توان به صورت زیر نوشت

$$\int_{-\infty}^{\infty} j_m(x) j_n(x) dx = 0, \quad m \neq n, \quad m, n \geq 0 \quad (174.11)$$

اثبات این رابطه را به مسئله ۱۰۷.۱۱ واگذار می کنیم. اگر  $m = n$  (با مسئله ۱۱.۷.۱۱ مقایسه کنید)، داریم

$$\int_{-\infty}^{\infty} [j_n(x)]^2 dx = \frac{\pi}{2n+1} \quad (175.11)$$

اکثر کاربردهای فیزیکی توابع تعامد بسل و بسل کروی شامل تعامد بین ریشه های مختلف، و در بازه  $[0, a]$  یعنی معادله های (۱۶۸.۱۱) و (۱۶۹.۱۱)، می شوند. تعامد بین شاخصهای پایین متغیر، معادله (۱۷۴.۱۱)، عمدتاً یک غرابت ریاضی به شمار می آید. توابع کروی بسل در ارتباط با امواج کروی نیز رخ می نمایند، ولی بررسی وسیعتر آنها را تا معرفی توابع زاویه ای متناظر، یعنی توابع لژاندر، به تعویق می اندازیم.

### مسائل

۱۰۷.۱۱ نشان دهید که اگر داشته باشیم

$$n_n(x) = \sqrt{\frac{\pi}{2x}} N_{n+1/2}(x)$$

آنگاه  $n_n$  خودبه خود برابر است با

$$(-1)^{n+1} \sqrt{\frac{\pi}{2x}} J_{-n-1/2}(x)$$

۲۰۷.۱۱ صورتهای چند جمله ای مثلثاتی  $j_n(z)$  و  $n_n(z)$  را استخراج کنید.<sup>۱</sup>

$$j_n(z) = \frac{1}{z} \sin\left(z - \frac{n\pi}{2}\right) \sum_{s=0}^{[n/2]} \frac{(-1)^s (n+2s)!}{(2s)!(2z)^{2s} (n-2s)!} \quad (\text{الف})$$

$$+ \frac{1}{z} \cos\left(z - \frac{n\pi}{2}\right) \sum_{s=0}^{[(n-1)/2]} \frac{(-1)^s (n+2s+1)!}{(2s+1)!(2z)^{2s+1} (n-2s-1)!}$$

۱. حد بالای مجموعه ایی،  $[n/2]$  به معنای بزرگترین عدد دستنی است که از  $n/2$  بیشتر نباشد.

(ب)

$$n_n(z) = \frac{(-1)^{n+1}}{z} \cos\left(z + \frac{n\pi}{2}\right) \sum_{s=0}^{\lfloor n/2 \rfloor} \frac{(-1)^s (n+2s)!}{(2s)!(2z)^{2s} (n-2s)!} \\ + \frac{(-1)^{n+1}}{z} \sin\left(z + \frac{n\pi}{2}\right) \sum_{s=0}^{\lfloor (n-1)/2 \rfloor} \frac{(-1)^s (n+2s+1)!}{(2s+1)!(2z)^{2s+1} (n-2s-1)!}$$

۳.۷.۱۱ با استفاده از نمایش انتگرالی  $J_\nu(x)$

$$J_\nu(x) = \frac{1}{\pi^{1/2} \Gamma(\nu - 1/2)!} \left(\frac{x}{2}\right)^\nu \int_{-1}^1 e^{\pm izp} (1-p^2)^{\nu-1/2} dp$$

نشان دهید که توابع کروی بسل  $j_n(x)$  را می توان بر حسب توابع مثلثاتی بیان کرد؛ یعنی، مثلا

$$j_0(x) = \frac{\sin x}{x}$$

$$j_1(x) = \frac{\sin x}{x^2} - \frac{\cos x}{x}$$

۴.۷.۱۱ (الف) روابط بازگشتی زیر را که توابع کروی بسل،  $h_n^{(1)}(x)$ ،  $n_n(x)$ ،  $j_n(x)$  و  $h_n^{(2)}(x)$  در آنها صدق می کنند، به دست آورید

$$f_{n-1}(x) + f_{n+1}(x) = \frac{2n+1}{x} f_n(x)$$

$$n f_{n-1}(x) - (n+1) f_{n+1}(x) = (2n+1) f'_n(x)$$

(ب) به کمک این دو رابطه بازگشتی نشان دهید که تابع کروی بسل،  $f_n(x)$ ، در معادله دیفرانسیل زیر صدق می کند

$$x^2 f''_n(x) + 2x f'_n(x) + [x^2 - n(n+1)] f_n(x) = 0$$

۵.۷.۱۱ از طریق استقرای ریاضی ثابت کنید که به ازای عدد درست غیر منفی اختیاری  $n$  داریم

$$j_n(x) = (-1)^n x^n \left(\frac{d}{x dx}\right)^n \left(\frac{\sin x}{x}\right)$$

۶.۷.۱۱ با استفاده از مبحث تعامد توابع کروی بسل، نشان دهید که يك رابطه رونسکی برای  $j_n(x)$  و  $n_n(x)$  به صورت زیر داریم



$$j_n(x)n'_n(x) - j'_n(x)n_n(x) = \frac{1}{x^2}$$

۷۰۷۰۱۱ تحقیق کنید که

$$h_n^{(1)}(x)h_n^{(2)'}(x) - h_n^{(2)'}(x)h_n^{(1)}(x) = -\frac{2i}{x^2}$$

۸۰۷۰۱۱ درستی نمایش انتگرالی بواسون برای تابع کروی بسل

$$j_n(z) = \frac{z^n}{\sqrt{\pi} \Gamma(n+1/2)} \int_0^\pi \cos(z \cos \theta) \sin^{2n+1} \theta d\theta$$

را تحقیق کنید.

۹۰۷۰۱۱ نشان دهید که

$$\int_0^\infty J_\mu(x) J_\nu(x) \frac{dx}{x} = \frac{\nu}{\pi} \frac{\sin[(\mu-\nu)\pi/2]}{\mu^2 - \nu^2}, \quad \mu + \nu > -1$$

۱۰۰۷۰۱۱ معادله (۱۷۴.۱۱) را به صورت زیر استخراج کنید

$$\int_{-\infty}^\infty j_m(x) j_n(x) dx = 0, \quad m \neq n \quad m, n \geq 0$$

۱۱۰۷۰۱۱ معادله (۱۷۵.۱۱) را به شکل زیر استخراج کنید

$$\int_{-\infty}^\infty [j_n(x)]^2 dx = \frac{\pi}{2n+1}$$

۱۲۰۷۰۱۱ انتگرال تعامد را برای  $j_L(kr)$  در کره‌ای به شعاع  $R$  و با شرط مرزی

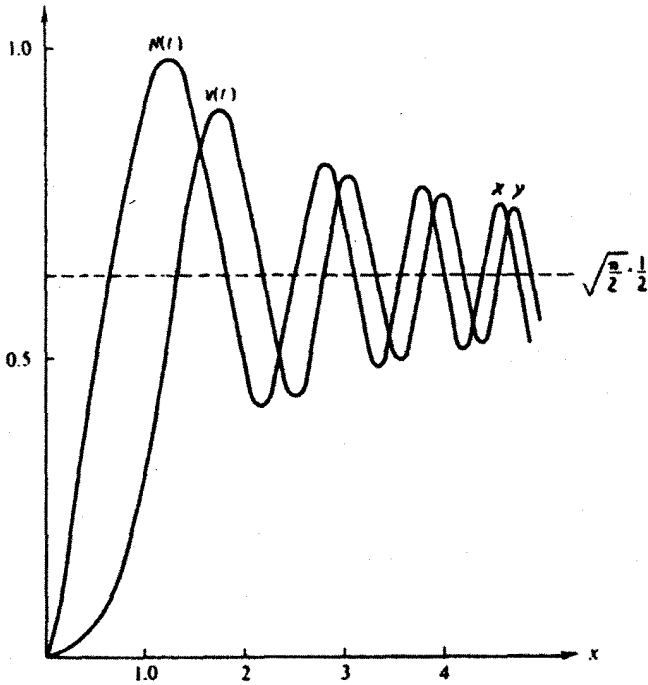
$$j_L(kR) = 0$$

بنویسید. از این نتیجه برای رده بندی تابش الکترومغناطیسی بر حسب تکانه زاویه‌ای آن بهره می‌گیرند.

۱۳۰۷۰۱۱ انتگرالهای فرنل (شکل ۱۶.۱۱) که در نظریه پراش به آنها برمی‌خوریم، به صورت زیر بیان می‌شوند

$$x(t) = \int_0^t \cos(v^2) dv$$

$$y(t) = \int_0^t \sin(v^2) dv$$



شکل ۱۶.۱۱ انتگرالهای فرنل.

نشان دهید که این انتگرالها را می توان به صورت سریهای از توابع کروی بسل به قرار زیر بسط داد

$$x(s) = \frac{1}{\sqrt{\pi}} \int_0^s j_{-1/2}(u) u^{1/2} du = s^{1/2} \sum_{n=0}^{\infty} j_{2n}(s)$$

$$y(s) = \frac{1}{\sqrt{\pi}} \int_0^s j_0(u) u^{1/2} du = s^{1/2} \sum_{n=0}^{\infty} j_{2n+1}(s)$$

دانهمایی. برای اثبات برابری انتگرال و مجموع، شاید بخواهید با مشتقات آنها کار کنید. شبیه کروی بسل معادله های (۱۲.۱۱) و (۱۴.۱۱) در این خصوص مفید واقع می شوند.

۱۶.۷.۱۱ کراهی بوخالی به شعاع  $a$  (تشدیدکننده هلمهولتز) حاوی امواج ایستاده صوتی است. کمینه بسامد نوسان را بر حسب شعاع  $a$  و سرعت صوت،  $v$ ، پیدا کنید. امواج صوتی در معادله موج

$$\nabla^2 \psi = \frac{1}{r^2} \frac{\partial^2 \psi}{\partial r^2}$$

و شرط مرزی

$$\frac{\partial \psi}{\partial r} = 0, \quad r = a$$

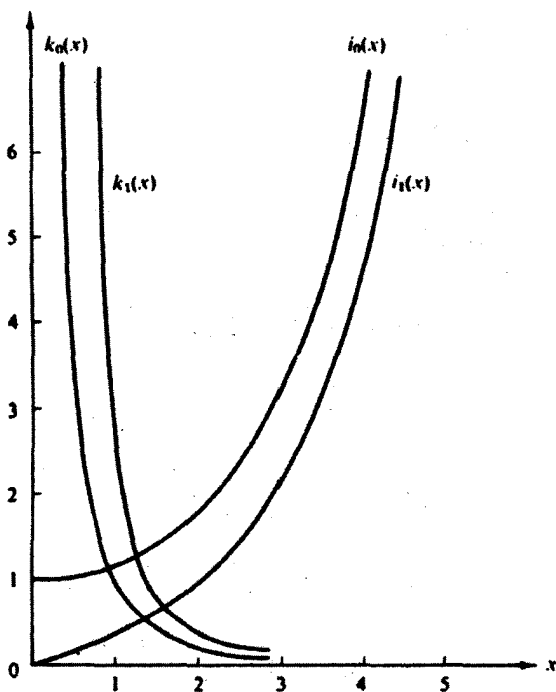
صلق می کنند. این شرط عبارت است از شرط مرزی نویمان. در مثال ۱۰.۷.۱۱ همین معادله دیفرانسیل را داریم، ولی بایک شرط مرزی دیریگله.

پاسخ.  $\lambda = 0.33137/a$  کمینه  $\nu = 3.018a$  بیشینه  $\lambda$ .

۱۵.۷.۱۱ توابع گروهی تعدیل یافته بسل (شکل ۱۷.۱۱) به کمک روابط زیر تعریف می شوند

$$i_n(x) = \sqrt{\frac{\pi}{\gamma x}} I_{n+1/2}(x)$$

$$k_n(x) = \sqrt{\frac{\gamma}{\pi x}} K_{n+1/2}(x)$$



شکل ۱۷.۱۱ توابع گروهی تعدیل یافته بسل.

نشان دهید که

$$i_0(x) = \frac{\sinh x}{x}$$

$$k_0(x) = \frac{e^{-x}}{x}$$

توجه کنید که ضریبهای عددی در تعریفهای  $i_n$  و  $k_n$  یکسان نیستند.

۱۶.۷.۱۱ (الف) نشان دهید که پارینته  $i_n(x)$  عبارت است از  $(-1)^n$ .  
(ب) نشان دهید که  $k_n(x)$  پارینته خاصی ندارد.

۱۷.۷.۱۱ نشان دهید که توابع گروهی تعدیل یافته بسل در روابط زیر صدق می کنند

$$i_n(x) = i^{-n} j_n(ix) \quad (\text{الف})$$

$$k_n(x) = -(i)^n h_n^{(1)}(ix)$$

$$i_{n+1}(x) = x^n \frac{d}{dx} (x^{-n} i_n) \quad (\text{ب})$$

$$k_{n+1}(x) = -x^n \frac{d}{dx} (x^{-n} k_n)$$

$$i_n(x) = x^n \left( \frac{d}{x dx} \right)^n \frac{\sinh x}{x} \quad (\text{ج})$$

$$k_n(x) = (-1)^n x^n \left( \frac{d}{x dx} \right)^n \frac{e^{-x}}{x}$$

۱۸.۷.۱۱ نشان دهید که روابط بازگشتی مربوط به  $i_n(x)$  و  $k_n(x)$  عبارت اند از

$$i_{n-1}(x) - i_{n+1}(x) = \frac{2n+1}{x} i_n(x) \quad (\text{الف})$$

$$n i_{n-1}(x) + (n+1) i_{n+1}(x) = (2n+1) i_n'(x)$$

$$k_{n-1}(x) - k_{n+1}(x) = -\frac{2n+1}{x} k_n(x) \quad (\text{ب})$$

$$n k_{n-1}(x) + (n+1) k_{n+1}(x) = -(2n+1) k_n'(x)$$

۱۹۰۷۰۱۱ مقادیر حدی زیر را برای توابع کروی تعدیل یافته بسل به دست آورید

$$i_n(x) \approx \frac{x^n}{(2n+1)!!} \quad (\text{الف})$$

$$k_n(x) \approx \frac{(2n-1)!!}{x^{n+1}}, \quad x \ll 1$$

$$i_n(x) \sim \frac{e^x}{2x} \quad (\text{ب})$$

$$k_n(x) \sim \frac{e^{-x}}{x}, \quad x \gg n(n+1)/2$$

۲۰۷۰۱۱ نشان دهید که رونسکیی توابع کروی تعدیل یافته بسل از رابطه زیر به دست می آید

$$i_n(x)k'_n(x) - i'_n(x)k_n(x) = -\frac{1}{x^2}$$

۲۱۰۷۰۱۱ يك ذره کوانتومی در يك چاه "مربعی" به شعاع  $a$  به دام افتاده است. پتانسیل معادله شرو دینگر عبارت است از

$$V(r) = \begin{cases} -V_0, & 0 \leq r < a \\ 0, & r > a \end{cases}$$

انرژی ذره،  $E$ ، (يك ویژه مقدار) منفی است.

(الف) نشان دهید که جزء شعاعی تابع موج از طریق  $j_l(k_1 r)$ ، به ازای  $0 \leq r < a$  و  $k_l(k_2 r)$  به ازای  $r > a$  به دست می آید. [این شرط را داریم که  $\psi(0)$  و  $\psi(\infty)$  متناهی باشند]. در اینجا  $k_1^2 = -ME/\hbar^2$ ،  $k_2^2 = 2M(E+V_0)/\hbar^2$ ، و  $l$  تکانه زاویه ای  $n$  در معادله (۱۳۹.۱۱) است.

(ب) بشرط مرزی در  $r = a$  آن است که تابع موج  $\psi(r)$  و مشتق اول آن پیوسته باشند. نشان دهید که این نکته بدان معناست که

$$\left. \frac{d}{dr} j_l(k_1 r) \right|_{r=a} = \left. \frac{d}{dr} k_l(k_2 r) \right|_{r=a}$$

این معادله ویژه مقدارهای انرژی را تعیین می‌کند.  
یادآوری. این مسئله تعمیم مثال ۲۰.۱.۹ است.

۲۲.۷.۱۱ تابع موج شعاعی کوانتوم مکانیکی برای یک موج پراکنده از رابطه زیر به دست می‌آید

$$\psi_k = \frac{\sin(kr + \delta_0)}{kr}$$

که در آن  $k$  عدد موج و برابر است با  $\sqrt{2mE}/\hbar$ ، و  $\delta_0$  انتقال فاز پراکنده است. نشان دهید که انتگرال بهنجارش عبارت است از

$$\int_0^{\infty} \psi_k(r) \psi_{k'}(r) r^2 dr = \frac{\pi}{2k} \delta(k - k')$$

دانهمایی. می‌توانید از یک نمایش سینوسی برای تابع دلتای دیراک استفاده کنید. به مسئله ۸.۳.۱۵ رجوع کنید.

۲۳.۷.۱۱ رابطه بستاری تابع کروی بسل

$$\frac{2a^2}{\pi} \int_0^{\infty} j_n(ar) j_n(br) r^2 dr = \delta(a - b)$$

را استخراج کنید.

یادآوری. یکی از روشهای جالب برای استخراج این رابطه شامل تبدیلهای فوریه، بسط موج تخت ریلی، وهماهنگهای کروی توسط یوگینسیوزا به دست آمده است.

۲۴.۷.۱۱ (الف) زیر-برنامه‌ای بنویسید که توابع کروی بسل  $j_n(x)$  را تولید کند، یعنی مقدار عددی  $j_n(x)$  را با معلوم بودن  $x$  و  $n$  تعیین کند.

یادآوری. یکی از امکانات آن است که از صورتهای صریح و معلوم  $j_0$  و  $j_1$  بهره‌گیری و  $j_n$  با شاخصهای پایین بالاتر را از طریق کاربرد پی‌درپی رابطه بازگشتی ایجاد کنید. (ب) زیر-برنامه خود را به کمک یک محاسبه مستقل، مثلاً معادله (۱۵۳.۱۱)، بیازمایید. در صورت امکان زمانی را که کامپیوتر برای این آزمون صرف می‌کند با زمان لازم برای زیر-برنامه خود مقایسه کنید.

۲۵.۷.۱۱ تابع موج ذره‌ای واقع در یک کره (مثال ۱۰.۷.۱۱) با تکانه زاویه‌ای  $l$ ، عبارت

است از  $Y_l^m(\theta, \varphi) = A j_l \left[ \frac{\sqrt{2ME}}{\hbar} r \right] Y_l^m(\theta, \varphi)$  تابع  $Y_l^m(\theta, \varphi)$  يك هماهنگ

گروهی است که در بخش ۶.۱۲ توصیف شده است. با استفاده از شرط مرزی  $\psi(a, \theta, \varphi) = 0$

یا  $j_l \left[ \frac{\sqrt{2ME}}{\hbar} a \right] = 0$ ، ده حالت انرژی پایتتر را محاسبه کنید. واگنی نسبت به  $m$

( $l+1$ ) مقدار برای  $m$  به ازای هر گزینه ( $l$ ) را در نظر بگیرید. نتایج حاصل را با جدول ۶.۱۰، در AMS-55، بیازمایید.

دانهایی می‌توانید از زیر-برنامه گروهی بسل و یک زیر-برنامه ریشه یاب استفاده کنید.

مقادیر آزمون:  $j_l(\alpha_{l,1}) = 0$ ،  $\alpha_{0,1} = 3.1416$ ،  $\alpha_{1,1} = 4.4934$ ،  $\alpha_{1,2} = 7.7253$ ،  $\alpha_{2,1} = 5.7635$

$\alpha_{2,2} = 6.92832$

۲۶.۷.۱۱ مثال ۱.۷.۱۱ را چنان تغییر دهید که پتانسیل در بیرون ( $r > a$ ) برابر  $V_0$  متناهی باشد.

(الف) نشان دهید که به ازای  $E < V_0$

$$\psi_{\text{out}}(r, \theta, \varphi) \sim k_l \left( \frac{\sqrt{2M(V_0 - E)}}{\hbar} r \right)$$

(ب) شرایط مرزی جدید که باید به ازای  $r = a$  برقرار باشند، عبارت اند از

$$\psi_{\text{in}}(a, \theta, \varphi) = \psi_{\text{out}}(a, \theta, \varphi)$$

$$\frac{\partial}{\partial r} \psi_{\text{in}}(a, \theta, \varphi) = \frac{\partial}{\partial r} \psi_{\text{out}}(a, \theta, \varphi)$$

یا

$$\frac{1}{\psi_{\text{in}}} \frac{\partial \psi_{\text{in}}}{\partial r} \Big|_{r=a} = \frac{1}{\psi_{\text{out}}} \frac{\partial \psi_{\text{out}}}{\partial r} \Big|_{r=a}$$

نشان دهید که به ازای  $l=0$ ، شرط مرزی در  $r=a$  به رابطه زیر منجر می‌شود

$$f(E) = k \left\{ \cot ka - \frac{1}{ka} \right\} + k' \left\{ 1 + \frac{1}{k'a} \right\}$$

$= 0$

که در آن  $k = \sqrt{2ME}/\hbar$  و  $k' = \sqrt{2M(V_0 - E)}/\hbar$

(ج) با (شعاع بور)  $a = 1/\hbar^2 Me^2$  و  $V_0 = 4Me^4/2\hbar^2$ ، حالت‌های مقید ممکن

( $0 < E < V_0$ ) را محاسبه کنید.

دانهمایی. پس از آنکه محل تقریبی ریشه‌های

$$f(E), (0, V_0)$$

را پیدا کردید، از یک زیر-برنامه ریشه‌یاب استفاده کنید.

(د) نشان دهید که وقتی  $a = 1\hbar^2/Me^2$ ، کمترین مقدار  $V_0$  که برای آن یک حالت مقید وجود دارد، عبارت است از  $V_0 = 2.44674Me^4/2\hbar^2$ .

۲۷.۷.۱۱ سطح مقطع دیفرانسیلی در برخی از واکنشهای مربوط به برهنه‌شدن هسته‌ای، متناسب است با  $[j_l(x)]^2$ ، که در آن  $l$  تکانه زاویه‌ای است. اگر موضع (نخستین) بیشینه  $j_l(x)$  معلوم باشد، موضع بیشینه روی منحنی داده‌های تجربی، تعیین  $l$  را میسر می‌سازد. موضع اولین بیشینه  $j_1(x)$ ،  $j_2(x)$ ، و  $j_3(x)$  را محاسبه کنید. یادآوری. برای دقت بیشتر، موضع اولین صفر  $j_l'(x)$  را جستجو کنید. چرا این کار دقیقتر از محاسبه مستقیم موضع بیشینه است؟

## مراجع

McBride, E. B., *Obtaining Generating Functions*. New York: Springer-Verlag, 1971.

این کتاب درآمدی است بر روشهای دستیابی به توابع مولد.

Watson, G. N., *A Treatise on the Theory of Bessel Functions*, 2nd ed. Cambridge: Cambridge/University Press, 1952.

این کتاب متن درسی جامعی برای توابع بسل و خواص آنهاست. هرچند خواندنش دشوار است، ولی به‌عنوان مرجع نهایی بسیار ارزشمند است.

Watson, G. N., *Theory of Bessel Functions*. Cambridge: Cambridge University Press.

به‌سیاهه مراجعی که در انتهای فصل ۱۳ آورده‌ام نیز رجوع کنید.



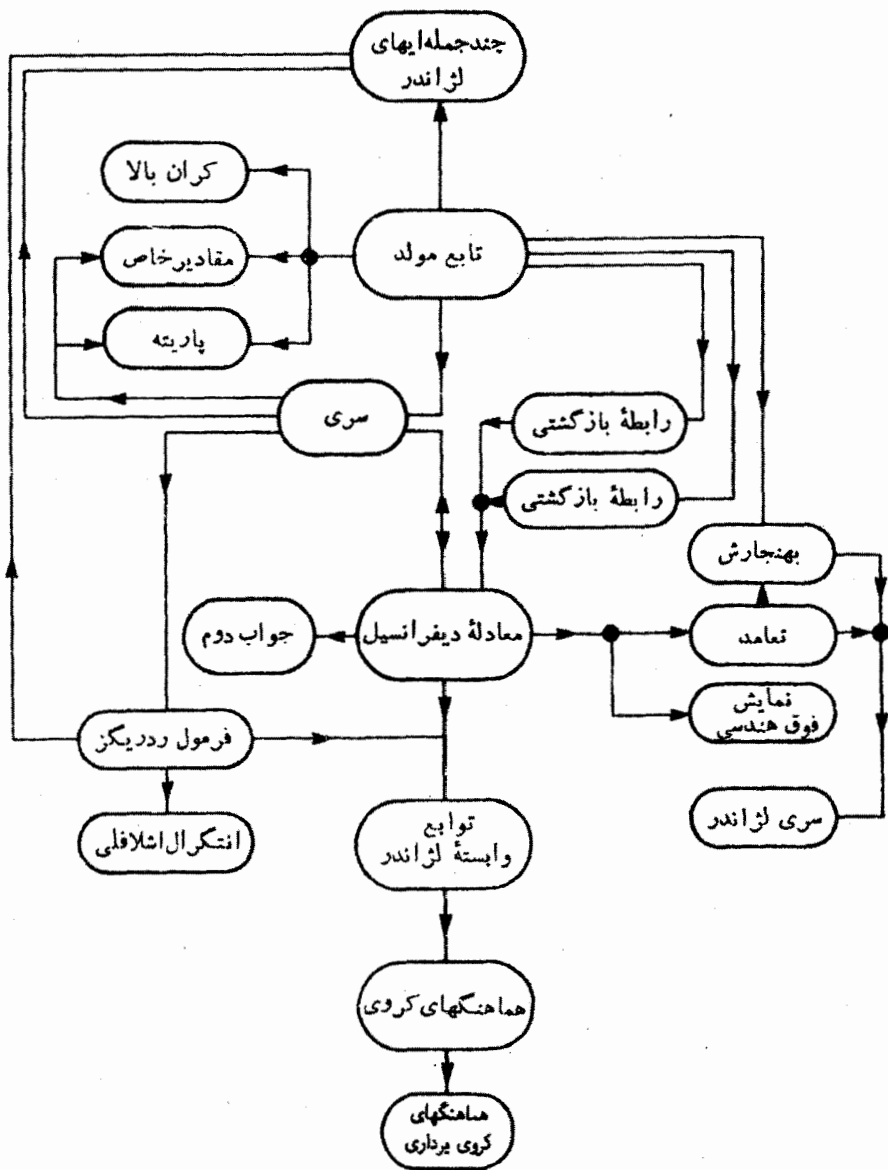
## توابع لژاندر

## ۱.۱۲ تابع مولد

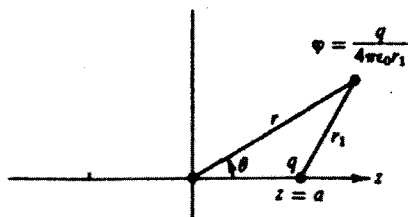
چندجمله‌ایهای لژاندر در مباحث فیزیکی و ریاضی بسیار متفاوتی ظاهر می‌شوند: (۱) مبدأ این چندجمله‌ایها ممکن است به صورت جوابهای معادله دیفرانسیل لژاندر باشد که در جداسازی متغیرهای معادله لاپلاس، معادله هلمهولتز، و معادلات دیفرانسیل مشابه آنها در مختصات قطبی کروی (بخش ۶.۲، جلد اول) با آنها روبه‌رو شدیم. (۲) این چندجمله‌ایها ممکن است به صورت پیامدی از یک فرمول رد ریگنز (بخش ۴.۱۲) وارد شوند. (۳) ممکن است پیامد جستجوی یک مجموعه کامل از توابع متعامد روی بازه  $[-1, 1]$  باشند (متعامدسازی گرام-اشمیت، بخش ۳.۹). (۴) در مکانیک کوانتومی، این چندجمله‌ایها (در واقع هماهنگهای کروی، بخشهای ۶.۱۲ و ۷.۱۲) نمایانگر ویژه تابعهای تکانه زاویه‌ای اند. (۵) این چندجمله‌ایها را می‌توان به کمک یک تابع مولد نیز پدید آورد. در اینجا چندجمله‌ایهای لژاندر را از طریق تابع مولد معرفی می‌کنیم. خواص مختلف این چندجمله‌ایها و توابع مربوط به آنها به صورت طر حواره در شکل ۱.۱۲ نموده شده است.

## مبنای فیزیکی-الکتروستاتیک

بهتر است چندجمله‌ایهای لژاندر را نیز، مانند توابع بسل، به کمک یک تابع مولد معرفی کنیم. ولی یک تعبیر فیزیکی مستقیم نیز میسر است. بار الکتریکی  $q$  را که در  $z=a$  روی محور  $z$  واقع است در نظر بگیرید. بنا بر شکل ۲.۱۲، پتانسیل الکتروستاتیکی بار  $q$  برابر



شکل ۱۰۱۲ روابط درونی تابع لژاندر.



شکل ۲.۱۲ پتانسیل الکتروستاتیکی. بار  $q$  نسبت به مبدأ جا به جا شده است.

است با

$$\varphi = \frac{1}{4\pi\epsilon_0} \frac{q}{r_1} \quad (\text{دستگاه SI}) \quad (1.12)$$

مسئله ما عبارت است از تعیین پتانسیل الکتروستاتیکی بر حسب مختصات قطبی  $r$  و  $\theta$  (مختصه  $\varphi$  به دلیل تقارن حول محور  $z$  ظاهر نخواهد شد). با استفاده از قانون کسینوسها

$$\varphi = \frac{q}{4\pi\epsilon_0} (r^2 + a^2 - 2ar \cos \theta)^{-1/2} \quad (2.12)$$

چند جمله ایهای ژاندر

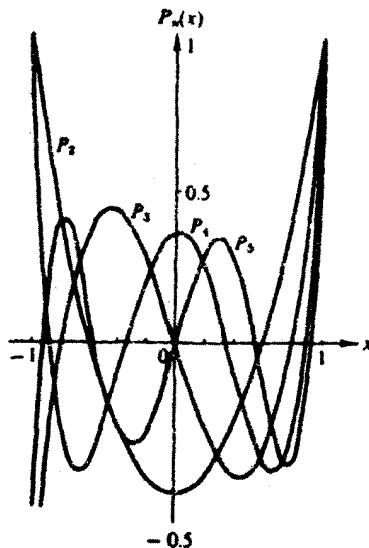
حالت  $r > a$ ، یا به بیان دقیقتر  $|a^2 - 2ar \cos \theta| < r^2$ ، را در نظر بگیرید. رادیکال را می توان به کمک سری دو جمله ای بسط داد و به رابطه زیر رسید

$$\varphi = \frac{q}{4\pi\epsilon_0 r} \sum_{n=0}^{\infty} P_n(\cos \theta) \left(\frac{a}{r}\right)^n \quad (3.12)$$

این عبارت یک سری از توانهای  $(a/r)$  به شمار می آید که در آن ضرب توان  $n$  با  $P_n(\cos \theta)$  نشان داده شده است.  $P_n$ ها چند جمله ایهای ژاندر هستند (شکل ۳.۱۲) و می توان آنها را به کمک تابع زیر تعریف کرد

$$g(t, x) = (1 - 2xt + t^2)^{-1/2} = \sum_{n=0}^{\infty} P_n(x) t^n, \quad |t| < 1 \quad (4.12)$$

این عبارت معادل آن است که سمت راست معادلات (۲.۱۲) و (۳.۱۲) را مساوی هم قرار دهیم، و در آن به جای  $\cos \theta$  کمیت  $x$  و به جای  $a/r$  کمیت  $t$  را بنشانیم. معادله (۴.۱۲) تابع مولد با به شمار می آید. در بخش بعد نشان خواهیم داد که  $|P_n(\cos \theta)| \leq 1$ ، یعنی بسط



شکل ۰۱۳. پنج جمله‌ایهای لژاندر،  $P_0(x), P_1(x), P_2(x), P_3(x), P_4(x)$ .

سری [معادله (۴.۱۲)] به‌ازای  $|t| < 1$  همگراست. در واقع این سری به‌ازای  $|t| = 1$  همگراست، مگر آنکه  $|x| = 1$ .

درواقع از آنجا که معادله (۴.۱۲) چند جمله‌ایهای لژاندر،  $P_n(x)$  را تعریف می‌کند، همگرایی سری ضروری نیست. حتی اگر سری واگرا هم باشد، باز می‌توان مقادیر صریح چند جمله‌ایها را به دست آورد و روابط مفیدی میان آنها برقرار کرد. در هر حال، خاصیت همگرایی از آن‌رو مناسب است که بهره‌گیری از خواص سری توانی (بخش ۷.۵، جلد اول) را میسر می‌سازد.

معادله (۴.۱۲) ذرکاربردهای فیزیکی غالباً به‌صورت برداری زیر ظاهر می‌شود

$$\frac{1}{|r_1 - r_2|} = \frac{1}{r_>} \sum_{n=0}^{\infty} \left(\frac{r_<}{r_>}\right)^n P_n(\cos \theta) \quad (۴.۱۲ \text{ الف})$$

که در آن

$$\left. \begin{aligned} r_> &= |r_1| \\ r_< &= |r_2| \end{aligned} \right\} \quad |r_1| > |r_2| \text{ به‌ازای}$$

۱. توجه کنید که سری معادله (۳.۱۲) به‌ازای  $r > a$  همگراست هر چند که بسط دو جمله‌ای مربوطه فقط به‌ازای  $r > (a^2 + 2ar)^{1/2}$  و  $\cos \theta = -1$  صادق است.

$$\left. \begin{aligned} r_2 &= |r_2| \\ r_1 &= |r_1| \end{aligned} \right\} |r_2| > |r_1| \text{ به ازای}$$

تابع مولد را، با بهره‌گیری از قضیهٔ دو جمله‌ای (بخش ۶.۵، جلد اول) و مسئله ۱۵.۱۰۱۰، به صورت زیر بسط می‌دهیم

$$\begin{aligned} (1 - 2xt + t^2)^{-1/2} &= \sum_{n=0}^{\infty} \frac{(2n)!}{2^{2n}(n!)^2} (2xt - t^2)^n \\ &= \sum_{n=0}^{\infty} \frac{(2n-1)!!}{(2n)!!} (2xt - t^2)^n \end{aligned} \quad (5.12)$$

برای چندتایی از اولین چند جمله‌ای‌های لژاندر، یعنی  $P_0, P_1, P_2$  به ضرایب  $t^0, t^1$  و  $t^2$  نیاز داریم. این توانها تنها در جملات  $n = 0, 1, 2$  ظاهر می‌شوند، از این رو می‌توانیم توجه خود را به سه جملهٔ اول سری متناهی، یعنی

$$\begin{aligned} \frac{0!}{2^0(0!)^2} (2xt - t^2)^0 + \frac{2!}{2^2(1!)^2} (2xt - t^2)^1 + \frac{4!}{2^4(2!)^2} (2xt - t^2)^2 \\ = 1t^0 + xt^1 + \left(\frac{3}{2}x^2 - \frac{1}{2}\right)t^2 + 0t^3 \end{aligned}$$

معطوف کنیم. آنگاه با استفاده از معادله (۴.۱۲) (و یکتایی سری توانی) داریم

$$P_0(x) = 1, \quad P_1(x) = x, \quad P_2(x) = \frac{3}{2}x^2 - \frac{1}{2}$$

این نحوهٔ استخراج محدود را بعداً در همین بخش در چارچوب برداری تکرار خواهیم کرد. در روند به کارگیری یک راه حل کلی، بی می‌بریم که از بسط دو جمله‌ای عامل  $(2xt - t^2)^n$ ، سری دوگانهٔ زیر به دست می‌آید

$$\begin{aligned} (1 - 2xt + t^2)^{-1/2} &= \sum_{n=0}^{\infty} \frac{(2n)!}{2^{2n}(n!)^2} t^n \sum_{k=0}^n (-1)^k \frac{n!}{k!(n-k)!} (2x)^{n-k} t^k \\ &= \sum_{n=0}^{\infty} \sum_{k=0}^n (-1)^k \frac{(2n)!}{2^{2n}n!k!(n-k)!} (2x)^{n-k} t^{n+k} \end{aligned} \quad (6.12)$$

معادله (۶.۱۲)، با استفاده از معادله (۶۴.۵) در بخش ۴.۵ (جلد اول) پس از بازآرایی ترتیب مجموعیایی) به صورت زیر درمی آید

$$(1 - 2xt + t^2)^{-1/2} = \sum_{n=0}^{\infty} \sum_{k=0}^{[n/2]} (-1)^k \frac{(2n - 2k)!}{2^{2n-2k} k! (n-k)! (n-2k)!} (2x)^n - 2^k t^{2k} \quad (7.12)$$

که در آن توان متغیر  $t$  از شاخص پایین  $k$  مستقل است. حال با مساوی قرار دادن جمله به جمله دوسری توانی [معادلات (۴.۱۲) و (۷.۱۲)] داریم

$$P_n(x) = \sum_{k=0}^{[n/2]} (-1)^k \frac{(2n - 2k)!}{2^{2n-2k} k! (n-k)! (n-2k)!} x^{n-2k} \quad (8.12)$$

### چندقضیه‌های الکتریکی خطی

بازهم به بار الکتریکی روی محور  $z$  برمی گردیم، و با افزودن یک بار  $-q$  در  $-a$  مطابق شکل ۴.۱۲، سودمندی و توانایی تابع مولد را نشان می دهیم. پتانسیل به صورت زیر درمی آید

$$\varphi = \frac{q}{4\pi\epsilon_0} \left( \frac{1}{r_1} - \frac{1}{r_2} \right) \quad (9.12)$$

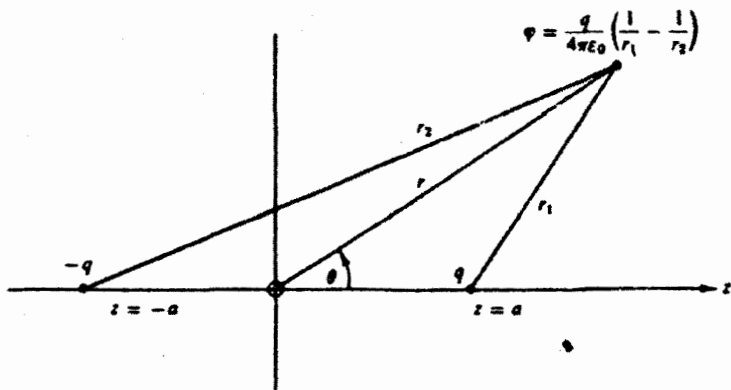
و با استفاده از قانون کسینوسها داریم

$$\varphi = \frac{q}{4\pi\epsilon_0 r} \left\{ \left[ 1 - 2 \left( \frac{a}{r} \right) \cos \theta + \left( \frac{a}{r} \right)^2 \right]^{-1/2} - \left[ 1 + 2 \left( \frac{a}{r} \right) \cos \theta + \left( \frac{a}{r} \right)^2 \right]^{-1/2} \right\}, \quad (r > a)$$

روشن است که رادیکال دوم مانند رادیکال اول است، با این تفاوت که در آن به جای  $a$  کمیت  $-a$  نشسته است. آنگاه، با استفاده از معادله (۴.۱۲)

$$\begin{aligned} \varphi &= \frac{q}{4\pi\epsilon_0 r} \left[ \sum_{n=0}^{\infty} P_n(\cos \theta) \left( \frac{a}{r} \right)^n - \sum_{n=0}^{\infty} P_n(\cos \theta) (-1)^n \left( \frac{a}{r} \right)^n \right] \\ &= \frac{2q}{4\pi\epsilon_0 r} \left[ P_1(\cos \theta) \left( \frac{a}{r} \right) + P_3(\cos \theta) \left( \frac{a}{r} \right)^3 + \dots \right] \end{aligned} \quad (10.12)$$

۱.  $[n/2]$  به ازای مقادیر زوج  $n$  برابر  $n/2$ ، و به ازای مقادیر فرد  $n$  برابر  $(n-1)/2$  است.  
 ۲. معادله (۸.۱۲) با  $x^*$  شروع می شود. این سری را با تعویض شاخص پایین می توانیم به یک سری تبدیل کنیم که به ازای  $n$  های زوج از  $x^0$  و به ازای  $n$  های فرد از  $x^1$  شروع می شود. این سریهای صعودی، در معادلات (۱۰۴.۱۳) و (۱۰۵.۱۳) در بخش (۵.۱۳) برای توابع فوق هندسی بیان می شوند.



شکل ۴۰۱۲ دو قطبی الکتریکی.

جمله اول (که به ازای  $r \gg a$  جمله غالب نیز هست) عبارت است از

$$\varphi = \frac{2aq}{4\pi\epsilon_0} \cdot \frac{P_1(\cos\theta)}{r^2} \quad (11.12)$$

که همان پتانسیل دو قطبی الکتریکی معمولی است. در اینجا  $2aq$  گشتاور دو قطبی است (شکل ۴۰۱۲).

این بررسی را می توان با قراردادن بارهای دیگری روی محور  $z$  طوری تعدیم داد که علاوه بر جمله  $P_0$  (تک قطبی)، جمله  $P_1$  نیز حذف شود. مثلاً، بارهای  $q$  در  $z=a$  و  $-2q$  و بار  $q$  در  $z=0$  به پتانسیلی منجر می شوند که بسط سری آن با  $P_2(\cos\theta)$  شروع می شود. این یک چار قطبی الکتریکی خطی است. دو چار قطبی خطی را می توان چنان قرار داد که جمله چار قطبی حذف شود، ولی  $P_2$ ، یعنی جمله هشت قطبی، باقی بماند.

بسط برداری

پتانسیل الکتروستاتیکی حاصل از بار توزیع شده  $\rho(\mathbf{r}_2)$  را در نظر می گیریم

$$\varphi(\mathbf{r}_1) = \frac{1}{4\pi\epsilon_0} \int \frac{\rho(\mathbf{r}_2)}{|\mathbf{r}_1 - \mathbf{r}_2|} d\tau_2 \quad (12.12 \text{ الف})$$

قبلاً، در بخشهای ۱۵.۱ (جلد اول) و ۷.۸، به این عبارت برخورد کرده ایم. برای مخرج انتگرال دهه، ابتدا قانون کسینوسها و سپس بسط دو جمله ای را به کار می بریم، در نتیجه

$$\begin{aligned} \frac{1}{|\mathbf{r}_1 - \mathbf{r}_2|} &= (r_1^2 - 2\mathbf{r}_1 \cdot \mathbf{r}_2 + r_2^2)^{-1/2} \\ &= \frac{1}{r_1} \left[ 1 + \left( -\frac{2\mathbf{r}_1 \cdot \mathbf{r}_2}{r_1^2} + \frac{r_2^2}{r_1^2} \right) \right]^{-1/2}, \quad r_1 > r_2 \end{aligned}$$

$$= \frac{1}{r_1} \left[ 1 + \frac{\mathbf{r}_1 \cdot \mathbf{r}_2}{r_1^2} - \frac{1}{2} \frac{r_2^2}{r_1^2} + \frac{3}{2} \frac{(\mathbf{r}_1 \cdot \mathbf{r}_2)^2}{r_1^4} + O\left(\frac{r_2^3}{r_1^3}\right) \right] \quad (۱۲.۱۲)$$

[معادله (۱۲.۱۲) ب]، به ازای  $r_1 = 1$ ،  $r_2 = r$  و  $\mathbf{r}_1 \cdot \mathbf{r}_2 = x r$ ، به تابع مولد معادله (۴.۱۲) تقلیل می‌یابد.

از جمله اول داخل کروشه، یعنی ۱، پتانسیل زیر به دست می‌آید

$$\varphi_0(\mathbf{r}_1) = \frac{1}{4\pi\epsilon_0} \frac{1}{r_1} \int \rho(\mathbf{r}_2) d\tau_2 \quad (۱۲.۱۲)$$

انتگرال، درست برابر بار کل است. این بخش از پتانسیل کل، يك تك قطبی الكتریکی است. از جمله دوم پتانسیل زیر حاصل می‌شود

$$\varphi_1(\mathbf{r}_1) = \frac{1}{4\pi\epsilon_0} \frac{\mathbf{r}_1}{r_1^3} \int \mathbf{r}_2 \rho(\mathbf{r}_2) d\tau_2 \quad (۱۲.۱۲)$$

در اینجا بار  $\rho(\mathbf{r}_2)$  بر حسب وزن بازوی گشاور  $\mathbf{r}_2$  تنظیم می‌شود. پتانسیلی دوقطبی داریم.  $\rho(\mathbf{r}_2)$  برای حالت‌های اتمی یا هسته‌ای با پارامتر معین، تابعی است زوج و این انتگرال دوقطبی با صفر متحد می‌شود.

دوجمله آخر را، که هر دو از مرتبه  $(r_2/r_1)^2$  هستند، می‌توان با استفاده از مختصات دکارتی بررسی کرد

$$(\mathbf{r}_1 \cdot \mathbf{r}_2)^2 = \sum_{i=1}^3 x_{1i} x_{2i} \sum_{j=1}^3 x_{1j} x_{2j}$$

پس از بازآرایی متغیرها، به صورتی که  $x_{ij}$ ها در داخل انتگرال باقی بمانند، خواهیم داشت

$$\varphi_2(\mathbf{r}_1) = \frac{1}{4\pi\epsilon_0} \frac{1}{r_1^5} \sum_{i,j=1}^3 x_{1i} x_{1j} \int [3x_{2i}x_{2j} - \delta_{ij}r_2^2] \rho(\mathbf{r}_2) d\tau_2 \quad (۱۲.۱۲)$$

این عبارت، جمله چارقطبی الكتریکی است. خاطر نشان می‌سازیم که گروه درون انتگرال دهه، يك تانسور متقارن با رد صفر را تشکیل می‌دهد.

با استفاده از معادله (۱۲.۱۲) الف) برای  $\varphi(r_1)$  و نشان دادن تابع گرین معادله (۱۶۹.۱۶) به جای  $1/(4\pi|\mathbf{r}_1 - \mathbf{r}_2|)$ ، می‌توان يك بسط چندقطبی الكتروستاتیکی کلی نیز تشکیل داد. به این ترتیب، پتانسیل  $\varphi(\mathbf{r}_1)$  به صورت يك سری (دوگانه) از هماهنگهای کروی  $Y_l^m(\theta_1, \varphi_1)$  و  $Y_l^m(\theta_2, \varphi_2)$  به دست می‌آید.



پیش از آنکه از مبحث میدانهای چندقطبی بگذریم، شاید بهتر باشد بر سه نکته تأکید کنیم. نخست آنکه يك چندقطبی الكتریکی (یا مغناطیسی) تنها در صورتی معنایی مطلق دارد که همه جمله‌های از مرتبه پایینتر حذف شوند. مثلاً، پتانسیل يك بار  $q$  در  $z = a$  به صورت يك سری از چند جمله‌ایهای لواندر بسط داده شد. هر چند می‌توانیم در این بسط جمله  $P_1(\cos \theta)$  را يك جمله دوقطبی بخوانیم، ولی باید به خاطر داشت که این جمله تنها به آن علت که ما مختصات خاصی برگزیده‌ایم وجود دارد. در این صورت عملاً يك تك قطبی  $P_0(\cos \theta)$  داریم.

دوم آنکه، در سیستمهای فیزیکی به چندقطبیهای خالص بر نمی‌خوریم. مثلاً، پتانسیل يك دوقطبی متناهی ( $q$  در  $z = a$  و  $-q$  در  $z = -a$ ) شامل يك جمله  $P_3(\cos \theta)$  نیز هست. این جملات از مرتبه بالاتر را می‌توان از طریق جمع (و فشرده) کردن چندقطبی و تبدیل آن به يك چندقطبی نقطه‌ای حذف کرد. در مورد دوقطبی فوق این جمع کردن باید چنان صورت گیرد که  $qa$  ثابت بماند ( $q \rightarrow \infty, a \rightarrow 0$ )، تا آنکه همان گشتاور دوقطبی را داشته باشیم.

سوم آنکه، نظریه چندقطبی به پدیده‌های الکتریکی محدود نمی‌شود. پیکر بنسیدهای سیاره‌ای بر حسب چندقطبیهای جرمی توصیف می‌شوند (بخشهای ۳.۱۲ و ۵.۱۲). تابش گرانشی به رفتار زمانی چندقطبیهای جرمی بستگی دارد. (میدان تابش گرانشی يك میدان تانسوری است. یکای تابش، که گراویتون نامیده می‌شود، حاوی دو واحد تکانه زاویه‌ای است.)

همچنین می‌توان خاطر نشان ساخت که بسط چندجمله‌ای در واقع تجزیه‌ای است به نمایشهای تحویل‌ناپذیر گروه چرخشی (بخش ۱۰.۴، جلد اول).

### تعمیم به چندجمله‌ایهای فراکروی

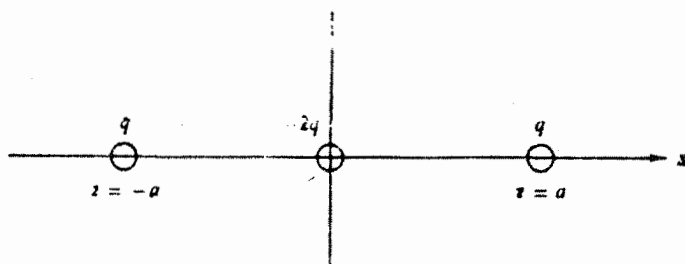
تابع مولدی،  $g(t, x)$ ، که در اینجا به کار بردیم حالت خاصی است از تابع مولد کلیتر زیر

$$\frac{1}{(1 - 2xt + t^2)^\alpha} = \sum_{n=0}^{\infty} C_n^{(\alpha)}(x) t^n \quad (13.12)$$

ضرایب  $C_n^{(\alpha)}(x)$  چندجمله‌ایهای فراکروی اند (که با چندجمله‌ایهای گگن باوئر متناسب اند). این معادله به ازای  $\alpha = 1/2$  به معادله (۴.۱۲) تقلیل می‌یابد، یعنی  $C_n^{(1/2)}(x) = P_n(x)$ . حالت‌های  $\alpha = 0$  و  $\alpha = 1$  را در فصل ۱۳ در ارتباط با چندجمله‌ایهای چیشف از نظر خواهیم گذراند.

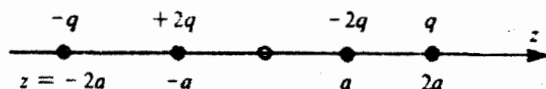
### مسائل

۱۰.۱۲ پتانسیل الکتروستاتیکی را برای آرایه‌ای از بارها، مطابق شکل ۵.۱۲، به دست آورید. این آرایه يك چارقطبی خطی الکتریکی است.



شکل ۵.۱۲ چارقطبی خطی الکتریکی.

۳.۱۰.۱۲ پتانسیل الکتروستاتیکی آرایه باری را که در شکل ۶.۱۲ نموده شده است، محاسبه کنید. این مثالی است از دو دوقطبی مساوی جهت‌های مخالف. جملات مربوط به دوقطبی حذف می‌شوند. جملات هشت قطبی حذف نمی‌شوند.



شکل ۶.۱۲ هشت قطبی خطی الکتریکی.

۳.۱۰.۱۳ نشان دهید که پتانسیل الکتروستاتیکی حاصل از بار  $q$  در  $z = a$  به ازای  $r < a$  عبارت است از

$$\varphi(r) = \frac{q}{4\pi\epsilon_0 a} \sum_{n=0}^{\infty} \left(\frac{r}{a}\right)^n P_n(\cos\theta)$$

۴.۱.۱۲ با استفاده از  $\mathbf{E} = -\nabla\varphi$ ، مؤلفه‌های میدان الکتریکی متناظر با پتانسیل دوقطبی (خالص) الکتریکی زیر را تعیین کنید

$$\varphi(r) = \frac{2aqP_1(\cos\theta)}{4\pi\epsilon_0 r^2}$$

در اینجا فرض شده است که  $r \gg a$

$$E_r = + \frac{2aq \cos\theta}{4\pi\epsilon_0 r^3}$$

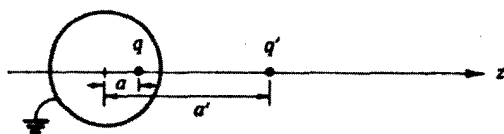
$$E_{\theta} = + \frac{\gamma a q \sin \theta}{\gamma \pi \epsilon_0 r^2}$$

$$E_{\varphi} = 0$$

۵۰۱۰۱۲ يك دوقطبی الکتریکی نقطه‌ای به قدرت  $p^{(۱)}$  در  $z = a$  قرار دارد؛ دوقطبی الکتریکی نقطه‌ای دیگری با قدرت مساوی ولی مخالف با آن در مبدأ واقع است. با ثابت نگه داشتن  $a$ ،  $p^{(۱)}$  را به سمت صفر میل دهید. نشان دهید که حاصل این کار يك چارقطبی الکتریکی نقطه‌ای است.

(اھنمایی. از مسئله ۵۰۲۰۱۲ (پس از اثبات) بهره گیرید.

۶۰۱۰۱۲ بار نقطه‌ای  $q$  درون کره توخالی رسانایی به شعاع  $r_0$ ، به فاصله  $a$  از مرکز کره قرار دارد. اگر کره رسانا به زمین متصل شده باشد، نشان دهید که درون کره، پتانسیل حاصل از  $q$  و توزیع بار القایی با پتانسیل حاصل از  $q$  و بار تصویری آن،  $q'$ ، برابر است. بار تصویری در فاصله  $a' = r_0^2/a$  از مرکز واقع و با  $q$  و مبدأ همخط است (شکل ۷۰۱۲). (اھنمایی. پتانسیل الکتروستاتیکی را به ازای  $a < r_0 < a'$  محاسبه کنید. نشان دهید که اگر  $q'$  را با  $-qr_0/a$  برابر بگیریم، پتانسیل به ازای  $r = r_0$  صفر می‌شود.



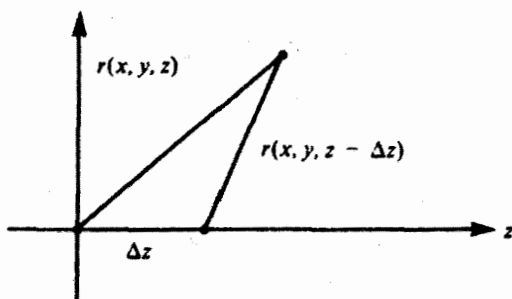
شکل ۷۰۱۲

۷۰۱۰۱۲ ثابت کنید که

$$P_n(\cos \theta) = (-1)^n \frac{r^{n+1}}{n!} \frac{\partial^n}{\partial z^n} \left( \frac{1}{r} \right)$$

(اھنمایی. بسط تابع مولد بر حسب چندجمله‌ای‌های لژاندر  $a \rightarrow \Delta z$  در شکل ۲۰۱۲) را با بسط سری تیلور  $1/r$ ، که در آن وابستگی  $r$  به  $z$  از  $z$  به  $z - \Delta z$  تغییر کرده باشد، مقایسه کنید (شکل ۸۰۱۲).

۸۰۱۰۱۲ با مشتقگیری و جانشانی مستقیم صورت سری چندجمله‌ای لژاندر، یعنی معادله (۸۰۱۲)، نشان دهید که  $P_n(x)$  در معادله دیفرانسیل لژاندر صدق می‌کند. توجه کنید که هیچ محدودیتی روی  $x$  وجود ندارد. می‌توانیم هر مقدار  $x$  را در بازه  $-\infty < x < \infty$



شکل ۸.۱۲

و در واقع هر مقدار  $z$  را در تمامی صفحهٔ مختلط متناهی، اختیار کنیم.

۹.۱۰۱۲ چند جمله‌ایهای (نوع II) چیشف توسط تابع زیر تولید می‌شوند [معادلهٔ (۶۲.۱۳)، بخش ۳.۱۳ را ببینید]

$$\frac{1}{1 - 2xt + t^2} = \sum_{n=0}^{\infty} U_n(x) t^n$$

با استفاده از شگردهای بخش ۴.۵ (جلد اول) برای تبدیل سریها، یک نمایش سری برای  $U_n(x)$  ارائه دهید.

$$U_n(x) = \sum_{k=0}^{\lfloor n/2 \rfloor} (-1)^k \frac{(n-k)!}{k!(n-2k)!} (2x)^{n-2k} \quad \text{پاسخ.}$$

## ۲.۱۲ روابط بازگشتی و خواص ویژه

روابط بازگشتی

تابع مولد چند جمله‌ای لژاندر روش مناسبی برای استخراج روابط بازگشتی<sup>۱</sup> و برخی از خواص ویژه فراهم می‌آورد. اگر از تابع مولد [معادلهٔ (۴.۱۲)] نسبت به  $t$  مشتق بگیریم، خواهیم داشت

$$\frac{\partial g(t, x)}{\partial t} = \frac{x-t}{(1-2xt+t^2)^{3/2}} = \sum_{n=0}^{\infty} n P_n(x) t^{n-1} \quad (14.12)$$

با نشانیدن معادلهٔ (۴.۱۲) در این رابطه و بازآرایی جملات آن، داریم

۱. انصورت صریح سری [معادلهٔ (۸.۱۲)] نیز مستقیماً می‌توان استفاده کرد.

$$(1 - 2xt + t^2) \sum_{n=0}^{\infty} n P_n(x) t^{n-1} + (t-x) \sum_{n=0}^{\infty} P_n(x) t^n = 0 \quad (15.12)$$

عبارت سمت چپ يك سری توانی است بر حسب  $t$ . این سری توانی به ازای همه مقادیر  $t$  صفر می شود. پس می توانیم ضریب هریک از توانهای  $t$  را برابر صفر قرار دهیم، یعنی سری توانی ما یکناست (بخش ۷.۵، جلد اول). این کار را می توان صرفاً با جدا کردن هریک از مجموعیایها از یکدیگر و به کار بردن شاخصهای پایین متمایز مجموعیایی، انجام داد

$$\begin{aligned} \sum_{m=0}^{\infty} m P_m(x) t^{m-1} - \sum_{n=0}^{\infty} 2nx P_n(x) t^n + \sum_{s=0}^{\infty} s P_s(x) t^{s+1} \\ + \sum_{s=0}^{\infty} P_s(x) t^{s+1} - \sum_{n=0}^{\infty} x P_n(x) t^n = 0 \end{aligned} \quad (16.12)$$

اکنون با قرار دادن  $s = n - 1$  و  $m = n + 1$  خواهیم داشت

$$(2n+1)x P_n(x) = (n+1)P_{n+1}(x) + n P_{n-1}(x), \quad n = 1, 2, 3, \dots \quad (17.12)$$

این عبارت، رابطه بازگشتی سه جمله ای دیگری است که با رابطه بازگشتی برای توابع بسط مشابه است (ولی با آن یکی نیست). با این رابطه بازگشتی می توانیم چند جمله ایهای بالاتر ژاندر را تشکیل دهیم. اگر بگیریم  $n = 1$ ، و مقادیر  $P_1(x)$  و  $P_0(x)$  را که به آسانی به دست می آیند [مسئله ۷.۱۰۱۲ یا معادله (۸.۱۲)] در رابطه بنشانیم، خواهیم داشت

$$3x P_1(x) = 2P_2(x) + P_0(x) \quad (18.12)$$

یا

$$P_2(x) = \frac{1}{2}(3x^2 - 1) \quad (19.12)$$

این فرایند را می توان تا بینهایت ادامه داد. تعدادی از نخستین چند جمله ایهای ژاندر در جدول ۱۰۱۲ آورده شده است.

هر چند ممکن است این روش در بادی امر پردردسر بنماید، ولی نسبت به محاسبه مستقیم سری [معادله (۸.۱۲)]، برای کامپیوترهای رقمی بزرگ عملاً کارآمدتر است. برای دستیابی به ثبات بیشتر (یعنی اجتناب از انباشته و بزرگ شدن بی مورد خطای حاصل از گرد شدن) معادله (۱۷.۱۲) را بدصورت زیر بازنویسی می کنیم

$$P_{n+1}(x) = 2x P_n(x) - P_{n-1}(x) - [x P_n(x) - P_{n-1}(x)] / (n+1) \quad (الف) \quad (17.12)$$

محاسبه را از  $P_0(x) = 1$  و  $P_1(x) = x$  آغاز و مقادیر عددی همه  $P_n(x)$  ها را

$$P_0(x) = 1$$

$$P_1(x) = x$$

$$P_2(x) = \frac{1}{2}(3x^2 - 1)$$

$$P_3(x) = \frac{1}{2}(5x^3 - 3x)$$

$$P_4(x) = \frac{1}{8}(35x^4 - 30x^2 + 3)$$

$$P_5(x) = \frac{1}{8}(63x^5 - 70x^3 + 15x)$$

$$P_6(x) = \frac{1}{16}(231x^6 - 315x^4 + 105x^2 - 5)$$

$$P_7(x) = \frac{1}{16}(429x^7 - 693x^5 + 315x^3 - 35x)$$

$$P_8(x) = \frac{1}{128}(6435x^8 - 12012x^6 + 6930x^4 - 1260x^2 + 35)$$

به ازای يك مقدار معين  $x$  تا  $P_N(x)$  مطلوب محاسبه می‌کنند. مقادیر  $P_n(x)$  به ازای  $0 \leq n < N$  به صورت يك مزیت جانی قابل دسترسی خواهند بود.

### معادلات دیفرانسیل

اکنون اگر از معادله (۴.۱۲) نسبت به  $x$  مشتق بگیریم، خواهیم توانست درباره رفتار چندجمله‌ایهای لژاندر اطلاعات بیشتری به دست آوریم. داریم

$$\frac{\partial g(t, x)}{\partial x} = \frac{t}{(1 - 2xt + t^2)^{3/2}} = \sum_{n=0}^{\infty} P'_n(x) t^n \quad (20.12)$$

یا

$$(1 - 2xt + t^2) \sum_{n=0}^{\infty} P'_n(x) t^n - t \sum_{n=0}^{\infty} P_n(x) t^n = 0 \quad (21.12)$$

مانند قبل، ضرب هر يك از توانهای  $x$  را بر صفر می‌گیریم، در نتیجه

$$P'_{n-1}(x) + P'_{n-1}(x) = 2xP'_n(x) + P_n(x) \quad (22.12)$$

با مشتقگیری از معادله (۱۷.۱۲) نسبت به  $x$  و ضرب کردن آن در ۲، می‌توان به رابطه مفیدتری رسید. به این رابطه  $(2n+1)$  برابر معادله (۲۲.۱۲) را می‌افزاییم که در نتیجه جمله  $P'_n$  حذف می‌شود. نتیجه بدست‌آمده زیر درمی‌آید

$$P'_{n+1}(x) - P'_{n-1}(x) = (2n+1)P_n(x) \quad (23.12)$$

به کمک معادلات (۲۲.۱۲) و (۲۳.۱۲) معادلات بیشمار دیگری می‌توان تشکیل داد، که عبارتهای زیر را در برگیرند

$$P'_{n+1}(x) = (n+1)P_n(x) + xP'_n(x) \quad (24.12)$$

$$P'_{n-1}(x) = -nP_n(x) + xP'_n(x) \quad (25.12)$$

$$(1-x^2)P'_n(x) = nP_{n-1}(x) - nxP_n(x) \quad (26.12)$$

$$(1-x^2)P'_n(x) = (n+1)xP_n(x) - (n+1)P_{n+1}(x) \quad (27.12)$$

به کمک مشتقگیری از معادله (۲۶.۱۲) و با استفاده از معادله (۲۵.۱۲) برای حذف  $P'_{n-1}(x)$ ، می‌بریم که  $P_n(x)$  در معادله دیفرانسیل مرتبه دوم خطی زیر صلق می‌کند

$$(1-x^2)P''_n(x) - 2xP'_n(x) + n(n+1)P_n(x) = 0 \quad (28.12)$$

معادلات پیشین، از (۲۲.۱۲) تا (۲۷.۱۲)، جملگی معادلات دیفرانسیلی مرتبه اول اند،

۱. هر معادله، با شماره مربوطه که در پرانتز می‌آید، نشان داده خواهد شد. این روابط را می‌توان به ترتیب زیر استخراج کرد

$$2x \frac{d}{dx}(17.12) + (2n+1) \times (22.12) \Rightarrow (23.12)$$

$$\frac{1}{2} \{ (22.12) + (23.12) \} \Rightarrow (24.12)$$

$$\frac{1}{2} \{ (22.12) - (23.12) \} \Rightarrow (25.12)$$

$$(24.12)_n \rightarrow_{n-1} + x \times (25.12) \Rightarrow (26.12)$$

$$\frac{d}{dx}(26.12) + n \times (25.12) \Rightarrow (28.12)$$

ولی هر يك از آنها دوچندجمله‌ای باشاخصهای پایین متفاوت دارد. معادلهٔ دیفرانسیل مرتبهٔ دوم بهایی است که برای در اختیار داشتن شاخصهای پایین یکسان می‌پردازیم. معادلهٔ (۲۸.۱۲)، همان معادلهٔ دیفرانسیل لژاندر است. اکنون می‌بینیم که چندجمله‌ایهای  $P_n(x)$  که از بسط  $(1 - 2xt + t^2)^{-1/2}$  به دست آمدند در معادلهٔ دیفرانسیل لژاندر صدق می‌کنند، و البته به همین دلیل آنها را چندجمله‌ایهای لژاندر می‌نامند.

مشتقگیری در معادلهٔ (۲۸.۱۲) نسبت به  $x$  است  $(x = \cos \theta)$ . صورتی از معادلهٔ دیفرانسیل لژاندر که در آن مشتقگیری نسبت به  $\theta$  صورت می‌گیرد نیز کاملاً متداول است

$$\frac{1}{\sin \theta} \frac{d}{d\theta} \left( \sin \theta \frac{dP_n(\cos \theta)}{d\theta} \right) + n(n+1)P_n(\cos \theta) = 0 \quad (29.12)$$

### مقادیر خاص

تابع مولد اطلاعات دیگری نیز دربارهٔ چندجمله‌ایهای لژاندر ارائه می‌کند. اگر قرار دهیم  $x = 1$ ، آنگاه معادلهٔ (۴.۱۲)، با استفاده از بسط دوجمله‌ای، به صورت زیر درمی‌آید

$$\begin{aligned} \frac{1}{(1 - 2t + t^2)^{1/2}} &= \frac{1}{1-t} \\ &= \sum_{n=0}^{\infty} t^n \end{aligned} \quad (30.12)$$

اما

$$\frac{1}{(1 - 2tx + t^2)_{x=1}^{1/2}} = \sum_{n=0}^{\infty} P_n(t) t^n$$

با مقایسهٔ این دو بسط سری [و با در نظر گرفتن یکتایی سری توانی (بخش ۷.۵، جلد اول)] داریم

$$P_n(1) = 1 \quad (31.12)$$

اگر قرار دهیم  $x = -1$ ، به‌انکای تحلیل مشابهی خواهیم داشت

$$P_n(-1) = (-1)^n \quad (32.12)$$

برای دستیابی به این نتایج، بی‌می‌بریم که تابع مولد نسبت به صورت صریح سری مناسبتر است.

اگر قرار دهیم  $x = 0$ ، با استفاده از بسط دوجمله‌ای



$$(1+t^2)^{-1/2} = 1 - \frac{1}{2}t^2 + \frac{3}{8}t^4 + \dots + (-1)^n \frac{1 \times 3 \dots (2n-1)}{2^n n!} t^{2n} + \dots \quad (۳۳.۱۲)$$

داریم

$$P_{2n}(0) = (-1)^n \frac{1 \times 3 \dots (2n-1)}{2^n n!} = (-1)^n \frac{(2n-1)!!}{(2n)!!} \quad (۳۴.۱۲)$$

$$P_{2n+1}(0) = 0, \quad n = 0, 1, 2, \dots \quad (۳۵.۱۲)$$

این نتایج را می‌توان از واریسی معادله (۸.۱۲) نیز به دست آورد.

پارینته

برخی نتایج فوق حالت‌های خاصی از خاصیت پارینته چندجمله‌ایهای لژاندر به شمار می‌آیند. بازهم به معادله (۴.۱۲) بازمی‌گردیم. اگر به جای  $x$  کمیت  $-x$  و به جای  $t$  کمیت  $-t$  را بنشانیم، تابع مولد تغییر نمی‌کند. از این رو

$$\begin{aligned} g(t, x) &= g(-t, -x) \\ &= [1 - 2(-t)(-x) + (-t)^2]^{-1/2} \\ &= \sum_{n=0}^{\infty} P_n(-x)(-t)^n \\ &= \sum_{n=0}^{\infty} P_n(x)t^n \end{aligned} \quad (۳۶.۱۲)$$

با مقایسه این دوسری داریم

$$P_n(-x) = (-1)^n P_n(x) \quad (۳۷.۱۲)$$

یعنی توابع چندجمله‌ای (نسبت به  $x=0$  و  $\theta=\pi/2$ )، بر حسب آنکه شاخص  $n$  زوج یا فرد باشد، زوج یا فرد خواهند بود. این همان خاصیت پارینته یا بازتاب است که در

۱. نماد فاکتوریل دوگانه در بخش ۱.۱۰ تعریف شد،

$$(2n)!! = 2 \times 4 \times 6 \times \dots \times (2n), \quad (2n-1)!! = 1 \times 3 \times 5 \times \dots \times (2n-1)$$

۲. در مختصات قطبی کروی، وارونگی نقطه  $(r, \theta, \varphi)$  نسبت به مبدأ از طریق تبدیل  $\cos \theta \rightarrow \cos(\pi - \theta) = -\cos \theta$  صورت می‌گیرد. در نتیجه  $[r \rightarrow r, \theta \rightarrow \pi - \theta, \varphi \rightarrow \varphi \pm \pi]$  متناظر است با  $x \rightarrow -x$  (با مسئله ۸.۵.۲ مقایسه کنید).

مکانیک کوانتومی نقش مهمی دارد. شاخص  $n$ ، برای نیروهای مرکزی، مقیاسی است از تکانه زاویه‌ای مداری، در نتیجه این شاخص، پاریته و تکانه زاویه‌ای مداری را به هم مربوط می‌کند. خواننده پی خواهد برد که خاصیت پاریته از طریق جوابهای سری و مقادیر خاصی که در جدول ۱۰۱۲ جدول بندی شده‌اند تأیید می‌شود. توجه به این نکته جالب است که معادله (۳۷.۱۲) را می‌توان با واریسی رابطه بازگشتی معادله (۱۷.۱۲) نیز پیشگویی کرد. خصوصاً اگر  $P_{n-1}(x)$  و  $xP_n(x)$  زوج باشند، آنگاه  $P_{n-1}(x)$  باید زوج باشد.

گرانهای بالا و پایین  $P_n(\cos \theta)$  سرانجام، تابع مولد، علاوه بر نتایج فوق، امکان یافتن حد بالای  $|P_n(\cos \theta)|$  را نیز فراهم می‌کند. داریم

$$\begin{aligned} (1 - 2t \cos \theta + t^2)^{-1/2} &= (1 - te^{i\theta})^{-1/2} (1 - te^{-i\theta})^{-1/2} \\ &= \left(1 + \frac{1}{2} te^{i\theta} + \frac{3}{8} t^2 e^{2i\theta} + \dots\right) \quad (38.12) \\ &\quad \times \left(1 + \frac{1}{2} te^{-i\theta} + \frac{3}{8} t^2 e^{-2i\theta} + \dots\right) \end{aligned}$$

که در آن همه ضرایب مثبت اند. اکنون می‌توان چند جمله‌ای لزاندر،  $P_n(\cos \theta)$ ، را که در اینجا نیز ضریب  $t^n$  است، به صورت مجموع جملاتی به این قرار نوشت

$$\begin{aligned} a_m (e^{im\theta} + e^{-im\theta}) / 2 &= a_m \cosh im\theta \\ &= a_m \cos m\theta \end{aligned} \quad (39.12 \text{ الف})$$

که در آن همه  $a_m$  ها مثبت اند. آنگاه

$$P_n(\cos \theta) = \sum_{m=0}^n a_m \cos m\theta \quad (39.12 \text{ ب})$$

روشن است که هرگاه  $\theta = 0$  یعنی  $\cos m\theta = 1$ ، این سری [معادله (۳۹.۱۲) ب] بیشینه است. اما معادله (۳۱.۱۲)، به ازای  $x = \cos \theta = 1$ ، نشان می‌دهد که  $P_n(1) = 1$ . بنابراین

$$|P_n(\cos \theta)| \leq P_n(1) = 1 \quad (39.12 \text{ ج})$$

علاوه بر این یکی از فایده‌های حاشیه‌ای معادله (۳۹.۱۲) این است که نشان می‌دهد

جدول ۲۰۱۲ مقایسه تابع مولد به اضافه روابط بازگشتی و بسط سری [معادله (۸.۱۲)].

کاربرد	تابع مولد روابط بازگشتی معادلات (۴.۱۲)، (۱۷.۱۲)	سری معادله (۸.۱۲)
جدول ۱۰۱۲ مقدار عددی	گزینه کامپیوتر	مستقیمتر
استخراج معادله دیفرانسیل معادله (۲۷.۱۲)	نسبتاً پیچیده	تحقیق اینکه چند جمله‌ای در معادله صدق می‌کند آسان است، استخراج معادله نیاز به تبحر دارد
$P_n(1)$ ، معادله (۳۰.۱۲)	آسان	پر در دسر
$P_n(0)$ ، معادله (۳۴.۱۲)	آسان	از طریق بازبینی
پارایته، معادله (۳۶.۱۲)	آسان	از طریق بازبینی
کرانها، معادله (۳۸.۱۲)	نسبتاً آسان	پر در دسر

چند جمله‌ای ژاندر ترکیبی خطی از  $\cos n\theta$ هاست. یعنی، چند جمله‌ایهای ژاندر، برای همه توابعی که بتوان آنها را به کمک یک سری فوریه (بخش ۱۰.۱۴ را ببینید) روی بازه  $(0, \pi)$  بسط داد، یک مجموعه کامل تشکیل می‌دهند.

در این بخش، با استفاده از تابع مولد، معادله (۴.۱۲)، خواص متنوع مفیدی برای چند جمله‌ایهای ژاندر استخراج کردیم. نمایش صریح سری، معادله (۸.۱۲)، رهیافتی متفاوت و گاهی برتر برای استخراج این خواص در اختیار ما می‌گذارد. این دو رهیافت در جدول ۲۰۱۲ باهم مقایسه شده‌اند.

### مسائل

۱۰۴۰۱۲ سری زیر را در نظر بگیرید

$$\alpha_0 + \alpha_1 \cos^2 \theta + \alpha_2 \cos^4 \theta + \alpha_3 \cos^6 \theta = a_0 P_0 + a_1 P_2 + a_2 P_4 + a_3 P_6$$

ضرایب  $\alpha_i$  را به صورت بردار ستونی  $\vec{\alpha}$  و ضرایب  $a_i$  را به صورت بردار ستونی  $\mathbf{a}$  بیان کنید. ماتریسهای  $\mathbf{A}$  و  $\mathbf{B}$  را چنان بیابید که

$$\mathbf{A}\vec{\alpha} = \mathbf{a} \quad \text{و} \quad \mathbf{B}\mathbf{a} = \vec{\alpha}$$

محاسبه خود را با نشان دادن برقراری رابطه  $\mathbf{AB} = \mathbf{I}$  (ماتریس یکه) بیازمایید. این مسئله را برای حالت فرد نیز تکرار کنید.

$$\alpha_1 \cos \theta + \alpha_2 \cos^2 \theta + \alpha_3 \cos^3 \theta + \alpha_4 \cos^4 \theta = a_1 P_1 + a_2 P_2 + a_3 P_3 + a_4 P_4$$

با دآردی.  $P_n(\cos \theta)$  و  $\cos^n \theta$  در AMS-55، بر حسب یکدیگر جدولبندی شده‌اند.

۲۰۲۰۱۲ از تابع مولد  $g(x, t)$  نسبت به  $t$  مشتق بگیرید، آنرا در  $t=1$  ضرب کنید و  $g(x, t)$  را به آن بیفزایید، آنگاه نشان دهید

$$\frac{1-t^2}{(1-2xt+t^2)^{3/2}} = \sum_{n=0}^{\infty} (2n+1)P_n(x)t^n$$

این نتیجه برای محاسبهٔ باری الکتریکی مفید خواهد بود که یک بار نقطه‌ای روی یک کرهٔ فلزی متصل به زمین القا می‌کند.

۳۰۲۰۱۲ (الف) معادلهٔ (۲۷.۱۲)، یعنی معادلهٔ زیر، را استخراج کنید

$$(1-x^2)P_n'(x) = (n+1)xP_n(x) - (n+1)P_{n+1}(x)$$

(ب) رابطهٔ بین معادلهٔ (۲۷.۱۲) و معادلات قبلی آنرا به صورت نمادی، مشابه با صورت‌های نمادی مربوط به معادلات (۲۳.۱۲) تا (۲۶.۱۲)، بنویسید.

۴۰۲۰۱۲ با قراردادن یک چارقطبی نقطه‌ای الکتریکی (با قدرت  $p^{(2)}$  در راستای  $z$ ) در  $z=a$  و چارقطبی نقطه‌ای الکتریکی مساوی و مخالفی در  $z=-a$ ، آنگاه با میل دادن  $a$  به سوی صفر، با این شرط که  $a p^{(2)}$  ثابت بماند، می‌توان یک هشت‌قطبی نقطه‌ای الکتریکی ساخت. پتانسیل الکتروستاتیکی مناظر با هشت‌قطبی نقطه‌ای الکتریکی را پیدا کنید. با استفاده از نحوهٔ ساختن هشت‌قطبی نقطه‌ای الکتریکی نشان دهید که پتانسیل مناظر را می‌توان با مشتقگیری از پتانسیل چارقطبی به دست آورد.

۵۰۲۰۱۲ با انجام عملیات در مختصات قطبی کردی، نشان دهید

$$\frac{\partial}{\partial z} \left[ \frac{P_n(\cos \theta)}{r^{n+1}} \right] = -(n+1) \frac{P_{n+1}(\cos \theta)}{r^{n+2}}$$

عملیات مزبور، در روند این برهان ریاضی که مشتق یک چندقطبی به چندقطبی مرتبهٔ بالاتر بدل می‌انجامد، یک گام کلیدی به شمار می‌آید. راهنمایی. با مسئلهٔ ۱۲.۵.۲ مقایسه کنید.

$$P_L(\cos \theta) = \frac{1}{L!} \frac{\partial^L}{\partial t^L} (1 - 2t \cos \theta + t^2)^{-1/2} \Big|_{t=0}$$

نشان دهید که

$$P_L(1) = 1, \quad P_L(-1) = (-1)^L$$

۷۰۲۰۱۲ ثابت کنید که

$$P'_n(1) = \frac{d}{dx} P_n(x) \Big|_{x=1} = \frac{1}{2} n(n+1)$$

۸۰۲۰۱۲ با استفاده از رابطه بازگشتی که  $P_n, P_{n+1}, P_{n-1}$  و  $P_{n-1}$  را بهم مربوط می کند و معلوم بودن  $P_0$  و  $P_1$ ، نشان دهید که  $P_n(\cos \theta) = (-1)^n P_n(-\cos \theta)$ .

۹۰۲۰۱۲ با استفاده از معادله (۳۸.۱۲)، ضریب  $t^2$  را بر حسب  $\cos n\theta$ ، به ازای  $n \leq 2$  بنویسید. این ضریب همان  $P_2(\cos \theta)$  است.

۱۰۰۲۰۱۲ برنامه ای بنویسید که ضرایب  $a_n$  مربوط به چندجمله ای لژاندر را به صورت زیر تولید کند

$$P_n(x) = \sum_{i=0}^n a_i x^i$$

۱۱۰۲۰۱۲ (الف)  $P_{10}(x)$  را در گستره  $[0, 1]$  محاسبه و نتیجه را ترسیم کنید.  
(ب) مقادیر پنج ریشه مثبت  $P_{10}(x)$  را دقیقاً دست کم تا پنج رقم اعشاری محاسبه کنید. مقادیری را که به دست آورده اید با مقادیری که در جدول ۴.۲۵، مرجع AMS-55، آمده است، مقایسه کنید.

دانهایی. برای دستیابی به شگردهای ریشه یابی به پیوست ۱ رجوع کنید.

۱۲۰۲۰۱۲ (الف) بزرگترین ریشه  $P_n(x)$  را به ازای  $n = 2(1)50$  محاسبه کنید  
(ب) با استفاده از نمایش فوق هندسی  $P_n(x)$  (بخش ۴.۱۳ را ببینید)، تقریبی برای بزرگترین ریشه به دست آورید و مقادیر حاصل از بند (الف) را با تقریب فوق هندسی خود، و همچنین با مقادیری که در جدول ۴.۲۵ از مرجع AMS-55 آمده اند، مقایسه کنید.

۱۳۰۲۰۱۲ (الف) با استفاده از مسئله ۱.۲.۱۲ و جدول ۹.۲۲ مندرج در مرجع AMS-55، ماتریسی  $6 \times 6$  مانند **B** را چنان تشکیل دهید که یک سری از چند جمله ایهای مرتبه زوج

لژاندر را که از  $P_{10}(x)$  شروع می‌شود به سری توانی  $\sum_{n=0}^5 \alpha_{2n} x^{2n}$  تبدیل کند.  
 (ب)  $\mathbf{A} = \mathbf{B}^{-1}$  را حساب کنید. عناصر  $\mathbf{A}$  را با مقادیری که در جدول ۹.۲۲ مندرج در مرجع AMS-55 آمده‌اند، مقایسه کنید.  
 (ج) با استفاده از ضرب ماتریسی، سری  $\sum_{n=0}^5 \alpha_{2n} x^{2n}$  با توانهای زوج را به سری لژاندر تبدیل کنید.

۱۴۰۲۰۱۲ زیر-برنامه‌ای بنویسید که سری توانی متناهی  $\sum_{n=0}^N a_n x^n$  را به یک سری لژاندر  $\sum_{n=0}^N b_n P_n(x)$  تبدیل کند. برای این کار از رابطه بازگشتی (۱۷.۱۲) استفاده کنید و شگردی را پی‌بگیرید که طرح کلی آن در بخش ۳.۱۳ برای سری چیبشف ارائه شده است.

### ۳.۱۲ تعامد

معادلهٔ دیفرانسیل لژاندر (۲۸.۱۲) را می‌توان به صورت زیر نوشت

$$\frac{d}{dx}[(1-x^2)P'_n(x)] + n(n+1)P_n(x) = 0 \quad (۴۰.۱۲)$$

که صریحاً خود-الحاقی بودن آن را نشان می‌دهد. از این‌رو، روشن است که جوابهای  $P_n(x)$  که در شرایط مرزی معینی صدق می‌کنند، تعامد خواهند بود. با تکرار تحلیل اشتورم-لیوویل (بخش ۲.۹) معادلهٔ (۴۰.۱۲) را در  $P_m(x)$  ضرب می‌کنیم، و معادلهٔ متناظری را، که در آن جای  $m$  و  $n$  را عوض کرده‌ایم، از آن کم می‌کنیم. با انتگرالگیری از  $-۱$  تا  $+۱$  داریم

$$\int_{-1}^1 \left\{ P_m(x) \frac{d}{dx} [(1-x^2)P'_n(x)] - P_n(x) \frac{d}{dx} [(1-x^2)P'_m(x)] \right\} dx \\ = [m(m+1) - n(n+1)] \int_{-1}^1 P_n(x) P_m(x) dx \quad (۴۱.۱۲)$$

از طریق انتگرالگیری جزء به جزء، جزء انتگرالگیری شده به دلیل وجود عامل  $(1-x^2)$  صفر می‌شود؛ داریم

$$[m(m+1) - n(n+1)] \int_{-1}^1 P_n(x) P_m(x) dx = 0 \quad (۴۲.۱۲)$$

آنگاه به‌ازای  $m \neq n$

$$\int_{-1}^1 P_n(x)P_m(x)dx = 0 \quad (۴۳.۱۲)$$

$$\int_0^\pi P_n(\cos \theta)P_m(\cos \theta) \sin \theta d\theta = 0$$

که نشان می‌دهد  $P_n(x)$  و  $P_m(x)$  در بازه  $[-1, 1]$  متعامند. این تعامد را می‌توان با استفاده از تعریف ردریگز برای  $P_n(x)$  نیز به آسانی نمایش داد (با بخش ۴.۱۲، مسئله ۲.۴.۱۲ مقایسه کنید).

به‌ازای  $m = n$ ، باید انتگرال معادله (۴۳.۱۲) را محاسبه کنیم. این انتگرال مطمئناً دیگر صفر نیست. با استفاده از تابع مولد داریم

$$(1 - 2tx + t^2)^{-1} = \left[ \sum_{n=0}^{\infty} P_n(x)t^n \right]^2 \quad (۴۴.۱۲)$$

با انتگرال‌گیری از  $x = -1$  تا  $x = +1$ ، خواهیم داشت

$$\int_{-1}^1 \frac{dx}{1 - 2tx + t^2} = \sum_{n=0}^{\infty} t^{2n} \int_{-1}^1 [P_n(x)]^2 dx \quad (۴۵.۱۲)$$

جمله‌های حاصلضربی در سری، به‌دلیل برقراری معادله (۴۳.۱۲)، حذف می‌شوند. بهره‌گیری از  $y = 1 - 2tx + t^2$  خواهیم داشت

$$\int_{-1}^1 \frac{dx}{1 - 2tx + t^2} = \frac{1}{2t} \int_{(1-t)^2}^{(1+t)^2} \frac{dy}{y} = \frac{1}{t} \ln \left( \frac{1+t}{1-t} \right) \quad (۴۶.۱۲)$$

این عبارت را به‌صورت یک سری توانی بسط می‌دهیم (مسئله ۱.۴.۵، جلد اول)، در نتیجه

$$\frac{1}{t} \ln \left( \frac{1+t}{1-t} \right) = 2 \sum_{n=0}^{\infty} \frac{t^{2n}}{2n+1} \quad (۴۷.۱۲)$$

\* چنین انتگرال‌هایی، در بخش ۴.۹، به‌صورت ضرب داخلی در فضای برداری (توابع) تعبیر شدند. نمادهای دیگری که به‌کار می‌روند عبارت‌اند از

$$\int_{-1}^1 P_n(x)P_m(x)dx \equiv \langle P_n(x) | P_m(x) \rangle \\ \equiv (P_n(x), P_m(x))$$

نماد  $\langle \rangle$ ، که توسط دیراک مقبولیت یافت، در نوشتارهای قلمرو فیزیک متداول است. نماد  $( )$  در نوشتارهای حوزه ریاضی متداول‌تر است.

از آنجا که می‌دانیم نمایش سری توانی یکتاست، باید داشته باشیم

$$\int_{-1}^1 [P_n(x)]^2 dx = \frac{2}{2n+1} \quad (48.12)$$

در بخش ۶.۱۲، وقتی هماهنگیهای کروی متعامد را تشکیل می‌دهیم، از این نتیجه استفاده خواهیم کرد.

### بسط توابع، سری لژاندر

نظریه اشتورم-لیوویل، علاوه بر تعامد چندجمله‌ایهای لژاندر، حاکی از آن است که این چندجمله‌ایها مجموعه‌ای کاملی تشکیل می‌دهند. حال فرض کنید که به مفهوم همگرایی درمیانگین (بخش ۴.۹) در بازه  $[-1, 1]$  سری زیر را داشته باشیم

$$\sum_{n=0}^{\infty} a_n P_n(x) = f(x) \quad (49.12)$$

این نکته ایجاب می‌کند که  $f(x)$  و  $f'(x)$  در این بازه دست کم به صورت قطعه‌ای پیوسته باشند. ضرایب  $a_n$  را از طریق ضرب سری در  $P_m(x)$  و انتگرالگیری جمله به جمله به دست می‌آورند. با بهره‌گیری از خاصیت تعامد که به کمک معادله‌های (۴۳.۱۲) و (۴۸.۱۲) بیان شد، خواهیم داشت

$$\frac{2}{2m+1} a_m = \int_{-1}^1 f(x) P_m(x) dx \quad (50.12)$$

متغیر انتگرالگیری  $x$  را با  $t$  و شاخص پایین  $m$  را با  $n$  تعویض می‌کنیم. آنگاه با نشان دادن در معادله (۴۹.۱۲) خواهیم داشت

$$f(x) = \sum_{n=0}^{\infty} \frac{2n+1}{2} \left( \int_{-1}^1 f(t) P_n(t) dt \right) P_n(x) \quad (51.12)$$

این بسط را بر حسب یک سری از چندجمله‌ایهای لژاندر، معمولاً سری لژاندر می‌نامند. خواص این سری، با خواص سری فوریه (فصل ۱۴ را ببینید) که با آن آشنا تریم، کاملاً مشابه است. به‌ویژه، می‌توان از خاصیت تعامد [معادله (۴۳.۱۲)] برای نشان دادن یکتایی سری استفاده کرد.

در سطحی انتزاعیتر (و در ضمن کارآمدتر)، معادله (۵۱.۱۲) تابع  $f(x)$  را در فضای برداری خطی چندجمله‌ایهای لژاندر (فضای هیلبرت، بخش ۴.۹) نمایش می‌دهد. از دیدگاه تبدیلیهای انتگرالی (فصل ۱۵ را ببینید)، معادله (۵۰.۱۲) را می‌توان برای  $f(x)$  یک تبدیل لژاندر متناهی دانست. در این صورت معادله (۵۱.۱۲) تبدیل وارون

۱. دقت کنید که از معادله (۵۰.۱۲)، کمیت  $a_m$  را به صورت یک انتگرال معین به دست می‌آوریم، یعنی  $a_m$  به ازای یک  $f(x)$  معلوم، یک عدد است.



آن خواهد بود. این معادله را می توان بر حسب عملگرهای تصویری نظریه کوانتومی نیز تعبیر کرد. می توانیم عبارت

$$\mathcal{P}_m \equiv P_m(x) \frac{2m+1}{2} \int_{-1}^1 P_m(t) [ ] dt$$

را يك عملگر (انتگرالی) بگیریم که روی  $f(t)$  عمل می کند.  $[f(t)]$  به صورت ضربی در انتگرالده، در داخل کروسه قرار می گیرد. [آنگاه از معادله (۵۰.۱۲)، داریم

$$\mathcal{P}_m f(t) = a_m P_m(x)^*$$

عملگر  $\mathcal{P}_m$ ،  $m$  امین مؤلفه تابع  $f$  را تصویر می کند.

معادله (۳.۱۲) که مستقیماً به تعریف تابع مولد چندجمله ایهای ژواندر انجامید، عبارت است از بسط ژواندر  $1/r_1$ . این بسط ژواندر  $1/r_1$  یا  $1/r_{12}$  در تعدادی از مسائل بخش ۸.۱۲ خواهد آمد. معمولاً در موارد فراتر از میدان کولنی ساده، به جای  $1/r_1$  يك پتانسیل  $V(|r_1 - r_2|)$  می نشیند، و جواب مسئله باز هم به کمک يك بسط ژواندر به دست می آید. در محاسبات مربوط به فیزیک هسته ای ضرایب  $a_m$  را می توان (توسط يك کامپیوتر) تا  $a_{100}$  حساب کرد.

در اینجا محاسبات خود را با سری ژواندر، یعنی معادله (۴۹.۱۲) به صورت تابع معلوم  $f(x)$  انجام داده ایم که آن را به دلخواه اختیار کردیم تا بر حسب چندجمله ایهای ژواندر بسط داده شود. ولی گاهی منشأ و ماهیت سری ژواندر چیز دیگری است. در مثالهای بعدی، توابع نامعلومی را در نظر می گیریم که از معادله دیفرانسیلی که این توابع در آنها صدق می کنند، می دانیم که می توان آنها را به کمک سری ژواندر نمایش داد. مسئله، مانند قبل، عبارت است از تعیین ضرایب نامعلوم در بسط سری. ولی در اینجا ضرایب به کمک معادله (۵۰.۱۲) به دست نمی آیند، بلکه آنها را با این شرط که سری ژواندر حاصل، در یکی از مرزها با يك جواب معلوم جور شود تعیین می کنیم. این مثالها، مسائل مقدار مرزی به شمار می آیند.

مثال ۱۰۳.۱۲ میدان گرانشی زمین

مثالی از سری ژواندر عبارت است از توصیف پتانسیل گرانشی زمین،  $U$  (برای نقاط خارجی)، با چشمپوشی از آثار سمتی. با توجه به

$$R = \text{شعاع استوایی زمین} \\ = 6378.1 \pm 0.1 \text{ km}$$

\* متغیرهای وابسته اختیاری اند. در اینجا  $x$  حاصل همان  $x$  موجود در  $\mathcal{P}_m$  است، در حالی که  $t$  یکی از متغیرهای ظاهری انتگرالگیری به شمار می آید.

$$\frac{GM}{R} = 627494 \pm 0.001 \text{ km}^2/\text{s}^2$$

می نویسیم

$$U(r, \theta) = \frac{GM}{R} \left[ \frac{R}{r} - \sum_{n=2}^{\infty} a_n \left( \frac{R}{r} \right)^{n+1} P_n(\cos \theta) \right] \quad (52.12)$$

که يك سری لژاندر است. حرکت ماهواره‌های مصنوعی نشان داده است که

$$a_2 = (1082635 \pm 11) \times 10^{-9}$$

$$a_3 = (-2531 \pm 7) \times 10^{-9}$$

این همان تغییر صورت گلابی شکل معروف زمین است

$$a_4 = (-1600 \pm 12) \times 10^{-9}$$

سایر ضرایب تا  $n=20$  محاسبه شده‌اند. خواننده باید متوجه شده باشد که  $P_1$  حذف شده است، زیرا این جمله نمایانگر يك جا به جایی است، نه يك تغییر شکل.

داده‌های ماهواره‌ای اخیر، تعیین وابستگی طولی میدان گرانشی زمین را میسر می‌سازند. این وابستگی را می‌توان به کمک يك سری لاپلاس (بخش ۶.۱۲) توصیف کرد.

### مثال ۲.۳.۱۲ کره در يك میدان یکنواخت

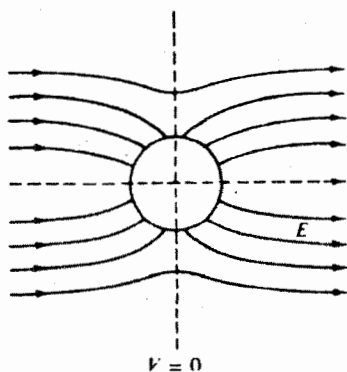
يکي ديگر از موارد استفاده چند جمله‌ایهای لژاندر به کمک مسئله کره رسانای خنثی (به شعاع  $r_0$ ) واقع در يك میدان الکتریکی که در غیاب کره یکنواخت است، نمایش داده می‌شود (شکل ۹.۱۲). مسئله عبارت است از یافتن پتانسیل الکتروستاتیکی مختل شده جدید. پتانسیل الکتروستاتیکی را با  $V$  نشان می‌دهیم<sup>۱</sup> و به‌فرازیر معادله لاپلاس را می‌نویسیم

$$\nabla^2 V = 0 \quad (53.12)$$

به دلیل شکل کره رسانا، مختصات قطبی کره را برمی‌گزینیم. (این عمل، کاربرد شرط مرزی در سطح رسانا را ساده خواهد کرد.) از طریق جداسازی متغیرها و در صورت لزوم، توجه به جدول ۱.۸، می‌توانیم پتانسیل نامعلوم  $V(r, \theta)$  را به صورت يك ترکیب خطی از جوابها بنویسیم

$$V(r, \theta) = \sum_{n=0}^{\infty} a_n r^n P_n(\cos \theta) + \sum_{n=0}^{\infty} b_n \frac{P_n(\cos \theta)}{r^{n+1}} \quad (54.12)$$

۱. باید تأکید کرد که این مسئله، ارائهٔ بسط لژاندر يك تابع معلوم  $V(\cos \theta)$  نیست. در اینجا به مسائل مقدار مرزی برمی‌گردیم.



شکل ۹.۱۲ کره رسانا در میدان یکنواخت.

به دلیل تقارن محوری مسند، هیچ گونه وابستگی به  $\varphi$  ظاهر نمی شود. (مبدأ، در مرکز کره رسانا و محور  $z$  موازی با میدان یکنواخت اولیه در نظر گرفته شده است.)

در اینجا خوب است بگوییم که  $n$  عددی است درست، زیرا تنها به ازای مقادیر درست  $n$  است که وابستگی به  $\theta$  در  $\pm 1$  در  $\cos \theta$  خوش رفتار خواهد بود. جوابهای معادله لژاندر به ازای مقادیر غیر عدد درست  $n$  در نقاط انتهایی بازه  $[-1, 1]$ ، یعنی در قطبهای  $\theta = 0, \pi$  کره، واگرا می شوند (با مثال ۴.۲.۵ و مسائل ۱۵.۲.۵ و ۵.۵.۸ مقایسه کنید). درست به همین دلیل است که جواب دوم معادله لژاندر،  $Q_n$ ، نیز حذف شده است.

اکنون به شرایط مرزی (دبریکله) باز می گردیم تا  $a_n$  ها و  $b_n$  های نامعلوم جواب سری، معادله (۵۴.۱۲)، را تعیین کنیم. اگر میدان الکتروستاتیکی مختل نشده اولیه  $E_0$  باشد، به عنوان یک شرط مرزی باید داشته باشیم

$$\begin{aligned} V(r \rightarrow \infty) &= -E_0 z = -E_0 r \cos \theta \\ &= -E_0 r P_1(\cos \theta) \end{aligned} \quad (55.12)$$

به دلیل یکنایی سری لژاندر می توانیم ضرایب  $P_n(\cos \theta)$  در معادله (۵۴.۱۲) (با  $r \rightarrow \infty$ ) را با ضرایب متناظر در معادله (۵۵.۱۲) مساوی قرار دهیم و داشته باشیم

$$\begin{aligned} a_n &= 0, \quad n > 1 \\ a_1 &= -E_0. \end{aligned} \quad (56.12)$$

اگر به ازای  $n > 1$ ، داشته باشیم:  $a_n \neq 0$ ، این جملات به ازای مقادیر بزرگ  $r$  غالب خواهند بود، و شرط مرزی [معادله (۵۵.۱۲)] نمی تواند صادق باشد.

به عنوان يك شرط مرزی دیگر، می توانیم کره رسانا در صفحه  $\theta = \pi/2$  را در پتانسیل صفر بگیریم، در نتیجه معادله (۵۴.۱۲) به صورت زیر درمی آید

$$V(r=r_0) = a_0 + \frac{b_0}{r_0} + \left( \frac{b_1}{r_0^2} - E_0 r_0 \right) P_1(\cos \theta) + \sum_{n=2}^{\infty} b_n \frac{P_n(\cos \theta)}{r_0^{n+1}} \quad (57.12)$$

$$= 0$$

برای آنکه این رابطه به ازای تمام مقادیر  $\theta$  برقرار باشد، باید هر يك از ضرایب  $P_n(\cos \theta)$  صفر شود. از این رو

$$a_0 = b_0 = 0^* \quad (58.12)$$

$$b_n = 0, \quad n \geq 2$$

در حالی که

$$b_1 = E_0 r_0^2 \quad (59.12)$$

در نتیجه پتانسیل الکتروستاتیکی (خارج کره) عبارت است از

$$V = -E_0 r P_1(\cos \theta) + \frac{E_0 r_0^2}{r^2} P_1(\cos \theta) \quad (60.12)$$

$$= -E_0 r P_1(\cos \theta) \left( 1 - \frac{r_0^2}{r^2} \right)$$

در بخش ۱۵.۱ (جلد اول) نشان داده شد که جوابی از معادله لاپلاس که شرایط مرزی را روی تمامی مرز بر آورده می کند، یکتاست. پتانسیل الکتروستاتیکی  $V$ ، به صورتی که در معادله (۶۰.۱۲) داده شده است، یکی از جوابهای معادله لاپلاس است. این تابع شرایط مرزی را بر آورده می کند؛ از این رو این همان جواب مطلوب معادله دیفرانسیل لاپلاس مسئله ما به شمار می آید.

۱. در اینجا نیز این بیان معادل آن است که بگوییم بسط سری بر حسب چند جمله ایهای لژاندر (با هر مجموعه متعامد کاملی) یکتاست.

\* ضریب  $P_0$  برابر است با  $a_0 + b_0/r_0$ . به دلیل آنکه هیچ باری روی کره قرار ندارد، قرار دادیم  $b_0 = 0$  (و بنابراین  $a_0$  نیز صفر است). اگر بار خالص  $q$  روی کره موجود باشد، آنگاه  $b_0 \neq 0$ .

علاوه بر این، می‌توان نشان داد که (مسئله ۱۳.۳.۱۲) یک چگالی بار سطحی القایی به‌میزان

$$\sigma = -\epsilon_0 \left. \frac{\partial V}{\partial r} \right|_{r=r_0} = 3\epsilon_0 E_0 \cos \theta \quad (۶۱.۱۲)$$

روی سطح کره و یک گشتاور دو قطبی الکتریکی القایی به‌مقدار

$$P = 4\pi r_0^3 \epsilon_0 E_0 \quad (۶۲.۱۲)$$

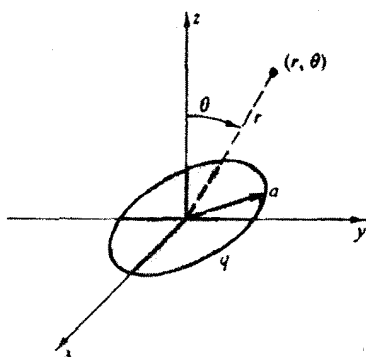
وجود دارد (مسئله ۱۳.۳.۱۲).

مثال ۳.۳.۱۲ پتانسیل الکتروستاتیکی یک حلقه باردار

به‌عنوان مثالی دیگر، پتانسیل الکتروستاتیکی حاصل از یک حلقه رسانا را که حامل بار الکتریکی کل  $q$  است، در نظر بگیرید (شکل ۱۰.۱۲). با استفاده از مبحث الکتروستاتیک (و بخش ۱۴.۱، جلد اول)، پتانسیل  $\psi$  در معادله لاپلاس صدق می‌کند. از طریق جداسازی متغیرها در مختصات قطبی کروی داریم (با جدول ۱۰.۸ مقایسه کنید)

$$\psi(r, \theta) = \sum_{n=0}^{\infty} a_n \frac{a^n}{r^{n+1}} P_n(\cos \theta), \quad r > a \quad (الف ۳.۱۲)$$

در اینجا  $a$  شعاع حلقه است که در صفحه  $\theta = \pi/2$  قرار دارد. به دلیل تقارن استوانه‌ای سیستم، وابستگی به  $\varphi$  (وابستگی سمتی) وجود ندارد. جملات با وابستگی شعاعی مثبت - توان را حذف می‌کنیم، زیرا پتانسیل باید رفتاری مجانبی به‌صورت زیر داشته باشد



شکل ۱۰.۱۲ حلقه باردار رسانا.

$$\psi \sim \frac{q}{4\pi\epsilon_0} \cdot \frac{1}{r}, \quad r \gg a \quad (۶۳.۱۲ب)$$

مسئله عبارت است از تعیین ضرایب  $a_n$  در معادله (۶۳.۱۲ الف). این کار را می‌توان به کمک محاسبه  $\psi(r, \theta)$  در  $\theta = 0$  و  $r = z$ ، و مقایسه آن با محاسبه مستقل بناسل قانون کولن، انجام داد. در واقع، یک شرط مرزی در امتداد محور  $z$  را به قانون کولن (با بارهای همفاصله) داریم

$$\psi(r, \theta) = \frac{q}{4\pi\epsilon_0} \cdot \frac{1}{(z^2 + a^2)^{1/2}}, \quad \begin{cases} \theta = 0 \\ r = z \end{cases} \quad (۶۳.۱۲ج)$$

$$= \frac{q}{4\pi\epsilon_0 z} \sum_{s=0}^{\infty} (-1)^s \frac{(2s)!}{2^{2s}(s!)^2} \left(\frac{a}{z}\right)^{2s}, \quad z > a$$

در مرحله آخر از نتیجه مسئله ۱۵.۱۰.۱۰ استفاده شده است. حال از معادله (۶۳.۱۲ الف) در  $\theta = 0$  و  $r = z$  (با  $P_n(1) = 1$ ) خواهیم داشت

$$\psi(r, \theta) = \sum_{n=0}^{\infty} a_n \frac{a^n}{z^{n+1}}, \quad r = z \quad (۶۳.۱۲د)$$

با مقایسه معادلات (۶۳.۱۲ ج) و (۶۳.۱۲ د)، به ازای مقادیر فرد  $n$  داریم:  $a_n = 0$  با نشاندن  $n = 2s$  خواهیم داشت

$$a_{2s} = \frac{q}{4\pi\epsilon_0} (-1)^s \frac{(2s)!}{2^{2s}(s!)^2} \quad (۶۳.۱۲ه)$$

و بناسیل الکتروستاتیکی  $\psi(r, \theta)$  از رابطه زیر به دست می‌آید

$$\psi(r, \theta) = \frac{q}{4\pi\epsilon_0 r} \sum_{s=0}^{\infty} (-1)^s \frac{(2s)!}{2^{2s}(s!)^2} \left(\frac{a}{r}\right)^{2s} P_{2s}(\cos \theta), \quad r > a \quad (۶۳.۱۲و)$$

شبهه مغناطیسی این مسئله را در بخش ۵.۱۲، مثال ۱.۵.۱۲، بررسی خواهیم کرد.

مسائل

۱.۳.۱۲ با استفاده از توابع  $u_n(x) = x^n$ ،  $n = 0, 1, 2, \dots$  و به کمک فرایند

گرام-اشمیت (بخش ۳.۹)، در بازه  $-1 \leq x \leq 1$  و با  $w(x) = 1$  مجموعه‌ای از توابع متعامد تشکیل داده‌ایم. ثابت کنید که  $n$  امین تابعی که به این صورت تشکیل می‌شود، با  $P_n(x)$  متناسب است.  
 راهنمایی: از استقرای ریاضی بهره‌گیرید.

۳.۳.۱۲ تابع دلتای دیراک را در بازه  $-1 \leq x \leq 1$  به صورت یک سری از چند جمله‌ایهای لژاندر بسط دهید.

۳.۳.۱۳ درستی بسطهای زیر را برای تابع دلتای دیراک تحقیق کنید

$$\delta(1-x) = \sum_{n=0}^{\infty} \frac{2n+1}{2} P_n(x)$$

$$\delta(1+x) = \sum_{n=0}^{\infty} (-1)^n \frac{2n+1}{2} P_n(x)$$

این عبارتها در تجزیه بسط موج تخت ریلی (مسئله ۷.۴.۱۲) به امواج کروی ورودی و خروجی پدیدار می‌شوند.  
 یادآوری: فرض کنید که با انتگرالگیری روی  $[-1, 1]$ ، تمامی تابع دلتای دیراک تحت پوشش قرار می‌گیرد.

۴.۳.۱۳ نوترونیایی (به جرم واحد) توسط هسته‌ای به جرم  $A > 1$  پراکنده می‌شوند. پراکندگی در دستگاه مرکز جرم همسانگرد است. در این صورت، میانگین کسینوس زاویه انحراف نوترون در دستگاه آزمایشگاه عبارت است از

$$\langle \cos \psi \rangle = \frac{1}{2} \int_0^\pi \frac{A \cos \theta + 1}{(A^2 + 2A \cos \theta + 1)^{3/2}} \sin \theta \, d\theta$$

از طریق بسط دادن مخرج، نشان دهید که  $\langle \cos \psi \rangle = 2/(3A)$ .

۵.۳.۱۳ تابع معلوم  $f(x)$  که در بازه  $[-1, 1]$  تعریف شده است، بر حسب یک سری لژاندر روی همین بازه بسط داده می‌شود. نشان دهید که این بسط یکتاست.

۶.۳.۱۳ تابع  $f(x)$  را به صورت یک سری لژاندر به شکل  $f(x) = \sum_{n=0}^{\infty} a_n P_n(x)$  بسط داده‌ایم. نشان دهید که

$$\int_{-1}^1 [f(x)]^2 dx = \sum_{n=0}^{\infty} 2 \frac{a_n^2}{2n+1}$$

این صورت لژاندری اتحاد پارسوال سری فوریه مسئله ۲.۴.۱۴ است، که در ضمن نمایانگر نامساوی بسل، معادله (۷۲.۹)، نیز هست که برای یک مجموعه کامل به تساوی تبدیل می شود.

۷۰.۳.۱۲ با استفاده از تابع مولد چند جمله ایهای لژاندر، رابطه بازگشتی

$$(1-x^2)P_n'(x) = nP_{n-1}(x) - nxP_n(x)$$

را استخراج کنید.

۸۰.۳.۱۲  $\int_0^1 P_n(x) dx$  را محاسبه کنید.

پاسخ.  $n = 2s$ : یک به ازای  $s=0$ ، و صفر به ازای  $s > 0$ .

$$P_{2s}'(0)/(2s+2) = (-1)^s (2s-1)!! / (2s+2)!! \quad n = 2s+1$$

دانهمایی.  $P_n(x)$  را با استفاده از یک رابطه بازگشتی، بر حسب مشتق بنویسید. آنگاه از طریق قرار دادن مقادیر مشخص انتگرال بگیرید! راه دیگر آن است که از تابع مولد انتگرال بگیرید.

$$f(x) = \begin{cases} +1, & 0 < x < 1 \\ -1, & -1 < x < 0 \end{cases} \quad \text{۹۰.۳.۱۲ (الف) برای}$$

$$\int_{-1}^1 [f(x)]^2 dx = 2 \sum_{n=0}^{\infty} (2n+3) \left[ \frac{(2n-1)!!}{(2n+2)!!} \right]^2$$

(ب) از طریق آزمون سری (با عددگذاری)، نشان دهید که این سری همگراست.

۱۰۰.۳.۱۲ ثابت کنید

$$\int_{-1}^1 x(1-x^2)P_n'P_m' dx = 0$$

مگر آنکه  $m = n+1$ .

۱۱۰.۳.۱۲ دامنه موج پراکنده از رابطه زیر به دست می آید

$$f(\theta) = \lambda \sum_{l=0}^{\infty} (2l+1) \exp[i\delta_l] \sin \delta_l P_l(\cos \theta)$$

در اینجا،  $\theta$  زاویه پراکندگی،  $l$  تکانه زاویه ای، و  $\delta_l$  انتقال فاز حاصل از پتانسیل مرکزی است که باعث پراکندگی می شود. سطح مقطع کل عبارت است از  $\sigma_{\text{tot}} = \int f^*(\theta) f(\theta) d\Omega$  نشان دهید\*

\* منظور از tot، همان کل در عبارت "سطح مقطع کل" است.



$$\sigma_{\text{tot}} = 4\pi\lambda^2 \sum_{l=0}^{\infty} (2l+1) \sin^2 \delta_l$$

۱۴.۳.۱۲ آهنگ شمارش همفرودی،  $W(\theta)$ ، در يك آزمایش همبستگی زاویه‌ای گاما-گاما به صورت زیر است

$$W(\theta) = \sum_{n=0}^{\infty} a_{\gamma n} P_{\gamma n}(\cos \theta)$$

نشان دهید که علی‌الاصول داده‌های واقع در گستره  $\pi/2 \leq \theta \leq \pi$ ، می‌توانند تابع  $W(\theta)$  را تعریف (و تعیین ضرایب  $a_{\gamma n}$  را میسر) کنند. یعنی، گرچه می‌توان از داده‌های واقع در گستره  $0 \leq \theta < \pi/2$  برای آزمودن جواب استفاده کرد، ولی این داده‌ها ضرورتاً برای تعیین  $W(\theta)$ ، مورد نیاز نیستند.

۱۴.۳.۱۳ کره‌رسانایی به شعاع  $r_0$  در میدان الکتریکی  $E_0$ ، در غیاب کره یکنواخت، قرار داده می‌شود. نشان دهید

(الف) چگالی بار سطحی القایی عبارت است از

$$\sigma = 3\epsilon_0 E_0 \cos \theta$$

(ب) گشتاور دوقطبی الکتریکی القایی عبارت است از

$$P = 4\pi r_0^3 \epsilon_0 E_0$$

گشتاور دوقطبی الکتریکی را می‌توان یا با استفاده از بار سطحی [قسمت (الف)]، و یا با توجه به این نکته که میدان الکتریکی  $E$  حاصل برهم‌نهی یک میدان دوقطبی و میدان الکتریکی اولیه است، محاسبه کرد.

۱۴.۳.۱۴ بار  $q$  به اندازه فاصله  $a$  در طول محور  $z$ ، از مرکز یک کاواک کروی به شعاع  $R$  جا به جا شده است.

(الف) نشان دهید که متوسط میدان الکتریکی روی حجم  $a \leq r \leq R$  صفر است.

(ب) نشان دهید که متوسط میدان الکتریکی روی حجم  $0 \leq r \leq a$  عبارت است از

$$\begin{aligned} \mathbf{E} &= kE_z = -k \frac{q}{4\pi\epsilon_0 a^2} \quad (\text{بر حسب SI}) \\ &= -k \frac{nqa}{3\epsilon_0} \end{aligned}$$

که در آن  $n$  عبارت است از تعداد بارهای جا به جا شده در واحد حجم. این محاسبه قسمت اصلی محاسبه قطبش يك دى الكتریک را تشكيل می دهد.

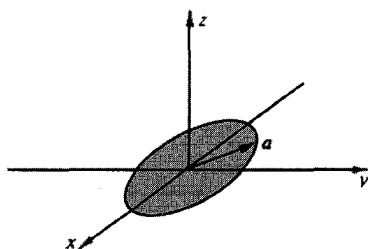
$$\mathbf{E} = -\nabla\phi.$$

۱۵.۳.۱۲ (بسط لژاندر) پتانسیل الكتروستاتیکی يك حلقه بار الكتریکی دایره ای را در  $r < a$  تعیین کنید.

۱۶.۳.۱۲ میدان الكتریکی حاصل از حلقه رسانای باردار مثال ۳.۳.۱۲ را به ازای (الف)  $r > a$ ، (ب)  $r < a$ ، محاسبه کنید.

۱۷.۳.۱۲ به عنوان تعمیم مثال ۳.۳.۱۲، پتانسیل  $\psi(r, \theta)$  حاصل از يك قرص رسانای باردار به شعاع  $a$  را در  $r > a$  بیابید، شکل ۱۱.۱۲. چگالی بار  $\sigma$  (روی هر وجه قرص) برابر است با

$$\sigma(\rho) = \frac{q}{4\pi a(a^2 - \rho^2)^{1/2}}, \quad \rho^2 = x^2 + y^2$$



شکل ۱۱.۱۲ قرص رسانای باردار.

دانهمایی. انتگرال معینی را که به دست می آورید، می شود به صورت يك تابع بتا، بخش ۴.۱۰، محاسبه کرد.

$$\psi(r, \theta) = \frac{q}{4\pi\epsilon_0 r} \sum_{l=0}^{\infty} (-1)^l \frac{1}{2l+1} \left(\frac{a}{r}\right)^{2l} P_{2l}(\cos \theta).$$

۱۸.۳.۱۲ با استفاده از نتیجه مسئله ۱۷.۳.۱۲، پتانسیل قرص را حساب کنید. با توجه به اینکه در این محاسبه شرط  $r > a$  را نقض می کنید، صحت روش خود را دقیقاً ثابت کنید. دانهمایی. شاید به سری ای که در مسئله ۱۴.۲.۵ (جلد اول) داده شده است، برخورد کنید.

۱۹.۳.۱۲ پتانسیل الکتروستاتیکی نیمکره‌ای که به کمک  $r=a$  و  $0 \leq \theta < \pi/2$  تعریف می‌شود  $+V_0$ ، و از آن نیمکره  $r=a$  و  $\pi/2 < \theta \leq \pi$  عبارت است از:  $-V_0$ . نشان دهید که پتانسیل در نقاط داخلی عبارت است از

$$V = V_0 \sum_{n=0}^{\infty} \frac{\gamma_n + 3}{\gamma_n + 2} \left(\frac{r}{a}\right)^{\gamma_n + 1} P_{\gamma_n}(0) P_{\gamma_n + 1}(\cos \theta)$$

$$= V_0 \sum_{n=0}^{\infty} (-1)^n \frac{(\gamma_n + 3)(\gamma_n - 1)!!}{(\gamma_n + 2)!!} \left(\frac{r}{a}\right)^{\gamma_n + 1} P_{\gamma_n + 1}(\cos \theta)$$

راهنمایی. به مسئله ۸.۳.۱۲ نیاز خواهید داشت.

۲۰.۳.۱۲ یک سد عایق‌ساز نازک، کره رسانایی به شعاع  $a$  را از استوای آن به دو نیمکره تقسیم کرده است که از لحاظ الکتریکی مجزایند. پتانسیل نیمکره بالایی در  $V_0$  و از آن نیمکره پایینی در  $-V_0$  نگه‌داشته می‌شود.  
(الف) نشان دهید که پتانسیل الکتروستاتیکی خارج از دو نیمکره عبارت است از

$$V(r, \theta) = V_0 \sum_{s=0}^{\infty} (-1)^s (\gamma_s + 3) \frac{(\gamma_s - 1)!!}{(\gamma_s + 2)!!} \left(\frac{a}{r}\right)^{\gamma_s + 2} P_{\gamma_s + 1}(\cos \theta)$$

(ب) چگالی بار الکتریکی  $\sigma$  روی سطح خارجی را محاسبه کنید. دقت کنید که سری حاصل در  $\cos \theta = \pm 1$  واگرا می‌شود، که با توجه به ظرفیت نامتناهی این سیستم (به دلیل ضخامت نزدیک به صفر سد عایق‌ساز) نیز همین انتظاری رود.

$$\sigma = \epsilon_0 E_n = -\epsilon_0 \left. \frac{\partial V}{\partial r} \right|_{r=a} \quad \text{پاسخ.}$$

$$= \epsilon_0 V_0 \sum_{s=0}^{\infty} (-1)^s (\gamma_s + 3) \frac{(\gamma_s - 1)!!}{(\gamma_s)!!} P_{\gamma_s + 1}(\cos \theta)$$

۲۱.۳.۱۲ بنا بر نمادگذاری بخش ۴.۹ عبارت  $|\varphi_s\rangle = \sqrt{(\gamma_s + 1)/2} P_{\gamma_s}(x)$  یک چند جمله‌ای لژاندر است که به واحد باز بهنجار شده است. توضیح دهید که  $|\varphi_s\rangle \langle \varphi_s|$  چگونه به صورت یک عملگر تصویری عمل می‌کند. مخصوصاً نشان دهید که اگر  $|f\rangle = \sum_n a'_n |\varphi_n\rangle$ ، آنگاه

$$|\varphi_s\rangle \langle \varphi_s| f\rangle = a'_s |\varphi_s\rangle$$

۲۲.۳.۱۲  $x^{\lambda}$  را به صورت یک سری لژاندر بسط دهید. ضرایب لژاندر را از معادله (۵۰.۱۲) تعیین کنید

$$a_m = \frac{2m+1}{2} \int_{-1}^1 x^m P_m(x) dx$$

مقادیری را که به دست آورده‌اید از طریق مقایسه با جدول ۹.۲۲ مندرج در مرجع AMS-55 بیازمایید. این عمل بسط یک تابع ساده را نمایش می‌دهد. در واقع اگر  $f(x)$  به صورت یک سری توانی مشخص شده باشد، تکنیک مسئله ۱۲.۲۰۱۲، هم سریعتر و هم دقیقتر است. راهنمایی. برای محاسبه انتگرال می‌توان از کوادراتور گاوسی استفاده کرد.

۲۳.۳.۱۲ پتانسیل الکتروستاتیکی ناشی از حلقه بار در مثال ۳.۳.۱۲ را به ازای  $r/a = ۱۷۵(۵۵)۵۵۰$  و  $\theta = ۹۰^\circ(۱۵^\circ)۰^\circ$  محاسبه کنید و در یک جدول بیاورید. جملات تا  $P_{۲۲}(\cos \theta)$  را حساب کنید.

یادآوری. همگرایی سری به ازای  $r/a = ۱۷۵$  کند است. قطع کردن سری در  $P_{۲۲}$ ، جواب را به دقت چهار رقم بامعنی محدود می‌کند.

مقدار آزمونی. به ازای  $r/a = ۲۵$  و  $\theta = ۶۰^\circ$ ،  $\psi = ۰.۷۴۰۲۷۲(q/4\pi\epsilon_0 r)$ .

۲۴.۳.۱۲ پتانسیل الکتروستاتیکی ناشی از قرص باردار در مسئله ۱۷.۳.۱۲ را به ازای  $r/a = ۱۷۵(۵۵)۵۵۰$  و  $\theta = ۹۰^\circ(۱۵^\circ)۰^\circ$  محاسبه کنید و در یک جدول بیاورید. جملات تا  $P_{۲۲}(\cos \theta)$  را حساب کنید.

مقدار آزمونی. به ازای  $r/a = ۲۵$  و  $\theta = ۱۵^\circ$ ،  $\psi = ۰.۷۴۶۶۳۸(q/4\pi\epsilon_0 r)$ .

۲۵.۳.۱۲ با انتگرالگیری عددی از معادله (۵۱.۱۲)، پنج ضریب (غیر صفر) اول در بسط سری لژاندر  $f(x) = 1 - |x|$  را محاسبه کنید. این ضرایب را در واقع می‌توان به صورتی بسته به دست آورد. ضرایبی را که محاسبه کرده‌اید با ضرایب حاصل از مسئله ۴.۴.۱۳ مقایسه کنید.

$$a_0 = ۰.۵۵۰۰۰ \quad \text{پاسخ.}$$

$$a_2 = -۰.۰۶۲۵۰$$

$$a_4 = ۰.۰۱۸۷۵$$

$$a_6 = -۰.۰۱۰۱۶$$

$$a_8 = ۰.۰۰۶۶۴$$

۲۶.۳.۱۲ پتانسیل الکتروستاتیکی ناشی از دو نیمکره باردار مسئله ۲۵.۳.۱۲ را در خارج آنها به ازای  $r/a = ۱۷۵(۵۵)۵۵۰$  و  $\theta = ۹۰^\circ(۱۵^\circ)۰^\circ$  محاسبه کنید و نتایج را در جدولی بیاورید. جملات را تا  $P_{۲۲}(\cos \theta)$  محاسبه کنید.

مقدار آزمونی. به ازای  $r/a = ۲۵$  و  $\theta = ۲۵^\circ$ ،  $V = ۰.۷۲۷۰۶۶V_0$ .

$$f(x) = \begin{cases} ۲۰ & |x| < ۰.۵ \\ ۰ & ۰.۵ < |x| < ۱.۰ \end{cases}$$

را به صورت یک سری لژاندر بسط دهید و ضرایب را تا  $a_{۸۰}$  (به صورت تحلیلی) محاسبه کنید.

(ب)  $\sum_{n=0}^{۸۰} a_n P_n(x)$  را به ازای  $x = ۰.۴۰۰(۰.۰۰۵)۰.۶۰۰$  حساب کنید. نتیجه را ترسیم کنید.

یادآوری. این مسئله، پدیده گیبس در بخش ۵.۱۴، را نشان می‌دهد و نمایانگر دشواریهایی است که هنگام محاسبه از طریق بسط سری در مجاورت یک ناپیوستگی پیش می‌آید.

### ۴.۱۲ سایر تعریفهای چندجمله‌ایهای لژاندر

فرمول رد ریگنز

صورت سری چندجمله‌ایهای لژاندر [معادله (۸.۱۲)] را در بخش ۱.۱۲ می‌توان به صورت زیر تبدیل کرد. با استفاده از معادله (۸.۱۲)

$$P_n(x) = \sum_{r=0}^{\lfloor n/2 \rfloor} (-1)^r \frac{(2n-2r)!}{2^n r!(n-r)!(n-2r)!} x^{n-2r} \quad (۶۴.۱۲)$$

به ازای مقدار درست  $n$  داریم

$$\begin{aligned} P_n(x) &= \sum_{r=0}^{\lfloor n/2 \rfloor} (-1)^r \frac{1}{2^n r!(n-r)!} \left(\frac{d}{dx}\right)^n x^{2n-2r} \\ &= \frac{1}{2^n n!} \left(\frac{d}{dx}\right)^n \sum_{r=0}^n \frac{(-1)^r n!}{r!(n-r)!} x^{2n-2r} \end{aligned} \quad (۶۴.۱۲ \text{ الف})$$

به بسط حد بالا توجه کنید. اثبات اینکه جمله‌های اضافی از  $\lfloor n/2 \rfloor + 1$  تا  $n$  چیزی به مجموع نمی‌افزایند، موضوع مسئله ۱.۴.۱۲ است. در هر حال، با افزودن این جملات اضافی می‌توانیم، به جای مجموع جدید (با استفاده مجدد از قضیه دو جمله‌ای)، کمیت  $(x^2 - 1)^n$  را قرار دهیم و عبارت زیر را به دست آوریم

$$P_n(x) = \frac{1}{2^n n!} \left(\frac{d}{dx}\right)^n (x^2 - 1)^n \quad (۶۵.۱۲)$$

این عبارت فرمول رد ریگنز است. این فرمول در اثبات بسیاری از خواص چندجمله‌ایهای لژاندر از جمله تعامد به کار می‌آید. یکی از موارد استفاده آن، در مسئله ۳.۴.۱۲ آمده است. در بخش ۵.۱۲، با تعمیم تعریف رد ریگنز، به تعریف توابع وابسته لژاندر می‌پردازیم. این

تعریف، در بخش ۷.۱۲، برای یافتن ویژه تابعهای تکانه زاویه‌ای مداری به کار می‌رود.

### انتگرال اشلافلی

یکی از ابزار ارائه نمایش انتگرالی  $P_n(z)$  فرمول رد ریگز است. با استفاده از فرمول انتگرال کوشی (بخش ۴.۶، جلد اول)

$$f(z) = \frac{1}{2\pi i} \oint \frac{f(t)}{t-z} dt \quad (۶۶.۱۲)$$

با

$$f(z) = (z^\nu - 1)^n \quad (۶۷.۱۲)$$

داریم

$$(z^\nu - 1)^n = \frac{1}{2\pi i} \oint \frac{(t^\nu - 1)^n}{t-z} dt \quad (۶۸.۱۲)$$

با  $n$  بار مشتقگیری نسبت به  $z$  و ضرب کردن در  $1/(2^n n!)$  خواهیم داشت

$$P_n(z) = \frac{1}{2^n n!} \frac{d^n}{dz^n} (z^\nu - 1)^n \quad (۶۹.۱۲)$$

$$= \frac{2^{-n}}{2\pi i} \oint \frac{(t^\nu - 1)^n}{(t-z)^{n+1}} dt$$

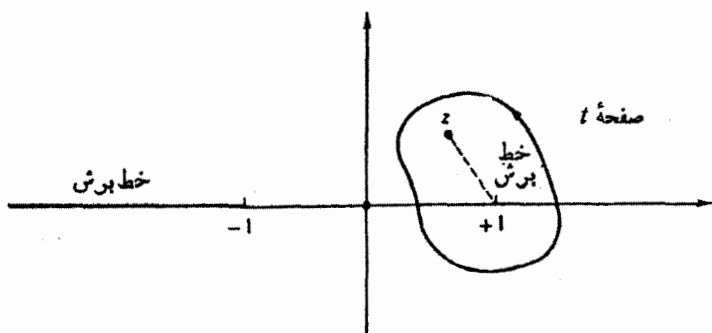
با پربندی که نقطه  $t = z$  را در بر می‌گیرد.

این عبارت انتگرال اشلافلی است. مارچینو و مورفی<sup>۱</sup>، با استفاده از این انتگرال، روابط بازگشتی را که با استفاده از تابع مولد به دست آوردیم، استخراج می‌کنند. با مشتقگیری و جانشانی مستقیم، به آسانی می‌توان نشان داد که انتگرال اشلافلی در معادله لژاندر صدق می‌کند (شکل ۱۲.۱۲). خواهیم داشت

$$(1-z^\nu) \frac{d^\nu P_n}{dz^\nu} - \nu z \frac{dP_n}{dz} + n(n+1)P_n \quad (۷۰.۱۲)$$

$$= \frac{n+1}{2^n \times 2\pi i} \oint \frac{d}{dt} \left[ \frac{(t^\nu - 1)^{n+1}}{(t-z)^{n+2}} \right] dt$$

۱. بخش ۵.۳ کتابی با مشخصات زیر را ببینید:



شکل ۱۴.۱۲ پر بند انتگرال اشلاطلی.

تابع  $(1-z)^{n+1}/(1-z^2)^{n+1/2}$ ، به ازای عدد درست  $n$ ، تک مقدار است، و انتگرال روی مسیر بسته صفر می‌شود. همچنین می‌توان برای تعریف  $P_n(z)$  به ازای مقادیر غیر درست  $n$  و انتگرال‌گیری حول نقاط  $z=1$  و  $z=-1$ ، بدون اینکه از خط برش از  $-\infty$  تا  $+\infty$  عبور کنیم، انتگرال اشلاطلی را به کار برد. می‌شد نقاط  $z=1$  و  $z=-1$  را دور زد، ولی این عمل چیز تازه‌ای به ما نمی‌دهد. پربندی که  $z=1$  و  $z=-1$  را در بر گیرد، به یک جواب دیگر  $Q_n(z)$  منجر می‌شود، بخش ۱۵.۱۲.

### مسائل

۱۴.۱۴ نشان دهید که هر یک از جمله‌ها در مجموعیایی

$$\sum_{r=|n/2|+1}^n \left(\frac{d}{dx}\right)^r \frac{(-1)^r n!}{r!(n-r)!} x^{2n-2r}$$

صفر می‌شود ( $n$  و  $r$  اعداد درست‌اند).

۲۰۴.۱۴ با بهره‌گیری از فرمول رد ریگنز، نشان دهید که  $P_n(x)$  ها متعامدند و نیز

$$\int_{-1}^1 [P_n(x)]^2 dx = \frac{2}{2n+1}$$

دانهمایی. از فرمول رد ریگنز انتگرال جزء به جزء بگیرید.

۳۰۴.۱۴ نشان دهید که هر گاه  $m < n$ ، آنگاه  $\int_{-1}^1 x^m P_n(x) dx = 0$  دانهمایی. از فرمول رد ریگنز بهره بگیرید.

۴.۴.۱۲ نشان دهید که

$$\int_{-1}^1 x^n P_n(x) dx = \frac{2^{n+1} n! n!}{(2n+1)!}$$

یادآوری. انتظار می‌رود از فرمول دردیگز بهره و از آن انتگرال جزء به جزء بگیرید، ولی در ضمن ببینید آیا می‌توانید این نتیجه را به کمک واری معادله (۸.۱۲) به دست آورید یا خیر.

۵.۴.۱۲ نشان دهید که

$$\int_{-1}^1 x^{2r} P_{2n}(x) dx = \frac{2^{2n+1} (2r)! (r+n)!}{(2r+2n+1)! (r-n)!}$$

۶.۴.۱۲ به عنوان تعمیم مسائل ۴.۴.۱۲ و ۵.۴.۱۲، نشان دهید که بسطهای لژاندر  $x^{2r}$  عبارت‌اند از

$$x^{2r} = \sum_{n=0}^r \frac{2^{2n} (2n+1) (2r)! (r+n)!}{(2r+2n+1)! (r-n)!} P_{2n}(x), \quad s=2r \quad (\text{الف})$$

$$x^{2r+1} = \sum_{n=0}^r \frac{2^{2n+1} (2n+3) (2r+1)! (r+n+1)!}{(2r+2n+3)! (r-n)!} P_{2n+1}(x), \quad (\text{ب})$$

$$s=2r+1$$

۷.۴.۱۲ یک موج تخت را می‌توان به کمک معادله ریلی بر حسب یک سری از امواج کروی به صورت زیر بسط داد

$$e^{ikr \cos \gamma} = \sum_{n=0}^{\infty} a_n j_n(kr) P_n(\cos \gamma)$$

نشان دهید که  $a_n = i^n (2n+1)$ .

۱. از تعامد  $P_n$  ها برای یافتن  $a_n j_n(kr)$  استفاده کنید.

۲.  $n$  بار نسبت به  $(kr)$  مشتق بگیرید و قرار دهید  $r=0$ ، تا وابستگی به  $r$  را حذف کنید.

۳. انتگرال باقیمانده را با استفاده از مسئله ۴.۴.۱۲ محاسبه کنید.

یادآوری. این مسئله را می‌توان با توجه به این نکته نیز بررسی کرد که هر دو طرف معادله در معادله هلمهولتز صدق می‌کنند. تساوی دو طرف را می‌توان با توجه به این نکته که رفتار جوابها در مبدأ یکسان‌اند، و اینکه در فواصل دور نیز به طور یکسان رفتار می‌کنند،



اثبات کرد. در بخش ۶.۱۶، با استفاده از توابع گرین، به کمک قراردادن مقادیر مشخص، جوابی به دست می‌آوریم.

۸۰۴.۱۲ درستی معادله ریلی را در مسئله ۷.۴.۱۲ با دنبال کردن مراحل زیر تحقیق کنید:  
 ۱. نسبت به  $(kr)$  مشتق بگیرید تا رابطه زیر را به دست آورید

$$\sum_n a_n j'_n(kr) P_n(\cos \gamma) = i \sum_n a_n j_n(kr) \cos \gamma P'_n(\cos \gamma)$$

۲. با استفاده از یک رابطه بازگشتی به جای  $\cos \gamma P'_n(\cos \gamma)$ ، ترکیبی خطی از  $P_{n+1}$  و  $P_{n-1}$  را قرار دهید.

۳. با استفاده از یک رابطه بازگشتی به جای  $j'_n$  ترکیبی خطی از  $j_{n+1}$  و  $j_{n-1}$  را قرار دهید.

۹۰۴.۱۲ با استفاده از مسئله ۷.۴.۱۲ نشان دهید که

$$j_n(kr) = \frac{1}{\sqrt{i}^n} \int_{-1}^1 e^{ikr\mu} P_n(\mu) d\mu$$

یعنی، تابع کروی بسل،  $j_n(kr)$ ، (گذشته از ضرایب ثابت) تبدیل فوریه چندجمله‌ای ژاندر،  $P_n(\mu)$ ، به شمار می‌آید.

۱۰۰۴.۱۲ چندجمله‌ایهای ژاندر و توابع کروی بسل از طریق رابطه زیر بهم مربوط می‌شوند

$$j_n(z) = \frac{1}{\sqrt{\pi}} (-i)^n \int_0^\pi e^{iz \cos \theta} P_n(\cos \theta) \sin \theta d\theta, \quad n = 0, 1, 2, \dots$$

درستی این رابطه را، با تبدیل سمت راست آن به

$$\frac{z^n}{\sqrt{\pi}^{n+1} n!} \int_0^\pi \cos(z \cos \theta) \sin^{2n+1} \theta d\theta$$

و استفاده از مسئله ۹.۷.۱۱، تحقیق کنید.

۱۱۰۴.۱۲ با محاسبه مستقیم انتگرال اشلافلی نشان دهید که  $P_n(1) = 1$ .

۱۲۰۴.۱۲ توضیح دهید که چرا وقتی که  $n \rightarrow \nu$  (غیر عدد درست)، پر بند انتگرال اشلافلی، معادله (۶۹.۱۲)، طوری برگزیده می‌شود که نقاط  $z = 1$  و  $z = -1$  را دربر بگیرد.

۱۳۰۴.۱۲ در محاسبات عددی (مانند کوادراتور گاوس-ژاندر، پیوست ۲ را ببینید) خوب

است که بدانیم  $P_n(x)$  درون  $[-1, 1]$ ،  $n$  صفر حقیقی دارد. درستی این گزاره را نشان دهید.

دانهمایی. بنا بر قضیه ۱۱، اولین مشتق  $(x^2 - 1)^n$  يك صفر درون  $[-1, 1]$  دارد. این برهان را به مشتقات دوم، سوم، و سرانجام  $n$ ام تعمیم دهید.

### ۵.۱۲ توابع وابسته لژاندر

اگر معادلهٔ هلمهولتز را در مختصات قطبی کروی تفکیک کنیم (بخش ۶.۲، جلد اول)، یکی از معادلات دیفرانسیل معمولی تفکیک شده، معادلهٔ وابسته لژاندر خواهد بود

$$\frac{1}{\sin \theta} \frac{d}{d\theta} \left( \sin \theta \frac{dP_n^m(\cos \theta)}{d\theta} \right) + \left[ n(n+1) - \frac{m^2}{\sin^2 \theta} \right] P_n^m(\cos \theta) = 0 \quad (71.12)$$

این معادله به ازای  $x = \cos \theta$ ، به صورت زیر درمی آید

$$(1-x^2) \frac{d^2 P_n^m(x)}{dx^2} - 2x \frac{d P_n^m(x)}{dx} + \left[ n(n+1) - \frac{m^2}{1-x^2} \right] P_n^m(x) = 0 \quad (72.12)$$

این معادله، تنها در صورتی که ثابت جداسازی سمتی، یعنی  $m^2$ ، صفر باشد، به معادلهٔ لژاندر، معادلهٔ (۲۸.۱۲)، ساده می شود.

یکی از راههای به دست آوردن جواب معادلهٔ وابسته لژاندر آن است که از معادلهٔ منظم لژاندر شروع کنیم و آن را از طریق مشتقگیری چندگانه به معادلهٔ وابسته لژاندر تبدیل کنیم. معادلهٔ لژاندر را در نظر می گیریم

$$(1-x^2)P_n'' - 2xP_n' + n(n+1)P_n = 0 \quad (73.12)$$

با استفاده از فرمول لایب نیتس<sup>۱</sup>،  $m$  بار مشتق می گیریم. در نتیجه

$$(1-x^2)u'' - 2x(m+1)u' + (n-m)(n+m+1)u = 0 \quad (74.12)$$

که در آن

۱. فرمول لایب نیتس برای مشتق  $n$ ام يك حاصلضرب به صورت زیر است

$$\frac{d^n}{dx^n} [A(x)B(x)] = \sum_{s=0}^n \binom{n}{s} \frac{d^{n-s}}{dx^{n-s}} A(x) \frac{d^s}{dx^s} B(x)$$

که در آن يك ضریب دوجمله ای است.  $\binom{n}{s} = \frac{n!}{(n-s)!s!}$

$$u \equiv \frac{d^m}{dx^m} P_n(x) \quad (۷۵.۱۲)$$

معادله (۷۴.۱۲) خود-الحاقی نیست. برای آنکه آن را به صورت خود-الحاقی در آوریم، به جای  $u(x)$  می‌گذاریم

$$v(x) = (1-x^2)^{m/2} u(x) = (1-x^2)^{m/2} \frac{d^m P_n(x)}{dx^m} \quad (۷۶.۱۲)$$

از این معادله  $u$  را به دست می‌آوریم و از آن مشتق می‌گیریم، خواهیم داشت

$$u' = \left( v' + \frac{mxv}{1-x^2} \right) (1-x^2)^{-m/2} \quad (۷۷.۱۲)$$

$$u'' = \left[ v'' + \frac{2mxv'}{1-x^2} + \frac{mv}{1-x^2} + \frac{m(m+2)x^2v}{(1-x^2)^2} \right] \cdot (1-x^2)^{-m/2} \quad (۷۸.۱۲)$$

با نشانیدن در معادله (۷۴.۱۲)، پی می‌بریم که تابع جدید  $v$  در معادله دیفرانسیل زیر صدق می‌کند

$$(1-x^2)v'' - 2xv' + \left[ n(n+1) - \frac{m^2}{1-x^2} \right] v = 0 \quad (۷۹.۱۲)$$

این همان معادله وابسته لژاندر است، که همان طور که باید، با مسای صفر قرارداد  $m$ ، به معادله لژاندر ساده می‌شود. معادله وابسته لژاندر بر حسب مختصات قطبی  $\theta$  روی به صورت زیر درمی‌آید

$$\frac{1}{\sin \theta} \frac{d}{d\theta} \left( \sin \theta \frac{dv}{d\theta} \right) + \left[ n(n+1) - \frac{m^2}{\sin^2 \theta} \right] v = 0 \quad (۸۰.۱۲)$$

توابع وابسته لژاندر

جوابهای منظم، که آنها را با نماد جدید  $P_n^m(x)$  مشخص می‌کنیم، عبارت‌اند از

$$v \equiv P_n^m(x) = (1-x^2)^{m/2} \frac{d^m}{dx^m} P_n(x) \quad (۸۱.۱۲)$$

اینها توابع وابسته لژاندرند. از آنجا که  $x^n$  بزرگترین توان  $x$  در  $P_n(x)$  است، باید داشته

۱. گهگاه (مثلاً در AMS-55) توابع وابسته لژاندر، به کمک يك ضریب اضافی  $(-1)^m$  تعریف می‌شوند. در این مرحله، کمیت  $(-1)^m$ ، نالازم به نظر می‌آید. این ضریب در بخش ۶.۱۲، در تعریف هماهنگهای  $Y_n^m(\theta, \varphi)$  وارد خواهد شد.

باشیم  $m \leq n$  (در غیر این صورت مشتقگیری  $m$  گانه تابع ما را صفر خواهد کرد). تعبیر فیزیکی شرط  $m \leq n$ ، در مکانیک کوانتومی آن است که مقدار انتظاری مربع مؤلفه  $z$  تکانه زاویه ای کمتر از مقدار انتظاری مربع بردار تکانه زاویه ای،  $L_z$ ، یا مساوی با آن است،  $\langle L_z^2 \rangle \leq \langle L^2 \rangle$ .

از شکل معادله (۸۱.۱۲) می توان انتظار داشت که  $m$  نامنفی باشد، زیرا چندبار مشتقگیری منفی تعریف نشده است. ولی اگر  $P_n^m(x)$  به کمک فرمول رد ریگز تعریف شده باشد، این محدودیت روی مقدار  $m$  برداشته می شود و می توان به این نتیجه رسید که:  $-n \leq m \leq n$ ، یعنی علاوه بر مقادیر مثبت  $m$ ، مقادیر منفی آن هم مجاز است. بار دیگر با بهره گیری از فرمول مشتقگیری لایب نیتس، می توان نشان داد که (مسئله ۱۰۵.۱۲) رابطه  $P_n^m(x)$  و  $P_n^{-m}(x)$  با هم به صورت زیر است

$$P_n^{-m}(x) = (-1)^m \frac{(n-m)!}{(n+m)!} P_n^m(x) \quad (الف \ 81.12)$$

بنا بر تعریف توابع وابسته لژاندر،  $P_n^m(x)$  داریم

$$P_n^0(x) = P_n(x) \quad (82.12)$$

علاوه بر این، می توانیم جدول ۳.۱۲ را نیز تشکیل دهیم. توابع وابسته لژاندر هم مانند چند جمله ایهای لژاندر، يك تابع مولد به صورت زیر دارند

$$\frac{(2m)!(1-x^2)^{m/2}}{2^m m! (1-2tx+t^2)^{m+1/2}} = \sum_{s=0}^{\infty} P_{s+m}^m(x) t^s \quad (83.12)$$

ولی این تابع به علت دشواریهای دست و پا گیرش، و عدم کاربرد فیزیکی مستقیم برای آن، به ندرت به کار می رود.

### روابط بازگشتی

همان گونه که انتظار می رود، توابع وابسته لژاندر در روابط بازگشتی معینی صدق می کنند. به دلیل وجود دوشاخخص پلرین به جای يك شاخص پایین، انواع گوناگونی از روابط بازگشتی داریم

$$P_n^{m+1} - \frac{2mx}{(1-x^2)^{1/2}} P_n^m + [n(n+1) - m(m-1)] P_n^{m-1} = 0 \quad (84.12)$$

$$(2n+1)x P_n^m = (n+m) P_{n-1}^m + (n-m+1) P_{n+1}^m \quad (85.12)$$

$$P_1^0(x) = (1-x^2)^{1/2} = \sin \theta$$

$$P_1^1(x) = 2x(1-x^2)^{1/2} = 2\cos \theta \sin \theta$$

$$P_2^0(x) = 3(1-x^2) = 3\sin^2 \theta$$

$$P_2^1(x) = \frac{r}{\gamma}(\delta x^2 - 1)(1-x^2)^{1/2} = \frac{r}{\gamma}(\delta \cos^2 \theta - 1)\sin \theta$$

$$P_2^2(x) = 15x(1-x^2) = 15\cos \theta \sin^2 \theta$$

$$P_2^3(x) = 15(1-x^2)^{3/2} = 15\sin^3 \theta$$

$$P_3^0(x) = \frac{\delta}{\gamma}(\gamma x^2 - 3x)(1-x^2)^{1/2} = \frac{\delta}{\gamma}(\gamma \cos^2 \theta - 3\cos \theta)\sin \theta$$

$$P_3^1(x) = \frac{15}{\gamma}(\gamma x^2 - 1)(1-x^2) = \frac{15}{\gamma}(\gamma \cos^2 \theta - 1)\sin^2 \theta$$

$$P_3^2(x) = 105x(1-x^2)^{3/2} = 105\cos \theta \sin^3 \theta$$

$$P_3^3(x) = 105(1-x^2)^2 = 105\sin^4 \theta$$

$$(\gamma n + 1)(1-x^2)^{1/2} P_n^m$$

$$= P_{n+1}^{m+1} - P_{n-1}^{m+1}$$

$$= (n+m)(n+m-1)P_{n-1}^{m-1} - (n-m+1)(n-m+2)P_{n+1}^{m-1}$$

(۸۶.۱۲)

$$(1-x^2)^{1/2} P_n^m - \frac{1}{\gamma} P_{n+1}^{m+1} - \frac{1}{\gamma} (n+m)(n-m+1) P_n^{m-1}$$

(۸۷.۱۲)

درستی این روابط و بسیاری از روابط مشابه دیگر را می‌توان با استفاده از تابع مولد [معادله (۴.۱۲)]، یا از طریق جانشانی جواب سری معادله وابسته لژاندر (۷۹.۱۲) تحقیق کرد. این کار با ساده کردن روابط بازگشتی چند جمله‌ای لژاندر، با بهره‌گیری از معادله (۸۱.۱۲)، نیز امکان‌پذیر است. به‌عنوان نمونه‌ای برای روش اخیر، سومین معادله از مجموعه بالا را در نظر بگیرید. این معادله به معادله (۲۳.۱۲) شبیه است

$$(\gamma n + 1)P_n(x) = P_{n+1}'(x) - P_{n-1}'(x) \quad (۸۸.۱۲)$$

از این رابطه بازگشتی چند جمله‌ای لژاندر،  $m$  بار مشتق می‌گیریم و به دست می‌آوریم

$$\begin{aligned} (2n+1) \frac{d^m}{dx^m} P_n(x) &= \frac{d^m}{dx^m} P'_{n+1}(x) - \frac{d^m}{dx^m} P'_{n-1}(x) \\ &= \frac{d^{m+1}}{dx^{m+1}} P_{n+1}(x) - \frac{d^{m+1}}{dx^{m+1}} P_{n-1}(x) \end{aligned} \quad (۸۹.۱۲)$$

حال به کمک ضرب کردن در  $(1-x^2)^{(m+1)/2}$  و با استفاده از تعریف  $P_n^m(x)$ ، معادله (۸۶.۱۲) را به دست می‌آوریم.

### پاریتته

با بررسی معادله معرف توابع وابسته لژاندر (۸۱.۱۲)، می‌توان رابطه پاریتته‌ای را که این توابع در آن صدق می‌کنند، تعیین کرد. با  $x \rightarrow -x$ ، از قبل می‌دانیم که  $P_n(x)$  یک  $(-1)^n$  ایجاد می‌کند. مشتگیری  $m$  گانه نیز یک ضریب  $(-1)^m$  ایجاد می‌کند. از این رو داریم

$$P_n^m(-x) = (-1)^{n+m} P_n^m(x) \quad (۹۰.۱۲)$$

این رابطه را می‌توان بایک نظر به جدول ۳-۱۲، به‌ازای  $1 \leq m \leq n \leq 4$ ، تحقیق کرد. همچنین از تعریف  $P_n^m(x)$ ، در معادله (۸۱.۱۲)، داریم

$$P_n^m(\pm 1) = 0, \quad m \neq 0 \quad \text{به‌ازای} \quad (۹۱.۱۲)$$

### تعامد

تعامد  $P_n^m(x)$ ، درست مثل  $P_n(x)$  (بخش ۳-۱۲)، از معادله دیفرانسیل نتیجه می‌شود؛ با فرض اینکه  $m$  در هر دو تابع یکی باشد، جمله  $m^2/(1-x^2) -$  حذف می‌شود. ولی هرگاه تعامد  $P_n^m(x)$  ها را با روش دیگری نمایش دهیم، روشی که ثابت بهنجارش را نیز تعیین خواهد کرد، خیلی بهتر است.

با استفاده از تعریف  $P_n^m(x)$  در معادله (۸۱.۱۲) و فرمول رد ریگنز [معادله (۶۵.۱۲)] برای  $P_n(x)$ ، خواهیم داشت

$$\int_{-1}^1 P_p^m(x) P_q^m(x) dx = \frac{(-1)^m}{2^{p+q} p! q!} \int_{-1}^1 X^m \frac{d^{p+m}}{dx^{p+m}} X^p \frac{d^{q+m}}{dx^{q+m}} X^q dx \quad (۹۲.۱۲)$$

تابع  $X$  از رابطه  $X \equiv (x^2 - 1)$  به دست می‌آید. اگر  $p \neq q$ ، فرض کنید  $p < q$ . توجه

کنید که شاخص بالای  $m$  برای هر دو تابع یکی است. این یک شرط اساسی است. شگرد کار به این ترتیب است که پشت سرهم انتگرال جزء به جزء بگیریم؛ قسمتهای انتگرالگیری شده، تا آنجا که دارای یک عامل  $X = x^2 - 1$  باشند، تماماً صفر می شوند.  $q + m$  بار مشتق می گیریم و خواهیم داشت

$$\int_{-1}^1 P_p^m(x) P_q^m(x) dx = \frac{(-1)^m (-1)^{q+m}}{2^{p+q} p! q!} \int_{-1}^1 \frac{d^{q+m}}{dx^{q+m}} \times \left( X^m \frac{d^{p+m}}{dx^{p+m}} X^p \right) X^q dx \quad (93.12)$$

اکنون انتگرالده طرف راست را به کمک فرمول لایب نیتس به صورت زیر بسط می دهیم

$$X^q \frac{d^{q+m}}{dx^{q+m}} \left( X^m \frac{d^{p+m}}{dx^{p+m}} X^p \right) = X^q \sum_{i=0}^{i=q+m} \frac{(q+m)!}{i!(q+m-i)!} \frac{d^{q+m-i}}{dx^{q+m-i}} \times X^m \frac{d^{p+m+i}}{dx^{p+m+i}} X^p \quad (94.12)$$

از آنجا که جمله  $X^m$  شامل هیچ توانی از  $x$  نیست که از  $x^{2m}$  بالاتر باشد، باید داشته باشیم

$$q + m - i \leq 2m \quad (95.12)$$

در غیر این صورت مشتق برابر صفر می شود. به همین ترتیب

$$p + m + i \leq 2p \quad (96.12)$$

این دو معادله را حل می کنیم و  $i$  را به دست می آوریم؛ شرایط داشتن نتیجه غیر صفر آن است که

$$i \geq q - m, \quad i \leq p - m \quad (97.12)$$

اگر  $p < q$ ، هیچ جواب غیر صفری وجود ندارد و انتگرال صفر می شود. روشن است در صورتی که داشته باشیم:  $p > q$ ، نیز همین نتیجه بدست می آید.

در مورد تنها حالت باقیمانده یعنی  $p = q$ ، فقط ممکن است یک جمله متناظر با  $i = q - m$  داشته باشیم. با نشان دادن معادله (94.12) در معادله (93.12) داریم

$$\int_{-1}^1 [P_q^m(x)]^2 dx = \frac{(-1)^{q+2m} (q+m)!}{2^{2q} q! q! (2m)! (q-m)!} \int_{-1}^1 X^q \left( \frac{d^{2m}}{dx^{2m}} X^m \right) \left( \frac{d^{2q}}{dx^{2q}} X^q \right) dx \quad (98.12)$$

از آنجا که

$$X^m = (x^2 - 1)^m = x^{2m} - mx^{2m-2} + \dots \quad (۹۹.۱۲)$$

$$\frac{d^{2m}}{dx^{2m}} X^m = (2m)! \quad (۱۰۰.۱۲)$$

معادله (۹۸.۱۲) به صورت زیر ساده می شود

$$\int_{-1}^1 [P_q^m(x)]^2 dx = \frac{(-1)^{q+2m} (2q)! (q+m)!}{2^{2q} q! q! (q-m)!} \int_{-1}^1 X^q dx \quad (۱۰۱.۱۲)$$

انتگرال سمت راست عبارت است از

$$(-1)^q \int_0^\pi \sin^{2q+1} \theta d\theta = \frac{(-1)^q 2^{2q+1} q! q!}{(2q+1)!} \quad (۱۰۲.۱۲)$$

(با مسئله ۹.۴.۱۰ مقایسه کنید). با ترکیب معادلات (۱۰۱.۱۲) و (۱۰۲.۱۲)، انتگرال تعامد زیر را داریم

$$\int_{-1}^1 P_p^m(x) P_q^m(x) dx = \frac{2}{2q+1} \cdot \frac{(q+m)!}{(q-m)!} \delta_{p,q} \quad (۱۰۳.۱۲)$$

یا، در مختصات قطبی کروی

$$\int_0^\pi P_p^m(\cos \theta) P_q^m(\cos \theta) \sin \theta d\theta = \frac{2}{2q+1} \cdot \frac{(q+m)!}{(q-m)!} \delta_{p,q} \quad (۱۰۴.۱۲)$$

تعامد چند جمله ایهای لژاندر عملاً حالت خاصی از این نتیجه است، که با مساوی صفر قرار دادن  $m$  به دست می آید؛ یعنی، معادله (۱۰۳.۱۲) به ازای  $m=0$  به معادلات (۴۳.۱۲) و (۴۸.۱۲) ساده می شود. تابع دلتای کرونگر در هر دو معادله (۱۰۳.۱۲) و (۱۰۴.۱۲) را می شد به اعتبار نظریه اشتورم-لیوویل (فصل ۹) به دست آورد. ولی برای تعیین ثابت بهنجارش، به محاسبه خاصی نظیر آنچه در اینجا ارائه شد نیاز داریم.

تعامد توابع وابسته لژاندر روی همان بازه و با همان عامل وزنی که برای چند جمله ایهای لژاندر داشتیم، تناقضی با یکتایی روش گسرام-اشمیت برای ساختن چند جمله ایهای لژاندر، مثال ۱.۳.۹، ندارد. بنابر جدول ۳.۱۲ (که در بخش ۴.۱۲ هم ثابت می شود)؛

$$\int_{-1}^1 P_p^m(x) P_q^m(x) dx$$

$$\int_{-1}^1 p_p^m(x) p_q^m(x) (1-x^2)^m dx$$



$$p_p^m(x)(1-x^2)^{m/2} = P_p^m(x)$$

می توان به کمک دستور العمل گرام-اشمیت با تابع وزنی  $w(x) = (1-x^2)^m$  توابع  $p_p^m(x)$  را به دست آورد.

می توان یک رابطه تعامد هم برای توابع وابسته ژاندر، با همان شاخص پایین اما با شاخصهای بالایی متفاوت به دست آورد. خواهیم داشت

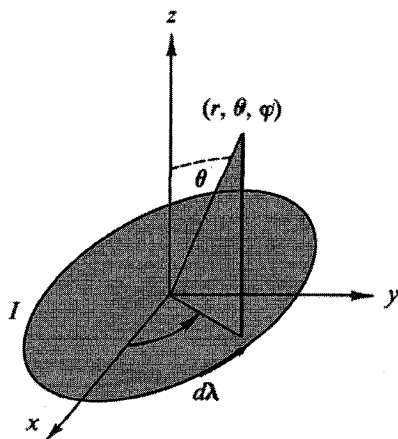
$$\int_{-1}^1 P_n^m(x) P_k^m(x) (1-x^2)^{-1} dx = \frac{(n+m)!}{m(n-m)!} \delta_{m,k} \quad (105.12)$$

توجه کنید که عامل وزنی جدید  $(1-x^2)^{-1}$  در این عبارت راه یافته است. این رابطه تعامد، در ریاضیات علی الاصول یکی از موارد ارضای نیاز کنجکاو به شمار می آید. در مسائل فیزیکی، تعامد در بخشهای وابسته به  $\varphi$ ، دو شاخص بالا را به هم مربوط می کند و به معادله (104.12) منجر می شود.

مثال 105.12 میدان القای مغناطیسی یک حلقه جریان

ممکن است معادله وابسته ژاندر نیز، مانند سایر معادلات دیفرانسیلی مربوط به فیزیک ریاضی، به صورتی کاملاً غیر منتظره بروز کند. به عنوان نمونه میدان القای مغناطیسی،  $\mathbf{B}$ ، و پتانسیل برداری مغناطیسی،  $\mathbf{A}$ ، حاصل از یک تک حلقه دایره ای جریان را، در صفحه استوایی، در نظر بگیرید (شکل 13.12).

با عنایت به نظریه الکترومغناطیس، می دانیم که سهم عنصر جریان  $I d\lambda$  در پتانسیل برداری مغناطیسی عبارت است از



شکل 13.12 حلقه جریان دایره ای.

$$dA = \frac{\mu_0}{4\pi} \frac{Id\lambda}{r} \quad (106.12)$$

(این نتیجه از مسئله ۴.۱۴.۱ به دست می آید). معادله (۱۰۶.۱۲)، به اضافه تقارن سینم، نشان می دهد که  $\mathbf{A}$  تنها یک مؤلفه  $\varphi_0$  دارد که از  $\varphi$  مستقل است<sup>۱</sup>

$$\mathbf{A} = \varphi_0 A_\varphi(r, \theta) \quad (107.12)$$

از معادلات ماکسول داریم

$$\nabla \times \mathbf{H} = \mathbf{J} \quad (\partial \mathbf{D} / \partial t = 0, \text{ بر حسب یکاهای SI},) \quad (108.12)$$

از آنجا که

$$\mu_0 \mathbf{H} = \mathbf{B} = \nabla \times \mathbf{A} \quad (109.12)$$

داریم

$$\nabla \times \nabla \times \mathbf{A} = \mu_0 \mathbf{J} \quad (110.12)$$

که در آن  $\mathbf{J}$  چگالی جریانی است. در مسئله ما،  $\mathbf{J}$  در همد جا، جز درون حلقه جریانی، صفر است. بنابراین، با استفاده از معادله (۱۰۷.۱۲)، برای خارج از حلقه داریم

$$\nabla \times \nabla \times \varphi_0 A_\varphi(r, \theta) = 0 \quad (111.12)$$

با استفاده از عبارت مربوط به تاو در مختصات قطبی کروی (بخش ۵.۲، جلد اول) داریم (مثال ۲.۵.۲)

$$\begin{aligned} \nabla \times \nabla \times \varphi_0 A_\varphi(r, \theta) = \varphi_0 \left[ -\frac{\partial^2 A_\varphi}{\partial r^2} - \frac{2}{r} \frac{\partial A_\varphi}{\partial r} - \frac{1}{r^2} \frac{\partial^2 A_\varphi}{\partial \theta^2} \right. \\ \left. - \frac{1}{r^2} \frac{\partial}{\partial \theta} (\cot \theta A_\varphi) \right] \\ = 0 \end{aligned} \quad (112.12)$$

با قرار دادن  $A_\varphi(r, \theta) = R(r)\Theta(\theta)$  و تفکیک متغیرها داریم

$$r^2 \frac{d^2 R}{dr^2} + 2 \frac{dR}{dr} - n(n+1)R = 0 \quad (113.12)$$

۱. عنصرهای پار متناظر  $Id_\lambda(\varphi_1)$  و  $Id_\lambda(\varphi_2)$  که در آن  $\varphi_1 - \varphi_2 = \varphi_2 - \varphi_1$ ، دو به دو اثر یکدیگر را حذف می کنند.

$$\frac{d^2 \Theta}{d\theta^2} + \cot \theta \frac{d\Theta}{d\theta} + n(n+1)\Theta - \frac{\Theta}{\sin^2 \theta} = 0 \quad (114.12)$$

معادله دوم، معادله وابسته لژاندر به ازای  $m=1$  (۸۰.۱۲) است، و فوراً می‌توانیم بنویسیم

$$\Theta(\theta) = P_n^1(\cos \theta) \quad (115.12)$$

ثابت جداسازی  $n(n+1)$  را به این علت برمی‌گزینیم که، این جواب همچنان خوش رفتار باقی‌ماند.

جواب  $R(r) = r^\alpha$  را امتحان می‌کنیم. بی‌خواهیم برد که  $\alpha = n$  یا  $\alpha = -n-1$ . امکان اول را رد می‌کنیم، زیرا جواب ما باید به ازای  $r \rightarrow \infty$  صفر شود. از این رو

$$A_{\varphi n} = \frac{b_n}{r^{n+1}} P_n^1(\cos \theta) = c_n \left(\frac{a}{r}\right)^{n+1} P_n^1(\cos \theta) \quad (116.12)$$

و

$$A_\varphi(r, \theta) = \sum_{n=1}^{\infty} c_n \left(\frac{a}{r}\right)^{n+1} P_n^1(\cos \theta), \quad (r > a) \quad (117.12)$$

$a$ ، در اینجا عبارت است از شعاع حلقه جریان.

از آنجا که، به علت تقارن مسئله،  $A_\varphi$  باید نسبت به بازتاب در صفحه استوایی ناورد

بماند، یعنی

$$A_\varphi(r, \cos \theta) = A_\varphi(r, -\cos \theta) \quad (118.12)$$

خاصیت پارتیه  $P_n^m(\cos \theta)$  [معادله (۹۰.۱۲)] نشان می‌دهد که به ازای مقدار زوج  $n$  داریم:  $c_n = 0$ .

برای آنکه محاسبه ثابتها را کامل کرده باشیم، می‌توانیم از معادله (۱۱۷.۱۲) برای محاسبه  $B_z$  در امتداد محور  $z$ ،  $[B_z = B_r(r, \theta = 0)]$  بهره‌برگیریم و نتیجه را با عبارت حاصل از قانون بیوساوار مقایسه کنیم. در مثال ۳.۳.۱۲ از همین تکنیک استفاده می‌شود. داریم [با معادله (۴۷.۲) مقایسه کنید]

$$B_r = \nabla \times \mathbf{A}|_r$$

$$= \frac{1}{r \sin \theta} \left[ \frac{\partial}{\partial \theta} (\sin \theta A_\varphi) \right] \quad (119.12)$$

$$= \frac{\cot \theta}{r} A_\varphi + \frac{1}{r} \frac{\partial A_\varphi}{\partial \theta}$$

با استفاده از معادله (۸۷.۱۲)

$$\frac{\partial P_n^{\lambda}(\cos \theta)}{\partial \theta} = -\sin \theta \frac{dP_n^{\lambda}(\cos \theta)}{d(\cos \theta)} \quad (120.12)$$

$$= -\frac{1}{\gamma} P_n^{\gamma} + \frac{n(n+1)}{\gamma} P_n^0$$

و آنگاه معادله (۸۴.۱۲)، به ازای  $m=1$ 

$$P_n^{\lambda}(\cos \theta) - \frac{\gamma \cos \theta}{\sin \theta} P_n^{\lambda}(\cos \theta) + n(n+1) P_n(\cos \theta) = 0 \quad (121.12)$$

به ازای همه  $\theta$ ها، خواهیم داشت

$$B_r(r, \theta) = \sum_{n=1}^{\infty} c_n n(n+1) \frac{a^{n+1}}{r^{n+\gamma}} P_n(\cos \theta), \quad r > a \quad (122.12)$$

مخصوصاً به ازای  $\theta = 0$ 

$$B_r(r, 0) = \sum_{n=1}^{\infty} c_n n(n+1) \frac{a^{n+1}}{r^{n+\gamma}} \quad (123.12)$$

همچنین می توانیم داشته باشیم

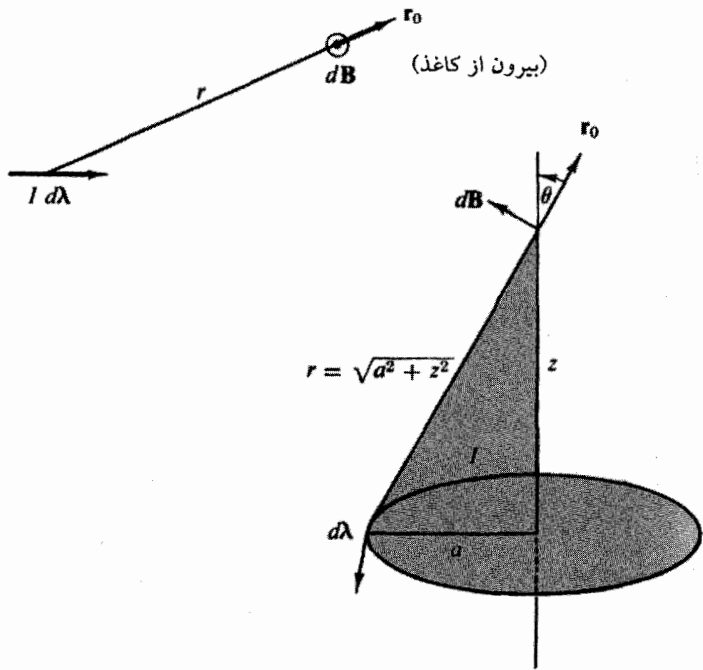
$$B_{\theta}(r, \theta) = -\frac{1}{r} \frac{\partial(rA_{\varphi})}{\partial r} \quad (124.12)$$

$$= \sum_{n=1}^{\infty} c_n n \frac{a^{n+1}}{r^{n+\gamma}} P_n^{\lambda}(\cos \theta), \quad r > a$$

بنابر قانون بیو-ساوار

$$d\mathbf{B} = \frac{\mu_0}{4\pi} I \frac{d\boldsymbol{\lambda} \times \mathbf{r}_0}{r^2} \quad (\text{بر حسب یکه‌های SI}) \quad (125.12)$$

حال روی محیط حلقه (به شعاع  $a$ ) انگرال می‌گیریم. نمایش هندسی مربوطه در شکل ۱۴.۱۲ نشان داده شده است. میدان القای مغناطیسی حاصل عبارت است از:  $\mathbf{k}B_z$  در طول محور  $z$ ، با



شکل ۱۴-۱۲ قانون بیوساوار دربارهٔ یک حلقهٔ جریان.

$$B_z = \frac{\mu_0 I}{\gamma} a^{\gamma} (a^2 + z^2)^{-\gamma/2}$$

$$= \frac{\mu_0 I}{\gamma} \frac{a^{\gamma}}{z^{\gamma}} \left( 1 + \frac{a^2}{z^2} \right)^{-\gamma/2} \quad (126.12)$$

با بهره‌گیری از قضیهٔ دو جمله‌ای، بسط می‌دهیم

$$B_z = \frac{\mu_0 I}{\gamma} \frac{a^{\gamma}}{z^{\gamma}} \left[ 1 - \frac{\gamma}{2} \left( \frac{a}{z} \right)^2 + \frac{15}{8} \left( \frac{a}{z} \right)^4 - \dots \right]$$

$$= \frac{\mu_0 I}{\gamma} \frac{a^{\gamma}}{z^{\gamma}} \sum_{s=0}^{\infty} (-1)^s \frac{(\gamma s + 1)!!}{(\gamma s)!!} \left( \frac{a}{z} \right)^{\gamma s}, \quad z > a \quad (127.12)$$

جمله به جمله معادلات (۱۲۳-۱۲) و (۱۲۷-۱۲) را (به ازای  $\gamma = 2$ ) مساوی می‌گیریم، داریم

$$c_1 = \frac{\mu_0 I}{4}, \quad c_2 = -\frac{\mu_0 I}{16}, \quad c_2 = c_4 = \dots = 0 \quad (128.12)$$

$$c_n = (-1)^{(n-1)/2} \frac{\mu_0 I}{2n(n+1)} \times \frac{(n/2)!}{[(n-1)/2]!(1/2)!}, \quad \text{فرد } n$$

و این عبارت معادل آن است که بنویسیم

$$c_{2n+1} = (-1)^n \frac{\mu_0 I}{2^{2n+2}} \cdot \frac{(2n)!}{n!(n+1)!} = (-1)^n \frac{\mu_0 I}{2} \cdot \frac{(2n-1)!!}{(2n+2)!!} \quad (129.12)$$

و

$$A_\varphi(r, \theta) = \left(\frac{a}{r}\right)^2 \sum_{n=0}^{\infty} c_{2n+1} \left(\frac{a}{r}\right)^{2n} P_{2n+1}'(\cos \theta) \quad (130.12)$$

$$B_r(r, \theta) = \frac{a^2}{r^2} \sum_{n=0}^{\infty} c_{2n+1} (2n+1)(2n+2) \left(\frac{a}{r}\right)^{2n} P_{2n+1}(\cos \theta) \quad (131.12)$$

$$B_\theta(r, \theta) = \frac{a^2}{r^2} \sum_{n=0}^{\infty} c_{2n+1} (2n+1) \left(\frac{a}{r}\right)^{2n} P_{2n+1}'(\cos \theta) \quad (132.12)$$

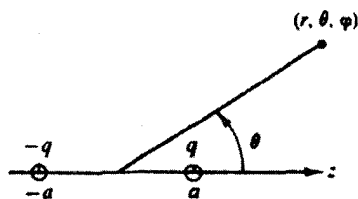
این میدانها را می‌توان به شکل بسته با بهره‌گیری از انتگرالهای بیضوی نیز توصیف کرد. مسئله ۴.۸.۵ (جلد اول) نمایشی از این رهیافت بدشمار می‌آید. سومین روش ممکن انتگرالگیری مستقیم از معادله (۱۰۶.۱۲)، از طریق بسط عامل  $1/r$  به صورت تابع مولد چندجمله‌ایهای لژاندر است. توابع دلتای دیراک جریان را مشخص می‌کنند. مزیت این روشها آن است که ثابتهای  $c_n$  را مستقیماً ارائه می‌کنند.

مقایسه بین میدانهای دو قطبی مغناطیسی حاصل از حلقه‌های جریان با میدانهای دو قطبی الکتریکی متناهی می‌تواند جالب باشد. از تحلیل فوق برای دو قطبی مغناطیسی حلقه جریان به مقادیر زیر می‌رسیم

$$B_r(r, \theta) = \frac{\mu_0 I}{2} \frac{a^2}{r^2} \left[ P_1 - \frac{3}{2} \left(\frac{a}{r}\right)^2 P_3 + \dots \right] \quad (133.12)$$

$$B_\theta(r, \theta) = \frac{\mu_0 I}{4} \frac{a^2}{r^2} \left[ P_1' - \frac{3}{4} \left(\frac{a}{r}\right)^2 P_3' + \dots \right] \quad (134.12)$$

با استفاده از پتانسیل دو قطبی الکتریکی متناهی، بخش ۱۰.۱۲، داریم



شکل ۱۵.۱۲ دوقطبی الکتریکی.

$$E_r(r, \theta) = \frac{qa}{\pi\epsilon_0 r^3} \left[ P_1 + 2 \left(\frac{a}{r}\right)^2 P_2 + \dots \right] \quad (135.12)$$

$$E_\theta(r, \theta) = \frac{qa}{2\pi\epsilon_0 r^3} \left[ P_1 + \left(\frac{a}{r}\right)^2 P_2 + \dots \right] \quad (136.12)$$

شکل این دو میدان، تا آنجا که به جمله پیشرو  $(r^{-2}P_1)$  مربوط می‌شود باهم توافق دارند، و اطلاق نام میدان دوقطبی به هر دوی آنها نیز بر همین پایه استوار است.

گاهی بحث درباره چندقطبیهای نقطه‌ای مغناطیسی نیز، مانند چندقطبیهای الکتریکی مفید خواهد بود. در مورد دوقطبی یعنی معادلات (۱۳۳.۱۲) و (۱۳۴.۱۲)، دوقطبی نقطه‌ای با گرفتن حد  $a \rightarrow 0$ ،  $I \rightarrow \infty$ ، در حالی که  $Ia^2$  ثابت بماند، تشکیل می‌شود. اگر بردار یکه عمود بر حلقه جریان را با  $\mathbf{n}$  نشان دهیم [سوی مثبت  $\mathbf{n}$  به کمک قاعده دست راست، بخش ۱۵.۱ (جلد اول)، تعیین می‌شود]، گشتاور مغناطیسی  $\mathbf{m}$  از عبارت  $\mathbf{m} = \mathbf{n} I \pi a^2$  به دست می‌آید.

## مسائل

۱۵.۱۲ ثابت کنید

$$P_n^{-m}(x) = (-1)^m \frac{(n-m)!}{(n+m)!} P_n^m(x)$$

که در آن رابطه زیر،  $P_n^m(x)$  را توصیف می‌کند

$$P_n^m(x) = \frac{1}{2^n n!} (1-x^2)^{m/2} \frac{d^{n+m}}{dx^{n+m}} (x^2-1)^n$$

دانهایی. یکی از راه‌حلها آن است که فرمول لایب‌نیتس را برای  $(x+1)^n(x-1)^n$

به کار بریم.

$$P_{\nu n}^{\lambda}(\circ) = 0$$

$$P_{\nu n+1}^{\lambda}(\circ) = (-1)^n \frac{(\nu n + 1)!}{(\nu^n n!)^{\nu}} = (-1)^n \frac{(\nu n + 1)!!}{(\nu n)!!}$$

با هر يك از سه روش زیر، محاسبه خود را انجام دهید: (الف) با استفاده از رابطه بازگشتی، (ب) با بسط تابع مولد، (ج) با بهره‌گیری از فرمول رد ریگنر.

۳۰۵۰۱۲  $P_n^m(\circ)$  را محاسبه کنید

$$P_n^m(\circ) = \begin{cases} (-1)^{(n-m)/2} \frac{(n-m)!}{\nu^n \left(\frac{n-m}{2}\right)! \left(\frac{n+m}{2}\right)!}, & \text{زوج } n+m \\ 0, & \text{فرد } n+m \end{cases} \quad \text{پاسخ.}$$

$$P_n^m(\circ) = (-1)^{(n-m)/2} \frac{(n+m-1)!!}{(n-m)!!} \quad \text{همچنین } n+m \text{ زوج}$$

۴۰۵۰۱۲ نشان دهید

$$P_n^m(\cos \theta) = (\nu n - 1)!! \sin^n \theta, \quad n = 0, 1, 2, \dots$$

۵۰۵۰۱۲ رابطه بازگشتی زیر را برای توابع وابسته لژاندر استخراج کنید

$$P_n^{m+1}(x) - \frac{\nu mx}{(1-x^2)^{1/2}} P_n^m(x) + [n(n+1) - m(m-1)] P_n^{m-1}(x) = 0$$

۶۰۵۰۱۲ رابطه‌ای بازگشتی تشکیل دهید که  $P_n^{\lambda}(x)$  را به صورت زیر به دست دهد

$$P_n^{\lambda}(x) = f_1(x, n) P_n(x) + f_2(x, n) P_{n-1}(x)$$

برای این کار به یکی از دو طریق (الف) یا (ب) عمل کنید.

(الف) رابطه‌ای بازگشتی را به صورت قبل استخراج کنید.  $f_2(x, n)$  و  $f_1(x, n)$  را صریحاً مشخص کنید.

(ب) این رابطه بازگشتی را در مرجعی چاپ شده بیابید.

(۱) نام مرجع را ذکر کنید.

(۲) درستی آن را تحقیق کنید.



$$P_n'(x) = -\frac{nx}{(1-x^2)^{1/2}} P_n + \frac{n}{(1-x^2)^{1/2}} P_{n-1} \quad \text{پاسخ}$$

۲۰۵۰۱۲ نشان دهید

$$\sin \theta P_n'(\cos \theta) = P_n'(\cos \theta)$$

۸۰۵۰۱۲ نشان دهید

(الف)

$$\int_0^\pi \left( \frac{dP_n^m}{d\theta} \frac{dP_n^m}{d\theta} + \frac{m^2 P_n^m P_n^m}{\sin^2 \theta} \right) \sin \theta d\theta = \frac{2n(n+1)}{2n+1} \frac{(n+m)!}{(n-m)!} \delta_{n,n'}$$

$$\int_0^\pi \left( \frac{P_n'}{\sin \theta} \frac{dP_n'}{d\theta} + \frac{P_n'}{\sin \theta} \frac{dP_n'}{d\theta} \right) \sin \theta d\theta = 0 \quad \text{(ب)}$$

این انتگرالها، در نظریه پراکندگی امواج الکترومغناطیسی توسط کردها، ظاهر می‌شوند.

۹۰۵۰۱۲ به‌عنوان تکرار مسئله ۶۰۳۰۱۲، با استفاده از توابع وابسته لژاندر، نشان دهید

$$\int_{-1}^1 x(1-x^2) P_n'(x) P_m'(x) dx = \frac{n+1}{2n+1} \cdot \frac{2}{2n-1} \cdot \frac{n!}{(n-2)!} \delta_{m,n-1} \\ + \frac{n}{2n+1} \cdot \frac{2}{2n+3} \cdot \frac{(n+2)!}{n!} \delta_{m,n+1}$$

۱۰۰۵۰۱۲ انتگرال زیر را محاسبه کنید

$$\int_0^\pi \sin^2 \theta P_n'(\cos \theta) d\theta$$

۱۱۰۵۰۱۲ چند جمله‌ای وابسته لژاندر  $P_n^m(x)$  در معادله دیفرانسیل خود-الحاقی زیر صدق می‌کند

$$(1-x^2) P_n^{m''}(x) - 2x P_n^{m'}(x) + \left[ n(n+1) - \frac{m^2}{1-x^2} \right] P_n^m(x) = 0$$

با استفاده از معادلات دیفرانسیل مربوط به  $P_n^k(x)$  و  $P_n^m(x)$  نشان دهید که به ازای  $k \neq m$

$$\int_{-1}^1 P_n^m(x) P_n^k(x) \frac{dx}{1-x^2} = 0$$

۱۴.۵.۱۴ پتانسیل برداری يك چارقطبی مغناطیسی را از طریق مشتقگیری از پتانسیل دوقطبی مغناطیسی تعیین کنید.

پاسخ. جملات از مرتبه بالاتر  $\frac{P_1(\cos \theta)}{r^3} + \dots$

$$\mathbf{A}_{M\theta} = \frac{\mu_0}{r} (Ia^2)(dz)\varphi_0 \frac{P_1(\cos \theta)}{r^3} + \dots$$

$$\mathbf{B}_{M\theta} = \mu_0 (Ia^2)(dz) \left[ r_0 \frac{P_2(\cos \theta)}{r^4} + \theta_0 \frac{P_1(\cos \theta)}{r^4} \right]$$

این رابطه معادل آن است که يك حلقه جریان به شعاع  $a$  را در  $z = dz$  و حلقه جریانی در جهت مخالف را در  $z = -dz$  قرار دهیم، آنگاه  $a$  را تحت این شرط که  $(dz) \ll a$  (قدرت دوقطبی) مقدار ثابتی است، به صفر میل دهیم.

يك راه دیگر برای حل این مسئله آن است که از  $dA$  [معادله (۱۰۶.۱۲)] انتگرال بگیریم، مخرج را به صورت يك سری از چند جمله‌ایهای لژاندر بسط دهیم و از قضیه جمع چند جمله‌ایهای لژاندر (بخش ۸.۱۲) استفاده کنیم.

۱۴.۵.۱۴ جریان  $I$  از يك تك حلقه سیمی به شعاع  $a$  می‌گذرد.

(الف) القای مغناطیسی  $\mathbf{B}$  را به ازای  $r < a$  بیابید.

(ب) انتگرال شار مغناطیسی  $(\mathbf{B} \cdot d\sigma)$  را روی سطح حلقه جریان، یعنی

$$\int_0^a \int_0^{2\pi} B_\theta(r, \theta = \frac{\pi}{r}) d\varphi r dr$$

محاسبه کنید.

پاسخ.  $\infty$ .

زمین در داخل چنین جریانی حلقه‌ای واقع است، که در آن  $I$  تقریباً برابر میلیونها آمپر است و از رانش ذرات باردار درون کمر بند وان آلن ناشی می‌شود.

۱۴.۵.۱۴ (الف) نشان دهید که میدان القای مغناطیسی حلقه جریان در حد دوقطبی نقطه‌ای به صورت زیر درمی‌آید

$$B_r(r, \theta) = \frac{\mu_0}{2\pi} \frac{m}{r^3} P_1(\cos \theta)$$

$$B_\theta(r, \theta) = \frac{\mu_0}{4\pi} \frac{m}{r^3} P_1(\cos \theta)$$

که در آن  $m = I\pi a^2$ .

(ب) این نتایج را با القای مغناطیسی دوقطبی نقطه‌ای مغناطیسی در مسئله ۱۷.۸.۱

(جلد اول) مقایسه کنید. قرار دهید  $m = km$ .

۱۵۰۵۰۱۲ يك پوسته کروی، که به طور یکنواخت باردار شده است، با سرعت زاویه‌ای ثابت می‌چرخد.

(الف) القای مغناطیسی  $B$  را در خارج از کره، در امتداد محور چرخش محاسبه کنید.  
 (ب) با استفاده از سری پتانسیل برداری، بخش ۵۰۱۲،  $A$  و آنگاه  $B$  را در تمام فضای خارج از کره به دست آورید.

۱۶۰۵۰۱۲ در مدل قطره‌ای هسته، هسته کروی دستخوش تغییر شکل‌های کوچکی واقع می‌شود. کره‌ای به شعاع  $r_0$  را در نظر بگیرید که چنان تغییر شکل یافته باشد که معادله زیر سطح جدید آن را مشخص کند

$$r = r_0 [1 + \alpha_2 P_2(\cos \theta)]$$

مساحت کره تغییر شکل یافته را تا جملاتی از مرتبه  $\alpha_2^2$  پیدا کنید.  
 راهنمایی.

$$dA = \left[ r^2 + \left( \frac{dr}{d\theta} \right)^2 \right]^{1/2} r \sin \theta d\theta d\varphi$$

$$A = 4\pi r_0^2 \left[ 1 + \frac{4}{5} \alpha_2^2 + O(\alpha_2^4) \right] \text{ پاسخ.}$$

یادآوری. عنصر مساحت  $dA$  با توجه به این نکته تعیین می‌شود که عنصر طول  $ds$  به ازای  $\varphi$  ثابت از رابطه زیر به دست می‌آید

$$ds = (r^2 d\theta^2 + dr^2)^{1/2} = [r^2 + (dr/d\theta)^2]^{1/2} d\theta$$

۱۷۰۵۰۱۲ يك ذره هسته‌ای در پتانسیل  $V(r, \theta, \varphi)$  قرار دارد.  $V$  به ازای  $0 \leq r < a$  صفر و به ازای  $r > a$  بینهایت است. تابع موج  $\psi(r, \theta, \varphi)$  که در معادله موج

$$-\frac{\hbar^2}{2M} \nabla^2 \psi + V_0 \psi = E \psi$$

و شرط مرزی

$$\psi(r=a) = 0$$

صدق می‌کند، توصیفگر ذره است. نشان دهید که برای آنکه انرژی  $E$  کمینه باشد، باید تابع موج هیچگونه وابستگی زاویه‌ای نداشته باشد، یعنی  $\psi = \psi(r)$ .  
 راهنمایی. سر نخ اصلی در شرط مرزی روی تابع شعاعی نهفته است.

۱۸۰۵.۱۲ (الف) زیر برنامه‌ای برای محاسبه مقدار عددی تابع وابسته لژاندر  $P_N^{\lambda}(x)$  به ازای مقادیر معلوم  $N$  و  $x$  بنویسید.

دانهمایی. می‌توانید از رابطه بازگشتی معادله (۸۵.۱۲) و شکل‌های معلوم  $P_N^{\lambda}$  و  $P_N^{\lambda}$  برای تولید  $P_N^{\lambda}$ ، به ازای  $N > 2$ ، استفاده کنید.

(ب) زیر برنامه‌ای را که نوشته‌اید از طریق محاسبه  $P_N^{\lambda}(x)$  به ازای  $100(0.05)0.05 = x$  و  $N = 1(1)10$  بیازمایید. این مقادیر عددی را از راه مقایسه با مقادیر معلوم  $P_N^{\lambda}(0)$  و  $P_N^{\lambda}(1)$  و نیز با مقادیری از  $P_N^{\lambda}(0.05)$  که در جدول آمده‌اند، بیازمایید.

۱۹۰۵.۱۲ پتانسیل برداری مغناطیسی حلقه جریان مثال ۱۰۵.۱۲ را محاسبه کنید. نتیجه را به ازای  $50(0.05)0.05 = r/a$  و  $90^{\circ}(15^{\circ})0^{\circ} = \theta$  در جدولی درج کنید. جملات بسط سری، معادله (۱۳۰.۱۲)، را تا آنجا محاسبه کنید که مقدار مطلق جمله باضریبی برابر ۵ یا بیشتر، از جمله پیشرو کوچکتر شود.

یادآوری. بسط مربوط به لژاندر را می‌توان از مقایسه با جواب انتگرال بیضوی، مسئله ۴.۸.۵ (جلد اول)، آزمود.

مقدار آزمون. به ازای  $r/a = 40$  و  $\theta = 20^{\circ}$ ،  $A_{\varphi}/\mu_0 I = 479398 \times 10^{-3}$ .

## ۶.۱۲ هم‌هنگامی‌های گروی

در هنگام تفکیک متغیرهای: (۱) معادله لاپلاس؛ (۲) معادله هلمهولتز یا بخش وابسته به فضا در معادله کلاسیکی موج؛ و (۳) معادله شرودینگر برای میدانهای نیروی مرکزی

$$\nabla^2 \psi + k^2 f(r) \psi = 0 \quad (137.12)$$

وابستگی زاویه‌ای، که به طور کامل حاصل عملگر لاپلاسی است، به صورت زیر است<sup>۱</sup>

$$\frac{\Phi(\varphi)}{\sin \theta} \frac{d}{d\theta} \left( \sin \theta \frac{d\Theta}{d\theta} \right) + \frac{\Theta(\theta)}{\sin^2 \theta} \frac{d^2 \Phi(\varphi)}{d\varphi^2} + n(n+1) \Theta(\theta) \Phi(\varphi) = 0 \quad (138.12)$$

وابستگی سمتی-تعامد

معادله سمتی تفکیک شده به صورت زیر است

$$\frac{1}{\Phi(\varphi)} \frac{d^2 \Phi(\varphi)}{d\varphi^2} = -m^2 \quad (139.12)$$

۱. یک جواب سری معادله لژاندر، به ازای ثابت جداسازی  $n(n+1)$  که  $n$  عدد درست است، به صورت یک چندجمله‌ای درمی‌آید. در غیر این صورت هر دو جواب سری واگرا می‌شوند (مسئله ۵.۵.۸).

با جوابهای

$$\Phi(\varphi) = e^{-im\varphi}, e^{im\varphi} \quad (۱۴۰.۱۲)$$

که آشکارا در شرط تعامد زیر صدق می کنند

$$\int_0^{2\pi} e^{-im_1\varphi} e^{im_2\varphi} d\varphi = 2\pi \delta_{m_1, m_2} \quad (۱۴۱.۱۲)$$

یادآوری می شود که از حاصل ضرب  $\Phi_{m_1}^*(\varphi)\Phi_{m_2}(\varphi)$  بهره گرفته ایم که در آن ستاره (\*) برای مشخص کردن تابع همیوگ مختلط به کار رفته است. این گزینه اجباری نیست، ولی برای محاسبات کوانتوم مکانیکی مناسبتر است. می توانستیم داشته باشیم

$$\Phi = \sin m\varphi, \cos m\varphi \quad (۱۴۲.۱۲)$$

و شرایط تعامد را به کار بریم که پایه سری فوریه (فصل ۱۴ را ببینید) را تشکیل می دهند. در کاردهایی نظیر توصیف میدان گرانشی یا مغناطیسی زمین، گزینه های مرجع عبارت اند از:  $\sin m\varphi$  و  $\cos m\varphi$  (مثال ۱۰۶.۱۲).

در الکتروستاتیک و در بسیاری از مسائل فیزیکی دیگر، برای آنکه  $\Phi(\varphi)$  تابع تک مقداری از زاویه سمتی باشد،  $m$  باید عددی درست باشد. این مسئله در حوزه مکانیک کوانتومی بسیار پیچیده تر است، زیرا کمیت مشاهده پذیری که باید تک مقدار باشد، عبارت است از مربع بزرگی تابع موج، یعنی  $\Phi^*\Phi$ . در هر حال می توان نشان داد که باز هم  $m$  باید عدد درستی باشد. با پانوشت بخش ۳.۸ مقایسه کنید.

تابع

$$\Phi_m = \frac{1}{\sqrt{2\pi}} e^{im\varphi} \quad (۱۴۳.۱۲)$$

به اعتبار معادله (۱۴۱.۱۲)، نسبت به انتگرال گیری روی زاویه سمتی  $\varphi$ ، تعامد بهنجار است.

### وابستگی زاویه قطبی

با جدا کردن وابستگی سمتی، وابستگی زاویه قطبی  $(\theta)$ ، به معادله وابسته لژاندر (۸۰.۱۲) منجر می شود که توابع وابسته لژاندر در آن صدق می کنند؛ یعنی  $\Theta(\theta) = P_n^m(\cos \theta)$ . برای آنکه مقادیر منفی  $m$  را نیز منظور کرده باشیم، در تعریف  $P_n^m(\cos \theta)$ ، از فرمول در دیگر در معادله (۶۵.۱۲) بهره می گیریم. در نتیجه

$$P_n^m(\cos \theta) = \frac{1}{2^n n!} (1-x^2)^{m/2} \frac{d^{m+n}}{dx^{m+n}} (x^2-1)^n, \quad -n \leq m \leq n \quad (۱۴۴.۱۲)$$

$P_n^m(\cos \theta)$  و  $P_n^{-m}(\cos \theta)$  به صورتی که در مسئله ۱.۵.۱۲ مشخص شده به هم مربوط

می‌شوند. مزیت این رهیافت در مقایسه با اینکه  $P_n^m(\cos \theta)$  را صرفاً به ازای  $0 \leq m \leq n$  تعریف و قرارداد کنیم که  $P_n^{-m} = P_n^m$ ، این است که روابطی بازگشتی که به ازای  $0 \leq m \leq n$  صادق‌اند، به ازای  $-n \leq m \leq 0$  نیز برقرار خواهند بود. اگر تابع وابسته لژاندر را به کمک معادله (۱۵۳.۱۲) بهنجار کنیم، تابع متعامد زیر را به دست می‌آوریم

$$P_n^m(\cos \theta) = \sqrt{\frac{2n+1}{2} \frac{(n-m)!}{(n+m)!}} P_n^m(\cos \theta), \quad -n \leq m \leq n \quad (145.12)$$

### هماهنگهای کروی

تابع  $\Phi_m(\varphi)$  [معادله (۱۴۳.۱۲)] نسبت به زاویه سمتی  $\varphi$  متعامد بهنجار است، در حالی که تابع  $Y_n^m(\cos \theta)$  [معادله (۱۴۵.۱۲)] نسبت به زاویه قطبی  $\theta$  متعامد بهنجار است. حاصلضرب این دو را در نظر می‌گیریم و تابع زیر را تعریف می‌کنیم

$$Y_n^m(\theta, \varphi) \equiv (-1)^m \sqrt{\frac{2n+1}{4\pi} \frac{(n-m)!}{(n+m)!}} P_n^m(\cos \theta) e^{im\varphi} \quad (146.12)$$

به این ترتیب توابعی از دو زاویه (با دوشاخص پایین) به دست آورده‌ایم که روی سطح کروی، متعامد بهنجارند. این کمیتهای  $Y_n^m(\theta, \varphi)$  هماهنگهای کروی به شمار می‌آیند. انتگرال تعامد کامل به صورت زیر درمی‌آید

$$\int_{\varphi=0}^{2\pi} \int_{\theta=0}^{\pi} Y_{n_1}^{m_1}(\theta, \varphi) Y_{n_2}^{m_2}(\theta, \varphi) \sin \theta \, d\theta \, d\varphi = \delta_{n_1, n_2} \delta_{m_1, m_2} \quad (147.12)$$

به جاست که دربارهٔ کمیت اضافی  $(-1)^m$  که در معادله  $Y_n^m(\theta, \varphi)$  آمده است، توضیحی بدهیم. از آنجا که معادله (۱۳۷.۱۲) خطی و همگن است، روشن است که افزودن این ضریب کاملاً مجاز خواهد بود. وجود این ضریب ضروری نیست، ولی در بعضی از محاسبات کوانتوم مکانیکی، به ویژه در نظریهٔ کوانتومی تکانهٔ زاویه‌ای (بخش ۷.۱۲)، کاملاً مناسب است. عامل  $(-1)^m$  یک ضریب فاز است، که آن را غالباً به احترام کوندون و شورتلی (مؤلفان یک کتاب درسی دربارهٔ طیف‌نمایی اتمی)، ضریب فاز کوندون-شورتلی می‌نامند. اثر این  $(-1)^m$  در معادله (۱۴۶.۱۲) و  $(-1)^m$  در معادله (۸۱.۱۲ الف) برای  $P_n^{-m}(\cos \theta)$ ، این است که یک تغییر تناوبی در علامت هماهنگهای کروی با  $m$  مثبت وارد می‌کند. این مطلب در جدول ۴.۱۲ نشان داده شده است.

$$Y_0^0(\theta, \varphi) = \frac{1}{\sqrt{4\pi}}$$

$$Y_1^{-1}(\theta, \varphi) = -\sqrt{\frac{3}{8\pi}} \sin \theta e^{i\varphi}$$

$$Y_1^0(\theta, \varphi) = \sqrt{\frac{3}{4\pi}} \cos \theta$$

$$Y_1^1(\theta, \varphi) = +\sqrt{\frac{3}{8\pi}} \sin \theta e^{-i\varphi}$$

$$Y_2^{-2}(\theta, \varphi) = \sqrt{\frac{5}{96\pi}} r \sin^2 \theta e^{2i\varphi}$$

$$Y_2^{-1}(\theta, \varphi) = -\sqrt{\frac{5}{24\pi}} r \sin \theta \cos \theta e^{i\varphi}$$

$$Y_2^0(\theta, \varphi) = \sqrt{\frac{5}{4\pi}} \left( \frac{3}{2} \cos^2 \theta - \frac{1}{2} \right)$$

$$Y_2^1(\theta, \varphi) = +\sqrt{\frac{5}{24\pi}} r \sin \theta \cos \theta e^{-i\varphi}$$

$$Y_2^2(\theta, \varphi) = \sqrt{\frac{5}{96\pi}} r \sin^2 \theta e^{-2i\varphi}$$

نام "هماهنگهای کروی" را به این دلیل روی توابع  $Y_n^m(\theta, \varphi)$  نهاده اند که اولاً این توابع روی سطح یک کره تعریف می‌شوند که در آن  $\theta$  زاویه قطبی و  $\varphi$  زاویه سمتی است. واژه "هماهنگ" به این علت به کار می‌رود که جوابهای معادله لاپلاس را توابع هماهنگ می‌نامند و  $Y_n^m(\theta, \varphi)$  جزء زاویه‌ای چنین جوابی است.

معادله (۱۳۸.۱۲) در چارچوب مکانیک کوانتومی، به یک معادله تکانه زاویه‌ای مداری تبدیل می‌شود و جواب  $Y_L^M(\theta, \varphi)$  (به جای  $n$  و  $M$  به جای  $m$  نشسته است) یک ویژه تابع تکانه زاویه‌ای است؛  $L$  عدد کوانتومی تکانه زاویه‌ای و  $M$  تصویر  $L$  در راستای  $z$  است. این روابط به طور مشروح در بخش ۷.۱۲ توضیح داده شده‌اند.

سری لاپلاس، قضیه اساسی بسط

اهمیت هماهنگهای کروی، تا حدودی به خاصیت تمامیت آنها، که یکی از پیامدهای شکل اشتورم-لیوویلی معادله لاپلاس است، مربوط می‌شود. در این مورد، مفهوم این خاصیت آن است که هر تابع  $f(\theta, \varphi)$  (با خاصیت‌های پیوستگی کافی) را که روی سطح کره محاسبه شده باشد، می‌توان در یک سری دوگانه از هماهنگهای کروی که به‌طور یکتا شناخته می‌شوند، بسط داد (سری لاپلاس).<sup>۱</sup>

$$f(\theta, \varphi) = \sum_{m,n} a_{mn} Y_n^m(\theta, \varphi) \quad (148.12)$$

اگر  $f(\theta, \varphi)$  معلوم باشد، ضرایب را می‌توان بی‌درنگ با بهره‌گیری از انتگرال تعامد پیدا کرد. در چارچوب نظریه فضاها برداری خطی، تمامیت هماهنگهای کروی از قضیه وایرشر اوس نتیجه می‌شود.

مثال ۱۰۶.۱۲ سری لاپلاس-میدانهای گرانی

میدانهای گرانی زمین، ماه، و مریخ به کمک یک سری لاپلاس با ویژه‌تابعهای حقیقی به‌صورت زیر توصیف شده‌است

$$U(r, \theta, \varphi) = \frac{GM}{R} \left[ \frac{R}{r} - \sum_{n=2}^{\infty} \sum_{m=0}^n \left(\frac{R}{r}\right)^{n+1} \left\{ C_{nm} Y_{nm}^c(\theta, \varphi) + S_{nm} Y_{nm}^s(\theta, \varphi) \right\} \right] \quad (148.12 \text{ الف})$$

$M$  در اینجا جرم جسم و  $R$  شعاع استوایی است. توابع حقیقی  $Y_{mn}^c$  و  $Y_{mn}^s$  بنا بر تعریف عبارت‌اند از

$$Y_{mn}^c(\theta, \varphi) = P_n^m(\cos \theta) \cos m\varphi$$

$$Y_{mn}^s(\theta, \varphi) = P_n^m(\cos \theta) \sin m\varphi$$

در این نوع کاربردها، صورت‌های مثلثاتی حقیقی  $Y_L^M(\theta, \varphi)$  به صورت‌های نمایی با نمای موهومی ترجیح داده می‌شوند. مقادیر عددی حاصل از اندازه‌گیریهای ماهواره‌ای در جدول ۵.۱۲ آمده‌اند.

۱. برای اثبات این قضیه اساسی به فصل هفتم کتابی با مشخصات زیر مراجعه کنید

*The Theory of Spherical and Ellipsoidal Harmonics*, E. W. Hobson, New York: Chelsea (1955).

اگر  $f(\theta, \varphi)$  ناپیوسته باشد، باز هم ممکن است همگرایی در میانگین داشته باشیم (بخش ۴.۹).



جدول ۵.۱۲ ضرایب میدان گرانی، معادله (۱۴۸.۱۲ الف).

زمین	ماه	مریخ
$C_{20}$	$(1083 \times 10^{-3})$	$(0.200 \pm 0.002) \times 10^{-2}$
$C_{22}$	$(0.16 \times 10^{-5})$	$(-5 \pm 1) \times 10^{-5}$
$S_{22}$	$(-0.09 \times 10^{-5})$	$(3 \pm 1) \times 10^{-5}$

$C_{20}$  نمایانگر يك برجستگی استوایی است، در حالی که  $C_{22}$  و  $S_{22}$  وابستگی سمتی میدان گرانشی را نمایش می‌دهند.

### مسائل

۱۰۶.۱۲ نشان دهید که پارینته  $Y_L^M(\theta, \varphi)$  برابر  $(-1)^L$  است. به عدم حضور هر نوع وابستگی به  $M$  توجه کنید.

دانهمایی. برای عملکرد پارینته درمختصات قطبی کروی به بخش ۵.۲، جلد اول، و پانوشتی در بخش ۲.۱۲ رجوع کنید.

۲۰۶.۱۲ ثابت کنید که

$$Y_L^M(0, \varphi) = \left(\frac{2L+1}{4\pi}\right)^{1/2} \delta_{M0}$$

۳۰۶.۱۲ در نظریهٔ برانگیزش کولنی هسته با  $Y_L^M(\pi/2, 0)$  روبه‌رو می‌شویم. نشان دهید که

$$Y_L^M\left(\frac{\pi}{2}, 0\right) = \begin{cases} \left(\frac{2L+1}{4\pi}\right)^{1/2} \frac{[(L-M)!(L+M)!]^{1/2}}{(L-M)!!(L+M)!!} (-1)^{(L+M)/2} & \text{به‌ازای } L+M \text{ زوج} \\ 0 & \text{به‌ازای } L+M \text{ فرد} \end{cases}$$

در اینجا

$$(2n)!! = 2n(2n-2) \dots \times 6 \times 4 \times 2$$

$$(2n+1)!! = (2n+1)(2n-1) \dots \times 5 \times 3 \times 1$$

۴۰۶.۱۲ الف) عناصر  $x_i x_j$  تانسور گشتاور چارقطبی را به‌صورت ترکیبی خطی از هماهنگهای کروی  $Y_L^M$  (و  $Y^0$ ) مشخص کنید.

یادآوری. تانسور  $x_i x_j$  تحویل‌پذیر است.  $Y^0$  وجود يك مؤلفهٔ اسکالر را نشان می‌دهد.

(ب) تانسور گشتاور چارقطبی معمولاً بنا بر تعریف عبارت است از

$$Q_{ij} = \int (r^2 x_i x_j - r^2 \delta_{ij}) \rho(\mathbf{r}) d\tau$$

که در آن  $\rho(\mathbf{r})$  چگالی بار است. مؤلفه‌های  $(r^2 x_i x_j - r^2 \delta_{ij})$  را بر حسب  $r^2 Y_l^m$  مشخص کنید.

(ج) معنای جمله  $r^2 \delta_{ij} -$  چیست؟  
 راهنمایی. با بخش ۴.۳ (جلد اول) مقایسه کنید.

۵.۶.۱۲ توابع سمتی متعامد، نمایش مفیدی برای تابع دلتای دیراک ارائه می‌کنند. نشان دهید که

$$\delta(\varphi_1 - \varphi_2) = \frac{1}{2\pi} \sum_{m=-\infty}^{\infty} \exp[im(\varphi_1 - \varphi_2)]$$

۶.۶.۱۲ رابطه بستاری هماهنگهای کروی

$$\sum_{l=0}^{\infty} \sum_{m=-l}^{+l} Y_l^m(\theta_1, \varphi_1) Y_l^{m*}(\theta_2, \varphi_2) = \frac{1}{\sin \theta_1} \delta(\theta_1 - \theta_2) \delta(\varphi_1 - \varphi_2) \\ = \delta(\cos \theta_1 - \cos \theta_2) \delta(\varphi_1 - \varphi_2)$$

را استخراج کنید.

۷.۶.۱۲ در مکانیک کوانتومی، عملگرهای تکانه زاویه‌ای  $L_x \pm iL_y$  از روابط زیر به دست می‌آیند

$$L_x + iL_y = e^{i\varphi} \left( \frac{\partial}{\partial \theta} + i \cot \theta \frac{\partial}{\partial \varphi} \right)$$

$$L_x - iL_y = -e^{-i\varphi} \left( \frac{\partial}{\partial \theta} - i \cot \theta \frac{\partial}{\partial \varphi} \right)$$

نشان دهید

(الف)

$$(L_x + iL_y) Y_L^M(\theta, \varphi) = +\sqrt{(L-M)(L+M+1)} Y_L^{M+1}(\theta, \varphi)$$

(ب)

$$(L_x - iL_y) Y_L^M(\theta, \varphi) = +\sqrt{(L+M)(L-M+1)} Y_L^{M-1}(\theta, \varphi)$$

۸.۶.۱۲ با در نظر گرفتن  $L_{\pm}$  به صورت زیر

$$L_{\pm} = L_x \pm iL_y = \pm e^{\pm i\varphi} \left[ \frac{\partial}{\partial \theta} \pm i \cot \theta \frac{\partial}{\partial \varphi} \right]$$

نشان دهید

$$Y_l^m = \sqrt{\frac{(l+m)!}{(2l)!(l-m)!}} (L_-)^{l-m} Y_l^l \quad (\text{الف})$$

$$Y_l^m = \sqrt{\frac{(l-m)!}{(2l)!(l+m)!}} (L_+)^{l+m} Y_l^{-l} \quad (\text{ب})$$

۹۰۶۰۱۴ در برخی شرایط بهتر است که به جای عبارت نمایی بانمای موهومی در هماهنگ کروی، سینوس یا کسینوس به کار ببریم. مورش و فشاخ توابع زیر را تعریف می کنند

$$Y_{mn}^c = P_n^m(\cos \theta) \cos m\varphi$$

$$Y_{mn}^s = P_n^m(\cos \theta) \sin m\varphi$$

که در آن

$$\int_0^{2\pi} \int_0^{\pi} [Y_{mn}^c(\theta, \varphi)]^2 \sin \theta \, d\theta \, d\varphi = \begin{cases} \frac{1}{2} \frac{\pi}{(2n+1)} \frac{(n+m)!}{(n-m)!}, & n=1, 2, 3, \dots \\ \frac{1}{2} \pi, & n=0 \end{cases} \quad (Y_{00}^c \text{ وجود ندارد})$$

این هماهنگهای کروی را غالباً بر حسب نقش نواحی مثبت و منفی آنها بر روی سطح یک کره، نامگذاری می کنند: به ازای  $m=0$ ، هماهنگهای منطقه‌ای، به ازای  $m=n$ ، هماهنگهای قطاعی، و به ازای  $0 < m < n$ ، هماهنگهای مقطعی. در مورد  $Y_{mn}^c$ ،  $n=4$  و  $m=0, 2, 4$ ؛ نواحی را که در آنها هماهنگ کروی مثبت است، بر روی نمودار یک نیمکره نشان دهید (برای هر هماهنگ کروی نمودار جداگانه‌ای رسم کنید).

۱۰۶۰۱۴ تابع  $f(r, \theta, \varphi)$  را می توان به صورت سری لاپلاس، به قرار زیر نمایش داد

$$f(r, \theta, \varphi) = \sum_{l,m} a_{lm} r^l Y_l^m(\theta, \varphi)$$

میانگین روی یک کره را (که مرکز در مبدأ است) با نماد  $\langle \rangle$  بنمایانید و نشان دهید

$$\langle f(r, \theta, \varphi) \rangle_{\text{کره}} = f(0, 0, 0)$$

## ۷.۱۲ تکانه زاویه‌ای و عملگرهای نوردبانی

تکانه زاویه‌ای مداری

در بخش ۴.۱، برای معرفی ضرب خارجی، با مفهوم کلاسیکی تکانه زاویه‌ای  $\mathbf{L} = \mathbf{r} \times \mathbf{p}$  آشنا شدیم. به پیروی از نمایش متداول مکانیک کوانتومی شرودینگر به جای تکانه جلی کلاسیکی  $\mathbf{p}$ ، عملگر  $-i\nabla$  را می‌نشانیم. عملگر کوانتوم مکانیکی تکانه زاویه‌ای چنین می‌شود<sup>۱</sup>

$$L_{QM} = -i\mathbf{r} \times \nabla \quad (149.12)$$

از این رابطه، در بخشهای ۸.۱، ۹.۱، و ۴.۲، بارها برای نمایش عملگرهای دیفرانسیلی برداری بهره برده‌ایم. به اتکای مسئله ۶.۸.۱ می‌دانیم که مؤلفه‌های تکانه زاویه‌ای در رابطه جابه‌جایی زیر صدق می‌کنند

$$[L_i, L_j] = i\varepsilon_{ijk}L_k \quad (150.12)$$

$\varepsilon_{ijk}$ ، نماد لوی-چیویتای مذکور در بخش ۴.۳ است. در این رابطه یک مجموعیایی روی  $k$  به عمل آمده است.

با توجه به مسائل ۱۲.۵.۲ و ۱۳.۵.۲، بی‌می‌بریم که در مختصات قطبی کروی داریم

$$L_z = -i\frac{\partial}{\partial\varphi} \quad (151.12)$$

از این رو

$$L_z Y_L^M(\theta, \varphi) = M Y_L^M(\theta, \varphi) \quad (152.12)$$

عملگر دیفرانسیلی متناظر با مجذور تکانه زاویه‌ای را به این قرار

$$L^2 = \mathbf{L} \cdot \mathbf{L} = L_x^2 + L_y^2 + L_z^2 \quad (153.12)$$

می‌توان از رابطه زیر به دست آورد

$$\mathbf{L} \cdot \mathbf{L} = -(\mathbf{r} \times \nabla) \cdot (\mathbf{r} \times \nabla) \quad (154.12)$$

این کار مبحث مسائل ۹.۹.۱ و ۱۷.۵.۲ (ب) را تشکیل می‌دهد. از این مسائل بی‌می‌بریم که  $\mathbf{L} \cdot \mathbf{L}$  به صورت زیر روی یک هماهنگ‌کروی عمل می‌کند<sup>۲</sup>

۱. برای سادگی،  $\hbar$  را حذف کرده‌ایم. یعنی، تکانه زاویه‌ای بر حسب واحد  $\hbar$  اندازه گرفته می‌شود.  
 ۲. علاوه بر این معادلات ویژه مقدراری، در بخشهای ۱۰.۴ و ۱۲.۴ نیز رابطه  $\mathbf{L}$  با چرخش دستگاره‌های مختصات و چرخش توابع بررسی شده است.

$$L.LY_L^M(\theta, \varphi) = -\left\{ \frac{1}{\sin\theta} \frac{\partial}{\partial\theta} \left( \sin\theta \frac{\partial}{\partial\theta} \right) + \frac{1}{\sin^2\theta} \frac{\partial^2}{\partial\varphi^2} \right\} Y_L^M(\theta, \varphi) \quad (155.12)$$

یا

$$L.LY_L^M(\theta, \varphi) = L(L+1)Y_L^M(\theta, \varphi) \quad (156.12)$$

این همان مسئله ۱۰۳.۸ است.

معادله (۱۵۵.۱۲) روابط جابه‌جایی اصلی مؤلفه‌های تکانه زاویه‌ای کوانتوم مکانیکی را به دست می‌دهد. در چارچوب مکانیک کوانتومی، عملگر تکانه زاویه‌ای در واقع با این روابط جابه‌جایی تعریف می‌شود. از معادله (۱۵۲.۱۲) روشن می‌شود که هماهنگی کروی  $Y_L^M(\theta, \varphi)$  یک ویژه تابع  $L_z$  با ویژه مقدار  $M$  به شمار می‌آید. سرانجام، از معادله (۱۵۶.۱۲) پیداست که  $Y_L^M(\theta, \varphi)$  ویژه تابع  $L^2$  نیز هست و ویژه مقدار متناظرش عبارت است از  $L(L+1)$ .

### رهیافت عملگری کلی

بررسی ما تا اینجا، جدا از جایگزینی  $-i\mathbf{\nabla}$  به جای  $\mathbf{p}$ ، در چارچوب ریاضیات کلاسیکی صورت گرفته است. اکنون بررسی خود را، به شیوه نوعیتری در کوانتوم مکانیکی، از سر می‌گیریم.

۱. عملگر هرمیتی  $\mathbf{J}$  را در نظر می‌گیریم که مؤلفه‌های جابه‌جایی زیر صدق می‌کنند

$$[J_i, J_j] = i\varepsilon_{ijk} J_k \quad (157.12)$$

$\mathbf{J}$  از هر نظر دیگر اختیاری است.

۲. فرض می‌کنیم که  $\psi_{JM}$ ، به طور همزمان، ویژه تابع (یا ویژه بردار) بهنجار  $J_z$  با ویژه مقدار  $M$  و ویژه تابع  $J^2$  با ویژه مقدار  $J(J+1)$  باشد<sup>۱</sup>

$$J_z \psi_{JM} = M \psi_{JM} \quad (158.12)$$

$$J^2 \psi_{JM} = J(J+1) \psi_{JM} \quad (159.12)$$

$\psi_{JM}$  از هر نظر دیگر نامعلوم فرض می‌شود.

ابتدا این نکته را بررسی می‌کنیم که به چه نتیجه‌گیری کلی می‌توانیم برسیم. سپس عملگرهای عام  $J_x$ ،  $J_y$ ، و  $J_z$  را به عملگرهای تکانه زاویه‌ای همداری  $L_x$ ،  $L_y$ ، و  $L_z$  تبدیل می‌کنیم. در این صورت  $\psi_{JM}$  به تابعی از زاویه‌های مختصات قطبی کروی،  $\theta$  و  $\varphi$  تبدیل خواهد

۱. اینکه  $\psi_{JM}$  ویژه تابع هر دو عملگر  $J_z$  و  $J^2$  است، یکی از پیامدهای رابطه  $[J_z, J^2] = 0$  محسوب می‌شود.

شد. شکل آنرا، بر حسب چند جمله ایهای لژاندر و عملگرهای دیفرانسیلی، استخراج خواهیم کرد و نشان خواهیم داد که  $\psi_{JM}$  با هماهنگی کروی  $Y_J^M(\theta, \varphi)$  متحد است. این فرایند، عمومیت و توانایی شگردهای عملگری و به ویژه استفاده از عملگرهای نردبانی را به نمایش می گذارد. همچنین بنای ضریب فاز کوندون-شورتلی، یعنی کمیت  $(-1)^M$  که با هماهنگیهای کروی دارای  $M$  مثبت همراه می شود، روشن خواهد شد.

عملگرهای نردبانی بنا بر تعریف عبارت اند از

$$J_+ = J_x + iJ_y \quad (160.12)$$

$$J_- = J_x - iJ_y$$

$J^2$  را می توان بر حسب این عملگرها به صورت زیر بازنویسی کرد

$$J^2 = \frac{1}{2}(J_+J_- + J_-J_+) + J_z^2 \quad (161.12)$$

با استفاده از روابط بازگشتی، معادله (157.12)، خواهیم داشت

$$[J_z, J_+] = +J_+, \quad [J_z, J_-] = -J_-, \quad [J_+, J_-] = 2J_z \quad (162.12)$$

از آنجا که  $J_+$  با  $J^2$  جابه جا می شود (مسئله 107.12)، داریم

$$J^2(J_+\psi_{JM}) = J_+(J^2\psi_{JM}) = J(J+1)(J_+\psi_{JM}) \quad (163.12)$$

از این رو  $J_+\psi_{JM}$  هم يك ویژه تابع  $J^2$  با ویژه مقدار  $J(J+1)$  است. برای  $J_-\psi_{JM}$  نیز به همین ترتیب است. ولی از معادله (162.12) داریم

$$J_zJ_+ = J_+(J_z+1) \quad (164.12)$$

یا

$$J_z(J_+\psi_{JM}) = J_+(J_z+1)\psi_{JM} = (M+1)(J_+\psi_{JM}) \quad (165.12)$$

بنابراین  $J_+\psi_{JM}$  هنوز هم یکی از ویژه تابعهای  $J_z$  است ولی در اینجا با ویژه مقدار  $M+1$ .  $J_+$  ویژه مقدار را به اندازه يك افزایش داده است، از این رو آن را غالباً يك عملگر فزاینده می نامند. به همین ترتیب  $J_-$  ویژه مقدار را به اندازه يك کاهش می دهد و آن را غالباً عملگر کاهنده می نامند.

$\psi_{JM}$  نسبت به چرخشهای  $(J^2, J_z, J_+, J_-)$ ، يك زیر فضای ناوردای تحویل ناپذیر

۱. عملگرهای نردبانی را به سایر توابع ریاضی نیز می توان تعمیم داد. با بخش 1.13 درباره چند جمله ایهای هرمیت مقایسه کنید.

تشکیل می‌دهد؛  $M$  تغییر می‌کند و  $J$  ثابت است. در بخش ۱۰.۴، این ویژگی به صورت گروه چرخشی که روی هماهنگهای کروی  $Y_l^m$  عمل می‌کند، جلوه می‌کند؛  $m$  تغییر می‌کند و  $l$  ثابت می‌ماند.

اینک بینیم اینکه ابتدا  $J_+$  و سپس  $J_-$  روی  $\psi_{JM}$  عمل کنند چه تأثیری دارد؟ پاسخ این پرسش با مشخص کردن  $J_- J_+$  (و  $J_+ J_-$ ) بر حسب  $J^2$  و  $J_z$  به دست می‌آید؛ با عنایت به معادلات (۱۵۷.۱۲) و (۱۶۱.۱۲)، داریم

$$J_- J_+ = J^2 - J_z(J_z + 1) \quad (166.12)$$

$$J_+ J_- = J^2 - J_z(J_z - 1)$$

آنگاه با استفاده از معادلات (۱۵۸.۱۲)، (۱۵۹.۱۲) و (۱۶۶.۱۲)، داریم

$$J_- J_+ \psi_{JM} = [J(J+1) - M(M+1)] \psi_{JM} = (J-M)(J+M+1) \psi_{JM} \quad (167.12)$$

$$J_+ J_- \psi_{JM} = [J(J+1) - M(M-1)] \psi_{JM} = (J+M)(J-M+1) \psi_{JM}$$

حال در  $\psi_{JM}^*$  ضرب کنید و (روی تمام زوایای مربوط به هماهنگهای کروی) انتگرال بگیرید. فرض شده است که  $\psi_{JM}$  بهنجار باشد، لذا

$$\int \psi_{JM}^* J_- J_+ \psi_{JM} d\tau = (J-M)(J+M+1) \geq 0 \quad (168.12)$$

$$\int \psi_{JM}^* J_+ J_- \psi_{JM} d\tau = (J+M)(J-M+1) \geq 0$$

جزء  $\geq 0$  را باید توجیه کرد.  $J_+$  و  $J_-$  به زبان مکانیک کوانتومی همیوگ هرمیتی یکدیگر نند

$$J_+^\dagger = J_-, \quad J_-^\dagger = J_+ \quad (169.12)$$

به نمونه‌هایی از این عملگرها از طریق ماتریسهای مسائل ۱۳.۲.۴ (اسپین ۱/۲)، ۱۵.۲.۴ (اسپین ۱)، و ۱۸.۲.۴ (اسپین ۳/۲) دست می‌یابیم. بنا بر این

$$J_- J_+ = J_+^\dagger J_+, \quad J_+ J_- = J_-^\dagger J_- \quad (170.12)$$

و مقادیر انتظاری، معادله (۱۶۸.۱۲)، باید مثبت یا صفر باشند.<sup>۲</sup> شکل صریح عملگرهای

۱. عمل محاسبه همیوگ هرمیتی یا الحاقی برای ماتریسها در بخش ۵.۴، و برای عملگرها به طور کلی در بخش ۱.۹ تعریف شده است.

۲. بحث جامعی درباره عملگرهای الحاقی و فضای هیلبرت در فصل ۷ کتابی با مشخصات زیر آمده است:

نردبانی تکانه زاویه‌ای مداری،  $L_+$  و  $L_-$ ، در مسائل ۱۴۰۵۰۲ و ۷۰۶۰۱۲ ارائه شده است. خواننده می‌تواند نشان دهد که (مسئله ۲۰۷۰۱۲)

$$\int Y_L^{M*} L_- (L_+ Y_L^M) d\Omega = \int (L_+ Y_L^M)^* (L_+ Y_L^M) d\Omega \quad (171.12)$$

این نوعی انتگرال‌گیری جزء به جزء است (که در آن علامت منفی اضافی در  $L_-$  توسط علامت منفی موجود در فرمول انتگرال‌گیری جزء به جزء حذف می‌شود). در واقع این تساوی را می‌توان با محاسبه هر دو طرف معادله (۱۷۱.۱۲) و به کمک مسئله ۷۰۶۰۱۲ به آسانی اثبات کرد.

از سمت راست معادله (۱۷۱.۱۲) روشن می‌شود که نامساوی  $\geq 0$  در معادله (۱۶۸.۱۲) درست است. حال که  $\geq 0$  توجیه شد،  $M$  باید به گستره  $-J \leq M \leq J$  محدود باشد.

از آنجا که  $J_+$  ویژه مقدار  $M$  رابه  $M+1$  افزایش می‌دهد، ویژه تابع حاصل را با  $\psi_{J,M+1}$  مشخص می‌کنیم. ضریب بهنجارش به کمک معادله (۱۶۸.۱۲) به صورت زیر به دست می‌آید

$$J_+ \psi_{JM} = \sqrt{(J-M)(J+M+1)} \psi_{J,M+1} \quad (172.12)$$

که در آن ریشه دوم مثبت را در نظر گرفته‌ایم و هیچ ضریب فازی به معادله وارد نشده است. با همین استدلال داریم

$$J_- \psi_{JM} = \sqrt{(J+M)(J-M+1)} \psi_{J,M-1} \quad (173.12)$$

هم  $\psi_{J,M+1}$  و هم  $\psi_{J,M-1}$  بهنجارشده به واحد باقی می‌مانند. محاسبه صریح این نتایج با استفاده از عملگرهای نردبانی معلوم و هماهنگهای کروی معلوم) موضوع مسئله ۷۰۶۰۱۲ را تشکیل می‌دهد. در معادلات (۱۷۲.۱۲) و (۱۷۳.۱۲) ریشه دوم مثبت منظور شده است. لذا فازنسبی  $\psi_{J,M+1}$  و  $\psi_{JM}$  به کمک عملگرهای نردبانی تعیین می‌شوند. به کار بردن پی‌درپی  $J_+$  به نتیجه زیر منجر می‌شود

$$(J_+)^n \psi_{JM} = C_{JMn} \psi_{J,M+n} \quad (174.12)$$

این عمل باید در  $M' = M + n = J$  متوقف شود، در غیر این صورت به یک  $M'$  بزرگتر از  $J$  خواهیم رسید و با نتیجه حاصل از معادله (۱۶۸.۱۲)، یعنی  $M \leq J$ ، تناقض پیدا خواهد شد. به عبارت دیگر، می‌توان گفت که  $M_{\max}$  هر چه باشد، از آنجا که  $J_+ \psi_{JM_{\max}} = 0$ ، سمت چپ معادله (۱۷۲.۱۲) صفر است، و بنابراین سمت راست صفر خواهد بود. از اینجا می‌رسیم به  $M_{\max} = J$ . به همین ترتیب، عبارت



$$(J_-)^n \psi_{JM} = D_{JMn} \psi_{J, M-n} \quad (175.12)$$

باید به  $M'' = M - n = -J$  ختم شود. اولاً، از اینجا نتیجه می‌گیریم

$$J_+ \psi_{J, J} = 0, \quad J_- \psi_{J, -J} = 0 \quad (176.12)$$

ثانیاً، با توجه به اینکه  $M$  از  $+J$  تا  $-J$  با گامهای واحد تغییر می‌کند،  $2J$  باید یک عدد درست باشد. پس  $J$  یا یک عدد درست است و یا یک عدد نیم درست فرد. به طوری که بعداً خواهیم دید، تکانه زاویه‌ای مداری توسط اعداد درست  $J$  توصیف می‌شود. ولی برای اسپین بعضی از ذرات بنیادی یا بعضی از هسته‌ها، داریم  $J = 1/2, 3/2, 5/2, \dots$ . تکانه زاویه‌ای ما، اساساً به عنوان نتیجه‌ای از روابط جابه‌جایی، کوانتیده است.

عملگرهای تکانه زاویه‌ای مداری

حال به عملگرهای ویژه تکانه زاویه‌ای مداری  $L_x, L_y, L_z$  بازمی‌گردیم. معادله (158.12) به صورت زیر درمی‌آید

$$L_z \psi_{LM}(\theta, \varphi) = M \psi_{LM}(\theta, \varphi)$$

شکل دقیق  $L_x$  نشان می‌دهد که  $\psi_{LM}(\theta, \varphi)$  دارای یک وابستگی به  $\varphi$  به صورت  $e^{iM\varphi}$  است که برای آنکه  $\psi_{LM}$  تک‌مقدار بماند،  $M$  باید عددی درست باشد. و اگر  $M$  عدد درست است،  $L$  هم باید عدد درست باشد.

تعیین وابستگی  $\psi_{LM}(\theta, \varphi)$  به  $\theta$  را در دو مرحله انجام می‌دهیم: (۱)  $\psi_{LL}(\theta, \varphi)$  را تعیین می‌کنیم، و (۲)  $\psi_{LM}(\theta, \varphi)$  را بر حسب  $\psi_{LL}(\theta, \varphi)$  با فازی که به وسیله  $\psi_{L0}$  ثابت شده، ایجاد می‌کنیم. قرار دهید

$$\psi_{LM}(\theta, \varphi) = \Theta_{LM}(\theta) e^{iM\varphi} \quad (177.12)$$

از معادله (176.12)، با استفاده از  $L_+$  به شکلی که در مسائل ۱۴.۵۰۲ و ۷.۶.۱۲ آمده است، داریم

$$e^{i(L+1)\varphi} \left[ \frac{d}{d\theta} - L \cot \theta \right] \Theta_{LL}(\theta) = 0 \quad (178.12)$$

و

$$\psi_{LL}(\theta, \varphi) = c_L \sin^L \theta e^{iL\varphi} \quad (179.12)$$

از طریق بهنجارش، خواهیم داشت

$$c_L^* c_L \int_0^{2\pi} \int_0^\pi \sin^{2L+1} \theta d\theta d\varphi = 1 \quad (180.12)$$

انتگرال  $\theta$  را می‌توان به صورت یک تابع بنا محاسبه کرد (مسئله ۹.۴.۱۵)، و

$$|c_L| = \sqrt{\frac{(\frac{1}{2}L+1)!!}{4\pi(\frac{1}{2}L)!!}} = \frac{V(\frac{1}{2}L)!}{2^L L!} \sqrt{\frac{2L+1}{4\pi}} \quad (181.12)$$

به این ترتیب مرحله اول کامل می‌شود.

برای محاسبه  $\psi_{LM}$ ، به ازای  $M \neq \pm L$ ، به عملگرهای نردبانی بازمی‌گردیم. از معادله‌های (۱۷۲.۱۲) و (۱۷۳.۱۲)، که در آنها  $J_+$  با  $J_-$  و  $L_-$  با  $L_+$  تعویض شده باشد، داریم

$$\psi_{LM}(\theta, \varphi) = \sqrt{\frac{(L+M)!}{(\frac{1}{2}L)!(L-M)!}} (L_-)^{L-M} \psi_{LL}(\theta, \varphi) \quad (182.12)$$

$$\psi_{LM}(\theta, \varphi) = \sqrt{\frac{(L-M)!}{(\frac{1}{2}L)!(L+M)!}} (L_+)^{L+M} \psi_{L,-L}(\theta, \varphi)$$

توجه کنید که بازهم فازهای نسبی از طریق عملگرهای نردبانی تعیین می‌شوند. عمل  $L_+$  و  $L_-$  روی  $\Theta_{LM}(\theta)e^{iM\varphi}$  را می‌توان به صورت زیر نوشت

$$\begin{aligned} L_+ \Theta_{LM}(\theta)e^{iM\varphi} &= e^{i(M+1)\varphi} \left[ \frac{d}{d\theta} - M \cot \theta \right] \Theta_{LM}(\theta) \\ &= -e^{i(M+1)\varphi} \sin^{1+M} \theta \frac{d}{d(\cos \theta)} \sin^{-M} \theta \Theta_{LM}(\theta) \end{aligned} \quad (183.12)$$

$$\begin{aligned} L_- \Theta_{LM}(\theta)e^{iM\varphi} &= -e^{i(M-1)\varphi} \left[ \frac{d}{d\theta} + M \cot \theta \right] \Theta_{LM}(\theta) \\ &= e^{i(M-1)\varphi} \sin^{1-M} \theta \frac{d}{d(\cos \theta)} \sin^M \theta \Theta_{LM}(\theta) \end{aligned}$$

با  $n$  بار تکرار این عملیات، می‌رسیم به

$$(\bar{L}_+)^n \Theta_{LM}(\theta) e^{iM\varphi} = (-1)^n e^{i(M+n)\varphi} \sin^{n+M}\theta \frac{d^n}{d(\cos\theta)^n} \sin^{-M}\theta \Theta_{LM}(\theta) \quad (184.12)$$

$$(\bar{L}_-)^n \Theta_{LM}(\theta) e^{iM\varphi} = e^{i(M-n)\varphi} \sin^{n-M}\theta \frac{d^n}{d(\cos\theta)^n} \sin^M\theta \Theta_{LM}(\theta)$$

از معادله (۱۸۲.۱۲) داریم

$$\Theta_{LM}(\theta, \varphi) = c_L \sqrt{\frac{(L+M)!}{(2L)!(L-M)!}} e^{iM\varphi} \sin^{-M}\theta \frac{d^{L-M}}{d(\cos\theta)^{L-M}} \sin^{2L}\theta \quad (185.12)$$

و به ازای  $M = -L$

$$\begin{aligned} \psi_{L,-L}(\theta, \varphi) &= \frac{c_L}{(2L)!} e^{-iL\varphi} \sin^L\theta \frac{d^{2L}}{d(\cos\theta)^{2L}} \sin^{2L}\theta \\ &= (-1)^L c_L \sin^L\theta e^{-iL\varphi} \end{aligned} \quad (186.12)$$

به‌فاز مشخصه  $(-1)^L$  تابع  $\psi_{L,-L}$  نسبت به  $\psi_{L,L}$  توجه کنید. این کمیت  $(-1)^L$  به‌شکل زیر وارد می‌شود

$$\sin^{2L}\theta = (1-x^2)^L = (-1)^L (x^2-1)^L \quad (187.12)$$

با ترکیب معادله‌های (۱۸۲.۱۲)، (۱۸۴.۱۲) و (۱۸۶.۱۲)، داریم

$$\begin{aligned} \psi_{LM}(\theta, \varphi) &= (-1)^L c_L \sqrt{\frac{(L-M)!}{(2L)!(L+M)!}} (-1)^{L+M} e^{iM\varphi} \sin^M\theta \\ &\times \frac{d^{L+M}}{d(\cos\theta)^{L+M}} \sin^{2L}\theta \end{aligned} \quad (188.12)$$

معادله‌های (۱۸۵.۱۲) و (۱۸۸.۱۲) با عبارت زیر تطبیق می‌کنند

$$\psi_{L0}(\theta, \varphi) = c_L \frac{1}{\sqrt{(2L)!}} \frac{d^L}{d(\cos\theta)^L} \sin^{2L}\theta \quad (189.12)$$

با استفاده از فرمول دربرگیرنده معادله (۶۵.۱۲)، داریم

$$\begin{aligned} \psi_{L0}(\theta, \varphi) &= (-1)^L c_L \sqrt{\frac{2^L L!}{(2L)!}} P_L(\cos\theta) \\ &= (-1)^L \frac{c_L}{|c_L|} \sqrt{\frac{2^L L!}{2\pi}} P_L(\cos\theta) \end{aligned} \quad (190.12)$$

تساوی اخیر از معادله (۱۸۱.۱۲) ناشی می‌شود. حال این شرط را می‌گذاریم که  $\psi_{L0}(0, 0)$  حقیقی و مثبت باشد. بنابراین

$$c_L = (-1)^L |c_L| = (-1)^L \frac{V(\sqrt{2L})!}{\sqrt{2}^L L!} \sqrt{\frac{2L+1}{4\pi}} \quad (191.12)$$

با قراردادن  $(-1)^L c_L / |c_L| = 1$  در معادله (۱۹۰.۱۲) را می‌توان با هماهنگی کروی  $Y_L^0(\theta, \varphi)$  بخش ۶.۱۲، یکی دانست. با نشاندن  $(-1)^L c_L$  در معادله (۱۸۸.۱۲) داریم

$$\psi_{LM}(\theta, \varphi) = \frac{V(\sqrt{2L})!}{\sqrt{2}^L L!} \sqrt{\frac{2L+1}{4\pi}} \sqrt{\frac{(L-M)!}{(2L)!(L+M)!}} (-1)^{L+M} \cdot e^{iM\varphi} \sin^M \theta \frac{d^{L+M}}{d(\cos \theta)^{L+M} \sin^{2L} \theta} \quad (192.12)$$

$$= \sqrt{\frac{2L+1}{4\pi}} \sqrt{\frac{(L-M)!}{(L+M)!}} e^{iM\varphi} (-1)^M$$

$$\cdot \left\{ \frac{1}{\sqrt{2}^L L!} (1-x^2)^{M/2} \frac{d^{L+M}}{d^L x^{L+M}} (x^2-1)^L \right\}, x = \cos \theta, M \geq 0$$

عبارت درون آکولاد همان تابع وابسته لژاندر است [معادله (۱۴۴.۱۲)]، و داریم

$$\psi_{LM}(\theta, \varphi) = Y_L^M(\theta, \varphi) \quad (193.12)$$

$$= (-1)^M \sqrt{\frac{2L+1}{4\pi}} \cdot \frac{(L-M)!}{(L+M)!} \cdot P_L^M(\cos \theta) e^{iM\varphi}, M \geq 0$$

که با بخش ۶.۱۲ کاملاً سازگار است.  $Y_L^M$  به ازای شاخصهای بالایی منفی، با استفاده از معادله (۸۱.۱۲ الف)، از رابطه زیر به دست می‌آید

$$Y_L^{-M}(\theta, \varphi) = (-1)^M Y_L^M(\theta, \varphi) \quad (194.12)$$

ویژه تابعهای تکانه زاویه‌ای،  $\psi_{LM}(\theta, \varphi)$ ، با هماهنگیهای کروی یکی هستند. ضریب فاز  $(-1)^M$  با مقادیر مثبت  $M$  همراه است و دیده می‌شود که پیامد عملگرهای نوردبانی است. این نحوه بردسی هماهنگیهای کروی را می‌توان بخشی از جبر لی دانست که به نظریه گروهها، بخش ۱۰.۴، مربوط می‌شود.

۱۰۷.۱۲ نشان دهید

$$[J_+, J^z] = 0 \quad (\text{الف})$$

$$[J_-, J^z] = 0 \quad (\text{ب})$$

۲۰۷.۱۲ با استفاده از صورت‌های معلوم  $L_+$  و  $L_-$  (مسائل ۱۴.۵.۲ و ۷.۶.۱۲)، نشان دهید

$$\int Y_L^{M*} L_- (L_+ Y_L^M) d\Omega = \int (L_+ Y_L^M)^* (L_+ Y_L^M) d\Omega$$

۳۰۷.۱۲ روابط زیر را استخراج کنید

$$\psi_{LM}(\theta, \varphi) = \sqrt{\frac{(L+M)!}{(2L)!(L-M)!}} (L_-)^{L-M} \psi_{LL}(\theta, \varphi) \quad (\text{الف})$$

$$\psi_{LM}(\theta, \varphi) = \sqrt{\frac{(L-M)!}{(2L)!(L+M)!}} (L_+)^{L+M} \psi_{L,-L}(\theta, \varphi) \quad (\text{ب})$$

۴۰۷.۱۲ معادله‌های عملگر چندگانه زیر را استخراج کنید

(الف)

$$(L_+)^n \Theta_{LM}(\theta) e^{iM\varphi} = (-1)^n e^{i(M+n)\varphi} \sin^{n+M}\theta \frac{d^n}{d(\cos\theta)^n} \sin^{-M}\theta \Theta_{LM}(\theta)$$

$$(L_-)^n \Theta_{LM}(\theta) e^{iM\varphi} = e^{i(M-n)\varphi} \sin^{n-M}\theta \frac{d^n}{d(\cos\theta)^n} \sin^M\theta \Theta_{LM}(\theta) \quad (\text{ب})$$

داهنمایی. از روش استقرای ریاضی بهره بگیرید.

۵۰۷.۱۲ با استفاده از  $(L_-)^n$ ، نشان دهید

$$Y_L^{-M}(\theta, \varphi) = (-1)^M Y_L^{M*}(\theta, \varphi)$$

۶۰۷.۱۲ به کمک محاسبه صریح تحقیق کنید که

$$L_+ Y_{l,0}(\theta, \varphi) = -\sqrt{\frac{2}{\pi}} \sin\theta e^{i\varphi} = \sqrt{2} Y_{l,1}(\theta, \varphi) \quad (\text{الف})$$

$$L_- Y_{l,0}(\theta, \varphi) = +\sqrt{\frac{2}{\pi}} \sin\theta e^{-i\varphi} = \sqrt{2} Y_{l,-1}(\theta, \varphi) \quad (\text{ب})$$

علامتها (فاز کوندون-شورتلی) پیامد عملگرهای نردبانی  $L_+$  و  $L_-$  هستند.

### ۸.۱۲ قضیه جمع برای هماهنگهای کروی

#### اتحاد مثلثاتی

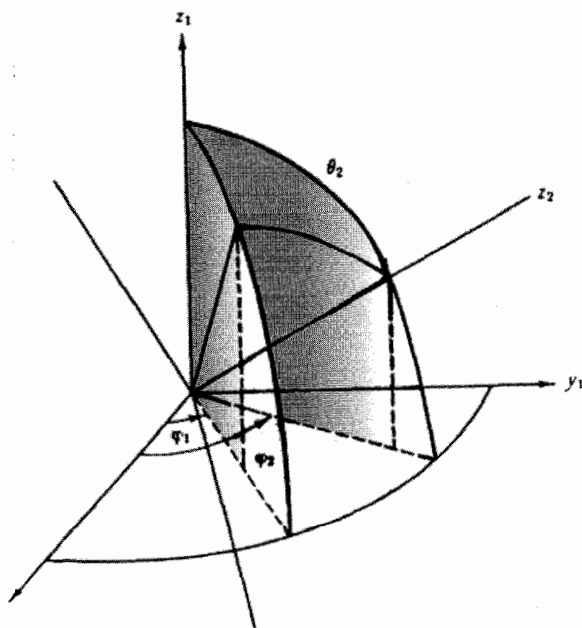
در مبحث زیر  $(\theta_1, \varphi_1)$  و  $(\theta_2, \varphi_2)$ ، دو راستای مختلف را در دستگاه مختصات قطبی کروی نمایش می‌دهند که بایکدیگر زاویه  $\gamma$  می‌سازند (شکل ۱۶.۱۲). این زوایا در اتحاد مثلثاتی زیر صدق می‌کنند

$$\cos \gamma = \cos \theta_1 \cos \theta_2 + \sin \theta_1 \sin \theta_2 \cos(\varphi_1 - \varphi_2) \quad (195.12)$$

شاید ساده‌ترین شیوه اثبات این اتحاد بهره‌گیری از روش برداری است (با فصل یک مقایسه کنید).

در این صورت، بنا بر قضیه جمع

$$P_n(\cos \gamma) = \frac{\varphi \pi}{2n+1} \sum_{m=-n}^n (-1)^m Y_n^m(\theta_1, \varphi_1) Y_n^{-m}(\theta_2, \varphi_2) \quad (196.12)$$



شکل ۱۶.۱۲

یا، به عبارت دیگر

$$P_n(\cos \gamma) = \frac{4\pi}{2n+1} \sum_{m=-n}^n Y_n^m(\theta_1, \varphi_1) Y_n^{m*}(\theta_2, \varphi_2) \quad (197.12)$$

(توضیح: ستاره می تواند روی هر یک از هماهنگهای کروی بنشیند).  
قضیه جمع بر حسب توابع وابسته ژاندر عبارت است از

$$P_n(\cos \gamma) = P_n(\cos \theta_1) P_n(\cos \theta_2) \quad (198.12)$$

$$+ \sum_{m=1}^n \frac{(n-m)!}{(n+m)!} P_n^m(\cos \theta_1) P_n^m(\cos \theta_2) \cos m(\varphi_1 - \varphi_2)$$

معادله (195.12)، حالت خاصی از معادله (198.12) است.

استخراج قضیه جمع

اینک معادله (197.12) را استخراج می کنیم. فرض کنید  $g(\theta, \varphi)$  تابعی باشد که می توان آن را به صورت یک سری لاپلاس بسط داد

$$g(\theta_1, \varphi_1) = Y_n^m(\theta_1, \varphi_1) \quad \text{نسبت به } z_1, y_1, x_1 \quad (199.12)$$

$$= \sum_{m=-n}^n a_{nm} Y_n^m(\gamma, \psi) \quad \text{نسبت به } z_2, y_2, x_2$$

انتخاب صفر متعلق به زاویه سمتی  $\psi$ ، عملاً نقشی ندارد. به ازای  $\gamma = 0$  داریم

$$g(\theta_1, \varphi_1)|_{\gamma=0} = a_{n0} \left( \frac{2n+1}{4\pi} \right)^{1/2} \quad (200.12)$$

زیرا  $P_n(1) = 1$  و  $P_n^m(1) = 0$  ( $m \neq 0$ ). معادله (199.12) را در  $Y_n^{0*}(\gamma, \psi)$  ضرب می کنیم و روی کره انتگرال می گیریم، خواهیم داشت

$$\int g(\theta_1, \varphi_1) Y_n^{0*}(\gamma, \psi) d\Omega_{\gamma, \psi} = a_{n0} \quad (201.12)$$

حال، با استفاده از معادله (199.12)، می توانیم معادله (201.12) را به صورت زیر بازنویسی کنیم

$$\int Y_n^m(\theta_1, \varphi_1) Y_n^{0*}(\gamma, \psi) d\Omega = a_{n0} \quad (202.12)$$

فرض می کنیم که بسط  $P_n(\cos \gamma)$  نیز مانند معادله (199.12)، به صورت زیر باشد

$$P_n(\cos \gamma) = \sum_{m=-n}^n b_{nm} Y_n^m(\theta_1, \varphi_1) \quad (203.12)$$

که در آن مقادیر  $b_{nm}$  مسلماً به  $\theta_2$  و  $\varphi_2$  یعنی به سمتگیری محور  $z_2$ ، وابسته خواهند بود. از طریق ضرب کردن در  $Y_n^m(\theta_1, \varphi_1)$  و انتگرالگیری نسبت به  $\theta_1$  و  $\varphi_1$  روی کره، داریم

$$\int P_n(\cos \gamma) Y_n^m(\theta_1, \varphi_1) d\Omega_{\theta_1, \varphi_1} = b_{nm} \quad (204.12)$$

معادله (204.12) بر حسب هماهنگهای کروی به صورت زیر درمی آید

$$\left(\frac{\gamma\pi}{2n+1}\right)^{1/2} \int Y_n^0(\gamma, \psi) Y_n^m(\theta_1, \varphi_1) d\Omega = b_{nm} \quad (205.12)$$

توجه داشته باشید که شاخصهای پایین مربوط به عنصر زاویه فضایی  $d\Omega$  حذف شده اند. از آنجا که گستره انتگرالگیری روی کل زاویه فضایی است، انتخاب محور قطبی نقشی ندارد. آنگاه در مقایسه با معادله های (202.12) و (205.12)، داریم

$$\begin{aligned} b_{nm}^* &= a_{n0} \left(\frac{\gamma\pi}{2n+1}\right)^{1/2} \\ &= \frac{\gamma\pi}{2n+1} g(\theta_1, \varphi_1) |_{\gamma=0} \quad (206.12) \quad \text{به دلیل معادله (200.12)} \\ &= \frac{\gamma\pi}{2n+1} Y_n^m(\theta_2, \varphi_2) \quad (199.12) \quad \text{به دلیل معادله (199.12)} \end{aligned}$$

تغییر شاخصهای پایین به این دلیل رخ می دهد که

$$\begin{aligned} \theta_1 &\rightarrow \theta_2 \\ \varphi_1 &\rightarrow \varphi_2 \end{aligned} \quad \text{به ازای } \gamma=0$$

هر گاه در معادله (203.12) بنشانیم، به معادله (197.12) می رسیم، بدینسان قضیه جمع اثبات می شود.

خواننده آشنا با نظریه گروهها با بهره گیری از گروه چرخشی، برای معادله (197.12) به اثبات ارزنده تری دست خواهد یافت. این اثبات مبحث مسئله ۱۱.۱۰.۴ را تشکیل داده است.

۱. با کتابی یا مشخصات زیر مقایسه کنید،



یکی از کاربردهای قضیه جمع در تشکیل تابع گرین مربوط به معادله لاپلاس سه بعدی در مختصات قطبی کروی است. اگر چشمه روی محور قطبی و در نقطه  $(r=a, \theta=0, \varphi=0)$  واقع باشد، آنگاه از معادله (۲۰۱۲) داریم

$$\begin{aligned} \frac{1}{R} &= \frac{1}{|r-ka|} = \sum_{n=0}^{\infty} P_n(\cos \gamma) \frac{a^n}{r^{n+1}}, \quad r > a \\ &= \sum_{n=0}^{\infty} P_n(\cos \gamma) \frac{r^n}{a^{n+1}}, \quad r < a \end{aligned} \quad (207.12)$$

دستگاه مختصات را می‌چرخانیم تا چشمه در  $(a, \theta_1, \varphi_1)$ ، و نقطه مشاهده در  $(r, \theta_2, \varphi_2)$  واقع شود، خواهیم داشت

$$\begin{aligned} G(r, \theta_1, \varphi_1, a, \theta_2, \varphi_2) &= \frac{1}{R} \\ &= \sum_{n=0}^{\infty} \sum_{m=-n}^n \frac{\varphi \pi}{2n+1} Y_n^{m*}(\theta_1, \varphi_1) Y_n^m(\theta_2, \varphi_2) \frac{a^n}{r^{n+1}}, \quad r > a \\ &= \sum_{n=0}^{\infty} \sum_{m=-n}^n \frac{\varphi \pi}{2n+1} Y_n^{m*}(\theta_1, \varphi_1) Y_n^m(\theta_2, \varphi_2) \frac{r^n}{a^{n+1}}, \quad r < a \end{aligned} \quad (208.12)$$

این استدلال، در بخش ۶.۱۶ معکوس می‌شود تا به روش دیگری برای استخراج قضیه جمع چندجمله‌ای لژاندر دست یابیم.

### مسائل

۱۰۸۰۱۲ در روند اثبات قضیه جمع، فرض کردیم که بتوان  $Y_n^k(\theta_1, \varphi_1)$  را به صورت یک سری از  $Y_n^m(\theta_2, \varphi_2)$  بسط داد که در آن  $m$  از  $-n$  تا  $+n$  تغییر می‌کند، ولی  $n$  ثابت می‌ماند. چه استدلالی می‌توانید برای توجیه مجموعی تنه‌اروی شاخص بالای  $m$  و نه روی شاخص پایین  $n$  ارائه کنید.

راهنمایی. یکی از راهها آن است که همگنی  $Y_n^m$  امتحان شود؛ یعنی  $Y_n^m$  را می‌توان کاملاً بر حسب جملاتی به صورت  $\cos^{n-p} \theta \sin^p \theta$  و یا  $x^{n-p} y^p z^p / r^n$  بسط داد. راه دیگر آن است که رفتار معادله لژاندر،  $[\nabla^2 + n(n+1)/r^2] P_n(\cos \theta) = 0$ ، تحت چرخش دستگاه مختصات آزموده شود.

۲۰۸۰۱۲ تابع موج يك الکترون اتمی با تکانه‌ز اوپه‌ای  $L$  و عددکوانتومی مغناطیسی  $M$  به قرار زیر است

$$\psi(r, \theta, \varphi) = f(r) Y_L^M(\theta, \varphi)$$

نشان دهید که مجموع چگالیهای الکترونی در يك پوسته کامل معلوم، تقارن کروی دارد؛ یعنی  $\sum_{M=-L}^L \psi^*(r, \theta, \varphi) \psi(r, \theta, \varphi)$  مستقل از  $\theta$  و  $\varphi$  است.

۳۰۸۰۱۳ پتانسیل يك الکترون در نقطه  $\mathbf{r}_e$ ، واقع در میدان  $Z$  پروتون در  $\mathbf{r}_p$  عبارت است از

$$\varphi = -\frac{e^2}{4\pi\epsilon_0} \sum_{p=1}^Z \frac{1}{|\mathbf{r}_e - \mathbf{r}_p|}$$

نشان دهید که این رابطه را می‌توان به صورت زیر نوشت

$$\varphi = -\frac{e^2}{4\pi\epsilon_0 r_e} \sum_{p=1}^Z \sum_{L,M} \left(\frac{r_p}{r_e}\right)^L \frac{4\pi}{2L+1} Y_L^{M*}(\theta_p, \varphi_p) Y_L^M(\theta_e, \varphi_e)$$

که در آن  $r_e > r_p$ . به ازای  $r_e < r_p$ ،  $\varphi$  را چگونه باید نوشت؟

۴۰۸۰۱۳ دو پروتون به طوری یکنواخت در يك حجم کروی توزیع شده‌اند. اگر مختصات يك عنصر بار  $(r_1, \theta_1, \varphi_1)$  و مختصات بار دیگر  $(r_2, \theta_2, \varphi_2)$  و فاصله بین آنها باشد، عنصر انرژی رانش از رابطه زیر به دست می‌آید

$$d\psi = \rho^2 \frac{dv_1 dv_2}{r_{12}} = \rho^2 \frac{r_1^2 dr_1 \sin \theta_1 d\theta_1 d\varphi_1 r_2^2 dr_2 \sin \theta_2 d\theta_2 d\varphi_2}{r_{12}}$$

در اینجا

$$\rho = \frac{\text{بار}}{\text{حجم}} = \frac{ze}{4\pi R^3}$$

$$r_{12}^2 = r_1^2 + r_2^2 - 2r_1 r_2 \cos \gamma$$

انرژی رانش الکتروستاتیکی کل دو پروتون را محاسبه کنید. این محاسبه برای منظور کردن اختلاف جرم در هسته‌های "آینه‌ای"، مانند  $O^{15}$  و  $N^{15}$  به کار می‌رود.

$$\left. \begin{array}{l} r_2 > r_1 \text{ به ازای} \\ r_2 < r_1 \text{ به ازای} \end{array} \right\} \frac{e^2}{5R} \left( \frac{3}{5} \frac{e^2}{R} \right) \text{ (انرژی کل) پاسخ.}$$

این انرژی دوپراپو مقداری است که برای ایجاد يك کره باردار یکنواخت لازم است، زیرا دوبار ابری جداگانه داریم که برهم کنش می کنند، نه يك بار که باخودش برهم کنش کند (که در آن جایگشت زوجها در نظر گرفته نمی شود).

۵۰۸۰۱۲ هر يك از دو الکترون  $1s$  هلیوم را می توان، در غیاب الکترون دیگر، به کمک تابع موج هیدروژنی زیر توصیف کرد

$$\psi(\mathbf{r}) = \left( \frac{Z^3}{\pi a_0^3} \right)^{1/2} e^{-Zr/a_0}$$

در اینجا، عدد اتمی  $Z$  برابر ۲ است. نماد  $a_0$  شعاع اتمی بور و برابر  $\hbar^2/me^2$  است. انرژی پتانسیل متقابل دو الکترون را با محاسبه انتگرال زیر به دست آورید

$$\int \psi^*(\mathbf{r}_1)\psi^*(\mathbf{r}_2) \frac{e^2}{r_{12}} \psi(\mathbf{r}_1)\psi(\mathbf{r}_2) d^3r_1 d^3r_2$$

پاسخ.  $\frac{5e^2Z}{8a_0}$

یادآوردی.  $d^3r_1 = r_1^2 dr_1 \sin \theta_1 d\theta_1 d\varphi_1$

$$r_{12} = |\mathbf{r}_1 - \mathbf{r}_2|$$

۶۰۸۰۱۲ احتمال یافتن يك الکترون  $1s$  هیدروژن در عنصر حجم  $r^2 dr \sin \theta d\theta d\varphi$  عبارت است از

$$\frac{1}{\pi a_0^3} \exp[-2r/a_0] r^2 dr \sin \theta d\theta d\varphi$$

پتانسیل الکتروستاتیکی متناظر را بیابید. پتانسیل را از رابطه زیر محاسبه کنید

$$V(\mathbf{r}_1) = \frac{q}{4\pi\epsilon_0} \int \frac{\rho(\mathbf{r}_2)}{r_{12}} d^3r_2$$

که در آن  $\mathbf{r}_1$  روی محور  $z$  واقع نیست.  $r_{12}$  را بسط دهید. با بهره گیری از قضیه جمع چندجمله ای لژاندر، نشان دهید که وابستگی زاویه ای  $V(\mathbf{r}_1)$  حذف می شود.

$$V(\mathbf{r}_1) = \frac{q}{4\pi\epsilon_0} \left\{ \frac{1}{2r_1} \gamma\left(3, \frac{2r_1}{a_0}\right) + \frac{1}{a_0} \Gamma\left(2, \frac{2r_1}{a_0}\right) \right\} \quad \text{پاسخ.}$$

۷۰۸۰۱۲ توزیع يك الکترون هیدروژن در مدار  $2p$  به صورت زیر است

$$\rho = \frac{q}{64\pi a_0^5} r^2 e^{-r/a_0} \sin^2 \theta$$

که در آن  $a_0$  شعاع بود،  $\hbar^2/me^2$  است. پتانسیل الکتروستاتیکی متناظر با این توزیع بار را پیدا کنید.

۸۰۸.۱۴ چگالی جریان الکتریکی که توسط يك الکترون  $p$  در اتم هیدروژن ایجاد می شود عبارت است از

$$\mathbf{J} = \Phi_0 \frac{q\hbar}{32ma_0^3} e^{-r/a_0} r \sin \theta$$

با استفاده از

$$\mathbf{A}(\mathbf{r}_1) = \frac{\mu_0}{4\pi} \int \frac{\mathbf{J}(\mathbf{r}_2)}{|\mathbf{r}_1 - \mathbf{r}_2|} d^3r_2$$

پتانسیل برداری مغناطیسی حاصل از این الکترون هیدروژن را بیابید. راهنمایی. به مؤلفه های دکارتی تجزیه کنید. با استفاده از قضیه جمع کمیت  $\gamma$ ، زاویه بین  $\mathbf{r}_1$  و  $\mathbf{r}_2$  را حذف کنید.

۹۰۸.۱۴ (الف) به عنوان يك سری لاپلاس و مثالی برای معادله (۸۰.۹) (در اینجا با توابع مختلط)، نشان دهید که

$$\delta(\Omega_1 - \Omega_2) = \sum_{n,m} Y_n^{m*}(\theta_2, \varphi_2) Y_n^m(\theta_1, \varphi_1)$$

(ب) همچنین نشان دهید که همین تابع دلتای دیراک را می توان به صورت زیر نوشت

$$\delta(\Omega_1 - \Omega_2) = \sum_n \frac{2n+1}{4\pi} P_n(\cos \gamma)$$

اکنون اگر بتوانید توجیه کنید که جمله به جمله دو مجموعی روی  $n$  با هم برابرند، به راه دیگری برای استخراج قضیه جمع هماهنگهای کروی دست یافته اید.

### ۹.۱۴ انتگرالهای حاصلضرب سه هماهنگ کروی

در مکانیک کوانتومی، بارها با انتگرالهایی به شکل کلی زیر برمی خوریم

$$\int Y_{L_1}^{M_1*} Y_{L_2}^{M_2} Y_{L_3}^{M_3} d\Omega \quad \text{یا} \quad \int Y_{L_1}^{M_1*} P_{L_2} Y_{L_3}^{M_3} d\Omega$$

که در آنها انتگرالگیری روی کل زاویه فضایی صورت می گیرد. اولین عامل موجود در انتگرالده، ممکن است از تابع موج يك حالت نهایی، و سومین عامل از تابع موج يك حالت اولیه

ناشی شده باشد، درحالی که عامل وسطی می‌تواند نمایانگر عملگری باشد که در دست محاسبه است یا "عنصر ماتریسی" اش دارد تعیین می‌شود.

در اینجا نیز مانند نظریه کوانتومی تکانه زاویه‌ای، با بهره‌گیری از روشهای نظریه گروه، می‌شود يك عبارت کلی برای صورتهایی به دست آورد که در جدولها درج شده‌اند. این تجزیه و تحلیل شامل ضرایب جمع برداری یا ضرایب کلبش-گوردن است، که در جدول آمده‌اند. سه محدودیت کلی پیش می‌آید.<sup>۱</sup> (۱) انتگرال صفرمی شود مگر آنکه جمع برداری  $L$ ها (تکانه زاویه‌ای) صفر شود،  $L_1 + L_2 \leq L_3$  (۲) انتگرال صفرمی شود مگر آنکه  $M_1 + M_2 = M_3$ . همین مورد شالوده نظری مدل برداری طیف‌نمایی اتمی را تشکیل می‌دهد. (۳) سرانجام، انتگرال صفرمی شود مگر آنکه حاصلضرب  $Y_{L_1}^{M_1} Y_{L_2}^{M_2} Y_{L_3}^{M_3}$  زوج، یعنی  $L_1 + L_2 + L_3$  يك عدد درست زوج باشد. این حکم، بیان قانون پایستگی باریته است.

جزئیات این رهیافت کلی و توانا در مراجع کتاب یافت می‌شود. یادآوری می‌شود که ضرایب جمع برداری برحسب قرارداد فاز کوندون-شورتلی پدید آمده‌اند که در آن  $m$  (۱- ) متعلق به معادله (۱۴۶.۱۲) با مقادیر مثبت  $m$  همراه است. باشگردهایی که تاکنون مطرح کرده‌ایم، می‌توان بسیاری از این نوع انتگرالها را که معمولاً به آنها برمی‌خوریم محاسبه کرد. انتگرالگیری روی زاویه سمت را می‌توان از طریق قراردادن مقادیر مشخص انجام داد

$$\int_0^{2\pi} e^{-iM_1\varphi} e^{iM_2\varphi} e^{iM_3\varphi} d\varphi = 2\pi \delta_{M_2+M_3-M_1,0} \quad (209.12)$$

این انتگرال از نظر فیزیکی با پایستگی مؤلفه  $z$  تکانه زاویه‌ای متناظر است.

### کاربرد روابط بازگشتی

با يك نظر به جدول ۴۰۱۲ پی‌می‌بریم که وابستگی به  $\theta$  در  $Y_{L_2}^{M_2}$ ، یعنی  $P_{L_2}^{M_2}(\theta)$  را می‌توان برحسب  $\cos \theta$  و  $\sin \theta$  مشخص کرد. اما عامل  $\cos \theta$  یا  $\sin \theta$  را می‌توان، با استفاده از روابط بازگشتی چند جمله‌ایهای وابسته لژاندر، با عامل  $Y_{L_2}^{M_2}$  ترکیب کرد. مثلاً، از معادله‌های (۸۵.۱۲) و (۸۶.۱۲) داریم

1. Condon, E. U., and G. H. Shortley, *The Theory of Atomic Spectra*. Cambridge: Cambridge University Press, (1951); M.E. Rose, *Elementary Theory of Angular Momentum*. New York: Wiley (1957); A. Edmonds, *Angular Momentum in Quantum Mechanics*. Princeton, N. J.: Princeton University Press (1957); E.P. Wigner, *Group Theory and Its Applications to Quantum Mechanics* (translated by J.J. Griffin). New York: Academic Press (1959).

$$\begin{aligned} \cos \theta Y_L^M = & + \left[ \frac{(L-M+1)(L+M+1)}{(2L+1)(2L+3)} \right]^{1/2} Y_{L+1}^M \\ & + \left[ \frac{(L-M)(L+M)}{(2L-1)(2L+1)} \right]^{1/2} Y_{L-1}^M \end{aligned} \quad (210.12)$$

$$\begin{aligned} e^{i\varphi} \sin \theta Y_L^M = & - \left[ \frac{(L+M+1)(L+M+2)}{(2L+1)(2L+3)} \right]^{1/2} Y_{L+1}^{M+1} \\ & + \left[ \frac{(L-M)(L-M-1)}{(2L-1)(2L+1)} \right]^{1/2} Y_{L-1}^{M+1} \end{aligned} \quad (211.12)$$

$$\begin{aligned} e^{-i\varphi} \sin \theta Y_L^M = & + \left[ \frac{(L-M+1)(L-M+2)}{(2L+1)(2L+3)} \right]^{1/2} Y_{L+1}^{M-1} \\ & - \left[ \frac{(L+M)(L+M-1)}{(2L-1)(2L+1)} \right]^{1/2} Y_{L-1}^{M-1} \end{aligned} \quad (212.12)$$

با بهره‌گیری از این معادلات، داریم

$$\begin{aligned} \int Y_{L_1}^{M_1*} \cos \theta Y_L^M d\Omega = & \left[ \frac{(L-M+1)(L+M+1)}{(2L+1)(2L+3)} \right]^{1/2} \delta_{M_1, M} \delta_{L_1, L+1} \\ & + \left[ \frac{(L-M)(L+M)}{(2L-1)(2L+1)} \right]^{1/2} \delta_{M_1, M} \delta_{L_1, L-1} \end{aligned} \quad (213.12)$$

ظهور دلتای کرونگر  $(L_1, L \pm 1)$  جنبه‌ای از پایستگی تکانه‌زاویه‌ای به‌شمار می‌آید. این انتگرال در هنگام بررسی تابش الکترومغناطیسی معمولی اتمی (دوقطبی الکتریکی) در فیزیک بروزمی‌کند. این انتگرال به این قاعده‌گزینش آشنا منجر می‌شود که گذار به یک تراز اتمی با عدد کوانتومی تکانه‌زاویه‌ای مداری  $L_1$ ، تنها می‌تواند از تراهای اتمی با اعداد کوانتومی  $L_1 - 1$  یا  $L_1 + 1$  ناشی شده باشد. کاربرد روابط بازگشتی در عبارتهایی چون

$$\int Y_L^{M*} P_2(\cos \theta) Y_L^M d\Omega \sim \text{گشتاور چارقطبی}$$

پیچیده‌تر ولی کاملاً سراسر است.

۱۰۹۰۱۲ درستی روابط زیر را تحقیق کنید

$$\int Y_L^M Y_0^0 Y_L^{M*} d\Omega = \frac{1}{\sqrt{4\pi}} \quad (\text{الف})$$

$$\int Y_L^M Y_{L+1}^0 Y_L^{M*} d\Omega = \sqrt{\frac{3}{4\pi}} \sqrt{\frac{(L+M+1)(L-M+1)}{(2L+1)(2L+3)}} \quad (\text{ب})$$

$$\int Y_L^M Y_{L+1}^1 Y_L^{M*} d\Omega = \sqrt{\frac{3}{8\pi}} \sqrt{\frac{(L+M+1)(L+M+2)}{(2L+1)(2L+3)}} \quad (\text{ج})$$

$$\int Y_L^M Y_{L+1}^{-1} Y_L^{M*} d\Omega = -\sqrt{\frac{3}{8\pi}} \sqrt{\frac{(L-M)(L-M-1)}{(2L-1)(2L+1)}} \quad (\text{د})$$

این انتگرالها در بررسی همبستگی زاویه‌ای الکترونهای واگردانی داخلی به کار رفتند.

۲۰۹۰۱۲ نشان دهید

$$\int_{-1}^1 x P_L(x) P_N(x) dx = \begin{cases} \frac{2(L+1)}{(2L+1)(2L+3)}, & N=L+1 \\ \frac{2L}{(2L-1)(2L+1)}, & N=L-1 \end{cases} \quad (\text{الف})$$

$$\int_{-1}^1 x^2 P_L(x) P_N(x) dx = \begin{cases} \frac{2(L+1)(L+2)}{(2L+1)(2L+3)(2L+5)}, & N=L+2 \\ \frac{2(2L^2+2L-1)}{(2L-1)(2L+1)(2L+3)}, & N=L \quad (\text{ب}) \\ \frac{2L(L-1)}{(2L-3)(2L-1)(2L+1)}, & N=L-2 \end{cases}$$

۳۰۹۰۱۲ از آنجا که  $x P_n(x)$  یک چندجمله‌ای (از درجه  $n+1$ ) است، می‌توان آن را به کمک سری لواندر نمایش داد

$$x P_n(x) = \sum_{s=0}^{\infty} a_s P_s(x)$$

(الف) نشان دهید که به ازای  $s < n-1$  و  $s > n+1$  داریم  $a_s = 0$ .

(ب)  $a_{n+1}$ ،  $a_n$ ،  $a_{n-1}$  را محاسبه کنید و نشان دهید که رابطه بازگشتی، معادله (۱۷.۱۲)، را باز تولید کرده‌اید.

یادآوری. این استدلال را می‌توان به شکل کلی درآورد، تا وجود یک رابطه بازگشتی سه‌جمله‌ای را برای هر مجموعه کاملی از چندجمله‌ایهای متعامد نمایش دهد

$$x\varphi_n = a_{n+1}\varphi_{n+1} + a_n\varphi_n + a_{n-1}\varphi_{n-1}$$

### ۱۰.۱۲ توابع ژاندر نوع دوم، $Q_n(x)$

در این فصل تا اینجا باید جواب معادله ژاندر، یعنی جواب  $P_n(\cos\theta)$ ، سروکار داشته‌ایم که در دو نقطه تکین معادله دیفرانسیل، یعنی در  $\pm 1 = \cos\theta$ ، منظم (متناهی) است. به‌انگیز نظریه کلی معادلات دیفرانسیل می‌دانیم که جواب دومی وجود دارد. به این جواب دوم،  $Q_n(x)$ ، به کمک جواب سری معادله ژاندر دست می‌یابیم. بعداً یک شکل بسته به دست خواهیم آورد.

### جوابهای سری معادله ژاندر

برای حل معادله

$$\frac{d}{dx} \left[ (1-x^2) \frac{dy}{dx} \right] + n(n+1)y = 0 \quad (214.12)$$

مانند فصل ۸ اقدام می‌کنیم، و قرار می‌دهیم<sup>۱</sup>

$$y = \sum_{\lambda=0}^{\infty} a_{\lambda} x^{k+\lambda} \quad (215.12)$$

با

$$y' = \sum_{\lambda=0}^{\infty} (k+\lambda) a_{\lambda} x^{k+\lambda-1} \quad (216.12)$$

$$y'' = \sum_{\lambda=0}^{\infty} (k+\lambda)(k+\lambda-1) a_{\lambda} x^{k+\lambda-2} \quad (217.12)$$

بانشاندر در معادله دیفرانسیلی اولی داریم

۱. توجه کنید که می‌شود به جای  $x$  متغیر مختلط  $z$  را نشانده.



$$\sum_{\lambda=0}^{\infty} (k+\lambda)(k+\lambda-1)a_{\lambda}x^{k+\lambda-2}$$

$$+ \sum_{\lambda=0}^{\infty} [n(n+1) - 2(k+\lambda) - (k+\lambda)(k+\lambda-1)]a_{\lambda}x^{k+\lambda} = 0 \quad (218.12)$$

معادله اندیسی، با جوابهای  $k=0, 1$ ، عبارت است از

$$k(k-1) = 0 \quad (219.12)$$

ابتدا  $k=0$  را با  $a_0=1$ ،  $a_1=0$  بررسی می‌کنیم. در نتیجه سری ما با رابطه بازگشتی زیر توصیف می‌شود

$$(\lambda+2)(\lambda+1)a_{\lambda+2} + [n(n+1) - 2\lambda - \lambda(\lambda-1)]a_{\lambda} = 0 \quad (220.12)$$

که به صورت زیر درمی‌آید

$$a_{\lambda+2} = -\frac{(n+\lambda+1)(n-\lambda)}{(\lambda+1)(\lambda+2)}a_{\lambda} \quad (221.12)$$

این سری را به  $p_n$  نشان می‌دهیم، داریم

$$p_n(x) = 1 - \frac{n(n+1)}{2!}x^2 + \frac{(n-2)n(n+1)(n+3)}{4!}x^4 + \dots \quad (222.12)$$

جواب دوم معادله اندیسی، با  $k=1$ ،  $a_0=1$  و  $a_1=0$  به رابطه بازگشتی زیر می‌انجامد

$$a_{\lambda+2} = -\frac{(n+\lambda+2)(n-\lambda-1)}{(\lambda+2)(\lambda+3)}a_{\lambda} \quad (223.12)$$

این سری را به  $q_n$  نشان می‌دهیم، داریم

$$q_n(x) = x - \frac{(n-1)(n+2)}{3!}x^3 + \frac{(n-3)(n-1)(n+2)(n+4)}{5!}x^5 - \dots$$

(224.12)

در نتیجه جواب کلی معادله (214.12) عبارت است از

$$y_n(x) = A_n p_n(x) + B_n q_n(x) \quad (225.12)$$

مشروط بر آنکه همگرایی داشته باشیم. با استفاده از آزمون گاوس، بخش ۲۰۵ (مثال ۴.۲.۵، جلد اول)، در  $x = \pm 1$  همگرایی نداریم. برای فائق آمدن بر این مشکل، ثابت جداسازی  $n$  را یک عدد درست می‌گیریم (مسئله ۵.۵.۸) و سری نامتناهی را به یک چند جمله‌ای تبدیل می‌کنیم.

به ازای  $n$ ، عدد درست مثبت زوج (یا صفر)، سری  $p_n$  ختم می‌شود و با يك گزینۀ مناسب ضریب پنجمارش [به صورتی که با تعریف  $P_n(x)$  در بخش ۱۰۱۲ سازگاری به وجود آید] داریم

$$P_n(x) = (-1)^{n/2} \frac{n!}{2^n [(n/2)!]^2} P_n(x) \quad (226.12)$$

$$= (-1)^s \frac{(2s)!}{2^{2s} (s!)^2} p_{2s}(x) = (-1)^s \frac{(2s-1)!!}{(2s)!!} p_{2s}(x)$$

به ازای  $n = 2s$

اگر  $n$  يك عدد درست مثبت فرد باشد، سری  $q_n$  پس از تعدادی متناهی جمله خاتمه می‌یابد و می‌نویسیم

$$P_n(x) = (-1)^{(n-1)/2} \frac{n!}{2^{n-1} \{[(n-1)/2]!\}^2} q_n(x) \quad (227.12)$$

$$= (-1)^s \frac{(2s+1)!}{2^{2s} (s!)^2} q_{2s+1}(x) = (-1)^s \frac{(2s+1)!!}{(2s)!!} q_{2s+1}(x)$$

به ازای  $n = 2s+1$

باید گفت که این عبارات به ازای همه مقادیر حقیقی  $x$ ،  $-\infty < x < \infty$ ، و به ازای مقادیر مختلط در صفحه مختلط متناهی، برقرار است. ثابتی که در  $p_n$  و  $q_n$  ضرب می‌شوند، طوری برگزیده شده‌اند که  $P_n$  با چند جمله‌ایهای ژاندر که از تابع مولد به دست می‌آیند، سازگار باشند.

معادلات (۲۲۲.۱۲) و (۲۲۴.۱۲) را می‌توان به ازای  $n = \nu$  عدد غیر درست، هم به کار برد، ولی در این صورت سریها دیگر خاتمه نمی‌یابند و گسترۀ همگرایی به  $1 < x < -1$  تبدیل می‌شود. نقاط پایانی  $\pm 1$  در این گستره نمی‌گنجد. گاهی بهتر است که ترتیب جمله‌ها سری را معکوس کنیم. این کار را می‌توان به صورت زیر انجام داد

$$s = \frac{n}{2} - \lambda \quad P_n(x) \text{ زوج، در صورت اول}$$

$$s = \frac{n-1}{2} - \lambda \quad P_n(x) \text{ فرد، در صورت دوم}$$

در نتیجه معادلات (۲۳۰.۱۲) و (۲۳۱.۱۲) به صورت زیر درمی‌آیند

$$P_n(x) = \sum_{s=0}^{[n/2]} (-1)^s \frac{(2n-2s)!}{2^s s! (n-s)! (n-2s)!} x^{n-2s} \quad (228.12)$$

که در آن حد بالا عبارت است از: (برای  $n$  زوج)  $s = n/2$  یا (برای  $n$  فرد)  $s = (n-1)/2$ . در نتیجه معادله (۸.۱۲) از بخش ۱.۱۲، که مستقیماً از تابع مولد به دست آمده بود، دوباره تولید می‌شود. گزینه خاصی که برای بهنجارش معادلات (۲۲۶.۱۲) و (۲۲۷.۱۲) در نظر گرفته شد، برای ایجاد همین سازگاری با معادله (۸.۱۲) صورت گرفت.

$Q_n(x)$ ، توابع نوع دوم

خاطر نشان می‌کنیم که تنها  $p_n$  به ازای  $n$  زوج و  $q_n$  به ازای  $n$  فرد را به کار برده ایم (زیرا این سریها به ازای این انتخاب  $n$  خاتمه می‌یابند). حال می‌توانیم یک جواب دیگر معادله لژاندر (شکل ۱۷.۱۲) را به صورت زیر تعریف کنیم

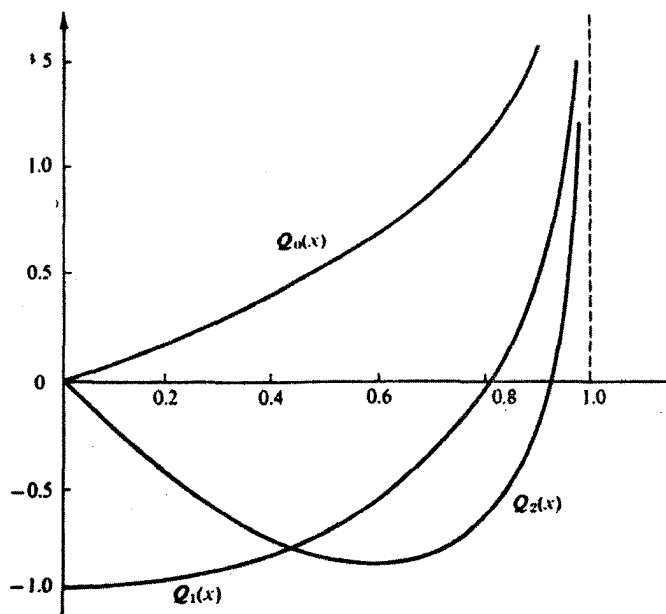
$$Q_n(x) = (-1)^{n/2} \frac{[(n/2)!]^2 2^n}{n!} q_n(x) = (-1)^s \frac{(2s)!!}{(2s-1)!!} q_{2s}(x)$$

(۲۲۹.۱۲) به ازای  $n$  زوج،  $n = 2s$

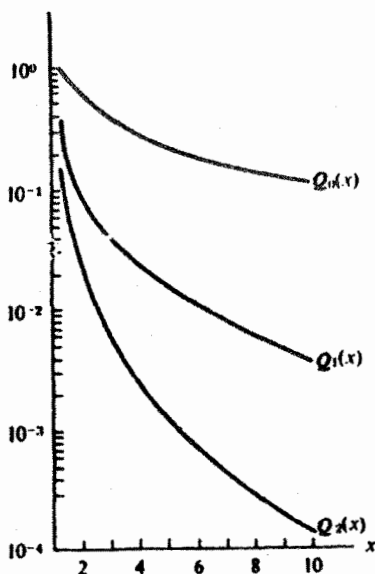
$$Q_n(x) = (-1)^{(n+1)/2} \frac{\{[(n-1)/2]!\}^2 2^{n-1}}{n!} p_n(x)$$

(۲۳۰.۱۲)

$$= (-1)^{s+1} \frac{(2s)!!}{(2s+1)!!} p_{2s+1}(x) \quad n = 2s+1, \text{ به ازای } n \text{ فرد}$$



شکل ۱۷.۱۲ تابع دوم لژاندر،  $Q_n(x)$ ،  $0 \leq x < 1$



شکل ۱۸.۱۴ تابع دوم لزاندر  $Q_n(x)$ ،  $x > 1$ .

این گزینش ضرایب بهنجارش ناگزیر شرایطی را پیش می‌آورد که  $Q_n$  در همان روابط بازگشتی صادق کند که  $P_n$  صادق می‌کند. این نکته را می‌شود با نشان دادن معادلات (۲۲۹.۱۲) و (۲۳۰.۱۲) در معادلات (۱۲.۷) و (۱۲.۲۶) تحقیق کرد. بازیابی روابط بازگشتی سری [معادلات (۱۲.۲۲۱) و (۱۲.۲۲۳)]، به کمک آزمون نسبت کوشی، نشان می‌دهد که  $Q_n(x)$  به ازای  $-1 < x < 1$  همگرا خواهد بود. اگر  $|x| \geq 1$ ، این صورتهای سری جواب دوم ما واگرا می‌شوند. در ناحیه  $|x| > 1$  (شکل ۱۸.۱۴) می‌توان یک سری از توانهای منفی  $x$  تشکیل داد، ولی ما اقدام به یافتن جوابی به شکل بسته خواهیم کرد که بتوان آن را در تمامی صفحه مختلط (جز در نقطه تکین  $x = \pm 1$  و با قید احتیاط روی خطوط برش) به کار برد.

جوابهای به شکل بسته

جواب دوم،  $Q_n(z)$ ، به شکل بسته در موارد متعدد مطلوب ماست. این شکل را می‌توان به کمک روشی که در بخش ۶.۸ مورد بحث قرار گرفت به دست آورد. می‌نویسیم

$$Q_n(z) = P_n(z) \left\{ A_n + B_n \int^z \frac{dx}{(1-x^2)[P_n(x)]^2} \right\} \quad (231.12)$$

که در آن ثابت  $A_n$  جانشین مقدار انتگرال به ازای حد پایین اختیاری آن می‌شود. هر دو ثابت  $A_n$  و  $B_n$  را می‌توان در حالتی خاص تعیین کرد.

به ازای  $n = 0$ ، معادله (۲۳۱.۱۲) به صورت زیر درمی آید

$$Q_0(z) = P_0(z) \left\{ A_0 + B_0 \int^z \frac{dx}{(1-x^2)[P_0(x)]^2} \right\}$$

$$= A_0 + B_0 \frac{1}{2} \ln \frac{1+z}{1-z} \quad (232.12)$$

$$= A_0 + B_0 \left( z + \frac{z^3}{3} + \frac{z^5}{5} + \dots + \frac{z^{2s+1}}{2s+1} + \dots \right)$$

عبارت آخری پیامد بسط لگاریتمی مک لورن به شمار می آید. از مقایسه این تابع با جواب سری [معادله (۲۲۴.۱۲)] می رسیم به

$$Q_0(z) = q_0(z) = z + \frac{z^3}{3} + \frac{z^5}{5} + \dots + \frac{z^{2s+1}}{2s+1} + \dots \quad (233.12)$$

داریم:  $A_0 = 0$ ،  $B_0 = 1$ . به ازای  $n = 1$ ، نتایج مشابهی به دست می آید. خواهیم داشت

$$Q_1(z) = z \left[ A_1 + B_1 \int^z \frac{dx}{(1-x^2)x^2} \right]$$

$$= A_1 z + B_1 z \left( \frac{1}{2} \ln \frac{1+z}{1-z} - \frac{1}{z} \right) \quad (234.12)$$

پس از بسط به صورت یک سری توانی و مقایسه با  $Q_1(z) = -p_1(z)$  خواهیم داشت  $A_1 = 0$ ،  $B_1 = 1$ . بنابراین می توانیم بنویسیم

$$Q_0(z) = \frac{1}{2} \ln \frac{1+z}{1-z}$$

$$Q_1(z) = \frac{1}{2} z \ln \frac{1+z}{1-z} - 1, \quad |z| < 1 \quad (235.12)$$

شاید بهترین راه برای تعیین مقادیر  $Q_n(z)$  مرتبه های بالاتر استفاده از رابطه بازگشتی [معادله (۱۷.۱۲)] باشد، که می توان اعتبار آن را هم به ازای  $x^2 < 1$  و هم به ازای  $x^2 > 1$  از طریق نشان دادن صورتهای سری تحقیق کرد. با بهره گیری از این روش خواهیم داشت

$$Q_2(z) = \frac{1}{4} P_2(z) \ln \frac{1+z}{1-z} - \frac{3}{4} P_1(z) \quad (236.12)$$

تکرار کاربرد فرمول بازگشتی منجر می شود به

$$Q_n(z) = \frac{1}{\gamma} P_n(z) \ln \frac{1+z}{1-z} - \frac{2n-1}{1 \times n} P_{n-1}(z) - \frac{2n-5}{2(n-1)} P_{n-2}(z) \dots \quad (237.12)$$

با اتکا به شکل  $\ln[(1+z)/(1-z)]$  بی می بریم که این عبارتها به ازای مقادیر حقیقی  $z$  در گستره  $-1 < x < 1$  برقرارند. اگر بخواهیم شکل بسته ای داشته باشیم که در خارج از این گستره معتبر باشد، تنها به جای  $\ln[(1+x)/(1-x)]$  باید کمیت  $\ln[(z+1)/(z-1)]$  را بنشانیم.

وقتی از شکل اخیر استفاده می کنیم که مقادیر بزرگ  $z$  در آن صدق می کنند، بازه خط  $-1 \leq x \leq 1$  را به عنوان یک خط برش می گیریم. عرفاً به مقادیر  $Q_n(x)$  بر روی خط برش، رابطه زیر را نسبت می دهند

$$Q_n(x) = \frac{1}{\gamma} [Q_n(x+i0) + Q_n(x-i0)] \quad (238.12)$$

یعنی میانگین حسابی مقادیری که با نزدیکی شدن از سمت موهومی مثبت و از سمت موهومی منفی به دست می آوریم باید به این نکته توجه کنیم که به ازای  $z \rightarrow x > 1$  داریم  $z-1 \rightarrow (1-x)e^{\pm i\pi}$  در نتیجه به ازای همه مقادیر  $z$ ، جز  $z$  های واقع بر روی محور حقیقی  $-1 \leq x \leq 1$ ، داریم

$$Q_0(z) = \frac{1}{\gamma} \ln \frac{z+1}{z-1} \quad (239.12)$$

$$Q_1(z) = \frac{1}{\gamma} z \ln \frac{z+1}{z-1} - 1, \dots \quad (240.12)$$

برای مراجعه سریع، برخی از مقادیر خاص  $Q_n(z)$  را در اینجا نقل می کنیم.

۱. از جمله لگاریتمی [معادله (237.12)] داریم:  $Q_n(1) = \infty$ .
۲.  $Q_n(\infty) = 0$ . ساده ترین راه دستیابی به این مقدار بهره گیری از نمایش  $Q_n(x)$  به صورت یک سری از توانهای منفی  $x$  است (مسئله 4.10.12).
۳.  $Q_n(-z) = (-1)^{n+1} Q_n(z)$ . این عبارت از صورت سری به دست می آید. آن را می توان با استفاده از  $Q_0(z)$  و  $Q_1(z)$  و رابطه بازگشتی [معادله (17.12)] نیز استخراج کرد.

۴. با استفاده از بند (۳)، به ازای  $n$  زوج داریم:  $Q_n(0) = 0$ .

$$Q_n(0) = (-1)^{(n+1)/2} \frac{\{[(n-1)/2]\}^2}{n!} \gamma^{n-1} \quad .5$$

$$= (-1)^{s+1} \frac{(\gamma s)!!}{(\gamma s + 1)!!}, \quad n = \gamma s + 1$$

به ازای  $n$  فرد،  $n = \gamma s + 1$

نتیجه نهایی از صورت سری [معادله (۲۳۰.۱۲)] با  $p_n(0) = 1$  به دست می آید.

### مسائل

۱۰۱۰.۱۲ رابطه پاریته  $Q_n(x)$  را استخراج کنید.

۲۰۱۰.۱۲ با استفاده از معادلات (۲۲۶.۱۲) و (۲۲۷.۱۲)، نشان دهید

$$P_{2n}(x) = \frac{(-1)^n}{2^{2n-1}} \sum_{s=0}^n (-1)^s \frac{(2n+2s-1)!}{(2s)!(n+s-1)!(n-s)!} x^{2s} \quad (\text{الف})$$

$$P_{2n+1}(x) = \frac{(-1)^n}{2^{2n}} \sum_{s=0}^n (-1)^s \frac{(2n+2s+1)!}{(2s+1)!(n+s)!(n-s)!} x^{2s+1} \quad (\text{ب})$$

با نشان دادن این نکته که هر جمله در سریهای فوق با جمله متناظر در معادله (۸۰.۱۲) سازگار است، بهنجارش را بیازماید.

۳۰۱۰.۱۲ نشان دهید

$$Q_{2n}(x) = (-1)^n 2^{2n} \sum_{s=0}^n (-1)^s \frac{(n+s)!(n-s)!}{(2s+1)!(2n-2s)!} x^{2s+1} \quad (\text{الف})$$

$$+ 2^{2n} \sum_{s=-n+1}^{\infty} \frac{(n+s)!(2s-2n)!}{(2s+1)!(s-n)!} x^{2s+1}, \quad |x| < 1$$

$$Q_{2n+1}(x) = (-1)^{n+1} 2^{2n} \sum_{s=0}^n (-1)^s \frac{(n+s)!(n-s)!}{(2s)!(2n-2s+1)!} x^{2s} \quad (\text{ب})$$

$$+ 2^{2n+1} \sum_{s=-n+1}^{\infty} \frac{(n+s)!(2s-2n-2)!}{(2s)!(s-n-1)!} x^{2s}, \quad |x| < 1$$

۴۰۱۰.۱۲ (الف) با شروع از شکل فرضی

$$Q_n(x) = \sum_{\lambda=0}^{\infty} b_{-\lambda} x^{k-\lambda}$$

نشان دهید

$$Q_n(x) = b_0 x^{-n-1} \sum_{s=0}^{\infty} \frac{(n+s)!(n+2s)!(2n+1)!}{s!(n!)^2(2n+2s+1)!} x^{-2s}$$

(ب) گزینه استاندارد برای  $b_0$  عبارت است از

$$b_0 = \frac{2^n (n!)^2}{(2n+1)!}$$

نشان دهید که این گزینه  $b_0$ ، صورت سری توانهای منفی  $Q_n(x)$  را با جوابی که به شکل بسته باشد، سازگار خواهد کرد.

۵۰۱۰۱۲ تحقیق کنید که توابع نوع دوم ژاندر،  $Q_n(x)$ ، هم به ازای  $|x| < 1$  و هم به ازای  $|x| > 1$  در همان روابط بازگشتی صادق می‌کنند که  $P_n(x)$  نیز در آنها صادق است

$$(2n+1)xQ_n(x) = (n+1)Q_{n+1}(x) + nQ_{n-1}(x)$$

$$(2n+1)Q_n(x) = Q'_{n+1}(x) - Q'_{n-1}(x)$$

۶۰۱۰۱۲ الف) با استفاده از روابط بازگشتی (مستقل از رابطه رونسکیبی) ثابت کنید

$$n[P_n(x)Q_{n-1}(x) - P_{n-1}(x)Q_n(x)] = P_1(x)Q_0(x) - P_0(x)Q_1(x)$$

(ب) به کمک جانشانی مستقیم نشان دهید که سمت راست این معادله یک است.

۷۰۱۰۱۲ الف) زیر-برنامه‌ای بنویسید که  $Q_n(x)$  و  $Q$ های باشاخص پایین را بر اساس رابطه بازگشتی این توابع نوع دوم ژاندر تولید کند.  $x$  را در محدوده  $(-1, 1)$  بگیرید و از نقاط انتهایی چشم‌پوشید.

دانهمایی.  $Q_0(x)$  و  $Q_1(x)$  را معلوم بگیرید.

(ب) دقت زیر-برنامه خود را از طریق محاسبه  $Q_{10}(x)$  و مقایسه آن با مقادیری که در جدول فصل ۸ کتاب AMS-55 آمده است، بیازمایید.

## ۱۱.۱۲ هماهنگیهای گروی برداری

توجه ما در این فصل بیشتر به حل معادلات میدانهای نرده‌ای مانند میدان الکتروستاتیکی معطوف بوده است. علت این امر عمدتاً آن بوده است که کار کردن با میدانهای نرده‌ای نسبت به میدانهای برداری آسانتر است! اما با اشراف بر میدانهای نرده‌ای، میدانهای برداری هر چه بیشتر مورد توجه قرار می‌گیرند.

میدان مغناطیسی یک حلقه جریان

برای آنکه مشکلات را نشان دهیم، معادله زیر را برای پتانسیل برداری مغناطیسی در نظر



$$\nabla \times \nabla \times \mathbf{A} = \mu_0 \mathbf{J} \quad (241.12)$$

به علاوه، فرض می کنیم که شرایط مرزی در مختصات قطبی کروی به بهترین وجه بیان شده باشند. در نمونه یک حلقه جریان (بخش ۵.۱۲)، می شد این معادله را حل کرد، زیرا شکل  $\mathbf{A}$  کاملاً محدود می شد. از این معادله، به طور کلی سه معادله نرده ای به دست می آید که هر یک شامل هر سه مؤلفه  $A$  یعنی  $A_r, A_\theta, A_\phi$  هستند. چنین معادلات دیفرانسیل جفت شده ای را می توان حل کرد ولی در درسش زیاد است.

با قرار دادن  $\nabla \cdot \mathbf{A} = 0$ ، می توانیم معادله خود را به لاپلاسی برداری  $\nabla^2 \mathbf{A}$  تبدیل کنیم. این معادله در مختصات دکارتی به ازای هر مؤلفه به یک معادله تجزیه می شود. ولی، متأسفانه، مختصات حاکم بر شرایط مرزی ما (برای حلقه جریان) کروی است. برای آنکه این شرایط را بر آورده کنیم، باید مؤلفه های دکارتی  $A_x, A_y, A_z$  را به صورتی در هم بیامیزیم که احتمالاً کار کردن با آن هم دست و پاگیر و هم مشکل خواهد بود.

برای آنکه حل معادله (۲۴۱.۱۲) و سایر معادلات، نظیر معادله برداری هلمهولتز و معادله موج برداری میسر شود، ترکیبهای مختلفی از هماهنگهای کروی (نرده ای) را برای تشکیل بردارهایی در مختصات قطبی کروی به کار برده ایم. یک مجموعه، که در مکانیک کوانتومی به کار می رود، توسط هیل توصیف شده است.<sup>۲</sup> سه هماهنگ که وی برداری او عبارت اند از

$$\begin{aligned} \mathbf{V}_{LM} = \mathbf{r}_0 \left[ -\left(\frac{L+1}{2L+1}\right)^{1/2} Y_L^M \right] + \Phi_0 \left\{ \frac{1}{[(L+1)(2L+1)]^{1/2}} \frac{\partial Y_L^M}{\partial \theta} \right\} \\ + \Phi_0 \left\{ \frac{iM}{[(L+1)(2L+1)]^{1/2} \sin \theta} Y_L^M \right\} \quad (242.12) \end{aligned}$$

$$\begin{aligned} \mathbf{W}_{LM} = \mathbf{r}_0 \left[ \left(\frac{L}{2L+1}\right)^{1/2} Y_L^M \right] + \Phi_0 \left\{ \frac{1}{[L(2L+1)]^{1/2}} \frac{\partial Y_L^M}{\partial \theta} \right\} \\ + \Phi_0 \left\{ \frac{iM}{[L(2L+1)]^{1/2} \sin \theta} Y_L^M \right\} \quad (243.12) \end{aligned}$$

۱. نحوه استخراج این معادله از معادلات ماکسول را در مسئله ۵.۱۴ ببینید.

2. Hill, E. H., "Theory of Vector Spherical Harmonics," *Am. J. Phys.* **22**, 211 (1954) J. M. Blatt and V. Weisskopf, *Theoretical Nuclear Physics*, New York: Wiley (1952).

توجه کنید که هیل فاذا را مطابق قرارداد فاز کوندون-شورتلی (بخش ۶.۱۲) تعیین می کند.

کوانتوم مکانیکی که در آنها تکانه زاویه‌ای پارامتر مهمی به شمار می‌آید، متناسب است. موریس و فشاخ مجموعه دیگری از هماهنگهای کروی برداری  $B$ ،  $C$ ، و  $P$  را توصیف می‌کنند که در آن وابستگی شعاعی کلا در  $P$  و وابستگی زاویه‌ای در  $B$  و  $C$  است. این مجموعه، در هنگام بررسی معادله موج، هنگامی که بخواهیم اجزای طولی و عرضی موج را از یکدیگر جدا کنیم، دارای مزایایی است.

نمونه‌های دیگری از فایده و توانایی هماهنگهای کروی برداری را می‌توان در کتاب بلات و وایسکوف یا در کتاب موریس- فشاخ و یا در کتاب «الکترو دینامیک کلاسیکی» جکسون یافت، که این کتاب اخیر از هماهنگهای کروی برداری برای توصیف تابش چندگانه و مسائل الکترومغناطیسی مربوط به آن استفاده می‌کند.

هماهنگهای کروی برداری می‌توانند به عنوان نتیجه جفت شدگی  $L$  واحد تکانه زاویه‌ای مداری با  $l$  واحد تکانه زاویه‌ای اسپینی پدید آیند. تعمیم این روش، یعنی جفت شدگی  $L$  واحد تکانه زاویه‌ای مداری با  $l$  واحد تکانه زاویه‌ای اسپینی و تشکیل هماهنگ کروی تانسوری توسط ماتئوز<sup>۱</sup> عرضه شده است. کاربرد عمده هماهنگهای کروی تانسوری در حوزه بررسی تابش گرانشی است.

## مسائل

۱۰۱۱-۱۲ هماهنگهای کروی برداری منطابق با  $l=0$ ،  $m=0$  و  $l=1$ ،  $m=0$  را تشکیل دهید.

$$V_{00} = -r_0 (\varphi\pi)^{-1/2}$$

$$X_{00} = 0$$

$$W_{00} = 0$$

$$V_{10} = -r_0 (\varphi\pi)^{-1/2} \cos \theta - \theta_0 (\lambda\pi)^{-1/2} \sin \theta$$

$$X_{10} = \varphi_0 i (\varphi/\lambda\pi)^{1/2} \sin \theta$$

$$W_{10} = r_0 (\varphi\pi)^{-1/2} \cos \theta - \theta_0 (\varphi\pi)^{-1/2} \sin \theta$$

۲۰۱۱-۱۳ تحقیق کنید که پاریته  $V_{LM}$  برابر  $(-1)^{L+1}$ ، پاریته  $X_{LM}$  برابر  $(-1)^L$ ، و پاریته  $W_{LM}$  مساوی  $(-1)^{L+1}$  است. برای وابستگی به  $M$  در پاریته چه پیش آمد؟ دانهایی. پاریته  $r_0$  و  $\varphi_0$  فرد و پاریته  $\theta_0$  زوج است (بامسئله ۸.۵.۲ مقایسه کنید).

1. Mathews, J., "Gravitational Multipole Radiation," in H.P. Robertson, *In Memoriam*. Philadelphia: Society for Industrial and Applied Mathematics, 1963.

$$\nabla \cdot [F(r)\mathbf{X}_{LM}(\theta, \varphi)] = 0 \quad (250.12)$$

شرط

$$\nabla \cdot \mathbf{A} = 0 \quad (251.12)$$

$\mathbf{V}_{LM}$  و  $\mathbf{W}_{LM}$  را رد می‌کند و تنها  $\mathbf{X}_{LM}$  باقی می‌ماند. هر گاه جریان عبور نکند ( $\mathbf{J} = 0$ )، یعنی در موضعی دور از حلقه جریان، معادله (241.12)، همراه با معادله (251.12) به صورت زیر درمی‌آید

$$\nabla^2 \mathbf{A} = 0 \quad (252.12)$$

با استفاده از یک رابطه دیفرانسیلی دیگر هیل، با توجه به  $\mathbf{A}_{LM} = R(r)\mathbf{X}_{LM}(\theta, \varphi)$  خواهیم داشت

$$\nabla^2 [R(r)\mathbf{X}_{LM}(\theta, \varphi)] = \left[ \frac{d^2 R}{dr^2} + \frac{2}{r} \frac{dR}{dr} - \frac{L(L+1)}{r^2} R \right] \mathbf{X}_{LM} = 0 \quad (253.12)$$

که با معادله (113.12) ما سازگار است. داریم

$$\mathbf{A}_{LM} = a_{LM} r^{-L-1} \mathbf{X}_{LM}(\theta, \varphi) \quad (254.12)$$

مشاهده می‌کنیم که به دلیل تقارن حلقه، هیچ وابستگی سمتی نمی‌تواند وجود داشته باشد، پس  $M = 0$  و جواب ما به صورت زیر ساده می‌شود

$$\mathbf{A}_L = a_L r^{-L-1} \left\{ \frac{-i}{[L(L+1)]^{1/2}} \frac{\partial Y_L^0}{\partial \theta} \right\} \Phi. \quad (255.12)$$

این عبارت معادل است با معادله (116.12). ثابتهای  $a_L$  را، همان‌گونه که در بخش 5.12 برای  $c_n$ ها انجام دادیم، به کمک شرایط مرزی تعیین می‌کنیم. میدان مغناطیسی را می‌توان از رابطه زیر به دست آورد

$$\begin{aligned} \nabla \times [F(r)\mathbf{X}_{LM}] &= i \left( \frac{L}{2L+1} \right)^{1/2} \left[ \frac{dF}{dr} - \frac{L}{r} F \right] \mathbf{V}_{LM} \\ &+ i \left( \frac{L+1}{2L+1} \right)^{1/2} \left[ \frac{dF}{dr} + \frac{(L+1)}{r} F \right] \mathbf{W}_{LM} \end{aligned} \quad (256.12)$$

که متناظر است با معادله (119.12) [در اینجا  $F(r) = a_L r^{-L-1}$ ]

تعریفهایی که در اینجا برای هماهنگهای گروه برداری ارائه کردیم، عمدتاً با محاسبات

## توابع خاص

در این فصل به بررسی چهار مجموعه چندجمله‌ای متعامد: هرमित، لاگر، وچیشف<sup>۱</sup> از نوع اول و دوم می‌پردازیم. این چهار مجموعه، نسبت به توابع بسل و لژاندر در فصلهای ۱۱ و ۱۲، در فیزیک ریاضی از اهمیت کمتری برخوردارند، با این حال گهگاه به کار می‌روند و از این رو دست کم درخور توجه اندکی هستند. کاربردهای عددی مهم چندجمله‌ایهای چیشف در بخش ۴.۱۳ مورد بررسی قرار می‌گیرند. از آنجا که شگردهای کلی ریاضی مربوط به این چندجمله‌ایها تکرار مطالب دو فصل پیشین است، این توابع را تنها به صورت طرحی کلی مطرح می‌کنیم. اثباتهای مشروح، که در مسیر فصلهای ۱۱ و ۱۲ باشند، به خواننده واگذار می‌شود. در خاتمه این فصل، این چندجمله‌ایها و سایر توابع را بر حسب توابع فوق هندسی و فوق هندسی همشار بیان می‌کنیم.

## ۱.۱۳ توابع هرमित

توابع مولد چندجمله‌ایهای هرमित

چند جمله‌ایهای هرमित،  $H_n(x)$ ، (شکل ۱.۱۳) را می‌توان به کمک تابع مولد زیر

۱. چیشف در AMS-55 به صورت Chebyshev نوشته می‌شود. ولی صورتهای گوناگون دیگری هم برای املاي این نام دیده می‌شود، مانند Tschebyscheff.

۴.۱۱.۱۲ متعامد بهنجار بودن هماهنگیهای گروه برداری  $V_{LM}$ ،  $X_{LM}$  و  $W_{LM}$  را تحقیق کنید.

۴.۱۱.۱۳ جکسون در ویرایش دوم کتاب الکترو دینامیک کلاسیکی  $X_{LM}$  را بدکم معادله زیر تعریف می کند

$$X_{LM}(\theta, \varphi) = \frac{1}{\sqrt{L(L+1)}} LY_L^M(\theta, \varphi)$$

که در آن عملگر تکانه زاویه ای  $L$  از رابطه زیر به دست می آید

$$L = -i(\mathbf{r} \times \nabla)$$

نشان دهید که این تعریف با معادله (۲۴۴.۱۲) سازگار است.

۵.۱۱.۱۲ نشان دهید

$$\sum_{M=-L}^L X_{LM}^*(\theta, \varphi) \cdot X_{LM}(\theta, \varphi) = \frac{2L+1}{4\pi}$$

داهنمایی. یکی از راهها این است که از مسئله ۴.۱۱.۱۲ استفاده کنید و  $L$  را با استفاده از عملگرهای فزاینده و کاهنده بخش ۷.۱۲، بر حسب مختصات دکارتی بسط دهید.

۶.۱۱.۱۲ نشان دهید که

$$\int X_{LM}(\theta, \varphi) \cdot (\mathbf{r}_0 \times \mathbf{X}_{LM}) d\Omega = 0$$

انتگرالده نمایشگر یک جمله تداخلی در تابش الکترومغناطیسی است که در توزیعهای زاویه ای سهمیم است ولی در شدت کل سهمی ندارد.

## مراجع

Hobson, E. W., *The Theory of Spherical and Ellipsoidal Harmonics*. New-York: Chelsea, 1955.

این کتاب که یک کتاب درسی درباره چند جمله ایهای لژاندر و همه توابع مربوط به آن است، مرجع بسیار کاملی است.

به فهرست مراجعی که در انتهای فصل ۱۳ آمده اند، نیز رجوع کنید.

## جدول ۱۰۱۳ چندجمله‌ایهای هرمیت.

$$H_0(x) = 1$$

$$H_1(x) = 2x$$

$$H_2(x) = 4x^2 - 2$$

$$H_3(x) = 8x^3 - 12x$$

$$H_4(x) = 16x^4 - 48x^2 + 12$$

$$H_5(x) = 32x^5 - 160x^3 + 120x$$

$$H_6(x) = 64x^6 - 480x^4 + 720x^2 - 120$$

با استفاده از تابع مولد می‌توان بعضی مقادیر خاص چندجمله‌ایهای هرمیت را به دست

آورد؛ یعنی

$$H_{2n}(0) = (-1)^n \frac{(2n)!}{n!} \quad (4.13)$$

$$H_{2n+1}(0) = 0 \quad (5.13)$$

همچنین می‌توان به اتکای تابع مولد رابطه مهم پارابولیک زیر را به دست آورد

$$H_n(x) = (-1)^n H_n(-x) \quad (6.13)$$

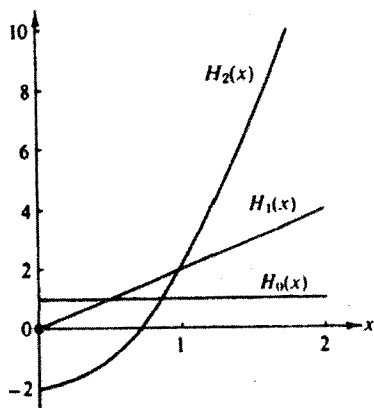
## نمایشهای دیگر

با  $n$  بار مشتقگیری از تابع مولد نسبت به  $t$  و سپس مساوی صفر قرار دادن  $t$  داریم

$$H_n(x) = (-1)^n e^{x^2} \frac{d^n}{dx^n} (e^{-x^2}) \quad (7.13)$$

۱. تابع مولد را به صورت  $g(x,t) = e^{x^2} e^{-(t-x)^2}$  بازنویسی کنید. دقت کنید که

$$\frac{\partial}{\partial t} e^{-(t-x)^2} = -\frac{\partial}{\partial x} e^{-(t-x)^2}$$



شکل ۱۰۱۳ چند جمله‌ایهای هرमित.

تعریف کرد

$$g(x, t) = e^{-t^2 + 2tx} = \sum_{n=0}^{\infty} H_n(x) \frac{t^n}{n!} \quad (1.13)$$

روابط بازگشتی

دقت کنید که در اینجا برخلاف توابع هنکل، شاخص بالا نداریم و همین نکته باعث می‌شود این دو تابع را، که هیچ ارتباطی هم با یکدیگر ندارند، از هم تمیز دهیم. با توجه به تابع مولد پی می‌بریم که چند جمله‌ایهای هرमित در روابط بازگشتی زیر صدق می‌کنند

$$H_{n+1}(x) = 2xH_n(x) - 2nH_{n-1}(x) \quad (2.13)$$

و

$$H'_n(x) = 2nH_{n-1}(x) \quad (3.13)$$

معادله (۲.۱۳) را می‌توان به کمک مشتقگیری از تابع مولد نسبت به  $t$  به دست آورد. مشتقگیری نسبت به  $x$  به معادله (۳.۱۳) می‌انجامد.

با بسط مستقیم تابع مولد به آسانی پی می‌بریم که:  $H_0(x) = 1$  و  $H_1(x) = 2x$ . در این صورت معادله (۲.۱۳) تشکیل هر  $H_n(x)$  مطلوبی را میسر می‌سازد ( $n$  عدد درست است). برای مراجعه راحت‌تر، تعدادی چند جمله‌ای اول هرमित را در جدول ۱۰۱۳ آورده‌ایم.

که  $\varphi_n(x)$  دیگر يك چندجمله‌ای نیست.

پس از جانشانی در معادله (۱۰.۱۳)، معادله دیفرانسیل مربوط به  $\varphi_n(x)$  به دست می‌آید

$$\varphi_n''(x) + (2n+1-x^2)\varphi_n(x) = 0 \quad (12.13)$$

این عبارت، معادله دیفرانسیل مربوط به نوسانگر هماهنگ ساده در مکانیک کوانتومی است، که شاید تنها کاربرد بسیار مهم چندجمله‌ایهای هرمیت به‌شمار می‌آید. معادله (۱۲.۱۳) خود-الحاقی است و جوابهای آن،  $\varphi_n(x)$ ها، در بازه  $(-\infty < x < \infty)$  با تابع وزنی واحد متعامدند.

مسئله به‌نجارش این توابع باقی می‌ماند. مانند بخش ۳.۱۲ عمل می‌کنیم؛ معادله (۱۰.۱۳) را درخودش و سپس در  $x^2$  ضرب می‌کنیم. خواهیم داشت

$$e^{-x^2} e^{-x^2+2xz} e^{-x^2+2xz} = \sum_{n,n=0}^{\infty} e^{-x^2} H_n(x) H_n(x) \frac{s^{m!n}}{m!n!} \quad (13.13)$$

وقتی روی  $x$  از  $-\infty$  تا  $+\infty$  انتگرال بگیریم، جملات حاوی حاصلضرب دو تابع با شاخصهای بالای مختلف به‌اعتبار خاصیت تعامد صفر می‌شوند، و

$$\begin{aligned} \sum_{n=0}^{\infty} \frac{(st)^n}{n!n!} \int_{-\infty}^{\infty} e^{-x^2} [H_n(x)]^2 dx &= \int_{-\infty}^{\infty} e^{-x^2-x^2+2xz-x^2+2xz} dx \\ &= \int_{-\infty}^{\infty} e^{-(x-s)^2} e^{2sz} dx \quad (14.13) \\ &= \pi^{1/2} e^{2sz} = \pi^{1/2} \sum_{n=0}^{\infty} \frac{2^n (st)^n}{n!} \end{aligned}$$

با مساوی قرار دادن ضریب توانهای مشابه  $st$ ، داریم

$$\int_{-\infty}^{\infty} e^{-x^2} [H_n(x)]^2 dx = 2^n \pi^{1/2} n! \quad (15.13)$$

۱. جملات حاوی حاصلضرب دو تابع با شاخصهای بالای مختلف ( $m \neq n$ ) را می‌توانیم، اگر بخواهیم، نکه داریم. سپس، هنگامی که ضرایب  $s^\alpha t^\beta$  دوطرف را باهم برابر می‌گیریم، خاصیت تعامد آشکار می‌شود.



از این عبارت به نمایش زردریگز برای  $H_n(x)$  می‌رسیم. با استفاده از حساب مانده‌ها (فصل ۷، جلد اول) می‌توان به نمایش دیگری دست یافت. اگر معادله (۱۰.۱۳) را در  $t^{-m-1}$  ضرب کنیم و در پیرامون مبدأ از آن انتگرال بگیریم، فقط جمله حاوی  $H_m(x)$  باقی می‌ماند

$$H_m(x) = \frac{m!}{\sqrt{\pi}i} \oint t^{-m-1} e^{-t^2 + 2tx} dt \quad (۸.۱۳)$$

همچنین به کمک معادله (۱۰.۱۳)، می‌توانیم چند جمله‌ای هرمیت  $H_n(x)$  را به صورت سری بنویسیم

$$\begin{aligned} H_n(x) &= (2x)^n - \frac{2n!}{(n-2)!2!} (2x)^{n-2} + \frac{2n!}{(n-4)!4!} (2x)^{n-4} \times 3 \dots \\ &= \sum_{s=0}^{[n/2]} (-2)^s (2x)^{n-2s} \binom{n}{2s} 1 \times 3 \times 5 \times \dots (2s-1) \quad (۹.۱۳) \\ &= \sum_{s=0}^{[n/2]} (-1)^s (2x)^{n-2s} \frac{n!}{(n-2s)!s!} \end{aligned}$$

این سری به ازای عدد درست  $n$  خاتمه می‌یابد و چند جمله‌ای هرمیت به دست می‌آید.

### تعامل

روابط بازگشتی [معادله‌های (۲۰.۱۳) و (۳۰.۱۳)] به معادله دیفرانسیل خطی مرتبه دوم زیر می‌انجامد

$$H_n''(x) - 2xH_n'(x) + 2nH_n(x) = 0 \quad (۱۰.۱۳)$$

آشکار است که این معادله خود-الحاقی نیست.

برای آنکه معادله (۱۰.۱۳) را به صورت خود-الحاقی درآوریم، آن را در  $\exp(-x^2)$  ضرب می‌کنیم (مسئله ۲.۱۰۹). این کار، به انتگرال تعامل زیر می‌انجامد

$$\int_{-\infty}^{\infty} H_m(x)H_n(x)e^{-x^2}dx = 0, \quad m \neq n \quad (الف ۱۰.۱۳)$$

که تابع وزنی  $\exp(-x^2)$  در این انتگرال، پیامد تبدیل معادله دیفرانسیل به یک صورت خود-الحاقی است. انتخاب بازه  $(-\infty, \infty)$  به این اعتبار است که شرایط مرزی عملگر هرمیتی، بخش ۱۰.۹، برآورده شود. گاهی بهتر است که تابع وزنی را در چند جمله‌ایهای هرمیت وارد کنیم. می‌توان تابع زیر را تعریف کرد

$$\varphi_n(x) = e^{-x^2/2} H_n(x) \quad (۱۱.۱۳)$$

$$X_{LM} = \Theta_0 \left\{ \frac{-M}{[L(L+1)]^{1/2} \sin \theta} Y_L^M \right\} + \Phi_0 \left\{ \frac{-i}{[L(L+1)]^{1/2}} \frac{\partial Y_L^M}{\partial \theta} \right\} \quad (244.12)$$

این توابع در رابطه کلی تعامد زیر صلق می کنند

$$\int A_{LM} \cdot B_{L'M'}^* d\Omega = \delta_{AB} \delta_{LL'} \delta_{MM'} \quad (245.12)$$

که در آن  $\mathbf{A}$  و  $\mathbf{B}$  ممکن است  $\mathbf{V}$ ،  $\mathbf{X}$ ، یا  $\mathbf{W}$  باشند. این رابطه را می توان با استفاده از تعریف  $\mathbf{V}$ ،  $\mathbf{X}$ ، و  $\mathbf{W}$  و تبدیل انتگرال به انتگرال یکی از هماهنگهای کروی متعامد بهنجار معمولی  $Y_L^M(\theta, \varphi)$  اثبات کرد.

به انکای اعمال مربوط به پارته (وارونی مختصات)، هماهنگهای کروی برداری به صورت زیر تبدیل می شوند

$$V_{LM}(\theta', \varphi') = (-1)^{L+1} V_{LM}(\theta, \varphi)$$

$$W_{LM}(\theta', \varphi') = (-1)^{L+1} W_{LM}(\theta, \varphi) \quad (246.12)$$

$$X_{LM}(\theta', \varphi') = (-1)^L X_{LM}(\theta, \varphi)$$

که در آن

$$\theta' = \pi - \theta \quad (247.12)$$

$$\varphi' = \pi + \varphi$$

برای اثبات این روابط، باید بدخاطر داشت که از بردارهای یکه مختصات قطبی کروی،  $\mathbf{r}_0$  و  $\Phi_0$  فرد و  $\Theta_0$  زوج است. این خواص را می توان با بیان بردارهای یکه  $\mathbf{r}_0$ ،  $\Theta_0$ ، و  $\Phi_0$  بر حسب بردارهای یکه دکارتی  $\mathbf{i}$ ،  $\mathbf{j}$ ، و  $\mathbf{k}$  و مختصات قطبی کروی، اثبات کرد. برای نمایش کاربرد هماهنگهای کروی برداری، در اینجا نیز معادله (241.12) را در نظر بگیرید. از جدول هیل برای روابط دیفرانسیلی داریم

$$\nabla \cdot [F(r) V_{LM}(\theta, \varphi)] = - \left( \frac{L+1}{r(L+1)} \right)^{1/2} \left[ \frac{dF}{dr} + \frac{L+1}{r} F \right] Y_L^M(\theta, \varphi) \quad (248.12)$$

$$\nabla \cdot [F(r) W_{LM}(\theta, \varphi)] = \left( \frac{L}{r(L+1)} \right)^{1/2} \left[ \frac{dF}{dr} - \frac{L-1}{r} F \right] Y_L^M(\theta, \varphi) \quad (249.12)$$

نوسانگر هماهنگ ساده مکانیک کوانتومی

چنان که گفتیم، چند جمله‌ایهای هرمیت در بررسی مکانیک کوانتومی نوسانگر هماهنگ ساده به کار می‌روند. معادله موج شرودینگر، برای انرژی پتانسیل

$$(\text{نیرو } \mathbf{F} = -\nabla V = -Kz\mathbf{k})V = (1/2)Kz^2 = (1/2)m\omega^2z^2$$

عبارت است از

$$\frac{-\hbar^2}{2m} \nabla^2 \Psi(z) + \frac{1}{2} Kz^2 \Psi(z) = E \Psi(z) \quad (16.13)$$

جرم ذره نوسانگر ما  $m$  و انرژی کل آن  $E$  است. با استفاده از ثابتها و متغیرهای خلاصه شده به‌قرار زیر

$$\alpha^2 = \frac{mK}{\hbar^2} = \frac{m^2 \omega^2}{\hbar^2} \quad \text{با } x = \alpha z \quad (17.13)$$

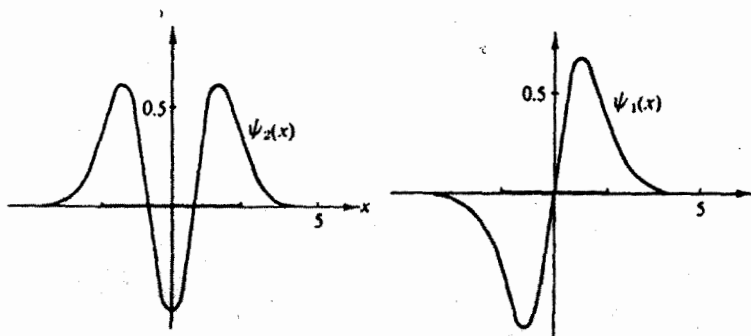
$$\lambda = \frac{2E}{\hbar} \left( \frac{m}{K} \right)^{1/2} = \frac{2E}{\hbar \omega}$$

که در آن  $\omega$  بسامد زاویه‌ای نوسانگر کلاسیکی متناظر است، معادله (16.13) [با تغییر  $\Psi(z) = \Psi(x/a) = \psi(x)$  به صورت زیر درمی‌آید

$$\frac{d^2 \psi(x)}{dx^2} + (\lambda - x^2) \psi(x) = 0 \quad (18.13)$$

این عبارت همان معادله (12.13) است که در آن  $\lambda = 2n + 1$ . از این رو (شکل 2.13) داریم

$$\psi_n(x) = 2^{-n/2} \pi^{-1/4} (n!)^{-1/2} e^{-x^2/2} H_n(x) \quad (\text{پهنجار}) \quad (19.13)$$



شکل ۲۰۱۳ تابع موجهای نوسانگر در مکانیک کوانتومی. پاره خط پرنک روی محور  $x$  گستره مجاز نوسانگر کلاسیکی با انرژی کل یکسان را نشان می‌دهد.

این شرط را که  $n$  باید عدد درست باشد، شرایط مرزی سیستم مکانیک کوانتومی یعنی شرط زیر، وضع می‌کند

$$\lim_{z \rightarrow \pm\infty} \Psi(z) = 0$$

به خصوص اگر  $n \rightarrow \nu$ ، عدد غیر درست، جواب سری توانی معادله (۱۰.۱۳) مسئله (۶.۵.۸) نشان می‌دهد که  $H_\nu(x)$  به ازای مقادیر بزرگ  $x$  مانند  $x^2 e^{x^2}$  رفتار می‌کند. بنابراین توابع  $\psi_\nu(x)$  و  $\Psi_\nu(z)$  در بینهایت نامتناهی می‌شوند و نمی‌توان تابع موج  $\Psi(z)$  را بهنجار کرد. با این شرط انرژی به صورت زیر درمی‌آید

$$E = \left(n + \frac{1}{2}\right) \hbar\omega \quad (20.13)$$

از آنجا که گستره مقادیر  $n$  اعداد درست مثبت است ( $n \geq 0$ )، مشاهده می‌شود که انرژی کوانتیده است و یک انرژی کمینه یا نقطه صفر به صورت زیر وجود دارد

$$E_{\min} = \frac{1}{2} \hbar\omega \quad (21.13)$$

این انرژی نقطه صفر، جنبه‌ای است از اصل عدم قطعیت و یک پدیده صرفاً کوانتومی به شمار می‌آید.

### عملگرهای فزاینده و کاهشنده

یکی دیگر از روشهای بررسی نوسانگر مکانیک کوانتومی که در بسیاری از کتابهای درسی مکانیک کوانتومی یافت می‌شود، بهره‌گیری از عملگرهای فزاینده و کاهشنده است

$$\frac{1}{\sqrt{2}} \left(x - \frac{d}{dx}\right) \psi_n(x) = (n+1)^{1/2} \psi_{n+1}(x) \quad (22.13 \text{ الف})$$

$$\frac{1}{\sqrt{2}} \left(x + \frac{d}{dx}\right) \psi_n(x) = n^{1/2} \psi_{n-1}(x) \quad (22.13 \text{ ب})$$

در مکانیک کوانتومی غالباً عملگر فزاینده را یک عملگر آفرینش،  $\hat{a}^+$ ، و عملگر کاهشنده را یک عملگر نابودی،  $\hat{a}$ ، می‌نامند. تابع موج  $\psi_n$  [که در واقع به کمک معادله (۱۹.۱۳) به دست می‌آید] نامعلوم است. به دست آوردن آن مشابه استفاده از عملگرهای فزاینده و کاهشنده در بخش ۷.۱۲ است. تابع موج با انرژی کمینه یا تابع موج حالت پایه،  $\psi_0$ ، در معادله زیر صدق می‌کند

$$\left(x + \frac{d}{dx}\right) \psi_0(x) = 0 \quad (23.13)$$

و پس از بهنجارش به واحد، داریم

$$\psi_0(x) = \pi^{-1/4} e^{-x^2/2} \quad (الف) (۲۳.۱۳)$$

که با معادله (۱۹.۱۳) سازگار است. در این صورت تابع موجهای حالت‌های برانگیخته،  $\psi_1$ ،  $\psi_2$ ، و غیره را می‌توان به کمک عملگر فزاینده، در معادله (۲۲.۱۳ الف)، به دست آورد. تحقیق درستی روابط عملگرهای فزاینده و کاهنده، معادلات (۲۲.۱۳ الف) و (۲۲.۱۳ ب)، در قالب مسئله ۱۶.۱۰۱۳ به خواننده واگذار می‌شود.

در مکانیک کوانتومی، به ویژه در طیف‌نمایی مولکولی به انتگرالهایی به صورت زیر نیاز پیدا می‌کنیم

$$\int_{-\infty}^{\infty} x^r e^{-x^2} H_n(x) H_m(x) dx$$

نمونه‌هایی از این انتگرالها را، به ازای  $r=1$  و  $r=2$  (با  $n=m$ )، در مسائل آخر این بخش ارائه کرده‌ایم. نمونه‌های بسیار دیگری از این انتگرالها توسط ویلسون، دسیوز، و کراس<sup>۱</sup> ارائه شده است.

کاربرد پتانسیل نوسانگر در محاسبات ساختار هسته‌ای (مدل پوسته‌ای هسته) نیز فراوان است.

معادله (۱۵.۱۳) یک جواب مستقل دیگر هم دارد. این تابع نوع دوم هرمیت، یک سری نامتناهی است (بخشهای ۵.۸ و ۶.۸) و دست کم تاکنون هیچ‌گونه کاربرد فیزیکی نداشته است.

## مسائل

۱۰۱.۱۳ فرض کنید که چند جمله‌ایهای هرمیت را جوابهای معادله دیفرانسیل (۱۵.۱۳) بگیریم و با استفاده از آن رابطه بازگشتی، معادله (۳.۱۳)، و مقادیر  $H_n(0)$  نیز معلوم باشند. (الف) فرض کنید که تابع مولد زیر وجود دارد

$$g(x, t) = \sum_{n=0}^{\infty} H_n(x) t^n / n!$$

(ب) از  $g(x, t)$  نسبت به  $x$  مشتق بگیرید و با استفاده از رابطه بازگشتی، یک معادله دیفرانسیل مرتبه اول برای  $g(x, t)$  تشکیل دهید.

1. Wilson, Jr., E. B., J.C. Decius, and P.C. Cross, *Molecular Vibrations*. New York: McGraw-Hill, 1955.

(ج)  $t$  را ثابت و نسبت به  $x$  انتگرال بگیرید.(د)  $g(0, t)$  را با استفاده از معادلات (۴.۱۳) و (۵.۱۳) محاسبه کنید. سرانجام،

نشان دهید

$$g(x, t) = \exp(-t^2 + 2tx)$$

۴.۱.۱۳ در روند بررسی و استخراج خواص چندجمله‌ایهای هرمیت، می‌توانید از جاهای مختلفی شروع کنید، مثلاً:

۱. معادلهٔ دیفرانسیل هرمیت [معادلهٔ (۱۵.۱۳)]،

۲. فرمول رد ریگنز [معادلهٔ (۷.۱۳)]،

۳. نمایش انتگرالی [معادلهٔ (۸.۱۳)]،

۴. تابع مولد [معادلهٔ (۱.۱۳)]،

۵. روش گرام-اشمیت برای تشکیل مجموعهٔ کاملی از چندجمله‌ایهای متعامد، روی بازهٔ

 $(-\infty, \infty)$  با تابع وزنی  $\exp(-x^2)$  (بخش ۳.۹).

به‌طور خلاصه شرح دهید که چگونه می‌توانید از هر یک از این نقاط شروع کنید و بقیهٔ آنها را به‌دست آورید.

۴.۱.۱۳ با استفاده از تابع مولد نشان دهید که

$$H_n(x) = \sum_{s=0}^{\lfloor n/2 \rfloor} (-1)^s \frac{n!}{(n-2s)!s!} (2x)^{n-2s}$$

۴.۱.۱۳ با استفاده از تابع مولد، روابط بازگشتی زیر را استخراج کنید

$$H_{n+1}(x) = 2xH_n(x) - 2nH_{n-1}(x)$$

$$H'_n(x) = 2nH_{n-1}(x)$$

۵.۱.۱۳ ثابت کنید

$$\left(2x - \frac{d}{dx}\right)^n 1 = H_n(x)$$

دانهمایی. چند رابطهٔ اول را اثبات کنید و آنگاه از استقرای ریاضی بهره‌گیرید.

۶.۱.۱۳ ثابت کنید

$$|H_n(x)| \leq |H_n(ix)|$$

۷۰۱۰۱۳ صورت سری  $H_n(x)$ ، معادله (۹۰۱۳)، را به صورت یک سری توانی صعودی بازنویسی کنید.

$$H_{2n}(x) = (-1)^n \sum_{s=0}^n (-1)^s (2x)^{2s} \frac{(2n)!}{(2s)!(n-s)!} \quad \text{پاسخ.}$$

$$H_{2n+1}(x) = (-1)^n \sum_{s=0}^n (-1)^s (2x)^{2s+1} \frac{(2n+1)!}{(2s+1)!(n-s)!}$$

۸۰۱۰۱۳ الف)  $x^{2r}$  را به صورت یک سری از چند جمله‌ایهای هرمیت بامرتبه زوج بسط دهید.

ب)  $x^{2r+1}$  را به صورت یک سری از چند جمله‌ایهای هرمیت بامرتبه فرد بسط دهید.

$$x^{2r} = \frac{(2r)!}{2^{2r}} \sum_{n=0}^r \frac{H_{2n}(x)}{(2n)!(r-n)!} \quad \text{پاسخ. الف)}$$

$$x^{2r+1} = \frac{(2r+1)!}{2^{2r+1}} \sum_{n=0}^r \frac{H_{2n+1}(x)}{(2n+1)!(r-n)!}, \quad r=0, 1, 2, \dots \quad \text{ب)}$$

دانهمایی. از نمایش رد ریگنر برای  $H_{2n}(x)$  انتگرال جزء به جزء بگیرید.

۹۰۱۰۱۳ نشان دهید

$$\int_{-\infty}^{\infty} H_n(x) \exp[-x^2/2] dx = \begin{cases} 2\pi n! / (n/2)!, & \text{زوج } n \\ 0, & \text{فرد } n \end{cases} \quad \text{الف)}$$

$$\int_{-\infty}^{\infty} x H_n(x) \exp[-x^2/2] dx = \begin{cases} 0, & \text{زوج } n \\ 2\pi \frac{(n+1)!}{\left(\frac{n+1}{2}\right)!}, & \text{فرد } n \end{cases} \quad \text{ب)}$$

۱۰۰۱۰۱۳ نشان دهید

$$\int_{-\infty}^{\infty} x^m e^{-x^2} H_n(x) dx = 0 \quad \text{به ازای } m \text{ عدد درست } 0 \leq m \leq n-1$$

۱۱۰۱۰۱۳ احتمال گذار بین دو حالت  $m$  و  $n$  نوسانگر به انتگرال زیر بستگی دارد

$$\int_{-\infty}^{\infty} x e^{-x^2} H_n(x) H_m(x) dx$$

نشان دهید که حاصل این انتگرال با  $\pi^{1/2} 2^{n-1} n! \delta_{m,n-1} + \pi^{1/2} 2^n (n+1)! \delta_{m,n+1}$  برابر است. این نتیجه نشان می‌دهد که چنین گذارهایی تنها می‌توانند بین ترازهای انرژی مجاور، با  $m = n \pm 1$  صورت پذیرند.

دانهمایی. تابع مولد [معادله (۱.۱۳)] را درخودش ضرب کنید، برای این کار دو مجموعه متفاوت از متغیرها  $(x, s)$  و  $(x, t)$  را به کار برید. یا در روند دیگر، می‌توان عامل  $x$  را به کمک رابطه بازگشتی، معادله (۲.۱۳)، حذف کرد.

۱۴.۱.۱۳ نشان دهید که

$$\int_{-\infty}^{\infty} x^{\nu} e^{-x^2} H_n(x) H_n(x) dx = \pi^{1/2} 2^n n! \left(n + \frac{1}{2}\right)$$

به این انتگرال در محاسبه میانگین مربعی جابه‌جایی نوسانگر کوانتومی برمی‌خوریم. دانهمایی. از رابطه بازگشتی معادله (۲.۱۳) و انتگرال تعامد استفاده کنید.

۱۴.۱.۱۴ انتگرال

$$\int_{-\infty}^{\infty} x^{\nu} \exp[-x^2] H_n(x) H_n(x) dx$$

را بر حسب  $n$  و  $m$  و توابع دلتای کروئکر مناسب محاسبه کنید. پاسخ.

$$2^{n-1} \pi^{1/2} (\nu n + 1) n! \delta_{n,m} + 2^n \pi^{1/2} (n + \nu)! \delta_{n-\nu,m} + 2^{n-\nu} \pi^{1/2} n! \delta_{n+\nu,m}$$

۱۴.۱.۱۴ نشان دهید که به ازای اعداد درست نامفی  $n, p, r$  داریم

$$\int_{-\infty}^{\infty} x^r \exp[-x^2] H_n(x) H_{n+p}(x) dx = \begin{cases} 0, & p > r \\ 2^n \pi^{1/2} (n+r)! & p = r \end{cases}$$

دانهمایی. رابطه بازگشتی، معادله (۲.۱۳)، را  $p$  بار به کار برید.

۱۵.۱.۱۳ (الف) با استفاده از فرمول انتگرال کوشی، یک نمایش انتگرالی بر اساس معادله (۱.۱۳)، برای  $H_n(x)$  با پر بندی که نقطه  $z = -x$  را دور بزند، ابداع کنید.

$$H_n(x) = \frac{n!}{\sqrt{\pi} i} e^{x^2} \oint \frac{e^{-z^2}}{(z+x)^{n+1}} dz \quad \text{پاسخ.}$$

(ب) از طریق جانشانی مستقیم نشان دهید که این نمایش در معادله هر میت صدق می‌کند.



$$\psi_n(x) = e^{-x^2/2} H_n(x) / (\sqrt{2^n n!} \pi^{1/4})^{1/2}$$

تحقیق کنید که

$$\hat{a}_n \psi_n(x) = \frac{1}{\sqrt{2}} \left( x + \frac{d}{dx} \right) \psi_n(x) = n^{1/2} \psi_{n-1}(x)$$

$$\hat{a}_n^+ \psi_n(x) = \frac{1}{\sqrt{2}} \left( x - \frac{d}{dx} \right) \psi_n(x) = (n+1)^{1/2} \psi_{n+1}(x)$$

یادآوری. در رهیافتهای متداول در مکانیک کوانتومی این خواص فزاینده و کاهنده، قبل از آنکه شکل  $\psi_n(x)$  معلوم باشد، تثبیت می‌شوند.

۱۷۰۱۰۱۳ (الف) درستی اتحاد عملگری زیر را تحقیق کنید

$$x - \frac{d}{dx} = -\exp[x^2/2] \frac{d}{dx} \exp[-x^2/2]$$

(ب) تابع موج بهنجار نوسانگر هماهنگ ساده عبارت است از

$$\psi_n(x) = (\pi^{1/2} 2^n n!)^{-1/2} \exp[-x^2/2] H_n(x)$$

نشان دهید که این تابع را می‌توان به صورت زیر نوشت

$$\psi_n(x) = (\pi^{1/2} 2^n n!)^{-1/2} \left( x - \frac{d}{dx} \right)^n \exp[-x^2/2]$$

یادآوری. این عبارت متناظر است با کاربرد  $n$ -گانه عملگر فزاینده مسئله ۱۶۰۱۰۱۳.

۱۸۰۱۰۱۳ (الف) نشان دهید که هامیلتونی نوسانگر ساده [در معادله (۱۸۰۱۳)] را می‌توان به صورت زیر نوشت

$$H = -\frac{1}{2} \frac{d^2}{dx^2} + \frac{1}{2} x^2 = \frac{1}{2} (\hat{a} \hat{a}^+ + \hat{a}^+ \hat{a})$$

دانهمایی.  $E$  را بر حسب یكاهای  $\hbar\omega$  بیان کنید.

(ب) با استفاده از فرمولبندی عملگر آفرینش-نابودی دربند (الف) نشان دهید که

$$H\psi(x) = \left( n + \frac{1}{2} \right) \psi(x)$$

یعنی، ویژه‌مقدارهای انرژی برابرند با  $E = (n + 1/2)\hbar\omega$ ، که با معادله (۲۰.۱۳) سازگار است.

برنامه‌ای بنویسید که ضرایب  $a_n$  چند جمله‌ای مربوط به چندجمله‌ای هرمیت،  $H_n(x) = \sum_{r=0}^n a_r x^r$  را تولید کند.

۲۰.۱۰۱۳ تابع  $f(x)$  را به صورت یک سری هرمیت به قرار زیر بسط داده‌ایم

$$f(x) = \sum_{n=0}^{\infty} a_n H_n(x)$$

ضرایب  $a_n$ ، با استفاده از تعامد و بهنجارش چندجمله‌ای هرمیت به صورت زیر به دست می‌آیند

$$a_n = \frac{1}{\sqrt{n\pi}^{1/2} n!} \int_{-\infty}^{\infty} f(x) H_n(x) e^{-x^2} dx$$

ضرایب هرمیت،  $a_n$ ، را به ازای  $f(x) = x^8$ ، به کمک کوادراتور گاوس-هرمیت (پیوست ۲ را ببینید) تعیین کنید. ضرایب حاصل را با جدول ۱۲.۲۲ از کتاب AMS-55 بیازمایید.

۲۱.۰۱۳ (الف) مانند مسئله ۱۳.۲.۱۲، ماتریس ضرایب چندجمله‌ایهای زوج هرمیت، یعنی ماتریس **B** را، که یک سری زوج هرمیت را به یک سری زوج توانی تبدیل می‌کند، تشکیل دهید.

$$\mathbf{B} = \begin{pmatrix} 1 & -2 & 12 & \dots \\ 0 & 4 & -48 & \dots \\ 0 & 0 & 16 & \dots \\ \vdots & \vdots & \vdots & \dots \\ \vdots & \vdots & \vdots & \dots \\ \vdots & \vdots & \vdots & \dots \end{pmatrix}$$

**B** را تا سری چندجمله‌ای زوج  $H_n(x)$  ادامه دهید.

(ب) ماتریس **B** را وارون کنید و ماتریس **A** را که سریهای زوج توانی (تا  $x^8$ ) را به سریهای چندجمله‌ایهای زوج هرمیت تبدیل می‌کند، به دست آورید. عناصر **A** را با عناصری که در جدول ۱۲.۲۲ متعلق به AMS-55 آمده‌اند، بیازمایید.

(ج) سرانجام، با استفاده از ضرب ماتریسی، سری هرمیتی معادل با  $f(x) = x^8$  را تعیین کنید.

۲۲.۰۱۳ زیر-برنامه‌ای بنویسید که سری توانی متناهی  $\sum_{n=0}^N a_n x^n$  را به سری هرمیت  $\sum_{n=0}^N b_n H_n(x)$  تبدیل کند. از رابطه بازگشتی معادله (۲.۱۳) بهره‌گیرید و شگردی را که

طرح کلی آن در بخش ۴.۱۳ برای یک سری چیشف آمده است، دنبال کنید.

یاد آوری. اگر  $f(x)$  به صورت یک سری توانی در دسترس باشد، هر دو مسئله ۲۱.۱.۱۳ و ۲۲.۱.۱۳ سریعتر و دقیقتر از کوادراتور گاوسی در مسئله ۲۰.۱.۱۳ به نتیجه می‌رسند.

۲۳.۱.۱۳ با استفاده از کوادراتور ده رقمی گاوس-هرمیت (به ازای  $19 \leq p+q+r$ ) زیر-برنامه‌ای برای محاسبه عناصر ماتریسی چندجمله‌ای هرمیت به صورت زیر بنویسید

$$M_{pqr} = \int_{-\infty}^{\infty} H_p(x) H_q(x) x^r e^{-x^2} dx$$

یک آزمون پارینه هم در برنامه بگنجانید و انتگرالهایی را که انتگرالده آنها پارینه فرد دارند بر ابر صفر قرار دهید. این نکته را بیازمایید که آیا  $r$  در گستره  $p+q \leq r \leq p-q$  واقع است یا خیر؟ اگر چنین نیست، قرار دهید  $M_{pqr} = 0$ . نتایج حاصل را با حالت‌های خاصی بیازمایید که در مسائل ۱۱.۱.۱۳، ۱۲.۱.۱۳، ۱۳.۱.۱۳ و ۱۴.۱.۱۳ آمده است.

۲۴.۱.۱۳ تابع موجهای بهنجار نوسانگر خطی

$$\psi_n(x) = 2^{-n/2} \pi^{-1/4} (n!)^{-1/2} H_n(x) \exp(-x^2/2)$$

را به ازای  $0 \leq n \leq 5$  و  $x = 0, 0.5, 1, 1.5, 2, 2.5$  محاسبه کنید و به صورت جدولی گرد آورید. اگر یک برنامه برای رسم منحنی در اختیار دارید، نتیجه حاصل را ترسیم کنید.

## ۲.۱۳ توابع لاگر

معادله دیفرانسیل — چندجمله‌ایهای لاگر

اگر بررسی خود را با تابع مولد مناسبی شروع کنیم، می‌توانیم چندجمله‌ایهای لاگر را، درست به همان ترتیب چندجمله‌ایهای هرمیت، تشکیل دهیم. همچنین می‌توان یک جواب سری باروشهای بخش ۵.۸ به دست آورد. در اینجا برای آنکه شگرد متفاوتی را ارائه دهیم، کار خود را با معادله دیفرانسیل ژاندر آغاز می‌کنیم و به همان ترتیبی که در مورد تابع تعدیل یافته بسل  $K_\nu(x)$  (بخش ۶.۱۱) عمل کردیم، جوابی به صورت یک انتگرال پربندی به دست می‌آوریم. آنگاه از این نمایش انتگرالی یک تابع مولد استخراج خواهیم کرد.

معادله دیفرانسیل لاگر به صورت زیر است

$$x y''(x) + (1-x)y'(x) + n y(x) = 0 \quad (24.13)$$

تلاش می‌کنیم  $y$  را، یا به بیان بهتر  $y_n$  را (چون  $y$  به  $n$  بستگی دارد) به کمک انتگرال پربندی زیر نمایش دهیم

$$y_n(x) = \frac{1}{2\pi i} \oint \frac{e^{-xz/(1-z)}}{(1-z)z^{n+1}} dz \quad (الف ۲۵.۱۳)$$

پربند مبدأ را دورمی زند ولی نقطه  $z=1$  در آن نمی گنجد. از بخش ۴.۶ داریم

$$y_n'(x) = -\frac{1}{2\pi i} \oint \frac{e^{-xz/(1-z)}}{(1-z)^2 z^n} dz \quad (ب ۲۵.۱۳)$$

$$y_n''(x) = \frac{1}{2\pi i} \oint \frac{e^{-xz/(1-z)}}{(1-z)^2 z^{n-1}} dz \quad (ج ۲۵.۱۳)$$

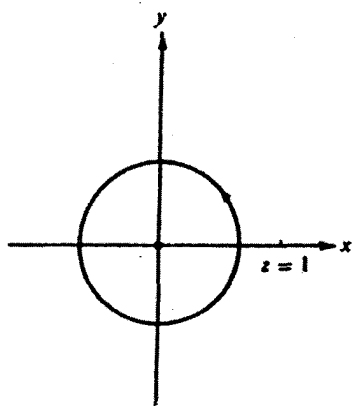
با نشان دادن درست چپ معادله (۲۴.۱۳) خواهیم داشت

$$\frac{1}{2\pi i} \oint \left[ \frac{x}{(1-z)^2 z^{n-1}} - \frac{1-x}{(1-z)^2 z^n} + \frac{n}{(1-z)z^{n+1}} \right] e^{-xz/(1-z)} dz$$

که برابر است با

$$\frac{1}{2\pi i} \oint \frac{d}{dz} \left[ \frac{e^{-xz/(1-z)}}{(1-z)z^n} \right] dz \quad (۲۶.۱۳)$$

اگر از این دیفرانسیل کامل خود، پیرامون يك پربند انتگرال بگیریم و این پربند چنان انتخاب شده باشد که در آن مقدار نهایی با مقدار اولیه برابر باشد (شکل ۳.۱۳)، انتگرال صفر خواهد شد و بدینسان تأیید می شود که  $y_n(x)$  [معادله (الف) ۲۵.۱۳] یکی از جوابهای معادله لاگر است.



شکل ۳.۱۳ پربند تابع لاگر.

مرسوم است که  $L_n(x)$ ، چندجمله‌ای لاگر (شکل ۴۰۱۳)، را به صورت زیر تعریف کنند

$$L_n(x) = \frac{1}{2\pi i} \oint \frac{e^{-xz/(1-z)}}{(1-z)z^{n+1}} dz \quad (27.13)$$

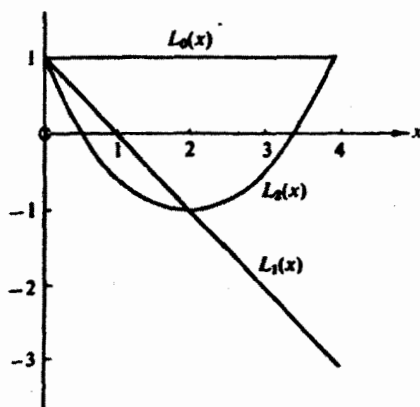
این عبارت دقیقاً همان چیزی است که از سری

$$g(x, z) = \frac{e^{-xz/(1-z)}}{1-z} = \sum_{n=0}^{\infty} L_n(x) z^n, \quad |z| < 1 \quad (28.13)$$

از طریق ضرب آن در  $z^{-n-1}$  و انتگرالگیری حول مبدأ به دست می‌آوردیم. همان‌گونه که در بررسی حساب مانده‌ها (بخش ۲۰۷) دیدیم، تنها جمله  $z^{-1}$  در سری باقی می‌ماند. بر این اساس تابع  $g(x, z)$  را تابع مولد چندجمله‌ایهای لاگر می‌گیریم. با تغییر متغیری به قرار زیر

$$z = \frac{s-x}{s} \quad \text{یا} \quad \frac{xz}{1-z} = s-x \quad (29.13)$$

$$L_n(x) = \frac{e^x}{2\pi i} \oint \frac{s^n e^{-s}}{(s-x)^{n+1}} ds \quad (30.13)$$



شکل ۴۰۱۳ چندجمله‌ایهای لاگر.

۱. تعریفهای دیگری هم برای  $L_n(x)$  به کار می‌رود. تعریفهایی که در اینجا برای چندجمله‌ای لاگر  $L_n(x)$  و چندجمله‌ای وابسته لاگر  $L_n^k(x)$  ارائه می‌شود با فصل ۲۲ از کتاب AMS-55 سازگار است.

پریند جدید، نقطه  $s = x$  را در صفحه مختلط  $s$  در برمی‌گیرد. با استفاده از فرمول انتگرال کوشی (برای مشتقاها) داریم

$$L_n(x) = \frac{e^x}{n!} \frac{d^n}{dx^n} (x^n e^{-x}), \quad (n \text{ عدد درست}) \quad (۳۱.۱۳)$$

که از آن فرمول ردیگز برای چندجمله‌ایهای لاگر را به دست می‌آوریم. به کمک این نمایشهای  $L_n(x)$ ، صورت سری زیر (برای اعداد درست  $n$ ) و چندجمله‌ایهای خاصی را که در جدول ۲۰۱۳ درج شده‌اند به دست می‌آوریم (مسئله ۱۰۲.۱۳)

$$L_n(x) = \frac{(-1)^n}{n!} \left[ x^n - \frac{n^2}{1!} x^{n-1} + \frac{n^2(n-1)^2}{2!} x^{n-2} - \dots + (-1)^n n! \right] \quad (۳۲.۱۳)$$

$$= \sum_{m=0}^n (-1)^m \frac{n!}{(n-m)!m!} x^m = \sum_{s=0}^n (-1)^{n-s} \frac{n! x^{n-s}}{(n-s)!(n-s)!s!}$$

با مشتقگیری از تابع مولد در معادله (۲۸.۱۳) نسبت به  $x$  و  $z$  روابط بازگشتی زیر را به دست می‌آوریم

$$(n+1)L_{n+1}(x) = (2n+1-x)L_n(x) - nL_{n-1}(x) \quad (۳۳.۱۳)$$

$$xL_n'(x) = nL_n(x) - nL_{n-1}(x) \quad (۳۴.۱۳)$$

جدول ۲۰۱۳ چندجمله‌ایهای لاگر.

$$L_0(x) = 1$$

$$L_1(x) = -x + 1$$

$$2!L_2(x) = x^2 - 2x + 2$$

$$3!L_3(x) = -x^3 + 9x^2 - 18x + 6$$

$$4!L_4(x) = x^4 - 16x^3 + 72x^2 - 96x + 24$$

$$5!L_5(x) = -x^5 + 25x^4 - 200x^3 + 600x^2 - 600x + 120$$

$$6!L_6(x) = x^6 - 36x^5 + 450x^4 - 2400x^3 + 5400x^2 - 4320x + 720$$

برای محاسبه کامپیوتری مقادیر عددی  $L_n(x)$ ، از معادله (۳۳.۱۳) استفاده می‌شود و به دلایل صرفه‌جویی و پایداری عددی آن را به صورت زیر تغییر می‌دهیم

$$L_{n+1}(x) = 2L_n(x) - L_{n-1}(x) - [(1+x)L_n(x) - L_{n-1}(x)] / (n+1) \quad (الف \quad ۳۳.۱۳)$$

کامپیوتر کار محاسبه را با مقادیر عددی معلوم  $L_0(x)$  و  $L_1(x)$ ، جدول ۲.۱۳، شروع می‌کند و در ظرف چند میلی ثانیه گام به گام به طرف بالا می‌رود. این همان شگردی است که برای محاسبه چند جمله‌ایهای لژاندر در بخش ۲.۱۲ توضیح دادیم. همچنین از معادله (۲۸.۱۳) مقدار خاص زیر را به دست می‌آوریم

$$L_n(0) = 1 \quad (۳۵.۱۳)$$

همان‌گونه که از شکل تابع مولد، شکل معادله دیفرانسیل لاگر، و یا از جدول ۲.۱۳ مشاهده می‌شود، چند جمله‌ایهای لاگر نه تقارن (پارینه) زوج دارند نه فرد.

معادله دیفرانسیل لاگر خود-الحاقی نیست و چند جمله‌ایهای لاگر،  $L_n(x)$ ، به خودی خود یک مجموعه متعامد تشکیل نمی‌دهند. ولی با تکیه بر روشی که در بخش ۱.۰۹ ارائه دادیم، معادله (۲۴.۱۳) را در  $e^{-x}$  (مسئله ۱.۰۹) ضرب می‌کنیم و خواهیم داشت

$$\int_0^{\infty} e^{-x} L_m(x) L_n(x) dx = \delta_{m,n} \quad (۳۶.۱۳)$$

این تعامد، پیامد نظریه اشتورم-لیوویل، بخش ۱.۰۹، است. بهنجارش حاصل تابع مولد است. گاهی بهتر است توابع متعامد لاگر (با تابع وزنی برابر یک) را به صورت زیر تعریف کنیم

$$\varphi_n(x) = e^{-x/2} L_n(x) \quad (۳۷.۱۳)$$

تابع متعامد جدید  $\varphi_n(x)$  در معادله دیفرانسیل زیر صدق می‌کند

$$x\varphi_n''(x) + \varphi_n'(x) + \left(n + \frac{1}{2} - \frac{x}{2}\right)\varphi_n(x) = 0 \quad (۳۸.۱۳)$$

مشاهده می‌شود که این معادله به صورت اشتورم-لیوویل (خود-الحاقی) است. دقت کنید که در نظریه اشتورم-لیوویل این شرایط مرزی هستند که بازه را به صورت  $(0 \leq x < \infty)$  تعیین می‌کنند.

### چند جمله‌ایهای وابسته لاگر

در کاربردهای زیادی، به ویژه در حوزه نظریه کوانتومی، به چند جمله‌ایهای وابسته لاگری

نیاز داریم که بنا بر تعریف عبارت اند از

$$L_n^k(x) = (-1)^k \frac{d^k}{dx^k} [L_{n+k}(x)] \quad (۳۹.۱۳)$$

با استفاده از صورت سری  $L_n(x)$  داریم

$$L_0^k(x) = 1$$

$$L_1^k(x) = -x + k + 1 \quad (۴۰.۱۳)$$

$$L_2^k(x) = \frac{x^2}{2} - (k+2)x + \frac{(k+2)(k+1)}{2}$$

به طور کلی

$$L_n^k(x) = \sum_{m=0}^n (-1)^m \frac{(n+k)!}{(n-m)!(k+m)!} x^m, \quad k > -1 \quad (۴۱.۱۳)$$

با  $k$  بار مشتقگیری از تابع مولد لاگر، می توان به یک تابع مولد رسید. شاخص پایین را برای  $L_{n+k}$  تنظیم می کنیم؛ خواهیم داشت

$$\frac{e^{-xz/(1-z)}}{(1-z)^{k+1}} = \sum_{n=0}^{\infty} L_n^k(x) z^n, \quad |z| < 1 \quad (۴۲.۱۳)$$

از اینجا داریم

$$L_n^k(0) = \frac{(n+k)!}{n!k!} \quad (۴۳.۱۳)$$

روابط بازگشتی را می توان از تابع مولد و یا مشتقگیری از روابط بازگشتی چند جمله ای لاگر به آسانی استخراج کرد. از میان امکانهای بیشتر، می توانیم داشته باشیم

$$(n+1)L_{n+1}^k(x) = (2n+k+1-x)L_n^k(x) - (n+k)L_{n-1}^k(x) \quad (۴۴.۱۳)$$

$$xL_n^{k'}(x) = nL_n^k(x) - (n+k)L_{n-1}^k(x) \quad (۴۵.۱۳)$$

به کمک این معادلات و یا از طریق  $k$  بار مشتقگیری از معادله دیفرانسیل لاگر، معادله دیفرانسیل وابسته لاگر را به صورت زیر به دست می آوریم

$$xL_n^{k''}(x) + (k+1-x)L_n^{k'}(x) + nL_n^k(x) = 0 \quad (۴۶.۱۳)$$

وقتی در یک مسئله فیزیکی چند جمله ایهای وابسته لاگر ظاهر می شوند معمولاً به این علت است که آن مسئله فیزیکی متضمن معادله (۴۶.۱۳) است

۱. برخی مؤلفان تابع  $\rho_{n+k}^k(x) = (d^k/dx^k)[L_{n+k}(x)]$  را به کار می برند. در نتیجه

$$L_n^k(x) = (-1)^k \rho_{n+k}^k(x)$$



یکی از نمایشهای چندجمله‌ای ردیگز وابسته لاگر عبارت است از

$$L_n^k(x) = \frac{e^x x^{-k}}{n!} \frac{d^n}{dx^n} (e^{-x} x^{n+k}) \quad (۴۷.۱۳)$$

باید گفت که تمام این فرمولهای مربوط به  $L_n^k(x)$ ، به ازای  $k=0$  به عبارتهای متناظری برای  $L_n(x)$  ساده می‌شوند.

معادله وابسته لاگر (۴۶.۱۳) خود-الحاقی نیست، ولی می‌توان آنرا از طریق ضرب کردن در  $e^{-x} x^k$ ، که عبارت است از تابع وزنی آن، به صورت خود-الحاقی در آورد (بخش ۱۰۹) داریم

$$\int_0^\infty e^{-x} x^k L_n^k(x) L_m^k(x) dx = \frac{(n+k)!}{n!} \delta_{n,m} \quad (۴۸.۱۳)$$

معادله (۴۸.۱۳) دارای همان بازه تعامد  $(0, \infty)$  است که چندجمله‌ایهای لاگر داشتند؛ ولی در اینجا با تابع وزنی جدید مواجه‌ایم. این تابع وزنی عبارت است از مجموعه جدیدی از چندجمله‌ایهای متعامد، یعنی چندجمله‌ایهای وابسته لاگر.

تابع  $\psi_n^k(x) = e^{-x/2} x^{k/2} L_n^k(x)$  در معادله خود-الحاقی زیر صدق می‌کند

$$x \psi_n^{k''}(x) + \psi_n^{k'}(x) + \left( -\frac{x}{4} + \frac{2n+k+1}{2} - \frac{k^2}{4x} \right) \psi_n^k(x) = 0 \quad (۴۹.۱۳)$$

$\psi_n^k(x)$  ها را گاهی توابع لاگر می‌نامند. معادله (۴۹.۱۳) حالت خاص متناظر با  $k=0$  است. یکی از صورتهای مفید دیگر این تابع به اتکای تعریف زیر به دست می‌آید<sup>۱</sup>

$$\Phi_n^k(x) = e^{-x/2} x^{(k+1)/2} L_n^k(x) \quad (۵۰.۱۳)$$

در معادله وابسته لاگر می‌نشانیم و می‌رسیم به

$$\Phi_n^{k''}(x) + \left( -\frac{1}{4} + \frac{2n+k+1}{2x} - \frac{k^2-1}{4x^2} \right) \Phi_n^k(x) = 0 \quad (۵۱.۱۳)$$

انتگرال بهنجارش متناظر عبارت است از

$$\int_0^\infty e^{-x} x^{k+1} L_n^k(x) L_m^k(x) dx = \frac{(n+k)!}{n!} (2n+k+1) \quad (۵۲.۱۳)$$

۱. این عبارت متناظر است با تغییر تابع  $\psi$  در معادله (۴۹.۱۳)، به صورتی که مشتق اول حذف شود (با مسئله ۱۱.۶.۸ مقایسه کنید).

خواننده می تواند نشان دهد که  $\Phi_n^k(x)$  به دلیل وجود  $x^{-1}$  در جمله  $(2n+k+1)/2x$ ، یک مجموعه متعامد تشکیل نمی دهد (مگر آنکه  $x^{-1}$  را یک تابع وزنی بگیریم).  
توابع لاگر  $L_n^k(x)$  را که در آن شاخصهای پایین و بالا  $\nu$  و  $\mu$  اعداد درستی نیستند، می توان با استفاده از توابع فوق هندسی همشار، بخش ۶.۱۳، تعریف کرد.

مثال ۱۰۴-۱۳ اتم هیدروژن

شاید تنها کاربرد بسیار مهم چند جمله ایهای لاگر در جواب معادله موج شرودینگر برای اتم هیدروژن باشد. این معادله عبارت است از

$$-\frac{\hbar^2}{2m} \nabla^2 \psi - \frac{Ze^2}{r} \psi = E\psi \quad (53.13)$$

که در آن  $Z$  برای هیدروژن برابر یک، برای هلیوم یک بار یونیده ۲، و الی آخر است. با تفکیک متغیرها، وابستگی زاویه ای  $\psi$  را به صورت  $Y_L^M(\theta, \varphi)$  می یابیم. جزء شعاعی،  $R(r)$ ، در معادله زیر صدق می کند

$$-\frac{\hbar^2}{2m} \frac{1}{r^2} \frac{d}{dr} \left( r^2 \frac{dR}{dr} \right) - \frac{Ze^2}{r} R + \frac{\hbar^2}{2m} \frac{L(L+1)}{r^2} R = ER \quad (54.13)$$

با بهره گیری از کوتاه نویسی به شکل زیر

$$\alpha^2 = -\frac{\lambda m E}{\hbar^2} \quad \text{با} \quad \rho = \alpha r, \quad E < 0 \quad (55.13)$$

$$\lambda = \frac{2mZe^2}{\alpha \hbar^2}$$

معادله (۵۴.۱۳) چنین می شود

$$\frac{1}{\rho^2} \frac{d}{d\rho} \left( \rho^2 \frac{d\chi(\rho)}{d\rho} \right) + \left( \frac{\lambda}{\rho} - \frac{1}{4} - \frac{L(L+1)}{\rho^2} \right) \chi(\rho) = 0 \quad (56.13)$$

که در آن  $\chi(\rho) = R(\rho/\alpha)$ . مقایسه این معادله با معادله (۵۱.۱۳) برای  $\Phi_n^k(x)$  نشان می دهد که تابع زیر در معادله (۵۶.۱۳) صدق می کند

$$\rho \chi(\rho) = e^{-\rho/4} \rho^{L+1} L_{\lambda-L-1}^{2L+1}(\rho) \quad (57.13)$$

در اینجا  $2L+1$  به جای  $k$  و  $\lambda-L-1$  به جای  $n$  نشسته است.

پارامتر  $\lambda$  را باید به این شرط محدود کنیم که برابر یک عدد درست  $n, \dots, 3, 2, 1, n$  باشد. ضرورت قراردادن این شرط آن است که تابع لاگر با عدد غیر درست  $n$ ، به صورت  $\rho^e e^{\rho}$  و اگر  $\rho$  می شود، که در مورد مسئله فیزیکی ما که باید در آن داشته باشیم

$$\lim_{r \rightarrow \infty} R(r) = 0$$

این شرط، غیر قابل قبول است. اثر این محدودیت روی  $\lambda$ ، که شرط مرزی ما آن را پدید می آورد، عبارت است از کوانتس انرژي

$$E_n = -\frac{Z^2 m e^4}{2 n^2 \hbar^2} \quad (58.13)$$

علت وارد شدن علامت منفی آن است که ما در اینجا با حالت های مقید،  $E = 0$ ، سروکار داریم و با الکترونی متناظر است که انرژی فقط برای گریز به بینهایت کافی است. با استفاده از این نتیجه، برای  $E_n$  داریم

$$\alpha = \gamma \frac{m e^2}{\hbar^2} \cdot \frac{Z}{n} = \frac{\gamma Z}{n a_0} \quad (59.13)$$

$$\rho = \frac{\gamma Z}{n a_0} r$$

که در آن

$$a_0 = \frac{\hbar^2}{m e^2}$$

عبارت است از شعاع بور. تابع موج بهنجار نهایی الکترون را می توان به صورت زیر نوشت

$$\psi_{nL M}(r, \theta, \varphi) = \left[ \left( \frac{\gamma Z}{n a_0} \right)^2 \frac{(n-L-1)!}{2 n (n+L)!} \right]^{1/2} \times e^{-\alpha r / \gamma} (\alpha r)^L L_{n-L-1}^{\gamma L+1}(\alpha r) Y_L^M(\theta, \varphi) \quad (60.13)$$

مسائل

۱۰۲.۱۳ به کمک فرمول لایب نیتس، نشان دهید که بسط سری  $L_n(x)$  [معادله (۳۲.۱۳)] حاصل نمایش ردیگر [معادله (۳۱.۱۳)] است.

۱.  $n$  نماد قراردادی برای  $\lambda$  است. این نماد همان  $n$  نیست که در  $\Phi_n^L(x)$  به صورت شاخص پایین آمده است.

۲۰۲۰۱۳ (الف) با استفاده از صورت سری صریح [معادله (۳۲.۱۳)] نشان دهید که

$$L_n'(0) = -n$$

$$L_n''(0) = \frac{1}{2}n(n-1)$$

(ب) بدون استفاده از صورت سری صریح  $L_n(x)$ ، بند (الف) را تکرار کنید.

۳۰۲۰۱۳ با استفاده از تابع مولد، نمایش ردیگر را استخراج کنید

$$L_n^k(x) = \frac{e^x x^{-k}}{n!} \frac{d^n}{dx^n} (e^{-x} x^{n+k})$$

۴۰۲۰۱۳ رابطه بهنجارش [معادله (۴۸.۱۳)] را برای چندجمله‌ایهای وابسته لاگر استخراج کنید.

۵۰۲۰۱۳  $x^r$  را به صورت یک سری از چندجمله‌ایهای وابسته لاگر  $L_n^k(x)$  بسط دهید،  $k$  ثابت و دامنه تغییرات  $n$  از صفر تا  $r$  (یا اگر  $r$  عدد درستی نباشد، تا  $\infty$ ) است. راهنمایی: از صورت ردیگری  $L_n^k(x)$  بهره‌گیری کنید.

$$\cdot x^r = (r+k)! r! \sum_{n=0}^r \frac{(-1)^n L_n^k(x)}{(n+k)!(r-n)!}, \quad 0 \leq x < \infty. \text{ پاسخ.}$$

۶۰۲۰۱۳  $e^{-ax}$  را به صورت یک سری از چندجمله‌ایهای وابسته لاگر  $L_n^k(x)$  بسط دهید؛  $k$  ثابت است و دامنه تغییرات  $n$  از صفر تا  $\infty$  است.  
(الف) ضرایب این بسط را مستقیماً محاسبه کنید.  
(ب) بسط مطلوب را با استفاده از تابع مولد به دست آورید.

$$\cdot e^{-ax} = \frac{1}{(1+a)^{1+k}} \sum_{n=0}^{\infty} \left(\frac{a}{1+a}\right)^n L_n^k(x), \quad 0 \leq x < \infty. \text{ پاسخ.}$$

۷۰۲۰۱۳ نشان دهید

$$\int_0^{\infty} e^{-x} x^{k+1} L_n^k(x) L_n^k(x) dx = \frac{(n+k)!}{n!} (2n+k+1)$$

راهنمایی: دقت کنید که

$$x L_n^k = (2n+k+1) L_n^k - (n+k) L_{n-1}^k - (n+1) L_{n+1}^k$$

۸۰۲۰۱۳ فرض کنید که یک مسئله خاص در مکانیک کوانتومی به معادله دیفرانسیل زیر منجر شده باشد

$$\frac{d^2 y}{dx^2} - \left[ \frac{k^2 - 1}{2x^2} - \frac{2n + k + 1}{2x} + \frac{1}{4} \right] y = 0$$

$y(x)$  را به صورت زیر بنویسید

$$y(x) = A(x)B(x)C(x)$$

با این شرط که

(الف)  $A(x)$  يك نمايي منفی باشد که بتوان از آن رفتار مجانبی مطلوب در  $y(x)$  را به دست آورد.

(ب)  $B(x)$  توان مثبتی از  $x$  باشد، که رفتار  $y(x)$  در  $x \ll 1$  را به دست دهد.  $A(x)$  و  $B(x)$  را تعیین کنید. رابطه بین  $C(x)$  و چند جمله ای وابسته لاگرا پیدا کنید.  
پاسخ.  $C(x) = L_n^k(x)$ ،  $B(x) = x^{(k+1)/2}$ ،  $A(x) = e^{-x/2}$ .

۹۰۲۰۱۳ جزء شعاعی بهنجار تابع موج هیدروژنی، با استفاده از معادله (۶۰۰۱۳) به صورت زیر است

$$R_{n,l}(r) = \left[ \frac{\alpha^2 (n-L-1)!}{2n(n+L)!} \right]^{1/2} e^{-\alpha r/2} (\alpha r)^L L_{n-L-1}^{2L+1}(\alpha r)$$

که در آن  $\alpha = 2Z/na_0 = 2Zme^2/n\hbar^2$ ؛ مقادیر زیر را محاسبه کنید.

$$\langle r \rangle = \int_0^\infty r R_{n,l}(r) R_{n,l}(r) r^2 dr \quad (\text{الف})$$

(ب)  $\langle r^{-1} \rangle = \int_0^\infty r^{-1} R_{n,l}(r) R_{n,l}(r) r^2 dr$  کمیت  $\langle r \rangle$  میانگین جابه جایی الکترون نسبت به هسته است. حال آنکه  $\langle r^{-1} \rangle$  عبارت است از میانگین وارون جابه جایی.

$$\langle r^{-1} \rangle = \frac{1}{n^2 a_0}, \quad \langle r \rangle = \frac{a_0}{2} [3n^2 - L(L+1)] \quad \text{پاسخ.}$$

۱۰۰۲۰۱۳ رابطه بازگشتی زیر، مربوط به مقادیر انتظاری تابع موج هیدروژن، را استخراج کنید.

$$\frac{s+2}{n^2} \langle r^{s+1} \rangle - (2s+3) a_0 \langle r^s \rangle + \frac{s+1}{2} [(2L+1)^2 - (s+1)^2] a_0^2 \langle r^{s-1} \rangle = 0$$

که در آن  $\langle r^s \rangle \equiv r^s$ ،  $s \geq -2L-1$

(۱) انبنمایی. معادله (۵۶۰۱۳) را به صورتی شبیه به معادله (۵۱۰۱۳) تبدیل کنید. در اینجا  $u = \rho \Phi$  ضرب کنید. در اینجا  $c$  را چنان تنظیم کنید تا

جملاتی که متضمن مقادیر انتظاری نیستند، حذف شوند.

۱۹۰۴.۱۳ تابع موجهای هیدروژن، معادله (۶۰.۱۳)، متقابلاً متعامدند، که همین طور هم باید باشند، زیرا ویژه تابعهای معادله خود-الحاقی شرودینگر محسوب می شوند

$$\int \psi_{n_1, L_1, M_1}^* \psi_{n_2, L_2, M_2} r^2 dr d\Omega = \delta_{n_1, n_2} \delta_{L_1, L_2} \delta_{M_1, M_2}$$

با وجود این، انتگرال شعاعی به صورت (گمراه کننده) زیر است

$$\int_0^\infty e^{-ar/\alpha} (\alpha r)^L L_{n_1, -L}^{L+1}(\alpha r) e^{-ar/\alpha} (\alpha r)^L L_{n_2, -L}^{L+1}(\alpha r) r^2 dr$$

که به نظر می آید با معادله (۵۲.۱۳) همساز است نه با رابطه تعامد وابسته لاگر [معادله (۴۸.۱۳)]. این پارادوکس را چگونه حل می کنید؟

پاسخ. پارامتر  $\alpha$  به  $n$  بستگی دارد. سه مقدار اول  $\alpha$  که در معادله فوق آمده اند برابرند با:  $\alpha_0 = 2Z/n_1 a$ . سه  $\alpha$  آخر عبارات انداز  $2Z/n_2 a$ . معادله (۵۲.۱۳)، به ازای  $n_1 = n_2$  برقرار است. به ازای  $n_1 \neq n_2$ ، نه معادله (۴۸.۱۳) و نه معادله (۵۲.۱۳)، هیچیک برقرار نیستند.

۱۹۰۴.۱۴ تحلیل مکانیک کوانتومی اثر اشتراک (مختصه سهموی) به معادله دیفرانسیل زیر می انجامد

$$\frac{d}{d\xi} \left( \xi \frac{du}{d\xi} \right) + \left( \frac{1}{2} E\xi + L - \frac{m^2}{4\xi} - \frac{1}{4} F\xi^2 \right) u = 0$$

در اینجا  $F$  مقیاسی است از انرژی اختلال که منشأ آن میدان الکتریکی خارجی است. تابع موجهای مختل نشده ( $F=0$ ) را بر حسب چندجمله ایهای وابسته لاگر تعیین کنید.

پاسخ.  $u(\xi) = e^{-\varepsilon\xi/2} \xi^{m/2} L_p^m(\varepsilon\xi)$  که در آن  $p = \alpha/\varepsilon - (m+1)/2$  و  $\varepsilon = \sqrt{-2E} > 0$  یک عدد درست نامفی است.

۱۹۰۴.۱۵ معادله موج برای نوسانگر هماهنگ سه بعدی به صورت زیر است

$$-\frac{\hbar^2}{2M} \nabla^2 \psi + \frac{1}{2} M \omega^2 r^2 \psi = E \psi$$

در اینجا  $\omega$  بسامد زاویه ای نوسانگر کلاسیکی متناظر است. نشان دهید که جزء شعاعی  $\psi$  (در مختصات قطبی کروی) را می توان بر حسب توابع وابسته لاگر با شناسه  $(\beta r^2)$  نوشت، که در آن  $\beta = M\omega/\hbar$

دانهمایی. در اینجا نیز مانند مسئله ۸۰۲۰۱۳، عاملهای  $m$  و  $e^{-\beta x^{1/2}}$  را جدا کنید. تابع وابسته لاگر به صورت  $(\beta x^2)^{1/2} L_{1/2}^{1/2}(n-1)$  خواهد بود.

۱۴۰۲۰۱۳ برنامه‌ای بنویسید که ضرایب  $a_n$  چندجمله‌ای مربوط به چندجمله‌ای لاگر،  $L_n(x) = \sum_{k=0}^n a_k x^k$  را تولید کند.

۱۵۰۲۰۱۳ زیر-برنامه‌ای بنویسید که سری توانی منتهی  $\sum_{n=0}^N a_n x^n$  را به سری لاگر  $\sum_{n=0}^N b_n L_n(x)$  تبدیل کند. از رابطه بازگشتی معادله (۳۳۰۱۳) بهره‌گیری و شگردی را که در بخش ۴۰۱۳ برای سری چیشف خلاصه شده است، پی‌گیری کنید.

۱۶۰۲۰۱۳ مقادیر  $L_{10}(x)$  را به ازای  $x = 0.05(0.01)3.05$  در جدولی درج کنید. این جدول حاوی ۱۰ ریشه  $L_{10}$  خواهد بود. به ازای مقادیر بالاتر از  $x = 3.05$ ،  $L_{10}(x)$  به صورت یکنوا زیاد می‌شود. اگر بديك زیر-برنامه رسم منحنی دسترس‌ی دارید، نتیجه حاصل را ترسیم کنید.

مقدار آزموني. ریشه ۸ شتم = ۱۶۰۲۷۹.

۱۷۰۲۰۱۳ با استفاده از يك زیر-برنامه ریشه‌یاب، ده ریشه  $L_{10}(x)$  را بیابید (با پیوست ۱ مقایسه کنید). می‌توانید از آگاهی که در مورد محل تقریبی ریشه‌ها دارید استفاده کنید، یا يك برنامه پیگرد برای جستجوی ریشه‌ها ابداع کنید. ده ریشه  $L_{10}(x)$ ، نقاط محاسبه برای کوادراتور ده‌رقمی گاوس-لاگرند (با پیوست ۲ مقایسه کنید). مقادیر حاصل را از طریق مقایسه با جدول ۹۰۲۵ مندرج در ANIS-55، بیازمایید.

۱۸۰۲۰۱۳ ضرایب بسط سری لاگر  $(L_n(x), k=0)$  مربوط به کمیت نمایی  $e^{-x}$  را محاسبه کنید. ضرایب را به کمک کوادراتور گاوس-لاگر برآورد کنید [با معادله (۶۴۰۹) مقایسه کنید]. مقادیر حاصل را با مقادیر داده‌شده در مسئله ۶۰۲۰۱۳ بیازمایید.

یادآوری. کاربرد مستقیم کوادراتور گاوس-لاگر با  $f(x) = L_n(x)e^{-x}$ ، به دلیل کمیت اضافی  $e^{-x}$  متضمن دقت اندکی است. تغییر متغیر  $y = 2x$  را بیازمایید، به طوری که تابعی که در انتگرال ظاهر می‌شود، صرفاً برابر  $L_n(y/2)$  باشد.

۱۹۰۲۰۱۳ (الف) زیر-برنامه‌ای برای محاسبه عناصر ماتریسی لاگر بنویسید

$$M_{mnp} = \int_0^{\infty} L_m(x) L_n(x) x^p e^{-x} dx$$

آزموني به برنامه بیفزایید که شرط  $|m-n| \leq p \leq m+n$  را بیازماید. اگر  $p$  خارج از این گستره باشد، آنگاه:  $M_{mnp} = 0$  چرا؟

یادآوری. يك کوادراتور ده‌رقمی گاوس-لاگر برای  $m+n+p \leq 19$  به ارائه نتایج دقیقی می‌انجامد.

(ب) زیر-برنامه خود را بخوانید تا عناصر ماتریسی مختلف لاگر را محاسبه کند.  $M_{n+1}$  را با مسئله ۷۰۲۰۱۳ بیازمایید.

۲۰۳۰۱۳ زیر-برنامه‌ای بنویسید که مقدار عددی  $L_n^k(x)$  را به ازای مقادیر خاص  $n, k$ ، و  $x \geq 0$  محاسبه کند.  $n$  و  $k$  را اعداد درست نامنفی بگیرید و  $x \geq 0$ .

دانهمایی. با شروع محاسبه از مقادیر معلوم  $L_0^k(x)$  و  $L_1^k(x)$ ، می‌توانیم از رابطه بازگشتی معادله (۴۴۰۱۳) برای تولید  $L_n^k(x)$  به ازای  $n = 2, 3, 4, \dots$  استفاده کنیم.

۲۱۰۲۰۱۳ برنامه‌ای بنویسید که تابع موج شعاعی بهنجار هیدروژن  $\psi_{nL}(r)$  را محاسبه کند. این تابع همان  $\psi_{nL1}$  معادله (۶۰۰۱۳) است که در آن از  $Y_L^M(\theta, \varphi)$  چشمپوشی شده باشد. بگیرید  $Z=1$  و  $a_0=1$  (یعنی  $r$  بر حسب واحد شعاع بور مشخص شده است).  $n$  و  $L$  را داده‌های ورودی بگیرید. مقادیر  $\psi_{nL}(r)$  را به ازای  $R(200 \leq R \leq 500)$  در جدولی درج کنید؛  $R$  را چندان بزرگ بگیرید که ویژگی‌های اساسی  $\psi$  را نمایش دهد. یعنی، به ازای  $n=1, R=5$  و به ازای  $n=2, R=10$  و به ازای  $n=3, R=30$ .

### ۳۰۱۳ چندجمله‌ایهای چبیشف

در این بخش دو نوع چندجمله‌ای چبیشف را به عنوان حالت‌های خاصی از چندجمله‌ایهای فرائکروی بررسی می‌کنیم. خواص این چندجمله‌ایها پیامد تابع مولد چندجمله‌ایهای فرائکروی هستند. اهمیت عمده چندجمله‌ایهای چبیشف در آنالیز عددی نهفته است. در بخش ۴۰۱۳ به این روشهای عددی می‌پردازیم.

#### توابع مولد

در بخش ۱۰۱۲ از تابع مولد چندجمله‌ایهای فرائکروی یا گگن باوئر، به‌قرار زیر

$$\frac{1}{(1-2xt+t^2)^\alpha} = \sum_{n=0}^{\infty} C_n^{(\alpha)}(x)t^n, \quad |x| < 1, \quad |t| < 1 \quad (61.013)$$

نام بردیم، که به ازای  $\alpha = 1/2$  چندجمله‌ایهای لژاندر را تولید می‌کند. در این بخش ابتدا  $\alpha$  را برابر یک و سپس مساوی صفر می‌گیریم تا دو مجموعه از چندجمله‌ایها به نام چندجمله‌ایهای چبیشف را تولید کرده باشیم.

#### نوع II

معادله (۶۱۰۱۳) با  $\alpha = 1$  و  $C_n^{(1)}(x) = U_n(x)$  به صورت زیر درمی‌آید

$$\frac{1}{(1-2xt+t^2)} = \sum_{n=0}^{\infty} U_n(x)t^n, \quad |x| < 1, \quad |t| < 1 \quad (62.013)$$



این توابع،  $U_n(x)$ ، را که به وسیله  $(1 - 2xt + t^2)^{-1}$  تولید می شوند، چند جمله ایهای نوع II چیشف می نامیم. کاربرد این چند جمله ایها در فیزیک ریاضی نادر است؛ یکی از کاربردهای نامعمول آنها در زمینه تشکیل هماهنگهای کروی چهار بعدی در نظریه تکانه زاویه ای است.

### نوع I

به ازای  $\alpha = 0$ ، با مشکلاتی مواجه می شویم. در واقع تابع مولد ما به مقدار ثابت ۱ ساده می شود. اگر از معادله (۶۱.۱۳) ابتدا نسبت به  $t$  مشتق بگیریم می توانیم از این مشکل برهیم. به این ترتیب

$$\frac{-\alpha(-2x+2t)}{(1-2xt+t^2)^{\alpha+1}} = \sum_{n=1}^{\infty} n C_n^{(\alpha)}(x) t^{n-1} \quad (63.13)$$

یا

$$\frac{x-t}{(1-2xt+t^2)^{\alpha+1}} = \sum_{n=1}^{\infty} \frac{n}{2} \left[ \frac{C_n^{(\alpha)}(x)}{\alpha} \right] t^{n-1} \quad (64.13)$$

$C_n^{(0)}(x)$  را به کمک رابطه زیر تعریف می کنیم

$$C_n^{(0)}(x) = \lim_{\alpha \rightarrow 0} \frac{C_n^{(\alpha)}(x)}{\alpha} \quad (65.13)$$

هدف از مشتقگیری نسبت به  $t$  دستیابی به یک آلفا در مخرج کسر و تشکیل یک شکل مبهم است. حال با ضرب کردن معادله (۶۴.۱۳) در  $2t$  و افزودن عبارت

$$1 = (1 - 2xt + t^2) / (1 - 2xt + t^2)$$

خواهیم داشت

$$\frac{1-t^2}{1-2xt+t^2} = 1 + 2 \sum_{n=1}^{\infty} \frac{n}{2} C_n^{(0)}(x) t^n \quad (66.13)$$

$T_n(x)$  بنا بر تعریف عبارت است از

$$T_n(x) = \begin{cases} 1, & n=0 \\ \frac{n}{2} C_n^{(0)}(x), & n>0 \end{cases} \quad (67.13)$$

توجه کنید که به ازای  $n=0$  بررسی خاصی صورت گرفته است. این نوع بررسی مشابه نحوه عمل با جمله  $n=0$  در سری فوریه است. همچنین، دقت کنید که همان حدی است که در معادله (۶۵.۱۳) نشان داده شده است و جانشانی ساده  $\alpha=0$  در سری تابع مولد نیست. با این مشخصات جدید داریم

$$\frac{1-t^2}{1-2xt+t^2} = T_0(x) + 2 \sum_{n=1}^{\infty} T_n(x)t^n, \quad |x| \leq 1, |t| < 1 \quad (68.13)$$

$T_n(x)$  را چندجمله‌ایهای نوع I چیشف می‌نامیم. خاطر نشان می‌کنیم که نامگذاری این توابع در مراجع مختلف متفاوت است. تقریباً هیچ توافق مشترک و عامی در این زمینه وجود ندارد. در اینجا ما از نمادهای به‌کار رفته در مرجع AMS-55 بهره می‌گیریم.

این چندجمله‌ایهای (نوع I) چیشف، که جنبه‌های مفید: (۱) سری فوریه، و (۲) چندجمله‌ایهای متعامد را ترکیب می‌کنند، در محاسبات عددی از اهمیت زیادی برخوردارند. مثلاً، یکی از تقریبهای کمترین توان دوم، میانگین خطای مربعی را کمیند می‌کند. در تقریبی که در آن از چندجمله‌ایهای چیشف بهره گرفته می‌شود، میانگین خطای مربعی بیشتر است ولی ممکن است بتوان خطاهای فرین را پایین نگه داشت (بخش ۴.۱۳).

با مشتگیری از تابع مولد [معادله‌های (۶۲.۱۳) و (۶۸.۱۳)] نسبت به  $t$ ، به روابط بازگشتی زیر دست پیدا کنیم

$$T_{n+1}(x) - 2xT_n(x) + T_{n-1}(x) = 0 \quad (69.13)$$

$$U_{n+1}(x) - 2xU_n(x) + U_{n-1}(x) = 0 \quad (70.13)$$

(جدول ۳.۱۳ را ببینید). سپس، با استفاده از توابع مولد برای یافتن مقدار مربوط به چند  $n$  اول و این روابط بازگشتی برای چندجمله‌ایهای مرتبه بالاتر، جدولهای ۴.۱۳ و ۵.۱۳ را به دست می‌آوریم (شکلهای ۵.۱۳ و ۶.۱۳ را نیز ببینید).

جدول ۳.۱۳ رابطه بازگشتی چندجمله‌ایهای متعامد

$$P_{n+1}(x) = (A_n x + B_n)P_n(x) - C_n P_{n-1}(x)$$

$C_n$	$B_n$	$A_n$	$P_n(x)$	
$\frac{1}{n+1}$	۰	$\frac{2n+1}{n+1}$	$P_n(x)$	لژاندر
۱	۰	۲	$T_n(x)$	چیشف I
۱	-۲	۴	$T_n^*(x)$	انتقال یافته چیشف I
۱	۰	۲	$U_n(x)$	چیشف II
۱	-۲	۴	$U_n^*(x)$	انتقال یافته چیشف II
$\frac{n+k}{n+1}$	$\frac{2n+k+1}{n+1}$	$-\frac{1}{n+2}$	$L_n^{(k)}(x)$	وابسته لاگر
$2n$	۰	۲	$H_n(x)$	هرمیت

۱.  $P_n$  هریک از این چندجمله‌ایهای متعامد است.

جدول ۴۰۱۳ چندجمله‌ایهای نوع I چبیشف.

$$T_0 = 1$$

$$T_1 = x$$

$$T_2 = 2x^2 - 1$$

$$T_3 = 4x^3 - 3x$$

$$T_4 = 8x^4 - 8x^2 + 1$$

$$T_5 = 16x^5 - 20x^3 + 5x$$

$$T_6 = 32x^6 - 48x^4 + 18x^2 - 1$$

جدول ۵۰۱۳ چندجمله‌ایهای نوع II چبیشف.

$$U_0 = 1$$

$$U_1 = 2x$$

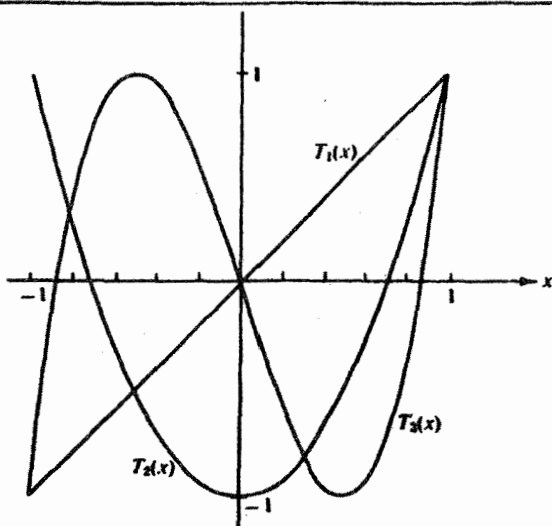
$$U_2 = 4x^2 - 1$$

$$U_3 = 8x^3 - 4x$$

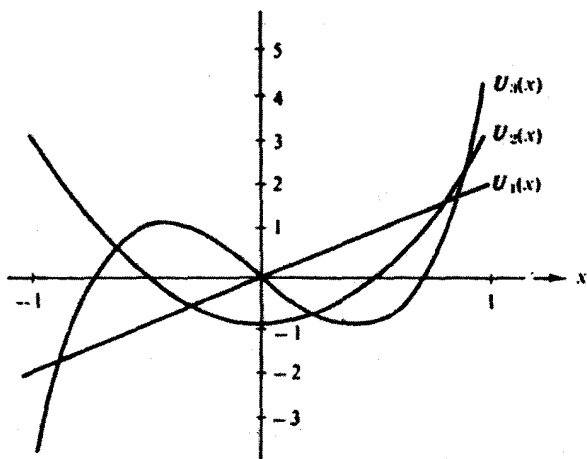
$$U_4 = 16x^4 - 12x^2 + 1$$

$$U_5 = 32x^5 - 32x^3 + 6x$$

$$U_6 = 64x^6 - 80x^4 + 24x^2 - 1$$



شکل ۵۰۱۳ چندجمله‌ایهای چبیشف،  $T_n(x)$ .



شکل ۶.۱۳ چندجمله‌ایهای چیبیشف،  $U_n(x)$ .

در اینجا نیز مانند مورد چندجمله‌ایهای هرमित، بخش ۱۰.۱۳، روابط بازگشتی، معادلات (۶۰.۱۳) و (۷۰.۱۳)، همراه با مقادیر معلوم  $T_0(x)$ ،  $T_1(x)$ ،  $T_0(x)$  و  $U_0(x)$  و  $U_1(x)$  ابزار مناسبی برای کامپیوترهای الکترونیکی با سرعت زیاد فراهم می‌آورند. در این صورت می‌توان به مقدار عددی هر  $T_n(x_0)$  یا  $U_n(x_0)$  به ازای یک  $x_0$  معلوم، دست یافت. در اینجا نیز، از توابع مولد، مقادیر خاص زیر را داریم

$$T_n(1) = 1$$

$$T_n(-1) = (-1)^n \tag{۷۱.۱۳}$$

$$T_{2n}(0) = (-1)^n$$

$$T_{2n+1}(0) = 0$$

$$U_n(1) = n + 1$$

$$U_n(-1) = (-1)^n (n + 1) \tag{۷۲.۱۳}$$

$$U_{2n}(0) = (-1)^n$$

$$U_{2n+1}(0) = 0$$

روابط پاریده برای  $T_n$  و  $U_n$  عبارت‌اند از

$$T_n(x) = (-1)^n T_n(-x) \quad (۷۳.۱۳)$$

$$U_n(x) = (-1)^n U_n(-x) \quad (۷۴.۱۳)$$

نمایشهای ردیگر  $T_n(x)$  و  $U_n(x)$  عبارت‌اند از

$$T_n(x) = \frac{(-1)^n \pi^{1/2} (1-x^2)^{1/2}}{2^n (n - \frac{1}{2})!} \frac{d^n}{dx^n} [(1-x^2)^{n-1/2}] \quad (۷۵.۱۳)$$

و

$$U_n(x) = \frac{(-1)^n (n+1) \pi^{1/2}}{2^{n+1} (n + \frac{1}{2})! (1-x^2)^{1/2}} \frac{d^n}{dx^n} [(1-x^2)^{n+1/2}] \quad (۷۶.۱۳)$$

روابط بازگشتی-مشقها

مشقگیری از توابع مولد  $T_n(x)$  و  $U_n(x)$  نسبت به  $x$ ، به روابط بازگشتی گوناگونی شامل مشقها می‌انجامد. از این میان آنها که مفیدترند عبارت‌اند از

$$(1-x^2)T_n'(x) = -nxT_n(x) + nT_{n-1}(x) \quad (۷۷.۱۳)$$

و

$$(1-x^2)U_n'(x) = -nxU_n(x) + (n+1)U_{n-1}(x) \quad (۷۸.۱۳)$$

با استفاده از معادلات (۶۹.۱۳) و (۷۷.۱۳) می‌بریم که  $T_n(x)$  چند جمله‌ای نوع I چیشف، در معادله زیر صدق می‌کند

$$(1-x^2)T_n''(x) - xT_n'(x) + n^2T_n(x) = 0 \quad (۷۹.۱۳)$$

و  $U_n(x)$  چند جمله‌ای نوع II چیشف، در معادله زیر صدق می‌کند

$$(1-x^2)U_n''(x) - 3xU_n'(x) + n(n+2)U_n(x) = 0 \quad (۸۰.۱۳)$$

معادله فراکروی

$$(1-x^2) \frac{d^2}{dx^2} C_n^{(\alpha)}(x) - (2\alpha+1)x \frac{d}{dx} C_n^{(\alpha)}(x) + n(n+2\alpha) C_n^{(\alpha)}(x) = 0$$

(۸۱.۱۳)

تعمیم این معادلات دیفرانسیل است که به‌ازای  $\alpha = 0$  به معادله (۷۹.۱۳) و به‌ازای  $\alpha = 1$

به معادله (۸۰.۱۳) (و به ازای  $\alpha = 1/2$ )، به معادله لژاندر ساده می شود.

شکل مثلثاتی

در این مرحله از بررسی خواص جوابهای چیشف، خوب است تغییر متغیر دهیم و به جای  $x$  کمیت  $\cos \theta$  را بنشانیم. با  $x = \cos \theta$  و  $d/dx = (-1/\sin \theta)(d/d\theta)$ ، معادله (۷۹.۱۳) به صورت معادله نوسانگر هماهنگ ساده با جوابهای  $\sin n\theta$  و  $\cos n\theta$  درمی آید

$$\frac{d^2 T_n}{d\theta^2} + n^2 T_n = 0 \quad (۸۲.۱۳)$$

از مقادیر خاص (حاصل شرایط مرزی) جواب زیر را به دست می آوریم

$$T_n = \cos n\theta = \cos n(\arccos x) \quad (\text{الف } ۸۳.۱۳)$$

جواب مستقل خطی دوم معادلات (۷۹.۱۳) و (۸۲.۱۳) را به صورت زیر مشخص می کنیم

$$V_n = \sin n\theta = \sin n(\arccos x) \quad (\text{ب } ۸۳.۱۳)$$

جوابهای معادله چیشف نوع II، معادله (۸۰.۱۳)، به صورت زیر است

$$U_n = \frac{\sin(n+1)\theta}{\sin \theta} \quad (\text{الف } ۸۴.۱۳)$$

$$W_n = \frac{\cos(n+1)\theta}{\sin \theta} \quad (\text{ب } ۸۴.۱۳)$$

این دو مجموعه از جوابهای نوع I و نوع II به صورت زیر به هم مربوط می شوند

$$V_n(x) = (1-x^2)^{1/2} U_{n-1}(x) \quad (\text{الف } ۸۵.۱۳)$$

$$W_n(x) = (1-x^2)^{-1/2} T_{n+1}(x) \quad (\text{ب } ۸۵.۱۳)$$

همان طور که قبلا هم از تابع مولد نتیجه گرفتیم،  $T_n(x)$  و  $U_n(x)$  چند جمله ای هستند. آشکار است که  $V_n(x)$  و  $W_n(x)$  چند جمله ای نیستند. با استفاده از عبارتهای

$$\begin{aligned} T_n(x) + iV_n(x) &= \cos n\theta + i \sin n\theta \\ &= (\cos \theta + i \sin \theta)^n \end{aligned} \quad (۸۶.۱۳)$$

$$= [x + i(1-x^2)]^n, \quad |x| \leq 1$$

بسطهای زیر را به دست می‌آوریم

$$T_n(x) = x^n - \binom{n}{2} x^{n-2}(1-x^2) + \binom{n}{4} x^{n-4}(1-x^2)^2 - \dots \quad (\text{الف } ۸۷.۱۳)$$

$$V_n(x) = \sqrt{1-x^2} \left[ \binom{n}{1} x^{n-1} - \binom{n}{3} x^{n-3}(1-x^2) + \binom{n}{5} x^{n-5}(1-x^2)^2 - \dots \right] \quad (\text{ب } ۸۷.۱۳)$$

که در آن ضریب دوجمله‌ای  $\binom{n}{m}$  از رابطه زیر به دست می‌آید

$$\binom{n}{m} \equiv \frac{n!}{m!(n-m)!}$$

نمایشهای سری توانی را به کمک توابع مولد یا با استفاده از معادلات دیفرانسیل به صورت زیر به دست می‌آوریم

$$T_n(x) = \sum_{m=0}^{\lfloor n/2 \rfloor} (-1)^m \frac{(n-m-1)!}{m!(n-2m)!} (2x)^{n-2m} \quad (\text{الف } ۸۸.۱۳)$$

$$U_n(x) = \sum_{m=0}^{\lfloor n/2 \rfloor} (-1)^m \frac{(n-m)!}{m!(n-2m)!} (2x)^{n-2m} \quad (\text{ب } ۸۸.۱۳)$$

تعامل

اگر معادله (۷۹.۱۳) را به صورت خود-الحاقی در آوریم (بخش ۱۰۹)، تابع  $w(x) = (1-x^2)^{-1/2}$  را به عنوان تابع وزنی به دست می‌آوریم. ضریب وزنی متناظر با معادله (۸۱.۱۳) عبارت است از  $(1-x^2)^{+1/2}$ . انتگرالهای تعامل حاصل عبارت خواهند بود از

$$\int_{-1}^1 T_m(x) T_n(x) (1-x^2)^{-1/2} dx = \begin{cases} 0, & m \neq n \\ \frac{\pi}{2}, & m = n \neq 0 \\ \pi, & m = n = 0 \end{cases} \quad (۸۹.۱۳)$$

$$\int_{-1}^1 V_m(x) V_n(x) (1-x^2)^{-1/2} dx = \begin{cases} 0, & m \neq n \\ \frac{\pi}{2}, & m = n \neq 0 \\ 0, & m = n = 0 \end{cases} \quad (۹۰.۱۳)$$

$$\int_{-1}^1 U_m(x)U_n(x)(1-x^2)^{1/2}dx = \frac{\pi}{2} \delta_{m,n} \quad (91.13)$$

و

$$\int_{-1}^1 W_m(x)W_n(x)(1-x^2)^{1/2}dx = \frac{\pi}{2} \delta_{m,n} \quad (92.13)$$

این تعامد، پیامد مستقیم نظریه اشتورم - لیوویل است که در فصل ۹ در خصوص آن بحث کردیم. ساده‌ترین راه برای رسیدن به مقادیر بهنجارش، بهره‌گیری از  $x = \cos \theta$  و تبدیل این چهار انتگرال به انتگرالهای بهنجارش فوریه (در نیم بازه  $[0, \pi]$ ) است.

## مسائل

۱۰۳.۱۳ يك تابع مولد دیگر چییشف عبارت است از

$$\frac{1-xt}{1-2xt+t^2} = \sum_{n=0}^{\infty} X_n(x)t^n, \quad |t| < 1$$

$X_n(x)$  چه رابطه‌ای با  $T_n(x)$  و  $U_n(x)$  دارد؟

۲۰۳.۱۳ بگیرید

$$(1-x^2)U_n''(x) - 3xU_n'(x) + n(n+2)U_n(x) = 0$$

نشان دهید که  $V_n(x)$  در معادله زیر، معادله چییشف، صدق می‌کند

$$(1-x^2)V_n''(x) - xV_n'(x) + n^2V_n(x) = 0$$

۳۰۳.۱۳ نشان دهید که رونسکیبی  $T_n(x)$  و  $V_n(x)$  از رابطه زیر به دست می‌آید

$$T_n(x)V_n'(x) - T_n'(x)V_n(x) = -\frac{n}{(1-x^2)^{1/2}}$$

این عبارت نشان می‌دهد که  $T_n$  و  $V_n$  ( $n \neq 0$ ) جوابهای مستقل معادله (۷۹.۱۳) هستند. برعکس، به ازای  $n=0$ ، استقلال خطی نداریم. به ازای  $n=0$  چه پیش می‌آید؟ جواب "دوم" چه می‌شود؟

۴۰۳.۱۳ نشان دهید که  $W_n(x) = (1-x^2)^{-1/2}T_{n+1}(x)$  یکی از جوابهای معادله زیر است

$$(1-x^2)W_n''(x) - 3xW_n'(x) + n(n+2)W_n(x) = 0$$



۵.۳.۱۳ رونسکیی  $U_n(x)$  و  $W_n(x) = (1-x^2)^{-1/2} T_{n+1}(x)$  را محاسبه کنید.

۶.۳.۱۳  $V_n(x) = (1-x^2)^{1/2} U_{n-1}(x)$  به ازای  $n=0$  تعریف نشده است. نشان دهید که یکی از جوابهای مستقل دوم معادلهٔ دیفرانسیل چیشف برای  $T_n(x)$  (به ازای  $n=0$ ) عبارت است از  $V_0(x) = \arccos x$  (یا  $V_0 = \arcsin x$ ).

۷.۳.۱۳ نشان دهید که  $V_n(x)$  در رابطهٔ بازگشتی سد جمله‌ای  $T_n(x)$  [معادلهٔ (۶.۳.۱۳)] صدق می‌کند.

۸.۳.۱۳ درستی جوابهای سری مربوط به  $T_n(x)$  و  $U_n(x)$  [معادلات (الف) ۸.۳.۱۳] و (ب) ۸.۳.۱۳] را تحقیق کنید.

۹.۳.۱۳ صورت سری  $T_n(x)$ ، معادلهٔ (الف) ۸.۳.۱۳، را به یک سری توانی صعودی تبدیل کنید.

$$T_{2n}(x) = (-1)^n n \sum_{m=0}^n (-1)^m \frac{(n+m-1)!}{(n-m)!(2m)!} (2x)^{2m} \quad \text{پاسخ}$$

$$T_{2n+1}(x) = (-1)^n \frac{2n+1}{2} \sum_{m=0}^n (-1)^m \frac{(n+m)!}{(n-m)!(2m+1)!} (2x)^{2m+1}$$

۱۰.۳.۱۳ صورت سری  $U_n(x)$ ، معادلهٔ (ب) ۸.۳.۱۳، را به صورت یک سری توانی صعودی باز نویسی کنید.

$$U_{2n}(x) = (-1)^n \sum_{m=0}^n (-1)^m \frac{(n+m)!}{(n-m)!(2m)!} (2x)^{2m} \quad \text{پاسخ}$$

$$U_{2n+1}(x) = (-1)^n \sum_{m=0}^n (-1)^m \frac{(n+m+1)!}{(n-m)!(2m+1)!} (2x)^{2m+1}$$

۱۱.۳.۱۳ نمایش رد ریگنر  $T_n(x)$  را استخراج کنید

$$T_n(x) = \frac{(-1)^n \pi^{1/2} (1-x^2)^{1/2}}{2^n \left(n - \frac{1}{2}\right)!} \frac{d^n}{dx^n} [(1-x^2)^{n-1/2}]$$

دانهمایی. یکی از راه‌حلها آن است که رابطهٔ زیر را برای تابع فوق هندسی به کار

برید

$${}_2F_1(a, b, c; z) = (1-z)^{-a} {}_2F_1\left(a, c-b, c; \frac{-z}{1-z}\right)$$

با  $z = (1-x)/2$ . رهیافت دیگر عبارت است از اینکه يك معادله دیفرانسیل مرتبه اول برای  $y = (1-x^2)^{n-1/2}$  تشکیل دهید. مشتقگیری مکرر از این معادله به معادله چیشف منجر می شود.

۱۴.۳.۱ (الف) با استفاده از معادله دیفرانسیل مربوط به  $T_n$  (به صورت خود-الحاقی)، نشان

$$\int_{-1}^1 \frac{dT_m(x)}{dx} \frac{dT_n(x)}{dx} (1-x^2)^{1/2} dx = 0, \quad m \neq n$$

(ب) با توجه به اینکه رابطه زیر را در اختیار داریم

$$\frac{dT_n(x)}{dx} = nU_{n-1}(x)$$

نتیجه بالا را تأیید کنید.

۱۴.۳.۱۳ بسط یک توان  $x$  بر حسب یک سری چیشف به انتگرال زیر منجر می شود

$$I_{nn} = \int_{-1}^1 x^n T_n(x) \frac{dx}{\sqrt{1-x^2}}$$

(الف) نشان دهید که این انتگرال به ازای  $m < n$  صفر می شود.

(ب) نشان دهید که این انتگرال به ازای مقدار فرد  $m+n$  صفر می شود.

۱۴.۳.۱۴ انتگرال

$$I_{nn} = \int_{-1}^1 x^n T_n(x) \frac{dx}{\sqrt{1-x^2}}$$

را به ازای  $m \geq n$  و مقدار زوج  $m+n$  به کمک روشهای زیر محاسبه کنید:

(الف)  $T_n$  را با نمایش ردربگز آن تعویض کنید و  $x$  را متغیر بگیرید.

(ب) با استفاده از  $x = \cos \theta$  انتگرال را به صورتی که در آن  $\theta$  متغیر است تبدیل

کنید.

پاسخ.  $I_{nn} = \pi \frac{m!}{(m-n)!} \frac{(m-n-1)!!}{(m+n)!!}, \quad m \geq n$ , زوج  $m+n$ .

۱۵.۳.۱۴ کرانهای زیر را به دست آورید ( $-1 \leq x \leq 1$ ):

$$\left| \frac{d}{dx} T_n(x) \right| \leq n^2 \quad (\text{ب}) \quad |U_n(x)| \leq n+1 \quad (\text{الف})$$

۱۶۰۳۰۱۳ (الف) کران زیر را به دست آورید ( $-1 \leq x \leq 1$ )

$$V_n(x) = 1$$

(ب) نشان دهید که  $W_n(x)$  در  $-1 \leq x \leq 1$ ، بیکران است.

۱۷۰۳۰۱۳ انتگرالهای تعامد-بهنجارش را برای حالت‌های زیر تحقیق کنید

$$V_n(x), V_m(x) \quad (\text{ب}) \quad T_n(x), T_m(x) \quad (\text{الف})$$

$$W_n(x), W_m(x) \quad (\text{د}) \quad U_n(x), U_m(x) \quad (\text{ج})$$

داهنمایی. همه این حالتها را می‌توان به انتگرالهای تعامد-بهنجارش فوریه تبدیل کرد.

۱۸۰۳۰۱۳ نشان دهید

(الف) آیا  $T_m(x)$  و  $V_n(x)$  روی بازه  $[-1, 1]$ ، نسبت به عامل وزنی  $(1-x^2)^{-1/2}$  متعامدند یا خیر؟

(ب) آیا  $U_m(x)$  و  $W_n(x)$  روی بازه  $[-1, 1]$  نسبت به عامل وزنی  $(1-x^2)^{1/2}$  متعامدند یا خیر؟

۱۹۰۳۰۱۳ روابط زیر را از اتحادهای کسینوس "متناظر" استخراج کنید.

$$T_{n+1}(x) + T_{n-1}(x) = 2xT_n(x) \quad (\text{الف})$$

$$T_{m+n}(x) + T_{m-n}(x) = 2T_m(x)T_n(x) \quad (\text{ب})$$

۲۰۰۳۰۱۳ دونوع چندجمله‌ای چیبشف از طریق چند معادله به هم مربوط می‌شوند. به عنوان مثال نشان دهید

$$T_n(x) = U_n(x) - xU_{n-1}(x)$$

$$(1-x^2)U_n(x) = xT_{n+1}(x) - T_{n+2}(x)$$

۲۱۰۳۰۱۳ با استفاده از

(الف) صورت‌های مثلثاتی  $T_n$  و  $V_n$ ، و (ب) نمایش ردربگر،

نشان دهید که تساوی

$$\frac{dV_n(x)}{dx} = -n \frac{T_n(x)}{\sqrt{1-x^2}}$$

برقرار است.

۲۲.۳.۱۳ با شروع از  $x = \cos \theta$  و  $T_n(\cos \theta) = \cos n\theta$  عبارت زیر را بسط دهید

$$x^k = \left( \frac{e^{i\theta} + e^{-i\theta}}{2} \right)^k$$

آنگاه نشان دهید که

$$x^k = \frac{1}{2^{k-1}} \left[ T_k(x) + \binom{k}{1} T_{k-2}(x) + \binom{k}{2} T_{k-4}(x) + \dots \right]$$

سری درون‌گروشه به ازای  $k = 2m + 1$  به  $\binom{k}{m} T_1(x)$  و به ازای  $k = 2m$  به

$$\frac{1}{2} \binom{k}{m} T_0$$

۲۳.۳.۱۳ (الف) توابع چیشف  $V_1(x)$ ،  $V_2(x)$ ، و  $V_3(x)$  را به ازای  $x = 1$ ،  $x = 0$ ،  $x = -1$  محاسبه و آنگاه آنها را در جدولی درج کنید.

(ب) یکی از جوابهای دوم معادله دیفرانسیل چیشف، معادله (۷۹.۱۳)، به ازای  $n = 0$  عبارت است از  $y(x) = \sin^{-1} x$ . این تابع را روی همان بازه:  $1$ ،  $0$ ،  $-1$  در جدولی بیاورید و آنگاه نمایش هندسی آن را ترسیم کنید.

۲۴.۳.۱۳ بر نامه‌ای بنویسید که در شکل چندجمله‌ای مربوط به چندجمله‌ای چیشف  $T_n(x) = \sum_{k=0}^n a_k x^k$ ، ضرایب  $a_k$  را تولید کند.

۲۵.۳.۱۳ مقادیر  $T_{10}(x)$  را به ازای  $1$ ،  $0$ ،  $-1$  در جدولی درج کنید. این جدول حاوی پنج ریشه مثبت  $T_{10}$  خواهد بود. اگر يك زیر-برنامه ترسیم منحنی در اختیار داشته باشید، نتایج را به کمک آن ترسیم کنید.

۲۶.۳.۱۳ پنج ریشه مثبت  $T_{10}(x)$  را از طریق فراخواندن يك زیر-برنامه ریشه‌یاب تعیین کنید (با پیوست ۱ مقایسه کنید). یا از شناخت تان نسبت به موضع تقریبی این ریشه‌ها، ناشی از مسئله ۲۵.۳.۱۳، استفاده کنید و یا يك برنامه پیگرد برای جستجوی ریشه‌ها بنویسید. این پنج ریشه مثبت (وریشه‌های منفی آنها) عبارت‌اند از نقاط ارزیابی روش کوادراتور ده‌رقمی گاوس-چیشف (پیوست ۲ را ببینید).

$$x_k = \cos[(2k-1)\pi/20], \quad k = 1, 2, 3, 4, 5$$

## ۴.۱۳ چند جمله ایهای چبیشف - کاربردهای عددی

چند جمله ایهای چبیشف  $[T_n(x)]$  برعکس چند جمله ایهای لژاندر، هر میت، و لاگر در توصیف مستقیم جهان فیزیکی هیچ گونه نقش مهمی بازی نمی کنند. اهمیت آنها از کاربردهای فراوان و فزاینده ای که در آنالیز عددی دارند، سرچشمه می گیرند. در زیر چند نمونه از این کاربردها را ذکر می کنیم:

(الف) چند جمله ایهای چبیشف. این توابع تقریب مناسب و نسبتاً دقیقی برای تقریب کم بیشینه یک تابع روی  $[-1, 1]$  فراهم می آورند. تقریب کم بیشینه، تقریبی است که در آن بزرگی بیشینه خطا (ی تقریب) کمینه می شود.

(ب) محاسبه عددی انتگرالها، کوادراتور گاوس-چبیشف. با پیوست ۲ مقایسه کنید.

(ج) کاربردهای بسیار متنوع، شامل وارونی، ماتریسها و انتگرالگیری عددی از معادلات

دیفرانسیل.

در اینجا توجه خود را روی بند (الف)، سری چبیشف و کاربر آنها در تقریب سازی توابع متمرکز می کنیم.

## صورت های مثلثاتی

با توجه به بخش قبل داریم

$$T_n(\cos \theta) = \cos n\theta \quad (\text{الف } ۹۳.۱۳)$$

یا

$$T_n(x) = \cos(n \cos^{-1} x) \quad (\text{ب } ۹۳.۱۳)$$

خواصی که به سود مندی این چند جمله ایهای متعامد در آنالیز عددی (روی بازه تعامد  $[-1, 1]$ ) می انجامد، بایژه گیری از همین صورت های مثلثاتی حاصل می شوند.

$$|T_n(x)| \leq 1 \quad (\text{الف})$$

(ب) در مورد همه بیشینه ها و کمینه ها

$$\max T_n(x) = +1, \quad \min T_n(x) = -1 \quad (۹۴.۱۳)$$

این حکم به خاصیت هم موجی که بعداً پیرامون آن بحث خواهیم کرد، منجر می شود. (ج) بیشینه ها و کمینه ها در گستره  $[-1, 1]$  به طور نسبتاً یکنواختی توزیع شده اند.

## سری چبیشف

نمایش تابع  $f(x)$  از طریق یک سری از چند جمله ایهای چبیشف نسبت به سری توانی منظم دارای مزایای مهمی است: (۱) همگرایی بسیار سریعتر است، (۲) سر آغازی است برای

تکنیک ادغامی (توی هم رونده) سریها از جهت به دست آوردن نمایشهای فشرده تر، و (۳) رهیافتی است به یک تقریب کم بیشینه. با استفاده از عبارت

$$f(x) = \sum_{n=0}^{\infty} a_n T_n(x) \quad (۹۵.۱۳)$$

ضرایب  $a_n$  را می توان با استفاده از تعامد چند جمله ایهای چیشف و بهنجارش، معادله (۸۷.۱۳)، محاسبه کرد. خواهیم داشت

$$a_n = \frac{2}{\pi} \int_{-1}^1 f(x) T_n(x) (1-x^2)^{-1/2} dx, \quad n=1, 2, 3, \dots \quad (۹۶.۱۳)$$

و نصف این مقدار به ازای  $a_0$  به دست می آید. این رفتار بی هنجار ضریب اول در سری کسینوس فوریه در فصل ۱۴ تکرار می شود. دقت کنید که این یک برآزش کمترین مربعات به شمار می آید.

سری چیشف در واقع یک سری کسینوس فوریه در لباس مبدل است. معادله (۹۵.۱۳) با استفاده از معادله (۹۳.۱۳) به صورت زیر درمی آید

$$f(\cos \theta) = \sum_{n=0}^{\infty} a_n \cos n\theta \quad (۹۷.۱۳)$$

که با معادله (۱.۱۴) مشابه است.

اگر  $f(x)$  یک سری توانی متاهی (یعنی چند جمله ای) باشد، ضرایب چیشف را می شود به کمک شگردهای دیگری تعیین کرد که نسبت به انتگرالگیری مستقیم در معادله (۹۶.۱۳) سریعتر و دقیقترند. داریم

$$\sum_{n=0}^N b_n x^n = \sum_{n=0}^N a_n T_n(x) \quad (۹۸.۱۳)$$

ساوی حدهای بالای  $n=N$  در دو مجموع، با یادآوری این نکته که بالاترین توان در  $T_n(x)$  عبارت است از  $x^n$ ، بهتر فهمیده می شود. از این رو  $T_n(x)$  در واقع عبارت است از یک ترتیب مجلد توانهای  $x$  موجود در سری توانی. این برهان را می توان از طریق استقرار ریاضی یا تعامدسازی گرام-اشمیت در بخش ۳.۹ به نحو دقیقتری ارائه کرد.

اگر ضرایب  $b_n$  در سری توانی معلوم باشند، می توان برای تعیین ضرایب نامعلوم چیشف،  $a_n$ ، از شگردهای گوناگونی بهره گرفت.

ضرب ماتریسی. می توانیم در تشابه کامل با مسئله ۱۰۲.۱۲ برای چند جمله ایهای لژاندر، ماتریس تبدیل چیشف را تشکیل دهیم و ضرایب  $a_n$  را از طریق ضرب ماتریسی به دست آوریم.

می توانیم بنویسیم

$$x_n = \sum_{s=0}^n c_{ns} T_s \quad (۹۹.۱۳)$$

$c_{ns}$ ها در مرجع AMS-55، در جدول ۳.۲۲، درج شده اند. با نشان دادن در معادله (۹۸.۱۳) (که درست راست آن شاخص ظاهری  $n$  را با  $s$  تعویض کرده باشیم) و با مساوی قرار دادن ضرایب یکسان  $T_s$ ، خواهیم داشت

$$\langle b_n | (c_{ns}) = \langle a_s |$$

که در آن  $\langle b_n |$  و  $\langle a_s |$  بردارهای سطری (برای  $c_{ns}$  ماتریسی است که در واقع جزء مثلثی شکل نیمه چپ پایینی است. الحاقی را به صورت زیر می گیریم

$$(c_{ns}) | b_n \rangle = | a_s \rangle \quad (۱۰۰.۱۳)$$

بردارهای  $| b_n \rangle$  و  $| a_s \rangle$  بردارهای ستونی (کت) هستند. ماتریس تبدیل سری توانی به سری چیبیشف  $(c_{ns})$ ، که اکنون یک ماتریس مثلثی راست بالایی است، به صورت زیر داده می شود

$$(c_{ns}) = \begin{pmatrix} 1 & 0 & \frac{1}{2} & 0 & \frac{3}{8} & 0 \\ 0 & 1 & 0 & \frac{3}{4} & 0 & \frac{15}{16} \\ 0 & 0 & \frac{1}{2} & 0 & \frac{4}{8} & 0 \\ 0 & 0 & 0 & \frac{1}{4} & 0 & \frac{5}{16} \\ 0 & 0 & 0 & 0 & \frac{1}{8} & 0 \\ 0 & 0 & 0 & 0 & 0 & \frac{1}{16} \end{pmatrix} \quad (۱۰۱.۱۳)$$

ستون سمت راست این ماتریس از رابطه

$$x^5 = \frac{1}{16} \{ 15T_1(x) + 5T_3(x) + 1T_5(x) \}$$

گرفته شده است که يك حالت خاص معادله (۹۹.۱۳) به ازای  $n=5$  به شمار می آید. ستون

ما  $n$  به ازای  $n > 0$  حاوی يك عامل  $1/2^{n-1}$  است که می توان از آن فاکتور گرفت. یکی از محدودیت های اساسی این شگرد تبدیل ماتریسی، معادله (۱۰۰.۱۳)، آن است که ابعاد ماتریس و بنا بر این حد بالای  $N$  ثابت است. در حالت قبل:  $N = 5$ . اگر بخواهیم حالت  $N = 6$  را بررسی کنیم، باید ضرایب  $x$  در معادله (۹۹.۱۳) را به سمت راست (و صفرهایی در انتهای) ماتریس (۱۰۱.۱۳) بیفزاییم.

دش سریع تبدیل فوریه. این روش در فصل ۱۴ مورد بحث قرار می گیرد.

تکرار رابطه بازگشتی. این شگرد را در دنباله مطلب توضیح خواهیم داد.

سری های توانی مربوط به سری چبیشف

چند جمله ای خود را به صورت حاصل ضرب تو دوقوی زیر بازنویسی می کنیم

$$f(x) = b_0 + x(b_1 + \dots + x(b_{N-2} + x(b_{N-1} + xb_N))) \quad (102.13)$$

رابطه بازگشتی، معادله (۹۹.۱۳)، را به قرار زیر به کار می بریم

$$xT_n(x) = \frac{1}{2}T_{n+1}(x) + \frac{1}{2}T_{n-1}(x), \quad n = 1, 2, \dots \quad (103.13)$$

و

$$xT_0 = T_1 \quad (\text{به ازای } n = 0) \quad (104.13)$$

با شروع از پرازنتر داخلی (و با استفاده از جدول ۳.۱۳)، خواهیم داشت

$$b_{N-1} + xb_N = b_{N-1}T_0(x) + b_NT_1(x) \quad (105.13)$$

پس از ضرب کردن در  $x$  و باینه گیری از معادلات (۱۰۳.۱۳) و (۱۰۴.۱۳)، داریم

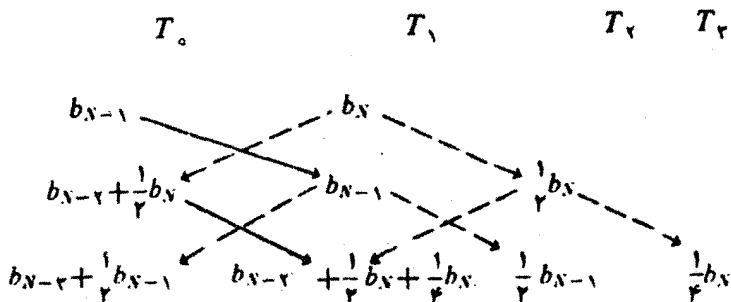
$$\begin{aligned} b_{N-2} + x(b_{N-1} + xb_N) &= b_{N-2}T_0 + x(b_{N-1}T_0 + b_NT_1) \\ &= b_{N-2}T_0 + b_{N-1}T_1 + \frac{1}{2}b_NT_0 + \frac{1}{2}b_NT_2 \end{aligned} \quad (106.13)$$

با جمع آوری ضرایب، می رسم به

$$b_{N-2} + x(b_{N-1} + xb_N) = \left(b_{N-2} + \frac{1}{2}b_N\right)T_0 + b_{N-1}T_1 + \frac{1}{2}b_NT_2 \quad (107.13)$$

به طور طر حواره داریم (ضرایب  $T_n$  در ستونهای تحت عنوان  $T_n$  آمده اند که در هر سطر نسبت به سطر بالایی حاصل يك تکرار دیگر در نظر گرفته شده است):





ضریب  $T_N$  عبارت است از:  $a_n = 2^{-(N-1)} b_N$

به این نکته ها توجه کنید:

۱. در سطر  $m$ ام،  $a_{N-m}$  به ستون  $T_0$  اضافه می شود: ( $b_N$  در سطر اول در ستون  $T_1$  ظاهر می شود).

۲. ضریب  $T_0$  هر سطر به ستون  $T_1$  يك سطر پایینتر منتقل می شود (پیکانهای پیوسته).

۳. همه درایه های دیگر (ستونهای  $T_1, T_2, \dots$ ) در سطر پایینتر، بنا بر معادله (۱۰۳.۱۳)، هم بدچپ و هم بدراست منتقل می شوند، اما يك ضریب  $1/2$  در آنها راه پیدا می کند. (پیکانهای خط چین).

روند این دستورالعمل همچنان ادامه پیدا می کند تا اینکه آخرین ضریب  $b_0$  به ستون  $T_0$  خورانده شود و سطر مربوط به آن تکمیل شود. در این صورت عددی که در ستون  $T_m$  ظاهر می شود ضریب آن، یعنی  $a_m$  است. این دستورالعمل به عنوان يك برنامه کامپیوتری، سریع و دقیق است. این مزیت را نیز دارد که به هیچ گونه آگاهی از ضرایب چند جمله ایهای چیبشف (فراتر از  $T_1$  و  $T_0$ ) نیازی ندارد.

سری ادغامی (نوی هم رونده)

فرض کنید که  $\cosh x$  در بازه  $[-1, 1]$  توسط يك سری مک لورن قطع شده نمایش یافته باشد،

$$\cosh x \approx \sum_{n=0}^{\infty} b_{2n} x^{2n} \quad (108.13)$$

که در آن  $b_{2n} = 1/(2n)!$  از آنجا که ضرایب، دنباله ای سریعاً کاهشی را تشکیل می دهند، خطای بیشینه (در  $x=1$ ) تقریباً با اولین جمله ای که از آن چشم پوشیده ایم، یعنی  $10^{-11} \times 1/14! = 1.7 \times 10^{-11}$  برابر است. با تبدیل بدیک سری چیبشف تا  $T_{14}(x)$  داریم

$$\cosh x \approx \sum_{n=0}^{\infty} b_{2n} x^{2n} = \sum_{n=0}^{\infty} a_{2n} T_{2n}(x) \quad (109.13)$$

ضرایب سری مک لورن و سری چیبشف در جدول ۶.۱۳ نشان داده شده اند. نسبت  $a_{2n}/b_{2n}$

$a_{2n}/b_{2n}$ چیشف	ضرایب سری چیشف <sup>۱</sup>	ضرایب سری مک لورن	$n$
مک لورن	معادله (۱۰۹.۱۳)	معادله (۱۰۸.۱۳)	
۱۲۲۷	۱۲۲۶۶۰۶۵۸۷۷۷۴۹۶	$۱۲۰۰۰ \times ۱۰^0$	۰
$۵۲۴۳ \times ۱۰^{-۱}$	۰۲۲۷۱۴۹۵۳۳۹۵۲۹۸	$۵۲۰۰۰ \times ۱۰^{-۱}$	۲
$۱۲۳۱ \times ۱۰^{-۱}$	۰۲۰۰۰۵۴۷۴۲۴۰۴۳۹۳	$۴۲۱۶۷ \times ۱۰^{-۲}$	۴
$۳۲۲۴ \times ۱۰^{-۲}$	۰۲۰۰۰۰۰۴۴۹۷۷۳۲۱۵	$۱۲۳۸۹ \times ۱۰^{-۲}$	۶
$۸۲۰۳ \times ۱۰^{-۲}$	۰۲۰۰۰۰۰۰۰۱۹۹۲۱۲۰	$۲۲۴۸۰ \times ۱۰^{-۵}$	۸
$۲۲۰۰ \times ۱۰^{-۲}$	۰۲۰۰۰۰۰۰۰۰۰۰۵۵۰۵	$۲۲۷۵۶ \times ۱۰^{-۷}$	۱۰
$۴۲۸۸ \times ۱۰^{-۴}$	۰۲۰۰۰۰۰۰۰۰۰۰۰۰۱۰	$۲۲۰۸۸ \times ۱۰^{-۹}$	۱۲

$$\cosh x \approx \sum_{n=0}^{\infty} b_{2n} x^{2n} = \sum_{n=0}^{\infty} a_{2n} T_{2n}(x)$$

۱. همه ضرایب تا دقت ۱۳ رقم اعشار محاسبه شده اند.

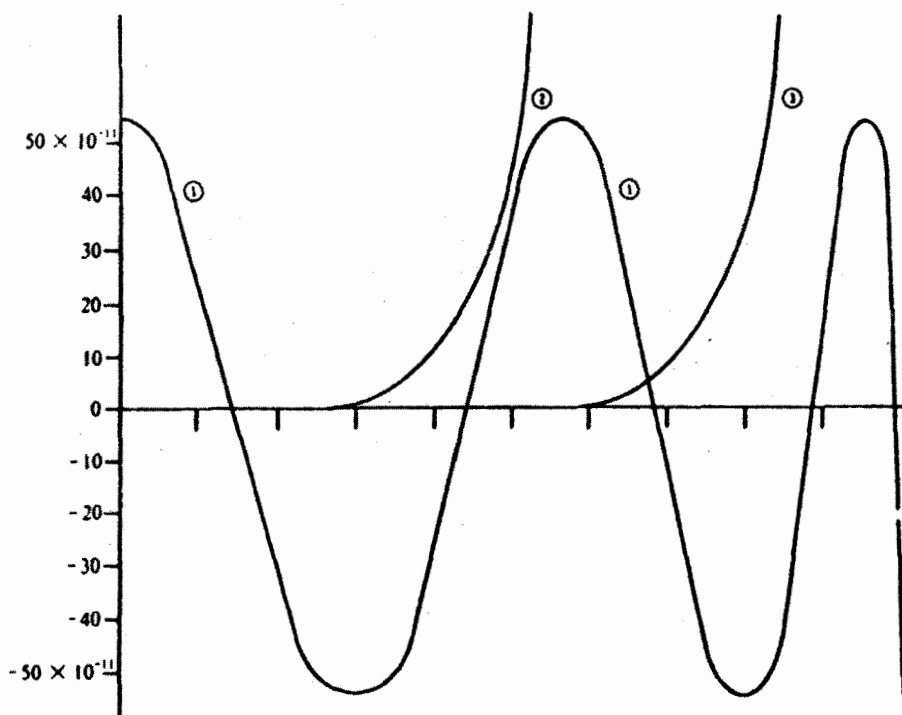
نیز، برای نمایانیدن همگرایی بسیار سری چیشف متناظر در این جدول گنجانیده شده است.

نسبت آخری، یعنی  $a_{12}/b_{12}$ ، مطابق انتظار، در همان محلو دقت چیشف عبارت است از  $۲^{-۱۱}$ .

اینک آخرین جمله در این سری چیشف هفت جمله ای عبارت است از  $T_{12}(x) \times ۱۰^{-۱۲} \times ۱۲۰$ ، که بزرگی بیشینه آن با استفاده از معادله (۹۴.۱۳) برابر است با  $۱۲۰ \times ۱۰^{-۱۲}$ . از آنجا که تقریب اصلی ما برای  $\cosh x$  [معادله (۱۰۸.۱۳)] تنها تا  $۱۰^{-۱۱} \times ۱۲۰$  دقت دارد، این جمله  $T_{12}$  را می توان بدون هیچ گونه افت دقت حذف کرد. سری کوتاه شده شش جمله ای چیشف را بازمی توان در صورت تمایل به یک سری توانی تا  $x^{۱۰}$  تبدیل کرد. و این سری توانی ادغامی، اساساً از همان دقتی که سری اصلی تا  $x^{۱۲}$  دارد، برخوردار است.

این فرایند حذف جمله بالاترین مرتبه از سری چیشف (ادغامی) را اگر بخواهیم می توانیم ادامه دهیم. جدول ۷.۱۳، ضرایب سری توانی حاصل را ارائه می کند. خطای بیشینه در سری ادغامی شش جمله ای در حدود خطای بیشینه در سری هفت جمله ای اصلی است. خطای بیشینه در سری ادغامی پنج جمله ای به طور قابل ملاحظه ای کمتر از خطای بیشینه در سری مک لورن شش جمله ای است. این فرایند ادغامی، خطای بیشینه را کم می کند (سری





شکل ۷-۱۳ خطا در نمایشهای  $\cosh x$ : (۱) خطا در سری مک لورن هفت جمله‌ای که تا پنج جمله ادغامی است. (۲) خطا در سری مک لورن پنج جمله‌ای. (۳) خطا در سری مک لورن شش جمله‌ای.

### چند جمله‌ایهای انتقال یافته چیبشف

چند جمله‌ایهای چیبشف روی بازه خاص  $[-1, 1]$  تعریف شده و متعامند. از آنجا که هر بازه متناهی  $a \leq x \leq b$  را می‌توان به کمک تبدیل خطی

$$x = \frac{b-a}{2}t + \frac{b+a}{2} \quad (110.13)$$

به بازه  $-1 \leq t \leq 1$  تبدیل کرد، گزینه  $[-1, 1]$  کاملاً کلی است. ولی بیشتر اوقات بهتر است که در بازه  $[0, 1]$  عمل کنیم و چند جمله‌ایهایی را تعریف کنیم که روی این بازه متعام باشند. با استفاده از معادله (۱۱۰-۱۳)، از تساوی  $T_n(t) = T_n(2x-1)$  بهره می‌گیریم و آنها را چند جمله‌ایهای انتقال یافته چیبشف،  $T_n^*(x)$ ، می‌نامیم

$$T_n^*(x) = T_n(2x-1), \quad 0 \leq x \leq 1 \quad n=0, 1, 2, \dots \quad (111.13)$$

چندجمله‌ایهای انتقال یافته چیشف را می‌توان بر حسب زاویه  $\theta$  مشخص کرد. به عنوان شناسه  $T_n$  داریم

$$2x - 1 = \cos \theta$$

آنگاه

$$x = \frac{1 + \cos \theta}{2} = \cos^2 \frac{\theta}{2} \quad (112.13)$$

از آنجا که در رفتن از  $T_n$  به  $T_n^*$ ، یک تبدیل خطی انجام داده‌ایم، در اینجا نیز داریم

$$T_n^*(x) = \cos n\theta$$

ولی اینک  $x$  و  $\theta$  از طریق معادله (112.13) بهم مربوط می‌شوند. خواص  $T_n^*(x)$  را می‌توان به کمک خواص  $T_n(x)$  متناظر استخراج کرد. در اینجا نیز، به علت آنکه گاهی چندجمله‌ایهای انتقال یافته چیشف سودمندند، آی‌بی‌ام از طریق Scientific Subroutine Package (SSP) زیر-برنامه‌های مناسبی ارائه داده است.

مسائل

۱۰۴.۱۳ روابط زیر را استخراج کنید

$$\int_0^1 T_m^*(x) T_n^*(x) \frac{dx}{(x-x^2)^{1/2}} = \begin{cases} 0 & m \neq n \\ \frac{\pi}{2} & m = n \neq 0 \\ \pi & m = n = 0 \end{cases}$$

۲۰۴.۱۳ (الف) نشان دهید که  $T_1^*(x) = 2x - 1$  و  $T_0^*(x) = 1$

(ب) رابطه بازگشتی زیر را برای چندجمله‌ای انتقال یافته چیشف استخراج کنید

$$T_{n+1}^*(x) = 2(2x-1)T_n^*(x) - T_{n-1}^*(x)$$

به کمک این رابطه بازگشتی و نتایج بند (الف)، می‌توان سایر چندجمله‌ایهای انتقال یافته چیشف را تشکیل داد.

۳۰۴.۱۳ بسطهای چیشف زیر را (برای  $[-1, 1]$ ) تشکیل دهید:

$$(1-x^2)^{1/2} = \frac{2}{\pi} \left[ 1 - 2 \sum_{s=1}^{\infty} (4s^2 - 1)^{-1} T_{2s}(x) \right] \quad (\text{الف})$$

$$+1, \quad 0 < x \leq 1 \left\{ \begin{aligned} &= \frac{2}{\pi} \sum_{s=0}^{\infty} (-1)^s (2s+1)^{-1} T_{2s+1}(x) \quad (\text{ب}) \\ &-1, \quad -1 \leq x < 0 \end{aligned} \right.$$

۴.۴.۱۳ (الف) برای بازه  $[-1, 1]$ ، نشان دهید

$$|x| = \frac{1}{2} + \sum_{s=1}^{\infty} (-1)^{s+1} \frac{(2s-3)!!}{(2s+2)!!} (2s+1) P_{2s}(x)$$

$$= \frac{2}{\pi} + \frac{2}{\pi} \sum_{s=1}^{\infty} (-1)^{s+1} \frac{1}{2s^2-1} T_{2s}(x)$$

(ب) نشان دهید که نسبت ضریب  $T_{2s}(x)$  به ضریب  $P_{2s}(x)$  با  $s \rightarrow \infty$  به  $(\pi s)^{-1/2}$  نزدیک می‌شود. این نسبت، همگرایی نسبتاً سریع سری چیشف را نمایش می‌دهد. راهنمایی. ژاندر - با استفاده از روابط بازگشتی ژاندر،  $x P_n'(x)$  را به صورت ترکیب خطی مشتقها بنویسید. چیشف - جانشانی مثلثاتی  $x = \cos \theta$ ،  $T_n(x) = \cos n\theta$  بسیار سودمند است.

۵.۴.۱۳ نشان دهید که

$$\frac{\pi^2}{8} = 1 + 2 \sum_{s=1}^{\infty} (2s^2-1)^{-2}$$

۴.۴.۱۳ راهنمایی. از اتحاد پارسوال (یا رابطه تمامیت) درباره نتایج مسئله ۴.۴.۱۳ بهره‌گیرید.

۶.۴.۱۳ نشان دهید

$$\cos^{-1} x = \frac{\pi}{2} - \frac{2}{\pi} \sum_{n=0}^{\infty} \frac{1}{(2n+1)^2} T_{2n+1}(x) \quad (\text{الف})$$

$$\sin^{-1} x = \frac{2}{\pi} \sum_{n=0}^{\infty} \frac{1}{(2n+1)^2} T_{2n+1}(x) \quad (\text{ب})$$

۷.۴.۱۳ (الف) زیر-برنامه‌ای با دقت مضاعف بنویسید که سری توانی متناهی  $\sum_{n=0}^N b_n x^n$  را به سری چیشف  $\sum_{n=0}^N a_n T_n(x)$  تبدیل کند. از شگرد تکرار رابطه بازگشتی که طرح کلی آن در این بخش شرح داده شده است، بهره‌گیرید.

(ب) زیر-برنامه خود را فراسراخوانید تا ضرایب سری چیشف را برای  $(1) e^x$ ،  $(2) e^{-x}$ ،  $(3) \cosh x$ ، و  $(4) \sinh x$  پیدا کند. جملات تا  $T_{12}(x)$  را به حساب بیاورید. یادآوردی. این ضرایب چیشف در مسئله ۱۶.۵.۱۱ بر حسب توابع تعدیل یافته بسل محاسبه می‌شوند.

۸۰۴.۱۳ (الف) با استفاده از ضرایب چیشف با دقت مضاعف تا  $a_{11} T_{11}$  برای  $\sinh x$  از مسئله ۷۰۴.۱۳ یا ۶۰۵.۱۱ جمله  $a_{11} T_{11}$  را حذف کنید. خطای سری ادغامی خود را با خطا در (۱) سری اصلی، (۲) سری مک لورن با همان تعداد جملات سری ادغامی مقایسه کنید. این سری چیشف جدید را به یک سری توانی تبدیل کنید.

(ب) بند (الف) را تا حذف  $a_n T_n$  تکرار کنید. منحنی خطای تقریباً هم موج را محاسبه کنید و آن را با منحنی خطای سری مک لورن تا  $b_{px}$  مقایسه کنید.

### ۵.۱۳ توابع فوق هندسی

در فصل ۸ با معادله فوق هندسی زیر آشنا شدیم<sup>۱</sup>

$$x(1-x)y''(x) + [c - (a+b+1)x]y'(x) - aby(x) = 0 \quad (113.13)$$

این معادله صورت بندادی یک معادله دیفرانسیل مرتبه دوم خطی، با تکنیکهای منظمی در  $x=0, 1, \infty$  به شمار می آید. یکی از جوابهای این معادله عبارت است از

$$y(x) = {}_2F_1(a, b, c; x)$$

$$= 1 + \frac{a \cdot b}{c} \frac{x}{1!} + \frac{a(a+1)b(b+1)}{c(c+1)} \frac{x^2}{2!} + \dots, \quad (114.13)$$

$$c \neq 0, -1, -2, -3, \dots$$

که آن را تابع یا سری فوق هندسی می نامند. گستره همگرایی آن،  $|x| < 1$  و  $x=1$ ، به ازای  $c > a+b-1$  و  $x=-1$  به ازای  $c > a+b-1$  است. تابع فوق هندسی بر حسب نماد متداول پوکهامر<sup>۲</sup>

$$(a)_n = a(a+1)(a+2) \dots (a+n-1) = \frac{(a+n-1)!}{(a-1)!} \quad (115.13)$$

$$(a)_0 = 1$$

به صورت زیر درمی آید

$${}_2F_1(a, b, c; x) = \sum_{n=0}^{\infty} \frac{(a)_n (b)_n}{(c)_n} \frac{x^n}{n!} \quad (116.13)$$

۱. این معادله را گاهی معادله دیفرانسیل گاوس می نامند. در این صورت، جوابهای آن توابع گاوس نامیده می شوند.

به این ترتیب به مفهوم شاخصهای ۱ و ۲ پی می‌بریم. شاخص مقدم ۲ نشان می‌دهد که دو نماد پوکهامر در صورت کسر ظاهر می‌شود و شاخص آخری ۱ نشان می‌دهد که یک نماد پوکهامر در مخرج کسر موجود است. تابع فوق هندسی همشار  ${}_1F_1$  با یک نماد پوکهامر در صورت کسر و یکی در مخرج در بخش ۶.۱۳ پدیدار می‌شود.

از شکل معادله (۱۱۴.۱۳) مشاهده می‌کنیم که پارامتر  $c$  نمی‌تواند صفر یا عدد درست منفی باشد. از سوی دیگر، چنانچه  $a$  و  $b$  صفر یا عدد درست منفی باشند، سری پایان می‌پذیرد و تابع فوق هندسی به یک چند جمله‌ای تبدیل می‌شود.

بسیاری از توابع کمابیش بنیادی را می‌توان به کمک تابع فوق هندسی نمایش داد. پی می‌بریم که

$$\ln(1+x) = x {}_1F_1(1, 1, 2; -x) \quad (117.13)$$

برای انتگرالهای بیضوی کامل  $E$  و  $K$  داریم

$$K(k^2) = \int_0^{\pi/2} (1 - k^2 \sin^2 \theta)^{-1/2} d\theta \quad (118.13)$$

$$= \frac{\pi}{2} {}_2F_1\left(\frac{1}{2}, \frac{1}{2}, 1; k^2\right)$$

$$E(k^2) = \int_0^{\pi/2} (1 - k^2 \sin^2 \theta)^{1/2} d\theta \quad (119.13)$$

$$= \frac{\pi}{2} {}_2F_1\left(\frac{1}{2}, -\frac{1}{2}, 1; k^2\right)$$

صورت‌های سری صریح و سایر خواص انتگرالهای بیضوی در بخش ۸.۵ به تفصیل توضیح داده شده‌اند.

معادله فوق هندسی به عنوان یک معادله دیفرانسیل خطی مرتبه دوم جواب دیگری نیز دارد. صورت معمولی آن عبارت است از

$$y(x) = x^{1-c} {}_1F_1(a+1-c, b+1-c, 2-c; x), \quad c \neq 2, 3, 4, \dots \quad (120.13)$$

خواننده می‌تواند نشان دهد (مسئله ۱.۵.۱۳) که اگر  $c$  عدد درستی باشد، یا دو جواب

۱. نماد پوکهامر اغلب در عبارات دیگری که شامل فاکتوریلهاست، سودمند واقع می‌شود، مثلاً در

$$(1-z)^{-a} = \sum_{n=0}^{\infty} (a)_n z^n / n! \quad |z| < 1$$

۲. با داشتن سه پارامتر  $a, b, c$  تقریباً هر چیزی را می‌توان نمایش داد.



باید دیگر یکی می شوند و بایکی از دو جواب نامتناهی می شود (که البته اگر  $a$  یا  $b$  عدد درست باشد این وضع پیش نخواهد آمد). در چنین حالتی انتظار می رود که جواب دوم حاوی يك جمله لگاریتمی باشد.

از جمله صورتهای دیگر معادله فوق هندسی، صورتهای زیر را داریم

$$(1-z^2) \frac{d^2}{dz^2} y \left( \frac{1-z}{2} \right) - [(a+b+1)z - (a+b+1-2c)] \frac{d}{dz} y \left( \frac{1-z}{2} \right) - aby \left( \frac{1-z}{2} \right) = 0 \quad (121.13)$$

$$(1-z^2) \frac{d^2}{dz^2} y(z^2) - \left[ (2a+2b+1)z + \frac{1-2c}{z} \right] \frac{d}{dz} y(z^2) - 2aby(z^2) = 0 \quad (122.13)$$

### روابط تابع مجاور

طریقه وارد شدن پارامترهای  $a$ ،  $b$ ، و  $c$  به همان شیوه وارد شدن پارامتر  $n$  متعلق به توابع بسل و لژاندر و سایر توابع خاص است، به همان ترتیبی که در مورد این توابع پی بردیم، انتظار داریم روابطی بازگشتی متضمن تغییراتی برابر واحد در  $a$ ،  $b$ ، و  $c$  بیابیم. رسم است که تابعی فوق هندسی را که در آن يك پارامتر به اندازه  $+1$  یا  $-1$  تغییر کند، "تابع مجاور" بنامیم. با تعمیم این اصطلاح و شمول تغییرات واحد همزمان به بیش از يك پارامتر،  $2\epsilon$  تابع مجاور با  ${}_2F_1(a, b, c; x)$  می یابیم. اگر آنها را دوتا دوتا در نظر بگیریم، می توانیم تعداد ۳۲۵ معادله بین توابع مجاور تشکیل دهیم. نمونه ای از این رابطه ها عبارت است از

$$(a-b)\{c(a+b-1)+1-a^2-b^2+[(a-b)^2-1](1-x)\} {}_2F_1(a, b, c; x) \\ = (c-a)(a-b+1)b {}_2F_1(a-1, b+1, c; x) \\ + (c-b)(a-b-1)a {}_2F_1(a+1, b-1, c; x) \quad (123.13)$$

يك رابطه دیگر تابع مجاور در مسئله ۱۰۵۰۱۳ ظاهر می شود.

### نمایشهای فوق هندسی

معادله فراکروی (۸۱۰۱۳) در بخش ۳۰۱۳ حالت خاصی از معادله (۱۱۳۰۱۳) است، از این رو می بینیم که توابع فراکروی (و توابع لژاندر و جیبش) را می توان به صورت توابع فوق هندسی نمایش داد. برای تابع فراکروی داریم

$$T_n^\beta(x) = \frac{(n+2\beta)!}{2^\beta n! \beta!} {}_2F_1\left(-n, n+2\beta+1, 1+\beta; \frac{1-x}{2}\right) \quad (124.13)$$

برای توابع ژاندر و وابسته ژاندر

$$P_n(x) = {}_2F_1\left(-n, n+1, 1; \frac{1-x}{2}\right) \quad (125.13)$$

$$P_n^m(x) = \frac{(n+m)!}{(n-m)!} \frac{(1-x^2)^{m/2}}{2^m m!} {}_2F_1\left(m-n, m+n+1, m+1; \frac{1-x}{2}\right) \quad (126.13)$$

صورت‌های دیگر عبارت‌اند از

$$P_{2n}(x) = (-1)^n \frac{(2n)!}{2^{2n} n! n!} {}_2F_1\left(-n, n + \frac{1}{2}, \frac{1}{2}; x^2\right) \quad (127.13)$$

$$= (-1)^n \frac{(2n-1)!!}{(2n)!!} {}_2F_1\left(-n, n + \frac{1}{2}, \frac{1}{2}; x^2\right)$$

$$P_{2n+1}(x) = (-1)^n \frac{(2n+1)!}{2^{2n} n! n!} x {}_2F_1\left(-n, n + \frac{3}{2}, \frac{3}{2}; x^2\right) \quad (128.13)$$

$$= (-1)^n \frac{(2n+1)!!}{(2n)!!} x {}_2F_1\left(-n, n + \frac{3}{2}, \frac{3}{2}; x^2\right)$$

توابع چیبشف بر حسب توابع فوق‌هندسی به صورت زیر درمی‌آیند

$$T_n(x) = {}_2F_1\left(-n, n, \frac{1}{2}; \frac{1-x}{2}\right) \quad (129.13)$$

$$U_n(x) = (n+1) {}_2F_1\left(-n, n+2, \frac{3}{2}; \frac{1-x}{2}\right) \quad (130.13)$$

$$V_n(x) = \sqrt{1-x^2} n {}_2F_1\left(-n+1, n+1, \frac{3}{2}; \frac{1-x}{2}\right) \quad (131.13)$$

ضرایب پیشرو از طریق مقایسه مستقیم با سری توانی کامل یا به کمک مقایسه با ضرایب سری توانی خاصی که در دسترس است، یا با محاسبه درجه  $x=1$  یا  $x=-1$ ، و غیره تعیین می‌شوند. از سری فوق‌هندسی برای تعریف توابع با شاخصهای غیر عدد درست استفاده می‌شود. موارد کاربرد فیزیکی این سری بسیار اندک است.

## مسائل

۱۰۵.۱۳ الف) نشان دهید که هرگاه  $c$  عدد درست و  $a$  و  $b$  عددهای غیر درست باشند، عبارت‌های

$$x^{1-c} {}_2F_1(a+1-c, b+1-c, \gamma-c; x) \text{ و } {}_2F_1(a, b, c; x)$$

تنها یکی از جوابهای معادله فوق هندسی را به دست می دهند.

(ب) اگر  $a$  عدد درستی باشد، مثلا  $a = -1$  و  $c = -2$  چه پیش خواهد آمد؟

۲۰۵۰۱۳ روابط بازگشتی لژاندر، چیشف I، و چیشف II متناظر با معادله تابع فوق هندسی مجاور (۱۲۳۰۱۳) را پیدا کنید.

۳۰۵۰۱۳ چند جمله ایهای زیر را به توابع فوق هندسی با شناسه  $x^2$  تبدیل کنید. (الف)  $T_{2n}(x)$ ؛ (ب)  $x^{-1}T_{2n+1}(x)$ ؛ (ج)  $U_{2n}(x)$ ؛ (د)  $x^{-1}U_{2n+1}(x)$ .

$$T_{2n}(x) = (-1)^n {}_2F_1\left(-n, n, \frac{1}{2}; x^2\right) \quad \text{پاسخ.}$$

$$x^{-1}T_{2n+1}(x) = (-1)^n (2n+1) {}_2F_1\left(-n, n+1, \frac{3}{2}; x^2\right)$$

$$U_{2n}(x) = (-1)^n {}_2F_1\left(-n, n+1, \frac{1}{2}; x^2\right)$$

$$x^{-1}U_{2n+1}(x) = (-1)^n (2n+2) {}_2F_1\left(-n, n+2, \frac{3}{2}; x^2\right)$$

۴۰۵۰۱۳ ضریب پیشرو در نمایشهای فوق هندسی توابع چیشف را تحقیق یا استخراج کنید.

۵۰۵۰۱۳ تحقیق کنید که تابع نوع دوم لژاندر  $Q_\nu(z)$  از رابطه زیر به دست می آید

$$Q_\nu(z) = \frac{\pi^{1/2} \nu!}{\left(\nu + \frac{1}{2}\right)! (\nu z)^{\nu+1}} {}_2F_1\left(\frac{\nu}{2} + \frac{1}{2}, \frac{\nu}{2} + 1, \frac{\nu}{2} + \frac{3}{2}; z^{-2}\right)$$

$$|z| > 1, \quad |\arg z| < \pi, \quad \nu \neq -1, -2, -3, \dots$$

۶۰۵۰۱۳ تابع ناکامل بتا، مانند تابع ناکامل گاما بنا بر تعریف عبارت است از

$$B_x(a, b) = \int_0^x t^{a-1} (1-t)^{b-1} dt$$

نشان دهید که

$$B_x(a, b) = a^{-1} x^a {}_2F_1(a, 1-b, a+1; x)$$

۷۰۵۰۱۳ درستی نمایش انتگرالی زیر را تحقیق کنید

$${}_2F_1(a, b, c; z) = \frac{\Gamma(c)}{\Gamma(b)\Gamma(c-b)} \int_0^1 t^{b-1}(1-t)^{c-b-1}(1-tz)^{-a} dt$$

چه محدودیت‌هایی باید در مورد پارامترهای  $b$  و  $c$  و در مورد متغیر  $z$  وضع کنید؟ یادآوری. محدودیت روی  $|z|$  را می‌توان از طریق تمدید تحلیلی حذف کرد. به ازای مقدار غیر درست  $a$ ، محور حقیقی در صفحه  $z$  از  $1$  تا  $\infty$  یک خط برش است. راهنمایی. این انتگرال احتمالاً شبیه به یک تابع بتا به نظر می‌رسد و می‌توان آن را در یک سری از توابع بتا بسط داد.

پاسخ.  $|z| < 1$  و  $\Re(c) > \Re(b) > 0$ .

۸.۵.۹۳ ثابت کنید

$${}_2F_1(a, b, c; 1) = \frac{\Gamma(c)\Gamma(c-a-b)}{\Gamma(c-a)\Gamma(c-b)}, \quad c \neq 0, -1, -2, \dots, c > a+b$$

راهنمایی. در اینجا فرصتی پیش می‌آید تا از نمایش انتگرالی مسئله ۷.۵.۱۳ بهره‌گیریم.

۹.۵.۱۳ ثابت کنید

$${}_2F_1(a, b, c; x) = (1-x)^{-a} {}_2F_1\left(a, c-b, c; \frac{x}{1-x}\right)$$

راهنمایی. نمایش انتگرالی مسئله ۷.۴.۱۳ را بیازمایید. یادآوری. فایده این رابطه پدید آوردن نمایش ردیگز  $T_n(x)$  است (بامسئله ۱۱.۳.۱۳ مقایسه کنید).

۱۰.۵.۱۳ تحقیق کنید

$${}_2F_1(-n, b, c; 1) = \frac{(c-b)_n}{(c)_n}$$

راهنمایی. در اینجا نیز فرصتی پیش می‌آید تا از رابطه تابع مجاور

$$[2a - c + (b-a)x]F(a, b, c; x) = a(1-x)F(a+1, b, c; x) - (c-a)F(a-1, b, c; x)$$

و استقرای ریاضی بهره‌گیرید. نمایش انتگرالی و تابع بتا را نیز می‌توانید به کار ببرید.

### ۶.۱۳ توابع فوق هندسی همشار

معادله فوق هندسی همشار

$$xy''(x) + (c-x)y'(x) - ay(x) = 0 \quad (132.13)$$

را می توان از معادله فوق هندسی بخش ۵.۱۳، از طریق ادغام دو تاز تکینگیها به دست آورد. معادله حاصل يك تکینگی منظم در  $x=0$  و يك تکینگی نامنظم در  $x=\infty$  دارد. یکی از جوابهای معادله فوق هندسی همشار عبارت است از

$$y(x) = {}_1F_1(a, c; x) = M(a, c; x)$$

$$= 1 + \frac{a}{c} \frac{x}{1!} + \frac{a(a+1)}{c(c+1)} \frac{x^2}{2!} + \dots, \quad c \neq 0, -1, -2, \dots \quad (133.13)$$

این جواب به ازای همه  $x$ ها (یا  $z$ ها)ی متناهی همگر است. بر حسب علامت پوکهامر، داریم

$$M(a, c; x) = \sum_{n=0}^{\infty} \frac{(a)_n}{(c)_n} \frac{x^n}{n!} \quad (134.13)$$

روشن است که  $M(a, c; x)$  در صورتی که  $a$  برابر صفر یا يك عدد درست منفی باشد، به يك چند جمله ای تبدیل می شود. توابع کما بیش بنیادی بیشماری را می توان به کمک تابع فوق هندسی همشار نمایش داد. مثلا، تابع خطا و تابع ناکامل گاما را می توان برشرد

$$\operatorname{erf}(x) = \frac{2}{\pi^{1/2}} \int_0^x e^{-t^2} dt = \frac{2}{\pi^{1/2}} x M\left(\frac{1}{2}, \frac{3}{2}; -x^2\right) \quad (135.13)$$

$$\gamma(a, x) = \int_0^x e^{-t} t^{a-1} dt$$

(136.13)

از معادله (۷۱.۱۵)، داریم  $\Re(a) > 0$ ، داریم

آشکار است که این عبارت با جواب اول به ازای  $c = a + 1$  یکی است. تابع خطا و تابع ناکامل گاما در بخش ۵.۱۵ مفصلا شرح داده شده اند. يك جواب دیگر معادله (۱۳۲.۱۳) از رابطه زیر به دست می آید.

$$y(x) = x^{1-c} M(a+1-c, 2-c; x), \quad c \neq 2, 3, 4, \dots \quad (137.13)$$

صورت متعارف جواب دوم معادله (۱۳۲.۱۳) ترکیبی است خطی از معادلات (۱۳۳.۱۳) و (۱۳۷.۱۳)

$$U(a, c; x) = \frac{\pi}{\sin \pi c} \left[ \frac{M(a, c; x)}{(a-c)!(c-1)!} - \frac{x^{1-c} M(a+1-c, 2-c; x)}{(a-1)!(1-c)!} \right] \quad (138.13)$$

به تشابهی که این تعریف با تعریف تابع نویمان در معادله (۶۰.۱۱) دارد توجه کنید. مانند تابع نویمان، معادله (۶۰.۱۱)، این تعریف  $U(a, c; x)$  نیز در اینجا به ازای مقدار درست  $c$ ، مبهم می‌شود.

شکل دیگری از معادله فوق‌هندسی همشار که بعداً به کار می‌آید، با تغییر متغیر مستقلی از  $x$  به  $x^2$  به دست می‌آید

$$\frac{d^2}{dx^2} y(x^2) + \left[ \frac{2c-1}{x} - 2x \right] \frac{d}{dx} y(x^2) - 4ay(x^2) = 0 \quad (139.13)$$

در اینجا نیز مثل توابع فوق‌هندسی، توابع مجاوری وجود دارند که در آنها پارامترهای  $a$  و  $c$  به اندازه  $\pm 1$  تغییر کرده‌اند. باشمول تغییرات همزمان در هر دو پارامتر، هشت امکان مختلف داریم. با در نظر گرفتن تابع اصلی و زوج زوج توابع مجاور می‌توانیم جمعاً ۲۸ معادله تشکیل دهیم.<sup>۲</sup>

### نمایشهای انتگرالی

در بسیاری از موارد بهتر است که توابع فوق‌هندسی همشار را به صورت انتگرالی در اختیار داشته باشیم. بی‌می‌بریم که (مسئله ۱۰۶.۱۳)

$$M(a, c; x) = \frac{\Gamma(c)}{\Gamma(a)\Gamma(c-a)} \int_0^1 e^{-xt} t^{a-1} (1-t)^{c-a-1} dt, \quad \Re(c) > \Re(a) > 0 \quad (140.13)$$

$$U(a, c; x) = \frac{1}{\Gamma(a)} \int_0^\infty e^{-xt} t^{a-1} (1+t)^{c-a-1} dt, \quad \Re(x) > 0, \quad \Re(a) > 0 \quad (141.13)$$

- سه تکنیک مهم برای استخراج یا تحقیق درستی نمایشهای انتگرالی عبارت‌اند از:
۱. تبدیل بسطهای تابع مولد و نمایشهای ردیگر: توابع بسط و لژاندر نمونه‌هایی از این رهیافت را به دست می‌دهند.
  ۲. انتگرال‌گیری مستقیم برای ارائه یک سری: این تکنیک مستقیم برای نمایش تابع بسط (مسئله ۱۸۰.۱۱) و انتگرال فوق‌هندسی (مسئله ۷۰.۱۳) مفید است.

۱. اسلیتر اینها را توابع وابسته می‌خواند.

۲. روابط بازگشتی توابع بسط، هرمیت، و لاگر حالت‌های خاصی از این معادلات‌اند.

۳. (الف) تحقیق این نکته که نمایش انتگرالی در معادله دیفرانسیل صدق می کند. (ب) حذف جواب دیگر. (ج) تحقیق درستی بهنجارش. این همان روشی است که در بخش ۶.۱۱ برای تثبیت نمایش انتگرالی تابع تعدیل یافته بسل  $K_p(z)$  به کار رفته است. این روش در اینجا نیز برای تثبیت معادله های (۱۴۰.۱۳) و (۱۴۱.۱۳) کار ساز است.

**توابع بسل و تعدیل یافته بسل**

فرمول اول کومر

$$M(a, c; x) = e^x M(c-a, c; -x) \quad (142.13)$$

برای نمایش توابع بسل و تعدیل یافته بسل مفید است. درستی این فرمول را می توان به کمک بسط سری یا با استفاده از یک نمایش انتگرالی تحقیق کرد (بامسئله ۱۰.۶.۱۳ مقایسه کنید). همان طور که از صورت معادله فوق هندسی هشمار و سرشت تکنیکهای آن انتظار داریم، توابع فوق هندسی هشمار برای نمایش تعدادی از توابع خاص فیزیک ریاضی مفیدند. در مورد توابع بسل

$$J_\nu(x) = \frac{e^{-ix}}{\nu!} \left(\frac{x}{\nu}\right)^\nu M\left(\nu + \frac{1}{\nu}, 2\nu + 1; 2ix\right) \quad (143.13)$$

در حالی که برای توابع تعدیل یافته نوع اول بسل داریم

$$I_\nu(x) = \frac{e^{-x}}{\nu!} \left(\frac{x}{\nu}\right)^\nu M\left(\nu + \frac{1}{\nu}, 2\nu + 1; 2x\right) \quad (144.13)$$

**توابع هرمیت**

توابع هرمیت، بابت بهره گیری از معادله (۱۳۹.۱۳)، از روابط زیر به دست می آیند

$$H'_{2n}(x) = (-1)^n \frac{(2n)!}{n!} M\left(-n, \frac{1}{\nu}; x^2\right) \quad (145.13)$$

$$H_{2n+1}(x) = (-1)^n \frac{2(2n+1)!}{n!} x M\left(-n, \frac{3}{\nu}; x^2\right) \quad (146.13)$$

از مقایسه معادله دیفرانسیل لاگر با معادله فوق هندسی هشمار، داریم

$$L_n(x) = M(-n, 1; x) \quad (147.13)$$

با توجه به معادله (۳۵.۱۳) به ازای  $x=0$ ، ثابت  $c$  برابر واحد تعیین می شود. برای توابع وابسته لاگر داریم

$$L_n^m(x) = (-1)^m \frac{d^m}{dx^m} L_{n+m}(x) \\ = \frac{(n+m)!}{n!m!} M(-n, m+1; x) \quad (148.13)$$

درستی این معادله را در مقایسه با جواب سری توانی [معادله (۴۱.۱۳)]، بخش ۲۰۱۳ نیز تحقیق می‌کنیم. توجه کنید که در شکل فوق هندسی، برخلاف نمایش ردریگر، نیازی به آن نیست که شاخصهای  $n$  و  $m$  اعداد درستی باشند، و اگر عدد درست نباشند  $L_n^m(x)$  چندجمله‌ای نخواهد بود.

### موارد متفرقه

بیان توابع خاص بر حسب توابع فوق هندسی و فوق هندسی همشار، از مزیت‌هایی برخوردار است. اگر رفتار کلی توابع فوق هندسی را بدانیم، رفتار توابع خاصی که بررسی کرده‌ایم به عنوان موارد خاص معلوم است. این موضوع می‌تواند در تعیین رفتار مجانبی یا محاسبه انتگرال‌های بهنجارش سودمند باشد. رفتار مجانبی  $M(a, c; x)$  و  $U(a, c; x)$  را می‌توان به کمک نمایشهای انتگرالی این توابع، معادلات (۱۴۵.۱۳) و (۱۴۱.۱۳)، به‌طور مناسبی به دست آورد. مزیت دیگر این نوع بیان آن است که روابط بین توابع خاص را مشخص می‌کند. مثلا، از بررسی معادله‌های (۱۴۵.۱۳)، (۱۴۶.۱۳)، و (۱۴۸.۱۳) چنین برمی‌آید که توابع هرمیت و لاگر به هم مربوط اند.

آشکار است که معادله فوق هندسی (۱۳۲.۱۳) خود-الحاقی نیست. به این دلیل و دلایل دیگر بهتر است که تابع زیر را تعریف کنیم

$$M_{k\mu}(x) = e^{-x/\gamma} x^{\mu+1/\gamma} M\left(\mu - k + \frac{1}{\gamma}, \gamma\mu + 1; x\right) \quad (149.13)$$

این تابع جدید  $M_{k\mu}(x)$  تابع ویتاکراست که در معادله خود-الحاقی زیر صدق می‌کند

$$M_{k\mu}''(x) + \left(-\frac{1}{\gamma} + \frac{k}{x} + \frac{\frac{1}{\gamma} - \mu^2}{x^2}\right) M_{k\mu}(x) = 0 \quad (150.13)$$

جواب متناظر دیگر عبارت است از

$$W_{k\mu}(x) = e^{-x/\gamma} x^{\mu+1/\gamma} U\left(\mu - k + \frac{1}{\gamma}, \gamma\mu + 1; x\right) \quad (151.13)$$

### مسائل

۱۰۶.۱۳ درستی نمایش فوق هندسی همشار مربوط به تابع خطا را تحقیق کنید



$$\operatorname{erf}(x) = \frac{2x}{\pi^{1/2}} M\left(\frac{1}{2}, \frac{3}{2}, -x^2\right)$$

۲۰۶۰۱۳ نشان دهید که انتگرالهای فونل  $C(x)$  و  $S(x)$ ، مسئله ۲۰۱۰۰۵، را می توان برحسب تابع فوق هندسی همشار به صورت زیر بیان کرد

$$C(x) + iS(x) = xM\left(\frac{1}{2}, \frac{3}{2}; \frac{i\pi x^2}{2}\right)$$

۲۰۶۰۱۳ از طریق مشتقگیری و جانشانی مستقیم تحقیق کنید که عبارت

$$y = ax^{-a} \int_0^x e^{-t} t^{a-1} dt = ax^{-a} \gamma(a, x)$$

علا در معادله زیر صدق می کند

$$xy'' + (a+1+x)y' + ay = 0$$

۲۰۶۰۱۳ نشان دهید که تابع تعدیل یافته نوع دوم بسل  $K_\nu(x)$  از رابطه زیر به دست می آید

$$K_\nu(x) = \pi^{1/2} e^{-x} (2x)^\nu U\left(\nu + \frac{1}{2}, 2\nu + 1; 2x\right)$$

۵۰۶۰۱۳ نشان دهید که انتگرالهای سینوس و کسینوس بخش ۵۰۱۰ را می توان برحسب توابع فوق هندسی همشار به صورت زیر بیان کرد

$$Ci(x) + isi(x) = -e^{ix} U(1, 1; -ix)$$

این رابطه در محاسبه عددی  $Ci(x)$  و  $si(x)$  به ازای مقادیر بزرگ  $x$  به کار می آید.

۶۰۶۰۱۳ صورت فوق هندسی همشار مربوط به چند جمله ایهای هرمیت  $H_{2n+1}(x)$  [معادله (۱۴۶.۱۳)] را با نشان دادن این نکته که:

(الف)  $H_{2n+1}(x)/x$  در معادله فوق هندسی همشار با  $a = -n$ ،  $c = 3/2$  و شناسه  $2x$  صدق می کند؛

$$\lim_{x \rightarrow 0} \frac{H_{2n+1}(x)}{x} = (-1)^n \frac{2(2n+1)!}{n!} \quad (\text{ب})$$

۷.۶.۱۳ نشان دهید که معادله تابع فوق هندسی همشار مجاور

$$(c-a)M(a-1, c; x) + (2a-c+x)M(a, c; x) - aM(a+1, c; x) = 0$$

به رابطه بازگشتی تابع وابسته لاگِر [معادله (۴۴.۱۳)] می‌انجامد.

۸.۶.۱۳ درستی تبدیلهای کومر زیر را تحقیق کنید

$$M(a, c; x) = e^x M(c-a, c; -x) \quad (\text{الف})$$

$$U(a, c; x) = x^{1-c} U(a-c+1, 2-c; x) \quad (\text{ب})$$

۹.۶.۱۳ ثابت کنید

$$\frac{d^n}{dx^n} M(a, c; x) = \frac{(a)_n}{(c)_n} M(a+n, c+n; x) \quad (\text{الف})$$

$$\frac{d^n}{dx^n} U(a, c; x) = (-1)^n (a)_n U(a+n, c+n; x) \quad (\text{ب})$$

۱۰.۶.۱۳ درستی نمایشهای انتگرالی زیر را تحقیق کنید

(الف)

$$M(a, c; x) = \frac{\Gamma(c)}{\Gamma(a)\Gamma(c-a)} \int_0^1 e^{xt} t^{a-1} (1-t)^{c-a-1} dt, \quad \Re(c) > \Re(a) > 0$$

(ب)

$$U(a, c; x) = \frac{1}{\Gamma(a)} \int_0^\infty e^{-xt} t^{a-1} (1+t)^{c-a-1} dt, \quad \Re(x) > 0, \quad \Re(a) > 0$$

در بند (ب) تحت چه شرایطی می‌توانید  $\Re(x) = 0$  را قبول کنید؟

۱۱.۶.۱۳ با استفاده از نمایش انتگرالی  $M(a, c; x)$  در مسئله ۱۰.۶.۱۳ (الف)، نشان دهید که

$$M(a, c; x) = e^x M(c-a, c; -x)$$

دانهمایی. به جای متغیر انتگرالگیری  $t$  کمیت  $1-t$  را بنشانید تا يك ضرب  $e^x$  از انتگرال بیرون آید.

۱۲.۶.۱۳ با استفاده از نمایش انتگرالی  $U(a, c; x)$  در مسئله ۱۰.۶.۱۳ (ب)، نشان دهید که انتگرال نمایی از رابطه زیر به دست می‌آید

$$E_1(x) = e^{-x} U(1, 1; x)$$

دانهمایی. به جای متغیر انتگرالگیری  $t$  در  $E_1(x)$  کمیت  $x(1+s)$  را بنشانید.

۱۳۰۶۰۱۳ با استفاده از نمایشهای انتگرالی  $M(a, c; x)$  و  $U(a, c; x)$  در مسئله ۱۳۰۶۰۱۳ بسطهای مجانبی توابع زیر را تشکیل دهید

(الف)  $M(a, c; x)$ ، (ب)  $U(a, c; x)$

دانهمایی. می توانید از شگردهای  $K_p(z)$  در بخش ۶۰۱۱ به کار گرفته شده،

بهره گیرید.

پاسخ.

(الف)

$$\frac{\Gamma(c)}{\Gamma(a)} \frac{e^x}{x^{c-a}} \left\{ 1 + \frac{(1-a)(c-a)}{1!x} + \frac{(1-a)(2-a)(c-a)(c-a+1)}{2!x^2} + \dots \right\}$$

(ب)

$$\frac{1}{x^a} \left\{ 1 + \frac{a(1+a-c)}{1!(-x)} + \frac{a(a+1)(1+a-c)(2+a-c)}{2!(-x)^2} + \dots \right\}$$

۱۴۰۶۰۱۳ نشان دهید که رونسکیبی دو تابع فوق هندسی همشار  $M(a, c; x)$  و  $U(a, c; x)$  از رابطه زیر به دست می آید

$$MU' - M'U = -\frac{(c-1)!}{(a-1)!} \frac{e^x}{x^c}$$

اگر  $a$  صفر یا يك عدد درست منفی باشد، چه پیش می آید؟

۱۵۰۶۰۱۳ معادله موج کولنی (جزء شعاعی معادله موج شرودینگر با پتانسیل کولنی) به صورت زیر است

$$\frac{d^2 y}{d\rho^2} + \left[ 1 - \frac{2\eta}{\rho} - \frac{L(L+1)}{\rho^2} \right] y = 0$$

نشان دهید که یکی از جوابهای منظم آن، یعنی  $y = F_L(\eta, \rho)$  از رابطه زیر به دست می آید

$$F_L(\eta, \rho) = C_L(\eta) \rho^{L+1} e^{-i\rho} M(L+1-i\eta, 2L+2; 2i\rho)$$

۱۶۰۶۰۱۳ (الف) نشان دهید که جزء شعاعی تابع موج هیدروژن، معادله (۶۰۰۱۳)، را می توان به صورت زیر نوشت

$$e^{-ar/\rho} (ar)^L L_{n-L-1}^{2L+1}(ar)$$

$$= \frac{(n+L)!}{(n-L-1)!(2L+1)!} e^{-ar/\rho} (ar)^L M(L+1-n, 2L+2; ar)$$

(ب) قبلاً فرض کردیم که انرژی کل (جنبشی + پتانسیل) الکترون منفی است. تابع موج شعاعی (ناپهنجار) را برای الکترون آزاد  $E > 0$  بازنویسی کنید. پاسخ. موج پرونیروی  $e^{-i\alpha r} M(L+1-in, 2L+2; -i\alpha r)$  این نمایش، برای محاسبه ضرایب یونش فوتونی و بازترکیب تکنیک توانای دیگری به شمار می آید.

۱۷.۶.۱۳ نشان دهید که تبدیل لاپلاس  $M(a, c; x)$  به صورت زیر است

$$\mathcal{L}\{M(\alpha, c; x)\} = \frac{1}{s} {}_2F_1\left(a, 1, c; \frac{1}{s}\right)$$

۱۸.۶.۱۳ عبارتهای: (الف)  $\int_0^\infty [M_{k\mu}(x)]^2 dx$

$$\int_0^\infty [M_{k\mu}(x)]^2 \frac{dx}{x} \quad (\text{ب})$$

را که در آن  $a > -2\mu - 1$  و  $k - \mu - \frac{1}{2} = 0, 1, 2, \dots, 2\mu = 0, 1, 2, \dots$  محاسبه کنید.

پاسخ. (الف)  $(2\mu)!$ ، (ب)  $(2\mu)!$ .

## مراجع

Abramowitz, M., and Stegun I.A. eds. *Handbook of Mathematical Functions*. Washington, D.C: National Bureau of Standards, Applied Mathematics Series-55 1964. Paperback edition, New York: Dover 1964.

فصل ۲۲ این کتاب خلاصه‌ای است از جزئیات خواص و نمایشهای چندجمله‌ایهای متعامد در فصلهای دیگر خواص توابع بسل، لژاندر، فوق هندسی، فوق هندسی همشار و بسیاری دیگر خلاصه شده است.

Buchholz H, *The Confluent Hypergeometric Function*. New York: Springer-Verlag 1952, translated 1969.

بوخهولتز به جای صورتهای کومر بر صورتهای ویناکر تأکید زیادی می‌ورزد. در این کتاب کاربردهای مربوط به توابع غیرجبری گوناگون دیگری نیز آورده شده است.

Erdelyi, A. Magnus W., Oberhettinger F., and Tricomi F.G. *Higher Transcendental Functions*, 3 vols. New York: McGraw-Hill (1953; reprinted 1981).

این کتاب فهرست مشروح و تقریباً کاملی است از خواص توابع خاص فیزیک ریاضی.

Fox L. and Parker I. B., *Chebyshev Polynomials in Numerical Analysis*. Oxford: Oxford University Press, 1968.

این کتاب گزارشی است مشروح، کامل و درعین حال قابل مطالعه درباره چند جمله‌ایهای چبیشف و کاربردهای آنها در آنالیز عددی.

Lebedev, N. N., *Special Functions and their Applications*. Translated by Silverman R. A., Englewood Cliffs, N. J.: Prentice-Hall 1965. Paperback, New York: Dover 1972.

Luke, Y.L., *The Special Functions and their Approximations*. Academic Press: New York 1969.

این کتاب دو جلد است: جلد اول بررسی نظری کاملی است از توابع گاما، توابع فوق‌هندسی، توابع فوق‌هندسی همشار، و توابع مربوط به آنها. جلد دوم، تقریبها و سایر شگردهای کارهای عددی را بیان می‌کند.

Luke Y.L., *Mathematical Functions and their Approximations*. New York: Academic Press, 1975.

این کتاب مکمل روزآمدی برای کتابی به مشخصات زیر است:

*Handbook of Mathematical Functions with Formulas, Graphs and Mathematical Tables* AMS-55.

Magnus W. Oberhettinger F., and Soni R.P., *Formulas and Theorems for the Special Functions of Mathematical Physics*. Springer: New York 1966.

ویرایشی جدید و مفصل از این کتاب خلاصه‌ای است تا بجا که از آنچه که در عنوان کتاب آمده و حاوی مطالب فصول ۱۰ تا ۱۳ است.

Rainville E.D., *Special Functions*. New York: Macmillan, 1960.

این کتاب، گزارشی است جامع و به‌دهم بیوسته از تقریباً تمام توابع خاصی در فیزیک ریاضی که خواننده ممکن است با آن‌ها برخورد کند.

Sansone G., *Orthogonal Functions*. Translated by Diamond A.H., New York: Interscience Publishers (1959, reprinted 1977).

Slater L. J., *Confluent Hypergeometric Functions*. Cambridge: Cambridge University Press, 1960.

در این کتاب بیان واضح و مشروحی از خواص توابع فوق‌هندسی همشار و روابط معادله فوق‌هندسی همشار با سایر معادلات دیفرانسیل در فیزیک ریاضی آمده است.

Sneddon I. N., *Special Functions of Mathematical Physics and Chemistry*, 3rd ed. New York: Longman, 1980.

## سری فوریه

## ۱.۱۴ خواص کلی

## سری فوریه

سری فوریه را می توان به صورت بسط یا نمایشی از يك تابع، بر حسب يك سری از سینوسها و کسینوسها، به قرار زیر تعریف کرد

$$f(x) = \frac{a_0}{2} + \sum_{n=1}^{\infty} a_n \cos nx + \sum_{n=1}^{\infty} b_n \sin nx \quad (1.14)$$

ضریبهای  $a_0$ ،  $a_n$  و  $b_n$ ، از طریق انتگرالهای معین معادلات (۱۱.۱۴) و (۱۲.۱۴)، به تابع معلوم  $f(x)$  مربوط می شوند. پی خواهید برد که  $a_0$  به خصوص را مستثنی کرده و برای آن يك ضریب  $1/2$  در نظر گرفته ایم. علت انجام این کار آن است که معادله (۱۱.۱۴) به ازای همه مقادیر  $a_n$  از  $n=0$  گرفته تا  $n>0$  برقرار باشد.

شرایطی که باید روی  $f(x)$  وضع کرد تا معادله (۱.۱۴) برقرار باشد، عبارت اند از اینکه  $f(x)$  تنها تعدادی متناهی ناپیوستگی متناهی و تعدادی متناهی مقدار فرین، یعنی بیشینه و کمینه داشته باشد. به توابعی که این شرایط را بر آورده می کنند، منظم پاره پاره می گویند. این شرایط را شرایط دیریکله می نامند. هر چند توابع بسیاری هستند که فرم شرایط دیریکله را بر آورده نمی کنند، اما می توان آنها را برای بسط فوریه در رده توابع غیر عادی قرار داد. این شرایط در اکثریت عمده ای از مسائل فیزیکی که مستلزم سری

فوریه‌اند، صلق می‌کنند. توابعی که در بیشتر مسائل فیزیکی مورد نظر ما هستند انتگرالپذیر مجذوری‌اند (در فضای هیلبرت  $L^2$ ، بخش ۴.۹). سینوسها و کسینوسها در این فضا، يك مجموعه متعامد کامل تشکیل می‌دهند. و این خود بدان معنی است که معادله (۱.۱۴)، به مفهوم همگرایی در میانگین، برقرار است.

با بیان  $\sin nx$  و  $\cos nx$  به صورت نمایی، معادله (۱.۱۴) را می‌توان به صورت زیر بازنویسی کرد

$$f(x) = \sum_{n=-\infty}^{\infty} c_n e^{inx} \quad (2.14)$$

که در این

$$c_n = \frac{1}{2} (a_n - ib_n)$$

$$c_{-n} = \frac{1}{2} (a_n + ib_n), \quad n > 0 \quad (3.14)$$

و

$$c_0 = \frac{1}{2} a_0$$

### تمامیت

به چندین روش می‌توان به اثبات تمامیت نزدیک شد. یکی از این راهها عبارت است از اینکه سری فوریه مثلثاتی را به صورت نمایی درآوریم و آن را با يك سری لوران مقایسه کنیم. اگر  $f(z)$  را (بافرض تحلیلی بودن) به صورت سری لوران بسط دهیم

$$f(z) = \sum_{n=-\infty}^{\infty} d_n z^n \quad (4.14)$$

روی دایره واحد داریم:  $z = e^{i\theta}$  و

$$f(z) = f(e^{i\theta}) = \sum_{n=-\infty}^{\infty} d_n e^{in\theta} \quad (5.14)$$

بسط لوران روی دایره واحد [معادله (۵.۱۴)]، و سری فوریه مختلط [معادله (۲.۱۴)] به صورت یکسانی صورت می‌گیرد، که هم ارزی این دو بسط را می‌نمایاند. از آنجا که سری لوران به عنوان يك سری توانی از خاصیت تمامیت برخوردار است، می‌بینیم که توابع فوریه،  $e^{inx}$ ، مجموعه کاملی را تشکیل می‌دهند. در اینجا محدودیت مهمی پیش می‌آید. سری لوران و سری توانی را نمی‌توان در حوزة ناپیوستگیهایی چون يك موج مربعی یا موج دنداناره‌ای، شکل ۱.۱۴، به کار برد.

نظریه فضاهاى بردارى خطى رهیافت دیگری به تعیین تمامیت سینوسها و کسینوسها فراهم می آورد. در اینجا تمامیت بد کمک قضیه وایر شتراوس برای دو متغیر، اثبات می شود. به این دلیل که توابع  $\sin nx$  و  $\cos nx$  و  $e^{inx}$  همگی ویژه تا بعضی معادله دیفرانسیل خطی خود-الحاقی به قرار زیرند

$$y'' + n^2 y = 0 \quad (6.14)$$

می توان بسط فوریه و خاصیت تمامیت را نیز انتظار داشت. از طریق انتخاب بازه  $[0, p\pi]$ ، که  $p$  عددی درست است، برای بر آوردن شرایط مرزی در قضیه اشتورم-لیوویل (فصل ۹)، ویژه تا بعضی متعامدی، به ازای مقادیر مختلف ویژه مقدار  $n$ ، به دست می آوریم. اگر  $p=2$  را برگزینیم، ویژه تا بعضی مختلف مربوط به یک ویژه مقدار  $n$  نیز متعامد خواهند بود. داریم

$$\int_0^{2\pi} \sin mx \sin nx \, dx = \begin{cases} \pi \delta_{m,n}, & m \neq 0 \\ 0, & m = 0 \end{cases} \quad (7.14)$$

$$\int_0^{2\pi} \cos mx \cos nx \, dx = \begin{cases} \pi \delta_{m,n}, & m \neq 0 \\ 2\pi, & m = n = 0 \end{cases} \quad (8.14)$$

$$\int_0^{2\pi} \sin mx \cos nx \, dx = 0 \quad n \text{ و } m \text{ به ازای همه مقادیر درست} \quad (9.14)$$

به دقت توجه کنید که هر بازه  $x_0 \leq x \leq x_0 + 2\pi$  به طور یکسان مورد قبول است. بارها، از  $x_0 = -\pi$  بهره می گیریم و بازه  $-\pi \leq x \leq \pi$  را به دست خواهیم آورد. تعامد برای ویژه تا بعضی مختلط  $e^{\pm inx}$  معمولاً بر حسب همیوگ مختلط یکی از دو عامل تعریف می شود

$$\int_0^{2\pi} (e^{imx})^* e^{inx} \, dx = 2\pi \delta_{m,n} \quad (10.14)$$

این تعریف با نحوه بررسی هماهنگیهای گروهی (بخش ۶.۱۲) سازگار است.

### نظریه اشتورم-لیوویل

نظریه اشتورم-لیوویل، اعتبار معادله (۱۰.۱۴) را (برای توابعی که شرایط دیریکله را ارضا می کنند) تضمین می کند و محاسبه ضرایب بسط را با بهره گیری از روابط تعامد، معادلات (۷.۱۴)، (۸.۱۴)، و (۹.۱۴)، به صورت زیر میسر می سازد

$$a_n = \frac{1}{\pi} \int_0^{2\pi} f(t) \cos nt \, dt \quad (11.14)$$



$$b_n = \frac{1}{\pi} \int_0^{2\pi} f(t) \sin nt \, dt, \quad n = 0, 1, 2, \dots \quad (12.14)$$

البته با این شرط که انتگرالها وجود داشته باشند. یعنی، اگر  $f(t)$  پاره پاره پیوسته (یا انتگرال پذیر مجدوری) باشد این انتگرالها وجود خواهند داشت. با نشان دادن معادله‌های (۱۱.۱۴) و (۱۲.۱۴) در معادله (۱.۱۴)، بسط فوریه به صورت زیر درمی آید

$$\begin{aligned} f(x) &= \frac{1}{2\pi} \int_0^{2\pi} f(t) dt + \frac{1}{\pi} \sum_{n=1}^{\infty} \left( \cos nx \int_0^{2\pi} f(t) \cos nt \, dt \right. \\ &\quad \left. + \sin nx \int_0^{2\pi} f(t) \sin nt \, dt \right) \\ &= \frac{1}{2\pi} \int_0^{2\pi} f(t) dt + \frac{1}{\pi} \sum_{n=1}^{\infty} \int_0^{2\pi} f(t) \cos n(t-x) dt \end{aligned} \quad (13.14)$$

جمله (ثابت) اول مقدار متوسط  $f(x)$  در بازه  $[0, 2\pi]$  است. معادله (۱۳.۱۴) رهیافتی به تشکیل انتگرال فوریه و تبدیلهای فوریه، بخش ۱۰.۱۵، ارائه می کند.

روش دیگری برای توصیف آنچه که در اینجا انجام می دهیم، عبارت از این است که  $f(x)$  را بخشی از فضای هیلبرت بینهایت بعدی با توابع متعامد  $\sin nx$  و  $\cos nx$  به عنوان پایه بیندازیم (اگر بخواهیم، همواره می توانیم این توابع را به واحد باز بهنجار کنیم). این گزاره که  $\sin nx$  و  $\cos nx$  ( $n = 0, 1, 2, \dots$ ) فضا را می تنند، معادل آن است که بگوییم آنها تشکیل یک مجموعه کامل می دهند. سرانجام ضرایب  $a_n$  و  $b_n$  نظیر تصویرهای  $f(x)$  هستند و حاصلضربهای داخلی انتگرالی [معادلات (۱۱.۱۴) و (۱۲.۱۴)] نقش ضرب نقطه‌ای بخش ۳.۱، را بازی می کنند. طرح کلی این نکات را در بخش ۴.۹ آوردیم.

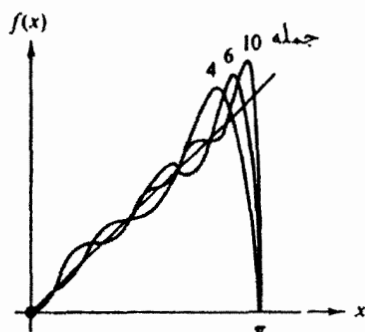
### موج دندانه‌اره‌ای

با بررسی بسط تابع مربوط به موج دندانه‌اره‌ای

$$f(x) = \begin{cases} x, & 0 \leq x < \pi \\ x - 2\pi, & \pi < x \leq 2\pi \end{cases} \quad (14.14)$$

می توان برداشتی از همگرایی سری فوریه و خطای حاصل از به کارگیری تعدادی متناهی از جمله‌های سری به دست آورد. برای راحتی بازه را از  $[0, 2\pi]$  به  $[-\pi, \pi]$  منتقل می کنیم. در این بازه صرفاً خواهیم داشت:  $f(x) = x$ . با استفاده از معادله‌های (۱۱.۱۴) و (۱۲.۱۴)، می توانیم نشان دهیم که بسط باید به صورت زیر باشد

$$f(x) = x = 2 \left[ \sin x - \frac{\sin 2x}{2} + \frac{\sin 3x}{3} - \dots + (-1)^{n+1} \frac{\sin nx}{n} + \dots \right] \quad (15.14)$$



شکل ۱۰۱۴ نمایش فوریه موج دنداناره‌ای.

$f(x)$  به ازای  $0 \leq x < \pi$ ، برای مجموع ۴، ۶، ۱۰ جمله از سری، در شکل ۱۰۱۴ نشان داده شده است. خوب است که به سه جنبه زیر اشاره کنیم.

۱. به تدریج که تعداد جمله‌های گنجانیده شده را زیاد می‌کنیم، افزایش یکنواختی در دقت نمایش فوریه به وجود می‌آید.

۲. تمام منحنیها در  $x = \pi$  از نقطه میانی،  $y = 0$ ، می‌گذرند.

۳. در مجاورت  $x = \pi$  جهشی به وجود می‌آید که همچنان باقی می‌ماند و هیچ نشانه‌ای از کاهش در آن مشاهده نمی‌شود.

اتفاقاً یکی از نکات جالب این است که اگر در معادله (۱۵.۱۴) قرار دهیم:  $x = \pi/2$ ، به روش استخراج دیگری برای فرمول لایب‌نیتس، مسئله ۶.۷.۵، دست یافته‌ایم.

### رفتار ناپیوستگیها

رفتار در  $x = \pi$  مثالی است از این قاعده کلی که سری در يك ناپیوستگی متناهی به میانگین حسابی (واسطه عددی) همگرا می‌شود. برای يك ناپیوستگی واقع در  $x = x_0$ ، سری عبارت است از

$$f(x_0) = \frac{1}{2} [f(x_0+) + f(x_0-)] \quad (16.14)$$

یعنی میانگین حسابی راست و چپ تابع در نقطه  $x = x_0$ . اثبات کلی این قضیه، با استفاده از حاصلجمعهای جزئی، مطابق بخش ۵.۱۴، توسط جفریز و کارسلاژ ارائه شده است. این اثبات را می‌توان با استفاده از تابع دلتای دیراک ساده کرد (مسئله ۱.۵.۱۴).

جهشی که درست پیش از  $x = \pi$  دیده می‌شود، مثالی است از پدیده گیبس، که در

بخش ۵.۱۴ پیرامون آن بحث خواهیم کرد.

مجموعیابی سری فوریه

معمولاً در این فصل با یافتن ضرایب بسط فوریه يك تابع معلوم سروکار داریم. گاهی ممکن است بخواهیم این فرایندها وارون و تابعی را که توسط يك سری فوریه معین نمایش داده شده است، تعیین کنیم.

سری  $\sum_{n=1}^{\infty} (1/n) \cos nx$  واقع در بازه  $(0, 2\pi)$  را در نظر بگیرید. از آنجا که این سری تنها به طور مشروط همگراست (و در  $x=0$  واگرا می شود) حد زیر را در نظر می گیریم

$$\sum_{n=1}^{\infty} \frac{\cos nx}{n} = \lim_{r \rightarrow 1} \sum_{n=1}^{\infty} \frac{r^n \cos nx}{n} \quad (17.14)$$

که به ازای  $|r| < 1$  مطلقاً همگراست. دستورالعمل ما به این ترتیب است که تلاش کنیم از طریق تبدیل توابع مثلثاتی به توابع نمایی، سری توانی تشکیل دهیم

$$\sum_{n=1}^{\infty} \frac{r^n \cos nx}{n} = \frac{1}{2} \sum_{n=1}^{\infty} \frac{r^n e^{inx}}{n} + \frac{1}{2} \sum_{n=1}^{\infty} \frac{r^n e^{-inx}}{n} \quad (18.14)$$

اینک این سریهای توانی را می توان با بسط مک لورن  $-\ln(1-z)$ ،  $z = re^{ix}$  و  $re^{-ix}$  متحد دانست [معادله (195.5)]، و

$$\sum_{n=1}^{\infty} \frac{r^n \cos nx}{n} = -\frac{1}{2} [\ln(1 - re^{ix}) + \ln(1 - re^{-ix})] \quad (19.14)$$

$$= -\ln[(1+r^2) - 2r \cos x]^{1/2}$$

با قراردادن  $r=1$

$$\sum_{n=1}^{\infty} \frac{\cos nx}{n} = -\ln(2 - 2 \cos x)^{1/2} \quad (20.14)$$

$$= -\ln\left(2 \sin \frac{x}{2}\right), \quad (0, 2\pi)^*$$

هر دو طرف این بسط در  $2\pi$  و  $x \rightarrow 0$  واگرا می شود.

مسائل

۱۰۱۴ می خواهیم تابع  $f(x)$  (به صورت عبارت درجه دوم انتگرال پذیر) را به کمک يك

\* این حد را می توان به  $[-\pi, \pi]$  (و  $x \neq 0$ ) منتقل کرد و در طرف راست از  $|x|$  بهره گرفت.

سری فوریه متناهی نمایش دهیم. معیار مناسبی برای دقت سری به کمک انتگرال مربع انحراف به قرار زیر به دست می آید

$$\Delta_p = \int_0^{2\pi} \left[ f(x) - \frac{a_0}{2} - \sum_{n=1}^p (a_n \cos nx + b_n \sin nx) \right]^2 dx$$

نشان دهید که شرط کمینه شدن  $\Delta_p$  یعنی

$$\frac{\partial \Delta_p}{\partial a_n} = 0, \quad \frac{\partial \Delta_p}{\partial b_n} = 0$$

به ازای همه مقادیر  $n$ ، به انتخاب  $a_n$  و  $b_n$  به صورتی که در معادله‌های (۱۱.۱۴) و (۱۲.۱۴) داده شده است، می انجامد.

یادآوری. ضرایب  $a_n$  و  $b_n$  از  $p$  مستقل اند. این استقلال پیامدی است از تعامد، و برای توانهای  $x$  که از برآزش يك منحنی با چند جمله ایها به دست می آیند، برقرار نیست.

۳.۱.۱۴ در بررسی يك شکل موج پیچیده (کشندهای اقیانوسی، زمین لرزه‌ها، نواهای موسیقی، و مانند آنها) بهتر است از سری فوریه‌ای به صورت زیر بهره‌گیریم

$$f(x) = \frac{a_0}{2} + \sum_{n=1}^{\infty} \alpha_n \cos(nx - \theta_n)$$

نشان دهید که این معادله با معادله (۱.۱۴) هم‌ارزاست و در آن

$$\alpha_n = \alpha_n \cos \theta_n, \quad \alpha_n^2 = a_n^2 + b_n^2$$

$$b_n = \alpha_n \sin \theta_n, \quad \tan \theta_n = b_n / a_n$$

یادآوری. ضرایب  $\alpha_n^2$  به صورت تابعی از  $n$  چیزی را به نام طیف توان تعریف می‌کنند.  $\alpha_n^2$  تحت انتقالی در فاز  $\theta_n$  ناورداست و از این رو حائز اهمیت است.

۳.۱.۱۴ تابع  $f(x)$  را به صورت يك سری فوریه‌ی نمایی بسط داده‌ایم

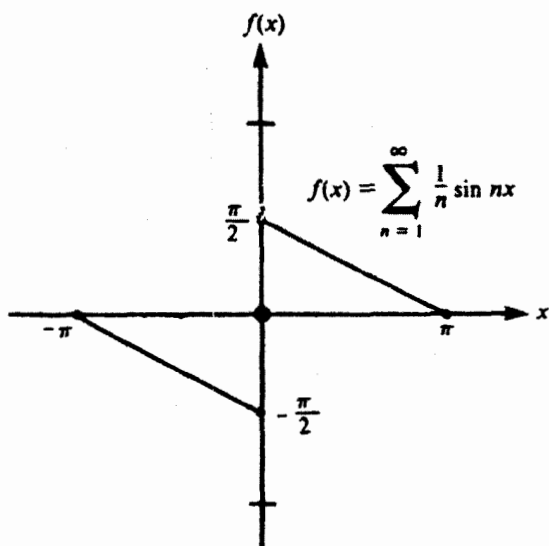
$$f(x) = \sum_{n=-\infty}^{\infty} c_n e^{in\bar{x}}$$

اگر  $f(x)$  حقیقی باشد،  $f(x) = f^*(x)$ ، چه قیدی روی ضرایب  $c_n$  وضع می‌شود؟

۴.۱.۱۴ با فرض اینکه  $\int_{-\pi}^{\pi} f(x) dx$  و  $\int_{-\pi}^{\pi} [f(x)]^2 dx$  متناهی اند، نشان دهید که

$$\lim_{m \rightarrow \infty} a_m = 0, \quad \lim_{m \rightarrow \infty} b_m = 0$$

دانهمایی. از  $[f(x) - s_n(x)]^2$  انتگرال بگیرد، که در آن  $s_n(x)$  مجموع جزئی



شکل ۲.۱۴

گرام است، و از نامساوی بسل، بخش ۴.۹، استفاده کنید. فرض اینکه  $f(x)$  انتگرالپذیر  
مجذوری است  $\int_{-\pi}^{\pi} |f(x)|^2 dx$  [متناهی است] برای این نکته دلالت می‌کند که برای بازه  
متناهی. ما  $\int_{-\pi}^{\pi} |f(x)| dx$  نیز متناهی است. عکس این مطلب درست نیست.

۵.۱.۱۴ شگرد مجموعی این بخش را بدکاربندید و نشان دهید

$$\sum_{n=1}^{\infty} \frac{\sin nx}{n} = \begin{cases} \frac{1}{2}(\pi - x), & 0 < x \leq \pi \\ -\frac{1}{2}(\pi + x), & -\pi \leq x < 0 \end{cases}$$

به شکل ۲.۱۴ مراجعه کنید.

۶.۱.۱۴ مجموع سری مثلثاتی زیر را به دست آورید

$$\sum_{n=1}^{\infty} (-1)^{n+1} \frac{\sin nx}{n}$$

و نشان دهید که این مجموع برابر  $x/2$  است.

۷.۱.۱۴ مجموع سری مثلثاتی زیر را به دست آورید

$$\sum_{n=0}^{\infty} \frac{\sin(2n+1)x}{2n+1}$$

و نشان دهید که برابر است با

$$\begin{cases} \frac{\pi}{4}, & 0 < x < \pi \\ -\frac{\pi}{4}, & -\pi < x < 0 \end{cases}$$

۸.۱.۱۴ مجموع سری متناهی سینوسی فوریه، معادله (۵.۱۴)، مربوط به موج دندانه‌اره‌ای به معادله  $f(x) = x$  در بازه  $(-\pi, \pi)$ ، را محاسبه کنید. از سریهای ۴، ۶، ۸، و ۱۰ جمله‌ای و ۵۰۰ و ۱۰۰۰ (۵۰۲ و ۵۰۰) بهره‌گیری کنید. اگر برنامه‌ای برای ترسیم در اختیار دارید، نتایج خود را ترسیم و با شکل ۱.۱۴ مقایسه کنید.

## ۲.۱۴ مزایا و موارد استفاده سری فوریه

### تابع ناپیوسته

یکی از مزایای نمایش فوریه نسبت به سایر نمایشها، مانند سری تیلور، آن است که این سری را می‌توان برای نمایش یک تابع ناپیوسته به کار برد. موج دندانه‌اره‌ای که در بخش پیش از آن نام بردیم، مثالی از این توابع به‌شمار می‌آید. مثالهای دیگری در بخش ۳.۱۴ و مسائلی ارائه خواهد شد.

### توابع دوره‌ای

سری فوریه، در ارتباط با مزیت عنوان شده، برای نمایش یک تابع دوره‌ای نیز مفید است. اگر دوره  $f(x)$  برابر  $2\pi$  باشد، احتمالاً کاملاً طبیعی به نظر می‌رسد که آن را به صورت یک سری از توابع با دوره  $2\pi$ ،  $2\pi/2$ ،  $2\pi/3$ ، ... بسط دهیم. انجام این عمل تضمین می‌کند که اگر تابع دوره‌ای  $f(x)$  روی یک بازه  $[0, 2\pi]$  یا  $[-\pi, \pi]$  نمایش داده شده باشد، این نمایش به ازای همه مقادیر متناهی  $x$  برقرار است.

در این مرحله خوب است خواص تقارنی را بررسی کنیم.  $\sin x$  در بازه  $[-\pi, \pi]$  یک تابع فرد و  $\cos x$  یک تابع زوج از  $x$  به‌شمار می‌آید. از این رو توسط معادله‌های (۱۱.۱۴) و (۱۲.۱۴) می‌توان نتیجه گرفت که اگر  $f(x)$  فرد باشد همه مقادیر  $a_n$  صفر، و اگر  $f(x)$  زوج باشد، همه مقادیر  $b_n$  صفرند. به عبارت دیگر

$$f(x) = \frac{a_0}{2} + \sum_{n=1}^{\infty} a_n \cos nx, \quad \text{زوج } f(x) \quad (21.14)$$

$$f(x) = \sum_{n=1}^{\infty} b_n \sin nx, \quad \text{فرد } f(x) \quad (22.14)$$

این خواص در فرایند بسط يك تابع معلوم بارها به کار می آیند. گفته ایم که سری فوریه دوره ای (تناوبی) است. این خاصیت در بررسی این نکته که آیا معادله (۱۰۱۴) در بیرون از بازه اصلی برقرار است یا خیر، اهمیت دارد. فرض کنید که فقط داشته باشیم

$$f(x) = x, \quad 0 \leq x < \pi \quad (23.14)$$

و بخواهیم  $f(x)$  را بایک بسط سری نمایش دهیم. سه بسط از بینهایت بسط ممکن را در نظر می گیریم

۱. اگر بسط تایلور را بگیریم، داریم

$$f(x) = x \quad (24.14)$$

یک سری تک-جمله ای. این سری (تک-جمله ای) روی همه مقادیر متناهی  $a$  تعریف شده است.

۲. با استفاده از سری کسینوسی فوریه [معادله (۲۱-۱۴)] پیش بینی می کنیم که

$$f(x) = -x, \quad -\pi < x \leq 0 \quad (25.14)$$

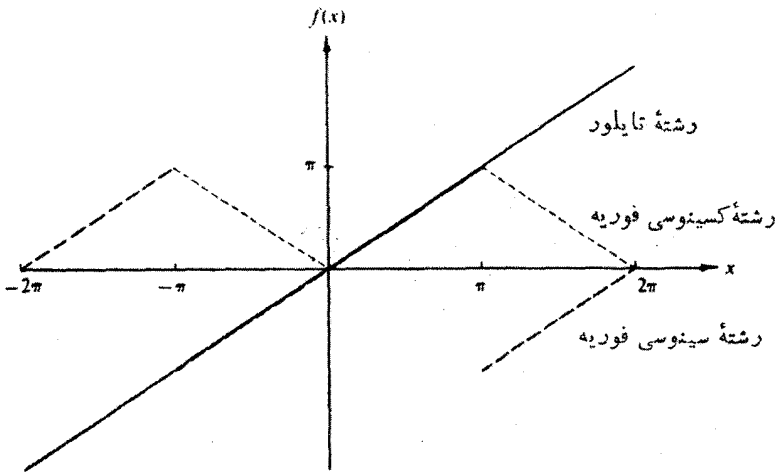
$$f(x) = 2\pi - x, \quad \pi < x < 2\pi$$

۳. سرانجام، از بسط سینوسی فوریه [معادله (۲۲-۱۴)] داریم

$$f(x) = x, \quad -\pi < x \leq 0 \quad (26.14)$$

$$f(x) = x - 2\pi, \quad \pi < x < 2\pi$$

این سه بسط ممکن، یعنی سری تایلور، سری کسینوسی فوریه، و سری سینوسی فوریه، هر یک در بازه اصلی  $[0, \pi]$  کاملاً برقرارند. ولی بیرون از این بازه رفتارشان به نحو چشمگیری فرق می کند (این مقایسه در شکل ۳۰۱۴ صورت گرفته است). پس کدام یک از این سه شق صحیح است؟ به این پرسش نمی توان پاسخ داد مگر آنکه داده های بیشتری در خصوص  $f(x)$  در اختیار داشته باشیم.  $f(x)$  ممکن است یکی از این سه باشد و یا اینکه هیچیک از آنها نباشد. بسطهای فوریه در بازه اصلی برقرارند. ولی جز در حالتی که بدانیم  $f(x)$  دوره ای است و دوره آن برابر بازه اصلی ماویا  $(1/n)$  است، هیچ گونه تضمینی وجود ندارد که نمایش فوریه [معادله (۱۰-۱۴)] بیرون از بازه اصلی معنایی داشته باشد.



شکل ۳-۱۴ مقایسه بین سری کسینوسی فوریه، سری سینوسی فوریه، و سری تایلور.

باید خاطر نشان ساخت که مجموعه توابع  $\cos nx$ ،  $n = 0, 1, 2, \dots$  در بازه  $[0, \pi]$  يك مجموعه متعامد کامل تشکیل می دهند. به همین ترتیب، مجموعه توابع  $\sin nx$ ،  $n = 0, 1, 2, \dots$  روی همین بازه يك مجموعه متعامد کامل تشکیل می دهند. اینکه کدام مجموعه را برگزینیم، امری اختیاری است، جز در مواردی که شرایط مرزی و یا محدودیت‌های تقارنی، گزینه خاصی را ایجاب کنند.

بهره گیری از سری فوریه علاوه بر مزیت‌هایی که در نمایش ناپیوستگیها و توابع دوره‌ای دارد، از مزیت سومی نیز برخوردار است. فرض کنید می‌خواهیم معادله حرکت يك ذره نوسانگر تحت تأثیر نیروی محرك دوره‌ای را حل کنیم. بسط فوریه نیروی محرك، جمله اصلی و يك سری هماهنگها را ارائه خواهد کرد. معادله دیفرانسیل (خطی) را می‌توان برای هر يك از این هماهنگها به‌طور مجزا حل کرد. این فرایند شاید نسبت به پرداختن به نیروی محرك اصلی بسیار ساده‌تر باشد. آنگاه در صورتی که معادله دیفرانسیل خطی باشد، می‌توان تمام این جوابها را باهم جمع کرد و جواب نهایی را به دست آورد. این شیوه کار يك حيلة زیرکانه ریاضی است، و به یافتن واکنش سیستم نسبت به سامد اساسی و نسبت به هر يك از سامندهای هماهنگ، مربوط می‌شود.

گاهی این سؤال مطرح می‌شود که "آیا این هماهنگها از ابتدا وجود دارند یا اینکه آنالیز فوریه ما آنها را به وجود آورده است؟" برای پاسخ دادن به این پرسش، تجزیه يك تابع به هماهنگها را با تجزیه يك بردار به مؤلفه‌های قائم مقایسه می‌کنیم. این مؤلفه‌ها می‌توانند از

۱. یکی از جنبه‌های آزارنده معادله‌های دیفرانسیل غیرخطی آن است که این اصل برهم نمی‌در مورد آنها صادق نیست.



ابتدا در مسئله حضور داشته باشند به این معنا که می توان آنها را از یکدیگر مجزا و مشاهده کرد، ولی این تجزیه مسلماً یکتا نیست. از این رو بسیاری از صاحب نظران ترجیح می دهند که بگویند هماهنگها از طریق بسطی که ما برگزیده ایم پدید آمده اند. خواننده برای دستیابی به بحثی جامعتر باید به سلسله یادداشتها و نامه ها در امریکن جودنال آوف فیزیکس، مراجعه کند.

### تغییر بازه

تا کنون، منحصرأ، بازه ای به طول  $2\pi$  مورد توجه ما بوده است. این محدودیت را می توان به آسانی حذف کرد. اگر  $f(x)$  تناوبی و به دوره  $2L$  باشد، می توان نوشت

$$f(x) = \frac{a_0}{2} + \sum_{n=1}^{\infty} \left[ a_n \cos \frac{n\pi x}{L} + b_n \sin \frac{n\pi x}{L} \right] \quad (27.14)$$

با

$$a_n = \frac{1}{L} \int_{-L}^L f(t) \cos \frac{n\pi t}{L} dt, \quad n=0, 1, 2, 3, \dots \quad (28.14)$$

$$b_n = \frac{1}{L} \int_{-L}^L f(t) \sin \frac{n\pi t}{L} dt, \quad n=0, 1, 2, 3, \dots \quad (29.14)$$

این معادلات با تعویض  $x$  در معادله (۱۰.۱۴) با  $\pi x/L$  و در معادله های (۱۱.۱۴) و (۱۲.۱۴) به  $\pi t/L$  دست می آیند. [بازه در معادله های (۱۱.۱۴) و (۱۲.۱۴) برای راحتی به  $-\pi \leq t \leq \pi$  انتقال یافته است.] انتخاب بازه متقارن  $(-L, L)$  نقشی اساسی ندارد. در مورد تابع دوره ای  $f(x)$ ، با دوره  $2L$ ، هر بازه ای مانند  $(x_0, x_0 + 2L)$  را می توان به کار برد. انتخاب بازه به راحتی یا سلیقه شخصی بستگی دارد.

### مسائل

۱۰۲.۱۴ شرایط مرزی (نظیر  $\psi(0) = \psi(l) = 0$ ) جوابهایی به صورت  $\sin(n\pi x/l)$  را ایجاد و کسینوسهای متناظر را حذف می کند.

(الف) تحقیق کنید که در این صورت شرایطی مرزی که در نظریه اشتورم-لیوویل منظور می شوند، در بازه  $(0, l)$  صدق می کنند. دقت کنید که این بازه فقط نصف بازه معمولی فوریه است.

1. Robinson, B. L., "Concerning frequencies resulting from distortion," *Am. J. Phys.* **21**, 391 (1953).

Van Name, F. W., Jr., "Concerning frequencies resulting from distortion," *Am. J. Phys.* **22**, 94 (1954).

(ب) نشان دهید که مجموعه توابع  $\varphi_n(x) = \sin(n\pi x/l)$ ،  $n = 1, 2, 3, \dots$  در يك رابطهٔ تعامدی به صورت زیر صلق می‌کنند

$$\int_0^l \varphi_m(x)\varphi_n(x)dx = \frac{l}{2} \delta_{mn}, \quad n > 0$$

۴۰۴.۱۴ (الف) تابع  $f(x) = x$  را در بازهٔ  $(0, 2L)$  بسط دهید. این سری را که یافته‌اید (سمت راست پاسخ‌را) روی  $(-2L, 2L)$  ترسیم کنید.

$$\cdot x = L - \frac{2L}{\pi} \sum_{n=1}^{\infty} \frac{1}{n} \sin\left(\frac{n\pi x}{L}\right) \quad \text{پاسخ.}$$

(ب)  $f(x) = x$  را به صورت يك سری سینوسی در نیم بازهٔ  $(0, L)$  بسط دهید. این سری را که یافته‌اید (سمت راست پاسخ‌را) روی  $(-2L, 2L)$  رسم کنید.

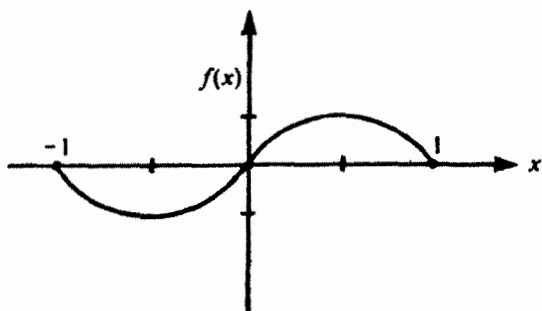
$$\cdot x = \frac{2L}{\pi} \sum_{n=1}^{\infty} (-1)^{n+1} \sin\left(\frac{n\pi x}{L}\right) \quad \text{پاسخ.}$$

۴۰۴.۱۴ در برخی مسائل بهتر است که  $\sin \pi x$  در بازهٔ  $[0, 1]$  را تقریباً توسط سهمی  $ax(1-x)$  نشان دهیم که در آن  $a$  مقداری است ثابت. برای آنکه ازمیزان دقت این تقریب برآوردی به دست آورید،  $4x(1-x)$  را به صورت يك سری سینوسی فوریه بسط دهید

$$f(x) = \begin{cases} 4x(1-x), & 0 \leq x \leq 1 \\ 4x(1+x), & -1 \leq x \leq 0 \end{cases} = \sum_{n=1}^{\infty} b_n \sin n\pi x$$

(به شکل ۴.۱۴ توجه کنید)

$$\cdot b_n = 0, \text{ زوج } n, \quad b_n = \frac{32}{\pi^3} \cdot \frac{1}{n^3}, \text{ فرد } n \quad \text{پاسخ.}$$



شکل ۴.۱۴

### ۳.۱۴ کاربردهای سری فوریه

مثال ۱۰۳.۱۴ موج مربعی-بالایسامدها

تجزیهٔ یک موج "مربعی" (شکل ۵.۱۴) به کمک مؤلفه‌های فوریهٔ آن، یکی از کاربردهای سادهٔ سری فوریه است که در مدارهای الکترونیکی که برای پالسهای بالاروندهٔ تیز طراحی شده باشند، پیش می‌آید. فرض کنید موج ما بنا بر تعریف عبارت است از

$$f(x) = 0, \quad -\pi < x < 0 \quad (۳۰.۱۴)$$

$$f(x) = h, \quad 0 < x < \pi$$

از معادله‌های (۱۱.۱۴) و (۱۲.۱۴)، خواهیم داشت

$$a_0 = \frac{1}{\pi} \int_0^{\pi} h dt = h \quad (۳۱.۱۴)$$

$$a_n = \frac{1}{\pi} \int_0^{\pi} h \cos nt dt = 0, \quad n = 1, 2, 3, \dots \quad (۳۲.۱۴)$$

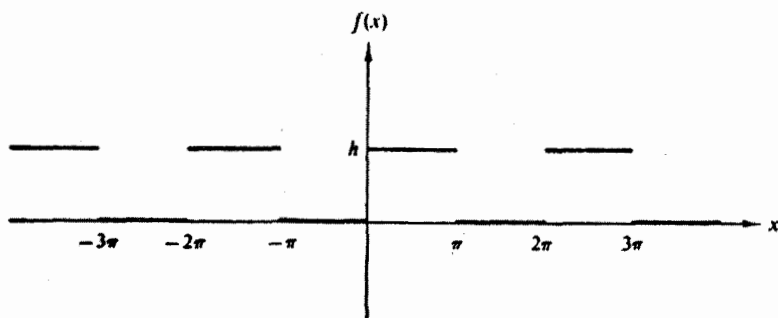
$$b_n = \frac{1}{\pi} \int_0^{\pi} h \sin nt dt = \frac{h}{n\pi} (1 - \cos n\pi) \quad (۳۳.۱۴)$$

$$b_n = \frac{2h}{n\pi}, \quad \text{فرد } n \quad (۳۴.۱۴)$$

$$b_n = 0, \quad \text{زوج } n \quad (۳۵.۱۴)$$

سری حاصل به این قرار است

$$f(x) = \frac{h}{2} + \frac{2h}{\pi} \left( \frac{\sin x}{1} + \frac{\sin 3x}{3} + \frac{\sin 5x}{5} + \dots \right) \quad (۳۶.۱۴)$$



شکل ۵.۱۴ موج مربعی.

تمام جمله‌های کسینوس، جز جمله اول که متوسط  $f(x)$  روی بازه  $[-\pi, \pi]$  است، صفر شده‌اند. از آنجا که  $f(x) - h/2$  فرد است، یک سری سینوسی فوریه داریم. هرچند در سری سینوسی تنها جمله‌های فرد ظاهر می‌شوند، این جملات فقط به صورت  $n^{-1}$  کوچک می‌شوند. این نکته شبیهه است به همگرایی (یا عدم وجود همگرایی) سری هماهنگ. از لحاظ فیزیکی معنی این نکته آن است که موج مربعی ما حاوی مؤلفه‌های بالا بسامد زیادی است. اگر اسباب الکترونیکی ما این مؤلفه‌ها را از خود عبور ندهند، ورودی موج مربعی ما، کمابیش به صورت گرد شده، مثلا به صورت یک برجستگی آمورف، خارج می‌شود.

### مثال ۴۰۳۰۱۴ یکسوساز تمام موج

به عنوان دومین مثال، این سؤال را مطرح کنیم که خروجی یک یکسوساز تمام موج تا چه حد به جریان مستقیم خالص نزدیک است (شکل ۶۰۱۴). فرض می‌کنیم که یکسوساز ما قله‌های مثبت موج سینوسی ورودی را عبور می‌دهد و قله‌های منفی را معکوس می‌کند. در نتیجه

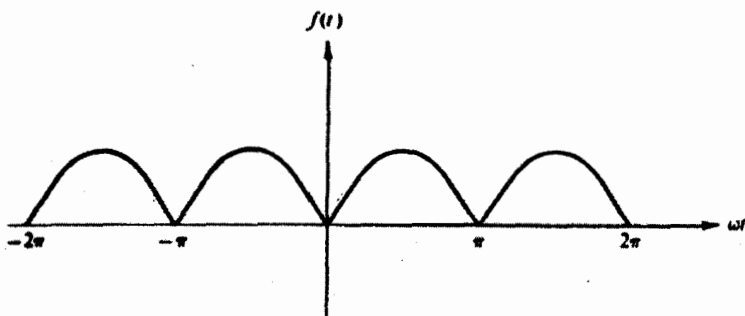
$$f(t) = \sin \omega t, \quad 0 < \omega t < \pi \quad (37.14)$$

$$f(t) = -\sin \omega t, \quad -\pi < \omega t < 0$$

از آنجا که  $f(t)$  بنا بر تعریف زوج است، هیچ جمله سینوسی به صورت  $\sin \omega t$  نخواهیم داشت. در اینجا نیز، با استفاده از معادله‌های (۱۱۰۱۴) و (۱۲۰۱۴)، داریم

$$a_0 = \frac{1}{\pi} \int_{-\pi}^0 -\sin \omega t \, d(\omega t) + \frac{1}{\pi} \int_0^{\pi} \sin \omega t \, d(\omega t) \quad (38.14)$$

$$= \frac{2}{\pi} \int_0^{\pi} \sin \omega t \, d(\omega t) = \frac{4}{\pi}$$



شکل ۶۰۱۴ یکسوساز تمام موج.

$$\begin{aligned}
 a_n &= \frac{2}{\pi} \int_0^{\pi} \sin \omega t \cos n\omega t d(\omega t) \\
 &= -\frac{2}{\pi} \frac{2}{n^2 - 1}, \quad \text{زوج } n \quad (39.14) \\
 &= 0, \quad \text{فرد } n
 \end{aligned}$$

دقیقاً توجه کنید که  $[0, \pi]$  هم برای سینوس و هم کسینوس، بازهٔ تعامدی به شمار نمی آید و به ازای مقادیر زوج  $n$  صفر به دست نمی آوریم. سری حاصل عبارت است از

$$f(t) = \frac{2}{\pi} - \frac{4}{\pi} \sum_{n=2,4,6,\dots}^{\infty} \frac{\cos n\omega t}{n^2 - 1} \quad (40.14)$$

بسامد اصلی،  $\omega$ ، حذف شده است. کمترین بسامد نوسان عبارت است از  $2\omega$ . مؤلفه‌های بالا بسامد به صورت  $n^{-2}$  کوچک می‌شوند و این نکته نشان می‌دهد که یکسوساز تمام‌موج برای جریان مستقیم تقریب نسبتاً خوبی ارائه می‌کند. اینکه این تقریب خوب کافی است یا خیر به کاربرد خاصی که مورد نظر است بستگی دارد. اگر مؤلفه‌های ac باقیمانده نامناسب باشند، می‌توان آنها را توسط مدارهای پالایهٔ مناسب ضعیفتر کرد.

این دو مثال دو خصوصیت مشخصهٔ بسطهای فوریه را آشکار می‌کنند.

۱. اگر  $f(x)$  ناپیوستگی‌هایی داشته باشد (مثل موج مربعی در مثال ۱۰۳-۱۴)، می‌توان انتظار داشت که مؤلفهٔ  $n$ ام به صورت  $1/n$  کوچک شود. در نتیجه همگرایی نسبتاً کند صورت می‌گیرد.

۲. اگر  $f(x)$  پیوسته باشد (حتی اگر مانند مورد یکسوساز تمام‌موج در مثال ۲۰۳-۱۴ مشتق‌های ناپیوسته داشته باشد) می‌توان انتظار داشت که ضریب  $n$ ام به صورت  $1/n^2$  کاهش یابد.

مثال ۳۰۳-۱۴ سریهای نامتناهی، تابع زتای ریمان در آخرین مثالی که مطرح می‌کنیم، مسئلهٔ صرفاً ریاضی بسط  $x^2$  را در نظر می‌گیریم

$$f(x) = x^2, \quad -\pi < x < \pi \quad (41.14)$$

همهٔ  $b_n$ ها به علت تقارن صفرند. در مورد  $a_n$ ها داریم

$$a_0 = \frac{1}{\pi} \int_{-\pi}^{\pi} x^2 dx = \frac{2\pi^2}{3} \quad (42.14)$$

$$a_n = \frac{2}{\pi} \int_0^{\pi} x^2 \cos nx dx$$

1. Raisbeck, G., "Order of Magnitude of Fourier Coefficients," *Am. Math. Monthly*, **62**, 149-155, (1955).

۲. شگردی برای بهسازی آهنگ همگرایی در مسائل بخش ۴۰-۱۴ آمده است.

$$= \frac{2}{\pi} \cdot (-1)^n \frac{2\pi}{n^2} \quad (۴۳.۱۴)$$

$$= (-1)^n \frac{4}{n^2}$$

در نتیجه

$$x^2 = \frac{\pi^2}{3} + 4 \sum_{n=1}^{\infty} (-1)^n \frac{\cos nx}{n^2} \quad (۴۴.۱۴)$$

معادله (۴۴.۱۴) به همین صورتی که هست، اهمیت خاصی ندارد، ولی اگر قرار دهیم

$$x = \pi$$

$$\cos n\pi = (-1)^n \quad (۴۵.۱۴)$$

و معادله (۴۴.۱۴) به صورت زیر درآید

$$\pi^2 = \frac{\pi^2}{3} + 4 \sum_{n=1}^{\infty} \frac{1}{n^2} \quad (۴۶.۱۴)$$

یا

$$\frac{\pi^2}{6} = \sum_{n=1}^{\infty} \frac{1}{n^2} \equiv \zeta(2) \quad (۴۷.۱۴)$$

آنگاه تابع زتای ریمان،  $\zeta(2)$ ، به صورتی بسته (وسازگار با نتیجه حاصل از عدد برنولی در بخش ۹.۵) به دست می آید. به کمک بسط  $x^2$  و بسطهای دیگر توانهای  $x$ ، می توان سریهای نامتناهی بیشمار دیگری را محاسبه کرد. مسائلی که در زیر فهرست آنها را آورده ایم، چند سری از این سریها را در برمی گیرند.

سری فوریه

مرجع

$$\sum_{n=1}^{\infty} \frac{1}{n^2} \sin nx = \begin{cases} -\frac{1}{4}(\pi+x), & -\pi \leq x < 0 & \text{مسئله ۵.۱.۱۴} \\ \frac{1}{4}(\pi-x), & 0 \leq x < \pi & \text{مسئله ۳.۳.۱۴} \end{cases} \quad ۱.$$

$$\sum_{n=1}^{\infty} (-1)^{n+1} \frac{1}{n^2} \sin nx = \frac{1}{4}x, \quad -\pi < x < \pi \quad \text{مسئله ۶.۱.۱۴} \quad ۲.$$

مسئله ۲.۳.۱۴

$$\sum_{n=0}^{\infty} \frac{1}{2n+1} \sin(2n+1)x = \begin{cases} -\pi/2, & -\pi < x < 0 \\ +\pi/2, & 0 < x < \pi \end{cases} \quad \begin{array}{l} \text{مسئله ۷.۱۰۱۴} \\ \text{معادله (۳۶.۱۴)} \end{array} \quad ۳$$

$$\sum_{n=1}^{\infty} \frac{1}{n} \cos nx = -\ln \left[ 2 \sin \left( \frac{|x|}{2} \right) \right], \quad -\pi < x < \pi \quad \begin{array}{l} \text{معادله (۲۰.۱۴)} \\ \text{مسئله ۱۵.۳.۱۴} \end{array} \quad ۴$$

$$\sum_{n=1}^{\infty} (-1)^n \frac{1}{n} \cos nx = -\ln \left[ 2 \cos \left( \frac{x}{2} \right) \right], \quad -\pi < x < \pi \quad \text{مسئله ۱۵.۳.۱۴} \quad ۵$$

$$\sum_{n=0}^{\infty} \frac{1}{2n+1} \cos(2n+1)x = \frac{1}{2} \ln \left[ \cot \left( \frac{|x|}{2} \right) \right], \quad -\pi < x < \pi \quad ۶$$

### متغیرهای مختلط - قضیه آبل

تابع  $f(z)$  را، که بایک سری توانی همگرا نشان داده شده باشد، در نظر بگیرید

$$f(z) = \sum_{n=0}^{\infty} c_n z^n = \sum_{n=0}^{\infty} c_n r^n e^{in\theta} \quad (۴۸.۱۴)$$

این همان سری نمایی فوریه، معادله (۲.۱۴)، است. با جدا کردن اجزای حقیقی و موهومی داریم

$$u(r, \theta) = \sum_{n=0}^{\infty} c_n r^n \cos n\theta \quad (۴۹.۱۴)$$

$$v(r, \theta) = \sum_{n=1}^{\infty} c_n r^n \sin n\theta$$

که همان سریهای کسینوسی و سینوسی فوریه اند. بنا بر قضیه آبل، اگر  $u(1, \theta)$  و  $v(1, \theta)$  به ازای یک مقدار معین  $\theta$  همگرا باشند، آنگاه

$$u(1, \theta) + iv(1, \theta) = \lim_{r \rightarrow 1} f(re^{i\theta}) \quad (۵۰.۱۴)$$

یکی از کاربردهای این قضیه در مسئله ۱۵.۳.۱۴ مطرح خواهد شد.

### مسائل

۱۰۳.۱۴ نمایش سری فوریه تابع زیر را تشکیل دهید

$$f(t) = \begin{cases} 0, & -\pi \leq \omega t \leq 0 \\ \sin \omega t, & 0 \leq \omega t \leq \pi \end{cases}$$

خروجی يك يكسو ساز نیم موج ساده به این صورت است. اثر گرمای خورشیدی که باعث ایجاد "کشند" در جو می شود، نیز تقریباً به این شکل است.

$$f(t) = \frac{1}{\pi} + \frac{1}{2} \sin \omega t - \frac{2}{\pi} \sum_{n=2,4,6,\dots}^{\infty} \frac{\cos n\omega t}{n^2 - 1} \quad \text{پاسخ.}$$

زوج

۴.۳.۱۴ يك موج دندانداره ای با تابع زیر بیان می شود

$$f(x) = x, \quad -\pi < x < \pi$$

نشان دهید

$$f(x) = 2 \sum_{n=1}^{\infty} \frac{(-1)^{n+1}}{n} \sin nx$$

۴.۳.۱۴ يك موج دندانداره ای دیگر را می توان به كمك تابع زیر توصیف کرد

$$f(x) = \begin{cases} -\frac{1}{4}(\pi + x), & -\pi \leq x < 0 \\ +\frac{1}{4}(\pi - x), & 0 < x \leq \pi \end{cases}$$

نشان دهید که  $f(x) = \sum_{n=1}^{\infty} (\sin nx/n)$

۴.۳.۱۴ موج مثلثی (شکل ۷.۱۴) با تابع زیر نمایش داده می شود

$$f(x) = \begin{cases} x, & 0 < x < \pi \\ -x, & -\pi < x < 0 \end{cases}$$

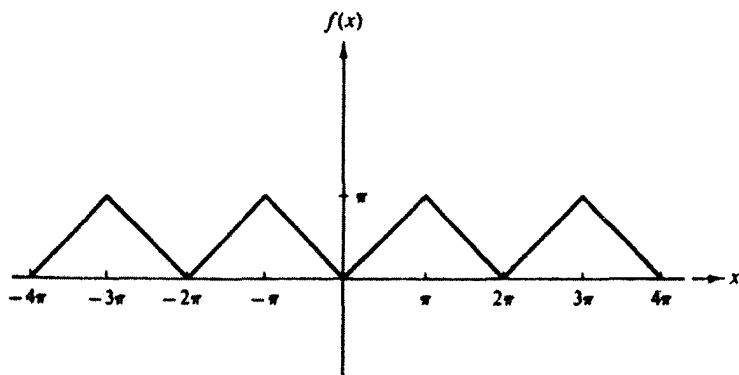
$f(x)$  را با يك سری فوریه نمایش دهید.

$$f(x) = \frac{\pi}{4} - \frac{4}{\pi} \sum_{n=1,3,5,\dots}^{\infty} \frac{\cos nx}{n^2} \quad \text{پاسخ.}$$

فرد

۵.۳.۱۴ تابع زیر را در محدوده بازه  $[-\pi, \pi]$  بسط دهید



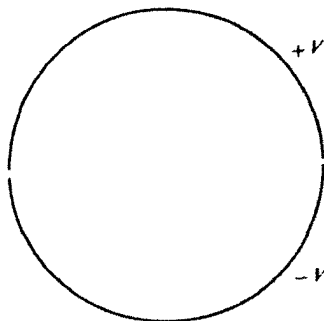


شکل ۷-۱۴ موج مثلثی.

$$f(x) = \begin{cases} 1, & x^2 < x_0^2 \\ 0, & x^2 > x_0^2 \end{cases}$$

یادآوری. این موج مربعی با پهنای متغیر در موسیقی الکترونیکی حائز اهمیت است.

۶۰۳۰۱۴ يك لوله استوانه‌ای فلزی به شعاع  $a$  به‌طور طولی به دو نیمه غیرمماس شکافته شده است. نیمه بالایی در پتانسیل  $+V$  و نیمه پایینی در پتانسیل  $-V$  نگهداشته می‌شود (شکل ۸-۱۴)، متغیرهای معادله لاپلاس را جدا کنید و پتانسیل الکتروستاتیکی را به ازای  $r \leq a$  به دست آورید. به تشابه بین جوابی که به ازای  $r = a$  یافته‌اید و سری فوریه مربوط به موج مربعی توجه کنید.



شکل ۸-۱۴

۷۰۳۰۱۴ يك استوانه فلزی را در میدان الکتریکی یکنواخت (یکنواخت قبل از قرار دادن

استوانه)  $E_0$  طوری قرار می‌دهیم که محور استوانه عمود بر امتداد اصلی میدان باشد.  
 (الف) پتانسیل الکتروستاتیکی مختل شده را بیابید.  
 (ب) بار سطحی القایی روی استوانه را به صورت تابعی از موضع زاویه‌ای پیدا کنید.

۸۰۳۰۱۴ بسط فوریه موج مربعی، مسئله ۶۰۳۰۱۴، را به یک سری توانی تبدیل کنید. نشان دهید که ضرایب  $x^k$  سری واگرا تشکیل می‌دهند. این عمل را برای ضرایب  $x^3$  تکرار کنید.

سری توانی را نمی‌توان برای ناپیوستگی به کار برد. این ضرایب نامتناهی حاصل تلاش برای غلبه بر این محدودیت اساسی سری توانی است.

۹۰۳۰۱۴ (الف) نشان دهید که بسط فوریه  $\cos ax$  به صورت زیر است

$$\cos ax = \frac{2a \sin a\pi}{\pi} \left\{ \frac{1}{2a^2} - \frac{\cos x}{a^2 - 1^2} + \frac{\cos 2x}{a^2 - 2^2} - \dots \right\}$$

$$a_n = (-1)^n \frac{2a \sin a\pi}{\pi(a^2 - n^2)}$$

(ب) با استفاده از نتیجه بند قبل نشان دهید

$$a\pi \cot a\pi = 1 - 2 \sum_{p=1}^{\infty} \zeta(2p) a^{2p}$$

این معادله روش دیگری برای استخراج رابطه بین تابع زتای ریمان و اعداد برنولی، معادله (۱۵۱.۵)، در اختیار ما می‌گذارد.

۱۰۳۰۱۶ بسط سری فوریه تابع دلتای دیراک  $\delta(x)$  را در بازه  $-\pi < x < \pi$  به دست آورید.

(الف) به جمله ثابت چه مفهومی می‌توان نسبت داد؟

(ب) این نمایش درجه ناحیه‌ای صادق است؟

(ج) با استفاده از اتحاد

$$\sum_{n=1}^N \cos nx = \frac{\sin(Nx/2)}{\sin(x/2)} \cos \left[ \left( N + \frac{1}{2} \right) x/2 \right]$$

نشان دهید که نمایش فوریه  $\delta(x)$  با معادله (۸۳.۸) سازگار است.

۱۱۰۳۰۱۴  $\delta(x-t)$  را به صورت یک سری فوریه بسط دهید. نتیجه‌ای را که به دست آورده‌اید با صورت ده خطی معادله (۸۳.۹) مقایسه کنید.

$$\begin{aligned}\delta(x-t) &= \frac{1}{2\pi} + \frac{1}{\pi} \sum_{n=1}^{\infty} (\cos nx \cos nt + \sin nx \sin nt) \quad \text{پاسخ.} \\ &= \frac{1}{2\pi} + \frac{1}{\pi} \sum_{n=1}^{\infty} \cos n(x-t).\end{aligned}$$

۱۲.۳.۱۴ تحقیق کنید که

$$\delta(\varphi_1 - \varphi_2) = \frac{1}{2\pi} \sum_{m=-\infty}^{\infty} e^{im(\varphi_1 - \varphi_2)}$$

یک تابع دلتای دیراک است؛ برای انجام این کار نشان دهید که این تابع در تعریف دلتای دیراک

$$\int_{-\pi}^{\pi} f(\varphi_1) \frac{1}{2\pi} \sum_{m=-\infty}^{\infty} e^{im(\varphi_1 - \varphi_2)} d\varphi_1 = f(\varphi_2)$$

صدق می کند.

دانهمایی.  $f(\varphi_1)$  را به کمک یک سری نمایی فوریه نمایش دهید. یادآوری. شبیه پیوستاری این عبارت در بخش ۲.۱۵ پدیدار می شود. مهمترین کاربرد این عبارت در تعیین توابع گرین، بخش ۶.۱۶، است.

۱۳.۳.۱۴ (الف) با استفاده از

$$f(x) = x^2, \quad -\pi < x < \pi$$

نشان دهید که

$$\sum_{n=1}^{\infty} \frac{(-1)^{n+1}}{n^2} = \frac{\pi^2}{12} = \eta(2)$$

(ب) بابت بهره گیری از سری فوریه موج مثلثی که در مسئله ۴.۳.۱۴ تشکیل شد، نشان دهید که

$$\sum_{n=1}^{\infty} \frac{1}{(2n-1)^2} = \frac{\pi^2}{8} = \lambda(2)$$

(ج) با استفاده از

$$f(x) = x^4, \quad -\pi < x < \pi$$

نشان دهید

$$\sum_{n=1}^{\infty} \frac{1}{n^4} = \frac{\pi^4}{90} = \zeta(4)$$

$$\sum_{n=1}^{\infty} \frac{(-1)^{n+1}}{n^2} = \frac{\sqrt{\pi}^2}{\sqrt{20}} = \eta(2)$$

(د) با استفاده از

$$f(x) = \begin{cases} x(\pi-x), & 0 < x < \pi \\ x(\pi+x), & -\pi < x < 0 \end{cases}$$

سری زیر را استخراج کنید

$$f(x) = \frac{\lambda}{\pi} \sum_{n=1,3,5,\dots}^{\infty} \frac{\sin nx}{n^2}$$

فرد

و نشان دهید

$$\sum_{n=1,3,5,\dots}^{\infty} (-1)^{(n-1)/2} n^{-2} = 1 - \frac{1}{3^2} + \frac{1}{5^2} - \frac{1}{7^2} + \dots = \frac{\pi^2}{4} = \beta(2)$$

فرد

(ا) با استفاده از سری فوریه مربوط به یک موج مربعی نشان دهید

$$\sum_{n=1,3,5,\dots}^{\infty} (-1)^{(n-1)/2} n^{-1} = 1 - \frac{1}{3} + \frac{1}{5} - \frac{1}{7} + \dots = \frac{\pi}{4} = \beta(1)$$

فرد

این فرمول لایب نیتس برای  $\pi$  است که قبلاً در مسئله ۶.۷.۵، از طریق شگرد دیگری به دست آمد.

یاد آردی. توابع  $\eta(2)$ ،  $\eta(4)$ ،  $\lambda(2)$ ،  $\beta(1)$ ، و  $\beta(2)$  به کمک سریهای مشخص شده تعریف می شوند. تعریفهای کلی در بخش ۹.۵ ارائه شده اند.

۱۴.۳.۱۴ الف) نمایش سری فوریه تابع زیر را بیابید

$$f(x) = \begin{cases} 0, & -\pi < x \leq 0 \\ x, & 0 \leq x < \pi \end{cases}$$

(ب) با استفاده از بسط فوریه ای که یافته اید، نشان دهید

$$\frac{\pi^2}{8} = 1 + \frac{1}{3^2} + \frac{1}{5^2} + \dots$$

۱۵.۳.۱۴ داریم  $f(z) = \ln(1+z) = \sum_{n=1}^{\infty} (-1)^{n+1} z^n / n$  [این سری به ازای

$|z| \leq 1$  به  $\ln(1+z)$  همگرا می شود مگر در نقطه  $z = -1$ .  
(الف) با استفاده از اجزای موهومی نشان دهید

$$\ln\left(\gamma \cos \frac{\theta}{\gamma}\right) = \sum_{n=1}^{\infty} (-1)^{n+1} \frac{\cos n\theta}{n}, \quad -\pi < \theta < \pi$$

(ب) به کمک تغییر متغیر، بند (الف) را به صورت زیر تبدیل کنید

$$-\ln\left(\gamma \sin \frac{\varphi}{\gamma}\right) = \sum_{n=1}^{\infty} \frac{\cos n\varphi}{n}, \quad 0 < \varphi < 2\pi$$

۱۶۰۳۰۱۴ تابع زیر توصیفگر یک پالس مثلثی متقارن با بلندی و پهنای قابل تنظیم است

$$f(x) = \begin{cases} a(1 - x/b), & 0 \leq |x| \leq b \\ 0, & -b \leq |x| \leq \pi \end{cases}$$

(الف) نشان دهید که ضرایب فوریه عبارت اند از

$$a_0 = \frac{ab}{\pi}, \quad a_n = \frac{2ab}{\pi} (1 - \cos nb) / (nb)^2$$

مجموع سری فوریه متناهی را تا  $n = 10$  و  $n = 100$  با  $x/\pi = 0$  ( $1/4$ ) بیابید.  
فرض کنید که  $b = \pi/2$  و  $a = 1$ .

(ب) ضرایب فوریه  $f(x)$  از  $a_0$  تا  $a_{10}$  را از طریق فراخواندن یک زیر-برنامه آنالیز فوریه (اگر به آن دسترسی دارید) محاسبه کنید.

۱۷۰۳۰۱۴ (الف) با استفاده از یک زیر-برنامه آنالیز فوریه، ضرایب کسینوس فوریه از  $a_0$  تا  $a_{10}$  تابع زیر را محاسبه کنید

$$f(x) = [1 - (x/\pi)^2]^{1/4}, \quad [-\pi, \pi]$$

(ب) نتایج بند (الف) را به کمک محاسبه بعضی از ضرایب  $a_n$  از طریق کوادراتور عددی مستقیم، در چند حالت بیازمایید.

$$a_0 = 0.785, \quad a_2 = 0.284$$

۱۸۰۳۰۱۴ با استفاده از یک زیر-برنامه فوریه، ضرایب تا  $a_{10}$  و  $b_{10}$  را در موارد زیر محاسبه کنید:

(الف) یکسوساز تمام موج (مثال ۲۰۳۰۱۴)،

(ب) یکسوساز نیم موج (مسئله ۱۴.۳.۱). نتایج حاصل را به کمک مقایسه با صورت‌های تحلیلی داده شده [معادله (۳۹.۱۴) و مسئله ۱۴.۳.۱] بیازمایید.

## ۴.۱۴ خواص سری فوریه

### همگرایی

ابتدا باید خاطر نشان کنیم که نباید انتظار داشت که سری فوریه‌ای که نمایشگر یک تابع ناپیوسته است، به طور یکنواخت همگرا باشد. یک سری همگرای یکنواخت از توابع پیوسته است، اما اگر: (الف)  $f(x)$  در محدوده  $-\pi \leq x \leq \pi$  پیوسته به دست می‌دهد (با بخش ۵.۵ مقایسه کنید). و (ج)  $f'(x)$  یک تابع قطعی پیوسته باشد، سری فوریه مربوط به  $f(x)$  به طور یکنواخت همگرا خواهد بود. این محدودیتها ایجاب نمی‌کنند که  $f(x)$  حتماً دوره‌ای باشد، ولی توابع دوره‌ای مشتق‌پذیر پیوسته (بادوره  $2\pi$ ) این شرایط را خواهند داشت. خواننده خود می‌تواند برای اثبات همگرایی یکنواخت به مراجع مربوط به این مبحث مراجعه کند. چه  $f(x)$  ناپیوستگی داشته باشد و یا خیر، میانگین سری فوریه همگرا خواهد بود (بخش ۴.۹).

### انتگرالگیری

انتگرالگیری جمله به جمله از سری

$$f(x) = \frac{a_0}{2} + \sum_{n=1}^{\infty} a_n \cos nx + \sum_{n=1}^{\infty} b_n \sin nx \quad (51.14)$$

به عبارت زیر می‌انجامد

$$\int_{x_0}^x f(x) dx = \frac{a_0 x}{2} \Big|_{x_0}^x + \sum_{n=1}^{\infty} \frac{a_n}{n} \sin nx \Big|_{x_0}^x + \sum_{n=1}^{\infty} \frac{b_n}{n} \cos nx \Big|_{x_0}^x \quad (52.14)$$

روشن است که اثر انتگرالگیری عبارت است از قراردادن یک توان اضافی  $n$  در مخرج هر ضریب. حاصل این کار همگرایی سریعتری نسبت به قبل است. در نتیجه از یک سری فوریه همگرا، همواره می‌توان جمله به جمله انتگرال گرفت، سری حاصل به طور یکنواخت به انتگرال تابع اصلی همگرا می‌شود. در واقع، حتی اگر سری اصلی [معادله (51.14)] خود همگرا نباشد، باز هم ممکن است انتگرالگیری جمله به جمله صادق باشد! تنها انتگرالپذیر بودن تابع  $f(x)$  کفایت می‌کند. در کتاب جفریز، بخش ۶.۱۴، در این خصوص بحث شده است.

معادله (52.14) ممکن است، به معنای دقیق کلمه، یک سری فوریه نباشد؛ یعنی اگر

۱. مثلاً، به بخش ۳۸ کتابی با مشخصات زیر مراجعه کنید:

$a_0 \neq 0$ ، آنگاه يك جمله  $a_0 x$  (۱/۲) وجود خواهد داشت. ولی

$$\int_{x_0}^x f(x) dx - \frac{1}{\pi} a_0 x \quad (۵۳.۱۴)$$

باز هم يك سری فوریه است.

### مشتقگیری

وضعیت مربوط به مشتقگیری نسبت به وضعیت مربوط به انتگرالگیری تفاوت کلی دارد. در اینجا باید هوشیاد بود. سری مربوط به تابع زیر را در نظر بگیرید

$$f(x) = x, \quad -\pi < x < \pi \quad (۵۴.۱۴)$$

سری فوریه مربوط به این تابع را به قرار زیر به آسانی به دست می آوریم (بامسئله ۲.۳.۱۴ مقایسه کنید)

$$x = 2 \sum_{n=1}^{\infty} (-1)^{n+1} \frac{\sin nx}{n}, \quad -\pi < x < \pi \quad (۵۵.۱۴)$$

به کمک مشتقگیری جمله به جمله خواهیم داشت

$$1 = 2 \sum_{n=1}^{\infty} (-1)^{n+1} \cos nx \quad (۵۶.۱۴)$$

که همگرا نیست! مواظب باشید. مشتق خود را کنترل کنید. در مورد موجی مثلثی (مسئله ۴.۳.۱۴) که در آن همگرایی سری بهتر (ویکتواخت) است، داریم

$$f(x) = \frac{\pi}{2} - \frac{4}{\pi} \sum_{\text{فرد } n=1}^{\infty} \frac{\cos nx}{n^2} \quad (۵۷.۱۴)$$

به کمک مشتقگیری جمله به جمله داریم

$$f'(x) = \frac{4}{\pi} \sum_{\text{فرد } n=1}^{\infty} \frac{\sin nx}{n} \quad (۵۸.۱۴)$$

که عبارت است از بسط فوریه موج مربعی به قرار زیر

$$f'(x) = \begin{cases} 1, & 0 < x < \pi, \\ -1, & -\pi < x < 0 \end{cases} \quad (۵۹.۱۴)$$

از واری شکل ۷.۱۴ محقق می شود که این تابع واقعاً مشتق موج مثلثی ماست.

عمل مشتقگیری، به عنوان عکس انتگرالگیری يك عامل  $n$  اضافی در صورت هر جمله قرار می دهد. این کار، آهنگ همگرایی را کند می کند و ممکن است، مانند همان حالت اول که توضیح دادیم، سری مشتقگیری شده را واگرا سازد. به طور کلی، مشتقگیری جمله به جمله تحت همان شرایطی که برای همگرایی یکنواخت برشمردیم، مجاز خواهد بود.

## مسائل

۱۰۴.۱۴ نشان دهید که انتگرالگیری از بسط فوریه  $f(x) = x$ ،  $-\pi < x < \pi$ ، به سری زیر منجر می شود

$$\begin{aligned} \frac{\pi^2}{12} &= \sum_{n=1}^{\infty} (-1)^{n+1} n^{-2} \\ &= 1 - \frac{1}{4} + \frac{1}{9} - \frac{1}{16} + \dots \end{aligned}$$

۲۰۴.۱۴ اتحاد پارسوال.

(الف) با فرض اینکه بسط فوریه  $f(x)$  به طور یکنواخت همگرا باشد، نشان دهید که

$$\frac{1}{\pi} \int_{-\pi}^{\pi} [f(x)]^2 dx = \frac{a_0^2}{2} + \sum_{n=1}^{\infty} (a_n^2 + b_n^2)$$

این اتحاد پارسوال است. این در واقع حالت خاصی از رابطه تمامیت، معادله (۷۲.۹)، است.

(ب) با داشتن

$$x^2 = \frac{\pi^2}{3} + 4 \sum_{n=1}^{\infty} \frac{(-1)^n \cos nx}{n^2}, \quad -\pi \leq x \leq \pi$$

با بهره گیری از اتحاد پارسوال،  $(4)$  را به صورت بسته به دست آورید.

(ج) شرط همگرایی یکنواخت ضروری نیست. این مطلب را با بهره گیری از اتحاد پارسوال درباره موج مربعی زیر نشان دهید

$$f(x) = \begin{cases} -1, & -\pi < x < 0 \\ 1, & 0 < x < \pi \end{cases}$$

$$= \frac{4}{\pi} \sum_{n=1}^{\infty} \frac{\sin(2n-1)x}{2n-1}$$



۴.۳.۱۴ نشان دهید که انتگرالگیری از بسط فوریه تابع دلتای دیراک (مسئله ۱۰.۳.۱۴) به نمایش فوریه موج مربعی معادله (۳۶.۱۴) با  $h=1$  می انجامد. یادآوری. انتگرالگیری از جمله ثابت  $(1/2\pi)$  بديك جمله  $x/2\pi$  منجر می شود. چه کاری با این جمله انجام می دهید؟

۴.۴.۱۴ الف از بسط فوریه تابع پله ای بکده

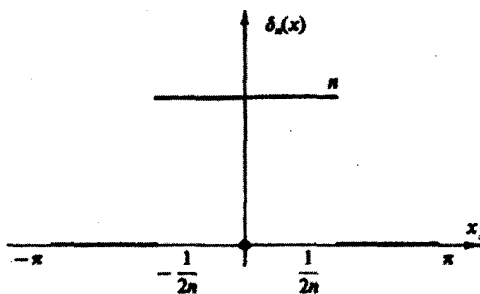
$$f(x) = \begin{cases} 0, & -\pi < x < 0 \\ x, & 0 < x < \pi \end{cases}$$

انتگرال بگیرد. نشان دهید که سری انتگرالگیری شده حاصل با مسئله ۱۴.۳.۱۴ سازگار است. ۴.۴.۱۴ در بازه  $(-\pi, \pi)$

$$\delta_n(x) = \begin{cases} n, & |x| < \frac{1}{2n} \\ 0, & |x| > \frac{1}{2n} \end{cases}$$

(شکل ۹.۱۴).

الف)  $\delta_n(x)$  را به صورت یک سری کسینوسی فوریه بسط دهید.  
ب) نشان دهید که سری فوریه حاصل در حد  $n \rightarrow \infty$  با بسط فوریه  $\delta(x)$  سازگار است.



شکل ۹.۱۴ پالس مستطیلی.

۵.۴.۱۴ ماهیت تابع دلتای سری فوریه مسئله ۴.۴.۱۴ را محقق کنید، برای این کار نشان دهید که به ازای هر تابع  $f(x)$  که در بازه  $[-\pi, \pi]$  متناهی و در  $x=0$  پیوسته است،

داریم

$$\int_{-\pi}^{\pi} f(x) [\delta_{\infty}(x)] dx = f(0)$$

۶.۴.۱۴ (الف) نشان دهید که بسط سری سینوسی فوریه تابع دلتای دیراک  $\delta(x-a)$  در نیم بازه  $(0, L)$ ،  $(0 < a < L)$ ، از رابطه زیر به دست می آید

$$\delta(x-a) = \frac{2}{L} \sum_{n=1}^{\infty} \sin\left(\frac{n\pi a}{L}\right) \sin\left(\frac{n\pi x}{L}\right)$$

دقت کنید که این سری عملاً تابع زیر را توصیف می کند

$$-\delta(x+a) + \delta(x-a) \quad (-L, L)$$

(ب) با انتگرالگیری از دو طرف معادله قبل از  $0$  تا  $x$ ، نشان دهید که بسط کسینوسی

موج مربعی

$$f(x) = \begin{cases} 0, & 0 \leq x < a \\ 1, & a < x < L \end{cases}$$

به صورت زیر است

$$f(x) = \frac{2}{\pi} \sum_{n=1}^{\infty} \frac{1}{n} \sin\left(\frac{n\pi a}{L}\right) - \frac{2}{\pi} \sum_{n=1}^{\infty} \frac{1}{n} \sin\left(\frac{n\pi a}{L}\right) \cos\left(\frac{n\pi x}{L}\right), \quad 0 \leq x < L$$

(ج) تحقیق کنید که

$$\frac{2}{\pi} \sum_{n=1}^{\infty} \frac{1}{n} \sin\left(\frac{n\pi a}{L}\right) = \langle f(x) \rangle$$

۷.۴.۱۴ بسط کسینوسی فوریه موج مربعی، مسئله ۶.۴.۱۴ (ب)، را به کمک محاسبه مستقیم ضرایب فوریه تحقیق کنید.

۸.۴.۱۴ (الف) دوانتهای ریسمانی،  $x=0$  و  $x=L$ ، را محکم کرده ایم. با در نظر گرفتن ارتعاشهای کم دامنه، بی می بریم که دامنه  $y(x, t)$  در معادله موج زیر صدق می کند

$$\frac{\partial^2 y}{\partial x^2} = \frac{1}{v^2} \frac{\partial^2 y}{\partial t^2}$$

که در آن  $v$  سرعت موج است. بر اثر یک‌کوشش تند، ریسمان در  $x = a$  به ارتعاش درمی‌آید. از این رو داریم

$$y(x, 0) = 0$$

$$\frac{\partial y(x, t)}{\partial t} = Lv_0 \delta(x-a) \quad t = 0 \quad \text{در}$$

ثابت  $L$  را برای به‌توازن در آوردن ابعاد  $\delta(x-a)$  (که عکس طول است) گنجنایده‌ایم. با استفاده از  $\delta(x-a)$ ، که در مسئله ۶.۴.۱۴ (الف) داده شد، معادله موج را تحت این شرایط اولیه حل کنید.

$$y(x, t) = \frac{2v_0 L}{\pi v} \sum_{n=1}^{\infty} \frac{1}{n} \sin \frac{n\pi a}{L} \sin \frac{n\pi x}{L} \sin \frac{n\pi vt}{L} \quad \text{پاسخ.}$$

(ب) نشان دهید که سرعت عرضی ریسمان،  $\partial y(x, t) / \partial t$ ، از رابطه زیر به دست می‌آید

$$\frac{\partial y(x, t)}{\partial t} = 2v_0 \sum_{n=1}^{\infty} \sin \frac{n\pi a}{L} \sin \frac{n\pi x}{L} \cos \frac{n\pi vt}{L}$$

۹.۴.۱۴ ریسمانی که دو انتهای آن در  $x = 0$  و  $x = l$  محکم شده است، آزادانه ارتعاش می‌کند. معادله زیر حرکت آن را توصیف می‌کند

$$\frac{\partial^2 u(x, t)}{\partial t^2} = v^2 \frac{\partial^2 u(x, t)}{\partial x^2}$$

سری فوریدای به‌صورت زیر در نظر بگیرید

$$u(x, t) = \sum_{n=1}^{\infty} b_n(t) \sin \frac{n\pi x}{l}$$

ضرایب  $b_n(t)$  را محاسبه کنید. شرایط اولیه عبارت‌اند از

$$u(x, 0) = f(x) \quad \text{و} \quad \frac{\partial}{\partial t} u(x, 0) = g(x)$$

یادآوری. این تنها نصف بازه قراردادی برای انتگرال تعامد فورید است. اما، تا آنجا که فقط جملات سینوس را در نظر بگیریم، شرایط مرزی اشتورم-لیوویل هنوز صادق و توابع متعامدند.

$$b_n(t) = A_n \cos \frac{n\pi vt}{l} + B_n \sin \frac{n\pi vt}{l} \quad \text{پاسخ.}$$

$$A_n = \frac{v}{l} \int_0^l f(x) \sin \frac{n\pi x}{l} dx, \quad B_n = \frac{v}{n\pi v} \int_0^l g(x) \sin \frac{n\pi x}{l} dx$$

۱۰.۴.۱۴ (الف) در ادامه مسئله ریسمان مرتعش، مسئله ۹.۴.۱۴، بر اثر وجود يك محیط مقاوم ارتعاشات مطابق معادله زیر میرا می شوند

$$\frac{\partial^2 u(x, t)}{\partial t^2} = v^2 \frac{\partial^2 u(x, t)}{\partial x^2} - k \frac{\partial u(x, t)}{\partial t}$$

سری فوریه ای به صورت زیر در نظر بگیرید

$$u(x, t) = \sum_{n=1}^{\infty} b_n(t) \sin \frac{n\pi x}{l}$$

و با ضرایب  $b_n(t)$  را محاسبه کنید. شرایط اولیه را همان شرایطی بگیرید که در مسئله ۹.۴.۱۴ در نظر داشتیم. فرض کنید میرایی ناچیز است.  
(ب) این مسئله را برای میرایی بزرگ تکرار کنید.

$$b_n(t) = e^{-kt/2} \{A_n \cos \omega_n t + B_n \sin \omega_n t\}, \quad \text{پاسخ. (الف)}$$

$$A_n = \frac{v}{l} \int_0^l f(x) \sin \frac{n\pi x}{l} dx,$$

$$B_n = \frac{v}{\omega_n l} \int_0^l g(x) \sin \frac{n\pi x}{l} dx + \frac{k}{v\omega_n} A_n, \quad \omega_n^2 = \left(\frac{n\pi v}{l}\right)^2 - \left(\frac{k}{v}\right)^2 > 0$$

$$b_n(t) = e^{-kt/2} \{A_n \cosh \sigma_n t + B_n \sinh \sigma_n t\}, \quad \text{(ب)}$$

$$A_n = \frac{v}{l} \int_0^l f(x) \sin \frac{n\pi x}{l} dx,$$

$$B_n = \frac{v}{\sigma_n l} \int_0^l g(x) \sin \frac{n\pi x}{l} dx + \frac{k}{v\sigma_n} A_n, \quad \sigma_n^2 = \left(\frac{k}{v}\right)^2 - \left(\frac{n\pi v}{l}\right)^2 > 0$$

۱۱.۴.۱۴ توزیع بار را روی سطوح داخلی نیمدایره های مسئله ۶.۳.۱۴ پیدا کنید. یادآوری. به يك سری واگرا دست می یابید و این رهیافت سری فوریه در این مورد کارساز نیست. با استفاده از شگردهای نگاشت همدیس می توانیم نشان دهیم که چگالی بار متناسب است با  $\csc \theta$ . آیا  $\csc \theta$  بسط فوریه ای دارد؟

۱۴۰۴۰۱۴ داریم

$$\varphi_1(x) = \sum_{n=1}^{\infty} \frac{\sin nx}{n} = \begin{cases} -\frac{1}{2}(\pi+x), & -\pi \leq x < 0 \\ \frac{1}{2}(\pi-x), & 0 < x \leq \pi \end{cases}$$

از طریق انتگرالگیری نشان دهید

$$\varphi_2(x) \equiv \sum_{n=1}^{\infty} \frac{\cos nx}{n^2} = \begin{cases} \frac{(\pi+x)^2}{2} - \frac{\pi^2}{12}, & -\pi \leq x \leq 0 \\ \frac{(\pi-x)^2}{2} - \frac{\pi^2}{12}, & 0 \leq x \leq \pi \end{cases}$$

۱۴۰۴۰۱۴ داریم

$$\psi_{2s}(x) = \sum_{n=1}^{\infty} \frac{\sin nx}{n^{2s}}$$

$$\psi_{2s+1}(x) = \sum_{n=1}^{\infty} \frac{\cos nx}{n^{2s+1}}$$

روابط بازگشتی زیر را به دست آورید

$$\psi_{2s}(x) = \int_0^x \psi_{2s-1}(x) dx \quad (\text{الف})$$

$$\psi_{2s+1}(x) = \zeta(2s+1) - \int_0^x \psi_{2s}(x) dx \quad (\text{ب})$$

یادآوری. این توابع  $\varphi_n(x)$  و  $\psi_n(x)$  های مربوط به مسئله قبل را توابع کلاوزن می گویند. در نظریه می توان از این توابع برای اصلاح آهنگ همگرایی سری فوریه بهره گرفت. در اینجا نیز مانند مبحث سریهای بی نهایت در فصل ۵ مطرح شد، این سؤال پیش می آید که ما چقدر محاسبه تحلیلی انجام می دهیم و از کامپیوتر انجام چقدر محاسبه عددی را طلب می کنیم. همراه با افزایش توان و کارایی کامپیوترها، این موازنه هر چه بیشتر به هم می خورد، به طوری که ما کار کمتری انجام می دهیم و از کامپیوتر کار بیشتری می خواهیم.

۱۴۰۴۰۱۴ نشان دهید عبارت

$$f(x) = \sum_{n=1}^{\infty} \frac{\cos nx}{n+1}$$

را می‌توان به صورت زیر نوشت

$$f(x) = \psi_1(x) - \varphi_2(x) + \sum_{n=1}^{\infty} \frac{\cos nx}{n^2(n+1)}$$

یادآوردی. در مسائل قبلی توابع  $\psi_1(x)$  و  $\varphi_2(x)$  را تعریف کرده‌ایم.

### ۵.۱۴ پدیده گیبس

پدیده گیبس عبارت است از يك جهش، یکی از خاصیت‌های سری فوریه و سایر سریهای ویژه تابعی، در يك ناپیوستگی ساده. نمونه‌ای از این پدیده در شکل ۱۰.۱۴ دیده می‌شود.

### مجموعیابی سریها

در بخش ۱۰.۱۴ چند جمله اول سری فوریه مربوط به يك موج دنداناره‌ای را ترسیم کردیم (شکل ۱۰.۱۴). این روشی تحلیلی برای جمع کردن  $r$  جمله اول سری فوریه ارائه می‌دهیم. از معادله (۱۳.۱۴) داریم

$$a_n \cos nx + b_n \sin nx = \frac{1}{\pi} \int_{-\pi}^{\pi} f(t) \cos n(t-x) dt \quad (۶۰.۱۴)$$

آنگاه مجموع جزئی  $r$  به صورت زیر درمی‌آید<sup>۱</sup>

$$s_r(x) = \sum_{n=0}^r (a_n \cos nx + b_n \sin nx) \quad (۶۱.۱۴)$$

$$= \Re \frac{1}{\pi} \int_{-\pi}^{\pi} f(t) \left[ \frac{1}{1} + \sum_{n=1}^r e^{-i(t-x)n} \right] dt$$

با جمع کردن این سری متناهی از عبارتهای نمایی (تصاعد هندسی)<sup>۲</sup>، داریم

$$s_r(x) = \frac{1}{2\pi} \int_{-\pi}^{\pi} f(t) \frac{\sin \left[ \left( r + \frac{1}{2} \right) (t-x) \right]}{\sin \frac{1}{2} (t-x)} dt \quad (۶۲.۱۴)$$

این انتگرال در همه نقاط، از جمله  $t = x$ ، همگراست. عامل

۱. شایان ذکر است که کاربرد این سری در تحلیل توری پراش ( $r$  شکافی) پیش می‌آید.  
۲. بامسئله ۷.۱.۶ به ازای مقدار اولیه  $n = 1$  مقایسه کنید.

$$\frac{(\pi)^{-1} \sin \left[ \left( r + \frac{1}{\nu} \right) (t - x) \right]}{\sin \frac{1}{\nu} (t - x)}$$

کرنل دیریکله است که در بخش ۷.۸ از آن به عنوان یک توزیع دلتای دیراک یاد کردیم.

### موج مربعی

برای راحتی محاسبات عددی، رفتار سری فوریه‌ای که موج مربعی دوره‌ای زیر را نمایش می‌دهد، از نظر می‌گذرانیم

$$f(x) = \begin{cases} \frac{h}{\nu}, & 0 < x < \pi \\ -\frac{h}{\nu}, & -\pi < x < 0 \end{cases} \quad (۶۳.۱۴)$$

این عبارت اساساً عبارت از همان موج مربعی که در بخش ۳.۱۴ آن را به کار بردیم و بی‌درنگ می‌بینیم که جواب آن به‌قرار زیر است

$$f(x) = \frac{\nu h}{\pi} \left( \frac{\sin x}{1} + \frac{\sin 3x}{3} + \frac{\sin 5x}{5} + \dots \right) \quad (۶۴.۱۴)$$

با بهره‌گیری از معادله (۶۲.۱۴) برای موج مربعی [معادله (۶۳.۱۴)]، مجموع  $r$  جمله‌اول را [به اضافه  $a_0 (1/2)$  که در اینجا صفر است] به دست می‌آوریم

$$s_r(x) = \frac{h}{\nu\pi} \int_0^\pi \frac{\sin \left( r + \frac{1}{\nu} \right) (t - x)}{\sin \frac{1}{\nu} (t - x)} dt - \frac{h}{\nu\pi} \int_{-\pi}^0 \frac{\sin \left( r + \frac{1}{\nu} \right) (t - x)}{\sin \frac{1}{\nu} (t - x)} dt \quad (۶۵.۱۴)$$

$$= \frac{h}{\nu\pi} \int_0^\pi \frac{\sin \left( r + \frac{1}{\nu} \right) (t - x)}{\sin \frac{1}{\nu} (t - x)} dt - \frac{h}{\nu\pi} \int_0^\pi \frac{\sin \left( r + \frac{1}{\nu} \right) (t + x)}{\sin \frac{1}{\nu} (t + x)} dt$$

این نتیجه آخر از تبدیل زیر به دست می‌آید

درانتگرال دوم  $t = -t$ 

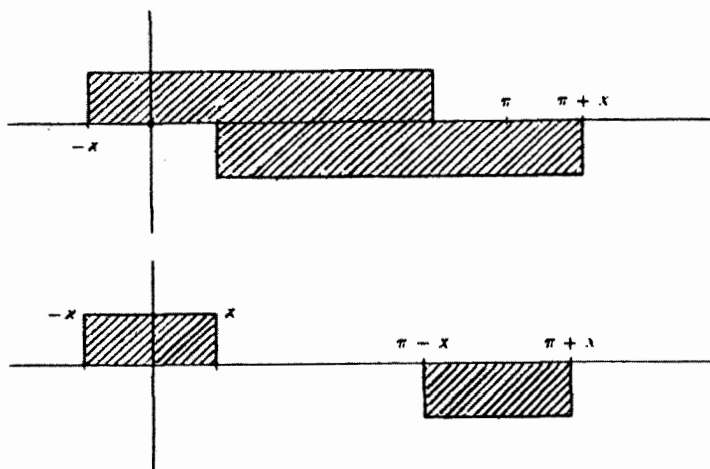
هرگاه درانتگرال اول بدجای  $t - x$  کمیت  $s$  و درانتگرال دوم بدجای  $t + x$  کمیت  $s$  را بنشانیم، خواهیم داشت

$$s_r(x) = \frac{h}{4\pi} \int_{-x}^{\pi-x} \frac{\sin\left(r + \frac{1}{4}\right)s}{\sin \frac{1}{4}s} ds - \frac{h}{4\pi} \int_x^{\pi-x} \frac{\sin\left(r + \frac{1}{4}\right)s}{\sin \frac{1}{4}s} ds \quad (۶۶.۱۴)$$

بازه‌های انتگرالگیری در (بالای) شکل ۱۰.۱۴ نشان داده شده‌اند. از آنجا که شکل انتگرالدها از نظر ریاضی یکسان‌اند، انتگرالهای از  $x$  تا  $\pi - x$  حذف می‌شوند و گستره‌های انتگرالی که در قسمت پایین شکل ۱۰.۱۴ نشان داده شده‌اند، باقی می‌مانند

$$s_r(x) = \frac{h}{4\pi} \int_{-x}^x \frac{\sin\left(r + \frac{1}{4}\right)s}{\sin \frac{1}{4}s} ds - \frac{h}{4\pi} \int_{\pi-x}^{\pi+x} \frac{\sin\left(r + \frac{1}{4}\right)s}{\sin \frac{1}{4}s} ds \quad (۶۷.۱۴)$$

مجموع جزئی را در مجاورت ناپیوستگی در  $x = 0$  در نظر بگیرید. با  $x \rightarrow 0$  می‌توان از انتگرال دوم چشم پوشید و انتگرال اول را وابسته به ناپیوستگی در  $x = 0$  می‌گیریم. با استفاده از  $[r + (1/4)] = p$  و  $\xi = ps$ ، خواهیم داشت



شکل ۱۰.۱۴ بازه‌های انتگرالگیری - معادله (۶۶.۱۴).



$$s_r(x) = \frac{h}{\sqrt{\pi}} \int_0^{px} \frac{\sin \xi}{\sin(\xi/2p)} \cdot \frac{d\xi}{p} \quad (۶۸.۱۴)$$

محاسبهٔ جهش

مجموع جزئی ما،  $s_r(x)$ ، از صفر در  $x = 0$  شروع می‌شود [سازگار با معادلهٔ (۱۶.۱۴)] و تا نقطهٔ  $ps = \pi$ ،  $\xi = ps$ ، که در آن  $\sin \xi$  در مخارج منفی می‌شود، افزایش می‌یابد. به ازای مقادیر بزرگ  $r$ ، و بنا بر این مقادیر بزرگ  $p$ ، صورت کسر مثبت باقی می‌ماند. بادر نظر گرفتن حد بالای  $px = \pi$ ، برای مجموع جزئی مقدار بیشینه را بدست می‌آوریم. درست در همین نقطهٔ  $x$  مشاهده می‌کنیم که موضع بیشینهٔ جهش، با تعداد جملاتی که در نظر گرفته‌ایم نسبت عکس دارد

$$x = \frac{\pi}{p} \approx \frac{\pi}{r}$$

از این رو مقدار بیشینهٔ مجموع جزئی عبارت است از

$$s_r(x) \text{ بیشینه} = \frac{h}{\sqrt{\pi}} \cdot \frac{1}{\pi} \int_0^{\pi} \frac{\sin \xi d\xi}{\sin(\xi/2p)p} \quad (۶۹.۱۴)$$

$$\approx \frac{h}{\sqrt{\pi}} \cdot \frac{2}{\pi} \int_0^{\pi} \frac{\sin \xi}{\xi} d\xi$$

بر حسب انتگرال سینوس  $si(x)$ ، در بخش ۵.۱۰، داریم

$$\int_0^{\pi} \frac{\sin \xi}{\xi} d\xi = \frac{\pi}{2} + si(\pi) \quad (۷۰.۱۴)$$

آشکار است که این انتگرال از  $\pi/2$  بزرگتر است، زیرا آن را می‌توان به صورت زیر نوشت

$$\left( \int_0^{\infty} - \int_{\pi}^{2\pi} - \int_{2\pi}^{3\pi} - \dots \right) \frac{\sin \xi}{\xi} d\xi = \int_0^{\pi} \frac{\sin \xi}{\xi} d\xi \quad (۷۱.۱۴)$$

در بخش ۲.۷ دیدیم که این انتگرال از صفر تا  $\infty$  برابر  $\pi/2$  است. از این انتگرال یک سری از جملات منفی را کم می‌کنیم. در نتیجهٔ کوادراتور گاوسی (پیوست ۲ را ببینید) یا بسط سری توانی و انتگرالگیری جمله به جمله داریم

$$\frac{2}{\pi} \int_0^{\pi} \frac{\sin \xi}{\xi} d\xi = ۱.۱۷۸۹۷۹۷\dots \quad (۷۲.۱۴)$$

یعنی، مطابق شکل ۱۱.۱۴ سری فوریه به جهشی حدود ۱۸ درصد در گوشه مثبت و نزولی جهشی به همین میزان در گوشه منفی گرایش دارد. شمول تعداد بیشتری از جملات (یعنی افزایش  $r$ )، این جهش را حذف نمی‌کند و فقط آن را به نقطه ناپیوستگی نزدیکتر می‌کند. این جهش، پدیده گیبس است، و نمایش سری فوریه به دلیل وجود همین پدیده ممکن است برای محاسبات عددی، به ویژه در مجاورت یک ناپیوستگی بسیار غیر قابل اعتماد باشد.

پدیده گیبس فقط مخصوص سری فوریه نیست. این پدیده در سایر بسط‌های ویژه تا بهی نیز پیش می‌آید. مسئله ۲۷.۳.۱۲ مثالی است از پدیده گیبس برای سری لژاندر.

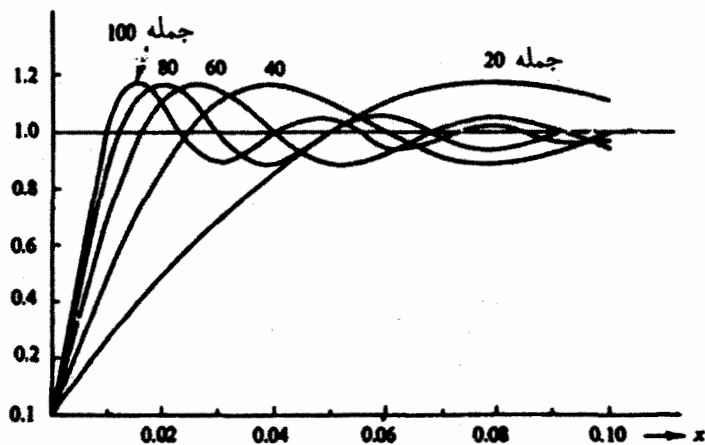
## مسائل

۱۰۵.۱۴ به کمک شگردهای مجموعیابی مجموعه‌های جزئی که در این بخش آموختیم، نشان دهید که سری فوریه  $f(x)$ ، در یک ناپیوستگی  $f(x)$ ، مقدار میانگین حسابی حدود چپ و راست را به خود می‌گیرد

$$f(x_0) = \frac{1}{2} [f(x_0+) + f(x_0-)]$$

در هنگام محاسبه  $\lim_{r \rightarrow \infty} s_r(x_0)$  شاید بهتر باشد که بخشی از انتگرالده را بایک تابع دلنای دیگر یک‌ی بگیرد.

۲۰۵.۱۴ مجموع جزئی،  $s_r$ ، سری متعلق به معادله (۶۴.۱۴) را با استفاده از روابط زیر تعیین کنید



شکل ۱۱.۱۴ موج مربعی - پدیده گیبس.

$$\frac{\sin mx}{m} = \int_0^x \cos my dy \quad (\text{الف})$$

و

$$\sum_{p=1}^n \cos(2p-1)y = \frac{\sin 2ny}{2\sin y} \quad (\text{ب})$$

آیا به همان نتیجه‌ای می‌رسید که در معادله (۶۸.۱۴) به آن دست یافتید؟

۴۰.۵.۱۴ سری تابع پلداى متناهی، معادله (۶۴.۱۴)، را با  $h=2$  با استفاده از ۱۰۰،۲۰۰، ۳۰۰، ۴۰۰ و ۵۰۰ جمله، به ازای ۲۰۰، ۵۰۰، ۱۰۰۰، ۲۰۰۰، ۳۰۰۰، ۴۰۰۰، ۵۰۰۰، ۶۰۰۰، ۷۰۰۰، ۸۰۰۰، ۹۰۰۰، ۱۰۰۰۰ محاسبه کنید. نتایج حاصل (پنج منحنی) را ترسیم کنید و یا اگر به یک برنامه ترسیم منحنی دسترسی دارید، از آن بهره‌گیرید.

۴۰.۵.۱۴ (الف) مقدار انتگرال پدیده گیس

$$I = \frac{2}{\pi} \int_0^{\pi} \frac{\sin t}{t} dt$$

را به کمک کوادراتور عددی با دقت ۱۲ رقم معنی دار محاسبه کنید.

(ب) نتیجه حاصل را به کمک: (۱) بسط انتگرالده به صورت سری، (۲) انتگرالگیری جمله به جمله، و (۳) محاسبه سری انتگرالگیری شده بیازمایید. این کار محاسبه با دقت مضاعف را می‌طلبد.

پاسخ.  $I = 1.178979744472$

۶.۱۴ تعامد گسسته - تبدیل فوریه گسسته

در نزد بسیاری از فیزیکدانان تبدیل فوریه خود به خود همان تبدیل پیوسته فوریه فصل ۱۵ به شمار می‌آید. ولی پیوستاری از مقادیر، در هنگام بهره‌گیری از کامپیوتر رقمی الکترونی، جای خود را به یک مجموعه گسسته می‌سپارد، و جای انتگرالگیری، مجموعه‌ای می‌نشیند. تبدیل پیوسته فوریه به یک تبدیل گسسته فوریه بدل می‌شود که مبحث مناسبی است که در این فصل به آن پردازیم.

تعامد روی نقاط گسسته

تعامد توابع مثلثاتی و عبارتهای نمایی موهومی طی معادلات (۷.۱۴) تا (۱۰.۱۴) بیان می‌شوند. این بیان، همان تعامد متعارف برای توابع است: انتگرالگیری از حاصلضرب توابع روی بازه تعامد. سینوسها، کسینوسها، و عبارتهای نمایی موهومی دارای این خاصیت

شایان ذکرند که روی یک سری از نقاط گسسته هم فاصله روی دوره (بازه تعامد) نیز متعامدند. مجموعه‌ای از  $2N$  مقدار زمانی به قرار زیر را

$$t_k = 0, \frac{T}{2N}, \frac{2T}{2N}, \dots, \frac{(2N-1)T}{2N} \quad (۷۳.۱۴)$$

در بازه زمانی  $(0, T)$  در نظر بگیرد. آنگاه

$$t_k = \frac{kT}{2N}, \quad k = 0, 1, 2, \dots, 2N-1 \quad (۷۴.۱۴)$$

ثابت خواهیم کرد که توابع نمایی  $\exp(2\pi i p t_k / T)$  و  $\exp(2\pi i q t_k / T)$  روی نقاط گسسته  $t_k$  در رابطه تعامد زیر صدق می‌کنند

$$\sum_{k=0}^{2N-1} [\exp(2\pi i p t_k / T)]^* \exp(2\pi i q t_k / T) = 2N \delta_{p, q \pm 2N} \quad (۷۵.۱۴)$$

که در آن  $p, q$  و  $n$  جملگی اعداد درست‌اند.

اگر به جای  $q - p$  کمیت  $s$  را بنشانیم بی‌می‌بریم که سمت چپ معادله (۷۵.۱۴) به صورت زیر درمی‌آید

$$\sum_{k=0}^{2N-1} \exp(2\pi i s t_k / T) = \sum_{k=0}^{2N-1} \exp(2\pi i s k / 2N)$$

سمت راست این عبارت را با استفاده از معادله (۷۴.۱۴)، برای نشان دادن به جای  $T$ ، به دست آورده‌ایم. این یک سری هندسی متناهی با جمله اولیه واحد و نسبت

$$r = \exp(2\pi i s / 2N)$$

است. از معادله (۷.۵) داریم

$$\sum_{k=0}^{2N-1} \exp(2\pi i s t_k / T) = \begin{cases} \frac{1-r^{2N}}{1-r} = 0, & r \neq 1 \\ 2N, & r = 1 \end{cases} \quad (۷۶.۱۴)$$

که در نتیجه رابطه اصلی تعامد ما، یعنی معادله (۷۵.۱۴)، اثبات می‌شود. مقدار صفر بالایی، به ازای عدد درست  $s$ ، پیامد اتحاد زیر است

$$r^{2N} = \exp(2\pi i s) = 1$$

مقدار  $2N$  پایینی به ازای  $r=1$ ، متناظر است با  $p=q$ .  
 تعامد در توابع مثلثاتی متناظر در مسئله ۱.۶.۱۴ مورد بحث قرار می گیرند.

### تبدیل‌های گسسته فوریه

برای آنکه نمادهای ساده تر و ارتباط مستقیمتری با فیزیک برقرار کنیم، به اتکای رابطه زیر با فضای (وارون)  $\omega$ ، بسامد زاویه‌ای، آشنا می شویم

$$\omega_p = 2\pi p/T, \quad p = 0, 1, 2, \dots, 2N-1 \quad (77.14)$$

$p$  همان اعداد درستی را به خود می گیرد که  $k$  به خود می گیرد. عبارت نمایی  $\exp(\pm 2\pi i p t_k/T)$  در معادله (۷۵.۱۴) به  $\exp(\pm i\omega_p t_k)$  تبدیل می شود. اینکه علامت  $+$  یا  $-$  را برگزینیم به قرارداد یا به راحتی کار مربوط می شود. در مکانیک کوانتومی برای بیان وابستگی زمانی، علامت منفی برگزیده می شود.

تابعی از زمان را در نظر بگیرید که به صورت مقادیر زمانی گسسته  $t_k$  تعریف (اندازه گیری) شده باشد. می توانیم تابع زیر را تشکیل دهیم

$$F(\omega_p) = \frac{1}{2N} \sum_{k=0}^{2N-1} f(t_k) e^{i\omega_p t_k} \quad (78.14)$$

با بهره گیری از رابطه تعامد خواهیم داشت

$$\frac{1}{2N} \sum_{p=0}^{2N-1} (e^{i\omega_p t_m})^* e^{i\omega_p t_k} = \delta_{mk} \quad (\text{الف } 78.14)$$

و آنگاه با نشان دادن شاخص پایین  $k$  به جای  $m$ ، دامنه‌های  $f(t_k)$  به صورت زیر درمی آیند

$$f(t_k) = \sum_{p=0}^{2N-1} F(\omega_p) e^{-i\omega_p t_k} \quad (79.14)$$

تابع زمان،  $f(t_k)$ ،  $k=0, 1, 2, \dots, 2N-1$  و تابع بسامد،  $F(\omega_p)$ ،  $p=0, 1, 2, \dots, 2N-1$ ، تبدیل‌های گسسته فوریه یکدیگر به شمار می آیند. معادلات (۷۸.۱۴) و (۷۹.۱۴) را با تبدیل‌های پیوسته فوریه متناظر، یعنی معادلات (۲۲.۱۵) و (۲۳.۱۵) در فصل ۱۵ مقایسه کنید.

### محدودیتها

فرض کنید تبدیل‌های گسسته فوریه، به عنوان دو رابطه ریاضی، دقیق اند. می توانیم بگوئیم  $2N$  بردار  $2N$  مؤلفه‌ای  $\exp(-i\omega_p t_k)$ ،  $k=0, 1, 2, \dots, 2N-1$ ، یک مجموعه کامل

۱. دو معادله تبدیل را می توان در صورت تعامیل بایک ضریب  $(2N)^{-1/2}$  در هر دو معادله، به شکل متقارن درآورد.

تشکیل می‌دهند<sup>۱</sup> که فضای  $t_k$  را می‌تینند. پس  $f(t_k)$  در معادله (۷۷.۱۴)، ترکیب خطی ویژه‌ای از این بردارهاست. به عبارت دیگر، می‌توانیم  $2N$  مؤلفه اندازه‌گیری شده  $f(t_k)$  را معرف يك بردار  $2N$  مؤلفه‌ای در فضای  $t_k$  بگیریم. آنگاه معادله (۷۸.۱۴)، بردار  $2N$  مؤلفه‌ای  $F(\omega_p)$  را در فضای  $\omega$  و  $\omega_p$ ، به دست می‌دهد. معادلات (۷۸.۱۴) و (۷۹.۱۴) به معادلاتی ماتریسی تبدیل می‌شوند که در آنها  $(2N)^{1/2} \exp(i\omega_p t_k)$  عناصر يك ماتریس یکانی است.

محدودیت‌های تبدیل گسسته فوریه هنگامی بروز می‌کنند که معادلات (۷۸.۱۴) و (۷۹.۱۴) را درباره سیستم‌های فیزیکی به کار بریم و بگوئیم يك تعبیر فیزیکی و تعمیم  $F(\omega_p) \rightarrow F(\omega)$  از آن به دست دهیم. مثال ۱.۶.۱۴ مسئله‌ای را که ممکن است پیش بیاید نمایش می‌دهد. مهم‌ترین اقدام احتیاطی که برای اجتناب از این مشکل باید اتخاذ کنیم آن است که  $N$  را چندان بزرگ بگیریم که هیچ مؤلفه بسامد زاویه‌ای با بسامد زاویه‌ای بزرگتر از  $\omega_N = 2\pi N/T$  وجود نداشته باشد. خواننده می‌تواند جزئیات مربوط به خطاها و محدودیت‌هایی را که در استفاده از تبدیل گسسته فوریه پیش می‌آیند، در تالیفات برگلند و همینگک بیابد.

مثال ۱.۶.۱۴ تبدیل گسسته فوریه - دگر نامی

حالت نسبتاً ساده  $T = 2\pi$ ،  $N = 2$ ، و  $f(t_k) = \cos t_k$  را در نظر بگیرید. با استفاده از

$$t_k = kT/4 = k\pi/2, \quad k = 0, 1, 2, 3 \quad (80.14)$$

$f(t_k) = \cos(t_k)$  توسط بردار چهارمؤلفه‌ای زیر نمایش داده می‌شود

$$f(t_k) = (1, 0, -1, 0) \quad (81.14)$$

بسامدهای  $\omega_p$  از معادله (۷۷.۱۴) به دست می‌آیند

$$\omega_p = 2\pi p/T = p \quad (82.14)$$

روشن است که  $\cos t_k$  تنها يك مؤلفه  $p = 1$  را ایجاب می‌کند و نه هیچ مؤلفه بسامدی دیگری را.

ماتریس تبدیل

$$(2N)^{-1} \exp(i\omega_p t_k) = (2N)^{-1} \exp(ipk\pi/2)$$

به صورت زیر درمی‌آید

۱. این دوبردار به دلیل معادله (۷۶.۱۴) متعامدند، بنابراین مستقل خطی‌اند.

$$\frac{1}{4} \begin{pmatrix} 1 & 1 & 1 & 1 \\ 1 & i & -1 & -i \\ 1 & -1 & 1 & -1 \\ 1 & -i & -1 & i \end{pmatrix} \quad (۸۳.۱۲)$$

توجه کنید که این ماتریس  $2N \times 2N$  فقط  $2N$  مؤلفه مستقل دارد. همین تکرار مقادیر است که شگرد تبدیل فوریه سریع را میسازد.

وقتی این ماتریس روی بردار ستونی  $f(t_k)$  عمل کند، بردار ستونی زیر به دست می آید

$$F(\omega_p) = \left( 0, \frac{1}{4}, 0, \frac{1}{4} \right) \quad (۸۴.۱۲)$$

ظاهراً یک مؤلفه بسامدی  $p=3$  نیز حضور دارد.  $f(t_k)$  را به کمک معادله (۷۹.۱۴) بازسازی می کنیم و خواهیم داشت

$$f(t_k) = \frac{1}{4} e^{-it_k} + \frac{1}{4} e^{-3it_k} \quad (۸۵.۱۴)$$

بدر نظر گرفتن اجزای حقیقی، این معادله را به صورت زیر بازنویسی می کنیم

$$f(t_k) = \frac{1}{4} \cos t_k + \frac{1}{4} \cos 3t_k \quad (۸۶.۱۴)$$

واضح است که این جواب معادله (۸۶.۱۴) با جواب اصلی،  $f(t_k) = \cos t_k$ ، یکی نیست. ولی در  $t_k = 0, \pi/2, \pi, 3\pi/2$  داریم:  $\cos t_k = (1/2)\cos t_k + (1/2)\cos 3t_k$ . به دلیل تعداد محدود نقاط داده ای (گزینه ویژه نقاط داده ای) همانند  $\cos t_k$  و  $\cos 3t_k$ ، یکدیگرند. این خطا، که یک بسامد شبیه به بسامد دیگر باشد، دگرنامی می گویند. این خطا را می توان از طریق گنجاندن تعداد بیشتری نقاط داده ای کمینه کرد.

### تبدیل های سریع فوریه

تبدیل سریع فوریه روش خاصی است برای فاکتورگیری و بازآرایی جملات در مجموعه های تبدیلی های گسسته فوریه. اهمیت این روش، که کولی و توکی توجه جامعه علمی را به آن جلب کردند، در کاهش شدید و مؤثری نهشته است که در تعداد عملهای عددی مورد لزوم ایجاد می کند. تبدیل سریع فوریه به دلیل افزایش سرعت (و کاهش هزینه) فاحشی که به وجود

می‌آورد، به‌عنوان یکی از معدود پیشرفت‌های به‌راستی با ارزش در آنالیز عددی در چند دهه اخیر شناخته شده است.

یکی از محاسبات مستقیم تبدیل گسسته فوریه، به‌ازای  $N$  مقدار (اندازه‌گیری) زمانی، حدود  $N^2$  عمل ضرب را در برمی‌گیرد. روش تبدیل سریع فوریه کولی و توکی تعداد ضربهای لازم را، به‌ازای مقداری از  $N$  که مساوی توانی از ۲ باشد، به  $(N/2)\log_2 N$  کاهش می‌دهد. اگر  $(2^{10} = 1024)$ ،  $N = 1024$ ، تبدیل سریع فوریه کاهش محاسبه‌ای به اندازه ضربی بزرگتر از ۲۰۰ ایجاد می‌کند. علت اطلاق صفت سریع در مفهوم تبدیل سریع فوریه نیز همین است، و به‌همین دلیل است که این روش، در پردازش رقمی شکل موجها، به‌معنای دقیق کلمه، انقلابی به‌وجود آورده است.

تبدیل سریع فوریه باید در هر مرکز کامپیوتری قابل‌حصول باشد. این روش در SSP\* هم آمده است. جزئیات مربوط به عمل درونی آن را می‌توان در مقاله کولی و توکی و در مقاله برگلند یافت.<sup>۱</sup>

### مسائل

۱۰۶۰۱۴ صورتهای مثلثاتی تعامدگسسته متناظر با معادله (۷۵.۱۴) را استخراج کنید

$$\sum_{k=0}^{2N-1} \cos(2\pi p t_k / T) \sin(2\pi q t_k / T) = 0$$

$$\sum_{k=0}^{2N-1} \cos(2\pi p t_k / T) \cos(2\pi q t_k / T) = \begin{cases} 0, & p \neq q \\ N, & p = q \neq 0, N \\ 2N, & p = q = 0, N \end{cases}$$

$$\sum_{k=0}^{2N-1} \sin(2\pi p t_k / T) \sin(2\pi q t_k / T) = \begin{cases} 0, & p \neq q \\ N, & p = q \neq 0, N \\ 0, & p = q = 0, N \end{cases}$$

دانهایی می‌توان از اتحادهای مثلثاتی نظیر اتحاد زیر سود جست

$$\sin A \cos B = \frac{1}{2} [\sin(A+B) + \sin(A-B)]$$

۲۰۶۰۱۴ معادله (۷۵.۱۴) تعامد را با جمع زدن روی نقاط زمانی نمایش می‌دهد. نشان دهید که با جمع زدن روی نقاط بسامدی نیز همین رابطه تعامدی را خواهیم داشت

\* IBM Scientific Subroutine Package (SSP).

1. Bergland, G. D., *A Guided Tour of the Fast Fourier Transform*, IEEE Spectrum, pp. 41-52 (July 1969).



$$\frac{1}{2N} \sum_{p=0}^{2N-1} (e^{i\omega_p t_m})^* e^{i\omega_p t_k} = \delta_{mk}$$

۳.۶.۱۴ به طور مشروح نشان دهید که چگونه از رابطه

$$F(\omega_p) = \frac{1}{2N} \sum_{k=0}^{2N-1} f(t_k) e^{i\omega_p t_k}$$

به رابطه زیر می‌رسیم

$$f(t_k) = \sum_{p=0}^{2N-1} F(\omega_p) e^{-i\omega_p t_k}$$

۳.۶.۱۴ توابع  $f(t_k)$  و  $F(\omega_p)$  تبدیلهای گسسته فوریه یکدیگرند. روابط تقارنی زیر را استخراج کنید:

(الف) اگر  $f(t_k)$  حقیقی باشد،  $F(\omega_p)$  متقارن هرمیتی است؛ یعنی

$$F(\omega_p) = F^* \left( \frac{2\pi N}{T} - \omega_p \right)$$

(ب) اگر  $f(t_k)$  موهومی محض باشد، داریم

$$F(\omega_p) = -F^* \left( \frac{2\pi N}{T} - \omega_p \right)$$

یادآوری. تقارن موجود در بند (الف) نمایشی است از دگرنامی. بسامد  $\omega_p = 2\pi N/T$  زیر نقاب  $\omega_p$  پنهان می‌شود.

۵.۶.۱۴ با داشتن  $N=2$ ،  $T=2\pi$  و  $f(t_k) = \sin t_k$

(الف)  $F(\omega_p)$  را به ازای  $p=0, 1, 2, 3$  پیدا کنید.

(ب) با استفاده از  $F(\omega_p)$ ،  $f(t_k)$  را بازسازی کنید و دگرنامی  $\omega_1=1$  و  $\omega_3=3$  را نمایش دهید.

پاسخ (الف)  $F(\omega_p) = (0, i/2, 0, -i/2)$

(ب)  $f(t_k) = \frac{1}{2} \sin t_k - \frac{1}{2} \sin 3t_k$

۶.۶.۱۴ نشان دهید که چند جمله ایهای چیشیف،  $T_m(x)$ ، در رابطه تعامد گسسته زیر صدق می‌کنند

$$\frac{1}{4}T_m(-1)T_n(-1) + \sum_{s=1}^{N-1} T_m(x_s)T_n(x_s) + \frac{1}{4}T_m(1)T_n(1) = \begin{cases} 0, & m \neq n \\ N/2, & m = n \neq 0 \\ N, & m = n = 0 \end{cases}$$

در اینجا  $x_s = \cos \theta_s$ ، که در آن  $\theta_s = (N+1)\theta$ ،  $\theta$  به طور همفاصله روی محور  $\theta$  قرار دارند

$$\theta_s = \frac{s\pi}{N}, \quad s = 0, 1, 2, \dots, N$$

### مراجع

Carslaw, H. S., *Introduction to the Theory of Fourier's Series and Integrals*. 2nd ed. London: Macmillan, 1921 ; 3rd ed., paperback, New York: Dover, 1952

کتابی کلاسیک با مطالب مشروح است که بحث مبسوطی در خصوص پدیده گیس در فصل ۹ آن آمده است.

Hamming, R. W., *Numerical Methods for Scientists and Engineers*, 2nd ed., New York: McGraw-Hill, 1973.

فصل ۳۳ این کتاب یک توصیف عالی برای تبدیل سریع فوریه ارائه می کند.

Jeffreys, H. and B. S. Jeffreys, *Methods of Mathematical Physics*, 3rd ed., Cambridge: Cambridge University Press, 1966.

Kufner, A. and J. Kadlec, *Fourier Series*. London: Iliffe, 1971.

این کتاب سری فوریه را در زمینه فضای هیلبرت به روشنی توضیح می دهد.

Lanczos, C., *Applied Analysis*. Englewood Cliffs, N. J.: Prentice-Hall, 1956.

در این کتاب تکنیک همگرایی Lanczos (که نوسانهای پدیده گیس را حذف می کند) به خوبی ارائه شده است. این تکنیک و چند مطلب دیگر، از دیدگاه ریاضیدانی ارائه شده است که فقط در پی قضیه های وجودی مطلق نبوده بلکه نتایج عددی مفید را نیز جستجو می کند.

Oberhettinger, F., *Fourier Expansions, A Collection of Formulas*. New York and London: Academic Press, 1973.

Zygmund, A., *Trigonometric Series*. Cambridge: Cambridge University Press, 1977.

این کتاب حاوی شرح بسیار کاملی است شامل نتایج نسبتاً جدید در حوزه ریاضیات محض.

## تبدیل‌های انتگرالی

## ۱.۱۵ تبدیل‌های انتگرالی

در فیزیک ریاضی بارها به‌زوجهایی از توابع برمی‌خوریم که عباراتی به‌صورت زیر آنها را بدهم مربوط می‌کنند

$$g(\alpha) = \int_a^b f(t)K(\alpha, t)dt \quad (1.15)$$

تابع  $g(\alpha)$  را تبدیل (انتگرالی) تابع  $f(t)$  توسط هسته  $K(\alpha, t)$  می‌نامند. این عمل را می‌توان بدعنوان نگاشت تابع  $f(t)$  در فضای  $t$ ، به تابع  $g(\alpha)$  در فضای  $\alpha$ ، نیز توصیف کرد. این تعبیر، در رابطهٔ زمان-بسامد در مثال ۱.۳.۱۵ و در روابط فضای واقعی-فضای تکانه، بخش ۶.۱۵، اهمیت فیزیکی پیدا می‌کند.

## تبدیل فوریه

از میان تعداد بسیار زیادی تبدیل ممکن، مهم‌ترین آنها تبدیل فوریه است که بارابطة زیر بیان می‌شود

$$g(\alpha) = \frac{1}{\sqrt{2\pi}} \int_{-\infty}^{\infty} f(t)e^{i\alpha t} dt \quad (2.15)$$

در بخش ۳.۱۵ تعدیلهایی در این تبدیل وارد می‌شود و تبدیلهای کسینوس و سینوس فوریه

بدصورت زیر بیان خواهند شد

$$g_c(\alpha) = \sqrt{\frac{2}{\pi}} \int_0^{\infty} f(t) \cos \alpha t \, dt \quad (3.15)$$

$$g_s(\alpha) = \sqrt{\frac{2}{\pi}} \int_0^{\infty} f(t) \sin \alpha t \, dt \quad (4.15)$$

تبدیل فوری به بر پایه‌ی هسته  $e^{i\alpha t}$ ، واجزای حقیقی و موهومی آن یعنی  $\cos \alpha t$  و  $\sin \alpha t$ ، بدطور جداگانه، استوار است. از آنجا که این هسته‌ها توابعی اند که برای توصیف امواج به‌کار می‌روند، در بررسی امواج و استخراج داده‌هایی از امواج، به‌ویژه هنگامی که داده‌های فازی مطرح باشند، تبدیلهای فوری به بارها پدیدار می‌شوند. مثلاً، خروجی تداخل سنج ستاره‌ای حاوی تبدیل فوری درخشندگی در سطح یک قرص ستاره‌ای است. توزیع الکترونی در یک اتم را می‌توان از تبدیل فوری دامنه پرتوی  $x$  پراکنده به دست آورد. در مکانیک کوانتومی، ماهیت موجی ماده و توصیفی که برای ماده بر حسب امواج در دست داریم، منشأ فیزیکی روابط فوری به بخش ۶.۱۵ را تشکیل می‌دهند.

### تبدیلهای لاپلاس، ملین، و هنکل

سه هسته مفید دیگر عبارت‌اند از

$$e^{-\alpha t}, \quad t J_n(\alpha t), \quad t^{\alpha-1}$$

این هسته‌ها به تبدیلهای زیر منجر می‌شوند

$$g(\alpha) = \int_0^{\infty} f(t) e^{-\alpha t} \, dt, \quad \text{تبدیل لاپلاس} \quad (5.15)$$

$$g(\alpha) = \int_0^{\infty} f(t) t J_n(\alpha t) \, dt, \quad \text{تبدیل هنکل (فوری-بسل)} \quad (6.15)$$

$$g(\alpha) = \int_0^{\infty} f(t) t^{\alpha-1} \, dt, \quad \text{تبدیل ملین} \quad (7.15)$$

روشن است که تعداد انواع تبدیلهای ممکن نامحدود است. تبدیلهای بالا در آنالیز ریاضی و در کاربردهای فیزیکی مفید واقع می‌شوند. در واقع، قبلاً از تبدیل ملین بدون ذکر نام آن استفاده کرده‌ایم؛ یعنی  $g(\alpha) = (\alpha-1)!$  تبدیل ملین  $f(t) = e^{-t}$  به شمار می‌آید. البته می‌توانستیم  $g(\alpha) = n! / \alpha^{n+1}$  را تبدیل لاپلاس  $f(t) = t^n$  نیز به حساب آوریم. از این سه، کاربرد تبدیل لاپلاس از دو تبدیل دیگر خیلی بیشتر است. در باب این تبدیل، در بخشهای ۸.۱۵ تا ۱۲.۱۵ به تفصیل بحث خواهیم کرد. تبدیل هنکل، که تبدیل فوری به برای یک بسط

تابع بسل به شمارمی آید، حالت حدی يك سری بسل-فوریه است. این تبدیل در مسائل پتانسیل در مختصات استوانه‌ای ظاهری شود و کاربرد آن در آکوستیک بسیار زیاد است.

## خطی بودن

همه تبدیلیهای انتگرالی فوق خطی اند؛ یعنی

$$\int_a^b [c_1 f_1(t) + c_2 f_2(t)] K(\alpha, t) dt \\ = \int_a^b c_1 f_1(t) K(\alpha, t) dt + \int_a^b c_2 f_2(t) K(\alpha, t) dt \quad (8.15)$$

$$\int_a^b c f(t) K(\alpha, t) dt = c \int_a^b f(t) K(\alpha, t) dt \quad (9.15)$$

که در آن  $c_1$  و  $c_2$  ثابت و  $f_1(t)$  و  $f_2(t)$  توابعی اند که عمل تبدیل برای آنها تعریف شده است.

اگر تبدیل انتگرالی خطی را توسط عملگر  $\mathcal{L}$  نمایش دهیم، خواهیم داشت

$$g(\alpha) = \mathcal{L}f(t) \quad (10.15)$$

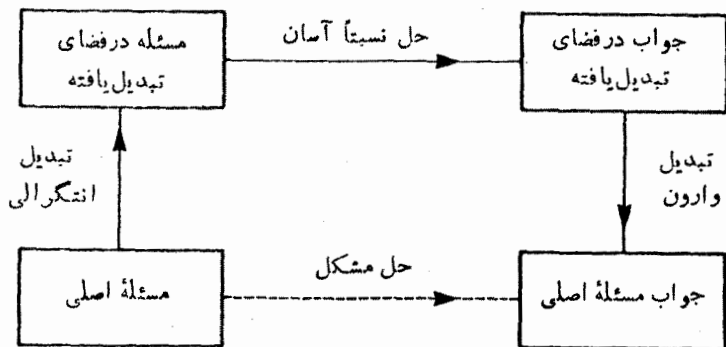
انتظار می رود که يك عملگر وارون  $\mathcal{L}^{-1}$  چنان وجود داشته باشد که<sup>۱</sup>

$$f(t) = \mathcal{L}^{-1}g(\alpha) \quad (11.15)$$

$\mathcal{L}^{-1}$  برای سه تبدیل فوریه در بخش ۳.۱۵ داده شده است. به هنگام استفاده از تبدیلیهای انتگرالی معمولاً مسئله اصلی تعیین تبدیل وارون است. تبدیل وارون لاپلاس را در بخش ۱۲.۱۵ مورد بحث قرار خواهیم داد. می توان به جزئیات مربوط به تبدیلیهای وارون هنکل و وارون ملین در مراجعی که در انتهای این فصل آمده است، دست یافت.

تعبیرها و کاربردهای فیزیکی خاص تبدیلیهای انتگرالی بسیار است که در همین فصل به آنها می پردازیم. متداولترین این کاربردها در شکل ۱.۱۵ خلاصه شده است. حل يك مسئله بنیادین در مختصات (فضای) اصلی، اگر هم میسر باشد، با دشواری صورت می گیرد. اغلب اوقات پیش می آید که تبدیل مسئله را می توان نسبتاً به سادگی حل کرد. در این صورت تبدیل وارون، جواب را از مختصات تبدیل یافته بدستگاه اصلی می برد. مثال ۱.۴.۱۵ و مسئله ۱.۴.۱۵ این شگرد را نمایش می دهند.

۱. این انتظار، اثبات وجود نیست، در اینجا، اثبات وجود، به دلیل آنکه عملاً در يك فضای بینهایت-بعدی هیلبرت هستیم، پیچیده است. وجود تبدیل وارون را در موارد به خصوصی که مورد توجه است، از طریق انجام این تبدیل عملاً اثبات می کنیم.



شکل ۱۰۱۵

## مسائل

۱۰۱۰۱۵ تبدیلهای فوریه برای تابعی بادومتغیر عبارت اند از

$$F(u, v) = \frac{1}{2\pi} \int_{-\infty}^{\infty} \int_{-\infty}^{\infty} f(x, y) e^{i(ux+vy)} dx dy$$

$$f(x, y) = \frac{1}{2\pi} \int_{-\infty}^{\infty} \int_{-\infty}^{\infty} F(u, v) e^{-i(ux+vy)} du dv$$

با استفاده از  $f(x, y) = f([x^2 + y^2]^{1/2})$ ، نشان دهید که تبدیلهای مرتبه صفر هنکل

$$F(\rho) = \int_0^{\infty} r f(r) J_0(\rho r) dr$$

$$f(r) = \int_0^{\infty} \rho F(\rho) J_0(\rho r) d\rho$$

حالتهای خاصی از تبدیلهای فوریه اند.

این شگرد را می توان تعمیم داد و تبدیلهای هنکل از مرتبه  $\nu$ ،  $\nu = 0, 1/2, 1, 3/2, \dots$  را استخراج کرد. رهیافت کلیتری که به ازای  $\nu > -1/2$  صادق است، در کتاب کادپرد تبدیلهای انتگرالی تألیف اسندون آمده است. <sup>۲</sup> خاطر نشان می کنیم که تبدیلهای هنکل از مرتبه غیر عدد درست  $\nu = \pm 1/2$  به تبدیلهای کسینوس و سینوس فوریه ساده می شوند.

۱. مقایسه کنید با،

Sneddon, I. N., *Fourier Transforms*.

2. Sneddon, I. N., *The Use of Integral Transforms*.

۲۰۱۰۱۵ با فرض اعتبار معادلات مربوط به تبدیل هنکل و تبدیل وارون هنکل

$$g(\alpha) = \int_0^{\infty} f(t) J_n(\alpha t) t dt$$

$$f(t) = \int_0^{\infty} g(\alpha) J_n(\alpha t) \alpha d\alpha$$

نشان دهید که نمایش انتگرالی بسل تابع دلنای دیراک به صورت زیر است

$$\delta(t-t') = t \int_0^{\infty} J_n(\alpha t) J_n(\alpha t') \alpha d\alpha$$

این رابطه در تشکیل توابع گرین در مختصات استوانه‌ای، که در آن ویژه تابعها، عبارت اند از توابع بسل، سودمند واقع می‌شود.

۳۰۱۰۱۵ با استفاده از تبدیلهای فوریه، معادلات (۲۲-۱۵) و (۲۳-۱۵)، نشان دهید که تبدیل

$$t \rightarrow \ln x$$

$$i\omega \rightarrow \alpha - \gamma$$

به رابطه

$$G(\alpha) = \int_0^{\infty} F(x) x^{\alpha-1} dx$$

و

$$f(x) = \frac{1}{2\pi i} \int_{\gamma-i\infty}^{\gamma+i\infty} G(\alpha) x^{-\alpha} d\alpha$$

می‌انجامد. اینها عبارت اند از تبدیلهای ملین. در بخش ۱۲-۱۵ برای دستیابی به تبدیل وارون لاپلاس، از تغییر متغیر مشابهی استفاده می‌شود.

۴۰۱۰۱۵ درستی تبدیلهای ملین زیر را تحقیق کنید

$$\int_0^{\infty} x^{\alpha-1} \sin(kx) dx = k^{-\alpha} (\alpha-1)! \sin \frac{\pi\alpha}{2}, \quad -1 < \alpha < 1 \quad (\text{الف})$$

$$\int_0^{\infty} x^{\alpha-1} \cos(kx) dx = k^{-\alpha} (\alpha-1)! \cos \frac{\pi\alpha}{2}, \quad 0 < \alpha < 1 \quad (\text{ب})$$

داهنمایی. می‌توانید انتگرالها را از طریق درج يك عامل همگرایی  $e^{-bx}$  در آنها و

(پس از انتگرالگیری) قرار دادن  $b \rightarrow 0$ ، به صورتی حل شدنی در آورید. همچنین داریم

$$\cos kx + i \sin kx = \exp ikx$$

### ۲.۱۵ گسترش انتگرال فوریه

در فصل ۱۴ نشان داده شد که سری فوریه برای نمایش توابعی معین در یکی از دو حالت زیر سودمند واقع می شود: (۱) در گستره ای محدود،  $[0, 2\pi]$ ،  $[-L, L]$ ، و غیره، (۲) در بازه نامتناهی  $(-\infty, \infty)$ ، به شرط آنکه تابع دوره ای باشد. اینک توجه خود را به مسئله نمایش یک تابع غیر دوره ای در گستره نامتناهی معطوف می کنیم. از نظر فیزیکی، این کار به معنای تجزیه یک تک پالس یا بسته موج به امواج سینوسی است.

دیدیم که (در بخش ۲.۱۴) برای بازه  $[-L, L]$  ضرایب  $a_n$  و  $b_n$  را می توان به صورت زیر نوشت

$$a_n = \frac{1}{L} \int_{-L}^L f(t) \cos \frac{n\pi t}{L} dt \quad (12.15)$$

$$b_n = \frac{1}{L} \int_{-L}^L f(t) \sin \frac{n\pi t}{L} dt \quad (13.15)$$

سری فوریه حاصل عبارت است از

$$f(x) = \frac{1}{2L} \int_{-L}^L f(t) dt + \frac{1}{L} \sum_{n=1}^{\infty} \cos \frac{n\pi x}{L} \int_{-L}^L f(t) \cos \frac{n\pi t}{L} dt \\ + \frac{1}{L} \sum_{n=1}^{\infty} \sin \frac{n\pi x}{L} \int_{-L}^L f(t) \sin \frac{n\pi t}{L} dt \quad (14.15)$$

یا

$$f(x) = \frac{1}{2L} \int_{-L}^L f(t) dt + \frac{1}{L} \sum_{n=1}^{\infty} \int_{-L}^L f(t) \cos \frac{n\pi}{L} (t-x) dt \quad (15.15)$$

اکنون پارامتر  $L$  را به بینهایت سوق می دهیم و بازه متناهی  $[-L, L]$  را به بازه نامتناهی  $(-\infty, \infty)$  تبدیل می کنیم. قرار می دهیم

$$\frac{n\pi}{L} = \omega, \quad \frac{\pi}{L} = \Delta\omega, \quad L \rightarrow \infty$$

آنگاه داریم

$$f(x) \rightarrow \frac{1}{\pi} \sum_{n=1}^{\infty} \Delta\omega \int_{-\infty}^{\infty} f(t) \cos \omega(t-x) dt \quad (16.15)$$



یا، پس از تعویض علامت مجموعیابی نامتناهی با انتگرال روی  $\omega$

$$f(x) = \frac{1}{\pi} \int_0^{\infty} d\omega \int_{-\infty}^{\infty} f(t) \cos \omega(t-x) dx \quad (17.15)$$

جمله اول (متناظر با  $a_0$ )، با فرض اینکه  $\int_{-\infty}^{\infty} f(t) dt$  وجود داشته باشد، حذف می‌شود.

باید تأکید کرد که این نتیجه [یعنی معادله (17.15)] صرفاً صوری است. آن را به عنوان

یک استنتاج دقیق نیاورده‌ایم، ولی می‌شود دقتش را بیشتر کرد. به معادله (17.15) عنوان

انتگرال فوریه را اطلاق می‌کنیم. این معادله موکول به این شرط است که  $f(x)$  اولاً به طور

پاره پاره پیوسته باشد، ثانیاً مشتقپذیر باشد، و ثالثاً به طور مطلق انتگرالپذیر یعنی

$$\int_{-\infty}^{\infty} |f(x)| dx \text{ متناهی، باشد.}$$

انتگرال فوریه - صورت نمایی

انتگرال فوریه [معادله (17.15)] را می‌توان به صورت نمایی درآورد، به این ترتیب که

$$f(x) = \frac{1}{2\pi} \int_{-\infty}^{\infty} d\omega \int_{-\infty}^{\infty} f(t) \cos \omega(t-x) dt \quad (18.15)$$

درحالی که

$$\frac{1}{2\pi} \int_{-\infty}^{\infty} d\omega \int_{-\infty}^{\infty} f(t) \sin \omega(t-x) dt = 0 \quad (19.15)$$

متغیر  $\omega$  یک متغیر اختیاری ریاضی است. ولی در بسیاری از مسائل فیزیکی، این متغیر متناظر

است با بسامد زاویه‌ای  $\omega$ . در این موارد می‌توان معادله (18.15) یا (19.15) را به صورت

معادلات (18.15) و (19.15) (با یک ضریب  $i$ )، خواهیم داشت

$$f(x) = \frac{1}{2\pi} \int_{-\infty}^{\infty} e^{-i\omega x} d\omega \int_{-\infty}^{\infty} f(t) e^{i\omega t} dt \quad (20.15)$$

متغیر  $\omega$  یک متغیر اختیاری ریاضی است. ولی در بسیاری از مسائل فیزیکی، این متغیر متناظر

است با بسامد زاویه‌ای  $\omega$ . در این موارد می‌توان معادله (18.15) یا (19.15) را به صورت

نمایش  $f(x)$  بر حسب توزیعی از قطار موجهای سینوسی بینهایت بلند با بسامد زاویه‌ای  $\omega$

تعبیر کرده در آن این بسامد متغیری پیوسته است.

تعیین تابع دلتای دیراک

اگر در معادله (20.15) ترتیب انتگرالگیری را وارون کنیم، می‌توانیم بنویسیم

$$f(x) = \int_{-\infty}^{\infty} f(t) \left\{ \frac{1}{2\pi} \int_{-\infty}^{\infty} e^{i\omega(t-x)} d\omega \right\} dt \quad (\text{الف } 20.15)$$

آشکاراست که کمیت داخل آکولاد مثل یک تابع دلنا،  $\delta(t-x)$ ، رفتار می کند. پس می توانیم معادله (الف ۲۰.۱۵) را ارائه کننده نمایشی برای تابع دلنای دیراک بدانیم. یا می توانیم آنرا برای یک روش جدید اثبات قضیه انتگرال فوریه بدعنوان یک سر نخ تلقی کنیم. از معادله (۱۱۴.۸) - (با انتقال تکینگی از  $t=0$  به  $t=x$ ) داریم

$$f(x) = \lim_{n \rightarrow \infty} \int_{-\infty}^{\infty} f(t) \delta_n(t-x) dt \quad (\text{الف } 21.15)$$

که در آن  $\delta_n(t-x)$  دنباله ای است که معرف  $\delta(t-x)$  بدشمار می آید. دقت کنید که در معادله (الف ۲۱.۱۵) فرض کرده ایم که  $f(t)$  در  $t=x$  پیوسته است. با استفاده از معادله (۱۱۱.۸)، تابع  $\delta_n(t-x)$  را به صورت زیر در نظر می گیریم

$$\delta_n(t-x) = \frac{\sin n(t-x)}{\pi(t-x)} = \frac{1}{2\pi} \int_{-n}^n e^{i\omega(t-x)} d\omega \quad (\text{ب } 21.15)$$

با نشان دادن در معادله (الف ۲۱.۱۵)، داریم

$$f(x) = \lim_{n \rightarrow \infty} \frac{1}{2\pi} \int_{-\infty}^{\infty} f(t) \int_{-n}^n e^{i\omega(t-x)} d\omega dt \quad (\text{ج } 21.15)$$

پس از تعویض ترتیب انتگرال گیری و آنگاه با گرفتن حد  $n \rightarrow \infty$ ، معادله (۲۰.۱۵) یعنی قضیه انتگرال فوریه را به دست می آوریم.  
اتحاد زیر

$$\delta(t-x) = \frac{1}{2\pi} \int_{-\infty}^{\infty} e^{i\omega(t-x)} d\omega \quad (\text{د } 21.15)$$

بادرک این نکته که  $\delta(t-x)$  مانند معادله (الف ۲۱.۱۵) به زیر علامت انتگرال تعلق دارد، نمایش بسیار سودمندی برای تابع دلنا فراهم می کند. استفاده از این نمایش در بخشهای ۵.۱۵ و ۶.۱۵ دارای مزایای زیادی است.

### ۳.۱۵ تبدیلهای فوریه - قضیه وارونی

اینک تابع  $g(\omega)$ ، تبدیل فوریه تابع  $f(t)$ ، را به صورت زیر تعریف می کنیم

$$g(\omega) \equiv \frac{1}{\sqrt{2\pi}} \int_{-\infty}^{\infty} f(t) e^{i\omega t} dt \quad (22.15)$$

## تبدیل نمایی

اکنون از معادله (۲۰.۱۵) به رابطه وارون زیر دست می‌یابیم

$$f(x) = \frac{1}{\sqrt{2\pi}} \int_{-\infty}^{\infty} g(\omega) e^{-i\omega x} d\omega \quad (23.15)$$

خاطر نشان کنیم که معادلات (۲۲.۱۵) و (۲۳.۱۵) تقریباً ولی نه کاملاً متقارن‌اند، و تنها اختلاف آنها در علامت  $i$  است.

در اینجا دو نکته شایان توضیح است. نخست آنکه تقارن در ضرب  $1/\sqrt{2\pi}$  صرفاً انتخابی است و حتماً لازم نیست. بسیاری از مؤلفان تمامی ضرب  $1/2\pi$  معادله (۲۰.۱۵) را به یکی از دو معادله (۲۲.۱۵) یا (۲۳.۱۵) منسوب می‌کنند. دوم آنکه، گرچه انتگرال فوریه، معادله (۲۰.۱۵)، در نوشتارهای ریاضی بسیار مورد توجه بوده است، توجه ما عمدتاً به تبدیل فوریه و وارون آن معطوف است. اینها معادلاتی به‌شمار می‌آیند که ارزش فیزیکی دارند.

اگر زوج تبدیل فوریه را به فضای سه‌بعدی ببریم، خواهیم داشت

$$g(\mathbf{k}) = \frac{1}{(2\pi)^{3/2}} \int f(\mathbf{r}) e^{i\mathbf{k}\cdot\mathbf{r}} d^3x \quad (\text{الف } 23.15)$$

$$f(\mathbf{r}) = \frac{1}{(2\pi)^{3/2}} \int g(\mathbf{k}) e^{-i\mathbf{k}\cdot\mathbf{r}} d^3k \quad (\text{ب } 23.15)$$

انتگرالها روی کل فضا است. اگر بخواهیم این روابط را اثبات کنیم، می‌توانیم سمت چپ یک معادله را در انتگرالده معادله دیگر بنشانیم و از تابع دلتای دیراک سه‌بعدی استفاده کنیم. معادله (۲۳.۱۵) ب) را می‌توان به‌صورت پیوستاری از بسط تابع  $f(\mathbf{r})$  در ویژه‌تابعهای موج تخت تعبیر کرد. آنگاه  $g(\mathbf{k})$  دامنه موج  $\exp(-i\mathbf{k}\cdot\mathbf{r})$  خواهد بود.

## تبدیل کسینوس

اگر  $f(x)$  فرد یا زوج باشد، تبدیلهای فوق را می‌توان به‌صورتی تقریباً متساوت نوشت.

$$\begin{aligned} 1. \quad \delta(\mathbf{r}_1 - \mathbf{r}_2) &= \delta(x_1 - x_2) \delta(y_1 - y_2) \delta(z_1 - z_2) \\ &= \frac{1}{2\pi} \int_{-\infty}^{\infty} \exp[ik_1(x_1 - x_2)] dk_1 \cdot \frac{1}{2\pi} \int_{-\infty}^{\infty} \exp[ik_2(y_1 - y_2)] dk_2 \\ &\quad \cdot \frac{1}{2\pi} \int_{-\infty}^{\infty} \exp[ik_3(z_1 - z_2)] dk_3 \\ &= \frac{1}{(2\pi)^3} \int \int \int_{-\infty}^{\infty} \exp[i\mathbf{k}\cdot(\mathbf{r}_1 - \mathbf{r}_2)] d^3k \end{aligned}$$

نخست  $f(x)$  زوج،  $f(x) = f(-x)$ ، را در نظر بگیرید. عبارت نمایی معادله (۲۲.۱۵) را به صورت مثلثاتی می‌نویسیم، داریم

$$g_c(\omega) = \frac{1}{\sqrt{2\pi}} \int_{-\infty}^{\infty} f_c(t) (\cos \omega t + i \sin \omega t) dt \quad (24.15)$$

$$= \sqrt{\frac{2}{\pi}} \int_0^{\infty} f_c(t) \cos \omega t dt$$

انتگرالی از جزء وابسته به  $\sin \omega t$ ، روی بازهٔ مقارن  $(-\infty, \infty)$  صفر می‌شود. به همین ترتیب از آنجا که  $\cos \omega t$  زوج است، معادله (۲۳.۱۵) به صورت زیر درمی‌آید

$$f_c(x) = \sqrt{\frac{2}{\pi}} \int_0^{\infty} g_c(\omega) \cos \omega x d\omega \quad (25.15)$$

معادلات (۲۴.۱۵) و (۲۵.۱۵) بد تبدیلهای کسینوس فوری به مشهورند.

تبدیل سینوس

در مورد  $f(x)$  فرد،  $f(x) = -f(-x)$ ، و با در نظر گرفتن استدلالهای تقارنی مشابه فوق، زوج تبدیلهای سینوس فوری متناظر بدست می‌آیند. این معادلات عبارت اند از

$$g_s(\omega) = \sqrt{\frac{2}{\pi}} \int_0^{\infty} f_s(t) \sin \omega t dt \quad (26.15)$$

$$f_s(x) = \sqrt{\frac{2}{\pi}} \int_0^{\infty} g_s(\omega) \sin \omega x d\omega \quad (27.15)$$

از معادلهٔ دوم می‌توان بدین تعبیر فیزیکی رسید که  $f(x)$  توسط پیوستاری از امواج سینوسی توصیف شده است. دامنهٔ  $\sin \omega x$  از رابطهٔ  $\sqrt{2/\pi} g_s(\omega)$  بدست می‌آید که در آن  $g_s(\omega)$  تبدیل سینوس فوری  $f_s(x)$  است. مشاهده می‌شود که معادله (۲۷.۱۵) مشابه انتگرالی مجموعی در معادله (۱۸.۱۴) است. تعبیرهای مشابهی هم برای حالت‌های نمایی و کسینوس به کار می‌رود.

اگر معادله‌های (۲۲.۱۵)، (۲۴.۱۵)، و (۲۶.۱۵) را تبدیلهای انتگرالی مستقیمی بگیریم که توسط  $\mathcal{F}$  در معادله (۱۰.۱۵) (بخش ۱.۱۵) توصیف شدند، تبدیلهای وارون متناظر، یعنی  $\mathcal{F}^{-1}$  در معادله (۱۱.۱۵) توسط معادلات (۲۳.۱۵)، (۲۵.۱۵)، و (۲۷.۱۵) بدست می‌آیند.

خاطر نشان کنیم که تبدیل‌های کسینوس فزریه و تبدیل‌های سینوس فزریه هر يك تنها حاوی مقادیر مثبت (وصفر) شناسه‌ها هستند. برای تثبیت این تبدیل‌ها از پارینه  $f(x)$  بهره گرفتیم، ولی پس از آنکه این تبدیل‌ها تثبیت شدند، رفتار  $f$  و  $g$  به‌ازای شناسه‌های منفی دیگر مطرح نیست. در واقع معادلات تبدیل، خودشان پارینه معینی وضع می‌کنند؛ زوج برای تبدیل کسینوس فزریه و فرد برای تبدیل سینوس فزریه.

مثال ۱۰۳۰۱۵ قطار موج متناهی

یکی از کاربردهای مهم تبدیل فزریه در تجزیه يك پالس متناهی به امواج سینوسی است. فرض کنید که يك قطار موج سینوسی نامتناهی  $\sin \omega_0 t$  را با استفاده از سلول کسر یا سلول رزینده‌ای اشباعی قطع کرده باشیم، به طوری که

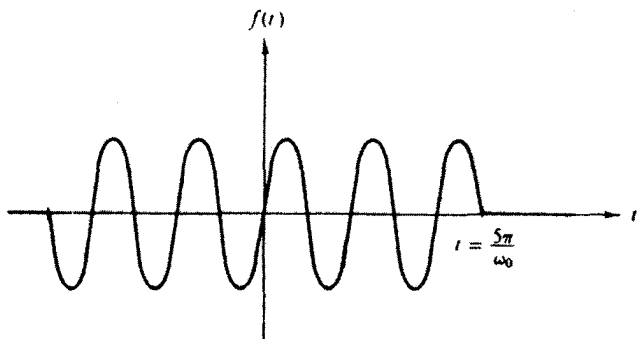
$$f(t) = \begin{cases} \sin \omega_0 t, & |t| < \frac{N\pi}{\omega_0} \\ 0, & |t| > \frac{N\pi}{\omega_0} \end{cases} \quad (28.15)$$

این روند متناظر است با  $N$  چرخه قطار موج اصلی (شکل ۲۰۱۵). از آنجا که  $f(t)$  فرد است، می‌توانیم از تبدیل سینوس فزریه [معادله (۲۶۰۱۵)] استفاده کنیم، خواهیم داشت

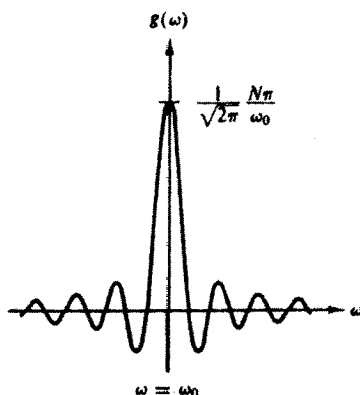
$$g_s(\omega) = \sqrt{\frac{2}{\pi}} \int_0^{N\pi/\omega_0} \sin \omega_0 t \sin \omega t dt \quad (29.15)$$

تابع دامنه‌را از طریق انتگرالگیری به صورت زیر به دست می‌آوریم

$$g_s(\omega) = \sqrt{\frac{2}{\pi}} \left[ \frac{\sin[(\omega_0 - \omega)(N\pi/\omega_0)]}{2(\omega_0 - \omega)} - \frac{\sin[(\omega_0 + \omega)(N\pi/\omega_0)]}{2(\omega_0 + \omega)} \right] \quad (30.15)$$



شکل ۲۰۱۵ قطار موج متناهی.



شکل ۳۰۱۵ تبدیل فوریه قطار موج متناهی.

این نکته بسیار اهمیت دارد که بینیم  $g_s(\omega)$  چگونه به بسامد وابسته است. به ازای مقادیر بزرگ  $\omega$  و  $\omega \approx \omega_0$ ، تنها، جمله اول اهمیت خواهد داشت. این جمله در شکل ۳۰۱۵ ترسیم شده است. این همان منحنی دامنه نقش پراش تک شکافی است. صفرهایی در نقاط زیر وجود دارند

$$\frac{\omega_0 - \omega}{\omega_0} = \frac{\Delta\omega}{\omega_0} = \pm \frac{1}{N}, \quad \pm \frac{2}{N}, \dots \quad (۳۰۱۵)$$

$g_s(\omega)$  را می توان به عنوان توزیع دلتای دیراک بخش ۷.۸ نیز تعبیر کرد. از آنجا که سهم مربوط به قسمتهای خارج از پیشینه مرکزی ناچیز است، می توانیم عبارت

$$\Delta\omega = \frac{\omega_0}{N} \quad (۳۲۰۱۵)$$

را مقیاس مناسبی از پخش بسامد در پالس موج به حساب آوریم. روشن است که اگر  $N$  بزرگ باشد (یک پالس بلند)، پخش بسامد کوچک خواهد بود. برعکس اگر پالس را کوتاه ببریم، توزیع بسامد بهتر خواهد شد.

#### اصل عدم قطعیت

اینک یک مشابه کلاسیکی برای اصل مشهور عدم قطعیت مکانیک کوانتومی به دست آورده ایم. در بررسی امواج الکترومغناطیسی داریم

$$\frac{h\omega}{2\pi} = E, \quad \text{انرژی (پالس موج یا فوتون)} \quad (۳۳۰۱۵)$$

$$\frac{h\Delta\omega}{2\pi} = \Delta E$$

$h$  ثابت پلانک است؛ این رابطه، عدم قطعیت را در انرژی پالس نمایش می‌دهد. در زمان نیز عدم قطعیتی وجود دارد، زیرا  $2N\pi/\omega_0$  ثانیه طول می‌کشد تا موج  $N$  چرخه‌ای ماعبور کند. با فرض اینکه

$$\Delta t = \frac{2N\pi}{\omega_0} \quad (۳۴.۱۵)$$

حاصلضرب این دو عدم قطعیت را به صورت زیر به دست می‌آوریم

$$\begin{aligned} \Delta E \cdot \Delta t &= \frac{h\Delta\omega}{2\pi} \cdot \frac{2\pi N}{\omega_0} \\ &= h \frac{\omega_0}{2\pi N} \cdot \frac{2\pi N}{\omega_0} = h \end{aligned} \quad (۳۵.۱۵)$$

در واقع بنا بر اصل عدم قطعیت هاینبرگ

$$\Delta E \cdot \Delta t \geq \frac{h}{4\pi} \quad (۳۶.۱۵)$$

وروشن است که این اصل در مثال ماصدق می‌کند.

### مسائل

۱۰۳.۱۵ (الف) نشان دهید که شرط لازم و کافی برای حقیقی بودن  $f(x)$  عبارت است از اینکه

$$g(-\omega) = g^*(\omega)$$

(ب) نشان دهید که شرط لازم و کافی برای موهومی محض بودن  $f(x)$ ، آن است

$$g(-\omega) = -g^*(\omega)$$

یادآوری. شرط بند (الف) در تشکیل روابط پاشندگی بخش ۴.۷ به کار می‌رود.

۲۰۳.۱۵ فرض کنید که  $F(\omega)$  تبدیل (نمایی) فوریه  $f(x)$  و  $G(\omega)$  تبدیل فوریه

$$g(x) = f(x+a)$$

$$G(\omega) = e^{-ia\omega} F(\omega)$$

۳۰۳.۱۵ تابع

$$f(x) = \begin{cases} 1, & |x| < 1 \\ 0, & |x| > 1 \end{cases}$$

یک تابع پله‌ای متناهی متقارن است.

- (الف) مطلوب است محاسبه  $g_c(\omega)$ ؛ تبدیل کسینوس فوریه  $f(x)$ .
- (ب) با محاسبه تبدیل وارون کسینوس نشان دهید

$$f(x) = \frac{1}{\pi} \int_0^{\infty} \frac{\sin \omega \cos \omega x}{\omega} d\omega$$

(ج) با استفاده از بند (ب) نشان دهید

$$\int_0^{\infty} \frac{\sin \omega \cos \omega x}{\omega} d\omega = \begin{cases} 0, & |x| > 1 \\ \frac{\pi}{2}, & |x| = 1 \\ \frac{\pi}{2}, & |x| < 1 \end{cases}$$

۴.۳.۱۵ (الف) نشان دهید که تبدیلهای کسینوس و سینوس فوریه  $e^{-ax}$  عبارت‌اند از

$$g_s(\omega) = \sqrt{\frac{2}{\pi}} \frac{\omega}{\omega^2 + a^2}$$

$$g_c(\omega) = \sqrt{\frac{2}{\pi}} \frac{a}{\omega^2 + a^2}$$

دانهمایی. هر یک از این تبدیلهارا می‌توان به کمک انتگرالگیری جزء به جزء به تبدیل دیگر مربوط کرد.  
(ب) نشان دهید

$$\int_0^{\infty} \frac{\omega \sin \omega x}{\omega^2 + a^2} d\omega = \frac{\pi}{2} e^{-ax}, \quad x > 0$$

$$\int_0^{\infty} \frac{\cos \omega x}{\omega^2 + a^2} d\omega = \frac{\pi}{2a} e^{-ax}, \quad x > 0$$

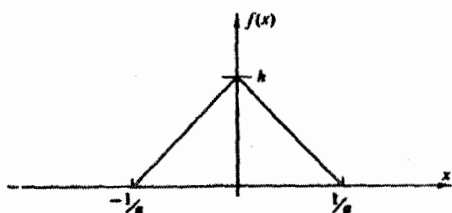
این نتایج را می‌توان از طریق انتگرال پربندی نیز به دست آورد (مسئله ۱۴.۲.۷).

۵.۳.۱۵ تبدیل فوریه پالس مثلثی زیر را پیدا کنید

$$f(x) = \begin{cases} h(1 - a|x|), & |x| < 1/a \\ 0, & |x| > 1/a \end{cases}$$



یادآوری. این تابع به ازای  $h = a$  و  $a \rightarrow \infty$ ، دنباله دلتای دیگری را به دست می‌دهد.



۶۰۳۰۱۵ می‌توان دنباله زیر را تعریف کرد

$$\delta_n(x) = \begin{cases} n, & |x| < 1/2n \\ 0, & |x| > 1/2n \end{cases}$$

[این معادله (۱۰۸.۸) است].  $\delta_n(x)$  را (توسط قضیه انتگرال فوریه، تبدیل وارون، و جز اینها) به صورت یک انتگرال فوریه مشخص کنید. سرانجام نشان دهید که می‌توانیم بنویسیم

$$\delta(x) = \lim_{n \rightarrow \infty} \delta_n(x) = \frac{1}{2\pi} \int_{-\infty}^{\infty} e^{-ikx} dk$$

۷۰۳۰۱۵ با استفاده از دنباله

$$\delta_n(x) = \frac{n}{\sqrt{\pi}} \exp(-n^2 x^2)$$

نشان دهید که

$$\delta(x) = \frac{1}{2\pi} \int_{-\infty}^{\infty} e^{-ikx} dk$$

یادآوری. به خاطر داشته باشید که  $\delta(x)$  بر حسب رفتارش به عنوان بخشی از یک انتگرال دهه، بخش ۷.۸، خصوصاً معادلات (۱۱۴.۸) و (۱۱۵.۸) تعریف می‌شود.

۸۰۳۰۱۵ نمایشهای سینوسی و کسینوسی  $\delta(t-x)$  را که با نمایش نمایی در معادله (۲۱.۱۵) قابل مقایسه باشند، به دست آورید.

$$\text{پاسخ. } \frac{\gamma}{\pi} \int_0^{\infty} \cos \omega t \cos \omega x d\omega, \quad \frac{\gamma}{\pi} \int_0^{\infty} \sin \omega t \sin \omega x d\omega$$

۹۰۳۰۱۵ نوسان الکترومغناطیسی با بسامد  $\omega$  در یک کاواک مشدد به صورت زیر میرا می شود

$$A(t) = A_0 e^{-\omega_0 t / 2Q} e^{-i\omega_0 t}, \quad t > 0$$

$A(t)$  را به ازای  $t < 0$  برابر صفر بگیرد. پارامتر  $Q$  مقیاسی است از نسبت انرژی ذخیره شده به انرژی تلف شده در هر چرخه. توزیع بسامد نوسان،  $a^*(\omega)a(\omega)$  را محاسبه کنید،  $a(\omega)$  عبارت است از تبدیل فوریه  $A(t)$ . یادآوری. هرچه  $Q$  بزرگتر باشد، خط تشدید تیزتر خواهد بود.

$$\text{پاسخ. } a^*(\omega)a(\omega) = \frac{A_0^2}{2\pi} \frac{1}{(\omega - \omega_0)^2 + (\omega_0/2Q)^2}$$

۹۰۳۰۱۵ ثابت کنید که

$$\frac{\hbar}{2\pi i} \int_{-\infty}^{\infty} \frac{e^{-i\omega t} d\omega}{E_0 - i\Gamma/2 - \hbar\omega} = \begin{cases} \exp(-\Gamma t/2\hbar) \exp(-iE_0 t/\hbar), & t > 0 \\ 0, & t < 0 \end{cases}$$

این انتگرال فوریه در مسائل گوناگونی در مکانیک کوانتومی پدیدار می شود: نفوذ سد WKB، پراکندگی، نظریه اختلال وابسته به زمان، و غیره. راهنمایی. انتگرالگیری پر بندی را به کار برید.

۱۱۰۳۰۱۵ تحقیق کنید که عبارات زیر تبدیلهای انتگرالی فوریه یکدیگرند

$$J_0(ay), \begin{cases} \sqrt{\frac{\gamma}{\pi}} \cdot \frac{1}{\sqrt{a^2 - x^2}}, & |x| < a \quad (\text{الف}) \\ 0, & |x| > a \end{cases}$$

$$N_0(a|y|), \begin{cases} 0, & |x| < a \quad (\text{ب}) \\ -\sqrt{\frac{\gamma}{\pi}} \cdot \frac{1}{\sqrt{x^2 - a^2}}, & |x| > a \end{cases}$$

$$K_0(a|y|) \text{ و } \sqrt{\frac{\pi}{\gamma}} \cdot \frac{1}{\sqrt{x^2 + a^2}} \quad (\text{ج})$$

(د) آیا می‌توانید بگویید که چرا  $I_0(ay)$  در این سیاهه وارد نشده است؟  
 راهنمایی.  $J_0$ ،  $N_0$ ، و  $K_0$  را با استفاده از نمایش انتگرالی، معکوس کردن ترتیب  
 انتگرالگیری، و به‌کارگیری شکل نمایی تابع دلتای دیراک (بخش ۲.۱۵) می‌توان به آسانی  
 تبدیل کرد. این موارد را می‌توان به صورت تبدیلهای کسینوسی فوریه نیز بررسی کرد.  
 یادآوری. رابطه  $K$  به صورت پیامدی از معادله تابع گسین در مسئله ۱۴.۶.۱۶  
 پدیدار می‌شود.

۱۴.۳.۱۵ محاسبه میدان مغناطیسی یک حلقه جریان دایره‌ای در مختصات استوانه‌ای  
 به انتگرال زیر می‌انجامد

$$\int_0^{\infty} \cos kz k K_1(ka) dk$$

نشان دهید که این انتگرال عبارت است از

$$\frac{\pi a}{2(z^2 + a^2)^{3/2}}$$

راهنمایی. از عبارت مربوط به مسئله ۱۱.۳.۱۵ (ج) مشتق بگیرید.

۱۴.۳.۱۵ به‌عنوان تعمیمی از مسئله ۱۱.۳.۱۵، نشان دهید:

$$\int_0^{\infty} J_0(y) dy = 1 \quad (\text{الف})$$

$$\int_0^{\infty} N_0(y) dy = 0 \quad (\text{ب})$$

$$\int_0^{\infty} K_0(y) dy = \frac{2}{\pi} \quad (\text{ج})$$

۱۴.۳.۱۵ انتگرال فوریه، معادله (۱۸.۱۵)، در حالت  $f(t) = \cos at$  بی‌معنی است.  
 با بهره‌گیری از تابع دلتای دیراک، نشان دهید که انتگرال فوریه را می‌توان تعمیم داد تا  
 تابع  $f(t) = \cos at$  را نیز شامل شود.

۱۵.۳.۱۵ نشان دهید که

$$\int_0^{\infty} \sin ka J_0(k\rho) dk = \begin{cases} (a^2 - \rho^2)^{-1/2}, & \rho < a \\ 0, & \rho > a \end{cases}$$

در اینجا  $a$  و  $\rho$  مثبت‌اند. این معادله در تعیین توزیع بار روی یک قرص رسانای منزوی

به شعاع  $a$ ، به دست می آید.

توجه کنید که تابع سمت راست يك ناپیوستگی نامتناهی در  $\rho = a$  دارد. یادآوری. روشی مبتنی بر استفاده از تبدیل لاپلاس در مسئله ۸.۱۵.۱۵ ظاهر می شود.

۱۶.۳.۱۵ تابع  $f(\mathbf{r})$  دارای تبدیل نمایی فوری به شکل زیر است

$$g(\mathbf{k}) = \frac{1}{(2\pi)^{3/2}} \int f(\mathbf{r}) e^{i\mathbf{k}\cdot\mathbf{r}} d^3x = \frac{1}{(2\pi)^{3/2} k^2}$$

$f(\mathbf{r})$  را تعیین کنید.

دانهمایی. در فضای  $k$  از مختصات قطبی کروی استفاده کنید.

$$f(\mathbf{r}) = \frac{1}{4\pi r} \text{ پاسخ}$$

۱۷.۳.۱۵ (الف) تبدیل نمایی فوری  $f(x) = e^{-a|x|}$  را محاسبه کنید.

(ب) تبدیل وارون را با به کار بستن حساب مانده ها (بخش ۲.۷) محاسبه کنید.

۱۸.۳.۱۵ نشان دهید که توابع زیر تبدیل فوری یکدیگرند

$$i^n J_n(t) \text{ و } \begin{cases} \sqrt{\frac{2}{\pi}} T_n(x) (1-x^2)^{-1/2}, & |x| < 1 \\ 0, & |x| > 1 \end{cases}$$

$T_n(x)$  چندجمله ای مرتبه  $n$ م چیشف است.

دانهمایی. با توجه به تساوی،  $T_n(\cos \theta) = \cos n\theta$ ، تبدیل  $T_n(x)(1-x^2)^{-1/2}$

به يك نمایش انتگرالی  $J_n(t)$  می انجامد.

۱۹.۳.۱۵ نشان دهید که تبدیل نمایی فوری

$$f(\mu) = \begin{cases} P_n(\mu), & |\mu| \leq 1 \\ 0, & |\mu| > 1 \end{cases}$$

برابر است با  $(2i^n / \sqrt{2\pi}) j_n(kr) \cdot P_n(\mu)$  چندجمله ای لژاندر  $j_n(kr)$  تابع کروی بسل است.

۲۰.۳.۱۵ نشان دهید که تبدیل نمایی سه بعدی فوری يك تابع با تقارن شعاعی را می توان

به صورت يك تبدیل سینوسی فوری نوشت

$$\frac{1}{(\sqrt{2\pi})^{3/2}} \int_{-\infty}^{\infty} f(r) e^{ik \cdot r} d^3r = \frac{1}{k} \sqrt{\frac{2}{\pi}} \int_0^{\infty} [rf(r)] \sin kr dr.$$

۲۱۰۳.۱۵ الف) نشان دهید که  $f(x) = x^{-1/2}$  تحت هر دو تبدیل سینوس و کسینوس فوریه خود-وارون است؛ یعنی

$$\sqrt{\frac{2}{\pi}} \int_0^{\infty} x^{-1/2} \cos xt dx = t^{-1/2}$$

$$\sqrt{\frac{2}{\pi}} \int_0^{\infty} x^{-1/2} \sin xt dx = t^{-1/2}$$

ب) از نتیجه بند الف) برای محاسبه انتگرالهای فرنل  $\int_0^{\infty} \cos(y^2) dy$  و  $\int_0^{\infty} \sin(y^2) dy$  استفاده کنید.

### ۴.۱۵ تبدیل فوریه مشتقها

در شکل ۴.۱۵، بخش ۴.۱۵، شگردهای کلی مربوط به استفاده از تبدیلهای فوریه و تبدیلهای وارون برای حل يك مسئله جمعبندي شده است. در اینجا به مرحله اصلی در حل يك معادله دیفرانسیل، یعنی یافتن تبدیل فوریه يك مشتق، می پردازیم.  
تبدیل فوریه  $f(x)$  با استفاده از صورت نمایی عبارت است از

$$g(\omega) = \frac{1}{\sqrt{2\pi}} \int_{-\infty}^{\infty} f(x) e^{i\omega x} dx \quad (۳۷.۱۵)$$

و تبدیل فوریه  $df(x)/dx$  عبارت است از

$$g_1(\omega) = \frac{1}{\sqrt{2\pi}} \int_{-\infty}^{\infty} \frac{df(x)}{dx} e^{i\omega x} dx \quad (۳۸.۱۵)$$

از طریق انتگرالگیری جزء به جزء از معادله (۳۸.۱۵)، داریم

$$g_1(\omega) = \frac{e^{i\omega x} f(x)}{\sqrt{2\pi}} \Big|_{-\infty}^{\infty} - \frac{i\omega}{\sqrt{2\pi}} \int_{-\infty}^{\infty} f(x) e^{i\omega x} dx \quad (۳۹.۱۵)$$

اگر  $f(x)$  در  $x \rightarrow \pm\infty$  صفر شود، داریم

$$g_1(\omega) = -i\omega g(\omega) \quad (۴۰.۱۵)$$

۱. جز در مواردی نظیر مسئله ۴.۳.۱۵،  $f(x)$  باید در  $x \rightarrow \pm\infty$  صفر شود تا آنکه تبدیل فوریه  $f(x)$  وجود داشته باشد.

یعنی تبدیل مشتق،  $(-i\omega)$  برابر تبدیل تابع اصلی است. این موضوع را می توان به آسانی برای مشتق  $n$ ام تعمیم داد و نوشت

$$g_n(\omega) = (-i\omega)^n g(\omega) \quad (۴۱.۱۵)$$

مشروط بر آنکه همه اجزای انتگرالگیری شده در  $\pm\infty \rightarrow x$  صفر شوند. این امر نقطه قدرت تبدیل فوریه است و به همین دلیل است که تبدیل فوریه در حل معادلات دیفرانسیل (جزئی) چنین سودمند است. يك عمل ضرب به جای عمل مشتقگیری نشسته است.

مثال ۱۰۳.۱۵ معادله موج

استفاده از این شگرد در معادلات دیفرانسیل جزئی سودمند است. برای آنکه این شگرد را نمایش دهیم عبارت آشنایی را در فیزیک پایه استخراج می کنیم. ریسمانی به طول نامتناهی آزادانه ارتعاش می کند. دامنه ارتعاشهای (کوچک) آن،  $y$ ، در معادله موج زیر صدق می کند

$$\frac{\partial^2 y}{\partial x^2} = \frac{1}{v^2} \frac{\partial^2 y}{\partial t^2} \quad (۴۲.۱۵)$$

شرط اولیه زیر را در نظر می گیریم

$$y(x, 0) = f(x) \quad (۴۳.۱۵)$$

با بهره گیری از تبدیل فوریه، یعنی ضرب کردن در  $e^{i\alpha x}$  و انتگرال گرفتن روی  $x$ :

داریم

$$\int_{-\infty}^{\infty} \frac{\partial^2 y(x, t)}{\partial x^2} e^{i\alpha x} dx = \frac{1}{v^2} \int_{-\infty}^{\infty} \frac{\partial^2 y(x, t)}{\partial t^2} e^{i\alpha x} dx \quad (۴۴.۱۵)$$

یا

$$(-i\alpha)^2 Y(\alpha, t) = \frac{1}{v^2} \frac{\partial^2 Y(\alpha, t)}{\partial t^2} \quad (۴۵.۱۵)$$

در اینجا از رابطه

$$Y(\alpha, t) = \frac{1}{\sqrt{2\pi}} \int_{-\infty}^{\infty} y(x, t) e^{i\alpha x} dx \quad (۴۶.۱۵)$$

و معادله (۴۱.۱۵) برای مشتق دوم استفاده کرده ایم. توجه کنید که قسمت انتگرالگیری شده معادله (۳۹.۱۵) صفر می شود. موج هنوز به  $\infty$  نرسیده است. از آنجا که هیچ مشتقی نسبت

به  $\alpha$  وجود ندارد، معادله (۴۵.۱۵) عملاً یک معادله دیفرانسیل معمولی - در واقع معادله نوسانگر خطی - است. این تبدیل از یک معادله دیفرانسیل جزئی به یک معادله دیفرانسیل معمولی گام بلندی است. معادله (۴۵.۱۵) را در شرایط اولیه مناسب حل می‌کنیم. معادله (۴۶.۱۵)، در  $t = 0$ ، با به کار بردن معادله (۴۳.۱۵)، به صورت زیر ساده می‌شود

$$Y(\alpha, 0) = \frac{1}{\sqrt{2\pi}} \int_{-\infty}^{\infty} f(x) e^{i\alpha x} dx$$

$$(47.15)$$

$$= F(\alpha)$$

جواب عمومی معادله (۴۵.۱۵)، به صورت نمایی عبارت است از

$$Y(\alpha, t) = F(\alpha) e^{\pm i t \alpha t}$$

$$(48.15)$$

با استفاده از فرمول وارونی [معادله (۲۳.۱۵)]، داریم

$$y(x, t) = \frac{1}{\sqrt{2\pi}} \int_{-\infty}^{\infty} Y(\alpha, t) e^{-i\alpha x} d\alpha$$

$$(49.15)$$

و با استفاده از معادله (۴۸.۱۵) داریم

$$y(x, t) = \frac{1}{\sqrt{2\pi}} \int_{-\infty}^{\infty} F(\alpha) e^{-i\alpha(x \mp vt)} d\alpha$$

$$(50.15)$$

از آنجا که  $f(x)$  تبدیل وارونی فوریه  $F(\alpha)$  است، داریم

$$y(x, t) = f(x \mp vt)$$

$$(51.15)$$

این عبارت متناظر با امواجی است که به ترتیب در جهتهای  $+x$  و  $-x$  پیش می‌روند.

شرط مرزی، معادله (۴۳.۱۵)، و شرط مرزی دیگری، مثلاً قیدی روی  $\partial y / \partial t$ ،

ترکیب خطی خاصی از این امواج را که جواب مسئله است تعیین می‌کنند.

در اینجا، در خاتمه بحث تبدیل فوریه، نکته‌ای شایان تأکید است. تبدیل فوریه، یک

معادله دیفرانسیل جزئی را به یک معادله دیفرانسیل معمولی تبدیل کرد، که در نتیجه "درجه غیر

جبری بودن" مسئله کاهش یافت. در بخش ۹.۱۵، برای تبدیل معادلات دیفرانسیل معمولی

(با ضرایب ثابت) به معادلات جبری، از تبدیل لاپلاس استفاده می‌شود. باز هم درجه غیر جبری

بودن کاهش می‌یابد. مسئله، همان‌طور ساده می‌شود که در شکل ۱۰.۱۵ جمع‌بندی شد.

## مسائل

۱۰.۳.۱۵ معادله یک بعدی عمر فرمی دربارهٔ بخش نوترونیایی که در محیطی (مانند گرافیت)

کند می‌شوند به صورت زیر است

$$\frac{\partial^2 q(x, \tau)}{\partial x^2} = \frac{\partial q(x, \tau)}{\partial \tau}$$

در اینجا  $q$  تعداد نوترونهايي در واحد حجم است که در هر ثانیه کند می‌شوند، و انرژی آنها از مقدار معینی کمتر می‌شود.  $\tau$ ، عمر فرمی، مقیاسی است از اتلاف انرژی.

اگر  $q(x, 0) = S\delta(x)$  متناظر با يك چشمه نوترونی تخت در  $x=0$  باشد که  $S$  نوترون به ازای واحد سطح در هر ثانیه گسیل می‌کند، جواب زیر را استخراج کنید

$$q = S \frac{e^{-x^2/4\tau}}{\sqrt{4\pi\tau}}$$

دانهایی. به جای  $q(x, \tau)$  عبارت زیر را قرار دهید

$$p(k, \tau) = \frac{1}{\sqrt{4\pi\tau}} \int_{-\infty}^{\infty} q(x, \tau) e^{ikx} dx$$

این عمل مشابه پخش گرما در محیطی نامتناهی است.

۲۰۴.۱۵ از معادله (۲۱.۱۵)، تبدیل فوریۀ مشتق دوم  $f(x)$  را به صورت زیر به دست می‌آوریم

$$g_2(\omega) = -\omega^2 g(\omega)$$

می‌توان در مورد شرط  $f(x) \rightarrow 0$  به ازای  $x \rightarrow \pm\infty$ ، اندکی تساهل به خرج داد. کمترین شرط محدود کننده‌ای را بیابید که لازمه برقراری معادله بالا برای  $g_2(\omega)$  است.

$$\left[ \frac{df(x)}{dx} - i\omega f(x) \right] e^{i\omega x} \Big|_{-\infty}^{\infty} = 0. \text{ پاسخ.}$$

۲۰۴.۱۵ معادله پخش يك بعدی نوترون با يك چشمه (تخت) به صورت زیر است

$$-D \frac{d^2 \varphi(x)}{dx^2} + K^2 \varphi(x) = Q \delta(x)$$

که در آن  $\varphi(x)$  شار نوترون،  $Q\delta(x)$  چشمه (تخت) در  $x=0$ ، و  $D$  و  $K^2$  ثابت اند. تبدیل فوریه را به کار ببرید. معادله را در فضای تبدیل حل کنید. جواب خود را به فضای  $x$  ببرید.

$$\text{پاسخ. } \varphi(x) = \frac{Q}{2KD} e^{-|Kx|}$$



۴.۴.۱۵ الف معادلهٔ پخش سه بعدی نوترون برای چشمه نقطه‌ای واقع در مبدأ به صورت زیر درمی آید

$$-D\nabla^2\varphi(\mathbf{r}) + K^2\varphi(\mathbf{r}) = Q\delta(\mathbf{r})$$

تبدیل سه بعدی فوریه را به کار ببندید. معادلهٔ تبدیل یافته را حل کنید. جواب را به فضای  $\mathbf{r}$  تبدیل کنید.

۴.۴.۱۵ الف) با فرض آنکه  $F(\mathbf{k})$  تبدیل سه بعدی فوریهٔ  $f(\mathbf{r})$  و  $F_1(\mathbf{k})$  تبدیل سه بعدی فوریهٔ  $\nabla f(\mathbf{r})$  باشد، نشان دهید که

$$F_1(\mathbf{k}) = (-ik)F(\mathbf{k})$$

این عبارت تعمیم سه بعدی معادلهٔ (۴۰.۱۵) بدشمار می آید.  
(ب) نشان دهید که تبدیل سه بعدی فوریهٔ  $\nabla \cdot \nabla f(\mathbf{r})$  عبارت است از

$$F_\nabla(\mathbf{k}) = (-ik)^2 F(\mathbf{k})$$

یادآوری.  $\mathbf{k}$  بردار یک در امتداد محور  $z$  نیست. این بردار، برداری است در فضای تبدیل. در بخش ۶.۱۵ عبارت  $\hbar\mathbf{k} = \mathbf{p}$ ، تکانهٔ خطی، را نیز خواهیم داشت.

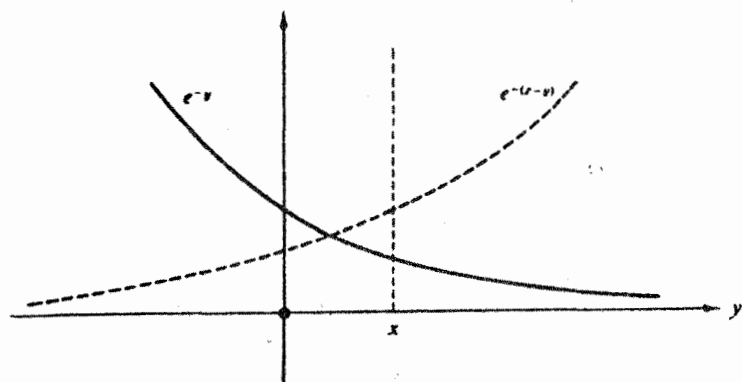
### ۵.۱۵ قضیهٔ پیچش

پیچشها را برای حل معادلات دیفرانسیل، بهنجارش تابع موجهای تکانه (بخش ۶.۱۵)، و بررسی توابع انتقال (بخش ۷.۱۵) به کار می بریم.  
دو تابع  $f(x)$  و  $g(x)$  و تبدیل فوریهٔ آنها را که بدترتیب عبارت است از  $F(t)$  و  $G(t)$  در نظر بگیرد. عمل زیر را تحت عنوان پیچش دو تابع  $f$  و  $g$  روی بازهٔ  $(-\infty, \infty)$  تعریف می کنیم

$$f * g \equiv \frac{1}{\sqrt{2\pi}} \int_{-\infty}^{\infty} g(y)f(x-y)dy \quad (52.15)$$

این قبیل انتگرالها در نظریهٔ احتمال برای تعیین چگالی احتمال دو متغیر مستقل کاتوره‌ای ظاهر می شوند. جواب معادلهٔ پواسون، معادلهٔ (۹۹.۸)، را می توان به عنوان پیچش توزیع بار  $\rho(\mathbf{r}_2)$  و تابع وزنی  $(4\pi\epsilon_0|\mathbf{r}_1 - \mathbf{r}_2|)^{-1}$  تعبیر کرد. در برخی نوشتارها، پیچش را فالتونگ: "Faltung" نامیده اند، فالتونگ واژهٔ آلمانی به معنای "تا کردن" است. اینک انتگرال معادلهٔ (۵۲.۱۵) را با معرفی تبدیلهای فوریهٔ زیر تبدیل می کنیم

۱.  $f(y)$  و  $f(x-y)$  برای تابع  $f(y) = e^{-y}$  در شکل ۴.۱۵ ترسیم شده اند. روشن است که  $f(x-y)$  و  $f(y)$  نسبت به خط قائم  $y = x/2$  تصویر آینه‌ای یکدیگرند، یعنی می توانستیم با تا کردن  $f(y)$  حول خط  $y = x/2$ ،  $f(x-y)$  را ایجاد کنیم.



شکل ۴.۱۵

$$\begin{aligned} \int_{-\infty}^{\infty} g(y)f(x-y)dy &= \frac{1}{\sqrt{2\pi}} \int_{-\infty}^{\infty} g(y) \int_{-\infty}^{\infty} F(t)e^{-it(x-y)} dt dy \\ &= \frac{1}{\sqrt{2\pi}} \int_{-\infty}^{\infty} F(t) \left[ \int_{-\infty}^{\infty} g(y) e^{ity} dy \right] e^{-itx} dt \\ &= \int_{-\infty}^{\infty} F(t)G(t)e^{-itx} dt \end{aligned} \quad (53.15)$$

که در آن ترتیب انتگرالگیری را تعویض و  $g(y)$  را تبدیل کرده‌ایم. این نتیجه را می‌توان بدصورت زیر تعبیر کرد: تبدیل وارون فوریۀ حاصلضرب تبدیلهای فوریۀ برابر است با پیچش توابع اصلی، یعنی  $f * g$  در مورد خاص  $x=0$  داریم

$$\int_{-\infty}^{\infty} F(t)G(t)dt = \int_{-\infty}^{\infty} f(-y)g(y)dy \quad (54.15)$$

علامت منفی در  $y$  — طلب می‌کند که تغییرهایی را پدید آوریم. اکنون این کار را با استفاده از شگرد متفاوتی دربارهٔ  $g$  به جای  $f$  انجام خواهیم داد.

#### رابطهٔ پارسوال

برای تبدیلهای سینوس و کسینوس فوریۀ نیز می‌توان روابطی مشابه معادلات (53.15) و (54.15) استخراج کرد (مسائل 1.5.15 و 2.5.15). معادلهٔ (54.15) و پیچشهای سینوس

و کسینوس متناظر را غالباً، در تشابه با قضیهٔ پارسوال دربارهٔ سری فوریه (فصل ۱۴، مسئله ۲۰۴.۱۴)، روابط "پارسوال" می‌خوانند.

رابطهٔ پارسوال<sup>۱</sup> زیر را می‌توان به نحوی بسیار زیبا با استفاده از نمایش تابع دلتای دیراک، معادلهٔ (۲۱.۱۵) د، استخراج کرد

$$\int_{-\infty}^{\infty} F(\omega) G^*(\omega) d\omega = \int_{-\infty}^{\infty} f(t) g^*(t) dt \quad (55.15)$$

داریم

$$\int_{-\infty}^{\infty} f(t) g^*(t) dt = \int_{-\infty}^{\infty} \frac{1}{\sqrt{2\pi}} \int_{-\infty}^{\infty} F(\omega) e^{-i\omega t} d\omega \cdot \frac{1}{\sqrt{2\pi}} \int_{-\infty}^{\infty} G^*(x) e^{ixt} dx dt \quad (56.15)$$

که در آن از تبدیل  $g(t)$  همیوگ مختلط گرفته شده است. ابتدا روی  $t$  انتگرال می‌گیریم و با استفاده از معادلهٔ (۲۱.۱۵) د به دست می‌آوریم

$$\begin{aligned} \int_{-\infty}^{\infty} f(t) g^*(t) dt &= \int_{-\infty}^{\infty} F(\omega) \int_{-\infty}^{\infty} G^*(x) \delta(x - \omega) dx d\omega \\ &= \int_{-\infty}^{\infty} F(\omega) G^*(\omega) d\omega \end{aligned} \quad (57.15)$$

که همان رابطهٔ پارسوال مطلوب است. اگر داشته باشیم:  $f(t) = g(t)$ ، آنگاه انتگرال‌های رابطهٔ پارسوال، همان انتگرال‌های بهنجارش خواهند بود (بخش ۴.۹). معادلهٔ (۵۷.۱۵) تضمین می‌کند که اگر تابع  $f(t)$  به واحد بهنجار باشد، تبدیل آن هم،  $F(\omega)$ ، بديك بهنجار خواهد بود. این نکته، همان‌طور که در بخش بعد تشریح خواهد شد، در مکانیک کوانتومی اهمیت بسیار زیادی دارد.

می‌توان نشان داد که تبدیل فوریه (در فضای هیلبرت  $L^2$ ، یا فضای توابع انتگرال‌پذیر مجذوری) عملی است یکانی. رابطهٔ پارسوال بازتاب همین خاصیت یکانی بودن است. شبیه به آنچه در مسئلهٔ ۲۶.۵.۴ برای ماتریسها داشتیم.

در نورشناخت پراش فرانئو فر، (دامنهٔ) نقش پراش به صورت تبدیل تابعی که روزنه را توصیف می‌کند ظاهر می‌شود (بامسئلهٔ ۵.۵.۱۵ مقایسه کنید). با توجه به اینکه شدت بامجذور دامنه متناسب است، رابطهٔ پارسوال بر این نکته اشاره می‌کند که به نظر می‌رسد انرژی که از روزنه عبور می‌کند در جایی از نقش پراش وجود دارد (بیان پایستگی انرژی).

۱. توجه کنید که برخلاف معادلهٔ (۵۴.۱۵)، در اینجا همهٔ شناسه‌ها مثبت‌اند. بعضی از مؤلفان ترجیح می‌دهند که اسم پارسوال را تنها برای سریها به کار برند و معادلهٔ (۵۵.۱۵) را قضیهٔ ریلی می‌خوانند.

روابط پارسوال را می توان مستقل از تبدیل فوریه برقرار، آنگاه از آنها برای استخراج دقیق تبدیل وارون استفاده کرد. مشروح این عمل در بخش ۸.۴ کتاب مورس و فشاخ آمده است (همچنین مسئله ۴.۵.۱۵ را ببینید).

مسائل

۱.۵.۱۵ معادلهٔ پیچش مناظر با معادلهٔ (۵۳.۱۵) را در حالت های زیر به دست آورید (الف) تبدیلهای سینوس فوریه

$$\frac{1}{2} \int_{-\infty}^{\infty} g(y) f(x-y) dy = - \int_0^{\infty} F_s(s) G_s(s) \cos sx ds$$

که در آن  $f$  و  $g$  توابعی فردند.  
(ب) تبدیلهای کسینوس فوریه

$$\frac{1}{2} \int_{-\infty}^{\infty} g(y) f(x-y) dy = - \int_0^{\infty} F_c(s) G_c(s) \cos sx ds$$

که در آن  $f$  و  $g$  توابعی زوج اند.

۲.۵.۱۵  $F(\rho)$  و  $G(\rho)$  بدترتیب تبدیلهای هنکل  $f(r)$  و  $g(r)$  هستند (مسئله ۱.۱.۱۵). رابطهٔ پارسوال تبدیل هنکل را استخراج کنید

$$\int_0^{\infty} F^*(\rho) G(\rho) \rho d\rho = \int_0^{\infty} f^*(r) g(r) r dr$$

۳.۵.۱۵ نشان دهید که رابطهٔ پارسوال برای هر دو تبدیل سینوس و کسینوس فوریه به صورت زیر است

$$\int_0^{\infty} F(t) G(t) dt = \int_0^{\infty} f(y) g(y) dy$$

۴.۵.۱۵ از رابطهٔ پارسوال [معادلهٔ (۵۴.۱۵)] شروع کنید و در بازهٔ  $0 \leq y \leq \alpha$  قرار دهید:  $g(y) = 1$ ، و در جاهای دیگر قرار دهید  $g(y) = 0$ . آنگاه تبدیل وارون فوریه [معادلهٔ (۲۳.۱۵)] را استخراج کنید.

(ا) راهنمایی. نسبت به  $\alpha$  مشتق بگیرید.

۵۰۵.۱۵ (الف) يك پالس مستطیلی با تابع زیر توصیف می شود

$$f(x) = \begin{cases} 1, & |x| < a \\ 0, & |x| > a \end{cases}$$

نشان دهید که تبدیل نمایی فوریه عبارت است از

$$F(t) = \sqrt{\frac{2}{\pi}} \frac{\sin at}{t}$$

این همان مسئله پراش تک شکاف در نورشناخت فیزیکی است. شکاف به کمک تابع  $f(x)$  توصیف می شود. دامنه نقش پراش توسط تبدیل فوریه،  $F(t)$ ، داده می شود.  
(ب) با استفاده از رابطه پارسوال انتگرال زیر را محاسبه کنید

$$\int_{-\infty}^{\infty} \frac{\sin^2 t}{t^2} dt$$

این انتگرال را می توان با استفاده از حساب مانده ها (مسئله ۱۲.۲.۷) محاسبه کرد.

پاسخ. (ب)  $\pi$ .

۶۰۵.۱۵ معادله پواسون  $\nabla^2 \psi(\mathbf{r}) = -\rho(\mathbf{r})/\epsilon_0$  را با دنبال کردن سلسله عملیات زیر حل کنید:

(الف) از دو طرف این معادله تبدیل فوریه بگیرید. تبدیل فوریه  $\psi(\mathbf{r})$  را از معادله حاصل به دست آورید.

(ب) با استفاده از مشابه سه بعدی قضیه پیچش، معادله (۵۳.۱۵)، تبدیل وارون فوریه را انجام دهید.

۷۰۵.۱۵ (الف) با داشتن  $f(x) = 1 - |x/2|$  در بازه  $-2 \leq x \leq 2$  و  $f(x) = 0$  در جاهای دیگر، نشان دهید که تبدیل فوریه  $f(x)$  عبارت است از  $F(t) = \sqrt{2/\pi} (\sin t/t)^2$ .  
(ب) با استفاده از رابطه پارسوال، انتگرال زیر را محاسبه کنید

$$\int_{-\infty}^{\infty} \left( \frac{\sin t}{t} \right)^4 dt$$

پاسخ. (ب)  $\frac{2\pi}{3}$ .

۸.۵.۱۵  $F(t)$  و  $G(t)$  به ترتیب تبدیلهای فوریۀ  $f(x)$  و  $g(x)$  به شمار می آیند. نشان دهید که

$$\int_{-\infty}^{\infty} |f(x) - g(x)|^2 dx = \int_{-\infty}^{\infty} |F(t) - G(t)|^2 dt$$

اگر  $g(x)$  تقریبی برای  $f(x)$  باشد. رابطه بالانشان می دهد که انحراف میانگین مربعی در فضای  $t$  با انحراف میانگین مربعی در فضای  $x$  برابر است.

۹.۵.۱۵ از رابطه پارسوال برای محاسبۀ انتگرالهای زیر استفاده کنید

$$\int_0^{\infty} \frac{d\omega}{(\omega^2 + a^2)^2} \quad (\text{الف})$$

$$\int_0^{\infty} \frac{\omega^2 d\omega}{(\omega^2 + a^2)^2} \quad (\text{ب})$$

دهنمایی. با مسئله ۴.۳.۱۵ مقایسه کنید.

$$\text{پاسخ. (الف) } \frac{\pi}{4a^3}, \quad (\text{ب}) \frac{\pi}{4a}$$

### ۶.۱۵ نمایش تکانه

در دینامیک پیشرفته و در مکانیک کوانتومی، تکانه خطی و مکان فضایی در موقعیتهایی شبیه بدیگر ظاهر می شوند. در این بخش از توزیع فضایی معمولی آغاز کرده و توزیع تکانه ای متناظر را استخراج می کنیم. تابع موج  $\psi(x)$ ، که یکی از جوابهای معادله موج شرو دینگر است، در حالت یک بعدی خواص زیر را دارد:

$$0.1 \int_{-\infty}^{\infty} \psi^*(x) \psi(x) dx = 1 \quad \text{احتمال یافتن ذره کوانتومی بین } x \text{ و } x+dx \text{ است و}$$

$$0.2 \int_{-\infty}^{\infty} \psi^*(x) \psi(x) dx = 1 \quad (58.15)$$

متناظر با یک ذره (در امتداد محور  $x$ ). علاوه بر این، داریم

$$0.3 \langle x \rangle = \int_{-\infty}^{\infty} \psi^*(x) x \psi(x) dx \quad (59.15)$$

$\langle x \rangle$  نشان متوسط ذره در امتداد محور  $x$  است. این کمیت را غالباً ارزش انتظاری

می نامند.

تابعی می‌خواهیم، مانند  $g(p)$ ، که همین اطلاعات را دربارهٔ تکانه در اختیار ما قرار دهد.

۱.  $g^*(p)g(p)dp$  عبارت از آن احتمالی باشد که تکانهٔ ذرهٔ کوانتومی مابین  $p$  و  $p+dp$  باشد.

$$\int_{-\infty}^{\infty} g^*(p)g(p)dp = 1 \quad (۶۰.۱۵) \quad ۲$$

$$\langle p \rangle = \int_{-\infty}^{\infty} g^*(p)pg(p)dp \quad (۶۱.۱۵) \quad ۳$$

به طوری که در ادامهٔ همین بحث نشان خواهیم داد، چنین تابعی توسط تبدیل فوریهٔ  $\psi(x)$ ، تابع فضایی ما، به دست می‌آید. به عبارت دقیق<sup>۱</sup>

$$g(p) = \frac{1}{\sqrt{2\pi\hbar}} \int_{-\infty}^{\infty} \psi(x)e^{-ipx/\hbar} dx \quad (۶۲.۱۵)$$

$$g^*(p) = \frac{1}{\sqrt{2\pi\hbar}} \int_{-\infty}^{\infty} \psi^*(x)e^{ipx/\hbar} dx \quad (۶۳.۱۵)$$

تابع تکانه‌ای سه بعدی متناظر عبارت است از

$$g(\mathbf{p}) = \frac{1}{(2\pi\hbar)^{3/2}} \int \int \int \psi(\mathbf{r})e^{-i\mathbf{r}\cdot\mathbf{p}/\hbar} d^3x$$

برای تحقیق درستی معادلات (۶۲.۱۵) و (۶۳.۱۵)، خاصیت‌های ۲ و ۳ را امتحان می‌کنیم. خاصیت ۲، یعنی بهنجارش، به خودی خود به عنوان یک رابطهٔ پاسوال، معادله (۵۵.۱۵)، ارضامی شود. اگر  $\psi(x)$ ، تابع فضایی، به یک بهنجار باشد،  $g(p)$ ، تابع تکانه‌ای نیز به یک بهنجار خواهد بود.

برای آنکه خاصیت ۳ را بیازماییم، باید نشان دهیم که

$$\langle p \rangle = \int_{-\infty}^{\infty} g^*(p)pg(p)dp = \int_{-\infty}^{\infty} \psi^*(x)\frac{\hbar}{i}\frac{d}{dx}\psi(x)dx \quad (۶۴.۱۵)$$

۱. با استفاده از عدد موج،  $k$ ، به جای  $p$ ،  $p = k\hbar$  (و  $p = k\hbar$ )، می‌توان از ظاهر شدن  $\hbar$  در رابطه جلوگیری کرد، به طوری که

$$\varphi(k) = \frac{1}{(2\pi)^{1/2}} \int \psi(x)e^{-ikx} dx$$

نمونه‌ای از این نمادگذاری در بخش ۱.۱۶ خواهد آمد.

که در آن  $(\hbar/i)(d/dx)$  عملگر تکانه در نمایش فضایی است. به جای توابع تکانه‌ای، تبدیلهای فوریه توابع فضایی را قرار می‌دهیم، اولین انتگرال به صورت زیر درمی‌آید

$$\frac{1}{\sqrt{2\pi\hbar}} \int \int_{-\infty}^{\infty} \int_{-\infty}^{\infty} p e^{-ip(x-x')/\hbar} \psi^*(x') \psi(x) dp dx' dx \quad (۶۵.۱۵)$$

اکنون

$$p e^{-ip(x-x')/\hbar} = \frac{d}{dx} \left[ -\frac{\hbar}{i} e^{-ip(x-x')/\hbar} \right] \quad (۶۶.۱۵)$$

با نشان دادن در معادله (۶۵.۱۵) و انتگرال‌گیری جزء به جزء و با ثابت نگه داشتن  $x'$  و  $p$ ، به دست خواهیم آورد

$$\langle p \rangle = \int \int_{-\infty}^{\infty} \left[ \frac{1}{\sqrt{2\pi\hbar}} \int_{-\infty}^{\infty} e^{-ip(x-x')/\hbar} dp \right] \psi^*(x') \frac{\hbar}{i} \frac{d}{dx} \psi(x) dx' dx \quad (۶۷.۱۵)$$

در اینجا فرض کرده‌ایم که  $\psi(x)$  در  $x \rightarrow \pm\infty$  صفر می‌شود، و در نتیجه جزء انتگرال‌گیری شده حذف می‌شود. بازم با استفاده از تابع دلتای دیراک، معادله (۶۱.۱۵ ج)، معادله (۶۷.۱۵) به معادله (۶۴.۱۵) ساده می‌شود و درستی خاصیت ۳ برای نمایش تکانه‌ای متحقق می‌شود. خاطر نشان می‌کنیم که از لحاظ تکنیکی در معادله (۶۲.۱۵)، تبدیل وارون فوریه را به کار گرفته‌ایم. این روش را عمداً برگزیدیم تا در معادله (۶۷.۱۵)، به علامت مناسب دست یابیم.

### مثال ۱۰۶.۱۵ اتم هیدروژن

حالت پایه اتم هیدروژن<sup>۱</sup> را می‌توان توسط تابع موج فضایی زیر توصیف کرد

$$\psi(\mathbf{r}) = \left( \frac{1}{\pi a_0^3} \right)^{1/2} e^{-r/a_0} \quad (۶۸.۱۵)$$

که در آن  $a_0$  شعاع بور و برابر  $\hbar^2/me^2$  است. اکنون یک تابع موج سه بعدی داریم. تبدیل متناظر با معادله (۶۲.۱۵) به قرار زیر است

$$g(\mathbf{p}) = \frac{1}{(\sqrt{2\pi\hbar})^{3/2}} \int \psi(\mathbf{r}) e^{-i\mathbf{p}\cdot\mathbf{r}/\hbar} d^3r \quad (۶۹.۱۵)$$

۱. بررسی حالت‌های  $l=0$  اتم هیدروژن با استفاده از نمایش تکانه‌ای را در مقاله زیر ببینید  
 Ivash, E. V., "A momentum representation treatment of the hydrogen atom problem" *Am. J. Phys.* 40, 1095, 1972.



با نشانیدن معادله (۶۸.۱۵) در معادله (۶۹.۱۵) و با استفاده از

$$\int e^{-ar+ib.r} d^3r = \frac{4\pi a}{(a^2+b^2)^2} \quad (70.15)$$

تابع موج تکانه‌ای هیدروژن را به صورت زیر به دست می‌آوریم

$$g(\mathbf{p}) = \frac{4\pi^{3/2} a_0^{3/2} \hbar^{5/2}}{\pi (a_0^2 p^2 + \hbar^2)^2} \quad (71.15)$$

چنین توابع تکانه‌ای در مسائلی مانند پراکندگی کامپتون توسط الکترونهای اتمی و توزیع طول موجهای تابش پراکنده که به توزیع تکانه الکترونهای هدف وابسته است، به کار می‌آیند.

رابطه بین نمایش فضایی معمولی و نمایش تکانه‌ای را می‌توان با در نظر گرفتن روابط جابه‌جایی اساسی در مکانیک کوانتومی روشنتر کرد. از هامیلتونی کلاسیکی به معادله موج شرودینگر می‌رسیم؛ با این شرط که تکانه  $p$  و مکان  $x$  جابه‌جا نشوند. این شرط را وضع می‌کنیم که

$$[p, x] \equiv (px - xp) = -i\hbar \quad (72.15)$$

در حالت چندبعدی به جای معادله (۷۲.۱۵)، معادله زیر را به کار می‌بریم

$$[p_i, x_j] = -i\hbar \delta_{ij} \quad (73.15)$$

نمایش (فضایی) شرودینگر را با استفاده از عملگرهای زیر به دست می‌آوریم

$$x_j \rightarrow x_j \quad (x)$$

$$p_i \rightarrow -i\hbar \frac{\partial}{\partial x_i}$$

که در آن تکانه‌ها را بایک مشتق جزئی فضایی تعویض کرده‌ایم. خواننده به آسانی پی خواهد برد که

$$[p, x]\psi(x) = -i\hbar\psi(x) \quad (74.15)$$

ولی، عملگرهای زیر هم به همان ترتیب در معادله (۷۲.۱۵) صدق می‌کنند

$$x_j \rightarrow i\hbar \frac{\partial}{\partial p_j} \quad (p)$$

$$p_i \rightarrow p_i$$

این نمایش تکانه‌ای است. در نتیجه داریم

$$[p, x] g(p) = -i\hbar g(p) \quad (۷۵.۱۵)$$

از این رو نمایش  $(x)$  یکتا نیست؛  $(p)$  يك امکان دیگر به‌شمار می‌آید.

نمایش شرودینگر،  $(x)$ ، که به معادله موج شرودینگر می‌انجامد، معمولاً مناسبتر است، زیرا انرژی پتانسیل  $V$  معمولاً به صورت تابعی از مکان،  $V(x, y, z)$ ، داده می‌شود. نمایش تکانه‌ای  $(p)$  معمولاً به يك معادله انتگرالی می‌انجامد (مزیتها و کمبودهای معادلات انتگرالی در فصل ۱۶ آمده است). به عنوان يك حالت استثنا، نوسانگر هماهنگ را در نظر بگیرید.

مثال ۲.۶.۱۵ نوسانگر هماهنگ

هامیلتونی کلاسیکی (انرژی جنبشی + انرژی پتانسیل = انرژی کل) عبارت است از

$$H(p, x) = \frac{p^2}{2m} + \frac{1}{2} kx^2 = E \quad (۷۶.۱۵)$$

که در آن  $k$  ثابت قانون هوك است.

در نمایش شرودینگر معادله زیر را به دست می‌آوریم

$$-\frac{\hbar^2}{2m} \frac{d^2 \psi(x)}{dx^2} + \frac{1}{2} kx^2 \psi(x) = E \psi(x) \quad (۷۷.۱۵)$$

به‌ازای انرژی کل  $E$  برابر با  $\sqrt{(k/m)\hbar}/2$ ، جواب زیر را داریم (بخش ۱.۱۳)

$$\psi(x) = e^{-(\sqrt{mk}/2\hbar)x^2} \quad (۷۸.۱۵)$$

نمایش تکانه‌ای به معادله زیر می‌انجامد

$$\frac{p^2}{2m} g(p) - \frac{\hbar^2 k}{2} \frac{d^2 g(p)}{dp^2} = E g(p) \quad (۷۹.۱۵)$$

باز هم، به‌ازای

$$E = \sqrt{\frac{k}{m}} \frac{\hbar}{2} \quad (۸۰.۱۵)$$

جواب زیر در معادله موج تکانه‌ای (۷۹.۱۵) صدق می‌کند

$$g(p) = e^{-p^2/(2\hbar\sqrt{mk})} \quad (۸۱.۱۵)$$

از هر يك از این دو نمایش فضایی و تکانه‌ای (و تعداد بسیار زیادی امکانهای دیگر) بسته به اینکه، در مسئله خاص مورد نظر کدام يك مناسبتر است، می‌توان استفاده کرد.

نشان دادن این نکته که  $g(p)$  تابع موج تکانه‌ای متناظر با معادله (۷۸.۱۵)، یعنی تبدیل وارون فوریه معادله (۷۸.۱۵)، است به مسئله ۳.۶.۱۵ واگذار می‌شود.

### مسائل

۱.۶.۱۵ تابع  $e^{ik \cdot r}$  موج تختی، با تکانه  $p = \hbar k$ ، را که به چگالی  $\psi$  بهنجار شده است توصیف می‌کند (وابستگی زمانی  $e^{-i\omega t}$  مفروض است). نشان دهید که این تابع موجهای تخت در رابطه تعامد زیر صدق می‌کنند

$$\int (e^{ik \cdot r})^* e^{ik' \cdot r} dx dy dz = (2\pi)^3 \delta(k - k')$$

۲.۶.۱۵ یک موج تخت نامتناهی در مکانیک کوانتومی را می‌توان توسط تابع زیر نمایش داد

$$\psi(x) = e^{ip'x/\hbar}$$

تابع توزیع تکانه‌ای متناظر را بیابید. دقت کنید که این تابع یک بینهایت دارد و  $\psi(x)$  بهنجار نیست.

۳.۶.۱۵ یک نوسانگر کوانتومی خطی در حالت پایه اش دارای تابع موج زیر است

$$\psi(x) = a^{-1/2} \pi^{-1/4} e^{-x^2/2a^2}$$

نشان دهید که تابع تکانه‌ای متناظر عبارت است از

$$g(p) = a^{1/2} \pi^{-1/4} \hbar^{-1/2} e^{-a^2 p^2/2\hbar^2}$$

۴.۶.۱۵  $n$  امین حالت برانگیخته نوسانگر خطی کوانتومی توسط تابع زیر توصیف می‌شود

$$\psi_n(x) = a^{-1/2} 2^{-n/2} \pi^{-1/4} (n!)^{-1/2} e^{-x^2/2a^2} H_n(x/a)$$

که در آن  $H_n(x/a)$ ، چندجمله‌ای  $n$ ام هرمیت است (بخش ۱۰.۱۳). به عنوان تعمیمی از مسئله ۳.۶.۱۵، تابع تکانه‌ای متناظر با  $\psi_n(x)$  را بیابید.

داهنمایی.  $\psi_n(x)$  را می‌توان با  $\psi_0(x)$  نمایش داد که در آن  $\psi_0$  عملگر فزاینده مسئله ۱۶.۱۰.۱۳ است.

۵.۶.۱۵ در مکانیک کوانتومی، یک ذره آزاد توسط موج تخت زیر توصیف می‌شود

$$\psi_k(x, t) = e^{i[kx - (\hbar k^2/2m)t]}$$

با ترکیب کردن امواج متناظر با تکانه‌های مختلف در یک عامل وزنی دامنه،  $\varphi(k)$ ، بسته موج زیر را تشکیل می‌دهیم

$$\Psi(x, t) = \int_{-\infty}^{\infty} \varphi(k) e^{i[kx - (\hbar k^2 / 2m)t]} dk$$

(الف) با فرض اینکه

$$\Psi(x, 0) = e^{-x^2 / 4a^2}$$

$\varphi(k)$  را بیابید.

(ب) با استفاده از مقدار معلوم  $\varphi(k)$ ، انتگرال فوق را محاسبه کنید تا شکل صریح  $\Psi(x, t)$  را بیابید. توجه کنید که این بسته موج در زمان بخش یا گسترده می‌شود.

$$\Psi(x, t) = \frac{e^{-\{x^2 / 4[(a^2 + i\hbar/m)t]\}}}{[1 + (i\hbar t / ma^2)]^{1/2}} \quad \text{پاسخ.}$$

یادآوری. بلایندر<sup>۱</sup> بحث جالبی درباره این مسئله از نقطه نظر عملگر تحول ارائه می‌کند.

۶.۶.۱۵ تابع موج تکانه‌ای وابسته به زمان  $g(k, t)$  متناظر با  $\Psi(x, t)$  مسئله ۵.۶.۱۵ را پیدا کنید. نشان دهید که بسته موج تکانه‌ای  $g^*(k, t)g(k, t)$  مستقل از زمان است.

۷.۶.۱۵ دوترون، در مسئله ۲.۱.۹، را می‌توان بدین نحو نسبتاً خوبی بایک تابع موج هولدن بدصورت زیر نمایش داد

$$\psi(\mathbf{r}) = A[e^{-\alpha r} - e^{-\beta r}] / r$$

که در آن  $A$ ،  $\alpha$ ،  $\beta$ ، ثابت اند.  $g(\mathbf{p})$  تابع تکانه‌ای متناظر، را بیابید.

یادآوری. تبدیل فوریه‌ها را می‌توان بدصورت تبدیلهای سینوس و کسینوس فوریه و یا بدصورت یک تبدیل لاپلاس، بخش ۸.۱۵، بازنویسی کرد.

۸.۶.۱۵ ضریب شکل هسته‌ای،  $F(k)$ ، و توزیع بار،  $\rho(r)$ ، تبدیلهای سه‌بعدی فوریه یکدیگرند

$$F(k) = \frac{1}{(2\pi)^{3/2}} \int \rho(r) e^{i\mathbf{k}\cdot\mathbf{r}} d^3r$$

اگر ضریب شکل اندازه‌گیری شده بدصورت زیر باشد

$$F(k) = (2\pi)^{-3/2} \left(1 + \frac{k^2}{a^2}\right)^{-1}$$

1. Blinder, S. M., "Evolution of a Gaussian wavepacket," *Am. J. Phys.* 36, 525 (1968).

توزیع بارمتناظر را بیابید.

$$\rho(r) = \frac{a^3 e^{-ar}}{4\pi r} \text{ پاسخ}$$

۹۰۶۰۱۵ بهنجارش تابع موج تکانه‌ای هیدروژن

$$g(\mathbf{p}) = \frac{4^{3/2} a_0^{3/2} \hbar^{5/2}}{\pi (a_0^2 p^2 + \hbar^2)^2}$$

را توسط محاسبه مستقیم انتگرال زیر بیابید

$$\int g^*(\mathbf{p})g(\mathbf{p})d^3p$$

۱۰۶۰۱۵ با  $\psi(\mathbf{r})$ ، تابع موجی در فضای معمولی و  $\varphi(\mathbf{p})$  تابع تکانه‌ای متناظر با آن، نشان دهید که

$$\frac{1}{(2\pi\hbar)^{3/2}} \int \mathbf{r} \psi(\mathbf{r}) e^{-i\mathbf{r}\cdot\mathbf{p}/\hbar} d^3x = i\hbar \nabla_{\mathbf{p}} \varphi(\mathbf{p}) \text{ (الف)}$$

$$\frac{1}{(2\pi\hbar)^{3/2}} \int \mathbf{r}^2 \psi(\mathbf{r}) e^{-i\mathbf{r}\cdot\mathbf{p}/\hbar} d^3x = (i\hbar \nabla_{\mathbf{p}})^2 \varphi(\mathbf{p}) \text{ (ب)}$$

یادآوری:  $\nabla_{\mathbf{p}}$  شیب در فضای تکانه است

$$\mathbf{i} \frac{\partial}{\partial p_x} + \mathbf{j} \frac{\partial}{\partial p_y} + \mathbf{k} \frac{\partial}{\partial p_z}$$

این نتایج را می‌توان به‌دست آورد. عدد درست مثبتی از  $r$  و در نتیجه به‌دست می‌آید (تحلیلی) که بتوان آن را به‌صورت یک سری مک‌لورن برحسب  $r$  بسط داد، تعمیم داد.۱۱۰۶۰۱۵ تابع موج فضای معمولی  $\psi(\mathbf{r}, t)$  در معادله شرودینگر وابسته به‌زمان زیر صدق می‌کند

$$i\hbar \frac{\partial \psi(\mathbf{r}, t)}{\partial t} = -\frac{\hbar^2}{2m} \nabla^2 \psi + V(\mathbf{r})\psi$$

نشان دهید که تابع تکانه‌ای وابسته به‌زمان متناظر در معادله مشابه زیر صدق می‌کند

$$i\hbar \frac{\partial \varphi(\mathbf{p}, t)}{\partial t} = \frac{p^2}{2m} \varphi + V(i\hbar \nabla_{\mathbf{p}})\varphi$$

یادآوری. فرض کنید که  $V(\mathbf{r})$  را بتوان توسط یک سری مک لورن مشخص کرد؛ از مسئله ۱۵.۶.۱۵ استفاده کنید.

$V(i\hbar\nabla_p)$  همان تابعی است از متغیر  $i\hbar\nabla_p$ ، که  $V(\mathbf{r})$  از متغیر  $\mathbf{r}$  است.

۱۲.۶.۱۵ معادله موج مستقل از زمان شرودینگر به صورت زیر است

$$-\frac{\hbar^2}{2m} \frac{d^2\psi(x)}{dx^2} + V(x)\psi(x) = E\psi(x)$$

در مورد خاصی که  $V(x)$  تابعی تحلیلی از  $x$  باشد، نشان دهید که معادله موج تکانه‌ای متناظر عبارت است از

$$V\left(i\hbar \frac{d}{dp}\right) g(p) + \frac{p^2}{2m} g(p) = E g(p)$$

این معادله موج تکانه‌ای را به کمک تبدیل فوریه، معادله (۶۲.۱۵)، و وارون آن استخراج کنید. برای این کار جانشانی  $x \rightarrow i\hbar(d/dp)$  را مستقیماً به کار نبرید.

## ۷.۱۵ توابع انتقال

می‌توان فرض کرد که یک پالس الکتریکی وابسته به زمان از برهم‌نهی امواج تخت با بسامدهای مختلف تشکیل شده است. سهم بسامد زاویه‌ای  $\omega$  در این پالس عبارت است از

$$F(\omega)e^{i\omega t}$$

در این صورت پالس کامل را می‌توان به صورت زیر نوشت

$$f(t) = \frac{1}{2\pi} \int_{-\infty}^{\infty} F(\omega)e^{i\omega t} d\omega \quad (۸۲.۱۵)$$

از آنجا که بسامد زاویه‌ای  $\omega$  به صورت

$$v = \frac{\omega}{2\pi}$$

به بسامد خطی  $v$  مربوط می‌شود، مرسوم است که تمامی ضریب  $1/2\pi$  را با این انتگرال همراه کنیم.

حال اگر  $\omega$  یک بسامد باشد، منظور از بسامدهای منفی چیست؟  $\omega$ های منفی را می‌توان یک طرح ریاضی دانست که برای اجتناب از کار کردن با دو تابع  $(\sin \omega t$  و  $\cos \omega t)$  مجزا از هم به کار گرفته می‌شوند (با بخش ۱.۱۴ مقایسه کنید).

از آنجا که معادله (۸۲.۱۵) به صورت یک تبدیل فوریه است، می‌توانیم  $F(\omega)$  را

توسط تبدیل وارون به دست آوریم

$$F(\omega) = \int_{-\infty}^{\infty} f(t)e^{-i\omega t} dt \quad (۸۳.۱۵)$$

معادله (۸۳.۱۵)، تفکیک پالس  $f(t)$  به مؤلفه‌های بسامد زاویه‌ای اش را نمایش می‌دهد.

معادله (۸۲.۱۵) ترکیب پالس از مؤلفه‌هایش را بیان می‌کند.

دستگاهی نظیر یک سرومکانیسم یا یک تقویت کننده استریو با ورودی  $f(t)$  و خروجی $g(t)$  را در نظر بگیرید (شکل ۵.۱۵). اگر ورودی به صورت تک بسامد  $\omega$ ، یعنی  $f_{\omega}(t) = e^{i\omega t}$ 

باشد، تقویت کننده ممکن است دامنه و همچنین فاز را تغییر دهد. این تغییرات احتمالاً به بسامد

بستگی خواهند داشت. از این رو

$$g_{\omega}(t) = \varphi(\omega) f_{\omega}(t) \quad (۸۴.۱۵)$$

این تابع تغییر دهنده فاز و دامنه،  $\varphi(\omega)$  را یک تابع انتقال می‌نامند. این تابع معمولاً مختلط

است

$$\varphi(\omega) = u(\omega) + iv(\omega) \quad (۸۵.۱۵)$$

که در آن توابع  $u(\omega)$  و  $v(\omega)$  حقیقی اند.در معادله (۸۴.۱۵) فرض می‌کنیم که تابع انتقال  $\varphi(\omega)$  مستقل از دامنه ورودی وحضور یا عدم حضور مؤلفه‌های بسامدی دیگر است. یعنی فرض می‌کنیم که نگاهت  $f(t)$  روی $g(t)$  خطی است. در نتیجه خروجی کل را می‌توان به کمک انتگرالگیری روی تمامی ورودی

که توسط تقویت کننده تغییر می‌کند، به دست آورد

$$g(t) = \frac{1}{\gamma\pi} \int_{-\infty}^{\infty} \varphi(\omega) F(\omega) e^{i\omega t} d\omega \quad (۸۶.۱۵)$$

تابع انتقال مشخصه تقویت کننده است. اگر تابع انتقال معلوم باشد (به صورت تجربی

یا از طریق محاسبه). برای هر ورودی  $f(t)$  می‌توان خروجی  $g(t)$  را محاسبه کرد. فرضکنید که  $\varphi(\omega)$  تبدیل (وارون) فوریه تابعی مانند  $\Phi(t)$  باشد

$$\varphi(\omega) = \int_{-\infty}^{\infty} \Phi(t) e^{-i\omega t} dt \quad (۸۷.۱۵)$$



شکل ۵.۱۵

در نتیجه معادله (۸۶.۱۵) تبدیل فوریه دو تبدیل وارون است. با استفاده از بخش ۵.۱۵، پیش این دو تابع را به دست می آوریم

$$g(t) = \int_{-\infty}^{\infty} f(\tau)\Phi(t-\tau)d\tau \quad (۸۸.۱۵)$$

معادله (۸۸.۱۵) را چنین تعبیر می کنیم که يك ورودی - یا يك "علت" -  $f(\tau)$  داریم که توسط  $\Phi(t-\tau)$  تغییر می کند و خروجی - یا "معلول" -  $g(t)$  را ایجاد می کند. با پذیرفتن مبحث علیت مبنی بر اینکه علت قبل از معلول واقع می شود، باید داشته باشیم  $t < \tau$ . این شرط را به این ترتیب برقراری کنیم که

$$\Phi(t-\tau) = 0, \quad \tau > t \quad (۸۹.۱۵)$$

در نتیجه معادله (۸۸.۱۵) به صورت زیر درمی آید

$$g(t) = \int_{-\infty}^t f(\tau)\Phi(t-\tau)d\tau \quad (۹۰.۱۵)$$

پذیرفتن معادله (۸۹.۱۵) در اینجا و همین طور در نظریه پاشندگی، بخش ۳.۷، پیامدهای قابل ملاحظه ای خواهد داشت.

#### معنای $\Phi(t)$

برای آنکه مفهوم  $\Phi$  مشخص شود، فرض کنید که  $f(\tau)$  ضربی ناگهانی باشد که در  $\tau = 0$  آغاز شده است

$$f(\tau) = \delta(\tau)$$

که در آن  $\delta(\tau)$  يك توزیع دلتای دیراک، در طرف مثبت مبدأ است. آنگاه معادله (۹۰.۱۵) به صورت زیر درمی آید

$$g(t) = \int_{-\infty}^t \delta(\tau)\Phi(t-\tau)d\tau$$

$$g(t) = \begin{cases} \Phi(t), & t > 0 \\ 0, & t < 0 \end{cases} \quad (۹۱.۱۵)$$

به این ترتیب  $\Phi(t)$  تابع خروجی متناظر با يك ضربه واحد در  $t = 0$  است. علاوه بر این، معادله (۹۱.۱۵) نشان می دهد که  $\Phi(t)$  حقیقی است. تابع انتقال اصلی ما، خروجی حالت پایای متناظر با يك ورودی تک بسامد بادامنه واحد را به دست می دهد.  $\Phi(t)$  و  $\varphi(\omega)$  تبدیلهای فوریه یکدیگرند.



اکنون از معادله (۸۷.۱۵) داریم

$$\varphi(\omega) = \int_0^{\infty} \Phi(t) e^{-i\omega t} dt \quad (92.15)$$

که در آن حد پایین را با استفاده از علیت [معادله (۸۹.۱۵)] برابر صفر قرار داده ایم. با توجه به اینکه  $\Phi(t)$  به اعتبار معادله (۹۱.۱۵) حقیقی است، اجزای حقیقی و موهومی  $\varphi(\omega)$  را از یکدیگر جدا می‌کنیم و می‌نویسیم

$$u(\omega) = \int_0^{\infty} \Phi(t) \cos \omega t dt \quad (93.15)$$

$$v(\omega) = - \int_0^{\infty} \Phi(t) \sin \omega t dt, \quad t > 0$$

از این روابط مشاهده می‌شود که جزء حقیقی  $\varphi(\omega)$ ، یعنی  $u(\omega)$ ، زوج و جزء موهومی آن، یعنی  $v(\omega)$ ، فرد است

$$u(-\omega) = u(\omega)$$

$$v(-\omega) = -v(\omega)$$

این نتیجه را با مسئله ۱.۳.۱۵ مقایسه کنید.

معادله (۹۳.۱۵) را تبدیلهای سینوس و کسینوس فوریه تعبیر می‌کنیم، و داریم

$$\Phi(t) = \frac{2}{\pi} \int_0^{\infty} u(\omega) \cos \omega t d\omega \quad (94.15)$$

$$= -\frac{2}{\pi} \int_0^{\infty} v(\omega) \sin \omega t d\omega, \quad t > 0$$

با ترکیب معادلات (۹۳.۱۵) و (۹۴.۱۵)، خواهیم داشت

$$v(\omega) = - \int_0^{\infty} \sin \omega t \left\{ \frac{2}{\pi} \int_0^{\infty} u(\omega') \cos \omega' t d\omega' \right\} dt \quad (95.15)$$

این نشان می‌دهد که اگر تابع انتقال مایک جزء حقیقی داشته باشد، یک جزء موهومی نیز خواهد داشت (وبرعکس). البته در این استدلال فرض شده است که تبدیلهای فوریه وجود دارند، بنابراین حالت‌هایی از قبیل  $\Phi(\omega) = 1$  حذف شده‌اند.

اعمال روابط علیتی منجر به یک وابستگی متقابل در اجزای حقیقی و موهومی تابع انتقال

شده است. ابن مبحث را با نتایج نظریهٔ پاشندگی در بخش ۳.۷؛ که آن هم شامل علیت است، مقایسه کنید.

اثبات این نکته که خاصیت‌های پارینهٔ  $u(\omega)$  و  $v(\omega)$  باعث می‌شوند که  $\Phi(t)$  به ازای مقدار منفی؛ صفر شود، شاید به کار آید. با وارون کردن معادلهٔ (۸۷.۱۵) داریم

$$\Phi(t) = \frac{1}{2\pi} \int_{-\infty}^{\infty} [u(\omega) + iv(\omega)][\cos \omega t + i \sin \omega t] d\omega \quad (۹۶.۱۵)$$

با علم به این نکته که  $u(\omega)$  زوج و  $v(\omega)$  فرد است، معادلهٔ (۹۶.۱۵) به صورت زیر درمی‌آید

$$\Phi(t) = \frac{1}{\pi} \int_0^{\infty} u(\omega) \cos \omega t d\omega - \frac{1}{\pi} \int_0^{\infty} v(\omega) \sin \omega t d\omega, \quad t > 0 \quad (۹۷.۱۵)$$

از معادلهٔ (۹۴.۱۵) داریم

$$\int_0^{\infty} u(\omega) \cos \omega t d\omega = - \int_0^{\infty} v(\omega) \sin \omega t d\omega, \quad t > 0 \quad (۹۸.۱۵)$$

اگر علامت  $t$  را تغییر دهیم، علامت  $\sin \omega t$  عوض می‌شود و از معادلهٔ (۹۷.۱۵) خواهیم داشت

$$\Phi(t) = 0, \quad t < 0$$

(که سازگاری درونی تحلیل را به نمایش می‌گذارد).

مسئله

۱۰۷.۱۵ پیچش زیر را استخراج کنید

$$g(t) = \int_{-\infty}^{\infty} f(\tau) \Phi(t - \tau) d\tau$$

۸.۱۵ تبدیلهای بنیادی لاپلاس

تعریف

تبدیل لاپلاس،  $f(s)$  یا  $\mathcal{L}$  از تابع  $F(t)$  به کمک رابطهٔ زیر تعریف می‌شود<sup>۱</sup>

۱. این تبدیل را گاهی تبدیل يك طرفهٔ لاپلاس می‌نامند؛ انتگرال از  $-\infty$  تا  $+\infty$  را تبدیل دوطرفهٔ لاپلاس می‌خوانند. برخی مؤلفان يك ضریب  $s$  اضافی معرفی می‌کنند. به نظر می‌آید که این  $s$  اضافی چندان حسنی ندارد و همواره دست و پاگیر است (تذکرات بیشتری در این مورد را در بخش ۱۳.۱۴ کتاب جفریز و جفریز ببینید).  $s$  را عموماً حقیقی و مثبت می‌گیریم. می‌توان  $s$  مختلط هم داشت مشروط بر آنکه داشته باشیم:  $\Re(s) > 0$ .

$$f(s) = \mathcal{L}\{F(t)\} = \lim_{a \rightarrow \infty} \int_0^a e^{-st} F(t) dt \quad (۹۹.۱۵)$$

$$= \int_0^{\infty} e^{-st} F(t) dt$$

چند نکته در مورد وجود این انتگرال شایان ذکر است. نیازی نیست که انتگرال نامتناهی  $F(t)$

$$\int_0^{\infty} F(t) dt$$

موجود باشد. مثلاً،  $F(t)$  می‌تواند به شکل نمایی به ازای مقدار بزرگ  $t$  واگرا شود. ولی اگر ثابتی مانند  $s_0$  وجود داشته باشد، به طوری که به ازای مقدار به اندازه کافی بزرگ  $t$ ،  $t > t_0$  داشته باشیم

$$|e^{-s_0 t} F(t)| \leq M \quad (۱۰۰.۱۵)$$

که در آن  $M$  یک ثابت مثبت است، آنگاه تبدیل لاپلاس [معادله (۹۹.۱۵)] به ازای  $s > s_0$  وجود خواهد داشت؛ و می‌گوییم  $F(t)$  از مرتبه نمایی است. به عنوان یک مثال مخالف،  $F(t) = e^{t^2}$  در شرطی که در معادله (۱۰۰.۱۵) داده شده صدق نمی‌کند و از مرتبه نمایی نیست.  $\mathcal{L}\{e^{t^2}\}$  وجود ندارد.

همچنین ممکن است تبدیل لاپلاس به دلیل وجود یک تکینگی به اندازه کافی قوی در تابع  $F(t)$  به ازای  $t \rightarrow 0$  موجود نباشد؛ یعنی

$$\int_0^{\infty} e^{-st} t^n dt$$

به ازای  $n \leq -1$  در مبدأ واگرا می‌شود. تبدیل لاپلاس  $\mathcal{L}\{t^n\}$  به ازای  $n \leq -1$  وجود ندارد.

از آنجا که برای دو تابع  $F(t)$  و  $G(t)$ ، که برای آنها انتگرال‌های فوق وجود دارند، داریم

$$\mathcal{L}\{aF(t) + bG(t)\} = a\mathcal{L}\{F(t)\} + b\mathcal{L}\{G(t)\} \quad (۱۰۱.۱۵)$$

عملی که با  $\mathcal{L}$  مشخص شده خطی است.

### توابع بنیادی

برای معرفی تبدیل لاپلاس، این عمل را روی چند تابع بنیادی به کار می‌بریم. در همه موارد

فرض می‌کنیم که به ازای  $t < 0$ ، داشته باشیم  $F(t) = 0$

$$F(t) = 1, \quad t > 0$$

انگاه

$$\mathcal{L}\{1\} = \int_0^{\infty} e^{-st} dt = \frac{1}{s}, \quad s > 0 \text{ به ازای} \quad (102.15)$$

و یا

$$F(t) = e^{kt}, \quad t > 0$$

تبدیل لاپلاس به صورت زیر درمی‌آید

$$\mathcal{L}\{e^{kt}\} = \int_0^{\infty} e^{-st} e^{kt} dt = \frac{1}{s-k}, \quad s > k \text{ به ازای} \quad (103.15)$$

با استفاده از این رابطه، می‌توان تبدیل لاپلاس برخی توابع دیگر را به سادگی به دست

آورد. از آنجا که

$$\cosh kt = \frac{1}{2} (e^{kt} + e^{-kt})$$

(104.15)

$$\sinh kt = \frac{1}{2} (e^{kt} - e^{-kt})$$

داریم

$$\mathcal{L}\{\cosh kt\} = \frac{1}{2} \left( \frac{1}{s-k} + \frac{1}{s+k} \right) = \frac{s}{s^2 - k^2}$$

(105.15)

$$\mathcal{L}\{\sinh kt\} = \frac{1}{2} \left( \frac{1}{s-k} - \frac{1}{s+k} \right) = \frac{k}{s^2 - k^2}$$

که هر دو به ازای  $s > k$  برقرارند. روابط زیر را داریم

$$\cos kt = \cosh ikt$$

(106.15)

$$\sin kt = -i \sinh ikt$$

با استفاده از معادلات (۱۰۵.۱۵)، و تعویض  $k$  با  $ik$  تبدیلهای لاپلاس را به صورت زیر به دست می آوریم

$$\mathcal{L}\{\cos kt\} = \frac{s}{s^2 + k^2} \quad (107.15)$$

$$\mathcal{L}\{\sin kt\} = \frac{k}{s^2 + k^2}$$

که هر دو به ازای  $s > 0$  برقرارند. تبدیل آخری را به روش دیگری در بخش بعد استخراج می کنیم. توجه کنید که  $\lim_{s \rightarrow 0} \mathcal{L}\{\sin kt\} = 1/k$  از این رو تبدیل لاپلاس برای  $\int_0^{\infty} \sin kt \, dt$  مقدار  $1/k$  را به دست می دهد. سرانجام، به ازای  $F(t) = t^n$  داریم

$$\mathcal{L}\{t^n\} = \int_0^{\infty} e^{-st} t^n \, dt$$

که همان تابع فاکتوریل است. بنابراین

$$\mathcal{L}\{t^n\} = \frac{n!}{s^{n+1}}, \quad s > 0, \quad n > -1 \quad (108.15)$$

دقت خواننده را به این نکته جلب می کنیم که در همه این تبدیلهای، متغیر  $s$  را در مخرج، یعنی يك توان منفی  $s$ ، داریم؛ به ویژه آنکه:  $\lim_{s \rightarrow \infty} f(s) = 0$ . اهمیت این نکته در آن است که اگر  $f(s)$  حاوی توانهای مثبت  $s$  می بود  $(\lim_{s \rightarrow \infty} f(s) \rightarrow \infty)$ ، آنگاه تبدیل وارون لاپلاس وجود نمی داشت.

### تبدیل وارون

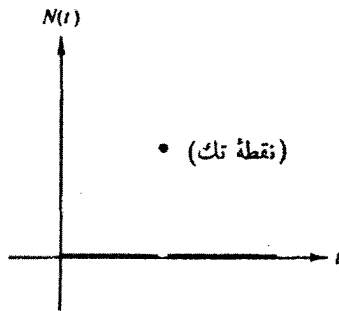
این عملیات تنها در صورتی اهمیت پیدا می کنند که، مانند تبدیل فوریه، تبدیل وارون آنها نیز وجود داشته باشد. یعنی اگر

$$\mathcal{L}\{F(t)\} = f(s)$$

آنگاه

$$\mathcal{L}^{-1}\{f(s)\} = F(t) \quad (109.15)$$

این تبدیل وارون به معنای دقیق کلمه یکتا نیست. دو تابع  $F_1(t)$  و  $F_2(t)$  ممکن است دارای يك تبدیل  $f(s)$  باشند. ولی در این صورت



شکل ۶.۱۵ يك تابع پوچ ممكن.

$$F_1(t) - F_2(t) = N(t)$$

که در آن  $N(t)$  يك تابع پوچ است (شکل ۶.۱۵)، یعنی آنکه به ازای همه مقادیر مثبت  $t$ ، داریم

$$\int_0^{\infty} N(t) dt = 0$$

این نتیجه را قضیه لرج می خوانند. بنا بر این از نظر فیزیکدانان و مهندسان،  $N(t)$  را می توان همواره برابر صفر گرفت و به این ترتیب عمل وارون یکتا می شود.

تبدیل وارون را به طرق گوناگون می توان تعیین کرد. (۱) می توان يك جدول تبدیل تهیه کرد و از آن به همان صورتی برای یافتن تبدیل وارون استفاده کرد که آنی لگاریتم را از يك جدول لگاریتم به دست می آورند. تبدیلیایی را که در بالا به دست آمد می توان سر آغاز تدوین چنین جدولی دانست. مجموعه کاملتری از تبدیلیهای لاپلاس در جدول ۲.۱۵ یا در فصل ۲۹ کتاب AMS-55 ارائه شده است. با استفاده از بسط به کسرهاى جزئی و قضیهای عملگری گوناگون، که در بخشهای بعد در نظر گرفته می شوند، می توان با سهولت بیشتری از جدولهای تبدیل لاپلاس استفاده کرد. این ظن چندان نابجایی نیست که چنین جدولهایی احتمالاً بیشتر برای حل تمرینهای کتاب درسی به کار می آیند تا حل مسائل دنیای واقعی. (۲) در بخش ۱۲.۱۵ با بهره گیری از حساب مانده ها، روشی کلی برای یافتن  $L^{-1}$  معرفی می کنیم. (۳) مشکلات و امکانات يك رهیافت عددی - یعنی وارون سازی عددی - در انتهای این بخش بررسی شده است.

### تجزیه به کسرهاى جزئی

استفاده از جدول تبدیلیها (برای یافتن تبدیلیهای وارون) به کمک بسط  $f(s)$  بر حسب کسرهاى جزئی میسر می شود.

تبدیل ما،  $f(s)$ ، بارها به صورت  $g(s)/h(s)$  پیش می آید، که در آن  $g(s)$  و  $h(s)$  چند جمله ایهایی اند که هیچ عامل مشترکی ندارند، و  $g(s)$  نسبت به  $h(s)$  از مرتبه پایینیتر است. اگر همه عوامل  $h(s)$  خطی و متمایز باشند، با استفاده از نظریه توابع جزئی می توانیم

$$f(s) = \frac{c_1}{s-a_1} + \frac{c_2}{s-a_2} + \dots + \frac{c_n}{s-a_n} \quad (110.15)$$

که در آن  $c_i$ ها مستقل از  $s$ ، و  $a_i$ ها ریشه‌های  $h(s)$  اند. اگر یکی از ریشه‌ها، مثلاً  $a_1$ ، چندگانه باشد ( $m$  بار رخ دهد)، آنگاه  $f(s)$  به صورت زیر خواهد بود

$$f(s) = \frac{c_{1,m}}{(s-a_1)^m} + \frac{c_{1,m-1}}{(s-a_1)^{m-1}} + \dots + \frac{c_{1,1}}{(s-a_1)} + \sum_{i=2}^n \frac{c_i}{s-a_i} \quad (111.15)$$

و سرانجام، اگر یکی از عوامل درجه دو باشد،  $(s^2 + ps + q)$ ، صورت به جای آنکه صرفاً برابر یک عدد ثابت باشد، به شکل زیر خواهد بود

$$\frac{as+b}{s^2+ps+q}$$

ثابت‌های معرفی شده را به شیوه‌های گوناگونی می‌توان تعیین کرد. مثلاً در معادله (110.15)، دوطرف را در  $(s-a_i)$  ضرب می‌کنیم و به دست می‌آوریم

$$c_i = \lim_{s \rightarrow a_i} (s-a_i)f(s) \quad (112.15)$$

در حالت‌های ساده، حل مستقیم معمولاً ساده‌ترین کار است.

مثال 108.15 تجزیه به کسرهای جزئی فرض کنید که

$$f(s) = \frac{k^2}{s(s^2+k^2)} = \frac{c}{s} + \frac{as+b}{s^2+k^2} \quad (113.15)$$

از طرف راست این معادله مخرج مشترک می‌گیریم و توانهای همانندی در صورتها را با هم مساوی قرار می‌دهیم، خواهیم داشت

$$\frac{k^2}{s(s^2+k^2)} = \frac{c(s^2+k^2) + s(as+b)}{s(s^2+k^2)} \quad (114.15)$$

$$c + a = 0, \quad s^2$$

$$b = 0, \quad s^1$$

$$ck^2 = k^2, \quad s^0$$

این معادلات را حل می‌کنیم، (با  $s \neq 0$ ) داریم

$$c = 1$$

$$b = 0$$

$$a = -1$$

که در نتیجه

$$f(s) = \frac{1}{s} - \frac{s}{s^2 + k^2} \quad (115.15)$$

و با استفاده از معادلات (102.15) و (107.15) داریم

$$\mathcal{L}^{-1}\{f(s)\} = 1 - \cos kt \quad (116.15)$$

مثال 208.15 تابع پله‌ای

به‌عنوان یکی از کاربردهای تبدیلهای لاپلاس، محاسبه انتگرال زیر را در نظر بگیرید

$$F(t) = \int_0^{\infty} \frac{\sin tx}{x} dx \quad (117.15)$$

فرض کنید که تبدیل لاپلاس این انتگرال معین (و ناسره) را بگیریم

$$\mathcal{L}\left\{\int_0^{\infty} \frac{\sin tx}{x} dx\right\} = \int_0^{\infty} e^{-st} \int_0^{\infty} \frac{\sin tx}{x} dx dt \quad (118.15)$$

اینک ترتیب انتگرال‌گیری را عوض می‌کنیم (که البته باید توجیه شود!) و خواهیم داشت

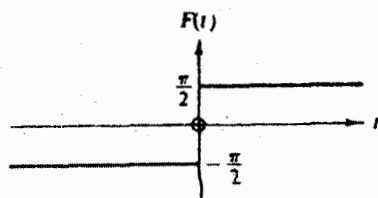
$$\int_0^{\infty} \frac{1}{x} \left[ \int_0^{\infty} e^{-st} \sin tx dt \right] dx = \int_0^{\infty} \frac{dx}{s^2 + x^2} \quad (119.15)$$

زیرا عاملی که در داخل کروشه آمده، همان تبدیل لاپلاس  $\sin tx$  است. با استفاده از جدول انتگرالها داریم

$$\int_0^{\infty} \frac{dx}{s^2 + x^2} = \frac{1}{s} \tan^{-1}\left(\frac{x}{s}\right) \Big|_0^{\infty} = \frac{\pi}{2s} = f(s) \quad (120.15)$$

تبدیل وارون معادله (102.15) را محاسبه می‌کنیم و می‌رسیم به





شکل ۷.۱۵  $F(t) = \int_0^{\infty} \frac{\sin tx}{x} dx$ , تابع پله‌ای.

$$F(t) = \frac{\pi}{2}, \quad t > 0 \quad (۱۲۱.۱۵)$$

که با نتیجه حاصل از حساب مانده‌ها (بخش ۷.۷) سازگار است. در محاسبه  $F(t)$  فرض کرده‌ایم که  $t > 0$ . برای محاسبه  $F(-t)$  تنها توجه به این نکته کافی است که  $\sin(-tx) = -\sin tx$ . در نتیجه  $F(-t) = -F(t)$ . سرانجام، به‌دراز  $t=0$  روشن است که  $F(0)$  باید صفر باشد. بنابراین

$$\int_0^{\infty} \frac{\sin tx}{x} dx = \begin{cases} \frac{\pi}{2}, & t > 0 \\ 0, & t = 0 \\ -\frac{\pi}{2}, & t < 0 \end{cases} \quad (۱۲۲.۱۵)$$

$$= \frac{\pi}{2} [2u(t) - 1]$$

توجه کنید که  $\int_0^{\infty} (\sin tx/x) dx$ ، به‌عنوان تابعی از  $t$ ، یک تابع پله‌ای را، پله‌ای به‌ارتفاع  $\pi$  در  $t=0$ ، توصیف می‌کند (شکل ۷.۱۵). این روند با معادله (۱۱۱.۸) سازگار است. شگردی که در این مثال به‌کار گرفته‌شد عبارت بود از: (۱) معرفی یک انتگرال‌گیری دوم یعنی تبدیل لاپلاس، (۲) تعویض ترتیب انتگرال‌گیری، و سپس محاسبه انتگرال، و (۳) گرفتن تبدیل وارون لاپلاس. حالت‌های بسیاری پیش‌می‌آید که در آن این شگرد تعویض ترتیب انتگرال‌گیری را می‌توان به‌کار گرفت و بسیار هم سودمند واقع می‌شود. مسئله ۶.۸.۱۵ شکل تغییر یافته‌ای از این شگرد است.

### وارون‌سازی عددی

تبدیل لاپلاس، به‌عنوان یک انتگرال، عملی است بسیار پایدار—پایدار به این معنی است که در

هنگام تعیین مساحت زیر یک منحنی، میانگین افت و خیزها (یا خطاها)ی کوچک در  $F(t)$  را می گیرند و آنها را حذف می کنند. همچنین، عامل وزنی  $e^{-st}$  به این معناست که از رفتار  $F(t)$  در مقدار بزرگ  $t$  عملاً چشمپوشی می شود. مگر آنکه  $s$  کوچک باشد. در نتیجه این دو عامل، یک تغییر بزرگ در  $F(t)$  به ازای مقدار بزرگ  $t$ ، تغییر کوچک و شاید غیر قابل ملاحظه ای در  $f(s)$  را نشان می دهد. ولی رفتن از  $f(s)$  به  $F(t)$ ، برخلاف عمل تبدیل لاپلاس، شدیداً ناپایدار است. تغییر کوچکی در  $f(s)$  ممکن است به تغییر بسیار بزرگی در  $F(t)$  بینجامد. تا جایی که حتی ممکن است همه ارقام بامعنی  $F(t)$  حذف شوند. در فرمول بندی ماتریسی، ماتریس مربوط، نسبت به وارون سازی، خوش رفتار نیست.

روش عددی کلی و کامل رضایت بخشی برای وارون سازی تبدیلهای لاپلاس وجود ندارد. ولی اگر توجه خود را تنها به توابع نسبتاً هموار معطوف کنیم، امکانات گوناگونی برای ما وجود خواهد داشت. بلمن، کالابا، و لاکت<sup>۱</sup> تبدیل لاپلاس را به تبدیل ملین مبدل می کنند ( $x = e^{-t}$ )، و کوادرانورهای عددی مبتنی بر چندجمله ایهای انتقال یافته لزاندر،  $P_n^*(x) = P_n(1 - 2x)$ ، را به کار می برند. گام اصلی عبارت است از وارون سازی تحلیلی ماتریس حاصل. کرلیف و اسکوبلیا<sup>۲</sup> توجه خود را روی محاسبه انتگرال برامویچ (بخش ۱۲۰۱۵) متمرکز می کنند. یکی از شگردهای آنها این است که انتگرالده را با یک چندجمله ای درونیاب با توانهای منفی تعویض می کنند و از آنها به طور تحلیلی انتگرال می گیرند.

## مسائل

۱۰۸۰۱۵ ثابت کنید که

$$\lim_{s \rightarrow \infty} s f(s) = \lim_{t \rightarrow +0} F(t)$$

دانهایی. فرض کنید که  $F(t)$  را بتوان به صورت  $F(t) = \sum_{n=0}^{\infty} a_n t^n$  مشخص کرد.

۲۰۸۰۱۵ نشان دهید که

$$\frac{1}{\pi} \lim_{s \rightarrow 0} \mathcal{L}\{\cos xt\} = \delta(x)$$

۳۰۸۰۱۵ تحقیق کنید که

$$\mathcal{L}\left\{\frac{\cos at - \cos bt}{b^2 - a^2}\right\} = \frac{s}{(s^2 + a^2)(s^2 + b^2)}, \quad a^2 \neq b^2$$

1. Bellman, R., R. E. Kalaba, and J. A. Lockett, *Numerical Inversion of the Laplace Transforms*. New York: American Elsevier, 1966.

2. Krylov, V. I., and N. S. Skoblya, *Handbook of Numerical Inversion of Laplace Transforms*. Translated by D. Louvish, 1969.

۴۰۸.۱۵ با استفاده از تجزیه به کسرهای جزئی، نشان دهید که

$$\mathcal{L}^{-1}\left\{\frac{1}{(s+a)(s+b)}\right\} = \frac{e^{-at} - e^{-bt}}{b-a}, \quad a \neq b \quad (\text{الف})$$

$$\mathcal{L}^{-1}\left\{\frac{s}{(s+a)(s+b)}\right\} = \frac{ae^{-at} - be^{-bt}}{a-b}, \quad a \neq b \quad (\text{ب})$$

۵۰۸.۱۵ با استفاده از تجزیه به کسرهای جزئی، نشان دهید که

(الف)

$$\mathcal{L}^{-1}\left\{\frac{s}{(s^2+a^2)(s^2+b^2)}\right\} = -\frac{1}{a^2-b^2} \left\{ \frac{\sin at}{a} - \frac{\sin bt}{b} \right\}, \quad a^2 \neq b^2$$

(ب)

$$\mathcal{L}^{-1}\left\{\frac{s^2}{(s^2+a^2)(s^2+b^2)}\right\} = \frac{1}{a^2-b^2} \{a \sin at - b \sin bt\}, \quad a^2 \neq b^2$$

۶۰۸.۱۵ پتانسیل الکتروستاتیکی ناشی از یک قرص رسانای باردار به شکل کلی زیر است (در مختصات استوانه‌ای)

$$\Phi(\rho, z) = \int_0^\infty e^{-k|z|} J_0(k\rho) f(k) dk$$

که در آن  $f(k)$  مجهول است. پتانسیل در فواصل بزرگ ( $z \rightarrow \infty$ ) باید به پتانسیل کولنی  $Q/4\pi\epsilon_0 z$  نزدیک شود. نشان دهید که

$$\lim_{k \rightarrow 0} f(k) = \frac{Q}{4\pi\epsilon_0}$$

راهنمایی. می‌توانید قرار دهید  $\rho = 0$  و فرض کنید که یک بسط مک‌لورن از  $f(k)$  وجود دارد یا با استفاده از  $e^{-kz}$  یک دنباله دلتا تشکیل دهید.

۷۰۸.۱۵ نشان دهید که

$$\int_0^\infty \frac{\cos s}{s^\nu} ds = \frac{\pi}{\Gamma(\nu-1)! \sin(\nu\pi/2)}, \quad 0 < \nu < 1 \quad (\text{الف})$$

$$\int_0^\infty \frac{\sin s}{s^\nu} ds = \frac{\pi}{\Gamma(\nu-1)! \sin(\nu\pi/2)}, \quad 0 < \nu < 2 \quad (\text{ب})$$

چرا برای بند (الف)  $v$  را به  $(0, 1)$  و برای بند (ب)  $v$  را به  $(0, 2)$  محدود کردیم؟ این انتگرالها را می توان به عنوان تبدیلهای فوریه  $s^{-p}$  و تبدیلهای ملین  $\cos s$  و  $\sin s$  تعبیر کرد.

داهنمایی.  $s^{-p}$  را با انتگرال تبدیل لاپلاس  $(v-1)!\mathcal{L}\{t^{v-1}\}$  تعویض کنید. سپس نسبت به  $s$  انتگرال بگیرید. با انتگرال حاصل می توان مانند يك تابع بنا عمل کرد (بخش ۴۰۱۰).

۸۰۸۰۱۵ تابع  $F(t)$  را می توان در يك سری توانی (مک لورن) بسط داد؛ یعنی

$$F(t) = \sum_{n=0}^{\infty} a_n t^n$$

در این صورت

$$\begin{aligned} \mathcal{L}\{F(t)\} &= \int_0^{\infty} e^{-st} \sum_n a_n t^n dt \\ &= \sum_n a_n \int_0^{\infty} e^{-st} t^n dt \end{aligned}$$

نشان دهید که  $f(s)$ ، تبدیل لاپلاس  $F(t)$ ، حاوی هیچ توانی از  $s$  نیست که بزرگتر از  $s^{-1}$  باشد. نتیجه را به کمک محاسبه  $\mathcal{L}\{\delta(t)\}$  بیازمایید. دلیل این فقدان توانها را از روی تعمق توضیح دهید.

### ۹۰۱۵ تبدیل لاپلاس مشتق

شاید بتوان گفت که کاربرد عمده تبدیل لاپلاس در تبدیل معادلات دیفرانسیل است به صورتهای ساده تری و با شیوه های حل آسانتری مثلا، خواهیم دید که معادلات دیفرانسیل جفت شده با ضرایب ثابت به دستگاه معادلات جبری خطی تبدیل می شوند. مشتق اول  $F(t)$  را تبدیل می کنیم

$$\mathcal{L}\{F'(t)\} = \int_0^{\infty} e^{-st} \frac{dF(t)}{dt} dt$$

با انتگرال گیری جزء به جزء، داریم

$$\mathcal{L}\{F'(t)\} = e^{-st} F(t) \Big|_0^{\infty} + s \int_0^{\infty} e^{-st} F(t) dt$$

(۱۲۳۰۱۵)

$$= s\mathcal{L}\{F(t)\} - F(0)$$

به بیان دقیقتر،  $F(+0) = F(0)$  و لازم است که  $dF/dt$  به ازای  $0 \leq t < \infty$  دست کم پاره پاره پیوسته باشد. طبیعتاً، هم  $F(t)$  و هم مشتق آن باید به گونه‌ای باشند که انتگرالها واگرا نشوند. تصادفاً، معادله (۱۲۳.۱۵) مسئله ۱۰۸.۱۵ را به طریق دیگری اثبات می‌کند.

با تعمیم رابطه بالا داریم

$$\mathcal{L}\{F^{(2)}(t)\} = s^2 \mathcal{L}\{F(t)\} - sF(+0) - F'(+0) \quad (124.15)$$

$$\mathcal{L}\{F^{(n)}(t)\} = s^n \mathcal{L}\{F(t)\} - s^{n-1}F(+0) - s^{n-2}F'(+0) \\ - \dots - F^{(n-1)}(+0) \quad (125.15)$$

تبدیل لاپلاس هم، مثل تبدیل فوریه، به جای دیفرانسیل گیری ضرب را قرار می‌دهد. در مثالهای زیر، معادلات دیفرانسیل به معادلات جبری تبدیل می‌شوند. مرتبه غیر جبری بودن کاهش می‌یابد، و حل مسئله ساده‌تر می‌شود. توانایی و کارایی تبدیل لاپلاس در این مورد به خوبی نمایان می‌شود. برای آنکه ببینید در صورتی که ضرایب ثابت نباشند چه پیش می‌آید، به مثال ۳.۱۰۰.۱۵ مراجعه کنید.

به چگونگی وارد شدن شرایط اولیه،  $F(+0)$  و  $F'(+0)$ ، و مانند آنها، در تبدیل دقیقاً توجه کنید. از معادله (۱۲۴.۱۵) می‌توان برای استخراج  $\mathcal{L}\{\sin kt\}$  استفاده کرد. از اتحاد زیر بهره می‌گیریم

$$-k^2 \sin kt = \frac{d^2}{dt^2} \sin kt \quad (126.15)$$

آنگاه از طریق کاربرد عمل تبدیل لاپلاس، داریم

$$-k^2 \mathcal{L}\{\sin kt\} = \mathcal{L}\left\{\frac{d^2}{dt^2} \sin kt\right\} \quad (127.15)$$

$$= s^2 \mathcal{L}\{\sin kt\} - s \sin(0) - \left.\frac{d}{dt} \sin kt\right|_{t=0}$$

از آنجا که  $\sin(0) = 0$  و  $\left.\frac{d}{dt} \sin kt\right|_{t=0} = k$  داریم

$$\mathcal{L}\{\sin kt\} = \frac{k}{s^2 + k^2} \quad (128.15)$$

بدین ترتیب درستی معادله (۱۰۷.۱۵) تأیید می‌شود.

مثال ۱۰۹.۱۵ نوسانگر هماهنگ ساده

به عنوان يك مثال ساده ولی مطلقاً فیزیکی، جرم  $m$  را در نظر بگیرید که تحت تأثیر يك فنر ایده آل، با ثابت فنری  $k$ ، نوسان می کند. طبق معمول از اصطکاک چشمپوشی می کنیم. در این صورت قانون دوم نیوتون به صورت زیر درمی آید

$$m \frac{d^2 X(t)}{dt^2} + kX(t) = 0 \quad (129.15)$$

همچنین

$$X(0) = X_0$$

$$X'(0) = 0$$

با بهره گیری از تبدیل لاپلاس، داریم

$$m \mathcal{L} \left\{ \frac{d^2 X}{dt^2} \right\} + k \mathcal{L} \{ X(t) \} = 0 \quad (130.15)$$

که با استفاده از معادله (۱۲۲.۱۵) به صورت زیر درمی آید

$$ms^2 x(s) - ms X_0 + kx(s) = 0 \quad (131.15)$$

$$x(s) = X_0 \frac{s}{s^2 + \omega_0^2}, \quad \omega_0^2 \equiv \frac{k}{m} \quad (132.15)$$

با توجه به معادله (۱۰۷.۱۵) بی می بریم که این معادله تبدیل  $\cos \omega_0 t$  است؛ در نتیجه، همان طور که انتظار می رفت، داریم

$$X(t) = X_0 \cos \omega_0 t \quad (133.15)$$

مثال ۲۰۹.۱۵ رقص محوری زمین

به عنوان يك مثال نسبتاً پیچیده تر می توان رقص محوری (حرکت تقدیمی بدون نیرو) قطبهای زمین را در نظر گرفت. اگر زمین را يك کره وار (پخت) صلب بگیریم، معادلات حرکت اوپلر به صورت زیر درمی آیند

$$\frac{dX}{dt} = -aY \quad (134.15)$$

$$\frac{dY}{dt} = +aX$$

$$a \equiv [(I_z - I_x)/I_x] \omega_x \quad \text{که در آن}$$

$$X = \omega_x$$

$$Y = \omega_y$$

که  $\omega = (\omega_x, \omega_y, \omega_z)$  بردار سرعت زاویه‌ای است (شکل ۸.۱۵)، و گشتاور لختی حول محور  $z$  برابر است با  $I_z$  و  $I_y = I_x$  گشتاور لختی حول محور  $x$  (یا  $y$ ) به‌شمار می‌آید. محور  $z$  بر محور تقارن زمین منطبق است. اختلاف این محور با محور چرخش روزانه زمین، یعنی  $\omega$  در قطبها به‌حدود ۱۵ متر می‌رسد. از تبدیل این معادلات دیفرانسیل جفت‌شده، خواهیم داشت

$$s x(s) - X(0) = -a y(s) \quad (135.15)$$

$$s y(s) - Y(0) = a x(s)$$

با ترکیب این دو معادله  $y(s)$  را حذف می‌کنیم، داریم

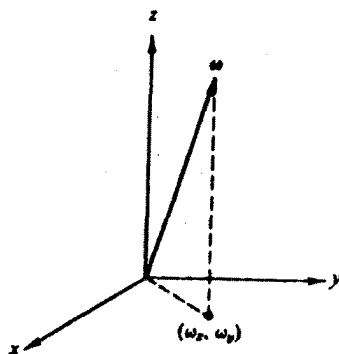
$$s^2 x(s) - sX(0) + aY(0) = -a^2 x(s)$$

یا

$$x(s) = X(0) \frac{s}{s^2 + a^2} - Y(0) \frac{a}{s^2 + a^2} \quad (136.15)$$

بنابراین

$$X(t) = X(0) \cos at - Y(0) \sin at \quad (137.15)$$



شکل ۸.۱۵

و به همین ترتیب

$$Y(t) = X(0) \sin at + Y(0) \cos at \quad (138.15)$$

دیده می‌شود که این کمیت (به ازای  $a > 0$ ) چرخش پادساعتگرد بردار  $(X, Y)$  حول محور  $Z$  به اندازه زاویه  $\theta = at$  و با سرعت زاویه‌ای  $a$  به شمار می‌آید. با انتخاب محور زمان به صورتی که  $Y(0) = 0$ ، می‌توانیم به یک تفسیری واسطه دست یابیم. در این صورت

$$X(t) = X(0) \cos at \quad (139.15)$$

$$Y(t) = X(0) \sin at$$

که همان معادلات پارامتری مربوط به چرخش  $(X, Y)$  در یک مدار دایره‌ای به شعاع  $X(0)$  با سرعت زاویه‌ای  $a$  در سوی پادساعتگرد است. در مورد بردار سرعت زاویه‌ای زمین،  $X(0)$  حدود ۱۵ متر است، در حالی که  $a$  به صورتی که تعریف آن در اینجا آمد، بایک دوره  $(2\pi/a)$  حدود ۳۰ روز متناظر است. در واقع، بدلت انحراف از پیکره صلب ایده‌آل که در روند استنتاج معادلات اوپلر فرض شد، این دوره حدود ۴۲۷ روز است.<sup>۱</sup> اگر در معادله (۱۳۴.۱۵) قرار دهیم

$$X(t) = L_x$$

$$Y(t) = L_y$$

که در آن

مؤلفه‌های  $x$  و  $y$  تکانه زاویه‌ای  $L_x, L_y = \bar{L}$

$$a = -g_L B_z$$

نسبت ژیرومغناطیسی  $g_L =$

میدان مغناطیسی (در امتداد محور  $Z$ )  $B_z =$

معادله (۱۳۴.۱۵) حرکت تقدیمی لارمور اجسام باردار در میدان مغناطیسی یکنواخت،  $B_z$  را توصیف می‌کند.

1. Menzel, D., ed., *Fundamental Formulas of Physics*, p. 695. Englewood Cliffs, NJ: Prentice-Hall (1955).



تابع دلتای دیراک

استفاده از تبدیلی دیگر، یعنی تبدیل تابع دلتای دیراک، در حوزه معادلات دیفرانسیل به ما کمک خواهد کرد.

$$\mathcal{L}\{\delta(t-t_0)\} = \int_0^{\infty} e^{-st} \delta(t-t_0) dt = e^{-st_0}, \quad t_0 \geq 0 \quad (140.15)$$

و به ازای  $t_0 = 0$

$$\mathcal{L}\{\delta(t)\} = 1 \quad (141.15)$$

در اینجا فرض می‌شود که از نمایشی برای تابع دلتای دیراک بهره می‌گیریم که

$$\delta(t) = 0 \quad t > 0 \quad \int_0^{\infty} \delta(t) dt = 1 \quad (142.15)$$

روش دیگر عبارت از این است که،  $\delta(t)$  را می‌توان به صورت حد  $\varepsilon \rightarrow 0$  تابع  $F(t)$  در نظر گرفت، که در آن

$$F(t) = \begin{cases} 0, & t < 0 \\ \varepsilon^{-1}, & 0 < t < \varepsilon \\ 0, & t > \varepsilon \end{cases} \quad (143.15)$$

به کمک محاسبه مستقیم

$$\mathcal{L}\{F(t)\} = \frac{1 - e^{-\varepsilon s}}{\varepsilon s} \quad (144.15)$$

با محاسبه حد انتگرال (به جای انتگرال حد)، داریم

$$\lim_{\varepsilon \rightarrow 0} \mathcal{L}\{F(t)\} = 1$$

یا همان معادله (141.15)

$$\mathcal{L}\{\delta(t)\} = 1$$

این تابع دلتا را در موارد زیادی تابع ضربه خوانده‌اند، زیرا در توصیف نیروهای ضربه‌ای،

۰۱ به بیان دقیقتر، تابع دلتای دیراک تعریف نشده است. اما، انتگرال روی آن به خوبی تعریف شده است. این رهیافت در بخش ۷.۸ با استفاده از دنباله‌های دلتا مطرح شده است.

یعنی نیروهایی که مدت دوام اثر آنها کوتاه است، مفید واقع می‌شود.

مثال ۳۰۹.۱۵ نیروهای ضربه‌ای

قانون دوم نیوتون دربارهٔ نیرویی ضربه‌ای که بر ذره‌ای به جرم  $m$  وارد می‌آید، به صورت زیر است

$$m \frac{d^2 X}{dt^2} = P \delta(t) \quad (145.15)$$

که در آن  $P$  کمیتی ثابت است.  
با تبدیل کردن، داریم

$$ms^2 x(s) - msX(0) - mX'(0) = P \quad (146.15)$$

در مورد ذره‌ای که از سکون شروع به حرکت می‌کند،  $X'(0) = 0$ . همچنین می‌گیریم  $X(0) = 0$  در این صورت

$$x(s) = \frac{P}{ms^2} \quad (147.15)$$

$$X(t) = \frac{P}{m} t \quad (148.15)$$

$$\frac{dX(t)}{dt} = \frac{P}{m} \text{ ثابت} \quad (149.15)$$

اثر ضربه  $P\delta(t)$  عبارت است از انتقال (لحظه‌ای)  $P$  واحد تکانهٔ خطی به ذره. در مورد گالوانومتر بالیستیکی نیز تحلیل مشابهی اعمال می‌شود. گشتاور نیروی وارد بر گالوانومتر در آغاز با کمیت  $ki$  بیان می‌شود، که در آن  $i$  یک پالس جریان و  $k$  ثابت تناسب است. از آنجا که مدت دوام  $i$  کوتاه است، قرار می‌دهیم

$$ki = kq \delta(t) \quad (150.15)$$

که در آن  $q$  کل باری است که جریان  $i$  حمل می‌کند. در این صورت، با گشتاور لختی  $I$  داریم

$$I \frac{d^2 \theta}{dt^2} = kq \delta(t) \quad (151.15)$$

۱. این کمیت در واقع باید به صورت  $X'(+0)$  باشد. برای آنکه اثر ضربه را هم به حساب آوریم، فرض می‌کنیم که ضربه در لحظه  $t = e$  وارد می‌آید و قرار می‌دهیم  $e \rightarrow 0$ .

مانند قبل تبدیل می‌کنیم، پی‌می‌بریم که اثر پالس جریان عبارت است از انتقال  $kq$  واحد تکانه زاویه‌ای به گالوانومتر.

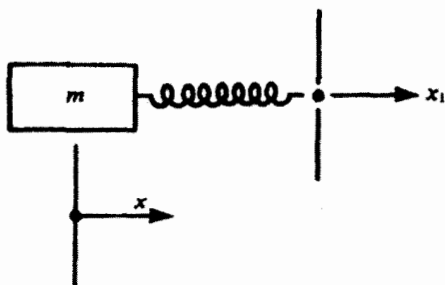
### مسائل

۱۰۹۰۱۵ با استفاده از عبارت مربوط به تبدیل مشتق دوم، تبدیل  $\cos kt$  را به دست آورید.

۲۰۹۰۱۵ جرم  $m$  به یک سرفتر کشیده نشده‌ای، با ثابت فنری  $k$ ، متصل است. در لحظه  $t=0$  بر سر آزاد فنر شتاب ثابت  $a$ ، جدا از جرم  $m$ ، وارد می‌آید. با بهره‌گیری از تبدیل لاپلاس، (الف) مکان،  $x$ ، جرم  $m$  را به صورت تابعی از زمان به دست آورید. (ب) صورت حلی  $x(t)$  را به ازای مقادیر کوچک  $t$  تعیین کنید.

$$x = \frac{1}{\gamma} at^2 - \frac{a}{\omega^2} (1 - \cos \omega t), \quad \omega^2 = \frac{k}{m} \quad (\text{الف})$$

$$x = \frac{a\omega^2}{\gamma!} t^2, \quad \omega t \ll 1 \quad (\text{ب})$$



۳۰۹۰۱۵ هسته‌های پرتوزا بنا بر قانون زیر وا می‌باشند

$$\frac{dN}{dt} = -\lambda N$$

که در آن  $N$  غلظت هسته‌ای معلوم، و  $\lambda$  ثابت واپاشی متناظر آن است. این معادله را می‌توان چنین تعبیر کرد که آهنک واپاشی با تعداد هسته‌های پرتوزای موجود متناسب، و واپاشی هر یک مستقل از دیگری است.

در یک سری پرتوزا شامل  $n$  هسته متفاوت، که از  $N_0$  شروع می‌شود، داریم

$$\frac{dN_1}{dt} = -\lambda_1 N_1$$

$$\frac{dN_2}{dt} = \lambda_1 N_1 - \lambda_2 N_2, \dots$$

$$\frac{dN_n}{dt} = \lambda_{n-1} N_{n-1} \quad \text{بایدار}$$

$N_2(0) = N_3(0) = 0$  و  $N_1(0) = N_0$ ،  $n=3$  را با فرض  $N_2(t)$  و  $N_3(t)$ ،  $N_1(t)$  به دست آورید.

$$N_1(t) = N_0 e^{-\lambda_1 t} \quad \text{پاسخ.}$$

$$N_2(t) = N_0 \frac{\lambda_1}{\lambda_2 - \lambda_1} (e^{-\lambda_1 t} - e^{-\lambda_2 t})$$

$$N_3(t) = N_0 \left( 1 - \frac{\lambda_2}{\lambda_2 - \lambda_1} e^{-\lambda_1 t} + \frac{\lambda_1}{\lambda_2 - \lambda_1} e^{-\lambda_2 t} \right)$$

برای  $N_2$  و  $N_3$  عبارتهایی تقریبی به دست آورید، که به ازای مقادیر کوچک  $t$   $\lambda_1 \approx \lambda_2$  صادق باشد.

$$N_2 \approx \frac{N_0}{2} \lambda_1 \lambda_2 t^2, \quad N_3 \approx N_0 \lambda_1 t \quad \text{پاسخ.}$$

عبارتهایی تقریبی برای  $N_2$  و  $N_3$  به دست آورید که به ازای مقادیر بزرگ  $t$  در حالتی زیر صادق باشد

$$\lambda_1 \ll \lambda_2 \quad (\text{ب}) \quad , \quad \lambda_1 \gg \lambda_2 \quad (\text{الف})$$

$$N_2 \approx N_0 (1 - e^{-\lambda_2 t}), \quad \lambda_1 t \gg 1, \quad N_3 \approx N_0 e^{-\lambda_2 t} \quad (\text{الف}) \quad \text{پاسخ.}$$

$$N_2 \approx N_0 (1 - e^{-\lambda_1 t}), \quad \lambda_2 t \gg 1, \quad N_3 \approx N_0 \frac{\lambda_1}{\lambda_2} e^{-\lambda_1 t} \quad (\text{ب})$$

۴۰۹۰۱۵ تشکیل يك ایزوتوپ دريك رآكتور هسته‌ای با رابطه زیر بیان می‌شود

$$\frac{dN_2}{dt} = n\nu\sigma_1 N_1 - \lambda_2 N_2(t) - n_2\sigma_2 N_2(t)$$

در اینجا حاصل ضرب  $n\nu$  عبارت است از شار نوترونها بر حسب تعداد در سانتیمتر مکعب ضرب در

سرعت متوسط بر حسب سانتیمتر بر ثانیه؛  $\sigma_1$  و  $\sigma_2$  (به سانتیمتر مربع) به ترتیب احتمال جذب نوترون توسط ایزوتوپ اصلی با غلظت  $N_1$ ، که ثابت فرض می‌شود، و ایزوتوپ نو تشکیل با غلظت  $N_2$  را نشان می‌دهند. ثابت واپاشی پرتوزای این ایزوتوپ  $\lambda_2$  است.

(الف)  $N_2$ ، غلظت ایزوتوپ نو، را به صورت تابعی از زمان به دست آورید.

(ب) اگر عنصر اصلی  $^{152}\text{Eu}$  باشد، آنگاه  $10^{24} \text{ cm}^{-3} \times 10^4 = 4000$  بارن  $\sigma_1 = 4000$  و  $10^{24} \text{ cm}^{-3} \times 10^5 = 10000$  بارن  $\sigma_2 = 10000$  و  $\lambda_2 = 1.74 \times 10^{-9} \text{ s}^{-1}$ . اگر  $N_1 = 10^{20}$  و  $(n\nu) = 10^9 \text{ cm}^{-2} \text{ s}^{-1}$ ، غلظت  $^{154}\text{Eu}$  را پس از یک سال تابش پیوسته به دست آورید. آیا فرض ثابت بودن  $N_1$  محقق می‌شود؟

۵۰۹۰۱۵ دریک را آکتور هسته‌ای  $^{135}\text{Xe}$ ، هم به صورت محصول مستقیم شکافت و هم به صورت محصول واپاشی،  $^{135}\text{I}$  با نیم عمر ۷ ساعت تشکیل می‌شود. نیم عمر  $^{135}\text{Xe}$ ، ۹٫۲ ساعت است. از آنجا که  $^{135}\text{Xe}$  نوترونهای گرمایی را قویاً جذب و در نتیجه رآکتور هسته‌ای را "مسموم" می‌کند، غلظت آن موضوع بسیار مهمی است. معادلات مربوطه عبارتند از

$$\frac{dN_1}{dt} = \gamma_1 \varphi \sigma_f N_U - \lambda_1 N_1$$

$$\frac{dN_X}{dt} = \lambda_1 N_1 + \gamma_X \varphi \sigma_f N_U - \lambda_X N_X - \varphi \sigma_X N_X$$

در اینجا  $N_1$  غلظت  $^{135}\text{I}$ ،  $N_X$  غلظت  $^{135}\text{Xe}$ ، و  $N_U$  غلظت  $^{235}\text{U}$  است. فرض کنید: ثابت  $N_U =$

$$\gamma_1 = 0.060 = \text{محصول } ^{135}\text{I} \text{ در هر شکافت}$$

$$\gamma_X = 0.003 = \text{محصول مستقیم } ^{135}\text{Xe} \text{ از شکافت}$$

$$\lambda_1 (\lambda_X \text{ یا}) = \frac{\ln 2}{t_{1/2}} = \frac{0.0693}{t_{1/2}}$$

$$\sigma_f = \text{سطح مقطع شکافت } ^{235}\text{U} \text{ برای نوترونهای گرمایی}$$

$$\sigma_X = \text{بارن } 385 \times 10^6 = \text{سطح مقطع جذب نوترونهای گرمایی برای } ^{135}\text{Xe}$$

$$= 385 \times 10^{-18} \text{ cm}^2$$

( $\sigma_1$ ، سطح مقطع جذب  $^{135}\text{I}$  چشم پوشیدنی است.)

$$\varphi = \text{شار نوترون (cm/s)} \times [\text{سرعت متوسط}] \times [\text{تعداد نوترونها}] = \text{شار نوترون}$$

(الف)  $N_X(t)$  را بر حسب  $\varphi$ ، شار نوترون، و حاصلضرب  $\sigma_f N_U$  به دست آورید.

(ب)  $N_X(t \rightarrow \infty)$  را پیدا کنید.

(ج) پس از آنکه  $N_X$  به تعادل برسد، کار رآکتور متوقف می‌شود،  $\varphi = 0$ ،  $N_X(t)$  را

پس از توقف به دست آورید. توجه کنید که  $N_X$  افزایش می‌یابد و این افزایش می‌تواند تا چند ساعت بعد در راه اندازی مجدد رآکتور دخالت کند.

## ۱۰.۱۵ چند خاصیت دیگر

جانفانی

اگر در تعریف تبدیل لاپلاس [معادله (۹۹.۱۵)] به جای پارامتر  $s$ ، پارامتر  $s-a$  را بنشانیم، داریم

$$\begin{aligned} f(s-a) &= \int_0^{\infty} e^{-(s-a)t} F(t) dt = \int_0^{\infty} e^{-st} e^{at} F(t) dt \\ &= \mathcal{L}\{e^{at} F(t)\} \end{aligned} \quad (152.15)$$

بدینسان تعویض  $s$  با  $s-a$  متناظر است با ضرب  $F(t)$  در  $e^{at}$  و برعکس. از این نتیجه می‌توان برای توسعه جدول تبدیلهای بهره‌برداری کرد. از معادله (۱۰۷.۱۵)، بلافاصله بی‌می‌بریم

$$\mathcal{L}\{e^{at} \sin kt\} = \frac{k}{(s-a)^2 + k^2} \quad (153.15)$$

و نیز

$$\mathcal{L}\{e^{at} \cos kt\} = \frac{s-a}{(s-a)^2 + k^2}, \quad s > a$$

## مثال ۱۰.۱۰.۱۵ نوسانگر میرا

وقتی يك جرم نوسان‌کننده با میرایی متناسب با سرعت را بررسی می‌کنیم، عبارتهای بالا به کارمان می‌آیند. معادله (۱۲۹.۱۵)، پس از در نظر گرفتن این میرایی، به صورت زیر درمی‌آید.

$$mX''(t) + bX'(t) + kX(t) = 0 \quad (154.15)$$

که در آن  $b$  ثابت تناسب است. فرض می‌کنیم که ذره در  $X(0) = X_0$  از حالت سکون،  $X'(0) = 0$ ، شروع به حرکت می‌کند. معادله تبدیل یافته عبارت است از

$$m[s^2 x(s) - sX_0] + b[sx(s) - X_0] + kx(s) = 0 \quad (155.15)$$

و

$$x(s) = X_0 \frac{ms + b}{ms^2 + bs + k} \quad (156.15)$$

اکنون جملات تابع  $s$  در مخراج را به صورت مربع کامل درمی‌آوریم، یعنی

$$s^2 + \frac{b}{m}s + \frac{k}{m} = \left(s + \frac{b}{2m}\right)^2 + \left(\frac{k}{m} - \frac{b^2}{4m^2}\right) \quad (157.15)$$

اگر میرایی کوچک باشد،  $b^2 < 4km$ ، جمله آخر مثبت خواهد بود و آن را با  $\omega_1^2$  نمایش می‌دهیم

$$x(s) = X_0 \frac{s + b/m}{(s + b/2m)^2 + \omega_1^2} \quad (158.15)$$

$$= X_0 \frac{s + b/2m}{(s + b/2m)^2 + \omega_1^2} + X_0 \frac{(b/2m\omega_1)\omega_1}{(s + b/2m)^2 + \omega_1^2}$$

با استفاده از معادله (153.15)

$$X(t) = X_0 e^{-(b/2m)t} \left( \cos \omega_1 t + \frac{b}{2m\omega_1} \sin \omega_1 t \right) \quad (159.15)$$

$$= X_0 \frac{\omega_0}{\omega_1} e^{-(b/2m)t} \cos(\omega_1 t - \varphi)$$

که در آن

$$\tan \varphi = \frac{b}{2m\omega_1}$$

$$\omega_0^2 = \frac{k}{m}$$

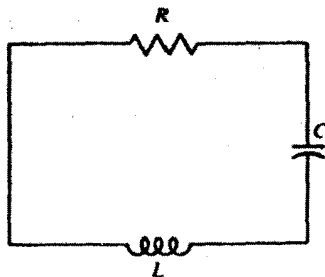
روشن است که این جواب، به ازای  $b \rightarrow 0$ ، به جواب نامیرا تبدیل می‌شود (بخش ۹.۱۵).

### شبهات با مدارهای RLC

تشابه میان این نوسان هماهنگ ساده میرای یک جرم در انتهای فنربایک مدار RLC (مقاومت، القاگر، و خازن) شایان توجه است (شکل ۹.۱۵). مجموع اختلاف پتانسیلهای دور تا دور حلقه در هر لحظه باید صفر باشد (قانون کیرشهوف، بقای انرژی). داریم

$$L \frac{dI}{dt} + RI + \frac{1}{C} \int I dt = 0 \quad (160.15)$$

با مشتقگیری از جریان  $I$  نسبت به زمان (برای حذف انتگرال) داریم



شکل ۹.۱۵ مدار RLC.

$$L \frac{d^2 I}{dt^2} + R \frac{dI}{dt} + \frac{1}{C} I = 0 \quad (161.15)$$

اگر  $I(t)$  را با  $X(t)$ ،  $L$  را با  $m$ ،  $R$  را با  $b$ ،  $C^{-1}$  را با  $k$  تعویض کنیم، معادله (۱۶۱.۱۵) بامسئله مکانیکی یکسان می‌شود. این تنها یکی از مواردی است که ریاضیات وحدتی بین شاخه‌های مختلف فیزیک برقرار می‌کند. برای دستیابی به بحث کاملتری در این خصوص می‌توانید به کتاب السون مراجعه کنید.<sup>۱</sup>

## انتقال

این بار  $f(s)$  را در  $e^{-bs}$ ،  $b > 0$ ، ضرب می‌کنیم

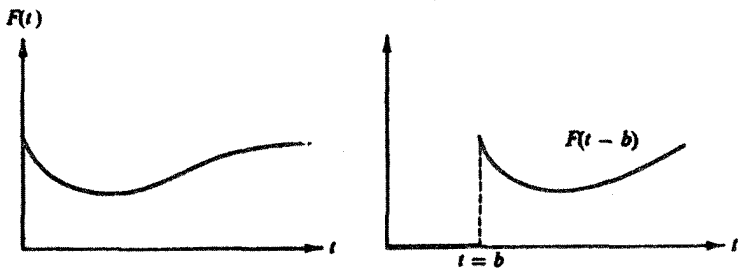
$$\begin{aligned} e^{-bs} f(s) &= e^{-bs} \int_0^{\infty} e^{-st} F(t) dt \\ &= \int_0^{\infty} e^{-s(t+b)} F(t) dt \end{aligned} \quad (162.15)$$

اکنون قرار می‌دهیم:  $t+b = \tau$ . معادله (۱۶۲.۱۵) به صورت زیر درمی‌آید

$$\begin{aligned} e^{-bs} f(s) &= \int_b^{\infty} e^{-s\tau} F(\tau-b) d\tau \\ &= \int_0^{\infty} e^{-s\tau} F(\tau-b) u(\tau-b) d\tau \end{aligned} \quad (163.15)$$

که در آن  $u(\tau-b)$  تابع پله‌ای واحد است. غالباً این رابطه را "قضیه انتقال هوساید" می‌نامند (شکل ۱۵.۱۵).





شکل ۱۰.۱۵ انتقال.

از آنجا که فرض کرده‌ایم  $F(t)$  به ازای  $t < 0$  برابر صفر است، به ازای  $0 < \tau < b$  داریم  $F(\tau - b) = 0$ . بنابراین می‌توانیم حد پایین را تا صفر بسط دهیم بدون اینکه در مقدار انتگرال تغییری حاصل شود. سپس با توجه به اینکه  $\tau$  صرفاً یک متغیر انتگرال‌گیری است، خواهیم داشت

$$e^{-bs} f(s) = \mathcal{L}\{F(t-b)\} \quad (۱۶۴.۱۵)$$

مثال ۲.۱۰.۱۵ امواج الکترومغناطیسی

معادله موج الکترومغناطیسی با  $E = E_y$  یا  $E = E_z$ ، یعنی موجی عرضی که در امتداد محور  $x$  منتشر می‌شود، به صورت زیر است

$$\frac{\partial^2 E(x, t)}{\partial x^2} - \frac{1}{v^2} \frac{\partial^2 E(x, t)}{\partial t^2} = 0 \quad (۱۶۵.۱۵)$$

با تبدیل این معادله بر حسب  $t$ ، داریم

$$\frac{\partial^2}{\partial x^2} \mathcal{L}\{E(x, t)\} - \frac{s^2}{v^2} \mathcal{L}\{E(x, t)\} + \frac{s}{v^2} E(x, 0) + \frac{1}{v^2} \frac{\partial E(x, t)}{\partial t} \Big|_{t=0} = 0 \quad (۱۶۶.۱۵)$$

اگر برای شرط اولیه داشته باشیم:  $E(x, 0) = 0$  و

$$\frac{\partial E(x, t)}{\partial t} \Big|_{t=0} = 0$$

آنگاه

$$\frac{\partial^2}{\partial x^2} \mathcal{L}\{E(x, t)\} = \frac{s^2}{v^2} \mathcal{L}\{E(x, t)\} \quad (۱۶۷.۱۵)$$

جواب (این معادله دیفرانسیل معمولی) عبارت است از

$$\mathcal{L}\{E(x, t)\} = c_1 e^{-(s/v)x} + c_2 e^{+(s/v)x} \quad (168.15)$$

"ثابت‌های"  $c_1$  و  $c_2$  را شرایط مرزی دیگری تعیین می‌کنند. این دو کمیت نسبت به  $x$  ثابت اند، ولی می‌توانند به  $s$  وابسته باشند. اگر موج ما به ازای  $x \rightarrow \infty$  متناهی باقی بماند،  $\mathcal{L}\{E(x, t)\}$  نیز متناهی باقی خواهد ماند. بدینسان  $c_2 = 0$ .

اگر  $E(0, t)$  را با  $F(t)$  نمایش دهیم، آنگاه  $c_1 = f(s)$  و

$$\mathcal{L}\{E(x, t)\} = e^{-(s/v)x} f(s) \quad (169.15)$$

با استفاده از خاصیت انتقال [معادله (164.15)]، بلافاصله می‌یابیم

$$E(x, t) = \begin{cases} F\left(t - \frac{x}{v}\right), & t \geq \frac{x}{v} \\ 0, & t < \frac{x}{v} \end{cases} \quad (170.15)$$

بامشتقگیری و جا نشانی در معادله (165.15)، می‌توان درستی معادله (170.15) را تأیید کرد. جواب ما نمایانگر موجی (یا پالس) است که با سرعت  $v$  در راستای مثبت  $x$  حرکت می‌کند. توجه کنید که ناحیه متناظر با  $x > vt$  دست نخورده باقی می‌ماند؛ یعنی این پالس هنوز به آنجا نرسیده است. اگر می‌خواستیم سیگنالی در راستای منفی محور  $x$  منتشر شود، باید  $c_1$  را صفر قرار می‌دادیم و به دست می‌آوردیم

$$E(x, t) = \begin{cases} F\left(t + \frac{x}{v}\right), & t \geq -\frac{x}{v} \\ 0, & t < -\frac{x}{v} \end{cases} \quad (171.15)$$

یعنی موجی در امتداد منفی محور  $x$ .

مشتق تبدیل

هر گاه  $F(t)$ ، که دست کم پاره پاره پیوسته است، و  $s$  را طوری بگیریم که  $e^{-st} F(t)$  به ازای مقادیر بزرگ  $s$  به طور نمایی همگرا شود، انتگرال

$$\int_0^{\infty} e^{-st} F(t) dt$$

به طور یکنواخت همگر است و می توان از آن (زیر علامت انتگرال) نسبت به  $s$  مشتق گرفت.  
در این صورت

$$f'(s) = \int_0^{\infty} (-t)e^{-st}F(t)dt = \mathcal{L}\{-tF(t)\} \quad (172.15)$$

با ادامه این فرایند، خواهیم داشت

$$f^{(n)}(s) = \mathcal{L}\{(-t)^n F(t)\} \quad (173.15)$$

همه انتگرالهایی که به این صورت به دست می آیند، به دلیل رفتار نزولی نمایی  $e^{-st}F(t)$ ، به طور یکنواخت همگر آیند.

با بهره گیری از همین شگرد می توانیم تبدیلهای دیگری پدید آوریم. مثلاً

$$\mathcal{L}\{e^{kt}\} = \int_0^{\infty} e^{-st}e^{kt}dt \quad (174.15)$$

$$= \frac{1}{(s-k)}, \quad s > k$$

پس از مشتقگیری نسبت به  $s$  (یا  $k$ ) داریم

$$\mathcal{L}\{te^{kt}\} = \frac{1}{(s-k)^2}, \quad s > k \quad (175.15)$$

مثال ۳.۱۵.۱۵ معادله بسل

یکی از کاربردهای جالب تبدیل لاپلاسی که به صورت دیفرانسیلی باشد در جواب معادله بسل با  $n=0$  ظاهر می شود. از فصل ۱۱ داریم

$$x^2 y''(x) + xy'(x) + x^2 y(x) = 0 \quad (176.15)$$

طرفین این معادله را بر  $x$  تقسیم می کنیم و قرار می دهیم  $t=x$  و  $F(t)=y(x)$  تا با نمادگذاری معمول در این فصل سازگاری برقرار شود، می بینیم که معادله بسل به صورت زیر درمی آید

$$tF''(t) + F'(t) + tF(t) = 0 \quad (177.15)$$

به یک جواب منظم، در حالت خاص  $F(0)=1$ ، نیاز داریم. از معادله (۱۷۷.۱۵) با  $t=0$  داریم  $F'(0)=0$ . علاوه بر این، فرض می کنیم که تابع نامعلوم ما،  $F(t)$ ، دارای یک تبدیل باشد. آنگاه، با تبدیل و بهره گیری از معادله های (۱۷۴.۱۵) و (۱۷۲.۱۵)، داریم

$$-\frac{d}{ds} [s^2 f(s) - s] + s f(s) - 1 - \frac{d}{ds} f(s) = 0 \quad (178.15)$$

از باز آرای معادله (۱۷۸.۱۵) خواهیم داشت

$$(s^2 + 1)f'(s) + s f(s) = 0 \quad (179.15)$$

یا

$$\frac{df}{f} = -\frac{s ds}{s^2 + 1} \quad (180.15)$$

که معادله دیفرانسیل مرتبه اولی است. پس از انتگرالگیری

$$\ln f(s) = -\frac{1}{2} \ln(s^2 + 1) + \ln C \quad (181.15)$$

که می توان آن را به صورت زیر باز نویسی کرد

$$f(s) = \frac{C}{\sqrt{s^2 + 1}} \quad (182.15)$$

$f(s)$  را در یک سری از توانهای منفی  $s$ ، که به ازای  $s > 1$  همگراست، بسط می دهیم تا بتوانیم از معادله (۱۵۸.۱۵) بهره گیریم

$$f(s) = \frac{C}{s} \left(1 + \frac{1}{s^2}\right)^{-1/2} \quad (183.15)$$

$$= \frac{C}{s} \left[ 1 - \frac{1}{2s^2} + \frac{1 \times 3}{2^2 \times 2! s^4} - \dots + \frac{(-1)^n (2n)!}{(2^n n!)^2 s^{2n}} + \dots \right]$$

پس از تبدیل جمله به جمله، داریم

$$F(t) = C \sum_{n=0}^{\infty} \frac{(-1)^n t^{2n}}{(2^n n!)^2} \quad (184.15)$$

که در آن اگر با توجه به شرط اولیه  $F(0) = 1$ ،  $C$  را یک بگیریم،  $F(t)$  همان  $J_0(t)$ ، یعنی تابع آشنای مرتبه صفرم بسل است. بنابراین

$$\mathcal{L}\{J_0(t)\} = \frac{1}{\sqrt{s^2 + 1}} \quad (185.15)$$

به یاد داشته باشید که فرض کرده ایم  $s > 1$ . اثبات این مسئله را به ازای  $s > 0$  به عنوان

تمرین به خواننده واگذار می‌کنیم.

شایان ذکر است علت توفیق ما در این کاربرد و نیز اینکه نسبتاً آسان بود، آن است که ما معادلهٔ بسل را با  $n=0$  در نظر گرفتیم. همین امر باعث شد که بتوانیم یک عامل  $x$  (یا  $t$ ) را حذف کنیم. در غیر این صورت، جملاتی به شکل  $t^2 F(t)$  یک مشتق دوم  $f(s)$  را وارد می‌کردند و حل معادلهٔ حاصل به هیچ وجه آسانتر از معادلهٔ اصلی نمی‌شد.

اگر از معادلات دیفرانسیل خطی با ضرایب ثابت فراتر برویم، باز هم می‌توان تبدیل لاپلاس را به کاربرد، ولی هیچ تضمینی وجود ندارد که این کارچندان سودمند باشد.

کاربرد تبدیل لاپلاس برای معادلهٔ بسل با  $n \neq 0$  را می‌توان در مراجع گوناگون یافت. علاوه بر این، می‌توانیم با نمایش  $J_n(t)$  به صورت یک سری نامتناهی و تبدیل کردن جمله به جمله آن نشان دهیم که

$$\mathcal{L}\{J_n(at)\} = \frac{a^{-n}(\sqrt{s^2+a^2}-s)^n}{\sqrt{s^2+a^2}} \quad (186.15)$$

انتگرالگیری از تبدیلهای

باز هم برای  $F(t)$ ، که دست کم پاره پاره پیوسته است،  $x$  آنقدر بزرگ که  $e^{-xt}F(t)$  (در حد  $x \rightarrow \infty$ ) به صورت نمایی نزول کند، انتگرال زیر نسبت به  $x$  به صورت یکنواخت همگر است

$$f(x) = \int_0^{\infty} e^{-xt} F(t) dt \quad (187.15)$$

به همین دلیل می‌توانیم ترتیب انتگرالگیری را در معادلهٔ زیر معکوس کنیم

$$\begin{aligned} \int_a^b f(x) dx &= \int_a^b \int_0^{\infty} e^{-xt} F(t) dt dx \\ &= \int_0^{\infty} \frac{F(t)}{t} (e^{-at} - e^{-bt}) dt \end{aligned} \quad (188.15)$$

که در قسمت آخر، انتگرال بر حسب  $x$  را محاسبه کرده‌ایم. حد پایین  $s$  را چندان بزرگ می‌گیریم که  $f(s)$  ذرون ناحیهٔ همگرایی یکنواخت قرار گیرد. اکنون با قراردادن  $b \rightarrow \infty$  داریم

$$\begin{aligned} \int_a^{\infty} f(x) dx &= \int_0^{\infty} \frac{F(t)}{t} e^{-at} dt \\ &= \mathcal{L}\left\{\frac{F(t)}{t}\right\} \end{aligned} \quad (189.15)$$

مشروط بر آنکه  $F(t)/t$  در  $t=0$  متناهی بماند و یا به صورتی ضعیفتر از  $t^{-1}$  واگرا شود (به طوری که  $\mathcal{L}\{F(t)/t\}$  وجود داشته باشد).

حدود انتگرالگیری-تابع پله ای واحد

حدود واقعی انتگرال مربوط به تبدیل لاپلاس را می توان با تابع پله ای واحد (هویساید) مشخص کرد

$$u(t-k) = \begin{cases} 0, & t < k \\ 1, & t > k \end{cases}$$

مثلا

$$\begin{aligned} \mathcal{L}\{u(t-k)\} &= \int_k^{\infty} e^{-st} dt \\ &= \frac{1}{s} e^{-ks} \end{aligned}$$

هر پالس مستطیلی به عرض  $k$  و ارتفاع واحد را می توان به کمک  $F(t) = u(t) - u(t-k)$  توصیف کرد. پس از گرفتن تبدیل لاپلاس، داریم

$$\begin{aligned} \mathcal{L}\{u(t) - u(t-k)\} &= \int_0^k e^{-st} dt \\ &= \frac{1}{s} (1 - e^{-ks}) \end{aligned}$$

تابع پله ای واحد در معادله (۱۶۳.۱۵) هم به کار رفته است، و می توان آن را در مسئله ۱۵.۱۰.۱۳ نیز جستجو کرد.

مسائل

۱۰۱۰.۱۵ معادله (۱۵۴.۱۵) را که توصیفگر یک نوسانگر هماهنگ ساده میراست، با شرایط  $X(0) = X_0$ ،  $X'(0) = 0$  در هر یک از حالت های زیر حل کنید

(الف)  $b^2 = 4km$  (میرای بحرانی)،

(ب)  $b^2 > 4km$  (تند میرا).

پاسخ. (الف)  $X(t) = X_0 e^{-(b/2m)t} \left(1 + \frac{b}{2m} t\right)$

۲۰۱۰۰۱۵ معادله (۱۵۴.۱۵)، که توصیفگر یک نوسانگر هماهنگ ساده میراست، با شرایط  $X(0) = 0$ ،  $X'(0) = v_0$ ، در هر یک از حالت‌های زیر حل کنید  
 (الف)  $b^2 < 4km$  (کند میرا)،  
 (ب)  $b^2 = 4km$  (میرای بحرانی).

پاسخ. (الف)  $X(t) = \frac{v_0}{\omega_1} e^{-(b/2m)t} \sin \omega_1 t$   
 (ب)  $X(t) = v_0 t e^{-(b/2m)t}$   
 (ج)  $b^2 > 4km$  (تند میرا).

۳۰۱۰۰۱۵ حرکت جسمی را که در یک محیط مقاوم سقوط می‌کند، می‌توان توسط معادله زیر توصیف کرد

$$m \frac{d^2 X(t)}{dt^2} = mg - b \frac{dX(t)}{dt}$$

که در آن نیروی ترمزی با سرعت متناسب است.  $X(t)$  و  $dX(t)/dt$  را برای شرایط اولیه زیر به دست آورید

$$X(0) = \left. \frac{dX}{dt} \right|_{t=0} = 0$$

۴۰۱۰۰۱۵ مدار حلقه‌ای. در برخی مدارهای الکترونیکی، مقاومت، القاگر، و خازن را به صورت موازی در مدار مسطح قرار می‌دهند (شکل ۱۱۰۱۵). ولتاژ ثابتی در دوسر عناصر موازی در مدار برقرار می‌شود که خازن را باردار می‌کند. در لحظه  $t = 0$  منبع ولتاژ از مدار خارج می‌کنیم. ولتاژ دوسر عناصر موازی  $R$ ،  $L$ ، و  $C$  را به صورت تابعی از زمان به دست آورید.  $R$  را بزرگ بگیرد.  
 راهنمایی. از قوانین کیرشهوف داریم

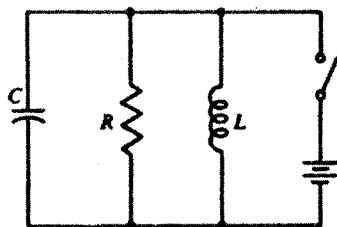
$$I_R + I_C + I_L = 0 \quad \text{و} \quad E_R = E_C = E_L$$

که در آن

$$E_R = I_R R$$

$$E_C = \frac{q_0}{C} + \frac{1}{C} \int_0^t I_C dt$$

$$E_L = L \frac{dI_L}{dt}$$



شکل ۱۱.۱۵ مدار حلقه‌ای.

بار اولیه خازن  $q_0 = 0$

اگر امپدانس dc عبارت باشد از  $L = 0$ ، قرار دهید  $I_L(0) = I_0$ ،  $E_L(0) = 0$ ، یعنی:  $q_0 = 0$

۵.۱۰.۱۵ برای  $J_0(t)$  که به صورت یک انتگرال پربندی بیان شده است، از عمل تبدیل لاپلاس استفاده کنید، ترتیب انتگرالگیری را معکوس کنید و از آنجا نشان دهید که

$$\mathcal{L}\{J_0(t)\} = (s^2 + 1)^{-1/2}, \quad s > 0$$

۶.۱۰.۱۵ با استفاده از رابطه بازگشتی تابع بسل، تبدیل لاپلاس  $J_n(t)$  را از  $\mathcal{L}\{J_0(t)\}$  به دست آورید.

دانهمایی. در اینجا فرصت خوبی فراهم آمده که از استقرای ریاضی بهره‌گیرید.

۷.۱۰.۱۵ در محاسبه میدان مغناطیسی یک حلقه دایره‌ای جریان در مختصات استوانه‌ای، به انتگرال زیر برمی‌خوریم

$$\int_0^\infty e^{-kz} k J_1(ka) dk, \quad \Re(z) \geq 0$$

نشان دهید که جواب این انتگرال عبارت است از  $a/(z^2 + a^2)^{3/2}$

۸.۱۰.۱۵ پتانسیل الکتروستاتیکی بار نقطه‌ای  $q$  واقع در مبدأ مختصات استوانه‌ای عبارت است از

$$\frac{q}{4\pi\epsilon_0} \int_0^\infty e^{-kz} J_0(k\rho) dk = \frac{q}{4\pi\epsilon_0} \cdot \frac{1}{(\rho^2 + z^2)^{1/2}}, \quad \Re(z) \geq 0$$



با استفاده از این رابطه نشان دهید که تبدیلهای فوریه کسینوسی و سینوسی  $J_0(k\rho)$  عبارتند از

$$\sqrt{\frac{\pi}{\rho}} F_0\{J_0(k\rho)\} = \int_0^\infty J_0(k\rho) \cos k\xi dk = \quad (\text{الف})$$

$$\begin{cases} (\rho^2 - \xi^2)^{-1/2}, & \rho > \xi \\ 0, & \rho < \xi \end{cases}$$

$$\sqrt{\frac{\pi}{\rho}} F_0\{J_0(k\rho)\} = \int_0^\infty J_0(k\rho) \sin k\xi dk = \quad (\text{ب})$$

$$\begin{cases} 0, & \rho > \xi \\ (\xi^2 - \rho^2)^{-1/2}, & \rho < \xi \end{cases}$$

دانهایی. به جای  $z$  عبارت  $z + i\xi$  را بنشانید وحد  $z \rightarrow 0$  را بگیرید.

۹۰۱۰۰۱۵ نشان دهید که

$$\mathcal{L}\{I_0(at)\} = (s^2 - a^2)^{-1/2}, \quad s > a$$

۱۰۰۱۰۰۱۵ درستی تبدیلهای لاپلاس زیر را تحقیق کنید

$$\mathcal{L}\{j_0(at)\} = \mathcal{L}\left\{\frac{\sin at}{at}\right\} = \frac{1}{a} \cot^{-1}\left(\frac{s}{a}\right) \quad (\text{الف})$$

(ب)  $\mathcal{L}\{n_0(at)\}$  وجود ندارد.

$$\mathcal{L}\{i_0(at)\} = \mathcal{L}\left\{\frac{\sinh at}{at}\right\} = \frac{1}{2a} \ln \frac{s+a}{s-a} \quad (\text{ج})$$

$$= \frac{1}{a} \coth^{-1}\left(\frac{s}{a}\right)$$

(د)  $\mathcal{L}\{k_0(at)\}$  وجود ندارد.

۱۱۰۱۰۰۱۵ جواب تبدیل لاپلاس معادله لاگرانژ را به دست آورید

$$tF''(t) + (1-t)F'(t) + nF(t) = 0$$

توجه کنید که به مشتق تبدیل و تبدیل مشتقها نیاز دارید حل مسئله را تا آنجا که می‌توانید با  $n = n$  ادامه دهید؛ بنگاه (ونه پیش از آن) قرار دهید  $n = 0$ .

۱۲.۱۰.۱۵ نشان دهید که تبدیل لاپلاس چندجمله‌ای لاگر  $L_n(at)$  از رابطه زیر به دست می‌آید

$$\mathcal{L}\{L_n(at)\} = \frac{(s-a)^n}{s^{n+1}}, \quad s > 0$$

۱۳.۱۰.۱۵ نشان دهید

$$\mathcal{L}\{E_1(t)\} = \frac{1}{s} \ln(s+1), \quad s > 0$$

که در آن

$$E_1(t) = \int_t^\infty \frac{e^{-\tau} d\tau}{\tau} = \int_1^\infty \frac{e^{-x}}{x} dx$$

$E_1(t)$  تابع انتگرال نمایی است.

۱۴.۱۰.۱۵ (الف) با استفاده از معادله (۱۸۹.۱۵) نشان دهید که

$$\int_0^\infty f(x) dx = \int_0^\infty \frac{F(t)}{t} dt$$

مشروط بر آنکه انتگرالها وجود داشته باشند.  
(ب) با استفاده از نتیجه بالا نشان دهید

$$\int_0^\infty \frac{\sin t}{t} dt = \frac{\pi}{2}$$

که با معادلات (۱۲۲.۱۵) و (۴۱.۷) سازگار است.

۱۵.۱۰.۱۵ (الف) نشان دهید

$$\mathcal{L}\left\{\frac{\sin kt}{t}\right\} = \cot^{-1}\left(\frac{s}{k}\right)$$

(ب) با استفاده از این نتیجه (با  $k=1$ )، ثابت کنید

$$\mathcal{L}\{si(t)\} = -\frac{1}{s} \tan^{-1} s$$

که در آن  $si(t)$ ، انتگرال سینوس، بنا بر تعریف عبارت است از

$$si(t) = -\int_t^{\infty} \frac{\sin x}{x} dx$$

۱۶۰۱۵ اگر  $F(t)$  تابعی دوره‌ای با دوره تناوب  $a$  باشد (شکل ۱۲۰۱۵) به طوری که بدازای همه مقادیر  $t \geq 0$  داشته باشیم:  $F(t+a) = F(t)$ ، نشان دهید

$$\mathcal{L}\{F(t)\} = \frac{\int_0^a e^{-st} F(t) dt}{1 - e^{-as}}$$

که در آن انتگرال‌گیری فقط روی اولین دوره تناوب  $F(t)$  صورت می‌گیرد.

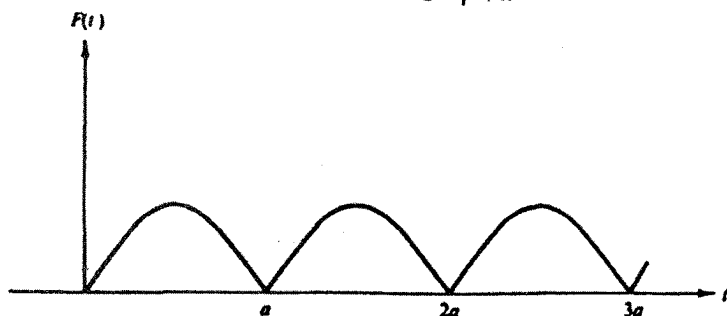
۱۷۰۱۵ تبدیل لاپلاس موج مربعی (با دوره تناوب  $a$ ) را بیابید که بنا بر تعریف عبارت است از

$$F(t) = \begin{cases} 1, & 0 < t < a/2 \\ 0, & a/2 < t < a \end{cases}$$

پاسخ.  $f(s) = \frac{1}{s} \times \frac{1 - e^{-as/2}}{1 - e^{-as}}$

۱۸۰۱۵ نشان دهید

$$\mathcal{L}\{\cosh at \cos at\} = \frac{s^2}{s^2 + 4a^2} \quad (\text{الف})$$



شکل ۱۲۰۱۵ تابع دوره‌ای.

$$\mathcal{L}\{\cosh at \sin at\} = \frac{as^2 + 2a^3}{s^4 + 4a^4} \quad (\text{ب})$$

$$\mathcal{L}\{\sinh at \cos at\} = \frac{as^2 - 2a^3}{s^4 + 4a^4} \quad (\text{ج})$$

$$\mathcal{L}\{\sinh at \sin at\} = \frac{2a^3 s}{s^4 + 4a^4} \quad (\text{د})$$

۱۹۰۱۰۱۵ نشان دهید

$$\mathcal{L}^{-1}\{(s^2 + a^2)^{-2}\} = \frac{1}{2a^3} \sin at - \frac{1}{2a^2} t \cos at \quad (\text{الف})$$

$$\mathcal{L}^{-1}\{s(s^2 + a^2)^{-2}\} = \frac{1}{2a} t \sin at \quad (\text{ب})$$

$$\mathcal{L}^{-1}\{s^2(s^2 + a^2)^{-2}\} = \frac{1}{2a} \sin at + \frac{1}{2} t \cos at \quad (\text{ج})$$

$$\mathcal{L}^{-1}\{s^3(s^2 + a^2)^{-2}\} = \cos at - \frac{a}{2} t \sin at \quad (\text{د})$$

۲۰۰۱۰۱۵ نشان دهید

$$\mathcal{L}\{(t^2 - k^2)^{-1/2} u(t - k)\} = K_0(ks)$$

راهنمایی. راه حل زیر را امتحان کنید: یک نمایش انتگرالی  $K_0(ks)$  را به انتگرال تبدیل لاپلاس برگردانید.

۲۱۰۱۰۲۵ تبدیل لاپلاس

$$\int_0^{\infty} e^{-xs} x J_0(x) dx = \frac{s}{(s^2 + 1)^{3/2}}$$

را می توان به صورت زیر نوشت

$$\frac{1}{s^2} \int_0^{\infty} e^{-y} y J_0(y/s) dy = \frac{s}{(s^2 + 1)^{3/2}}$$

که به صورت کوادراتور گاوس-لاگر است. این انتگرال را به ازای  $s = ۱۰۵, ۱۰۹, ۱۱۳, \dots$  محاسبه کنید. یعنی  $s$  با گامهای ۴ دره نزولی باشد، تا جایی که خطای نسبی تا ده درصد افزایش

یابد (کاهش  $s$  باعث می شود که انتگرالده، در واحد طول  $y$ ، تندتر نوسان کند، و در نتیجه دقت کوادراتور عددی کاهش می یابد).

۲۲.۱۰.۱۵ (الف) انتگرال

$$\int_0^{\infty} e^{-kz} k J_1(ka) dk$$

را به کمک کوادراتور گاوس-لاگر محاسبه کنید. قرار دهید  $a=1$  و  $z=0.1$  (۰.۱) و  $0.1$  (۰.۱) را محاسبه کنید. (ب) با استفاده از صورت تحلیلی، مسئله ۷.۱۰.۱۵، خطای مطلق و خطای نسبی را محاسبه کنید.

### ۱۱.۱۵ قضیه پیچش یا قضیه فالتونگ

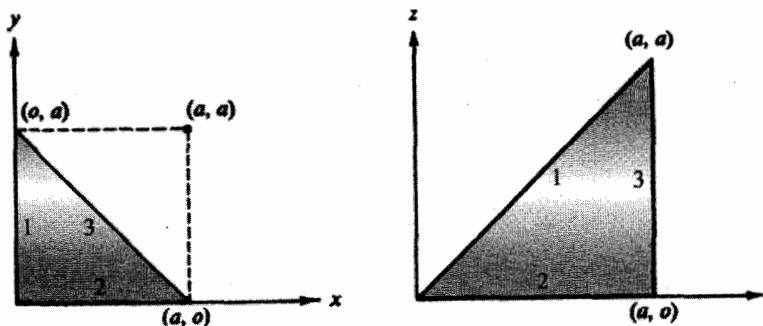
یکی از مهمترین خواص تبدیل لاپلاس آن است که به کمک قضیه پیچش یا فالتونگ بیان می شود. دو تبدیل زیر را درهم ضرب می کنیم

$$f_1(s) = \mathcal{L}\{F_1(t)\} \quad \text{و} \quad f_2(s) = \mathcal{L}\{F_2(t)\} \quad (190.15)$$

برای گریز از پیچیدگیهای ممکن در ضمن عملیات تغییر متغیر، حدود بالایی را متناهی نگه می داریم

$$f_1(s) \cdot f_2(s) = \lim_{a \rightarrow \infty} \int_0^a e^{-sx} F_1(x) dx \int_0^{a-x} e^{-sy} F_2(y) dy \quad (191.15)$$

حدهای بالایی را چنان برگزیده ایم که مساحت انتگرالگیری، مطابق شکل ۱۳.۱۵ (الف)، مثلث سایه دار، و نه مربع، باشد. اگر روی مربعی در صفحه  $xy$  انتگرال بگیریم، در صفحه



شکل ۱۳.۱۵ تغییر متغیرها، (الف) صفحه  $xy$ ، (ب) صفحه  $zt$ .

۱. یک راه دیگر برای استخراج این قضیه آن است که از انتگرال برامویج (بخش ۱۲.۱۵) بهره بگیریم. این کار را موضوع مسئله ۳.۱۲.۱۵ قراردادده ایم.

$tz$  یک متوازی الاضلاع خواهیم داشت، که صرفاً موضوع را پیچیده تر می کند. علت مجاز بودن این اصلاح آن است که فرض می شود دو انتگرالده بد صورت نمایشی افت می کنند. سهم انتگرال روی مثلث با سطح بدون سایه، در حد  $a \rightarrow \infty$ ، صفر است. ناحیه انتگرالگیری، به کمک جانشانی  $z = t - x$ ،  $y = z$ ، روی مثلثی مطابق شکل ۱۳.۱۵ (ب)، نگاشته می شود. برای تحقیق در درستی این نگاشت، رئوس  $t = x + y$  و  $z = y$  را بنگارید. برای تبدیل عنصر مساحت، از ژاکوبی بهره می گیریم

$$dx dy = \begin{vmatrix} \frac{\partial x}{\partial t} & \frac{\partial y}{\partial t} \\ \frac{\partial x}{\partial z} & \frac{\partial y}{\partial z} \end{vmatrix} dt dz = \begin{vmatrix} 1 & 0 \\ -1 & 1 \end{vmatrix} dt dz \quad (192.15)$$

یا  $dx dy = dt dz$ . معادله (۱۹۱.۱۵) با این جانشانی بد صورت زیر درمی آید

$$f_1(s) \cdot f_2(s) = \lim_{a \rightarrow \infty} \int_0^a e^{-st} \int_0^t F_1(t-z) F_2(z) dz dt \quad (193.15)$$

$$= \mathcal{L} \left\{ \int_0^t F_1(t-z) F_2(z) dz \right\}$$

برای راحتی کار این انتگرال را با نماد زیر نمایش می دهند

$$\int_0^t F_1(t-z) F_2(z) dz \equiv F_1 * F_2 \quad (194.15)$$

آنرا پیچش می خوانند، که به پیچش فوریه خیلی شبیه است (بخش ۵.۱۵). اگر فرادهم  $w = t - z$ ، خواهیم داشت

$$F_1 * F_2 = F_2 * F_1 \quad (195.15)$$

که نمایانگر تقارن این رابطه است.

با انجام تبدیل وارون، همچنین خواهیم داشت

$$\mathcal{L}^{-1} \{ f_1(s) \cdot f_2(s) \} = \int_0^t F_1(t-z) F_2(z) dz \quad (196.15)$$

این رابطه در ایجاد تبدیلهای جدید و یا به عنوان راه حل دیگری برای بسط کسر جزئی سودمند است. یکی از موارد استفاده سریع آن در حل معادله های انتگرالی است (بخش ۲۰.۱۶ را ببینید). از آنجا که کران بالایی  $t$  متغیر است، پیچش لاپلاس در حل معادله های انتگرالی ولترا سودمند

است. پیچش فوریه با کرانه‌های (نامتناهی) ثابت برای معادله‌های انتگرالی فرد هوسم به کار می‌رود.

مثال ۱۰۱۱-۱۵ نوسانگر واداشته میرا

برای نمایش موارد استفاده قضیه پیچش، باز جرم  $m$  روی فنری که دارای میرایی است، این بار با نیروی محرك  $F(t)$  را در نظر می‌گیریم. اکنون معادله حرکت (۱۲۹-۱۵) به صورت زیر درمی‌آید

$$mX''(t) + bX'(t) + kX(t) = F(t) \quad (197.15)$$

از شرایط اولیه  $X(0) = 0$ ،  $X'(0) = 0$  برای ساده کردن این نمایش استفاده می‌کنیم. معادله تبدیل شده عبارت است از

$$ms^2x(s) + bsx(s) + kx(s) = f(s) \quad (198.15)$$

یا

$$x(s) = \frac{f(s)}{m} \times \frac{1}{(s + b/2m)^2 + \omega_1^2} \quad (199.15)$$

که در آن، مانند قبل، داریم:  $\omega_1^2 \equiv (k/m) - (b^2/4m^2)$ . با استفاده از قضیه پیچش [معادله (۱۹۳-۱۵) یا (۱۹۶-۱۵)] داریم

$$X(t) = \frac{1}{m\omega_1} \int_0^t F(t-z) e^{-(b/2m)z} \sin \omega_1 z \, dz \quad (200.15)$$

اگر نیروی ضربه‌ای باشد، یعنی  $F(t) = P\delta(t)$ ، آنگاه

$$X(t) = \frac{P}{m\omega_1} e^{-(b/2m)t} \sin \omega_1 t \quad (201.15)$$

$P$  نمایانگر تکانه‌ای است که توسط یک ضربه منتقل شده است و ثابت  $P/m$  جای سرعت اولیه  $X'(0)$  را می‌گیرد.

اگر  $F(t) = F_0 \sin \omega t$ ، می‌توان از معادله (۲۰۰-۱۵) بهره گرفت، ولی شاید بسطی بر حسب کسر جزئی مناسبتر باشد. با اعتنا به عبارت

$$f(s) = \frac{F_0 \omega}{s^2 + \omega^2}$$

معادله (۱۹۹-۱۵) به صورت زیر درمی‌آید

$$x(s) = \frac{F_0 \omega}{m} \times \frac{1}{s^2 + \omega^2} \times \frac{1}{(s + b/2m)^2 + \omega_0^2}$$

$$= \frac{F_0 \omega}{m} \left[ \frac{a's + b'}{s^2 + \omega^2} + \frac{c's + d'}{(s + b/2m)^2 + \omega_0^2} \right] \quad (202.15)$$

ضرایب  $a'$ ،  $b'$ ،  $c'$ ، و  $d'$  از  $s$  مستقل اند. محاسبه مستقیم نشان می‌دهد

$$a' = \frac{b}{m} \omega^2 + \frac{m}{b} (\omega_0^2 - \omega^2)^2$$

$$b' = -\frac{m}{b} (\omega_0^2 - \omega^2) \left[ \frac{b}{m} \omega^2 + \frac{m}{b} (\omega_0^2 - \omega^2)^2 \right]$$

با توجه به اینکه  $c'$  و  $d'$  بدجملاتی (گذرا) منجر می‌شوند که به صورت نمایی کاهش می‌یابند، همین‌جا آنها را کنار می‌گذاریم. پس از انجام عمل وارون، جواب حالت پایا را به صورت زیر به دست می‌آوریم

$$X(t) = \frac{F_0}{[b^2 \omega^2 + m^2 (\omega_0^2 - \omega^2)^2]^{1/2}} \sin(\omega t - \varphi) \quad (203.15)$$

که در آن

$$\tan \varphi = \frac{b\omega}{m(\omega_0^2 - \omega^2)}$$

بامشتگیری از مخرج، پی‌می‌بریم دامنه هنگامی دارای یک بیشینه است که

$$\omega^2 = \omega_0^2 - \frac{b^2}{2m^2} = \omega_0^2 - \frac{b^2}{2m^2} \quad (204.15)$$

این تساوی شرط تشدید به‌شمار می‌آید. در حالت تشدید دامنه برابر  $F_0/b\omega$  می‌شود که نشان می‌دهد اگر از میرایی چشم‌پوشیم ( $b=0$ )، جر  $m\omega$  در حالت تشدید، بینهایت نوسان خواهد کرد. شایان توجه است که در حالت تشدید سه بسامد مشخصه متفاوت داریم: تشدید برای نوسانهای واداشته میرا

$$\omega_0^2 = \omega_0^2 - \frac{b^2}{2m^2}$$

بسامد نوسان آزاد، بامیرایی



$$\omega_1^2 = \omega_0^2 - \frac{b^2}{4m^2}$$

و نوسان آزاد، بدون میرایی

$$\omega_0^2 = \frac{k}{m}$$

این سه نوسان، فقط در شرایط بدون میرایی مساوی خواهند بود.

به معادله‌های (۱۹۷.۱۵) و (۱۹۹.۱۵) باز می‌گردیم، معادله (۱۹۷.۱۵) عبارت است از معادله‌ای دیفرانسیلی که نمایانگر پاسخ یک سیستم دینامیکی بديك نیروی محرك اختیاری است. روشن است که پاسخ نهایی هم به نیروی محرك بستگی دارد و هم به مشخصه‌های سیستم. این وابستگی دوگانه در فضای تبدیل جدا می‌شود. تبدیل پاسخ (خروجی) در معادله (۱۹۹.۱۵) به صورت حاصلضرب دو عامل ظاهر می‌شود، یکی از آنها نیروی محرك (ورودی) و دیگری سیستم دینامیکی را توصیف می‌کند. این عامل دوم را، که ورودی را اصلاح می‌کند و خروجی را می‌دهد، غالباً تابع انتقال متنظر با نوسانگر میرا. مفهوم تابع انتقال در حوزه سرومکانیسم عبارت است از تابع انتقال متنظر با نوسانگر میرا. مفهوم تابع انتقال در حوزه سرومکانیسم کاربرد وسیعی دارد. غالباً مشخصه‌های یک سرومکانیسم خاص را با ارائه تابع انتقال آن توصیف می‌کنند. آنگاه قضیه پیچش، سیگنال خروجی مربوط به يك سیگنال ورودی خاص را به دست می‌دهد.

### مسائل

۱۰۱۱.۱۵ با استفاده از قضیه پیچش نشان دهید

$$\frac{1}{s} f(s) = \mathcal{L} \left\{ \int_0^t F(x) dx \right\}$$

که در آن  $f(s) = \mathcal{L}\{F(t)\}$

۲۰۱۱.۱۵ اگر  $F(t) = t^a$  و  $G(t) = t^b$  و  $a > -1$ ،  $b > -1$

(الف) نشان دهید که پیچش عبارت است از

$$F * G = t^{a+b+1} \int_0^1 y^a (1-y)^b dy$$

(ب) با استفاده از قضیه پیچش نشان دهید

$$\int_0^1 y^a (1-y)^b dy = \frac{a!b!}{(a+b+1)!}$$

اگر به جای  $a$  کمیت  $a-1$  و به جای  $b$  کمیت  $b-1$  را بنشانیم، فرمول اوپلر را برای تابع بتا [معادله (۶۰.۱۵)] به دست می آوریم.

۳۰۹۱.۱۵ با استفاده از انتگرال پیچش، تبدیل وارون زیر را محاسبه کنید

$$\mathcal{L}^{-1}\left\{\frac{s}{(s^2+a^2)(s^2+b^2)}\right\}, \quad a^2 \neq b^2$$

۴۰۹۱.۱۵ یک نوسانگر نامیرا تحت تأثیر نیروی محرك  $F_0 \sin \omega t$  واقع می شود. جا به جایی را به صورت تابعی از زمان مشخص کنید. توجه کنید که این جا به جایی ترکیبی خطی است از دو حرکت هماهنگ ساده، یکی با بسامد نیروی محرك و دیگری با بسامد  $\omega_0$ ، نوسانگر آزاد [فرض کنید که  $X(0) = X'(0) = 0$ ].

$$\text{پاسخ. } X(t) = \frac{F_0/m}{\omega^2 - \omega_0^2} \left( \frac{\omega}{\omega_0} \sin \omega_0 t - \sin \omega t \right)$$

مسائل دیگری که متضمن پیچش لاپلاس باشند، در بخش ۲۰.۱۶ می آیند.

## ۱۲.۱۵ تبدیل وارون لاپلاس

انتگرال برامویچ

اینک عبارتی را برای تبدیل وارون لاپلاس،  $\mathcal{L}^{-1}$ ، تشکیل می دهیم که در معادله زیر ظاهر می شود

$$f(t) = \mathcal{L}^{-1}\{f(s)\} \quad (205.15)$$

یکی از رهیافتها، استفاده از تبدیل فوریه است که رابطه وارون را در مورد آن می دانیم. ولی بر سر انجام این کار مشکلی وجود دارد. تابع تبدیل پذیر فوریه ما باید در شرایط دیریکله صدق کند. علی الخصوص اینکه، باید داشته باشیم

$$\lim_{\omega \rightarrow \infty} G(\omega) = 0 \quad (206.15)$$

به طوری که انتگرال نامتناهی خوش تعریف باشد. در حالی که اکنون با توابعی مانند  $F(t)$  سروکار داریم که ممکن است به صورت نمایی واگرا شوند. برای رفع این مشکل، یک عامل نمایی،  $e^{ct}$ ، را از تابع لاپلاس (احتمالا) واگرا جدا می کنیم و می نویسیم

$$F(t) = e^{ct} G(t) \quad (207.15)$$

۱. اگر توابع دلتا را منظور کنیم،  $G(\omega)$  می تواند یک کسینوس باشد، با وجود آنکه این تابع در معادله (۲۰۶.۱۵) صدق نمی کند، ولی باز هم محدود است.

اگر  $F(t)$  به صورت  $e^{at}$  واگرا شود، این شرط را قرار می‌دهیم که  $\gamma$  از  $\alpha$  چندان بزرگتر باشد که  $G(t)$  همگرا شود. اینک با این  $G(t)$  که به ازای  $t < 0$  برابر صفر است، و در سایر حالتها به اندازه کافی محدود است به طوری که می‌توان آنرا توسط یک انتگرال فوریه نمایش داد [معادله (۲۰۱۵)], داریم

$$G(t) = \frac{1}{2\pi} \int_{-\infty}^{\infty} e^{iut} du \int_0^{\infty} G(v) e^{-iuv} dv \quad (208.15)$$

معادله (۲۰۸.۱۵) را، با بهره‌گیری از معادله (۲۰۷.۱۵) به صورت زیر بازنویسی می‌کنیم

$$F(t) = \frac{e^{\gamma t}}{2\pi} \int_{-\infty}^{\infty} e^{iuv} du \int_0^{\infty} F(v) e^{-iuv} e^{-\gamma v} dv \quad (209.15)$$

اکنون انتگرال روی  $v$ ، با تغییر متغیر

$$s = \gamma + iu \quad (210.15)$$

به صورت یک تبدیل لاپلاس درمی‌آید

$$\int_0^{\infty} F(v) e^{-sv} dv = f(s) \quad (211.15)$$

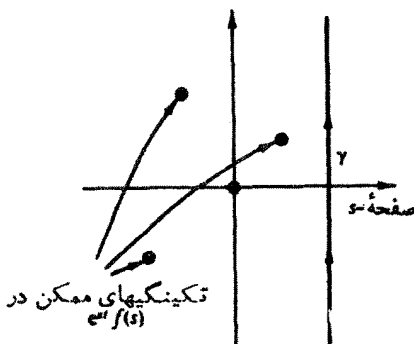
اکنون  $s$  متغیری مختلط است و برای آنکه همگرایی تضمین شود، باید داشته باشیم:  $\Re(s) \geq \gamma$ . دقت کنید که تبدیل لاپلاس، تابعی را که روی محور حقیقی مثبت مشخص شده است روی صفحه مختلط در  $\Re(s) \geq \gamma$  می‌نگارد.

به ازای مقدار ثابت  $\gamma$  داریم:  $ds = idu$ . با نشان دادن معادله (۲۱۱.۱۵) در معادله (۲۰۹.۱۵)

$$F(t) = \frac{1}{2\pi i} \int_{\gamma - i\infty}^{\gamma + i\infty} e^{st} f(s) ds \quad (212.15)$$

این عبارت همان تبدیل وارون مورد نظر ماست. خط انتگرالگیری را (با استفاده از  $ds = idu$ )  $90^\circ$  چرخانده‌ایم. مسیر به یک خط قائم نامتناهی در صفحه مختلط مبدل شده است؛ ثابت  $\gamma$  را طوری گرفته‌ایم که همه تکنیگیهای  $f(s)$  در سمت چپ این خط قرار گیرد (شکل ۱۴-۱۵). تبدیل وارون، معادله (۲۱۲.۱۵)، را معمولاً انتگرال برامویچ می‌نامند، گرچه گاهی

۱. یکی از روشهای استخراج تبدیل وارون لاپلاس تنها با استفاده از متغیرهای حقیقی را می‌توان در مقاله زیر یافت:



شکل ۱۴-۱۵ تکنیکهای  $e^{st}f(s)$ .

هم آن را قضیه فوریه ملین یا انتگرال فوریه ملین می گویند. اکنون می توان این انتگرال را باروشهای متداول انتگرال گیری پربندی (فصل ۷) محاسبه کرد. اگر  $t > 0$ ، پربند را می توان توسط يك نیمدایره نامتناهی در نیم صفحه سمت چپی بست. آنگاه با استفاده از قضیه مانده (بخش ۲۰۷) داریم

$$F(t) = \sum (\mathcal{R}(s) < \gamma) \text{ موجود در } (213.15)$$

ممکن است این نحوه محاسبه انتگرال، که در آن  $\mathcal{R}(s)$  در گستره مقادیر منفی قرار می گیرد، از لحاظ شرط قبلی  $\mathcal{R}(s) > \gamma$ ، يك پارادوکس بنماید. این پارادوکس وقتی از بین می رود که به خاطر بیاوریم، شرط تعریف کننده  $f(s)$ ، یعنی  $\mathcal{R}(s) \geq \gamma$ ، برای تضمین همگرایی انتگرال تبدیل لاپلاس برقرار شده است. هنگامی که  $f(s)$  را به دست آوردیم، می توانیم ادامه دهیم و خواص آن را، در هر جا که بخواهیم، به عنوان يك تابع تحلیلی در صفحه مختلط مورد استفاده قرار دهیم. در واقع درست همان طور که از رابطه بازگشتی مربوط به تابع فاکتوریل برای ادامه دادن تعریف انتگرال اوایلر [معادله (۵۰۱۵)] به نیم صفحه سمت چپ استفاده شد، در اینجا هم برای به دست آوردن  $\mathcal{L}\{F(t)\}$  در نیم صفحه سمت چپ تمديد تحلیلی را به کار برده ایم.

شاید یکی دو مثال نحوه محاسبه معادله (۲۱۲-۱۵) را روشتر سازد.

مثال ۱۰۱۲-۱۵ وارون سازی از طریق حساب مانده ها

اگر  $f(s) = a/(s^2 - a^2)$ ، آنگاه

۱. ممکن است در محاسبات عددی،  $f(s)$  تنها به ازای مقادیر مثبت، حقیقی، و گسسته  $s$  قابل حصول باشد. در آن صورت روشهای عددی مشخص می شوند. بخش ۸۰-۱۵ و مرجع مربوط به کریلوف و اسکوبلیا را ببینید.

$$e^{at} f(s) = \frac{ae^{at}}{s^2 - a^2} = \frac{ae^{at}}{(s+a)(s-a)} \quad (214.15)$$

مانده‌ها را می‌توان با استفاده از مسئله ۱۰۱.۷ یا به‌طریقی دیگر به‌دست آورد. قدم اول مشخص کردن تکینگیها، یا قطبهاست. در اینجا يك قطب ساده در  $s=a$  و يك قطب ساده دیگر در  $s=-a$  داریم. مانده در  $s=a$ ، با استفاده از مسئله ۱۰۱.۷ برابر  $(1/2)e^{at}$  است و مانده در  $s=-a$  برابر  $(-1/2)e^{-at}$  است. لذا داریم

$$\text{مانده‌ها} = \left(\frac{1}{2}\right) (e^{at} - e^{-at}) = \sinh at = F(t) \quad (215.15)$$

که با معادله (۱۰۵.۱۵) سازگار است.

مثال ۲۰۱۲.۱۵

اگر داشته باشیم

$$f(s) = \frac{1 - e^{-as}}{s}$$

آنگاه داریم

$$e^{at} f(s) = \frac{e^{at}}{s} - e^{-as} \left(\frac{e^{at}}{s}\right) \quad (216.15)$$

اولین جمله سمت راست يك قطب ساده در  $s=0$  دارد با مانده‌ای برابر واحد. بنابراین با استفاده از معادله (۲۱۳.۱۵) داریم

$$F_1(t) = \begin{cases} 1, & t > 0 \\ 0, & t < 0 \end{cases} \quad (217.15) \\ = u(t)$$

که در آن  $u(t)$  تابع پله‌ای واحد است. جمله دوم سمت راست نیز، مستقل از علامت منها و  $e^{-as}$ ، يك قطب ساده در  $s=0$  دارد با مانده‌ای برابر واحد. با توجه به خاصیت انتقال [معادله (۱۶۴.۱۵)]، داریم

$$F_2(t) = \begin{cases} 1, & t-a > 0 \\ 0, & t-a < 0 \end{cases} \quad (218.15) \\ = u(t-a)$$

بنابراین

$$F(t) = F_1(t) - F_2(t) = \begin{cases} 0, & t < 0 \\ 1, & 0 < t < a \\ 0, & t > a \end{cases} \quad (219.15)$$

$$= u(t) - u(t-a)$$

یک تابع پله‌ای به ارتفاع واحد و طول  $a$  (شکل ۱۵۰۱۵).

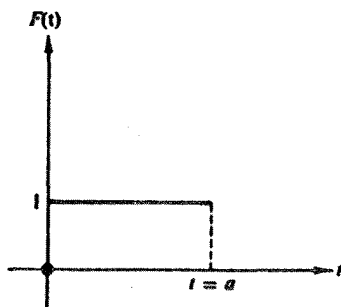
دو نکته شایان ذکر است. نخست آنکه این دو مثال حتی گوشه‌ای از فواید و کارایی انتگرال برامویچ را نیز نشان نمی‌دهند. این انتگرال همواره، در مواردی که جدول تبدیلهای لاپلاس کفایت نمی‌کند، برای یافتن تبدیل وارون قابل حصول است.

ثانیاً، این استنتاج چندان دقیق جلوه نمی‌کند. بلکه به صورت برهانی موجه‌نما ارائه می‌شود، هرچند که می‌توان آن را به دقت هم بیان کرد. تعیین تبدیل وارون تا حدودی شبیه به حل یک معادله دیفرانسیل است. چگونگی دستیابی به جواب در اصل قضیه تفاوت‌چندانی پدید نمی‌آورد. در صورت تمایل می‌توانید آن را حدس بزنید. درستی جواب را همواره می‌توان بانشانندن آن در معادله دیفرانسیل اصلی تحقیق کرد. به همین ترتیب،  $F(t)$  را می‌توان (و برای آزمون خطاهای بی‌انتهای باید) از این طریق آزمون کرد که معادله (۹۹۰۱۵) در رابطه زیر صدق می‌کند یا خیر

$$\mathcal{L}\{F(t)\} = f(s)$$

دوروش دیگر استخراج انتگرال برامویچ موضوع مسائل ۱۰۱۲۰۱۵ و ۲۰۱۲۰۱۵ را تشکیل می‌دهند.

به عنوان آخرین مثال از موارد استفاده تبدیل وارون لاپلاس، نتایجی از کارهای بریلوئن و زومرفلد (۱۹۱۴) در نظریه الکترومغناطیسی را بیان می‌کنیم.



شکل ۱۵۰۱۵ تابع پله‌ای به طول متناهی  $u(t) - u(t-a)$ .

مثال ۳۰۱۴-۱۵ سرعت امواج الکترومغناطیسی در یک محیط باشند  
 سرعت گروه امواج پیشرونده،  $u$ ، به واسطه معادله زیر به سرعت فاز ربط پیدا می کند

$$u = v - \lambda \frac{dv}{d\lambda} \quad (۲۲۰-۱۵)$$

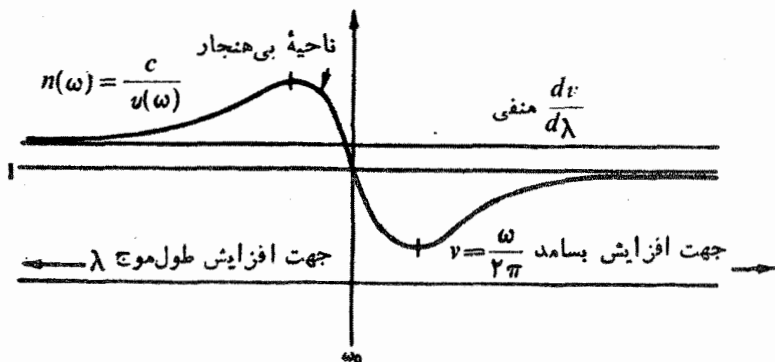
در اینجا  $\lambda$  طول موج است. در مجاورت یک خط جذب (تشدیدی)،  $dv/d\lambda$  می تواند آنقدر منفی باشد که  $u > c$  (شکل ۱۶-۱۵). بلافاصله این سؤال مطرح می شود که آیا یک سیگنال می تواند با سرعتی بیش از  $c$ ، سرعت نور در خلا، انتقال یابد؟ این پرسش که طرح آن بر پایه بامعنی بودن سرعت گروه مبتنی است، در نظریه نسبیت خاص دارای اهمیت زیادی است.  
 برای معادله موج

$$\frac{\partial^2 \psi}{\partial x^2} = \frac{1}{v^2} \frac{\partial^2 \psi}{\partial t^2} \quad (۲۲۱-۱۵)$$

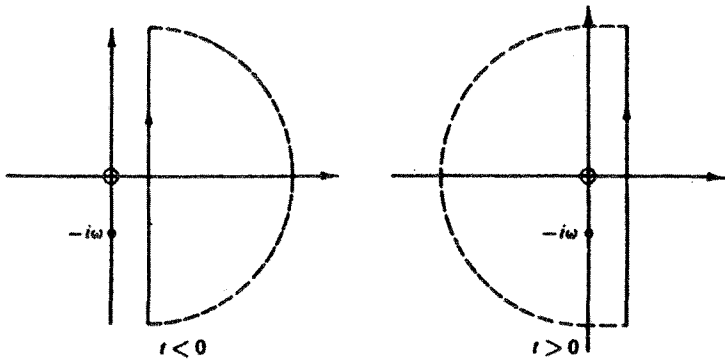
به جوابی نیاز داریم که با ارتعاشی هماهنگ متناظر باشد که در لحظه صفر از مبدأ شروع می شود. از آنجا که محیط مورد نظر، پاشنده است،  $v$  تابعی از بسامد زاویه ای است. مثلاً، موج تختی با بسامد زاویه ای  $\omega$  در نظر بگیریم که بر روزنه ای واقع در مبدأ فرود آید. در  $t = 0$ ، روزنه (فوراً) باز می شود و موج می تواند در امتداد محور  $x$  مثبت پیش رود.  
 جوابی را تشکیل دهیم که در  $x = 0$  شروع می شود. بهتر است که از فرمول انتگرال کوشی، معادله (۲۳-۶)، بهره گیریم

$$\psi(0, t) = \frac{1}{2\pi i} \oint \frac{e^{-iz}}{z - z_0} dz = e^{-iz_0 t}$$

(روی پربندی که  $z = z_0$  را در سوی مثبت دور می زند). با استفاده از  $s = -iz$  و  $\omega = z_0$  خواهیم داشت



شکل ۱۶-۱۵ پاشندگی اپتیکی.



شکل ۱۷.۱۵ پرریندهای بسته ممکن.

$$\psi(0, t) = \frac{1}{2\pi i} \int_{\gamma-i\infty}^{\gamma+i\infty} \frac{e^{st}}{s+i\omega} ds = \begin{cases} 0, & t < 0 \\ e^{-i\omega t}, & t > 0 \end{cases} \quad (222.15)$$

برای آنکه حلقه کامل شود، مطابق شکل ۱۷.۱۵، انتگرال را روی خط عمودی  $\Re(s) = \gamma$  و یک نیمدایره نامتناهی می‌گیریم. مکان نیمدایره نامتناهی را طوری انتخاب می‌کنیم که انتگرال روی آن صفر شود. یعنی به ازای  $t > 0$ ، نیمدایره‌ای را می‌گیریم که در نیم صفحه چپ واقع باشد و مانده‌ها را در برگیرد. به ازای  $t < 0$ ، نیم صفحه راست را انتخاب می‌کنیم که هیچ گونه تکینگی را در بر نمی‌گیرد. این نکته را که این انتگرال همان انتگرال براویچ است می‌توان با بهره‌گیری از تبدیل لاپلاس و نیز با توجه به عبارت زیر اثبات کرد

$$F(t) = \begin{cases} 0, & t < 0 \\ e^{-i\omega t}, & t > 0 \end{cases} \quad (223.15)$$

تابع تبدیل شده،  $f(s)$ ، به صورت زیر خواهد بود

$$f(s) = \frac{1}{s+i\omega} \quad (224.15)$$

انتگرال کوشی-برامویچ، وابستگی زمانی موجی را به دست می‌دهد که در  $t = 0$  مبدأ را ترک می‌کند. برای اینکه وابستگی مکانی را به حساب آوریم به این نکته توجه می‌کنیم که

$$e^{s(t-x/v)}$$

در معادله موج صدق می‌کند. با استفاده از این سر نخ به جای  $t$  عبارت  $t - x/v$  را می‌نشانیم و یکی از جوابها را به صورت زیر می‌نویسیم



$$\psi(x, t) = \frac{1}{2\pi i} \int_{\gamma-i\infty}^{\gamma+i\infty} \frac{e^{s(t-x/v)}}{s+i\omega} ds \quad (225.15)$$

موقع استخراج انتگرال بر امویج دیدیم که در تبدیل فوریه متغیر  $s$  به جای  $\omega$  می‌نشیند. به این دلیل سرعت موج،  $v$ ، به صورت تابعی از  $s$ ، یعنی  $v(s)$ ، درمی‌آید. شکل خاصی از این تابع را در اینجا در نظر نداریم. فقط به خاصیت زیر نیاز داریم

$$\lim_{|s| \rightarrow \infty} v(s) = \text{const.}, c \quad (226.15)$$

این نکته از رفتار مجانبی منحنی سمت راست شکل ۱۶.۱۵ ناشی می‌شود. معادله (۲۲۵.۱۲) را به کمک حساب مانده‌ها محاسبه می‌کنیم، برای این کار با اتکا به شرط

$$t - \frac{x}{c} < 0$$

مسیر انتگرال‌گیری را با نیم‌دایره واقع در نیم صفحه داست می‌بندیم. لذا

$$\psi(x, t) = 0, \quad t - \frac{x}{c} < 0 \quad (227.15)$$

معنی این نکته آن است که سیگنال ما نمی‌تواند با سرعتی بیش از سرعت نور در خلا،  $c$ ، حرکت کند. زومرفلد و بریلوئن برای نمایش چگونگی پیشروی موج در محیط پاشنده، به این نتیجه ساده و درعین حال مهم دست یافتند.

### جمع‌بندی - وارونی تبدیل لاپلاس

۱. استفاده مستقیم از جدولها، جدول ۲.۱۵، و مراجع؛ استفاده از کسرهای جزئی (بخش ۸.۱۵) و قضیه‌های عملگری جدول ۱.۱۵.
۲. انتگرال بر امویج، معادله (۲.۱۲.۱۵)، و حساب مانده‌ها.
۳. وارون‌سازی عددی بخش ۸.۱۵ و مراجع.

### مسائل

۱۰۱۲.۱۵ انتگرال بر امویج را از فرمول انتگرال کوشی به دست آورید. راهنمایی. تبدیل وارون  $t^{-1}$  را در مورد تابع زیر به کار ببندید

۱. معادله (۲۲۶.۱۵) با دقت زیاد از نظریه پاشندگی بی‌هنجار به دست می‌آید. روابط پاشندگی اپتیکی کرونیگ که کرامرز در بخش ۳.۷ را نیز ببینید.

$$f(s) = \frac{1}{2\pi i} \lim_{\alpha \rightarrow \infty} \int_{\gamma - i\alpha}^{\gamma + i\alpha} \frac{f(z)}{s - z} dz$$

که در آن  $f(z)$  به ازای  $\Re(z) \geq \gamma$  تحلیلی است.

۲.۱۲.۱۵ عملیات خود را با انتگرال زیر آغاز کنید

$$\frac{1}{2\pi i} \int_{\gamma - i\infty}^{\gamma + i\infty} e^{sz} f(s) ds$$

آنگاه با معرفی تساوی

$$f(s) = \int_0^{\infty} e^{-sz} F(z) dz$$

نشان دهید که می‌توانیم یک انتگرال را به شکل نمایش فوریه تابع دلتای دیراک در آوریم. تبدیل وارون لاپلاس را از این عبارت استخراج کنید.

۳.۱۲.۱۵ قضیهٔ پیچش تبدیل لاپلاس را با بهره‌گیری از انتگرال برامویچ استخراج کنید.

۴.۱۲.۱۵ تبدیل وارون

$$\mathcal{L}^{-1} \left\{ \frac{s}{s^2 - k^2} \right\}$$

را به‌دوروش زیر پیدا کنید

(الف) از طریق بسط بر حسب کسرهای جزئی، (ب) با استفاده از انتگرال برامویچ.

۵.۱۲.۱۵ تبدیل وارون

$$\mathcal{L}^{-1} \left\{ \frac{k^2}{s(s^2 + k^2)} \right\}$$

را به هر یک از روشهای زیر محاسبه کنید.

(الف) با استفاده از بسط بر حسب کسرهای جزئی، (ب) با استفاده از قضیهٔ پیچش،

(ج) با استفاده از انتگرال برامویچ.

پاسخ.  $F(t) = 1 - \cos kt$ .

۶.۱۲.۱۵ با استفاده از انتگرال برامویچ تابعی را به‌دست آورید که تبدیلبش به‌صورت

$f(s) = s^{-1/2}$  باشد. توجه کنید که  $f(s)$  یک نقطهٔ اشعاب در  $s = 0$  دارد. محور  $x$  منفی را

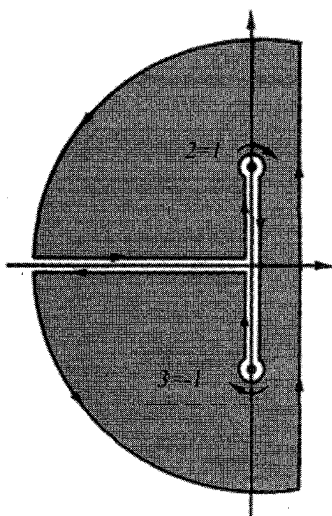
می‌توان خط برش گرفت.

پاسخ.  $F(t) = (\pi t)^{-1/2}$ .

۷۰۱۲۰۱۵ با محاسبه انتگرال برامیچ نشان دهید که

$$\mathcal{L}^{-1}\{(s^2+1)^{-1/2}\} = J_0(t)$$

دانهمایی. انتگرال برامیچ مورد نظر را به صورت یک نمایش انتگرالی مربوط به  $J_0(t)$  در آورید. شکل ۱۸۰۱۵ یک پر بند ممکن برای این کار را بد نمایش می گذارد.



شکل ۱۸۰۱۵ یک پر بند ممکن برای وارونی به  $J_0(t)$ .

۸۰۱۲۰۱۵ تبدیل وارون لاپلاس

$$\mathcal{L}^{-1}\{(s^2-a^2)^{-1/2}\}$$

را به هر یک از روشهای زیر محاسبه کنید:

(الف) به صورت یک سری بسط دهید و جمله به جمله تبدیل کنید.

(ب) انتگرال برامیچ را مستقیماً محاسبه کنید.

(ج) در انتگرال برامیچ تغییر متغیر زیر را انجام دهید:  $s = (a/2)(z+z^{-1})$

۹۰۱۲۰۱۵ نشان دهید که

$$\mathcal{L}^{-1}\left\{\frac{\ln s}{s}\right\} = -\ln t - \gamma$$

که در آن  $\gamma = 0.5772156649 \dots$  ثابت اوپلر-ماشرونی است.

۱۵.۱۴.۱۰ انتگرال برامویج متناظر با تابع زیر را محاسبه کنید

$$f(s) = \frac{s}{(s^2 + a^2)^2}$$

۱۵.۱۴.۱۱ قضیه بسط هویساید. اگر بتوان تبدیل  $f(s)$  را به صورت نسبت زیر نوشت

$$f(s) = \frac{g(s)}{h(s)}$$

که در آن  $g(s)$  و  $h(s)$  توابع تحلیلی اند، و  $h(s)$  صفرهای منزوی و ساده در  $s = s_i$  دارد، نشان دهید

$$F(t) = \mathcal{L}^{-1}\left\{\frac{g(s)}{h(s)}\right\} = \sum_i \frac{g(s_i)}{h'(s_i)} e^{s_i t}$$

راهنمایی. مسئله ۲۰.۱.۷ را ببینید.

۱۵.۱۴.۱۲ با بهره‌گیری از انتگرال برامویج،  $f(s) = s^{-2}e^{-ks}$  را تبدیل کنید.  $F(t) = \mathcal{L}^{-1}\{f(s)\}$  را بر حسب تابع پله‌ای واحد (انتقال یافته)،  $u(t-k)$ ، بیان کنید.

$$F(t) = (t-k)u(t-k) \text{ پاسخ.}$$

۱۵.۱۴.۱۳ تبدیل لاپلاس زیر را داریم

$$f(s) = \frac{1}{(s+a)(s+b)}, \quad a \neq b$$

این تبدیل را به هر یک از سه روش زیروارون کنید.

(الف) کسرهای جزئی و استفاده از جدولها، (ب) قضیه بیچس، (ج) انتگرال

برامویج.

$$F(t) = \frac{e^{-bt} - e^{-at}}{a-b} \text{ پاسخ.}$$

معادله	عملیات	
(۹۹.۱۵)	$f(s) = \mathcal{L}\{F(t)\} = \int_0^{\infty} e^{-st} F(t) dt$	۱. تبدیل لاپلاس
(۱۲۳.۱۵)	$sf(s) - F(+0) = \mathcal{L}\{F'(t)\}$ $s^2 f(s) - sF(+0) - F'(+0) = \mathcal{L}\{F''(t)\}$	۲. تبدیل مشتق
(۱۰۱۱۰.۱۵ مسئله)	$\frac{1}{s} f(s) = \mathcal{L}\left\{\int_0^t F(x) dx\right\}$	۳. تبدیل انتگرال
(۱۵۲.۱۵)	$F(s-a) = \mathcal{L}\{e^{at} F(t)\}$	۴. جانشانی
(۱۶۴.۱۵)	$e^{-bs} f(s) = \mathcal{L}\{F(t-b)\}$	۵. انتقال
(۱۷۳.۱۵)	$f^{(*)}(s) = \mathcal{L}\{(-t)^* F(t)\}$	۶. مشتق تبدیل
(۱۸۹.۱۵)	$\int_0^{\infty} f(x) dx = \mathcal{L}\left\{\frac{F(t)}{t}\right\}$	۷. انتگرال تبدیل
(۱۹۳.۳۵)	$f_1(s) \cdot f_2(s) = \mathcal{L}\left\{\int_0^t F_1(t-z) F_2(z) dz\right\}$	۸. پیچش
(۲۱۲.۱۵)	$\frac{1}{2\pi i} \int_{\gamma-i\infty}^{\gamma+i\infty} e^{st} f(s) ds = F(t)$	۹. تبدیل وارفتن، انتگرال برامویچ

معادله	محدودیت	$F(t)$	$f(s)$	
(۱۴۱.۱۵)	تکینگی در $+0$	$\delta(t)$	۱	۱.
(۱۰۲.۱۵)	$s > 0$	۱	$\frac{1}{s}$	۲.

(۱۰۸.۱۴)	$s > 0$ $n > -1$	$t^n$	$\frac{n!}{s^{n+1}}$	.۳
(۱۰۳.۱۵)	$s > k$	$e^{kt}$	$\frac{1}{s-k}$	.۴
(۱۷۵.۱۵)	$s > k$	$te^{kt}$	$\frac{1}{(s-k)^2}$	.۵
(۱۰۵.۱۵)	$s > k$	$\cosh kt$	$\frac{s}{s^2 - k^2}$	.۶
(۱۰۵.۱۵)	$s > k$	$\sinh kt$	$\frac{k}{s^2 - k^2}$	.۷
(۱۰۷.۱۵)	$s > 0$	$\cos kt$	$\frac{s}{s^2 + k^2}$	.۸
(۱۰۷.۱۵)	$s > 0$	$\sin kt$	$\frac{k}{s^2 + k^2}$	.۹
(۱۵۳.۱۵)	$s > a$	$e^{at} \cos kt$	$\frac{s-a}{(s-a)^2 + k^2}$	.۱۰
(۱۵۳.۱۵)	$s > a$	$e^{at} \sin kt$	$\frac{k}{(s-a)^2 + k^2}$	.۱۱
(۱۷۲.۱۵)	$s > 0$	$t \cos kt$	$\frac{s^2 - k^2}{(s^2 + k^2)^2}$	.۱۲
(۱۷۲.۱۵)	$s > 0$	$t \sin kt$	$\frac{2ks}{(s^2 + k^2)^2}$	.۱۳
(۱۸۵.۱۵)	$s > 0$	$J_0(at)$	$(s^2 + a^2)^{-1/2}$	.۱۴
(۱۰.۱۰.۱۵ مسئله)	$s > a$	$I_0(at)$	$(s^2 - a^2)^{-1/2}$	.۱۵
(۱۱.۱۰.۱۵ مسئله)	$s > 0$	$j_0(at)$	$\frac{1}{a} \cot^{-1} \left( \frac{s}{a} \right)$	.۱۶

(مسئله ۱۱۰.۱۰.۱۵)	$s > a$	$i_0(at)$	$\begin{cases} \frac{1}{2a} \ln \frac{s+a}{s-a} \\ \frac{1}{a} \coth^{-1}\left(\frac{s}{a}\right) \end{cases}$	۱۷
(مسئله ۱۳.۱۰.۱۵)	$s > 0$	$L_n(at)$	$\frac{(s-a)^n}{s^{n+1}}$	۱۸
(مسئله ۱۴.۱۰.۱۵)	$s > 0$	$E_1(x) = -E_1(-x)$	$\frac{1}{s} \ln(s+1)$	۱۹
(مسئله ۹.۱۲.۱۵)	$s > 0$	$-\ln t - C$	$\ln s/s$	۲۰

بجای کاملتری از جدول تبدیل لاپلاس در فصل ۲۹ کتاب AMS-55 یافت می شود.

### مراجع

Champeney, D. C., *Fourier Transforms and Their Physical Applications*. New York; Academic Press, 1973.

تبدیل‌های فوریه در این کتاب بدقت و با روشی ساده برای پیگیری مطالب، ارائه شده است. تقریباً شصت درصد مطالب این کتاب به کاربردهایی می پردازد که با حوزه فیزیک و مهندسی سروکار دارند.

(جلدهای اول و دوم)

Erdelyi, A., Ed., *Tables of Integral Transforms*, Bateman Manuscript Project. New York: McGraw-Hill.

جلد اول:

*Fourier, Laplace, Mellin Transforms*.

جلد دوم:

*Hankel Transforms and Special Functions*.

این کتاب مجموعه‌ای است به صورت دایره المعارف که تبدیلها، توابع خاص، و خواص آنها را در یک جا گرد آورده است؛ از این رو، بد عنوان یک مرجع عمده، نقش مفیدی بازی می کند.

Erdelyi, A., W. Magnus, F. Oberhettinger, and F. G. Tricomi, *Tables of Integral Transforms*. 2 vols. New York: McGraw-Hill, 1954.

این کتاب جدول‌هایی جامع از تبدیل‌های سینوسی و کسینوسی و نمایی فوریه، تبدیل‌های لاپلاس و وارون لاپلاس، تبدیل‌های ملین و وارون ملین، تبدیل‌های هنکل، و سایر تبدیل‌های انتگرالی تخصصی تر را در بر می گیرد.

- Hanna, J. R., *Fourier Series and Integrals of Boundary Value Problems*. Somers, N. J.: Wiley, 1982.
- در این کتاب در زمینه حل فوریه مسائل مقدار مرزی بررسی جامعی ارائه می‌شود. مفاهیم همگرایی و تمامیت دقیقاً مورد بررسی قرار می‌گیرند.
- Jeffreys, H., and B. S. Jeffreys, *Methods of Mathematical Physics*, 3th ed., Cambridge: Cambridge University Press, 1966.
- Krylov, V. I., and N. S. Skoblya, *Handbook of Numerical Inversion of Laplace Transform*. Jerusalem: Israel Program for Scientific Translations, 1969.
- Le Page, W. R., *Complex Variables and the Laplace Transform for Engineers*. New York: McGraw-Hill, 1961; New York; Dover, 1980.
- در این کتاب آنالیز متغیرهای مختلط دقیقاً ارائه شده است سپس در خصوص تبدیلیهای فوریه و لاپلاس از آنها استفاده شده است. این کتاب برای مطالعه دانشجویان نوشته شده است، ولی بیشتر به درد دانشجوی کوشا می‌خورد.
- McCullum, P. A., and B. F. Brown, *Laplace Transform Tables and Theorems*. New York: Holt, Rinehart and Winston, 1965.
- Miles, J. W., *Integral Transforms in Applied Mathematics*. Cambridge: Cambridge University Press, 1971.
- این کتاب به طور خلاصه ولی جالب و مفید مخصوصاً برای دانشجوی ممتاز دوره کارشناسی به بررسی مطالب می‌پردازد. تأکید کتاب عمدتاً در خصوص کاربردهاست تا نظریه ریاضی محض.
- Papoulis, A., *The Fourier Integral and Its Applications*. New York: McGraw-Hill, 1962.
- در این کتاب تبدیلیهای فوریه و لاپلاس دقیقاً مطرح می‌شوند، و در حوزه‌های متعددی در علوم و مهندسی به کار می‌آیند.
- Roberts, G. E., and H. Kaufman, *Table of Laplace Transforms*. Philadelphia: W. B. Saunders, 1966.
- Sneddon, I. H., *The Use of Integral Transforms*. New York: McGraw-Hill, 1972.
- این کتاب به‌زبانی نوشته شده است که برای دانشجویان علوم و مهندسی قابل درک باشد و حاوی همه تبدیلیهای انتگرالی است که در این فصل و در چند فصل دیگر آمده‌اند. موارد کاربرد زیادی نیز در آن بررسی شده است.
- Sneddon, I. N., *Fourier Transforms*, New York: McGraw-Hill, 1951.
- در این کتاب بررسی مشروح و جامعی ارائه شده است و کتاب از کاربردهای مربوط به زمینه‌های متنوعی در فیزیک نوین و کلاسیک، آکنده است.
- Vander Pol, B., and H. Bremmer, *Operational Calculus Based on the Two-sided Laplace Integral*, 2th ed., Cambridge: Cambridge University Press, 1955.



در این کتاب گستره انتگرالگیری به جای آنکه گستره مفید از  $0$  تا  $+\infty$  باشد، از  $-\infty$  تا  $+\infty$  گرفته شده است. فصل ۵ کتاب حاوی بررسی مشروح تابع دلتای دیراک (تابع ضرب) است.

**Wolf, K. B., *Integral Transforms in Science and Engineering*. New York: Plenum Press, 1979.**

در این کتاب تبدیلهای انتگرالی و کاربردهای آنها به صورت بسیار جامعی بررسی شده است.

## معادلات انتگرالی

## ۱.۱۶ مقدمه

تا کنون، به استثنای تبدیلهای انتگرالی فصل پیش، به معادلاتی نظر داشته‌ایم که حاوی رابطه‌هایی بین تابع مجهول  $\varphi(x)$  و یک یا چند مشتق آن بوده‌اند. اکنون در ادامه مطلب به بررسی معادلاتی می‌پردازیم که در آنها تابع مجهول در داخل یک انتگرال گنجانده است. در اینجا نیز مانند معادلات دیفرانسیل، توجه عمده خود را به روابط خطی، یعنی معادلات انتگرالی خطی معطوف می‌کنیم. معادله‌های انتگرالی را بدو روش رده‌بندی می‌کنند:

۱. اگر حدود انتگرال‌گیری ثابت باشد، معادله را معادله فردهولم می‌خوانیم؛ اگر یکی

از آنها ثابت باشد، آن را معادله ولترا می‌نامیم.

۲. اگر تابع مجهول فقط در زیر علامت انتگرال ظاهر شود، معادله را "نوع اول"

می‌خوانند. اگر تابع مجهول هم در زیر علامت انتگرال و هم بیرون از آن ظاهر شود،

معادله را "نوع دوم" می‌گویند.

## تعریفها

از لحاظ نمادی، معادله فردهولم نوع اول عبارت است از

$$f(x) = \int_a^b K(x,t) \varphi(t) dt \quad (1.16)$$

معادله فرد هولم نوع دوم به این قرار خواهد بود

$$\varphi(x) = f(x) + \lambda \int_a^b K(x, t) \varphi(t) dt \quad (2.16)$$

معادله ولترای نوع اول

$$f(x) = \int_a^x K(x, t) \varphi(t) dt \quad (3.16)$$

معادله ولترای نوع دوم

$$\varphi(x) = f(x) + \int_a^x K(x, t) \varphi(t) dt \quad (4.16)$$

در هر چهار مورد  $\varphi(t)$  تابع مجهول است.  $K(x, t)$  که به آن هسته یا کرنل می گویند، و  $f(x)$  معلوم فرض می شوند. اگر  $f(x) = 0$ ، معادله را همگن می گوئیم.

شاید خواننده تعجب کند، و تا حدودی هم حق دارد، که چرا، زحمت وارد کردن معادله های انتگرالی را به خود می دهیم. رویهم رفته، معادلات دیفرانسیل تاکنون جهان فیزیکی ما را به خوبی توصیف کرده اند. برای توجیه وارد کردن معادلات انتگرالی چند دلیل داریم.

بر جواب معادله دیفرانسیل تحت شرایط مرزی به خصوص به طور قابل ملاحظه ای تأکید کرده ایم. مثلاً، شرط مرزی در  $r = 0$  تعیین می کند که آیا تابع نویمان  $N_n(r)$  در جواب معادله بسط موجود است یا خیر. شرط مرزی در  $r \rightarrow \infty$  این نکته را تعیین می کند که آیا  $I_n(r)$  در جواب معادله تعدیل یافته بسط وجود دارد یا خیر. معادله انتگرالی تابع مجهول را نه تنها به مقدار آن تابع در نقاط مجاور (مشتقها) بلکه به مقدارش در تمامی ناحیه، از جمله مرز، مرتبط می کند. در واقع، شرایط مرزی به جای آنکه در مرحله آخر حل معادله وضع شوند، در معادله انتگرالی تعبیه می شوند. بعداً، در موقع تشکیل کرنلها (بخش ۵.۱۶)، خواهیم دید که شکل کرنل به مقدار روی مرز بستگی دارد. از این رو، معادله های انتگرالی جمع و جور ترند و می توانند نسبت به معادلات دیفرانسیل مناسبتر و کارآمدتر باشند. غالباً راه حل مسائل ریاضی نظیر وجود، یکتایی، و تمامیت به صورت انتگرالی آسانتر می شود و از ظرافت هم برخوردار است. سرانجام، خواه ناخواه، به مسائلی نظیر پدیده های پخش و ترا برد بر می خوریم که نمی توان آنها را با معادلات دیفرانسیل نمایش داد. برای حل این نوع مسائل، باید به حل معادلات انتگرالی بپردازیم. یکی از مهمترین نمونه های این نوع موقعیتهای فیزیکی را در زیر شرح می دهیم.

مثال ۱۰.۱۶ نظریه ترا برد نوترون - معادله بولتزمن

معادله اساسی نظریه ترا برد نوترون، در واقع همان عبارت معادله پیوستگی نوترونهاست

تولید = اتلاف + نشت

در روند تولید، چشمه‌هایی داریم

$$S(v, \Omega, \mathbf{r}) dv d\Omega$$

که وارد شدن  $S$  نوترون در سانتیمتر مکعب در هر ثانیه را نمایش می‌دهد؛ بزرگی سرعت آن در راستای  $\Omega$  در داخل زاویه فضایی  $d\Omega$  بین  $v$  و  $v+dv$  است.

علاوه بر این، چشمه دیگری هم از طریق برخورد های پراکنده ساز فراهم می‌شود که نوترونها را به گستره‌ای که هم اکنون شرح داده شد پراکنده می‌کند. آهنگ پراکندگی از رابطه زیر به دست می‌آید

$$\sum_{\mathbf{r}} (v, v', \Omega, \Omega') \varphi(v', \Omega', \mathbf{r})$$

که در آن  $\sum_{\mathbf{r}}$  احتمال (ماکروسکوپی) آن است که نوترونی با سرعتی به بزرگی  $v'$ ، در راستای  $\Omega'$ ، با سرعت برابندی به بزرگی  $v$  در راستای  $\Omega$  پراکنده شود. کمیت  $\varphi(v', \Omega', \mathbf{r})$  شار نوترونهاست.  $\varphi = \Omega \varphi$  که به صورت یک بردار در آمده است، در راستای سرعت نوترون بوده و بزرگی آن برابر است با تعداد نوترونهایی که در هر ثانیه با سرعتی به بزرگی  $v$  از واحد سطح در مکان  $\mathbf{r}$  و در راستای  $\Omega$  عبور می‌کنند (شکل ۱۰۱۶).

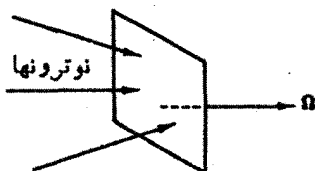
با انتگرالگیری روی همه بزرگی سرعتیهای اولیه موجود ( $v'$ ) و در همه راستاها ( $\Omega'$ )، دومین جمله مربوط به تولید را به صورت زیر به دست می‌آوریم

$$\int \int \sum_{\mathbf{r}} (v, v', \Omega, \Omega') \varphi(v', \Omega', \mathbf{r}) dv' d\Omega'$$

اتلافها یا حاصل نشت اند که از رابطه زیر به دست می‌آید

$$\nabla \cdot \varphi(v, \Omega, \mathbf{r})$$

و یا از جذب و پراکندگی به درون گستره سرعتی دیگر (کمتر) ناشی می‌شوند. این اتلافها عبارت اند از



شکل ۱۰۱۶ شار نوترون.

$$\left[ \sum_a (v) + \sum_b (v) \right] \varphi(v, \Omega, \mathbf{r})$$

اگر محیط همگن و همسانگرد نباشد، ممکن است  $\sum$  ها علاوه بر وابستگی به بزرگی سرعت یا انرژی که قبلاً در نظر گرفته شد، به مکان و راستا هم بستگی داشته باشند. سرانجام معادله پیوستگی به صورت زیر درمی آید

$$\int \int \sum_a (v, v', \Omega, \Omega') \varphi(v', \Omega', \mathbf{r}) dv' d\Omega' + S(v, \Omega, \mathbf{r}) \quad (5.16)$$

$$= \nabla \cdot \varphi(v, \Omega, \mathbf{r}) + \left[ \sum_a (v) + \sum_b (v) \right] \varphi(v, \Omega, \mathbf{r})$$

این معادله عبارت است از معادله حالت پایای بولتزمن، که يك معادله انتگرالی-دیفرانسیلی است. کار کردن با این صورت معادله بولتزمن تقریباً ناممکن است. قسمت عمده نظریه ترابرد نوترون را دستیابی به روشهایی تشکیل می دهد که بین دقت فیزیکی و امکان پذیر بودن ریاضی سازشی برقرار می کند.<sup>۱</sup>

هر معادله انتگرالی ممکن است عمداً بر اساس مناسبتر بودن، یا نیاز به توانایی ریاضی فرمولبندی معادله انتگرالی، انتخاب شود.

مثال ۳-۱-۱۶ نمایش تکانه ای در مکانیک کوانتومی  
معادله شرودینگر (در نمایش فضایی معمولی) به صورت زیر است

$$-\frac{\hbar^2}{2m} \nabla^2 \psi(\mathbf{r}) + V(\mathbf{r}) \psi(\mathbf{r}) = E \psi(\mathbf{r}) \quad (6.16)$$

یا

$$(-\nabla^2 + a^2) \psi(\mathbf{r}) = v(\mathbf{r}) \psi(\mathbf{r}) \quad (7.16)$$

که در آن

$$a^2 = \frac{2m}{\hbar^2} E$$

$$v(\mathbf{r}) = \frac{2m}{\hbar^2} V(\mathbf{r})$$

۱. با فصل سوم از قسمت (الف) ویرایش دوم از جلد سوم کتاب زیر مقایسه کنید

می‌توانیم معادله (۷.۱۶) را به صورت زیر تعمیم دهیم

$$(-\nabla^2 + a^2)\psi(\mathbf{r}) = \int v(\mathbf{r}, \mathbf{r}') \psi(\mathbf{r}') d^3r' \quad (۸.۱۶)$$

معادله (۸.۱۶) در حالت خاص زیر

$$v(\mathbf{r}, \mathbf{r}') = v(\mathbf{r}') \delta(\mathbf{r} - \mathbf{r}') \quad (۹.۱۶)$$

که نمایشگر برهم کنش موضعی است، به معادله (۷.۱۶) ساده می‌شود. حال معادله (۸.۱۶) را تحت تبدیل فوریه قرار می‌دهیم (با بخش ۶.۱۵ مقایسه کنید)

$$\Phi(\mathbf{k}) = \frac{1}{(2\pi)^{3/2}} \int \psi(\mathbf{r}) e^{-i\mathbf{k}\cdot\mathbf{r}} d^3r \quad (۱۰.۱۶)$$

$$\psi(\mathbf{r}) = \frac{1}{(2\pi)^{3/2}} \int \Phi(\mathbf{k}) e^{i\mathbf{k}\cdot\mathbf{r}} d^3k$$

در اینجا علامت اختصاری زیر را وارد می‌کنیم

$$\frac{\mathbf{p}}{\hbar} = \mathbf{k} \quad (\text{عدد موج}) \quad (۱۱.۱۶)$$

از تعمیم معادله (۱۰.۱۶) داریم

$$\int (-\nabla^2 + a^2)\psi(\mathbf{r}) e^{-i\mathbf{k}\cdot\mathbf{r}} d^3r = \int \int v(\mathbf{r}, \mathbf{r}') \psi(\mathbf{r}') e^{-i\mathbf{k}\cdot\mathbf{r}} d^3r' d^3r \quad (۱۲.۱۶)$$

دقت کنید که درست چپ معادله،  $\nabla^2$  فقط روی  $\psi(\mathbf{r})$  عمل می‌کند. از سمت چپ انتگرال جزء به جزء می‌گیریم و از معادله (۱۰.۱۶) به جای  $\psi(\mathbf{r})$  درست راست مقدارش را قرار می‌دهیم، خواهیم داشت

$$\begin{aligned} \int (k^2 + a^2)\psi(\mathbf{r}) e^{-i\mathbf{k}\cdot\mathbf{r}} d^3r &= (2\pi)^{3/2} (k^2 + a^2)\Phi(\mathbf{k}) \\ &= \frac{1}{(2\pi)^{3/2}} \int \int \int v(\mathbf{r}, \mathbf{r}') \Phi(\mathbf{k}') e^{-i(\mathbf{k}\cdot\mathbf{r} - \mathbf{k}'\cdot\mathbf{r}')} d^3r' d^3r d^3k' \end{aligned} \quad (۱۳.۱۶)$$

$$f(\mathbf{k}, \mathbf{k}') = \frac{1}{(2\pi)^3} \int \int v(\mathbf{r}, \mathbf{r}') e^{-i(\mathbf{k}\cdot\mathbf{r} - \mathbf{k}'\cdot\mathbf{r}')} d^3r' d^3r \quad (14.16)$$

معادله (۱۳.۱۶) به صورت زیر درمی آید

$$(k^2 + a^2)\Phi(\mathbf{k}) = \int f(\mathbf{k}, \mathbf{k}') \Phi(\mathbf{k}') d^3k' \quad (15.16)$$

یک معادله فرد هولم همگن از نوع دوم که در آن پارامتر  $a^2$  با ویژه مقدار متناظر است. معادله (۹.۱۶)، در این حالت خاص اما مهم، یعنی برهم کنش موضعی، به نتیجه زیر منجر می شود

$$f(\mathbf{k}, \mathbf{k}') = f(\mathbf{k} - \mathbf{k}') \quad (16.16)$$

این نمایش تکانه ای با یک پتانسیل برهم کنش استاتیکی معمولی در فضای معمولی معادل است. تابع تکانه ای  $\Phi(\mathbf{k})$ ، در معادله انتگرالی [معادله (۱۵.۱۶)] صدق می کند. باید گفت که همواره فرض کرده ایم انتگرال فوریه لازم وجود دارد. انتگرالهای لازم برای یک پتانسیل نوسانگر خطی  $V(\mathbf{r}) = r^2$  وجود نخواهند داشت. معادله (۱۵.۱۶) به نوسانهای واگرا می انجامد و معادله (۱۵.۱۶) را نخواهیم داشت.

تبدیل معادله دیفرانسیل به یک معادله انتگرالی

غالباً در شرایطی قرار می گیریم که آزادی انتخاب داریم. مسئله فیزیکی خود را می توانیم به کمک معادله انتگرالی یا معادله دیفرانسیل نمایش دهیم. فرض کنید که معادله دیفرانسیلی داریم و می خواهیم آنرا به یک معادله انتگرالی تبدیل کنیم. از یک معادله دیفرانسیل مرتبه دوم خطی شروع می کنیم

$$y'' + A(x)y' + B(x)y = g(x) \quad (17.16)$$

با شرایط اولیه

$$y(a) = y_0$$

$$y'(a) = y'_0$$

پس از انتگرال گیری خواهیم داشت

$$y' = - \int_a^x A y' dx - \int_a^x B y dx + \int_a^x g dx + y'_0 \quad (18.16)$$

انتگرال اول سمت راست را باروش جزء به جزء حل می کنیم

$$y' = -Ay - \int_a^x (B - A')y \, dx + \int_a^x g \, dx + A(a)y_0 + y'_0 \quad (19.16)$$

توجه کنید که شرایط اولیه ما چگونه در این روایت جدید مسئله جذب شد. برای بار دوم انتگرال می‌گیریم و به دست می‌آوریم

$$y = - \int_a^x Ay \, dx - \int_a^x \int_a^x [B(t) - A'(t)]y(t) \, dt \, dx \quad (20.16)$$

$$+ \int_a^x \int_a^x g(t) \, dt \, dx + [A(a)y_0 + y'_0](x - a) + y_0.$$

برای آنکه این معادله را به صورت آراسته‌تر و جمع و جوری در آوریم، از رابطه زیر استفاده می‌کنیم

$$\int_a^x \int_a^x f(t) \, dt \, dx = \int_a^x (x - t)f(t) \, dt \quad (21.16)$$

درستی این رابطه را می‌توان بد کمک مشتق‌گیری از دو طرف آن تحقیق کرد. از آنجا که مشتقها باهم برابرند، اختلاف عبارتهای اصلی فقط می‌تواند بد اندازه يك مقدار ثابت باشد. در حد  $x \rightarrow a$ ، می‌بینیم که این ثابت باید صفر باشد و لذا معادله (۲۱.۱۶) تثبیت می‌شود. با اعمال این حد در معادله (۲۰.۱۶)، خواهیم داشت

$$y(x) = - \int_a^x \{A(t) + (x - t)[B(t) - A'(t)]\}y(t) \, dt \quad (22.16)$$

$$+ \int_a^x (x - t)g(t) \, dt + [A(a)y_0 + y'_0](x - a) + y_0.$$

اکنون اختصارهای زیر را وارد می‌کنیم

$$K(x, t) = (t - x)[B(t) - A'(t)] - A(t) \quad (23.16)$$

$$f(x) = \int_a^x (x - t)g(t) \, dt + [A(a)y_0 + y'_0](x - a) + y_0.$$

معادله (۲۲.۱۶) به صورت زیر درمی‌آید

$$y(x) = f(x) + \int_a^x K(x, t)y(t) \, dt \quad (24.16)$$



این عبارت يك معادله ولترای نوع دوم است. این فرمولبندی مجدد به صورت يك معادله انتگرالی ولترا، در هنگام بررسی مسئله وجود و یکتایی، مزیت‌های خاصی دارد.

مثال ۳۰۱۰۱۶ معادله نوسانگر خطی

بدعنوان يك مثال ساده، معادله نوسانگر خطی را در نظر می‌گیریم

$$y'' + \omega^2 y = 0 \quad (25.16)$$

با

$$y(0) = 0$$

$$y'(0) = 1$$

از اینجا داریم

$$A(x) = 0$$

$$B(x) = \omega^2$$

$$g(x) = 0$$

پس از نشان دادن در معادله (۲۲.۱۶) [یا معادلات (۲۳.۱۶) و (۲۴.۱۶)]، معادله انتگرالی زیر را به دست می‌آوریم

$$y(x) = x + \omega^2 \int_0^x (t-x)y(t) dt \quad (26.16)$$

این معادله انتگرالی، یعنی معادله (۲۶.۱۶)، با معادله دیفرانسیل اصلی به اضافه شرایط اولیه معادل است. خواننده می‌تواند نشان دهد که  $y(x) = (1/\omega) \sin \omega x$  در هر دو صورت معادله صلق می‌کند.

مجدداً معادله (۲۵.۱۶) نوسانگر خطی را در نظر می‌گیریم، ولی این بار با شرایط مرزی

$$y(0) = 0$$

$$y(b) = 0$$

از آنجا که این بار  $y'(0)$  داده نشده است، باید روشن‌تر را اندکی تغییر دهیم. پس از اولین انتگرالگیری خواهیم داشت

$$y' = -\omega^2 \int_0^x y dx + y'(0) \quad (27.16)$$

باردیگر انتگرال می‌گیریم و باز هم از معادله (۲۸.۱۶) استفاده می‌کنیم، خواهیم داشت

$$y = -\omega^2 \int_0^x (x-t)y(t) dt + y'(0)x \quad (28.16)$$

برای حذف مقدار مجهول  $y'(0)$ ، از شرط  $y(b) = 0$  استفاده می‌کنیم. در نتیجه

$$\omega^2 \int_0^b (b-t)y(t) dt = b y'(0) \quad (29.16)$$

با نشاندن این معادله در معادله (۲۸.۱۶)، خواهیم داشت

$$y(x) = -\omega^2 \int_0^x (x-t)y(t) dt + \omega^2 \frac{x}{b} \int_0^b (b-t)y(t) dt \quad (30.16)$$

اینک بازه  $[0, b]$  را به دو بازه  $[0, x]$  و  $[x, b]$  می‌شکنیم. از آنجا که

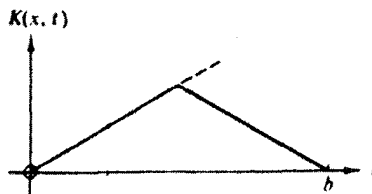
$$\frac{x}{b}(b-t) - (x-t) = \frac{t}{b}(b-x) \quad (31.16)$$

خواهیم یافت

$$y(x) = \omega^2 \int_0^x \frac{t}{b}(b-x)y(t) dt + \omega^2 \int_x^b \frac{x}{b}(b-t)y(t) dt \quad (32.16)$$

سرانجام با معرفی کرنل (شکل ۲.۱۶)

$$K(x, t) = \begin{cases} \frac{t}{b}(b-x), & t < x \\ \frac{x}{b}(b-t), & x < t \end{cases} \quad (33.16)$$



شکل ۲.۱۶

$$y(x) = \omega^2 \int_0^b K(x, t) y(t) dt \quad (۳۲.۱۶)$$

- که يك معادله همگن فردهولم از نوع دوم است.  
 کرنل جدید ما،  $K(x, t)$ ، خواص جالبی دارد.  
 ۱. متقارن است،  $K(x, t) = K(t, x)$ .  
 ۲. پیوسته است، یعنی

$$\frac{t}{b}(b-x) \Big|_{t=x} = \frac{x}{b}(b-t) \Big|_{t=x}$$

۳. مشتق آن نسبت به  $t$  ناپیوسته است. با افزایش  $t$ ، در نقطه  $t = a$ ، يك ناپیوستگی  
 ۱ - در مقدار  $\partial K(x, t) / \partial t$ ، به وجود خواهد آمد.  
 در بخش ۵.۱۶، آنجا که  $K(x, t)$  را به عنوان تابع گرین تعیین هیت می کنیم، باز  
 به این خواص خواهیم پرداخت.

شرایط اولیه یا مرزی، در روند تبدیل معادله دیفرانسیل مرتبه دوم خطی به معادله  
 انتگرالی، نقش تعیین کننده ای دارند. اگر شرایط اولیه (تنها در يك سر بازه) را داشته باشیم،  
 معادله دیفرانسیل به معادله انتگرالی ولترا تبدیل می شود. در مورد معادله نوسانگر خطی  
 با شرایط مرزی (در هر دو سر بازه)، معادله دیفرانسیل به يك معادله انتگرالی فردهولم، با کرنلی  
 که يك تابع گرین خواهد بود، تبدیل می شود.

باید توجه داشت که تبدیل معکوس، یعنی تبدیل يك معادله انتگرالی به يك معادله  
 دیفرانسیل همیشه هم میسر نیست. به معادلاتی انتگرالی بر می خوریم که برای آنها هیچ معادله  
 دیفرانسیل متناظری شناخته نشده است.

### مسائل

۱۰۱.۱۶ کار خود را از هر يك از معادلات دیفرانسیل زیر شروع کنید، دوباره انتگرال بگیرید  
 و معادله انتگرالی ولترای متناظر را بیابید

(الف)  $y''(x) - y(x) = 0$ ،  $y(0) = 0$ ،  $y'(0) = 1$

پاسخ.  $y = \int_0^x (x-t)y(t) dt + x$

(ب)  $y''(x) - y(x) = 0$ ،  $y(0) = 1$ ،  $y'(0) = -1$

پاسخ.  $y = \int_0^x (x-t)y(t) dt - x + 1$

نتایج حاصل را با معادله (۲۳.۱۶) بیازمایید.

۳۰.۱۰۱۶ باهریک از روشهای زیر معادله انتگرالی فردهولم متناظر با معادله

$$y''(x) - y(x) = 0; \quad y(1) = 1,$$

$$y(-1) = 1,$$

را بیابید.

(الف) از طریق دوبار انتگرالگیری، (ب) به کمک تشکیل تابع گرین.

پاسخ. 
$$y(x) = 1 - \int_{-1}^1 K(x, t)y(t)dt$$

$$K(x, t) = \begin{cases} \frac{1}{2}(1-x)(t+1), & x > t \\ \frac{1}{2}(1-t)(x+1), & x < t \end{cases}$$

۳۰.۱۰۱۶ (الف) نقطه شروع کار خود را بر پایه جوابهای داده شده برای مسئله ۱۰.۱۰۱۶ قرار دهید؛ مشتق بگیریید و معادله‌های دیفرانسیل اصلی و شرایط مرزی را به دست آورید. (ب) همین کار را در مورد مسئله ۲۰.۱۰۱۶ انجام دهید.

۴۰.۱۰۱۶ معادله دیفرانسیل خطی مرتبه دوم با ضرایب ثابت به صورت زیر است

$$y''(x) + a_1 y'(x) + a_2 y(x) = 0$$

با در اختیار داشتن شرایط مرزی

$$y(0) = y(1) = 0$$

دوبار انتگرال بگیرید و معادله انتگرالی زیر را تعمیم دهید

$$y(x) = \int_0^1 K(x, t)y(t)dt$$

با

$$K(x, t) = \begin{cases} a_2 t(1-x) + a_1(x-1), & t < x \\ a_2 x(1-t) + a_1 x, & x < t \end{cases}$$

دقت کنید که اگر  $a_1 = 0$ ،  $K(x, t)$  متقارن و پیوسته است. این مفهوم را چگونه با

خود - الحاقی بودن معادله دیفرانسیل ربط می‌دهید؟

۵.۱۰۱۶ تحقیق کنید که به ازای همه  $f(t)$  ها (که به ازای آنها انتگرالها وجود دارند)

$$\int_a^x \int_a^x f(t) dt dx = \int_a^x (x-t) f(t) dt$$

۶.۱۰۱۶ داریم:  $\varphi(x) = x - \int_0^x (t-x)\varphi(t) dt$ . این معادله انتگرالی را از طریق تبدیل آن به یک معادله دیفرانسیل (به اضافه شرایط مرزی) و حل آن معادله دیفرانسیل (به کمک بازبینی) حل کنید.

۷.۱۰۱۶ نشان دهید که معادله همگن ولترای نوع دوم زیر، جز جواب بدیهی  $\psi = 0$  هیچ جوابی ندارد

$$\psi(x) = \lambda \int_0^x K(x, t)\psi(t) dt$$

دانهایی. بسط مک‌لورن  $\psi(x)$  را تشکیل دهید. لازم است فرض کنید که  $\psi(x)$  و  $K(x, t)$  نسبت به  $x$  مشتق‌پذیرند.

## ۲.۱۶ تبدیلهای انتگرالی، توابع مولد

برای بررسی حل معادله‌های انتگرالی، انتگرالگیری و مشتقگیری را باهم مقایسه می‌کنیم:

انتگرالگیری	مشتقگیری
غالباً هیچ تابع انتگرالگیری شده‌ای به صورت بسته وجود ندارد.	قاعده‌ها، دستورالعملهای اسلوبدار
شاید مجبور باشیم از انتگرالگیری عددی استفاده کنیم.	می‌توان به‌ماشین محاسب آموزش داد که مشتقگیری تحلیلی را انجام دهد.

حل معادلات دیفرانسیل خطی نیز، شبیه مشتقگیری، به‌طور کامل در فصل ۸ آمده است. برای تبدیل معادلات انتگرالی، مانند انتگرالگیری، هیچ روشی کلی وجود ندارد. ولی حالت‌های خاصی را می‌توان به کمک تبدیلهای انتگرالی (فصل ۱۵) حل کرد. این حالتها را برای راحتی در اینجا فهرستوار برمی‌شمریم. اگر

$$\psi(x) = \frac{1}{\sqrt{2\pi}} \int_{-\infty}^{\infty} e^{ixt} \varphi(t) dt$$

آنگاه

$$\varphi(x) = \frac{1}{\sqrt{2\pi}} \int_{-\infty}^{\infty} e^{-ixt} \psi(t) dt \quad (\text{فوریه}) \quad (۳۵.۱۶)$$

اگر

$$\psi(x) = \int_0^{\infty} e^{-xt} \varphi(t) dt$$

آنگاه

$$\varphi(x) = \frac{1}{2\pi i} \int_{\gamma-i\infty}^{\gamma+i\infty} e^{xt} \psi(t) dt \quad (\text{لاپلاس}) \quad (۳۶.۱۶)$$

اگر

$$\psi(x) = \int_0^{\infty} t^{x-1} \varphi(t) dt$$

آنگاه

$$\varphi(x) = \frac{1}{2\pi i} \int_{\gamma-i\infty}^{\gamma+i\infty} x^{-t} \psi(t) dt \quad (\text{ملین}) \quad (۳۷.۱۶)$$

اگر

$$\psi(x) = \int_0^{\infty} t \varphi(t) J_\nu(xt) dt$$

آنگاه

$$\varphi(x) = \int_0^{\infty} t \psi(t) J_\nu(xt) dt \quad (\text{هنکل}) \quad (۳۸.۱۶)$$

در واقع مفید بودن شگرد تبدیل انتگرالی اندکی از این چهار صورت نسبتاً خاص فراتر می‌رود.

مثال ۱۰۳.۱۶ جواب تبدیل فوریه

معادلهٔ فردهولم نوع اول را با کرنلی از نوع کلی  $k(x-t)$  در نظر می‌گیریم

$$f(x) = \int_{-\infty}^{\infty} k(x-t) \varphi(t) dt \quad (۳۹.۱۶)$$

که در آن  $\varphi(t)$  تابع مجهول است. با این فرض که تبدیلهای مورد نیاز وجود دارند، بابت بهره‌گیری از قضیهٔ پیچش فوریه (بخش ۵.۱۵) داریم

$$f(x) = \int_{-\infty}^{\infty} K(\omega)\Phi(\omega)e^{-i\omega x}d\omega \quad (۴۰.۱۶)$$

توابع  $K(\omega)$  و  $\Phi(\omega)$  به ترتیب تبدیلهای فوریهٔ  $k(x)$  و  $\varphi(x)$  به‌شمارمی‌آیند. پس از وارون کردن، به کمک معادلهٔ (۳۵.۱۶) داریم

$$K(\omega)\Phi(\omega) = \frac{1}{\sqrt{2\pi}} \int_{-\infty}^{\infty} f(x) e^{i\omega x} dx = \frac{F(\omega)}{\sqrt{2\pi}} \quad (۴۱.۱۶)$$

آنگاه

$$\Phi(\omega) = \frac{1}{\sqrt{2\pi}} \cdot \frac{F(\omega)}{K(\omega)} \quad (۴۲.۱۶)$$

و در اینجا نیز از طریق وارون کردن، داریم

$$\varphi(x) = \frac{1}{\sqrt{2\pi}} \int_{-\infty}^{\infty} \frac{F(\omega)}{K(\omega)} e^{-i\omega x} d\omega \quad (۴۳.۱۶)$$

توجه دقیق این جواب را می‌توان در روش مورس و فشاخ در صفحات مختلط یافت. در مسئلهٔ ۱۰۲.۱۶ بسط این راه‌حل تبدیلی را خواهیم دید.

مثال ۴.۲.۱۶ معادلهٔ آبل تعمیم یافته، قضیهٔ پیچش معادلهٔ آبل تعمیم یافته عبارت است از

$$f(x) = \int_0^x \frac{\varphi(t)}{(x-t)^\alpha} dt, \quad 0 < \alpha < 1, \quad \left. \begin{array}{l} f(x) \text{ معلوم} \\ \varphi(t) \text{ مجهول} \end{array} \right\} \text{ با} \quad (۴۴.۱۶)$$

از دو طرف این معادله تبدیل لاپلاس می‌گیریم

$$\begin{aligned} \mathcal{L}\{f(x)\} &= \mathcal{L}\left\{\int_0^x \frac{\varphi(t)}{(x-t)^\alpha} dt\right\} \\ &= \mathcal{L}\{x^{-\alpha}\}\mathcal{L}\{\varphi(x)\} \end{aligned} \quad (۴۵.۱۶)$$

مرحلهٔ آخر را به کمک قضیهٔ پیچش لاپلاس (بخش ۱۱.۱۵) به دست آورده‌ایم. در این صورت

$$\mathcal{L}\{\varphi(x)\} = \frac{s^{1-\alpha} \mathcal{L}\{f(x)\}}{(-\alpha)!} \quad (۴۶.۱۶)$$

پس از تقسیم بر  $s$ ، داریم

$$\frac{1}{s} \mathcal{L}\{\varphi(x)\} = \frac{s^{-\alpha} \mathcal{L}\{f(x)\}}{(-\alpha)!} \quad (۴۷.۱۶)$$

$$= \frac{\mathcal{L}\{x^{\alpha-1}\} \mathcal{L}\{f(x)\}}{(\alpha-1)!(-\alpha)!}$$

با ترکیب فاکتوریلها [معادله (۳۲.۱۰)] و استفاده مجدد از قضیهٔ پیچش لا بلاس، پی می‌بریم که

$$\frac{1}{s} \mathcal{L}\{\varphi(x)\} = \frac{\sin \pi \alpha}{\pi} \mathcal{L} \left\{ \int_0^x \frac{f(t)}{(x-t)^{1-\alpha}} dt \right\} \quad (۴۸.۱۶)$$

به کمک مسئلهٔ ۱۰.۱۱.۱۵ و ارون می‌کنیم

$$\int_0^x \varphi(t) dt = \frac{\sin \pi \alpha}{\pi} \int_0^x \frac{f(t)}{(x-t)^{1-\alpha}} dt \quad (۴۹.۱۶)$$

و سرانجام، پس از مشتقگیری

$$\varphi(x) = \frac{\sin \pi \alpha}{\pi} \frac{d}{dx} \int_0^x \frac{f(t)}{(x-t)^{1-\alpha}} dt \quad (۵۰.۱۶)$$

### توابع مولد

گاهگاه، ممکن است به معادله‌هایی انتگرالی شامل توابع مولد برخورد کنیم. فرض کنید که حالت بسیار خاص زیر را داشته باشیم

$$f(x) = \int_{-1}^1 \frac{\varphi(t)}{(1-2xt+x^2)^{1/2}} dt, \quad -1 \leq x \leq 1 \quad (۵۱.۱۶)$$

به دو جنبهٔ مهم زیر نظر می‌کنیم:

۱.  $(1-2xt+x^2)^{-1/2}$  چند جمله‌ایهای لژاندر را تولید می‌کند.

۲.  $[-1, 1]$  بازهٔ تعامد چند جمله‌ایهای لژاندر است.

حال اگر مخرج را بسط دهیم (خاصیت ۱) و فرض کنیم که تابع مجهول  $\varphi(t)$  رانیز



بتوانیم به صورت یک سری از همین چند جمله‌ایهای لژاندر بسط دهیم، آنگاه

$$f(x) = \int_{-1}^1 \sum_{n=0}^{\infty} a_n P_n(t) \sum_{r=0}^{\infty} P_r(t) x^r dt \quad (۵۲.۱۶)$$

با استفاده از تعامد چند جمله‌ایهای لژاندر (خاصیت ۲)، خواهیم داشت

$$f(x) = \sum_{r=0}^{\infty} \frac{2a_r}{2r+1} x^r \quad (۵۳.۱۶)$$

در این صورت می‌توانیم  $a_n$ ها را با  $n$  بار مشتق‌گیری و سپس قرار دادن  $x=0$ ، به دست آوریم

$$f^{(n)}(0) = n! \frac{2}{2n+1} a_n \quad (۵۴.۱۶)$$

بنابراین

$$\varphi(t) = \sum_{n=0}^{\infty} \frac{2n+1}{2} \frac{f^{(n)}(0)}{n!} P_n(t) \quad (۵۵.۱۶)$$

به کمک بقیه توابع مولد هم می‌توان به نتایج مشابهی دست یافت (بامسئله ۹.۲.۱۵ مقایسه کنید). در واقع شگرد بسط بر حسب یک سری از توابع خاص همواره قابل حصول است. هرگاه بسط میسر (وراحت) و بازه مناسب باشد، به امتحان کردنش می‌ارزد.

### مسائل

۱.۲.۱۶ کرنل یک معادله فردهولم از نوع دوم

$$\varphi(x) = f(x) + \lambda \int_{-\infty}^{\infty} K(x, t) \varphi(t) dt$$

به صورت  $k(x-t)$  است. ۱. با این فرض که تبدیلهای لازم وجود دارند، نشان دهید

$$\varphi(x) = \frac{1}{\sqrt{2\pi}} \int_{-\infty}^{\infty} \frac{F(t) e^{-ixt} dt}{1 - \sqrt{2\pi} \lambda K(t)}$$

$F(t)$  و  $K(t)$  به ترتیب تبدیلهای فوریه  $f(x)$  و  $k(x)$  هستند.

۲.۲.۱۶ کرنل یک معادله ولترای نوع اول

۱. این کرنل و گستره  $0 \leq x < \infty$  مشخصه معادله‌های انتگرالی از نوع وینر-هوف به شمار می‌آیند. جزئیات مربوط به این معادلات را می‌توان در فصل ۸ کتاب مورس و فشاخ یافت.

$$f(x) = \int_0^x K(x, t) \varphi(t) dt$$

به صورت  $k(x-t)$  است. با فرض اینکه تبدیلهای لازم وجود دارند، نشان دهید

$$\varphi(x) = \frac{1}{\gamma \pi i} \int_{\gamma-i\infty}^{\gamma+i\infty} \frac{F(s)}{K(s)} e^{sx} ds$$

$F(s)$  و  $K(s)$  به ترتیب تبدیلهای لاپلاس  $f(x)$  و  $k(x)$  هستند.

۳۰۲.۱۶ کرنل يك معادله و لثرای نوع دوم

$$\varphi(x) = f(x) + \lambda \int_0^x K(x, t) \varphi(t) dt$$

به صورت  $k(x-t)$  است. با این فرض که تبدیلهای لازم وجود دارند، نشان دهید

$$\varphi(x) = \frac{1}{\gamma \pi i} \int_{\gamma-i\infty}^{\gamma+i\infty} \frac{F(s)}{1-\lambda K(s)} e^{sx} ds$$

۴۰۲.۱۶ با استفاده از جواب تبدیل لاپلاس (مسئله ۳۰۲.۱۶) معادلات زیر را حل کنید

$$\varphi(x) = x + \int_0^x (t-x) \varphi(t) dt \quad (\text{الف})$$

پاسخ.  $\varphi(x) = \sin x$ .

$$\varphi(x) = x - \int_0^x (t-x) \varphi(t) dt \quad (\text{ب})$$

پاسخ.  $\varphi(x) = \sinh x$ .

با نشان دادن مقادیر به دست آمده در معادلات انتگرالی اصلی نتایج خود را بیازمایید.

۵۰۲.۱۶ معادلات مثال ۱۰۲.۱۶ [معادلات (۳۹.۱۶) تا (۴۳.۱۶)] را با استفاده از تبدیلهای کسینوسی فوریه دوباره فرمولبندی کنید.

۶۰۲.۱۶ با در اختیار داشتن معادله انتگرالی فردهولم

$$e^{-x^2} = \int_{-\infty}^{\infty} e^{-(x-t)^2} \varphi(t) dt$$

شگرد پیچش فوریه مثال ۱۰۲.۱۶ را به کار ببرید و  $\varphi(t)$  را به دست آورید.

۷۰۲.۱۶ معادله آبل زیر مفروض است

$$f(x) = \int_0^x \frac{\varphi(t)}{(x-t)^\alpha} dt, \quad 0 < \alpha < 1$$

این معادله را باروش زیر حل کنید.

(الف) دوطرف معادله را در  $(z-x)^{\alpha-1}$  ضرب کنید و درگستره  $z \geq x \geq 0$ ، نسبت به  $x$  انتگرال بگیرید.

(ب) ترتیب انتگرالگیری را معکوس و انتگرال (نسبت به  $x$ ) سمت راست را به کمک تابع بتا محاسبه کنید. یادآوری.

$$\begin{aligned} \int_0^z \frac{dx}{(z-x)^{1-\alpha}(x-t)^\alpha} &= B(1-\alpha, \alpha) \\ &= (-\alpha)!(\alpha-1)! \\ &= \frac{\pi}{\sin \pi \alpha} \end{aligned}$$

۸۰۲.۱۶ در معادله تعمیم یافته آبل  $f(x) = 1$ 

$$1 = \int_0^x \frac{\varphi(t)}{(x-t)^\alpha} dt, \quad 0 < \alpha < 1$$

$\varphi(t)$  را به دست آورید و تحقیق کنید که  $\varphi(t)$  یکی از جوابهای معادله قبل است.

$$\varphi(t) = \frac{\sin \pi \alpha}{\pi} t^{\alpha-1} \text{ پاسخ.}$$

۹۰۲.۱۶ کرنل يك معادله فردهولم نوع اول به صورت  $e^{-(x-t)^2}$  است

$$f(x) = \int_{-\infty}^{\infty} e^{-(x-t)^2} \varphi(t) dt$$

نشان دهید که جواب عبارت است از

$$\varphi(x) = \frac{1}{\sqrt{\pi}} \sum_{n=0}^{\infty} \frac{f^{(n)}(0)}{2^n n!} H_n(x)$$

که در آن  $H_n(x)$  چندجمله ای مرتبه  $n$ ام هرमित است.

۱۰.۲.۱۶ معادله انتگرالی

$$f(x) = \int_{-1}^1 \frac{\varphi(t)}{(1-2xt+x^2)^{1/2}} dt, \quad -1 \leq x \leq 1$$

را در هر يك از حالت‌های زیر حل کنید و تابع مجهول  $\varphi(t)$  را به دست آورید

$$f(x) = x^{2s+1} \text{ (ب)}, f(x) = x^{2s} \text{ (الف)}$$

$$\varphi(t) = \frac{2s+3}{4} P_{2s+1}(t) \text{ (ب)}, \varphi(t) = \frac{2s+1}{4} P_{2s}(t) \text{ (الف)}. \text{ پاسخ.}$$

۱۱.۲.۱۶ در تحلیلی که بر اساس نظریه پراش کیرشهوف در مورد يك لیزر صورت می‌گیرد، به معادله انتگرالی زیر می‌رسیم

$$v(\mathbf{r}_2) = \gamma \iint K(\mathbf{r}_1, \mathbf{r}_2) v(\mathbf{r}_1) dA$$

تابع مجهول  $v(\mathbf{r}_1)$  توزیع هندسی میدان تابشی را روی سطح يك آینه به دست می‌دهد؛ گستره انتگرالی روی سطح آینه واقع است. این معادله انتگرالی برای آینه‌های کروی هم کانون مربعی به صورت زیر درمی‌آید

$$v(x_2, y_2) = \frac{-i\gamma e^{ikb}}{\lambda b} \int_{-a}^a \int_{-a}^a e^{-i(k/b)(x_1 x_2 + y_1 y_2)} v(x_1, y_1) dx_1 dy_1$$

که در آن  $b$  فاصله بین آینه‌های لیزری روی خط مرکزی آنهاست. این معادله را با تعویضهای زیر می‌توان به صورت نسبتاً ساده‌تری در آورد

$$\frac{kx_i^2}{b} = \xi_i^2, \quad \frac{ky_i^2}{b} = \eta_i^2 \quad \text{و} \quad \frac{ka^2}{b} = \frac{2\pi a^2}{\lambda b} = \alpha^2$$

(الف) نشان دهید که متغیرها جدا می‌شوند و دو معادله انتگرالی به دست می‌آوریم.

(ب) نشان دهید که برای آینه به بعد  $\lambda \gg a$ ، حدود جدید  $\pm \alpha$  را می‌توان با  $\pm \infty$

تقریب زد.

(ج) معادله‌های انتگرالی حاصل را حل کنید.

### ۳.۱۶ سری نویمان، کرنلهای جداشدنی (واگن)

بسیاری از معادله‌های انتگرالی و شاید اغلب آنها را نمی‌توان به کمک شگردهای اختصاصی تبدیل انتگرالی بخش قبل حل کرد. در اینجا سه شگرد نسبتاً کلی برای حل معادله‌های انتگرالی به دست می‌دهیم. در شگرد اول که عمدتاً به نویمان، لیوویل، و ولترا نسبت داده می‌شود، تابع مجهول  $\varphi(x)$  را به صورت یک سری توانی از  $\lambda$  بسط می‌دهیم،  $\lambda$  ثابتی معلوم است. از این روش همواره در صورت همگرابودن سری حاصل می‌توان استفاده کرد.

روش دوم در مواردی به کار می‌رود که دو متغیری که در کرنل  $K(x, t)$  ظاهر می‌شوند، جداشدنی باشند، و به همین دلیل روش نسبتاً محدودتری است. ولی در هر حال از دو مزیت عمده برخوردار است: (۱) رابطه بین یک معادله انتگرالی و یک مجموعه از دستگاه معادلات جبری خطی به روشنی نشان داده می‌شود، و (۲) این روش به ویژه مقادیرها و ویژه تابعها می‌انجامد شباهتی نزدیک با بخش ۶.۴.

سوم، شگردی برای حل عددی معادله‌های فردهولم نوع اول و دوم به طور خلاصه ارائه شده است. روی مسئله‌ای که در ماتریسهای بدشرط ظاهر می‌شود تکیه می‌کنیم.

#### سری نویمان

یک معادله انتگرالی خطی نوع دوم را از طریق تقریبهای بی‌دریی حل می‌کنیم، معادله مورد نظریک معادله فردهولم است

$$\varphi(x) = f(x) + \lambda \int_a^b K(x, t) \varphi(t) dt \quad (56.16)$$

که در آن  $f(x) \neq 0$ . اگر  $\lambda$  بالایی متغیر باشد (معادله ولترا) باز هم می‌توان، با اندک اصلاحاتی، از روش زیر استفاده کرد. تابع مجهول خود را به وسیله رابطه

$$\varphi(x) \approx \varphi_0(x) = f(x) \quad (57.16)$$

تقریب می‌زنیم (هیچ تضمینی وجود ندارد که این تقریب به کار آید). این گزینه اجباری نیست. اگر می‌توانید، با حدس بهتری عملیات را شروع کنید، حتماً این کار را بکنید. گزینه فوق معادل آن است که بگوییم یا انتگرال کوچک است یا ثابت  $\lambda$ . برای بهتر کردن این تقریب بسیار خام،  $\varphi_0(x)$  را در انتگرال معادله (۵۶.۱۶) فیدبک می‌کنیم و خواهیم داشت

$$\varphi_1(x) = f(x) + \lambda \int_a^b K(x, t) f(t) dt \quad (58.16)$$

با تکرار این فرایند جانمایی  $\varphi_n(x)$  جدید در معادله (۵۶.۱۵)، دنباله زیر را ارائه می‌دهیم

$$\varphi_2(x) = f(x) + \lambda \int_a^b K(x, t_1) f(t_1) dt_1 \quad (59.16)$$

$$+ \lambda^2 \int_a^b \int_a^b K(x, t_1) K(t_1, t_2) f(t_2) dt_2 dt_1$$

$$\varphi_n(x) = \sum_{i=0}^n \lambda^i u_i(x) \quad (60.16)$$

که در آن

$$u_0(x) = f(x)$$

$$u_1(x) = \int_a^b K(x, t_1) f(t_1) dt_1 \quad (61.16)$$

$$u_2(x) = \int_a^b \int_a^b K(x, t_1) K(t_1, t_2) f(t_2) dt_2 dt_1$$

$$u_n(x) = \int \int \int K(x, t_1) K(t_1, t_2) \dots \\ K(t_{n-1}, t_n) \cdot f(t_n) dt_n \dots dt_1$$

انتظار داریم که جواب  $\varphi(x)$  را به صورت زیر به دست آوریم

$$\varphi(x) = \lim_{n \rightarrow \infty} \varphi_n(x) = \lim_{n \rightarrow \infty} \sum_{i=0}^n \lambda^i u_i(x) \quad (62.16)$$

به شرط آنکه سری نامتناهی ما همگرا باشد.

همگرایی این سری را به آسانی می توان به کمک آزمون نسبت کوشی، بخش ۲.۵، امتحان کرد. برای این کار توجه می کنیم که

$$|\lambda^n u_n(x)| \leq |\lambda^n| |f|_{\max} |K|_{\max}^n |b-a|^n \quad (63.16)$$

که در آن  $|f|_{\max}$  را برای نشان دادن مقدار بیشینه  $|f(x)|$  در بازه  $[a, b]$ ، و  $|K|_{\max}$  را برای نمایش مقدار بیشینه  $|K(x, t)|$  در حوزة این تابع در صفحه  $t-x$  به کار برده ایم. به شرطی همگرایی داریم که

$$|\lambda| |K|_{\max} |b-a| < 1 \quad (64.16)$$

دقت کنید که  $\lambda u_n(\max)$  را به عنوان یک سری مقایسه به کار برده ایم. اگر این سری همگرا باشد سری واقعی نیز باید همگرا باشد. اگر این شرط بر آورده نشود، ممکن است همگرایی داشته باشیم یا نداشته باشیم. در این صورت به آزمون حساستری نیاز داریم. اگر این سری نویمان همگرا نشود، البته روشن است که هنوز ممکن است بتوانیم به کمک یکی از روشهای دیگر جوابی به دست آوریم.

برای آنکه بهتر متوجه شویم که در این محاسبات تکراری چه کرده‌ایم، شاید بهتر باشد که جواب سری نویمان، معادله (۵۹.۱۶)، را به صورت عملگری بازنویسی کنیم. برای شروع، معادله (۵۶.۱۶) را به صورت زیر بازنویسی می‌کنیم

$$\varphi = \lambda K \varphi + f$$

که در آن  $K$  نمایشگر عملگر انتگرالی  $[ \int_0^1 K(x, t) dt ]$  است.  $\varphi$  را از این معادله به صورت زیر محاسبه می‌کنیم

$$\varphi = (1 - \lambda K)^{-1} f$$

بسط دوجمله‌ای به معادله (۵۹.۱۶) می‌انجامد. همگرایی سری نویمان نمایانگر آن است که عملگر وارون  $(1 - \lambda K)^{-1}$  وجود دارد.

مثال ۱۰۳.۱۶ جواب سری نویمان

برای نمایش روش نویمان، معادله انتگرالی زیر را در نظر می‌گیریم

$$\varphi(x) = x + \frac{1}{4} \int_{-1}^1 (t-x) \varphi(t) dt \quad (۶۵.۱۶)$$

برای شروع عملیات مربوط به سری نویمان، تابع زیر را در نظر می‌گیریم

$$\varphi_0(x) = x \quad (۶۶.۱۶)$$

آنگاه

$$\varphi_1(x) = x + \frac{1}{4} \int_{-1}^1 (t-x)t dt$$

$$= x + \frac{1}{4} \left[ \frac{1}{3} t^3 - \frac{1}{2} t^2 x \right]_{-1}^1$$

$$= x + \frac{1}{3}$$

$\varphi_1(x)$  را در معادله (۶۵.۱۶) می‌نشانیم، و به دست می‌آوریم

$$\varphi_2(x) = x + \frac{1}{4} \int_{-1}^1 (t-x)t dt + \frac{1}{4} \int_{-1}^1 (t-x) \frac{1}{3} dt$$

$$= x + \frac{1}{3} - \frac{x}{3}$$

این فرایند جانشانی در معادله (۶۵.۱۶) را ادامه می‌دهیم؛ خواهیم داشت

$$\varphi_2(x) = x + \frac{1}{3} - \frac{x}{3} - \frac{1}{3^2}$$

و از طریق استقرا می‌رسیم به

$$\varphi_n(x) = x + \sum_{s=1}^n (-1)^{s-1} 3^{-s} - x \sum_{s=1}^n (-1)^{s-1} 3^{-s} \quad (۶۷.۱۶)$$

در حد  $n \rightarrow \infty$  خواهیم داشت

$$\varphi(x) = \frac{3}{4}x + \frac{1}{4} \quad (۶۸.۱۶)$$

این جواب را می‌توان (و باید) بانشاندن در معادله اصلی، معادله (۶۵.۱۶)، آزمود. توجه به این نکته جالب است که هرچند در این حالت خاص، شرایط مورد نظر معادله (۶۴.۱۶) صدق نمی‌کند، ولی همگرایی سری ما به آسانی مشخص می‌شود. معادله (۶۴.۱۶)، در واقع یک کران بالایی بسیار تقریبی برای  $\lambda$  است. می‌توان نشان داد که شرط لازم و کافی برای همگرایی جواب سری ماعبارات است از  $|\lambda| < |\lambda_0|$ ، که در آن  $\lambda_0$  ویژه‌مقداری از معادله همگن متناظر با  $[f(x) = 0]$  به شمار می‌آید که بزرگ‌ترین از همه کمتر باشد.  $\lambda_0$  در مثال خاص مورد نظر برابر  $\sqrt{3}/2$  است. روشن است که:  $\lambda = 1/2 < \lambda_0 = \sqrt{3}/2$

در محاسبه اختلال وابسته به زمان در مکانیک کوانتومی، یکی از رهیافتهای آن است که از معادله انتگرالی زیر برای عملگر تحول شروع کنیم

$$U(t, t_0) = 1 - \frac{i}{\hbar} \int_{t_0}^t V(t_1) U(t_1, t_0) dt_1 \quad (الف ۶۹.۱۶)$$

تکرار عملیات منجر می‌شود به

$$U(t, t_0) = 1 - \frac{i}{\hbar} \int_{t_0}^t V(t_1) dt_1 + \left(\frac{i}{\hbar}\right)^2 \int_{t_0}^t \int_{t_0}^{t_1} V(t_1) V(t_2) dt_2 dt_1 + \dots \quad (ب ۶۹.۱۶)$$

عملگر تحول به صورت یک سری از انتگرالهای چندگانه از پتانسیل اختلال  $V(t)$  خیلی شبیه به سری نویمان، معادله (۶۵.۱۶)، به دست می‌آید. عملگر تحول، به ازای  $V = V_0$ ، مستقل از  $t$ ، به صورت زیر درمی‌آید

$$U(t_1, t_0) = \exp[-i(t-t_0)V_0/\hbar]$$

رابطه دیگری مشابه این رابطه بین سری نویمان و مکانیک کوانتومی وقتی ظاهر می‌شود



که معادله موج شرودینگر برای پراکندگی را به صورت يك معادله انتگرالی مجدداً فرمولبندی می‌کنند. اولین جمله يك جواب سری نویمان، عبارت است از موج فرودی (مختل نشده). جمله دوم، تقریب بورن، معادله (۱۹۱.۱۶) بخش ۶.۱۶، است.

روش نویمان را می‌توان در مورد معادلات انتگرالی ولترای نوع دوم، معادله (۲۰.۱۶) یا معادله (۵۶.۱۶)، که در آن حد بالایی ثابت  $b$  را بامتغیر  $x$  تعویض کرده‌ایم، نیز به کار گرفت. سری نویمان در مورد ولترا: تاجایی که کرنل انتگرالپذیر مجذوری باشد، به ازای همه مقادیر  $\lambda$  همگرا می‌شود.

### کرنل جداشدنی

هرگاه کرنل  $K(x, t)$  جداشدنی باشد، یعنی

$$K(x, t) = \sum_{j=1}^n M_j(x) N_j(t) \quad (۷۰.۱۶)$$

که در آن  $n$ ، کران بالایی مجموع، متناهی است، می‌توانیم از شگرد تعویض معادله انتگرالی بادستگاه معادلات جبری استفاده کنیم. چنین کرنلهایی را گاهی واگن گویند. رده کرنل‌های جداشدنی تمام چندجمله‌ایها و بسیاری از توابع غیر جبری مقدماتی را در بر می‌گیرد؛ یعنی

$$\cos(t-x) = \cos t \cos x + \sin t \sin x \quad (\text{الف } ۷۰.۱۶)$$

اگر معادله (۷۰.۱۶) برقرار باشد، با جانشانی در معادله فردهولم نوع دوم، معادله (۲.۱۶)، خواهیم داشت

$$\varphi(x) = f(x) + \lambda \sum_{j=1}^n M_j(x) \int_a^b N_j(t) \varphi(t) dt \quad (۷۱.۱۶)$$

که در آن ترتیب انتگرالگیری و مجموعیابی را تعویض کرده‌ایم. در اینجا انتگرال بر حسب  $t$  مقدار ثابتی است

$$\int_a^b N_j(t) \varphi(t) dt = c_j \quad (۷۲.۱۶)$$

بداین ترتیب معادله (۷۱.۱۶) به صورت زیر درمی‌آید

$$\varphi(x) = f(x) + \lambda \sum_{j=1}^n c_j M_j(x) \quad (۷۳.۱۶)$$

این رابطه، پس از تعیین ثابتهای  $c_j$ ، جواب  $\varphi(x)$  را بدما خواهد داد. علاوه بر این، معادله (۷۳.۱۶)، شکل  $\varphi(x)$  را نیز به صورت  $f(x)$ ، به اضافه يك ترکیب خطی از عوامل وابسته بهم در کرنل جداشدنی، معین می‌کند.

برای یافتن  $c_i$  ها، می‌توانیم معادله (۷۳.۱۶) را در  $N_i(x)$  ضرب کنیم آنگاه برای حذف وابستگی به  $x$ ، انتگرال بگیریم. با استفاده از معادله (۷۲.۱۶)، خواهیم داشت

$$c_i = b_i + \lambda \sum_{j=1}^n a_{ij} c_j \quad (74.16)$$

که در آن

$$b_i = \int_a^b N_i(x) f(x) dx \quad (75.16)$$

$$a_{ij} = \int_a^b N_i(x) M_j(x) dx$$

شاید بد نباشد که معادله (۷۴.۱۶) را به صورت ماتریسی بنویسیم. با  $\mathbf{A} = (a_{ij})$

داریم

$$\mathbf{b} = \mathbf{c} - \lambda \mathbf{A} \mathbf{c} = (1 - \lambda \mathbf{A}) \mathbf{c} \quad (76.16 \text{ الف})$$

یا

$$\mathbf{c} = (1 - \lambda \mathbf{A})^{-1} \mathbf{b} \quad (76.16 \text{ ب})$$

معادله (۷۶.۱۶ الف) معادل است با مجموعه‌ای از دستگاه معادله‌های جبری خطی

$$(1 - \lambda a_{11}) c_1 - \lambda a_{12} c_2 - \lambda a_{13} c_3 - \dots = b_1,$$

$$-\lambda a_{21} c_1 + (1 - \lambda a_{22}) c_2 - \lambda a_{23} c_3 - \dots = b_2, \quad (77.16)$$

$$-\lambda a_{r1} c_1 - \lambda a_{r2} c_2 + (1 - \lambda a_{rr}) c_r - \dots = b_r,$$

اگر معادله انتگرالی ما همگن باشد [ $f(x) = 0$ ]، آنگاه  $\mathbf{b} = 0$ . برای آنکه جوابی داشته باشیم، باید دترمینان ضرایب  $c_i$  صفر شود (دقیقاً مانند مورد بخش ۶.۴)

$$|1 - \lambda \mathbf{A}| = 0 \quad (78.16)$$

ریشه‌های معادله (۷۸.۱۶) ویژه‌مقدارها را می‌دهند. با نشان دادن در  $\mathbf{c} = 0$ ،  $(1 - \lambda \mathbf{A}) \mathbf{c} = 0$  را پیدا می‌کنیم و سپس از معادله (۷۳.۱۶) جواب را به دست می‌آوریم.

مثال ۲.۳.۱۶

برای نمایش این شگرد در مورد تعیین ویژه مقادارها و ویژه تابعهای معادله فردهولم همگن، حالت ساده زیر را در نظر می گیریم

$$\varphi(x) = \lambda \int_{-1}^1 (t+x)\varphi(t) dt \quad (۷۹.۱۶)$$

در اینجا

$$M_1 = 1, \quad M_2(x) = x$$

$$N_1(t) = t, \quad N_2 = 1$$

از معادله (۷۵.۱۶) داریم

$$a_{11} = a_{22} = 0$$

$$a_{12} = \frac{2}{3}$$

$$a_{21} = 2$$

معادله (۷۸.۱۶)، یعنی معادله معین ما، به صورت زیر درمی آید

$$\begin{vmatrix} 1 & -\frac{2\lambda}{3} \\ -2\lambda & 1 \end{vmatrix} = 0 \quad (۸۰.۱۶)$$

حاصل بسط چنین است

$$1 - \frac{4\lambda^2}{3} = 0 \quad (۸۱.۱۶)$$

$$\lambda = \pm \frac{\sqrt{3}}{2}$$

با نشانیدن ویژه مقادارهای  $\lambda = \pm \sqrt{3}/2$  در معادله (۷۶.۱۶) داریم

$$c_1 + \frac{c_2}{\sqrt{3}} = 0 \quad (۸۲.۱۶)$$

سر انجام با انتخاب  $c_1 = 1$  از معادله (۷۳.۱۶) داریم

$$\varphi_1(x) = \frac{\sqrt{3}}{4} (1 + \sqrt{3}x), \quad \lambda = \frac{\sqrt{3}}{4} \quad (۸۳.۱۶)$$

$$\varphi_2(x) = -\frac{\sqrt{3}}{4} (1 - \sqrt{3}x), \quad \lambda = -\frac{\sqrt{3}}{4} \quad (۸۴.۱۶)$$

از آنجا که معادله ما همگن است، بهنجارش  $\varphi(x)$  اختیاری است.

اگر کرنل بنا بر مفهوم معادله (۷۵.۱۶) جداشدنی نباشد، باز هم این امکان فراهم است که بتوانیم آن را با کرنلی جداشدنی تقریب بزیم. در این صورت می توانیم جواب دقیق این معادله تقریبی را، که تقریبی است بر معادله اصلی، به دست آوریم. سپس می توان جواب این مسئله با کرنل تقریبی جداشدنی را از طریق نشان دادن در مسئله با کرنل جداشدنی اصلی آزمود.

### راه‌حلهای عددی

مطالب زیادی درباره راه‌حلهای عددی معادله‌های انتگرالی نوشته شده است، که غالباً با شگردهای خاص مربوط به وضعیتهای معینی سروکار دارند. یکی از این روشها که نسبتاً عمومیت دارد عبارت است از جا به جایی تک معادله انتگرالی با مجموعه‌ای از دستگاه معادلات جبری. در اینجا نیز از شگردهای ماتریسی استفاده می‌شود. باز هم رهیافت دستگاه معادله جبری - ماتریسی را در دو حالت متفاوت به کار می‌بریم. این روش برای معادله همگن فردهولم نوع دوم کارایی مطلوبی دارد. ولی در مورد معادله فردهولم نوع اول نتایج این روش بسیار نامطلوب است ابتدا به همین حالت نامطلوب می‌پردازیم.

معادله انتگرالی فردهولم نوع اول را در نظر می‌گیریم

$$f(x) = \int_a^b K(x, t) \varphi(t) dt \quad (الف ۸۴.۱۶)$$

که در آن  $f(x)$  و  $K(x, t)$  معلوم و  $\varphi(t)$  مجهول است. این انتگرال را (علی‌الاصول) می‌توان به کمک شگردهای کوادراتوری حل کرد. اگر کرنل پیوسته باشد و مشتقهای پیوسته‌ای هم داشته باشد، برای دستیابی به دقت بیشینه، روش گاوسی (پیوست ۲ را ببینید) را توصیه می‌کنیم. با کوادراتور عددی، به جای انتگرال مجموعی زیر را می‌نشانیم

$$f(x_i) = \sum_{k=1}^n A_k K(x_i, t_k) \varphi(t_k) \quad (ب ۸۴.۱۶)$$

که در آن  $A_k$  ضرایب کوادراتورند. برای رعایت خلاصه نویسی به جای  $f_i$ ،  $f(x_i)$  و به جای  $\varphi_k$ ،  $\varphi(t_k)$  و به جای  $B_{ik}$ ،  $A_k K(x_i, t_k)$  را قرار می‌دهیم. در واقع، به جای توصیف تابعی از توصیف برداری - ماتریسی بهره می‌گیریم که در آن  $n$  مؤلفه بردار ( $f_i$ ) بنا بر تعریف

عبارت اند از مقادیر تابع در  $n$  نقطه گسسته  $[f(x_i)]$ . معادله (۸۴.۱۶) ب صورت معادله ماتریسی زیر درمی آید

$$f_i = \sum_{k=1}^n B_{ik} \varphi_k$$

با وارون کردن  $(B_{ik})$ ، خواهیم داشت

$$\varphi(x_k) = \varphi_k = \sum_{i=1}^n B_{ki}^{-1} f_i \quad (\text{ج } ۸۴.۱۶)$$

و به این ترتیب معادله (۸۴.۱۶ الف)، علی الاصول، حل شده است. عملاً، ماتریس ضریب کوادراتور کرنل غالب اوقات (نسبت به وارون سازی) "بد-شرط" است. یعنی، در فرایند وارون سازی، خطاهای (عددی) کوچک در عوامل بزرگ ضرب می شوند. همه ارقام معنی دار ممکن است در فرایند وارون سازی حذف شوند و معادله (۸۴.۱۶ ج) به یک عبارت بی معنی عددی تبدیل شود.

این شرایط بسیار نامطلوب خیلی هم دور از انتظار نیست. انتگرال گیری اساساً یک عمل هموارکننده است.  $f(x)$  نسبت به ورودشهای موضعی  $\varphi(t)$ ، تقریباً غیر حساس است. برعکس،  $\varphi(t)$  ممکن است نسبت به تغییرات کوچک  $f(x)$  بسیار حساس باشد. خطاهای کوچک در  $f(x)$  یا در  $B^{-1}$ ، بزرگ می شوند و دقت از بین می رود. وقتی می خواهیم وارون تبدیل لاپلاس را به روش عددی بیابیم، همین رفتار را مشاهده می کنیم (بخش ۸.۱۵). اگر این شگرد ماتریسی-کوادراتوری را درباره مسئله ویژه مقدماتی معادله انتگرالی همگن با کرنل متقارن فردهولم نوع دوم<sup>۱</sup>

$$\lambda \varphi(x) = \int_a^b K(x, t) \varphi(t) dt \quad (\text{د } ۸۴.۱۶)$$

به کار بریم، به توفیق بیشتری دست پیدا می کنیم. به جای انتگرال مجموعه ای از دستگاه معادلات جبری (کوادراتور عددی، پیوست ۲ را ببینید) می نشانیم، در نتیجه

$$\lambda \varphi_i = \sum_{k=1}^n A_k K_{ik} \varphi_k \quad (\text{ه } ۸۴.۱۶)$$

که در آن، مانند قبل، داریم:  $\varphi_i = \varphi(x_i)$ . نقاط  $x_i, i = 1, 2, \dots, n$  را (از نظر عددی) با  $t_k, k = 1, 2, \dots, n$  برابر می گیریم به طوری که  $K_{ik}$  متقارن باشد. عمل ضرب کردن در  $A_i^{1/2}$  سیستم را متقارن می کند، به طوری که

۱. ویژه مقدار  $\lambda$  را، به صورتی که در آنالیز ماتریسی متداول است (بخش ۶.۴)، در سمت چپ به شکل ضریب ویژه تابع نوشته ایم. به این صورت،  $\lambda$  یک مقدار بیشینه به خود خواهد گرفت.

$$\lambda(A_i^{1/2}\varphi_i) = \sum_{k=1}^n (A_i^{1/2} K_{ik} A_k^{1/2}) (A_k^{1/2}\varphi_k) \quad (و ۸۴.۱۶)$$

به جای  $A_i^{1/2}\varphi_i$  کمیت  $\psi_i$  و به جای  $A_i^{1/2}K_{ik}A_k^{1/2}$  کمیت  $S_{ik}$  را می‌نشانیم؛ خواهیم داشت

$$\lambda\psi = S\psi \quad (ز ۸۴.۱۶)$$

که در آن  $S$  متقارن است [زیرا کرنل،  $K(x, t)$ ، متقارن فرض شد]. البته،  $\psi$  دارای مؤلفه‌های  $\psi_i = \psi(x_i)$  است. معادله (ز ۸۴.۱۶) همان معادله ویژه‌مقداری ماتریسی، یعنی معادله (۱۴۶.۴)، است. ویژه‌مقدارها را می‌توان به آسانی و با فرآخواندن برنامه SSP EIGEN بدست آورد. برای کرنلهایی نظیر کرنلهای مسئله ۱۵.۳.۱۶ و با استفاده از کوادراتور لواندر-گاوس ۱۵ رقمی، EIGEN، در مواردی که در مشتقهای کرنل گسستگیهایی پدید آمده باشد، بزرگترین ویژه‌مقدار را با خطای حدود ۵ درصد به دست می‌دهد. اگر مشتقها پیوسته باشند، دقت بسیار بهتری حاصل می‌شود.

لیتس با یک اصلاح وردشی جالب تعیین دقیقتر  $\lambda_{\max}$  را ممکن می‌سازد. رمز این روش در مسئله ۷.۸.۱۷ آمده است. مؤلفه‌های بردار ویژه تابع از معادله (د ۸۴.۱۶) با  $\varphi(t_k)$  معلوم به دست می‌آیند که در آن  $\varphi_1 = \varphi(x_1)$  را به صورتی که لازم است تولید می‌کنند ( $x_i$ ها دیگر به  $t_k$ ها مربوط نمی‌شوند).

### مسائل

۱۰۳.۱۶ با استفاده از سری نویمان معادله‌های زیر را حل کنید

$$\varphi(x) = 1 - 2 \int_0^x t \varphi(t) dt \quad (\text{الف})$$

$$\varphi(x) = x + \int_0^x (t-x) \varphi(t) dt \quad (\text{ب})$$

$$\varphi(x) = x - \int_0^x (t-x) \varphi(t) dt \quad (\text{ج})$$

$$\varphi(x) = e^{-x^2} \quad (\text{الف}) \text{ پاسخ.}$$

۱. زیر-برنامه متناظر در بسته زیر-برنامه علمی PL/I

(PL/I Scientific Subroutine package)

عبارت است از MSDU.

2. Peter Linz "On the numerical computation of eigenvalues and eigenvectors of symmetric integral equations." *Math. Computation*, **24**, 905 (1970).

۲۰۳.۱۶ معادله زیر را به کمک روش کرنل جداشدنی حل کنید

$$\varphi(x) = x + \frac{1}{4} \int_{-1}^1 (t+x) \varphi(t) dt$$

و این روش را با راه حلی که به کمک روش نویمان در بخش ۳.۹۶ اعمال شد، مقایسه کنید.

پاسخ.  $\varphi(x) = \frac{1}{4} (3x+1)$ .

۳۰۳.۱۶ ویژه‌مقدارها و ویژه‌تابعهای معادله زیر را بیابید

$$\varphi(x) = \lambda \int_{-1}^1 (t-x) \varphi(t) dt$$

۴۰۳.۱۶ ویژه‌مقدارها و ویژه‌تابعهای معادله زیر را پیدا کنید

$$\varphi(x) = \lambda \int_0^{2\pi} \cos(x-t) \varphi(t) dt$$

پاسخ.  $\varphi(x) = A \cos x + B \sin x$ ،  $\lambda_1 = \lambda_2 = \frac{1}{\pi}$ .

۵۰۳.۱۶ ویژه‌مقدارها و ویژه‌تابعهای معادله زیر را پیدا کنید

$$y(x) = \lambda \int_{-1}^1 (x-t)^2 y(t) dt$$

داهنمایی. این مسئله را می‌توان از طریق روش کرنل جداشدنی یا به کمک بسط لژاندر حل کرد.

۶۰۳.۱۶ اگر شگرد کرنل جداشدنی این بخش را دربارهٔ يك معادلهٔ فرد هولم نوع اول به کار بریم، [معادلهٔ (۱.۱۶)]، نشان دهید که معادلهٔ (۷۶.۱۶) با معادلهٔ زیر تعویض می‌شود

$$c = A^{-1}b$$

جواب مربوط به تابع مجهول  $\varphi(t)$  عموماً یکتا نیست.

۷۰۳.۱۶ معادله

$$\psi(x) = x + \int_0^1 (1+xt) \psi(t) dt$$

را از طریق هر يك از روشهای زیر حل کنید

(الف) شگرد سری نویمان، (ب) شگرد کرنل جداشدنی، (ج) حدس آگاهانه.

۸۰۳۰۱۶. باینه گیری از شگرد کرنل جداشدنی نشان دهید

$$\psi(x) = \lambda \int_0^{\pi} \cos x \sin t \psi(t) dt$$

(جز جواب بدیهی  $\psi = 0$ ) هیچ جوابی ندارد. این نتیجه را با در نظر گرفتن جداشدنی بودن و تقارن توجیه کنید.

۹۰۳۰۱۶ معادله

$$\varphi(x) = 1 + \lambda \int_0^x (x-t) \varphi(t) dt$$

را با هر يك از روشهای زیر حل کنید

(الف) تحویل به يك معادله دیفرانسیل (همراه با تعیین شرایط مرزی)،

(ب) سری نویمان،

(ج) استفاده از تبدیلهای لاپلاس.

پاسخ.  $\varphi(x) = \cosh \lambda x$ .

۱۰۰۳۰۱۶ (الف) در معادله (الف ۹۰.۱۶)  $V$  را برابر  $V_0$  و مستقل از  $t$  بگیرید. بدون استفاده از معادله (ب ۹۰.۱۶) نشان دهید که (الف ۹۰.۱۶) مستقیماً به معادله زیر می انجامد

$$U(t-t_0) = \exp[-i(t-t_0)V_0/\hbar]$$

(ب) همین کار را درباره معادله (ب ۹۰.۱۶)، بدون استفاده از (الف ۹۰.۱۶)

انجام دهید.

۱۱۰۳۰۱۶ ویژه مقدارها و ویژه تابعهای معادله  $\varphi(x) = \lambda \int_0^1 (1+xt) \varphi(t) dt$  را با استفاده از شگرد کرنل جداشدنی به دست آورید.

۱۲۰۳۰۱۶ اطلاع از شکل جوابهای معادله های انتگرالی می تواند به حل این معادله ها کمکهای شایانی کند. فرض کنید  $\varphi(x)$  برای معادله

$$\varphi(x) = \lambda \int_0^1 (1+xt) \varphi(t) dt$$

به شکل  $1+bx$  باشد. این جواب را در معادله انتگرالی قرار دهید. انتگرال بگیرید، و  $b$



و  $\lambda$  را به دست آورید.

۱۳.۳.۱۶ معادله انتگرالی

$$\varphi(x) = \lambda \int_0^1 J_0(\alpha xt) \varphi(t) dt, \quad J_0(\alpha) = 0$$

را با معادله

$$\varphi(x) = \lambda \int_0^1 [1 - x^2 t^2] \varphi(t) dt$$

تقریب می‌زنیم  $\lambda$ ، ویژه مقدار کمینه و ویژه تابع متناظر با آن را برای معادله تقریبی به دست آورید.

پاسخ.  $\varphi(x) = 1.1 - 0.303337 x^2$ ,  $\lambda_{\min} = 1.112486$

۱۴.۳.۱۶ معادله انتگرالی زیر را داریم

$$\varphi(x) = \lambda \int_0^1 \sin \pi xt \varphi(t) dt$$

کرنل را به صورت زیر تقریب بنویسید

$$K(x, t) = \varphi(xt)(1 - xt) \approx \sin \pi xt$$

ویژه مقدار مثبت و ویژه تابع متناظر با آن را برای معادله انتگرالی تقریبی به دست آورید. یادآوری.  $\lambda$  به ازای  $K(x, t) = \sin \pi xt$  برابر  $1.66334$  است.

پاسخ.  $\varphi(x) = x - 0.69955 x^2$ ,  $\lambda = 1.5678$

$$(\lambda_+ = \sqrt{31} - 2, \lambda_- = -\sqrt{31} - 2)$$

۱۵.۳.۱۶ معادله

$$f(x) = \int_a^b K(x, t) \varphi(t) dt$$

دارای کرنل واگن  $K(x, t) = \sum_{i=1}^n M_i(x) N_i(t)$  است.

(الف) نشان دهید که این معادله انتگرالی هیچ جوابی ندارد. مگر آنکه  $f(x)$  را

بتوان به صورت زیر نوشت

$$f(x) = \sum_{i=1}^n f_i M_i(x)$$

که در آن  $f_i$  ها ثابت اند.  
 (ب) نشان دهید که به هر جواب  $\varphi(x)$  می توانیم تابع  $\psi(x)$  را بیفزاییم، به شرط آنکه  $\psi(x)$  نسبت به همه  $N_i(x)$  ها متعامد باشد

$$\int_a^b N_i(x) \psi(x) dx = 0 \quad \text{به ازای همه } i \text{ ها:}$$

۱۶.۳.۱۶ با استفاده از کوادراتور عددی، معادله

$$\varphi(x) = \lambda \int_0^1 J_0(\alpha xt) \varphi(t) dt, \quad J_0(\alpha) = 0$$

را به مجموعه ای از دستگاه معادلات خطی تبدیل کنید.

(الف)  $\lambda$  ویژه مقدار کمینه را بیابید.

(ب)  $\varphi(x)$  را در مقادیر گسسته  $x$  تعیین کنید و  $\varphi(x)$  را بر حسب  $x$  رسم کنید. با

ویژه تابع تقریبی مسئله ۱۳.۳.۱۶ مقایسه کنید.

پاسخ. (الف)  $\lambda_{\min} = 1.14502$ .

۱۷.۳.۱۶ با استفاده از کوادراتور عددی، معادله

$$\varphi(x) = \lambda \int_0^1 \sin \pi xt \varphi(t) dt$$

را به مجموعه ای از دستگاه معادلات خطی تبدیل کنید.

(الف)  $\lambda$  ویژه مقدار کمینه را بیابید.

(ب)  $\varphi(x)$  را در مقادیر گسسته  $x$  تعیین و آن را بر حسب  $x$  رسم کنید. با ویژه تابع

تقریبی مسئله ۱۴.۳.۱۶ مقایسه کنید.

پاسخ. (الف)  $\lambda_{\min} = 1.6334$ .

۱۸.۳.۱۶ برای يك معادله همگن فردولم نوع دوم بدصورت زیر

$$\lambda \varphi(x) = \int_0^1 K(x, t) \varphi(t) dt$$

(الف) بزرگترین ویژه مقدار،  $\lambda_0$  را محاسبه کنید. از شگرد کوادراتور گاوس-اواندر

دو رقمی استفاده کنید. ویژه مقدارهایی را که توسط لیتنس فهرست بندی شده اند برای مقایسه به صورت دقیق  $\lambda$  داده ایم.

(ب)  $\varphi(x_k)$  را برای  $x_k$  منطبق بر هر يك از ده نقطه ارزیابی در بازه  $[0, 1]$  جدول بندی

کنید.

(ج) نسبت زیر را به ازای  $x = x_k$  در جدولی بیاورید

$$\int_0^1 K(x, t) \varphi(t) dt / \lambda_0 \varphi(x)$$

این کار آزمون این نکته به شمار می‌آید که آیا واقعاً به یک جواب دست یافته‌اید یا خیر. مسئله را برای کرنل‌های زیر حل کنید.

(الف)  $K(x, t) = e^{xt}$

پاسخ.  $\lambda_{\text{دقیق}} = 1.35303$

$$K(x, t) = \begin{cases} \frac{1}{2} x(2-t), & x < t \\ \frac{1}{2} t(2-x), & x > t \end{cases} \quad (\text{ب})$$

پاسخ.  $\lambda_{\text{دقیق}} = 0.24296$

(ج)  $K(x, t) = |x-t|$

پاسخ.  $\lambda_{\text{دقیق}} = 0.34741$

$$K(x, t) = \begin{cases} x, & x < t \\ t, & x > t \end{cases} \quad (\text{د})$$

پاسخ.  $\lambda_{\text{دقیق}} = 0.40528$

یادآوری. نقاط ارزیابی،  $x_i$  های مربوط به کوادرات تورگاوس-لژاندر برای  $[-1, 1]$ ، را می‌توان به صورت خطی به  $[0, 1]$  تبدیل کرد

$$x_i[0, 1] = \frac{1}{2} (x_i[-1, 1] + 1)$$

در این صورت عامل‌های وزنی  $A_i$  به نسبت طول بازه کوچک می‌شوند

$$A_i[0, 1] = \frac{1}{2} A_i[-1, 1]$$

۱۹۰۳۰۱۶ با استفاده از شگرد وردشی ماتریسی در مسئله ۷.۸.۱۷، محاسبه ویژه‌مقدار مسئله ۱۸.۳۰۱۶ ج،  $[K(x, t) = |x-t|]$ ، را اصلاح کنید. یک ماتریس  $40 \times 40$  را امتحان کنید.

یادآوری. ماتریسی که به کار می برید باید متقارن باشد به طوری که ویژه بردارهای (مجهول) متعامد باشند.

پاسخ. (کوادراتور گاوس-لژاندره ۴ رقمی) ۰۵۳۴۷۲۷.

### ۴.۱۶ نظریه هیلبرت - اشمیت

متقارن سازی کر نلها

در اینجا خواص معادله های انتگرالی خطی (از نوع فردهولم) با کر نلهای متقارن

$$K(x, t) = K(t, x) \quad (۸۵.۱۶)$$

را مطرح می کنیم. قبل از آنکه به این نظریه وارد شویم، به این نکته توجه می کنیم که می توان برخی کر نلهای نامتقارن مهم را متقارن کرد. در معادله

$$\varphi(x) = f(x) + \lambda \int_a^b K(x, t) \rho(t) \varphi(t) dt \quad (۸۶.۱۶)$$

عبارت  $K(x, t) \rho(t)$  عملاکرنل کل به شمار می آید، روشن است که اگر فقط  $K(x, t)$  متقارن باشد، این کرنل متقارن نخواهد بود. ولی اگر معادله (۸۶.۱۶) را در  $\sqrt{\rho(x)}$  ضرب کنیم، و قرار دهیم

$$\sqrt{\rho(x)} \varphi(x) = \psi(x) \quad (۸۷.۱۶)$$

خواهیم داشت

$$\psi(x) = \sqrt{\rho(x)} f(x) + \lambda \int_a^b [K(x, t) \sqrt{\rho(x) \rho(t)}] \psi(t) dt \quad (۸۸.۱۶)$$

که در آن کرنل کل متقارن عبارت است از  $\sqrt{\rho(x) \rho(t)} K(x, t)$ . بعد از این نظریه اشتورم - لیوویل معادله انتگرالی، به صورت یک عامل وزنی ظاهر خواهد شد.

ویژه تابعهای متعامد

اکنون توجه خود را به معادله همگن فردهولم نوع دوم معطوف می کنیم

$$\varphi(x) = \lambda \int_a^b K(x, t) \varphi(t) dt \quad (۸۹.۱۶)$$

فرض می کنیم که کرنل  $K(x, t)$  حقیقی و متقارن است. شاید یکی از نخستین پرسشهایی که یک ریاضیدان درباره این معادله مطرح کند، این باشد که "آیا این عبارت معنی هم دارد؟" یا به عبارت دقیقتر، "آیا یک ویژه مقدار  $\lambda$  وجود دارد که در این معادله صدق کند؟" کوران و

هیلبرت (در بخش ۴ فصل ۳ کتاب خود) به کمک نامساویهای بسل و شوارتس نشان دادند که اگر  $K(x, t)$  پیوسته باشد، دست کم یک ویژه مقدار و شاید هم بینهایت ویژه مقدار برای این معادله وجود دارد.

ما نشان خواهیم داد که ویژه مقدارها،  $\lambda$ ، حقیقی و ویژه تابعهای متناظر،  $\varphi_i(x)$ ، متعامدند. دو ویژه مقدار متفاوت  $\lambda_i$  و  $\lambda_j$  و ویژه تابعهای متناظر  $\varphi_i(x)$  و  $\varphi_j(x)$  را در نظر بگیرید. معادله (۸۹.۱۶) به صورت زیر درمی آید

$$\varphi_i(x) = \lambda_i \int_a^b K(x, t) \varphi_i(t) dt \quad (۹۰.۱۶ \text{ الف})$$

$$\varphi_j(x) = \lambda_j \int_a^b K(x, t) \varphi_j(t) dt \quad (۹۰.۱۶ \text{ ب})$$

اگر معادله (۹۰.۱۶ الف) را در  $\lambda_j \varphi_j(x)$  و معادله (۹۰.۱۶ ب) را در  $\lambda_i \varphi_i(x)$  ضرب کنیم و سپس نسبت به  $x$  انتگرال بگیریم، این دو معادله به صورت زیر درمی آیند

$$\lambda_j \int_a^b \varphi_i(x) \varphi_j(x) dx = \lambda_i \lambda_j \int_a^b \int_a^b K(x, t) \varphi_i(t) \varphi_j(x) dt dx \quad (۹۱.۱۶ \text{ الف})$$

$$\lambda_i \int_a^b \varphi_i(x) \varphi_j(x) dx = \lambda_i \lambda_j \int_a^b \int_a^b K(x, t) \varphi_j(t) \varphi_i(x) dt dx \quad (۹۱.۱۶ \text{ ب})$$

از آنجا که خواسته ایم  $K(x, t)$  متقارن باشد، می توان معادله (۹۱.۱۶ ب) را به صورت زیر بازنویسی کرد

$$\lambda_i \int_a^b \varphi_i(x) \varphi_j(x) dx = \lambda_i \lambda_j \int_a^b \int_a^b K(x, t) \varphi_i(t) \varphi_j(x) dt dx \quad (۹۲.۱۶)$$

معادله (۹۲.۱۶) را از معادله (۹۱.۱۶ الف) کم می کنیم؛ خواهیم داشت

$$(\lambda_j - \lambda_i) \int_a^b \varphi_i(x) \varphi_j(x) dx = 0 \quad (۹۳.۱۶)$$

این عبارت به معادله (۳۳.۹) در نظریه اشتورم-لیوویل شبیه است. چون داریم  $\lambda_i \neq \lambda_j$ ، پس

$$\int_a^b \varphi_i(x) \varphi_j(x) dx = 0, \quad i \neq j \quad (۹۴.۱۶)$$

۱. فرض می کنیم که انتگرالهای لازم وجود دارند. درحالتی که چنین وضعی حاکم نباشد، به مسئله ۳.۴.۱۶ رجوع کنید.

که تعامد را اثبات می‌کند. دقت کنید که با وجود يك کرنل حقیقی متقارن، در معادله (۹۴.۱۶)، هیچ همبوغ مختلطی ظاهر نمی‌شود. برای کرنل خود-الحاقی یا هرمیتی به مسئله ۱.۴.۱۶ رجوع کنید.

اگر ویژه مقدار  $\lambda_i$  واگن باشد، می‌توان ویژه تابعهای متناظر با این ویژه مقدار بدخصوص را به روش گرام-اشمیت (بخش ۳.۹) متعامد کرد. روشن است که ویژه تابعهای متعامد را می‌توان بهنجار کرد، و فرض می‌کنیم که این کار را کرده‌ایم. نتیجه به صورت زیر است

$$\int_a^b \varphi_i(x) \varphi_j(x) dx = \delta_{ij} \quad (۹۵.۱۶)$$

برای اینکه حقیقی بودن  $\lambda_i$  را نشان دهیم، باید همبوغ مختلط بگیریم. همبوغ مختلط معادله (۹۵.۱۶ الف) را می‌گیریم؛ به شرط حقیقی بودن کرنل  $K(x, t)$ ، داریم

$$\varphi_i^*(x) = \lambda_i \int_a^b K(x, t) \varphi_i^*(t) dt \quad (۹۶.۱۶)$$

اینک، با استفاده از معادله (۹۶.۱۶) به جای (۹۵.۱۶ ب) خواهیم دید که تحلیل ما به معادله زیر می‌انجامد

$$(\lambda_i^* - \lambda_i) \int_a^b \varphi_i^*(x) \varphi_i(x) dx = 0 \quad (۹۷.۱۶)$$

ولی اکنون انتگرال دیگر نمی‌تواند برابر صفر شود [مگر آنکه ما جواب بدیهی  $\varphi_i(x) = 0$  را گرفته باشیم] و

$$\lambda_i^* = \lambda_i \quad (۹۸.۱۶)$$

به عبارت دیگر ویژه مقدار ما،  $\lambda_i$ ، حقیقی است.

اگر این نحوه کار، به طریقی مبهم به نظر خوانندگان آشنا بیاید، حق با آنهاست. این سومین باری است که این روش را دنبال می‌کنیم؛ اول درباره ماتریسهای هرمیتی، سپس درباره معادله‌های (خود-الحاقی) اشتورم-لیوویل، و اینک در معادله‌های انتگرالی هیلبرت-اشمیت. تناظر بین ماتریسهای هرمیتی و معادله‌های دیفرانسیلی خود-الحاقی، در فیزیک نوین، به صورت دو فرمولبندی متمایز مکانیک کوانتومی - رهیافت ماتریسی هایزنبرگ ورهیاخت عملگر دیفرانسیلی شرو دینگر - جلوه می‌کند. در بخش ۵.۱۶ نیز به کشف تناظر موجود بین معادله‌های انتگرالی با کرنل متقارن هیلبرت-اشمیت و معادله‌های دیفرانسیلی خود-الحاقی اشتورم-لیوویل خواهیم پرداخت.

۱. اگر بیش از یک ویژه تابع متمایز به یک ویژه مقدار [که در معادله (۸۹.۱۶) صدق می‌کند] مربوط شود، آن ویژه مقدار را واگن می‌گویند.

ویژه تابعهای معادله انتگرالی ما يك مجموعه کامل تشکیل می دهند؛<sup>۱</sup> به این معنا که هر تابع  $g(x)$  را، که بشود توسط انتگرال زیر تولید کرد

$$g(x) = \int K(x, t) h(t) dt \quad (۹۹.۱۶)$$

که در آن  $h(t)$  می تواند هر تابع پاره پاره پیوسته ای باشد، می توان آن را به کمک يك سری از این ویژه تابعها نمایش داد

$$g(x) = \sum_{n=1}^{\infty} a_n \varphi_n(x) \quad (۱۰۰.۱۶)$$

این سری به طور یکتا وخت و مطلق همگرا خواهد بود. این خاصیت را به کرنل  $K(x, t)$  تممیم می دهیم

$$K(x, t) = \sum_{n=1}^{\infty} a_n \varphi_n(t) \quad (۱۰۱.۱۶)$$

که در آن  $a_n = a_n(x)$ . با جانشانی در معادله انتگرالی اصلی [معادله (۸۹.۱۶)] و با استفاده از انتگرال تعامد، خواهیم داشت

$$\varphi_i(x) = \lambda_i a_i(x) \quad (۱۰۲.۱۶)$$

بنابراین کرنل مربوط به معادله همگن فردهولم نوع دوم را می توان بر حسب ویژه تابعها و ویژه مقادارها به صورت زیر مشخص کرد

$$K(x, t) = \sum_{n=1}^{\infty} \frac{\varphi_n(x) \varphi_n(t)}{\lambda_n}, \quad (\text{برای ویژه مقادارهای غیر صفر}) \quad (۱۰۳.۱۶)$$

در اینجا يك بسط دو خطی داریم، یکی بسط خطی بر حسب  $\varphi_n(x)$  و یکی هم بسط خطی بر حسب  $\varphi_n(t)$ . بسطهای دو خطی مشابهی در بخش ۷.۸ ظاهر شد. ممکن است بسط مربوط به معادله (۱۰۱.۱۶) وجود نداشته باشد. برای نمایش این نوع رفتار غیر متعارف، از خواننده می خواهیم که این بررسی را درباره معادله زیر به کار بندد

$$\varphi(x) = \lambda \int_0^{\infty} e^{-xt} \varphi(t) dt$$

(بامسئله ۳.۴.۱۶ مقایسه کنید).

باید بر این نکته تأکید و رزمیم که نظریه هیلبرت-اشمیت به تثبیت خواص ویژه مقادارها

۱. اثبات این خاصیت را در کتاب کوران و هیلبرت، فصل ۳، بخش ۵، ببینید.

(حقیقی بودن) و ویژه تابعها (تعامد، تمامیت)، خواصی که از اهمیت و ارزش زیادی برخوردارند، مربوط می‌شود. نظریه هیلبرت-اشمیت به همان صورتی که نظریه اشتورم-لیوویل در فصل ۹ به حل معادله‌های دیفرانسیل ارتباط پیدا نمی‌کرد، به حل معادله‌های انتگرالی همگن مربوط نمی‌شود. جوابهای معادله انتگرالی (از جمله تحلیل عددی) در بخشهای ۲۰۱۶ و ۳۰۱۶ می‌آید.

### معادله انتگرالی ناهمگن

می‌خواهیم یکی از جوابهای معادله ناهمگن زیر را بیابیم

$$\varphi(x) = f(x) + \lambda \int_a^b K(x, t) \varphi(t) dt \quad (104.16)$$

فرض کنید جوابهای معادله انتگرالی همگن را بدانیم

$$\varphi_n(x) = \lambda_n \int_a^b K(x, t) \varphi_n(t) dt \quad (105.16)$$

که جواب  $\varphi_n(x)$  با ویژه مقدار  $\lambda_n$  متناظر است. هر دو کمیت  $f(x)$  و  $\varphi(x)$  را بر حسب این مجموعه از ویژه تابعها بسط می‌دهیم

$$\varphi(x) = \sum_{n=1}^{\infty} a_n \varphi_n(x), \quad (a_n \text{ مجهول}) \quad (106.16)$$

$$f(x) = \sum_{n=1}^{\infty} b_n \varphi_n(x) \quad (b_n \text{ معلوم}) \quad (107.16)$$

پس از نشان دادن در معادله (۱۰۴.۱۶)، داریم

$$\sum_{n=1}^{\infty} a_n \varphi_n(x) = \sum_{n=1}^{\infty} b_n \varphi_n(x) + \lambda \int_a^b K(x, t) \sum_{n=1}^{\infty} a_n \varphi_n(t) dt \quad (108.16)$$

ترتیب انتگرالگیری و مجموعیابی را تعویض می‌کنیم، در این صورت می‌توانیم با استفاده از معادله (۱۰۵.۱۶) انتگرال بالا را محاسبه کنیم، و به دست آوریم

$$\sum_{n=1}^{\infty} a_n \varphi_n(x) = \sum_{n=1}^{\infty} b_n \varphi_n(x) + \lambda \sum_{n=1}^{\infty} \frac{a_n \varphi_n(x)}{\lambda_n} \quad (109.16)$$

اگر در  $\varphi_i(x)$  ضرب کنیم و از  $x=a$  تا  $x=b$  انتگرال بگیریم، به دلیل تعامد ویژه تابعها خواهیم داشت



$$a_i = b_i + \lambda \frac{a_i}{\lambda_i} \quad (110.16)$$

این عبارت را می توان به صورت زیر بازنویسی کرد

$$a_i = b_i + \frac{\lambda}{\lambda_i - \lambda} b_i \quad (111.16)$$

که جواب مارا به دست می دهد

$$\varphi(x) = f(x) + \lambda \sum_{i=1}^{\infty} \frac{\int_a^b f(t) \varphi_i(t) dt}{\lambda_i - \lambda} \varphi_i(x) \quad (112.16)$$

در اینجا فرض شده است که ویژه تابعهای  $\varphi_i(x)$  به یک بهنجار شده اند. دقت کنید که اگر  $f(x) = 0$ ، هیچ جوابی جز  $\lambda = \lambda_i$  وجود نخواهد داشت. یعنی، معادله همگن ما هیچ جوابی [جز جواب بدیهی  $\varphi(x) = 0$ ] ندارد، مگر آنکه  $\lambda$  یکی از ویژه مقادارهای  $\lambda_i$  باشد.

در حالتی که در معادله غیر همگن  $\lambda$  برابر یکی از ویژه مقادارهای  $\lambda_p$  معادله همگن باشد، جواب ما [معادله (112.16)] نامتناهی می شود. برای ترمیم این وضعیت، به معادله (110.16) برمی گردیم و مقدار خاص زیر را دقیقتر بررسی می کنیم

$$a_p = b_p + \lambda_p \frac{a_p}{\lambda_p} = b_p + a_p \quad (113.16)$$

روشن است که  $a_p$  حذف می شود و دیگر به  $b_p$  وابسته نیست، در حالی که  $b_p = 0$ . به این معنی که:  $\int_a^b f(x) \varphi_p(x) dx = 0$ ، یعنی  $f(x)$  نسبت به ویژه تابع  $\varphi_p(x)$  متعامد است. اگر این طور نباشد، جوابی نداریم.

معادله (111.16) هنوز به ازای  $i \neq p$  برقرار است، از این رو طرفین را در  $\varphi_i(x)$  ضرب می کنیم، و روی همه  $i$ ها ( $i \neq p$ ) جمع می زنیم؛ خواهیم داشت

$$\varphi(x) = f(x) + a_p \varphi_p + \lambda_p \sum_{\substack{i=1 \\ i \neq p}}^{\infty} \frac{\int_a^b f(t) \varphi_i(t) dt}{\lambda_i - \lambda_p} \varphi_i(x) \quad (114.16)$$

علامت پریم نشان می دهد که مقدار  $i = p$  از مجموعیایی حذف می شود.  $a_p$  در این جواب به صورت یک ثابت تعیین نشده باقی می ماند!

۱. این معادله شبیه به معادله دیفرانسیل خطی ناهمگن است. می توانیم هر ثابتی ضرب در یکی از جوابهای معادله دیفرانسیل همگن متناظر را به این جواب معادله بیفزاییم.

مسائل

۱۰۴.۱۶ کرنل  $K(x, t)$  معادله فردهولم

$$\varphi(x) = \lambda \int_a^b K(x, t) \varphi(t) dt$$

خود-الحاقی یا هرمیتی است

$$K(x, t) = K^*(t, x)$$

نشان دهید که

(الف) ویژه تابعها به مفهوم زیر متعامند

$$\int_a^b \varphi_m^*(x) \varphi_n(x) dx = 0, \quad m \neq n (\lambda_m \neq \lambda_n)$$

(ب) ویژه مقادارها حقیقی اند.

۲۰۴.۱۶ معادله انتگرالی

$$\varphi(x) = x + \frac{1}{\sqrt{\pi}} \int_{-1}^1 (t+x) \varphi(t) dt$$

را با روش هیلبرت-اشمیت حل کنید (بامسئله ۲۰۳.۱۶ مقایسه کنید). بهره‌گیری از روش هیلبرت-اشمیت در این مورد به‌مثابه استفاده از تفنگک برای کشتن یک‌پشه است؛ علی‌الخصوص که این معادله را می‌توان در ظرف ۱۵ ثانیه از طریق بسط بر حسب چندجمله‌ایهای لژاندر حل کرد.

۳۰۴.۱۶ معادله انتگرالی فردهولم

$$\varphi(x) = \lambda \int_0^{\infty} e^{-xt} \varphi(t) dt$$

را حل کنید.

یادآوری. بسط سری کرنل  $e^{-xt}$  یکی از راه‌حلهای از نوع کرنل جداشدنی (بخش ۳.۱۶) را میسر می‌سازد، با این تفاوت که سری حاصل نامتناهی است. این به‌معنای تعداد نامتناهی ویژه‌مقدار و ویژه‌تابع است. اگر سری را در

$$\varphi(x) = x^{-1/2}$$

$$\lambda = \pi^{-1/2}$$

متوقف کنیم، قسمت عمده جوابهارا از دست داده‌ایم! نشان دهید که انتگرالهای بهنجارش

ویژه تابعها وجود ندادند. یکی از دلایل اساسی این رفتار بی‌هنجار آن است که گستره انتگرالگیری نامتناهی است، و همین امر، معادله را به يك معادله انتگرالی "تکین" مبدل می‌کند.

۴.۴.۱۶ گیریم

$$y(x) = x + \lambda \int_0^1 xt y(t) dt$$

(الف)  $y(x)$  را به صورت يك سری نویمان تعیین کنید.

(ب) گستره‌ای از  $\lambda$  را که به‌ازای آن جواب سری نویمان همگراست، بیابید. این گستره را با مقدار حاصل از نامساوی زیر مقایسه کنید

$$|\lambda| |K|_{\max} < 1$$

(ج) ویژه‌مقدار و ویژه‌تابع معادله انتگرالی همگن متناظر را بیابید.

(د) بدروش کرنل جداشدنی نشان دهید که جواب عبارت است از

$$y(x) = \frac{3x}{3-\lambda}$$

(ه)  $y(x)$  را با روش هیلبرت-اشمیت بیابید.

۵.۴.۱۶ در مسئله ۴.۴.۱۶ داریم

$$K(x, t) = \cos(x-t)$$

ویژه‌تابعهای (نا)بهنجار عبارت‌اند از  $\cos x$  و  $\sin x$ .

(الف) نشان دهید که تابعی مانند  $h(t)$  چنان وجود دارد که  $K(x, s)$  به صورت

تابعی به‌تنهایی از  $s$ ، را می‌توان به صورت زیر نوشت

$$K(x, s) = \int_0^{2\pi} K(s, t) h(t) dt$$

(ب) نشان دهید که  $K(x, t)$  را می‌توان به صورت زیر بسط داد

$$K(x, t) = \sum_{n=1}^{\infty} \frac{\varphi_n(x) \varphi_n(t)}{\lambda_n}$$

۶.۴.۱۶ معادله انتگرالی  $\varphi(x) = \lambda \int_0^1 (1+xt) \varphi(t) dt$  دارای ویژه‌مقدارهای

$\lambda_1 = 0.78819$  و  $\lambda_2 = 1.59211$  و ویژه‌تابعهای  $\varphi_1 = 1 + 0.5352x$  و  $\varphi_2 = 1 - 1.18685x$

است.

- (الف) نشان دهید که این ویژه تابعها روی بازه  $[0, 1]$  متعامدند.  
 (ب) ویژه تابعها را به واحد بهنجار کنید.  
 (ج) نشان دهید

$$K(x, t) = \frac{\varphi_1(x)\varphi_1(t)}{\lambda_1} + \frac{\varphi_2(x)\varphi_2(t)}{\lambda_2}$$

پاسخ. (ب)  $\varphi_1(x) = 0.7831 + 0.4191x$ ،  $\varphi_2(x) = 1.8403 - 3.4386x$ ، معادله انتگرالی ناهمگن، معادله (۱۰۴.۱۶)، به صورت زیر است

$$\varphi(x) = \sum_{i=1}^{\infty} \frac{b_i \lambda_i}{\lambda_i - \lambda} \varphi_i(x)$$

- (الف) این صورت را بدون استفاده از معادله (۱۱۲.۱۶) به دست آورید.  
 (ب) نشان دهید که جواب به این صورت با معادله (۱۱۲.۱۶) معادل است.

۸.۴.۱۶ (الف) نشان دهید که ویژه تابعهای مسئله ۵.۳.۱۶ متعامدند.  
 (ب) نشان دهید که ویژه تابعهای مسئله ۱۱.۳.۱۶ متعامدند.

### ۵.۱۶ توابع گرین - یک بعد

در بخشی از بررسی عملگرهای دیفرانسیلی در بخش ۷.۸، دیدیم که یکی از جوابهای معادله پواسون الکتروستاتیک

$$\nabla^2 \varphi(\mathbf{r}) = -\frac{\rho(\mathbf{r})}{\epsilon_0} \quad (115.16)$$

به این صورت است

$$\varphi(\mathbf{r}_1) = \frac{1}{4\pi\epsilon_0} \int \frac{\rho(\mathbf{r}_2)}{|\mathbf{r}_1 - \mathbf{r}_2|} d\tau_2 \quad (116.16)$$

که در آن با حالت نامتناهی سروکار داریم؛ یعنی گستره انتگرالگیری همه فضا را در بر می گیرد. اگر بخواهیم، می توانیم پتانسیل  $\varphi(\mathbf{r}_1)$  را، با استفاده از بار و توزیع لایه دوقطبی مناسب در مرزها،<sup>۱</sup> برای یک حالت متناهی تعمیم دهیم. می توان معادله (۱۱۶.۱۶) را به دو صورت تعبیر کرد.

۱. با کتاب زیر مقایسه کنید

۱. اگر پتانسیل  $\varphi(\mathbf{r}_1)$  معلوم باشد و سمدربی یافتن توزیع بار  $\rho(\mathbf{r}_2)$  باشیم که این پتانسیل را می‌دهد، در این صورت معادله (۱۱۶.۱۶) یک معادله انتگرالی بر حسب  $\rho(\mathbf{r}_2)$  است.

۲. اگر توزیع بار  $\rho(\mathbf{r}_2)$  معلوم باشد، پتانسیل الکتروستاتیکی  $\varphi(\mathbf{r}_1)$  به صورت یک انتگرال معین از معادله (۱۱۶.۱۶) به دست می‌آید.

با تعقیب این وضعیت دوم (که بیشتر هم به آن بر سر می‌خوریم)، می‌توانیم از واژگان علت و معلولی متداول فیزیک پیشگان استفاده کنیم.  $\rho(\mathbf{r}_2)$  را می‌توان "علت" نامید که به ایجاد "معلول"  $\varphi(\mathbf{r}_1)$  می‌انجامد؛ یعنی، توزیع بار یک میدان پتانسیل تولید می‌کند. ولی میزان تأثیر بار در ایجاد این پتانسیل به فاصله میان عنصر بار  $\rho(\mathbf{r}_2)d\tau_2$  تا نقطه مورد نظر که با بردار  $\mathbf{r}_1$  مشخص می‌شود، بستگی دارد. این میزان تأثیر عنصر بار به کمک تابع  $(4\pi|\mathbf{r}_1 - \mathbf{r}_2|)^{-1}$  به دست می‌آید.

به همین دلیل تابع  $(4\pi|\mathbf{r}_1 - \mathbf{r}_2|)^{-1}$  را غالباً تابع تأثیر می‌نامند. هر چند که ما این تابع را نیز تابع گرین خواهیم خواند، ولی منشأ فیزیکی واژه تابع تأثیر همچنان حائز اهمیت است و می‌تواند برای تعیین شکل سایر توابع گرین مفید واقع شود. علاوه بر این، در بخش ۷.۸ تابع گرین (مربوط به عملگر  $\nabla^2$ ) به این صورت توصیف شد که در معادله چشمه نقطه‌ای زیر صدق می‌کند

$$\nabla^2 G(\mathbf{r}_1, \mathbf{r}_2) = -\delta(\mathbf{r}_1 - \mathbf{r}_2) \quad [122.8]$$

مبحث مشروحي دربارهٔ تابع دلتا بر حسب دنباله‌ها نیز آورده شد، و با استفاده از معادله (۱۲۲.۸) قضیه گرین، بخش ۱۱.۱، نشان داده‌ایم که تابع گرین متقارن است

$$G(\mathbf{r}_1, \mathbf{r}_2) = G(\mathbf{r}_2, \mathbf{r}_1) \quad [139.8]$$

در بخش ۴.۹، تابع دلتای دیراک و توابع گرین بر حسب یک سری از ویژه تابعها بسط داده شدند. این بسطها صریحاً نمایانگر خواص تقارنی‌اند.

در این فصل، در بخش ۱۰.۱۶، دیدیم که معادله انتگرالی متناظر با یک معادله دیفرانسیلی همراه با شرایط مرزی معین، می‌تواند حاوی کرنل خاصی باشد. این کرنل همان تابع گرین ماست.

استنتاج تابعهای گرین از معادله (۱۲۲.۸) برای سیستمهای دو و سه بعدی موضوع بخش ۶.۱۶ را تشکیل می‌دهد. در اینجا، برای سهولت فقط به موارد یک بعدی می‌پردازیم و رهیافت نسبتاً متفاوتی را دنبال می‌کنیم.<sup>۱</sup>

۱. معادله (۱۲۲.۸) را می‌توان برای سیستمهای یک بعدی به کسار برد. رابطه بین این دو رهیافت متفاوت به تابعهای گرین، در آخر این بخش نشان داده خواهد شد.

## خواص معرف

در این تحلیل يك بعدی، نخست معادله ناهمگن اشتورم-لیوویل زیر را در نظر می‌گیریم (فصل ۹)

$$\mathcal{L}y(x) + f(x) = 0 \quad (117.16)$$

که در آن  $\mathcal{L}$  عملگر دیفرانسیلی خود-الحاقی است

$$\mathcal{L} = \frac{d}{dx} \left( p(x) \frac{d}{dx} \right) + q(x) \quad (118.16)$$

در اینجا نیز مانند بخش ۱۰.۹،  $y(x)$  باید در نقاط انتهایی  $a$  و  $b$  بازه  $[a, b]$  در شرایط مرزی به خصوصی صدق کند. در واقع بازه را می‌توان چنان برگزید که در شرایط مرزی مناسب صدق کند. حال در ادامه مسئله، تابع نسبتاً عجیب و اختیاری  $G$  را روی بازه  $[a, b]$  تعریف می‌کنیم. در این مرحله، حرف عمده‌ای که می‌توان درباره  $G$  گفت آن است که خواص معرف آن مجاز، یعنی از نظر ریاضی پذیرفتنی اند. انتظار داریم که بعداً دلیل وارد کردن تابع  $G$  اگر بدیهی جلوه نکنند، دست کم منطقی به نظر آید.

۱. بازه  $a \leq x \leq b$  را توسط پارامتر  $t$  بدو قسمت تقسیم می‌کنیم. به ازای  $x < t$

بر حسب  $G_1(x) = G(x)$  و به ازای  $t < x \leq b$  بر حسب  $G_2(x) = G(x)$  را به کار می‌بریم.

۲. تابعهای  $G_1(x)$  و  $G_2(x)$  هر يك در معادله همگن<sup>۲</sup> اشتورم-لیوویل صدق می‌کنند؛ یعنی

$$\mathcal{L}G_1(x) = 0, \quad a \leq x < t \quad (119.16)$$

$$\mathcal{L}G_2(x) = 0, \quad t < x \leq b$$

۳.  $G_1(x)$  در  $x = a$  در شرایطی مرزی که روی  $y(x)$  وضع می‌کنیم، صدق می‌کند. در انتهای دیگر بازه در  $x = b$ ،  $G_2(x)$  در شرایطی مرزی صدق می‌کند که روی  $y(x)$  وضع می‌کنیم. شرایط مرزی را، برای ایجاد سهولت در باز بهنجارش، همگن می‌گیریم، یعنی در  $x = a$

$$y(a) = 0$$

یا

$$y'(a) = 0$$

۱. در هر حال، خاطر نشان می‌کنیم که این خواص همان خواص کرنل معادله فرد هولمی اند که از يك معادله دیفرانسیل خود-الحاقی به دست آمده است (مثال ۱.۱۶.۳).

۲. همگن نسبت به تابع مجهول. تابع  $f(x)$  در معادله (۱۱۷.۱۶) را صفر می‌گیریم.

$$\alpha y(a) + \beta y'(a) = 0$$

و به همین ترتیب به ازای  $x = b$ .

۴. این شرط را وضع می‌کنیم که  $G(x)$  پیوسته باشد

$$\lim_{x \rightarrow t_-} G_1(x) = \lim_{x \rightarrow t_+} G_2(x) \quad (120.16)$$

۵. شرطی را وضع می‌کنیم که درازای آن  $G'(x)$  ناپیوسته باشد، خصوصاً اینکه

$$\left. \frac{d}{dx} G_2(x) \right|_t - \left. \frac{d}{dx} G_1(x) \right|_t = -\frac{1}{p(t)} \quad (121.16)$$

که در آن  $p(t)$  از عملگر خود-الحاقی، معادله (۱۱۸.۱۶)، ناشی می‌شود. یادآوری

می‌کنیم که اگر مشتق اول ناپیوسته باشد، مشتق دوم وجود نخواهد داشت.

این شرایط،  $G$  را در واقع به صورت یک تابع دو متغیره  $G(x, t)$  درمی‌آورند. همچنین

خاطر نشان کنیم که  $G(x, t)$  هم به شکل عملگر دیفرانسیلی  $\mathcal{L}$  و هم به شرایط مرزی که  $y(x)$  باید در آنها صدق کند بستگی دارد.

حال، با فرض اینکه بتوانیم یک تابع  $G(x, t)$  بیابیم که دارای این خواص باشد، آن

را تابع گرین می‌نامیم و نشان می‌دهیم که یکی از جوابهای معادله (۱۱۷.۱۶) عبارت است از

$$y(x) = \int_a^b G(x, t) f(t) dt \quad (122.16)$$

برای این کار ابتدا تابع گرین  $G(x, t)$  را تشکیل می‌دهیم. فرض کنید که  $u(x)$  جوابی از

معادله همگن اشتورم-لیوویل باشد که در شرایط مرزی در  $x = a$  و  $v(x)$  جوابی باشد که در

شرایط مرزی در  $x = b$  صدق می‌کند. در نتیجه، می‌توانیم  $G(x, t)$  را به صورت زیر بنویسیم<sup>۲</sup>

$$G(x, t) = \begin{cases} c_1 u(x), & a \leq x < t \\ c_2 v(x), & t < x \leq b \end{cases} \quad (123.16)$$

پیوستگی در  $x = t$  [معادله (۱۲۰.۱۶)] حکم می‌کند که

$$c_2 v(t) - c_1 u(t) = 0 \quad (124.16)$$

۱. به عبارت دقیق این عبارت حد  $x \rightarrow t$  است.

۲. "نابتهای"  $c_1$  و  $c_2$  مستقل از  $x$  اند، ولی می‌توانند به متغیر دیگر یعنی  $t$  بستگی داشته باشند. (و دارند).

سرانجام، ناپیوستگی در مشتق اول [معادله (۱۲۱.۱۶)] ایجاب می کند که

$$c_2 v'(t) - c_1 u'(t) = -\frac{1}{p(t)} \quad (125.16)$$

اگر در ترمینان رونسکیبی

$$\begin{vmatrix} u(t) & v(t) \\ u'(t) & v'(t) \end{vmatrix} = u(t)v'(t) - v(t)u'(t)$$

صفر نشود، يك جواب يكتا برای ضرایب  $c_1$  و  $c_2$  وجود خواهد داشت. در بخش ۶.۸ دیده ایم که صفر نشدن این در ترمینان شرط لازم برای استقلال خطی است. فرض می کنیم که  $u(x)$  و  $v(x)$  مستقل باشند. عکس این مطلب، که هنگامی پیش می آید که  $u(x)$  در شرایط مرزی در هر دو انتها صلیق کند، يك تابع تعمیم یافته گرین را ایجاب می کند. به عبارت دقیق، هنگامی که  $u(x)$  و  $v(x)$  وابسته خطی باشند، هیچ تابع گرینی وجود ندارد. اگر  $\lambda = 0$  یکی از ویژه مقادیرهای معادله همگن باشد نیز همین امر صادق است. ولی می توان يك "تابع تعمیم یافته گرین" تعریف کرد. این وضعیت که برای معادله لژاندر پیش می آید در کتاب کوران و هیلبرت و در مراجع دیگر مورد بحث قرار می گیرد. رونسکیبی برای  $u(x)$  و  $v(x)$  مستقل (باز هم با استفاده از بخش ۶.۸، یا مسئله ۴.۱.۹) عبارت است از

$$u(t)v'(t) - v(t)u'(t) = \frac{A}{p(t)} \quad (126.16)$$

که در آن  $A$  يك ثابت است. گاهی معادله (۱۲۶.۱۶) را فرمول آبل می خوانند. مثالهای متعددی در ارتباط با تابعهای بسل و لژاندر آورده اند. حال از معادله (۱۲۵.۱۶) بی می بریم که

$$c_1 = -\frac{v(t)}{A} \quad (127.16)$$

$$c_2 = -\frac{u(t)}{A}$$

معادله (۱۲۴.۱۶) به وضوح برقرار است. باناشدن در معادله (۱۲۳.۱۶)، تابع گرین را به صورت زیر به دست می آوریم

$$G(x, t) = \begin{cases} -\frac{1}{A} u(x)v(t), & a \leq x < t \\ -\frac{1}{A} u(t)v(x), & t < x \leq b \end{cases} \quad (128.16)$$



دقیقاً توجه کنید که  $G(x, t) = G(t, x)$ . این همان خاصیت تقارنی است که قبلاً در بخش ۷.۸ ثابت کردیم. تعبیر فیزیکی این خاصیت به کمک اصل دوجانبگی حاصل می‌شود (از طریق تابع تأثیر) علت واقع در همان معلولی را در  $x$  به وجود می‌آورد که علت واقع در  $x$  در  $t$  به وجود می‌آورد. این امر با استفاده از مشابه الکتروستاتیکی ما بدیهی است، تابع تأثیر فقط به بزرگی فاصله بین دو نقطه زیر بستگی دارد

$$|r_1 - r_2| = |r_2 - r_1|$$

انتگرال تابع گرین - معادله دیفرانسیل

$G(x, t)$  را تشکیل دادیم، ولی هنوز نشان نداده‌ایم که انتگرال [معادله (۱۲۲.۱۶)] با این تابع گرین نو واقعاً جواب معادله دیفرانسیل اصلی (۱۱۷.۱۶) است. این کار را به کمک جانشانی مستقیم انجام می‌دهیم. معادله (۱۲۲.۱۶)، با تابع گرینی که از معادله (۱۲۸.۱۶) به دست می‌آید، به صورت زیر درمی‌آید

$$y(x) = -\frac{1}{A} \int_a^x v(x) u(t) f(t) dt - \frac{1}{A} \int_x^b u(x) v(t) f(t) dt \quad (129.16)$$

مشتق می‌گیریم

$$y'(x) = -\frac{1}{A} \int_a^x v'(x) u(t) f(t) dt - \frac{1}{A} \int_x^b u'(x) v(t) f(t) dt \quad (130.16)$$

مشتقهای جداها باهم حذف می‌شوند. بامشتقگیری دوم خواهیم داشت

$$y''(x) = -\frac{1}{A} \int_a^x v''(x) u(t) f(t) dt - \frac{1}{A} \int_x^b u''(x) v(t) f(t) dt \quad (131.16)$$

$$-\frac{1}{A} [u(x) v'(x) - v(x) u'(x)] f(x)$$

این معادله‌ها، با استفاده از معادلات (۱۲۵.۱۶) و (۱۲۷.۱۶)، می‌توان به صورت زیر بازنوشت

$$y''(x) = -\frac{v''(x)}{A} \int_a^x u(t) f(t) dt - \frac{u''(x)}{A} \int_x^b v(t) f(t) dt - \frac{f(x)}{p(x)} \quad (132.16)$$

اکنون، بانشانیدن در معادله (۱۱۸.۱۶)، داریم

۱. در انتگرال اول داریم،  $a \leq t \leq x$ . بنابراین  $G(x, t) = G_t(x, t) = -(1/A) u(t) v(x)$  بنا بر این  $G = G_1$  باشیم. در انتگرال دوم باید داشته باشیم

$$\mathcal{L} y(x) = -\frac{[\mathcal{L} v(x)]}{A} \int_a^x u(t) f(t) dt - \frac{[\mathcal{L} u(x)]}{A} \int_x^b v(t) f(t) dt - f(x) \quad (133.16)$$

از آنجا که  $u(x)$  و  $v(x)$  چنان برگزیده شدند که در معادله همگن اشتورم-لیوویل صدق کنند، عملهای درون گروهها صفرند و جمله‌های شامل انتگرال حذف می‌شوند. با آوردن  $f(x)$  به سمت چپ، می‌بینیم که معادله (۱۱۷.۱۶) برقرار است. علاوه بر این، باید بیازماییم که  $y(x)$  در شرایط مرزی وضع شده صدق می‌کند یا خیر. در نقطه  $x = a$  داریم

$$y(a) = -\frac{u(a)}{A} \int_a^b v(t) f(t) dt = cu(a) \quad (134.16)$$

$$y'(a) = -\frac{u'(a)}{A} \int_a^b v(t) f(t) dt = cu'(a) \quad (135.16)$$

زیرا انتگرال معین ثابت است.  $u(x)$  را چنان برمی‌گزینیم که در رابطه زیر صدق کند

$$\alpha u(a) + \beta u'(a) = 0 \quad (136.16)$$

باضرب کردن در ثابت  $c$ ، ثابت می‌شود که  $y(x)$  در معادله (۱۳۶.۱۶) نیز صدق می‌کند. این اثبات، نمایانگر فواید شرایط مرزی همگن است، بهنجارش اهمیت چندانی ندارد. در مسائل کوانتوم مکانیکی، شرط مرزی روی تابع موج را غالباً بر حسب نسبت زیر مشخص می‌کنند

$$\frac{\psi'(x)}{\psi(x)} = \frac{d}{dx} \ln \psi(x)$$

که با معادله (۱۳۶.۱۶) معادل است. مزیت این رابطه آن است که نیازی نیست تابع موج را بهنجار کنیم.

به بیان خلاصه، معادله (۱۲۲.۱۶) را به صورت زیر داریم

$$y(x) = \int_a^b G(x, t) f(t) dt$$

که در معادله دیفرانسیل زیر [معادله (۱۱۷.۱۶)]

$$\mathcal{L} y(x) + f(x) = 0$$

و شرایط مرزی صدق می‌کند؛ این شرایط مرزی را در تابع گرین  $G(x, t)$  تعبیه کرده‌ایم. علی‌الاصول، کاری که انجام داده‌ایم آن است که از جوابهای معادله همگن اشتورم-لیوویل برای تشکیل یکی از جوابهای معادله ناهمگن استفاده کرده‌ایم. باز هم مثال

معادله بواسون را آورده ایم. جواب [معادله (۱۱۶.۱۶)]، ترکیبی وزندار [با وزن  $\rho(\mathbf{r}_\nu)$ ] از جوابهای معادله لاپلاس همگن متناظر را به نمایش می گذارد (در بخش ۴.۱۶ محاسباتی از همین نوع انجام دادیم).

باید خاطر نشان کرد که  $y(x)$ ، معادله (۱۲۲.۱۶)، در واقع جواب خاص معادله دیفرانسیل. معادله (۱۱۷.۱۶). بدشمار می آید. شرایط مرزی ما، مانع اضافه شدن جوابهای معادله همگن می شود. در یک مسئله فیزیکی واقعی ممکن است هر دو نوع جواب را داشته باشیم. مثلاً، در الکتروستاتیک (با بخش ۷.۸ مقایسه کنید)، جواب تابع گرین معادله بواسون، پتانسیل حاصل از یک توزیع بار معلوم را به دست می دهد. علاوه بر آن، ممکن است میدانهای خارجی برهم نهاده شوند. این میدانها بدکمک جوابهای معادله همگن، یعنی معادله لاپلاس، به دست می آیند.

### ویژه تابع، معادله ویژه مقدری

در تحلیلهای قبلی هیچ قید خاصی روی  $f(x)$  قرار ندادیم. اینک فرض می کنیم

$$f(x) = \lambda \rho(x) y(x) \quad \text{آنگاه تابع}$$

$$y(x) = \lambda \int_a^b G(x, t) \rho(t) y(t) dt \quad (137.16)$$

را به عنوان جوابی از معادله

$$\mathcal{L} y(x) + \lambda \rho(x) y(x) = 0 \quad (138.16)$$

و شرایط مرزی مربوطه در اختیار داریم. معادله (۱۳۷.۱۶) یک معادله همگن فرد هولم نوع دوم و معادله (۱۳۸.۱۶) یک معادله ویژه مقدری اشتورم-لیوویل فصل ۹ است [که در آن به جای  $w(x)$  تابع وزنی  $\rho(x)$  نشانده شده است].

به تغییر از معادله های (۱۱۷.۱۶) و (۱۲۲.۱۶) به (۱۳۷.۱۶) و (۱۳۸.۱۶) توجه کنید. تغییر متناظری در تعبیر تابع گرین ما وجود دارد. در آغاز این تابع، یک تابع اهمیت یا نفوذ بود، تابعی وزنی که اهمیت بار  $\rho(\mathbf{r}_\nu)$  در ایجاد پتانسیل  $\varphi(\mathbf{r}_\nu)$  را تعیین می کرد. بار عبارت بود از جمله ناهمگن معادله دیفرانسیل ناهمگن (۱۱۷.۱۶). اینک معادله دیفرانسیل و معادله انتگرالی، هر دو همگن اند.  $G(x, t)$  واسطه ای است که این دو معادله دیفرانسیلی و انتگرالی را بدیگر مریوط می کند.

برای آنکه بحث درباره این هم ارزی معادله دیفرانسیل-معادله انتگرالی را کامل کنیم، اکنون نشان می دهیم که معادله (۱۳۸.۱۶) بر معادله (۱۳۷.۱۶) دلالت می کند؛ یعنی یکی از جوابهای معادله دیفرانسیل ما (۱۳۸.۱۶) همراه با شرایط مرزی، در معادله انتگرالی (۱۳۷.۱۶) صدق می کند. معادله (۱۳۸.۱۶) را در  $G(x, t)$ ، یعنی تابع گرین مناسب،

ضرب می‌کنیم، و از  $x=a$  تا  $x=b$  انتگرال می‌گیریم؛ خواهیم داشت

$$\int_a^b G(x, t) \mathcal{L} y(x) dx + \lambda \int_a^b G(x, t) \rho(x) y(x) dx = 0 \quad (139.16)$$

بنابر ساخت تابع گرین ما، انتگرال اول به دو انتگرال تقسیم می‌شود ( $x > t$ ,  $x < t$ )، در نتیجه

$$\begin{aligned} & - \int_a^t G_1(x, t) \mathcal{L} y(x) dx - \int_t^b G_2(x, t) \mathcal{L} y(x) dx \\ & = \lambda \int_a^b G(x, t) \rho(x) y(x) dx \quad (140.16) \end{aligned}$$

دقت کنید که  $t$  برای انتگرالهای  $G_1$ ، حد بالایی و برای انتگرالهای  $G_2$  حد پایینی است. مراد ما این است که سمت چپ معادله (140.16) را به  $y(t)$  کاهش دهیم. آنگاه با توجه به  $G(x, t) = G(t, x)$ ، معادله (137.16) را به دست می‌آوریم (که در آن  $x$  و  $t$  با یکدیگر تعویض شده‌اند).

با اعمال قضیه گرین در سمت چپ، یا از طریق انتگرالگیری جزء به جزء، خواهیم

داشت

$$\begin{aligned} & - \int_a^t G_1(x, t) \left[ \frac{d}{dx} \left( p(x) \frac{d}{dx} y(x) \right) + q(x) y(x) \right] dx \\ & = - |G_1(x, t) p(x) y'(x)|_a^t + \int_a^t G_1'(x, t) p(x) y'(x) dx - \\ & \quad \int_a^t G_1(x, t) q(x) y(x) dx \quad (141.16) \end{aligned}$$

عبارتی هم‌ارز نیز برای انتگرال دوم به دست می‌آوریم. پس از انتگرالگیری برای بار دوم، داریم

$$\begin{aligned} & - \int_t^b G_2(x, t) \mathcal{L} y(x) dx = - \int_t^b y(x) \mathcal{L} G_2(x, t) dx \\ & \quad - |G_2(x, t) p(x) y'(x)|_t^b + |G_2'(x, t) \\ & \quad \quad \quad p(x) y(x)|_t^b \quad (142.16) \end{aligned}$$

انتگرال سمت راست صفر می‌شود، زیرا  $\mathcal{L} G_2 = 0$ . جمله‌های انتگرالگیری شده در عبارت فوق را با جمله‌های متناظر حاصل از انتگرالگیری از  $G_2$ ، ترکیب می‌کنیم، آنگاه

$$-p(t)[G_x(t, t)y'(t) - G'_x(t, t)y(t) - G_{xy}(t, t)y'(t) + G'_{xy}(t, t)y(t)] \\ + p(a)[G_x(a, t)y'(a) - G'_x(a, t)y(a)] - p(b)[G_{xy}(b, t)y'(b) - \\ G'_{xy}(b, t)y(b)] \quad (۱۴۳.۱۶)$$

هریک از دو عبارت آخری صفر می شوند، زیرا  $G(x, t)$  و  $y(x)$  در شرایط مرزی یکسانی صدق می کنند. عبارت اولی، با استفاده از معادله های (۱۲۰.۱۶) و (۱۲۱.۱۶) به  $y(t)$  ساده می شود. بانشانندن در معادله (۱۴۰.۱۶)، به معادله (۱۳۷.۱۶) دست می یابیم و به این ترتیب هم ارزی معادله انتگرالی و معادله دیفرانسیل به اضافه شرایط مرزی را نشان داده ایم.

مثال ۱۰۵.۱۶ نوسانگر خطی

به عنوان مثالی ساده، معادله نوسانگر خطی (برای ریسمان مرتعش) را در نظر می گیریم

$$y''(x) + \lambda y(x) = 0 \quad (۱۴۴.۱۶)$$

شرایط  $y(0) = y(1) = 0$  را وضع می کنیم، که متناظر است با ریسمانی که دوسرش محکم بسته شده باشد. اکنون برای تشکیل تابع گرین، به جوابهایی از معادله همگن اشتورم-لیوویل  $y(x) = 0$  نیاز داریم؛ در اینجا این معادله به صورت  $y''(x) = 0$  است. برای آنکه شرایط مرزی برآورده شوند، باید یکی از این جوابها در  $x = 0$  و دیگری در  $x = 1$  صفر شود. چنین جوابهایی (بهنجار نشده) عبارت اند از

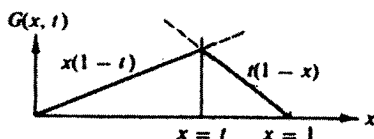
$$u(x) = x \quad (۱۴۵.۱۶)$$

$$v(x) = 1 - x$$

بی می بریم که

$$uv' - vu' = -1 \quad (۱۴۶.۱۶)$$

یا، با استفاده از معادله (۱۲۶.۱۶) به ازای  $p(x) = 1$ ، داریم:  $A = -1$ . تابع گرین ما به صورت زیر درمی آید



شکل ۳۰۱۶ تابع گرین یک نوسانگر خطی.

$$G(x, t) = \begin{cases} x(1-t), & 0 \leq x < t \\ t(1-x), & t < x \leq 1 \end{cases} \quad (147.16)$$

در نتیجه با استفاده از معادله (۱۳۷.۱۶)، ریسمان مرتعش مقید ما در معادله زیر صدق می کند

$$y(x) = \lambda \int_0^1 G(x, t) y(t) dt \quad (148.16)$$

این همان معادله (۳۴.۱۶) است با  $b=1$  و  $\omega^2 = \lambda$ . خواننده خود می تواند نشان دهد که جوابهای معلوم معادله (۱۴۴.۱۶)، یعنی

$$y = \sin n\pi x, \quad \lambda = n^2\pi^2$$

واقعاً در معادله (۱۴۸.۱۶) صدق می کنند. دقت کنید که ویژه مقدار  $\lambda$ ، طول موج نیست.

### تابع گرین و تابع دلتای دیراک

به کمک رهیافت دیگری به تابع گرین، می توانیم فرمول بندی آن و به ویژه رابطه اش را با مسائل فیزیکی روشتر کنیم. یک بار دیگر به معادله پواسون برگردیم، این بار برای یک بار نقطه ای

$$\nabla^2 \varphi(\mathbf{r}) = -\frac{\rho_{\text{نقطه ای}}}{\epsilon_0} \quad (149.16)$$

جواب تابع گرین این معادله در بخش ۷.۸ به دست آمد. این بار شبیه یک بعدی آن را در نظر می گیریم

$$\mathcal{L} y(x) + f(x)_{\text{نقطه ای}} = 0 \quad (150.16)$$

در اینجا نقطه ای  $f(x)$  به یک "بار" نقطه ای واحد، یا یک نیروی نقطه ای مربوط می شود. این تابع را می توان در شکلهای متعدد نمایش داد، ولی شاید مناسبترین شکل آن، که اساساً شبیه معادله (۱۵۸.۸) است، عبارت خواهد بود از

$$f(x)_{\text{نقطه ای}} = \begin{cases} \frac{1}{2\epsilon}, & t-\epsilon < x < t+\epsilon \\ 0, & \text{در غیر این صورت} \end{cases} \quad (151.16)$$

آنگاه با انتگرال گیری از معادله (۱۵۰.۱۶) و با استفاده از تعریف  $f(x)$ ، داریم

$$\int_{t-\varepsilon}^{t+\varepsilon} \mathcal{L} y(x) dx = - \int_{t-\varepsilon}^{t+\varepsilon} f(x) dx \quad (152.16)$$

$$= -1$$

$\mathcal{L} y(x)$  را دقیقتر بررسی می‌کنیم. خواهیم داشت

$$\int_{t-\varepsilon}^{t+\varepsilon} \frac{d}{dx} [p(x) y'(x)] dx + \int_{t-\varepsilon}^{t+\varepsilon} q(x) y(x) dx \quad (153.16)$$

$$+ |p(x) y'(x)|_{t-\varepsilon}^{t+\varepsilon} + \int_{t-\varepsilon}^{t+\varepsilon} q(x) y(x) dx = -1$$

این رابطه در صورتی در حد  $\varepsilon \rightarrow 0$  برقرار است که  $y'(x)$  مجاز به داشتن ناپیوستگی در  $x = t$  باشد، در حالی که خود  $y(x)$  پیوسته بماند. اولی این خصوصیات درست همانهایی اند که برای تعریف تابع گرین  $G(x, t)$  از آنها بهره بردیم. به علاوه، توجه داشته باشیم که در حد  $\varepsilon \rightarrow 0$

$$f(x) = \delta(x-t) \quad (154.16)$$

در آن  $\delta(x-t)$  تابع دلتای دیراک است که در بخش ۷.۸ به همین نحو تعریف شد. بنابراین معادله (۱۵۰.۱۶) به صورت زیر درمی‌آید

$$\mathcal{L} G(x, t) = -\delta(x-t) \quad (155.16)$$

این همان معادله (۱۳۲.۸) است که ما از آن در بخش ۶.۱۶ برای تعمیم توابع گرین دو و سه بعدی استفاده می‌کنیم. یادآوری کنیم که در بخش ۷.۸ این رابطه را برای تعیین توابع گرین به کار بردیم.

می‌توانستیم انتظار ظهور معادله (۱۵۵.۱۶) را هم داشته باشیم، زیرا این معادله در واقع پیامدی از معادله دیفرانسیل، معادله (۱۱۷.۱۶)، و جواب انتگرالی تابع گرین آن، معادله (۱۲۲.۱۶)، است. اگر  $\mathcal{L}$  شاخص پایین  $x$  نشان می‌دهد که عملگر روی وابستگی به  $x$  عمل می‌کند) را روی دو سمت معادله (۱۲۲.۱۶) اثر دهیم، داریم

۱. توابع  $p(x)$  و  $q(x)$  که در عملگر  $\mathcal{L}$  ظاهر می‌شوند، توابعی پیوسته‌اند.  $\int q(x) y(x) dx$  با تابع پیوسته‌ای چون  $y(x)$  مطمئناً پیوسته است. از این رو این انتگرال روی بازه  $2\varepsilon$  [معادله (۱۵۳.۱۶)] با صفر شدن  $\varepsilon$ ، صفر می‌شود.

$$\mathcal{L}_x y(x) = \mathcal{L}_x \int_a^b G(x, t) f(t) dt$$

سمت چپ، با استفاده از معادله (۱۱۷.۱۶)، همان  $-f(x)$  است. در سمت راست،  $\mathcal{L}_x$  از متغیر انتگرالگیری  $t$  مستقل است، به این ترتیب می توان نوشت

$$-f(x) = \int_a^b \{\mathcal{L}_x G(x, t)\} f(t) dt$$

با استفاده از تعریف تابع دلتا در معادله های (۱۰۷.۸) و (۱۱۷.۸)، بمعادله (۱۵۵.۱۶) می رسم.

مسائل

۱۰۵.۱۶ نشان دهید که

$$G(x, t) = \begin{cases} x, & 0 \leq x < t \\ t, & t < x \leq 1 \end{cases}$$

عبارت است از تابع گرین مربوط به عملگر  $\mathcal{L} = d^2/dx^2$  و شرایط مرزی زیر

$$y(0) = 0$$

$$y'(1) = 0$$

۲۰۵.۱۶ تابع گرین مربوط به هر یک از موارد زیر را بیابید

$$\mathcal{L} y(x) = \frac{d^2 y(x)}{dx^2} + y(x), \quad \begin{cases} y(0) = 0 \\ y'(1) = 0 \end{cases} \quad (\text{الف})$$

(ب)  $y(x)$  به ازای  $-\infty < x < +\infty$  متناهی است

$$\mathcal{L} y(x) = \frac{d^2 y(x)}{dx^2} - y(x)$$

۳۰۵.۱۶ تابع گرین عملگرهای زیر را بیابید

$$\mathcal{L} y(x) = \frac{d}{dx} \left( x \frac{dy(x)}{dx} \right) \quad (\text{الف})$$



$$G(x, t) = \begin{cases} -\ln t, & 0 \leq x < t \\ -\ln x, & t < x \leq 1 \end{cases} \quad \text{پاسخ. (الف)}$$

$$\mathcal{L} y(x) = \frac{d}{dx} \left( x \frac{d y(x)}{dx} \right) - \frac{n^x}{x} y(x) \quad \text{(ب)}$$

هر گاه  $y(0) = 0$  متناهی باشد و  $y(1) = 0$ .

$$G(x, t) = \begin{cases} \frac{1}{2n} \left[ \left( \frac{x}{t} \right)^n - (xt)^n \right], & 0 \leq x < t \\ \frac{1}{2n} \left[ \left( \frac{t}{x} \right)^n - (xt)^n \right], & t < x \leq 1 \end{cases} \quad \text{پاسخ. (ب)}$$

ترکیب عملگر و بازه تعیین شده در مسئله ۳.۵.۱۶ (الف)، ترکیب معیوبی است، زیرا در آن یکی از نقاط انتهایی بازه (یعنی صفر) یک نقطه تکین عملگر به شمار می آید. در نتیجه، بخش انتگرالگیری شده (انتگرال سطحی در قضیه گرین) صفر نمی شود. در چهار مسئله بعدی به تشریح این وضعیت می پردازیم.

۴.۵.۱۶ (الف) نشان دهید که جواب خاص

$$\frac{d}{dx} \left[ x \frac{d}{dx} y(x) \right] = -1$$

عبارت است از  $-x$   $y_p(x) = -x$ .

(ب) نشان دهید

$$y_p(x) = -x \neq \int_0^1 G(x, t)(-1) dt$$

که در آن  $G(x, t)$  تابع گرین مسئله ۳.۵.۱۶ (الف) است.

۵.۵.۱۶ نشان دهید که قضیه گرین، معادله (۹۷.۱)، را در یک بعد، که در آن  $\nabla \cdot \nabla$  با عملگری

از نوع اشتورم-لیوویل  $\frac{d}{dt} p(t) \frac{d}{dt}$  تعویض می شود، می توان به صورت زیر بازنویسی

کرد

$$\int_a^b \left[ u(t) \frac{d}{dt} \left( p(t) \frac{dv(t)}{dt} \right) - v(t) \frac{d}{dt} \left( p(t) \frac{du(t)}{dt} \right) \right] dt \\ = \left| u(t) p(t) \frac{dv(t)}{dt} - v(t) p(t) \frac{du(t)}{dt} \right|_a^b$$

۶۰۵.۱۶ با استفاده از شکل یک بعدی قضیه گرین در مسئله ۵.۵.۱۶، فرض کنید

$$\frac{d}{dt} \left( p(t) \frac{dy(t)}{dt} \right) = -f(t) \quad \text{و} \quad v(t) = y(t)$$

$$\frac{d}{dt} \left( p(t) \frac{dG(x, t)}{dt} \right) = -\delta(x-t) \quad \text{و} \quad u(t) = G(x, t)$$

نشان دهید که بدعنوان یکی از پیامدهای قضیه گرین داریم

$$y(x) = \int_a^b G(x, t) f(t) dt$$

$$+ \left[ G(x, t) p(t) \frac{dy(t)}{dt} - y(t) p(t) \frac{d}{dt} G(x, t) \right]_a^b$$

۷۰۵.۱۶ به ازای  $p(t) = t$  و  $y(t) = -t$ ، داریم

$$G(x, t) = \begin{cases} -\ln t & 0 \leq x < t \\ -\ln x & t < x \leq 1 \end{cases}$$

تحقیق کنید که جزء انتگرالگیری شده صفر نمی شود.

۸۰۵.۱۶ برای معادله

$$x^2 \frac{d^2 y}{dx^2} + x \frac{dy}{dx} + (k^2 x^2 - 1)y = 0$$

و تحت شرایط مرزی

$$y(0) = 0$$

$$y(1) = 0$$

تابع گرین را تشکیل دهید.

۹۰۵.۱۶ با استفاده از

$$\mathcal{L} = (1-x^2) \frac{d^2}{dx^2} - 2x \frac{d}{dx}$$

و  
متناهی  $G(\pm 1, t)$

نشان دهید که با بهره‌گیری از شگردهای این بخش نمی‌توان هیچ تابع گرینی تشکیل داد  $u(x)$  و  $v(x)$  وابسته خطی اند].

۱۰.۵.۱۶ تابع گرین یک بعدی نامتناهی مربوط به معادله هلمهولتز

$$(\nabla^2 + k^2) \psi(x) = g(x)$$

را تشکیل دهید. شرایط مرزی، همان شرایط مرزی موجی اند که در سوی مثبت  $x$ ، با وابستگی زمانی  $e^{-i\omega t}$  به پیش می‌رود.

پاسخ.  $G(x_1, x_2) = \frac{i}{2k} \exp(ik|x_1 - x_2|)$

۱۱.۵.۱۶ تابع گرین یک بعدی نامتناهی را برای معادله تعدیل یافته هلمهولتز زیر تشکیل دهید

$$(\nabla^2 - k^2) \psi(x) = f(x)$$

شرایط مرزی عبارتند از اینکه تابع گرین باید به ازای  $x \rightarrow \infty$  و  $x \rightarrow -\infty$  صفر شود.

پاسخ.  $G(x_1, x_2) = \frac{1}{2k} \exp(-k|x_1 - x_2|)$

۱۲.۵.۱۶ با استفاده از بسط ویژه تابعی تابع گرین نشان دهید

$$\frac{2}{\pi^2} \sum_{n=1}^{\infty} \frac{\sin n\pi x \sin n\pi t}{n^2} = \begin{cases} x(1-t), & 0 \leq x < t \\ t(1-x), & t < x \leq 1 \end{cases} \quad (\text{الف})$$

$$\frac{2}{\pi^2} \sum_{n=0}^{\infty} \frac{\sin\left(n + \frac{1}{4}\right)\pi x \sin\left(n + \frac{1}{4}\right)\pi t}{\left(n + \frac{1}{4}\right)^2} = \begin{cases} x, & 0 \leq x < t \\ t, & t < x \leq 1 \end{cases} \quad (\text{ب})$$

یادآوری. در بخش ۴.۹ تابع گرین  $\mathcal{L} + \lambda$  را بر حسب ویژه تابعها بسط دادیم. این  $\lambda$  یک پارامتر قابل تنظیم است نه یک ویژه مقدار.

۱۳.۵.۱۶ در معادله فردهولم

$$f(x) = \lambda^2 \int_a^b G(x, t) \varphi(t) dt$$

عبارت است از تابع گرینی که از طریق رابطه زیر بدست می‌آید

$$G(x, t) = \sum_{n=1}^{\infty} \frac{\varphi_n(x) \varphi_n(t)}{\lambda_n^2 - \lambda^2}$$

نشان دهید که جواب عبارت است از

$$\varphi(x) = \sum_{n=1}^{\infty} \frac{\lambda_n^2 - \lambda^2}{\lambda^2} \varphi_n(x) \int_a^b f(t) \varphi_n(t) dt$$

۱۴۰۵۰۱۶ نشان دهید که تابع گرین عملگر تبدیل انتگرالی

$$\int_a^b G(x, t) [ ] dt$$

برابر است با  $\mathcal{L}^{-1}$ . به این معنا که

$$\mathcal{L}_x \int_a^b G(x, t) y(t) dt = -y(x) \quad (\text{الف})$$

$$\int_a^b G(x, t) \mathcal{L}_t y(t) dt = -y(x) \quad (\text{ب})$$

یادآوری. معادله (۱۱۷.۱۶)،  $\mathcal{L}y(x) + f(x) = 0$  را در نظر بگیرید.

### ۶.۱۶ تابعهای گرین - دو و سه بعدی

در اینجا نیز مانند بخش قبل (وبخش ۷.۸) یک معادله دیفرانسیل ناهمگن را در نظر می گیریم

$$\mathcal{L}y(\mathbf{r}_1) = -f(\mathbf{r}_1) \quad (۱۵۶.۱۶)$$

در بی جوابی هستیم که بتوان آن را به صورت زیر نمایش داد

$$y(\mathbf{r}_1) = -\mathcal{L}^{-1} f(\mathbf{r}_1) \quad (\text{الف } ۱۵۶.۱۶)$$

می شود انتظار داشت که برای عملگر دیفرانسیلی  $\mathcal{L}$ ، عملگر وارون  $\mathcal{L}^{-1}$  شامل انتگرالگیری باشد. در ادامه، تابع گرین متناظر با عملگر دیفرانسیلی  $\mathcal{L}$  را به صورت جواب معادله ناهمگن

با چشمه نقطه‌ای<sup>۱</sup>

$$\mathcal{L}_1 G(\mathbf{r}_1, \mathbf{r}_2) = -\delta(\mathbf{r}_1 - \mathbf{r}_2) \quad (\text{ب } ۱۵۶.۱۶)$$

که در شرایط مرزی لازم صلق می کند، تعریف می کنیم. شاخص پایین ۱ در  $\mathcal{L}$  بر این نکته تأکید دارد که  $\mathcal{L}$  روی  $\mathbf{r}_1$  عمل می کند.

فرض می کنیم که  $\mathcal{L}$  یک عملگر دیفرانسیلی خود-الحاقی به شکل کلی زیر باشد<sup>۲</sup>

$$\mathcal{L}_1 = \nabla_1 \cdot [p(\mathbf{r}_1) \nabla_1] + q(\mathbf{r}_1) \quad (\text{ج } ۱۵۶.۱۶)$$

۱. این معادله در مراجع مختلف به شکلهای گوناگون ظاهر می شود. بعضی از مؤلفان سمت راست را به صورت  $-4\pi\delta(\mathbf{r}_1 - \mathbf{r}_2)$  می نویسند، کسان دیگری هم صورت  $\delta(\mathbf{r}_1 - \mathbf{r}_2)$  را به کار می برند. همان گونه که در بخش ۷.۸ توضیح داده شد، تابع دلتا بخشی از انتگرال ده خواهد بود.

۲.  $\mathcal{L}$  می تواند (همراه با تفسیر مناسب  $\nabla_1$ ) ۱، ۲، یا ۳ بعدی باشد.

در این صورت بایک تعمیم ساده قضیه گرین، معادله (۹۷.۱)، داریم

$$\int (v \mathcal{L}_v u - u \mathcal{L}_v v) d\tau_v = \int p(v \nabla_v u - u \nabla_v v) \cdot d\sigma_v \quad (د ۱۵۶.۱۶)$$

که در آن شناسه همه کمیتها عبارت است از  $\mathbf{r}_v$  [برای اثبات معادله (۱۵۶.۱۶) د]، از انتگرالده انتگرال سطحی، دیوژرانس بگیرید]. قرار می‌دهیم:  $u(\mathbf{r}_v) = y(\mathbf{r}_v)$ ، در نتیجه معادله (۱۵۶.۱۶) صادق است، و قرار می‌دهیم:  $v(\mathbf{r}_v) = G(\mathbf{r}_1, \mathbf{r}_v)$ ؛ در نتیجه معادله (۱۵۶.۱۶) ب) برقرار است. [از بخش ۷.۸ به یاد بیآورید که  $G(\mathbf{r}_1, \mathbf{r}_v) = G(\mathbf{r}_v, \mathbf{r}_1)$ ]. بانشاندن در قضیه گرین داریم

$$\begin{aligned} & \int \{-G(\mathbf{r}_1, \mathbf{r}_v) f(\mathbf{r}_v) + y(\mathbf{r}_v) \delta(\mathbf{r}_1 - \mathbf{r}_v)\} d\tau_v \\ & = \int p(\mathbf{r}_v) \{G(\mathbf{r}_1, \mathbf{r}_v) \nabla_v y(\mathbf{r}_v) - y(\mathbf{r}_v) \nabla_v G(\mathbf{r}_1, \mathbf{r}_v)\} \cdot d\sigma_v \quad (ه ۱۵۶.۱۶) \end{aligned}$$

پس از انتگرالگیری روی تابع دلنای دیراک داریم

$$\begin{aligned} y(\mathbf{r}_1) = & \int G(\mathbf{r}_1, \mathbf{r}_v) f(\mathbf{r}_v) d\tau_v + \int p(\mathbf{r}_v) \{G(\mathbf{r}_1, \mathbf{r}_v) \nabla_v y(\mathbf{r}_v) - y(\mathbf{r}_v) \\ & \nabla_v G(\mathbf{r}_1, \mathbf{r}_v)\} \cdot d\sigma_v \quad (و ۱۵۶.۱۶) \end{aligned}$$

جوابی که برای معادله (۱۵۶.۱۶) به دست آوردیم به صورت یک انتگرال حجمی به اضافه یک انتگرال سطحی ظاهری می‌شود. اگر  $y$  و  $G$  هر دو در شرایط مرزی دیریکله، یا در هر دو شرط مرزی نویمان صدق کنند، انتگرال سطحی صفر می‌شود و باز به معادله (۱۲۲.۱۶) دست پیدا می‌کنیم. انتگرال حجمی انتگرالی وزن‌دار است روی جمله چشمه،  $f(\mathbf{r}_v)$ ، که در آن تابع گرین  $G(\mathbf{r}_1, \mathbf{r}_v)$  تابع وزنی است.

### شکل تابعهای گرین

در حالات خاص  $p(\mathbf{r}_1) = 1$  و  $q(\mathbf{r}_1) = 0$  به صورت  $\nabla^2$  لاپلاسی، است. از

$$\nabla^2 G(\mathbf{r}_1, \mathbf{r}_v) = -\delta(\mathbf{r}_1 - \mathbf{r}_v) \quad (۱۵۷.۱۶)$$

روی حجم کوچکی، که بار نقطه‌ای را دربر می‌گیرد، انتگرال می‌گیریم. در نتیجه

$$\begin{aligned} \int \nabla_1 \cdot \nabla G(\mathbf{r}_1, \mathbf{r}_v) d\tau_1 & = - \int \delta(\mathbf{r}_1 - \mathbf{r}_v) d\tau_1 \\ & = -1 \end{aligned} \quad (الف ۱۵۷.۱۶)$$

انتگرال حجمی سمت چپ را می توان به کمک قضیه گاوس تبدیل کرد، به همان صورت که در تعمیم قانون گاوس در بخش ۱۴.۱ انجام شد. بی می بریم که

$$\int V_1 G(\mathbf{r}_1, \mathbf{r}_2) d\sigma_1 = -1 \quad (158.16)$$

این عبارت، تصادفاً، نشان می دهد که در این حالت نمی توان یک شرط مرزی نویمان، یعنی صفر بودن مشتق بهنجار تابع گرین  $\partial G / \partial n$  روی تمامی سطح، وضع کرد. در فضای سه بعدی، معادله (۱۵۸.۱۶) باقراردادن

$$\frac{\partial}{\partial r_{1\gamma}} G(\mathbf{r}_1, \mathbf{r}_2) = -\frac{1}{4\pi} \cdot \frac{1}{|\mathbf{r}_1 - \mathbf{r}_2|^2}, \quad r_{1\gamma} = |\mathbf{r}_1 - \mathbf{r}_2| \quad (\text{الف } 158.16)$$

برقراری می شود. انتگرال گیری روی سطح کره ای انجام می شود که مرکزش در  $\mathbf{r}_2$  واقع است. انتگرال معادله (۱۵۸.۱۶) عبارت است از

$$G(\mathbf{r}_1, \mathbf{r}_2) = \frac{1}{4\pi} \cdot \frac{1}{|\mathbf{r}_1 - \mathbf{r}_2|} \quad (159.16)$$

که با مطالب بخش ۱۴.۱ سازگار است. در فضای دو بعدی، معادله (۱۵۸.۱۶) باقراردادن

$$\frac{\partial}{\partial \rho_{1\gamma}} G(\rho_1, \rho_2) = -\frac{1}{2\pi} \cdot \frac{1}{|\rho_1 - \rho_2|} \quad (160.16)$$

برقراری می شود، به جای  $\mathbf{r}$ ، کمیت  $\rho$  را گذاشته ایم:  $\rho = (x^2 + y^2)^{1/2}$ ، و انتگرال گیری روی محیط دایره ای به مرکز  $\rho_2$  صورت می گیرد. در اینجا  $\rho_{1\gamma} = |\rho_1 - \rho_2|$ . با انتگرال گیری از معادله (۱۶۰.۱۶)، داریم

$$G(\rho_1, \rho_2) = -\frac{1}{2\pi} \ln|\rho_1 - \rho_2| \quad (161.16)$$

به  $G(\rho_1, \rho_2)$  [و به  $G(\mathbf{r}_1, \mathbf{r}_2)$ ] می توانیم هر مضر بی از جواب منظم معادله همگن را که برای صلق کردن در شرایط مرزی لازم است، بیفزاییم.

رفتار تابع گرین عملگر لاپلاس، در مجاورت منبع نقطه ای  $\mathbf{r}_1 = \mathbf{r}_2$ ، که به کمک معادله های (۱۵۹.۱۶) و (۱۶۱.۱۶) نشان داده می شود، تعیین تابعهای گرین را در سایر حالتها، مثلاً در معادله های هلمهولتز و تعدیل یافته هلمهولتز میسر می سازد.

۱.  $G(\mathbf{r}_1, \mathbf{r}_2)$  در  $\mathbf{r}_1 \neq \mathbf{r}_2$  باید در معادله دیفرانسیلی همگن

$$\mathcal{L}_1 G(\mathbf{r}_1, \mathbf{r}_2) = 0, \quad \mathbf{r}_1 \neq \mathbf{r}_2 \quad (162.16)$$

صدق کند.

۰۲ با  $(\rho_1 \rightarrow \rho_2) \mathbf{r}_1 \rightarrow \mathbf{r}_2$  (یا  $\rho_1 \rightarrow \rho_2$ )

$$G(\rho_1, \rho_2) \approx -\frac{1}{2\pi} \ln |\rho_1 - \rho_2| \quad \text{فضای دو بعدی} \quad (۱۶۳.۱۶)$$

$$G(\mathbf{r}_1, \mathbf{r}_2) \approx \frac{1}{4\pi} \cdot \frac{1}{|\mathbf{r}_1 - \mathbf{r}_2|} \quad \text{فضای سه بعدی} \quad (\text{الف } ۱۶۳.۱۶)$$

جمله  $+k^2$  در عملگر، بر رفتار  $G$  در نزدیکی نقطه تکین  $\mathbf{r}_2 = \mathbf{r}_1$  تأثیری ندارد. فهرست تابعهای گرین عملگرهای لاپلاس، هلمهولتز، و تعدیل یافته هلمهولتز را، برای راحتی، در جدول ۱.۱۶ آورده ایم.

جدول ۱.۱۶ تابعهای گرین\*

تعدیل یافته هلمهولتز	هلمهولتز	لاپلاس
$\nabla^2 - k^2$	$\nabla^2 - k^2$	$\nabla^2$

فضای یک بعدی

$$\frac{1}{2k} \exp(-k|x_1 - x_2|) \quad \frac{i}{2k} \exp(ik|x_1 - x_2|) \quad (-\infty, \infty) \text{ به ازای}$$

هیچ جوابی ندارد

فضای دو بعدی

$$\frac{1}{2\pi} K_0(k|\rho_1 - \rho_2|) \quad \frac{i}{4} H_0^{(1)}(k|\rho_1 - \rho_2|) \quad -\frac{1}{2\pi} \ln |\rho_1 - \rho_2|$$

فضای سه بعدی

$$\frac{\exp(-k|\mathbf{r}_1 - \mathbf{r}_2|)}{4\pi|\mathbf{r}_1 - \mathbf{r}_2|} \quad \frac{\exp(ik|\mathbf{r}_1 - \mathbf{r}_2|)}{4\pi|\mathbf{r}_1 - \mathbf{r}_2|} \quad \frac{1}{4\pi} \cdot \frac{1}{|\mathbf{r}_1 - \mathbf{r}_2|}$$

\* در مورد عملگرهای لاپلاس و تعدیل یافته هلمهولتز، اینها توابع گرینسی اند که به ازای  $\mathbf{r}_1 \rightarrow \infty$  در شرط مرزی  $G(\mathbf{r}_1, \mathbf{r}_2) = 0$  صدق می کنند. برای عملگر هلمهولتز، متناظر است باینکه موج بر و نرونده.  $H_0^{(1)}$  تابع هنکل بخش ۴.۱۱ است.  $K_0$  تابع تعدیل یافته بسل بخش ۵.۱۱ را تشکیل می دهد.

بسط بر حسب مختصات قطبی کروی

برای تعیین تابع گرین عملگر لاپلاس، روش دیگری را که عبارت است از بسط بر حسب هماهنگهای کروی، به صورت زیر در نظر می‌گیریم

$$G(\mathbf{r}_1, \mathbf{r}_2) = \sum_{l=0}^{\infty} \sum_{m=-l}^l g_l(r_1, r_2) Y_l^m(\theta_1, \varphi_1) Y_l^{m*}(\theta_2, \varphi_2) \quad (164.16)$$

ما  $g_l(r_1, r_2)$  را تعیین خواهیم کرد. با توجه به مسائل ۷.۶.۸ و ۶.۶.۱۲ داریم

$$\delta(\mathbf{r}_1 - \mathbf{r}_2) = \frac{1}{r_1^2} \delta(r_1 - r_2) \delta(\cos \theta_1 - \cos \theta_2) \delta(\varphi_1 - \varphi_2) \quad (165.16)$$

$$= \frac{1}{r_1^2} \delta(r_1 - r_2) \sum_{l=0}^{\infty} \sum_{m=-l}^l Y_l^m(\theta_1, \varphi_1) Y_l^{m*}(\theta_2, \varphi_2)$$

با نشان دادن معادله‌های (۱۶۴.۱۶) و (۱۶۵.۱۶) در معادله دیفرانسیل تابع گرین، معادله (۱۵۷.۱۶)، و با استفاده از تعامد هماهنگهای کروی، به معادله شعاعی زیر دست پیدا می‌کنیم

$$r_1 \frac{d^2}{dr_1^2} [r_1 g_l(r_1, r_2)] - l(l+1) g_l(r_1, r_2) = -\delta(r_1 - r_2) \quad (166.16)$$

اینک، با یک مسئله یک بعدی سروکار داریم. جوابهای معادله همگن متناظر عبارت اند از  $r_1^{-l-1}$  و  $r_1^{l-1}$ . اگر بخواهیم  $g_l$  در  $r_1 \rightarrow 0$  متناهی بماند و در  $r_1 \rightarrow \infty$  صفر شود، شگرد بخش ۵.۱۶ منجر خواهد شد به

$$g_l(r_1, r_2) = \frac{1}{2l+1} \begin{cases} \frac{r_1^l}{r_2^{l+1}}, & r_1 < r_2 \\ \frac{r_2^l}{r_1^{l+1}}, & r_1 > r_2 \end{cases} \quad (167.16)$$

یا

$$g_l(r_1, r_2) = \frac{1}{2l+1} \cdot \frac{r_1^{<}}{r_2^{>+1}} \quad (168.16)$$



به این ترتیب تابع گرین ما عبارت است از

$$G(\mathbf{r}_1, \mathbf{r}_2) = \sum_{l=0}^{\infty} \sum_{m=-l}^l \frac{1}{2l+1} \frac{r_1^l}{r_2^{l+1}} Y_l^m(\theta_1, \varphi_1) Y_l^{m*}(\theta_2, \varphi_2) \quad (الف ۱۶۹.۱۶)$$

با توجه به اینکه قبلا صورت بسته  $G(\mathbf{r}_1, \mathbf{r}_2)$  را در معادله (۱۵۹.۱۶) به دست آورده ایم، می توانیم بنویسیم

$$\frac{1}{4\pi} \cdot \frac{1}{|\mathbf{r}_1 - \mathbf{r}_2|} = \sum_{l=0}^{\infty} \sum_{m=-l}^l \frac{1}{2l+1} \frac{r_1^l}{r_2^{l+1}} Y_l^m(\theta_1, \varphi_1) Y_l^{m*}(\theta_2, \varphi_2) \quad (ب ۱۶۹.۱۶)$$

یکی از موارد استفاده بی واسطه از این بسط تابع گرین بر حسب هماهنگهای کروی، در روند بسط چندقطبیهای الکتروستاتیکی مطرح می شود. پتانسیل یک توزیع بار اختیاری عبارت است از

$$\psi(\mathbf{r}_1) = \frac{1}{4\pi\epsilon_0} \int \frac{\rho(\mathbf{r}_2)}{|\mathbf{r}_1 - \mathbf{r}_2|} d\tau_2$$

[که همان معادله (۸۱.۸) است]. با نشان دادن در معادله (۱۶۹.۱۶) ب، خواهیم داشت

$$\psi(\mathbf{r}_1) = \frac{1}{\epsilon_0} \sum_{l=0}^{\infty} \sum_{m=-l}^l \left\{ \frac{1}{2l+1} \frac{Y_l^m(\theta_1, \varphi_1)}{r_1^{l+1}} \int \rho(\mathbf{r}_2) Y_l^{m*}(\theta_2, \varphi_2) \times r_2^l d\varphi_2 \sin \theta_2 d\theta_2 r_2^2 dr_2 \right\} \quad r_1 > r_2$$

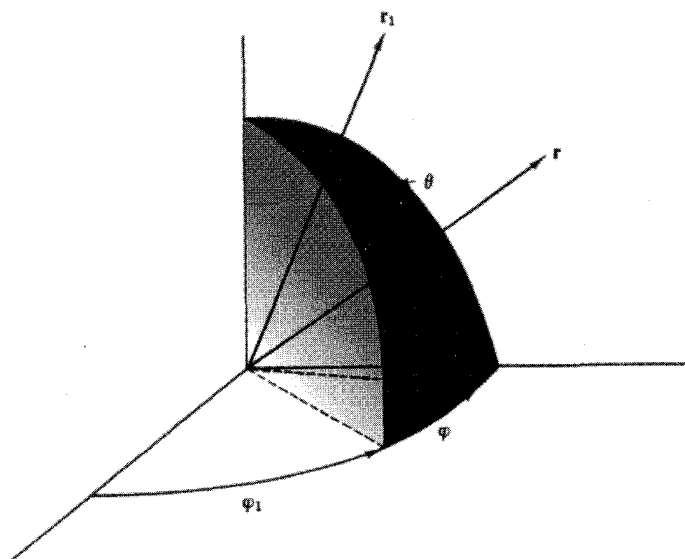
این عبارت بسط چندقطبی به شمار می آید. اهمیت نسبی جمله های مختلف در این مجموعیایی دوگانه به شکل چشمه،  $\rho(\mathbf{r}_2)$  بستگی دارد.

قضیه جمع چندجمله ایهای لژاندر

از عبارت مولد چندجمله ایهای لژاندر، معادله (۴.۱۲) الف، داریم

$$\frac{1}{4\pi} \cdot \frac{1}{|\mathbf{r}_1 - \mathbf{r}_2|} = \frac{1}{4\pi} \sum_{l=0}^{\infty} \frac{r_1^l}{r_2^{l+1}} P_l(\cos \gamma) \quad (۱۷۰.۱۶)$$

که در آن  $\gamma$  زاویه بین بردارهای  $\mathbf{r}_1$  و  $\mathbf{r}_2$  در شکل ۴.۱۶ است. معادله های (۱۶۹.۱۶) و



(۱۷۰.۱۶) را معادل هم قرار می‌دهیم، و قضیه جمع چند جمله‌ایهای لژاندر را به دست می‌آوریم

$$P_l(\cos \gamma) = \frac{\sqrt{\pi}}{\sqrt{l+1}} \sum_{m=-l}^l Y_l^m(\theta_1, \varphi_1) Y_l^m(\theta_2, \varphi_2) \quad (171.16)$$

سادگی این استنتاج را (در صورت اشراف بر مفهوم تابعهای گرین) با استنتاج نسبتاً پیچیده بخش ۸.۱۲ مقایسه کنید.

بسط درمختصات استوانه‌ای

مانند بسط قطبی در دستگاه قطبی کروی، با استفاده از مسئله ۵.۶.۱۲ و معادله (۲۱.۱۵) د، می‌نویسیم

$$\begin{aligned} \delta(\mathbf{r}_1 - \mathbf{r}_2) &= \frac{1}{\rho_1} \delta(\rho_1 - \rho_2) \delta(\varphi_1 - \varphi_2) \delta(z_1 - z_2) \\ &= \frac{1}{\rho_1} \delta(\rho_1 - \rho_2) \frac{1}{2\pi} \sum_{m=-\infty}^{\infty} e^{im(\varphi_1 - \varphi_2)} \frac{1}{2\pi} \int_{-\infty}^{\infty} e^{ik(z_1 - z_2)} dk \end{aligned} \quad (172.16)$$

اما چرا این صورت را برگزیدیم؟ چرا برای وابستگی به  $\varphi$ ، مجموعیایی و برای وابستگی به  $z$ ، انتگرالگیری را انتخاب کردیم؟ این شرط که وابستگی تک-مقدار باشد،  $m$  را کوانتیده می کند و در نتیجه مجموعیایی خواهیم داشت. چنین قیدی روی  $k$  وجود ندارد. برای اجتناب از مشکلاتی که بعداً با مقادیر منفی  $k$  پیدا خواهیم کرد، معادله (۱۷۲.۱۶) را، با استفاده از مقدار اصلی کوشی، به صورت زیر باز نویسی می کنیم

$$\delta(r_1 - r_2) = \frac{1}{\rho_1} \delta(\rho_1 - \rho_2) \frac{1}{2\pi} \sum_{m=-\infty}^{\infty} e^{im(\varphi_1 - \varphi_2)} \frac{1}{\pi} \int_0^{\infty} \cos k(z_1 - z_2) dk \quad (172.16 \text{ الف})$$

بسطی مشابه این عبارت را برای تابع گرین می نویسیم

$$G(r_1, r_2) = \frac{1}{2\pi^2} \sum_{m=-\infty}^{\infty} g_m(\rho_1, \rho_2) e^{im(\varphi_1 - \varphi_2)} \int_0^{\infty} \cos k(z_1 - z_2) dk \quad (173.16)$$

که در آن ضرایب وابسته به  $\rho$ ،  $g_m(\rho_1, \rho_2)$ ، را باید تعیین کرد. با نشان دادن این معادله در معادله (۱۵۷.۱۶)، که این بار در مختصات استوانه ای نوشته می شود، پی می بریم که اگر  $g_m(\rho_1, \rho_2)$  در معادله زیر صدق کند

$$\frac{d}{d\rho_1} \left[ \rho_1 \frac{dg_m}{d\rho_1} \right] - \left[ k^2 \rho_1 + \frac{m^2}{\rho_1} \right] g_m = -\delta(\rho_1 - \rho_2) \quad (174.16)$$

در این صورت معادله (۱۵۷.۱۶) برقرار خواهد بود. عملگر معادله (۱۷۴.۱۶) همان عملگر تبدیل یافته بسل (به صورت خود-الحاقی آن) است. از این رو جوابهای معادله همگن متناظر عبارت اند از  $u_1 = I_m(k\rho)$ ،  $u_2 = K_m(k\rho)$  در اینجا نیز مانند مورد مختصات قطبی کروی، این شرط را وضع می کنیم که  $G$  در  $\rho_1 = 0$  متناهی باشد و با  $\rho_1 \rightarrow \infty$  صفر شود. در این صورت بهره گیری از شگردهای بخش ۵.۱۶ به معادله زیر منجر می شود

$$g_m(\rho_1, \rho_2) = -\frac{1}{A} I_m(k\rho_{<}) K_m(k\rho_{>}) \quad (175.16)$$

این معادله متناظر است با معادله (۱۲۸.۱۶). ثابت  $A$  از رونسکیبی به دست آمده است

$$I_m(k\rho) K'_m(k\rho) - I'_m(k\rho) K_m(k\rho) = \frac{A}{\rho(k\rho)} \quad (175.16 \text{ الف})$$

به کمک مسئله ۱۰.۵.۱۱ داریم:  $A = -1$  و

$$g_m(\rho_1, \rho_2) = I_m(k\rho_<)K_m(k\rho_>) \quad (176.16)$$

در نتیجه تابع گرین در مختصات استوانه‌ای به صورت زیر خواهد بود

$$\begin{aligned} G(\mathbf{r}_1, \mathbf{r}_2) &= \frac{1}{2\pi} \cdot \frac{1}{|\mathbf{r}_1 - \mathbf{r}_2|} \\ &= \frac{1}{2\pi^2} \sum_{m=-\infty}^{\infty} \int_0^{\infty} I_m(k\rho_<)K_m(k\rho_>) e^{im(\varphi_1 - \varphi_2)} \cos k(z_1 - z_2) dk \end{aligned} \quad (177.16)$$

مسئله ۱۴.۶.۱۶ حالت خاصی از این نتیجه است.

مثال ۱۰.۶.۱۶ پراکندگی در مکانیک کوانتومی - جواب سری نویمان.

نظریه کوانتومی پراکندگی، شگردهای معادله انتگرالی و کاربرد آن تابع گرین را به خوبی نمایش می‌دهد. تصویر فیزیکی ما از پراکندگی به قرار زیر است. باریکه‌ای از ذرات در امتداد محور  $z$  منفی به سوی مبدأ حرکت می‌کند. کسر کوچکی از ذرات توسط پتانسیل  $V(\mathbf{r})$  پراکنده می‌شوند و به صورت یک موج کروی برون‌رونده دور می‌شوند. تابع موج ما  $\psi(\mathbf{r})$  باید در معادله شرودینگر مستقل از زمان صدق کند

$$-\frac{\hbar^2}{2m} \nabla^2 \psi(\mathbf{r}) + V(\mathbf{r}) \psi(\mathbf{r}) = E \psi(\mathbf{r}) \quad (الف) \quad (178.16)$$

یا

$$\nabla^2 \psi(\mathbf{r}) + k^2 \psi(\mathbf{r}) = - \left[ -\frac{2m}{\hbar^2} V(\mathbf{r}) \psi(\mathbf{r}) \right] \quad (ب) \quad (178.16)$$

که در آن

$$k^2 = 2mE/\hbar^2$$

با استفاده از تصویر فیزیکی که هم‌اکنون ارائه شد، در جستجوی جوابی هستیم که دارای صورت مجانبی زیر باشد

$$\psi(\mathbf{r}) \sim e^{ik_0 \cdot \mathbf{r}} + f_k(\theta, \varphi) \frac{e^{ikr}}{r} \quad (179.16)$$

در اینجا  $e^{ik_0 \cdot r}$  موج تخت فرودی است، که در آن علت شاخص پایینی  $\theta$  در بردار انتشار  $k_0$  آن است که نشان دهد این بردار در راستای  $\theta = 0$  (محور  $z$ ) واقع است. بزرگی  $k_0$  و  $k$  برابر است.  $e^{ikr}/r$  موج کروی بر و نرونده با ضریب دامنه وابسته به جهت (انرژی)، بردار  $k$  در راستای موج پراکنده شده بر و نرونده واقع است. در کتابهای مکانیک کوانتومی نشان می‌دهند که احتمال دیفرانسیلی پراکندگی،  $d\sigma/d\Omega$ ، یعنی سطح مقطع پراکندگی به ازای واحد زاویه فضایی از عبارت  $|f_k(\theta, \varphi)|^2$  بدست می‌آید.  $[-(\gamma m/\hbar^2)V(r)\psi(r)]$  را با تابع  $f(r)$  در معادله (۱۵۶.۱۶) متحد می‌گیریم، با استفاده از معادله (۱۵۶.۱۶) داریم

$$\psi(r_1) = - \int \frac{\gamma m}{\hbar^2} V(r_2) \psi(r_2) G(r_1, r_2) d^3 r_2 \quad (180.16)$$

این معادله دارای صورت مجانبی مطلوب در معادله (۱۷۹.۱۶) نیست، ولی می‌توانیم به آن کمیت  $e^{ik_0 \cdot r_1}$ ، یعنی جوابی از معادله همگن، را بیفزاییم و  $\psi(r)$  را به صورت مطلوب زیر در آوریم

$$\psi(r_1) = e^{ik_0 \cdot r_1} - \int \frac{\gamma m}{\hbar^2} V(r_2) \psi(r_2) G(r_1, r_2) d^3 r_2 \quad (181.16)$$

تابع گرین ما تابع گرین عملگر  $\mathcal{L} = \nabla^2 + k^2$  (معادله (۱۷۸.۱۶) ب) است که در شرطی مرزی صدق می‌کند که توصیفگر يك موج بر و نرونده باشد. در نتیجه، از جدول ۱۰۱۶ داریم:

$$G(r_1, r_2) = \exp(ik|r_1 - r_2|) / (4\pi|r_1 - r_2|)$$

$$\psi(r_1) = e^{ik_0 \cdot r_1} - \int \frac{\gamma m}{\hbar^2} V(r_2) \psi(r_2) \frac{e^{ik|r_1 - r_2|}}{4\pi|r_1 - r_2|} d^3 r_2 \quad (182.16)$$

این معادله انتگرالی که به معادله موج شرودینگر شباهت دارد، دقیق است. به کمک شگرد سری نویمان بخش ۳.۱۶ (در نظر داشته باشید که احتمال پراکندگی بسیار ناچیز است)، داریم

$$\psi_0(r_1) = e^{ik_0 \cdot r_1} \quad (الف) \quad (183.16)$$

۱. پاریکه فرودی را برای راحتی کار پیوسته می‌گیریم. معادله (۱۷۹.۱۶)، در بررسیهای کاملتر و واقعیت، مؤلفه‌ای از یک بسته موج فوری به شمار می‌آید.
۲. اگر  $V(r)$  نمایانگر نیرویی مرکزی باشد،  $k_0$ ، تنها تابع  $\theta$  و مستقل از سمت خواهد بود.

که تعبیر فیزیکی آن گویای این نکته است که هیچ گونه پراکندگی نداریم. با نشان دادن  $\psi_0(\mathbf{r}_1) = e^{i\mathbf{k}_0 \cdot \mathbf{r}_1}$  در انتگرال، جمله اول تصحیحی را به دست می آوریم.

$$\psi_1(\mathbf{r}_1) = e^{i\mathbf{k}_0 \cdot \mathbf{r}_1} - \int \frac{\gamma m}{\hbar^2} V(\mathbf{r}_2) \frac{e^{i\mathbf{k}|\mathbf{r}_1 - \mathbf{r}_2|}}{4\pi|\mathbf{r}_1 - \mathbf{r}_2|} e^{i\mathbf{k}_0 \cdot \mathbf{r}_2} d^3r_2 \quad (\text{ب } 183.16)$$

این همان تقریب معروف بورن است؛ انتظار می رود که این تقریب برای پتانسیلهای ضعیف و انرژی فرودی زیاد از همه تقریبهای دقیقتر باشد. اگر به تقریب دقیقتری نیاز باشد، می توان سری نویمان را ادامه داد.

مثال ۲.۶.۱۶ پراکندگی کوانتوم مکانیکی - تابع گرین

بار دیگر معادله موج شرودینگر [معادله (۱۷۸.۱۶) ب] مربوط به مسئله پراکندگی را در نظر می گیریم. این بارشگردهای تبدیل فوریه را به کار می بریم و صورت مطلوب تابع گرین را از طریق انتگرالگیری پربندی استخراج می کنیم. با نشان دادن صورت مجانبی مطلوب برای جواب (که در آن  $k$  را با  $k_0$  تعویض کرده ایم) خواهیم داشت

$$\psi(\mathbf{r}) \sim e^{i\mathbf{k}_0 \cdot \mathbf{r}} + \int k_0(\theta, \varphi) \frac{e^{i\mathbf{k} \cdot \mathbf{r}}}{r} = e^{i\mathbf{k}_0 \cdot \mathbf{r}} + \Phi(\mathbf{r}) \quad (\text{الف } 179.16)$$

در معادله موج شرودینگر، معادله (۱۷۸.۱۶) ب، خواهیم داشت

$$(\nabla^2 + k_0^2) \Phi(\mathbf{r}) = U(\mathbf{r}) e^{i\mathbf{k}_0 \cdot \mathbf{r}} + U(\mathbf{r}) \Phi(\mathbf{r}) \quad (\text{الف } 184.16)$$

در اینجا عبارت زیر، پتانسیل (اختلال) پراکندگی را به دست می دهد

$$\frac{\hbar^2}{2m} U(\mathbf{r}) = V(\mathbf{r})$$

از آنجا که احتمال پراکندگی بسیار کوچکتر از یک است، انتظار می رود که جمله دوم سمت راست معادله (۱۸۴.۱۶) الف (نسبت به جمله اول سمت راست) ناچیز باشد، و از این رو آن را حذف می کنیم. دقت کنید که معادله دیفرانسیل خود را با معادله زیر تقریب می زنیم

$$(\nabla^2 + k_0^2) \Phi(\mathbf{r}) = U(\mathbf{r}) e^{i\mathbf{k}_0 \cdot \mathbf{r}} \quad (\text{ب } 184.16)$$

اینک در ادامه کار خود به حل معادله (۱۸۴.۱۶) ب، که یک معادله دیفرانسیلی ناهمگن است، می پردازیم. عملگر دیفرانسیلی  $\nabla^2$  مجموعه پیوسته ای از ویژه تابعها را بدید می آورد

۱. با این فرض که سری نویمان همگراست. در برخی شرایط فیزیکی، این سری همگرا نیست و در نتیجه بهشگردهای دیگری نیاز پیدا می شود.

$$\nabla^2 \psi_k(\mathbf{r}) = -k^2 \psi_k(\mathbf{r}) \quad (185.16)$$

که در آن

$$\psi_k(\mathbf{r}) = (2\pi)^{-3/2} e^{i\mathbf{k}\cdot\mathbf{r}}$$

این ویژه تابعها مجموعه‌ای پیوسته ولی متعامد بهنجار تشکیل می‌دهند، به این معنا که

$$\int \psi_{\mathbf{k}_1}^*(\mathbf{r}) \psi_{\mathbf{k}_2}(\mathbf{r}) d^3r = \delta(\mathbf{k}_1 - \mathbf{k}_2)$$

[با معادله (۲۱.۱۵) د) مقایسه کنید]. این ویژه تابعها را برای استخراج تابع گرین به کار می‌بریم.

تابع مجهول  $\Phi(\mathbf{r}_1)$  را بر حسب این ویژه تابعها بسط می‌دهیم

$$\Phi(\mathbf{r}_1) = \int A_{\mathbf{k}_1} \psi_{\mathbf{k}_1}(\mathbf{r}_1) d^3k_1 \quad (186.16)$$

این عبارت یک انتگرال فوریه است که در آن  $A_{\mathbf{k}_1}$ ها ضرایبی مجهول‌اند. با نشان دادن معادله (۱۸۶.۱۶) در معادله (۱۸۴.۱۶) ب)، و با استفاده از معادله (۱۸۵.۱۶)، خواهیم داشت

$$\int A_{\mathbf{k}} (k_0^2 - k^2) \psi_{\mathbf{k}}(\mathbf{r}) d^3k = U(\mathbf{r}) e^{ik_0 z} \quad (187.16)$$

اکنون با استفاده از شیوه ضرب کردن در  $\psi_{\mathbf{k}_2}^*(\mathbf{r})$  و انتگرالگیری روی مختصات فضایی، داریم

$$\int A_{\mathbf{k}_1} (k_0^2 - k_1^2) d^3k_1 \int \psi_{\mathbf{k}_2}^*(\mathbf{r}) \psi_{\mathbf{k}_1}(\mathbf{r}) d^3r = A_{\mathbf{k}_2} (k_0^2 - k_2^2) \quad (188.16)$$

$$= \int \psi_{\mathbf{k}_2}^*(\mathbf{r}) U(\mathbf{r}) e^{ik_0 z} d^3r$$

 $A_{\mathbf{k}_2}$  را از این معادله به دست می‌آوریم و در معادله (۱۸۶.۱۶) می‌نشانیم، خواهیم داشت

$$\Phi(\mathbf{r}_2) = \int [(k_0^2 - k_2^2)^{-1} \int \psi_{\mathbf{k}_1}^*(\mathbf{r}_1) U(\mathbf{r}_1) e^{ik_0 z_1} d^3r_1] \psi_{\mathbf{k}_2}(\mathbf{r}_2) d^3k_2 \quad (189.16)$$

در نتیجه

$$\Phi(\mathbf{r}_1) = \int \psi_{k_1}(\mathbf{r}_1) (k_0^\gamma - k_1^\gamma)^{-1} d^\gamma k_1 \int \psi_{k_1}^*(\mathbf{r}_2) U(\mathbf{r}_2) e^{ik_0 \cdot \mathbf{r}_2} d^\gamma r_2 \quad (190.16)$$

که در آن به جای  $k_1$  کمیت  $k_1$  و به جای  $\mathbf{r}_2$  کمیت  $\mathbf{r}_2$  را نشانده ایم تا با معادله (186.16) سازگار شود. ترتیب انتگرالگیری را برعکس می‌کنیم، در نتیجه

$$\Phi(\mathbf{r}_1) = - \int G_{k_0}(\mathbf{r}_1, \mathbf{r}_2) U(\mathbf{r}_2) e^{ik_0 \cdot \mathbf{r}_2} d^\gamma r_2 \quad (191.16)$$

که در آن  $G_{k_0}(\mathbf{r}_1, \mathbf{r}_2)$  همان تابع گرین ماست که از رابطه زیر، شبیه به معادله (91.9) در بخش ۴.۹، برای ویژه تابعهای گسسته، به دست می‌آید

$$G_{k_0}(\mathbf{r}_1, \mathbf{r}_2) = \int \frac{\psi_{k_1}^*(\mathbf{r}_2) \psi_{k_1}(\mathbf{r}_1)}{k_1^\gamma - k_0^\gamma} d^\gamma k_1 \quad (192.16)$$

معادله (191.16) را باید با جواب تابع گرین معادله پواسون (116.16) مقایسه کرد. شاید بهتر باشد که این انتگرال را محاسبه کنیم تا یک بار دیگر نقش تعیین کننده شرایط مرزی را مورد تأکید قرار داده باشیم. با استفاده از ویژه تابعهای حاصل از معادله (185.16) و عبارت

$$d^\gamma k = k^\gamma dk \sin \theta d\theta d\varphi \quad (193.16)$$

به دست می‌آوریم

$$G_{k_0}(\mathbf{r}_1, \mathbf{r}_2) = \frac{1}{(2\pi)^\gamma} \int_0^\infty \int_0^\pi \int_0^{2\pi} \frac{e^{ik\rho \cos \theta}}{k^\gamma - k_0^\gamma} d\varphi \sin \theta d\theta k^\gamma dk \quad (194.16)$$

در اینجا  $k\rho \cos \theta$  به جای  $\mathbf{k} \cdot (\mathbf{r}_1 - \mathbf{r}_2)$  نوشته است، و در آن  $\rho = \mathbf{r}_1 - \mathbf{r}_2$  نمایانگر محور قطبی در فضای  $k$  است. انتگرال روی  $\varphi$  را از طریق جستجو محاسبه می‌کنیم، و یک  $2\pi$  به دست می‌آوریم. سپس انتگرال روی  $\theta$  به صورت زیر خواهد بود

$$G_{k_0}(\mathbf{r}_1, \mathbf{r}_2) = \frac{1}{\gamma \pi^\gamma \rho i} \int_0^\infty \frac{e^{ik\rho} - e^{-ik\rho}}{k^\gamma - k_0^\gamma} k dk \quad (195.16)$$

با توجه به اینکه انتگرال ده تابع زوجی از  $k$  است، می‌توانیم قرار دهیم

$$G_{k_0}(\mathbf{r}_1, \mathbf{r}_2) = \frac{1}{\Lambda \pi^\gamma \rho i} \int_{-\infty}^\infty \frac{(e^{i\kappa} - e^{-i\kappa})}{\kappa^\gamma - \sigma^\gamma} \kappa d\kappa \quad (196.16)$$

گام آخر تمهیدی است برای محاسبه  $G_k(\mathbf{r}_1, \mathbf{r}_2)$  به صورت یک انتگرال پربندی. نمادهای  $\kappa$



و  $\sigma > 0$ ) به ترتیب نمایشگر  $k\rho$  و  $k_0\rho$  هستند.

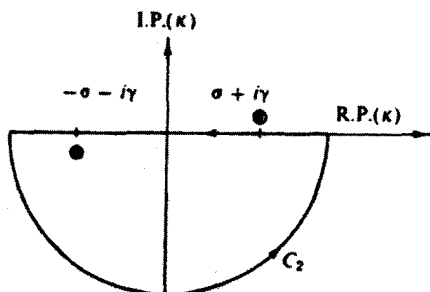
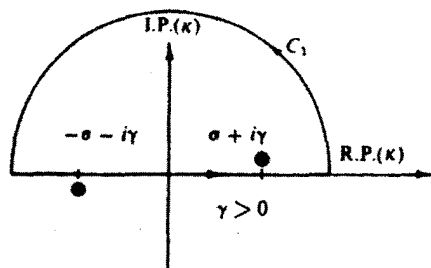
اگر انتگرال معادله (۱۹۶.۱۶) را یک انتگرال ریمان تعبیر کنیم، این انتگرال وجود ندارد. این امر دلالت بر آن است که  $\rho^{-1}$  وجود ندارد، و به معنای تحت اللفظی نیز  $\rho^{-1}$  وجود ندارد.  $\rho = \nabla^2 + k^2$  تکین است، زیرا جوابهای غیر بدیهی از  $\rho$  وجود دارند که به ازای آنها معادله همگن  $\rho\psi = 0$  برقرار است (بمسئله ۴.۶.۶ مقایسه کنید). برای اجتناب از این مشکل، پارامتر  $\gamma$  را وارد و عملگر متفاوت  $\rho_\gamma^{-1}$  را تعریف می‌کنیم و سپس حد  $\gamma \rightarrow 0$  را به دست می‌آوریم.

از تقسیم انتگرال به دو جزء، به طوری که هر جزء را بتوان به صورت یک انتگرال پربندی مناسب نوشت، داریم

$$G(\mathbf{r}_1, \mathbf{r}_2) = \frac{1}{4\pi^2 \rho i} \oint_{C_1} \frac{k e^{i k \kappa} d\kappa}{\kappa^2 - \sigma^2} + \frac{1}{4\pi^2 \rho i} \oint_{C_2} \frac{k e^{-i k \kappa} d\kappa}{\kappa^2 - \sigma^2} \quad (197.16)$$

پربند  $C_1$  توسط نیم‌دایره‌ای در نیم صفحه بالایی و پربند  $C_2$  توسط نیم‌دایره‌ای در نیم صفحه پایینی بسته می‌شود. این انتگرالها در فصل ۷، با استفاده از نیم‌دایره‌های بینهایت کوچک مناسبی که نقاط تکین  $\kappa = \pm\sigma$  را دور می‌زنند محاسبه شده‌اند. به عنوان یک دستورالعمل متفاوت، می‌توانیم نخست نقاط تکین را توسط تعویض  $\sigma$  با  $\sigma + i\gamma$  از روی محور حقیقی دور کنیم و سپس، بعد از محاسبه، حد  $\gamma \rightarrow 0$  را به دست آوریم (شکل ۵.۱۶).

پربند  $C_1$ ، برای  $\gamma$  مثبت، نقطه تکین  $\kappa = \sigma + i\gamma$  را در بر می‌گیرد و سهم انتگرال اول را بر خواهد بود با



شکل ۵.۱۶ پربندهای ممکن انتگرالگیری برای تابع گرین.

$$2\pi i \cdot \frac{1}{\gamma} e^{i(\sigma+i\gamma)}$$

از انتگرال دوم، که تکینگی  $\kappa = -(\sigma + i\gamma)$  را در برمی گیرد، نیز خواهیم داشت

$$2\pi i \cdot \frac{1}{\gamma} e^{i(\sigma+i\gamma)}$$

به معادله (۱۹۷.۱۶) بازمی گردیم و قرار می دهیم  $\gamma \rightarrow 0$ ، در نتیجه

$$\begin{aligned} G(\Gamma_1, \Gamma_2) &= \frac{1}{\psi\pi\rho} e^{i\sigma} \\ &= \frac{e^{ik|\Gamma_1 - \Gamma_2|}}{\psi\pi|\Gamma_1 - \Gamma_2|} \quad (198.16) \end{aligned}$$

که با مسئله ۱۶.۷۰۸ کاملاً سازگار است. این نتیجه به این نکته بستگی دارد که با  $\gamma$  مثبت شروع کنیم. اگر  $\gamma$  را منفی گرفته بودیم، تابع گرین ما شامل  $e^{-i\sigma}$  می شد، که به یک موج درونزنده مربوط می شود. شرایطی مرزی که می خواهیم صادق باشند، گزینه مقدار مثبت برای  $\gamma$  را ایجاب می کنند.

معادله های (۱۹۱.۱۶) و (۱۹۸.۱۶) همان موج پراکنده معادله (۱۸۳.۱۶) ب) را تولید می کنند، و جواب دقیقی را برای جواب تقریبی معادله (۱۸۴.۱۶) ب) تشکیل می دهند. در مسائل ۸.۶.۱۶ تا ۲۰.۶.۱۶ این نتایج تعمیم می یابند.

### مسائل

۱۹۶.۱۶ درستی معادله (۱۵۶.۱۶) د) به شرح زیر، را تحقیق کنید

$$\int (v \mathcal{L}_1 u - u \mathcal{L}_1 v) d\tau_1 = \int p (v \nabla_1 u - u \nabla_1 v) \cdot d\sigma_1$$

۴.۶.۱۶ نشان دهید که جمله های  $k^2 +$  در عملگر هلمهولتز و  $k^2 -$  در عملگر تعدیل یافته هلمهولتز بر رفتار  $G(\Gamma_1, \Gamma_2)$  در نزدیکی نقطه تکین  $\Gamma_1 = \Gamma_2$  تأثیری ندارند. یعنی، نشان دهید

$$\lim_{|\Gamma_1 - \Gamma_2| \rightarrow 0} \int k^2 G(\Gamma_1, \Gamma_2) d\tau_2 = 0$$

۳.۶.۱۶ نشان دهید که عبارت

$$\frac{\exp(ik|\Gamma_1 - \Gamma_2|)}{\psi\pi|\Gamma_1 - \Gamma_2|}$$

دومعیار مناسب را بر آورده می‌کند، و در نتیجه تابع گرین معادله هلمهولتز است.

۴.۶.۱۶ (الف) تابع گرین معادله سه بعدی هلمهولتز را بیابید. این همان مسئله ۱۶.۷.۸ است که در آنجا موج را موج ایستاده گرفتیم.

(ب) این تابع گرین چه ارتباطی با تابعهای کروی بسل دارد؟

۵.۶.۱۶ معادله همگن هلمهولتز

$$\nabla^2 \varphi + \lambda^2 \varphi = 0$$

دارای ویژه مقادیرهای  $\lambda_i^2$  و ویژه تابعهای  $\varphi_i$  است. نشان دهید که تابع گرین متناظر را، که در معادله زیر صدق می‌کند

$$\nabla^2 G(\mathbf{r}_1, \mathbf{r}_2) + \lambda^2 G(\mathbf{r}_1, \mathbf{r}_2) = -\delta(\mathbf{r}_1 - \mathbf{r}_2)$$

می‌توان به صورت زیر نوشت

$$G(\mathbf{r}_1, \mathbf{r}_2) = \sum_{i=1}^{\infty} \frac{\varphi_i(\mathbf{r}_1) \varphi_i(\mathbf{r}_2)}{\lambda_i^2 - \lambda^2}$$

چنین بسطی را بسط دوخطی می‌نامند. اگر تابع گرین در شکل بسته قابل حصول باشد، این بسط وسیله‌ای برای ایجاد تابعهای مولد به شمار می‌آید.

۶.۶.۱۶ پتانسیل الکتروستاتیکی (بر حسب یکاهای mks) زیر را در اختیار داریم

$$\varphi(r) = \frac{Z}{4\pi\epsilon_0} \cdot \frac{e^{-ar}}{r}$$

توزیع باری الکتریکی را با سازی کنید که مولد این پتانسیل باشد. دقت کنید که  $\varphi(r)$  به ازای مقادیر بزرگ  $r$ ، به صورت نمایی کاهش می‌یابد؛ این امر نشان می‌دهد که بار کل صفر است.

$$\rho(r) = Z \delta(r) - \frac{Za^3}{4\pi} \frac{e^{-ar}}{r} \quad \text{پاسخ.}$$

۷.۶.۱۶ معادله دیفرانسیل

$$\frac{d^2 y(r)}{dr^2} - k^2 y(r) + V_0 \frac{e^{-r}}{r} y(r) = 0$$

و شرایط مرزی  $y(0) = y(\infty) = 0$  را به یک معادله انتگرالی فردهولم، به صورت زیر تبدیل کنید

$$y(r) = \lambda \int_0^{\infty} G(r, t) \frac{e^{-t}}{t} y(t) dt$$

کمیت‌های  $V_0$  و  $k^2$  ثابت اند. این معادله دیفرانسیل از معادله موج شرودینگر بایک پتانسیل مزون به دست آمده است

$$\lambda = V_0$$

$$G(r, t) = \begin{cases} \frac{1}{k} e^{-kt} \sinh kr, & 0 \leq r < t \\ \frac{1}{k} e^{-kr} \sinh kt, & t < r < \infty \end{cases}$$

۸۰۶.۱۶ يك حلقهٔ بیابانای باردار به شعاع  $a$  (مثال ۳.۳.۱۲) را می‌توان به صورت زیر توصیف کرد

$$\rho(\mathbf{r}) = \frac{q}{2\pi a^2} \delta(r-a) \delta(\cos \theta)$$

با استفاده از تابع گرین معلوم برای این سیستم، پتانسیل الکتروستاتیکی را محاسبه کنید. راهنمایی: از مسئله ۳.۶.۱۲ می‌توان سود جست.

۹۰۶.۱۶ ثابت جداسازی را از  $k^2$  به  $-k^2$  تعویض کنید و ناپیوستگی در مشتق اول را در وابستگی به  $z$  قرار دهید. آنگاه نشان دهید که

$$\frac{1}{\psi\pi|\mathbf{r}_1 - \mathbf{r}_2|} = \frac{1}{\psi\pi} \sum_{m=-\infty}^{\infty} \int_0^{\infty} e^{im(\varphi_1 - \varphi_2)} J_m(k\rho_1) J_m(k\rho_2) e^{-k|z_1 - z_2|} dk$$

راهنمایی: کمیت  $\delta(\rho_1 - \rho_2)$  مورد نیاز را می‌توان از مسئله ۲.۱.۱۵ به دست آورد.

۱۰۶.۱۶ بسط زیر را استخراج کنید

$$\frac{\exp[ik|\mathbf{r}_1 - \mathbf{r}_2|]}{\psi\pi|\mathbf{r}_1 - \mathbf{r}_2|} = ik \sum_{l=0}^{\infty} \begin{cases} j_l(kr_1) h_l^{(1)}(kr_2) \\ j_l(kr_2) h_l^{(1)}(kr_1) \end{cases}$$

$$\sum_{m=-l}^l Y_l^m(\theta_1, \varphi_1) Y_l^{m*}(\theta_2, \varphi_2), \quad \begin{matrix} r_1 < r_2 \\ r_1 > r_2 \end{matrix}$$

راهنمایی: سمت چپ، يك تابع گرین معلوم است. بسطی بر حسب هماهنگهای کروی

برای آن در نظر بگیرید و روی وابستگی شعاعی باقیمانده کار کنید. به کمک رابطه بستاری هماهنگ کروی، مسئله ۶.۶.۱۲، وابستگی زاویه‌ای به دست می‌آید.

۱۱.۶.۱۶ نشان دهید که بسط تابع گرین عملگر تعدیل یافته هلمهولتز،  
 $\exp(-k|\mathbf{r}_1 - \mathbf{r}_2|) / (4\pi|\mathbf{r}_1 - \mathbf{r}_2|)$  در مختصات قطبی کروی به شرح زیر است

$$\frac{\exp(-k|\mathbf{r}_1 - \mathbf{r}_2|)}{4\pi|\mathbf{r}_1 - \mathbf{r}_2|} = k \sum_{l=0}^{\infty} i_l(kr_<) k_l(kr_>) \sum_{m=-l}^l Y_l^m(\theta_1, \varphi_1) Y_l^{m*}(\theta_2, \varphi_2)$$

یادآوری. تابعهای کروی تعدیل یافته بسل،  $k_l(kr)$  و  $i_l(kr)$  را در مسئله ۱۵.۷.۱۱ تعریف کردیم.

۱۲.۶.۱۶ با استفاده از تابع کروی گرین، مسئله ۱۰.۶.۱۶، بسط زیر را برای موج تخت به دست آورید

$$e^{ik \cdot \mathbf{r}} = \sum_{l=0}^{\infty} i^l (\nu l + 1) j_l(kr) P_l(\cos \gamma)$$

که در آن  $\gamma$  زاویه بین  $\mathbf{r}$  و  $\mathbf{k}$  است. این همان معادله ریلی مسئله ۷.۴.۱۲ است. راهنمایی. فرض کنید  $\mathbf{r}_2 \gg \mathbf{r}_1$  به طوری که

$$|\mathbf{r}_1 - \mathbf{r}_2| \rightarrow r_2 - \mathbf{r}_2 \cdot \frac{\mathbf{r}_1}{r_2} = r_2 - \frac{\mathbf{k} \cdot \mathbf{r}_1}{k}$$

آنگاه قرار دهید  $r_2 \rightarrow \infty$ ، و عامل  $e^{ikr_2}/r_2$  را حذف کنید.

۱۳.۶.۱۶ با استفاده از نتایج مسائل ۱۰.۶.۱۶ و ۱۲.۶.۱۶، نشان دهید

$$e^{ix} = \sum_{l=0}^{\infty} i^l (\nu l + 1) j_l(x)$$

۱۴.۶.۱۶ (الف) با استفاده از بسط تابع گرین لاپلاس در مختصات استوانه‌ای [معادله (۱۷۷.۱۶)]، نشان دهید که

$$\frac{1}{(\rho^2 + z^2)^{1/2}} = \frac{2}{\pi} \int_0^{\infty} K_0(k\rho) \cos kz \, dk$$

همین نتیجه، به طور مستقیم، در مسئله ۱۱.۳.۱۵ به دست آمده است.  
 (ب) به عنوان حالت خاصی از بند (الف) نشان دهید که

$$\int_0^{\infty} K_0(k) \, dk = \frac{\pi}{2}$$

۱۵.۶.۱۶ با توجه به اینکه رابطه

$$\psi_k(\mathbf{r}) = \frac{1}{(\sqrt{\pi})^{3/2}} e^{i\mathbf{k}\cdot\mathbf{r}}$$

عبارت است از ویژه تابعی از عبارت

$$(\nabla^2 + k^2) \psi_k(\mathbf{r}) = 0$$

[معادله‌های (۱۸۳.۱۶) و (۱۸۴.۱۶)]، نشان دهید که تابع نامتناهی گرین  $\mathcal{G} = \nabla^2$  برای می توان به صورت زیر بسط داد

$$\frac{1}{\sqrt{\pi} |\mathbf{r}_1 - \mathbf{r}_2|} = \frac{1}{(\sqrt{\pi})^3} \int \frac{e^{i\mathbf{k}\cdot(\mathbf{r}_1 - \mathbf{r}_2)} d^3k}{k^2}$$

۱۶.۶.۱۶ با استفاده از تبدیلهای فوریه، نشان دهید که تابع گرینی که در معادله ناهمگن هلمهولتز، به شرح زیر، صدق می کند

$$(\nabla^2 + k_0^2) G(\mathbf{r}_1, \mathbf{r}_2) = -\delta(\mathbf{r}_1 - \mathbf{r}_2)$$

عبارت است از

$$G(\mathbf{r}_1, \mathbf{r}_2) = \frac{1}{(\sqrt{\pi})^3} \int \frac{e^{i\mathbf{k}\cdot(\mathbf{r}_1 - \mathbf{r}_2)} d^3k}{k^2 - k_0^2}$$

که با معادله (۱۹۲.۱۶) سازگار است.

۱۷.۶.۱۶ معادله اصلی در نظریه پراش کیرشهوف به صورت زیر است

$$\psi(\mathbf{r}_1) = \frac{1}{\sqrt{\pi}} \int_{S_V} \left[ \frac{e^{i\mathbf{k}\cdot\mathbf{r}}}{r} \nabla \psi(\mathbf{r}_2) - \psi(\mathbf{r}_2) \nabla \left( \frac{e^{i\mathbf{k}\cdot\mathbf{r}}}{r} \right) \right] \cdot d\mathbf{\sigma}_V$$

که در آن  $\psi$  در معادله همگن هلمهولتز صدق می کند و  $r = |\mathbf{r}_1 - \mathbf{r}_2|$ . این معادله را به دست آورید. فرض کنید که  $\mathbf{r}_1$  درون سطح بسته  $S_V$  واقع است. راهنمایی. از قضیه گرین بهره گیرید.

۱۸.۶.۱۶ تقریب بورن برای مؤثر پراکنده به کمک معادله (۱۸۳.۱۶) [و معادله (۱۹۱.۱۶)] بیان می شود. از صورت مجانبی در معادله (۱۷۹.۱۶) داریم

$$f_k(\theta, \varphi) \frac{e^{i\mathbf{k}\cdot\mathbf{r}}}{r} = -\frac{2m}{\hbar^2} \int V(\mathbf{r}_2) \frac{e^{i\mathbf{k}\cdot\mathbf{r}_1 - \mathbf{r}_2}}{\sqrt{\pi} |\mathbf{r} - \mathbf{r}_2|} e^{i\mathbf{k}_0\cdot\mathbf{r}_2} d^3r_2$$

برای پتانسیل پراکندگی  $V(r_\nu)$  مستقل از زاویه‌ها و به ازای  $r \gg r_\nu$  نشان دهید

$$f_k(\theta, \varphi) = -\frac{2m}{\hbar^2} \int_0^\infty r_\nu V(r_\nu) \frac{\sin(|\mathbf{k}_0 - \mathbf{k}| r_\nu)}{|\mathbf{k}_0 - \mathbf{k}|} dr_\nu$$

که در آن  $\mathbf{k}_0$  در راستای  $\theta = 0$  (محور  $z$  اصلی) است، در حالی که  $\mathbf{k}$  در راستای  $(\theta, \varphi)$  واقع است. بزرگیها با هم برابرند:  $|\mathbf{k}_0| = |\mathbf{k}|$ . جرم کاهیده است.

داهنمایی. مسئله ۱۶.۶.۱۲ را برای ساده کردن عبارت نمایی مسئله ۱۵.۳.۲۰ را برای تبدیل کردن تبدیل نمایی سه بعدی فوری به تبدیل سینوسی یک بعدی فوری به کار برید.

۱۹.۶.۱۶ دامنه پراکندگی،  $f_k(\theta, \varphi)$ ، را برای پتانسیل مزون  $V(r) = V_0(e^{-\alpha r}/\alpha r)$  محاسبه کنید.

داهنمایی. با این پتانسیل خاص، امکان محاسبه انتگرال بورن، مسئله ۱۶.۶.۱۸، به صورت یک تبدیل لاپلاس موجود است.

پاسخ. 
$$f_k(\theta, \varphi) = -\frac{2mV_0}{\hbar^2 \alpha} \frac{1}{\alpha^2 + (\mathbf{k}_0 - \mathbf{k})^2}$$

۲۰.۶.۱۶ پتانسیل مزون  $V(r) = V_0(e^{-\alpha r}/\alpha r)$  را می‌توان برای توصیف پراکندگی کولنی دوبار  $q_1$  و  $q_2$  به کار برد. قرار می‌دهیم:  $\alpha \rightarrow 0$  و  $V_0/\alpha \rightarrow V$ ؛ ولی نسبت  $V_0/\alpha$  را برابر  $q_1 q_2 / 4\pi\epsilon_0$  می‌گیریم (در دستگاه یکاهای گاوسی  $4\pi\epsilon_0$  را حذف می‌کنیم). نشان دهید که سطح مقطع دیفرانسیلی پراکندگی  $d\sigma/d\Omega = |f_k(\theta, \varphi)|^2$  از رابطه زیر به دست می‌آید

$$\frac{d\sigma}{d\Omega} = \left( \frac{q_1 q_2}{4\pi\epsilon_0} \right)^2 \frac{1}{16 E^2 \sin^4(\theta/2)}, \quad E = \frac{p^2}{2m} = \frac{\hbar^2 k^2}{2m}$$

گاهی پیش می‌آید که این تقریب بورن (تصادفاً) هم با محاسبات کوانتوم مکانیکی هم با محاسبه کلاسیکی رادرفورد کاملاً سازگار است.

## مراجع

Bocher, M., *An Introduction to the Study of Integral Equations*. Cambridge Tracts in Mathematics and Mathematical Physics, No. 10. New York: Hafner, 1960.

این کتاب برای آشنایی با معادله‌های انتگرالی بسیار سودمند است.

Cochran, J. A., *The Analysis of Linear Integral Equations*. New York: McGraw-Hill, 1972.

کتابی است حاوی بررسی جامعی درباره معادله‌های انتگرالی خطی که بیشتر برای دست‌اندرکاران ریاضی کاربردی و ریاضی فیزیک نوشته شده است. در این کتاب روی سخن باخوانندگان است که معلومات ریاضی آنها در سطحی نسبتاً بالا باشد.

Courant, R., and D. Hilbert, *Methods of Mathematical Physics*, Vol. 1 (English ed.) New York: Interscience, 1953.

یکی از آثار کلاسیک فیزیک ریاضی به‌شمار می‌آید، اولین بار در سال ۱۹۲۴ به زبان آلمانی منتشر شد، ویرایش انگلیسی تجدید نظر شده آن مرجعی درخشان است که در آن معادله‌های انتگرالی، تابعهای گرین، و عنوانهای بسیار گوناگون دیگری در فیزیک ریاضی مورد بررسی دقیق قرار گرفته است.

Golberg, M. A., Ed., *Solution Methods of Integral Equations*. New York: Plenum Press, 1979.

مجموعه مقالاتی از یک کنفرانس درباره معادله‌های انتگرالی؛ فصل اول آن برای دستیابی به سمت و سوی مطالب روزآمد و تعداد زیادی مرجع تازه، بسیار عالی است.

Kanwal, R. P., *Linear Integral Equations*, New York: Academic Press, 1971.

این کتاب حاوی یک بررسی مشروح ولی خواندنی درباره شگردهای گوناگون برای حل معادله‌های انتگرالی خطی است.

Morse, P. M., and H. Feshbach, *Methods of Theoretical Physics*. New York: McGraw-Hill, 1953.

مخصوصاً فصل ۷ این کتاب، حاوی بحث کامل و مشروحي درباره تابعهای گرین از دیدگاه ریاضی فیزیک است. ولی، دقت کنید که مورس و فشاخ غالباً به جای  $\delta(\mathbf{r}-\mathbf{r}')$  که ما برگزیدیم، چشمه  $4\pi\delta(\mathbf{r}-\mathbf{r}')$  را انتخاب می‌کنند. در این کتاب به ناحیه‌های محدود توجه زیادی معطوف شده است.

Stakgold, I., *Green's Functions and Boundary Value Problems*. New York: Wiley, 1979.

مراجع ۱۳۵

مراجع

Byron, F. W., Jr., and R. W. Fuller, *Mathematics of Classical and Quantum Physics*. Reading, Mass.: Addison-Wesley, 1969.

Miller, K. S., *Linear Differential Equations in the Real Domain*, New York: Norton, 1963.

Titchmarsh, E. C., *Eigenfunction Expansions Associated with Second Order Differential Equations*. London: Oxford University Press, Vol. I, 2nd ed., 1962, Vol. II, 1958.



## حساب وردشها

### موارد استفاده حساب وردشها

پیش از ورود به این شاخه نو و نسبتاً متفاوت ریاضی فیزیک، برخی کاربردهای آن را در ریاضیات و فیزیک جمع‌بندی می‌کنیم.

۱. استخوانبندی نظریه‌های فیزیکی موجود را عوامل زیر تشکیل می‌دهند:

الف) وحدت حوزه‌های گوناگون فیزیک - با استفاده از انرژی به عنوان یک مفهوم کلیدی.

ب) آسان بودن تحلیل - معادلات لاگرانژ، بخش ۳۰۱۷.

ج) وارد کردن آسان قیدها در آن: بخش ۷۰۱۷.

۲. نقطه آغاز حوزه‌های پیچیده و جدید فیزیک و مهندسی. خط ژئودزیک، در نسبیت عام، به عنوان مسیر کمینه یک پالس نوری در فضای ریمانی خمیده مطرح می‌شود. اصول وردشی در نظریه میدان کوانتومی جدید ظاهر می‌شود. اصول وردشی در نظریه کنترل جدید، کاربرد وسیعی یافته است.

۳. وحدت ریاضی. آنالیز وردشی، برهان تمامیت ویژه تابعهای اشتورم-لیوویل، فصل ۹، را فراهم و کران پایین ویژه مقادارها را تعیین می‌کند. معادله انتگرالی هیلبرت-اشمیت، بخش ۴۰۱۶، به نتایج مشابهی برای ویژه مقادارها و ویژه تابعها می‌انجامد.

۴. تکنیکهای محاسبه در بخش ۸۰۱۷. محاسبه ویژه مقادارها و ویژه تابعهای معادله اشتورم-لیوویل. ویژه تابعها و ویژه مقادارهای معادله انتگرالی را می‌توان با استفاده از کوادراتور عددی و تکنیکهای ماتریسی، بخش ۳۰۱۶، محاسبه کرد.

## ۱.۱۷ يك متغير وابسته و يك متغير مستقل

## مفهوم و ردش

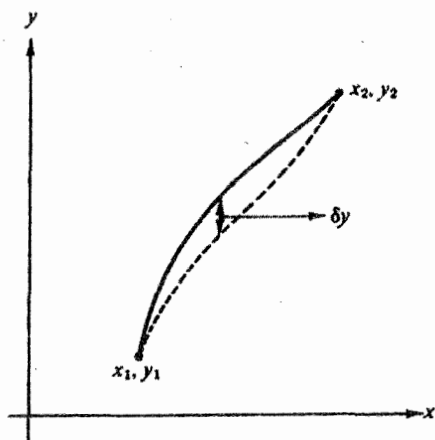
در حساب و ردشها با مسائلی سروکار داریم که در آنها کمیتی که باید کمینه (یا بیشینه) شود به صورت يك انتگرال پدیدار می شود. به عنوان ساده ترین حالت، انتگرال زیر را در نظر بگیریم

$$J = \int_{x_1}^{x_2} f(y, y_x, x) dx \quad (1.17)$$

$J$  کمیتی است که مقدار فرین را می پذیرد.  $f$ ، در زیر علامت انتگرال، تابع معلومی است از متغیرهای مشخص شده  $y(x)$ ،  $y_x(x) \equiv dy(x)/dx$  و  $x$ ؛ ولی بستگی  $y$  به  $x$  تعیین نشده است؛ یعنی،  $y(x)$  مجهول است. این نکته بدان معناست که گرچه حدود انتگرال از  $x_1$  تا  $x_2$  است، ولی مسیر دقیق انتگرالگیری معلوم نیست (شکل ۱.۱۷).

باید مسیر انتگرالگیری از نقطه  $(x_1, y_1)$  تا نقطه  $(x_2, y_2)$  را طوری برگزینیم که  $J$  را کمینه کند. به عبارت دقیقتر، مقادیر پایای  $J$ ، یعنی کمینه ها، بیشینه ها، و نقاط زینی را تعیین می کنیم. در اکثر مواردی که در فیزیک با آنها سروکار پیدا می کنیم، این مقدار پایا همان مقدار کمینه است.

این مسئله نسبت به مسئله متناظر آن در حساب دیفرانسیل خیلی مشکلتر است. در واقع، ممکن است در اینجا هیچ جوابی وجود نداشته باشد. در محاسبه مشتقها، کمینه را از طریق مقایسه  $y(x_0)$  با  $y(x)$ ، به ازای مقادیر مجاور  $x$  تعیین می کنند. در اینجا فرض می کنیم که يك مسیر بهینه وجود دارد، یعنی مسیر قابل قبولی که  $J$  برای آن پایاست، آنگاه  $J$  مربوط به این مسیر (مجهول) بهینه را با  $J$  حاصل از مسیرهای مجاور مقایسه می کنیم. در شکل ۱.۱۷ دو



شکل ۱.۱۷ يك مسیر و ردش یافته.

مسیر ممکن نشان داده شده است (روشن است که تعداد مسیرهای ممکن نامتناهی است). اختلاف بین این دو مسیر به ازای يك  $x$  معین را يك وردش  $y$  می نامند، و آن را با  $\delta y$  نمایش می دهند؛  $\delta y$  را به طور مناسبی با معرفی يك تابع جدید  $\eta(x)$ ، برای تعریف تغییر شکل دلخواه مسیر، و يك عامل مقیاس  $\alpha$  که بزرگی وردش را می دهد، توصیف می کنند. تابع  $\eta(x)$  تابعی اختیاری است به استثنای دو محدودیت زیر. اولاً

$$\eta(x_1) = \eta(x_2) = 0 \quad (2.17)$$

یعنی همه مسیرهای وردش یافته باید از دو نقطه انتهایی ثابت بگذرند. دوم اینکه، همچنان که به زودی دیده می شود، باید  $\eta(x)$  مشتق پذیر باشد، یعنی نمی توانیم تابع زیر را به کار ببریم

$$\eta(x) = 1, \quad x = x_0 \quad (3.17)$$

$$= 0, \quad x \neq x_0$$

ولی می توانیم تابعی مانند  $\eta(x)$  اختیار کنیم که به نحوی شبیه به تابعی باشد که برای نمایش تابع دلنای دیراک به کار بردیم (فصلهای ۸ و ۱۶)، به طوری که  $\eta(x)$  فقط در يك ناحیه بینهایت کوچک غیر صفر باشد. در این صورت، مسیری که با  $\alpha$  و  $\eta(x)$  توصیف می شود عبارت است از

$$y(x, \alpha) = y(x, 0) + \alpha \eta(x) \quad (4.17)$$

و

$$\delta y = y(x, \alpha) - y(x, 0) = \alpha \eta(x) \quad (5.17)$$

$y(x, \alpha = 0)$  را همان مسیر مجهولی می گیریم که  $J$  را کمینه می کند. در این صورت  $y(x, \alpha)$  يك مسیر مجاور آن خواهد بود. اکنون  $J$  در معادله (۱.۱۷) تابعی  $\alpha$  است از پارامتر جدید  $\alpha$

$$J(\alpha) = \int_{x_1}^{x_2} f[y(x, \alpha), y_x(x, \alpha), x] dx \quad (6.17)$$

و شرط مقدار فرین آن است که

۰۱ برای بحث جامعتری در این خصوص به فصل ۱۰ کتاب زیر مراجعه کنید

Jeffreys, H., and B. S. *Methods of Mathematical Physics*, 3rd ed. Cambridge: Cambridge University Press (1966).

۰۲. به زبان حرفه ای ریاضی،  $J$  تابعی است وابسته به توابع  $y(x, \alpha)$  و  $y_x(x, \alpha)$ ، یعنی

$$J[y(x, \alpha), y_x(x, \alpha)]$$

$$\left[ \frac{\partial J(\alpha)}{\partial \alpha} \right]_{\alpha=0} = 0 \quad (7.17)$$

که به صفر شدن مشتق،  $dy/dx$ ، در محاسبه مشتقها شبیه است.

اکنون وابستگی انتگرال به  $\alpha$  از طریق  $y(x, \alpha)$  و  $y_x(x, \alpha) = (\partial/\partial\alpha)y(x, \alpha)$  است. بنابراین

$$\frac{\partial J(\alpha)}{\partial \alpha} = \int_{x_1}^{x_2} \left[ \frac{\partial f}{\partial y} \frac{\partial y}{\partial \alpha} + \frac{\partial f}{\partial y_x} \frac{\partial y_x}{\partial \alpha} \right] dx \quad (8.17)$$

از معادله (۴.۱۷) داریم

$$\frac{\partial y(x, \alpha)}{\partial \alpha} = \eta(x) \quad (9.17)$$

$$\frac{\partial y_x(x, \alpha)}{\partial \alpha} = \frac{d\eta(x)}{dx} \quad (10.17)$$

معادله (۸.۱۷) به صورت زیر درمی آید

$$\frac{\partial J(\alpha)}{\partial \alpha} = \int_{x_1}^{x_2} \left( \frac{\partial f}{\partial y} \eta(x) + \frac{\partial f}{\partial y_x} \frac{d\eta(x)}{dx} \right) dx \quad (11.17)$$

با انتگرال گیری جزء به جزء از جمله دوم، خواهیم داشت

$$\int_{x_1}^{x_2} \frac{d\eta(x)}{dx} \frac{\partial f}{\partial y_x} dx = \eta(x) \frac{\partial f}{\partial y_x} \Big|_{x_1}^{x_2} - \int_{x_1}^{x_2} \eta(x) \frac{d}{dx} \frac{\partial f}{\partial y_x} dx \quad (12.17)$$

جزء انتگرال گیری شده با استفاده از معادله (۲.۱۷) صفر می شود، و معادله (۱۱.۱۷) به صورت زیر درمی آید

$$\int_{x_1}^{x_2} \left[ \frac{\partial f}{\partial y} - \frac{d}{dx} \frac{\partial f}{\partial y_x} \right] \eta(x) dx = 0 \quad (13.17)$$

$\alpha$  را در این معادله صفر می گیریم، و در نتیجه دیگر جزئی از مسئله نیست.

گهگاه به مواردی برمی خوریم که معادله (۱۳.۱۷) در  $\alpha$  ضرب می شود و به رابطه زیر

می رسیم

$$\int_{x_1}^{x_2} \left( \frac{\partial f}{\partial y} - \frac{d}{dx} \frac{\partial f}{\partial y_x} \right) \delta y dx = \alpha \left[ \frac{\partial J}{\partial \alpha} \right]_{\alpha=0} \quad (14.17)$$

$$= \delta J = 0$$

از آنجا که  $\eta(x)$  اختیاری است (قبلاً هم گفتیم)، می‌توانیم آن را طوری انتخاب کنیم که هر جا عبارت داخل پرانتز غیر صفر بود، با  $\eta(x)$  هم علامت باشد. در نتیجه انتگرالده همواره نامنفی خواهد بود. در این صورت معادله (۱۳.۱۷)، که شرط وجود يك مقدار پایا برای  $J$  است، تنها وقتی برقرار است که جمله داخل پرانتز خود با صفر متحد باشد. در نتیجه شرط وجود يك مقدار پایا، معادله دیفرانسیل جزء به جزء زیر به‌شمار می‌آید:

$$\frac{\partial f}{\partial y} - \frac{d}{dx} \frac{\partial f}{\partial y_x} = 0 \quad (15.17)$$

این معادله‌را، که به آن معادله اویلر می‌گویند، به صورت‌های دیگری نیز می‌توان نوشت.

صورت‌های دیگر معادله اویلر

صورت دیگر این معادله (مسئله ۱۰.۱۷) که غالباً هم مفید است، عبارت خواهد بود از

$$\frac{\partial f}{\partial x} - \frac{d}{dx} \left( f - y_x \frac{\partial f}{\partial y_x} \right) = 0 \quad (16.17)$$

در مسائلی که در آنها  $f = f(y, y_x)$ ، یعنی  $x$  به‌طور صریح وارد نمی‌شود، معادله (۱۶.۱۷) به صورت زیر ساده می‌شود

$$\frac{d}{dx} \left( f - y_x \frac{\partial f}{\partial y_x} \right) = 0 \quad (17.17)$$

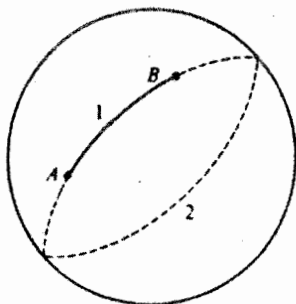
یا

$$f - y_x \frac{\partial f}{\partial y_x} = \text{const.} \quad (18.17)$$

۱. این نکته مهم است که معنای  $\partial/\partial x$  و  $a/a_x$  را دقیقاً در نظر داشته باشیم. مثلاً، اگر  $f = f[y(x), x]$  آن‌گاه،

$$\frac{df}{dx} = \frac{\partial f}{\partial x} + \frac{\partial f}{\partial y} \frac{dy}{dx}$$

جمله اول سمت راست نمایانگر وابستگی هر یک به  $x$  و جمله دوم نشان وابستگی ضمنی به  $x$  است.



شکل ۲۰۱۷ مسیرهای پایاروی یک کره.

روشن است که برای آنکه  $J$  مقدار پایا به خود بگیرد، یعنی برای اینکه معادله (۱۴.۱۷) برقرار باشد، باید معادله (۱۵.۱۷) یا (۱۶.۱۷) برقرار باشد. معادله (۱۵.۱۷) شرط لازم است ولی به هیچ وجه کافی نیست. کوران و راینز، بادر نظر گرفتن فاصله بین دو نقطه  $A$  و  $B$  روی کره، این نکته را، در شکل ۲۰۱۷، به نحو مطلوبی نمایش داده اند. با استفاده از معادله (۱۵.۱۷) مسیر (۱)، که روی یک دایره عظیمه واقع است، به دست می آید. ولی مسیر (۲)، یعنی بقیه دایره عظیمه ای که از  $A$  و  $B$  می گذرد، نیز در معادله اوپلر صدق می کند. مسیر (۲) یک بیشینه است ولی تنها با این شرط که مسیر فوق لزوماً یک دایره عظیمه باشد و تازه آن هم به شرطی که مسیرهای کوتاهتر از یک دایره کامل را در نظر داشته باشیم؛ یعنی مسیر (۲) دور کامل هم جواب معادله اوپلر است. اگر نیازی نباشد که مسیر یک دایره عظیمه باشد، هر انحرافی از مسیر (۲)، طول را افزایش می دهد. این خواص مشکل می تواند مربوط به یک بیشینه موضعی باشد، و به همین دلیل باید خواص جواب معادله (۱۵.۱۷) را بیازماییم تا ببینیم در شرایط فیزیکی مسئله مورد بررسی صدق می کند یا نه.

## مسائل

۱۰.۱۰۱۷ نشان دهید که دو صورت معادله اوپلر، به شرح زیر، معادل اند

$$\frac{\partial f}{\partial y} - \frac{d}{dx} \frac{\partial f}{\partial y_x} = 0$$

$$\left( \frac{\partial f}{\partial x} - \frac{d}{dx} \left( x \frac{\partial f}{\partial y_x} - y_x \frac{\partial f}{\partial y_x} \right) \right) = 0$$

۱. برای بحث درباره شرایط کافی در حساب وردشها و تدوین آن به عنوان بخشی از ریاضیات نوین به کتاب زیر رجوع کنید

Ewing, G. M., *Calculus of Variations With Applications*, Norton. New York, 1969.

سیگان هم شرایط کافی را مورد بحث قرار می دهد (این مرجع در فهرست مراجع انتهایی این فصل آمده است).

$$\frac{\partial f}{\partial x} - \frac{d}{dx} \left( f - y_x \frac{\partial f}{\partial y_x} \right) = 0$$

۲.۱۰۱۷ با استفاده از بسط تایلور (مک لورن)، انتگرالده

$$J(\alpha) = \int_{x_1}^{x_2} f[y(x, \alpha), y_x(x, \alpha), x] dx$$

با دو متغیر  $y$  و  $y_x$ ، را بر حسب توانهای  $\alpha$  بسط دهید (بخش ۶.۵)، و از آنجا معادلهٔ اوایلر را استخراج کنید.

یادآوری. شرط پایایی عبارت است از اینکه، به ازای  $\alpha = 0$  داشته باشیم:  $\partial J(\alpha) / \partial \alpha = 0$ . جمله‌های درجهٔ دوم در تعیین ماهیت جواب پایا (بیشینه، کمینه، یا نقطهٔ زینی) مفید واقع می‌شوند.

۳.۱۰۱۷ اگر  $f = f(y_{xx}, y_x, y, x)$ ، معادلهٔ اوایلر نظیر معادلهٔ (۱۵.۱۷) را به دست آورید.

$$\text{پاسخ. } \frac{d^2}{dx^2} \left( \frac{\partial f}{\partial y_{xx}} \right) - \frac{d}{dx} \left( \frac{\partial f}{\partial y_x} \right) + \frac{\partial f}{\partial y} = 0$$

به ازای  $\eta_x(x_1) = \eta_x(x_2) = 0$ ،  $\eta(x_1) = \eta(x_2) = 0$ .

۴.۱۰۱۷  $f(y, y_x, x)$ ، انتگرالده معادلهٔ (۱۰.۱۷) به صورت زیر است

$$f(y, y_x, x) = f_1(x, y) + f_2(x, y)y_x$$

(الف) نشان دهید که معادلهٔ اوایلر به رابطهٔ زیر می‌انجامد

$$\frac{\partial f_1}{\partial y} - \frac{\partial f_2}{\partial x} = 0$$

(ب) این جواب چه تأثیری بر وابستگی انتگرال  $J$  به انتخاب مسیر دارد؟

۵.۱۰۱۷ نشان دهید این شرط که

$$J = \int f(x, y) dx$$

یک مقدار پایا داشته باشد

(الف) به این جواب منجر می‌شود که  $f(x, y)$  مستقل از  $y$  است، و

(ب) هیچ اطلاعی درباره وابستگی به  $x$  به دست نمی‌دهد.

هیچ جوابی (که پیوسته و مشتق‌پذیر باشد) به دست نمی‌آوریم. در نتیجه برای آنکه مسئله بردشی معناداری داشته باشیم، وجود وابستگی به  $y_x$  یا مشتقهای بالاتر نقش اساسی دارد. یادآوردی. وقتی که قیود را وارد مسئله کنیم وضعیت عوض خواهد شد (بامسئله ۷.۷.۱۷ مقایسه کنید).

### ۲.۱۷ کاربردهای معادله اویلر

مثال ۱۰۲.۱۷ خط مستقیم

شاید ساده‌ترین کاربرد معادله اویلر تعیین کوتاهترین فاصله بین دو نقطه در صفحه  $xy$  است. عنصر فاصله عبارت است از

$$ds = [(dx)^2 + (dy)^2]^{1/2} = [1 + y_x^2]^{1/2} dx \quad (19.17)$$

از این رو فاصله  $J$  را می‌توان به صورت زیر نوشت

$$J = \int_{x_1, y_1}^{x_2, y_2} ds = \int_{x_1}^{x_2} [1 + y_x^2]^{1/2} dx \quad (20.17)$$

از مقایسه با معادله (۱.۱۷) نتیجه می‌گیریم

$$f(y, y_x, x) = (1 + x_x^2)^{1/2} \quad (21.17)$$

با نشان دادن در معادله (۱۶.۱۷)، خواهیم داشت

$$-\frac{d}{dx} \left[ \frac{1}{(1 + y_x^2)^{1/2}} \right] = 0 \quad (22.17)$$

یا

$$\frac{1}{(1 + y_x^2)^{1/2}} = C, \text{ مقدار ثابت} \quad (23.17)$$

جواب زیر در این معادله صدق می‌کند

$$y_x = a \text{ یک مقدار ثابت دیگر} \quad (24.17)$$

و

$$y = ax + b \quad (25.17)$$

که معادله‌آشنای یک خط مستقیم است. روشن است که ثابتهای  $a$  و  $b$  را چنان اختیار می‌کنند که این خط از دو نقطه  $(x_1, y_1)$  و  $(x_2, y_2)$  بگذرد. در نتیجه، معادله اویلر پیش‌بینی می‌کند



که کوتاهترین فاصلهٔ بین دو نقطهٔ ثابت، يك خط مستقیم است.

تعمیم این مسئله به فضا-زمان چهار بعدی خمیده، به یکی از مفاهیم مهم نسبیت، خط ژئودزیک، منجر می‌شود.

### مثال ۲۰۲۰۱۷ حساب صابون

به عنوان يك مثال دیگر، سطح دواری را در نظر بگیرید که از دوران منحنی  $y(x)$  حول محور  $x$  تولید می‌شود (شکل ۳۰۱۷). این منحنی باید از دو نقطهٔ انتهایی ثابت  $(x_1, y_1)$  و  $(x_2, y_2)$  بگذرد. مسئلهٔ وردشی به این صورت است که  $y(x)$  چنان اختیار شود که مساحت سطح حاصل کمینه شود.

برای عنصر مساحتی که در شکل ۳۰۱۷ نشان داده شده است، داریم

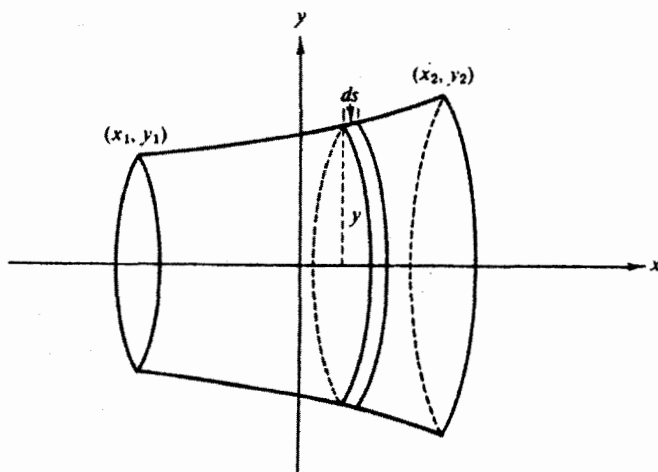
$$dA = 2\pi y ds = 2\pi y(1 + y_x^2)^{1/2} dx \quad (26.17)$$

بنابراین معادلهٔ وردشی به صورت زیر است

$$J = \int_{x_1}^{x_2} 2\pi y(1 + y_x^2)^{1/2} dx \quad (27.17)$$

با چشمپوشی از  $2\pi$ ، داریم

$$f(y, y_x, x) = y(1 + y_x^2)^{1/2} \quad (28.17)$$



شکل ۳۰۱۷ سطح دوار-مسئلهٔ حساب صابون.

۱. به تعمیم تکنیکی، يك مقدار پایا داریم. از جملهٔ  $\alpha^2$  پی می‌بریم که این مقدار پایا يك کمینه است (مسئلهٔ ۲۰۱۰۱۷).

از آنجا که  $\partial f / \partial x = 0$ ، می‌توانیم معادله (۱۸.۱۷) را مستقیماً به کار ببریم و در نتیجه

$$y(1+y_x^2)^{1/2} - y y_x^2 \frac{1}{(1+y_x^2)^{1/2}} = c_1 \quad (29.17)$$

یا

$$\frac{y}{(1+y_x^2)^{1/2}} = c_1 \quad (30.17)$$

به‌توانیم دو می‌رسانیم و داریم

$$\frac{y^2}{1+y_x^2} = c_1^2 \quad (c_1^2 \leq y_{\min}^2) \quad (31.17)$$

و

$$(y_x)^{-1} = \frac{dx}{dy} = \frac{c_1}{\sqrt{y^2 - c_1^2}} \quad (32.17)$$

از این عبارت می‌توان انتگرال گرفت، در نتیجه

$$x = c_1 \cosh^{-1} \frac{y}{c_1} + c_2 \quad (33.17)$$

این معادله را بر حسب  $y$  حل می‌کنیم

$$y = c_1 \cosh\left(\frac{x - c_2}{c_1}\right) \quad (34.17)$$

و باز  $c_1$  و  $c_2$ ، با این شرط که کسینوس هیپربولیک از نقاط  $(x_1, y_1)$  و  $(x_2, y_2)$  بگذرد، تعیین می‌شوند. سطح یا مساحت "کمینه" ما یک زنجیر دوار یا زنجیر واراست.

### حباب صابون — مساحت کمینه

در حساب وردشتها، بر سر راه آدمهای ناآگاه دامهایی نهاده شده است (بدخاطر داشته باشید که معادله اوایلر تنها یک شرط لازم برای وجود یک جواب مشتقپذیر است. شرایط کافی خیلی پیچیده‌اند، برای دستیابی به جزئیات آن به مراجع این کتاب مراجعه کنید). شاید، بادر نظر گرفتن یک مسئله فیزیکی بخصوص، مثلاً مسئله مساحت کمینه با  $(-x_0, 1) = (x_1, y_1)$  و  $(+x_0, 1) = (x_2, y_2)$ ، بتوان برخی از خطرهای این دامهارا بهتر بازشناخت. سطح کمینه، عبارت است از سطح حباب صابونی که روی دو حلقه، به شعاع واحد در  $x = \pm x_0$  کشیده می‌شود. مسئله عبارت است از پیش‌بینی شکل منحنی  $y(x)$  که حباب صابون بدخود می‌گیرد.

بامراجعه به معادلهٔ (۳۴.۱۷) پی می‌بریم که به دلیل تقارن مسئله  $c_2 = 0$  در این صورت

$$y = c_1 \cosh\left(\frac{x}{c_1}\right) \quad (\text{الف } ۳۴.۱۷)$$

اگر  $x_0$  را برابر  $1/2$  بگیریم، معادلهٔ زیر را بر حسب  $c_1$  به دست می‌آوریم

$$1 = c_1 \cosh\left(\frac{1}{2c_1}\right) \quad (۳۵.۱۷)$$

برای این معادله دو جواب به دست می‌آوریم؛  $c_1 = 0.2350$  که به يك منحنی "گود" می‌انجامد، و  $c_1 = 0.8483$  که به يك منحنی "صاف" منجر می‌شود. کدام يك از این دو جواب کمینه است؟ کدام منحنی متعلق به حباب صابون است؟ پیش از پاسخ به این پرسشها، وضعیتی فیزیکی را در نظر بگیرید که در آن دو حلقه از یکدیگر دور شده‌اند، به طوری که  $x_0 = 1$  در این صورت، معادلهٔ (الف ۳۴.۱۷) به صورت زیر درمی‌آید

$$1 = c_1 \cosh\left(\frac{1}{c_1}\right) \quad (۳۶.۱۷)$$

که هیچ جواب حقیقی نخواهد داشت! معنی فیزیکی این حکم آن است که همچنان که حلقه‌های به شعاع واحد از مبدأ دور می‌شوند، به نقطه‌ای می‌رسیم که در آن حباب صابون دیگر نمی‌تواند بر هر مقطع قائم نیروی افقی یکسانی وارد کند. تعادل پایدار دیگر ممکن نیست. حباب صابون می‌ترکد (فرایند بازگشت ناپذیر) و روی هر حلقه يك حباب مسطح تشکیل می‌شود (که مساحت کل آن عبارت است از  $2\pi = 6.28320\dots$ ). این کمیت را جواب ناپیوستهٔ گلداشمیت می‌خوانند.

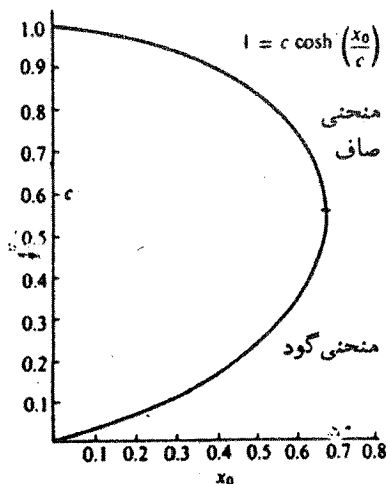
سؤال بعدی این است که بیشترین مقدار  $x_0$  که به يك جواب حقیقی برای معادلهٔ (الف ۳۴.۱۷) می‌انجامد، چقدر است؟ با قرار دادن  $p = c_1^{-1}$ ، معادلهٔ (الف ۳۴.۱۷) به صورت زیر درمی‌آید

$$p = \cosh px_0. \quad (۳۷.۱۷)$$

برای یافتن  $x_{0, \max}$ ، می‌توانیم  $x_0$  را از این معادله به دست آوریم [مثل معادلهٔ (۳۳.۱۷)]، آنگاه از آن نسبت به  $p$  مشتق بگیریم. سرانجام، با در نظر داشتن شکل ۴.۱۷،  $dx_0/dp$  را صفر می‌گیریم. اما می‌توان از معادلهٔ (۳۷.۱۷) مستقیماً نسبت به  $p$  مشتق گرفت، در نتیجه

$$1 = \sinh px_0 [x_0 + p dx_0/dp]$$

۱. از دیدگاهی عددی، وارون کردن مسئله آسانتر است. ابتدا یک مقدار  $c_1$  اختیار، آنگاه  $x_0$  مربوط به آن را حساب کنیم. معادلهٔ (الف ۳۴.۱۷) به صورت  $(1/c_1) \cosh^{-1}(1/c_1) = x_0$  درمی‌آید. این معادله در گسترهٔ  $0 < c_1 \leq 1$  دارای جوابهای عددی است.



شکل ۳.۱۷ جوابهای معادله (۳۴.۱۷) الف) برای حلقه‌های به‌شعاع واحد در  $x = \pm x_0$ .

شرط صفر بودن  $dx_0/dp$  به معادله زیر می‌انجامد

$$1 = x_0 \sinh px_0 \quad (38.17)$$

معادله‌های (۳۷.۱۷) و (۳۸.۱۷) را می‌توان ترکیب کرد و معادله زیر را به دست آورد

$$px_0 = \coth px_0 \quad (39.17)$$

ریشه این معادله عبارت است از

$$px_0 = 1.1997 \quad (40.17)$$

با نشان دادن در معادله‌های (۳۷.۱۷) یا (۳۸.۱۷) خواهیم داشت

$$p = 1.2810 \quad c_1 = 0.55524 \quad (41.17)$$

$$x_{0,max} = 0.96627 \quad (42.17)$$

به مسئله حل معادله (۳۵.۱۷) برمی‌گردیم، که حباب صابون را توصیف می‌کند. مساحت متناظر با هر جواب را حساب می‌کنیم. داریم

$$\begin{aligned} A &= 4\pi \int_0^{x_0} y(1+y_x^2)^{1/2} dx = \frac{4\pi}{c_1} \int_0^{x_0} y^2 dx \quad [\text{به اعتبار معادله (30.17)}] \\ &= 4\pi c_1 \int_0^{x_0} \left(\cosh \frac{x}{c_1}\right)^2 dx \quad (43.17) \\ &= \pi c_1^2 \left[ \sinh\left(\frac{2x_0}{c_1}\right) + \frac{2x_0}{c_1} \right] \end{aligned}$$

معادلهٔ (۳۵.۱۷) به ازای  $x_0 = (1/2)$  به نتایج زیر منجر می‌شود

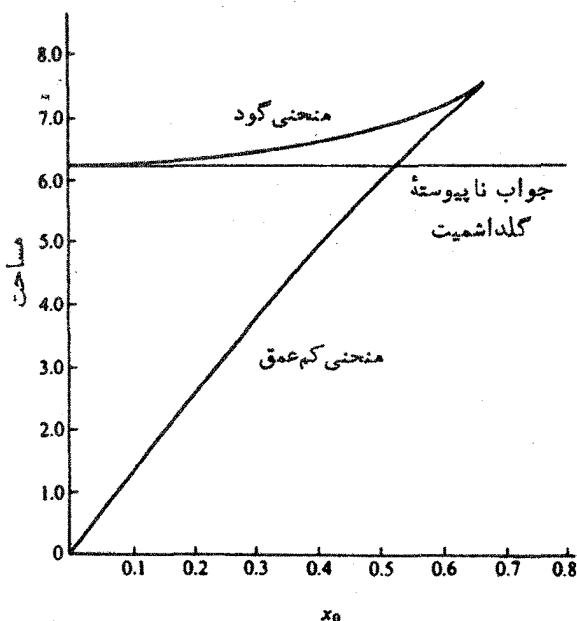
$$c_1 = 0.2350 \rightarrow A = 6.8456$$

$$c_1 = 0.8483 \rightarrow A = 5.9917$$

که نشان می‌دهد جواب اول تنها می‌تواند يك کمینهٔ موضعی باشد. بررسی مشروحتر نشان می‌دهد که این سطح حتی يك کمینهٔ موضعی هم نیست. حساب صابون به ازای  $x_0 = (1/2)$  توسط منحنی صاف زیر توصیف می‌شود

$$y = 0.8483 \cosh\left(\frac{x}{0.8483}\right) \quad (44.17)$$

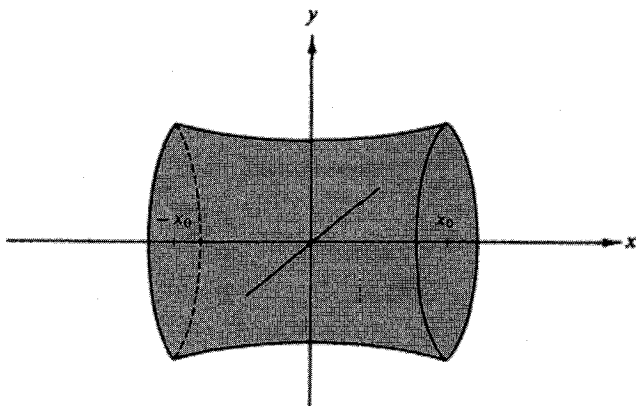
این زنجیره وار (یا زنجیر وار) کم عمق یا صاف به ازای  $0.528 < x_0 \leq 0$  يك کمینهٔ مطلق است. ولی به ازای  $0.6627 < x_0 < 0.528$  مساحت آن بیش از مساحت مربوط به جواب ناپیوستهٔ گلداشمیت (۶۲۸۳۲) بوده و تنها يك کمینهٔ نسبی است (شکل ۵۰۱۷).  
کوران و رایبیز، در خصوص مسائل ریاضی و آزمایشهای مربوط به جابه‌ای صابون بحثی درخشان ارائه می‌کنند.



شکل ۵۰۱۷ مساحت زنجیر وار (حلقه‌های به شعاع واحد در  $x_0 = \pm x$ ).

مسائل

۱۰۲.۱۷ يك حباب صابون در فضای بین دو حلقه به شعاع واحد، عمود بر محور  $x$  با مراکز واقع در  $x_0$  و  $-x_0$ ، روی محور  $x$ ها کشیده شده است. با استفاده از جوابی که در بخش ۲.۱۷ به دست آمد، معادله های غیر جبری مربوط به این شرط را به دست آورید:  $x_0$  چنان باشد که مساحت سطح خمیده دواری را استخراج کنید که با مساحت دو حلقه (جواب ناپیوسته گلداشمیت) برابر باشد. از آنجا  $x_0$  را به دست آورید (شکل ۶.۱۷).



شکل ۶.۱۷ سطح دوار.

۲.۲.۱۷ در مثال ۱۰.۲.۱۷،  $J[y(x, \alpha)] - J[y(x, 0)]$  را بر حسب توانهای  $\alpha$  بسط دهید. جمله خطی بر حسب  $\alpha$ ، به معادله اولر و جواب خط مستقیم معادله (۲۵.۱۷) می انجامد. جمله  $\alpha^2$  را بررسی کنید و نشان دهید که این مقدار پایای  $J$ ، یعنی فاصله روی خط مستقیم، کمینه است.

۳.۲.۱۷ (الف) نشان دهید که انتگرال

$$J = \int_{x_1}^{x_2} f(y, y_x, x) dx$$

به ازای  $y = y(x)$ ، هیچ مقدار فرینی ندارد.

(ب) به ازای  $f(y, y_x, x) = y^2(x)$ ، يك جواب ناپیوسته، شبیه به جواب گلداشمیت برای مسئله حباب صابون، پیدا کنید.

۴.۲.۱۷ بنا بر اصل فرما در نور شناخت هر پرتو نوری مسیری مانند  $y(x)$  را دنبال می کند که برای آن مسیر کمیت

$$\int_{x_1, y_1}^{x_2, y_2} n(y, x) ds$$

کمیته باشد، در اینجا  $n$  ضریب شکست است. مسیر پرتو را به ازای  $y_1 = y_2 = 1$  و برای  $-x_1 = x_2 = 1$

(الف)  $n = e^y$ ، (ب)  $n = a(y - y_0)$ ، را بیاید.

۵۰۲۰۱۷ يك ذره بدون اصطكاك از نقطه  $A$  روی كره زمین، بالغزیدن دريك تونل، به نقطه  $B$  می رود. اگر قرار باشد زمان عبور کمیته باشد، معادلهٔ دیفرانسیلی را بیاید که این کمیته در آن صدق کند.

یادآوری. زمین را کره ای ناچرخان با چگالی یکنواخت بگیرد.

پاسخ. [معادلهٔ (۱۵.۱۷)]  $r_{\varphi\varphi}(r^2 - ra^2) + r_{\varphi}^2(2a^2 - r^2) + a^2r^2 = 0$

$$r(\varphi = \varphi_B) = a, \quad r(\varphi = \varphi_A) = a, \quad r_{\varphi}(\varphi = 0) = 0, \quad r(\varphi = 0) = r,$$

$$r_{\varphi} = \frac{a^2 r^2}{r_0^2} \cdot \frac{r^2 - r_0^2}{a^2 - r^2} \quad \text{[معادلهٔ (۱۸.۱۷)]}$$

جواب این معادله‌ها يك درون چرخزاد است که از طریق غلتیدن دایرهٔ به شعاع  $(1/2)(a - r_0)$  در درون دایرهٔ به شعاع  $a$  ایجاد می شود. خواننده باید نشان دهد که زمان عبور عبارت است از

$$t = \pi \frac{(a^2 - r_0^2)^{1/2}}{(ag)^{1/2}}$$

برای دستیابی به جزئیات به مراجع زیر مراجعه کنید

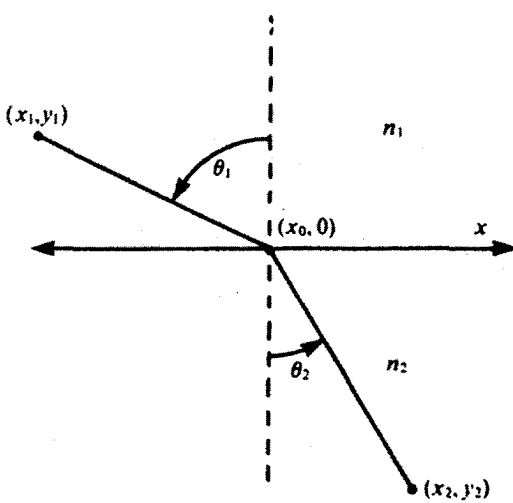
Couper, P. W., *Am. J. Phys.*, 34, 68 (1966); Venezian et al., G., *Am. Phys.* 34, 701-704 (1966).

۶۰۲۰۱۷ پرتوی نوری در يك محیط همگن مسیر راستخطی را طی می کند، سپس در فصل مشترك بایك محیط دوم شکسته می شود و مسیر راستخط دیگری را در این محیط طی می نماید. با استفاده از اصل فرما در نورشناخت قانون شکست اسنل را استخراج کنید

$$n_1 \sin \theta_1 = n_2 \sin \theta_2$$

راهنمایی. نقاط  $(x_1, y_1)$  و  $(x_2, y_2)$  را ثابت فرض کنید و  $x_0$  را تغییر دهید تا در اصل فرما صدق کند (شکل ۷.۱۷). این يك مسئلهٔ اولر نیست (مسیر نور در نقطهٔ  $x_0$  مشتق پذیر نیست).

۷۰۲۰۱۷ پیکر بندی دیگری برای حباب صابون مربوط به حلقه‌های به شعاع واحد در نقاط  $x = \pm x_0$  شامل يك قرص مدور، به شعاع  $a$  در صفحهٔ  $z = 0$ ، و دو زنجیر وار دوار، است که هر يك قرص را به یکی از حلقه‌ها وصل می کند. یکی از این زنجیروارها را می توان با رابطهٔ زیر نمایش داد



شکل ۲.۱۷

$$y = c_1 \cosh\left(\frac{x}{c_1} + c_2\right)$$

(الف) شرایط مرزی در  $x = x_0$  و در  $x$  را اعمال کنید.

(ب) گرچه لازم نیست، ولی بهتر است که فرض کنیم زنجیروارها در محل اتصالشان به قرص مرکزی باهم زاویه  $120^\circ$  می‌سازند. این شرط مرزی سوم را به زبان ریاضی بیان کنید.

(ج) نشان دهید که مساحت کل زنجیروار به اضافه قرص مرکزی برابر است با

$$A = c_1^2 \left[ \sinh\left(\frac{2x_0}{c_1} + 2c_2\right) + \frac{2x_0}{c_1} \right]$$

یادآوردی. اگرچه این پیکربندی حباب صابون عملاً تشکیل می‌شود و پایدار است، ولی مساحت آن از مساحت زنجیروار ساده در همه فاصله‌های ممکن برای تشکیل این زنجیروار بیشتر است.

$$\left. \begin{aligned} 1 &= c_1 \cosh\left(\frac{x_0}{c_1} + c_2\right) \\ a &= c_1 \cosh c_2 \end{aligned} \right\} \text{پاسخ. (الف)}$$

$$\frac{dy}{dx} = \tan 30^\circ = \sinh c_2 \quad (\text{ب})$$

۸۰۲.۱۷ برای حباب صابونی که در مسئله ۷.۲.۱۷ توصیف شد (به صورت عددی) مقدار



بیشینه  $x_0$  را پیدا کنید.

یادآوری. برای این کار به يك کامپیوتر دستی با توابع هذلولوی یا يك جدول کتانزانت هذلولوی (هیپر بوليك) احتیاج دارید.

پاسخ.  $x_{0, \max} = 0.4078$ .

۹.۲.۱۷ ریشه  $px_0 = \coth px_0$  [معادله (۳۹.۱۷)] را بیابید و مقادیر متناظر  $p$  و  $x_0$  [معادله‌های (۴۲ و ۴۱.۱۷)] را تعیین کنید. مقادیر را تا ۵ رقم بامعنی محاسبه کنید. دانهمایی. از یکی از زیر-برنامه‌های ریشه‌یاب که فهرست آنها در پیوست يك آمده است، استفاده کنید.

۱۰.۲.۱۷ برای مسئله حباب صابون دو حلقه‌ای در این بخش،  $x_0$ ،  $p$ ،  $p^{-1}$ ،  $A$  یعنی مساحت حباب صابون را به ازای  $1.35(0.052)(0.050)px_0$  محاسبه و در جدولی درج کنید.

۱۱.۲.۱۷ آن مقدار  $x_0$  را که به ازای آن مساحت حباب صابون، معادله (۴۳.۱۷)، برابر ۲۳۳، یعنی جواب ناپیوسته گلداشمیت است (تا پنج رقم بامعنی) به دست آورید.

پاسخ.  $x_0 = 0.52770$ .

### ۳.۱۷ تعمیمها، چند متغیر وابسته

مسئله وردشی اصلی، معادله (۱.۱۷)، را می‌توان از چند جنبه تعمیم داد. در این بخش، انتگرالده  $f$  را تابعی از چند متغیر وابسته  $y_1(x)$ ،  $y_2(x)$ ،  $y_3(x)$ ، و... در نظر می‌گیریم که جملگی تابع متغیر مستقل  $x$  هستند. در بخش ۴.۱۷،  $f$  بار دیگر تنها شامل يك تابع مجهول  $y$  خواهد بود، ولی  $y$  خود تابع چند متغیر مستقل است (که نسبت به آنها انتگرال می‌گیریم). در بخش ۵.۱۷ این دو تعمیم را ترکیب می‌کنیم. سرانجام در بخش ۷.۱۷ مقدار پایا را يك یا چند قید محدود می‌کند.

معادله (۱.۱۷) برای بیش از يك متغیر وابسته به صورت زیر درمی‌آید

$$J = \int_{x_1}^{x_2} f[y_1(x), y_2(x), \dots, y_n(x), y_{1z}(x), y_{2z}(x), \dots, y_{nz}(x), x] dx \quad (45.17)$$

مقدار فرین  $J$  را، مانند بخش ۱.۱۷، با مقایسه مسیرهای مجاور تعیین می‌کنیم. داریم

$$y_i(x, \alpha) = y_i(x, 0) + \alpha \eta_i(x), \quad i = 1, 2, \dots, n \quad (46.17)$$

که در آن  $\eta_i$ ها از یکدیگر مستقل‌اند، ولی همان محدودیت‌هایی که در بخش ۱.۱۷ آمد بر آنها

حاکم است. بامشتقگیری از معادله (۴۵.۱۷) نسبت به  $\alpha$  و قرار دادن  $\alpha = 0$ ، و با توجه به اینکه معادله (۷.۱۷) هنوز برقرار است، خواهیم داشت

$$\int_{x_1}^{x_2} \sum_i \left( \frac{\partial f}{\partial y_i} \eta_i + \frac{\partial f}{\partial y_{ix}} \eta_{ix} \right) dx = 0 \quad (۴۷.۱۷)$$

شاخص پایین  $x$ ، مشتقگیری نسبت به  $x$  را نشان می‌دهد؛ یعنی  $y_{ix} = dy_i/dx$  و غیره. باز، از هر یک از جملات  $(\partial f / \partial y_{ix}) \eta_{ix}$  به صورت جزء بد جزء انتگرال می‌گیریم. بخش انتگرالگیری شده حذف می‌شود و معادله (۴۷.۱۷) به صورت زیر درمی‌آید

$$\int_{x_1}^{x_2} \sum_i \left( \frac{\partial f}{\partial y_i} - \frac{d}{dx} \frac{\partial f}{\partial y_{ix}} \right) \eta_i dx = 0 \quad (۴۸.۱۷)$$

از آنجا که  $\eta_i$ ها اختیاری و از یکدیگر مستقل‌اند، هر یک از جملات این مجموع باید مستقل صفر شوند. داریم

$$\frac{\partial f}{\partial y_i} - \frac{d}{dx} \frac{\partial f}{\partial (dy_i/dx)} = 0, \quad i = 1, 2, \dots, n \quad (۴۹.۱۷)$$

مجموعه‌ای از معادله‌های اوپلر که باید، برای داشتن مقدار فرین، برقرار باشند.

### اصل هامیلتون

مهمترین کاربرد معادله (۴۵.۱۷) وقتی پیش می‌آید که انتگرالده،  $f$ ، لاگرانژی  $L$  باشد. لاگرانژی بنا بر تعریف عبارت است از اختلاف بین انرژی‌های جنبشی و پتانسیل یک سیستم

$$L \equiv T - V \quad (۵۰.۱۷)$$

در اینجا به جای  $x$ ، از زمان به عنوان متغیر مستقل بهره گرفته‌ایم و  $x_i(t)$ ها متغیرهای وابسته‌اند

$$x \rightarrow t$$

$$y_i \rightarrow x_i(t)$$

$$y_{ix} \rightarrow \dot{x}_i(t)$$

$x_i(t)$  مکان و  $\dot{x}_i = dx_i/dt$  سرعت ذره  $i$ ام، به صورت تابعی از زمان است. معادله  $\delta J = 0$  بیان ریاضی اصل هامیلتون در مکانیک کلاسیک به شمار می‌آید

$$\delta \int_{t_1}^{t_2} L(x_1, x_2, \dots, x_n, \dot{x}_1, \dot{x}_2, \dots, \dot{x}_n; t) dt = 0 \quad (۵۱.۱۷)$$

۱. مثلاً، می‌توانیم قرار دهیم  $\eta_2 = \eta_3 = \eta_4 = \dots = 0$  که همه جملات مجموع جز یکی را حذف می‌کند، آنگاه با  $\eta_1$  درست مانند بخش ۱.۱۷ عمل می‌کنیم.

بنا بر اصل هامیلتون حرکت دستگاه از زمان  $t_1$  تا  $t_2$  به صورتی است که در آن انتگرال لاگرانژی  $L$  دارای یک مقدار پایا باشد. معادله‌های اوایل حاصل را معمولاً معادله‌های حرکت لاگرانژی می‌نامند

$$\frac{d}{dt} \frac{\partial L}{\partial \dot{x}_i} - \frac{\partial L}{\partial x_i} = 0 \quad (52.17)$$

این معادله‌های لاگرانژی را می‌توان از معادله‌های حرکت نیوتون و معادله‌های نیوتون را از معادله‌های لاگرانژی استخراج کرد. این دو مجموعه معادله به یک اندازه بنیادی‌اند.

فرمولبندی لاگرانژی نسبت به قوانین رسمی نیوتون مزیت‌های بارزی دارد. درحالی که معادله‌های نیوتون، معادلاتی برداری‌اند، می‌بینیم که معادله‌های لاگرانژی تنها کمیت‌های نرده‌ای را در برمی‌گیرند. نیازی نیست که مختصات  $x_1, x_2, \dots$  و . . . مجموعه مختصات بخصوصی و یا حتی طول باشند. آنها را می‌توان چنان اختیار کرد که در شرایط فیزیکی مسئله صدق کنند. معادلات لاگرانژی نسبت به انتخاب دستگاه مختصات ناوردایند. معادلات نیوتون (به صورت مؤلفه‌ای) ناوردا نیستند. در مسئله ۱۰.۵.۲ نشان داده‌ایم که اگر  $\mathbf{F} = m\mathbf{a}$  را در مختصات قطبی کروی تجزیه کنیم، چه اتفاقی می‌افتد.

با بهره‌گیری از مفهوم انرژی، به آسانی می‌توان فرمولبندی لاگرانژی را از مکانیک به حوزه‌هایی بسیار متنوع چون شبکه‌های الکتریکی و سیستم‌های آکوستیکی گسترش داد. در طی مسئله‌ها، معادلات لاگرانژی به الکترومغناطیس هم تعمیم پیدا می‌کنند. از این رو، بین زمینه‌های کاملاً مجزای فیزیک وحدتی به وجود می‌آید. در پدید آمدن زمینه‌های جدید، کوانتس در مکانیک ذره‌ای لاگرانژی، مدلی برای کوانتس میدانهای الکترومغناطیسی فراهم کرد که به نظریه نوین الکترودینامیک کوانتومی انجامید.

یکی از بارزترین مزیت‌های اصل هامیلتون - یا فرمولبندی معادله لاگرانژی - سهولت مشاهده رابطه بین تقارن و قانون پایستگی است. مثلاً،  $x_1$  را برابر  $\varphi$ ، زاویه سمتی، بگیرد. اگر لاگرانژی مستقل از  $\varphi$  باشد (یعنی  $\varphi$  مختصه‌ای چشم پوشیدنی باشد) دو پیامد خواهد داشت: (۱) یک تقارن محوری (چرخشی) داریم، و (۲) از معادله (۵۲.۱۷) داریم:  $\partial L / \partial \dot{\varphi} = \text{const.}$  از لحاظ فیزیکی این تعبیر متناظر است با پایستگی یا ناوردایی یک مؤلفه تکانه زاویه‌ای. به همین صورت ناوردایی تحت انتقال به پایستگی تکانه خطی می‌انجامد. «قضیه نودر» عبارت است از تعمیم این ناوردایی (تقارن) یا رابطه قانون پایستگی.

مثال ۱۰.۳.۱۷ ذره متحرک - مختصات دکارتی

معادله (۵۰.۱۷) را در نظر بگیرید که یک ذره را با انرژی جنبشی زیر توصیف می‌کند

$$T = \frac{1}{2} m \dot{x}^2 \quad (53.17)$$

و انرژی پتانسیلش  $V(x)$  است، که در آن، نیرو مطابق معمول از گرا دیان منفی پتانسیل به دست می آید

$$F(x) = -\frac{dV(x)}{dx} \quad (۵۴.۱۷)$$

با استفاده از معادله (۵۴.۱۷) داریم

$$\frac{d}{dt}(m\dot{x}) - \frac{\partial(-V)}{\partial x} = m\ddot{x} - F(x) = 0 \quad (۵۵.۱۷)$$

که همان قانون دوم نیوتون است.

مثال ۲۰۳.۱۷ ذره متحرك - مختصات استوانه‌ای

اکنون حرکت ذره‌ای را توصیف می‌کنیم که در صفحه  $(z=0)$  مختصات استوانه‌ای حرکت می‌کند. انرژی جنبشی عبارت است از

$$T = \frac{1}{2}m(\dot{x}^2 + \dot{y}^2) = \frac{1}{2}m(\dot{\rho}^2 + \rho^2\dot{\phi}^2) \quad (۵۶.۱۷)$$

و  $V$  را صفر می‌گیریم.

تبدیل  $\dot{x}^2 + \dot{y}^2$  به مختصات استوانه‌ای را می‌شد با استفاده از معادله (۲۸.۲) برای  $x(\rho, \phi)$  و  $y(\rho, \phi)$ ، و مشتقگیری نسبت به زمان و مربع کردن آن انجام داد. ولی اگر  $\dot{x}^2 + \dot{y}^2$  را به صورت  $v^2$  تعبیر کنیم و مؤلفه‌های  $v$  را به صورت  $\rho_0 \dot{\rho} = \rho_0(ds_\rho/dt)$  و غیره بنویسیم، این کار بسیار آسانتر خواهد بود  $(ds_\rho)$ ، افزایش طول است وقتی که  $\rho$  به اندازه  $d\rho$  تغییر کند و  $\phi$  ثابت بماند. به بخشهای ۱۰.۲ و ۴.۲ مراجعه کنید).  
از معادله لاگرانژ داریم

$$\frac{d}{dt}(m\dot{\rho}) - m\rho\dot{\phi}^2 = 0 \quad (۵۷.۱۷)$$

$$\frac{d}{dt}(m\rho^2\dot{\phi}) = 0$$

معادله دوم بیان ساده پایستگی تکانه زاویه‌ای است. معادله اول را می‌توان به این صورت تعبیر کرد که شتاب شعاعی<sup>۱</sup> را با نیروی مرکزگرایز مرتبط می‌کند. نیروی مرکزگرایز از این نظر یک نیروی واقعی است. جالب توجه است که نظریه نسبیت عام نیز مؤید این تعبیر نیروی مرکزگرایز به عنوان یک نیروی واقعی است.

۱. این روش دیگری است برای حل مسئله ۸.۴.۲.

مسائل

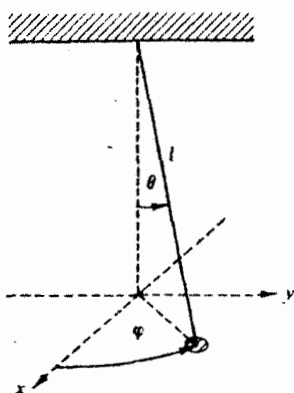
۱۰۳۰۱۷ (الف) معادله‌های حرکت متناظر با  $L = \frac{1}{\gamma} m(\dot{x}^2 + \dot{y}^2)$  را بنویسید.

(ب) اینکه جواب شما انتگرال  $\int_{t_1}^{t_2} L dt$  را کمینه می‌کند، چه مفهومی دارد؟ نتیجه‌ای را که به دست می‌آورید با  $x = \text{const.}$  و  $y = \text{const.}$  مقایسه کنید.

۲۰۳۰۱۷ با استفاده از معادله‌های لاگرانژی حرکت، معادله (۵۲.۱۷)، نشان دهید که انرژی پتانسیل سیستمی که در تعادل پایدار باشد، کمینه است.

۳۰۳۰۱۷ معادلات لاگرانژی حرکت مربوط به یک ذره در مختصات کروی را برای پتانسیل ثابت  $V$  بنویسید. جملات متناظر با: (الف) نیروی مرکز گریز، و (ب) نیروی کوریولیس را مشخص کنید.

۴۰۳۰۱۷ آونگ کروی شامل جرمی است که به انتهای سیمی به طول  $l$  بسته شده و می‌تواند آزادانه زاویه قطبی  $\theta$  و زاویه سمتی  $\varphi$  خود را تغییر دهد (شکل ۸.۱۷).  
 (الف) لاگرانژی این سیستم فیزیکی را بنویسید.  
 (ب) معادله‌های لاگرانژی حرکت را پیدا کنید.



شکل ۸.۱۷ آونگ کروی.

۵۰۳۰۱۷ نشان دهید که لاگرانژی

$$L = m_0 c^2 (1 - \sqrt{1 - v^2/c^2}) - V(\mathbf{r})$$

به شکل نسبیتی قانون دوم حرکت نیوتون، به قرار زیر، می‌انجامد

$$\frac{d}{dt} \left( \frac{m_0 v_i}{\sqrt{1 - v^2/c^2}} \right) = F_i$$

که در آن  $F_i = -\partial V / \partial x_i$ .

۶.۳.۱۷ لاگرانژی مربوط به ذره‌ای با بار  $q$  در يك میدان الکترومغناطیسی که با پتانسیل نرده‌ای  $\varphi$  و پتانسیل برداری  $\mathbf{A}$  توصیف می‌شود، عبارت است از

$$L = \frac{1}{2} m v^2 - q\varphi + q \mathbf{A} \cdot \mathbf{v}$$

معادله حرکت این ذره باردار را پیدا کنید.

دانهمایی.  $\frac{d}{dt} A_j = \frac{\partial A_j}{\partial t} + \sum_i \frac{\partial A_j}{\partial x_i} \dot{x}_i$ . وابستگی میدانهای نیروی  $\mathbf{E}$  و  $\mathbf{B}$

به پتانسیلهای  $\varphi$  و  $\mathbf{A}$  در بخش ۱۳.۱ آمده است (بامسئله ۱۰.۱۳.۱ مقایسه کنید).

پاسخ.  $m\ddot{x}_i = q[\mathbf{E} + \mathbf{v} \times \mathbf{B}]_i$ .

۷.۳.۱۷ سیستمی را در نظر بگیرید که لاگرانژی آن از رابطه زیر به دست می‌آید

$$L(q_i, \dot{q}_i) = T(q_i, \dot{q}_i) - V(q_i)$$

که در آن  $q_i$  و  $\dot{q}_i$  مجموعه‌هایی از متغیرها را نمایش می‌دهند. انرژی پتانسیل  $V$  از سرعت مستقل است و  $T$  و  $V$  هیچیک وابستگی زمانی صریحی ندارند.  
(الف) نشان دهید که

$$\frac{d}{dt} \left( \sum_j \dot{q}_j \frac{\partial L}{\partial \dot{q}_j} - L \right) = 0$$

(ب) کمیت ثابت

$$\sum_j \dot{q}_j \frac{\partial L}{\partial \dot{q}_j} - L$$

هایملتون،  $H$ ، را تعریف می‌کند. نشان دهید که در شرایط مفروض در بند (الف)،

$H = T + V$ ، یعنی  $H$  برابر است با انرژی کل.

یادآوردی. انرژی جنبشی،  $T$ ، تابع درجه دومی از  $\dot{q}_i$  هاست.

### ۴.۱۷ چند متغیر مستقل

گاهی  $f$ ، انتگرالده معادله (۱.۱۷)، شامل يك تابع نامعلوم  $u$  است که تابعی از چند متغیر مستقل،  $u = u(x, y, z)$ ، برای حالت سه بعدی، به‌شمار می‌آید. معادله (۱.۱۷) بدصورت زیر درمی‌آید

$$J = \iiint f[u, u_x, u_y, u_z, x, y, z] dx dy dz \quad (58.17)$$

که در آن  $u_x = \partial u / \partial x$  و غیره. مسئلهٔ وردشی عبارت است از یافتن تابع  $u(x, y, z)$  که در آن  $J$  پایا باشد

$$\delta J = \alpha \left. \frac{\partial J}{\partial \alpha} \right|_{\alpha=0} = 0 \quad (59.18)$$

با تعمیم بخش ۱۰.۱۷، قرار می‌دهیم

$$u(x, y, z, \alpha) = u(x, y, z, 0) + \alpha \eta(x, y, z) \quad (60.17)$$

$u(x, y, z, \alpha = 0)$  تابعی (نامعلوم) را نمایش می‌دهد که معادلهٔ (۵۹.۱۷) به‌ازای آن برقرار می‌ماند، در حالی که  $\eta(x, y, z)$  در اینجا نیز انحرافی اختیاری را نشان می‌دهد که تابع وردش یافتهٔ  $u(x, y, z, \alpha)$  را توصیف می‌کند. این انحراف  $\eta(x, y, z)$  باید مشتق‌پذیر باشد و در نقاط انتهایی صفر شود. در این صورت از معادلهٔ (۶۰.۱۷) داریم

$$u_x(x, y, z, \alpha) = u_x(x, y, z, 0) + \alpha \eta_x \quad (61.17)$$

و به همین ترتیب برای  $u_y$  و  $u_z$ .

با مشتق‌گیری از انتگرال [معادلهٔ (۵۸.۱۷)] نسبت به پارامتر  $\alpha$ ، و سپس قرار دادن  $\alpha = 0$  داریم

$$\frac{\delta J}{\delta \alpha}_{\alpha=0} = \iiint \left( \frac{\partial f}{\partial u} \eta + \frac{\partial f}{\partial u_x} \eta_x + \frac{\partial f}{\partial u_y} \eta_y + \frac{\partial f}{\partial u_z} \eta_z \right) dx dy dz = 0 \quad (62.17)$$

در اینجا نیز، از هر یک از جملات  $(\partial f / \partial u_i) \eta_i$  انتگرال جزء به جزء می‌گیریم. جزء انتگرال‌گیری شده در نقاط انتهایی صفر می‌شود (زیرا انحراف،  $\eta$ ، باید در نقاط انتهایی صفر شود) و

$$\iiint \left( \frac{\partial f}{\partial u} - \frac{\partial}{\partial x} \frac{\partial f}{\partial u_x} - \frac{\partial}{\partial y} \frac{\partial f}{\partial u_y} - \frac{\partial}{\partial z} \frac{\partial f}{\partial u_z} \right) \eta(x, y, z) dx dy dz = 0 \quad (63.17)$$

۱. باز باید مفهوم دقیق مشتقات جزئی را کاملاً درک کرد. مخصوصاً در معادلهٔ (۶۳.۱۷)،  $\partial / \partial x$  از این نظر که در آن  $y$  و  $z$  ثابت‌اند، یک مشتق جزئی است، ولی از این نظر که هم‌روی وابستگی ضمنی به  $x$  عمل می‌کند و هم‌روی وابستگی صریح به  $x$ ، یک مشتق کامل است. یعنی

$$\frac{\partial}{\partial x} \left( \frac{\partial f}{\partial u_x} \right) = \frac{\partial^2 f}{\partial x \partial u_x} + \frac{\partial^2 f}{\partial u \partial u_x} u_x + \frac{\partial^2 f}{\partial u_x^2} u_{xx} + \frac{\partial^2 f}{\partial u_y \partial u_x} u_{xy} + \frac{\partial^2 f}{\partial u_z \partial u_x} u_{xz}$$

از آنجا که وردش  $\eta(x, y, z)$  اختیاری است، جمله واقع در پرانتز بزرگ باید صفر باشد. این عبارت، معادلهٔ اولر برای (سه) متغیر مستقل را می‌دهد

$$\frac{\partial f}{\partial u} - \frac{\partial}{\partial x} \frac{\partial f}{\partial u_x} - \frac{\partial}{\partial y} \frac{\partial f}{\partial u_y} - \frac{\partial}{\partial z} \frac{\partial f}{\partial u_z} = 0 \quad (۶۴.۱۷)$$

مثال ۱۰۴.۱۷ معادلهٔ لاپلاس

مبحث الکتروستاتیک، نمونه‌ای از این مسئلهٔ وردشی را ارائه می‌کند. انرژی میدان الکتروستاتیکی عبارت است از

$$\text{چگالی انرژی} = \frac{1}{4} \varepsilon E^2 \quad (۶۵.۱۷)$$

که در آن  $\mathbf{E}$  میدان متداول نیروی الکتروستاتیکی به‌شمار می‌آید. بر حسب پتانسیل ایستای  $\varphi$  داریم

$$\text{چگالی انرژی} = \frac{1}{4} \varepsilon (\nabla \varphi)^2 \quad (۶۶.۱۷)$$

حال این شرط را برقرار می‌کنیم که انرژی الکتروستاتیکی (مربوط به میدان) در یک حجم معین کمینه است (شرایط مرزی روی  $\mathbf{E}$  و  $\varphi$  را نیز باید برقرار کرد). انتگرال حجمی زیر را داریم<sup>۱</sup>

$$J = \iiint (\nabla \varphi)^2 dx dy dz \quad (۶۷.۱۷)$$

$$= \iiint (\varphi_x^2 + \varphi_y^2 + \varphi_z^2) dx dy dz$$

باتابع

$$f(\varphi, \varphi_x, \varphi_y, \varphi_z, x, y, z) = \varphi_x^2 + \varphi_y^2 + \varphi_z^2 \quad (۶۸.۱۷)$$

که در آن تابع  $\varphi$  به جای  $u$  در معادلهٔ (۶۴.۱۷) قرار گرفته است، معادلهٔ اولر [معادلهٔ (۶۶.۱۷)] به صورت زیر درمی‌آید

$$-2(\varphi_{xx} + \varphi_{yy} + \varphi_{zz}) = 0 \quad (۶۹.۱۷)$$

۱. به‌خاطر داشته باشید که شاخص پایین  $x$  مشتق جزئی نسبت به  $x$  را نشان می‌دهد، نه یکی از مؤلفه‌های  $x$  را.



یا

$$\nabla^2 \varphi(x, y, z) = 0 \quad (۷۰.۱۷)$$

که همان معادله لاپلاس در الکتروستاتیک است. با بررسی دقیقتری پی می‌بریم که این مقدار پایا در واقع یک کمینه است. بنا بر این شرط کمینه بودن انرژی میدان به معادله لاپلاس می‌انجامد.

مسائل

۱۰۴.۱۷ لاگرانژی یک ریسمان مرتعش (ارتعاشهای کم دامنه) عبارت است از

$$L = \int \left( \frac{1}{2} \rho u_t^2 - \frac{1}{2} \tau u_x^2 \right) dx$$

که در آن  $\rho$  چگالی خطی (ثابت) جرم و  $\tau$  کشش (ثابت) است. انتگرالگیری نسبت به  $x$  روی طول ریسمان صورت می‌گیرد. نشان دهید که به کار بستن اصل هامیلتون درباره چگالی لاگرانژی (انتگرالده)، که در اینجا دو متغیر مستقل دارد، به معادله کلاسیکی موج منجر می‌شود، یعنی

$$\frac{\partial^2 u}{\partial x^2} = \frac{\rho}{\tau} \frac{\partial^2 u}{\partial t^2}$$

۲۰۴.۱۷ نشان دهید که مقدار پایای انرژی کل میدان الکتروستاتیکی در مثال ۱۰۴.۱۷ یک کمینه است.

دانهمایی. از معادله (۶۱.۱۷) استفاده و جمله  $\alpha^2$  را بررسی کنید.

۵.۱۷ بیش از یک متغیر وابسته، بیش از یک متغیر مستقل

در مواردی، انتگرالده  $f$  شامل بیش از یک متغیر وابسته و بیش از یک متغیر مستقل است. فرض کنید که

$$f = f[p(x, y, z), p_x, p_y, p_z, q(x, y, z), q_x, q_y, q_z, r(x, y, z), r_x, r_y, r_z, x, y, z] \quad (۷۱.۱۷)$$

مانند قبل بررسی خود را با توابع زیر شروع می‌کنیم

$$p(x, y, z, \alpha) = p(x, y, z, 0) + \alpha \xi(x, y, z)$$

$$q(x, y, z, \alpha) = q(x, y, z, 0) + \alpha \eta(x, y, z) \quad (۷۲.۱۷)$$

$$r(x, y, z, \alpha) = r(x, y, z, 0) + \alpha \zeta(x, y, z), 0$$

با در نظر داشتن این نکته که  $\xi, \eta$ ، و  $\zeta$  از هم مستقل اند (همان طور که  $\eta_i$ ها در بخش ۳۰۱۷ مستقل بودند)، مشتقگیری و سپس انتگرالگیری جزء به جزء بمعادله

$$\frac{\partial f}{\partial p} - \frac{\partial}{\partial x} \frac{\partial f}{\partial p_x} - \frac{\partial}{\partial y} \frac{\partial f}{\partial p_y} - \frac{\partial}{\partial z} \frac{\partial f}{\partial p_z} = 0 \quad (۷۳.۱۷)$$

و معادله‌های مشابهی برای تابعهای  $q$  و  $r$  می‌انجامد. با نشان دادن  $y_i$  به جای  $p, q, r, \dots$  و نشان دادن  $x_j$  به جای  $x, y, z, \dots$  می‌توانیم معادله (۷۳.۱۷) را به صورت فشرده زیر بنویسیم

$$\frac{\partial f}{\partial y_i} - \sum_j \frac{\partial}{\partial x_j} \left( \frac{\partial f}{\partial y_{ij}} \right) = 0, \quad i = 1, 2, \dots \quad (\text{الف } ۷۳.۱۷)$$

که در آن

$$y_{ij} \equiv \frac{\partial y_i}{\partial x_j}$$

کار بردی از معادله (۷۳.۱۷) در بخش ۷.۱۷ پدیدار می‌شود.

### ارتباط با فیزیک

حساب بردشها به صورتی که تا اینجا عنوان کردیم، برای توصیف پدیده‌های فیزیکی گوناگون، مناسب و شاید هم بسی برارنده است. این پدیده‌ها شامل مکانیک معمولی، بخش ۳.۱۷؛ مکانیک نسبیتی، مسئله ۵.۳.۱۷؛ الکتروستاتیک، مثال ۱.۴.۱۷؛ و نظریه الکترومغناطیس در مسئله ۱.۵.۱۷ است. این تناسب و برارندگی را نباید دست کم گرفت، ولی در ضمن دانشجو باید بداند که در مواردی که بر شمریم، حساب بردشها، تنها آنچه را که قبلاً معلوم بوده به صورت دیگری توصیف کرده است. یعنی فیزیک جدیدی ارائه نکرده است.

برای نظریه‌های ناکامل و تفکر برانگیز نوین فیزیک میدانها و ذرات، اوضاع و احوال طور دیگری است. در اینجا اساس فیزیک هنوز هم ناشناخته است و اصول بردشی اصل موضوعی می‌توانند در این زمینه نقطه شروع مناسبی باشند.

### مسائل

۱۰۵.۱۷ لاگرانژی (به ازای واحد حجم) مربوط به میدان الکترومغناطیسی با یک چگالی بار  $\rho$  از رابطه زیر به دست می‌آید

$$L = \frac{1}{4} \left( \epsilon_0 E^2 - \frac{B^2}{\mu_0} \right) - \rho\phi + \rho v \cdot A$$

نشان دهید که معادله‌های لاگرانژ دو معادله از معادلات ماکسول را به دست می‌دهد (دو معادله دیگر بیامد تعریف  $E$  و  $B$  بر حسب  $A$  و  $\varphi$  هستند). این چگالی لاگرانژی از یک عبارت نرده‌ای در بخش ۷.۳ به دست می‌آید.

دانه‌هایی.  $A_1, A_2, A_3$  و  $\varphi$  را متغیرهای وابسته  $x, y, z$  و  $t$  را متغیرهای مستقل بگیرد.  $E$  و  $B$  به کمک معادله (۱۰۴.۳) بر حسب  $A$  و  $\varphi$  داده می‌شوند.

### ۶.۱۷ مضربهای لاگرانژی

در این بخش با مفهوم قید آشنا می‌شویم. برای آنکه نحوه عمل ساده‌تر باشد، به جای آنکه قید را به صورت انتگرالی در نظر بگیریم، به صورت یک تابع ساده می‌بنداریم، در این بخش حساب وردشها مدنظر نیست، ولی در بخش ۷.۱۷، قیده‌ها با مضربهای لاگرانژی نو بنیاد ما در حساب وردشها وارد می‌شوند.

تابعی از سه متغیر مستقل  $f(x, y, z)$  در نظر بگیرید. برای آنکه تابع  $f$  بیشینه (یا فرین) شود، باید

$$df = 0 \quad (74.17)$$

شرط لازم و کافی برای داشتن این مقدار آن است که

$$\frac{\partial f}{\partial x} = \frac{\partial f}{\partial y} = \frac{\partial f}{\partial z} = 0 \quad (75.17)$$

که در آن

$$df = \frac{\partial f}{\partial x} dx + \frac{\partial f}{\partial y} dy + \frac{\partial f}{\partial z} dz \quad (76.17)$$

در مسائل فیزیکی غالباً بر متغیرهای  $x, y, z$  قیدهایی حاکم است، به طوری که این متغیرها دیگر مستقل از هم نیستند. می‌توان، دست کم در اصل، از هر قید برای حذف یک متغیر استفاده کرد و سپس به حل مسئله با مجموعه جدید و کوچکتری از متغیرهای مستقل پرداخت. استفاده از مضارب لاگرانژی، تکنیک دیگری است که هر وقت این روش حذف متغیرها مناسب یا مطلوب نباشد می‌توان آن را به کار برد. معادله قید را به این صورت بگیرد

$$\varphi(x, y, z) = 0 \quad (77.17)$$

از این معادله داریم

$$d\varphi = \frac{\partial \varphi}{\partial x} dx + \frac{\partial \varphi}{\partial y} dy + \frac{\partial \varphi}{\partial z} dz = 0 \quad (78.17)$$

به معادله (۷۴.۱۷) بازمی گردیم و می بینیم که دیگر معادله (۷۵.۱۷) را نخواهیم داشت، زیرا اکنون دیگر فقط دو متغیر مستقل داریم. اگر این دو متغیر مستقل را  $x$  و  $y$  بگیریم، دیگر اختیاری نیست. اگر دو معادله (۷۶.۱۷) و (۷۸.۱۷) را باهم جمع کنیم، خواهیم داشت

$$df + \lambda d\varphi = \left( \frac{\partial f}{\partial x} + \lambda \frac{\partial \varphi}{\partial x} \right) dx + \left( \frac{\partial f}{\partial y} + \lambda \frac{\partial \varphi}{\partial y} \right) dy + \left( \frac{\partial f}{\partial z} + \lambda \frac{\partial \varphi}{\partial z} \right) dz = 0 \quad (79.17)$$

مضرب لاگرانژی  $\lambda$  را، با فرض  $\partial \varphi / \partial z \neq 0$ ، چنان اختیاری کنیم که

$$\frac{\partial f}{\partial z} + \lambda \frac{\partial \varphi}{\partial z} = 0 \quad (80.17)$$

اینک معادله (۷۹.۱۷) به صورت زیر درمی آید

$$\left( \frac{\partial f}{\partial x} + \lambda \frac{\partial \varphi}{\partial x} \right) dx + \left( \frac{\partial f}{\partial y} + \lambda \frac{\partial \varphi}{\partial y} \right) dy = 0 \quad (81.17)$$

ولی  $dx$  و  $dy$  را اختیاری گرفتیم، پس باید کمیت‌های داخل پرانتزها صفر شوند، یعنی

$$\frac{\partial f}{\partial x} + \lambda \frac{\partial \varphi}{\partial x} = 0$$

(۸۲.۱۷)

$$\frac{\partial f}{\partial y} + \lambda \frac{\partial \varphi}{\partial y} = 0$$

هرگاه معادله‌های (۸۰.۱۷) و (۸۲.۱۷) برقرار باشند،  $df = 0$  و  $f$  فرین است. دقت کنید که اکنون چهار مجهول داریم:  $x$ ،  $y$ ،  $z$ ، و  $\lambda$ . روشن است که از معادله قید (۷۷.۱۷) می‌توان به عنوان معادله چهارم استفاده کرد. در واقع ما تنها به  $x$ ،  $y$ ، و  $z$  نیاز داریم؛ نیازی نیست که  $\lambda$  را تعیین کنیم. به همین دلیل  $\lambda$  را گاهی مضرب نامعین لاگرانژی می‌نامند. اگر همه ضریبهای  $\lambda$  در نقطه فرین صفر شوند، یعنی  $\partial \varphi / \partial x = 0$ ،  $\partial \varphi / \partial y = 0$ ،  $\partial \varphi / \partial z = 0$ ، این روش موفقیت آمیز نخواهد بود و  $\lambda$  را دیگر نمی‌توان محاسبه کرد.

ممکن است خواننده پی برده باشد که با توجه به شکل معادله‌های (۸۰.۱۷) و (۸۲.۱۷) می‌توانیم  $f$  را تابعی بگیریم که تحت قید  $\varphi$  یک مقدار فرین پیدا می‌کند و یا  $f$  را قید و  $\varphi$  را تابع بگیریم.

اگر مجموعه‌ای از قیدها،  $\varphi_k$ ، داشته باشیم، در این صورت معادله‌های (۸۵.۱۷) و (۸۲.۱۷) به صورت زیر درمی‌آیند

$$\frac{\partial f}{\partial x_i} + \sum_k \lambda_k \frac{\partial \varphi_k}{\partial x_i} = 0, \quad i = 1, 2, \dots, n$$

و به ازای هر قید  $\varphi_k$  يك مضرب لاگرانژی جداگانه  $\lambda_k$  خواهیم داشت.

مثال ۱.۶.۱۷ ذره در يك جعبه

به عنوان مثالی از کاربردهای مضارب لاگرانژی، مسئله کوانتوم مکانیکی ذره‌ای (به جرم  $m$ ) در يك جعبه را در نظر بگیرید. جعبه به شکل متوازی السطوحی قائم با یالهای  $a$ ،  $b$ ، و  $c$  است. انرژی حالت پایه ذره از رابطه زیر به دست می‌آید

$$E = \frac{h^2}{\lambda m} \left( \frac{1}{a^2} + \frac{1}{b^2} + \frac{1}{c^2} \right) \quad (۸۳.۱۷)$$

می‌خواهیم ببینیم با این قید که حجم جعبه ثابت باشد، یعنی

$$V(a, b, c) = abc = k \quad (۸۴.۱۷)$$

شکل جعبه چگونه باشد تا انرژی  $E$  کمینه شود.

بنابراین  $f(a, b, c) = E(a, b, c)$  و  $\varphi(a, b, c) = abc - k = 0$  داریم

$$\frac{\partial E}{\partial a} + \lambda \frac{\partial V}{\partial a} = -\frac{h^2}{\varphi m a^3} + \lambda bc = 0 \quad (۸۵.۱۷)$$

همچنین

$$-\frac{h^2}{\varphi m b^3} + \lambda ac = 0$$

$$-\frac{h^2}{\varphi m c^3} + \lambda ab = 0$$

عبارت اول را  $a$ ، دومی را  $b$ ، و سومی را  $c$  در ضرب می‌کنیم، و داریم

$$\lambda abc = \frac{h^2}{\varphi m a^2} = \frac{h^2}{\varphi m b^2} = \frac{h^2}{\varphi m c^2} \quad (۸۶.۱۷)$$

بنابراین پاسخ ما چنین خواهد بود

$$a = b = c \quad \text{يك مكعب} \quad (۸۷.۱۷)$$

توجه کنید که  $\lambda$  تعیین نشده است، و به صورت يك مضرب نامعین باقی می ماند.

مثال ۲۰۶۰۱۷ رآکتور هسته ای استوانه ای

در نظریه رآکتور هسته ای به مثال دیگری از کاربرد مضرب لاگرانژی برمی خوریم. فرض کنید که قرار باشد يك رآکتور هسته ای (گرمایی) به شکل استوانه قائم دواری به شعاع  $R$  و ارتفاع  $H$  باشد. نظریه پخش نوترونها قید زیر را ایجاب می کند<sup>۱</sup>

$$\varphi(R, H) = \left( \frac{234048}{R} \right)^2 + \left( \frac{\pi}{H} \right)^2 = \text{const.} \quad (88.17)$$

می خواهیم حجم این رآکتور را که به قرار زیر است، کمینه کنیم

$$f(R, H) = \pi R^2 H \quad (89.17)$$

با بهره گیری از معادله (۸۲.۱۷) خواهیم داشت

$$\frac{\partial f}{\partial R} + \lambda \frac{\partial \varphi}{\partial R} = 2\pi R H - 2\lambda \frac{(234048)^2}{R^3} = 0 \quad (90.17)$$

$$\frac{\partial f}{\partial H} + \lambda \frac{\partial \varphi}{\partial H} = \pi R^2 - 2\lambda \frac{\pi^2}{H^3} = 0$$

معادله اول را در  $R/2$  و دومی را در  $H$  ضرب می کنیم، و داریم

$$\pi R^2 H = \lambda \frac{(234048)^2}{R^2} = \lambda \frac{2\pi^2}{H^3} \quad (91.17)$$

یا کمینه حجم رآکتوری به شکل استوانه قائم دوار عبارت است از

$$H = \frac{\sqrt{2\pi R}}{234048} = 1.847R \quad (92.17)$$

به عبارت دقیقتر، ماتنها يك نقطه فرین را یافته ایم. تعیین هویت آن به عنوان يك کمینه از طریق بررسی معادله های اصلی صورت می گیرد.

## مسائل

مسائل زیر را با استفاده از مضربهای لاگرانژی حل کنید.

۱. ۲۳۴۰۴۸ کوچکترین ریشه تابع بسل  $J_0(R)$  است (باپخش ۱.۱۱ مقایسه کنید).

۱۰۶۰۱۷ انرژی حالت پایه يك ذره در جعبه‌ای به شکل استوانه قائم دوار از رابطه زیر به دست می‌آید

$$E = \frac{\hbar^2}{2m} \left( \frac{(2.74048)^2}{R^2} + \frac{\pi^2}{H^2} \right)$$

که در آن  $R$  شعاع و  $H$  ارتفاع استوانه است. نسبت  $R$  به  $H$  را چنان بیابید که به ازای يك حجم ثابت انرژی کمینه شود.

۲۰۶۰۱۷ برای استوانه قائم دوار با حجم ثابت، نسبت  $R$  (شعاع) به  $H$  (ارتفاع) را چنان پیدا کنید که مساحت سطح کل آن کمینه شود.

۳۰۶۰۱۷ اداره پست امریکا ارسال سریع بسته‌های پستی به کانادا را منحصر به بسته‌هایی می‌کند که ارتفاع آنها به اضافه محیط قاعده‌شان برابر ۳۶ اینچ باشد. با استفاده از مضرب لاگرانژی، بیشینه حجم و ابعاد يك بسته (به شکل متوازی‌السطوح قائم) را، تحت این قید، پیدا کنید.

۴۰۶۰۱۷ يك رآکتور هسته‌ای گرمایی تحت قید زیر قرار دارد

$$\varphi(a, b, c) = \left(\frac{\pi}{a}\right)^2 + \left(\frac{\pi}{b}\right)^2 + \left(\frac{\pi}{c}\right)^2 = B^2, \quad \text{مقداری ثابت}$$

نسبت اضلاع يك رآکتور به شکل متوازی‌السطوح قائم با حجم کمینه را به دست آورید.  
پاسخ. يك مکعب  $a=b=c$ .

۵۰۶۰۱۷ برای عدسی ساده‌ای با فاصله کانونی  $f$ ، فاصله تا شیء  $p$ ، و فاصله تا تصویر  $q$ ، از طریق رابطه  $1/p + 1/q = 1/f$  با یکدیگر مربوط می‌شوند.  
مقدار کمینه فاصله شیء تا تصویر  $(p+q)$  را به ازای مقدار ثابت  $f$  پیدا کنید (شیء و تصویر را حقیقی بگیرد؛  $p$  و  $q$  هر دو مثبت اند).

۶۰۶۰۱۷ يك بیضی به معادله  $(x/a)^2 + (y/b)^2 = 1$  در اختیار داریم. مستطیل محاطی آن با حداکثر مساحت را تعیین کنید. نشان دهید که نسبت بیشینه مساحت مستطیل به مساحت بیضی برابر است با:  $2/\pi = 0.6366$ .

۷۰۶۰۱۷ متوازی‌السطوح راستگوشه‌ای درون بیضی‌واری با نیم‌محورهای  $a$ ،  $b$ ، و  $c$  محاط شده است. بیشینه حجم این متوازی‌السطوح محاطی را به دست آورید. نشان دهید که نسبت حجم بیشینه به حجم بیضی‌وار برابر است با:  $2/\pi\sqrt{3} \approx 0.368$ .

۸.۶.۱۷ شعاع يك كره قنبييرشكل يافته از رابطه زير به دست مي آيد

$$r = r_0 \{ \alpha_0 + \alpha_r P_r(\cos \theta) \}$$

که در آن  $\alpha_0 \approx 1$  و  $\alpha_r \approx 0$ . با استفاده از مسئله ۴.۵.۱۲ مساحت و حجم اين کره عبارت اند از:

$$A = 4\pi r_0^2 \alpha_0^2 \left\{ 1 + \frac{2}{5} \left( \frac{\alpha_r}{\alpha_0} \right)^2 \right\}$$

$$V = \frac{4\pi r_0^3}{3} \alpha_0^3 \left\{ 1 + \frac{3}{5} \left( \frac{\alpha_r}{\alpha_0} \right)^2 \right\}$$

از جمله های با مرتبه  $\alpha_r^2$  صرف نظر شده است.

(الف) با اين قيد که حجم ثابت باشد، يعني  $V = \frac{4\pi r_0^3}{3}$ ، نشان دهيد که سطح مرزی

با کمترین مساحت يك کره است (يعنی  $\alpha_r = 0$  و  $\alpha_0 = 1$ ).

(ب) با اين قيد که مساحت سطح مرزی ثابت باشد، يعني  $A = 4\pi r_0^2$ ، نشان دهيد که

حجم وقتی بیشینه است که سطح به صورت کره باشد.

۹.۶.۱۷ مقدار بیشینه مشتق جهتی  $\varphi(x, y, z)$ ، يعني

$$\frac{d\varphi}{ds} = \frac{\partial \varphi}{\partial x} \cos \alpha + \frac{\partial \varphi}{\partial y} \cos \beta + \frac{\partial \varphi}{\partial z} \cos \gamma$$

را تحت قيد زير به دست آوريد

$$\cos^2 \alpha + \cos^2 \beta + \cos^2 \gamma = 1$$

$$\left( \frac{d\varphi}{ds} \right) = |\nabla \varphi|. \text{ پاسخ}$$

در مسائل زير به اين نکات توجه کنید:

در يك سيستم کوانتوم مکانیکی، بين انرژیهای  $E_i$  و  $E_i + dE_i$ ، تعداد  $n_i$  حالات کوانتومی متمایز وجود دارد. مسئله عبارت است از اینکه چگونه  $n_i$  ذره تحت دو قيد زير بين اين حالتها توزيع می شوند:

(الف) تعداد ثابت ذره ها

$$\sum_i n_i = n$$

(ب) انرژی کل ثابت

$$\sum_i n_i E_i = E$$



۱۰۶.۱۷ برای ذره‌های همسانی که از اصل طرد پاؤلی پیروی می‌کنند، احتمال يك ترتيب معين برابر است با

$$W_{FD} = \prod_i \frac{g_i!}{n_i!(g_i - n_i)!}$$

نشان دهید که بیشینه کردن  $W_{FD}$  تحت این قید که تعداد ذره‌ها و انرژی کل آنها ثابت باشد، به رابطه زیر می‌انجامد

$$n_i = \frac{g_i}{e^{\lambda_1 + \lambda_2 \epsilon_i} + 1}$$

با  $\lambda_1 = -E_0/kT$  و  $\lambda_2 = 1/kT$ ، این رابطه آمار فرمی-دیراک را به دست می‌دهد. راهنمایی.  $\ln W$  را محاسبه کنید و از فرمول استرلینگ، بخش ۳.۱۵، استفاده کنید. مشتقگیری نسبت به  $n_i$  را این طور توجیه می‌کنیم که در اینجا با تعداد زیادی ذره سروکار داریم،  $\Delta n_i/n_i \ll 1$ .

۱۱۶.۱۷ احتمال يك ترتيب معين، برای ذره‌های همسان و بدون هیچ قیدی روی تعداد آنها، در يك حالت معين، به صورت زیر است

$$W_{BE} = \prod_i \frac{(n_i + g_i - 1)!}{n_i!(g_i - 1)!}$$

نشان دهید که بیشینه کردن  $W_{BE}$  تحت قید ثابت بودن تعداد ذره‌ها و انرژی کل به رابطه زیر می‌انجامد

$$n_i = \frac{g_i}{e^{\lambda_1 + \lambda_2 \epsilon_i} - 1}$$

با  $\lambda_2 = 1/kT$ ، این رابطه آمار بوز-اینشتین را می‌دهد. یادآوری. فرض کنید  $g_i \gg 1$ .

۱۲۶.۱۷ فوتونها از  $W_{BE}$  و قید ثابت بودن انرژی کل پیروی می‌کنند. روشن است که آنها از قید ثابت بودن تعداد پیروی نمی‌کنند. نشان دهید که حذف قید ثابت بودن تعداد به همان نتیجه قبل، اما با  $\lambda_1 = 0$ ، می‌انجامد.

## ۷.۱۷ ورزش تحت تأثیر قید

در اینجا نیز مانند بخشهای قبل، به جستجوی مسیری می‌پردازیم که انتگرال زیر را پایا کند

$$J = \int f\left(y_i, \frac{\partial y_i}{\partial x_j}, x_j\right) dx_j \quad (۹۳.۱۷)$$

این حالت کلی است که در آن  $x_j$  مجموعه‌ای از متغیرهای مستقل و  $y_i$  مجموعه‌ای از متغیرهای وابسته است. در اینجا نیز

$$\delta J = 0 \quad (۹۴.۱۷)$$

حال،  $y_k$  یا دوقید وارد می‌کنیم. یعنی اینکه  $y_i$ ها دیگر از هم مستقل نیستند. از این رو همه  $y_i$ ها اختیاری نیستند و معادله‌های (۶۲.۱۷) یا (۷۳.۱۷) الف) دیگر به کار نمی‌روند. قید را می‌توان مانند بخش ۶.۱۷ به صورت زیر نوشت

$$\varphi_k(y_i, x_j) = 0 \quad (۹۵.۱۷)$$

در نتیجه آن را در تابعی از  $x_j$ ، مثلاً  $\lambda_k(x_j)$  ضرب می‌کنیم و روی همان بازه مربوط به معادله (۹۳.۱۷) انتگرال می‌گیریم، خواهیم داشت

$$\int \lambda_k(x_j) \varphi_k(y_i, x_j) dx_j = 0 \quad (۹۶.۱۷)$$

در این صورت روشن است که

$$\delta \int \lambda_k(x_j) \varphi_k(y_i, x_j) dx_j = 0 \quad (۹۷.۱۷)$$

قید ممکن است به صورت انتگرالی زیر باشد

$$\int \varphi_k(y_i, \partial y_i / \partial x_j, x_j) dx_j = \text{const.} \quad (۹۸.۱۷)$$

در این صورت می‌توانیم  $y_k$  مضرب لاگرانژی ثابت معرفی کنیم و معادله (۹۷.۱۷) را، این بار بایک مقدار ثابت  $\lambda$ ، به دست آوریم.

در هر حال، با جمع کردن معادله‌های (۹۴.۱۷) و (۹۷.۱۷)، احتمالاً بایک از یک قید، داریم

$$\delta \int \left[ f\left(y_i, \frac{\partial y_i}{\partial x_j}, x_j\right) + \sum_k \lambda_k \varphi_k(y_i, x_j) \right] dx_j = 0 \quad (۹۹.۱۷)$$

اگر  $\varphi(y_i, x_j)$  به صورتی داده شود که در معادله (۹۵.۱۷) هست،  $\lambda_k$  ممکن است تابع  $x_j$  باشد.

با در نظر گرفتن تمامی انتگرال‌ده به صورت تابع جدید

$$g\left(y_i, \frac{\partial y_i}{\partial x_j}, x_j\right)$$

داریم

$$g\left(y_i, \frac{\partial y_i}{\partial x_j}, x_j\right) = f + \sum_k \lambda_k \varphi_k \quad (100.17)$$

اگر  $N$  تابع  $y_i$  ( $i=1, 2, \dots, N$ ) و  $m$  قید ( $k=1, 2, \dots, m$ ) داشته باشیم، می‌توان  $N-m$  تا از  $\eta_i$ ها را اختیاری گرفت. به ازای  $m$  تا از  $\eta_i$ های دیگر، در اصل، می‌توان درست مانند معادله (۸۵.۱۷)،  $\lambda$ ها را چنان برگزید که سایر معادله‌های اویلر-لاگرانژ بر آورده شوند. در نتیجه تابع مرکب  $g$  باید در معادله‌های اویلر-لاگرانژ معمولی صدق کند

$$\frac{\partial g}{\partial y_i} - \sum_j \frac{\partial}{\partial x_j} \frac{\partial g}{\partial (\partial y_i / \partial x_j)} = 0 \quad (101.17)$$

یک معادله به ازای هر متغیر وابسته  $y_j$  [بامعادله‌های (۶۴.۱۷) و (۷۳.۱۷) مقایسه کنید]، سپس این معادله‌های اویلر و معادله‌های قید را به‌طور همزمان حل می‌کنیم و تابعی را که مقدار پایا را می‌دهد به دست می‌آوریم.

### معادلات لاگرانژی

معادله‌های حرکت لاگرانژ [معادله (۵۲.۱۷)] در غیاب قیدها به صورت زیر بود

$$\frac{d}{dt} \frac{\partial L}{\partial \dot{q}_i} - \frac{\partial L}{\partial q_i} = 0$$

که در آن  $t$  (زمان) تنها متغیر مستقل و  $q_i(t)$  (مکان ذره) مجموعه متغیرهای وابسته است. مختصات تعمیم یافته  $q_i$  را معمولاً چنان اختیار می‌کنند که نیروهای قیدی را حذف کنند، ولی این کار لازم نیست و شاید همیشه هم مطلوب نباشد. اصل هامیلتون در حضور قیدهای  $\varphi_k$  به صورت زیر است

$$\delta \int \left[ L(q_i, \dot{q}_i, t) + \sum_k \lambda_k(t) \varphi_k(q_i, t) \right] dt = 0 \quad (102.17)$$

و معادله‌های لاگرانژی مقید عبارت‌اند از

$$\frac{d}{dt} \frac{\partial L}{\partial \dot{q}_i} - \frac{\partial L}{\partial q_i} = \sum_k a_{ik} \lambda_k \quad (103.17)$$

۱. نماد  $q$  در مکانیک پیشرفته متداول است. این نماد برای تأکید بر این نکته به کار می‌رود که متغیر لزوماً یک متغیر دکارتی نیست (لزوماً طول هم نیست).

معمولا  $\varphi_k = \varphi_k(q_i, t)$ ، از سرعت‌های تعمیم یافته  $\dot{q}_i$  مستقل است. در این صورت ضرایب  $a_{ik}$  از رابطه زیر به دست می‌آیند

$$a_{ik} = \frac{\partial \varphi_k}{\partial q_i} \quad (104.17)$$

اگر  $q_i$  طول باشد، آنگاه  $a_{ik} \lambda_k$  (بدون مجموعی) نمایشگر نیروی مربوط به قید  $k$  در جهت  $q_i$  است که، درست به همان ترتیب  $-\partial V / \partial q_i$ ، در معادله (۱۰۳.۱۷)، ظاهر می‌شود.

مثال ۱۰۷.۱۷ آونگ ساده

برای تجسم عینی مفاهیم فوق، آونگ ساده‌ای به جرم  $m$  را در نظر بگیرید که آویخته از سیمی به طول  $l$  به تاب خوردن در مسیر یک کمان مقید است (شکل ۹.۱۷). در غیاب این تنهاقید، دو مختصه تعمیم یافته  $r$  و  $\theta$  داریم (حرکت در صفحه قائم)

$$\varphi_1 = r - l = 0 \quad (105.17)$$

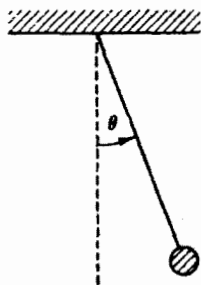
لاگرانژی عبارت است از

$$\begin{aligned} L &= T - V \\ &= \frac{1}{2} m (\dot{r}^2 + r^2 \dot{\theta}^2) + mgr \cos \theta \end{aligned} \quad (106.17)$$

وقتی که آونگ افقی است،  $\theta = \pi/2$ ، پتانسیل را صفر می‌گیریم. معادله‌های حرکت، با استفاده از معادله (۱۰۳.۱۷)، عبارت‌اند از

$$\frac{d}{dt} \frac{\partial L}{\partial \dot{r}} - \frac{\partial L}{\partial r} = \lambda_1, \quad (a_{r_1} = 1, a_{\theta_1} = 0) \quad (107.17)$$

$$\frac{d}{dt} \frac{\partial L}{\partial \dot{\theta}} - \frac{\partial L}{\partial \theta} = 0$$



شکل ۹.۱۷ آونگ ساده.  $m$

$$\frac{d}{dt}(m\dot{r}) - mr\dot{\theta}^2 - mg \cos \theta = \lambda, \quad (108.17)$$

$$\frac{d}{dt}(mr^2\dot{\theta}) + mgr \sin \theta = 0$$

با استفاده از معادلهٔ قید ( $r=l, \dot{r}=0$ ) داریم

$$ml\dot{\theta}^2 + mg \cos \theta = -\lambda, \quad (109.17)$$

$$ml^2\ddot{\theta} + mgl \sin \theta = 0$$

$\theta(t)$  را می‌توان از معادلهٔ دوم به دست آورد، که اگر دامنه کوچک باشد ( $\sin \theta = \theta$ )، حرکت هماهنگ ساده را می‌دهد، درحالی‌که معادلهٔ اول کمیت  $-\lambda$ ، یعنی کشش سیم را بر حسب  $\theta$  و  $\dot{\theta}$  به دست می‌دهد.

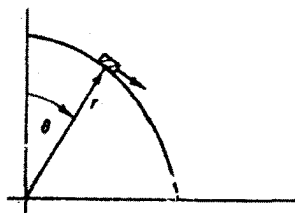
توجه کنید که چون معادلهٔ قید، معادلهٔ (105.17)، به صورت معادلهٔ (95.17) است، مضرب لاگرانژی  $\lambda$  ممکن است تابعی باشد از  $r$  (یا  $\theta$ ) (که در مورد اخیر همینطور است).

### مثال ۲۰۷.۱۷ لغزیدن بر روی یک استوانه

مسئلهٔ ذره‌ای که روی یک سطح استوانه‌ای می‌لغزد، با مسئلهٔ فوق رابطهٔ تنگاتنگی دارد. هدف، یافتن زاویهٔ بحرانی  $\theta_c$  است که در آن ذره از سطح جدا می‌شود. این زاویهٔ بحرانی عبارت است از زاویه‌ای که در آن نیروی شعاعی قید صفر می‌شود (شکل 10.17).

داریم

$$L = T - V = \frac{1}{2} m(\dot{r}^2 + r^2\dot{\theta}^2) - mgr \cos \theta \quad (110.17)$$



شکل 10.17 ذره‌ای بر یک سطح استوانه‌ای می‌لغزد.

ويك معادله قيد به صورت زير به دست مي آيد

$$\varphi_1 = r - l = 0 \quad (111.17)$$

مانند مثال ۱.۷.۱۷ عمل مي كنيم. با داشتن  $a_r = 1$ ، داريم

$$m\ddot{r} - mr\dot{\theta}^2 + mg \cos \theta = \lambda_1(\theta) \quad (112.17)$$

$$mr^2\ddot{\theta} + 2mr\dot{r}\dot{\theta} - mgr \sin \theta = 0$$

که در آن نیروی قیدساز،  $\lambda_1(\theta)$ ، تابعی است از زاویه  $\theta$ . از آنجا که  $r = l$ ،  $\dot{r} = \ddot{r} = 0$  معادله (۱۱۲.۱۷) به صورت زیر ساده می شود

$$-ml\dot{\theta}^2 + mg \cos \theta = \lambda_1(\theta) \quad (\text{الف } 113.17)$$

$$ml^2\ddot{\theta} - mgl \sin \theta = 0 \quad (\text{ب } 113.17)$$

با مشتقگیری از معادله (الف ۱۱۳.۱۷) نسبت به زمان، و با یادآوری این نکته که

$$\frac{df(\theta)}{dt} = \frac{df(\theta)}{d\theta} \dot{\theta} \quad (114.17)$$

داريم

$$-2ml\dot{\theta} - mg \sin \theta = \frac{d\lambda_1(\theta)}{d\theta} \quad (115.17)$$

از معادله (ب ۱۱۳.۱۷) استفاده و جمله  $\dot{\theta}$  را حذف می کنیم، آنگاه با انتگرالگیری داريم

$$\lambda_1(\theta) = 2mg \cos \theta + C \quad (116.17)$$

از آنجا که

$$\lambda_1(0) = mg \quad (117.17)$$

۱. دقیقاً توجه کنید که  $\lambda_1$  نیروی شعاعی است که توسط استوانه بر ذره وارد می آید. بررسی مسئله فیزیکی نشان می دهد که  $\lambda_1$  باید به زاویه  $\theta$  بستگی داشته باشد. اجازه داریم که بگیريم  $\lambda = \lambda(\theta)$ . اکنون وابستگی زمانی را بایک وابستگی زاویه ای (نامعلوم) تعویض می کنیم.

$$C = -2mg \quad (118.17)$$

ذره  $m$  تا وقتی روی سطح می ماند که نیروی قید نامنفی باشد، یعنی تا وقتی که سطح باید ذره را به بیرون هل دهد، یعنی

$$\lambda(\theta) = 2mg \cos \theta - 2mg \geq 0 \quad (119.17)$$

زاویه بحرانی زاویه ای است که در آن  $\lambda(\theta_c) = 0$ ، یعنی نیروی قید صفر می شود. از معادله (119.17) داریم

$$\cos \theta_c = \frac{2}{3} \quad \text{یا} \quad \theta_c = 48^\circ 11' \quad (120.17)$$

نسبت به خط قائم. ذره ما تحت این زاویه (با چشمپوشی از اصطکاک) از سطح جدا می شود. باید اعتراف کرد که این نتیجه را می شد با در نظر گرفتن نیروی مرکز گرای متغیری که توسط مؤلفه شعاعی نیروی گرانشی تأمین می شود، به طور ساده تر به دست آورد. این مثال را از آن رو اختیار کردیم که استفاده از مضرب نامعین لاگرانژی را، بدون آنکه ذهن خواننده را با یک سیستم پیچیده فیزیکی مغشوش کنیم، نمایش دهیم.

### مثال ۳۰۷.۱۷ معادله موج شرودینگر

به عنوان آخرین نمونه از کمینه های مقید، معادله اوایلر را برای مسئله کوانتوم مکانیکی زیر به کار می بریم

$$\delta \iiint \psi^*(x, y, z) H \psi(x, y, z) dx dy dz = 0 \quad (121.17)$$

با این قید که

$$\iiint \psi^* \psi dx dy dz = 1 \quad (122.17)$$

معادله (121.17) گزاره پایا بودن انرژی سیستم به شمار می آید، که در آن  $H$ ، یعنی هامیلتونی کوانتوم مکانیکی برای ذره ای به جرم  $m$ ، عملگری دیفرانسیلی است

$$H = -\frac{\hbar^2}{2m} \nabla^2 + V(x, y, z) \quad (123.17)$$

معادله (122.17)، یعنی معادله قید، عبارت است از شرطی که بنا بر آن تنها باید یک ذره داشته باشیم،  $\psi$  ویژه تابع متداول، یک متغیر وابسته و  $\psi^*$  همیوگ مختلط آن است که با آن

به صورت متغیر وابسته دوم رفتار می کنیم.<sup>۱</sup>  
 انتگرالده معادله (۱۲۱.۱۷) شامل مشتقهای دوم است، که می توان با مشتقگیری  
 جزء به جزء به مشتق اول تبدیلشان کرد

$$\int \psi^* \frac{\partial^2 \psi}{\partial x^2} dx = \psi^* \frac{\partial \psi}{\partial x} \Big| - \int \frac{\partial \psi^*}{\partial x} \frac{\partial \psi}{\partial x} dx \quad (124.17)$$

می توان با شرایط مرزی دوره ای را در نظر گرفت (مانند نظریه اشتورم-لیوویل، فصل ۹) و  
 یا آنکه حجم انتگرالگیری را چندان بزرگ گرفت که  $\psi$  و  $\psi^*$  در مرز قویاً صفر شوند.<sup>۲</sup>  
 آنگاه جزء انتگرالگیری شده صفر می شود و می توان معادله (۱۲۱.۱۷) را به صورت زیر  
 بازنویسی کرد

$$\delta \iiint \left[ \frac{\hbar^2}{2m} \nabla \psi^* \cdot \nabla \psi + V \psi^* \psi \right] dx dy dz = 0 \quad (125.17)$$

تابع  $g$  در معادله (۱۵۰.۱۷) عبارت است از

$$g = \frac{\hbar^2}{2m} \nabla \psi^* \cdot \nabla \psi + V \psi^* \psi - \lambda \psi^* \psi \quad (126.17)$$

$$= \frac{\hbar^2}{2m} (\psi_x^* \psi_x + \psi_y^* \psi_y + \psi_z^* \psi_z) + V \psi^* \psi - \lambda \psi^* \psi$$

در اینجا نیز شاخص پایین  $x$  برای مشخص کردن  $\partial/\partial x$  است. معادله (۱۵۱.۱۷)، به ازای  
 $y_i = \psi^*$  به صورت زیر درمی آید

$$\frac{\partial g}{\partial \psi^*} - \frac{\partial}{\partial x} \frac{\partial g}{\partial \psi_x^*} - \frac{\partial}{\partial y} \frac{\partial g}{\partial \psi_y^*} - \frac{\partial}{\partial z} \frac{\partial g}{\partial \psi_z^*} = 0$$

در نتیجه خواهیم داشت

$$V \psi - \lambda \psi - \frac{\hbar^2}{2m} (\psi_{xx} + \psi_{yy} + \psi_{zz}) = 0$$

یا

$$-\frac{\hbar^2}{2m} \nabla^2 \psi + V \psi = \lambda \psi \quad (127.17)$$

۱. با بخش ۱.۶ مقایسه کنید.

۲.  $\lim_{r \rightarrow \infty} r^{1/2} \psi(r) = 0$ .



بمراجعه به معادله (۱۲۳.۱۷) می‌توانیم تشخیص دهیم که  $\lambda$  از نظر فیزیکی، انرژی سیستم کوانتوم مکانیکی است. با این تعبیر، معادله (۱۲۷.۱۷) همان معادله موج مشهور شرودینگر است. این رهیافت وردشی چیزی بیش از یک کنجکاوی پژوهشی بوده است. این رهیافت روش کار آمدی را برای به دست آوردن جوابهای تقریبی معادله موج فراهم می‌آورد (روش وردشی ریلی - ریتس، بخش ۸.۱۷).

### مسائل

۱۰۷.۱۷ ذره‌ای به جرم  $m$  روی یک سطح بدون اصطکاک قرار دارد. این ذره مقید است که چنان حرکت کند که  $\theta = \omega t$  (بازوی شعاعی دوار، بدون اصطکاک). با شرایط اولیه

$$t = 0, \quad r = r_0, \quad \dot{r} = 0$$

(الف) مکان شعاعی را بصورت تابعی از زمان به دست آورید.

پاسخ.  $r(t) = r_0 \cosh \omega t$ .

(ب) نیرویی را که قید بر ذره وارد می‌آورد، محاسبه کنید.

پاسخ.  $F^{(c)} = 2mr_0 \omega^2 \sinh \omega t$ .

۲۰۷.۱۷ جرم نقطه‌ای  $m_1$  روی یک صفحه تخت، افقی، و بدون اصطکاک حرکت می‌کند. این جرم، توسط یک ریسمان مقید شده است که با آهنگ ثابت در راستای شعاعی درونسو حرکت کند. با استفاده از مختصات قطبی در صفحه  $(\rho, \varphi)$  داریم:  $\rho = \rho_0 - kt$ .

(الف) لاگرانژی را بنویسید.

(ب) معادله‌های لاگرانژ مقید را بنویسید.

(ج) معادله لاگرانژ وابسته به  $\varphi$  را حل کنید و سرعت زاویه‌ای  $\omega(t)$  را به دست

آورید. معنای فیزیکی ثابت انتگرال‌گیری، که از انتگرال گرفتن "آزاد" به دست آورده‌اید، چیست؟

(د) با استفاده از  $\omega(t)$  که در بند (ج) به دست آورده‌اید، معادله لاگرانژ (مقید) وابسته

به  $\rho$  را حل کنید و  $\lambda(t)$  را به دست آورید. به عبارت دیگر، توضیح دهید که وقتی  $\rho \rightarrow 0$ ، برای نیروی قید چه اتفاقی می‌افتد؟

۳۰۷.۱۷ یک کابل نرم به دو نقطه ثابت آویخته شده است. طول کابل ثابت است. منحنی را

که انرژی پتانسیل گرانشی کل کابل را کمینه می‌کند، به دست آورید.

پاسخ. کسینوس هذلولوی.

۴۰۷.۱۷ حجم معینی از آب در استوانه‌ای با سرعت زاویه‌ای ثابت  $\omega$  می‌چرخد. خمیدگی

سطح آب را که انرژی پتانسیل کل آب را در میدان نیروی مرکب گرانشی - مرکز گریزی کمینه می کند پیدا کنید.  
 پاسخ. سهمی.

۵.۷.۱۷ (الف) نشان دهید که شکلی که با محیط ثابت، بیشینه مساحت را دارد دایره است.  
 (ب) نشان دهید شکلی که با مساحت ثابت کمترین محیط را دارد، دایره است.  
 راهنمایی. شعاع انحنای  $R$  از رابطه زیر به دست می آید

$$R = (r^2 + r_0^2)^{3/2} / (rr_{\theta\theta} - 2r_0^2 - r^2)$$

یادآوری. مسائل این بخش، یعنی وردشهای تحت قید، را غالباً مسائل تک محیطی می نامند. این واژه از مسائل مربوط به بیشینه سازی مساحت با قید ثابت بودن محیط برخاسته است [مانند مسئله ۸.۷.۱۷ (الف)].

۶.۷.۱۷ نشان دهید که برای آنکه  $J$  در رابطه

$$J = \int_a^b (p(x)y_x^2 - q(x)y^2) dx$$

تحت شرط بهنجارش زیر یک مقدار پایا داشته باشد

$$\int_a^b y^2 w(x) dx = 1$$

باید در معادله اشتورم - لیوویل، فصل ۹، صدق کند

$$\frac{d}{dx} \left( p \frac{dy}{dx} \right) + qy + \lambda wy = 0$$

یادآوری. در بخش ۱.۰۹، برای تحقیق در خاصیت هرمیتی عملگر، شرط مرزی زیر به کار برده شد

$$py_x y|_a^b = 0$$

۷.۷.۱۷ نشان دهید شرط آنکه  $J$  در رابطه

$$J = \int_a^b \int_a^b K(x, t) \varphi(x) \varphi(t) dx dt$$

تحت شرط بهنجارش زیر یک مقدار پایا داشته باشد

$$\int_a^b \varphi^2(x) dx = 1$$

معادله انتگرالی هیلبرت-اشمیت، معادله (۸۹.۱۶)، را می‌دهد.  
یادآوردی. کرنل  $K(x, t)$  متقارن است.

### ۸.۱۷ شگرد وردشی ریلی-ریتس

مسئله ۶.۷.۱۷ بین حساب وردشها و مسائل ویژه تابع-ویژه مقدار رابطه‌ای برقرار می‌کند.  
عبارت مسئله ۶.۷.۱۷ را می‌توان به صورت زیر بازنویسی کرد

$$F[y(x)] = \frac{\int_a^b (p y_x^2 - q y^2) dx}{\int_a^b y^2 w dx} \quad (128.17)$$

که در آن قید به صورت يك شرط بهنجارش معمولی درمخرج کسر ظاهر می‌شود. کمیت  $F$  را، که تابعی است از تابع  $y(x)$ ، گاهی قاجبی می‌نامند. از آنجا که مخرج کسر ثابت است (شرط بهنجارش) مقدار پایای  $J$  و مقدار پایای  $F$  متناظرند. در این صورت با توجه به مسئله ۶.۷.۱۷، هر گاه  $y(x)$  چنان باشد که  $J$  و  $F$  مقدار پایا پیدا کنند، تابع بهینه  $y(x)$  در معادله اشتورم-لیوویل صدق می‌کند

$$\frac{d}{dx} \left( p \frac{dy}{dx} \right) + qy + \lambda w y = 0 \quad (129.17)$$

که در آن  $\lambda$  ویژه مقدار است (نه يك مضرب لاگرانژی). با انتگرالگیری جزء به جزء صورت کسر در معادله (۱۲۸.۱۷) و استفاده از شرایط مرزی

$$p y_x y|_a^b = 0 \quad (130.17)$$

داریم

$$F[y(x)] = - \frac{\int_a^b y \left\{ \frac{d}{dx} \left( p \frac{dy}{dx} \right) + qy \right\} dx}{\int_a^b y^2 w dx} \quad (131.17)$$

آنگاه با استفاده از معادله (۱۲۹.۱۷)، مقادیر پایای  $F[y(a)]$  از رابطه زیر به دست می‌آید

$$F[y_n(x)] = \lambda_n \quad (132.17)$$

که در آن  $\lambda_n$  ویژه مقدار متناظر با ویژه تابع  $y_n$  است. معادله (۱۳۲.۱۷)، با مقداری چون  $F$  که به کمک معادله (۱۲۸.۱۷) یا (۱۳۱.۱۷) به دست می‌آید شالوده روش ریلی-ریتس را برای محاسبه ویژه تابعها و ویژه مقدارها تشکیل می‌دهد.

## ویژه تابع حالت پایه

فرض کنید می‌خواهیم ویژه تابع،  $y_0$ ، و ویژه مقدار،  $\lambda_0$ ، حالت پایه یک سیستم پیچیده اتمی یا هسته‌ای را محاسبه کنیم مثالی کلاسیکی که هیچ جواب دقیقی ندارد عبارت است از مسئله اتم هلیوم. ویژه تابع  $y_0$  مجهول است، ولی فرض می‌کنیم که بتوانیم یک تابع تقریبی  $y$  را با تقریب مطلوب حدس بزنیم، به گونه‌ای که به زبان ریاضی بتوانیم بنویسیم<sup>۲</sup>

$$y = y_0 + \sum_{i=1}^{\infty} c_i y_i \quad (133.17)$$

$c_i$ ها کمیت‌های کوچکی اند (میزان کوچکی آنها به این بستگی دارد که حدس ما تا چه حد نزدیک به یقین بوده است).  $y_i$ ها ویژه تابعهای بهنجارند (اینها تابعهای مجهول اند)، و بنا بر این تابع آزمایشی ما، یعنی  $y$ ، بهنجار نیست.

تابع تقریبی  $y$  را در معادله (۱۳۱.۱۷) می‌نشانیم، و با توجه به اینکه

$$\int_a^b y_i \left\{ \frac{d}{dx} \left( p \frac{dy_i}{dx} \right) + q y_i \right\} dx = -\lambda_i \delta_{ij} \quad (134.17)$$

خواهیم داشت

$$F[y(x)] = \frac{\lambda_0 + \sum_{i=1}^{\infty} c_i^2 \lambda_i}{1 + \sum_{i=1}^{\infty} c_i^2} \quad (135.17)$$

در اینجا ویژه تابعها را متعامد گرفته‌ایم، زیرا این تابعهای معادله اشتورم-لیوویل، معادله (۱۲۹.۱۷)، هستند. نیز فرض می‌کنیم که  $y_0$  واگن نباشد. اکنون اگر با استفاده از قضیه دو جمله‌ای مخرج کسر معادله (۱۳۵.۱۷) را بسط دهیم و از جملات از مرتبه  $c_i^4$  صرف نظر کنیم، خواهیم داشت

$$F[y(x)] = \lambda_0 + \sum_{i=1}^{\infty} c_i^2 (\lambda_i - \lambda_0) \quad (136.17)$$

معادله (۱۳۶.۱۷) متضمن دو نتیجه مهم است.

۱. خطای موجود در ویژه تابع  $y$  برابر  $O(c_i)$  است، در حالی که خطای موجود در

۱. یعنی،  $\lambda_0$  کوچکترین ویژه مقدار است. از معادله (۱۲۸.۱۷) پیدا است که اگر  $p(x) \geq 0$  و  $q(x) \leq 0$  (با جدول ۱.۹ مقایسه کنید)، آنگاه  $F[y(x)]$  کران پایینتری دارد و این کران پایینتر نامنفی است. از بخش ۱.۹ یاد آوری می‌کنیم که  $w(x) \geq 0$ .

۲. منحنی تابع را داریم حدس می‌زنیم. بهنجارش موردی ندارد.

$\lambda$  برابر  $O(c_i^2)$  است. حتی يك تقريب نسبتاً بسد برای ویژه تابعها ممکن است به محاسبه دقیقى برای ویژه مقدارها منجر شود.  
 ۲. اگر  $\lambda_0$  کوچکترین ویژه مقدار باشد (حالت پایه)، آنگاه از آنجا که  $\lambda_i - \lambda_0 > 0$  داریم

$$F[y(x)] = \lambda \geq \lambda_0 \quad (137.17)$$

یعنی تقريب مسا همواره در طرف مقدارهای بیشتر از  $\lambda_0$  است، و به ترتیب که ویژه تابع تقریبی ما،  $y$ ، بهتر می شود ( $c_i \rightarrow 0$ )،  $\lambda$  به سوی  $\lambda_0$  همگرا می شود. دقت کنید که معادله (۱۳۷.۱۷) پیامد مستقیم معادله (۱۳۵.۱۷) و مستقل از تقريب دو جمله ای ماست.

### مثال ۱۰۸.۱۷ ریمان مرتعش

ریمان مرتعشی که در  $x=0$  و  $x=1$  بسته شده است، در معادله ویژه مقدارى زیر

$$\frac{d^2 y}{dx^2} + \lambda y = 0 \quad (138.17)$$

و شرط مرزى  $y(0) = y(1) = 0$ ، صدق می کند. برای این مثال ساده، فوراً می توان تابع (بهنجار نشده)  $y_0(x) = \sin \pi x$  و  $\lambda_0 = \pi^2$  را تشخیص داد. ولی بیایید شگرد ریلی-ریس را به کار ببریم.

با توجه به شرایط مرزى، جواب زیر را می آزماییم

$$y(x) = x(1-x) \quad (139.17)$$

آنگاه با  $p=1$  و  $w=1$  از معادله (۱۳۸.۱۷) خواهیم داشت

$$F[y(x)] = - \frac{\int_0^1 (1-2x)^2 dx}{\int_0^1 x^2(1-x)^2 dx} \quad (140.17)$$

$$= \frac{1/3}{1/30} = 10$$

این جواب  $\lambda = 10$ ، تقریب نسبتاً خوبی (با خطای ۱۳٪) برای  $\lambda_0 = \pi^2 = 9.8696$  به شمار می آید. شاید خواننده توجه کرده باشد که  $y(x)$ ، معادله (۱۳۹.۱۷)، به واحد بهنجار نشده است. مخرج  $F[y(x)]$  فقدان این بهنجارش به واحد را جبران می کند. در محاسبات علمی متداول، ویژه تابع را از طریق در نظر گرفتن تعداد بیشتری جمله با ضرایب قابل تنظیم، مانند جمله زیر، بهسازی می کنند

$$y = x(1-x) + a_7 x^7 (1-x)^7 \quad (141.17)$$

بهتر است که جمله های اضافی را متعادل بگیریم، ولی این کار حتماً لازم نیست. پارامتر  $a_7$  را طوری تنظیم می کنند که  $F[y(x)]$  را کمینه کند. در مورد اخیر، گزینه  $a_7 = 1.1353$  را تا حد  $9.8697$ ، که به ویژه مقدار اصلی بسیار نزدیک است، کاهش می دهد.

### مسائل

۱۰۸.۱۷ با استفاده از معادله (۱۲۸.۱۷)، برهان مشروحي ارائه کنید که نشان دهد  $\lambda \geq 0$ ؛ شرایطی را که تحت آن خواهیم داشت:  $\lambda = 0$ ، توصیف کنید و چند مثال بیاورید.

۲۰۸.۱۷ تابع مجهولی در معادله دیفرانسیل

$$y'' + \left(\frac{\pi}{2}\right)^2 y = 0$$

و شرایط مرزی

$$y(0) = 1, \quad y(1) = 0$$

صدق می کند

(الف) تقریب

$$\lambda = F[y \text{ آزمون}]$$

را به ازای

۱. این نکته را که جواب ما تا چه حد به جواب واقعی نزدیک است، می توان به کمک يك بسط سینوسی فوریه آزمود (با مسئله ۳.۲.۱۴ روی نیم بازه  $[0, 1]$ ، و یا معادل با آن، روی بازه  $[-1, 1]$  برای مقداری چون  $y(x)$  که فرد در نظر گرفته شود، مقایسه کنید). به دلیل تقارن زوجی که نسبت به  $x = 1/2$  وجود دارد، فقط  $n$  جمله فرد ظاهر می شود

$$y(x) = x(1-x) = \left(\frac{\lambda}{\pi^2}\right) \left[ \sin \pi x + \frac{\sin 3\pi x}{3^2} + \frac{\sin 5\pi x}{5^2} + \dots \right]$$

$$y = 1 - x^2$$

محاسبه کنید.

(ب) با ویژه مقدار دقیق مقایسه کنید.

پاسخ. (الف)  $\lambda = 2.5$ ، (ب)  $\lambda = 1.013$ ،  $\frac{\lambda}{\lambda_{\text{دقیق}}} =$

۳۰۸.۱۷ در مسئله ۲۰۸.۱۷ تابع آزمونی زیر را به کار برید

$$y = 1 - x^2$$

(الف) مقداری را چون  $n$  بیابید که  $F[\text{آزمونی } y]$  را کمینه کند.(ب) نشان دهید که مقدار بهینه  $n$ ، نسبت دقیق  $\lambda/\lambda$  را به  $1.0003$  می‌رساند.پاسخ. (الف)  $n = 1.7247$ .

۴۰۸.۱۷ يك ذره کوانتوم مکانیکی در يك کره (مثال ۱۰.۷.۱۱) در معادله زیر صدق می‌کند

$$\nabla^2 \psi + k^2 \psi = 0$$

که در آن  $k^2 = 2mE/\hbar^2$ . شرط مرزی عبارت است از اینکه:  $\psi(r=a) = 0$ ، که در آن  $a$  شعاع کره است. تابع موج تقریبی

$$\psi_a(r) = 1 - \left(\frac{r}{a}\right)^2$$

را برای حالت پایه [که در آن  $\psi = \psi(r)$ ] بیازمایید و ویژه مقدار تقریبی  $k_a^2$  را محاسبه کنید.دانهمایی. برای تعیین  $p(r)$  و  $w(r)$ ، معادله را (در مختصات قطبی کروی) به صورت خود-الحاقی در آورید.

پاسخ.  $k_a^2 = \frac{1.075}{a^2}$ ،  $k_{\text{دقیق}}^2 = \frac{\pi^2}{a^2}$

۵۰۸.۱۷ معادله موج مربوط به نوسانگر کوانتومی را می‌توان به صورت زیر نوشت

$$\frac{d^2 \psi(x)}{dx^2} + (\lambda - x^2) \psi(x) = 0$$

که در آن برای حالت پایه داریم:  $\lambda = 1$  [معادله (۱۸.۱۳)]. تابع

$$\psi_{\text{آزمونی}} = \begin{cases} 1 - (x^2/a^2), & x^2 \leq a^2 \\ 0, & x^2 > a^2 \end{cases}$$

(که در آن  $a^2$  يك پارامتر قابل تنظيم است) را برای تابع موج حالت پایه بيازمایید، و انرژی حالت پایه متناظر را محاسبه کنید. خطای محاسبه شما چقدر است؟ یادآوری. سهمی که به کار برده ایم تقریب چندان خوبی برای يك تابع نمایی گاوسی نیست. چه نوع بهسازی می توانید پیشنهاد کنید؟

۶.۸.۱۷ معادله شرو دینگر را می توان به ازای يك پتانسیل مرکزی به صورت زیر نوشت

$$\mathcal{L}u(r) + \frac{\hbar^2 l(l+1)}{2Mr^2} u(r) = E u(r)$$

جمله  $l(l+1)$  از جدا کردن وابستگی زاویه ای حاصل می شود (بخش ۵.۲، جلد اول). با این جمله به صورت يك اختلال عمل کنید؛ با استفاده از شگرد وردشی نشان دهید که  $E > E_0$ ، که در آن  $E_0$  ویژه مقدار انرژی  $\mathcal{L}u_0 = E_0 u_0$  متناظر با  $l=0$  است. به این معنا که حالت با انرژی کمینه دارای  $l=0$ ، یعنی تکانه زاویه ای صفر است.

داهنمایی.  $u(r)$  را می توانید به صورت  $u_0(r) + \sum_{i=1}^{\infty} c_i u_i$  بسط دهید که در آن  $E_i > E_0$ ،  $\mathcal{L}u_i = E_i u_i$

۷.۸.۱۷ در معادله ویژه مقدار- ویژه بردار ماتریسی

$$A \mathbf{r}_i = \lambda_i \mathbf{r}_i$$

$A$  يك ماتریس  $n \times n$  هرمیتی است. برای سادگی، فرض کنید که  $n$  ویژه مقدار حقیقی این ماتریس (بخش ۶.۴، جلد اول) متمایزند، و  $\lambda_1$  بزرگترین آنهاست. اگر  $\mathbf{r}$  تقریبی برای  $\mathbf{r}_1$  باشد

$$\mathbf{r} = \mathbf{r}_1 + \sum_{i=2}^n \delta_i \mathbf{r}_i$$

نشان دهید که

$$\frac{\mathbf{r}^+ A \mathbf{r}}{\mathbf{r}^+ \mathbf{r}} \leq \lambda_1$$

و همچنین نشان دهید که خطای  $\lambda_1$  از مرتبه  $|\delta_i|^2$  است؛ فرض کنید که  $|\delta_i| \ll 1$ . داهنمایی.  $n$  بردار  $\mathbf{r}_i$  يك مجموعه متعامد کامل تشکیل می دهند که فضای (مختلط)  $n$ -بعدی را می پیمایند.

۸.۸.۱۷ جواب وردشی مثال ۶.۸.۱۷ را می توان توسط در نظر گرفتن



$y = x(1-x) + a_p x^2(1-x)^2$  بهبود بخشید. با استفاده از کوادراتور عددی،  $F[y(x)] =$  تقریبی  $\lambda$ ، معادله (۱۲۸.۱۷) را به ازای يك مقدار ثابت  $a_p$ ، محاسبه کنید.  $a_p$  را چنان تغییر دهید که  $\lambda$  را کمینه کند. مقداری از  $a_p$  که  $\lambda$  را کمینه می کند، و نیز خود  $\lambda$  را، تا ۵ رقم بامعنی، محاسبه کنید. ویژه مقدار  $\lambda$  را که یافته اید با  $\pi^2$  مقایسه کنید.

## مراجع

Bliss, G. A., *Calculus of Variations*. The Mathematical Association of America, Open Court Publishing Co. Ill; LaSalle, 1925.

با وجود آنکه کتابی قدیمی است، هنوز هم برای جزئیات مسائلی نظیر مسائل کمینه مساحت، مرجع باارزشی به شمار می آید

Courant, R., and H. Robbins; *What Is Mathematics?* 2nd ed. New York: Oxford University Press, 1979.

فصل ۷ حاوی مبحث ظریفی درباره حساب وردشها، شامل جوابهای مسئله حباب صابونی برای مسائل کمینه مساحت، است.

Lanczos, C., *The Variational Principles of Mechanics*, 4th ed. Toronto: University of Toronto Press, 1970.

این کتاب به بررسی مشروح اصول وردشی و کاربردهای آنها در گسترش مکانیک کلاسیک می پردازد.

Sagan, H., *Boundary and Eigenvalue Problems in Mathematical Physics*. New York: Wiley, 1961.

از این کتاب جالب می شد در فهرست مراجع مربوط به نظریه اشتورم-لیوویل، تابعهای بسل ولژاندر، و سری فوریه نیز نام برد. فصل ۱ این کتاب حاوی درآمدهای بر حساب وردشها و کاربرد آن در مکانیک است. فصل ۷ باز به حساب وردشها می پردازد و آن را در خصوص مسائل ویژه مقداری به کار می برد.

Sagan, H., *Introduction to the Calculus of Variations*. New York: McGraw-Hill, 1969.

این کتاب درآمدهای عالی بر نظریه نوین حساب وردشهاست که از کتاب سال ۱۹۶۱ سیگان کاملتر و حرفه ای تر است. سیگان، در این کتاب شرایط کفایت را نیز بررسی می کند و حساب وردشها را به مسائل تکنولوژی فضایی مربوط می کند.

Weinstock, R., *Calculus of Variations*. New York: McGraw-Hill, 1952.

(این کتاب با جلد معمولی توسط Dover نیز منتشر شده است.)

این کتاب حاوی تعمیم سازمان یافته و مشروح حساب وردشها و کاربردهای آن در نظریه اشتورم-لیوویل و در مسائل فیزیکی مربوط به کشسانی، الکتروستاتیک، و مکانیک کوانتومی است.

Yourgrau, W., and S. Mandelstam, *Variational Principles in Dynamics and Quantum Theory*, 3th ed, Philadelphia: Saunders, 1968.

(این کتاب توسط Dover نیز در سال ۱۹۷۹ منتشر شده است.)

این کتاب حاوی بررسی جامع و فراگیری از اصول وردشی است. خصوصاً مباحث مربوط به تاریخچه و دامهای فرافیزیکی متعدد آن شایان توجه است.

## صفرهای حقیقی يك تابع

در ریاضی فیزیک نیاز به مقادیر متناظر با صفرهای حقیقی يك تابع در موارد فراوانی پیش می‌آید. نمونه‌هایی از این وضعیت عبارت‌اند از شرایط مرزی روی جواب مسئله موجبر هم‌محور، مثال ۱۰۳-۱۱، مسائل ویژه مقدار در مکانیک کوانتومی نظیر دوترون بایک چاه پتانسیل مربعی، مثال ۲۰۱-۹، و موضع نقاط ارزیابی در کوادراتور گساوسی (پیوست ۲ را ببینید).

مجموعه زیر-برنامه‌های علمی IBM (یعنی، SSP)، سه زیر-برنامه برای تعیین صفرهای حقیقی تابعها در دسترس ما قرار می‌دهد. این سه زیر-برنامه عبارت‌اند از (۱) RTWI، که يك تکنیک تکرار است، و به گذشته منسوب است، (۲) RTMI، تکنیک تکرار نیمسازي منسوب به مولر، و (۳) RTNI، روش نیوتون، که در محاسبه‌های مقدماتی از آن خیلی اقبال می‌کنند. در این هر سه روش يك حدس اولیه نزدیک به واقعیت برای صفر یا ریشه‌ها ضروری است. اینکه این حدس تا چه حد باید به واقعیت نزدیک باشد، بستگی دارد به آنکه تغییرات تابع مورد نظر چقدر وسیع است و به چه دقتی نیاز داریم. این هر سه روش در واقع عبارت‌اند از روشهایی برای اصلاح يك مقدار اولیه مطلوب. برای به دست آوردن مقدار اولیه مطلوب و تعیین موضع جنبه‌های میوب (مانند ناپیوستگیها و تکینگیها) که باید از آنها دوری جست، باید نمودار نسبتاً مشروحي برای تابع رسم کنیم. هیچ چیزی واقعاً جای يك نمودار را نمی‌گیرد. در مسئله ۱۲۰۳-۱۱ بر این نکته تأکید شده است.

## روش نیوتون

این روش معمولاً در حساب دیفرانسیل ارائه می‌شود زیرا نمایانگر حساب دیفرانسیل است. اگر دقیقاً بدانید که تابع شما چه رفتاری دارد، گاهی این روش می‌تواند روش خوبی به‌شمار آید.

در روش نیوتون اینطور فرض می‌کنند که تابع  $f(x)$  دارای مشتق مرتبه اول پیوسته باشد. با استفاده از تعبیر هندسی مشتق به‌عنوان مماس بر منحنی، شکل ۱، داریم

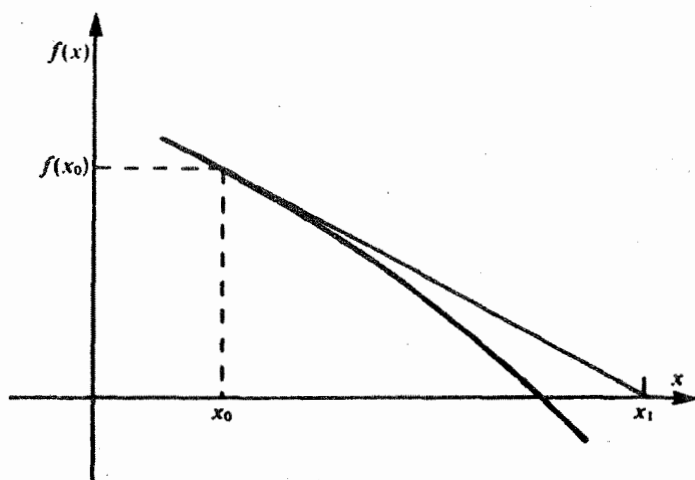
$$\frac{f(x_0)}{x_1 - x_0} = -f'(x_0) \quad (\text{پ } 1.1)$$

یا

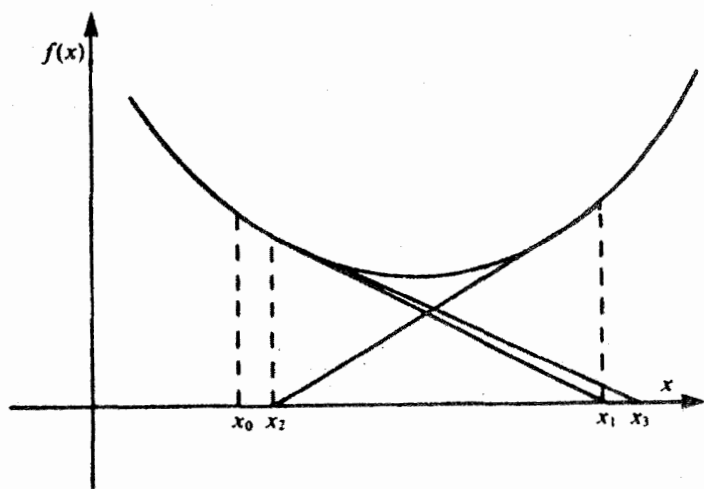
$$x_1 = x_0 - \frac{f(x_0)}{f'(x_0)} \quad (\text{پ } 2.1)$$

بامقدار  $x_0$  به‌عنوان حدس اولیه، و با استفاده از معادله (پ ۲.۱)،  $x_1$  را محاسبه می‌کنیم. با تکرار این کار  $x_1$  را از روی  $x_0$  محاسبه می‌کنیم و امید داریم که جواب ما سریعاً به‌ریشه واقعی همگرا شود.

در روش نیوتون محاسبه مشتق ضروری است. این ضرورت می‌تواند یک نقص به حساب آید؛ محاسبه مشتق در مسئله ۱۲.۳.۱۱ دست‌وپاگیر است. ولی ایرادی اساسی که به روش نیوتون وارد می‌شود، آن است که این روش بسیار غیر قابل اعتماد است. این روش ممکن است همگرا نشود، و در مجاورت یک بیشینه یا کمینه موضعی (شکل ۲) نوسان کند، یا ممکن است در مجاورت یک نقطه خمش واگرا شود. یا اگر حدس اولیه به اندازه کافی صائب نباشد، روش



شکل ۱. روش ریشه‌یابی نیوتون.



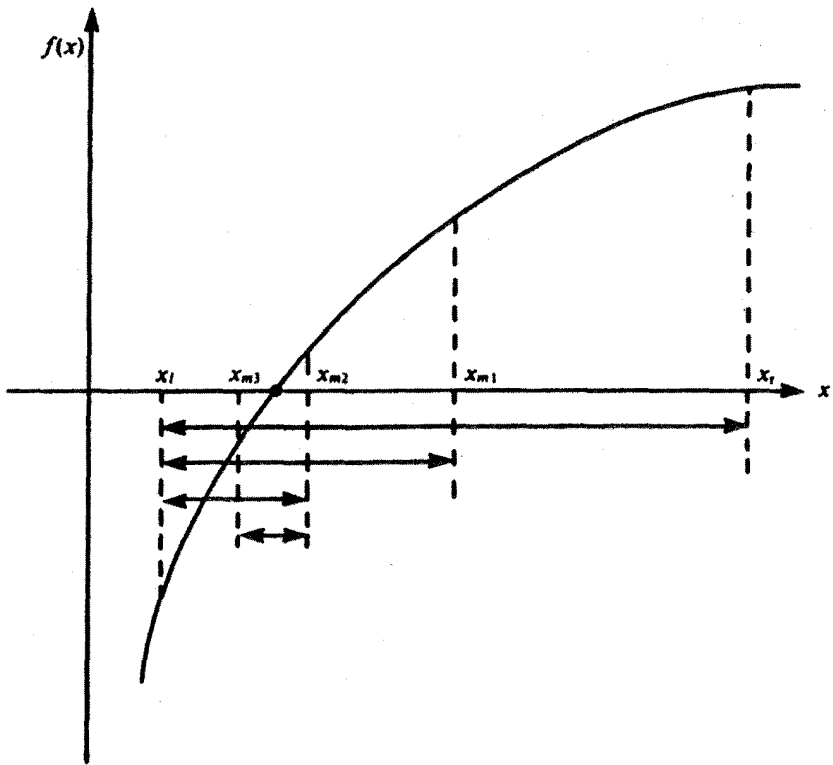
شکل ۰۲. روش نیوتون - کمینه موضعی، بدون همگرایی.

نیوتون ممکن است به يك ریشه غلط همگرا شود. روش نیوتون روشی است که، جز در مواردی که رفتار تابع مورد نظر دقیقاً معلوم است، باید از آن اجتناب شود.

### روش نیمسازی

در این روش فرض می کنند که فقط  $f(x)$  پیوسته است. این روش مستلزم آن است که مقادیر  $x_r$  و  $x_l$  را در دوسوی صفر جستجو کنیم. از این رو علامت  $f(x_l)$  و  $f(x_r)$  مخالف اند و حاصلضرب  $f(x_l) \cdot f(x_r)$  منفی می شود. در ساده ترین صورت روش نیمسازی، نقطه وسط،  $x_m = (1/2)(x_l + x_r)$  را در نظر می گیرند و امتحان می کنند تا ببینند نقطه صفر در کدام يك از دو بازه  $[x_l, x_m]$  یا  $[x_m, x_r]$  قرار دارد. آسانترین آزمون آن است که ببینیم یکی از دو حاصلضرب، مثلاً  $f(x_m) \cdot f(x_r)$ ، منفی است یا خیر. اگر این حاصلضرب منفی باشد، آنگاه ریشه در نیم بازه طرف راست،  $[x_m, x_r]$ ، قرار دارد، و اگر مثبت باشد، در این صورت ریشه باید در نیم بازه سمت چپ  $[x_l, x_m]$  واقع باشد. به خاطر داشته باشید که  $f(x)$  را پیوسته گرفته ایم. بازه حاوی صفر را باز با  $[x_l, x_r]$  مشخص می کنیم و عمل نیمسازی را (مطابق شکل ۳) تا آنجا ادامه می دهیم که موضع صفر با دقت مطلوب تعیین شود. روشن است که هر چه انتخاب اولیه  $x_l$  و  $x_r$  بهتر باشد، تعداد نیمسازیهایی لازم کمتر خواهد بود. ولی، چنانکه در ادامه مطلب توضیح داده خواهد شد، مشخص کردن بیشینه تعداد نیمسازیهایی مجاز حائز اهمیت است.

این تکنیک نیمسازی، در مقایسه با روش نیوتون، ممکن است از مزیت چندانی برخوردار نباشد، ولی دارای سرعت معقولی است و قابل اطمینانتر هم هست - تقریباً اگر به توابع

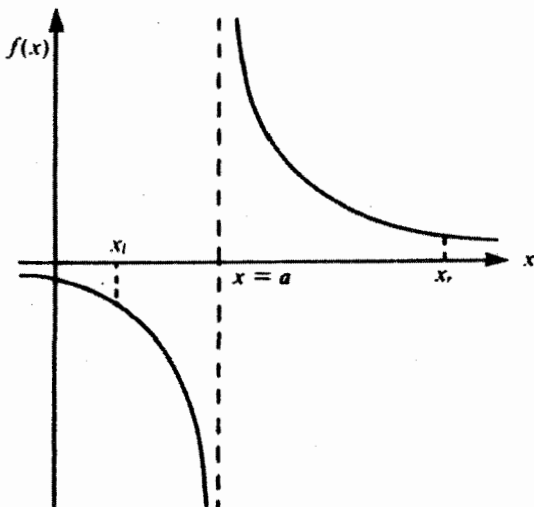


شکل ۳. روش ریشه‌یابی نیمسازي.

ناپیوسته‌ای مانند  $f(x) = 1/(x-a)$ ، که در شکل ۴ نشان داده شده است، نبردازیم این روش همواره صائب است. در اینجا نیز هیچ چیز به اندازه داشتن اطلاعات مشروح از رفتار موضعی تابع در مجاورت ریشه فرضی، ارزش ندارد. معمولاً، روش نیمسازي RTMI را توصیه می‌کند.

#### دو هشدار

۱. کامپیوتر فقط تعدادی متاهی از ارقام معنی‌دار را می‌پذیرد، از این رو نمی‌توانیم انتظار داشته باشیم که صفری بادقت نامتناهی را محاسبه کند. لازم است که حد مجازی برای آن مشخص کنیم. در هر سه زیر-برنامه SSP یعنی RTMI، RTWI، و RTNI باید حد مجازی مشخص شود (با پارامتر ورودی EPS). پس از آنکه موضع ریشه در محدوده این حد مجاز تعیین شد، زیر-برنامه، کنترل را به برنامه اصلی که این زیر-برنامه را فراخوانده است، باز می‌گرداند.
۲. همه رهیافتهایی که در اینجا توضیح داده شد، تکنیکهای تکرار به شمار می‌آیند. چند بار تکرار صورت می‌گیرد؟ چگونه تصمیم به توقف می‌گیریم؟ می‌توان طوری برنامه



شکل ۴. يك قطب ساده.  $f(x_1) \cdot f(x_2) < 0$

داد که تکرار نادرستیابی به دقت مطلوب ادامه یابد. این مخاطره وجود دارد که شاید عاملی مانع همگرایی معقول شود. در این صورت، حد مجاز مورد نظر هرگز به دست نمی آید و يك حلقه نامتناهی داریم. لذا اگر برای تعداد تکرارها قبل از بیشینه ای مشخص شود، بسیار بهتر است. این رهیافت نیز در هر سه زیر-برنامه SSP وجود دارد (با پارامتر ورودی IEND). لذا این زیر-برنامه ها، پس از آنکه يك صفر در محدوده حد مجاز مشخص شده تعیین شد، و یا پس از آنکه تعداد تکرارها به بیشینه مشخص شده رسید متوقف می شود؛ فرقی نمی کند کدام زودتر رخ دهد. در تکنیک نیمسازي ساده، گزینه تعداد تکرارها به فاصله  $x_2 - x_1$  اولیه و به دقت مورد نیاز بستگی دارد. هر تکرار، گستره را به دو نیم می کند. با توجه به اینکه  $10^3 \approx 1024 = 2^{10}$ ، باید ۱۰ بار تکرار سه رقم معنی دار و ۲۰ بار تکرار ۶ رقم معنی دار به مکان ریشه بیفزاید.

### مسائل

۱۰۱ فرض کنید:  $f(x) = x - ax^3$ . برای روش نیوتون چقدر باید کوچک باشد تا به  $x = 0$  همگرا شود؟

۲۰۱ برای تعیین موضع يك ریشه از توابع زیر از روش نیوتون (RTNI) یا برنامه ای که خودتان می نویسید) بهره گیرید:

(الف)  $f(x) = x^2 + 1$ ، و  $x_0 = 0.9$ ،  $1.0$

$$x_0 = 0.9, 1.0, 1.1, f(x) = (x^2 + 1)^{1/2} \quad (\text{ب})$$

$$x_0 = 1.0, 1.1, 1.2, f(x) = \sin x \quad (\text{ج})$$

$$x_0 = 0.9, 1.0, 1.1, f(x) = \tanh x \quad (\text{د})$$

RTNI مستلزم آن است که زیر-برنامه‌ای برای تأمین  $f(x)$  و مشتق آن بنویسید. برنامه را طوری بنویسید که هر بار این زیر-برنامه فراخوانده شود،  $x$  و  $f(x)$  نوشته شود، به طوری که بتوانید رد دنباله برونیاییها را بگیرید.

۳۰۹ به عنوان مثالی از آنچه که روش نیوتون می‌تواند انجام دهد، RTNI را برای یافتن بزرگترین ریشه چندجمله‌ای چپیشف،  $T_{10}(x)$ ، فسرخوانید. رشته‌ای از مقادیر اولیه: 0.98, 0.97, 0.96, 0.95 را بیازمایید. آنچه را که روی می‌دهد به تفصیل شرح دهید.

یادآوری. RTNI به زیر-برنامه‌ای نیاز دارد که تابع  $(T_{10}(x))$  و مشتق آن را تأمین کند. زیر-برنامه SSP در CNP،  $T_{10}(x)$  و  $T$ های باشخصهای پایتتر را فراهم می‌آورد.  $T'_{10}(x)$  را می‌توان از معادله (۷۷.۱۳)  $(x \neq \pm 1)$  محاسبه کرد. پاسخ. 0.98769 = ریشه بیشینه.

۴۰۹ زیر-برنامه‌ای برای تعیین ریشه به روش ساده نیمساز بنویسید که پس از آنکه دو نقطه در دو سوی يك ریشه ساده حقیقی برگزیدید، آن را تعیین کند. زیر-برنامه‌ای را که نوشته‌اید، با تعیین ریشه‌های يك یا چند تا از چندجمله‌ایها یا توابع غیر جبری مقدماتی، بیازمایید.

۵۰۹ نظریه نوسانهای شعاعی آزاد زمین همگن به معادله زیر می‌انجامد

$$\tan x = \frac{x}{1 - a^2 x^2}$$

پارامتر  $a$  به سرعت امواج اولیه و ثانویه وابسته است. سه ریشه اول مثبت این معادله را به ازای  $a = 1.0$  بیابید.

$$\text{پاسخ. } x_1 = 2.7437 \quad x_2 = 6.1168 \quad x_3 = 9.3166$$

۶۰۹ الف) با استفاده از تابع بسل  $J_0(x)$ ، که توسط زیر-برنامه BESJ در SSP تولید می‌شود، موضع ریشه‌های متوالی  $J_0(x)$ ، یعنی  $\alpha_n$  و  $\alpha_{n+1}$  را به ازای  $n = 5, 10, 15, \dots, 30$  تعیین کنید.  $\alpha_n$ ،  $\alpha_{n+1}$  و  $(\alpha_{n+1} - \alpha_n)/\pi$  را در جدولی درج کنید. توجه کنید که کسر آخری چگونه به یک نزدیک می‌شود. دهنمایی. پس از آنکه دو نقطه در دو سوی ریشه یافتید، RTMI آن را با دقت تعیین می‌کند.



(ب) مقادیری را که برای  $\alpha$  یافته‌اید، با مقادیری که به کمک بسط مک‌ماهون در AMS-55، معادله ۱۲.۵.۹، به دست می‌آید، مقایسه کنید.

### مراجع

Hamming, R.W., *Introduction to Applied Numerical Analysis*. New York: McGraw-Hill, 1971, (به ویژه فصل ۲).  
از نظر احاطه مؤلف بر محاسبه عددی و توانایی او در مخاطب قرار دادن خواننده با توانایی متوسط، هیچ کتابی برتر از این کتاب یافت نمی‌شود.

پیوست ۲

## کوادراتور گاوسی

فرمولهای درونیاب

مسئله عبارت است از یافتن مقدار عددی يك انتگرال معین

$$I = \int_a^b f(x) w(x) dx$$

این انتگرال را به کمک مجموعیابی متاهی زیر تقویب می‌زنیم

$$\int_a^b f(x) w(x) dx \approx \sum_{k=1}^n A_k f(x_k) \quad (\text{پ } 1.2)$$

مجموعیابی معادله (پ 1.2) حاوی  $2n+1$  پارامتر زیر است

$n$  نقطه  $x_k$  برای تعیین  $f(x)$

$n$  ضریب  $A_k$

و

۱، گزینه برای خود  $n$

در ادامه،  $f(x)$  را با يك چند جمله‌ای درونیاب  $P(x)$  از درجه  $n-1$  و يك جمله

باقیمانده

$$f(x) = P(x) + r(x) \quad (\text{پ } ۲.۲)$$

تعویض می‌کنیم. در  $n x_k [P(x_k) = f(x_k)]$  تابع  $P(x)$  را به  $f(x)$  بر ارزش می‌دهیم؛ انتخاب، به این شرح است

$$P(x) = \sum_{k=1}^n \frac{\alpha(x)}{(x-x_k)\alpha'(x_k)} f(x_k) \quad (\text{پ } ۳.۲)$$

که در آن  $\alpha(x)$  یک چندجمله‌ای درجه  $n$  کاملاً تجزیه شده به صورت زیر است

$$\alpha(x) = (x-x_1)(x-x_2) \dots (x-x_n) \quad (\text{پ } ۴.۲)$$

دقت کنید که

$$\lim_{x \rightarrow x_k} \frac{\alpha(x)}{(x-x_k)\alpha'(x_k)} = 1 \quad (\text{پ } ۵.۲)$$

اگر  $f(x)$  یک چندجمله‌ای درجه  $n-1$  باشد، باقیمانده  $r(x)$  صفر است و معادله (۳.۲) به یک اتحاد تبدیل می‌شود. در حالت خاص [با استفاده از معادله (۵.۲)] داریم:  $P(x_k) = f(x_k)$ ، چندجمله‌ای درجه  $n-1$  در  $n$  نقطه  $x_k$  به  $f(x)$  بر ارزش شده است. اگر انتگرال جمله باقیمانده کوچک باشد، با استفاده از معادله (۳.۲)، داریم

$$\int_a^b f(x) w(x) dx \approx \int_a^b P(x) w(x) dx \quad (\text{پ } ۶.۲)$$

$$= \int_a^b \sum_{k=1}^n f(x_k) \frac{\alpha(x)}{(x-x_k)\alpha'(x_k)} w(x) dx$$

با تعویض ترتیب انتگرال‌گیری و مجموعیایی خواهیم داشت

$$\int_a^b f(x) w(x) dx \approx \sum_{k=1}^n f(x_k) \int_a^b \frac{\alpha(x)}{(x-x_k)\alpha'(x_k)} w(x) dx \quad (\text{پ } ۷.۲)$$

$$= \sum_{k=1}^n A_k f(x_k)$$

این نوع فرمولهای کوادراتوری را درونیاب می‌نامند. از آنجا که هر چندجمله‌ای  $f(x)$  درجه  $n-1$  را می‌توان دقیقاً  $[r(x) = 0]$  توسط چندجمله‌ای درونیاب با برزش  $n$  نقطه‌ای  $P(x)$  نمایش داد، معادله (۷.۲) برای چنین تابعهای چندجمله‌ای،  $f(x)$ ، از دقت کافی برخوردار است.

موضع  $x_i$ ها، یعنی صفرهای  $\alpha(x)$  در معادله (پ ۷.۲)، مشخص نشده است. اگر آنها را در فواصل مساوی از هم در نظر بگیریم، چند فرمول مختلف نیوتون-کوتز به دست خواهیم آورد. شاید قاعدهٔ سیمپسون [معادله (پ ۸.۲)] مشهورترین و، در میان فرمولهای ساده تر، دقیقترین آنهاست

$$\int_a^b f(x) dx \approx \frac{h}{3} \{f(a) + 4f(a+h) + 2f(a+2h) + 4f(a+3h) + 2f(a+4h) + \dots + 4f(b-h) + f(b)\} \quad (\text{پ } 8.2)$$

در اینجا  $h$  فاصلهٔ بین نقاط هم فاصله است،  $h = x_4 - x_3 = x_3 - x_2 = x_2 - x_1 = x_1 - a$ ، و الی آخر. معادله (پ ۸.۲) را می توان به صورت یک جمع ذنی یا برازش سه نقطه ای در نظر گرفت

$$\int_c^{c+2h} f(x) dx \approx \frac{h}{3} \{f(c) + 4f(c+h) + f(c+2h)\} \quad (\text{پ } 9.2)$$

که انتظار داریم با وجود  $f(x)$  در بازه  $[c, c+2h]$  از درجه کمتر یا مساوی ۲، معادله (پ ۹.۲) دقیق باشد.

قاعدهٔ سیمپسون عملاً از این بهتر است. تحلیل خطا نشان می دهد که خطا در قاعدهٔ سیمپسون از عبارت  $h^5 f^{(4)}(\xi)/90$  - به دست می آید، که در آن  $\xi$  نقطه ای است در بازه  $[c, c+2h]$ .  $f^{(4)}(x) = x^3$  به ازای  $f(x) = x^3$  برابر صفر است، و قاعدهٔ سیمپسون برای معادله های درجه سوم دقیق است. خواننده می تواند این نکته را با نشان دادن این واقعیت که  $\int_0^1 x^3 dx$  دقیقاً از معادله (پ ۸.۲) به دست می آید، اثبات کند.

این نتیجه را می توان پیامدی از اصول تقارنی زیر دانست: (۱) ضرایب قاعدهٔ سیمپسون نسبت به  $x$  میانمی متقارن اند؛ این ضریبها برای معادله (پ ۹.۲) عبارت اند از ۱، ۴، ۱، ۴، ۱. (۲) در قاعدهٔ سیمپسون،  $n=3$  فرد است و  $x^3$  تابعی فرد است. اگر فرار دهیم؛  $c = -h$ ، آنگاه  $c+h=0$ ، و دو طرف معادله (پ ۹.۲) به دلیل (پاد) تقارن، صفر می شود. این درجه دقت اضافی برای هر یک از فرمولهای نیوتون-کوتز با  $n$  فرد ظاهر می شود.

### گوادر اتور گاوس

گاوس خاطر نشان کرد که مواضع  $x_i$  پارامترهای استفاده نشده ای اند که از آنها می توان برای بهبود دقت معادله (پ ۷.۲) استفاده کرد، این دقت بیشتر را در صورتی می توان به دست آورد که صفرهای  $\alpha(x)$  در فاصله های مساوی از یکدیگر واقع نباشند، بلکه به صورت زیر انتخاب شوند.

$x_i$  را طوری انتخاب می کنیم که چند جمله ای درجه  $n$  کاملاً تجزیه شده  $\alpha(x)$ ،

چندجمله‌ای درجه  $n$  می باشد که برهه چندجمله‌ایهای از درجه‌های پایتتر در بازه  $[a, b]$  نسبت به عامل وزن دهنده  $w(x)$  متعامد باشد. ترکیبهایی از بازه و عامل ورنی که از همه متداولترند، آنهایی اند که در جدول ۳.۹ درج شده‌اند. بنا بر این  $x_k$ ها عبارت‌اند از  $n$  صفر چندجمله‌ایهای درجه  $n$  ام لژاندر، هرمیت، لاگر، چیشف، و جز اینها.  $x_k$ ها و ضریبهای  $A_k$  متناظر در فصل ۲۵ AMS-55 جدولبندی شده‌اند. زیر-برنامه‌های محاسباتی نیز برای حالت‌های لژاندر، لاگر، و هرمیت، هم در دقت یگانه و هم در دقت مضاعف، وجود دارد.

ثابت خواهیم کرد که این گزینۀ  $x_k$  (به صورت صفرهای چندجمله‌ایهای متعامد درجه  $n$  مناسب)، فرمول کوادراتور (پ ۷.۲) را برای تابعی چون  $f(x)$  که یک چندجمله‌ای از درجه کمتر یا مساوی با  $2n-1$  باشد، دقیق می‌سازد. توانایی این گزینۀ گاوسی در همین است [دادن فاصله مساوی به  $x_k$ ها (نیوتون-کوتز) تنها به ازای تابعی چون  $f(x)$ ، که به صورت یک چندجمله‌ای از درجه  $(n-1)$  ام یا کمتر برای  $n$  زوج و از درجه  $n$  ام یا کمتر برای  $n$  فرد باشد، دقیق است].

اثبات لزوم و کفایت این گزینۀ ریشه‌های چندجمله‌ایهای متعامد به‌قرار زیر است. قضیه شرط لازم و کافی برای آنکه فرمول درون‌یابی به شکل (پ ۷.۲)، برای همه چندجمله‌ایهای از درجه  $2n-1$  یا کمتر، دقیق باشد، آن است که  $\alpha(x)$  نسبت به  $w(x)$  روی بازه  $[a, b]$  برهه چندجمله‌ایهای از درجه  $n-1$  یا کمتر متعامد باشد. لزوم. فرض کنید که معادله (پ ۷.۲) برای تابعی چون  $f(x)$  که به صورت هر چندجمله‌ای درجه  $2n-1$  یا کمتر باشد، دقیق باشد.  $Q_1(x)$  را یک چندجمله‌ای از درجه  $n-1$  یا کمتر بگیرد. در این صورت  $f(x) = \alpha(x)Q_1(x)$  یک چندجمله‌ای از درجه  $2n-1$  یا کمتر است. بایک جانشانی ساده، داریم

$$\int_a^b f(x)w(x)dx = \int_a^b \alpha(x)Q_1(x)w(x)dx \quad (\text{پ } 10.2 \text{ الف})$$

و از آنجا که معادله (پ ۷.۲) را برای انتگرالده‌هایی به صورت چندجمله‌ایهایی بسا این درجه دقیق گرفتیم، داریم

$$\int_a^b \alpha(x)Q_1(x)w(x)dx = \sum_{k=1}^n A_k \alpha(x_k)Q_1(x_k) \quad (\text{پ } 10.2 \text{ ب})$$

$$= 0$$

تساوی با صفر در مرحله آخر را به این دلیل داریم که در معادله (۴.۲):  $\alpha(x_k) = 0$ . یعنی

۱. اگر  $a$  و  $b$  متناهی باشند، بازه  $[a, b]$  را همواره می‌توان از طریق تبدیل خطی  $x = [(b-a)t + (b+a)]/2$ ,  $t = [2x - (a+b)]/(a-b)$  به  $[-1, 1]$  تبدیل کرد. لذا،  $\int_a^b f(x)dx = \int_{-1}^1 f(t)dt$ .

این نکته بیان می‌شود که چندجمله‌ای درجه  $n$ ،  $w(x)$ ، بر همه چندجمله‌ایهای  $Q_r(x)$  با درجه کمتر از  $n-1$  متعامد است.

کفایت. فرض کنید که  $\alpha(x)$  بر همه چندجمله‌ایهای از درجه  $n-1$  یا کمتر متعامد باشد.  $f(x)$  را یک چندجمله‌ای از درجه  $n-1$  یا کمتر بگیرد. با تقسیم  $f(x)$  بر  $\alpha(x)$  داریم

$$\frac{f(x)}{\alpha(x)} = Q_r(x) + \frac{\rho(x)}{\alpha(x)} \quad (\text{پ } 11.2)$$

یا

$$f(x) = \alpha(x)Q_r(x) + \rho(x) \quad (\text{پ } 12.2)$$

که در آن  $Q_r(x)$  و  $\rho(x)$  چندجمله‌ایهای از درجه  $n-1$  یا کمتر هستند. با انتگرالگیری خواهیم داشت

$$\int_a^b f(x)w(x)dx = \int_a^b \alpha(x)Q_r(x)w(x)dx + \int_a^b \rho(x)w(x)dx \quad (\text{پ } 13.2)$$

انتگرال اول سمت راست به دلیل تعامد مفروض صفر می‌شود. در این صورت به آن جهت که درجه  $\rho(x)$  برابر  $n-1$  یا کمتر از آن است، معادله (۷.۲) (که درونیاب است) دقیق خواهد بود و

$$\int_a^b f(x)w(x)dx = \sum_{k=1}^n A_k \rho(x_k) \quad (\text{پ } 14.2)$$

با توجه به اینکه  $\alpha(x_k) = 0$ ، از معادله (پ ۱۲.۲) خواهیم داشت

$$\rho(x_k) = f(x_k)$$

بنابراین

$$\int_a^b f(x)w(x)dx = \sum_{k=1}^n A_k f(x_k) \quad (\text{پ } 15.2)$$

دقیق است. این عبارت، همان معادله (پ ۷.۲) است که برای هر چندجمله‌ای، مانند  $f(x)$ ، از درجه  $n-1$  یا کمتر دقیق است.

به‌عنوان مثالی خاص از معادله (پ ۱۵.۲) حالتی را در نظر بگیرید که در آن  $w(x) = 1$  و  $[a, b] = [-1, 1]$  چندجمله‌ایهایی که روی این بازه و نسبت به این تابع وزنی متعامدند، عبارت‌اند از چندجمله‌ایهای لژاندر در فصل ۱۲.  $x_k$ ها به ازای گزینۀ  $n=10$ ، عبارت‌اند از ده ریشه  $P_{10}(x)$ . مقدارهای  $A_R$ ، در اصل، از معادله (۷.۲) به دست می‌آیند.

کریلوف عبارت مناسبتری بدست می آورد.

سرانجام معادله (پ ۱۵.۲)، با در اختیار داشتن مقادیر عددی  $A_k$  ها و  $x_k$  ها به صورت زیر درمی آید

$$\int_{-1}^1 f(x) dx = +0.06667134 f(+0.97390652) \\ +0.14945134 f(+0.86506336) \\ +0.21908636 f(+0.67940956) \\ +0.26926671 f(+0.43339539) \\ +0.29552422 f(+0.14887433) \\ +0.29552422 f(-0.14887433) \\ +0.26926671 f(-0.43339539) \\ +0.21908636 f(-0.67940956) \\ +0.14945134 f(-0.86506336) \\ +0.06667134 f(-0.97390652) \quad (پ ۱۶.۲)$$

که برای تابعی چون  $f(x)$  که به صورت یک چند جمله ای از درجه ۱۹ یا کمتر باشد، تا تعداد رقمهای فهرست شده (دقیق است).

فایده واقعی انتگرالگیری گاوسی به دو عامل بستگی دارد: (۱) دسترسی به کامپیوتر و (۲) دسترس بودن مقادیر  $f(x)$  در نقاط  $x = x_k$ . این موضوع به طور کلی به آن معنی است که  $f(x)$  را می توان به صورت بسته، یا تقریباً بدشکلی مناسب مشخص کرد، به طوری که  $f(x_k)$  را بشود به آسانی محاسبه کرد. اگر  $f(x)$  به صورت متادیسر هم فاصله جدول بندی شده، داده شده باشد، شاید قاعده سیمپسون بهترین گزینه برای انتگرالگیری عددی باشد.

هشدار. فرض اساسی ما آن است که  $f(x)$  را بتوان توسط یک چند جمله ای درجه  $(1 - 2n)A_1$ ، که در آن  $n$  به طور معقولی کوچک باشد، بدقت نمایش داد. اگر  $f(x)$  درون بازه انتگرالگیری یک تکنیکی داشته باشد، روشن است که این فرض وجود یک نمایش چند جمله ای اعتبار ندارد. حتی اگر  $f(x)$  متناهی بماند، حضور یک شیب نامتناهی بدان معناست که تقریب ما تقریب بدی است، ودقت عددی نسبتاً کم است. در مسئله پ ۷.۲ این نکات را ملاحظه می کنیم.

۱. جدول بندی هایی از  $A_k$  ها و  $x_k$  ها در مراجعی که در انتهای فصل می آید، در (فصل ۲۵) AMS-55 یافت می شوند.

## مسائل

۱.۲ (الف) معادله (پ ۵.۲) را اثبات کنید.

(ب) با چند جمله‌ای،  $P(x)$ ، از درجه  $n-1$  یا کمتر و مقداری از  $\alpha(x)$  که توسط معادله (پ ۴.۲) داده می‌شود، تحقیق کنید که

$$P(x) = \sum_{k=1}^n \frac{\alpha(x)}{(x-x_k)\alpha'(x_k)} P(x_k)$$

۲.۲ با استفاده از یک زیر-برنامه گاوس-لژاندر ده رقمی انتگرال زیر را محاسبه کنید

$$\int_0^1 x^n dx \quad n = 0(1)40 \text{ به ازای}$$

مقدار محاسبه شده انتگرال، مقدار دقیق آن، و خطای نسبی را جدول بندی کنید. (خطای نسبی)  $\log$  را بر حسب  $n$  رسم کنید.

۳.۲ با استفاده از یک زیر-برنامه گاوس-لاگر ده رقمی انتگرال زیر را محاسبه کنید

$$\int_0^{\infty} x^n e^{-x} dx \quad n = 0(1)25 \text{ به ازای}$$

مقدار محاسبه شده انتگرال، مقدار دقیق آن، و خطای نسبی را جدول بندی کنید. (خطای نسبی)  $\log$  را بر حسب  $n$  ترسیم کنید.

۴.۲ با استفاده از یک زیر-برنامه گاوس-هرمیت ده رقمی مقدار انتگرال زیر را محاسبه کنید

$$\int_{-\infty}^{\infty} x^n e^{-x^2} dx \quad n = 0(2)22 \text{ به ازای}$$

مقدار محاسبه شده انتگرال، مقدار دقیق آن، و خطای نسبی را جدول بندی کنید. (خطای نسبی)  $\log$  را بر حسب  $n$  رسم کنید.

۵.۲ (الف) یک زیر-برنامه گاوس-چیشف بادقتی مضاعف بنویسید که انتگرال‌هایی بدصورت زیر را با استفاده از ۲۰ نقطه، یعنی ۲۰ ریشه چندجمله‌ای چیشف  $T_{20}(x)$ ، محاسبه کند

$$\int_{-1}^1 \frac{f(x)}{(1-x^2)^{1/2}} dx$$

این ریشه‌ها و ضریب‌های  $A_k$  توسط استرود و سیکرست جدول بندی شده‌اند. (ب) زیر-برنامه خود را با محاسبه



$$\int_{-1}^1 x^{2n}(1-x^2)^{-1/2} dx$$

به ازای  $n=0(2)30$ ، بیازمایید. مقدار محاسبه شده این انتگرال مقدار دقیق آن، و خطای نسبی را در جدولی درج کنید. (خطای نسبی)  $\log$  را بر حسب  $n$  رسم کنید.

۶.۴ با استفاده از کوادراتور گاوس-لواندر انتگرال زیر را محاسبه کنید

$$4 \int_{-1}^1 \frac{dx}{0.1+x^2}$$

برای به دست آوردن نتیجه‌ای که تا ۵ رقم معنی‌دار دقیق باشد، به چند نقطه ارزیابی نیاز دارید؟ برای ۱۲ رقم بامعنی به چند نقطه نیاز دارید؟ پاسخ. ۵ رقم بامعنی  $\Rightarrow$  کوادراتور گاوس-لاگر چهار نقطه‌ای ۱۲ رقم بامعنی  $\Rightarrow$  دوازده نقطه.

۷.۴ ثابت اویلر-ماشرونی،  $\gamma$ ، را می‌توانیم با استفاده از مسئله ۱۱.۲.۱۰ به صورت زیر بنویسیم

$$1. \quad \gamma = - \int_0^{\infty} \ln re^{-r} dr$$

$$2. \quad \gamma = 1.05 - \int_0^{\infty} r \ln re^{-r} dr$$

[۳ رقم معنی‌دار  $\Rightarrow$  ۳۲ نقطه]

$$3. \quad \gamma = 1.05 - 0.05 \int_0^{\infty} r^2 \ln re^{-r} dr$$

(الف) توضیح دهید که چرا برای انتگرال اول، کوادراتور گاوس-لاگر را نباید به کار برد.

(ب) عبارتهای (۲) و (۳) را با به کار بردن کوادراتور گاوس-لاگر ۳۲ رقمی محاسبه کنید و توضیح دهید که چرا دقت نتایج بسیار محدود است.

۸.۴ (الف) انتگرال زیر را با استفاده از فرمولهای کوادراتور گاوس-هرمیت به ازای چندین مقدار  $n$  (تعداد نقطه‌های ارزیابی) برآورد کنید

$$I = \int_{-\infty}^{\infty} \frac{e^{-x^2} dx}{1+|x|}$$

(ب) این انتگرال را به صورت زیر بازنویسی کنید

$$I = 2 \int_0^{\infty} \frac{e^{-x^2+x}}{1+x} e^{-x} dx$$

و آن را توسط کوادراتور گاوس-لاگر، به ازای چندین مقدار  $n$  محاسبه کنید.  
پاسخ. (ب) ۱۰۲۱۰۳.

### مراجع

Davis, P. J., and P. Rabinowitz *Methods of Numerical Integration*.  
Orlando: Academic Press, 1975.

Krylov, V.I. (ترجمه توسط استرود) و *Approximate Calculation of Integrals*.  
New York: Macmillan, 1962.

این کتاب بسیار واضح نوشته شده است، و عملاً همه جنبه‌های محاسبه تقریبی انتگرالها را در برمی‌گیرد و مبحث بسیار خوبی است برای کوادراتور گاوسی و سایر کوادراتورهای عددی. جدولهایی از نقاط ارزیابی و عاملهای وزن دار نیز در این کتاب یافت می‌شود.

Stroud, A. H. *Numerical Quadrature and Solution of Ordinary Differential Equations*, Applied Mathematics Series, vol. 10. New York: Springer-Verlag, 1974.

این کتاب به عنوان یک بحث عالی درباره کوادراتور گاوسی و سایر کوادراتورهای عددی، حاوی جدولهایی از نقطه‌های ارزیابی و عاملهای وزن دار نیز هست.

Stroud, A. H. and D. Secrest, *Gaussian Quadrature Formulas*. Englewood, N. J.: Prentice-Hall, 1966.

کتابی است با ارزش عمدتاً به این دلیل که حاوی جدولهای گسترده‌ای از  $x_k$ ها و  $A_k$ ها برای انواع بازه‌ها و عاملهای وزن دار است.

### مراجع کلی

1. E. T. Whittaker and G. N. Watson, *A Course of Modern Analysis*, 4th ed. Cambridge: Cambridge University Press, 1962.

این کتاب گرچه قدیمیترین مرجع است (ویرایش اصلی به سال ۱۹۰۲ برمی‌گردد) ولی هنوز هم مرجعی کلاسیک به شمار می‌آید. در این کتاب نیز مانند ویرایش ۱۹۰۲ آن تکیه بر ریاضیات محض و دقت کامل ریاضی است.

2. P. M. Morse and H. Feshbach, *Methods of Theoretical Physics* vol. 2  
New York: McGraw-Hill Book Company, 1953.

در این کتاب ریاضیات مربوط به بخش اعظم فیزیک نظری به گونه‌ای مشروح ولی در سطحی نسبتاً پیشرفته ارائه شده است. این کتاب، منبع اطلاعات برجسته‌ای برای مطالعه تکمیلی و بررسیهای پیشرفته به شمار می‌آید.

3. H. S. Jeffreys and B. S. Jeffreys, "Methods of Mathematical Physics" 3rd Ed. Cambridge, England: Cambridge University Press, 1956.

این کتاب به بررسی پژوهشگران گستره وسیعی از آنالیز ریاضی می‌پردازد، و در آن توجه قابل ملاحظه‌ای به دقت ریاضی می‌شود. کاربردهای عنوان شده بیشتر به فیزیک کلاسیک و ژئوفیزیک مربوط می‌شود.

4. R. Courant and D. Hilbert, *Methods of Mathematical Physics*, Col. I. (نخستین ویرایش انگلیسی) New York Wiley (Interscience), 1953.

این کتاب، به عنوان یک مرجع، برای فیزیک ریاضی، خصوصاً به خاطر قضیه‌های وجود و مباحث مربوط به زمینه‌هایی مانند مسائل ویژه مقدراری، معادله‌های انتگرالی، و حساب وردشها بسیار با ارزش است.

5. F. W. Byron, JR. and R. W. Fuller, *Mathematics of Classical and Quantum Physics*, Reading, Mass.: Addison-Wesley, 1969.

کتاب درسی پیشرفته‌ای است که اطلاعات متوسطی از ریاضی فیزیک را دانسته فرض می‌کند.

6. C. M. Bender and S. A. Orszag, *Advanced Mathematical Methods for Scientists and Engineers*. New York: McGraw-Hill, 1978.

7. *Handbook of Mathematical Functions with Formulas, Graphs, and Mathematical Tables*. Applied Mathematics Series, 55 (AMS-55), National Bureau of Standards, U. S. Department Commerce, 1964.

این کتاب، همان گونه که از عنوانش پیداست، بسیار بفرنج است، اما مرجع فوق‌العاده سودمندی است.

مراجع تخصصی‌تر دیگری نیز در انتهای هر فصل آمده است.

## فهرست راهنما

- |  |   |
|--|---|
| <p>~ فوریه-ملین ۵۵۸</p> <p>~ لیگک ۱۱۶</p> <p>~ لومل ۲۱۰</p> <p>انتگرال سینوس ۱۷۴</p> <p>تبدیل لاپلاس ~ ۵۴۹</p> <p>نمایش فوق هندسی همشاره ~ ۴۲۷</p> <p>انتگرال کسینوس ۱۷۱</p> <p>نمایش فوق هندسی همشاره ~ ۴۲۷</p> <p>انتگرالهای خطا ۱۷۶</p> <p>نمایش فوق هندسی همشاره ~ ۴۲۶</p> <p>بستار ۱۲۳، ۱۳۳</p> <p>بسط توابع گرین عملگر لاپلاس در مختصات</p> <p>~ استوانه‌ای ۶۳۶</p> <p>~ قطبی کروی ۶۳۴-۶۳۶</p> <p>بسط ذاکوبی-آنزه ۱۹۷</p> <p>بسط سری</p> <p>~ به روش استوکس ۲۴۷</p> <p>~ توابع هنکل ۲۲۴</p> <p>بسط لژاندر در دو قطبی الکتریکی ۳۲۰، ۲۷۲</p> | <p>آمار بوز - اینشتین ۶۸۳</p> <p>آمار فرمی - دیراک ۶۸۳</p> <p>اتحاد پاراسوال ۴۵۸</p> <p>اتم هیدروژن ۳۸۸-۳۹۰</p> <p>پتانسیلهای الکتروستاتیکی ~ ۱۷۷</p> <p>معادله وابسته لاگر ~ ۳۸۸</p> <p>نمایش تکانه‌ای ~ ۵۰۶</p> <p>~ در مکانیک کوانتومی ۵۰۶، ۵۰۷</p> <p>اصل</p> <p>~ تقابل، تابع گرین ۶۷</p> <p>~ عدم قطعیت در نظریه کوانتومی</p> <p>۴۸۸، ۳۷۴، ۲۵۶</p> <p>~ فرما ۶۶۴</p> <p>~ هامیلتون و معادلات لاگرانژی حرکت</p> <p>۶۶۸-۶۷۱</p> <p>انتگرال</p> <p>~ برامویج مانده‌ها ۵۵۶-۵۶۶</p> <p>~ بسمل ۲۰۱</p> <p>~ دیریکله ۱۶۹</p> |
|--|---|

- انتگرال پربند ~ ۱۴۴  
 بسط مک لورن ~ ۱۵۲  
 تابع پلی گامای حاصل از ~ ۱۵۱  
 تابع دی گامای حاصل از ~ ۱۵۰-  
 ۱۶۶، ۱۵۷  
 حاصلضرب نامتناهی ~ ۱۳۹  
 دستورهای دوبرابر لژاندر ~ ۱۵۹،  
 ۱۶۶  
 رابطه تابع گاما با ~ ۱۴۱  
 سری استرلینگ ~ ۱۶۵-۱۵۸  
 شناسه‌های مختلط ~ ۱۴۸  
 نمایش انتگرالی ~ ۱۳۸، ۱۴۴  
 تابع گاما (تابع فاکتوریل)  
 تابع پلی گامای حاصل از ~ ۱۵۱  
 تابع دی گامای حاصل از ~ ۱۵۰-  
 ۱۵۷  
 تعریف انتگرال معین (اویلر) ~ ۱۳۷  
 تعریف حاصلضرب نامتناهی (وایر-  
 شتراوس) ~ ۱۳۹  
 تعریف حد نامتناهی (اویلر) ~ ۱۳۶  
 روابط بازگشتی ~ ۴۵، ۳۷  
 شناسه‌های مختلط ~ ۱۴۸، ۱۵۲  
 تابع گامای کامل  
 روابط بازگشتی ~ ۱۷۶  
 نمایش فوق هندسی ~ ۴۲۳  
 تابع مولد چند جمله‌ای‌های وابسته لاگر  
 ۳۸۶  
 تبدیل انتگرالی ۴۷۷-۵۷۱  
 ~ فوریه ۴۷۷-۵۱۶  
 ~ لاپلاس ۴۷۸، ۵۱۶-۵۶۹  
 ~ ملین ۴۷۸، ۴۸۱
- پارینه در تبدیلهای سینوس، کسینوس فوریه  
 ۴۸۷  
 پارینه در توابع  
 ~ بسط ۱۹۷  
 ~ چبیشف ۳۹۹  
 ~ کروی تعدیل یافته بسط ۲۶۲  
 ~ هریت ۳۷۵  
 ~ هماهنگیهای کروی برداری ۳۶۶  
 پارینه در توابع لژاندر ۲۸۳  
 ~ نوع دوم ۳۶۳  
 ~، وابسته ۳۱۲  
 پاشندگی بی‌هنجار ۵۶۱-۵۶۳  
 پدیده گیس ۴۶۴-۴۶۹  
 پراش فرانوفر، توابع بسط ۱۹۱  
 تابع انتگرال  
 تبدیل لاپلاس ~ نمایی ۵۴۸  
 ~ لگاریمی ۱۷۴  
 تابع بتا ۱۶۴-۱۷۲  
 بیجش لاپلاس ~ ۵۵۶  
 تابع دلتای دیراک  
 انتگرال فوریه ~ ۴۸۳، ۴۸۴  
 بسط ویژه تابعها ~ ۱۲۲، ۳۳۲  
 تابع گرین و ~ ۵۸-۶۲، ۶۳  
 تبدیل لاپلاس ~ ۵۳۱  
 چشمه نقطه‌ای ~ ۶۲۴، ۶۳۵  
 نظریه کوانتومی ~ ۵۵۶  
 نمایش بسط ~ ۴۸۱  
 نمایش کسینوسی، سینوسی ~ ۲۹۱  
 نیروهای ضربه‌ای ~ ۵۳۲، ۵۳۳  
 تابع فاکتوریل (تابع گاما)

- ~هنکل ۴۷۸-۴۸۲  
 تبدیل فوریه ۴۷۷-۵۱۶  
 ~، انتگرالی ۲۸۱-۴۸۴  
 تابع انتقال ~ ۵۱۲-۵۱۶  
 تعیین تابع دلتا ~ ۴۸۳  
 جواب معادله انتگرالی ~ ۵۸۵  
 ~ در قضیه پیچش ۲۹۹-۵۰۴  
 ~ در قطار موج منتهای ۴۸۷-۴۸۹  
 ~ در گرانامی ۴۷۲  
 ~ سریع ۲۷۳  
 ~ قضیه وارونی ۲۸۴-۲۹۵  
 ~ گسته ۲۶۹-۲۷۶  
 مشتق ~ ۲۹۵-۲۹۹  
 نمایش تکانه‌ای در ~ ۵۰۴-۵۱۲  
 تبدیل لاپلاس ۲۷۸، ۵۱۶-۵۶۹  
 انتقال ~ ۵۳۸  
 انتگرالگیری ~ ۵۲۳، ۵۲۴  
 جانشانی ~ ۵۳۶  
 جدول عملیات ~ ۵۶۸  
 جواب معادله انتگرالی ~ ۵۸۵  
 قضیه پیچش ~ ۵۵۱-۵۵۶، ۵۶۴، ۵۸۵  
 مشتق ~ ۵۲۶-۵۳۵، ۵۴۱، ۵۴۳  
 وارون ~ ۵۲۵-۵۲۵، ۵۵۶-۵۶۶  
 تبدیل معادله دیفرانسیل به یک معادله  
 انتگرالی ۵۷۷، ۶۱۹-۶۲۳  
 تبدیل ملین ۲۷۸، ۲۸۱  
 تبدیل هنکل ۲۷۸-۲۸۱  
 تحلیل عددی  
 ~ ادغامی قطع شده چیشف ۴۱۱-  
 ۲۱۲  
 ~ بسط سریهای بسط توابع تعدیل-  
 یافته بسط ۲۴۵، ۲۴۶  
 ~ تابع فاکتوریل ۱۶۰-۱۶۱  
 ~ تبدیل وارون لاپلاس ۵۲۳  
 ~ شگرد وردشی ریلی-ریش ۶۹۳-  
 ۶۹۹  
 ~ معادله‌های انتگرالی ۵۹۸-۶۰۱  
 تحلیل محاسبه عددی  
 ~ تابع بسط ۱۸۷، ۲۴۵  
 ~ تابع فاکتوریل ۱۵۹-۱۶۱  
 ~ توابع کروی بسط ۲۵۲  
 تحلیل محاسبه عددی چند جمله‌ایهای  
 ~ چیشف ۲۹۸  
 ~ لاگر ۳۸۵  
 ~ لواندر ۲۸۰  
 ~ هرمیت ۳۷۰  
 تقارن  
 ~ در تابع گرین ۶۵، ۶۱۹  
 ~ عملگرهای دیفرانسیلی ۲۸  
 تقریب بورن ۶۴۰، ۶۴۸  
 تکانه‌زاویه‌ای در مکانیک کوانتومی (دوترون)  
 ۸۵-۸۸  
 تمامیت  
 ~ در سری فوریه ۲۳۳  
 ~ ویژه تابعهای اشتورم-لیوویل ۱۱۶-  
 ۱۳۴  
 ~ ویژه تابعهای معادله انتگرالی هیلبرت-  
 اشمیت ۶۰۹  
 تمهید تحلیلی  
 ~ انتگرال برامویچ ۵۵۸  
 ~ تابع گاما ۱۴۳

- توابع انتقال ۵۱۲-۵۱۶  
 توابع بسل ۱۸۲-۲۶۷  
 ~ از مرتبه غیر عدد درست ۱۹۶  
 ~ برای غشای دایره‌ای ۲۵۳  
 بسط‌های مجانبی ~ ۲۴۷-۲۴۵  
 تابع مولد ~ ۱۸۲، ۱۸۴، ۱۹۷  
 تبدیل فوریه ~ ۴۹۱، ۴۹۳  
 تبدیل لاپلاس ~ ۵۴۲، ۵۴۶  
 تعامد در ~ ۲۵۶-۲۱۳  
 ~ در موج‌های استوانه‌ای ۲۱۹  
 روابط بازگشتی ~ ۱۸۵  
 سری بسل ~ ۲۵۸  
 صفرهای ~ ۱۹۲  
 صورت سری ~ ۳۵، ۱۸۴  
 فرمولهای رونسکیبی ~ ۲۱۷، ۲۲۱،  
 ۲۲۵، ۲۲۸، ۲۴۶  
 نمایش انتگرالی ~ ۱۸۸-۱۹۱، ۲۵۲  
 نمایش فوق هندسی همشار ~ ۲۲۴  
 ~ نوع اول ۱۸۲-۲۵۶  
 توابع تعدیل یافته بسل ۲۳۱-۲۳۹  
 بسط مجانبی ~ ۲۴۲، ۲۴۳  
 تابع گرین ~ ۶۳۸  
 تابع مولد ~ ۲۳۵  
 تبدیل فوریه ~ ۴۹۳  
 تبدیل لاپلاس ~ ۵۴۶  
 رابطه رونسکیبی ~ ۲۳۷  
 روابط بازگشتی ~ ۲۳۳، ۲۳۷  
 صورت سری ~ ۲۳۲  
 نمایش انتگرالی ~ ۲۳۵-۲۳۹  
 ~  $K$ ،  $I$ ، ۲۳۱، ۲۳۴  
 توابع چبیشف ۳۹۴-۳۱۷  
 ~ انتقال یافته ۴۱۴  
 تابع مولد ~ ۳۹۴، ۴۵۱  
 تبدیل فوریه ~ ۴۹۴  
 تعامد در ~ ۴۵۱  
 ~ در تعامد گسته ۴۷۵  
 دستور العمل گرام-اشمیت ~ ۱۱۵،  
 ۱۱۶  
 روابط بازگشتی ~ ۳۹۶  
 سری ادغامی قطع شده ~ ۴۱۱-۴۱۴  
 شکل مثلثاتی ~ ۴۵۵، ۴۵۷  
 کاربردهای عددی سری ~ ۴۵۷-۴۱۷  
 نمایش فوق هندسی ~ ۴۱۹  
 توابع صفر ۲۶۶، ۲۸۷، ۷۰۱-۷۰۷  
 توابع فوق هندسی ۴۱۷-۴۲۲  
 تابع چبیشف بر حسب ~ ۴۲۵  
 تابع لواندر بر حسب ~ ۴۱۹  
 توابع فوق هندسی همشار ۴۲۳-۴۳۵  
 بسط مجانبی ~ ۴۲۹  
 ~ بسل ۴۲۴، ۴۲۷  
 رابطه رونسکیبی ~ ۴۲۹  
 ~ لواندر ۴۲۴  
 ~ ویناکر ۴۲۶  
 ~ هرمیت ۴۲۵  
 توابع کروی بسل ۲۴۸-۲۶۶  
 تعامد در ~ ۲۵۵، ۲۵۷  
 ~ تعدیل یافته ۲۶۲، ۲۶۳  
 تعریف ~ ۲۴۸  
 رابطه رونسکیبی ~ ۲۵۸، ۲۶۳  
 روابط بازگشتی ~ ۲۵۳  
 صورت مجانبی ~ ۲۵۳  
 توابع کلاوزن ۴۶۳

- توابع گرین ۶۱۴-۶۴۹  
 ~ توابع کروی بسل ۶۴۷  
 ~ دو، سه بعدی ۶۳۰، ۶۳۲  
 شبیه الکتروستاتیکی ~ ۵۸، ۶۱۴  
 عملگر لاپلاس ~ ۶۳۲-۶۳۴  
 ~ مربوط به معادله هلمهولتز ۱۲۳،  
 ۶۲۹، ۶۳۳  
 معادل انتگرال معادله دیفرانسیل ~  
 ۶۱۹-۶۲۴  
 ~ معادله تعدیل یافته هلمهولتز ۶۲۹،  
 ۶۳۳  
 ~ و تابع دلتای دیراک ۶۲۴، ۶۳۰  
 ~ یک بعدی ۶۱۵-۶۲۰  
 توابع لاگر ۳۸۱-۳۹۴  
 تابع مولد ~ ۳۸۳  
 تبدیل لاپلاس ~ ۵۴۷  
 تعامد در ~ ۳۸۵  
 چند جمله ایهای وابسته لاگر ~ ۳۸۵-  
 ۳۹۱  
 روابط بازگشتی ~ ۳۸۴  
 نمایش انتگرالی ~ ۳۸۲  
 توابع لژاندر ۲۶۷-۳۶۷  
 ~ انتقال یافته ۱۱۴  
 انتگرال اضلاقی در ~ ۳۵۴  
 پارینه در ~ ۲۸۳  
 تابع مولد ~ ۲۶۷، ۵۸۶  
 تبدیل فوریه ~ ۴۹۴  
 تعامد در ~ ۲۸۸-۳۵۳  
 جوابهای به شکل ~ نوع دوم ۳۵۸-  
 ۳۶۰  
 چند جمله ایهای ~ ۲۶۹
- ~ در چند قطبهای الکتریکی ۲۷۲-  
 ۲۷۵، ۲۸۶، ۳۲۱  
 ~ در قطبش دی الکتریک ۳۰۰  
 ~ در کره واقع در میدان الکتریکی  
 یکنواخت ۲۹۲  
 ~ در یک حلقه الکتریکی باردار ۲۹۵  
 دستور العمل گرام-اشمیت ~ ۱۱۰،  
 ۱۱۴  
 روابط بازگشتی ~ ۲۷۸، ۳۶۲  
 سری لژاندر در ~ ۲۹۰  
 فرمول رد ریگنز در ~ ۳۰۳، ۳۱۲،  
 ۳۴۱  
 معادلات دیفرانسیل در ~ ۲۸۰  
 نمایش فوق هندسی ~ ۴۱۹  
 نمایش فوق هندسی همشاره ~ ۴۲۴  
 ~ نوع دوم ۳۵۲-۳۶۲  
 توابع تعامد ۹۹  
 توابع نویمان ۲۱۳-۲۲۳  
 تبدیل فوریه ~ ۴۹۳  
 روابط بازگشتی ~ ۲۱۷  
 صورت مجانبی ~ ۲۴۳  
 فرمولهای رونسکیی ~ ۲۱۷، ۲۲۰  
 ~، کروی ۲۵۰  
 توابع وابسته لژاندر  
 پارینه در ~ ۳۱۲  
 تعامد در ~ ۳۱۲-۳۱۶  
 ~ در چند جمله ایهای لژاندر ۳۱۰  
 روابط بازگشتی ~ ۳۱۰  
 رابطه بین  $M +$  و  $M -$  در ~ ۳۱۰،  
 ۳۲۲  
 توابع ویتا کر ۴۲۶



- توابع هرمیت ۳۶۸-۳۸۱  
 تابع مولد ~ ۳۶۸  
 تعامد در ~ ۳۷۱  
 دستور العمل گرام-اشمیت ~ ۱۱۴  
 روابط بازگشتی ~ ۳۶۹  
 نمایش فوق هندسی همشاره ~ ۴۲۵  
 توابع هنکل ۲۲۳-۲۳۱  
 فرمولهای رونسکیبی ~ ۲۲۵، ۲۲۸  
 ~، کروی ۲۵۱
- جدول عملیات تبدیل لاپلاس ۵۶۷  
 جواب رونز-کوتا ۷۴
- چند جمله ایهای  
 تابع مولد ~ فراکروی ۳۹۴  
 ~ متعامد ۱۱۲  
 چند جمله ایهای انتقال یافته  
 ~ چبیشف ۴۱۴، ۴۱۵  
 ~ لژاندر ۱۱۴  
 چند جمله ایهای وابسته لاگر  
 تعامد در ~ ۳۸۷  
 ~ در مکانیک کوانتومی اتم هیدروژن  
 ۳۸۸-۳۹۰  
 روابط بازگشتی ~ ۳۸۶
- حساب وردشها ۶۵۱-۷۱۶  
 اصل هامیلتون ~ ۶۶۸  
 ~ در حباب صابون ۶۵۹  
 ~ در شگرد وردشی ریلی-ریس ۶۹۳-  
 ۶۹۹
- ~ در معادلات لاگرانژی ۶۶۹، ۶۸۵
- ~ در معادله اشتورم-لیوویل ۶۹۲  
 ~ در معادله انتگرالی هیلرت-اشمیت  
 ۶۹۳  
 ~ روی سطح دوار ۶۵۹  
 قیدها در ~ ۶۷۷، ۶۸۳  
 مضربهای لاگرانژی ~ ۶۷۷-۶۸۳  
 دستورهای دو برابر لژاندر ۱۵۹، ۱۶۶،  
 ۱۹۵
- ذره کوانتوم مکانیکی  
 ~ در جنبه استوانه‌ای ۲۵۰، ۶۸۱  
 ~ در کره ۲۵۵، ۲۶۳، ۶۹۷  
 مضارب لاگرانژی ~ ۶۷۹
- رقص محوری زمین ۵۲۸  
 روابط بازگشتی  
 ~ تابع انتگرال نمایی ۱۷۸  
 ~ تابع پلی گاما ۱۵۵  
 ~ تابع فاکتوریل ۱۳۴  
 ~ تابع گاما ۳۷  
 ~ تابع گامای ناکامل ۱۷۶  
 ~ توابع بسل ۱۸۵  
 ~ تعدیل یافته ۲۳۳، ۲۳۷  
 ~ توابع چبیشف ۳۹۶  
 ~ توابع فوق هندسی ۴۱۹  
 ~ همشار ۴۲۹  
 ~ توابع کروی بسل ۲۵۳  
 ~ تعدیل یافته ۲۶۲  
 ~ توابع لاگر ۳۸۴  
 ~ توابع لژاندر ۲۷۸

- ~ توابع بسل ۲۴۱-۲۴۵  
 ~ توابع فوق هندسی همشاره ۴۲۹  
 شرایط مرزی ۸۷  
 ~ در استوانه توخالی ۲۰۸  
 ~ در کرة واقع در میدان الکتستریکی  
 یکنواخت ۲۹۴  
 ~ در موجبرهای هم محور ۲۱۹  
 ~ در میدان مغناطیسی يك حلقه جریان  
 ۳۱۵-۳۲۱  
 ~ در نظریه اشتورم-لیوویل ۸۸  
 ~ در يك حلقه باردار ۴۹۵  
 معادلات انتگرالی ~ (۵۸۱، ۶۱۶)  
 ۶۲۰  
 شگر دوردشی ریلی-ریتس ۶۹۳-۶۹۹  
 صفرهای توابع بسل ۱۹۲  
 صورت خود-الحاقی معادله لواندر وابسته  
 ۸۴  
 عملگر  
 ~ الحاقی ۸۲  
 ~ تصویری ۱۰۹، ۱۳۲، ۲۹۱  
 ~ خطی تبدیل انتگرالی ۴۷۹، ۵۱۶  
 یکنابیی ~ وارون ۵۱۹  
 عملگر تکانه زاویه‌ای  
 ~ معادله وابسته لواندر ۱۸  
 ~ هماهنگهای کروی برداری ۳۶۷  
 عملگر دیفرانسیلی هرمیتسی ۹۱، ۹۷-  
 ۱۰۶  
 بازه انتگرالگیری ~ ۸۹  
 تمامیت ویژه تابعهای ~ ۱۱۶-۱۳۴
- ~ نوع دوم ۳۵۹  
 ~ وابسته ۳۱۰  
 ~ توابع نویمان ۲۱۷  
 ~ توابع وابسته لاگر ۳۸۶  
 ~ توابع هرمیت ۳۶۹  
 ~ توابع هنکل ۲۲۴  
 روش  
 ~ سازی گرام-شمیت ۱۰۶-  
 ۱۱۶  
 ~ نیمسازي (ایشه‌یایی) ۷۰۳  
 رونسکیبی  
 تشکیل تابع گرین ~ ۶۱۸  
 توابع بسل ~ ۲۱۷، ۲۲۱، ۲۲۵  
 ۲۲۶، ۲۲۸  
 توابع چیشف ~ ۴۰۲  
 ~ توابع فوق هندسی همشار ۴۲۹  
 ~ توابع کروی بسل ۲۵۸، ۲۶۳  
 سری فوریه ۴۳۲-۴۷۶  
 ~ بسل ۲۰۸  
 پدیده گیبس ~ ۴۶۴-۴۶۹  
 تعامد در ~ ۱۰۰، ۴۳۲  
 تغییر بار ~ ۴۲۳  
 تمامیت ~ ۴۳۳  
 ~ در موج مربعی ۱۰۱، ۴۴۵، ۴۶۵  
 ~ در نظریه اشتورم-لیوویل ۱۰۰،  
 ۴۳۵  
 مجموعیایی ~ ۴۳۷  
 مزایای ~ ۴۴۰-۴۴۲  
 مشتقگیری ~ ۲۵۷  
 سرهای مجانبی

~ فرمولهای درونیاب ۷۰۸

~ گاوسی ۷۱۶-۷۰۸

گرادیان مشتق مفید شده ۶۸۲

لاگرانژی ۶۶۹

~ مربوط به ذره نسبتی ۶۷۲

مقارن سازی کرنلها ۶۰۶

محاسبه

~ انتگرالها توسط تابع بتا ۱۶۴-۱۷۲

~ سری فوریه تابع زتای ریمان

۴۲۷، ۴۲۸، ۴۵۲

مدل قطره‌ای هسته ۳۲۵

مضربهای لاگرانژی ۶۷۷-۶۸۳

معادله آبل ۵۸۵، ۵۸۹

معادله انتگرالی ۵۷۲-۶۵۰

تابع دلتای دیراک ~ ۶۲۵، ۶۳۰

تبدیل‌های ~ ۵۸۲، ۵۸۵

جواب ~ به وسیله تابع مولد ۵۸۶

راه‌حلهای عددی ~ ۵۹۸-۶۰۱

سری نویمان ~ ۵۹۱-۵۹۵، ۶۳۸

~ معادله فرد هولم ۵۷۲

~ معادله ولترای ۵۷۳

~ ناهمگن ۶۱۰

ویژه تابعهای متعامد ~ ۶۰۶

معادله انتگرالی کرنل جداشدنی ۵۹۵-

۵۹۸

~ نوع  $k(x-t)$  ۵۹۵-۵۹۹

معادله انتگرالی کرنلی نوع  $k(x-t)$

۵۸۲، ۵۸۷

~ درمکانیک کوانتومی ۹۱

ویژه تابعهای متعامد ~ ۹۹

ویژه مقدارهای حقیقی ~ ۹۸

عملگرهای (فزاینده و کاهنده) نردبانی

~ توابع هرمیت ۳۷۴

~ درهماهنگهای گروهی ۳۳۶-۳۴۰

فرمول

~ اول کومر ۴۲۵

~ ریلی ۲۵۴

فرمول لایب نیتس برای مشتقگیری

~ از انتگرال ۵۵

~ یک حاصلضرب ۳۰۸، ۳۱۳

قضیه

~ انتقال هویساد ۵۳۸

~ جمع توابع بسل ۱۹۷

~ لراج ۵۲۰

قضیه پیچش

تبدیل‌های فوریه در ~ ۲۹۹-۵۰۴

~ تبدیل‌های لاپلاس ۵۵۱-۵۵۶،

۵۶۴

قضیه جمع چند جمله‌ایهای لژاندر

~ استنتاج از تابع گرین ۶۳۵

~ در دستگاه مختصات دوقطبی گروهی

۳۴۴-۳۵۰

کواک مشدد استوانه‌ای ۱۹۳، ۲۰۴.

کسرهای جزئی ۵۲۰

کوادراتور

~ در قاعده سیمپسون ۷۱۰

- روش رونز-کوتا ~ ۷۳
- روشهای پیشگو-مصحح ~ ۷۵
- معادله دیفرانسیل مرتبه اول ۴-۱۴
- جوابهای عددی ~ ۷۲
- معادله دیفرانسیل مرتبه دوم، جوابهای عددی ۷۶
- معادله ریلی ۳۰۶
- معادله عمر فرمی ۴۹۷
- معادله فراکروی (گگن باوتر) ۳۹۹
- ~ چند جمله‌ایهای ~ ۲۷۵، ۳۹۲
- صورت خود-الحاقی ~ ۸۴
- معادله فوق هندسی ۴۱۷
- تکینگیها در ~ ۲۲
- جواب مستقل دوم ~ ۴۱۸
- صورت‌های دیگر ~ ۴۱۹
- معادله فوق هندسی همشار ۴۲۳
- جواب دوم ~ ۴۲۳
- معادله لاپلاس
- ~ انرژی کمیته ۶۷۵
- جوابهای ~ ۱۷، ۱۹
- معادله لاگر ۳۸۱
- معادله لژاندر ۱۵، ۲۸۰
- تکینگیها در ~ ۲۳
- صورت خود-الحاقی ~ ۸۴
- معادله ماکسول ناشی از معادلات لاگرانژی
- ۶۷۷
- معادله موج
- پاشندگی بی‌هنجار ~ ۵۶۱-۵۶۳
- جواب تبدیل فوریه ~ ۴۹۶، ۴۹۷
- جواب تبدیل لاپلاس ~ ۵۳۹، ۵۴۰
- معادله موج شروودینگر
- معادله انتگرالی هیلبرت-اشمیت ۶۰۶-
- ۶۱۳
- تشابه وردشی ~ ۶۹۳
- نظریه ~ ۶۰۶-۶۱۳
- معادله اوپلر ۶۵۵
- ~ حساب وردشها ۶۵۵
- معادله بستاری توابع بسل ۲۶۴، ۲۱۰
- معادله بسل
- تکینگیها در ~ ۲۱
- جواب تبدیل لاپلاس ~ ۵۴۱-۵۴۴
- جواب سری ~ ۳، ۴۹
- صورت خود-الحاقی ~ ۸۴
- معادله بولتزمن ۵۷۳
- معادله پخش، جوابها ۱۷
- معادله پواسون، تابع گرین ۵۷، ۶۳،
- ۶۱۴
- معادله چیشف ۳۹۹
- صورت خود-الحاقی ~ ۸۴
- معادله دیفرانسیل
- ~ تکینک‌پذیر ۴
- ~ تکینگی ۱۹-۲۳، ۳۲
- جواب سری ~ ۱۹-۴۰
- ~ خطی ۶
- ~ خود-الحاقی ۸۱-۹۷
- ~ کامل ۵
- ~ ، نقاط تکین ۱۹-۲۳
- ویژه تابعها، ویژه مقادارهای ~ ۸۳
- معادله دیفرانسیل جزئی ۱
- شرایط مرزی ~ ۸۸
- معادله دیفرانسیل، جوابهای عددی ۷۲-

~ فرق هندسی انتگرالهای بیضوی

۴۱۸

نمایش رد ریگز چند جمله ایهای

~ چیشف ۳۹۹، ۴۰۳

~ لاگر ۳۸۴

~، وابسته ۳۸۷، ۳۸۸، ۳۹۰

~ لژاندر ۳۰۳

~، توابع وابسته لژاندر ۳۲۷

~ هر میت

نوسانگر خطی.

تابع گرین ~ ۶۲۳

تابع موج تکانه ای ~ ۵۰۸

جوابهای تبدیل لاپلاس ~ ۵۲۸

~ کوانتوم مکانیکی ۳۷۲-۳۷۳

معادله انتگرالی ~ ۵۷۹، ۶۲۳

معادله خود-الحاقی ~ ۸۲

نوسانگر خطی میرا ۵۵۳

جواب تبدیل لاپلاس ~ ۵۳۶، ۵۴۴

واپاشی پرتوزا ۵۳۳

ویژه تابع-ویژه مقدار دوترون ۸۵-۸۷،

۵۱۰

ویژه تابعها (ی) ۸۳

~ بسط تابع گرین بر حسب تابع دلتای

دیراک ۱۲۳

بسط ~ در تابع دلتای دیراک ۱۲۲

تمامیت ~ ۱۱۶-۱۳۴، ۶۰۹

~ حساب وردشی ۶۹۳

~ عملگر دیفرانسیلی هر میتی ۹۹

~ متعامد ۹۹

~ معادله های انتگرالی ۶۰۶

~ اتم هیدروژن ۳۸۸

پراکندگی ~ ۶۳۸-۶۴۵

رهیافت وردشی ~ ۶۸۹

نمایش تکانه ای ~ ۵۱۱، ۵۷۵

معادله هر میت ۳۷۱

صورت خود-الحاقی ~ ۸۴

معادله هلمهولتز

~، تابع گرین ۶۲۹، ۷۱، ۶۳۳

جوابهای ~ ۱۷

مکانیک کوانتومی

بسته موج در ~ ۵۰۹

معادله موج شرودینگر در ~ ۶۸۹

مقدار انتظاری عملگر در ~ ۵۰۶، ۹۲

نمایش تکانه ای در ~ ۵۰۴-۵۱۲،

۵۷۵

نمایش شرودینگر در ~ ۵۰۷

نامسای بسل ۱۱۹، ۱۲۸

نامسای شوارتس ۱۲۰، ۱۲۸

~، تعمیم یافته ۱۳۲

نظریه

~ پراش کیرشهوف ۵۹۰، ۶۴۸

~ ترابرد نوترون - معادله بولتزمن

۵۷۳

نظریه اشتورم-لیوویل ۸۱-۱۳۵

تشابه وردشی ~ ۶۹۳

نماد پوکهامر ۴۱۸، ۴۳۲

نمایش

~ انتگرالی توابع هنکل ۲۲۶-۲۳۱

~ تکانه ای معادله موج شرودینگر

۵۰۴-۵۱۲، ۵۷۵-۵۷۷

- انتگرالهای ~ ۳۵۳-۳۵۰
- پارایته در ~ ۳۳۱
- تعامد در ~ ۳۲۸
- رابطه بستاری ~ ۳۳۲
- سریهای لاپلاس در ~ ۳۳۷، ۳۳۵
- ضریب فاز کوندون-شورتلی ~ ۳۲۸
- عملگرهای نردبانی در ~ ۳۴۵-۳۳۶
- هماهنگهای قطاعی، مقطعی، منطقه‌ای ~  
۳۳۳
- هماهنگهای کروی برداری ۳۶۷-۳۶۲
- هماهنگهای قطاعی، مقطعی، منطقه‌ای ~  
۳۶۷-۳۶۲
- یکتایی عملگر وارون ۵۱۹
- ~ واگنی ۱۰۲
- ویژه تابعهای تعامد
- بسط تابع دلتای دیراک موج مربعی بر  
حسب ~ ۱۰۱
- ~ معادله‌های دیفرانسیلی اشتورم-  
لیوویل ۹۹
- ~ معادله‌های هیلبرت-اشمیت ۶۰۶
- ویژه مقدار(ها) ۶۰۷، ۸۳
- اصل وردشی ~ ۶۹۳
- ~ عملگرهای دیفرانسیلی هرمیتی ۹۸
- ~ معادله‌های انتگرالی هیلبرت-اشمیت  
۶۰۸
- هماهنگهای کروی ۳۲۶-۳۲۳